



МИНОБРНАУКИ
РОССИИ



УФИМСКИЙ
УНИВЕРСИТЕТ

приоритет2030^

лидерами становятся

МАВЛЮТОВСКИЕ ЧТЕНИЯ

Том 5

Материалы

**XIX Всероссийской молодёжной научной конференции
(г. Уфа, 24 – 28 ноября 2025 г.)**



Министерство науки и высшего образования РФ
Федеральное государственное бюджетное образовательное учреждение
высшего образования
«Уфимский университет науки и технологий»

МАВЛЮТОВСКИЕ ЧТЕНИЯ

Том 5

*Материалы
XIX Всероссийской молодёжной научной конференции
(г. Уфа, 24 – 28 ноября 2025 г.)*

Научное электронное издание сетевого доступа

Уфа
Уфимский университет
2025

УДК 62
ББК 30
М12

*Печатается по решению ученого совета ИИМРТ УУНУТ.
Протокол № 4 от 02.12.2025 г.*

Редакционная коллегия:

канд. физ.-мат. наук, доцент **А.Ф. Кужаев** (отв. редактор);
канд. техн. наук, доцент **Р.А. Ярцев** (секция 5.1);
канд. физ.-мат. наук, доцент **Р.П. Абдрахманова**,
д-р техн. наук, профессор **Н.М. Шерыхалина** (секция 5.2);
канд. техн. наук, доцент **Е.Ю. Сазонова**;
д-р техн. наук, профессор **О.Н. Сметанина** (секция 5.3);
канд. техн. наук, доцент **В.Е. Кладов** (секция 5.4);
д-р техн. наук, профессор **О.И. Христодуло** (секция 5.5);
старший преподаватель **С.Ю. Макарова** (секция 5.6);
канд. техн. наук, доцент **А.С. Ракипова** (секция 5.7);
канд. физ.-мат. наук, доцент **С.С. Поречный** (секция 5.9);
канд. физ.-мат. наук, доцент **Ю.В. Юлмухаметова** (секция 5.10);
ассистент **Н.К. Ханнанов** (секции 5.8, 5.11, 5.12)

Мавлютовские чтения: материалы XIX Всероссийской молодёжной научной М12 конференции (г. Уфа, 24–28 ноября 2025 г.) / отв. ред. А.Ф. Кужаев / в 8 т. Т. 5 [Электронный ресурс] / Уфимск. ун-т науки и технологий. – Уфа: Уфимский университет, 2025 – 1419 с. – URL: <https://uust.ru/media/documents/digital-publications/2025/406.pdf> – Загл. с титула экрана.

ISBN 978-5-7477-6320-3

Том 5: ISBN 978-5-7477-6329-6

В 5-й том сборника материалов конференции вошли статьи секции 5.1–5.12. Сборник предназначен для студентов, аспирантов, молодых ученых и преподавателей.

Все материалы представлены в авторской редакции.

Мероприятие проведено в рамках субсидии из федерального бюджета образовательным организациям высшего образования на реализацию мероприятий, направленных на поддержку студенческих научных сообществ (соглашение № 075-15-2025-429 от 23 мая 2025 г.).

УДК 62
ББК 30

ISBN 978-5-7477-6329-6 (том 5) © Уфимский университет, 2025
ISBN 978-5-7477-6320-3

СЕКЦИЯ 5.1. АВТОМАТИЗИРОВАННЫЕ СИСТЕМЫ ОБРАБОТКИ ИНФОРМАЦИИ И УПРАВЛЕНИЯ

УДК 004

Э.Р. ИСЛАМОВ, Д.И. АБДРАХМАНОВ, И.Р. МУХТАСАРОВА, А.Е. БРАГИН,
Р.Э. УРАЗБАХТИН

danilabdrakhmanov.ru@yandex.ru

Науч. руковод. – канд. техн. наук, доцент кафедры АСУ В.А. СУВОРОВА

Уфимский университет науки и технологий

СОЗДАНИЕ ЕДИНОГО ЦИФРОВОГО ПРОСТРАНСТВА ДЛЯ СТУДЕНТОВ

Аннотация: в статье рассматривается проект по созданию цифрового пространства для студентов и преподавателей. Данное пространство представляет собой веб-платформу, позволяющую студентам отслеживать успеваемость, посещаемость, события и мероприятия вуза, а также получать информацию о преподавателях. Проект направлен на прозрачность и доступность информации в учебном процессе.

Ключевые слова: студенческий портал; цифровое пространство; оптимизация рабочего времени; Python; Flask; HTML; CSS; JavaScript; Figma.

Нынешнее высшее образование активно развивается в направлении цифровизации. Современное поколение требует оперативного получения информации, используя мобильные сервисы. Однако во многих вузах информационные системы остаются разрозненными: расписание находится на одном сайте, успеваемость – в другой системе, объявления – в чатах или социальных сетях, а связь с преподавателями зачастую полностью зависит от личных контактов.

Отсутствие единой цифровой среды снижает вовлеченность студентов, затрудняет коммуникацию и замедляет развитие цифровой инфраструктуры вуза. Поэтому создание интегрированной платформы, объединяющей образовательные данные и сервисы, является крайне актуальной задачей.

Задачами проекта являются:

1. Проанализировать существующие цифровые системы вуза и определить их слабые места.
2. Разработать архитектуру единого цифрового пространства.
3. Реализовать функциональные модули: учет посещаемости; календарь мероприятий; коммуникационные сервисы для создания совместных чатов;

модуль профилей преподавателей; инструменты взаимодействия для преподавателей.

4. Протестировать систему на пилотной группе студентов.

5. Внедрить платформу в учебный процесс и обеспечить ее техническую поддержку.

В рамках исследования был проведён анализ существующей информационной системы университета – ИСУ (информационная система университета), представляющей собой действующий веб-ресурс для студентов и преподавателей. Несмотря на то, что система уже содержит ряд полезных функций, таких как доступ к расписанию, просмотру успеваемости и списку групп, ее структура и интерфейс не в полной мере удовлетворяют современным требованиям к цифровой образовательной среде.

Проведённый опрос (рис. 1) показал, что пользователи сталкиваются с рядом ограничений: информация в системе представлена фрагментарно, взаимодействие с отдельными разделами требует дополнительных действий, а ряд ключевых инструментов, необходимых студентам для эффективной организации учебного процесса, полностью отсутствует.

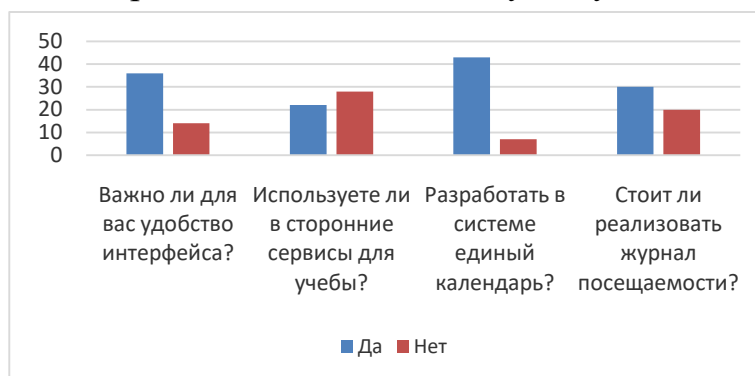


Рис. 1. Гистограмма по результатам опроса, проведенного для студентов ИИМРТ

В частности, в текущей версии ИСУ не реализованы следующие функциональные возможности, которые могли бы существенно повысить удобство и эффективность образовательного взаимодействия:

– учет посещаемости в реальном времени, позволяющий студентам отслеживать пропуски, а преподавателям – оперативно фиксировать присутствие на занятиях;

– личный календарь студента, объединяющий расписание, важные даты, задания, консультации и мероприятия вуза;

– система уведомлений, автоматически информирующая об изменениях в расписании, новых оценках, предстоящих событиях или важных объявлениях кафедры;

– раздел учебных материалов, где преподаватели могли бы загружать методические указания, презентации, задания и ссылки на ресурсы;

– профили преподавателей, включающие контактную информацию, график консультаций, местоположение кабинета и ссылки на образовательные курсы;

- встроенная система обратной связи, позволяющая студентам задавать вопросы, оставлять комментарии и уточнять информацию по дисциплинам;
- модуль регистрации на мероприятия, что упростило бы участие студентов в научных, культурных и спортивных активностях университета;
- аналитические отчёты для студентов, показывающие динамику успеваемости, посещаемости и прогресса по дисциплинам.

Таким образом, существующая система выполняет лишь базовые функции, но не обеспечивает комплексной поддержки образовательного процесса. Это подтверждает актуальность разработки более современной, удобной и функциональной платформы, объединяющей все необходимые цифровые сервисы в единое пространство.

В ходе реализации проекта был разработан прототип единого цифрового пространства для студентов, представляющий собой полноценный веб-сайт с персональными кабинетами и расширенным набором функций. Для создания платформы были использованы современные технологии и инструменты, обеспечивающие стабильность работы, удобство использования и возможность дальнейшего расширения системы.

Основой серверной части послужил язык программирования Python в сочетании с лёгким и гибким веб-фреймворком Flask, который позволил реализовать маршрутизацию, взаимодействие с базой данных, авторизацию пользователей и обработку серверной логики. Такой выбор технологий обеспечил простоту масштабирования проекта и высокую скорость отклика системы.

Для организации пользовательского интерфейса применялись стандартные инструменты веб-разработки – HTML и CSS, что позволило сформировать структурированную и визуально понятную архитектуру страниц. Дизайн интерфейса был адаптирован под требования студенческой аудитории: минималистичный стиль, логичная навигация и удобная структура разделов.

Для обеспечения интерактивности и удобства навигации на сайте использовался JavaScript. С его помощью реализованы элементы динамического интерфейса, включая адаптивное раскрытие навигационных блоков и упрощённое переключение между разделами, что повышает удобство взаимодействия пользователей с веб-платформой.

В разработанный прототип цифровой платформы были интегрированы ключевые функциональные модули, направленные на повышение удобства и информативности взаимодействия студентов с образовательной средой университета. Основной упор был сделан на те сервисы, которые отсутствуют в действующей системе ИСУ, но активно востребованы обучающимися.

На текущем этапе в сайт включены следующие функции.

Просмотр информации о преподавателях, включающий их контактные данные, расписание консультаций, кабинеты и сведения о преподаваемых дисциплинах (рис. 2).

Раздел мероприятий, где представлены хакатоны, конкурсы, мастер-классы, спортивные, научные и культурные события университета с

возможностью подробного просмотра и добавления в личный календарь (рис. 3).

Функция добавления напоминаний, обеспечивающая формирование индивидуального списка задач, дедлайнов и важных учебных событий (рис. 4).

Раздел учебных материалов, куда преподаватели могут загружать методические указания, презентации, задания и другие необходимые ресурсы (рис. 5).

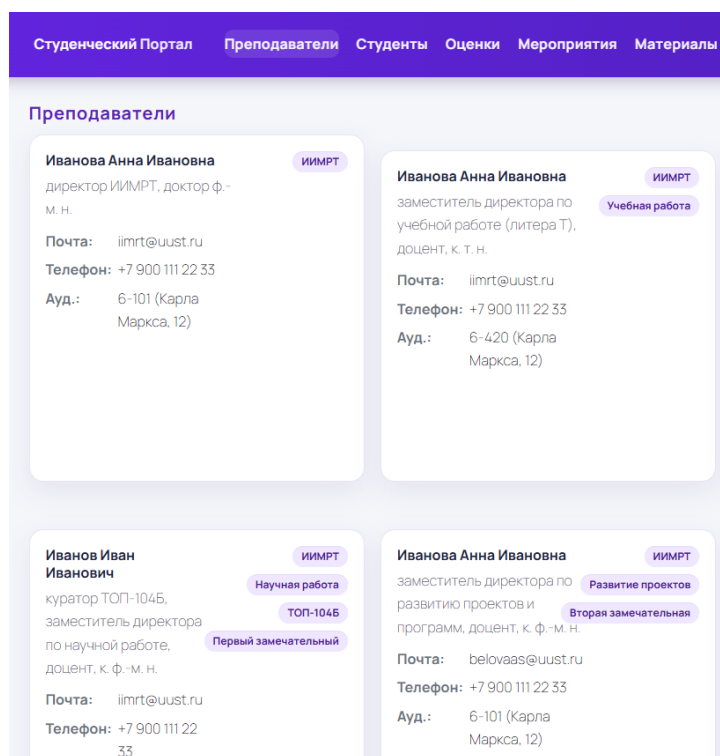


Рис. 2. Просмотр информации о преподавателях

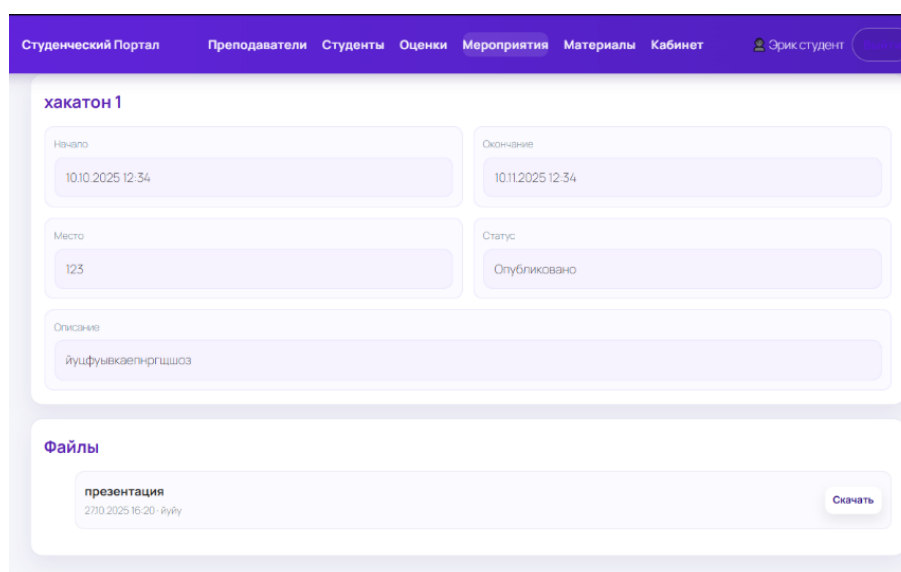


Рис. 3. Просмотр мероприятий

Студенческий Портал | Преподаватели | Студенты | Оценки | Мероприятия | Материалы | Кабинет | Эрик студент

Профиль

Редактировать

ФИО: Эрик студент | Email: @yandex.ru

Роль: Студент | Группа: ТОП-101Б

Курс: 1 | Направление: ПИ

Телефон: 89178008390

Напоминания

Название: | ДД.ММ.ГГГГ.ЧЧ:ММ

Добавить

Пока нет напоминаний.

Мои материалы

Рис. 4. Добавление напоминаний

Студенческий Портал | Преподаватели | Студенты | Оценки | Мероприятия | Материалы | Кабинет | Анна преподаватель

Материалы

матан | Прикладная информатика - PDF - 2810.2025.07-38 | Открыть

1232 | Прикладная информатика - PDF - 2710.2025.18-57 | Открыть

Рис. 5. Добавление материалов по изучаемым дисциплинам

Параллельно ведётся работа по расширению функционала платформы. В ближайших обновлениях планируется реализовать: полноценный модуль просмотра посещаемости, позволяющий студентам отслеживать свои пропуски по дисциплинам; интеграцию с пропускной системой университета, что обеспечит автоматизированную фиксацию посещаемости при входе в учебные корпуса и повысит точность данных.

Добавление данных функций позволит создать более прозрачную, технологичную и связанную цифровую среду, в которой образовательные процессы будут максимально понятными и доступными для всех участников.

Проведённый анализ ИСУ УУНиТ и опрос студентов подтвердили необходимость создания более удобной и функциональной цифровой платформы. Разработанный прототип сайта, реализованный с применением Python, Flask, HTML, CSS и JavaScript, уже включает ключевые модули – информацию о преподавателях, мероприятия, успеваемость, материалы и напоминания. Планируемое добавление учёта посещаемости и интеграции с пропускной системой сделает платформу ещё более полной и полезной. Проект

демонстрирует перспективность создания единого цифрового пространства для повышения удобства и прозрачности учебного процесса.

Библиографический список

1. Документация Flask URL: <https://flask.palletsprojects.com/en/stable/> (дата обращения: 14.11.2025).

Ресурсы для разработчиков от разработчиков URL: <https://developer.mozilla.org/ru/> (дата обращения: 13.11.2025)

2. Документация: Компания PostgresProfessional. URL: <https://postgrespro.ru/docs> (дата обращения: 13.11.2025)

3. Мягков, Я. С. Графический дизайн как перспективное направление в профессиональном образовании и самоопределении / Я. С. Мягков, Т. Б. Лемешко // Профессиональное самоопределение молодежи инновационного региона: проблемы и перспективы: Сборник статей по материалам Всероссийской (национальной) научно-практической конференции, Красноярск, 14–25 ноября 2022 года. Том Часть 1. – Красноярск-Челябинск-Нижний Новгород-Москва: Красноярский государственный аграрный университет, 2023. – С. 262-264

4. Основы HTML: изучаем основной язык веб-разработки. URL: <https://cyberleninka.ru/article/n/osnovy-html-izuchaem-osnovnoy-yazyk-veb-razrabotki?ysclid=mi0fo41vqo979997930> (дата обращения: 13.11.2025)

© Исламов Э.Р., Абдрахманов Д.И., Мухтасарова И.Р., 2025

УДК 519.71

И.М. ВАГАБОВ

i_vagabov@list.ru

Науч. руковод. – канд. техн. наук, доцент А.И. АБДУЛНАГИМОВ

Уфимский университет науки и технологий

О ПОДХОДЕ К ПОВЫШЕНИЮ ТОЧНОСТИ ПРОГНОЗИРОВАНИЯ ОСТАТОЧНОГО РЕСУРСА АВИАЦИОННЫХ ГТД НЕЙРОСЕТЕВЫМИ МОДЕЛЯМИ

Аннотация: рассмотрены методы анализа данных для улучшения прогнозирования остаточного ресурса сложных технических систем, на примере прогнозирования остаточного ресурса авиационного ГТД нейросетевыми алгоритмами. Предложен анализ корреляции, подготовки данных и выбора рекуррентных нейронных моделей.

Ключевые слова: силовые установки, остаточный ресурс, нейронные сети, LSTM, GRU

Введение

Прогнозирование отказов и оценка остаточного ресурса сложных технических систем являются ключевыми элементами обеспечения безопасности, надежности и рациональной эксплуатации авиационной техники. В авиации особенно критична надежность и безопасность силовых установок, поскольку любое отклонение в работе двигателя может привести к развитию аварийной ситуации. Отказ двигателя в полете связан с высоким уровнем риска. Заблаговременное выявление деградации состояний критических агрегатов и узлов силовых установок позволяет предотвратить опасные сценарии развития ситуаций [1,2].

В настоящем исследовании прогнозирование остаточного ресурса и технического состояния газотурбинных двигателей выполнялось с использованием рекуррентных нейросетевых моделей LSTM и GRU, ориентированных на обработку многомерных временных рядов эксплуатационных параметров. Проведено сравнительное исследование качества прогнозов этих архитектур по ряду метрик, что позволило оценить их способность улавливать долгосрочные временные зависимости и устойчивость к шумам и выбросам в данных. На основе результатов сравнения были выявлены особенности применения LSTM и GRU в задачах предиктивного анализа, что дало возможность обосновать выбор архитектуры для последующей разработки модели оценки остаточного ресурса.

Однако использование даже современных нейросетевых моделей само по себе не решает полностью задачу достоверного предсказания остаточного ресурса сложных технических систем. Качество прогноза в значительной

степени определяется полнотой и репрезентативностью исходных данных, корректной фильтрацией и нормализацией сигналов, обработкой пропусков, а также формированием информативных временных окон для обучения. Особое значение имеет осознанный выбор и конструирование признаков, в том числе *features*, которые отражают реальные физические процессы износа и деградации узлов. Именно качество данных, адекватная подготовка выборки и продуманный отбор признаков во многом определяют верхнюю границу точности любой модели прогнозирования остаточного ресурса.

Подход к обработке данных

В качестве основного источника данных для проведения экспериментов использовался набор данных C-MAPSS [3], имитирующий поведение крупного турбовентиляторного двигателя тягой 40 тонн в различных полётных условиях. В данных присутствует 3 управляющих параметра (*os1* - высота полета, *os2* - угол поворота дроссельной заслонки, *os3* - число Маха) и значения 21 датчика – давление на входе в вентилятор, давление на выходе из компрессора высокого давления, температуры газов на выходе компрессора и турбины, обороты вращения вентилятора и вала ротора, потоки охлаждающей жидкости и др. В обучающей выборке каждый ГТД деградирует до полного отказа, что делает возможным обучение моделей прогнозирования на данных, охватывающих весь жизненный цикл тепловой машины. Данные представляют собой множество многомерных временных рядов с информацией о 100 двигателях и продолжительность работы от 130 до 360 циклов (рис. 1).

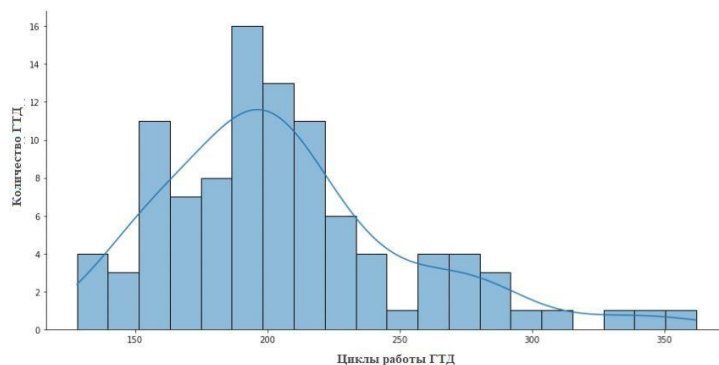


Рис. 1. Распределение циклов работы исследуемых ГТД

При создании обучающей и тестовой выборок был проведен анализ показаний датчиков. Были удалены параметры, не изменяющиеся во времени. Затем был проведен корреляционный анализ влияния каждого параметра на остаточный ресурс (RUL – Remaining Useful Life). Составлена корреляционная матрица (рис. 2).

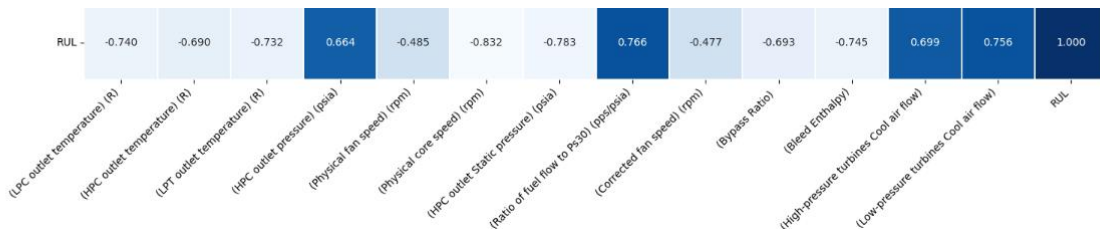


Рис. 2. Фрагмент матрицы корреляции

В обучающую выборку были отобраны двигатели, у которых корреляция параметров с остаточным ресурсом превышала по модулю 0.45. Такая обработка позволила найти 63 ГТД из 200, где параметры работы двигателя влияли на ресурс. Следующий шаг заключался в отборе наиболее влиятельных параметров на остаточный ресурс. Среди них оказались: *Ratio of fuel flow to Ps30*, *HPC outlet pressure*, *Low-pressure turbines Cool air flow* и *High-pressure turbines Cool air flow*.

Таким образом, была сокращена треть параметров – с 14 до 4. Далее проводился дополнительный *feature engineering*, чтобы увеличить влияние тех параметров, что остались. Практическая реализация заключается в том, что было расширение признаков через *rolling statistics*, *aggregates* и *rate of change*. Это методы, которые позволяют анализировать статистические свойства данных за последние периоды времени. К ним относятся скользящие средние, стандартные отклонения, минимумы и максимумы. Такие методы помогают выявлять тренды и закономерности в процессах. В качестве *rolling statistics* были взяты аргументы, показывающие минимальные, максимальные, скользящие средние значения (*roll_mean*) каждого параметра. После их увеличения применено правило, что сильно корреляционные и слабо корреляционные параметры не будут добавляться в итоговый список датчиков. В результате определены следующие параметры: (*Low-pressure turbines Cool air flow*)_roll_mean, (*Ratio of fuel flow to Ps30*) (pps/psia)_roll_mean, (*High-pressure turbines Cool air flow*)_roll_mean, (*Ratio of fuel flow to Ps30*) (pps/psia), (*HPC outlet pressure*) (psia), (*High-pressure turbines Cool air flow*)_roll_max, (*Low-pressure turbines Cool air flow*) и (*High-pressure turbines Cool air flow*).

Интеллектуальная модель прогнозирования остаточного ресурса

Проведено сравнение двух рекуррентных нейросетевых моделей для прогнозирования остаточного ресурса: LSTM (Long Short-Term Memory) и GRU (Gated Recurrent Unit), построенных в виде единого класса *SequenceRULModel* с параметрами, зависящими от длины временного окна *SEQ_LEN* и числа используемых признаков *len(feature_columns)*.

Обе модели относятся к семейству рекуррентных нейронных сетей и предназначены для обработки последовательностей временных рядов, что типично для задач прогнозирования остаточного ресурса (RUL) технических систем. Архитектура каждой модели (LSTM и GRU) конфигурируется внутри класса *SequenceRULModel* через метод *build_model()*, где задаются размерности скрытого состояния, число рекуррентных слоёв, а также выходной

регрессионный слой для предсказания скалярного значения RUL по входной последовательности.

Для обеих архитектур используется единый формат входных данных: трёхмерный тензор X_{train_seq} с длиной временной истории SEQ_LEN и размерностью признакового пространства $len(feature_columns)$, а также соответствующие целевые значения y_{train_seq} . LSTM и GRU-модели обучаются по идентичному протоколу: по 200 эпох при размере $batch_size = 128$, что обеспечивает сопоставимость качества и динамики сходимости при одинаковых условиях обучения.

После обучения для обеих моделей вычисляются предсказания на тестовой выборке X_{test_seq} , рассчитываются метрики качества моделей: коэффициент детерминации R^2 и корень из среднеквадратичной ошибки (RMSE) относительно истинных значений y_{test_seq} .

Таблица 1

Оценка качества моделей

| Вид исследования | R^2 | RMSE |
|--|-----------------------------------|-------------------------------------|
| Доприменения feature engineering (LSTM и GRU) | LSTM – 0.277544 GRU – 0.194820 | LSTM – 43.021483 GRU – 34.154179 |
| Послеприменения feature engineering (LSTM и GRU) | LSTM – 0.433276 GRU – 0.440074 | LSTM – 55.572533 GRU – 55.238218 |

В среднем модели показывают схожую точность прогнозирования остаточного ресурса. При детальном рассмотрении отдельных процессов деградации параметров ГТД можно наблюдать повышенный коэффициент детерминации и малый уровень среднеквадратичной ошибки. На рисунке 3а приведен пример оценки остаточного ресурса. Точность предсказания равна 67,42%, а среднеквадратичная ошибка – 30,65%. Большая погрешность наблюдается на высоких значениях остаточного ресурса, однако на низких уровнях (при приближении к отказу) наблюдается четкий тренд и низкая погрешность прогнозирования (рис. 3б).

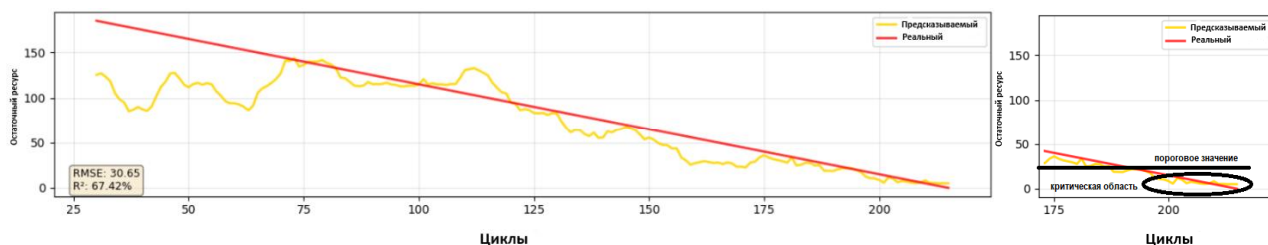


Рис. 3. Прогнозирование остаточного ресурса

Это говорит о том, что модель наиболее точна в момент деградации и приближения к критической области. Задание пороговых уровней при оценке ресурса позволит сообщать и предупреждать экипаж, а также давать

управляющие команды системе автоматического управления, контроля и диагностики ГТД для оперативного реагирования на ситуацию.

Разработанные модели показывают хорошую точность предсказания ресурса в процессе деградации характеристик ГТД. Экспериментальное исследование на симулированном наборе данных C-MAPSS показало, что качество моделей зависит от подходов предварительной обработки данных, включая применение методов *feature engineering*.

Библиографический список

1. Saxena A., Goebel K., Simon D., Eklund N. Damage propagation modeling for aircraft engine run-to-failure simulation / A. Saxena, K. Goebel, D. Simon, N. Eklund // 2008 International Conference on Prognostics and Health Management. — 2008. — P. 1–9. — IEEE.
2. Zhang Y., Xiong R., He H., Liu Z. A LSTM-RNN method for the lithium-ion battery remaining useful life prediction / Y. Zhang, R. Xiong, H. He, Z. Liu // 2017 Prognostics and System Health Management Conference (PHM-Harbin). — 2017. — P. 1–4. — IEEE.
3. Данные C-MAPSS – URL: <https://www.kaggle.com/datasets/behrad3d/nasa-staps>(дата обращения 10.11.2025)

© Вагабов И.М., 2025

Э.Р. ИСЛАМОВ, И.Р. МУХТАСАРОВА, А.Е. БРАГИН

erikislamov06@yandex.ru

Науч. руковод. – канд. техн. наук, доцент кафедры АСУ, В.А. СУВОРОВА

Уфимский университет науки и технологий

РАЗРАБОТКА И РЕАЛИЗАЦИЯ КЛИЕНТСКОЙ ЧАСТИ ВЕБ-ПРИЛОЖЕНИЯ

Аннотация: в статье представлена разработка образовательной веб-платформы на Python Flask, создающей единое цифровое пространство для взаимодействия студентов и преподавателей. Рассмотрены архитектура решения, серверная логика, база данных на SQLAlchemy, аутентификация и функциональные модули, направленные на обеспечение прозрачности и доступности учебного процесса.

Ключевые слова: студенческий портал; цифровое пространство; оптимизация рабочего времени; Python; Flask; HTML; CSS; JavaScript.

Современные образовательные организации активно внедряют цифровые решения для оптимизации учебной деятельности. Однако одна из ключевых проблем цифровых сервисов — фрагментация данных и отсутствие единой платформы, объединяющей все функции, необходимые студентам и преподавателям: просмотр расписания, оценок, учебных материалов, событий университета, взаимодействие с преподавателями и организацию личных академических задач.

Разработанный сайт (рис. 1) представляет собой комплексную образовательную платформу с четкой модульной архитектурой и системой ролевого доступа. Центральным элементом является личный кабинет, который динамически формируется в зависимости от роли пользователя (студент, преподаватель, администратор) и служит единой точкой доступа ко всем функциям.

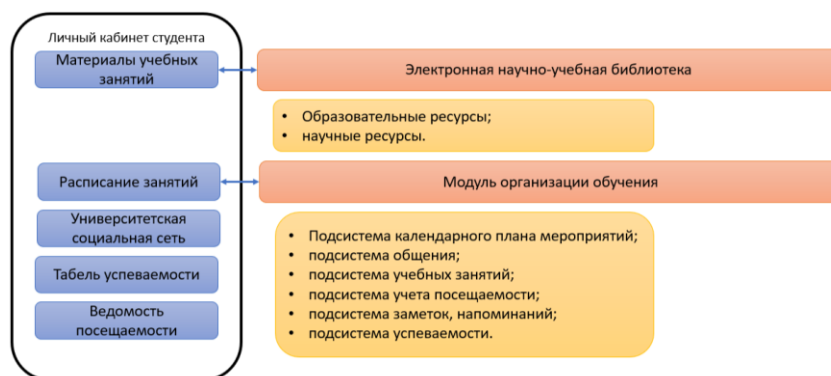


Рис. 1. Структура сайта

Технические особенности:

- Серверная генерация страниц через `render_template` обеспечивает актуальность данных
- Многоуровневая система аутентификации и авторизации
- Встроенные механизмы резервного копирования и восстановления данных
- Адаптивный интерфейс, корректно отображающийся на различных устройствах

Фронтенд-разработка и реализация клиентской части веб-приложения

Клиентская часть веб-приложения выступает ключевым компонентом цифровой платформы, обеспечивая визуализацию данных, формируемых серверной логикой, и создавая условия для удобного и интуитивно понятного взаимодействия пользователя с функциональными модулями системы. Фронтенд разработан на базе стандартных веб-технологий — HTML, CSS и JavaScript — и использует механизм шаблонов Jinja2, встроенный во фреймворк Flask. Такая архитектура обеспечивает согласованность клиентского и серверного уровней и позволяет гибко формировать интерфейс на основе актуальных данных из базы.

Клиентская часть формируется с использованием HTML-страниц, которые создаются на сервере с подстановкой данных, переданных Flask-контроллерами. Технология Jinja2 позволяет динамически вставлять значения переменных, формировать таблицы, списки, панели и формы, опираясь на данные, полученные от серверной логики.

Этот подход обеспечивает:

- автоматическую подстановку информации о пользователях;
- вывод списков студентов, преподавателей, учебных материалов, оценок и мероприятий;
- отображение служебных сообщений и форм;
- повторное использование структурных элементов страниц (навигация, заголовки, панель пользователя).

Формирование HTML-разметки (рис. 2) происходит на стороне сервера в момент обработки запроса, что позволяет исключить дублирование данных и обеспечивает согласованность всех элементов интерфейса.

Такой подход позволяет формировать фронтенд на основе серверных данных без использования сторонних библиотек.

```
render_template("materials.html", page="materials", items=items)
render_template("teachers.html", page="teachers", items=items)
render_template("students.html", page="students", items=items, q=q)
render_template("user_profile.html", page="profile", user=user, grades=user_grades, notes=notes)
```

Рис. 2. Пример использования

CSS-оформление и визуальная структура интерфейса

CSS-файлы, расположенные в директории `static/`, обеспечивают визуальное оформление структуры сайта.

Они используются для:

- построения таблиц со списками студентов и оценок,
- оформления карточек материалов и мероприятий,
- выделения заголовков и элементов управления,
- корректного отображения форм обратной связи,
- адаптивной структуры элементов интерфейса.

CSS-оформление применено таким образом, чтобы интерфейс оставался:

- минималистичным,
- структурированным,
- функционально ориентированным,
- удобным для восприятия в учебной среде.
-

Использование JavaScript для навигационного элемента

Такой подход соответствует принципам построения интерфейсов образовательных систем, где визуальная избыточность может препятствовать восприятию информации. JavaScript применяется в проекте исключительно для управления состоянием навигационной панели.

Его функции включают:

- переключение видимости меню,
- адаптацию навигации под устройства с разным размером экрана,
- улучшение логики взаимодействия пользователя с интерфейсом.

Использование JavaScript ограничено только задачами удобства навигации и не участвует в обработке данных. Такой подход обеспечивает строгое разделение обязанностей между клиентом и сервером. Эта функциональность делает сайт удобным для работы на компьютере.

Backend-разработка и архитектура серверной части веб-приложения

Серверная часть разработанного веб-приложения выполняет ключевые функции обработки данных, управления доступом пользователей, взаимодействия с базой данных и формирования HTML-страниц для отображения во фронтенде. Backend реализован на языке Python с использованием микрофреймворка Flask, что обеспечивает модульность архитектуры, расширяемость и достаточный уровень контроля над логикой проекта. В качестве инструмента для работы с базой данных используется SQLAlchemy, позволяющая описывать структуры таблиц через модели и выполнять запросы в объектно-ориентированной форме.

Программный код backend-компонента состоит из нескольких основных блоков:

1. Инициализация приложения Flask.
2. Определение моделей данных (ORM-структур).
3. Маршруты (endpoints), отвечающие за логику интерфейса.
4. Механизмы авторизации и проверки прав доступа.
5. Процедуры загрузки файлов, формирования списков, фильтрации и добавления данных.
6. Передача данных в интерфейс с помощью `render_template`.

Архитектура реализована с использованием принципов серверной обработки запросов (server-side rendering), что обеспечивает прямое взаимодействие пользователей с сервером и высокую предсказуемость поведения системы.

В проекте определены различные модели, которые формируют структуру базы данных. Каждая модель представляет собой таблицу в БД и содержит набор атрибутов, используемых на страницах сайта. Например, модель для учебных материалов:

```
class Material(db.Model):
    __tablename__ = "materials"
    id = db.Column(db.Integer, primary_key=True)
    user_id = db.Column(db.Integer, db.ForeignKey("users.id"), nullable=False, index=True)
    title = db.Column(db.String(200), nullable=False)
    filename = db.Column(db.String(300), nullable=False)
```

Рис. 3. Модель для учебных материалов

Эта модель:

- определяет уникальный идентификатор материала;
- хранит название;
- содержит имя файла, находящегося в директории загрузок.

Аналогичным образом структурированы другие модели, например модель мероприятия:

```
class Event(db.Model):
    __tablename__ = "events"
    id = db.Column(db.Integer, primary_key=True)
    title = db.Column(db.String(200), nullable=False)
    body = db.Column(db.Text, default="")
    place = db.Column(db.String(200), default="")
```

Рис. 4. Модель для мероприятий

Таблица оценок (Grade) связывает студента и преподавателя, что иллюстрирует модель связей между объектами:

```
class Grade(db.Model):
    __tablename__ = "grades"
    id = db.Column(db.Integer, primary_key=True)
    student_id = db.Column(db.Integer, db.ForeignKey("users.id"), nullable=False, index=True)
    teacher_id = db.Column(db.Integer, db.ForeignKey("users.id"), nullable=False, index=True)
    course = db.Column(db.String(200), nullable=False)
```

Рис. 5. Модель для оценок

Таким образом, backend поддерживает полноценную структуру учебных данных: материалы, мероприятия, оценки, профили пользователей, заметки и напоминания.

Перспективы развития: внедрение системы учета посещаемости

В дальнейших этапах разработки предусмотрено расширение функциональных возможностей платформы за счёт интеграции механизма автоматизированного учета посещаемости. Данная функциональность может быть реализована в двух возможных вариантах, каждый из которых предполагает различный уровень технологической сложности и разные требования к инфраструктуре образовательной организации.

Учет посещаемости на основе пропускной системы

В первом варианте посещаемость фиксируется на основе данных пропускной системы вуза. Информация о входе студента в учебное здание или

корпус, переданная через турникеты, может автоматически попадать в базу данных и отображаться в личном кабинете пользователя.

Такой подход характеризуется следующими преимуществами:

- высокая точность фиксации факта посещения здания;
- отсутствие необходимости в дополнительных действиях со стороны студента;
- простота интеграции при наличии существующей пропускной системы.
-

Учет посещаемости с использованием технологий распознавания по изображению

Второй вариант предусматривает использование технологии, позволяющей фиксировать присутствие студента в аудитории по изображению, полученному с камеры, установленной в помещении.

В рамках будущего развития предполагается исследование возможности интеграции таких методов на базе библиотек компьютерного зрения.

При этом подобная система требует:

- отдельной инфраструктуры камер наблюдения;
- механизмов обработки изображения на стороне сервера;
- строгого соблюдения правовых норм, локальных положений вуза и требований к защите персональных данных.

В состав планируемых функций входят:

- создание таблиц для хранения отметок посещаемости;
- разработка интерфейса отображения результатов распознавания;
- построение модулей для назначения, просмотра и экспорта посещаемости;
- интеграция данных с существующим профилем пользователя.

На уровне backend-разработки

- Реализация маршрутов для просмотра посещаемости преподавателем и студентом.
- Разработка фильтров по дате, дисциплине, преподавателю и группе.
- Создание функции экспорта посещаемости в CSV.
- Формирование заглушек-обработчиков для данных, поступающих извне.

На уровне frontend-разработки

- Создание HTML-страницы для отображения посещаемости.
- Добавление таблицы с датами, временем и статусом посещения.
- Реализация фильтров (по месяцу, по предмету, по дню).
- Добавление элементов визуального обозначения («присутствовал», «отсутствовал»).

Библиографический список

1. Документация Flask URL: <https://flask.palletsprojects.com/en/stable/> (дата обращения: 14.11.2025).

2. Ресурсы для разработчиков от разработчиков URL: <https://developer.mozilla.org/ru/> (дата обращения: 13.11.2025)

3. Документация: Компания PostgresProfessional. URL: <https://postgrespro.ru/docs> (дата обращения: 13.11.2025)

4. Мягков, Я. С. Графический дизайн как перспективное направление в профессиональном образовании и самоопределении / Я. С. Мягков, Т. Б. Лемешко // Профессиональное самоопределение молодежи инновационного региона: проблемы и перспективы: Сборник статей по материалам Всероссийской (национальной) научно-практической конференции, Красноярск, 14–25 ноября 2022 года. Том Часть 1. – Красноярск-Челябинск-Нижний Новгород-Москва: Красноярский государственный аграрный университет, 2023. – С. 262-264

5. Основы HTML: изучаем основной язык веб-разработки. URL: <https://cyberleninka.ru/article/n/osnovy-html-izuchaem-osnovnoy-yazyk-veb-razrabotki?ysclid=mi0fo41vqo979997930> (дата обращения: 13.11.2025)

© Исламов Э.Р., Мухтасарова И.Р., Брагин А.Е., 2025

Е.М. КОНОНОВА, Н.А. КОНОНОВ, М.А. КОНОНОВ

knnv.em@gmail.com

Науч. руковод. – д-р техн. наук, проф. В.В. АНТОНОВ

Уфимский университет науки и технологий

ПРОЕКТИРОВАНИЕ КОМПЛЕКСНОЙ МОДЕЛИ ОЦЕНКИ КАЧЕСТВА ПОЛЬЗОВАТЕЛЬСКОГО ИНТЕРФЕЙСА С УЧЕТОМ ЕГО ВЕРОЯТНОСТНО-ДИНАМИЧЕСКИХ ХАРАКТЕРИСТИК

Аннотация: статья посвящена решению парадокса математического моделирования в проектировании сложных интерфейсов, где существующие детерминистические модели оказываются одновременно избыточными для простых систем и недостаточно точными для критически важных приложений. Анализируются ограничения классических подходов (GOMS/KLM, закон Фиттса), связанные с фиксированными параметрами и игнорированием человеческого фактора. Предлагается новая вероятностно-динамическая модель, основанная на стохастическом представлении операторов, учете контекста взаимодействия и встроенном механизме оценки ошибок. Модель позволяет получать распределение времени выполнения задач и диагностировать проблемные элементы интерфейса, что особенно актуально для разработки систем в авионике, банковской сфере и корпоративных приложениях.

Ключевые слова: человеко-компьютерное взаимодействие; математическое моделирование; вероятностная модель; оценка удобства использования; стохастическое моделирование; интерфейсы сложных систем.

Актуальность исследования обусловлена парадоксом, сложившимся в области проектирования сложных интерфейсных систем. С одной стороны, именно для таких систем математическое моделирование является не просто полезным инструментом, а необходимым условием обеспечения надежности и эффективности. Однако классические детерминистические модели, разработанные для решения принципиально другого ряда задач, имеют допущения, такие как фиксированные временные параметры и строго последовательное выполнение операторов, отсутствие учета ошибок. Данные допущения становятся источником систематической погрешности при оценке сложных, нерегламентированных сценариев взаимодействия. Это ограничение особенно ярко проявляется при анализе интерфейсов сложных программных систем, требующих от пользователя постоянной адаптации к меняющемуся контексту или принятия решений в условиях неполной информации. Складывается ситуация, при которой математическое моделирование взаимодействия пользователя с интерфейсом не находит широкого применения

в разработке систем обычной сложности из-за своей избыточности, но в то же время оказывается недостаточно точным для применения в задачах повышенной сложности, таких как авионика, интерфейсы банковских систем и крупные корпоративные приложения. Именно в этой области, где цена ошибки максимальна, а требования к обоснованности проектных решений наиболее строги, существующие детерминистические модели создают неприемлемо высокую погрешность, ограничивая их практическую ценность. Целью работы является анализ современных детерминистических моделей оценки удобства использования интерфейса программных продуктов, таких как *Goals, Operators, Methods, and Selectionrules (GOMS)* и закон Фиттса, и на его основе проектирование архитектуры и математического аппарата для нового комбинированного подхода.

Проанализируем модель *GOMS*, разработанную Кардом С.К., Мораном Т.П. и Ньюэллом А. в 1983 году. Именно она стала фундаментом в области прогнозного моделирования человеко-компьютерного взаимодействия [1]. Она основана на концепции пользователя как системы обработки информации, чья деятельность может быть формализована в виде иерархии целей. В классическом представлении позволяет предсказать, сколько времени потребуется опытному пользователю на выполнение операции. Ее базовыми компонентами являются: цели (*goals*) – задачи, которые необходимо достичь; операторы (*operators*) – элементарные действия, выполняемые для достижения цели; методы (*methods*) – последовательность операторов, описывающих процедуру достижения цели; правила выбора (*selectionrules*) – критерии выбора методов.

Практическая реализация *GOMS* может быть представлена математическим аппаратом *Keystroke-Level Model (KLM)*, функция которой представлена в формуле 1.

T – время необходимое пользователю на выполнение действия; *H* – время перемещение руки между устройствами ввода; *K* – время нажатия на клавишу; *P* – перемещение к цели; *M* – обдумывание следующего шага; *R* – ожидание ответа системы.

$$T(H, K, P, M, R) = \sum H + \sum K + \sum P + \sum M + \sum R \quad (1)$$

В классической *KLM* время перемещения руки между устройствами ввода (*H*) составляет 0.4 секунды, время нажатия на клавишу (*K*) составляет 0.2 секунды, обдумывание следующего шага (*M*) составляет 1.35 секунды. Время перемещения к цели (*P*) вычисляется по закону Фиттса [2]. Закон был сформулирован психологом Полом Фиттсом в 1954 году в ходе исследований моторной системы человека. Изначально он описывал скорость и точность быстрых двигательных актов, но в 1980-х годах закон был адаптирован для оценки производительности компьютерных интерфейсов, в первую очередь — для предсказания времени перемещения курсора мыши к цели на экране.

Математическое представление закона Фиттса – формула 2. Обозначения и расшифровка переменных: a – среднее время запуска/остановки движения руки; b –величина, зависящая от скорости движения руки; D –дистанция от точки старта до центра цели; W –ширина цели, измеренная вдоль оси движения.

$$P(a,b,D,W) = a + b \cdot \log_2\left(\frac{D}{W} + 1\right) \quad (2)$$

Для наглядной демонстрации работоспособности и внутренней логики классических моделей рассмотрим типовую задачу в пользовательском интерфейсе текстового редактора. Условия и контекст задачи:

1. Начальное состояние: Курсор мыши пользователя находится в области текстового документа, в центре экрана. Руки пользователя — на клавиатуре.

2. Целью пользователя является сохранение файла в директорию, предлагаемую системой по умолчанию, что требует минимального взаимодействия: нажать кнопку «Save» на панели инструментов и подтвердить действие в диалоговом окне, если оно появится.

Последовательность действия пользователя: ментальная подготовка, перемещение руки на мышь (смена устройства ввода), перемещение курсора к кнопке «Save», нажатие левой кнопки мыши, отклик системы, ментальная подготовка, перемещение курсора к кнопке подтверждения, нажатие левой кнопки, отклик системы.

Математическое описание действий пользователя по модели *KLM* представлено в формуле 3.

$$\begin{aligned} T(H,K,P,M,R) &= M_1 + H + P_1 + K_1 + R_1 + M_2 + P_2 + K_2 + R_2 \\ &= 1,35c. + 0,4c. + a + b_1 \cdot \log_2\left(\frac{D_1}{W_1} + 1\right) \\ &\quad + 0,2c. + 0,1c. + 1,35c. + a + b_2 \cdot \log_2\left(\frac{D_2}{W_2} + 1\right) + 0,2c. + 0,1c. \quad (3) \\ &= 3,9 c. + b_1 \cdot \log_2\left(\frac{D_1}{W_1} + 1\right) + b_2 \cdot \log_2\left(\frac{D_2}{W_2} + 1\right) = \\ &= 3,9 c. + 0,15 \cdot \log_2\left(\frac{540}{90} + 1\right) + 0,15 \cdot \log_2\left(\frac{860}{40} + 1\right) = 4,9 c. \end{aligned}$$

Полученные 4,9 секунды – это нижняя граница времени выполнения в идеализированном мире. Модель предполагает, что пользователь – эксперт, который не сомневается в выборе действий, его внимание не отвлекается, а интерфейс статичен и предсказуем, отсутствует учёт ошибок, психомоторика пользователя соответствует эталонным значениям 1980-х годов. Таким образом, эта модель показывает не сколько времени потратит реальный пользователь на выполнение вышеописанных действий, а сколько времени эта

операция займет у робота, запрограммированного на идеальное выполнение GOMS-процедуры.

Целью нашего исследования является разработка архитектуры модели, которая не просто суммирует операторы, а симулирует процесс взаимодействия с учетом его стохастической природы и динамического состояния системы и пользователя. Предлагаемая модель основана на трех фундаментальных принципах:

1. Время выполнения ментальных и моторных операторов не является константой, а описывается распределениями вероятностей.

2. Модель, учитывает «историю» взаимодействия, накопленную усталость пользователя и сложность текущей задачи.

3. В процесс моделирования встроен механизм генерации и обработки ошибок, основанный на теории обнаружения сигналов.

Математический процесс предлагаемой можно представить цепью Маркова [3], где каждое состояние соответствует определенному этапу выполнения задачи. Математический аппарат времени выполнения задачи предлагаемой модели представлен в формуле 4, где T_{mo} – время выполнения моторного действия (стохастическое), T_{me} – время выполнения ментального действия (стохастическое), T_s – время отклика системы, P_e – вероятность ошибки, T_{eh} – время, потраченное на распознавание и исправление ошибки.

$$T(T_{mo}, T_{me}, T_s, P_e, T_{eh}) = \sum T_{mo} + \sum T_{me} + \sum T_s + \sum P_e \cdot T_{eh} \quad (4)$$

Время моторных действий моделируется не константой, а усеченным нормальным распределением, математическое описание представлено в формуле 5, где μ – классическая часть, представленная модифицированным законом Фиттса, а σ^2 – дисперсия, отражающая изменчивость человеческой моторики. Классическая модель дополнена V – коэффициент видимости (от 0 до 1.0), коэффициент когнитивной нагрузки (от 1.0 до 2.0). Стохастические ментальные операторы M – базовая константа (аналог базовой константы из модели KLM), $H(i)$ – учет энтропии на шаге i , если предыдущие шаги неочевидны или привели к ошибке. D – коэффициент сложности текущего шага, рассчитываемый на основе количества целей.

$$T(Mo) = N(\mu, \sigma^2) = a + b \cdot \log_2 \left(\frac{D}{w \cdot v \cdot c} + 1 \right) + M \cdot H(i) \cdot D \quad (5)$$

Вероятность ошибки P_e представлена в формуле 6, где P – базовая вероятность ошибки для интерфейса, AUC – параметр из теории обнаружения сигналов, рассчитываемый на основе различимости интерфейса [4]. Отношение $T_{mk} M_b$, показывает, насколько текущая ментальная нагрузка превышает базовую.

$$Pe = P \cdot (1 - AUC) \cdot \left(\frac{Tm}{Mb}\right) \quad (6)$$

Таким образом, предложенная комбинированная модель не отрицает классические подходы, а развивает их, интегрируя их строгость и структурированность в новую, более адекватную сложности современных интерфейсных систем парадигму — парадигму вероятностно-динамического моделирования. Дальнейшие исследования должны быть направлены на эмпирическую валидацию модели и уточнение параметров распределений и коэффициентов для различных классов пользователей и прикладных областей.

Библиографический список

1. Stuart K. Card, Thomas P. Moran, Allen Newell The Psychology of Human-Computer Interaction. - Boca Raton: CRC Press, 2018. - 488 с.
2. Fitts, P. M. The information capacity of the human motor system in controlling the amplitude of movement // Journal of Experimental Psychology. - 1954. - №47. - С. 381–391.
3. Марков А. А. Распространение закона больших чисел на величины, зависящие друг от друга // Известия физико-математического общества при Казанском университете. - №2. - С. 135-156.
4. Богданович В.А., Вострецов А.Г. Теория устойчивого обнаружения, различения и оценивания сигналов. - 2 изд. - Москва: ФИЗМАТЛИТ, 2004. – 320 с.

© Кононова Е.М., Кононов Н.А., Кононов М.А., 2025

И.Ф. САЙФЕТДИНОВ, Р.А. ХАЙБУЛЛИН, Д.Р. ШАРАФУТДИНОВ
sajfetdinovilgiz024@gmail.com

Науч. руковод. – канд. техн. наук, доцент Л.Е. РОДИОНОВА

Уфимский университет науки и технологий

РАЗРАБОТКА ИНФОРМАЦИОННОЙ СИСТЕМЫ ДЛЯ ОПРЕДЕЛЕНИЯ СТЕПЕНИ УСВОЕНИЯ УЧЕБНОЙ ДИСЦИПЛИНЫ

Аннотация: в статье представлена разработка прототипа информационной системы для оценки степени усвоения учебных дисциплин. Система реализует алгоритм расчета прогресса на основе выполнения учебных заданий и предоставляет визуализацию результатов через личный кабинет студента. Описаны методы определения уровня освоения материала и архитектура системы.

Ключевые слова: информационная система, степень усвоения, учебная дисциплина, мониторинг успеваемости, личный кабинет, образовательные технологии.

Оценка степени усвоения учебного материала является ключевой задачей в образовательном процессе. Традиционные методы контроля, такие как зачеты и экзамены, предоставляют лишь итоговую оценку знаний, не отражая динамику освоения дисциплины в течение семестра [1]. Это ограничивает возможности для своевременной коррекции учебного процесса и не позволяет студентам объективно оценивать свой прогресс.

Современные исследования в области образовательных технологий показывают эффективность систем непрерывного мониторинга успеваемости для повышения качества обучения [2]. Однако существующие решения часто не предоставляют комплексного подхода к определению степени усвоения конкретной дисциплины.

Целью данной работы является разработка прототипа информационной системы, обеспечивающей определение степени усвоения учебной дисциплины на основе анализа выполнения всех видов учебной деятельности.

Методы определения степени усвоения

Для оценки уровня усвоения учебной дисциплины в системе реализован комплексный подход, учитывающий:

1. Выполнение лабораторных работ – отслеживание сроков сдачи и качества выполнения
2. Результаты практических заданий - оценка освоения практических навыков

3. Активность на занятиях - учет посещаемости и участия в учебном процессе

4. Промежуточный контроль - результаты контрольных точек и тестирований

Степень усвоения рассчитывается как интегральный показатель, учитывающий выполнение всех видов учебной деятельности с присвоением весовых коэффициентов в зависимости от значимости каждого элемента.

Система построена по трехзвенной архитектуре:

- Уровень представления: веб-интерфейс на HTML/CSS/JavaScript
- Уровень бизнес-логики: Python/Django фреймворк
- Уровень данных: MySQL база данных

Основные модули системы:

- Модуль учета учебных заданий
- Модуль расчета прогресса
- Модуль визуализации результатов
- Модуль формирования отчетности

Для определения степени усвоения дисциплины используется следующий алгоритм:

1. Формирование перечня всех учебных элементов дисциплины
2. Определение весовых коэффициентов для каждого элемента
3. Расчет процента выполнения по каждому элементу
4. Вычисление интегрального показателя усвоения

Система предоставляет как общий показатель усвоения дисциплины, так и детализированную аналитику по отдельным темам и разделам.

Прототип системы реализован в виде личного кабинета студента с следующими разделами (рис. 1):

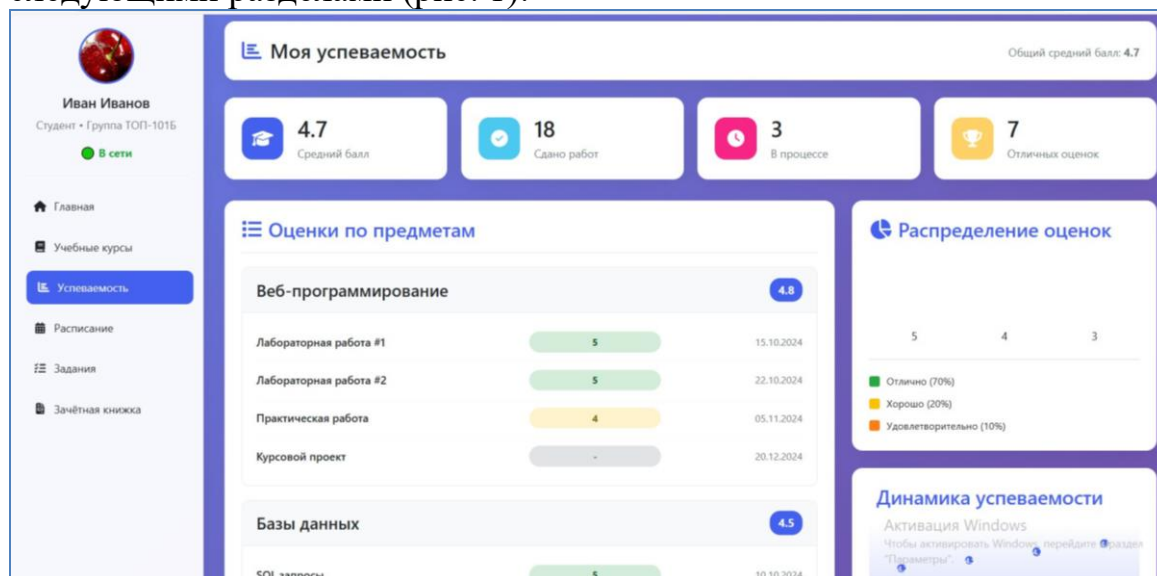


Рис. 1. Страница успеваемости с показателями усвоения дисциплин

На странице успеваемости отображается: прогресс-бар степени усвоения по каждой дисциплине, детализация по видам учебной деятельности, динамика

изменения показателей во времени, сравнительная статистика с предыдущими периодами (рис. 2).

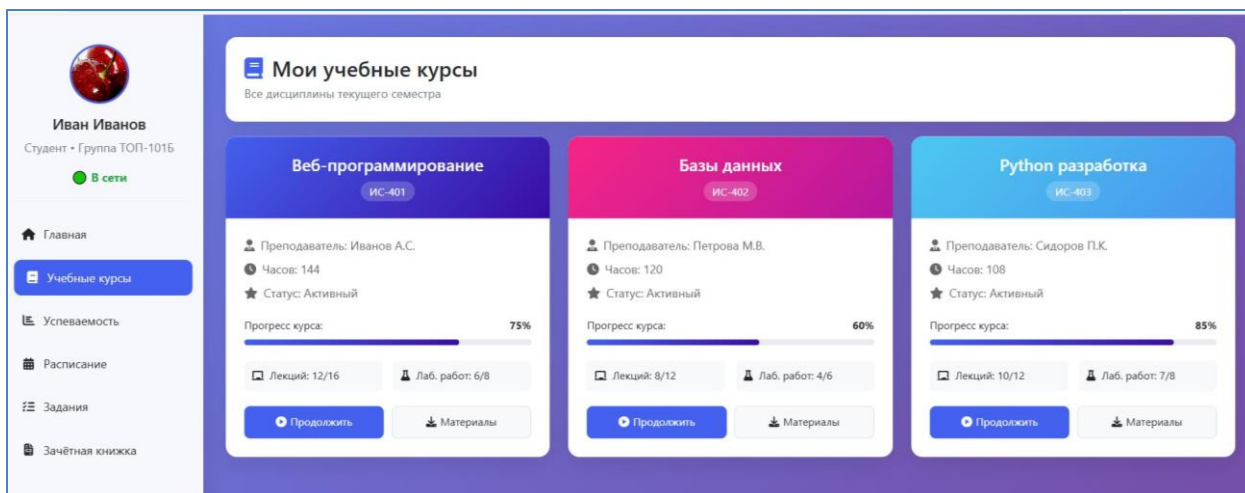


Рис. 2. Раздел с учебными курсами, где отображается степень усвоения материала

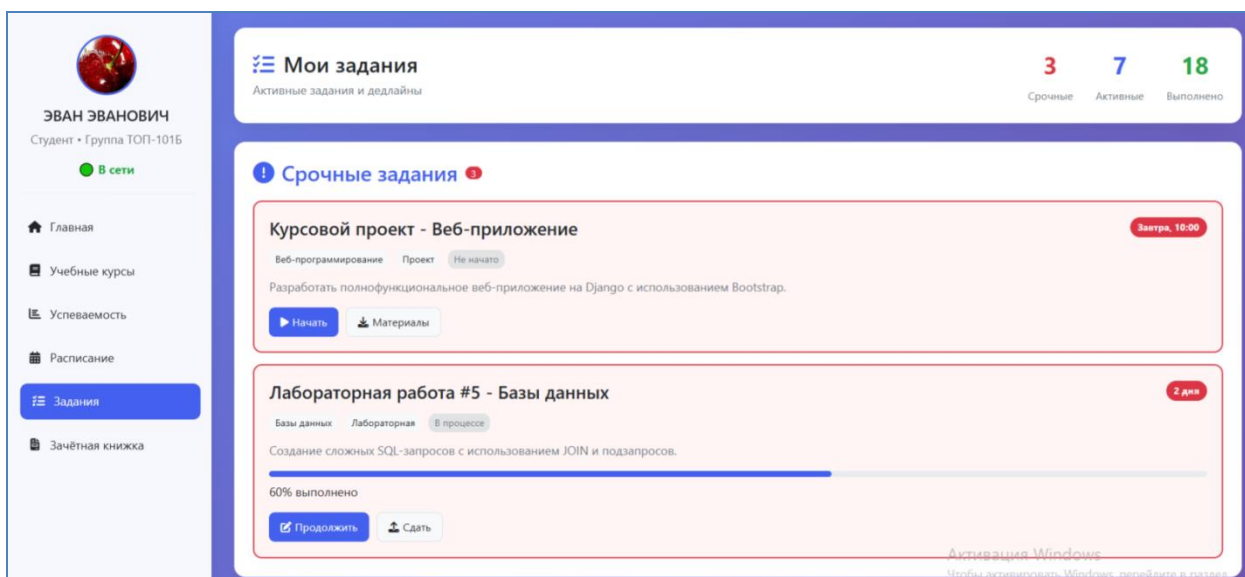


Рис. 3. Детальная аналитика по конкретной дисциплине

Раздел детальной аналитики включает: распределение оценок по темам дисциплины, индикаторы выполнения лабораторных работ, результаты практических заданий, рекомендации по улучшению показателей.

Заключение

Разработанный прототип информационной системы предоставляет эффективный инструмент для определения степени усвоения учебных дисциплин. Основные преимущества системы: комплексный учет всех видов учебной деятельности, наглядное представление результатов, возможность своевременной коррекции учебного процесса, автоматизация процессов оценки успеваемости[3].

Перспективы развития системы включают: внедрение методов машинного обучения для прогнозирования успеваемости, разработку мобильной версии системы, интеграцию с существующими образовательными платформами, расширение функционала аналитики для преподавателей.

Библиографический список

1. Советов, Б. Я. Базы данных: теория и практика: учебник для вузов / Б. Я. Советов, В. Л. Цехановский, В. Д. Чертовской. – М. : Юрайт, 2022. – 463 с.
2. Гагарина, Л. Г. Разработка и эксплуатация защищенных автоматизированных систем : учебник / Л. Г. Гагарина, Е. В. Кокорева, Е. В. Федорова. – М. : ИД ФОРУМ : ИНФРА-М, 2022. – 350 с.
3. Хорев, П. Б. Методы и технологии искусственного интеллекта : учебник / П. Б. Хорев. – М. : Юрайт, 2023. – 421 с.

© Сайфетдинов И.Ф., Хайбуллин Р.А., Шарафутдинов Д.Р., 2025

Н.В. СБИТСКИЙ, М.А. ПАВЛОВ, А.Р. ГАЗИЗОВ, А.В. КАГАРМАНОВ,
С.В.ТАШБУЛАТОВ

nikisbit@inbox.ru

Науч. руковод. – канд. техн. наук, доцент В.А. СУВОРОВА

Уфимский университет науки и технологий

ПОДСИСТЕМА УЧЕТА РЕЗУЛЬТАТОВ ОЦЕНКИ КОРПОРАТИВНЫХ КОМПЕТЕНЦИЙ СОТРУДНИКОВ

Аннотация: статья посвящена проектированию и разработке экспертной подсистемы для оценки профессиональных компетенций сотрудников. Ключевой особенностью разработанной подсистемы является реализация функционала по сбору, обработке и хранению данных о персональных достижениях сотрудников компании. Реализация данного процесса обеспечивает специалистам отдела управления персоналом и руководителям подразделений возможность повышения эффективности использования трудовых ресурсов.

Ключевые слова: обработка информации; оценка компетенций; автоматизированная система; база данных.

Введение

Оценка профессиональных способностей и компетенций работников является ключевым элементом для любой компании, стремящейся к улучшению своей производительности. Однако этот процесс часто требует значительных временных и трудовых ресурсов. В стремлении повысить эффективность оценки профессиональных качеств и компетенций сотрудников, в настоящее время все чаще применяются автоматизированные средства. Исследовательская компания IDC отмечает, что наиболее популярными методами проверки знаний сотрудников являются тестирование и типовые тестовые задания. Исследование показало, что применяемые методы неэффективны и нерациональны, так как не способны точно оценить реальный уровень профессиональных навыков и компетенций работников.

В связи с этим актуальной становится разработка подсистемы, где основой для оценки компетенций выступают личные достижения сотрудника. Такие достижения фиксируются в системе в виде завершенных проектов, внедренных инициатив, показателей эффективности и иных конкретных результатов. Накопленные данные позволяют проводить прозрачную и объективную оценку компетенций, а также формировать индивидуальные планы развития и мотивации.

Целью работы является рассмотрение структуры и функционала подсистемы учета результатов оценки компетенций на основе личных

достижений. Задачи включают анализ необходимых данных, построение модели хранения и обработки информации, а также демонстрацию практического применения системы.

Материалы исследования

Для реализации подсистемы учитываются следующие типы данных о сотрудниках:

- сведения о завершенных проектах, включая сроки, результаты и роль сотрудника;
- профессиональные достижения, такие как публикации, сертификаты, участие в конференциях;
- индивидуальные инициативы, предложенные и реализованные в компании.

В процессе исследования выявлены основные функциональные требования к системе:

T1. Реализовать пользовательскую часть со стороны сотрудника с возможностью загружать личные достижения;

T2. Реализовать пользовательскую часть со стороны администратора с возможностями:

T2.1. Добавлять новых пользователей;

T2.2. Удалять пользователей;

T2.3. Просматривать личные достижения пользователей;

T2.4 Составлять рейтинги и отчеты по пользователям на основе оценки их личных достижений

В качестве системы для работы с базами данных остановились на MySQL. Это реляционная СУБД, которая функционирует по архитектуре "клиент-сервер" и позволяет взаимодействовать с данными с помощью SQL. Для организованного хранения и работы с информацией была спроектирована модель базы данных (рис. 1). Ниже представлено описание основных сущностей (табл. 1-2)

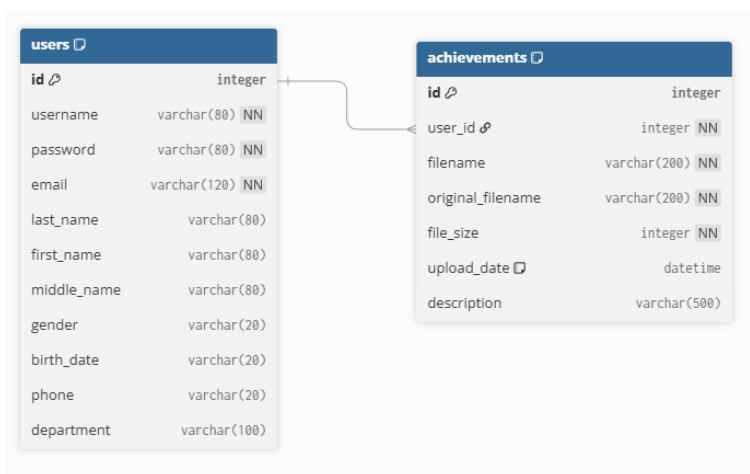


Рис. 1. Модель базы данных

Описание элементов сущности Users

| Поле | Описание | Тип данных |
|----------|------------------------------|--------------|
| id | Уникальный идентификатор | int |
| username | Уникальный логин | varchar(80) |
| password | пароль | varchar(80) |
| email | Уникальная электронная почта | varchar(120) |

Описание элементов сущности Achievements

| Поле | Описание | Тип данных |
|-------------|--------------------------|--------------|
| id | Уникальный идентификатор | int |
| user id | Ссылка на пользователя | int |
| filename | Имя файла на сервере | varchar(200) |
| description | Описание достижения | varchar(500) |

Пользователи подсистемы оценки компетенций сотрудников:

Администратор – просматривает профили, достижения и отчеты сотрудников.

Пользователь – загружает и удаляет личные достижения, добавляет описание, редактирует профиль.

Для моделирования подсистемы используется подход МРА (мультистраничное приложение), что позволяет создавать отдельные страницы для регистрации достижений, просмотра рейтингов и формирования отчетов. Взаимодействие с пользователем реализовано с помощью HTML и CSS. Серверная сторона построена на Python, обеспечивая обработку данных, выполнение алгоритмов подсчета компетенций и взаимодействие с базой данных.

Для отображения информации о пользователе был создан маршрут /profile (рис. 2).

```
@app.route('/profile', methods=['GET', 'POST'])
def profile():
    if 'user_id' not in session:
        return redirect(url_for('login'))

    user = User.query.get(session['user_id'])

    if request.method == 'POST':

        user.last_name = request.form.get('last_name')

        db.session.commit()
        return redirect(url_for('profile'))

    return render_template('profile.html', user=user)
```

Рис. 2. Back-end код для страницы профиля на python

Программная реализация учета результатов оценки корпоративных компетенций сотрудников

При обращении по адресу происходит проверка аутентификации пользователя. Для аутентифицированного пользователя осуществляется запрос к базе данных. С помощью SQLAlchemy выполняется получение объекта User по идентификатору. Данные объекта выводятся на странице (рис. 3).

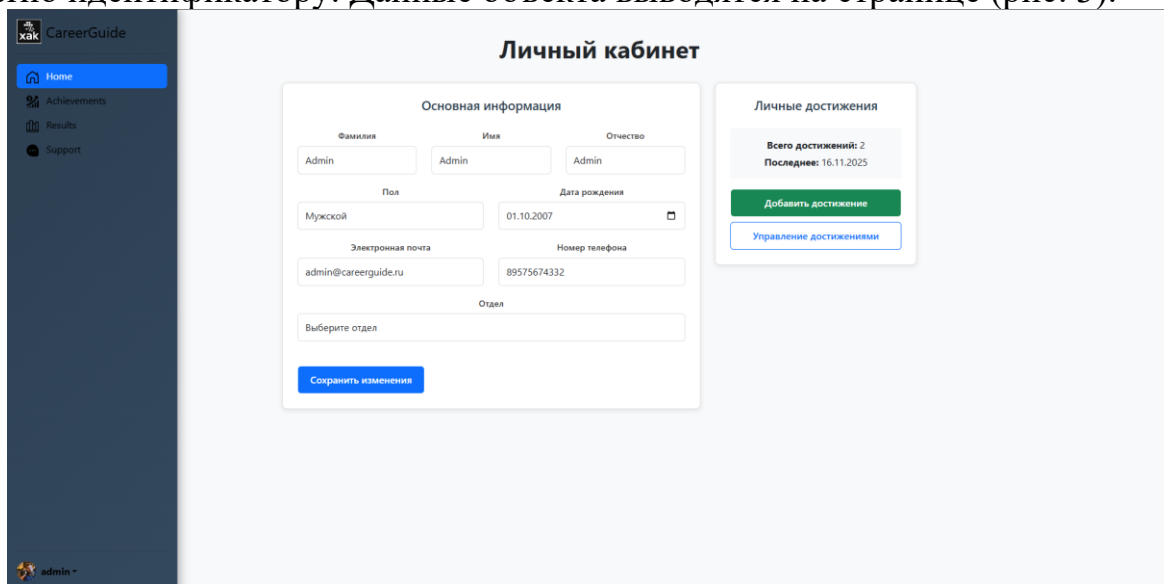


Рис. 3. Страница с информацией о пользователе

Пользователь может заполнить или обновить данные профиля. При нажатии на кнопку добавить достижение будет произведена переадресация на страницу upload achievements (рис. 4).

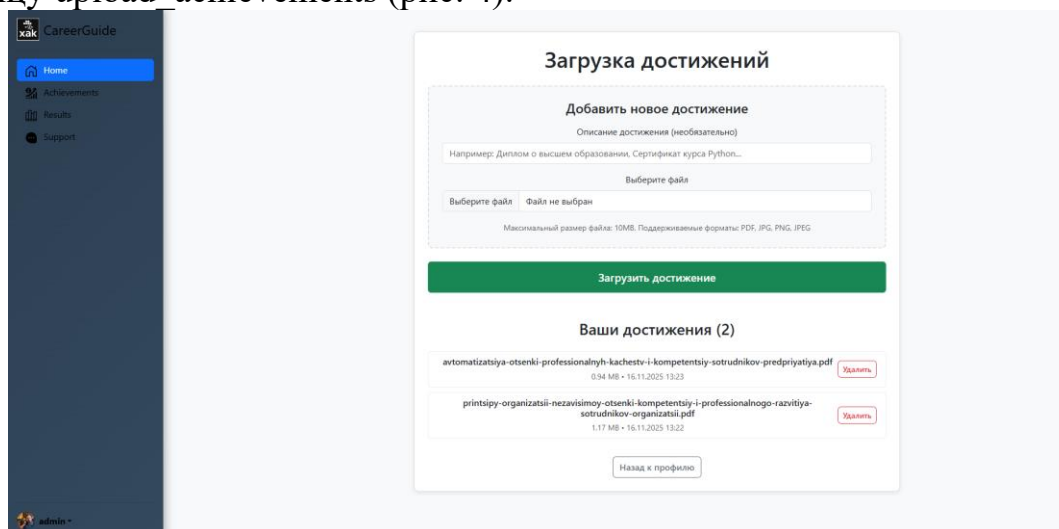


Рис. 4. Страница загрузки личных достижений

Система проверяет наличие файла в полученных данных. Если файл присутствует, то производится его обработка. Генерируется уникальное имя файла для хранения в формате: `userid_дата_время`. Файл сохраняется в

исходном расширении. Имеющиеся файлы выводятся пользователю с возможностью стереть их.

Для реализации пользовательской части со стороны администратора была создана страница chief. Система выводит список зарегистрированных пользователей. Для каждого пользователя считается количество баллов за индивидуальные достижения. Подсчет осуществляется путем проверки на ключевые слова описания, которое указал пользователь при загрузке документа с личным достижением. Итоговый результат представляет собой сумму баллов по всем достижениям. Затем администратор может отсортировать список по баллам или по отделам (рис. 6). При нажатии на кнопку просмотр профиля, открывается страница с информацией о сотруднике и возможность просмотреть загруженные им файлы (рис. 7).

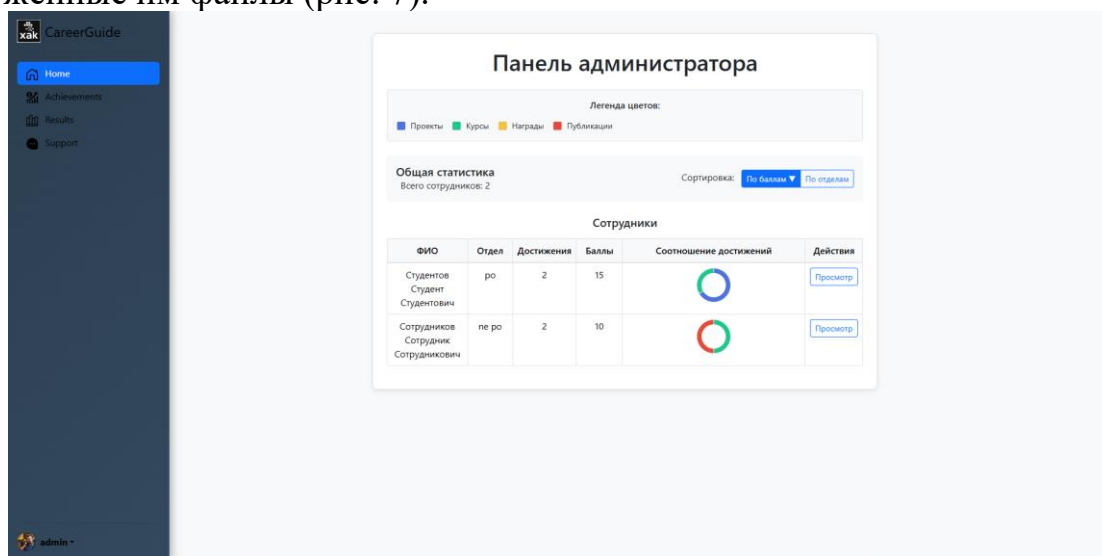


Рис. 6. Страница администратора с отображением баллов за достижения сотрудников

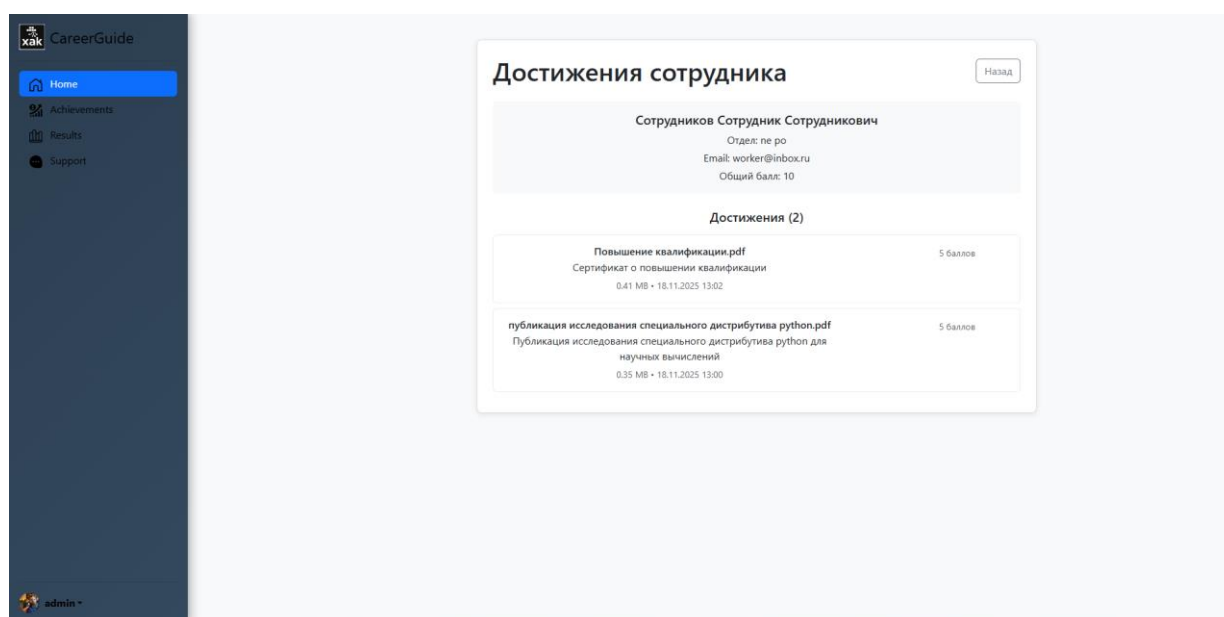


Рис. 7. Страница просмотра личных достижений сотрудников

Заключение

В ходе работы была предложена экспертная подсистема для оценки профессиональных компетенций сотрудников. Спроектирована система по сбору и анализу личных достижений сотрудников. Внедрены функции аналитики для административного контроля.

Библиографический список

1. Кодер, Дж. Полное руководство по SQLAlchemy. Современные ORM-технологии для Python. – М.: Лань, 2020. – 415 с.
2. Майкл, Т. Базы данных: проектирование, реализация и сопровождение. Теория и практика. – М.: Вильямс, 2020. – 448 с.
3. Гринберг, М. Веб-разработка на Python и Flask. Практическое руководство. – М.: ДМК Пресс, 2021. – 298 с.
5. Лучано, Р. Flask в действии. Разработка веб-приложений на Python. – М.: Диалектика, 2021. – 336 с.
6. Пайк, Э. Разработка веб-приложений с использованием Flask и REST API. – СПб.: Питер, 2022. – 304 с.

© Сбитский Н.В., Павлов М.А., Газизов А.Р.,
Кагарманов А.В., Ташбулатов С.В., 2025

УДК 004.72

А.А. СУЛЕЙМАНОВ

suleimanovv73@icloud.com

Науч. руковод. – канд. экон. наук, доц. Н.К. ГАДЖИЕВ

Дагестанский государственный университет

СИСТЕМА УПРАВЛЕНИЯ СЕТЬЮ ЗАРЯДНЫХ СТАНЦИЙ ЭЛЕКТРОМОБИЛЕЙ С ЭЛЕМЕНТАМИ ТЕХНОЛОГИИ V2G (VEHICLETOGRID)

Аннотация: в статье описана система управления сетью зарядных станций электромобилей, построенная на микросервисной архитектуре с использованием Node.js, gRPC и протокола OCPP. Рассмотрены возможности современных версий OCPP для реализации интеллектуальной и двунаправленной зарядки. Показано, как переход на OCPP 2.1 и интеграция с технологией V2G повышают эффективность, надёжность и гибкость энергосетей.

Ключевые слова: CSMS, OCPP, V2G, Vehicle-to-Grid, WebSocket, gRPC, Protobuf, Node.js, зарядная инфраструктура, smartcharging, EMS, распределённые энергоресурсы, HTTP/2, двунаправленная зарядка, энергосеть.

Введение

Рост электромобильности и расширение инфраструктуры зарядных станций требуют эффективного управления энергоресурсами. К 2024 г. во всём мире насчитывается более 5 миллионов публичных зарядных точек. Это обуславливает необходимость интеллектуальных CSMS (Charge Station Management System) – систем управления зарядными станциями, обеспечивающих централизованный сбор данных, аутентификацию и оптимизацию зарядки. Ключевой стандарт для обмена информацией между зарядными станциями и центральными системами – протокол OCPP (Open Charge Point Protocol). OCPP определяет единый язык коммуникации «станция – сервер», стандартизируя такие функции, как мониторинг статуса зарядки, авторизация пользователя и биллинг. По сути, это «де-факто» стандарт для двунаправленной передачи данных в экосистеме зарядной инфраструктуры.

В ранних версиях (OCPP 1.6) упор делался на одностороннюю зарядку с JSON-сообщениями по WebSocket/HTTP. Современные реализации (OCPP 2.x) расширяют функциональность: поддержка интеллектуальной зарядки, интеграция со стандартом ISO 15118 (Plug&Charge) и двунаправленная передача энергии (V2G). Это позволяет электромобилю не только заряжаться, но и отдавать энергию обратно в сеть, что в пиковые нагрузки снижает напряжение в сети и повышает использование ВИЭ. Исследования показывают, что такие V2G-системы могут усилить устойчивость сети, выступая «мобильными аккумуляторами»: при избытке генерации EV аккумулируют энергию, а при спросе — отдают её обратно, улучшая гибкость энергосистемы.

Архитектура CSMS и протокол OCPP

CSMS (Central Management System) представляет собой серверную платформу, объединяющую множество зарядных станций. Его задача – поддерживать стандартизованный обмен сообщениями с зарядными точками. В OCPP есть набор сообщений (BootNotification, StatusNotification, StartTransaction/StopTransaction и др.), которые станция посылает на сервер, а сервер отвечает командами. OCPP 1.6 использует JSON по WebSocket и поддерживает базовый набор команд. В то время как OCPP 2.1 (релиз 2025) работает поверх HTTP/2 и Protobuf, вводит стриминг сообщений, расширенные методы smartcharging и нативную поддержку ISO 15118-20 для V2G.

К примеру, в OCPP 2.1 появились функциональные блоки для двунаправленной зарядки и интеграции с распределёнными энергоресурсами. Это означает, что CSMS теперь может управлять режимом bidirectionalflow: отправлять командами «разрядки» (chargingMode=Discharge), получать актуальные MeterValues о токах как при зарядке, так и при отдаче, и действовать в режиме реального времени через стриминг сообщений. OCPP обеспечивает типобезопасный код и проверку по proto-описаниям, что облегчает разработку серверной логики на Node.js и обеспечивает совместимость в распределённой системе.

Основные компоненты CSMS (микросервисы)

В нашей системе CSMS реализована микросервисная архитектура. Важнейшие сервисы системы:

1. Сервис авторизации – проверяет JWT-токены для веб-интерфейса и API-ключи для мобильного приложения, управляет правами доступа пользователей.

2. OCPP-Core (станционный сервис) – обрабатывает все сообщения по протоколу OCPP от зарядных станций, реализует бизнес-логику сессий (старт/стоп зарядки, отчёты по зарядке).

3. Сервис уведомлений – отправляет клиентам push-уведомления и системные оповещения (например, об окончании сессии или возникновении ошибки).

4. API мобильного приложения и админ-панели – предоставляет REST/gRPC-интерфейсы для мобильных и веб-клиентов, через которые пользователи запускают зарядку, просматривают историю, управляют станциями.

Все микросервисы связаны через gRPC: они обмениваются данными высокопроизводительно и с надёжной сериализацией. Если сервисы развернуты на одном сервере, взаимодействие идёт по loopback для минимальной задержки. Внешний входной трафик принимает Nginx (порт 80/443) и маршрутизирует запросы к нужным сервисам. По сути, Nginx выступает API-шлюзом, через который веб-интерфейсы и мобильные клиенты попадают в CSMS (на Nginx настроены SSL/TLS для безопасности).

Технологический стек системы включает: Node.js (ES6) с библиотекой ws для WebSocket-соединений, PostgreSQL для хранения метрик (счетчиков зарядок и прочих агрегированных данных), MongoDB для прочих справочников/логов и Redis для кеширования сессий и ускорения частых операций. Такая структура позволила разделить данные по назначению: реляционные данные быстрых транзакций – в Postgres, масштабируемые документы – в MongoDB, а Redis используется для временных данных (например, состояние активной сессии, токены и т.п.) и Pub/Sub нотификаций.

В выборе архитектуры мы руководствовались принципами масштабируемости и надёжности. Использование микросервисов даёт разделение ответственности: каждый сервис выполняет чётко свою функцию и может развиваться независимо. Как показал опыт крупных проектов (например, Virta EV), выделение коммуникационного сервиса (ChargersHub) значительно упростило масштабирование и добавление поддержки новых протоколов. Node.js и его event-driven модель прекрасно подходят для высококонкурентных задач на WebSocket-соединениях: он может обрабатывать тысячи одновременных подключений, сохраняя низкую задержку. Например, WebSocket обеспечивает постоянное двунаправленное соединение, что уменьшает накладные расходы при обмене данными. Важно отметить: в OCPP уже заложен механизм heartbeat/MeterValues с частотой 10–30 секунд, и благодаря асинхронной модели Node.js мы легко справляемся с большим потоком сообщений от сотен станций одновременно.

Реализация протокола OCPP 1.6 на Node.js

Для связи зарядной станции и CSMS мы реализовали клиент-серверную часть OCPP 1.6 поверх WebSocket. Станция (агент) устанавливает WS-соединение с нашим сервисом OCPP-Core и обменивается сообщениями в формате JSON. На стороне сервера мы обрабатываем основные сообщения OCPP 1.6: BootNotification, StatusNotification, MeterValues, StartTransaction/StopTransaction и т.д. Например, при подключении станции обрабатываем BootNotification и в ответ отправляем параметры полиинтервала heartbeat. Во время сессии зарядки клиент периодически посылает MeterValues с энергопотреблением, которые мы записываем в базу для

биллинга. Все эти обмены происходят по правилам OCPP: каждый запрос генерирует ответ (правда, необязательно мгновенно), что обеспечивает надёжность.

Важным элементом стало использование WebSocket как коммуникационного уровня. Это рекомендуемая практика для OCPP: постоянное соединение позволяет быстро слать команды RemoteStartTransaction или RemoteStopTransaction на станцию в случае необходимости. Как отмечает SiddharthSabron, внедрение WebSocket «для двунаправленной коммуникации в реальном времени между зарядными устройствами и сервером OCPP» критично для производительности системы. Мы использовали проверенную библиотеку ws в Node.js, она надёжно поддерживает OCPP-протокол и подписывается на нужные сообщения.

Для авторизации подключения станции применяли сертификаты или токены (привязывая WebSocket к идентификатору станции), а трафик шифровали SSL/TLS. Стоит отметить, что OCPP 2.x опционально поддерживает mutual TLS для особо строгой аутентификации, но для версии 1.6 достаточно было базовых средств аутентификации. Все сообщения дополнительно валидировались схемами OCPP JSON, чтобы избежать некорректных команд. При разработке нам помогли open-source реализации OCPP для Node.js. Они генерируют строготиповые обработчики для запросов/ответов, что сокращает число ошибок.

Переход от монолита к микросервисам

Первоначально прототип CSMS был реализован как единый монолитный Node.js-сервер. Это было быстрее для старта, но быстро выявило ограничения: рост числа функций усложнял код, каждое изменение могло затрагивать весь блок. На этапе переписывания в микросервисы пришлось заново связать все модули: аутентификацию, логику OCPP, API фронтенда и т.д. Самым сложным было сохранить целостность данных и пересобрать интеграцию между сервисами. При этом выгода оказалась очевидной: благодаря разделению нагрузка распределяется между сервисами, и узких мест (например, блокирующих парсеров) стало меньше.

Наш опыт перекликается с практикой Virta, где при миграции сотен тысяч зарядных точек в ChargersHub был выбран подход микросервисов на Node.js/TypeScript. Там каждая поддерживаемая зарядка или протокол запускались в отдельном сервисе, а центральный сервис-менеджер (Manager) отвечал за маршрутизацию и кэширование событий. Такой подход обеспечил горизонтальную масштабируемость: при увеличении количества станций можно просто поднять больше экземпляров нужных сервисов. Мы аналогично настроили автоскейлинг через Kubernetes (или DockerSwarm) и балансировку по WebSocket соединениям через Nginx.

Помимо производительности, микросервисы дают гибкость разработки: сервисы ОСРР, авторизации, мобильных API могут разрабатываться разными командами. При необходимости можно было «нагрузочно» тестировать ОСРР-Core отдельно, без затрагивания фронтенда. С другой стороны, микросервисная архитектура потребовала продумать обмен сообщениями внутри системы. Мы использовали gRPC с Protobuf-схемами для межсервисного общения – аналогично тому, как в ОСРР 2.1 определяются сервисы через .proto. Как и в Virta, это даёт типобезопасный API между сервисами и исключает рассинхронизацию структур данных.

Интеграция V2G через ОСРР 2.1

Хотя в текущем регионе V2G пока не востребован, мы планируем перспективно интегрировать двунаправленную зарядку. Для этого потребуется перейти на ОСРР 2.1, который нативно поддерживает V2G-функциональность. Это означает, что EV сможет отдавать энергию обратно в сеть по упрощённой схеме «зарядная станция – CSMS – EV».

Для практической реализации интеграции V2G нужны следующие шаги:

1. Обновление ПО станций: зарядные станции должны поддерживать ОСРР 2.1 и ISO 15118-20 (Plug&Charge, V2G). Обычно это означает прошивку зарядной станции и обновление её сертификатов (PKI).

2. Переход на gRPC/Protobuf: ОСРР 2.1 использует бинарный формат сообщений Protobuf по HTTP/2. Мы описываем нужные сервисы и сообщения в .proto-файлах. При генерации кода для Node.js (через grpc-tools) получаем классические JS-методы, которые будут отправлять команды станциям. По сути, меняется транспортная часть – вместо JSON по ws мы используем HTTP/2 сокет и потоковые RPC.

3. Реализация двухстороннего обмена: в CSMS настраиваем обработку расширенных сообщений ОСРР 2.1.

4. Интеграция с EMS и учётом режима: поскольку V2G затрагивает работу сети, CSMS должен взаимодействовать с системой управления энергией (EMS). В 2.1 предусмотрены блоки для обмена с DER/EMS, что даст возможность учитывать текущие параметры сети (например, ограничения от ДСО) при планировании отдачи. В нашей архитектуре можно реализовать отдельный сервис под V2G-стратегию, который анализирует показатели сети и отдаёт команды ОСРР 2.1.

Ключевое преимущество ОСРР 2.1 – встроенная поддержка двунаправленного потока. В результате CSMS сможет рассматривать EV как источник гибкости сети (V2G), участвуя в балансировке нагрузки. Например, по данным NREL, подключённые EV уже рассматривают как распределённую память: при избыточном поступлении возобновляемой энергии EV заряжаются, а когда возникает дефицит – отдают энергию в локальную сеть. Интеграция V2G требует также учитывать вопросы износа батареи. Однако современные исследования показывают, что при грамотном управлении разрядом (например,

поддержании средних SoC) участие в V2G может продлить срок службы батарей, а не сократить его.

Внедрение V2G-функций занимает значительное время (требуется смена оборудования и согласование с сетевыми операторами), но технически переход сводится к разработке новых обработчиков сообщений в CSMS и проверке их в пилотной зоне. С учётом российского законодательства и сетевых кодов потребуется настроить системы предельных значений по температуре, мощности и т.п. (например, автоматическая пауза V2G при температурах ниже -20°C), но общий алгоритм интеграции опирается на стандарты OCPP 2.1 и ISO 15118.

Выводы

Реализация CSMS на микросервисной архитектуре с использованием Node.js и протокола OCPP показала себя надёжной и масштабируемой. Стандарт OCPP 1.6 позволил быстро запустить обмен данными с зарядными станциями и обеспечить стандартный функционал. Мы выделили отдельные сервисы (авторизации, OCPP-логики, API и т.д.), что упрощает поддержку и масштабирование. Применение WebSocket для обмена по OCPP даёт низкую задержку и эффективный обмен состоянием между CSMS и зарядками.

Перспективно для двунаправленной зарядки стоит миграция на OCPP 2.1. Этот новый релиз добавляет нативную поддержку V2G и ISO 15118-20. В долгосрочной перспективе это позволит интегрировать электромобили в балансировку энергосети как мобильные аккумуляторы. Даже если на текущем этапе V2G не актуален в регионе, планирование такой интеграции обосновано: по оценкам, включение даже небольшой доли двунаправленных зарядок существенно повышает гибкость сети.

Таким образом, при выборе архитектуры CSMS мы рекомендуем: для обеспечения базового функционала и простой интеграции (включая сторонние API) достаточно OCPP 1.6, а для продвинутых сценариев (smartcharging, V2G) – OCPP 2.1. Практика показала, что комбинированный подход («1.6 для внешнего API, 2.1 внутри») может дать лучший компромисс. Наконец, стоит отметить, что опыт внедрения OCPP в CSMS хорошо документирован: крупные компании и исследования демонстрируют эффективность микросервисов, использования Redis для сессий и Kafka для событий, что мы и применили в нашем решении.

Библиографический список

1. Протоколы OCPP (OCPP 1.6, OCPP 2.0.1 и OCPP 2.1) [Электронный ресурс] // Tridens Technology. — Режим доступа: <https://tridens technology.com/ru/протокол-ocpp/>
2. Концепция Vehicle-to-Grid. Почему электромобили становятся аккумуляторами сети [Электронный ресурс] // Хабр. — Режим доступа: <https://habr.com/ru/articles/703426/>.
3. V2G/V2H: преобразование энергетических экосистем [Электронный ресурс] // Teison, дата неизвестна. — Режим доступа:

https://ru.teison.com/news/industry_news/v2g_v2h_technology_transforming_energy_ecosystems.html.

4. ПРОСТО.ЭНЕРГИЯ. Что такое ОСРР? Архитектура сети ЭЭС [Электронный ресурс] // PROSTO.ENERGY, 26 января 2024. — Режим доступа: <https://prosto.energy/blogs/news/что-такое-осрр-архитектура-сети-эес>.

5. Изучение двунаправленной зарядки: за этим будущее? [Электронный ресурс] // EVCOME . — Режим доступа: <https://www.evcomecharger.com/ru/a-news-exploring-bidirectional-charging-is-it-the-future>.

© Сулейманов А.А., 2025

Д.Д. ЯМАЛИ

den.yamali@yandex.ru

Науч. руковод. – канд. техн. наук, доцент Л.Е. РОДИОНОВА

Уфимский университет науки и технологий

СТРУКТУРА ПРОГРАММЫ ДЛЯ АВТОМАТИЗАЦИИ ИМПОРТА 3D МОДЕЛИ

Аннотация: в данной статье рассмотрены этапы создания трёхмерного мультфильма. Особое внимание в данной статье уделяется проблемам, возникающим при добавлении объектов в сцену на этапе сборки трёхмерной локации. Также в данной статье рассмотрен способ устранения проблемы и реализация программного модуля для автоматизации импорта объектов и референсов с возможностью настройки namespace.

Ключевые слова: компьютерная графика, трёхмерная графика, сборка локации, референс, импорт, скрипт, программный модуль.

Производство компьютерной графики – зачастую кропотливый и ресурсозатратный процесс. На производство полнометражного мультфильма продолжительностью полтора часа в среднем уходит более трёх лет – это обусловлено временем, затраченным на следующие этапы [1, 2]:

- Рисование концептов объектов и персонажей;
- Создание трёхмерной формы объектов;
- Рисование текстур;
- Настройка материалов для желаемого взаимодействия света с поверхностями;
- Сборка локаций: создание окружения путём расстановки объектов в сцене;
- Анимация, в том числе с технологией захвата движения (motioncapture);
- Спецэффекты: симуляция волос, шерсти, воды, огня, взрывов и подобного;
- Расстановка и настройка освещения;
- Рендер: получение изображений в результате компьютерных вычислений;
- Композитинг: постобработка, корректировка после рендера;
- Монтаж: склейка отдельных шотов* в цельный видеоряд.

*Шот – это непрерывно снятая последовательность кадров.

Для проектирования красивого окружения обычно используется множество отдельных объектов [3], однако создание этих объектов внутри самой сцены локации – неэффективно, поскольку это сильно увеличивает объём файла, а также делает проблематичным использование объектов повторно, например, в других сценах или проектах. Чтобы избежать лишней работы, каждый объект, будь то стул или дерево, создаётся в отдельном файле – такой подход позволяет добавлять одни и те же объекты в разные сцены, не тратя время на их повторное моделирование и текстурирование.

Детально проработанная сцена с большим массивом импортированных объектов может занимать от нескольких до сотен гигабайт на диске. С такими тяжёлыми сценами проблематично работать – они медленно открываются, с запозданием реагируют на действия художника, долго сохраняются, а также могут вовсе вызвать зависание программы, что часто означает впустую потраченные часы и повторение уже проделанной работы. Чтобы устранить лишнее дублирование информации, были придуманы «референсы» (reference) – ссылки на файлы с объектами [4].

Ключевые отличия импорта и референсов [5]:

Импорт создаёт отдельную независимую копию объекта, занимающую столько же места на диске, сколько и оригинал, что увеличивает занимаемое место кратно количеству объектов [6]. Преимущество такого подхода в том, что сцена не зависит от внешних файлов. Если открыть сцену на другом устройстве, она будет иметь тот же вид.

Референсы же ссылаются на файлы с объектами, поэтому они почти не занимают места [7, 8]. В сцене могут находиться тысячи референсов, но её файл при этом будет весить мало. Также преимуществом референсов является то, что при внесении изменений в исходный файл объекта, все сцены, которые на него ссылаются, автоматически обновят этот объект, и его не придётся заменять вручную.

В определённой ситуации подойдёт свой вариант: где-то более уместен обычный импорт, а где-то – референсы. В данной статье эти функции будут рассмотрены на примере программы «Autodesk Maya».

В Maya существует такое понятие как namespace – атрибут, осуществляющий уникальную идентификацию объектов [9]. Программа не позволяет иметь в сцене два объекта с одинаковым «именем», однако не редкость, когда в разных файлах имеются объекты, названные одинаково, например файлы с автомобилями могут иметь колеса с именем «wheel_fl» (от англ. frontleft – переднее левое колесо). Как раз в таких случаях namespace очень выручает: при его использовании, перед каждым объектом добавляется префикс с именем файла, откуда был загружен объект, что решает проблему уникальных имён. Если продолжать на примере колёс, то после импорта в одну сцену они могли бы иметь имена: «sport_car:wheel_fl» и «truck:wheel_fl», где «sport_car» и «truck» – имена файлов с машинами.

В течение всего времени производства нередко приходится обращаться к файлам, созданным несколько месяцев назад – поэтому важно соблюдать порядок в структуре проекта, такой подход позволит быстро ориентироваться в его ресурсах.

Однако встроенный функционал Maya имеет свои ограничения, такие как отсутствие поиска: приходится вручную указывать путь к нужному файлу и выставлять настройки, что делает импорт и добавление референсов времязатратным и изнурительным.

Также встроенный функционал Maya требует указывать в настройках импорта, создавать namespace или нет (рис. 1). Namespace нужен не всегда,

поэтому для каждого отдельного случая нужно переходить в настройки и ставить соответствующую «галочку».

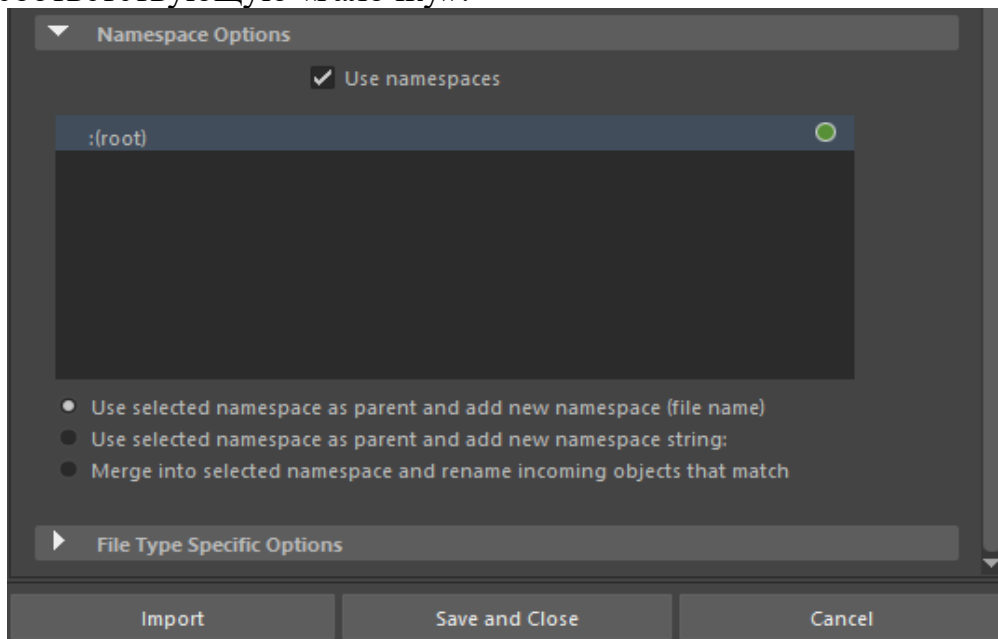


Рис. 1. Настройки встроенного импорта AutodeskMaya

В данной статье рассматривается программный модуль (скрипт) для Maya, который упрощает и ускоряет работу с файлами [10]. Он предоставляет следующий функционал:

- Поиск файлов по имени по всей файловой структуре проекта (рис. 2);
- Предпросмотр содержимого файлов, дополнительная информация (рис. 3);
- Импорт, добавление референса с namespace и без него (рис. 4);
- Возможность открыть директорию файла во встроенном проводнике (рис. 4);

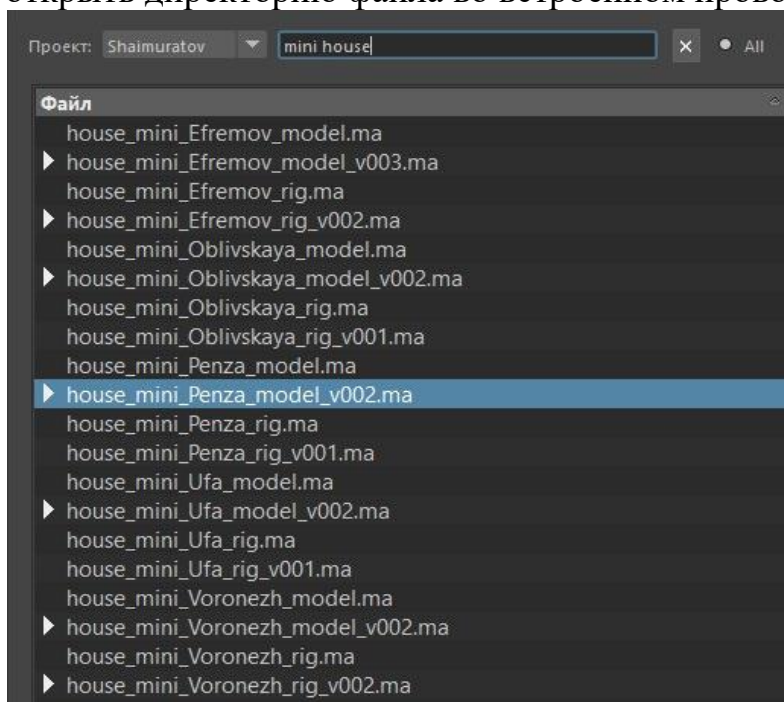


Рис. 2. Поиск по имени через программный модуль

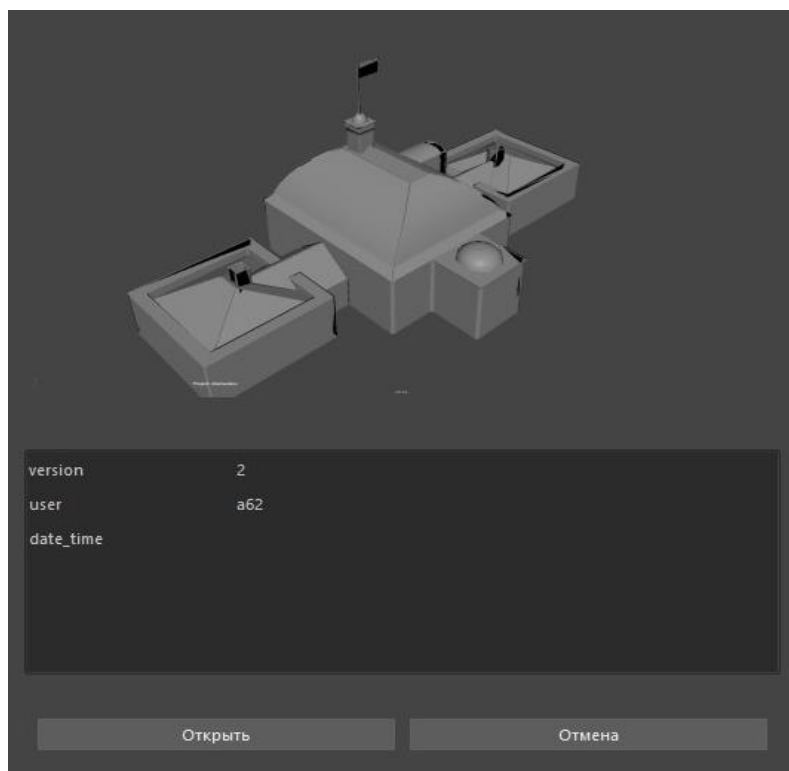


Рис. 3. Предпросмотр в программном модуле

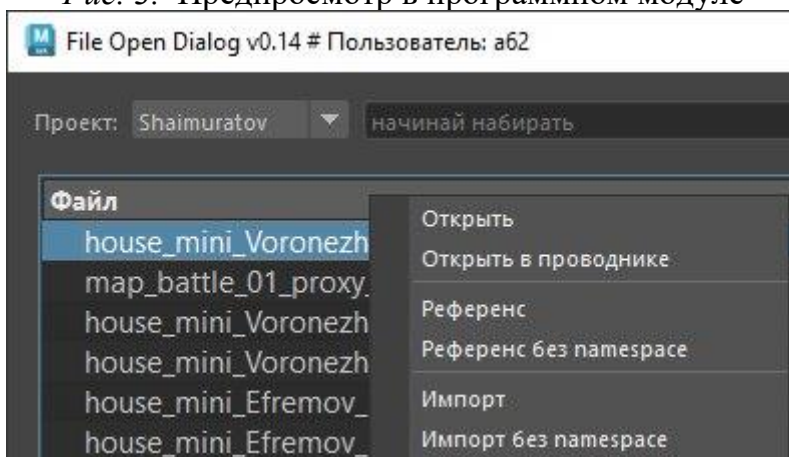


Рис. 4. Контекстное меню в программном модуле

Предлагаемый программный модуль значительно ускоряет и упрощает работу над проектами, исключая недостатки встроенного функционала Maya. Он позволяет находить файлы по названию, что даёт возможность поиска без знания точного имени и директории, а также упрощает добавление объектов в сцену – будь то импорт или добавление референсов с namespace или без.

Библиографический список

1. Пайплайн 3D моделирования // skypro URL: <https://sky.pro/wiki/digital-art/pajplajn-3d-modelirovaniya/> (дата обращения: 26.09.2025). (электронный ресурс).

2. Что такое CGI // Яндекс Практикум URL:
<https://practicum.yandex.ru/blog/chto-takoe-cgi-grafika/> (дата обращения:
26.09.2025). (электронный ресурс).

3. Разработка детализированных 3d сцен и ландшафтов // Arptask URL:
<https://arptask.ru/blog/razrabotka-detalizirovannyx-3d-scen-i-landsaftov> (дата
обращения: 26.09.2025). (электронный ресурс).

4. Руководство Maya // Autodesk URL:
<https://help.autodesk.com/view/MAYAUL> (дата обращения: 26.09.2025).
(электронный ресурс).

5. MayaReferencing // howtoURL: <https://howto.im/q/how-to-use-mayas-referencing-feature-effectively> (дата обращения: 26.09.2025). (электронный ресурс).

6. MayaImportOptions // help.autodeskURL:
<https://help.autodesk.com/view/MAYAUL/2023/ENU/?guid=GUID-37B31221-7BBC-40DA-AB33-47C333EF4E14> (дата обращения: 26.09.2025). (электронный ресурс).

7. BuildingComplexMayaScenes // toxigonURL: <https://toxigon.com/how-to-build-a-scene-in-maya-through-refereining> (дата обращения: 26.09.2025).
(электронный ресурс).

8. Getting the most out of File Referencing in Maya // 3dfiggins URL:
<https://3dfiggins.com/writeups/mayaReference/> (дата обращения: 26.09.2025).
(электронный ресурс).

9. Maya Namespace and Prefix // help.autodesk URL:
<https://help.autodesk.com/view/MAYAUL/2023/ENU/?guid=GUID-37B31221-7BBC-40DA-AB33-47C333EF4E14> (дата обращения: 26.09.2025).
(электронный ресурс).

10. Creating Complex Qt UIs for Maya // dilenshah URL:
<https://www.dilenshah.com/post/creating-complex-qt-uis-for-maya-and-houdini>
(дата обращения: 26.09.2025). (электронный ресурс).

© Ямали Д.Д., 2024

А.Л. ГОСПОДАРЕВА, К.Ю. ТРАЙГО

haspadarovag@gmail.com

Науч. руковод. – ст. преподаватель Н.В. ВОЮШ

Белорусский национальный технический университет

АВТОМАТИЗИРОВАННАЯ СИСТЕМА КОНТРОЛЯ САНИТАРНЫХ НОРМ В ОФИСНЫХ ПОМЕЩЕНИЯХ НА БАЗЕ ИНТЕРНЕТА ВЕЩЕЙ

Аннотация: в статье рассматриваются подходы к обеспечению санитарных норм в офисных помещениях с использованием технологий автоматизации и интернета вещей (IoT). Описаны методы контроля микроклимата в офисных помещениях – температуры, влажности и качества воздуха.

Ключевые слова: офисное помещение, автоматизация, санитарные нормы, мониторинг воздуха, температура, влажность, система контроля, интернет вещей (IoT).

Современный офис – коллективное пространство, в котором ежедневно находится большое количество людей. Чистота и гигиена в офисном пространстве напрямую влияют на здоровье и работоспособность сотрудников, а также микроклимат внутри компании. Соблюдение санитарных норм – обязательное требование для каждого офиса и регламентируется законодательством. Показателями, характеризующими микроклимат в офисах, являются: температура, свежесть, чистота, влажность и скорость движения воздуха. При соблюдении санитарных норм, минимизируется риск развития заболеваний и утомления, повышается эффективность работы и имидж компании.

Для достижения необходимого результата сотрудники обязаны поддерживать оптимальную температуру воздуха в офисе, держать свое рабочее место в чистоте и порядке, регулярно проветривать помещение, а также в офисе должны быть в свободном доступе гигиенические средства, например, бумажные полотенца, антисептики и мыло.

Гигиеническим нормативом «Микроклиматические показатели безопасности и безвредности на рабочих местах» устанавливаются оптимальные и допустимые значения показателей безопасности и безвредности микроклимата на рабочих местах в офисных помещениях. [1].

При выполнении работ, требующих особой ответственности за итоговый результат деятельности, должны соблюдаться оптимальные значения показателей микроклимата. Оптимальные величины параметров микроклимата на рабочих местах представлены в таблице 1. [1].

Оптимальные величины параметров микроклимата на рабочих местах
офисных помещений

| Период года | Категория работ по уровню энергозатрат, Вт | Температура воздуха, °С | Температура поверхностей, °С | Относительная влажность воздуха, % | Скорость движения воздуха, не более, м/с |
|-------------|--|-------------------------|------------------------------|------------------------------------|--|
| Холодный | Ia (до 139) | 22-24 | 21-25 | 60-40 | 0,1 |
| | Iб (140-174) | 21-23 | 20-24 | 60-40 | 0,1 |
| | IIa (175-232) | 19-21 | 18-22 | 60-40 | 0,2 |
| | IIб (233-290) | 17-19 | 16-20 | 60-40 | 0,2 |
| | III (более 290) | 16-18 | 15-19 | 60-40 | 0,3 |
| Теплый | Ia (до 139) | 23-25 | 22-26 | 60-40 | 0,1 |
| | Iб (140-174) | 22-24 | 21-25 | 60-40 | 0,1 |
| | IIa (175-232) | 20-22 | 19-23 | 60-40 | 0,2 |
| | IIб (233-290) | 19-21 | 18-22 | 60-40 | 0,2 |
| | III (более 290) | 18-20 | 17-21 | 60-40 | 0,3 |

Традиционный ручной контроль микроклимата с периодическими проверками не обеспечивает непрерывное отслеживание показателей окружающей среды. Это приводит несвоевременному реагированию на отклонения от санитарных норм, что плохо сказывается на здоровье сотрудников.

Решением данной проблемы является внедрение автоматизированной системы мониторинга. Она дает нам возможность постоянного контроля параметров микроклимата в реальном времени. Это значительно упрощает соблюдение установленных норм. Система позволяет вовремя выявлять и корректировать нарушения, что снижает риск возникновения заболеваний

В последние годы большую популярность приобретает система «Умный офис». Эта система управления оснащена интеллектуальными устройствами, которые автоматизируют и оптимизируют процессы. С помощью «умного офиса» можно настроить комфортные для себя условия, после чего эффективность труда станет значительно выше, а также упростит контроль санитарных норм в помещении.

Установка системы «Умный офис» возможна двумя способами: проводным и беспроводным. В первом случае способом передачи сигнала являются провода, во втором – радиоволны. Установка системы проводным путем имеет ряд преимуществ и недостатков. К недостаткам такой системы можно отнести прокладку кабелей в стенах и коробах, а увеличение их количества в системе усложняет сам процесс установки системы. Сложность заключается в том, что возникает необходимость дополнительного штробления

стен, что уже не целесообразно в построенном офисе. Поэтому проводная система всегда привязана к одному месту, и изменить ее расположение без модернизации системы будет невозможно.

Организовать связь устройств без использования проводов можно при помощи технологии интернета вещей. Интернет вещей – это сеть устройств, подключенных к интернету, которые взаимодействуют друг с другом и с другими системами. Это могут быть датчики и сенсоры, умные кондиционеры, пульта управления пространством и т.д. Главным преимуществом Интернета вещей является полная автоматизация управления офисной средой. Системы на основе интернета вещей позволяют контролировать параметры окружающей среды в реальном времени, собирают и анализируют данные. Например, IoT в офисе способен следить за погодой на улице, и, если вдруг похолодало – включить отопление в помещении.

Для поддержания оптимального микроклимата в офисе внедряют комплекс датчиков, контролируемых контроллером. В свою очередь датчики отслеживают параметры среды: концентрацию углекислого газа в воздухе, уровень шума, температуру и степень освещенности. Управление климатом осуществляется с помощью системы «умного офиса», которая автоматически поддерживает и регулирует параметры температуры, влажности и т.д. Для этого задействованы кондиционеры, вентиляция, системы отопления. Собранные датчиками данные передаются на контрольные панели, которые визуализируют текущие показатели и дают возможность выбирать режим работы климатических систем.

Создание системы контроля санитарных норм начинается с анализа помещения: оценивается площадь, количество рабочих мест, расположение окон и источников тепла. Также важно определить цели и задачи автоматизации. Затем разрабатывается программа для мониторинга, а также выбор оборудования: датчики, системы управления и т.д. После проектирования архитектуры системы осуществляется разработка программного обеспечения и тестирование.

Интеграция с облачными хранилищами открывают возможности для долгосрочного мониторинга и глубокого анализа данных. Это позволяет оптимизировать работу климатических систем для достижения максимальной эффективности.

Контроль над соблюдением санитарных норм в офисе – важнейший фактор, определяющий здоровье и продуктивность сотрудников, а также общий комфорт рабочего пространства. Внедрение автоматизации в контроль санитарных норм – инвестиция не только в здоровье сотрудников, но и в успех компании в целом.

Библиографический список

1. Гигиенический норматив «Требования к микроклимату производственных помещений» [Электронный ресурс]. – Режим

доступа: http://www.soligorskge.by/index.php?option=com_content&view=article&id=3193%3A2012-11-01-12-21-36&Itemid=292. – Дата доступа: 01.11.2025.

2. Разница между проводным и беспроводным умным домом [Электронный ресурс]. – Режим доступа: <https://feron.by/company/articles/169436/>. – Дата доступа: 05.11.2025.

3. Контроль санитарных норм в офисе: правила и эффективные меры [Электронный ресурс]. – Режим доступа: <https://ahoahr.ru/kontrol-sanitarnyh-norm-v-ofise-pravila-i-effektivnye-meru/>. – Дата доступа: 08.11.2025.

© Господарева А.Л., Трайго К.Ю., 2025

СЕКЦИЯ 5.2. МАТЕМАТИЧЕСКОЕ И ПРОГРАММНОЕ ОБЕСПЕЧЕНИЕ

УДК 004.421

И.А. Агапов, Н.А. Антропов

mailivanagarov@gmail.com, nikittaantropov@yandex.ru

Науч. руковод. – д.т.н., профессор Н.М. ШЕРЫХАЛИНА

Уфимский университет науки и технологий

АЛГОРИТМ БЕЛЛМАНА-ФОРДА И ЕГО РЕАЛИЗАЦИЯ НА ЯЗЫКЕ ПРОГРАММИРОВАНИЯ C++

Аннотация: в статье рассмотрена задача поиска кратчайшего пути в графе и её решение с помощью алгоритма Беллмана-Форда. Показано, как можно реализовать алгоритм на языке программирования C++. Рассмотрены потенциальные сферы использования алгоритма Беллмана-Форда в разработке программного обеспечения.

Ключевые слова: алгоритм Беллмана-Форда, кратчайший путь, взвешенный граф, отрицательные веса рёбер, релаксация, цикл отрицательного веса, C++.

Введение

Алгоритм Беллмана-Форда — алгоритм для поиска кратчайших путей от одной исходной вершины до всех остальных вершин во взвешенном графе. Его главное преимущество перед другими, к примеру перед алгоритмом Беллмана-Форда это возможность обрабатывать графы с рёбрами отрицательного веса. Главный минус – сложность $O(V \cdot E)$, где V – количество вершин в графе, E – количество ребер в графе, что делает его менее эффективным для больших графов. Так же он имеет широкий спектр применений таких как:

- **Финансовый анализ** — поиск арбитражных возможностей на валютном рынке, где вершины графа представляют собой валюты, а рёбра — обменные курсы данных, отрицательный вес ребра может соответствовать комиссии за обмен валют.

- **Оптимизация маршрутов с учётом скидок и штрафов** — в задачах логистики и доставки отрицательный вес может представлять скидку на транспортировку между определёнными пунктами.

- **Анализ сетевых протоколов** — поиск кратчайших путей в сетях с переменной пропускной способностью, где отрицательный вес может представлять увеличение пропускной способности.

Алгоритм форда-белмана можно описать и выполнить в 2 основных шага. Инициализация: инициализируем расстояние от выбранной вершины до всех

остальных как бесконечное. До самой себя – равно 0. Вычисляем самое короткое расстояние $[v-1]$ раз следующим образом: производим релаксацию, то есть если расстояние v больше суммы расстояния u и ребра uv то меняем расстояние v на данную сумму.

Так же с помощью данного алгоритма возможно узнать имеет ли в графе цикл отрицательного веса. Рассмотрим 2 пункт выполнения данного алгоритма. Если мы сделаем V -тую релаксацию, и она будет меньше $v-1$ то данный граф содержит цикл отрицательного веса.

Реализация на языке C++

1. Инициализация структуры графа как ребер, соединяющих две вершины и вес этого ребра.

В самой функции:

2. Инициализируется вектор и заполняется “бесконечностью”, расстояние от вершины до самой себя ставится равным 0.

3. В цикле проходит по всем ребрам если будет найден более короткий путь, то мы обновляем расстояние, а если же он будет найден на цикле `numVertices` (количество вершин), то программа выводит информацию о том, что данный граф имеет отрицательный цикл.

4. В последующем цикле выводим результаты.

В `main`:

5. Инициализируем `numVertices` (количество вершин), вектор `edges` для хранения ребер, `source` (исходная вершина)

6. Заполняем массив `edges` по структуре, описанной в 1 пункте.

Заключение

На основе алгоритма Беллмана-Форда разработана программа на языке C++ для вычисления кратчайших путей в графах. Предложенное программное решение может быть интегрировано в узкопрофильные прикладные системы.

Приложение

```
#include <iostream>
```

```
#include <vector>
```

```
#include <limits.h>
```

```
using namespace std;
```

```
struct Edge {
```

```
    int source;
```

```
    int destination;
```

```
    int weight;
```

```
};
```

```
void bellmanFord(vector<Edge>& edges, int numVertices, int source) {
```

```
    vector<int> distance(numVertices, INT_MAX);
```

```
    distance[source] = 0;
```

```
    for (int i = 1; i <= numVertices; i++) {
```

```
        for (const Edge& edge : edges) {
```

```

int u = edge.source;
int v = edge.destination;
int w = edge.weight;
if ((distance[u] != INT_MAX && distance[u] + w < distance[v]) and (i == numVertices))
{
    cout << "существует отрицательный цикл" << endl;
}

if (distance[u] != INT_MAX && distance[u] + w < distance[v]) {
    distance[v] = distance[u] + w;
}
}
}
cout << "Вершина\tРасстояние от источника" << endl;
for (int i = 0; i < numVertices; i++) {
    if (distance[i] == INT_MAX)
        cout << i << "\t\t" << "Недостижима" << endl;
    else
        cout << i << "\t\t" << distance[i] << endl;
}
}

int main() {
    int numVertices = 5;
    vector<Edge> edges;

    edges.push_back({ 0, 1, -1 });
    edges.push_back({ 0, 2, 4 });
    edges.push_back({ 1, 2, 3 });
    edges.push_back({ 1, 3, 2 });
    edges.push_back({ 1, 4, 2 });
    edges.push_back({ 3, 2, 5 });
    edges.push_back({ 3, 1, 1 });
    edges.push_back({ 4, 3, -3 });

    int source = 0;
    bellmanFord(edges, numVertices, source);

    return 0;
}

```

Библиографический список

1. Сергеева А.Е. Анализ алгоритмов кратчайшего пути: сравнительный обзор методов маршрутизации // Международный студенческий научный вестник – 2025
2. Чертков А.А. Автоматизация выбора кратчайших маршрутов судов на основе модифицированного алгоритма Беллмана-Форда // Текст научной статьи по специальности «Математика»
3. Алексеев П.А., Дубгорный Д.Д., Русских Д.С., Иванова А. П. Сравнительный анализ сложности алгоритмов Флойда, Дейкстры и Беллмана-

Форда для графов с различным количеством вершин // Электронный научный журнал «ДНЕВНИК НАУКИ» – 2025

4. Дискретная математика: учеб. пособие / [С. С. Поречный и др.]; Уфимск. гос. авиац. техн. ун-т. – Уфа: РИК УГАТУ, 2019. – 400 с.

© Агапов И.А., Антропов Н.А., 2025

Д. А. АКЧУРИНА, Е. В. ЛОМАКИНА

danarubik@yandex.ru, katya.lomakina.07@inbox.ru

Науч. руковод. – д.т.н., профессор Н.М. ШЕРЫХАЛИНА

Уфимский университет науки и технологий

ОПТИМИЗАЦИЯ ВИДЕОИГР: МЕТОДЫ, МЕТРИКИ И ПАРАДОКСЫ ПРОИЗВОДИТЕЛЬНОСТИ

Аннотация: в данной статье будет рассматриваться подробный процесс оптимизации видеоигр в качестве одного из важных аспектов современного геймдева. Разбираются ключевые принципы, методологии и метрики, используемые для достижения баланса между визуальной составляющей продукта и его производительностью. В качестве примеров для анализа рассматриваются перспективные известные видеоигры.

Ключевые слова: оптимизация, производительность, FPS, рендеринг, графический конвейер, LOD, аналитика, память.

Введение

Видеоигры в наше время являются одной из сложных форм программного обеспечения, которое включает компьютерную графику, создание 3D моделей, искусственного интеллекта. Опыт пользователей зависит от возможностей, которые игровой продукт предоставляет: стабильная и высокая производительность. Оптимизация видеоигр – это дисциплина, направленная на повышение эффективности программы с целью обеспечения плавного игрового процесса при сохранении визуального качества.

Цель данной статьи – систематизировать знания в области оптимизации видеоигр, выделив фундаментальные принципы и практические методы. Актуальностью темы являются растущие ожидания пользователей и усложнение игровых проектов, что делает проблему оптимизации одной из главных в игровой индустрии.

Главные методы для оптимизации компьютерных и видеоигр

1. Ранний сбор характеристик работы программы

Измерение производительности должно быть на самых ранних стадиях разработки. Откладывание оптимизации на финальные этапы проекта неминуемо приводит к структурным проблемам, устранение которых требует значительных временных и финансовых затрат. Профилирование (мониторинг потребления ресурсов CPU, GPU, памяти) должно быть регулярной практикой (рис. 1).

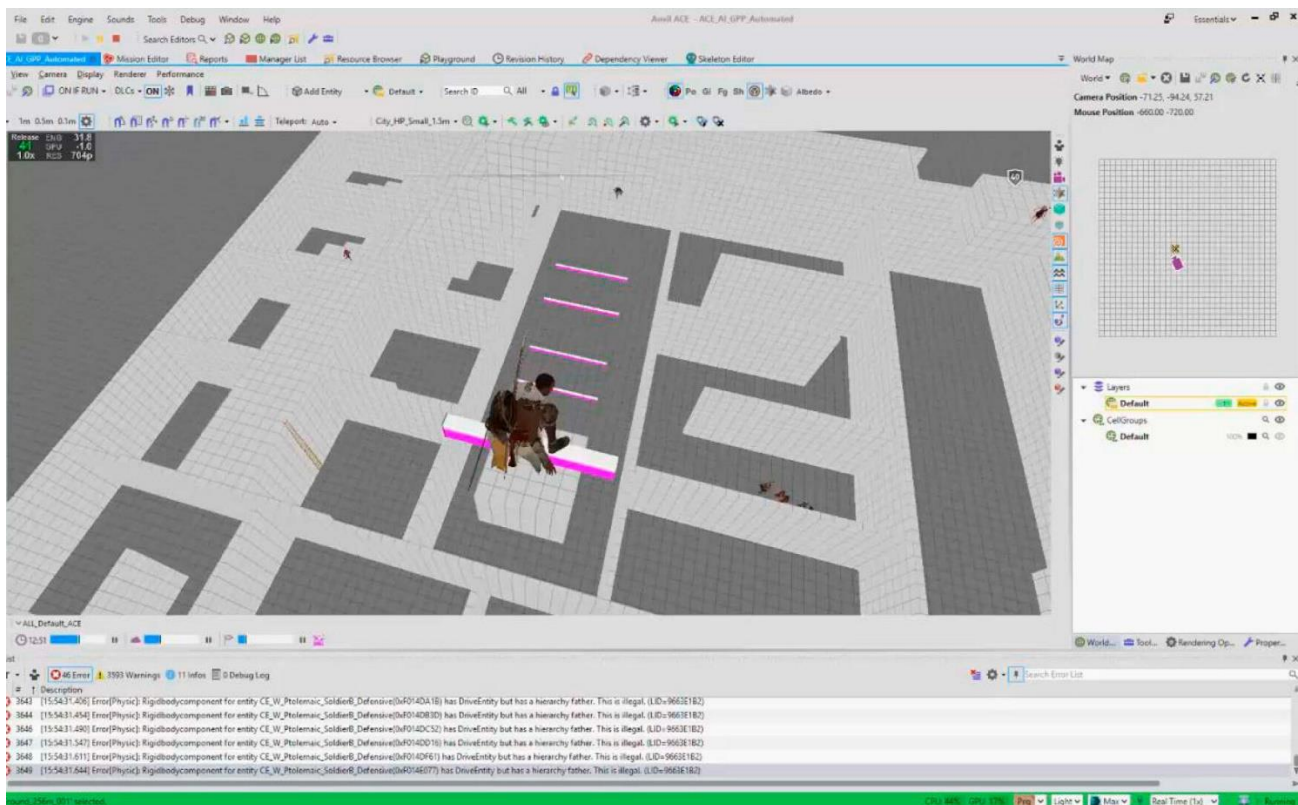


Рис. 1. Профилирование Assassin`s Creed: Origins (2017)

2. Оптимизации критического пути.

Ресурсы разработки ограничены, соответственно усилия должны быть сфокусированы на устранении мест, которые оказывают наибольшее влияние на субъективное восприятие производительности игроком. Оптимизирование кода, потребляющего 1% времени кадра, при наличии модуля, занимающего 30% не имеет смысла.

3. Целевые показатели.

Необходимо заранее определить целевые значения ключевых метрик, таких как частота кадров (FPS – Frames Per Second), время загрузки уровней и потребление оперативной памяти. Эти показатели служат объективным ориентиром на протяжении всего цикла разработки.

4. Итеративное улучшение.

Оптимизация – это процесс последовательных приближений, соответственно внедрение изменений должно происходить циклически, постепенно улучшая продукт, с обязательным замером их воздействия на производительность после каждой правки. Это позволяет избежать регрессий и оценить эффективность принятых решений.

5. Кросс - платформенное тестирование.

В современной индустрии видеоигр, где большинство коммерчески успешных проектов выпускаются одновременно или с небольшой задержкой на несколько платформ, принцип мультиплатформенности тестирования становится не просто рекомендацией, а строгим требованием. Недостаточно оптимизировать игру для одной целевой системы – необходимо оценивать производительность

на всем спектре целевых устройств: от высокопроизводительных ПК и консолей нового поколения до мобильных устройств и гибридных платформ. Это обусловлено фундаментальными архитектурными различиями, которые приводят к принципиально разному поведению одного и того же игрового кода.

Проблема оптимизации на примере портов для Nintendo Switch

При создании сиквелов и портов большая часть кода и ассетов из старых проектов мигрирует в новые, принося с собой старые недоработки, проблемную оптимизацию и неиспользуемый контент, что негативно сказывается на производительности.

Ощутимым преодолением аппаратных ограничений являются порты AAA-игр для Nintendo Switch, которая обладает всего 4 ГБ ОЗУ без выделенной видеопамяти. Анализ портов *The Witcher 3: Wild Hunt* и *Mortal Kombat 1* выявил набор типичных методов оптимизации, которые являются практическим применением рассмотренных выше методов.

Техники оптимизации графического конвейера

Level of Detail (LOD): Динамическое переключение между моделями объекта с разным уровнем полигональной детализации в зависимости от расстояния до камеры. Это позволяет значительно снизить нагрузку на GPU без визуального компромисса для игрока.

Разработчики первой *Silight Hill* столкнулись с критическим падением производительности из-за сложного для PlayStation 3D-окружения. Вместо использования статичных изображений они нашли гениальное компромиссное решение – густой туман, который технически служил средством ограничения видимой области, скрывая объекты до их подгрузки (рис. 2). Этот вынужденный оптимизационный трюк не только спас игровой процесс, но и стал фирменным визуальным стилем, усилившим атмосферу тревоги и неизвестности.



Рис. 2. Скриншот Silent Hill

Occlusion Culling: Алгоритмическое исключение из процесса рендеринга объектов, которые перекрыты другими объектами и не видны камере. Это отвергает ненужные расчеты для скрытой геометрии.

Frustum Culling: Техника, которая отсекает объекты, находящиеся за пределами видимой области (пирамиды видимости) камеры.

Batching: Группировка нескольких однотипных объектов (например, с одинаковым материалом) в один Draw Call – команду на отрисовку для GPU. Поскольку каждый вызов имеет накладные расходы, их минимизация критически важна для производительности.

Текстурные атласы: Объединение множества мелких текстур в одну большую текстуру, что сокращает количество переключений текстурных сэмплов (texture swaps) и упрощает батчинг (рис. 3).

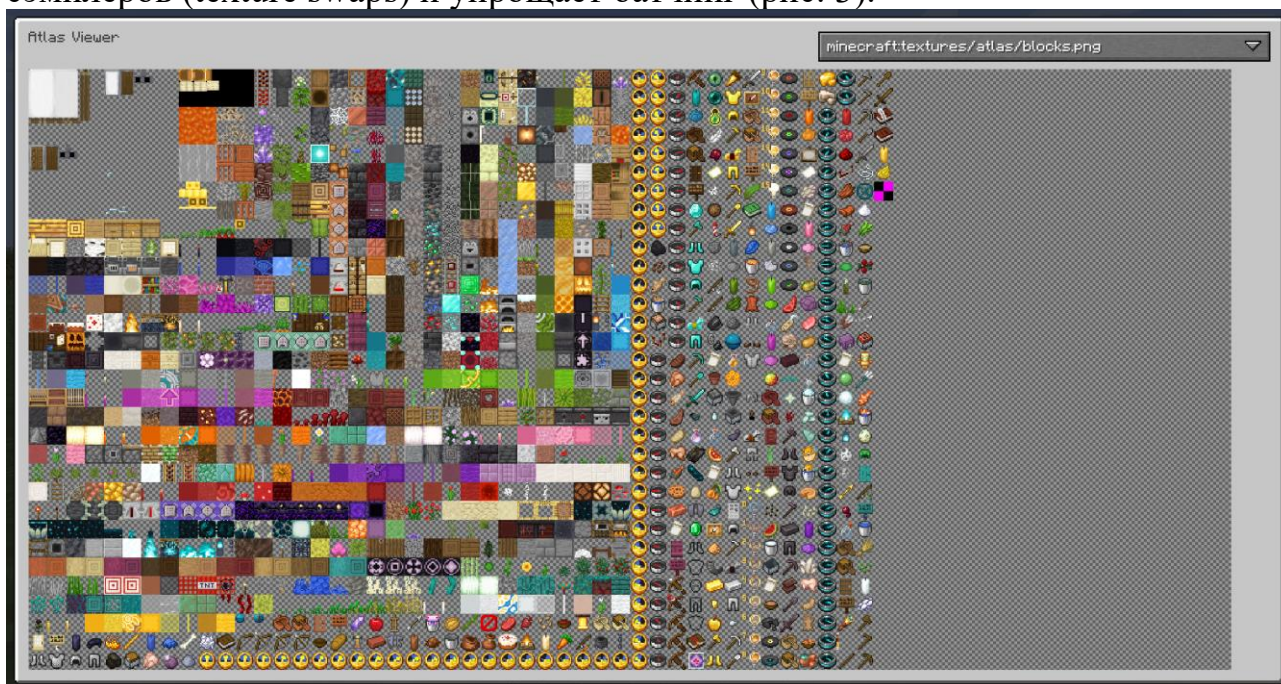


Рис. 3. Текстурный атлас Minecraft

Mipmapping: Использование предварительно сгенерированных уменьшенных копий текстур для объектов на расстоянии (рис. 3). Это не только улучшает визуальное качество (борьба с алиасингом), но и повышает производительность за счет более эффективного использования кэша текстур.

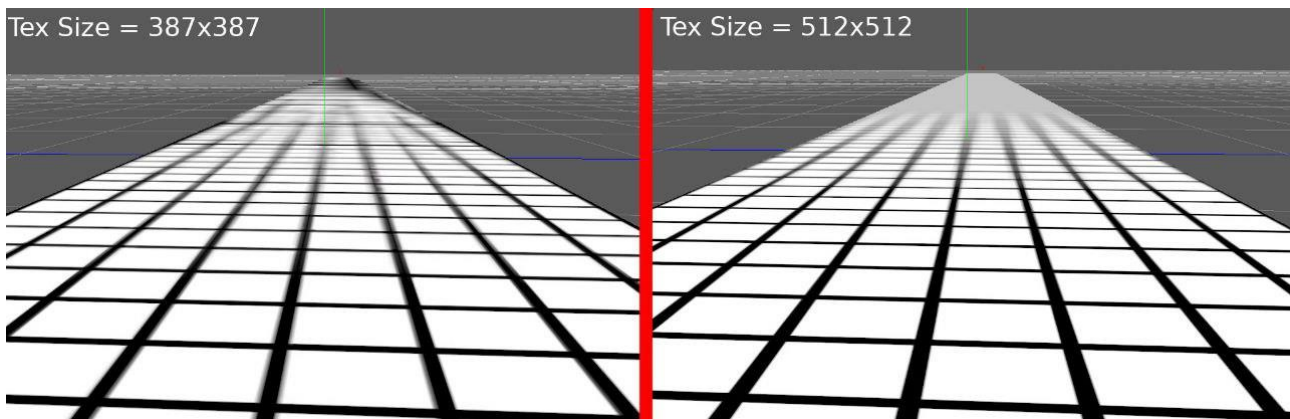


Рис. 4. Mipmapping (GitHub)

Оптимизация шейдеров: Оптимизация упрощает математические вычисления минимизирует условные операторы в шейдерах и использует более эффективные алгоритмов.

Парадоксы производительности и их причины

В наши дни рост вычислительной мощности устройства потребляется ещё более сложными игровыми мирами, продвинутыми графическими технологиями, и сложными симуляциями. Соответственно, относительный прирост производительности с точки зрения пользователя может быть неочевиден. Движки вроде Unreal Engine и Unity упрощают разработку, но могут создавать уровень абстракции, который мешает проведению глубокой, низкоуровневой оптимизации под конкретную платформу. Ресурсы "распыляются" на поддержку универсальности. Также жёсткие сроки выхода продукта на рынок могут вынуждать издателей выпускать игру в состоянии, не прошедшем полный цикл оптимизации, с последующими исправлениями в виде патчей.

Решением данной проблемы является расширенное использование многопоточности. Современные игровые движки должны быть спроектированы для эффективного распределения задач между множеством ядер CPU. В том числе, весомое влияние оказывает масштабируемость графических настроек. Предоставление пользователям детальных настроек графики, позволяющих гибко балансировать между качеством и производительностью на их конкретной системе. Нужно понимать, что без тесного сотрудничества с производителями железа, например: работа с компаниями вроде NVIDIA, AMD и Intel для оптимизации драйверов и использования специфичных технологий (DLSS, FSR) процесс улучшения будет идти туго.

Вывод

Таким образом, можно сделать вывод о том, что оптимизация видеоигр - крайне сложный, но необходимый процесс, главным условием которого является систематичность подхода на каждом из этапов разработки. Также важны такие фундаментальные принципы как итеративные улучшения на основе объективных метрик (FPS, Frame Time), фокусировка на «узких местах»,

своевременное профилирование. Решение данной проблемы лежит в расширенном использовании многопоточности, предоставлении гибких графических настроек и тесном сотрудничестве с компаниями, производящими железо. Целью является – достижение стабильного и качественного игрового опыта.

Библиографический список

1. Цыганкова А.А. О влиянии burst - трафика на среднюю задержку в системах массового обслуживания G/M/1. - 2024. - с. 79.

2. Кобяков А.А. Повышение производительности видеоигр средствами оптимизации кода и графики. - 2025. - с. 1351.

3. Воробьев, А. В. Подход к динамической визуализации разнородных геопространственных векторных изображений / А. В. Воробьев, Г. Р. Воробьева // Компьютерная оптика. – 2024. – Т. 48, № 1. – С. 123-138. – DOI 10.18287/2412-6179-СО-1279.

4. Воробьев, А. В. Индуктивный метод восстановления временных рядов геомагнитных данных / А. В. Воробьев, Г. Р. Воробьева // Труды СПИИРАН. – 2018. – № 2(57). – С. 104-133. – DOI 10.15622/sp.57.5.

5. Воробьев, А. В. Концепция единого пространства геомагнитных данных / А. В. Воробьев, Г. Р. Воробьева, Н. И. Юсупова // Труды СПИИРАН. – 2019. – Т. 18, № 2. – С. 390-415. – DOI 10.15622/sp.18.2.390-415.

6. An Approach to Diagnostics of Geomagnetically Induced Currents Based on Ground Magnetometers Data / A. Vorobev, A. Soloviev, V. Pilipenko [et al.] // Applied Sciences (Switzerland). – 2022. – Vol. 12, No. 3. – DOI 10.3390/app12031522.

7. Кривицкая Е. В., Чернякова О. С. Оптимизация игровых 3D моделей. - 2024. - с. 82.

8. Research on calculation optimization methods used in computer games development / Nataliia Fedotova, Maksim Protsenko, Iryna Baranova, Svitlana Vashchenko, Yaroslava Dehtiarenko. - 2023. - с. 37.

© Акчурина Д.А., Ломакина Е.В., 2025

Д.А. АКЧУРИНА, В.Д. САФИУЛЛИН
danarubik@yandex.ru, vitaliy.safiullin.2007@gmail.com
Науч. руковод. – д.т.н., профессор Н.М. ШЕРЫХАЛИНА

Уфимский университет науки и технологий

АНАЛИЗ ДИДАКТИЧЕСКОГО ПОТЕНЦИАЛА КОМПЬЮТЕРНЫХ И ВИДЕОИГР В ОБРАЗОВАТЕЛЬНОМ ПРОЦЕССЕ

Аннотация: в данной статье будет рассматриваться дидактический потенциал видеоигр, их роль в развитии подрастающего поколения, перспективы и сложности внедрения в образовании. Особое внимание будет уделено перспективам интеграции геймефицированных практик в современные образовательные стандарты для повышения мотивации учащихся. Кроме того, будут проанализированы успешные мировые проекты, направленные на реализацию игровых технологий в обучение.

Ключевые слова: мотивация, изучение, образование, интерес, обучение, дисциплины.

Введение

Видеоигры никогда не были инструментом получения знаний в сфере образования. Чаще всего их использование в учебном процессе порицалось обществом. Но, благо, в наши дни видеоигры в таком контексте более не воспринимаются, а применяются в качестве инструмента педагогики.

Интеграция в образовательный процесс является решением поставленной проблемы. Благодаря созданию учебных планов, подготовке преподавателей и появлению уникального качественного научного материала, можно раскрыть дидактический потенциал видеоигр.

Данные и методы

Чтобы учитель смог удержать внимание слушателя и повысить эффективность усвоения материала, ему необходимо создать среду для дискуссии между учащимися. Такой формат социализации способствует созданию благоприятной атмосферы в классе.

Механики компьютерных игр превосходно решают эту задачу. Игра помогает вырабатывать кучу дофамина. Её уникальный мир задает новые правила, а поставленные цели мотивируют игрока, что делает процесс обучения эффективным и разнообразным.

Аналитический обзор

Minecraft: Education Edition – это особая версия игры, разработанная в качестве дополнения к образовательному процессу (рис. 1). Ее создателями

являются Mojang и Xbox Game Studios. В нее были добавлены новые механики и инструменты, облегчающие обучение. Данная игра позволяет ученикам работать сообща в одном игровом мире без создания отдельного сервера, что позволяет классу коллективно реализовать проекты и решать задачи, а также работать в парах или малых группах.

Само собой ребенку интереснее изучать химию не за прослушиванием нудной лекции, где ему расскажут всю ту же самую информацию, а на практике, играючи, узнавая, где какие химические элементы встречаются в природе.

Например, исследование, которое было проведено в 2018 году, показало эффективность использования данной игры в учебном процессе при изучении материала на тему дробей.

Студенты, изучавшие материал с помощью Minecraft, были увлечены процессом и смогли лучше усвоить информацию. При сдаче тестов, они набрали куда больше баллов, чем простые учащиеся. Также полученные знания и понимание дробей они смогли использовать и в других сферах жизнедеятельности.

Сайт данного проекта включает в себя обширную библиотеку готовых учебных планов по разным предметам. Есть уроки для любого возраста. Учителя могут создавать свою программу для уроков и делиться ей на платформе. Minecraft сочетает в себе гибкость и высокую мотивирующую составляющую, позволяет выстраивать насыщенные интерактивом образовательные ландшафты, способствующие глубокому погружению в изучаемый материал. Эта игра проявляет себя как весомый ресурс, хорошо дополняющий стандартные методы обучения.



Рис. 1. Скриншот Minecraft: Education Edition (Сайт: What Is Minecraft Education?)

Компьютерная видеоигра «Смута» (рис. 2), являющаяся детищем российских разработчиков, представляет из себя потенциальное средство образования. Детальное воссоздание локаций и костюмов Смутного времени затягивает учеников в исторический мир, способствуя не только усвоению знаний, но и росту интереса к предмету. Благодаря игровому процессу, где можно влиять на отношения персонажей и даже избегать сражений путем переговоров, изучение истории становится более увлекательным процессом. Использование игры как вспомогательного средства на уроках помогает вызывать патриотические чувства у аудитории.



Рис. 2. Скриншот Смута (VK Play)

Еще одним прекрасным примером может послужить всем известная Civilization. (рис. 3). Данная игра является стратегией, демонстрирующая развитие человеческой цивилизации. Игроки изучают географию, историю технологий, дипломатию и управление ресурсами, что также можно использовать в качестве примеров в учебных материалах.



Рис. 3. Скриншот Civilization VI (2K Store)

Труднее всего ученикам даются предметы, связанные с точными науками, например, такими как физика. Portal 2 (рис. 4) является решением данной проблемы. Она учит пространственному мышлению, основам механики и решению нестандартных задач. Ее редактор уровней можно использовать в качестве примера на разные тематики для лучшего усвоения материала. Видя такой нестандартный подход к игре, Valve, создавшие этот популярный в свое время проект, сделали дополнение по программе “Steam for Schools” в 2012 году – “Portal 2 - Educational Version”. Специальная версия Portal 2 является бесплатной и состоит из одиночного режима и редактора уровней для изучения наук и проведения экспериментов.

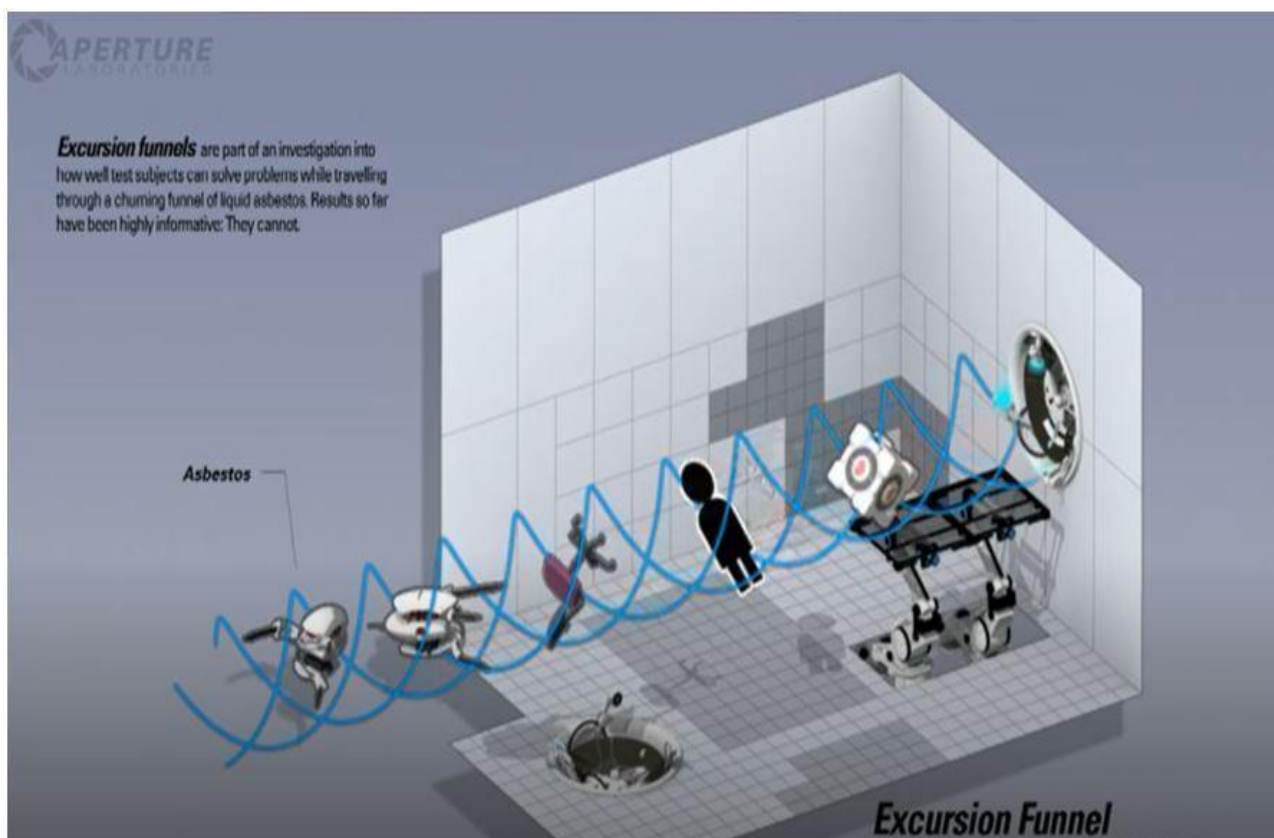


Рис. 4. Скриншот Portal 2 (Steam)

Применение компьютерной игры The Forest в рамках школьной программы служит ярким примером эффективной геймификации, способной существенно повысить учебную мотивацию учащихся. Несмотря на то, что жанр «хоррор-выживание» изначально вызывает вопросы о целесообразности её использования, игровые механики и виртуальная среда представляют значительный потенциал для изучения целого ряда учебных дисциплин – географии, биологии и т.п.

Игры уже используются в школьных программах некоторых стран. К примеру, «This War of Mine» - в учебных материалах Польши. Данная игра рассказывает о всех ужасах войны и наглядно показывает различные ситуации. Книги способны красочно описывать подобные события, кино может их неплохо показывать, но именно интерактив — когда ты ответственен за такие эпизоды — понимать происходящее по-новому.

Не все современные подростки заинтересованы в прочтении очередного произведения классической литературы. В современном мире существует большое разнообразие игровых жанров и один из них – интерактивный кинематограф. Это отличный способ рассказать человеку ту или иную историю, донести мысль и озадачить моральным выбором. Отличным примером может стать «Beyond: Two Souls», разработанная Quantic Dream. От этой же студии в качестве примера можно взять нашумевшую игру Detroit: Become Human (рис. 5). Его интерактивный сторителлинг, поднимающий сложные этические и

социальные дилеммы, делает его идеальным кандидатом для использования в школах.

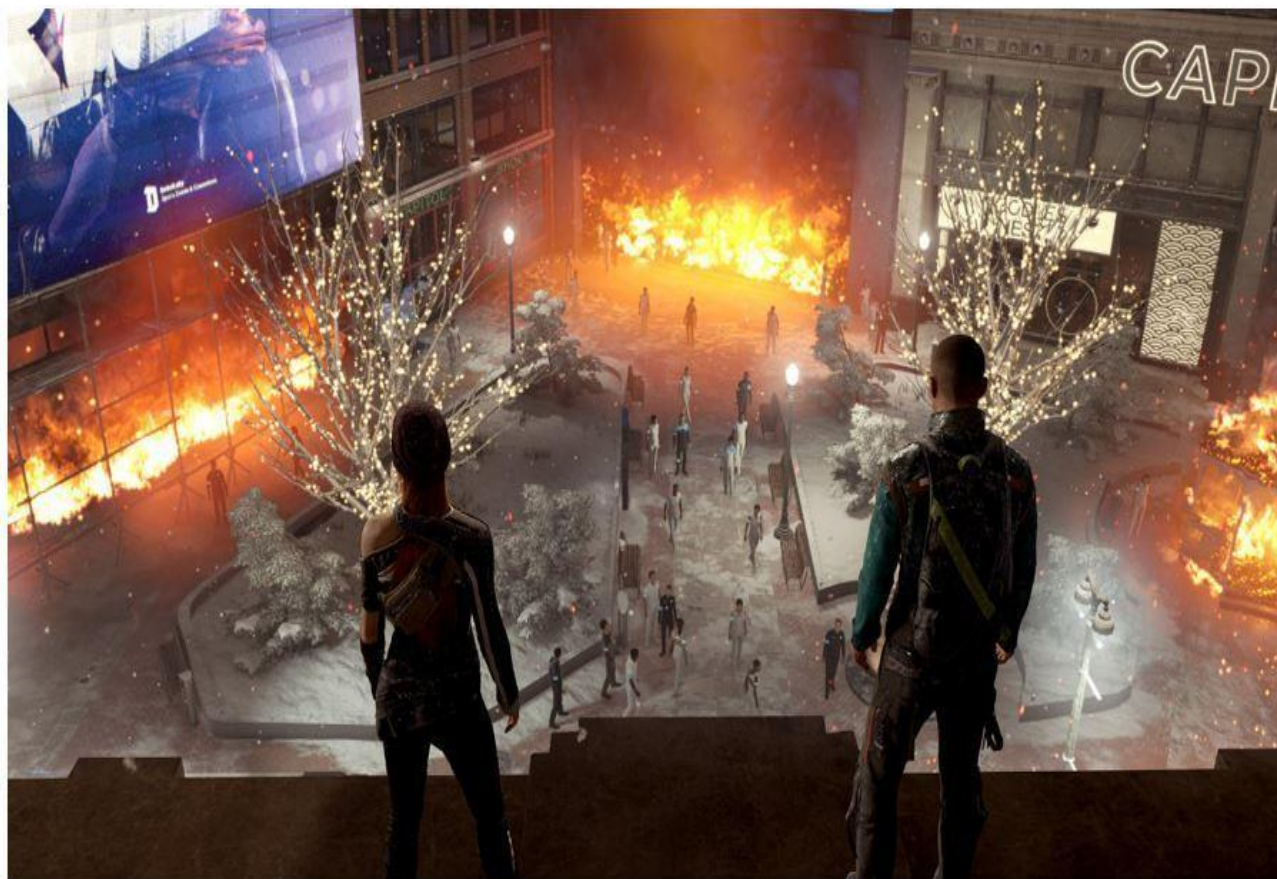


Рис. 5. Скриншот Detroit: Become Human

Некоторых на изучение иностранного языка наталкивает отсутствие перевода в видеоиграх. Особенно в последнее время эта профессия становится популярной из-за санкций. Западным изданиям не выгодно делать русский язык в играх, поэтому молодежь самостоятельно изучает языки, чтобы ознакомиться с произведением в день релиза, либо ждёт бесплатного перевода от других, более инициативных ребят. Такой подход отлично вписывается в образовательный процесс.

Анализируя представленные примеры и методы, можно выявить общую закономерность: любая из них выполняет обучающую функцию, мотивируя игрока к самообразованию.

Достаточно понаблюдать за еще «зелёным» геймером, чтобы понять, какой потенциал имеют такие видеоигры. Разветвлённое дерево прокачки с множеством параметров может показаться ему не менее сложным, чем таблица умножения. Вознаграждение за прогресс и возможность практического применения полученных знаний являются отличной мотивацией для ученика.

Обсуждение результатов

Представленные данные убедительно демонстрируют огромный дидактический потенциал видеоигр. Игры способны мотивировать, развивать «soft skills» и обеспечивать глубокое погружение в материал.

К сожалению, за рамками такого обзора остаются системные проблемы, без решения которых массовая интеграция игр в образование невозможна. Рассмотренные примеры — это либо специально созданные образовательные, либо игры с изначально заложенной дидактикой. Их эффективность доказана, но они существуют в «идеальных условиях». Статья не отвечает на вопрос, как быть с коммерческими играми, не предназначенными для обучения. Их внедрение требует от педагога титанических усилий по адаптации контента, который может быть несоответствующим возрасту, избыточно сложным или отнимать слишком много времени.

В основном результаты могут работать в сфере гуманитарных и творческих дисциплин. Но действительно сложно представить использование полноценной игры для изучения, например, интегралов или сложной, а не начальной органической химии.

Minecraft и Portal 2 с их специальными версиями и тому подобные игры охватывают весь мир, в то время как «Смута» — это уникальный продукт для отечественного рынка. В других странах могут доминировать совершенно иные игровые механики и эстетика, неприменимые в западных или российских школах без серьезной культурной адаптации.

Есть риск, что погоне за учебными целями появится опасность погубить главное достоинство игры — удовольствие. Если игра будет восприниматься учениками как просто еще одно скучное домашнее задание, обернутое в игровую оболочку, ее мотивационный потенциал будет потерян. Баланс между образовательным содержанием и увлекательным геймплеем — это искусство, которое еще только предстоит познать.

Вывод

Видеоигры нельзя назвать ужасным увлечением. Мы выяснили, что в этом занятии есть плюсы. Представленные в статье данные доказывают, что компьютерные игры являются мощным образовательным ресурсом, потенциал которого нельзя игнорировать.

Однако путь к массовому внедрению лежит через решение системных проблем: создание универсальных методик для коммерческих игр, преодоление инфраструктурных ограничений, разработку объективных критериев оценки и сохранение игровой магии в учебном процессе. Без этого видеоигры рискуют остаться лишь эффектным, но нишевым дополнением к традиционному образованию, а не его новой формой.

Библиографический список

1. Богданова, Д. А. Обучение на основе видеоигр. – 2014. – С. 176.
2. The Educational Benefits of Minecraft – С. 1-15.
3. Галимов М.Р. Галиуллин Э.Р. //Видеоигры в образовании. – 2024. – С.93-96.

4. Воробьев, А. В. Подход к динамической визуализации разнородных геопространственных векторных изображений / А. В. Воробьев, Г. Р. Воробьева // Компьютерная оптика. – 2024. – Т. 48, № 1. – С. 123-138. – DOI 10.18287/2412-6179-СО-1279.

5. Воробьев, А. В. Индуктивный метод восстановления временных рядов геомагнитных данных / А. В. Воробьев, Г. Р. Воробьева // Труды СПИИРАН. – 2018. – № 2(57). – С. 104-133. – DOI 10.15622/sp.57.5.

6. Воробьев, А. В. Концепция единого пространства геомагнитных данных / А. В. Воробьев, Г. Р. Воробьева, Н. И. Юсупова // Труды СПИИРАН. – 2019. – Т. 18, № 2. – С. 390-415. – DOI 10.15622/sp.18.2.390-415.

7. An Approach to Diagnostics of Geomagnetically Induced Currents Based on Ground Magnetometers Data / A. Vorobev, A. Soloviev, V. Pilipenko [et al.] // Applied Sciences (Switzerland). – 2022. – Vol. 12, No. 3. – DOI 10.3390/app12031522.

© Акчурина Д.А., Сафиуллин В.Д., 2025

УДК 004

Р.Р. Ахмадеев, Р.Г. Васильев

ahmadras06@mail.ru, roma.vasilev.2006@bk.ru

Науч. руковод. – д.т.н., профессор Н.М. ШЕРЫХАЛИНА

Уфимский университет науки и технологий

ХЕШ-ТАБЛИЦА И ЕЁ РЕАЛИЗАЦИЯ НА ЯЗЫКЕ ПРОГРАММИРОВАНИЯ C++

Аннотация: в данной статье рассматривается практическая реализация хеш-таблицы с применением двух различных подходов к разрешению коллизий: метода цепочек и двойного хеширования. С использованием вычислительного эксперимента представлен детальный анализ производительности каждого метода при выполнении базовых операций (вставка, поиск, удаление элементов) на трех категориях входных данных.

Ключевые слова: хеш-таблица, коллизия, хеш-функция, метод цепочек, метод двойного хеширования.

Введение

Хеш-таблица представляет собой структуру данных, которая позволяет эффективно хранить и извлекать элементы по ключу. Основное преимущество хеш-таблиц заключается в их высокой скорости работы – операции вставки, поиска и удаления в среднем выполняются за амортизированное время $O(1)$, что делает их значительно быстрее многих других структур данных, таких как деревья или списки. Это достигается благодаря использованию специальной хеш-функции, которая преобразует ключ в индекс массива, где хранится соответствующее значение.

Благодаря своей эффективности хеш-таблицы нашли широкое применение в различных областях программирования. Они используются для реализации ассоциативных массивов в стандартных библиотеках многих языков программирования, таких как `std::unordered_map` и `std::unordered_set` в C++. Также хеш-таблицы применяются в кэшировании данных, базах данных для индексации, компиляторах для хранения символов и т.д.

Однако при работе с хеш-таблицами возникает важная проблема – коллизии. Коллизия происходит, когда разные ключи получают одинаковый хеш и, следовательно, отображаются в одну и ту же ячейку таблицы. Эта ситуация неизбежна, поскольку количество возможных ключей обычно гораздо больше размера хеш-таблицы. Для решения проблемы коллизий разработано несколько методов, среди которых наиболее распространены метод цепочек и метод двойного хеширования.

Реализация хеш-таблицы с использованием методов разрешения коллизий

Метод цепочек – классический подход к разрешению коллизий, при котором элементы с одинаковыми хеш-значениями хранятся в виде связанных списков. В качестве примера была реализована хеш-таблица, которая позволяет хранить строковый тип данных. Текущая реализация состоит из двух основных структур, которые служат фундаментом для дальнейшей работы со значениями в таблице (см. рис. 1).

Структура `Bucket` – это как отдельное звено в цепочке. Каждое такое звено хранит: строку (`str`), которую пользователь хочет сохранить в таблице, указатель (`next`) на следующее звено в цепочке (если следующего нет, указатель будет `nullptr`).

Класс `HashTable` – это сама хеш-таблица. При её создании указывается размер (`m`), который является фиксированным значением. Внутри таблица представляет собой вектор (динамический массив), где каждая ячейка – это указатель на первое звено цепочки.

```
// Структура для элемента хеш-таблицы (узла цепочки)
struct Bucket {
    string str;
    Bucket* next = nullptr; // Указатель на следующий элемент в цепочке
};

// Класс хеш-таблицы с методом цепочек
class HashTable {
public:
    HashTable(int m = 100000) : m(m) {
        table.resize(m, nullptr);
    }

private:
    int m; // Размер таблицы
    vector<Bucket*> table;
}
```

Рис. 1. Основные структуры данных для метода цепочкой

Основные функции данной реализации работают следующим образом. Для поиска элемента программа вычисляет хеш ключа, находит нужную ячейку, а затем последовательно просматривает все элементы в соответствующем списке, пока не найдёт совпадение или не дойдёт до конца. В лучшем случае поиск выполняется мгновенно. В худшем время поиска растёт пропорционально количеству объектов в списке.

Когда нужно добавить новый элемент, программа сначала проверяет, нет ли уже такого значения в таблице. Если значение новое, создаётся новый объект (узел списка), который содержит само значение и указатель на следующий элемент. Этот узел помещается в начало цепочки соответствующей ячейки — такая вставка выполняется за константное время – $O(1)$.

```
// Поиск строки в таблице
bool Find(const string& str) {
    int index = Hash(str);
    Bucket* current = table[index];
    while (current) { // Перебираем цепочку
        if (current->str == str) {
            return true;
        }
        current = current->next;
    }
    return false;
}

// Добавление строки в таблицу
void Add(const string& str) {
    int index = Hash(str);
    if (Find(str)) {
        return;
    }
    Bucket* new_bucket = new Bucket;
    new_bucket->str = str;
    new_bucket->next = table[index];
    table[index] = new_bucket;
}
```

Рис. 2. Функции поиска и добавления элемента (метод цепочек)

При удалении элемента необходимо учитывать его положение в цепочке:

1. Удаление первого элемента цепочки. В этом случае мы работаем непосредственно с указателем из основной таблицы. Нужно перенаправить этот указатель на второй элемент цепочки, который становится новым первым элементом. Это действие сохраняет доступ ко всем оставшимся элементам списка.

2. Удаление элемента из середины или конца цепочки. Здесь важную роль играет предыдущий элемент (*prev*). Его указатель *next* необходимо перенаправить на элемент, следующий за удаляемым, что сохранит связность списка.

```
// Удаление строки из таблицы
void Remove(const string& str) {
    int index = Hash(str);
    Bucket* current = table[index];
    Bucket* prev = nullptr;
    while (current) { // Поиск элемента в цепочке
        if (current->str == str) {
            if (prev) {
                prev->next = current->next;
            } else {
                table[index] = current->next;
            }
            delete current;
            return;
        }
        prev = current;
        current = current->next;
    }
}
```

Рис. 3. Функция удаления элемента (метод цепочек)

Так как в данной статье рассматривается реализация хеш-таблицы, хранящая исключительно строковый тип данных, для вычисления хеш функции (*Hash*) используется полиномиальное хеширование. Формула вычисления хеша выглядит следующим образом:

$$Hash(str) = \left(\sum_{i=0}^{|str|-1} (str[i] \cdot x^i) \% p \right) \% m \quad (1)$$

где:

- *str*[*i*] – ASCII-код *i*-го символа строки
- *x* – основание хеш-функции (в реализации *x* = 263)
- *p* – модуль, большое простое число (в реализации *p* = 1 000 000 007)
- *m* – размер хеш-таблицы

Двойное хеширование – это метод разрешения коллизий в хеш-таблицах с открытой адресацией, который использует две независимые хеш-функции для поиска свободной ячейки. В новой реализации с двойным хешированием структура элемента (*Bucket*) упростилась – теперь это объект, хранящий только строку и специальный флаг состояния, без каких-либо указателей.

Класс хеш-таблицы (*HashTable*) также претерпел значительные изменения. Если раньше он работал с вектором указателей на цепочки узлов, то теперь использует вектор самих элементов. Добавились новые поля для контроля состояния таблицы: счетчик активных элементов, счетчик удаленных элементов и пороговое значение заполнения. Исчезла вся логика работы со связными списками, зато появилась сложная система управления состояниями ячеек.

```

// Структура для элемента хеш-таблицы
struct Bucket {
    string str;
    int state = 0; // -1 - удален; 0 - пусто; 1 - занято
};

// Класс хеш-таблицы с открытой адресацией
class HashTable {
public:
    explicit HashTable(int capacity = 101) : capacity_(NextPrime(capacity)), size_(0), count_delete_(0) {
        table.resize(capacity_);
        for (int i = 0; i < capacity_; i++) {
            table[i] = new Bucket();
        }
    }

private:
    vector<Bucket*> table; // Вектор указателей на элементы
    size_t capacity_; // Общий размер таблицы
    size_t size_; // Количество активных элементов
    size_t count_delete_; // Количество удаленных элементов
    const double LOAD_FACTOR = 0.7;
};

```

Рис. 4. Основные структуры данных для метода двойного хеширования

Поиск, вставка и удаление элементов теперь строятся вокруг трёх ключевых принципов: использования двух независимых друг от друга хеш-функций, отслеживания состояния ячеек и специальной обработки удалённых элементов.

При поиске элемента используется двойное хеширование: первая хеш-функция определяет начальную позицию, а вторая — шаг для последующих проверок. Алгоритм последовательно проверяет ячейки, учитывая их состояние:

- Если ячейка пуста ($state == 0$), поиск прекращается — элемент не найден.
- Если ячейка занята ($state == 1$) и ключ совпадает, возвращается позиция элемента.
- Удалённые ячейки ($state == -1$) игнорируются, но поиск продолжается.

При удалении элемента алгоритм сначала находит его позицию в таблице. В отличие от метода цепочек, где элемент физически удалялся из списка, здесь используется логическое удаление — состояние ячейки меняется на "удалено" ($state = -1$), при этом само значение остаётся в таблице. Важно отметить, что при этом уменьшается счётчик активных элементов ($size_$), но увеличивается счётчик удалённых ($count_delete_$), что в дальнейшем учитывается при принятии решения о необходимости рехеширования таблицы.

```

int FindIndex(const string& str) {
    int k = Hash1(str);
    int s = Hash2(str);
    for (int i = 0; i < capacity_; ++i) {
        int index = (k + i * s) % capacity_;
        Bucket* bucket = table[index];
        if (bucket->state == 0) {
            break;
        }
        if (bucket->state == 1 && bucket->str == str) {
            return index;
        }
    }
    return -1;
}

// Поиск элемента в таблице
bool Search(const string& str) {
    return FindIndex(str) != -1;
}

// Удаление элемента из таблицы
bool Pop(const string& str) {
    int index = FindIndex(str);
    if (index != -1) {
        table[index]->state = -1;
        size_--;
        count_delete_++;
        return true;
    }
    return false;
}

```

Рис. 5. Функции поиска и удаления элемента (двойное хеширование)

Процесс добавления нового элемента в хеш-таблицу с двойным хешированием начинается с проверки необходимости расширения таблицы. Далее алгоритм, как и при поиске элемента, вычисляет начальную позицию и шаг перебора при помощи двух хеш-функций. Особое внимание уделяется обработке уже существующих элементов - если обнаруживается дубликат с активным статусом, операция прерывается. При нахождении ранее удалённой ячейки с совпадающим ключом происходит её восстановление, что позволяет эффективно переиспользовать память без создания новых объектов.

Если сумма активных и удалённых элементов превышает 70% от общего объема, то автоматически запускается процедура увеличения размера (Resize). Создаётся временная копия текущей таблицы, после чего инициализируется новый массив увеличенного размера. Все активные элементы последовательно переносятся в новую таблицу с пересчётом их позиций согласно новому размеру. Особенностью процесса является то, что учитываются только активные элементы – удалённые ячейки не переносятся, что позволяет одновременно с увеличением размера произвести очистку таблицы. По завершении рехеширования старая таблица полностью освобождается, а счётчики элементов сбрасываются.

Вычислительный эксперимент

Для сравнения эффективности метода цепочек и двойного хеширования был проведен эксперимент с тремя тестовыми сценариями по 1 000 000 операций каждый. Данные операции включают в себя добавления, удаления, а также поиск элемента в хеш-таблице. Исследование фокусировалось на двух ключевых аспектах – общее время выполнения основных операций и задействованной памяти.

Эксперимент проводился при помощи следующих тестовых наборах:

- Лучший случай – все ключи уникальны, коллизии отсутствуют.
- Умеренный случай – небольшой процент появления дублирующихся ключей.
- Худший случай – довольно большой процент появления дублирующихся ключей.

Для каждого тестового набора распределение, зависящее от общего числа количества операций, выглядит следующим образом: 40% операций составляют добавление элементов, а удаление и поиск — по 30% каждая. В Таблице 1 приведены сравнительные результаты измерения времени выполнения операций и потребления памяти для обоих методов.

Таблица 1

Результаты выполнения эксперимента

| № | Тестовые наборы | Параметры сравнения | | Метод цепочек | Двойное хеширование |
|---|-----------------|----------------------|--|---------------|---------------------|
| 1 | Лучший случай | Время добавления, мс | | 887 | 963 |

| | | | | | |
|---|---------------------|-------------------------|--|-------|-------|
| | | Время удаления, мс | | 348 | 678 |
| | | Время поиска, мс | | 345 | 680 |
| | | Память, Мб | | 15.26 | 12.91 |
| 2 | Умеренный случай | Время добавления, мс | | 1147 | 1158 |
| | | Время удаления, мс | | 459 | 670 |
| | | Время поиска, мс | | 460 | 681 |
| | | Память, Мб | | 18.02 | 14.98 |
| 3 | Худший случай | Время добавления, мс | | 1942 | 1504 |
| | | Время удаления, мс | | 1170 | 794 |
| | | Время поиска, мс | | 1165 | 772 |
| | | Память, Мб | | 21.07 | 16.83 |

Заключение

Вычислительный эксперимент позволяет сравнить эффективность в текущей реализации двух методов разрешения коллизий в хеш-таблицах: метода цепочек и двойного хеширования. Результаты показали, что в условиях отсутствия или малого количества коллизий метод цепочек демонстрирует меньшее время выполнения операций, особенно для удаления и поиска. Однако при высокой нагрузке и большом количестве коллизий двойное хеширование оказывается более эффективным.

Также следует отметить, что производительность обоих методов существенно зависит от качества реализации хеш-функции, равномерности распределения ключей, размера хеш-таблицы и других параметров системы.

Оба метода имеют свои преимущества и недостатки. Метод цепочек проще в реализации и эффективен при небольшом количестве коллизий, но требует дополнительной памяти для хранения связанных списков. Двойное хеширование, несмотря на более сложную логику работы, демонстрирует лучшую производительность в условиях высокой нагрузки и более рационально использует память.

Библиографический список

1. Алимов Р.А. Хеш-таблицы и обработка коллизий / Р.А. Алимов // Информационно-компьютерные технологии в экономике, образовании и социальной сфере: научно-теоретический журнал. – 2024. – №4. – с. 5-12.
2. Емельянов А.А., Левоева И.В. Алгоритмы и структуры данных [Текст]: учебное пособие / А.А. Емельянов, И.В. Левоева. – СПб.: Изд-во СПбГЭУ, 2020. – с. 114-127.
3. Леонтьев П.Н. Хеш-таблица как одна из наиболее эффективных структур хранения данных / П.Н. Леонтьев // Технологии Microsoft в теории и практике программирования [Текст]: сб. статей / отв. ред. А.М. Малышенко. – Томск: Изд-во Томского политехнического университета, 2012 – с. 233-235.
4. Мещанов С.В. Хеширование / Мещанов С.В // Аллея науки: научно-теоретический журнал. – 2018. – №6. – с. 1175-1178.

© Ахмадеев Р.Р., Васильев Р.Г., 2025 г.

Д.А. АШИХМИН

ashikhmin.dima@inbox.ru

Науч. руковод. – доктор техн. наук, проф. Н.М. Шерыхалина

Уфимский университет науки и технологий

СРАВНИТЕЛЬНЫЙ АНАЛИЗ ЭФФЕКТИВНОСТИ АЛГОРИТМОВ ДЕЙКСТРЫ, A* И БЕЛЛМАНА-ФОРДА ДЛЯ ПОИСКА КРАТЧАЙШЕГО ПУТИ В ГРАФАХ

Аннотация: в статье представлен сравнительный анализ трех фундаментальных алгоритмов поиска кратчайшего пути в взвешенных графах: алгоритма Дейкстры, A* и Беллмана-Форда. Исследованы теоретические основы каждого алгоритма, их преимущества и ограничения. Проведен вычислительный эксперимент по сравнению производительности алгоритмов на графах различной структуры и размера. Представлена программная реализация всех трех алгоритмов на языке Python с использованием библиотеки NetworkX.

Ключевые слова: алгоритм Дейкстры, алгоритм A*, алгоритм Беллмана-Форда, граф, взвешенный граф, кратчайший путь, сравнительный анализ, Python, эффективность алгоритмов.

Цель работы – взять три самых известных алгоритма, сравнить их на разных условиях и выделить их наиболее отличающие преимущества и недостатки.

В данной работе проводится детальное сравнение трех классических алгоритмов: алгоритма Дейкстры, эвристического алгоритма A* и алгоритма Беллмана-Форда. Целью исследования является определение условий, при которых каждый из алгоритмов демонстрирует наилучшую производительность, а также выявление их практических ограничений.

Алгоритм Дейкстры предназначен для поиска кратчайшего пути от заданной вершины до всех остальных. Принцип его работы основан на пошаговом выборе ближайшей, еще не обработанной вершины и анализе путей до ее соседей. Если обнаруживается более короткий маршрут, расстояние обновляется. Данный подход классифицируется как «жадный», поскольку на каждом шаге выполняется локально оптимальный выбор. Важным ограничением алгоритма является его некорректная работа с рёбрами отрицательного веса. При использовании приоритетной очереди на основе бинарной кучи временная сложность составляет $O((V + E) \log V)$, где V – количество вершин, E – количество рёбер.

Алгоритм A*

Алгоритм A* (читается как A-star или A со звездочкой) представляет собой усовершенствованную версию алгоритма Дейкстры, дополненную эвристическим подходом. Основное его отличие заключается в том, как он выбирает следующую вершину для исследования. Если Дейкстра всегда выбирает вершину с минимальным расстоянием от старта, то A* принимает более информированное решение.

Он оценивает каждую вершину n с помощью функции $f(n) = g(n) + h(n)$, где:

- $g(n)$ – это уже известная, точная стоимость пути от начальной вершины до n .

- $h(n)$ – это эвристическая, то есть оценочная, стоимость пути от n до конечной цели.

Такой механизм позволяет алгоритму вести поиск более целенаправленно, отдавая предпочтение вершинам, которые не только близки к старту, но и, предположительно, ведут к цели. Это значительно сокращает количество просматриваемых вершин по сравнению с Дейкстрой.

Для того чтобы A* гарантированно находил кратчайший путь, его эвристическая функция $h(n)$ должна быть допустимой, то есть никогда не переоценивать реальную стоимость пути до цели (в нашем случае для эвристической функции будет использовано Евклидово расстояние).

Временная сложность A* в худшем случае совпадает со сложностью Дейкстры и составляет $O((V + E) \log V)$. Однако при наличии эффективной эвристики производительность алгоритма может приблизиться к $O(E)$, что делает его значительно быстрее на практике.

Алгоритм Беллмана-Форда.

Алгоритм Беллмана-Форда предназначен для нахождения кратчайших путей от одной вершины до всех остальных во взвешенном графе. Его ключевым преимуществом перед алгоритмом Дейкстры является способность корректно работать с графами, содержащими рёбра с отрицательными весами.

Принцип работы: Работа алгоритма основана на методе последовательных приближений. Алгоритм выполняет $V-1$ итераций (где V – число вершин), на каждой из которых он проходит по всем ребрам графа и пытается улучшить текущую оценку пути.

Отдельный шаг после основного цикла позволяет выявить наличие циклов с отрицательным весом, при которых задача о кратчайшем пути не имеет решения. Вычислительная сложность этого метода составляет $O(V * E)$, что выше, чем у Дейкстры, и делает его менее предпочтительным для графов без отрицательных ребер.

Для объективного сравнения производительности алгоритмов был разработан вычислительный эксперимент, включающий следующие компоненты:

Типы тестовых графов:

1. Разреженные графы – графы, где количество рёбер близко к количеству вершин ($E \approx V$). Такие графы характерны для дорожных сетей.

2. Плотные графы – графы с большим количеством рёбер ($E \approx V^2/2$). Моделируют полностью связанные или почти полностью связанные системы.

3. Графы-сетки – графы, где вершины образуют прямоугольную решётку. Широко используются в задачах планирования движения роботов, системах с препятствиями и в компьютерных играх.

Метрики производительности:

Для каждого алгоритма на каждом типе графа измерялись следующие показатели:

1. Время выполнения (в миллисекундах) – основной показатель эффективности.

2. Количество обработанных вершин – показывает, насколько целенаправленно работает алгоритм.

3. Корректность результата – проверка того, что найденный путь действительно является кратчайшим.

Эксперименты проводились на графах различных размеров: от 100 до 5000 вершин, что позволяет оценить масштабируемость алгоритмов.

Программная реализация:

В качестве языка программирования был выбран Python благодаря его простоте, читаемости кода и обширной экосистеме библиотек для работы с графами. Использовались следующие библиотеки:

- NetworkX – для создания и манипулирования графами, включая генерацию графов различных типов.

- heapq – для реализации приоритетной очереди в алгоритмах Дейкстры и A^* , обеспечивающей эффективный выбор вершины с минимальной стоимостью за $O(\log V)$.

- time – для измерения времени выполнения каждого алгоритма с точностью до миллисекунд, обеспечивающей справедливое сравнение производительности.

- NumPy – для статистической обработки результатов, включая вычисление средних значений времени выполнения по нескольким прогонам.

- random – для генерации случайных весов рёбер и выбора начальной и конечной вершин, а также для обеспечения воспроизводимости результатов через фиксированный seed.

Все три алгоритма были реализованы в едином программном комплексе, что обеспечивает единообразие тестирования и сравнения.

Разреженные графы генерируются путем случайного добавления рёбер до достижения заданной плотности. Графы-сетки создаются путем соединения вершин в прямоугольную решётку с заданными размерами. Случайные веса рёбер генерируются из заданного диапазона.

Для каждого алгоритма замеряется время выполнения с использованием модуля time, каждый алгоритм запускается несколько раз.

Код реализации алгоритмов представлен на рисунках 1, 2 и 3:

```
11 def dijkstra(graph, start, end):
12     distances = {node: float('inf') for node in graph.nodes()}
13     distances[start] = 0
14     previous = {node: None for node in graph.nodes()}
15     priority_queue = [(0, start)]
16     visited = set()
17     processed_vertices = 0
18     while priority_queue:
19         current_distance, current_node = heapq.heappop(priority_queue)
20         if current_node in visited:
21             continue
22         visited.add(current_node)
23         processed_vertices += 1
24         if current_node == end:
25             break
26         for neighbor in graph.neighbors(current_node):
27             if neighbor in visited:
28                 continue
29             weight = graph[current_node][neighbor]['weight']
30             distance = current_distance + weight
31             if distance < distances[neighbor]:
32                 distances[neighbor] = distance
33                 previous[neighbor] = current_node
34                 heapq.heappush(priority_queue, _item: (distance, neighbor))
35     path = []
36     current = end
37     while current is not None:
38         path.append(current)
39         current = previous[current]
40     path.reverse()
41     return distances[end], path, processed_vertices
```

Рис. 1. Алгоритм Дейкстры

```
52 def a_star(graph, start, end, pos):
53     g_score = {node: float('inf') for node in graph.nodes()}
54     g_score[start] = 0
55     f_score = {node: float('inf') for node in graph.nodes()}
56     f_score[start] = heuristic_euclidean(start, end, pos)
57     previous = {node: None for node in graph.nodes()}
58     open_set = [(f_score[start], start)]
59     closed_set = set()
60     processed_vertices = 0
61     while open_set:
62         current_f, current_node = heapq.heappop(open_set)
63         if current_node in closed_set:
64             continue
65         closed_set.add(current_node)
66         processed_vertices += 1
67         if current_node == end:
68             break
69         for neighbor in graph.neighbors(current_node):
70             if neighbor in closed_set:
71                 continue
72             weight = graph[current_node][neighbor]['weight']
73             tentative_g_score = g_score[current_node] + weight
74             if tentative_g_score < g_score[neighbor]:
75                 previous[neighbor] = current_node
76                 g_score[neighbor] = tentative_g_score
77                 f_score[neighbor] = g_score[neighbor] + heuristic_euclidean(neighbor, end, pos)
78                 heapq.heappush(open_set, _item: (f_score[neighbor], neighbor))
79     path = []
80     current = end
81     while current is not None:
82         path.append(current)
83         current = previous[current]
84     path.reverse()
85     return g_score[end], path, processed_vertices
```

Рис. 2. A*

```

88 def bellman_ford(graph, start, end):
89     distances = {node: float('inf') for node in graph.nodes()}
90     distances[start] = 0
91     previous = {node: None for node in graph.nodes()}
92     processed_vertices = 0
93     for iteration in range(len(graph.nodes()) - 1):
94         edge_list = []
95         if isinstance(graph, nx.DiGraph):
96             edge_list = list(graph.edges(data=True))
97         else:
98             for u, v, data in graph.edges(data=True):
99                 edge_list.append((u, v, data))
100                edge_list.append((v, u, data))
101            updated = False
102            for u, v, data in edge_list:
103                weight = data['weight']
104                if distances[u] != float('inf') and distances[u] + weight < distances[v]:
105                    distances[v] = distances[u] + weight
106                    previous[v] = u
107                    updated = True
108                    processed_vertices += 1
109            if not updated:
110                break
111        edge_list = []
112        if isinstance(graph, nx.DiGraph):
113            edge_list = list(graph.edges(data=True))
114        else:
115            for u, v, data in graph.edges(data=True):
116                edge_list.append((u, v, data))
117                edge_list.append((v, u, data))
118        for u, v, data in edge_list:
119            weight = data['weight']
120            if distances[u] != float('inf') and distances[u] + weight < distances[v]:
121                return None, None, 0
122        path = []
123        current = end
124        while current is not None:
125            path.append(current)
126            current = previous[current]
127        path.reverse()
128        return distances[end], path, processed_vertices

```

Рис. 3. Алгоритм Беллмана-Форда

Сравнение на разреженных графах.

1. Алгоритм A* показывал лучшее время, но не гарантировал нахождение кратчайшего пути. Это вызвано тем, что на графах со случайными весами геометрическая эвристика становится недопустимой. Она переоценивает остаточную стоимость, заставляя алгоритм ошибочно отбрасывать оптимальные ветви поиска.

2. Алгоритм Дейкстры показал стабильные результаты и обработал меньше вершин, чем Беллман-Форд, но больше, чем A*.

3. Алгоритм Беллмана-Форда оказался медленнее двух других алгоритмов (в среднем в 15-20 раз), подтверждая свою временную сложность.

Сравнение на плотных графах.

На плотных графах ($E \approx V^2/2$) разница в производительности стала еще более заметной:

1. A* оказался самым быстрым, но часто выдавал субоптимальные пути. Скорость здесь достигнута в ущерб точности: из-за недопустимости эвристики алгоритм действовал «жадно», игнорируя неочевидные обходные маршруты с меньшим суммарным весом.

2. Алгоритм Дейкстры все также уступает A* по скорости.

3. Алгоритм Беллмана-Форда продемонстрировал наихудшие результаты, так как его сложность $O(V \cdot E)$ становится критичной при большом количестве рёбер.

Сравнение на графах-сетках (возможность построить систему координат)

1. Для A^* граф-сетка это самая благоприятная среда, позволяющая в полной мере раскрыть весь потенциал данного метода. Здесь A^* обходит гораздо меньше вершин, чем алгоритм Дейкстры и во всех случаях находит верный путь.

2. Алгоритм Дейкстры работал стабильно, но медленнее, чем A^* .

3. Алгоритм Беллмана-Форда снова оказался самым медленным.

Для демонстрации уникального преимущества алгоритма Беллмана-Форда были созданы графы с отрицательными весами рёбер (но без отрицательных циклов). Алгоритмы Дейкстры и A^* показали некорректную работу, так как их базовые принципы не учитывают возможность уменьшения стоимости пути после добавления ребра с отрицательным весом. В отличие от них, алгоритм Беллмана-Форда корректно справился с задачей, что и является его ключевым преимуществом.

Выводы.

1. A^* наиболее эффективен на графах-сетках с известной целью и допустимой эвристикой (например, Евклидовой), однако его скорость напрямую зависит от точности эвристической функции. На негеометрических графах без специальной обработки или обнуления эвристики алгоритм теряет гарантию оптимальности.

2. Алгоритм Дейкстры – универсальный и надёжный выбор для графов с неотрицательными весами. Данный алгоритм удобно использовать в тех случаях, когда необходимо определить расстояния от начальной вершины до всех остальных, а не только до целевой, что является и минусом в более узких задачах, когда необходимо определить кратчайший путь до одной вершины.

3. Алгоритм Беллмана-Форда следует использовать только в случаях, когда граф содержит рёбра с отрицательными весами. Его низкая производительность делает его неконкурентоспособным в других сценариях.

Заключение.

В данной работе был проведён комплексный сравнительный анализ трёх фундаментальных алгоритмов поиска кратчайшего пути в графах. Результаты экспериментального исследования наглядно продемонстрировали сильные и слабые стороны каждого алгоритма в различных условиях. Полученные данные могут быть использованы для обоснованного выбора алгоритма при решении конкретных практических задач в области навигации, сетевой маршрутизации, робототехники, гейм-разработке и других сферах применения теории графов.

Библиографический список

1. Кормен, Т. Алгоритмы: построение и анализ / Т. Кормен, Ч. Лейзерсон, Р. Ривест, К. Штайн; пер. с англ. – 3-е изд. – М.: Вильямс, 2022. – 1328 с.

2. Черемисин, В. А. Алгоритмы на графах: учебное пособие / В. А. Черемисин. – М.: МГТУ им. Н. Э. Баумана, 2021. – 128 с.

© Ашихмин Д.А., 2025

Д.А. Ашихмин

ashikhmin.dima@inbox.ru

Науч. руковод. – доктор техн. наук, доцент Н.М. Шерыхалина

Уфимский университет науки и технологий

ПОИСК В ГЛУБИНУ И ПОИСК В ШИРИНУ, СРАВНЕНИЕ АЛГОРИТМОВ И ОПРЕДЕЛЕНИЕ ПРАКТИЧЕСКИХ СФЕР ИХ ПРИМЕНЕНИЯ

Аннотация: в статье рассматриваются алгоритмы поиска в глубину и в ширину. Исследованы теоретические и практические вопросы, касательно алгоритмов. Представлена программная реализация алгоритмов.

Ключевые слова: поиск в глубину, поиск в ширину, граф, дерево, очередь, стек, реализация алгоритма, Python.

Стоит начать с определения алгоритмов. Алгоритм в глубину (DFS – Depth-First Search) и алгоритм в ширину (BFS – Breadth-First Search, в дальнейшем для сокращения текста, алгоритмы будут упоминаться в виде их английской аббревиатуры) широко используются в задачах поиска, обхода в графах и деревьях – структур, в которых есть связи между элементами. Несмотря на общее предназначение, алгоритмы имеют разные или можно сказать «противоположные» стратегии прохода по элементам.

DFS использует стратегию «погружения» вглубь структуры данных. Целью алгоритма является рекурсивный обход элемента за элементом. Если алгоритм зашел в тупик, он возвращается на шаг назад и начинает обходить смежные вершины, пока не опять не зайдет в тупик. Его главной особенностью является рекурсивный подход. Как аналогию можно привести спелеолога, который исследуя пещеру, идет вглубь по первому попавшемуся тоннелю, если спелеолог уперся в тупик, он возвращается на развилку назад и начинает обход в следующий тоннель.

BFS же свою очередь использует стратегию обхода в первую очередь смежных вершин или другими словами стратегия «расширения волны», а только потом уже проходит по потомкам. Алгоритм обходит структуру данных слоями. Попав на новый слой, сначала будут исследованы соседние вершины, только потом уже будет погружение на следующий уровень.

Исторически, необходимость в таких алгоритмах возникла из практических проблем. Идея DFS интуитивно созревала из стратегии прохождения лабиринтов. Французский математик Шарль Пьер Тремо еще в XIX веке формализовал метод, по сути идентичный DFS, для решения задачи о лабиринте: идти по одному пути до тупика, возвращаться к развилке и пробовать следующий. С приходом эры вычислений в середине XX века этот

метод был переосмыслен и формализован как рекурсивный алгоритм для работы с графами.

BFS со своей стратегией «расширения волны», был независимо открыт и формализован несколько позже, в конце 1950-х годов, в контексте поиска кратчайшего пути в невзвешенном графе. Его развитие связано с именами Эдсгера Дейкстры, который описал его в 1959 году, и независимо – китайским исследователем М. С. Ченом. Систематический, послойный обход BFS идеально лег в основу алгоритмов маршрутизации в первых компьютерных сетях и «волновых» алгоритмов для трассировки печатных плат.

Важно отметить, что для записи элементов для обхода алгоритмы используются разные, но такие же «противоположные» структуры данных. DFS использует стек, в то время как BFS использует очередь. Отличия в том, что в стек работает по принципу LIFO (Last In, First Out), а очередь по принципу FIFO (First In, First Out).

Разберем каждый алгоритм по шагам.

Алгоритм поиска в глубину.

1. Возьмите начальную вершину и поместите ее в стек. Отметьте ее как посещенную.

2. Если стек пуст – алгоритм завершен. Все достижимые вершины пройдены.

3. Извлеките вершину из вершины стека (это последняя добавленная вершина).

4. Выполните нужное действие с текущей вершиной.

5. Найдите всех непосещенных соседей текущей вершины. Для каждого из них:

1. Отметьте соседа как посещенного

2. Поместите соседа в стек.

6. Вернитесь к шагу 2.

Алгоритм поиска в ширину. По сути, данный алгоритм кардинально не отличается от DFS, меняется только способ хранения элементов.

1. Возьмите начальную вершину и поместите ее в очередь. При необходимости отметьте ее как посещенную.

2. Если очередь пуста – алгоритм завершен. Все достижимые вершины пройдены.

3. Извлеките вершину из начала очереди (это первая добавленная вершина).

4. Выполните нужное действие с текущей вершиной.

5. Найдите всех не посещенных соседей текущей вершины. Для каждого из них:

1. Отметьте соседа как посещенного

2. Поместите соседа в очередь.

6. Вернитесь к шагу 2.

Для лучшего понимания алгоритмов был реализован код на языке Python, ввиду его легкого синтаксиса и простоты понимания алгоритмов. Структурой данных для демонстрации алгоритмов было выбранное простое бинарное дерево, структура которого, представлена на рисунке 1.

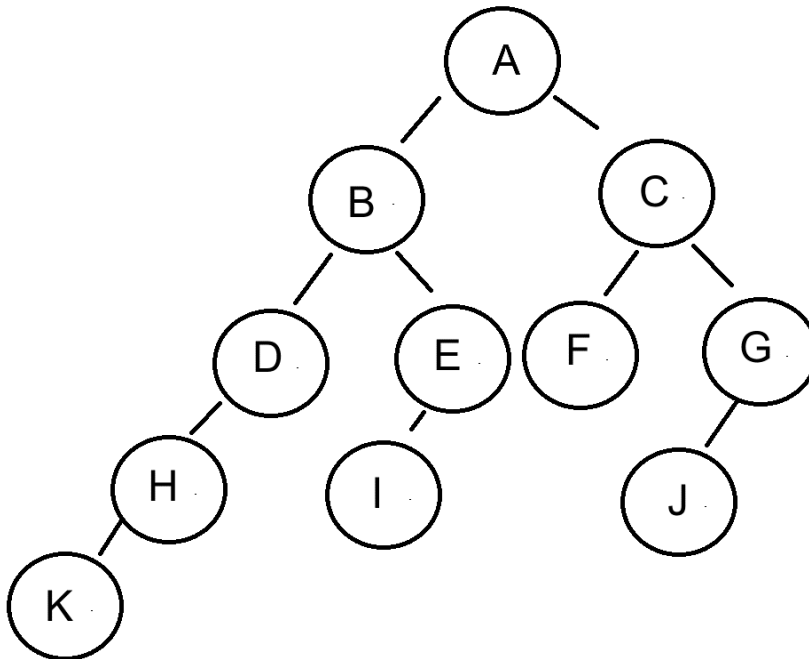


Рис. 1. Структура бинарного дерева

Программная реализация представлена на рисунках 2, 3, 4 и 5.

```
1 from collections import deque
2
3 graph = {
4     'A': ['B', 'C'],
5     'B': ['D', 'E'],
6     'C': ['F', 'G'],
7     'D': ['H'],
8     'E': ['I'],
9     'F': [],
10    'G': ['J'],
11    'H': ['K'],
12    'I': [],
13    'J': [],
14    'K': []
15 }
```

Рис. 2. Подключение библиотеки deque и инициализация дерева

```

17 def dfs(start, graph): 1 usage
18     visited = set()
19     stack = [start]
20     result = []
21     while stack:
22         current = stack.pop()
23         if current not in visited:
24             visited.add(current)
25             result.append(current)
26             for neighbor in reversed(graph[current]):
27                 if neighbor not in visited:
28                     stack.append(neighbor)
29
30     return result

```

Рис. 3. Функция dfs

```

32 def bfs(start, graph): 1 usage
33     visited = set([start])
34     queue = deque([start])
35     result = []
36     while queue:
37         current = queue.popleft()
38         result.append(current)
39         for neighbor in graph[current]:
40             if neighbor not in visited:
41                 visited.add(neighbor)
42                 queue.append(neighbor)
43
44     return result

```

Рис. 4. Функция bfs

```

46 print("DFS порядок обхода:", dfs(start: 'A', graph))
47 print("BFS порядок обхода:", bfs(start: 'A', graph))

```

Рис. 5. Вывод

Целью программы является вывод вершин дерева в порядке обхода тем или иным алгоритмом. Пример представлен на рисунке 6.

```

DFS порядок обхода: ['A', 'B', 'D', 'H', 'K', 'E', 'I', 'C', 'F', 'G', 'J']
BFS порядок обхода: ['A', 'B', 'C', 'D', 'E', 'F', 'G', 'H', 'I', 'J', 'K']

```

Рис. 6. Вывод вершин в порядке обхода алгоритмами

Также стоит упомянуть и практические применения DFS и BFS. Практическое применение алгоритма DFS:

1. Работа с историей в Git. Когда мы смотрим историю коммитов (особенно с флагом `git log --graph`) или когда Git пытается автоматически слить ветки при `merge`, он работает с направленным ациклическим графом. Чтобы выстроить коммиты в правильную хронологическую цепочку и корректно разрешить зависимости, используется топологическая сортировка, которая как раз базируется на принципах обхода в глубину.

2. Рендеринг веб-страниц. Браузер воспринимает любую страницу как дерево тегов – DOM-дерево (Document Object Model, объектная модель документа). Чтобы отрисовать страницу, движку нужно «пробежаться» по всем элементам. Здесь идеально подходит DFS: алгоритм заходит в тег `<html>`, потом в `<body>`, потом проваливается в каждый `<div>` до самого последнего вложенного элемента, отрисовывает его и только потом возвращается назад. Это гарантирует, что вложенные блоки появятся на экране в правильном порядке.

3. Компиляция кода. Компиляторы и интерпретаторы строят из нашего кода абстрактное синтаксическое дерево (AST). Чтобы проверить, не забыли ли мы точку с запятой, и вообще понять логику программы, компилятор обходит это дерево в глубину, анализируя каждую ветку синтаксиса от начала до конца.

4. Лабиринты и игровые задачи. DFS – это, по сути, базовый алгоритм для поиска пути в играх или решения головоломок с лабиринтами. Логика простая: идем по коридору до упора, если тупик – возвращаемся на шаг назад и сворачиваем в другой проход. Это гарантирует, что, если выход есть, мы его точно найдем.

5. Диагностика сетей. В администрировании сетей DFS помогает проверить связность топологии. Грубо говоря, алгоритм позволяет выяснить, есть ли доступ от сервера А ко всем остальным узлам сети, или какой-то сегмент «отвалился» и стал изолированным.

Практическое применение алгоритма BFS:

1. Социальные графы. Если нужно узнать, через сколько знакомых вы связаны с какой-то знаменитостью (теория рукопожатий), BFS тут вне конкуренции. Он ищет не вглубь, а слоями: сначала проверяет всех ваших прямых друзей (1-й круг), потом друзей друзей (2-й круг) и так далее. Именно так строятся рекомендации по типу «вы можете их знать» в ВК или в других социальных сетях.

2. Геосервисы и навигаторы. Когда в Яндекс.Картах мы ищем «магазины рядом», алгоритм не перебирает все магазины города. Он работает по принципу BFS: сначала сканирует ближайшую область, потом расширяет радиус поиска. Это позволяет мгновенно выдавать ближайшие объекты, не тратя время на анализ тех, что находятся на другом конце города.

3. Сетевая маршрутизация. В интернете и локальных сетях BFS используется для поиска кратчайшего пути для передачи данных (в хопх). Протоколы маршрутизации используют его, чтобы найти путь, проходящий через минимальное количество промежуточных узлов, что снижает задержки при передаче пакетов.

Для завершения статьи необходимо сделать вывод. Проведенное исследование алгоритмов поиска в глубину (DFS) и поиска в ширину (BFS) демонстрирует их фундаментальную важность в компьютерных науках. Несмотря на общую цель – обход графов и деревьев, эти алгоритмы реализуют принципиально разные стратегии, что определяет их специфические области применения.

DFS с его стратегией «погружения» и использованием стека незаменим в задачах, требующих полного исследования структуры данных: анализа синтаксиса, проверки связности, топологической сортировки. BFS, основанный на стратегии «распределения волны» и очереди, гарантирует нахождение кратчайшего пути и оптимален для социальных сетей, навигационных систем и сетевой маршрутизации.

Выбор между алгоритмами определяется конкретными требованиями задачи: при необходимости глубокого анализа структуры предпочтительнее DFS, тогда как для поиска оптимальных путей и ближайших объектов оптимален BFS.

Библиографический список

1. Калугин, Н. А. Основы теории графов: учеб. пособие / Н. А. Калугин, А. Н. Калугин. – Самара: Самар. гос. аэрокосм. ун-т, 2013. – 72 с.
2. Кормен, Т. Алгоритмы: построение и анализ / Т. Кормен, Ч. Лейзерсон, Р. Ривест, К. Штайн; пер. с англ. – 3-е изд. – М.: Вильямс, 2022. – 1328 с.
3. Карпов, Д. В. Теория графов / Д. В. Карпов. – СПб.: Питер, 2020. – 256 с.

© Ашихмин Д.А., 2025

Т.В. БАЙНАЗАРОВ

baynazarov.timurka@mail.ru

Науч. руковод. – доктор техн. наук, проф. Н.М. ШЕРЫХАЛИНА

Уфимский университет науки и технологий

АЛГОРИТМ ФРОНТА ВОЛНЫ ДЛЯ ОРИЕНТИРОВАННОГО ГРАФА И ЕГО ПРИМЕНЕНИЕ

Аннотация: алгоритм фронта волны, также известный как «поиск в ширину» (BFS, Breadth-First Search), является одним из ключевых алгоритмов теории графов. Он используется для обхода вершин графа в порядке их удалённости от стартовой вершины, что позволяет находить кратчайшие пути в невзвешенных графах. В статье будет рассмотрен алгоритм фронт волны для ориентированного графа. Также будет представлена программа, реализованная на C++, которая вычисляет расстояние, диаметр, радиус и центры в ориентированном графе.

Ключевые слова: графы, ориентированный граф, расстояния в графе, алгоритм фронт волны, центры графа, поиск в ширину.

Алгоритм «Фронта Волны» можно рассматривать как развитие идеи обхода графа в ширину, специально настроенное для нахождения кратчайших расстояний от выбранной вершины до всех остальных. Главная особенность метода – последовательное, поуровневое исследование вершин, образующих «волны» достижимости.

Как работает алгоритм?

Обход графа выполняется пошагово, начиная со стартовой вершины. На каждом этапе формируется группа вершин, находящихся на одинаковом расстоянии от начала. Это расстояние записывается как номер волны.

Пошаговое описание:

1. Начало работы. Стартовая вершина заносится в очередь. Её расстояние полагается равным нулю. Для всех остальных вершин графа расстояние помечается как неопределённое (условно бесконечное).

2. Процесс обработки. Пока очередь не пуста, из её начала извлекается текущая вершина. Для каждой смежной с ней вершины, которую ещё не посещали, определяется новое расстояние: оно на единицу больше, чем у текущей. Эти вершины помещаются в конец очереди.

3. Завершение. Алгоритм останавливается, когда очередь становится пустой. Это означает, что все достижимые из начальной вершины узлы обработаны и для них установлены кратчайшие расстояния.

Пример работы.

Рассмотрим ориентированный граф с матрицей смежности (рис. 1):

| | | | | | | |
|---|---|---|---|---|---|---|
| 0 | 1 | 0 | 0 | 0 | 1 | 0 |
| 1 | 0 | 1 | 0 | 0 | 0 | 0 |
| 0 | 0 | 0 | 1 | 0 | 0 | 0 |
| 0 | 0 | 0 | 0 | 0 | 0 | 1 |
| 1 | 1 | 1 | 1 | 0 | 0 | 0 |
| 0 | 0 | 0 | 0 | 1 | 0 | 1 |
| 0 | 0 | 0 | 1 | 1 | 0 | 0 |

Рис. 1. Матрица смежности

Стартовая вершина: 1. Порядок обхода по вершинам $0 \rightarrow 1 \rightarrow 2 \rightarrow 3 \rightarrow 4 \rightarrow 5 \rightarrow 6 \rightarrow 7$. Расстояния для первой вершины: 0 1 2 3 2 1 2.

Программа, представленная в предыдущем ответе, выполняет следующие действия:

1. Читает матрицу смежности ориентированного графа;
2. Для каждой вершины запускает алгоритм фронта волны, чтобы найти расстояния до всех остальных вершин;
3. Вычисляет эксцентриситет (максимальное расстояние от вершины до остальных);
4. Находит диаметр (максимальный эксцентриситет), радиус (минимальный эксцентриситет) и центры графа (вершины с эксцентриситетом = радиусу).

Ключевые части кода:

1. Функция нахождения расстояний матрицы смежности (рис. 2);

```
vector<int> end(vector<vector<int>> &matrix, int rows, int start) {
    int temp = 0;
    int k = 0;
    vector<int> dist(rows, INT_MAX);
    queue<int> q;
    dist[start] = 0;
    q.push(start);
    while (!q.empty()) {
        int current = q.front();
        q.pop();

        for (int neighbor = 0; neighbor < rows; ++neighbor) {
            if (matrix[current][neighbor] == 1 && dist[neighbor] == INT_MAX) {
                dist[neighbor] = dist[current] + 1;
                q.push(neighbor);
            }
        }
    }
    return dist;
}
```

Рис. 2. Функция для расстояний

2. Вычисление эксцентриситета (рис. 3);

```

int ex(vector<vector<int>>& dist, int temp) {
    int maxDist = 0;
    for (int i : dist[temp]) {
        if (i != INT_MAX && i > maxDist) {
            maxDist = i;
        }
    }
    return maxDist;
}

```

Рис. 3. Функция для эксцентриситета

3. Вычисление диаметра, радиуса и центров в ориентированном графе (рис. 4).

```

cout << "\nДиаметр: ";
int maxEx = 0;
for (int i = 0; i < rows; i++) {
    if (excentr[i] > maxEx)
        maxEx = excentr[i];
}
cout << maxEx << endl;
cout << "\nРадиус: ";
int minEx = 1000;
vector<int> centre;
for (int i = 0; i < rows; i++) {
    if (excentr[i] < minEx) {
        minEx = excentr[i];
    }
}
cout << minEx << endl;
cout << "\nЦентры:\n";
for (int i = 0; i < rows; i++) {
    if (excentr[i] == minEx) {
        cout << "Вершина " << i + 1 << endl;
    }
}

```

Рис. 4. Диаметр, радиус и центры

Пример работы программы (рис. 5).

```

Введите количество вершин графа: 7

Заполните матрицу графов:
0 1 0 0 0 1 0
1 0 1 0 0 0 0
0 0 0 1 0 0 0
0 0 0 0 0 0 1
1 1 1 1 0 0 0
0 0 0 0 1 0 1
0 0 0 1 1 0 0

Матрица расстояний:
0 1 2 3 2 1 2
1 0 1 2 3 2 3
4 4 0 1 3 5 2
3 3 3 0 2 4 1
1 1 1 1 0 2 2
2 2 2 2 1 0 1
2 2 2 1 1 3 0

Эксцентриситеты:
Вершина 1:3
Вершина 2:3
Вершина 3:5
Вершина 4:4
Вершина 5:2
Вершина 6:2
Вершина 7:3

Диаметр: 5

Радиус: 2

Центры:
Вершина 5
Вершина 6

```

Рис. 5. Вывод в консоли

Оценка эффективности алгоритма

С точки зрения вычислительных затрат, алгоритм демонстрирует оптимальные характеристики:

- Время выполнения имеет порядок $O(|V| + |E|)$, где $|V|$ означает количество узлов, а $|E|$ - число связей. Такой показатель объясняется тем, что каждая вершина и каждое ребро обрабатываются единожды.

- Потребление памяти оценивается как $O(|V|)$. Этот объем используется для организации очереди обработки, записи расстояний и хранения данных о предыдущих вершинах на пути.

Примеры практического использования

Универсальность подхода делает его востребованным в различных областях:

1. Построение маршрутов в ограниченной среде
При представлении игрового поля или лабиринта в виде сетки, где позиции соответствуют вершинам, а возможные перемещения - ребрам, метод позволяет найти путь с наименьшим количеством шагов.

2. Анализ социальных взаимодействий
В графах социальных связей алгоритм помогает установить минимальную

цепочку знакомств между пользователями, где номер волны соответствует числу необходимых посредников.

3. Организация сетевой маршрутизации

Идея последовательного распространения информации легла в основу сетевых протоколов. Хотя в реальных системах часто используются модификации с учетом пропускной способности каналов, базовый принцип остается неизменным.

4. Решение задач о максимальном потоке

В усовершенствованном алгоритме Эдмондса-Карпа метод применяется для последовательного нахождения увеличивающих путей минимальной длины, что обеспечивает эффективность вычислений.

5. Систематизация интернет-контента

Поисковые системы используют аналогичный подход для обхода веб-страниц: начав с исходных адресов, программа постепенно, уровень за уровнем, обрабатывает все ссылки с обнаруженных страниц.

6. Изучение биологических систем

В биоинформатике метод применяется для анализа молекулярных взаимодействий, помогая находить кратчайшие цепочки между элементами в белковых сетях и метаболических путях.

Значение и перспективы

Алгоритм "Фронта Волны" доказал свою эффективность как надежный инструмент анализа связей. Его способность гарантированно находить оптимальные пути за линейное время относительно размера графа обеспечивает популярность в системах искусственного интеллекта, проектировании сетей и анализе данных. Сочетание прогнозируемой производительности и простоты реализации сохраняет за ним важное место в современной информатике.

Библиографический список

1. Кормен, Т., Лейзерсон, Ч., Ривест, Р., Штайн, К. — Алгоритмы: *построение и анализ* (2022) – стр. 594–601;
2. Скиена, С. С. — Алгоритмы. Руководство по разработке (2019) – стр. 178–185;
3. Дейкстра, Э. В. — Заметки о структурном программировании (1972) – 45–50.

© Байназаров Т.В., 2025

Р.Д. БАЙСАЛЯМОВ

Baisaliyomov.radmira@mail.ru

Науч. руковод. – доктор технических наук, профессор Н.М. ШЕРЫХАЛИНА

Уфимский университет науки и технологий

АЛГОРИТМ ДЕЙКСТРЫ: ИСТОРИЯ СОЗДАНИЯ И ПРАКТИЧЕСКАЯ РЕАЛИЗАЦИЯ НА C++

Аннотация: в статье рассматривается комплексное исследование алгоритма Дейкстры. В статье рассматривается история создания алгоритма, область применения, принцип работы, сравнение с другими алгоритмами, объяснена реализация алгоритма (приведён пример с помощью языка C++)

Ключевые слова: алгоритм Дейкстры, C++, граф, ребро, вершина, кратчайший путь, Алгоритм A*, Алгоритм Флойда-Уоршелла, Алгоритм Белмона Форда.

Введение

Алгоритм Дейкстры (Dijkstra's Algorithm) – это один из ключевых алгоритмов в теории графов. В большинстве случаев его используют для нахождения кратчайших путей от одной (стартовой) вершины до всех остальных вершин во взвешенном графе.

Самым главным условием для корректной работы классического алгоритма Дейкстры является отсутствие рёбер с отрицательным весом. Алгоритм полезен не только на ориентированных, но и на неориентированных графах. Он применяется в системах навигации для построения кратчайших маршрутов между точками, в играх для поиска самого короткого маршрута между персонажем и объектом, в сетевых технологиях для выбора эффективных маршрутов в протоколах маршрутизации. Алгоритм востребован в логистике при планировании доставки, в робототехнике для построения эффективных траекторий движения и для анализа связи пользователей в социальных сетях.

История:

Алгоритм был разработан нидерландским учёным Эдсгером Вибе Дейкстрой (Edsger Wybe Dijkstra). Идея алгоритма была сформулирована в 1956 году в период его работы в качестве ведущего программиста в Математическом центре (Mathematisch Centrum) в Амстердаме. В данный период не существовала профессия «программист», поэтому Дейкстра в официальных документах указывал себя, как «физик-теоретик».

Изначальная мотивация для разработки алгоритма была совсем иной: нужно было продемонстрировать возможности новой вычислительной машины

ARMAС для широкой аудитории. В качестве наглядного примера была выбрана задача поиска кратчайшего пути на упрощённой карте железнодорожной сети.

Официальная публикация алгоритма состоялась в 1959 году в научном журнале *Numerische Mathematik* под заголовком «A note on two problems in connexion with graphs».

Алгоритм Дейкстры стал одним из лучших решений для задач поиска кратчайшего пути от одного источника во взвешенном графе с неотрицательными весами. Он проиллюстрировал возможность эффективного решения сложных задач.

Несмотря на первоначальное отсутствие высокого академического статуса у прикладных вычислительных методов, алгоритм быстро получил международное признание и стал одним из важнейших алгоритмов XX века.

Работа алгоритма:

Алгоритм Дейкстры начинается с начальной точки. Он функционирует по жадному принципу, что означает, что на каждой итерации он стремится гарантированно минимизировать текущую общую стоимость пути.

Каждой вершине графа присваивается оценка расстояния, представляющая минимальную известную стоимость пути от начальной точки: для начальной точки эта оценка равна нулю, а для всех остальных вершин — бесконечности.

На каждой итерации алгоритм выбирает вершину из необработанного множества с наименьшей оценкой расстояния, фиксирует путь до неё (помещая её в множество обработанных вершин) и выполняет релаксацию для всех её соседей. Оценка расстояния соседа обновляется (уменьшается), если через выбранную вершину можно достичь этого соседа с меньшей общей стоимостью.

Сравнение с другими алгоритмами поиска пути:

Алгоритм A*: является более усовершенствованной версией алгоритма Дейкстры. Благодаря тому, что он ищет расстояние до 1 точки, а не для всех, скорость выполнения алгоритма возрастает. Он является более эффективным, при известной конечной точке, но также не способен работать с отрицательными весами.

Алгоритм Белмона Форда: способен работать с отрицательными весами. Он, как и алгоритм Дейкстры, ищет путь от начальной точки до любой другой точки, если маршрут до ней существует (точка не изолирована). Из-за того, что он работает с отрицательными весами, алгоритм работает медленнее.

Алгоритм Флойда-Уоршелла: ищет пути от между всеми парами вершин и работает с отрицательными весами, из-за чего возрастает сложность и время выполнения алгоритма.

Один из эффективных способов реализации алгоритма Дейкстры

Для начала нужно правильно обрабатывать данные матрицы смежности

(массив из массивов, которые содержат пути). Один из вариантов – массив, который может быть динамическим или нет (в зависимости от нашей задачи). В моём случае это вектор. Вектор состоит из векторов, где каждый вектор – точка на нашем графе, содержащая массив из пар – следующая вершина и расстояние до неё. Буду называть это графом (Graph в коде). Считываем данные матрицы смежности и очищаем массив.

Далее нам нужен вектор структур для хранения сведений о каждой вершине (номер нашей вершины, расстояние, булево значение о посещении и массив из предыдущих вершин). В векторе нужно инициализировать наши данные: для каждой вершины установить её номер, расстояние как бесконечность, и установить булевой переменной нулевое значение. Для начальной точки установим расстояние как 0.

Для поиска следующей вершины использую `priority_queue` (приоритетная очередь). Это позволяет получить вершину, для которой найдено минимальное расстояние. Добавляем туда стартовую вершину. Был вариант использовать обычный массив и каждый раз сортировать данные, однако этот вариант медленный и не подходит нам.

До тех пор, пока `priority_queue` не пуст, мы берём оттуда вершину с минимальным расстоянием. Могут попадаться вершины, для которых найден минимальный путь (в массиве из структур мы храним булево значение. Если оно равно единице, значит мы рассмотрели эту вершину). В таком случае мы просто пропускаем их. Из выбранной вершины мы рассматриваем возможные пути. Если этот путь окажется меньше для следующей вершины, то мы добавляем точку и её путь в `priority_queue` и в массиве из структур изменяем расстояние и путь. После этого отмечаем вершину как пройденную (в структуре имеется булево значение).

В результате мы получаем массив из структур `vertices`, где каждый элемент структура, содержащая информацию о вершине: индекс, кратчайшее расстояние, изолирована ли точка или нет (для удобной обработки данных), путь в виде вектора из вершин.

Текст вывода на английском языке. Пример вывода данных:

Vertex (ID): 6

Distance: 16

Processed: Yes

Path: 0 -> 3 -> 2 -> 4 -> 6

В первой строке индекс вершины. Во второй минимальное расстояние. В третьей выводит нет, если вершина изолирована, в другом случае – да. Можно изменять входные данные вручную, данные матрицы смежности и стартовую точку (`start_point`), которая принимает значения от 0, до $(n - 1)$, где n – количество вершин.

Заключение:

Проведя исследование можно сделать вывод, что несмотря на свою не малый возраст, алгоритм Дейкстры остается одним из самых эффективных методов для поиска кратчайшего пути, особенно, если нужно найти расстояние от начальной точки до всех остальных. Приведен пример реализации алгоритма на языке C++. Данная программа может быть адаптирована под разные задачи.

Приложение (приведен код программы на C++):

```
#include <iostream>
#include <string>
#include <vector>
#include <queue>
#include <limits>
#include <utility>
using namespace std;
constexpr long long INF = numeric_limits<long long>::max();
using Edge = pair<int, long long>;
using Graph = vector<vector<Edge> >;
using State = pair<long long, int>;
struct VertexInfo {
    int id;
    long long distance;
    bool is_visited;
    vector<int> path;
};
void dijkstra(const Graph &G, int start_point, vector<VertexInfo> &vertices) {
    int N = G.size();
    if (N == 0 || start_point < 0 || start_point >= N) return;
    vertices.resize(N);
    for (int i = 0; i < N; ++i) {
        vertices[i] = {i, INF, false, {}};
    }
    vertices[start_point].distance = 0;
    vertices[start_point].path.push_back(start_point);
    priority_queue<State, vector<State>, greater<State> > pq;
    pq.push({0, start_point});

    while (!pq.empty()) {
        int u = pq.top().second;
        pq.pop();
        if (vertices[u].is_visited) {
            continue;
        }
    }
}
```

```

for (const auto &edge: G[u]) {
    int v = edge.first;
    long long weight = edge.second;

    // Найден путь короче
    if (!vertices[v].is_visited && vertices[u].distance + weight <
vertices[v].distance) {
        vertices[v].distance = vertices[u].distance + weight;

        vertices[v].path = vertices[u].path;
        vertices[v].path.push_back(v);

        pq.push({vertices[v].distance, v});
    }
}
vertices[u].is_visited = true;
}
}

```

```

int main() {
    vector<vector<long long>> matrix = {
        {0, 5, 0, 2, 0, 0, 0},
        {0, 0, 1, 0, 0, 0, 0},
        {0, 0, 0, 0, 3, 0, 0},
        {0, 0, 4, 0, 0, 0, 0},
        {0, 0, 0, 0, 0, 0, 7},
        {6, 0, 0, 0, 2, 0, 0},
        {0, 0, 0, 0, 0, 0, 0}
    };
    int start_point = 0;
    int n = matrix.size();
    if (start_point > n - 1 || start_point < 0) {
        cerr << "Data is incorrect";
        return 1;
    }
    if (n == 0) {
        cerr << "Data is empty";
        return 2;
    }
    for (const auto m: matrix) {
        if (m.size() != n) {
            cerr << "Data is incorrect";
            return 3;
        }
    }
}

```

```

}
Graph G(n); // Граф с n вершинами (от 0 до n - 1)
for (int i = 0; i < n; ++i) {
    for (int j = 0; j < n; ++j) {
        if (matrix[i][j] != 0) {
            G[i].push_back({j, matrix[i][j]});
        }
    }
}
matrix.clear();
vector<VertexInfo> vertices;
cout << "Dijkstra's Algorithm with Full State Structure\n";
dijkstra(G, start_point, vertices);
cout << "\nResults from start node " << start_point << ":\n";
for (const auto &info: vertices) {
    cout << "\nVertex (ID): " << info.id << "\n";
    cout << "    Distance: " << (info.distance == INF ? "Unreachable" :
to_string(info.distance)) << "\n";
    cout << "    Processed: " << (info.is_visited ? "Yes" : "No") << "\n";
    cout << "    Path: ";
    if (info.is_visited and info.distance != INF) {
        const vector<int> &path = info.path;
        for (size_t i = 0; i < path.size(); ++i) {
            cout << path[i] << (i == path.size() - 1 ? "" : " -> ");
        }
        cout << "\n";
    } else
        cout << "N/A\n";
}
return 0;
}

```

Библиографический список

1. Новиков, Ф. А. Дискретная математика для программистов: Учебник для вузов. 3-е изд. – СПб.: Питер, 2009. – 384 с.: ил. – (Серия «Учебник для вузов»)
3. «Едем» в Гронинген: длиннейшее описание поиска кратчайшего пути по следам Дейкстры, изобретателя известного алгоритма [Электронный ресурс]. – Режим доступа: <https://habr.com/ru/articles/858394/>
4. Как Эдсгер Дейкстра придумал свой алгоритм [Электронный ресурс]. – Режим доступа: <https://highload.tech/ne-nravitsya-yazyk-programmirovaniya-sozdaj-svoj-kak-edsger-dejkstra-razveival-mif-cto-programmirovanie-eto-koldovstvo/>

5. Алгоритмы поиска пути: Алгоритм Дейкстры и A* [Электронный ресурс]. – Режим доступа: <https://habr.com/ru/companies/otus/articles/748470/>

© Байсаямов Р.Д., 2025

Р.И. БАКИЕВ, Т.А. АМИНЕВ
bakioma195@gmail.com, aminevtimofej5@gmail.com
Науч. руковод. – д. т. н., проф. Н.М. ШЕРЫХАЛИНА

Уфимский университет науки и технологий

СРАВНИТЕЛЬНЫЙ АНАЛИЗ КЛАССИЧЕСКИХ ЧИСЛЕННЫХ МЕТОДОВ И НЕЙРОСЕТЕВЫХ МОДЕЛЕЙ ДЛЯ СИМУЛЯЦИИ ФИЗИКИ ТКАНИ В РЕАЛЬНОМ ВРЕМЕНИ

Аннотация: в данной работе проводится сравнительный анализ традиционных численных методов и современных нейросетевых подходов для задачи симуляции физики деформируемых тел. Реализован физический движок, использующий интеграторы Верле и Рунге-Кутты. Для сравнения была обучена графовая нейронная сеть (GNN) для предсказания следующего состояния системы. Проведено исследование точности, производительности и численной стабильности обоих подходов, выявлены их сильные и слабые стороны.

Ключевые слова: физическая симуляция; симуляция ткани; численные методы; метод Верле; графовые нейронные сети; GNN; машинное обучение в физике; симуляция в реальном времени; накопление ошибки.

Введение

Симуляция физических процессов в реальном времени является фундаментальной задачей в таких областях, как разработка видеоигр, виртуальная и дополненная реальность, инженерное моделирование и робототехниках [1,2]. Классические подходы, основанные на численном интегрировании дифференциальных уравнений движения, представляют собой компромисс между точностью и вычислительной стоимостью. Простые методы, такие как метод Эйлера, быстры, но численно нестабильны, в то время как методы высокого порядка, например, метод Рунге-Кутты 4-го порядка, точны, но требуют значительных вычислительных ресурсов. В последние годы активно исследуются возможности применения методов искусственного интеллекта, в частности глубокого обучения, для ускорения или замены традиционных симуляций [3,4].

Целью данной работы является реализация и сравнительный анализ двух подходов к симуляции физики ткани: классического, с использованием численных интеграторов, и нейросетевого, на основе графовой нейронной сети.

Реализация физической модели и классических методов

В основе нашей симуляции лежит масс-пружинная система, представляющая собой дискретную модель ткани [54]. Система состоит из N материальных точек массой m , соединенных упругими связями (пружинами).

Движение каждой частицы подчиняется второму закону Ньютона, что приводит к системе обыкновенных дифференциальных уравнений (ОДУ) второго порядка:

$$\frac{\partial^2 r_i}{\partial t^2} = a_i = \frac{F_i(r)}{m_i}, \quad (1)$$

где r_i – вектор положения i -й частицы, a_i – ее ускорение, а F_i – суммарная сила, действующая на нее и включающая силы гравитации, упругости пружин и демпфирования.

Для численного решения данной системы был реализован физический движок на языке C++, поддерживающий несколько методов интегрирования. В качестве основного метода для стабильной симуляции был выбран метод Верле благодаря его свойству сохранения энергии и вычислительной эффективности.

Формула метода Верле:

$$r_i(t + \Delta t) = 2r_i(t) - r_i(t - \Delta t) + a_i(t)\Delta t^2, \quad (2)$$

где Δt – шаг по времени.

Для генерации эталонных данных (ground truth), используемых для обучения нейросети, был реализован метод Рунге-Кутты 4-го порядка (РК4), обладающий высокой точностью. Данный метод требует четырехкратного вычисления сил на каждом шаге, что делает его непригодным для интерактивных приложений, но идеальным для создания обучающих выборок [6].

Нейросетевой подход к симуляции

В качестве альтернативы классическим интеграторам была предложена и обучена модель на основе графовых нейронных сетей (GNN). Данная архитектура была выбрана, поскольку она естественным образом отражает топологию масс-пружинной системы, где частицы являются вершинами графа, а пружины – его ребрами.

Модель GNN состоит из нескольких слоев, использующих механизм передачи сообщений (message passing) [7]. На каждом шаге каждая вершина (частица) обменивается информацией со своими соседями, агрегирует полученные данные и обновляет свое внутреннее состояние (скрытое представление). Входными признаками для каждой вершины являются ее текущие координаты и скорость $\{x, y, v_x, v_y\}$. После нескольких итераций обмена сообщениями финальное скрытое представление каждой вершины декодируется для предсказания ее состояния на следующем временном шаге.

Обучение модели производилось на языке Python с использованием библиотеки PyTorch Geometric. В качестве функции потерь использовалась среднеквадратичная ошибка (MSE) между предсказанным и эталонным состоянием системы, сгенерированным методом РК4. График функции потерь при обучении нейросети представлен на рисунке Рис. 1.



Рис. 1. График функции потерь

Экспериментальное сравнение и результаты

Для визуального и качественного сравнения подходов было разработано приложение, отображающее две симуляции одновременно. В левой части экрана представлена эталонная симуляция, работающая на методе Верле с 8 подшагами на кадр для обеспечения стабильности. В правой части – симуляция, управляемая предсказаниями обученной GNN-модели.

Результаты эксперимента представлены на рис. Рис. 2.

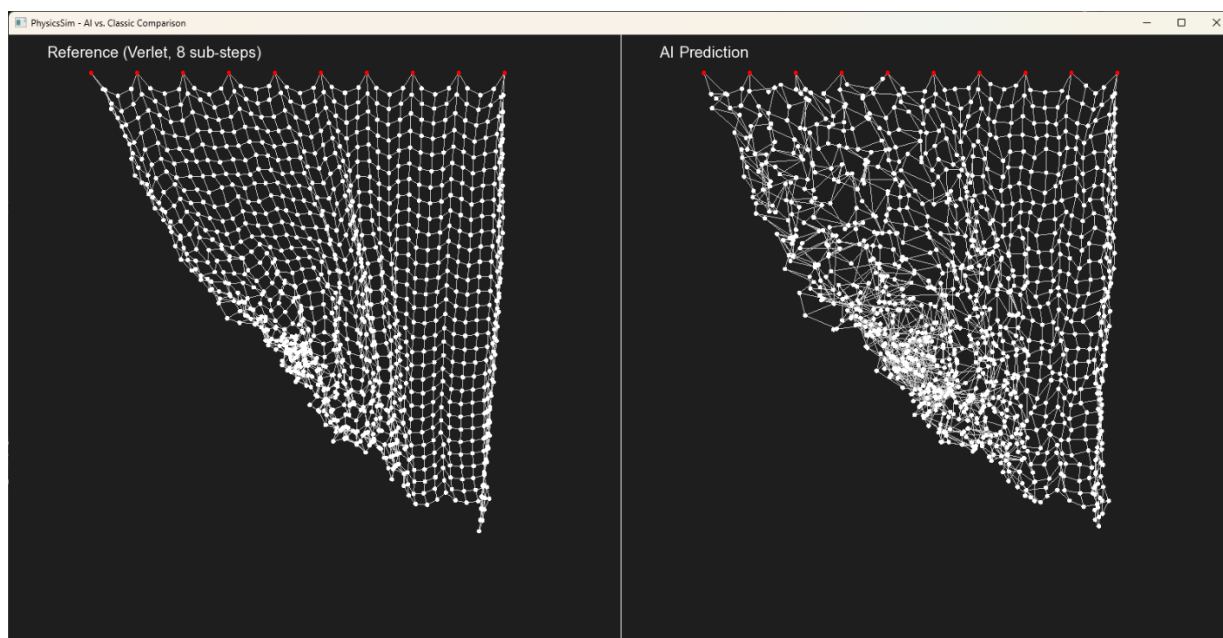


Рис. 2. Сравнение классической симуляции (слева) и предсказания GNN (справа)

Как видно на рис. Рис. 2, нейросетевая модель, обученная напрямую предсказывать абсолютные координаты следующего состояния, демонстрирует численную нестабильность. Уже после нескольких кадров симуляция начинает

вести себя нестабильно, частицы немного разлетаются, теряя физическую правдоподобность.

Основной причиной такого поведения является проблема накопления ошибки. Нейросеть делает предсказание с некоторой, пусть и малой, погрешностью. На следующем шаге это уже неточное состояние подается на вход модели, и новая ошибка предсказания суммируется с предыдущей. Этот процесс приводит к экспоненциальному росту общей ошибки, что и наблюдается в эксперименте. Классические симплектические интеграторы, такие как метод Верле, лишены этого недостатка, поскольку они структурно спроектированы для сохранения ключевых инвариантов системы, например, энергии.

Заключение

В ходе работы был проведен сравнительный анализ классического и нейросетевого подходов к симуляции физики ткани. Было установлено, что применение графовой нейронной сети для предсказания абсолютного состояния системы приводит к потере стабильности из-за накопления ошибки. В то же время классический метод Верле демонстрирует высокую стабильность и физическую корректность при значительно меньшей сложности реализации.

Полученные результаты подчеркивают, что, несмотря на большой потенциал, нейросетевые модели требуют более сложных подходов для успешного применения в физических симуляциях. Перспективы дальнейших исследований включают обучение модели предсказывать не абсолютные состояния, а производные более высокого порядка (например, ускорения), а также использование архитектур, явно учитывающих законы сохранения энергии.

Библиографический список

1. Gregory, J. Game Engine Architecture / J. Gregory. – 3-е изд. – CRC Press, 2018. – 1208 с.
2. Sherykhalina N.M., Saifullin R.O., Shaymardanova E.R. Multidimensional polynomial interpolation // Системная инженерия и информационные технологии. – 2023. –Том 5, № 4 (13). – С. 94-100.
3. Самарский, А. А. Математическое моделирование: Идеи. Методы. Примеры / А. А. Самарский, А. П. Михайлов. – 2-е изд., испр. – М.: Физматлит, 2001. – 320 с.
4. Шерыхалина Н.М., Савин Е.В. Применение GAN для улучшения разрешения изображений // В сборнике: Информационные технологии интеллектуальной поддержки принятия решений (памяти проф. Н.И. Юсуповой) ITIDS'2024. Труды X Международной научной конференции. В 2-х томах. Уфа, 2024. С. 30-35.
5. Cloth Simulation // NVIDIA PhysX SDK Documentation [Электронный ресурс]. – NVIDIA Corporation, 2023. – Режим

доступа: <https://docs.nvidia.com/gameworks/content/gameworkslibrary/physx/guide/Manual/Cloth.html> (дата обращения: 01.11.2025).

6. Томашевский, В. П. Численное моделирование физических процессов в реальном времени / В. П. Томашевский. – Москва: Техносфера, 2021. – 352 с.

7. Sanchez-Gonzalez, A. Learning to simulate complex physics with graph networks / A. Sanchez-Gonzalez, J. Godwin, T. Pfaff, R. Ying, J. Leskovec, P. Battaglia. – PMLR, 2020. – С. 8457–8468.

© Бакиев Р.И., Аминев Т.А., 2025

А.Р. Батталова, А.Р. Каррамова

adelina.battalova@bk.ru, msakarramova@gmail.com

Науч. руковод. – д.т.н., профессор Н.М. ШЕРЫХАЛИНА

Уфимский университет науки и технологий

ПРОЦЕДУРНАЯ ГЕНЕРАЦИЯ ТЕКСТУР: ШУМ ПЕРЛИНА ПРОТИВ ГЕНЕРАТИВНО-СОСЯЗАТЕЛЬНЫХ СЕТЕЙ (GAN)

Аннотация: в данной статье рассматриваются и сравниваются два подхода к процедурной генерации текстур, а именно облаков: классический алгоритмический метод на основе шума Перлина и современный подход с использованием генеративно-состязательных сетей (GAN). Проводится анализ преимуществ и недостатков каждого метода по критериям реализма, производительности и управляемости.

Ключевые слова: процедурная генерация; шум Перлина; генеративно-состязательные сети; GAN; DCGAN; облака; текстуры; численные методы; машинное обучение.

Введение

Реалистичные текстуры играют ключевую роль в создании захватывающих и правдоподобных виртуальных миров в компьютерных играх, кино и симуляциях. Облака – сложные, постоянно меняющиеся структуры, которые трудно создавать вручную, являясь одним из ярких примеров таких текстур. Процедурная генерация предлагает автоматизированное решение этой задачи.

Исторически для таких задач применялись алгоритмы, основанные на шумах, например, шум Перлина. Они позволяют с помощью математических формул создавать псевдослучайные, но при этом естественные и управляемые паттерны. В последние годы с развитием глубокого обучения широкое распространение получили генеративно-состязательные сети (GAN), способные обучаться на реальных данных и генерировать новые, неотличимые от настоящих, изображения.

В рамках данного исследования осуществлена практическая реализация и сравнительный анализ двух подходов к генерации текстур облаков, позволивший выявить их ключевые преимущества и недостатки

Метод 1: Генерация на основе шума Перлина

Шум Перлина, разработанный Кеном Перлином в 1983 году, является одним из фундаментальных численных методов в процедурной генерации. Это тип градиентного когерентного шума, что означает плавное изменение его значений в пространстве, в отличие от полностью случайного "белого шума".

Алгоритм генерации

Основная идея алгоритма заключается в следующем:

1. Пространство делится на целочисленную сетку. В каждой вершине сетки генерируется псевдослучайный вектор градиента.

2. Для любой точки в пространстве определяются вершины окружающей её ячейки сетки.

3. Вычисляется скалярное произведение вектора расстояния от точки до каждой вершины на вектор градиента в этой вершине.

4. Полученные значения плавно интерполируются между собой. Изначально использовалась линейная интерполяция, но для сглаживания артефактов применяются более сложные функции, такие как smoothstep. Для создания более сложных и детализированных узоров, подобных облакам, используется фрактальный шум (часто называемый "турбулентностью"). Он получается путём суммирования нескольких слоёв шума Перлина (октав) с разной частотой и амплитудой. Каждая следующая октава имеет более высокую частоту и меньшую амплитуду, что позволяет добавить мелкие детали к основной структуре. Полученное значение яркости затем пропускается через пороговую функцию или раскрашивается с помощью градиента для имитации объёмных структур облаков.

На рисунке 1 можно увидеть пример текстуры облаков, сгенерированной с помощью фрактального шума.

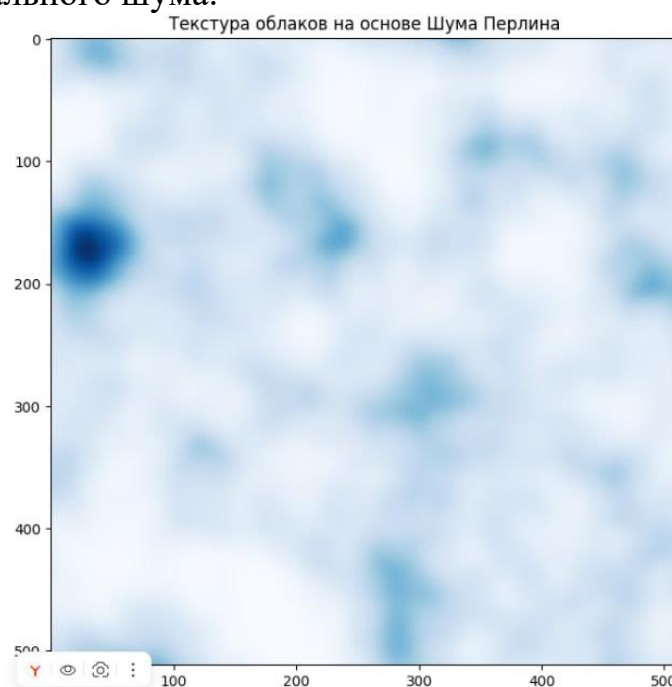


Рис. 3. Пример текстуры облаков, сгенерированный с помощью Шума Перлина

Метод 2: Генеративно-сопоставительные сети (GAN)

Генеративно-сопоставительные сети, предложенные Яном Гудфеллоу в 2014 году, представляют собой архитектуру из двух нейронных сетей –Генератора и Дискриминатора, которые обучаются в соревновательном режиме.

- Генератор пытается создать данные (в нашем случае, изображения облаков), которые были бы неотличимы от реальных.
- Дискриминатор обучается отличать настоящие изображения из обучающего набора "поддельных" изображений, созданных генератором.

В процессе обучения обе сети совершенствуются: генератор учится создавать всё более реалистичные изображения, чтобы "обмануть" дискриминатор, а дискриминатор становится всё лучше в их распознавании.

Реализация и обучение

Для работы с изображениями была выбрана архитектура DCGAN (Deep Convolutional Generative Adversarial Network), которая использует свёрточные слои для обработки пространственных данных.

Для обучения был использован датасет изображений облаков с портала Kaggle. Изображения были вручную отсортированы, приведены к единому размеру (128x128 пикселей) и нормализованы.

Генератор принимает на вход случайный вектор из латентного пространства и с помощью слоёв транспортной свёртки (transposed convolution) преобразует его в изображение. Дискриминатор, наоборот, с помощью свёрточных слоёв анализирует изображение и выдаёт вероятность того, что оно является реальным. Обучение проводилось на платформе Google Colab с использованием GPU-ускорителя.

Пример текстуры облаков, сгенерированной обученной GAN-моделью, можно увидеть на рисунке 2.



Рис. 4. Пример текстуры облаков, сгенерированный GAN-моделью

Сравнение методов

Сравнение двух подходов будет проводиться по трём ключевым критериям. Ниже представлены ожидаемые результаты на основе теоретических свойств каждого метода.

1. Реализм и разнообразие

GAN показал значительно более высокий уровень реализма, поскольку модель напрямую обучается на реальных фотографиях облаков и способна

улавливать тонкие нюансы и сложные структуры, которые трудно воспроизвести алгоритмически. Разнообразие генерируемых текстур у GAN также довольно высокое, так как каждая точка в латентном пространстве соответствует уникальному изображению. Шум Перлина, в свою очередь, создаёт более "математически правильные", гладкие и часто повторяющиеся узоры. Достичь фотореализма с его помощью сложнее, хотя результаты могут быть стилистически привлекательными.

2. Производительность

В этом аспекте видим полное превосходство шума Перлина. Генерация одной текстуры 512x512 пикселей – это, по сути, выполнение математических вычислений для каждого пикселя, что очень быстро на современных процессорах.

Для GAN требуется значительное время на обучение модели (часы или даже дни). Однако после обучения процесс генерации одного изображения (прогон вектора через генератор) также является быстрым, хотя, будет уступать по скорости шуму Перлина из-за накладных расходов на выполнение нейросетевых операций.

3. Управляемость

Шум Перлина предлагает прямой и интуитивно понятный контроль над результатом. Изменяя параметры, такие как количество октав, частота, амплитуда и пороговые значения, можно легко настроить масштаб, детализацию и характер узоров.

Управляемость GAN является более сложной задачей. Результат зависит от случайного вектора в латентном пространстве, и взаимосвязь между значениями в этом векторе и итоговым изображением не является очевидной. Хотя существуют техники для исследования латентного пространства (например, интерполяция между векторами), получение конкретного желаемого результата – нетривиальная задача.

Заключение

В ходе данной работы будет проведено практическое сравнение классического алгоритмического и современного нейросетевого подходов к задаче процедурной генерации текстур. Ожидается, что выбор метода будет зависеть от конкретных требований проекта: для задач, где критически важны фотореализм и разнообразие, предпочтительнее окажутся GAN, несмотря на сложность их обучения. Для приложений, где необходимы высокая производительность, низкие вычислительные затраты и полный контроль над результатом (например, генерация в реальном времени), классический шум Перлина останется непревзойдённым инструментом.

Библиографический список

1. Перлин, К. Синтезатор изображений / К. Перлин // ACM SIGGRAPH Computer Graphics. – 1985. – Т. 19, № 3. – С. 287–296.

2. Гудфеллоу, Я., Пуже-Абади, Ж., Мирза, М. и др. Генеративно-состязательные сети / Я. Гудфеллоу, Ж. Пуже-Абади, М. Мирза и др. // *Advances in neural information processing systems*. – 2014. – Т. 27.

3. Рэдфорд, А., Метц, Л., Чинтала, С. Неконтролируемое обучение представлениям с помощью глубоких сверточных генеративно-состязательных сетей / А. Рэдфорд, Л. Метц, С. Чинтала // *arXiv*. – 2015.

4. Шерыхалина Н.М., Савин Е.В. Применение GAN для улучшения разрешения изображений // В сборнике: Информационные технологии интеллектуальной поддержки принятия решений (памяти проф. Н.И. Юсуповой) ITIDS'2024. Труды X Международной научной конференции. В 2-х томах. Уфа, 2024. С. 30-35.

5. Sherykhalina N.M., Saifullin R.O., Shaymardanova E.R. Multidimensional polynomial interpolation // *Системная инженерия и информационные технологии*. – 2023. –Том 5, № 4 (13). – С. 94-100.

6. Antigs. Набор данных изображений неба / Antigs // Kaggle. – 2022. – URL: <https://www.kaggle.com/datasets/antigs/skyimage-dataset>.

© Батгалова А.Р., Каррамова А.Р., 2025

А.Ш. Газимов, Е.Р. Шаймарданова
gazimovarsen@gmail.com, shaymardanova.ekaterina.04@gmail.com
Науч. руковод. – д.т.н., профессор Н.М. ШЕРЫХАЛИНА

Уфимский университет науки и технологий

ПОВЫШЕНИЕ ЭФФЕКТИВНОСТИ СИСТЕМЫ ПРЕДСКАЗАНИЯ ЦЕН АКЦИЙ

Аннотация: в данной работе представлен анализ улучшенной версии системы предсказания цен акций, в которой реализован переход от модели случайного леса к логистической регрессии. Рассмотрены причины повышения качества прогнозирования и устойчивости торговой стратегии при использовании метода логистической регрессии. Проанализированы метрики модели и показатели симуляции торгов за более чем 21 год, подтверждающие повышение эффективности алгоритма. Особое внимание уделено влиянию свойств логистической регрессии на интерпретируемость результатов и устойчивость к переобучению.

Ключевые слова: машинное обучение; предсказание цен акций; логистическая регрессия; случайный лес; финансовое моделирование; торговые стратегии.

1. Введение

Практика показала, что для задач, связанных с прогнозированием направлений движения цены акций, чрезмерная гибкость ансамблевых методов нередко приводит к избыточной чувствительности к случайным колебаниям цен, то есть к эффекту «подгонки под шум». Это, в свою очередь, делает модель менее надежной при переходе к новым рыночным условиям.

В связи с этим стало актуальным провести модернизацию алгоритмической основы системы, обеспечив более устойчивое поведение прогнозов и прозрачность принятых решений. В результате анализа альтернативных подходов было принято решение перейти к методу логистической регрессии, который, будучи одной из базовых моделей статистического обучения, позволяет получать более интерпретируемые результаты и демонстрирует высокую устойчивость при длительном тестировании.

Таким образом, логистическая регрессия была выбрана в качестве нового ядра прогнозирующего модуля, что позволило повысить не только точность прогнозов, но и устойчивость торговых результатов на длительных временных интервалах.

2. Описание методики

Период моделирования составил 7997 торговых дней, что эквивалентно 21,91 года непрерывных наблюдений.

В качестве исходных данных использовались ежедневные котировки ценных бумаг и набор производных признаков, включающих скользящие средние и тренды. Первоначальный капитал системы составлял 10000 USD, а стратегия предполагала открытие позиции при прогнозируемой вероятности роста, превышающей установленный порог (0.5).

Для оценки эффективности применялись следующие показатели:

- Precision - точность положительных прогнозов, то есть доля верных сигналов на покупку.
- Accuracy - общая точность классификации всех событий.
- F1-score - гармоническое среднее между точностью и полнотой.
- Торговые метрики, включающие итоговую доходность, среднегодовую прибыль, долю выигрышных сделок, средний выигрыш и средний убыток.

Принципиальным элементом методики было сохранение идентичности условий эксперимента: оба алгоритма - Random Forest и Logistic Regression - обучались на одном и том же наборе данных и использовали одинаковые признаки, что исключает влияние внешних факторов на итоговую оценку качества.

3. Результаты и их анализ

Результаты симуляции показали существенное улучшение торговых показателей системы после внедрения логистической регрессии. Согласно полученным данным, начальный капитал в размере 10 000 USD увеличился до 73724.08 USD, что соответствует общей доходности 637.24% за весь период и среднегодовой доходности 9.55%. Доля выигрышных сделок составила 76.09%, при этом средний выигрыш на одну успешную сделку достиг 2.63%, а средний убыток при неудачных операциях не превышал 3.02%.

Такая динамика демонстрирует высокий уровень устойчивости стратегии, основанной на логистической регрессии. Для сравнения, при использовании случайного леса наблюдалась нестабильность результатов и повышенная волатильность кривой капитала. Модель Random Forest склонна переоценивать локальные закономерности в данных, что приводило к частым ложным сигналам и ухудшению итогового финансового результата.

Преимущество логистической регрессии заключается в более строгом математическом аппарате, ориентированном на вероятностное толкование результатов. Модель формирует линейную границу между классами, что обеспечивает более предсказуемое поведение на реальных данных. Кроме того, использование регуляризации (L1 и L2) ограничивает рост весовых коэффициентов, предотвращая переобучение.

Следует подчеркнуть, что устойчивость результатов обусловлена не только особенностями алгоритма, но и его соответствием бинарной природе задачи: в контексте прогнозирования направления движения цены требуется

ответ «рост» или «падение», что идеально согласуется с вероятностной логикой логистической функции.

Анализ результатов позволяет сделать ряд принципиальных выводов. Применение логистической регрессии способствует повышению интерпретируемости модели. Каждый коэффициент в уравнении регрессии имеет ясный экономический смысл и может быть интерпретирован как вклад соответствующего признака в вероятность роста цены. Это облегчает анализ структуры модели и делает процесс принятия решений более прозрачным.

Модель демонстрирует устойчивость к мультиколлинеарности, то есть к взаимной зависимости признаков. В случае случайного леса избыточная корреляция между признаками могла приводить к смещению важности отдельных факторов и, как следствие, к снижению качества прогнозирования.

Логистическая регрессия показала высокую согласованность с принципами стохастического поведения финансовых рядов. Так как распределение доходностей акций часто приближается к нормальному, линейная зависимость между признаками и логарифмом шансов роста оказывается статистически оправданной.

Несмотря на умеренные значения метрик точности ($\text{Precision} = 0.55$, $\text{Accuracy} = 0.55$, $\text{F1} = 0.45$), именно сбалансированность и реалистичность прогнозов позволили добиться значительного роста капитала. Модель не стремится к чрезмерной уверенности, а формирует вероятностные оценки, что соответствует принципам риск-менеджмента и делает торговую систему менее уязвимой к ошибкам.

Система “держала” бумагу на протяжении 90%+ от общего количества торговых дней, верно предугадывая кризисы 2008, 2014, 2020 и 2024 годов.

Таким образом, даже относительно простые статистические модели при корректной настройке и надлежащем отборе признаков способны обеспечивать высокий уровень практической эффективности.

Библиографический список

1. Hosmer D.W., Lemeshow S. Applied Logistic Regression. — Wiley, 2013.
2. Breiman L. Random Forests. Machine Learning, 2001.
3. Zhang J., Wang Y. Financial Forecasting Using Logistic Regression and Ensemble Models. IEEE Access, 2020.
4. Murphy K. Machine Learning: A Probabilistic Perspective. MIT Press, 2022.
5. Bishop C.M. Pattern Recognition and Machine Learning. Springer, 2011.
6. Introduction to statistical learning with examples in Python, G. James, D. Witten, T. Hastie, R. Tibshirani

© Газимов А.Ш., Шаймарданова Е.Р., 2025

А.Г. ГАЛИАСКАРОВА, А.Р. МУХАМЕТШИНА
arina130505@mail.ru, Alinagaliaskarova626@gmail.com
Науч. руковод. – д.т.н., проф. Н.М. ШЕРЫХАЛИНА

Уфимский университет науки и технологий

ЧИСЛЕННОЕ РЕШЕНИЕ ЖЁСТКИХ СИСТЕМ ОБЫКНОВЕННЫХ ДИФФЕРЕНЦИАЛЬНЫХ УРАВНЕНИЙ: ПРОБЛЕМЫ И ПОДХОДЫ

Аннотация: в статье исследуется вопрос численного решения жестких систем обыкновенных дифференциальных уравнений (ОДУ). Дается характеристика жесткости, перечисляются проблемы, характерные для стандартных явных подходов, и анализируются специализированные методы, в первую очередь неявные. Приводится практический пример программной реализации на C++. *Ключевые слова:* жесткие системы, ОДУ, вычислительные методы, неявная схема Эйлера, алгоритм Ньютона, устойчивость вычислений.

Введение

Математическое моделирование на основе обыкновенных дифференциальных уравнений является ключевым инструментом в таких дисциплинах, как физика, химическая кинетика и электротехника. Особую сложность представляют системы, в которых одновременно протекают процессы с резко различающимися скоростями. Подобные системы принято называть жесткими.

Их главная особенность заключается в том, что классические явные вычислительные схемы, такие как методы Эйлера или Рунге-Кутты, демонстрируют неустойчивость. Для достижения стабильного решения требуется выбор чрезвычайно малого шага интегрирования, что ведет к непомерному росту вычислительной нагрузки. В связи с этим для работы с жесткими системами применяются особые неявные алгоритмы.

Суть явления жесткости

Представим систему ОДУ в стандартной форме, где скорость изменения искомой функции зависит от ее текущего состояния и времени. Система классифицируется как жесткая, если собственные числа ее матрицы Якоби, характеризующие внутренние масштабы процессов, различаются на несколько порядков. Наличие таких «быстрых» и «медленных» компонент приводит к тому, что при использовании явных методов условие устойчивости диктуется самой быстроразвивающейся составляющей, вынуждая расчеты вести с очень мелким шагом.

Пример жесткой системы

Классической иллюстрацией служит модифицированное уравнение Ван дер Поля, содержащее большой параметр. Его можно преобразовать в эквивалентную систему из двух уравнений первого порядка. При значительной величине параметра в решении наблюдаются ярко выраженные участки резкого изменения переменных, что и придает системе свойства жесткости.

Трудности при применении явных схем

- Неустойчивость решений. Стандартные явные методы становятся расходящимися при шагах интегрирования, которые вполне допустимы для описания общего поведения решения, но недостаточно малы для отслеживания быстрых изменений.

- Низкая производительность. Требование к размеру шага становится настолько строгим, что общее количество вычислений для прохождения даже небольшого интервала времени может оказаться колоссальным.

- Искажение результатов. Быстрые, часто затухающие, компоненты решения могут неправильно учитываться, что приводит к значительным погрешностям и артефактам в численном результате.

Неявные методы как решение проблемы

Для преодоления этих ограничений успешно применяются неявные схемы. Их основная идея состоит в том, что значение решения на следующем шаге определяется не через явное выражение, а является решением специального уравнения. К примеру, неявный метод Эйлера требует нахождения нового значения функции таким образом, чтобы оно удовлетворяло уравнению, связывающему его с текущим значением и производной в будущей точке.

Для решения этого нелинейного уравнения, как правило, используется итерационный метод Ньютона. Основные достоинства неявных подходов:

- Повышенная устойчивость. Эти методы демонстрируют хорошее поведение даже при сравнительно больших шагах интегрирования.

- Эффективность. Возможность использования более крупных шагов напрямую ведет к сокращению вычислительных затрат.

Заключение

Численное интегрирование жестких систем ОДУ диктует необходимость применения специальных устойчивых алгоритмов. Неявные методы, в отличие от явных, позволяют использовать существенно более крупные шаги, обеспечивая при этом стабильность вычислительного процесса. Представленный пример с использованием неявного метода Эйлера наглядно демонстрирует его эффективность для получения корректного решения жесткой задачи, что подтверждает теоретические положения.

Приложение

```
#include <iostream>
#include <cmath>

using namespace std;

// Коэффициент, определяющий жесткость системы
const double mu = 50.0;

// Функция, задающая правую часть системы ОДУ
void system_rhs(double u, double v, double& du_dt, double& dv_dt) {
    du_dt = v;
    dv_dt = mu * (1 - u * u) * v - u;
}

// Выполнение одного шага интегрирования по неявной схеме Эйлера
void take_step(double& u, double& v, double step_size) {
    double u_next = u;
    double v_next = v;

    // Итерационный процесс Ньютона для уточнения решения
    for (int iteration = 0; iteration < 10; iteration++) {
        double du, dv;
        system_rhs(u_next, v_next, du, dv);

        // Невязки уравнений
        double residual1 = u_next - u - step_size * du;
        double residual2 = v_next - v - step_size * dv;

        // Элементы матрицы Якоби для системы
        double a11 = 1.0;
        double a12 = -step_size;
        double a21 = -step_size * (-2 * mu * u_next * v_next - 1);
        double a22 = 1.0 - step_size * (mu * (1 - u_next * u_next));

        // Решение линейной системы для поправок
        double determinant = a11 * a22 - a12 * a21;
        double delta_u = ( residual1 * a22 - residual2 * a12 ) / determinant;
        double delta_v = ( a11 * residual2 - a21 * residual1 ) / determinant;

        u_next -= delta_u;
        v_next -= delta_v;
    }
}
```

```

    u = u_next;
    v = v_next;
}

int main() {
    double u_current = 2.0, v_current = 0.0; // Начальные условия
    double time = 0.0, end_time = 5.0;
    double step = 0.01;

    while (time <= end_time) {
        cout << time << " " << u_current << " " << v_current << endl;
        take_step(u_current, v_current, step);
        time += step;
    }
    return 0;
}

```

Библиографический список

1. Биргер И.А. Численные методы. — М.: Высшая школа, 2016. — 432 с.
2. Липидус Л., Сейдлер Дж. Численные методы решения дифференциальных уравнений. — М.: Мир, 1984. — 368 с.
3. Hairer E., Wanner G. Solving Ordinary Differential Equations II. Springer, 1996.
4. Lambert J. Stiff Differential Systems. Wiley, 1973.
5. Press W. et al. Numerical Recipes. Cambridge University Press, 2007.

© Мухаметшина А.Р., Галиаскарова А.Г., 2025

УДК 00.00.000

В.Р. ГАЛИЕВ

Pelusoide81@gmail.com

Науч. руковод. – д-р техн. наук, доцент, проф. Г.Р. ВОРОБЬЕВА

Уфимский университет науки и технологий

ОБЗОР ТЕХНОЛОГИЙ МОБИЛЬНОГО ГЕОМАГНИТНОГО МОНИТОРИНГА

Аннотация: произведён анализ актуального рынка программных средств для измерения и мониторинга магнитного поля с использованием встроенных датчиков смартфона. Выявлены недостатки и преимущества ранее разработанного мобильного приложения на базе операционной системы Android для измерения магнитного поля.

Ключевые слова: геомагнитное поле; магнитометр; смартфон; мобильные устройства; краудсорсинг; геолокация; сенсорные данные; сбор данных; обработка данных; визуализация; мониторинг; исследование.

Рассмотрим одно из наиболее мощном средстве геомагнитного мониторинга CrowdMag (NOAA / CIRES, США). Разработчик – Национальное управление океанических и атмосферных исследований США (NOAA) совместно с Институтом наук об окружающей среде Университета Колорадо (CIRES). Приложение измеряет локальные компоненты магнитного поля смартфона (вектор X,Y,Z магнитометра и акселерометра) во время «магтивити» (прогулки или полёта) и отображает данные в виде графиков и на карте. По желанию пользователь может «поделиться» данными с учёными – тогда по завершении magtivity приложение отправляет на сервер NOAA данные магнитометра и акселерометра вместе с гео-координатами. Сервер CIRES/NOAA агрегирует сотни тысяч таких записей в глобальные модели магнитного поля. Приложение учитывает модель World Magnetic Model (WMM), предлагает функции компаса (истинный/магнитный север), вывод солнечной активности и «режим полёта», когда данные собираются автоматически на лету.

Архитектура CrowdMag включает локальную запись данных и опциональную отправку на NOAA-сервер по HTTPS. Есть офлайн-режим (сохранение magtivity), но отправка выполняется только при соединении. Для непрофессионалов интерфейс изобилует настройками (калибровка, параметры записи), что делает приложение довольно тяжёлым в освоении. Пользователи отмечают сложности с калибровкой (нет понятных подсказок) и нестабильную работу на старых устройствах. Плюсы: мощная научная поддержка, интеграция с официальными моделями магнитного поля, мультиплатформенность. Минусы: сложный интерфейс (многим пользователям неинтуитивен), высокая

требовательность к ресурсу (иногда вылетает на слабых смартфонах), проблемы с экспортом/сохранением данных. По сравнению с нашим решением у CrowdMag обширный функционал, но оно проигрывает в простоте и удобстве массового сбора: наш вариант имеет минимальный набор функций и лаконичный интерфейс, упрощённую процедуру калибровки и экспорта, что снижает порог вхождения для непрофессионалов.

Общие магнитометрические приложения (например, Teslameter, Sensor Kinetics и др.). NASA в образовательных материалах упоминает приложения-тестеры магнитометра («Teslameter 11th», «Tesla Recorder», «Sensor Kinetics») – они визуализируют показания сенсоров, записывают данные на устройство и подходят для экспериментов со смартфоном, но не имеют серверной части для объединения данных. Такие приложения (примеры: Physics Toolbox Magnetometer, Magnetometer от сторонних разработчиков) позволяют измерять поле и сохранять данные локально, часто с возможностью экспорта CSV, но не рассчитаны на краудсорсинг и не умеют автоматически передавать данные на общий сервер. Их архитектура проста – приложение → файл на устройстве. Плюсы: очень просты в использовании, предназначены для широкого круга (наглядный график, отсутствие лишних настроек). Минусы: нет синхронизации – данные остаются на телефоне. То есть по сравнению с нашим решением не реализована передача на сервер и объединение данных от разных пользователей. В нашей системе это заложено сразу в архитектуру через HTTP/JSON-запросы к серверу, что обеспечивает масштабируемый сбор от множества пользователей.

Российские аналоги NextGIS Logger (NextGIS, Россия). Разработчик – компания NextGIS (разработчик ГИС-решений). Приложение собирает данные с различных источников: мобильных базовых станций, GPS, а также с внутренних сенсоров Android (акселерометр, магнитометр, ориентация, гироскоп, микрофон). Данные записываются в «журнал» в двух режимах: непрерывный сбор (логгер) и точечные метки по нажатию. Результат – набор CSV-файлов с временными метками и координатами. Архитектура полностью локальная: данные хранятся в памяти телефона и выгружаются вручную (или через сторонние сервисы). Приложение работает офлайн, умеет настраивать частоту записи и выбор конкретных сенсоров. Интерфейс – на русском, с большим количеством настроек и пунктов меню.

Функции: может одновременно вести геолокационный трек и сбор данных с магнетометра (по оси «магнетометр»), хотя основной фокус сделан на анализ сотовых сетей.

Плюсы: гибкость (производит подробные логи в удобном формате), открытый исходный код, подходит для любых научных сборов (в том числе магнитного поля) без привязки к конкретной теме. Минусы: не интегрирован с общим сервером – каждый пользователь остаётся «островком» данных.

Сложность интерфейса может отпугнуть непрофильного пользователя (настроек очень много, они технически ориентированы). По сравнению с описываемым решением NextGIS Logger менее приспособлен для

краудсорсинга: его архитектура – запись на устройство, после чего данные надо вручную выгружать и объединять. Наше приложение же сразу отправляет данные на сервер (HTTP+JSON), что упрощает массовый сбор и анализ без дополнительных действий от пользователя.

Приложение “Magnetometer” (AppDevGenie, описание Uptodown). Разработчик – неизвестен (AppDevGenie). Простое приложение-магнитометр, измеряет поле по трём осям X, Y, Z и отображает текущее значение в микротеслах. Имеются настройки чувствительности, звуковые/виброоповещения при сильном поле есть стандартная калибровка «фигурой 8» или встряхиванием. Архитектура – полностью локальная, офлайн. Интерфейс очень простой и интуитивный (большие цифры поля на экране). Плюсы: легко понять и использовать даже непрофильному пользователю, есть базовые подсказки по калибровке. Минусы: не привязан к геолокации (данных GPS нет), не отправляет данные никуда. Нельзя масштабировать сбор: приложение индивидуально показывает поля вокруг одного пользователя. В сравнении с нашим решением это – «одиночное» измерительское приложение. Наше же решение сразу сохраняет каждое измерение с координатой и шлёт на сервер; пользователю не надо вручную экспортировать или проводить измерения в непрерывном режиме.

Таким образом, в существующих аналогах либо присутствует мощная научная поддержка (CrowdMag от NOAA) при повышенной сложности интерфейса и привязке к конкретному сервису, либо приложения отличаются простотой, но не обеспечивают автоматизированный централизованный сбор данных (NextGIS Logger, Magnetometer и др.). Наша цель – разработать Android-приложение для замера земного магнитного поля со встроенным магнитометром и GPS, которое сочетает преимущества обоих подходов: простой и понятный интерфейс (минимум настроек, подсказки по калибровке), возможность работы офлайн с последующей отправкой на сервер по HTTP/JSON, а также поддержку масштабного краудсорсинга. Задача исследования состоит в создании системы, способной собирать магнитные данные от множества пользователей и передавать их централизованно для анализа, при этом не уступающей аналогам по надёжности и значительно превосходящей их по удобству использования и гибкости распространения полученных данных. Таким образом, разработанное решение должно быть равноценно или лучше существующих аналогов в простоте эксплуатации и масштабируемости процесса сбора данных с помощью Android-устройств.

Преимущества разработанного приложения включают простой и интуитивный интерфейс. Приложение спроектировано с минимально необходимым набором элементов управления, фокусируясь исключительно на отображении текущих значений магнитного поля и геопозиции. В отличие от более громоздких аналогов, таких как NextGIS Logger (собирающего широкий спектр данных – сотовые станции, GPS, акселерометры, гироскопы и т.д.), новая разработка позволяет пользователю быстро начать запись без лишних настроек. Такой упрощённый дизайн облегчает использование на практике,

минимизируя ошибки оператора и ускоряя процесс обучения. Работа на слабых устройствах. Приложение оптимизировано для работы на самых разных моделях Android-устройств – от современных флагманов до устаревших телефонов. Благодаря отсутствию тяжёлых графических элементов и комплексных вычислений, потребление ресурсов снижено, что обеспечивает стабильную работу даже на «слабом» железе. Это важно, поскольку, по отзывам пользователей, аналоги вроде CrowdMag часто вылетают на старых смартфонах, тогда как описанное решение адаптировано для широкой совместимости. Автоматизация сбора и отправки данных. Все фоновые задачи (получение данных с датчиков, накопление записей, обмен с сервером) реализованы через Kotlin Coroutines и Retrofit. Это обеспечивает асинхронную и надёжную передачу информации без участия пользователя. После старта измерения данные автоматически сохраняются и при наличии сети пересылаются на сервер (сервер принимает постзапросы с компонентами поля и координатами). Пользователю достаточно нажать «Старт», после чего сбор и передача магнитометрической информации выполняются в фоне. Такой подход минимизирует «ручной труд» и снижает риск потери данных. Масштабируемость краудсорсинга. Поскольку магнитометр есть почти в каждом современном смартфоне, сеть устройств-контрибьюторов может расти неограниченно. Примером эффективности подхода служит проект CrowdMag: приложения на смартфонах пользователей по всему миру передают данные в NOAA, благодаря чему накоплено свыше 100 млн точечных замеров магнитного поля. Это иллюстрирует, что массовый сбор геомагнитных данных обеспечивает колоссальные объёмы информации для анализа. Модульность и лёгкость нашего приложения позволяет распространять его среди большого числа участников и быстро нарастить базу измерений, что в перспективе позволяет строить карту локальных аномалий магнитного поля в городах и регионах (например, для уточнения навигационных систем)

Недостатки разработанного приложения включают Зависимость от ориентации устройства. Смартфонный магнитометр измеряет вектор магнитного поля в трёх осях, привязанных к корпусу телефона. Это означает, что его показания существенно зависят от положения и ориентации аппарата в пространстве. Без компенсации таких эффектов (например, с помощью акселерометра/гироскопа) требуется удерживать устройство в устойчивом положении для корректных замеров. В текущей версии приложения эта особенность не устранена: как отмечено в технической документации, ориентация устройства влияет на результаты искажёнными данными, если телефон двигается или поворачивается. Отсутствие расширенной визуализации и аналитики. Приложение ориентировано на сбор сырых данных и не содержит встроенных средств анализа или отображения статистики. Например, популярный аналог CrowdMag предлагает пользователю интерактивную карту с цветовыми метками (синие и красные точки) и графики компонент магнитного поля для визуального обнаружения аномалий. В нашем приложении пока нет ни цветowych карт, ни гистограмм, ни удобных фильтров данных. Таким

образом, вся постобработка осуществляется на сервере или сторонними средствами, а пользователь видит лишь базовые показания датчика. Необходимость сетевого подключения. Для передачи собранных данных на сервер требуется устойчивое интернет-соединение. После окончания записи пользователь должен сохранить сеанс, и только затем данные отправляются на сервер (аналогично тому, как в CrowdMag после нажатия «Сохранить» данные пересылаются в NOAA). В отсутствие сети передача откладывается или невозможна, что ограничивает работу приложения в удалённых районах. Хотя приложение имеет механизмы локального сохранения, для актуализации глобальной базы данных требуется подключение к интернету.

Таким образом можно выделить ключевые направления для будущих улучшений, такие как фильтрация шума. Для повышения качества измерений целесообразно применять цифровые фильтры и методы сглаживания, например средние по временным окнам. Так, разработчики CrowdMag реализовали усреднение магнитных данных по 10-секундным интервалам, что позволяет снизить случайные шумы. Аналогично можно вшить в приложение алгоритмы бегущего среднего, калмановской фильтрации или статистического сглаживания, чтобы «отсеивать» выбросы и улучшать читаемость данных. Автоматическая калибровка. Встроенный магнитометр следует периодически калибровать для учёта смещений датчика. Известный метод – движение телефоном по «восьмерке» – позволяет вычислить и компенсировать постоянные смещения внутренних параметров датчика. Кроме того, сочетание магнитных данных с акселерометром и гироскопом позволит устранить влияние ориентации устройства. Можно также применить современные подходы, включая машинное обучение, для автоматического определения исправлений (подобно опыту CrowdMag по ML-калибровке). Визуализация треков магнитного поля. Стоит внедрить графические средства просмотра маршрута и аномалий прямо в приложении. Например, по образцу CrowdMag, можно визуализировать на карте путь движения пользователя и цветом отмечать повышение или понижение поля. Это даст пользователю оперативную обратную связь о ходе измерения. Также полезно добавление графиков компонент поля (например, горизонтальных F и H , вертикальной Z) для каждого сеанса, что упростит предварительный анализ «на месте». Офлайн-хранение с последующей синхронизацией. Для работы в условиях плохого покрытия полезно полноценно реализовать режим офлайн. Приложение уже поддерживает накопление данных без сети, однако следует обеспечить автоматическую отправку («синхронизацию») при появлении соединения. Это позволит пользователю собирать информацию в полевых условиях, а после возвращения на связь передавать все накопленные замеры, сохраняя целостность данных.

Библиографический список

1. Официальный сайт Andorid разработки Google: сайт - URL: <https://developer.android.com> (дата обращения 10.10.2025)
2. Воробьев А.В., Воробьева Г.Р., Христодуло О.И. Программная система пространственной визуализации прогностических и ретроспективных данных вероятности наблюдения полярных сияний // Научно-технический вестник информационных технологий, механики и оптики. 2021. Т. 21, № 2. С. 225–233. DOI: 10.17586/2226-1494-2021-21-2-225-233;
3. Воробьев А.В., Соловьев А.А., Пилипенко В.А., Воробьева Г.Р. Интерактивная компьютерная модель для прогноза и анализа полярных сияний. Солнечно-земная физика. 2022. Т. 8, № 2. С. 93– 100. DOI: 10.12737/szf-82202213
4. Воробьев А.В., Пилипенко В.А., Еникеев Т.А. и др. Система динамической визуализации геомагнитных возмущений по данным наземных магнитных станций. Научная визуализация. 2021. № 13.1. С. 162–176. DOI: 10.26583/sv.13.1.11.
5. Оденвальд, С. Ф. Can Smartphones Detect Geomagnetic Storms? Space Weather, 2022. DOI: 10.1029/2020SW002669.
6. CrowdMag Project. National Oceanic and Atmospheric Administration (NOAA). URL: <https://www.ngdc.noaa.gov/geomag/crowdmag.shtml> (дата обращения: 05.11.2025).
7. Ziegler L., Love J. J., Chulliat A., Rigler E. J. CrowdMag: A Crowdsourced Magnetic Field Observatory Network // Space Weather. 2022. DOI: 10.1029/2021SW002819.
8. NextGIS Logger: приложение для сбора пространственных и сенсорных данных. NextGIS. URL: <https://nextgis.com/blog/nextgis-logger/> (дата обращения: 05.11.2025).
9. CrowdMag (Android-приложение). Google Play. URL: <https://play.google.com/store/apps/details?id=gov.noaa.ngdc.magnetometer> (дата обращения: 05.11.2025).
10. Magnetometer — Sensor App. Uptodown. URL: <https://magnetometer.en.uptodown.com/android> (дата обращения: 06.11.2025).
11. Physics Toolbox Magnetometer. Vieyra Software. URL: <https://www.vieyrasoftware.net> (дата обращения: 06.11.2025).
12. Sensor Kinetics. Innoventions. URL: <https://www.innoventions.com/sensorkinetics.htm> (дата обращения: 06.11.2025).

© Галиев В.Р., 2025

И.И. ГАРЕЕВ, А.З. ХАНОВ

gareevildar05@gmail.com, khanov-arsen.blak.net@mail.ru

Науч. руковод. – д.т.н., профессор Н.М. ШЕРЫХАЛИНА

Уфимский университет науки и технологий

ЧИСЛЕННАЯ УСТОЙЧИВОСТЬ ИТЕРАЦИОННЫХ МЕТОДОВ И КАТАСТРОФА ПОТЕРИ ТОЧНОСТИ

Аннотация: в данной статье исследуется критически важная для вычислительной математики проблема численной устойчивости в контексте итерационных методов решения задач. Приводится строгий анализ понятия устойчивости алгоритмов к погрешностям и детально рассматривается "эффект катастрофы округления" как ключевой фактор вычислительной неустойчивости. Особое внимание уделяется математическим формулировкам механизмов потери точности и исследовательским методам её компенсации, включая алгебраические преобразования и адаптивные стратегии в алгоритмах оптимизации, что является фундаментальной задачей в области искусственного интеллекта (ИИ).

Ключевые слова: численная устойчивость; итерационные методы; ошибка округления; погрешность вычислений; катастрофа округления; вычислительная математика; адаптивные методы оптимизации; градиентный спуск.

Введение

Итерационные методы (такие как методы решения систем линейных уравнений или алгоритмы оптимизации) являются основой для решения крупномасштабных задач в науке и инженерии. Они представляют решение как предел последовательности приближений.

Главный вызов при их реализации – это погрешность округления, неизбежно возникающая из-за ограниченной точности представления чисел с плавающей запятой в компьютере. Неконтролируемое накопление и усиление этой погрешности может привести к неверному результату. Численная устойчивость гарантирует, что ошибки округления на промежуточных шагах не вызывают экспоненциального нарастания итоговой погрешности.

Численная устойчивость и ее математические критерии

Численная устойчивость алгоритма определяется его реакцией на малые возмущения. Для итерационного метода, который на k -м шаге вычисляет новое приближение $x^{(k+1)}$, анализируется поведение погрешности $\delta^{(k)}$:

$$\delta^{(k+1)} = x_{true}^{(k+1)} - x_{comp}^{(k+1)}$$

где x_{true} – точное значение, x_{comp} – вычисленное значение. Если норма ошибки $\|\delta^{(k)}\|$ начинает расти неограниченно или экспоненциально, метод считается численно неустойчивым.

Устойчивость тесно связана, но не тождественна обусловленности задачи:

- Хорошо обусловленная задача – малое изменение входных данных вызывает малое изменение точного решения.

- Плохо обусловленная задача – малое изменение входных данных вызывает большое изменение точного решения. Даже устойчивый алгоритм может дать большую ошибку для плохо обусловленной задачи, поскольку это свойство самой задачи.

-

Катастрофическое сокращение значащих цифр

Эффект катастрофы округления – это критическое возрастание относительной погрешности результата, вызванное не простым накоплением, а усилением погрешностей.

Это наиболее распространенный механизм катастрофы и основной источник вычислительной нестабильности. Он происходит при вычитании двух чисел, близких по величине.

Пусть a^* и b^* – машинные представления точных чисел a и b , каждое из которых содержит погрешность округления. Разность $z^* = a^* - b^*$ будет иметь абсолютную ошибку ε_{abs} .

Относительная ошибка ε_{rel} разности определяется как:

$$\varepsilon_{rel} = \frac{\varepsilon_{abs}}{a - b}$$

Если $a \approx b$, знаменатель $a - b$ становится очень мал. В этом случае даже небольшая абсолютная ошибка ε_{abs} (которая ограничена суммой ошибок округления $|\varepsilon_a| + |\varepsilon_b|$) приводит к огромному значению ε_{rel} . Это означает потерю большинства или всех значащих цифр, что и является катастрофой.

Методы обеспечения устойчивости. Алгебраическая устойчивость

Для обеспечения устойчивости критически важно переформулировать алгоритм, используя алгебраические тождества, чтобы избежать вычитания близких чисел.

Пример: Вычисление корней квадратного уравнения $ax^2 + bx + c = 0$.

При вычислении корня $x_1 = \frac{-b + \sqrt{b^2 - 4ac}}{2a}$ может произойти вычитание близких чисел, если $|b| \approx \sqrt{b^2 - 4ac}$.

Для получения устойчивого результата используется следующая стратегия, основанная на соотношении Виета:

1. Вычисляется корень x_u , где происходит сложение близких по модулю чисел (т.е. $sign(-b)$ совпадает со знаком перед корнем):

$$x_u = \frac{-b - \text{sign}(b)\sqrt{b^2 - 4ac}}{2a}$$

2. Вторым корнем x_v вычисляется устойчиво с использованием формулы Виета ($x_1 x_2 = c/a$):

$$x_v = \frac{c}{a \cdot x_u}$$

Этот приём устраняет катастрофическое сокращение значащих цифр.

Методы обеспечения устойчивости. Устойчивость в итерационных методах оптимизации

В глубоком обучении численная стабильность процесса сходимости (например, при градиентном спуске) является критической.

Адаптивные методы оптимизации (AdaGrad, RMSprop, Adam) были разработаны для обеспечения устойчивости. Они:

- Динамически регулируют темп обучения для каждого параметра нейронной сети, используя информацию о накопленных квадратах градиентов.
- Это позволяет уменьшать скорость обучения для часто обновляемых параметров и увеличивать для редко обновляемых, что улучшает сходимость и обеспечивает численную стабильность итерационного процесса, предотвращая проблемы, связанные с нестабильным выбором η .

•

Использование повышенной точности

Для расчетов с плохо обусловленными системами, где стандартной двойной точности (64-бит) недостаточно, может потребоваться переход на арифметику повышенной точности (например, квадро-точность, 128-бит). Увеличение разряда представления чисел снижает начальную ошибку округления, что позволяет предотвратить катастрофу.

Заключение

Численная устойчивость – необходимое условие надежности итерационных методов. "Эффект катастрофы округления", вызванный потерей значащих цифр, остается главной угрозой для точности вычислений.

Преодоление этой проблемы достигается за счет:

1. Проактивного математического анализа и переформулировки неустойчивых выражений.
2. Применения адаптивных и численно устойчивых алгоритмов оптимизации в итерационных процессах.
3. Использования арифметики повышенной точности в критических случаях.

Сочетание этих подходов обеспечивает достоверность итоговых результатов.

Библиографический список

1. Бахвалов, Н. С. Численные методы: учеб. пособие / Н. С. Бахвалов, Н. П. Жидков, Г. М. Кобельков. – 8-е изд. – Москва: Лаборатория знаний, 2017. – 265 с.
2. Хабаров, С. П. Численные методы оптимизации: учебное пособие / С. П. Хабаров. – Москва: Физматлит, 2014. – 17 с.
3. Самарский, А. А. Численные методы: учебное пособие / А. А. Самарский, А. В. Гулин. – Москва: Наука, 1989. – 339с.

© Гареев И.И., Ханов А.З., 2025

А.И. ГИНИЯТОВ, Д.В. СУЛТАНОВ

anvar556@mail.ru, denya71004@mail.ru

Науч. руковод. – канд. техн. наук, доц. О.С. НУРГАЯНОВА

*Уфимский университет науки и технологий***CAREIDENT – ИНФОРМАЦИОННАЯ СИСТЕМА С ИИ-ПОМОЩНИКОМ
ДЛЯ СТОМАТОЛОГИЧЕСКОЙ КЛИНИКИ**

Аннотация: в статье рассматривается разработка информационной системы для автоматизации процессов в стоматологической клинике, включающей функции ведения расписания врачей, записи пациентов, хранения медицинских данных и автоматического анализа рентгеновских снимков зубов. Актуальность работы обусловлена ростом объёма цифровых медицинских данных и необходимостью ускорения диагностических процессов при одновременном снижении нагрузки на врачей. Разработанная система обеспечивает автоматическое формирование подробного отчёта о состоянии зубочелюстной системы пациента.

Ключевые слова: распознавание образов, информационная система, нейронные сети, рентгеновский снимок, сегментация объектов.

Введение

Стоматология является одной из наиболее цифровизированных областей медицины. Современные клиники используют электронные медицинские карты, цифровые томографы, рентгенографические установки и системы планирования лечения. Однако проблема интеграции всех данных в единую систему информационную систему до сих пор остаётся актуальной.

Цель настоящей работы – создание информационной системы для стоматологических учреждений, включающей модули управления пациентами, расписанием врачей, ведения базы рентгеновских снимков и автоматического анализа изображений с использованием нейронных сетей.

Анализ существующих решений

Сравнительный анализ существующих систем для анализа стоматологических изображений приведён в таблице 1.

Таблица 1

| Система | Тип | Анализ снимков | Расписание врачей | Хранение данных | Локальное развертывание | Открытость кода |
|-----------|-----------|----------------|-------------------|-----------------|-------------------------|-----------------|
| Dentomo | Облачная | + | – | частично | – | – |
| Diagnocat | Облачная | + | – | + | – | – |
| Carentent | Локальная | + | + | + | + | + |

Из анализа видно, что большинство коммерческих решений основаны на облачных технологиях и не позволяют интегрировать расписание и приём пациентов в единую базу.

Методы анализа рентгеновский снимков

Существуют два основных подхода к анализу медицинских изображений: классические методы компьютерного зрения и нейросетевые модели [3]. Первые основаны на фильтрации и пороговой сегментации, но недостаточно устойчивы к шуму и сложным структурам рентгеновских снимков. Современные нейросетевые методы (U-Net, Mask R-CNN, DeepLab) обеспечивают высокую точность, однако требуют больших вычислительных ресурсов.

Архитектура YOLOv8 выбрана благодаря способности выполнять детекцию и сегментацию объектов за один проход сети, сочетая высокую точность и скорость работы. Это делает её оптимальной для анализа стоматологических рентгенов, где необходимо одновременно выделять десятки мелких объектов – зубы и области патологий.

Архитектура нейронной сети

Разработанная архитектура включает две независимые нейронные сети семейства YOLOv8, обученные на разных типах данных – для сегментации зубов и стоматологических заболеваний.

Архитектура YOLOv8 состоит из трёх основных компонент [1]:

1. Backbone (CSPDarknet+C2f)

Отвечает за извлечение признаков из входного изображения. Внутри используется модуль C2f. Это обеспечивает более эффективное использование памяти и ускоряет сходимость.

В конце блока применяется слой SPPF (Spatial Pyramid Pooling – Fast), который извлекает признаки из различных масштабов и объединяет их в единый вектор признаков.

2. Neck

Состоит из комбинации Feature Pyramid Network (FPN) и Path Aggregation Network (PAN). Эта часть объединяет признаки с разных уровней глубины, что позволяет одновременно учитывать, как мелкие детали, так и крупные структуры.

3. Head (детектор и сегментатор)

1. Координаты ограничивающих рамок (bounding boxes);
2. Вероятность наличия объекта (objectness score);
3. Принадлежность к определённому классу (номер зуба или тип заболевания);
4. Маску сегментации.

Для окончательного выбора областей используется Non-Maximum Suppression (NMS) – метод, устраняющий дублирующиеся предсказания с высокой перекрываемостью.

Процесс обучения модели

Обучение нейросетевых моделей проводилось для двух независимых задач: сегментации зубов и сегментации стоматологических заболеваний.

Модель сегментации зубов обучалась на 598 панорамном рентгеновском снимке с разрешением 2048×1024 пикселя [4]. Каждое изображение содержало аннотации для 32 классов зубов. Обучение модели выполнялось в течение 300 эпох и размером батча 2.

Модель сегментации стоматологических заболеваний обучалась на датасете, включающем 5512 аннотированных изображения с разрешением 1615×840 пикселей [5]. В обучающем наборе были шесть классов заболеваний: кариес, коронка, пломба, имплант, лечение корневого канала и ретинированный зуб. Для данной модели использовалось 150 эпох и размере батча 2.

Процесс обучения обеих моделей проводился с применением механизмов аугментации YOLOv8, среди которых – случайные повороты изображения в пределах $\pm 15^\circ$, масштабирование с коэффициентом от 0.5 до 1.5, сдвиги и сжатия с углом до 5° , а также случайные горизонтальные отражения с вероятностью 50%. В качестве оптимизатора применялся Adam.

Результаты обучения

По завершении обучения модели прошли тестирование на независимых выборках изображений, не использовавшихся в процессе тренировки. Модель сегментации зубов: на тестовой выборке были достигнуты следующие показатели: Precision – 92.3%, Recall – 91.0%, F1-score – 91.6%, а средняя точность mAP@0.5 составила 0.94.

Модель сегментации стоматологических заболеваний: Precision – 88.4%, Recall – 90.1%, F1-score – 89.2%, значение mAP@0.5 составило 0.93.

Веб-приложение

Разработанное веб-приложение представляет собой интегрированную информационную систему для стоматологической клиники, объединяющую управление пациентами, расписанием врачей и анализ рентгеновских снимков. Клиентская часть выполнена с использованием HTML, CSS и JavaScript. Серверная часть разработана на Python (FastAPI) [2] и взаимодействует с базой данных PostgreSQL. После загрузки рентгеновского изображения (Рис. 5) искусственный интеллект выполняет сегментацию зубов и заболеваний (Рис. 6), система формирует отчёт с классификацией каждого зуба и отображает визуализацию результата (Рис. 7, Рис. 8). Готовый отчёт можно сохранить в формате PDF и прикрепить к пациенту (Рис. 9).



Рис. 5. Исходный снимок



Рис. 6. Обработанный снимок

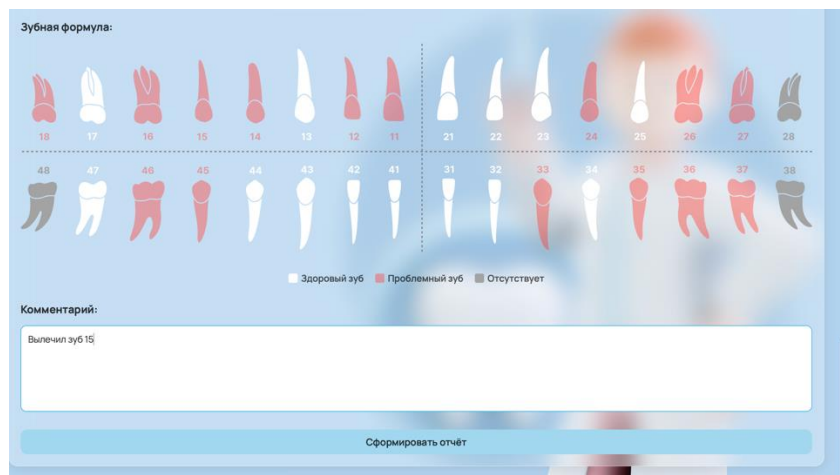


Рис. 7. Зубная формула

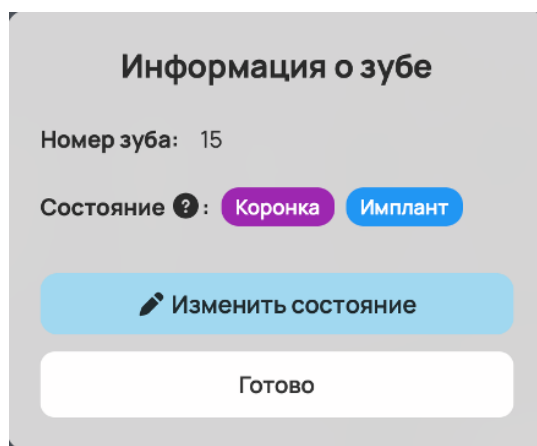


Рис. 8. Модальное окно информации о зубе

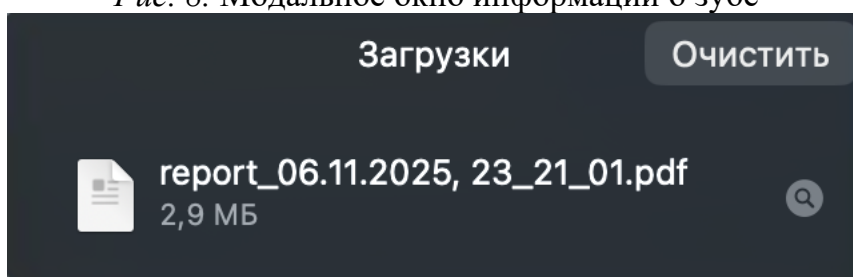


Рис. 9. Скачанный отчет в формате PDF

Заключение

Разработана информационная система для стоматологии, включающая модули автоматической сегментации зубов и выявления стоматологических заболеваний на основе архитектуры YOLOv8. Обученные модели демонстрируют точность свыше 93% на тестовой выборке. Реализовано веб-приложение, обеспечивающее загрузку рентгеновских снимков, визуализацию результатов, формирование отчетов и управление данными пациентов и расписанием врачей.

Дальнейшее развитие системы предусматривает расширение и балансировку датасетов, что позволит повысить устойчивость моделей к разнообразию снимков, уменьшить количество ложноположительных и ложноотрицательных срабатываний, а также увеличить долю истинноположительных определений.

Библиографический список

1. Jocher G., Chaurasia A., Qiu J. YOLOv8: Ultralytics YOLO Series [Электронный ресурс]. Ultralytics, 2023. – URL: <https://docs.ultralytics.com> (дата обращения: 09.11.2025).
2. Руководство FastAPI [Электронный ресурс] URL: <https://fastapi.tiangolo.com/ru/tutorial/> (дата обращения: 09.11.2025).
3. Габдиев Ф. Ф., Сметанина О. Н., Сазонова Е. Ю. Глубокие нейронные сети для решения задачи распознавания лиц по фотоизображению [Электронный ресурс] // Современные наукоёмкие технологии. 2020. № 5. URL: <https://s.top-technologies.ru/pdf/2020/5/38041.pdf> (дата обращения: 09.11.2025).
4. Teeth Segmentation on dental X-ray images [Электронный ресурс] Kaggle. URL: <https://www.kaggle.com/datasets/humansintheloop/teeth-segmentation-on-dental-x-ray-images> (дата обращения: 09.11.2025).
5. Dental X-Ray Panoramic Dataset [Электронный ресурс] Kaggle. URL: <https://www.kaggle.com/datasets/lokisilvres/dental-disease-panoramic-detection-dataset> (дата обращения: 09.11.2025).

© Гиниятов А.И., Султанов Д.В., 2025

С.А. ГОРДЕЕВА

sofyagordeeva2002@gmail.com

Науч. руковод. – док. техн. наук, проф., доцент Г.Р. ВОРОБЬЕВА

Уфимский университет науки и технологий

ОБЗОР ЗАДАЧИ ТРАНСФОРМАЦИИ КООРДИНАТ ГЕОЦЕНТРИЧЕСКОГО ТИПА

Аннотация: рассмотрена задача преобразования геоцентрических координат для спутниковой навигации и астрономических исследований. Проанализированы существующие программные решения и выявлены их ограничения. Предложен веб-ориентированный подход с плагинной архитектурой, обеспечивающий гибкость и доступность преобразования координат.

Ключевые слова: геоцентрические координаты; системы координат; трансформация; спутниковая навигация; веб-ГИС; астрономия.

Введение. Геоцентрические системы координат являются фундаментальным инструментом в космической навигации, астрономии и геодезии. В отличие от топоцентрических систем, где начало координат находится на поверхности Земли, в геоцентрических системах начало координат совпадает с центром масс Земли. Это позволяет единообразно описывать положение спутников, космических аппаратов и других объектов в околоземном пространстве. Основными системами являются экваториальные, эклиптические и орбитальные координаты, каждая из которых имеет свою область применения и математический аппарат для преобразований.

Актуальность. Преобразование геоцентрических координат сохраняет высокую актуальность в связи с ростом количества космических миссий, спутниковых группировок и задач дистанционного зондирования Земли.

Точное преобразование между различными геоцентрическими системами необходимо для:

- Планирования и управления космическими аппаратами;
- Обработки данных спутниковой навигации;
- Астрономических наблюдений и расчётов;
- Решения задач орбитальной механики;
- Интеграции данных из различных источников.

Текущие решения и их недостатки. Существующие решения для преобразования геоцентрических координат включают как специализированное программное обеспечение, так и библиотеки для языков программирования. Однако они обладают рядом существенных недостатков:

- Высокий порог входа для пользователей;

- Сложность интеграции в веб-среду;
- Ограниченная поддержка обратных преобразований;
- Отсутствие унифицированных API для взаимодействия между системами;
- Высокие требования к вычислительным ресурсам.

Примеры существующих решений. Среди наиболее известных решений можно выделить:

- SPICE Toolkit – разработан NASA для расчётов в области космической геометрии, но требует глубокого понимания архитектуры SPICE;
- GMAT – открытая система для моделирования орбит, однако имеет сложный интерфейс и ограниченные возможности веб-интеграции;
- Astropy – популярная библиотека Python для астрономических расчётов, но ориентирована в первую очередь на научное использование, а не на прикладные задачи;
- PROJ – поддерживает некоторые виды геоцентрических преобразований, но не покрывает все возможные сценарии использования.

Необходимость нового подхода. Анализ существующих решений показывает очевидную необходимость в создании универсального, доступного и легко интегрируемого инструмента для преобразования геоцентрических координат. Такой инструмент должен:

- Поддерживать прямое и обратное преобразование между основными геоцентрическими системами;
- Предоставлять веб-интерфейс и API для программного доступа;
- Обладать модульной архитектурой для лёгкого расширения функциональности;
- Быть ориентированным на пользователей с разным уровнем подготовки.

Веб-ориентированные решения. Разработка веб-ориентированного решения для преобразования геоцентрических координат позволит преодолеть многие ограничения существующих систем. Такой подход обеспечит:

- Доступность через браузер без необходимости установки дополнительного ПО;
- Возможность лёгкой интеграции в существующие ГИС и веб-приложения;
- Поддержку распределённых вычислений для обработки больших объёмов данных;
- Кроссплатформенность и масштабируемость;
- Простоту обновления и расширения функциональности.

Заключение

Задача преобразования геоцентрических координат остается критически важной для многих областей науки и техники. Существующие решения, несмотря на их мощь, часто оказываются слишком сложными для повседневного использования или не поддерживают необходимые сценарии интеграции. Предлагаемый веб-ориентированный подход с модульной архитектурой позволит создать универсальный инструмент, доступный для широкого круга пользователей - от студентов до профессионалов в области

космических исследований. Дальнейшая работа должна быть направлена на реализацию прототипа системы и тестирование его на реальных задачах.

Библиографический список

1. Ancillary data services of NASA's Navigation and Ancillary Information Facility / Эктон, Чарльз Х. // Planetary and Space Science. – 1996. – URL: <https://ui.adsabs.harvard.edu/abs/1996P%26SS...44...65A/abstract>

2. The Astropy Project: Building an Open-science Project and Status of the v2.0 Core Package / A. M. Price-Whelan, B. M. Sipőcz, H. M. Günther, P. L. Lim // The Astronomical Journal. – 2018. – URL: https://www.researchgate.net/publication/327195675_The_Astropy_Project_Building_an_Open-science_Project_and_Status_of_the_v20_Core_Package

3. Fundamentals of Astrodynamics and Applications / Валладо Дэвид А. // Space Technology Series. – 2013. – URL: <https://sciarium.com/file/309450/>

© Гордеева С.А., 2025

А.Э. ДАУТОВА, Г.К. ХИСАМЕТДИНОВА

makella@rambler.ru

Науч. руковод. – д.ф.-м.н., проф. Э.Р. ГИЗЗАТОВА

Уфимский университет науки и технологий

ПРИМЕНЕНИЕ ГЕНЕТИЧЕСКОГО АЛГОРИТМА ПРИ МИНИМИЗАЦИИ СУММЫ НЕЛИНЕЙНЫХ ФУНКЦИЙ

Аннотация: в настоящей работе рассматриваются вопросы применения генетического алгоритма к решению задачи восстановления параметров для суммы двух функций. Показан алгоритм решения задачи и приведены основные таблицы получаемых данных.

Ключевые слова: генетический алгоритм, регрессионная задача, обратная задача.

Генетические алгоритмы на сегодняшний день становятся интересным и актуальным способом решения оптимизационных задач, поскольку они достаточно просты для понимания и реализации, при этом не «привязываются» к характеристикам искомой функции. Возможность применения генетических алгоритмов достаточно широка в силу их простоты понимания и записи на алгоритмическом языке.

В работе рассматривается задача восстановления параметров для нелинейной функции, представляющей собой сумму:

$$y(x) = a_1x^2 + a_2x^3 \quad (1)$$

Предполагается, что искомые параметры распределены на интервале от 0 до 1. Такое допущение иногда заменяется условием $a_1 + a_2 = 1$, тогда сами параметры можно принять за весовые коэффициенты и ход решения задачи несколько меняется. Однако в данном случае, ставилась задача поиска параметров, независимых друг от друга, то есть поиск все же двух параметров.

Для перехода к описанию программного обеспечения, необходимо указать на две основные процедуры генетического алгоритма – скрещивание и мутацию. Эти процедуры берут свое начало от основополагающих законов, заложенных в эволюционной теории Ч. Дарвина. Суть процедуры скрещивания – обмен несколькими генами у двух родителей, суть процедур мутации – принудительное задание выбранному гену определенного значения. Но, так же, как и в биологических структурах необходим отбор, который фильтрует «слабые», с точки зрения приспособленности к условиям жизни, особи и оставляет только «жизнеспособные». Понятно, что цикличность скрещиваний и мутаций задается изначально. Такой подход обеспечивает достаточный поиск коэффициентов функции (1) и их схождение к одному набору.

Алгоритм написан в среде Си++. Для удобства понимания действий и слежения за параметрами, длину исходной популяции ограничи́ли 5-ю особями. В качестве функции приспособленности использовали стандартную ошибку:

$$\delta = \sum_{i=0}^n (y(x_i) - y_i^{exp})^2 \quad (2)$$

Условия вычислительного эксперимента: по исходным (экспериментальным) данным, где $x \in [0; 5]$, с шагом 0,5 получены некоторые значения функции. В предположении аналитического представления функции в виде (1) требуется найти значения a_1 и a_2 . Поскольку задача проводится в тестовом режиме, то приблизительные значения параметров известны: 0,8 и 0,2. Ниже приведена таблица по работе алгоритма.

Таблица 1

Значения исходной популяции в виде набора (a_1, a_2) и ошибки δ

| № | a_1 | a_2 | δ |
|---|----------|----------|-------------|
| 0 | 0,187899 | 0,603420 | 474,953122 |
| 1 | 0,942786 | 0,984775 | 5159,405792 |
| 2 | 0,024483 | 0,431844 | 8,108742 |
| 3 | 0,532419 | 0,420290 | 145,936134 |
| 4 | 0,327439 | 0,792709 | 1752,784895 |

Очевидно, что лучшая особь исходной популяции, выбранная по минимуму значения δ есть (0,024483; 0,431844). Далее по алгоритму было проведено скрещивание между всеми особями и получено 20 потомков. И них наилучший набор был получен как (0,024483; 0,420290) с $\delta=3,220956$, то есть это скрещивание 2-ой и 3-ей особи.

Конечная процедура – мутация была проведена как перебор всех возможных значений по сетке $[a_1^{min}, a_1^{max}] \times [a_2^{min}, a_2^{max}]$, где минимальные и максимальные значения параметров получены из исходной популяции. Наилучшее приближение из процедуры мутации - (0,024483; 0,420290) с $\delta=3,220956$. Полученные результаты могут быть использованы для дальнейших итераций и улучшены в ходе работы генетического алгоритма.

Таким образом, в работе было показано использование генетического алгоритма в задаче восстановления параметров нелинейной функции.

Библиографический список

1. Басаргин, А. А. Методы искусственного интеллекта : учебное пособие / А. А. Басаргин. – Новосибирск : СГУГиТ, 2022. – 164 с.
2. Генетический алгоритм. Просто о сложном. [Электронный ресурс: <https://habr.com/ru/articles/128704/> (дата обращения: 06.05.2025)]
3. Генетический алгоритм. [Электронный ресурс: <https://ru.wikipedia.org/wiki/> (дата обращения: 06.05.2025)]

© Даутова А.Э., Хисаметдинова Г.К., 2025

А.В. ЗАВЕДЕЕВ

lyaksey987@mail.ru

Науч. руковод. – д.т.н., профессор Н.М. ШЕРЫХАЛИНА

Уфимский университет науки и технологий

МОДИФИКАЦИЯ КУЧИ ДЛЯ ЭФФЕКТИВНОГО ПОИСКА К-ГО НАИМЕНЬШЕГО ЭЛЕМЕНТА

Аннотация: в статье рассматривается модификация структуры данных "куча" (heap) для эффективного поиска k -го наименьшего элемента в потоке данных. Предлагается подход с использованием max -кучи ограниченного размера, проводится сравнительный анализ с традиционными методами, обсуждаются преимущества и недостатки предложенного решения. Проведен анализ вычислительной сложности и сравнение с альтернативными подходами.

Ключевые слова: куча (heap), k -й наименьший элемент, max -куча, алгоритмы поиска, структуры данных, сложность алгоритмов.

Куча (heap) — это широко известная классическая структура данных, обеспечивающая эффективный доступ к минимальному или максимальному элементу за логарифмическое время. Однако поиск k -го наименьшего элемента в потоке данных или несортированном массиве требует нетривиальной модификации стандартной реализации кучи. В данной статье предлагается простое, но эффективное решение на основе max -кучи ограниченного размера.

Основная идея: Использование max -кучи для хранения k наименьших элементов из всех обработанных, где корень кучи всегда представляет собой текущий k -й наименьший элемент на каждом этапе обработки данных.

Реализация по шагам:

– Инициализация: создается изначально пустая max -куча, которая на практике реализуется через стандартную min -кучу с инвертированными значениями элементов.

– Обработка элементов: для каждого нового поступающего элемента выполняется следующий алгоритм:

1. Если куча в данный момент содержит менее k элементов, то новый элемент просто добавляется в кучу.

2. Если куча уже заполнена (содержит ровно k элементов) и при этом новый элемент оказывается меньше текущего k -го наименьшего (то есть корня max -кучи), то корень кучи удаляется и заменяется этим новым элементом с последующей процедурой переупорядочивания кучи.

Получение результата: после обработки всех необходимых элементов корень кучи всегда содержит итоговый k -й наименьший элемент, который можно извлечь за константное время $O(1)$.

Алгоритм написан на высокоуровневом языке программирования python, который содержит стандартную библиотеку, позволяющую работать с минимальной кучей (рис. 1). Также были прописаны входные данные, такие как длина массива, его элементы, позволяющие проверить работоспособность алгоритма.

```
import heapq

class KthSmallest:
    def __init__(self, k):
        self.k = k
        self.max_heap = []
    def add(self, num):
        if len(self.max_heap) < self.k:
            heapq.heappush(self.max_heap, -num)
        elif num < -self.max_heap[0]:
            heapq.heappushpop(self.max_heap, -num)
        return -self.max_heap[0] if len(self.max_heap) == self.k else None

kth_finder = KthSmallest(3)
numbers = [5, 2, 8, 1, 9, 3, 7, 4, 6]
print("Поиск 3-го наименьшего элемента в последовательности:")
for num in numbers:
    result = kth_finder.add(num)
    print(f"Добавлен {num}: текущий 3-й наименьший = {result}")
print(f"Итоговый результат: {result}")
print(f"Проверка: отсортированный список = {sorted(numbers)}")
print(f"3-й наименьший = {sorted(numbers)[2]}")
```

Рис. 1. Реализация программы

Программа была протестирована на неупорядоченном массиве. Для полного отслеживания и понимания работы кода, процесс нахождения элемента и результаты выведены в консоль (рис. 2).

```
Поиск 3-го наименьшего элемента в последовательности:
Добавлен 5: текущий 3-й наименьший = None
Добавлен 2: текущий 3-й наименьший = None
Добавлен 8: текущий 3-й наименьший = 8
Добавлен 1: текущий 3-й наименьший = 5
Добавлен 9: текущий 3-й наименьший = 5
Добавлен 3: текущий 3-й наименьший = 3
Добавлен 7: текущий 3-й наименьший = 3
Добавлен 4: текущий 3-й наименьший = 3
Добавлен 6: текущий 3-й наименьший = 3
Итоговый результат: 3
Проверка: отсортированный список = [1, 2, 3, 4, 5, 6, 7, 8, 9]
3-й наименьший = 3
```

Рис. 2. Визуализация работы

Представленный выше алгоритм модификации был сравнен с полной сортировкой в критериях сложности, памяти, преимуществ и недостатков. По параметрам временной сложности и расходу памяти программа показывает своё превосходство над полной сортировкой. Минусом же является требование к пониманию данной структуры, так как реализация модификации кучи более сложная, чем полная сортировка.

В таблице 1 представлено полное сравнение методов, их преимущества и недостатки.

Таблица 1

Сравнительный анализ различных методов

| Критери й | Модифицированная куча | Полная сортировка |
|------------------|--|---|
| Сложно сть | $O(n \log k)$ | $O(n \log n)$ |
| Память | $O(k)$ | $O(n)$ |
| Преиму щества | <ol style="list-style-type: none"> 1. Экономия памяти 2. Работа с потоками данных 3. Онлайн-обработка 4. Эффективна при $k \ll n$ | <ol style="list-style-type: none"> 1. Простота реализации 2. Стабильная производительность 3. Универсальность 4. Легкость отладки |
| Недоста тки | <ol style="list-style-type: none"> 1. Медленнее при $k \approx n$ 2. Сложнее в реализации 3. Требуется понимания структуры кучи | <ol style="list-style-type: none"> 1. Неэффективно для больших n 2. Не работает с потоками 3. Избыточное использование памяти 4. Медленная инициализация |

Данная модификация классической кучи помогает найти k -й наименьший элемент, избегая больших затрат по памяти. Алгоритм демонстрирует свою пользу в случаях потоковой обработки данных, где информация поступает непрерывно. В случаях, когда значение k много меньше длины исходного массива, решение значительно превосходит обычные методы по потреблению памяти, скорости выполнения.

Преимущества подхода дают возможность обработки потоков данных в реальном времени без необходимости хранения всех поступающих элементов в отдельном хранилище, что делает программу особенно ценной для систем реального времени и приложений с непрерывным чтением данных. Эффективность алгоритма достигается за счет поддержания размера структуры данных кучи постоянным и небольшим относительно общего объема обрабатываемой информации.

Библиографический список

1. Кормен Т., Лейзерсон Ч., Ривест Р. Алгоритмы: построение и анализ — М.: Вильямс, 2022. — 1328 с.
2. GeeksforGeeks: «Heap Data Structure» [Электронный ресурс]. — URL: <https://www.geeksforgeeks.org/>
3. Wikipedia: «Binary heap», «Selection algorithm» [Электронный ресурс]. — URL: <https://en.wikipedia.org/>

© Заведеев А.В., 2025

Д.Р. Зулкарнаев, Э.Р. Саитова, А.Р. Файзуллин
danilzul2002@gmail.com, saitova-2004@mail.ru, faiz454@mail.ru
Науч. руковод. – д.т.н., профессор Н.М. ШЕРЫХАЛИНА

Уфимский университет науки и технологий

ИССЛЕДОВАНИЕ МИНИМАЛЬНОГО РАЗМЕРА ОБЛАКОВ ТОЧЕК ДЛЯ КЛАССИФИКАЦИИ 3D-ОБЪЕКТОВ С ИСПОЛЬЗОВАНИЕМ POINTNET++

Аннотация: исследовано минимальное количество точек облака для классификации 3D-объектов в PointNet++. Сравнены три стратегии сокращения точек: случайная выборка, наиболее удаленные точки (Farthest Point Sampling) и градиентный метод (Gradient-Based). Установлено, что для достижения точности 80% требуется от 32 до 192 точек в зависимости от сложности геометрии объекта и стратегии выборки. Наилучшие результаты показал градиентный метод.

Ключевые слова: Облака точек, минимальный размер данных, оптимизация данных, PointNet++, компьютерное зрение, градиентный метод, выборка наиболее удаленных точек, случайный выбор, классификация 3D-объектов, сокращение данных, стратегии выборки, оптимизация данных.

Введение

В последние годы обработка трёхмерных данных приобрела ключевое значение благодаря развитию технологий лазерного сканирования, LiDAR и фотограмметрии. Облака точек как основной формат 3D-данных активно используются в автономных транспортных средствах, робототехнике, дополненной реальности и промышленном контроле. Однако обработка объёмных облаков точек требует значительных вычислительных ресурсов, что ограничивает их применение на устройствах с ограниченными возможностями.

Традиционные подходы к обработке 3D-данных предполагали преобразование облаков точек в регулярные представления (воксельные сетки, 2D-проекции), что приводило к потере информации и увеличению вычислительной нагрузки. Революционным решением стала архитектура PointNet [1], впервые предложившая прямую обработку неупорядоченных множеств точек с сохранением инвариантности к перестановкам. Её развитие – архитектура PointNet++ [2] – обеспечила учёт локальных структур и иерархическое представление данных.

Несмотря на высокую эффективность современных архитектур для обработки облаков точек, вопрос о минимальном количестве точек, необходимом для надёжной классификации, остаётся открытым. Исследование этой зависимости имеет практическую значимость для оптимизации систем

реального времени, снижения требований к хранению данных и ускорения вычислений.

Целью работы является анализ влияния количества точек на точность классификации при использовании различных стратегий выборки. Результаты позволят определить оптимальные параметры сокращения облаков точек для различных классов объектов без существенной потери качества распознавания.

Архитектура PointNet++

PointNet++ – иерархическое расширение PointNet, предназначенное для эффективного извлечения локальных признаков из облаков точек. Ключевым элементом архитектуры является модуль Set Abstraction, который рекурсивно агрегирует признаки из локальных окрестностей, формируя многоуровневое представление геометрии. Архитектура включает три основных компонента: модуль Set Abstraction (выборка точек через FPS, группировка Ball Query и извлечение признаков MLP), иерархическую структуру для захвата признаков разного масштаба и финальную глобальную агрегацию через max pooling.

Математическая формулировка

Пусть задано облако точек $P = \{p_1, p_2, \dots, p_n\}$ где каждая точка $p_i \in \mathbb{R}^3$ представляет координаты в трёхмерном пространстве. Модуль Set Abstraction преобразует входное множество точек следующим образом:

$$SA(P) = \{(c_1, f_1), (c_2, f_2), \dots, (c_m, f_m)\}$$

где c_j - координаты центроидов (выбранных точек), f_j - вектор признаков, агрегированный из локальной окрестности, $m < n$ - количество точек после субдискретизации. Вектор признаков f_j для центроида c_j вычисляется как:

$$f_j = \max_{i \in N(c_j)} \{h(p_i - c_j, f_i)\}$$

где $N(c_j)$ - множество точек в окрестности радиуса r вокруг c_j , $h(\cdot)$ - разделяемая нейронная сеть (shared MLP), операция max обеспечивает инвариантность к порядку точек.

Для задачи классификации выход последнего SA-модуля подаётся на полносвязные слои с функцией активации ReLU и dropout для регуляризации:

$$y = \text{softmax}\left(W_3 \cdot \text{ReLU}\left(W_2 \cdot \text{ReLU}\left(W_1 \cdot f_{global}\right)\right)\right)$$

где f_{global} - глобальный вектор признаков размерности 1024, W_1, W_2, W_3 - весовые матрицы полносвязных слоёв, y - вектор вероятностей принадлежности к каждому из классов.

Особенности реализации

В данном исследовании использовалась модификация PointNet++ с тремя последовательными SA-модулями:

- SA1: вход - 1024 точки, выход - 512 точек, радиус группировки $r = 0.2$,
размер окрестности 32 точки,
MLP (MultiLayer Perceptron) [64, 64, 128]

- SA2: вход - 512 точек, выход - 128 точек, радиус $r = 0.4$, размер окрестности 64 точки, *MLP* [128, 128, 256]
- SA3: глобальная агрегация всех 128 точек, *MLP* [256, 512, 1024]

Такая конфигурация обеспечивает баланс между вычислительной эффективностью и способностью к извлечению многоуровневых признаков.

Стратегии сокращения облака точек

Для исследования влияния количества точек на качество классификации были реализованы три различные стратегии выборки подмножеств точек из исходных облаков: случайная выборка, выборка наиболее удаленных точек (Farthest Point Sampling) и градиентная выборка (Gradient-Based Sampling).

Методология эксперимента

Эксперименты проводились на датасете ModelNet10 [3], содержащем 4899 трёхмерных объектов 10 категорий, разделённых на обучающую (3991 объект) и тестовую (908 объектов) выборки. Каждый объект конвертировался в облако из 1024 точек путём равномерной случайной выборки вершин.

Предобработка данных включала нормализацию: центрирование относительно центра масс с последующим масштабированием до единичной сферы для устранения влияния положения и масштаба объектов. На этапе обучения применялась аугментация данных: случайное удаление до 87,5% точек, масштабирование (коэффициент 0.8-1.25) и сдвиг (± 0.1 по осям).

Параметры обучения

Модель PointNet++ обучалась с использованием оптимизатора Adam, где начальная скорость обучения составляла $\alpha = 0.001$, а параметры $\beta_1 = 0.9$ и $\beta_2 = 0.999$ соответствовали стандартным значениям для стабильной сходимости. В качестве планировщика скорости обучения применялся StepLR с шагом в 20 эпох и коэффициентом затухания $\gamma = 0.7$, что обеспечивало постепенное снижение скорости обучения по мере приближения к оптимуму. Размер батча был установлен равным 24, эксперимент проводился в среде Google Colab.

Обучение модели проводилось в течение 100 эпох. Для предотвращения переобучения использовались механизмы регуляризации — весовое затухание (weight decay) с коэффициентом 10^{-4} и dropout = 0.4 в полносвязных слоях. В качестве функции потерь применялась кросс-энтропия с label smoothing ($\epsilon = 0.2$), что способствовало повышению устойчивости модели к шумным данным и снижению избыточной уверенности предсказаний.

Формат тестирования

С целью оценки качества классификации, для каждой стратегии выборки и каждого количества точек

$$k \in \{1024, 768, 512, 384, 256, 192, 128, 96, 64, 48, 32, 24, 16, 12, 8, 6, 4\}$$

проводилась серия испытаний на подмножестве из 500 объектов тестовой выборки для обеспечения статистической значимости.

После применения стратегии выборки сокращённое облако точек подавалось на вход обученной модели. Для каждой конфигурации (стратегия \times количество точек) оценивались три метрики: общая точность (доля верно классифицированных объектов), точность по классам (усреднённая по классам) и минимальное количество точек, при котором общая точность превышала 80%.

Результаты

На полном наборе точек (1024 точки) модель PointNet++ достигла точности 91.4 %, что согласуется с современным уровнем качества для датасета ModelNet10. Анализ распределения точности по классам показал, что наиболее высокие результаты наблюдаются для классов toilet (98 %) и monitor (96.7 %), в то время как классы desk и table продемонстрировали пониженную точность (около 85 %). Точность классификации по каждому классу на полном облаке точек (1024 точки) представлена на изображении ниже (рис. 1).

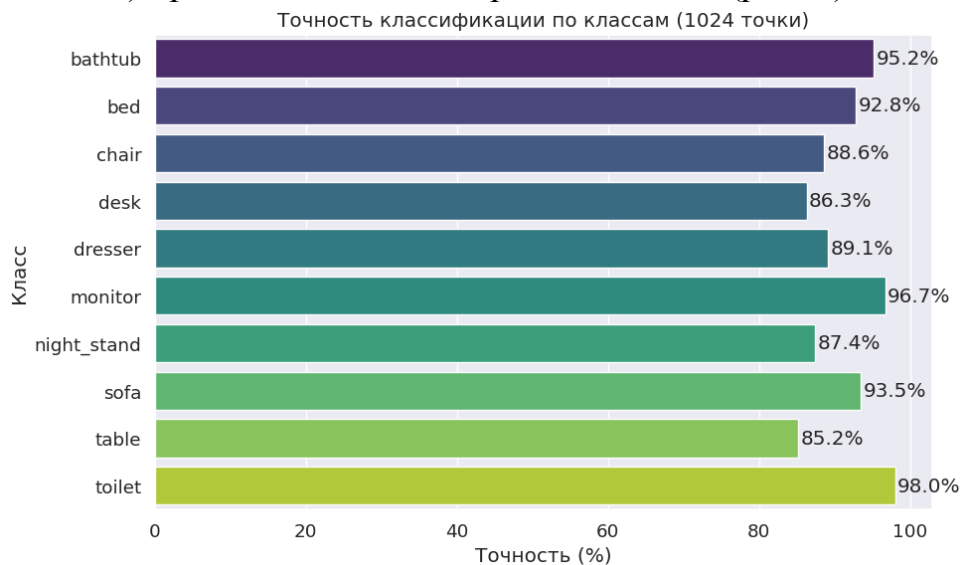


Рис. 10. Точность классификации по каждому классу на облаке из 1024 точек

Зависимость точности от количества точек отражена на кривых деградации (рис. 2). С уменьшением числа точек наблюдалось закономерное снижение точности, однако характер деградации существенно различался между стратегиями выборки. Gradient-based sampling продемонстрировал наилучшую устойчивость к сокращению данных: при 128 точках точность сохранялась на уровне 85 %, а при 64 точках — 82.1 %. Даже при экстремальном уменьшении до 16 точек модель обеспечивала точность 68.4 %. Метод FPS показывал стабильные результаты при 256–512 точках, обеспечивая 88–90 % точности, но при дальнейшем уменьшении данных точность снижалась быстрее, чем у градиентного метода. Случайная выборка

продемонстрировала наиболее резкое падение точности, достигая лишь 52 % при 16 точках.

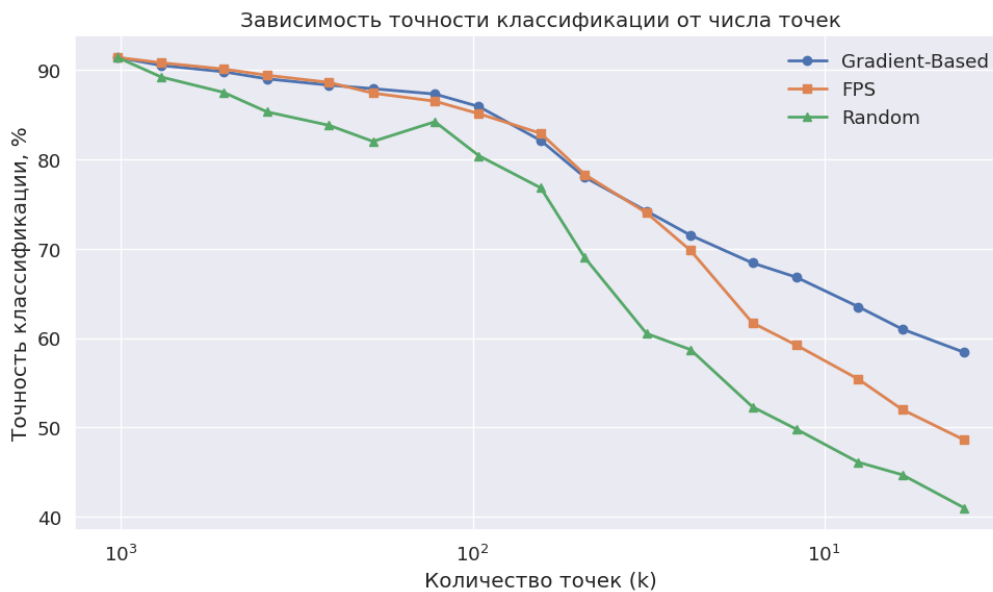


Рис. 11. Зависимость точности классификации от числа точек

Минимальное представление по классам

Для каждого класса объектов было определено минимальное количество точек, необходимое для достижения точности $\geq 80\%$. Простые объекты, такие как monitor и toilet, требовали всего 32–96 точек, в то время как сложные формы, например desk, table и chair, нуждались в 192–512 точках. Градиентная стратегия обеспечила в среднем на 33 % меньше точек, чем случайная выборка, и на 25 % меньше, чем метод FPS, при сохранении требуемого уровня точности.

Обсуждение результатов

Преимущество градиентной выборки объясняется её способностью учитывать внутренние зависимости модели. Точки с наибольшими значениями градиентов соответствуют областям объекта, наиболее значимым для классификации, что согласуется с концепцией critical points в PointNet. Метод FPS обеспечивает равномерное пространственное распределение точек, что полезно для сохранения формы объекта, однако не учитывает семантическую значимость областей. Случайная выборка не обеспечивает репрезентативности данных, и при малом числе точек велика вероятность потери ключевых признаков. Ниже представлена тепловая карта, визуализирующая минимальное количество точек, необходимое для достижения точности классификации $\geq 80\%$ при разных стратегиях выборки (рис. 3).

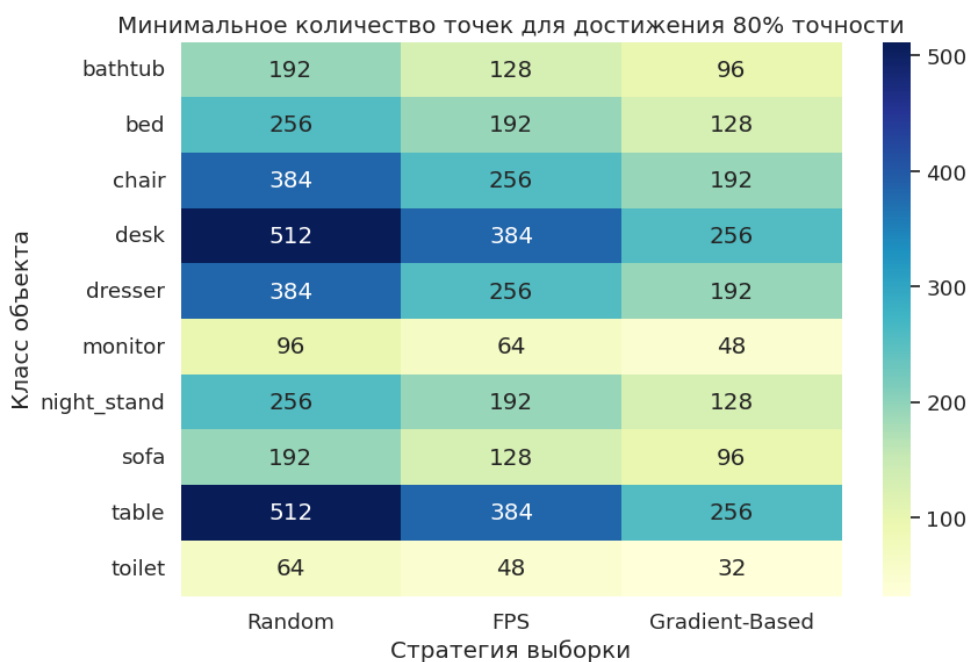


Рис. 12. Минимальное количество точек, необходимое для достижения точности $\geq 80\%$ при разных стратегиях выборки.

На основе анализа точности классификации выделены три категории объектов. Простые объекты (monitor, toilet) требуют 32–96 точек благодаря узнаваемой геометрии. Объекты средней сложности (bathtub, sofa) нуждаются в 96–192 точках из-за вариативности форм. Сложные объекты (desk, table, chair) требуют до 512 точек для распознавания мелких деталей и геометрических особенностей.

Заключение

В работе проведено систематическое исследование зависимости качества классификации трёхмерных объектов от количества точек в облаке при использовании архитектуры PointNet++. Показано, что интеллектуальные стратегии выборки, особенно градиентный метод, позволяют сократить объём данных в 8–32 раз (с 1024 до 32–128 точек) при сохранении точности классификации не ниже 80 %.

Градиентная стратегия продемонстрировала наилучшие результаты, превышая FPS на 3–5 % и случайную выборку на 6–12 % в диапазоне 64–256 точек. Для простых объектов (например, monitor и toilet) достаточно 32–48 точек, тогда как для сложных объектов (например, desk, table) требуется 192–256 точек. Среднее минимальное количество точек, обеспечивающее точность $\geq 80\%$, составило 152 для градиентного метода, 204 для FPS и 288 для случайной выборки.

Полученные результаты могут служить теоретической основой для систем, работающих в реальном времени, к примеру автономный транспорт. В мобильной робототехнике результат исследования и данные о возможном

сокращении количества точек с малой потерей точности могут существенно сократить объем вычислений и передаваемых данных.

Библиографический список

1. Ци, Ч. Р., Су, Х., Мо, К., & Гуибас, Л. Дж.. PointNet: Deep learning on point sets for 3D classification and segmentation // Proceedings of the IEEE Conference on Computer Vision and Pattern Recognition (CVPR). – 2017. – С. 652–660. DOI: 10.1109/CVPR.2017.16,

2. Ци, Ч. Р., Су, Х., Мо, К., & Гуибас, Л. Дж. PointNet++: Deep hierarchical feature learning on point sets in a metric space // Advances in Neural Information Processing Systems (NeurIPS). – 2017. – №30. – С. 5099–5108,

3. Ву З. и др. ModelNet10: 3D CAD Model Dataset [Электронный ресурс]// Kaggle. — 2019. — URL: <https://www.kaggle.com/datasets/balraj98/modelnet10-princeton-3d-object-dataset> (дата обращения: 20.10.2025),

4. Ключев Л. Методы распознавания 3D-объектов для беспилотных автомобилей. Доклад Яндекса [Электронный ресурс] // Хабр. — 2019. — 27 янв. — URL: <https://habr.com/ru/companies/yandex/articles/437674/> (дата обращения: 27.10.2025),

5. Шерыхалина Н.М. Методы обработки результатов численного эксперимента для увеличения их точности и надежности // Вестник УГАТУ (сер. Управление, вычислит. техника и информатика), 2007. Т. 9, №2 (20). – С. 127–137.

6. Sherykhalina N.M., Saifullin R.O., Shaymardanova E.R. Multidimensional polynomial interpolation // Системная инженерия и информационные технологии. – 2023. –Том 5, № 4 (13). – С. 94-100.

7. Шерыхалина Н.М., Савин Е.В. Применение GAN для улучшения разрешения изображений // В сборнике: Информационные технологии интеллектуальной поддержки принятия решений (памяти проф. Н.И. Юсуповой) ITIDS'2024. Труды X Международной научной конференции. В 2-х томах. Уфа, 2024. С. 30-35.

© Зулкарнаев Д.Р., Сайтова Э.Р., Файзуллин А.Р., 2025

А.М. КИСЕЛЕВ
kisaleks15@mail.ru

Науч. руковод. – доц. каф. ВТИК УГНТУ Е.В. ДРУЖИНСКАЯ

Уфимский государственный нефтяной технический университет

МОБИЛЬНЫЙ ГИД ПО ВЕЛОПЕШЕХОДНЫМ МАРШРУТАМ «УФИМСКОГО ОЖЕРЕЛЬЯ»

Аннотация: в статье рассматривается процесс проектирования и разработки мобильного приложения для операционной системы Android, предоставляющее информацию о маршрутах прогулочных троп городского проекта «Уфимское ожерелье». Приложение будет полезно для прогулок в «зелёной» части города Уфы: в статье подробно обоснована полезность приложения, описаны этапы жизненного цикла продукта и представлен полученный результат.

Ключевые слова: мобильное приложение, пользователь, Уфимское ожерелье.

В каждом городе находится ряд достопримечательностей. Однако вспомнить интересные места рядом представляется трудным даже для его коренных жителей. Чтобы помочь горожанам и туристам быстро оперировать местоположением достопримечательностей и информацией о них, предполагается создать мобильное приложение, используя готовый сайт «Уфимского ожерелья» [1] и представленные в нём маршруты как основу: если он будет под рукой, процесс выбора конкретного участка города для туристической прогулки станет проще. Приложение будет полезно тем, кто желает узнать ближе природные уголки города или предпочитает прогулки на свежем воздухе в окружении «зелёных» ландшафтов.

Очевидно превосходство мобильных приложений перед вебсайтами и другими интернет-ресурсами: заурядному пользователю проще открыть установленное приложение, которое более адаптивно и не зависит от возможностей браузера [2]. Приложение может быть разработано для офлайн-использования, стимулирования пользовательской активности, взаимодействия с параметрами экрана и жизненным циклом фрагментов. При этом в мобильном приложении также сохраняется возможность информирования пользователей: таким образом, мобильное приложение более перспективно в сравнении с вебсайтом.

Разработка данного продукта, как и любого другого программного обеспечения, состоит из нескольких этапов, уточняющих все желания заказчика, порядок действий разработчика и структуру создаваемого приложения. Для успешного достижения целей, поставленных в таких условиях, необходимо наиболее точно представлять процесс использования продукта. Согласно национальному стандарту РФ, мобильное приложение представляет собой программное обеспечение, предназначенное для работы на

смартфонах и других портативных, переносных и карманных устройствах [3]. Значит, в планировании любых этапов разработки продукта необходимо учитывать поведение как статичных, так и подвижных пользователей.

В данной статье произведено функциональное моделирование и проектирование мобильного приложения, работа которого представлена ниже в виде use-case диаграмм – проработанных структур классов программного кода логической модели приложения. С их помощью демонстрируется визуальное отображение всех сценариев его использования, что, как известно, позволяет регулярно проверять логику приложения и вносить правки на любом этапе разработки.

Для определения внешнего вида и стиля приложения, были последовательно выполнены прототипирование и подбор эскизов пользовательского вида экранов в соответствии с основными принципами и нормами ui- и ux- дизайна. Также при реализации более узких задач в разработке интерфейса были изобретены решения к проблемам, возникающим по мере усложнения начинки приложения.

Создание приложения

Для разработки программного продукта была выбрана среда разработки IntelliJ IDEA с языком программирования Kotlin, и Android в качестве платформы для мобильного приложения. Благодаря распространённости устройств с данной операционной системой приложение, созданное для пользователей Android, может быть широко распространено.

Из наблюдения за студенческими социальными сетями [4] формируется обоснованный вывод о том, что молодёжь интересуется прогулками по «Уфимскому ожерелью», однако не знает его маршрута. Чтобы поддержать данную инициативу и добавить интерес к прохождению троп, предполагается информирование о ближайших к маршрутам достопримечательностях: приложение должно найти отклик среди пользователей.

Прототипом для разрабатываемого приложения послужили несколько готовых продуктов: официальный сайт «Уфимского ожерелья», Яндекс-карты, веб-страница Красной линии Екатеринбурга [5] и социальная сеть ВКонтакте. Главный функционал нового приложения основан на интерактивной карте, поэтому представляется разумным заимствование элементов из Яндекс-карт: пользователю проще ориентироваться в чём-то новом, если он наблюдает что-то знакомое для себя. Так, на интерактивную карту добавляются метки мест, расположенных рядом с пользователем, кнопка для отслеживания своего местоположения (рис. 1), а также метка, её демонстрирующая.

Для придания более привычного вида мессенджеру, встроенного в приложение, дизайн диалога вдохновлён социальной сетью ВКонтакте (рис. 2).

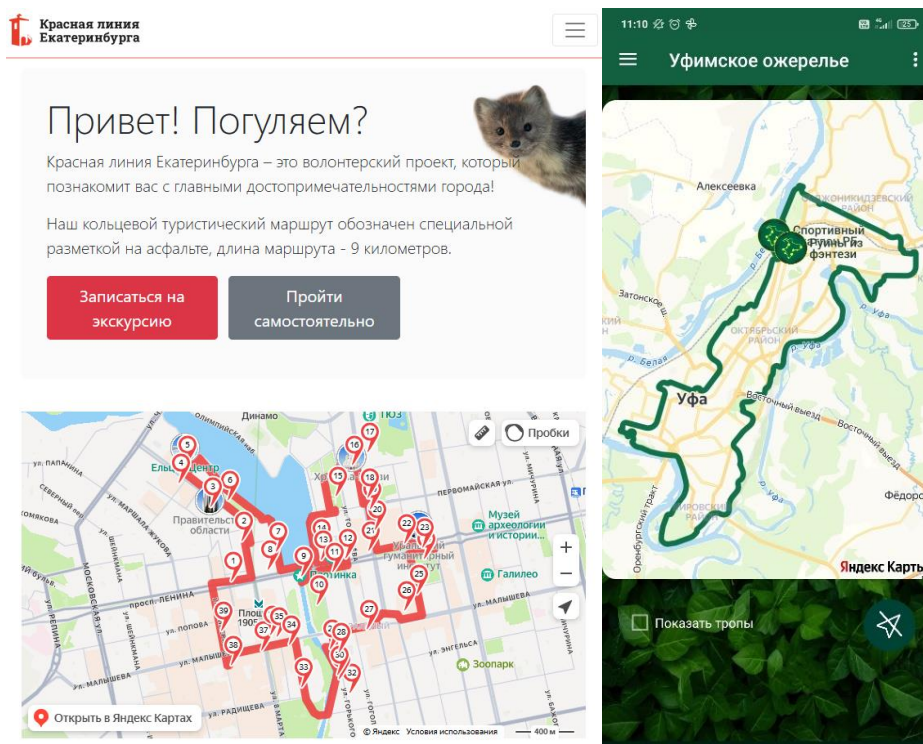


Рис. 1. Аналог и собственное приложение

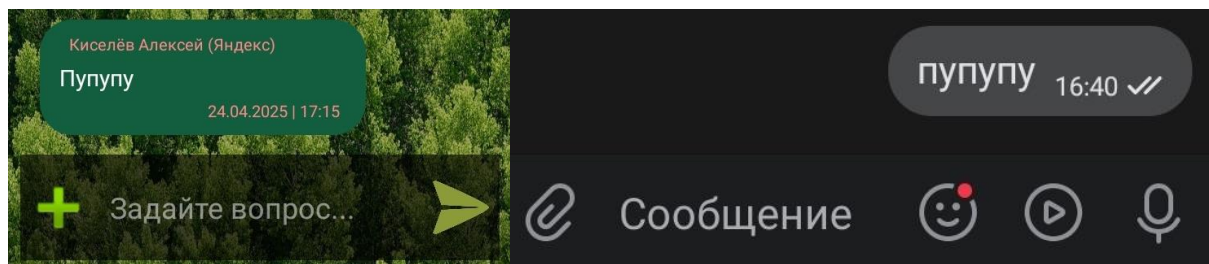


Рис.2. Стиль встроенного мессенджера и социальной сети ВК

На рис. 1 представлена диаграмма, отображающая разработанный функционал: основная идея приложения – прогулки по маршрутам и информирование, следовательно, необходимо предоставить пользователям интерактивную карту г. Уфы с нанесённой на неё маршрутами троп и отображать ближайшие достопримечательности при взаимодействии с ней.

Так, на главном экране приложения следует расположить карту со всеми маршрутами «Уфимского ожерелья». При нажатии на метку места открывается страница с его описанием, с которой возможны переход к форуму с отзывами, добавление места к списку избранного или исключения из него, а также построение маршрута до этого места.

В форум допускаются только авторизованные пользователи, для этого предусмотрена форма авторизации: получить доступ можно с использованием ЯндексID или сервисов Google (для иностранных граждан). Следующим шагом является создание страницы с интерактивным списком всех троп «Уфимского ожерелья», при нажатии на которые открывается фрагмент для прохождения маршрута и получения сертификата за него. Кроме всего, перечисленного выше, следует добавить возможность смены языка в приложении с русского на

английский и наоборот для удобства пользователей. Также необходимо создать канал для их общения с администраторами с обменом сообщениями и изображениями. После реализации всех шагов следует добавить дополнительную страницу, которая должна представлять собой переход на официальный сайт «Уфимского ожерелья».

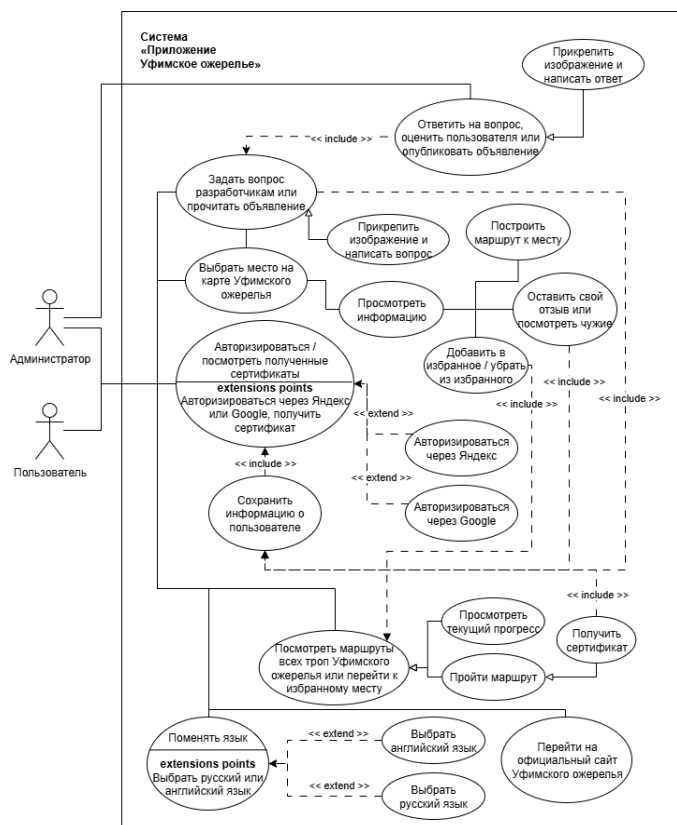


Рис. 3. Функциональная модель приложения



Рис. 4. Страница достопримечательности

На рис. 5-7 представлены диаграммы классов, реализующих запланированный функционал: авторизацию, работу с маршрутами, форумы достопримечательностей и диалог пользователя с администратором.

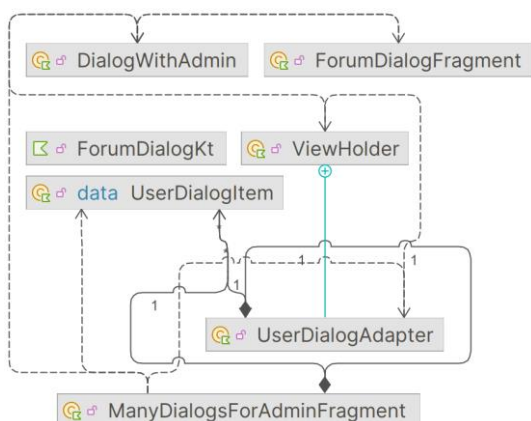


Рис. 5. Диаграмма классов встроенного «мессенджера»

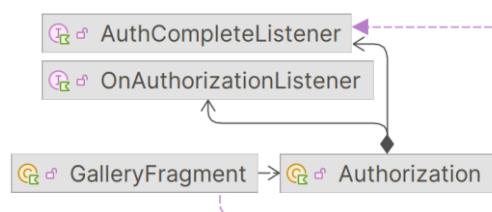


Рис. 6. Диаграмма классов авторизации

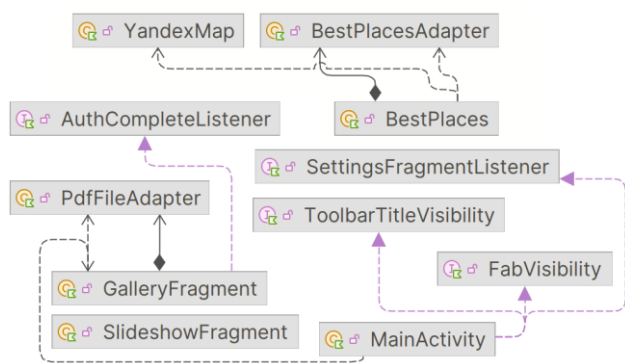


Рис. 7. Диаграмма классов меню-шторки

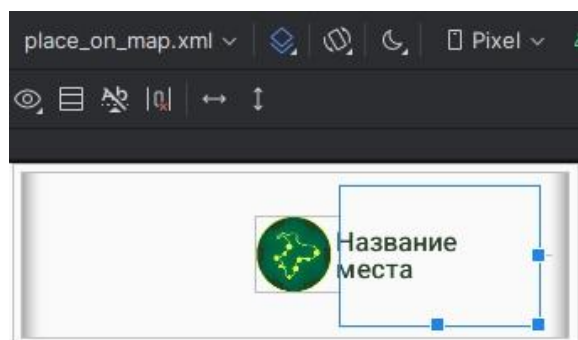


Рис. 8. Шаблонный xml-документ

Для визуализации маршрута «Уфимского ожерелья» и прилегающих к нему второстепенных троп использован элемент `MapView` из библиотеки `yandex_mapkit` – упрощённый аналог Яндекс-карт для использования в мобильной разработке. Данный элемент позволяет оперировать координатами достопримечательностей и местоположения пользователя, наносить их на карту и осуществлять поиск ближайших мест. Более того, при таком подходе функционал приложения становится независимым от доступа к интернету, следовательно, его можно использовать в режиме офлайн. Таким же образом пользователь может получать именные сертификаты за прохождение любых описанных маршрутов, однако для этого требуется его имя, и, следовательно, хотя бы одноразовый доступ в интернет для регистрации в приложении.

Для отображения достопримечательности на карте необходимо добавить на неё метку по его координатам. Для удобства отображения на `MapView` добавляется шаблонный xml-документ, центр которого сопоставляется с координатами на карте, а его текст меняется на название места (рис. 8). Благодаря такому решению при вращении карты название достопримечательности всегда находится в горизонтальном, удобном для пользователя положении.

В добавок, пользователю доступна возможность сохранять в отдельной странице приложения понравившиеся места с помощью `SharedPreferences`, встроенного Android-механизма для хранения данных: в список избранного записи добавляются или удаляются из него посредством нажатия на знак сердца на странице достопримечательности (рис. 4). На каждой странице достопримечательности расположена кнопка (средняя справа на рис. 4.), при нажатии на которую автоматически будет построен маршрут до этого места с помощью ранее установленных приложений Яндекс- или Google-карт.

Чтобы получать местоположение пользователя, можно воспользоваться готовым классом `Android LocationManager`, предоставляющим доступ к системным службам определения местоположения. По получении согласия от пользователя возможно добавление его метки на карту приложения. В качестве частоты её обновления был выбран промежуток в пять секунд.

Заключение

Возможности разработанного приложения соответствуют заявленному функционалу: так, пользователю доступна информация об «Уфимском ожерелье», маршруты известных троп и расположение достопримечательностей. Можно предполагать, что дальнейшее развитие данного приложения увеличит интерес жителей столицы республики Башкортостан к «Уфимскому ожерелью» и мероприятиям, с ним связанным.

Библиографический список

1. Официальный сайт «Уфимского ожерелья» – URL: <https://necklace.gorodufa.ru/> (дата обращения 13.03.2025)
2. Мобильные приложения или интернет-ресурсы, 2016 / Рихимов Б.К.
3. Российская система качества. Сравнительные испытания мобильных приложений для смартфонов, ПНСТ от 26.06.2018 №277-2018
4. Запись на стене сообщества Башстудент – URL: https://vk.com/wall-219520163_3548 (дата обращения 10.09.2025)
5. Красная линия Екатеринбург – URL: <https://www.ekbredline.ru/?ysclid=mfcpt8mrnn172367719> (дата обращения 11.05.2025)

© Киселев А.М., 2025

Д.Д. КЛЕВАКИН
den.klev14@gmail.com

Науч. руковод. – доктор техн. наук, проф. Д.А. РИЗВАНОВ

Уфимский университет науки и технологий

РАЗРАБОТКА СПЕЦИАЛИЗИРОВАННОГО ПРОГРАММНОГО ОБЕСПЕЧЕНИЯ ДЛЯ РЕДАКТИРОВАНИЯ 3D-МОДЕЛЕЙ С 2D- ИНТЕРФЕЙСОМ

Аннотация: в статье рассматривается разработка программного продукта для простого редактирования 3D-моделей с использованием 2D-интерфейса. Современные приложения для 3D-моделирования предлагают огромное множество инструментов и требуют обучения, потому в созданном приложении за счёт уменьшения инструментария снижается и требовательность к пользователю.

Ключевые слова: 3D-моделирование, программное обеспечение, 2D-интерфейс, компьютерная графика, полигональные модели, шейдеры, текстуры.

Введение. 3D-моделирование востребовано во многих сферах современной цифровой индустрии, однако большинство существующих инструментов для работы с 3D-моделями требуют от пользователя глубоких навыков в области 3D-моделирования, что усложняет входение в данную сферу.

Целью данной работы является создать приложение для 3D-моделирования с заниженной требовательностью к пользователю за счёт уменьшения инструментария и привязки к простому 2D-интерфейсу.

Теоретическая часть. 3D-моделирование делится на две основные категории – полигональное моделирование и параметрическое моделирование.

Полигональное моделирование представляет модели в виде множества вершин, определяющих точки в пространстве, и полигонов, обычно треугольников или четырёхугольников, соединяющих разные вершины. Пример полигональной модели представлен на рисунке 1.

Этот метод более распространён и прост в освоении, однако при повышении качества модели количество вершин и полигонов растёт в геометрической прогрессии, быстро увеличивая нагрузку на компьютер. Поэтому данный метод обычно используется для визуальной графики, где визуальное качество модели можно увеличить с помощью шейдеров и текстур.

Для высокой точности модели используют параметрическое моделирование, где с помощью математических формул указывают форму фигур, в результате чего достигается невероятная точность моделей, потому используется преимущественно в инженерии, архитектуре, медицине и прочих

сферах с большой требовательностью к точности моделей. Пример параметрической модели представлен на рисунке 2.

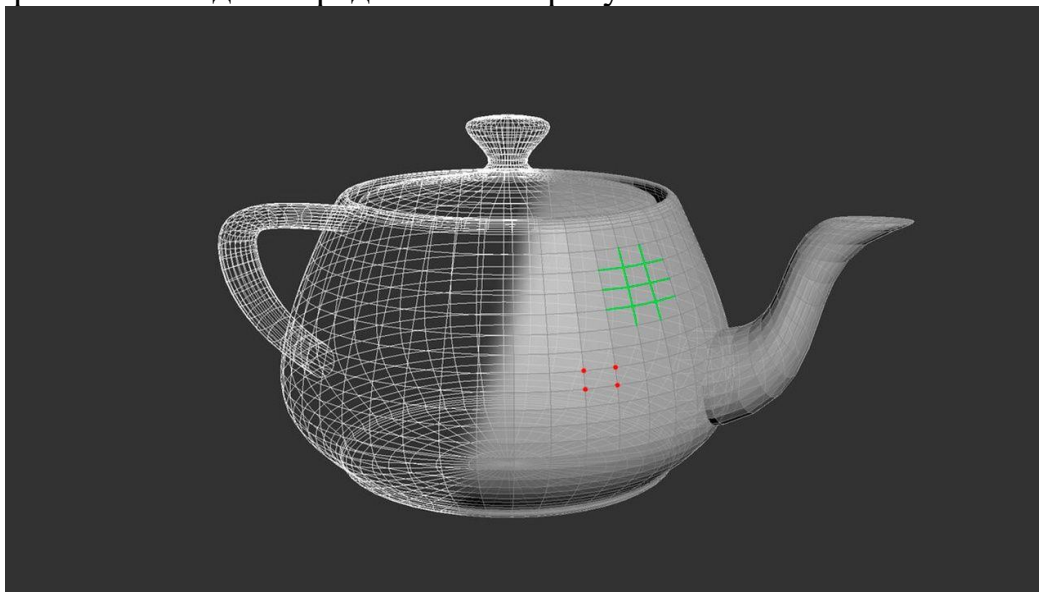


Рис. 1. Пример полигональной модели

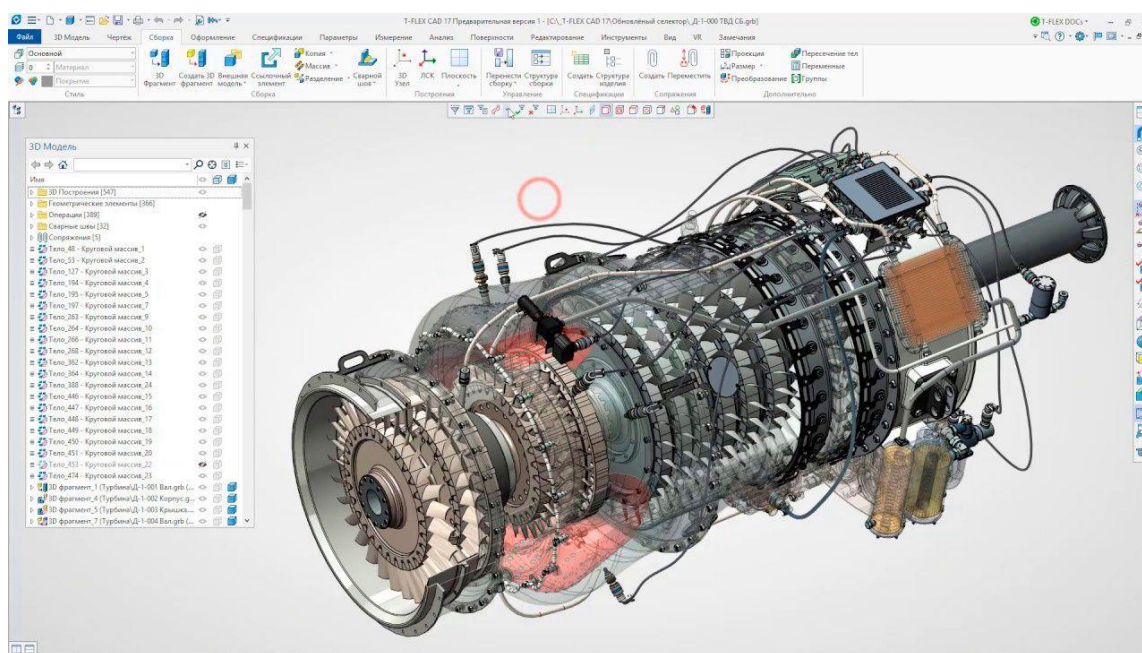


Рис. 2. Параметрическая модель

Как полигональное, так и параметрическое программирование требовательны к пользователю для создания качественных моделей, однако для данной работы главным методом было выбрано полигональное моделирование ввиду более простой основы. И для этого метода был разработан и реализован инструмент, простой для освоения

Алгоритм работы инструмента. Сначала пользователь перемещает камеру так, чтобы она охватывала все вершины модели, над которыми будут проводиться изменения, после чего программа сохраняет текущий ракурс. Далее пользователь определяет местоположение точки фокуса, относительно которой будут перемещаться изменяемые вершины.

Для пояснения программе, каким образом изменять положения вершин, используется изображение, или текстура, на которой пользователь может красить синим или красным цветом разной интенсивности. Приложение будет для всех изменяемых вершин определять их положение на ранее сохранённом ракурсе, после чего из соответствующего их положению на ракурсе точки текстуры брать цвет для определения вектора перемещения. Синий цвет означает приближение к точке фокуса, красный цвет – отдаление от неё. Также в приложении можно определять силу перемещения.

Пример работы приложения представлен на рисунке 3. Изначальной моделью была сфера, и точка фокуса находится в её центре.

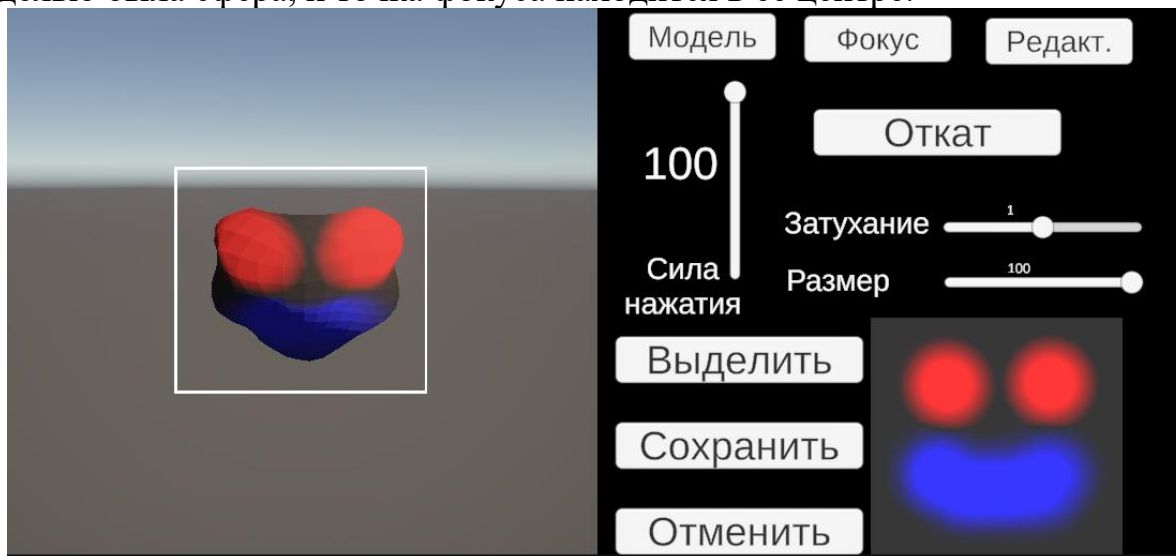


Рис. 3. Пример работы приложения

После определения ракурса камеры, пользователь может одновременно изменять точку фокуса, силу перемещения и текстуру, так как благодаря работе приложения через шейдер эти вычисления не тратят ресурсов процессора и происходят мгновенно.

Это приложение ограничено-применимо для создания новых моделей, однако эффективно для быстрого изменения существующих моделей. Потому является ситуативным приложением, однако подойдёт для обучения начинающих 3D-художников основам полигонального моделирования.

Заключение. 3D-моделирование является активно растущей сферой в современном мире, однако из-за требовательности к опыту и навыкам вхождение в эту область затруднено, потому было разработано приложение с меньшей требовательностью к пользователям, но с более узкой специализацией. Данное приложение подойдёт художникам, начинающим входить в 3D-моделирование (рис. 4), или для быстрого деформирования имеющихся моделей (рис. 5).

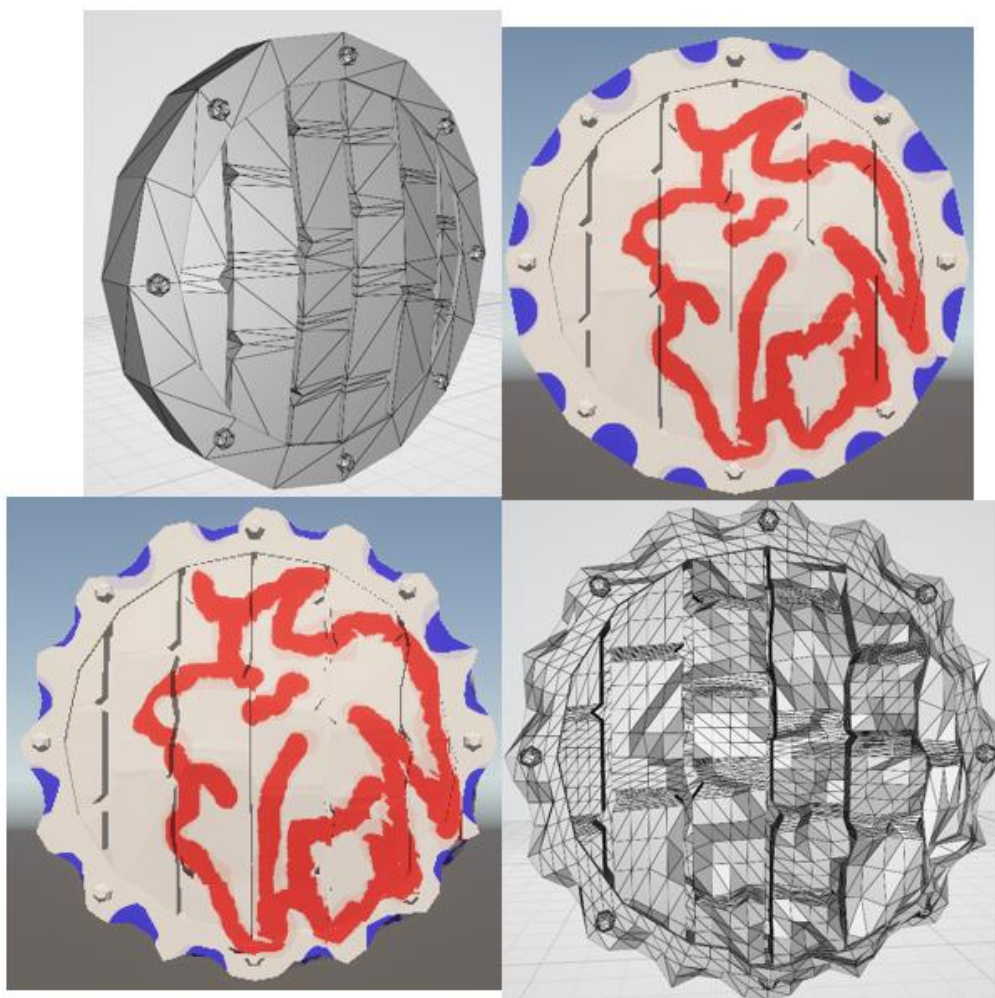


Рис. 4. Пример художественного изменения модели

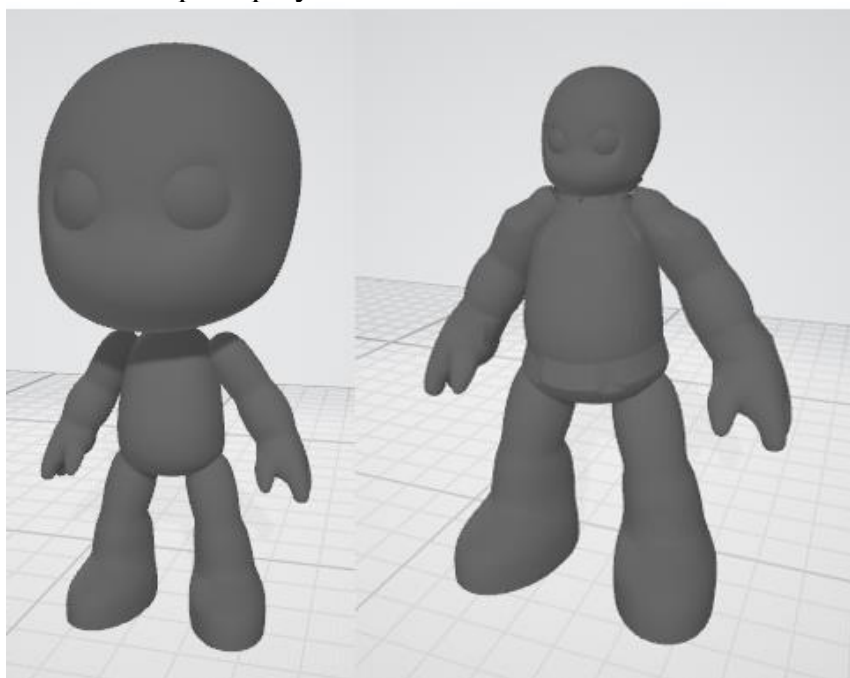


Рис. 5. Пример быстрого деформирования модели

Библиографический список

1. Боресков, А. В. Основы трехмерного моделирования и визуализации : учебное пособие / А. В. Боресков. – Москва : ДМК Пресс, 2019. – 324 с.
2. Голованов, Н. Н. Полигональное моделирование : учебное пособие / Н. Н. Голованов. – Москва : ДМК Пресс, 2011. – 664 с.
3. Ростовцев, А. Г. Программирование шейдеров на HLSL : учебное пособие / А. Г. Ростовцев. – Санкт-Петербург : БХВ-Петербург, 2005. – 384 с.

© Клевакин Д.Д., 2025

УДК 519.6

С.Д. Леушев

leushevsergeyd@gmail.com

Науч. руковод. – д.т.н., профессор Н.М. ШЕРЫХАЛИНА

Уфимский университет науки и технологий

ПРИМЕНЕНИЕ ЦЕПЕЙ МАРКОВА ДЛЯ МОДЕЛИРОВАНИЯ АККОРДОВЫХ ПОСЛЕДОВАТЕЛЬНОСТЕЙ

Аннотация: в статье приведено использование цепей Маркова для моделирования аккордовым последовательностей. Показано, как и какие модели можно создать. Рассмотрены различные спецификации цепей под разные задачи. Описано возможное применение созданных цепей в качестве инструментов для использования в программном обеспечении.

Ключевые слова: цепи Маркова, модель, аккорды, аккордовая последовательность.

Введение

Цепи Маркова являются одним из самых распространённых инструментов вероятностного моделирования последовательностей. Они используются в широком спектре задач, где необходимо описать поведение системы, зависящее от её предыдущих состояний.

Например, цепи Маркова применяют в медицине, экономике, физике, химии, сетевых инфраструктурах, робототехнике, искусственном интеллекте и в других областях.

В частности, цепи Маркова могут использоваться и в музыкальной области для анализа и генерации аккордовых последовательностей. Благодаря вероятностному подходу, модель способна выявлять переходы между аккордами и воспроизводить гармонические закономерности, свойственные конкретным жанрам или авторам.

Создание цепей Маркова и их анализ

Для создания первой цепи Маркова было проанализировано более 140 000 (ста сорока тысяч) музыкальных произведений, написанных более 17 000 (семнадцатью тысячами) исполнителей. После создания модели было получено более 1 520 000 (одного миллиона пятьсот двадцати тысяч) пар аккордов из них уникальных – около 58 000 (пятидесяти восьми тысяч).

Данная цепь является цепью первого порядка, т.е. моделью, где вероятность следующего состояния зависит только от текущего.

$$P(X_{n+1}|X_n)$$

Но в музыке (как и в большинстве других языковых или временных данных) контекст длиннее, а значит выбор аккорда может зависеть не только от текущего, но и от нескольких предыдущих аккордов. То есть такая цепь может генерировать формально возможные, но музыкально нелогичные последовательности.

Например, следующая последовательность аккордов может быть сгенерирована с помощью нашей модели, но она нелогична:

C (до) – G (соль) – Fm (фа минор)

Первые два аккорда звучат естественно. Но третий аккорд, Fm, не сочетается с первыми двумя, т.к. он не входит в тональность до мажор (в которой находится первый аккорд, т.е. и все остальные должны в ней находиться).

Для того, чтобы разрешить эту проблему было решено создать цепь Маркова второго порядка на тех же данных. В такой модели вероятность следующего состояния зависит не только от текущего, но и от предыдущего.

$$P(X_{n+1} | X_n, X_{n-1})$$

Таким образом после создания новой модели было получено более 1 390 000 (одного миллиона трёхсот девяноста тысяч) троек аккордов из них уникальных – около 200 000 (двухсот тысяч).

Благодаря этому изменению увеличилась детализация модели и её способность точнее отражать реальные закономерности в музыкальных данных. Поэтому для дальнейшей работы с цепями Маркова будут использоваться именно цепи второго порядка.

Данная модель позволяет генерировать аккордовые последовательности различной длины, а также циклические. Из-за этого цепь становится полезным инструментом для нейросетей, создающих музыку, а также для других программ, где требуется быстро сгенерировать гармоническую последовательность.

Чтобы сделать использование цепи более универсальным можно позволить создавать цепь для определённого жанра музыки или исполнителя.

Так, была создана «подцепь» на основе существующей глобальной цепи по жанру «поп». Таким образом эта цепь сможет генерировать и предсказывать последовательности аккордов максимально приближенные к этому жанру. Так, с помощью данной модели была создана следующая цепь:

Am (ля минор) – Em/B (ми минор с басом си) – F#7 (фа-диез септ) – B7 (си септ)

Подобные переходы можно услышать в произведениях Billie Eilish – «Happier Than Ever»; Bart Howard – «Fly Me to the Moon» и др.

Также была создана «подцепь», используя информацию, полученную только из данных группы «Кино». Такая модель создаёт последовательности, близкие к гармониям, используемым в песнях группы. Эта модель сгенерировала следующую последовательность:

E (ми) – D (ре) – F#m (фа-диез минор) – A (ля)

Подобные переходы можно услышать в следующих произведениях Кино: «Группа крови»; «Последний герой»; «Видели ночь».

Далее, с использованием каждой из созданных цепей было сгенерировано несколько последовательностей. Их результаты приведены в таблице 1.

Таблица 1

Пример генерации аккордовых последовательностей

| | Цепь первого порядка | Цепь второго порядка | Цепь по жанру «поп» | Цепь по группе «Кино» |
|----------------------|--|---|--|--|
| 4 аккорда | A7dim – C#m75 – Bmsus2 – F#m | A7 – C/E – Em – Em/A | Dm – G/Bb – G – A | A – D – Bm – C |
| | Eb5 – C#5 – Bm – A | B5 – F2 – G2 – A | Gm – G#5 – D#5 – Bb5 | Em – C – G – Am |
| | Csus – C – Am – Dm | C – F – Dm – E7 | A – E – G – D | E – C – E – F |
| 4 аккорда зациклено | Bsus2/E – Db – Bbm – Gb | C6 – Am – Dm – F | C#/F – E – B – E | Gm – Cm – Am – A# |
| | F#7/C# – Bm – Em – D | B – F# – B – Ebm | C – F/E – Dm – Dm/C | C – Em – F – Am |
| | Fm6/D – G – F – C | Em6 – A7 – D – B7 | B – D#sus – Em – G | E5 – Em – E5 – Em |
| 8 аккордов | Bb/F# – D#m7 – C#7 – F#m – C – Em – E – G | Cadd9 – Amadd9 – Fadd9 – Cadd9 – Em – D – A – D | Am7/Bb – Gm7 – A – Dm – D – A – E – F | Em – Bb – G – D – Dsus4 – D – Em – Am |
| | F#sus4/7 – F#sus4/7 – F#sus4 – F# – G – E – D – A# | B – B7 – Em – A7 – Dmaj7 – Dm7 – Gbm – E | G/D – A7 – Am7 – D#dim – Em – G – C – E | C7 – Em – C7 – G5 – F#5 – G5 – A5 – Bm |
| | Fmadd#11 – A – D – G – D/F# – Bm7 – Gadd9 – G | A# – A/F – Asus4/F – F7 – Dm – Bb7 – Gm – Cm | F – Amsus2 – Am – F – C – G – D7 – A7 | Am – E – Am – C – Dm – F – C – Gm |
| 8 аккордов зациклено | A/5 – G# – G – C – Fm – G – E – D | Gsus4 – Em7 – Am7 – Em7 – Am7 – C – G – D | Bm – A/C# – D – E – A – B – Em – Em/G | F – F6 – F – G – F – G – C – Am |
| | Abmaj – G7 – C – Am – G – C – Am – D7 | B/A – G – C – B7 – F# – Bm – G – D | Fm – A#5 – D#5 – G#m – A#5 – B5 – C5 – C#5 | Bm – C – Am – F – Em – Am – C – D |
| | Db6 – Ebm7sus2 – Bsus2 – B – E – Am – Em – B | Am – G7/4 – D/F# – Cm7 – Abmaj7 – G7 – Fm – G7 | B – C – Em – F – Am – Bbm – Ebm – Bbm | Bm – G – D – Em – G – F#m – Bm – F#m |

Как можно увидеть, последовательности, сгенерированные цепью первого порядка, хаотичны и не поддаются логике. Цепи второго порядка ведут себя более предсказуемо и логично. Последовательности, созданные цепью, ориентированной на группу «Кино», имеют много повторяющихся троек из-за малой выборки по произведениям этой группы. Также, можно заметить, что чем меньше аккордов в последовательности, тем она логичнее. Для увеличения точности необходимо увеличивать порядок цепи.

Заключение

Таким образом, были созданы 4 различные цепи Маркова. С помощью них было показано, как можно генерировать аккордовые последовательности, в том числе и специфические. Далее можно использовать эти цепи для генерации аккордов для генеративных ИИ и в др. программах.

Библиографический список

1. Баруча-Рид А.Т. Элементы теории марковских процессов и их приложения /А. Т. Баруча-Рид. - М.: Наука, 1969.

2. Виноградов, Д. В. Цепи Маркова, формула полной вероятности и рекуррентные соотношения / Д. В. Виноградов // Научно-техническая информация. Серия 2: Информационные процессы и системы. – 2023. – № 2. – С. 35-39

3. Кемени Дж., Снелл Дж. Конечные цепи Маркова. - Москва: Наука, 1970. - 271 с.

4. Майн Х. Марковские процессы принятия решений / Х. Майн, С. Осаки. - М.: Наука, 1977.

5. Санько, В. С. Цепи Маркова и их практическое применение / В. С. Санько, А. С. Франц, О. А. Мельникова // Математические модели техники, технологий и экономики: Материалы Всероссийской студенческой научно-практической конференции, Санкт-Петербург, 23 мая 2025 года. – Санкт-Петербург: Санкт-Петербургский государственный лесотехнический университет им. С.М. Кирова, 2025. – С. 227-232.

© Леушев С.Д., 2025

УДК 519.178

А.В. Леушина

leualena@yandex.ru

Науч. руковод. – д.т.н., профессор Н.М. ШЕРЫХАЛИНА

Уфимский университет науки и технологий.

АНАЛИЗ СИЛЬНОЙ СВЯЗНОСТИ ОРИЕНТИРОВАННОГО ГРАФА, ПОИСК КОМПОНЕНТОВ СВЯЗНОСТИ И РЕАЛИЗАЦИЯ НА ЯЗЫКЕ ПРОГРАММИРОВАНИЯ C

Аннотация: в статье приведено описание поиска компонентов сильной связности в графе и одного из местов её нахождения, а именно матричный метод Уоршалла в сочетании с методом последовательного возведения матрицы смежности в степени для нахождения транзитивного замыкания. Показано, как можно реализовать алгоритм на языке программирования C, и описано возможное его применение в программном обеспечении.

Ключевые слова: поиск компонентов сильной связности, граф, C.

Введение

Теория графов является фундаментальным разделом дискретной математики. Она имеет широкое практическое применение для оптимизации сложных алгоритмов. Например, теория графов обширно применяется в транспортной логистике для составления маршрутов, управления потоками движения и планирования расписания транспортных маршрутов.

Кроме того, теория графов служит мощным инструментом в социологии для анализа социальных связей людей. В таких моделях граф задается следующим образом: вершины представляют людей, а ребра означают тесную связь между ними.

Поскольку не все социальные сети представляют собой единое целое, в них часто существуют изолированные группы людей. Именно их и позволяет найти теория графов: подобные группы являются максимальным связным подграфом и называются компонентами сильной связности. Поиск таких компаний необходим для стабильной работы веб-приложения, так как результаты анализа помогают учитывать поведение и взаимодействие пользователей между собой.

Описание алгоритма

Одним из способов нахождения компонентов сильной связности на языке C является гибридный метод (матричные степени с использованием алгоритма Уоршалла). Он не является оптимальный, однако нагляден. Далее приведена последовательность действий для нахождения компонентов сильной связности, разделенная на два этапа:

1) нахождение матрицы достижимости.

1. Добавлением матрицу смежности для исходного графа и единичную матрицу.

2. Создаем два двумерных массива, где будут храниться промежуточные значения при вычислении матрицы достижимости.

3. Логически складываем единичную матрицу и исходную, сохраняя результат в массив с итоговым значением матрицы сильной связности.

4. Поэтапно возводим исходную матрицу в степени и также логически складываем с предыдущим результатом.

2) Нахождение матрицы сильной связности и вывод результата.

1. Транспонируем полученную матрицу достижимости и логически умножаем ее на исходную матрицу достижимости. Полученная матрица является матрицей сильной связности.

2. Создаем список с посещением вершин графа, а после поэтапно обходим все вершины, исключая повторные посещения с помощью списка с записанными визитами. Тут же выводим полученные компоненты сильной связности.

Заключение

Таким образом, с помощью матричного метода Уоршалла в сочетании с нахождением транзитивного замыкания была разработана программа на языке С для поиска компонентов сильной связности в графе.

Приложение

```
#include <stdio.h>
```

```
int main() {
    int isxod[10][10];
    for (int i = 0; i < 10; i++) {
        scanf("%d, %d, %d, %d, %d, %d, %d, %d, %d, %d", &isxod[i][0],
&isxod[i][1], &isxod[i][2], &isxod[i][3], &isxod[i][4], &isxod[i][5], &isxod[i][6],
&isxod[i][7], &isxod[i][8], &isxod[i][9]);
    }
    int itog[10][10] = {
        {1, 0, 0, 0, 0, 0, 0, 0, 0, 0},
        {0, 1, 0, 0, 0, 0, 0, 0, 0, 0},
        {0, 0, 1, 0, 0, 0, 0, 0, 0, 0},
        {0, 0, 0, 1, 0, 0, 0, 0, 0, 0},
        {0, 0, 0, 0, 1, 0, 0, 0, 0, 0},
        {0, 0, 0, 0, 0, 1, 0, 0, 0, 0},
        {0, 0, 0, 0, 0, 0, 1, 0, 0, 0},
        {0, 0, 0, 0, 0, 0, 0, 1, 0, 0},
        {0, 0, 0, 0, 0, 0, 0, 0, 1, 0},
        {0, 0, 0, 0, 0, 0, 0, 0, 0, 1},
    }
```

```

};
int time[10][10];
for (int i = 0; i < 10; i++) {
    for (int j = 0; j < 10; j++) {
        time[i][j] = isxod[i][j];
    }
}
int time1[10][10];
for (int i = 0; i < 10; i++) {
    for (int j = 0; j < 10; j++) {
        itog[i][j] = itog[i][j] + isxod[i][j];
        if (itog[i][j] > 0)
        {
            itog[i][j] = 1;
        }
    }
}

for (int f = 0; f < 8; f++) {
    for (int i = 0; i < 10; i++) {
        for (int j = 0; j < 10; j++) {
            time1[i][j] = time[i][0] * isxod[0][j] + time[i][1] * isxod[1][j] + time[i][2] *
isxod[2][j] + time[i][3] * isxod[3][j] + time[i][4] * isxod[4][j] + time[i][5] *
isxod[5][j] + time[i][6] * isxod[6][j] + time[i][7] * isxod[7][j] + time[i][8] *
isxod[8][j] + time[i][9] * isxod[9][j];
            if (time1[i][j] > 0)
            {
                time1[i][j] = 1;
            }
        }
    }
}
for (int i = 0; i < 10; i++) {
    for (int j = 0; j < 10; j++) {
        itog[i][j] = itog[i][j] + time1[i][j];
        if (itog[i][j] > 0)
        {
            itog[i][j] = 1;
        }
    }
}
//записывание полученной матрицы в 1 цикле
for (int i = 0; i < 10; i++) {
    for (int j = 0; j < 10; j++) {
        time[i][j] = time1[i][j];
    }
}

```

```

    }
  }
}

for (int i = 0; i < 10; i++) {
  for (int j = 0; j < 10; j++) {
    time[i][j] = itog[j][i];
  }
}
for (int i = 0; i < 10; i++) {
  for (int j = 0; j < 10; j++) {
    itog[i][j] = time[i][j] * itog[i][j];
  }
}
int vis[10] = {0};
for (int i = 0; i < 10; i++) {
  if (vis[i] != 1) {
    printf("%d:", i+1);
    for (int j = 0; j < 10; j++) {
      if (vis[j] != 1) {
        if (itog[i][j] == 1) {
          printf(" %d", j+1);
          vis[j] = 1;
        }
      }
    }
    printf("\n");
  }
}
return 0;
}

```

Библиографический список

1. Уоршалл С. Теорема о булевых матрицах [Текст] / С. Уоршалл // Journal of the ACM. – 1962. – Т. 9, № 1. – С. 11-12.
2. Флойд Р. У. Алгоритм 97: Кратчайший путь [Текст] / Р. У. Флойд // Communications of the ACM. – 1962. – Т. 5, № 6. – С. 345.
3. Оре О. Теория графов [Текст] / О. Оре. – 2-е изд. – М.: Наука, 1980. – 336 с.
4. Поречный, С. С., Житникова, Н. И., Шерыхалина, Н. М., Ураков, А. Р. Дискретная математика [Текст] / С. С. Поречный, Н. И. Житникова, Н. М. Шерыхалина, А. Р. Ураков. Уфа: РИК УГАТУ, 2019. 400 с.

© Леушина А.В., 2025

Н.Е. ЛИСИНА, З.И. ЮСУПОВА

lisinanatasha123@gmail.com, yusupovazemfira@mail.ru

Науч. руковод. – д.т.н., профессор Н.М. ШЕРЫХАЛИНА

Уфимский университет науки и технологий

ДВУХЭТАПНЫЕ МЕТОДЫ ДЕТЕКЦИИ ОБЪЕКТОВ В КОМПЬЮТЕРНОМ ЗРЕНИИ НА ПРИМЕРЕ СЕМЕЙСТВА МОДЕЛЕЙ R-CNN

Аннотация: в данной статье рассматривается задача детектирования объектов. Подробно описаны подходы к детектированию, выявлены их преимущества и недостатки. Затронута история развития семейства моделей R-CNN.

Ключевые слова: детектирование; регион; окаймляющая рамка; R-CNN; двухэтапный метод; свёрточные сети; свёртка; машинное обучение; карта признаков; селективный поиск; классификатор; регрессор.

Введение

В настоящее время компьютерное зрение играет достаточно важную роль в самых разных сферах нашей жизни, начиная от анализа состояния почвы по кадрам со спутника, заканчивая медицинской диагностикой. Анализ визуальной информации помогает обрабатывать огромные объемы данных. Благодаря быстрому развитию методов машинного обучения, машинное зрение способно выполнять крайне сложные задачи, которые еще несколько десятков лет назад считались не выполнимыми.

Одной из ключевых подзадач обнаружения объектов на изображении является задача детектирования, суть которой заключается в выявлении прямоугольника, в рамках которого с большой вероятностью находится объект интересующего нас класса.

Основная трудность этого направления распознавания заключается в том, что объекты могут быть слишком мелкими, иметь разную ориентацию и степень освещённости, а также могут частично перекрывать друг друга. Для решения этих проблем используются различные сложные архитектуры нейронных сетей, которые включают в себя механизмы построения регионов интересов, выделения карт признаков, классификации, регрессии и даже сегментации.

Современные алгоритмы, составленные по мере развития методов детекции, такие как семейство моделей R-CNN, стали неким стандартом для решения задач обнаружения объектов на изображениях. Они показали путь оптимизации точности и скорости детекции, обеспечив высокую эффективность.

Таким образом, изучение современных методов детекции объектов, а также сравнение их характеристик является актуальной задачей для разработчиков, работающих в сфере компьютерного зрения и искусственного интеллекта.

Описание задачи детектирования объектов на изображении и ее методов решения.

Если рассмотреть детекцию с математической точки зрения, то суть данной задачи заключается в построении огибающего прямоугольника, в рамках которого находится объект заданного класса. Значит, каждому изображению I ставится в соответствие множество положений объектов B интересующих нас классов.

$$\varphi: I \rightarrow B, B = \{b_k, k = \overline{0, |B| - 1}\},$$

где $b_k = ((x_1^k, y_1^k), (x_2^k, y_2^k), [s^k, c^k])$, $s^k \in \mathbb{R}$ – достоверность, c^k – класс объектов.

Получается, с помощью детекции мы можем найти несколько объектов неизвестного нам заранее количества и построить для них рамки. Существует несколько способов сделать это.

Методы детектирования объектов на изображении:

1. Метод сопоставление с шаблоном (template matching), который использует в качестве ядра каноничные изображения интересующих нас классов для скользящего окна при вычислении свёртки.
2. Двухэтапные методы (two – stage methods), которые «основаны на регионах» и подразделяющиеся на два этапа.
3. Одноэтапные методы (one – stage methods), которые схожи с двухэтапными, но в отличие от них не используют отдельный алгоритм выделения регионов, сразу предсказывая координаты определенного количества огибающих рамок и выполняются в один этап.

Рассмотрим по подробнее методы, основанные на регионах. И.И. Михайленко, О.Е. Нерубенко, О.Д. Мещеряков в своей статье «Методические подходы определения объектов на изображении с помощью нейросетевых технологий», описывая эти методы, пишут: «Двухэтапные методы (англ. two-stage methods), они же «методы, основанные на регионах» (англ. region-based methods) – подход, разделённый на два этапа. На первом этапе селективным поиском или с помощью специального слоя нейронной сети выделяются регионы интереса (англ. regions of interest, RoI) – области, с высокой вероятностью содержащие внутри себя объекты. На втором этапе выбранные регионы рассматриваются классификатором для определения принадлежности исходным классам и регрессором, уточняющим местоположение

ограничивающих рамок» [Михайленко, О.Е. Нерубенко, О.Д. Мещеряков, 2024, 2]

Принципы работы двухэтапных методов реализованы в реальных моделях – семействе моделей R-CNN.

Семейство моделей R-CNN.

Region-CNN (R-CNN, Region-based Convolutional Network) – первая модель семейства, которая была предложена в 2014 году и представляла собой алгоритм, основанный на свёрточных нейронных сетях.



Рис. 1. Архитектура модели R-CNN

Алгоритм работы R-CNN:

1 шаг. Генерация «регионов» - областей, где с высокой вероятностью находятся объекты, при помощи селективного поиска. Оптимальный выбор количества образуемых регионов приблизительно 2000 на каждое изображение. Это значение выбрано как компромисс между скоростью и точностью.

2 шаг. Преобразование регионов. Необходимо привести области к определенному размеру для подачи на вход CNN, что делается при помощи аффинных преобразований.

3 шаг. Извлечение признаков при помощи свёрточной нейронной сети (CNN)

4 шаг. Вектора признаков обрабатываются SVM (Метод опорных векторов). Определяется класс объекта.

Недостатком данной модели является то, что классификация здесь происходит отдельно для большого количества регионов (~2000), что требует высоких вычислительных затрат и большого объема времени, поэтому уже в следующем году была предложена улучшенная модель – Fast R-CNN.

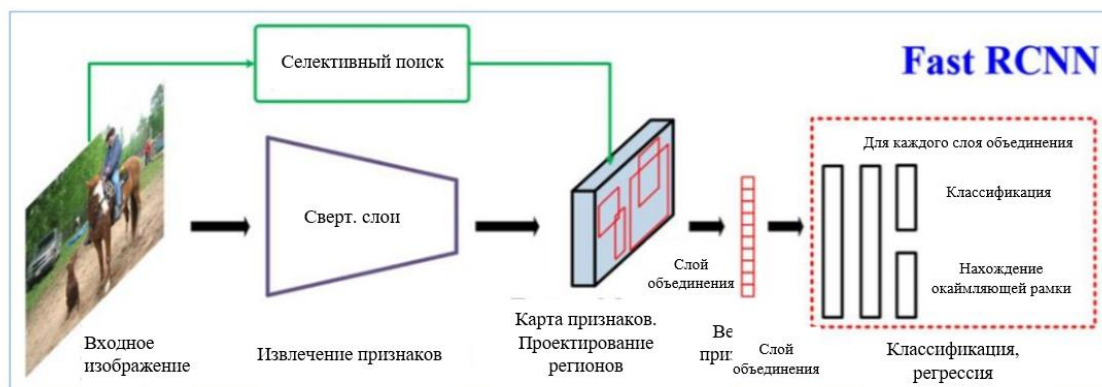


Рис. 2. Архитектура модели Fast R-CNN

Fast R-CNN вносит существенное улучшение, пропуская всё изображение через сверточную нейронную сеть (CNN) один раз, чтобы получить общую карту признаков. Вместо того чтобы обрабатывать каждый предложенный регион отдельно, они накладываются на эту карту, что резко снижает вычислительную нагрузку. Для решения проблемы разного размера регионов используется специальный слой RoI (Region of Interest) pooling. Этот слой накладывает сетку на каждый регион, размер ячеек которой соответствует размеру выходных данных, и извлекает максимальное значение из каждой ячейки. В результате все регионы приводятся к единому фиксированному размеру. Далее эти стандартизированные регионы передаются полносвязному слою, который выполняет как классификацию объектов, так и точную настройку их ограничивающих рамок. Отличительной чертой Fast R-CNN является совместное обучение классификатора (SVM), CNN и регрессора рамок с использованием общей функции потерь, что повышает эффективность. Несмотря на значительное ускорение обработки изображений по сравнению с R-CNN благодаря однократной свертке, генерация регионов с помощью селективного поиска по-прежнему является узким местом в общей производительности. Чтобы решить эту проблему была разработана следующая модель.

Faster R-CNN – это алгоритм обнаружения объектов, представленный в 2016 году, который решает задачу генерации регионов интереса (regions of interest, ROI) более эффективно, чем предыдущие методы. Ключевым нововведением является использование Region Proposal Network (RPN).

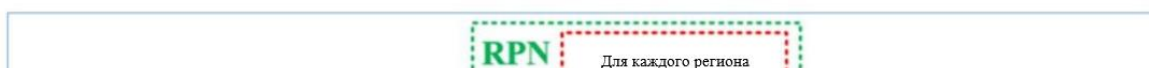
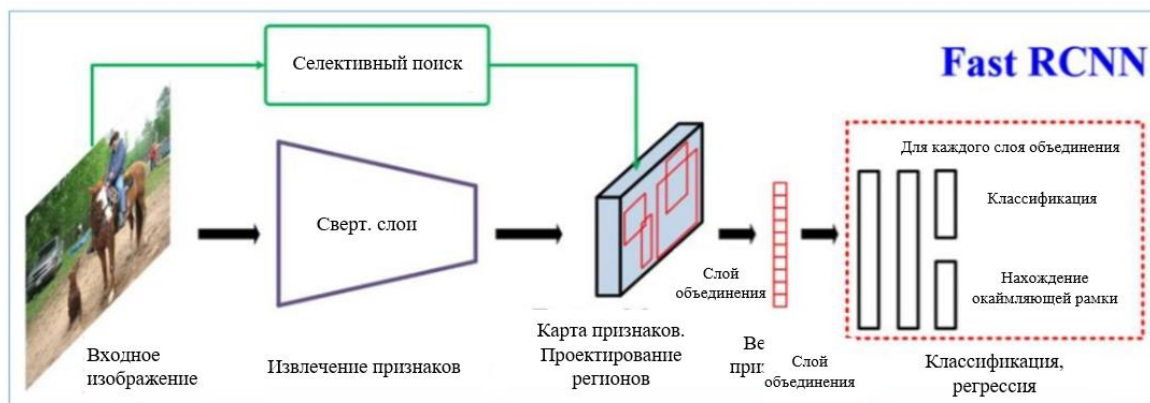


Рис. 3. Архитектура модели Faster R-CNN

RPN – это сверточная нейронная сеть, которая берет на вход признаки изображения и генерирует предложения регионов, где потенциально могут находиться объекты. В основе RPN лежит концепция якорей (anchors). Якоря – это predefined рамки разных размеров и соотношений сторон, расположенные в каждой точке изображения. Обычно используют несколько масштабов и соотношений сторон. Например, 3 масштаба и 3 соотношения, дающие 9 якорей в каждой точке. Эти якоря служат отправной точкой для предсказания более точных регионов. RPN состоит из двух полносвязных слоев: Слой классификации (cls layer): определяет, содержит ли якорь объект или является фоном. Слой регрессии (reg layer): предсказывает смещения, необходимые для корректировки формы и положения якоря, чтобы он точнее соответствовал объекту. После RPN следует RoIPooling, как и в Fast R-CNN. RoIPooling преобразует регионы разного размера в фиксированный размер, чтобы их можно было обработать последующими слоями. Затем эти регионы классифицируются и их границы уточняются. Обучение Faster R-CNN включает в себя оптимизацию функции потерь, которая учитывает, как ошибки классификации и регрессии, сделанные всей сетью, так и ошибки классификации и регрессии, сделанные RPN. Это позволяет RPN эффективно генерировать качественные предложения регионов, что приводит к более точной и быстрой детекции объектов.

Mask R-CNN, представленный в 2017 году, является усовершенствованной версией алгоритма Faster R-CNN.

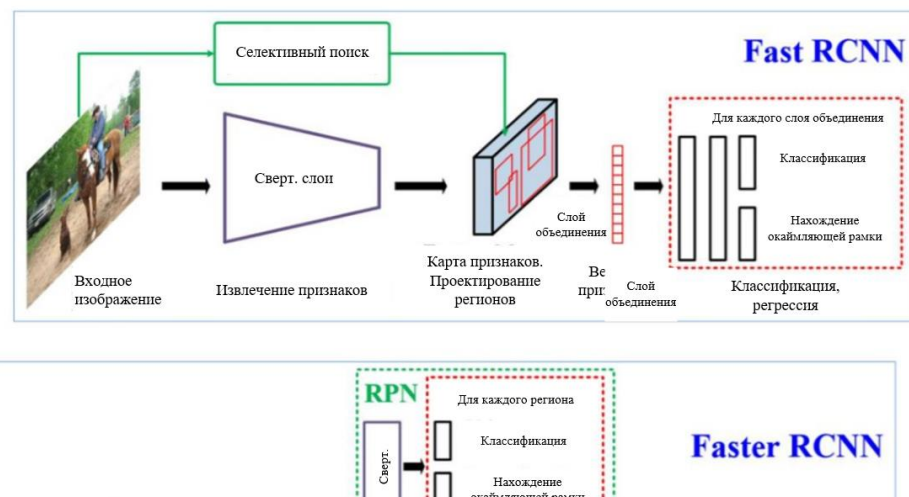


Рис. 4. Архитектура модели Mask R-CNN

Его главное отличие заключается в способности не только определять границы объектов и их классы (как Faster R-CNN), но и точно выделять каждый отдельный экземпляр объекта на изображении с помощью маски. Процесс работы Mask R-CNN состоит из двух основных этапов. Сначала происходит поиск потенциальных областей интереса (ROI): на первом этапе алгоритм идентифицирует на изображении участки, которые с высокой вероятностью содержат интересующие объекты. Далее идет классификация, уточнение границ и предсказание маски. На втором этапе каждый из найденных участков анализируется. Ему присваивается класс объекта, уточняется положение ограничивающей рамки, и, что самое важное, предсказывается маска, которая точно очерчивает контуры объекта. Предсказание маски осуществляется с помощью отдельного вычислительного модуля, который работает независимо от определения класса объекта и уточнения его границ. Этот модуль использует последовательность операций свёртки и транспонированной свёртки для генерации маски. Для достижения более высокой точности сегментации Mask R-CNN отказался от метода RoIPooling, применявшегося в Faster R-CNN. RoIPooling, использующий один слой пирамидального пулинга, был эффективен для масштабирования ограничивающих рамок, но для точного выделения масок его точности было недостаточно. Вместо этого Mask R-CNN внедрил RoIAlign. Этот метод выполняет аналогичную задачу, но работает не с исходными признаками, а с их билинейно интерполированными значениями. Это позволяет учитывать точное положение региона интереса относительно карты признаков, даже если оно не совпадает с сеткой пикселей. В отличие от RoIPooling, RoIAlign избегает округлений при сдвигах и пулинге, сохраняя значения с плавающей точкой. Такой подход обеспечивает значительно более точное выделение маски объекта.

Заключение

Обнаружение объектов на изображениях – это сложная задача машинного зрения, требующая не только классификации, но и точного определения местоположения каждого объекта с помощью ограничивающих рамок. Эта

технология критически важна для множества приложений, включая беспилотный транспорт и медицинскую визуализацию.

Многоступенчатые детекторы, такие как семейство R-CNN, исторически доминировали в этой области благодаря своей высокой точности. Однако их вычислительная сложность ограничивает их использование в реальном времени.

Эволюция R-CNN была направлена на преодоление этого ограничения: R-CNN использовал медленный селективный поиск, Fast R-CNN ускорил обработку с помощью RoI Pooling, Faster R-CNN заменил селективный поиск на RPN для полной обучаемости, а Mask R-CNN добавил возможность сегментации на уровне пикселей.

Библиографический список

1. Михайленко И.И., Нерубенко О.Е., Мещеряков О.Д., Методические подходы определения объектов на изображении с помощью нейросетевых технологий, 2024. – С. 2

2. Соколов Власов С.О., Гладышев А.И., Богуславский А.А., Соколов С.М., Решение задачи обнаружения объекта с помощью нейросетевых технологий / С.О. Власов, А.И. Гладышев, А.А. Богуславский, С.М., Москва — 2023, С. 4

3. Борзов С.М., Нежевенко Е.С., Нейросетевые технологии в задачах обнаружения и классификации объектов / С.М. Борзов, Е.С. Нежевенко // АВТОМЕТРИЯ. 2023 Т. 59, № 3 – С. 57

4. Форсайт Д., Понс Ж. Компьютерное зрение. Современный подход = Computer Vision: A Modern Approach. М.: «Вильямс», 2004 928 с.

© Лисина Н.Е., Юсупова З.И., 2025

И.А. МАКАРОВ, Е.А. ЛЯЗИНА

iltrekm@mail.ru, elizaveta.lyazina@yandex.ru

Науч. руковод. – д.т.н., профессор Н.М. ШЕРЫХАЛИНА

Уфимский университет науки и технологий

СРАВНИТЕЛЬНЫЙ АНАЛИЗ ЧИСЛЕННОГО И НЕЙРОСЕТЕВОГО ПОДХОДОВ В ЗАДАЧЕ ЦИФРОВОГО ИНПЕЙНТИНГА НА ПРИМЕРЕ АЛГОРИТМОВ PATCHMATCH И LAMA

Аннотация: в работе представлен сравнительный анализ численного алгоритма PatchMatch и нейросетевой модели LaMa в задаче цифрового инпейнтинга. Рассматриваются их теоретические преимущества, недостатки и ключевые области применения, чтобы определить сильные стороны каждого из подходов.

Ключевые слова: цифровой инпейнтинг, восстановление изображений, PatchMatch, LaMa, численные методы, нейронные сети, генеративно-состязательные сети, сопоставление фрагментов, численные методы, сравнительный анализ.

Введение

Цифровой инпейнтинг относится к задачам компьютерного зрения [1]. Данные задачи направлены на восстановление или удаление частей цифровых изображений. Цель заключается в создании визуально правдоподобного контента. Исторически методы инпейнтинга развивались по двум основным направлениям: численные, основанные на сопоставлении фрагментов из неповрежденных областей, и нейросетевые, использующие глубокое обучение для генерации нового содержания. Пример первого типа – это алгоритм PatchMatch [2], использующий эффективный рандомизированный поиск. Современный нейросетевой подход представляет модель LaMa (Large Mask Inpainting) [3], демонстрирующая способность к семантически осмысленному восстановлению.

Данная работа посвящена сравнению этих подходов. Для этого было разработано программное обеспечение на C#, реализующее данные алгоритмы.

Численный метод PatchMatch

В основе алгоритма лежит идея поиска для каждого фрагмента (патча) P в целевой области Ω (маске) наиболее похожего фрагмента в исходной, неповрежденной области Φ . Схожесть определяется минимизацией функции расстояния. В данной работе в качестве метрики схожести используется сумма квадратов разностей между пикселями двух фрагментов, P_p с центром в точке $p \in \Omega$ и P_q с центром в точке $q \in \Phi$. Формально, функция расстояния определяется как:

$$d(P_p, P_q) = \sum_{i \in W} \|I(p+i) - I(q+i)\|^2,$$

где $I(x)$ – вектор цвета пикселя в точке x , а W – окно, определяющее область фрагмента (например, квадрат $N \times N$ пикселей).

Прямой перебор всех возможных пар (p, q) для минимизации $d(P_p, P_q)$ является вычислительно неподъемной задачей.

Алгоритм PatchMatch решает эту проблему путем построения поля ближайших соседей (Nearest-Neighbor Field, NNF) отображения $f: \Omega \rightarrow \Phi$, которое для каждой точки p хранит координаты $q = f(p)$ наилучшего найденного на данный момент донора. Построение NNF осуществляется итеративно и стохастически за несколько шагов. Рассмотрим данные шаги.

Поле f заполняется случайными векторами смещений, указывающими на валидные донорские точки из Φ .

Для каждой точки p в Ω проверяются кандидаты, предложенные ее соседями.

Для предотвращения попадания в локальные минимумы для каждой точки p выполняется поиск в экспоненциально уменьшающихся окнах вокруг ее текущего лучшего донора $f(p)$.

Процесс реализации алгоритма в данной работе построен следующим образом.

Для ускорения поиска и улучшения качества часто применяются иерархические методы. Поиск соответствий сначала выполняется на уменьшенной копии изображения для определения общей структуры, а затем результаты последовательно уточняются на уровнях с более высоким разрешением. Такой подход «от грубого к точному» позволяет избежать локальных минимумов и значительно повысить производительность.

Финальная реконструкция области заключается в копировании пикселей из найденных наилучших донорских фрагментов. Для сглаживания швов на границе между исходной и восстановленной областями применяется метод бесшовного клонирования, реализованный в библиотеке OpenCvSharp [4].

Нейросетевой метод LaMa

Метод основан на генеративно-состязательной архитектуре, ключевой особенностью которой является использование быстрых сверток Фурье.

Реализация метода включает предобработку, при которой из изображения вырезается квадратный фрагмент, значительно превышающий размеры маски, для обеспечения модели достаточным контекстом. Этот фрагмент масштабируется и дополняется до размера 512×512 пикселей, нормализуется и преобразуется в тензор для подачи в предобученную модель. После вычислений выходной тензор проходит обратные преобразования, и восстановленный фрагмент встраивается в исходное изображение по контуру маски.

Сравнительный анализ производительности

Теоретический анализ выявляет фундаментальные различия в производительности и качестве результатов между двумя подходами.

Численные методы, такие как PatchMatch, как правило, значительно быстрее. Они основаны на итеративных, но относительно простых операциях сравнения и копирования пикселей. Нейросетевые модели, в свою очередь, требуют выполнения огромного количества математических операций для прогона данных через глубокую архитектуру, что приводит к большому времени выполнения, особенно на центральном процессоре. Потребление памяти у PatchMatch зависит от размера изображения и глубины иерархии, тогда как у LaMa оно определяется в первую очередь фиксированным размером самой модели.

Качественный анализ результатов

Для наглядной демонстрации принципиальных различий между численным и нейросетевым подходами была поставлена задача восстановления на синтетическом изображении. Исходное изображение представляет собой два однородных цветовых поля, разделенных диагональной границей, с удаленной центральной областью. Такой тест позволяет оценить способность алгоритмов одновременно восстанавливать как цвет, так и геометрическую структуру.

Исходное изображение и результаты работы алгоритмов представлены на рисунке 1.

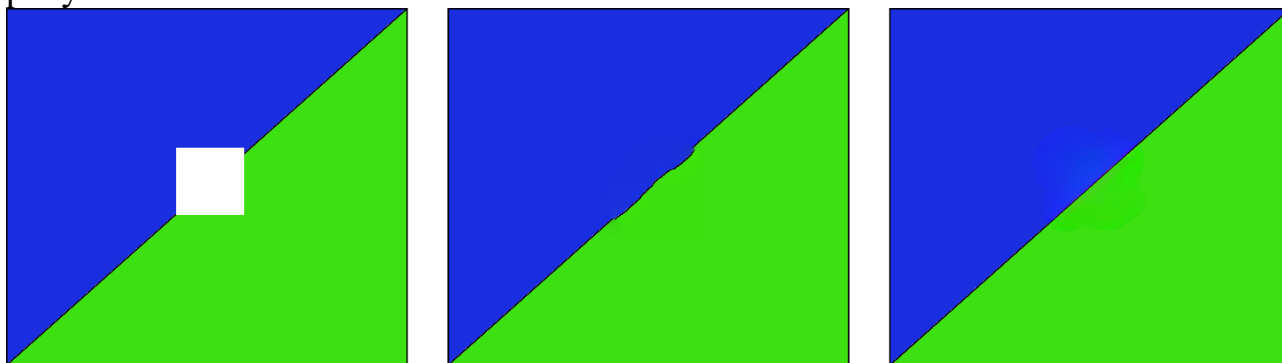


Рис. 6. Сравнение результатов: (а) исходное изображение с маской, (б) результат работы PatchMatch, (в) результат работы LaMa.

Численный метод продемонстрировал свою сильную сторону – точное воспроизведение текстуры (однородного цвета). Заполненные области совпадают по цвету с оригинальными, поскольку принцип работы алгоритма основан на прямом копировании наиболее похожих фрагментов (патчей) из неповрежденных областей. Однако метод не справился с восстановлением глобальной структуры. Диагональная граница оказалась искажена, получив заметные разрывы. Это обусловлено локальной природой алгоритма: он не обладает «пониманием» общей геометрии сцены и оптимизирует соответствие на уровне небольших фрагментов, что приводит к ошибкам на глобальных структурах.

Нейросетевой метод, наоборот, показал хороший результат в восстановлении геометрии. Модель, обученная на огромном наборе данных,

смогла проанализировать глобальный контекст изображения и успешно восстановить границу. В то же время, результат демонстрирует и слабость генеративного подхода: в области восстановления наблюдаются артефакты в виде цветовых искажений и размытого градиента. Вместо точного копирования цвета нейросеть сгенерировала новое содержимое, которое структурно верно, но незначительно отличается по цвету от оригинала.

Таким образом, результат данного теста демонстрирует различие методов: PatchMatch обеспечивает локальную точность (цвет), но не справляется с восстановлением общей структуры изображения, в то время как LaMa сохраняет общую структуру за счет возможной потери локальной точности.

Заключение

Проведенное исследование показало, что численные и нейросетевые методы инпейнтинга не являются взаимозаменяемыми, а представляют собой инструменты для решения разных классов задач. Выбор между ними – это компромисс между вычислительной эффективностью и качеством семантического восстановления.

Численный алгоритм PatchMatch демонстрирует превосходство по скорости и является оптимальным решением для задач быстрого удаления мелких дефектов и восстановления однородных текстур. Нейросетевая модель LaMa незаменима при работе со сложными сценами, где требуется семантически осмысленная генерация контента.

Библиографический список

1. Richard Szeliski Computer Vision: Algorithms and Applications [Текст] / Richard Szeliski — 2-е изд. — Springer, 2022. — 925 с.
2. Connelly Barnes, Eli Shechtman, Adam Finkelstein, Dan B Goldman PatchMatch: A Randomized Correspondence Algorithm for Structural Image Editing [Текст] // ACM Transactions on Graphics (TOG). — 2009. — № 28(3).
3. Roman Suvorov, Elizaveta Logacheva, Anton Mashikhin, Anastasia Remizova, Arsenii Ashukha, Aleksei Silvestrov, Naejin Kong, Harshith Goka, Kiwoong Park, Victor Lempitsky Resolution-robust Large Mask Inpainting with Fourier Convolutions [Текст] // Proceedings of the IEEE/CVF Winter Conference on Applications of Computer Vision (WACV). — 2022. — С. 2149-2159.
4. OpenCV (Open Source Computer Vision Library) [Электронный ресурс]. // Режим доступа: // <https://opencv.org/> (дата обращения: 29.10.2025)

© Макаров И.А., Лязина Е.А., 2025

С.Р. МАНСУРОВА

mansurova.syumbel@gmail.com

Науч. руковод. – доц. каф. ВТИК УГНТУ Е.В. ДРУЖИНСКАЯ

Уфимский государственный нефтяной технический университет

АРХИТЕКТУРА ОПЕРАЦИОННОЙ СИСТЕМЫ IOS И КЛЮЧЕВЫЕ ПРИНЦИПЫ РАЗРАБОТКИ ПРИЛОЖЕНИЙ НА ЯЗЫКЕ ПРОГРАММИРОВАНИЯ SWIFT

Аннотация: статья посвящена исследованию архитектуры операционной системы iOS и принципов разработки на Swift. Рассмотрена многоуровневая структура iOS с акцентом на их функциональное назначение. Проанализированы ключевые преимущества Swift. Рассматриваются популярные архитектурные подходы и их применение в iOS-разработке.

Ключевые слова: iOS; Swift; архитектура iOS; Xcode; MVC; MVVM; MVP; VIPER; разработка приложений.

Операционная система iOS – одна из самых популярных мобильных платформ, разработанная корпорацией Apple. Она обеспечивает стабильную, защищённую и производительную среду выполнения приложений для устройств iPhone, iPad и других мобильных устройств. Язык программирования Swift, впервые представленный в 2014 году, стал ключевым инструментом для создания приложений под эту платформу, обладая высокой безопасностью, лаконичностью и производительностью.

Операционная система iOS имеет многослойную архитектуру, каждый уровень которой предоставляет определённый набор функций. Различают несколько слоёв:

1. Core OS Layer (Базовый уровень)

Core OS представляет собой фундаментальный уровень операционной системы iOS, отвечающий за взаимодействие с аппаратным обеспечением и реализацию важных системных функций [4]. Этот слой обеспечивает безопасность данных, управление памятью и процессами, файловые операции и доступ к хранилищу, взаимодействие с периферийными устройствами и непосредственное выполнение машинного кода.

2. Core Services Layer (Сервисный уровень)

Уровень Core Services представляет собой набор системных компонентов, обеспечивающих ключевые функции операционной системы iOS. Например, геолокационные сервисы, механизмы хранения данных, сетевые взаимодействия и т.д. [4]

3. Media Layer (Мультимедийный уровень)

Данный уровень отвечает за обработку графики, аудио и видеоконтента, предоставляя разработчикам инструменты для создания интерактивных и мультимедийных приложений [4]. Основными функциями этого уровня являются обработка графики (Core Graphics) и видео (AVFoundation), поддержка анимации (Core Animation) и аудио (Core Audio).

4. Cocoa Touch Layer (Уровень пользовательского интерфейса)

Этот уровень отвечает за создание интерфейсов и обработку действий пользователя. Содержит технологии, управляющие взаимодействием с пользователем, например, MapKit (инструменты для работы с картами), Push Notifications (система push-уведомлений), ARKit (инструмент для разработки дополненной реальности) и др.

Многоуровневая структура iOS распределяет задачи от базовой работы с аппаратурой до удобных инструментов для разработки интерфейсов, обеспечивая баланс между производительностью, безопасностью и разработки. Однако для эффективного взаимодействия с этой архитектурой необходим современный и мощный инструмент – именно таким стал язык Swift, разработанный компанией Apple.

Swift – это современный язык программирования для разработки приложений под iOS. Он отличается повышенной безопасностью, быстротой выполнения, а также синтаксической простотой.

Ключевые принципы разработки приложений на языке программирования Swift:

1. Безопасность и надёжность кода

Одним из ключевых приоритетов при проектировании языка Swift является обеспечение безопасности программного кода. Swift предоставляет строгую типовую систему, исключая множество ошибок на этапе компиляции. Например, особое внимание уделяется работе с опциональными типами (Optional), которые принуждают программиста явно обрабатывать ситуации, связанные с отсутствием значения («nil»), тем самым предотвращая ошибки выполнения [1].

Также Swift включает автоматическое управление памятью посредством технологии ARC (Automatic Reference Counting), что снижает риск утечек памяти [3].

2. Статическая типизация и вывод типов

Swift реализует статическую типизацию с возможностью автоматического вывода типов. Это позволяет компилятору определить тип переменной без необходимости явно указывать его, сохраняя при этом контроль над типовой совместимостью:

```
let number = 86 // автоматически определено как int
```

Такая комбинация повышает читаемость кода и одновременно предотвращает множество ошибок при разработке.

3. Поддержка процедурного, объектно-ориентированного и протоколно-ориентированного подходов

Язык Swift поддерживает несколько парадигм программирования, включая: процедурное программирование через функции и управляющие конструкции; объектно-ориентированное программирование с использованием классов и наследования; протоколно-ориентированное программирование (POP) – уникальная особенность Swift, где поведение объектов описывается через протоколы, а не иерархии наследования [2].

4. Использование структур и значимых типов

Swift делает акцент на структурах как первичных единицах моделирования данных. Структуры в Swift являются значимыми типами (value types) и копируются при передаче, что делает их предсказуемыми и безопасными при многопоточном использовании [3].

5. Работа с замыканиями и функциональные возможности

В Swift функции представляют собой объекты первого класса, что обеспечивает гибкость их использования в различных контекстах [2]. Они могут передаваться в качестве аргументов, возвращаться другими функциями и сохраняться в переменных, что соответствует принципам функционального программирования. Особое место в языке занимают замыкания – организованные блоки кода, способные захватывать и хранить ссылки на переменные из окружающего контекста [2]. Их компактный синтаксис, поддерживающий вывод типов, неявные возвращаемые значения и сокращённые имена аргументов, позволяет существенно упростить программу. Например, в коде для сортировки массива values замыкание, определяющее порядок элементов, вынесено за скобки:

```
let sortedValues = values.sorted {  
    (first: Int, second: Int) -> Bool in  
    return first < second  
}
```

Однако благодаря особенностям языка Swift код может быть сокращен до более лаконичной формы:

```
let sortedValues = values.sorted { $0 < $1 }
```

6. Интуитивно понятный синтаксис

Синтаксис Swift разработан таким образом, чтобы быть максимально читаемым и понятным даже для начинающих разработчиков. Он минимизирует необходимость в лишних символах, упрощает объявление переменных, функций, замыканий и позволяет писать выразительный код с минимальным количеством конструкций.

7. Интеграция с инструментами разработки Apple

Язык программирования Swift тесно интегрирован со средой разработки Xcode, обеспечивая мгновенную проверку кода, автодополнение и удобную отладку. Также он отлично работает с iOS SDK (Software Development Kit) – набор инструментов и библиотек, предоставляемых компанией Apple для разработки приложений под операционную систему iOS, предоставляя доступ ко всем необходимым фреймворкам. Xcode включает в себя редактор кода, симуляторы устройств, инспектор интерфейсов (Interface Builder), а также

средства анализа и тестирования приложений. SwiftUI (инструмент для создания интерфейсов) предлагает декларативный способ описания интерфейсов:

```
struct ContentView: View {  
    var body: some View {  
        Text("Добро пожаловать!")  
    }  
}
```

9. Высокая производительность

Swift был оптимизирован для работы на платформе iOS, что позволяет приложениям на Swift работать более эффективно и быстро. Он использует современные техники компиляции и оптимизации кода, что помогает достичь высокой производительности.

Разработка на Swift – это не только написание чистого и безопасного кода, но и грамотная организация его структуры. Поскольку язык предоставляет мощные инструменты для создания производительных приложений, выбор подходящей архитектурной модели становится ключевым фактором для поддержки, масштабируемости и тестируемости проекта. Рассмотрим популярные подходы к проектированию iOS-приложений, которые помогают эффективно распределять логику и избегать типичных проблем, таких как перегруженные контроллеры или трудности при доработке и оптимизации кода:

1. MVC (Model-View-Controller) – это подход проектирования, использующая несколько модулей, которые должны иметь минимальное взаимодействие между собой. Модель приложения, интерфейс и взаимодействие с пользователем разделены на отдельные компоненты [5].

2. MVP – это архитектурный подход, который разделяет приложение на три основных компонента с более строгой изоляцией, чем в MVC [5].

2. MVVM (Model-View-ViewModel) – подход, где взаимодействие между View (представление) и Model (модель) происходит через ViewModel (модель представления), использующую связи данных. Обеспечивает лучшее разделение обязанностей, особенно в сочетании с SwiftUI, где привязка данных позволяет обновлять интерфейс при изменении модели [5].

3. VIPER – используется в сложных приложениях и разделяет ответственность между пятью компонентами: View (представление), Interactor (интерактор), Presenter (презентер), Entity (сущность), Router (маршрутизатор). Позволяет строить строго модульную архитектуру [5].

Архитектурные паттерны выбирают под конкретные задачи разработки. MVC отлично подходит для учебных проектов и небольших приложений, где важна простота. MVP используют, когда нужно тестировать код без сложных зависимостей. MVVM идеален для SwiftUI и сложных интерфейсов с динамическими данными. VIPER применяют в крупных проектах с большими командами, где требуется долгосрочная поддержка и четкое разделение ответственности.

Операционная система iOS предоставляет безопасную платформу для разработки мобильных приложений, а язык Swift делает этот процесс более эффективным. Современные инструменты обеспечивают создание высокопроизводительных приложений с интуитивно понятным пользовательским интерфейсом. Понимание архитектуры iOS и принципов Swift необходимо для разработки качественного программного обеспечения под экосистему Apple.

Библиографический список

1. Харазян, А.А. Язык Swift / А.А. Харазян. – Санкт-Петербург: БХВ-Петербург, 2016. – 171 с.: ил.
2. Маскри, М. Swift 3: разработка приложений в среде Xcode для iPhone и iPad с использованием iOS SDK / М. Маскри, К. Топли, Д. Марк; пер. с англ. – СПб.: ООО «Альфа-книга», 2017. – 896 с.: ил.
3. Усов, В.А. Swift. Основы разработки приложений под iOS, iPadOS и macOS. 6-е изд. дополненное и переработанное. / В.А. Усов. - СПб.: Питер, 2021. – 544 с.: ил.
4. iOS – что это за операционная система: особенности и преимущества [Электронный ресурс]: Информационный ресурс SKILLFACTORY MEDIA. – Режим доступа: <https://blog.skillfactory.ru/glossary/ios/> (дата обращения: 07.06.2025)
5. Архитектурные паттерны в iOS [Электронный ресурс]: Информационный ресурс Хабр. – Режим доступа: <https://habr.com/ru/companies/badoo/articles/281162/> (дата обращения: 07.06.2025)

© Мансурова С.Р., 2025

В.С. Маркина

0007.5448mvc@gmail.com

Науч. руковод. – д.т.н., профессор Н.М. ШЕРЫХАЛИНА

Уфимский университет науки и технологий

АНАЛИЗ ПЕРСПЕКТИВ ПРИМЕНЕНИЯ СОВРЕМЕННЫХ ТЕХНОЛОГИЙ ИИ В ЗАДАЧАХ РАЗРАБОТКИ ВИДЕОИГР

Аннотация: в последние годы искусственный интеллект (ИИ) стал неотъемлемой частью игровой индустрии, значительно изменяя подходы к разработке игр и взаимодействию с игроками. Эта статья посвящена анализу современных тенденций использования ИИ в игровой разработке, включая автоматизацию процессов, создание адаптивного игрового контента и улучшение пользовательского опыта. Мы рассматриваем актуальные проблемы, связанные с интеграцией ИИ в игры, и предлагаем возможные решения для повышения эффективности разработки и качества конечного продукта.

Введение

Современная игровая индустрия сталкивается с рядом вызовов, связанных с растущими ожиданиями игроков и необходимостью создания уникального контента. Игровая индустрия обращается к ИИ в погоне за двумя главными целями: оживить виртуальные миры и рационализировать их создание. Технологии машинного обучения и процедурной генерации дарят игрокам непредсказуемых соперников и истории, подстраивающиеся под их действия, в то время как разработчикам автоматизируют целые пласты рутинной работы. Но за этим потенциалом скрываются и "подводные камни": высокая сложность и стоимость внедрения, "голод" данных для обучения нейросетей, а также этические риски, связанные с алгоритмической предвзятостью и манипулятивным дизайном. Ответом на эти сложности может стать переход от разрозненных экспериментов к отраслевой экосистеме. Критически важным является развитие доступных инструментариев, стимулирование открытого обмена знаниями между исследователями и практиками, а также выработка четких отраслевых стандартов для тестирования и этического аудита игрового ИИ. Только такой комплексный подход позволит раскрыть потенциал технологии, минимизировав сопутствующие риски.

Данные и методы

Методологическую основу работы составляют данные, взятые из авторитетных источников, включая исследования, опубликованные в рецензируемых международных изданиях, таких как «IEEE Transactions on Games» и «ACM Transactions on Multimedia Computing, Communications, and Applications». В процессе анализа применяется синтез качественных и количественных методов, в частности, систематический обзор научной литературы и сравнительная оценка современных ИИ-реализаций в игровой индустрии.

Эксперимент

В рамках данного исследования предлагается к рассмотрению концептуальная модель, иллюстрирующая, как можно использовать потенциал алгоритмов машинного обучения для динамической адаптации игрового контента в реальном времени. Мы предполагаем, что игра, непрерывно собирая и интерпретируя данные о действиях игрока (например, процент побед, стиль игры, тактика, результативность), будет осуществлять динамическую персонализацию контента, то есть автоматически изменять уровень сложности или предлагать новые квесты и сюжетные ветви. Это позволит создать уникальный опыт для каждого игрока и повысить его вовлеченность.

Эксперимент основан на следующих принципах:

- **Сбор данных** о поведении игрока
- **Анализ паттернов** игрового процесса
- **Динамическая адаптация** сложности и контента
- **Обратная связь** от игроков

Параметры сбора данных

Система отслеживает следующие метрики:

- **Игровые результаты:**
 - Процент побед
 - Среднее время прохождения
 - Количество попыток на уровень
- **Поведенческие факторы:**
 - Стиль игры
 - Используемые стратегии
 - Частота использования механик
- **Эмоциональные показатели:**
 - Частота пауз
 - Скорость принятия решений
 - Реакция на неудачи

Механизмы адаптации

Система адаптирует следующие элементы:

- Сложность противников
- Баланс ресурсов
- Сложность квестов
- Доступность механик

- Скорость появления событий
- Результаты эксперимента**

Таблица 1

Статистический анализ

| Метрика | До адаптации | После адаптации | Изменение (%) |
|--------------------|--------------|-----------------|---------------|
| Удержание игроков | 45% | 75% | +66.7% |
| Среднее время игры | 30 мин | 48 мин | +60% |
| Завершение квестов | 55% | 82% | +49.1% |
| Отток игроков | 35% | 24% | -31.4% |
| Средняя оценка | 3.8/5 | 4.5/5 | +18.4% |

Анализ результатов

Эксперимент продемонстрировал значительное улучшение ключевых показателей:

- **Повышение удержания** на 66.7%
- **Увеличение времени** в игре на 60%
- **Рост завершения** квестов на 49.1%
- **Снижение оттока** игроков на 31.4%

Рекомендации по внедрению

1. **Расширение системы** сбора данных
2. **Улучшение алгоритмов** прогнозирования
3. **Внедрение А/В-тестирования**
4. **Регулярный анализ** обратной связи

Заключение

Результаты нашего мысленного эксперимента показывают, что использование адаптивного ИИ может значительно улучшить пользовательский опыт. В то же время, предлагаемый подход не лишен существенных условий и ограничений. Помимо значительных первоначальных инвестиций в разработку, критически важным становится учет культурного и социального разнообразия игроков, поскольку именно этот фактор определяет итоговое восприятие адаптивного контента. Отдельно стоит отметить, что сфера применимости полученных результатов преимущественно ограничена контекстом видеоигр.

Подводя итог, можно утверждать, что применение ИИ открывает перед игровой индустрией новые возможности для кастомизации впечатлений пользователя. Для их реализации необходим комплексный подход, синтезирующий технические решения и гуманитарное понимание целевой аудитории. В качестве логичного продолжения работы видится дальнейшее исследование механик адаптивности и разработка стандартизированных инструментов, упрощающих внедрение ИИ в проекты любого масштаба.

Библиографический список

1. Shaker, N., et al. (2016). «Artificial Intelligence in Games: A Survey. » (IEEE Transactions on Games).
2. Togelius, J., et al. (2013). «The AI in Games: A Survey. » (ACM Transactions on Multimedia Computing, Communications, and Applications).
3. Yannakakis, G., Togelius, J. (2018). «Artificial Intelligence and Games. » (Springer).
4. Riedl, M. O., Bulitko, V. (2013). «Games as a Model for Human Behavior. » (IEEE Transactions on Games).
5. Shaker M., Togelius J., Yannakakis G.N. «Towards Optimally Difficult Challenges in Platform Games » (IEEE Transactions on Computational Intelligence and AI in Games. 2015).
6. Smith G., Whitehead J. «Dynamic Difficulty Adjustment in Games » (Proceedings of the 5th International Conference on the Foundations of Digital Games. 2010).
7. Juul J. «The Art of Failure: An Essay on the Pain of Playing Games. » (MIT Press, 2013).
8. Mateas M., Stern A. «Façade: An Experiment in Building a Fully-Realized Interactive Drama » (Game Developers Conference. 2005).
9. Isbister K. «How Games Move Us: Emotion by Design. » (MIT Press, 2016).
10. Yannakakis G.N., Hallam J. «Towards Capturing Player Affect in Games» (Proceedings of the 2005 Conference on Artificial Intelligence and Interactive Digital Entertainment. 2005).
11. Lopes R., Machado P., Correia N. «Adaptive Difficulty in Games: A Survey » (Journal of Computer and Games Technology. 2013).
12. Smith G. «Dynamic Difficulty Adjustment in Commercial Games » (Proceedings of the 2006 Conference on Artificial Intelligence and Interactive Digital Entertainment. 2006)

© Маркина В.С., 2025

УДК 519.6

Р.А. МИРСАЯПОВ, И.А. ШАПОШНИКОВ
roman89007@mail.ru, Fatelessevil@gmail.com

Науч. руковод. – д-р техн. наук, профессор Н.М. ШЕРЫХАЛИНА

Уфимский университет науки и технологий

МОДЕЛИРОВАНИЕ МАРШРУТОВ ДОСТАВКИ С ИСПОЛЬЗОВАНИЕМ АЛГОРИТМОВ КРАТЧАЙШЕГО ПУТИ И МИНИМАЛЬНОГО ОСТОВНОГО ДЕРЕВА

Аннотация: в данной работе рассматривается моделирование маршрутов доставки на примере одной транспортной машины с использованием алгоритмов кратчайшего пути и минимального остовного дерева (MST). Задача маршрутизации поставлена как одна из вариантов задачи коммивояжёра (TSP). Требуется пройти через все точки доставки и вернуться на склад с минимальной длиной пути. Для построения маршрута применяются жадный алгоритм, Дейкстра и алгоритм Прима для построения MST, который позволяет снизить вычислительную сложность. Проведён эксперимент на полном графе, измерялась длина маршрута и время выполнения алгоритмов. Также были сформулированы соответствующие выводы и результаты эксперимента.

Ключевые слова: Минимальное остовное дерево, MST, жадный алгоритм, Дейкстра, алгоритм Прима, задача коммивояжёра, TSP, маршрут доставки.

Введение

Задача построения оптимального маршрута доставки является одной из самой важной в логистике. При увеличении количества точек доставки может возникнуть необходимость в методе, который позволяет минимизировать расстояние при ограниченных вычислительных ресурсах.

Одним из распространённых подходов является применение алгоритмов кратчайшего пути в сочетании с минимальным остовным деревом, который позволяет ускорить поиск маршрута.

В данной работе рассматривается построение маршрута для одной машины с использованием жадного алгоритма и MST, реализованного с помощью алгоритма Прима.

Описание алгоритмов

Жадный алгоритм строит маршрут, начиная с нулевой вершины (склад) выбирая на каждом шаге ближайшую не посещённую вершину с помощью алгоритма Дейкстры. Маршрут продолжается до тех пор, пока все точки не будут посещены, после чего выполняется возврат машины на склад. Временная сложность данного алгоритма $O(V(E + V \log V))$.

```

// Жадный алгоритм с использованием кратчайших путей
pair<vector<int>, double> greedyRoute(const Graph &g, int start, const vector<int> &points) {
    set<int> unvisited(points.begin(), points.end());
    vector<int> route;
    double totalDist = 0.0;
    int current = start;
    route.push_back(current);

    while (!unvisited.empty()) {
        auto [dist, parent] = dijkstraWithPath(g, current); // С помощью Дейкстры находим кратчайшие пути от current

        // Находим ближайшую не посещённую точку
        int nearest = -1;
        double best = numeric_limits<double>::infinity();
        for (int v : unvisited) {
            if (dist[v] < best) {
                best = dist[v];
                nearest = v;
            }
        }

        vector<int> seg = restorePath(current, nearest, parent); // Восстанавливаем путь до ближайшей точки
        for (int i = 1; i < seg.size(); ++i) {
            route.push_back(seg[i]);
        }
        totalDist += best;
        current = nearest;
        unvisited.erase(nearest);
    }

    // Возвращаемся на склад
    auto [distBack, parentBack] = dijkstraWithPath(g, current);
    if (distBack[start] < numeric_limits<double>::infinity()) {
        vector<int> backSeg = restorePath(current, start, parentBack);
        for (int i = 1; i < backSeg.size(); ++i) {
            route.push_back(backSeg[i]);
        }
        totalDist += distBack[start];
    }

    return {route, totalDist};
}

```

Рис. 1. Жадный алгоритм

Алгоритм Прима применяется для построения минимального остовного дерева (MST) графа. Стартовой точкой является склад, после чего на каждом шаге выбирается ребро с минимальным весом, соединяющее уже включённые в MST вершины с ещё не посещёнными. Алгоритм постепенно строит минимальное остовное дерево графа. Полученный MST позволяет сократить число рёбер, которые рассматриваются при построении маршрута жадным алгоритмом, что ускоряет время вычисления. Для построения MST алгоритм Прима имеет временную сложность $O(V^2)$.

```

Graph buildMSTGraph(const Graph &g) {
    int n = g.size();
    vector<double> minEdge(n, numeric_limits<double>::infinity());
    vector<int> parent(n, -1);
    vector<bool> used(n, false);

    minEdge[0] = 0.0; // начинаем со склада (вершина 0)
    for (int i = 0; i < n; ++i) {
        // Находим неиспользованную вершину с минимальным ребром
        int v = -1;
        for (int j = 0; j < n; ++j) {
            if (!used[j] && (v == -1 || minEdge[j] < minEdge[v])) {
                v = j;
            }
        }
        if (minEdge[v] == numeric_limits<double>::infinity()) {
            break; // граф несвязный
        }
        used[v] = true;
        for (auto &e : g[v]) {
            if (e.weight < minEdge[e.to] && !used[e.to]) { // обновляем детей вершины v
                minEdge[e.to] = e.weight;
                parent[e.to] = v;
            }
        }
    }

    // Построение MST графа
    Graph mstG(n);
    for (int v = 1; v < n; ++v) {
        int u = parent[v];
        if (u != -1) {
            double w = 0;
            for (auto &e : g[u]) {
                if (e.to == v) {
                    w = e.weight;
                    break;
                }
            }
            mstG[u].push_back((v, w));
            mstG[v].push_back((u, w));
        }
    }
    return mstG;
}

```

Рис. 2. Алгоритм Прима

Сам алгоритм Дейкстры используется как отдельный инструмент для нахождения кратчайших путей от одной вершины до всех остальных в графе с неотрицательными рёбрами. Алгоритм каждый раз выбирает вершину с минимальным расстоянием и обновляет расстояния до её соседей. В данной работе алгоритм Дейкстры применяется в трёх ключевых местах: для выбора ближайшей не посещённой вершины в жадном маршруте, для вычисления кратчайших путей между точками в MST и для восстановления маршрута. Временная сложность алгоритма Дейкстры при использовании приоритетной очереди составляет $O(E + V \log V)$, что делает его эффективным инструментом для вычисления кратчайших путей в графе.

```

// Дейкстра
pair<vector<double>, vector<int>> dijkstraWithPath(const Graph &g, int start) {
    int n = g.size();
    const double INF = numeric_limits<double>::infinity();
    vector<double> dist(n, INF);
    vector<int> parent(n, -1);
    dist[start] = 0;
    priority_queue<pair<double, int>, vector<pair<double, int>>, greater<pair<double, int>>> pq;
    pq.push({0.0, start});
    while (!pq.empty()) {
        double d = pq.top().first;
        int u = pq.top().second;
        pq.pop();
        if (d > dist[u]) {
            continue;
        }
        for (auto &e : g[u]) {
            if (dist[e.to] > dist[u] + e.weight) {
                dist[e.to] = dist[u] + e.weight;
                parent[e.to] = u;
                pq.push({dist[e.to], e.to});
            }
        }
    }
    return {dist, parent};
}

vector<int> restorePath(int start, int end, const vector<int> &parent) {
    vector<int> path;
    if (end == start) {
        path.push_back(start); return path;
    }
    for (int v = end; v != -1; v = parent[v]) {
        path.push_back(v);
    }
    reverse(path.begin(), path.end());
    return path;
}

```

Рис. 3. Алгоритм Дейкстры

Эксперимент

Для проверки эффективности предложенных алгоритмов был проведён эксперимент на полном графе с 8 и 100 точками доставки, включая склад, и одной машины. Координаты точек доставки генерировались случайным образом в двумерном пространстве, а веса рёбер вычислялись как евклидовы расстояния между точками. Это позволило смоделировать реалистичное распределение точек доставки.

В эксперименте сравнивались два подхода: жадный маршрут без использования минимального остовного дерева и с MST, который построен с помощью алгоритма Прима. Для жадного маршрута на полном графе кратчайшие пути между вершинами вычислялись с помощью алгоритма Дейкстры. В случае интеграции MST маршрут строился на минимальном остовном дереве.

В ходе эксперимента измерялись два показателя: длина маршрута и время работы алгоритмов. Результаты показали, что жадный маршрут с MST выполняется быстрее, так как количество рёбер для рассмотрения сокращается, однако суммарная длина маршрута может незначительно увеличиваться из-за

ограничений MST. Жадный маршрут без MST строит маршрут по всему графу, что даёт более короткую длину, но требует больше времени на вычисления. В таблицах 1 и 2 показаны результаты эксперимента.

Таблица 1

Сравнение жадных алгоритмов без MST и с ним, 8 точек

| Алгоритм | Длина маршрута | Время выполнения |
|----------------|----------------|------------------|
| Жадный без MST | 251.737 | 0.103мс |
| Жадный с MST | 315.924 | 0.068мс |

Таблица 2

Сравнение жадных алгоритмов без MST и с ним, 100 точек

| Алгоритм | Длина маршрута | Время выполнения |
|----------------|----------------|------------------|
| Жадный без MST | 628.601 | 12.956мс |
| Жадный с MST | 814.802 | 3.261мс |

Заключение

Алгоритмы Дейкстры и Прима представляют собой эффективные инструменты для решения задач маршрутизации и построения оптимальных путей в графах. С помощью минимального остовного дерева можно снизить вычислительную мощность, сохраняя при этом хороший маршрут. Несмотря на то, что жадный алгоритм с MST не всегда даёт минимальную длину пути, он является сбалансированным решением для вычисления оптимального маршрута.

Библиографический список

1. Кормен, Т. Алгоритмы: построение и анализ / Т. Кормен, Ч. Лейзерсон, Р. Ривест, К. Штайн. – 3-е изд. – Москва: Вильямс, 2011. – 1296 с.
2. Кнуг, Д. Искусство программирования. Том 1. Основные алгоритмы / Д. Кнуг. – Москва: Вильямс, 2018. – 720 с.
3. Дейкстра Э. A note on two problems in connexion with graphs // Numerische mathematik. 1959. Т. 1. №. 1. С. 269-271
4. Седжвик, Р. Фундаментальные алгоритмы на C++ / Р. Седжвик. – Москва: Вильямс, 2011. – 1056 с.
5. Дасгупта, С. Алгоритмы / С. Дасгупта, Х. Пападимитриу, У. Вазирани. – Москва: МЦНМО, 2014. – 320 с.

6. Дискретная математика: учеб. пособие / [С. С. Поречный и др.]; Уфимск. гос. авиац. техн. ун-т. – Уфа: РИК УГАТУ, 2019. – 400 с.

© Мирсаяпов Р.А., Шапошников И.А., 2025

Д.Р. МИРХАЙДАРОВА, Н.С. САВЕЛЬЕВ,
lamyrr@bk.ru, marissddddd@gmail.com, julikas@inbox.ru
Науч. руковод. – канд. техн наук, доцент Ю.И. ВАЛИАХМЕТОВА

Уфимский университет науки и технологий

КОМБИНАТОРНАЯ И АНАЛИТИЧЕСКАЯ ПРИРОДА ЧИСЕЛ КАТАЛАНА

Аннотация: числа Каталана представляют собой одну из фундаментальных целочисленных последовательностей в комбинаторике. Они одновременно имеют глубокое аналитическое основание, выражающееся через производящие функции и рекуррентные соотношения. В статье объединяются комбинаторные и аналитические аспекты изучения чисел Каталана, показывается их универсальность, связь с различными математическими структурами и их роль в современной математике.

Ключевые слова: Числа Каталана, комбинаторика, производящая функция, рекуррентное соотношение, скобочные последовательности, пути Дика, триангуляция, биекция, биномиальные коэффициенты.

ВВЕДЕНИЕ

Числа Каталана — это последовательность натуральных чисел, возникающая во множестве комбинаторных и аналитических задач. Они описывают количество правильных скобочных последовательностей, триангуляций многоугольников, путей Дика и других структур, в которых проявляется принцип симметрии и сбалансированности. Однако за их внешней простотой скрывается глубокая аналитическая природа, отражённая в производящих функциях и рекуррентных формулах. Таким образом, числа Каталана можно рассматривать как связующее звено между комбинаторикой и анализом.

1. Комбинаторные интерпретации

Комбинаторная сущность чисел Каталана проявляется в большом количестве задач. Наиболее известными являются правильные скобочные последовательности, триангуляции многоугольников, пути Дика и способы расстановки скобок при умножении последовательности.

Правильные скобочные последовательности.

Количество правильных скобочных последовательностей из n пар скобок равно числу Каталана C_n . Последовательность считается правильной, если в любом её префиксе количество открывающих скобок не меньше количества закрывающих.

Триангуляции выпуклых многоугольников.

Число способов разбиения $(n + 2)$ -угольника на треугольники непересекающимися диагоналями также равно C_n . Эти задачи подчиняются рекуррентному закону:

$$C_{n+1} = \sum_{i=0}^n C_i \cdot C_{n-i}$$

Пути Дика.

Пути, состоящие из шагов $(1,1)$ и $(1,-1)$ от точки $(0,0)$ до $(2n,0)$, которые не опускаются ниже оси абсцисс, также подсчитываются числами Каталана.

Способы умножения последовательности.

Количество различных способов расставить скобки при умножении $n+1$ множителей соответствует C_n . Каждому способу можно поставить в соответствие бинарное дерево вычислений.

2. Аналитическая природа чисел Каталана

Аналитическое описание чисел Каталана основано на их рекуррентных свойствах и производящих функциях.

Рекуррентное соотношение:

$$C_{n+1} = \sum_{i=0}^n C_i \cdot C_{n-i}$$

Это выражение отражает принцип разбиения задачи на две независимые части. Каждое добавление пары скобок или диагонали в многоугольнике создаёт два подзадачи, количество решений которых перемножается.

Производящая функция:

$$C(X) = \sum_{n=0}^{\infty} C_n x^n$$

Используя рекуррентное соотношение, получаем уравнение:

$$C(x) = 1 + x \cdot C(x)^2$$

Решая его, получаем: $C(x) = 1 - \sqrt{\frac{1-4x}{2x}}$

Здесь демонстрируется связь чисел Каталана с биномиальными коэффициентами.

3. Применение и пример вычисления

Числа Каталана имеют широкое применение — от теории грамматик и компиляторов до физики и теории вероятностей. Ниже приведён пример программы на C++, вычисляющей эти числа по рекуррентной формуле и аналитическому выражению (**Приложение1**).

Заключение

Числа Каталана представляют собой фундаментальное соединение комбинаторных и аналитических идей. Они иллюстрируют, как единая числовая последовательность может описывать разнообразные математические структуры, от скобочных выражений до решётчатых путей. Использование производящих функций и рекуррентных соотношений позволяет не только

вычислять эти числа, но и понимать их внутреннюю структуру, связывающую комбинаторику с анализом.

Библиографический список

1. Грэхем Р., Кнут Д., Паташник О. Конкретная математика. – М.: Мир, 1998.
2. Стэнли Р. Enumerative Combinatorics. – Cambridge University Press, 2011.
3. Конвей Дж., Гай Р. The Book of Numbers. – Springer, 1996.
4. Weisstein, Eric W. Catalan Number. – From MathWorld – A Wolfram Web Resource.
5. Липский В. Комбинаторика для программистов. – М.: Наука, 2001.

Приложение 1.

```
#include <iostream>
#include <vector>
using namespace std;

long long catalanRecursive(int n, vector<long long>& memo) {
    if (n <= 1) return 1;
    if (memo[n] != -1) return memo[n];
    long long res = 0;
    for (int i = 0; i < n; i++)
        res += catalanRecursive(i, memo) * catalanRecursive(n - 1 - i, memo);
    return memo[n] = res;
}

long long binomialCoeff(int n, int k) {
    long long res = 1;
    if (k > n - k) k = n - k;
    for (int i = 0; i < k; i++) {
        res *= (n - i);
        res /= (i + 1);
    }
    return res;
}

long long catalanFormula(int n) {
    return binomialCoeff(2 * n, n) / (n + 1);
}

int main() {
    int n;
    cout << "Введите n: ";
    cin >> n;
```

```
vector<long long> memo(n + 1, -1);  
cout << "Число Каталана (рекурсия): " << catalanRecursive(n, memo) << endl;  
cout << "Число Каталана (формула): " << catalanFormula(n) << endl;  
return 0;  
}
```

© Мирхайдарова Д.Р., Савельев Н.С., 2025

Р.А. МУДАРИСОВА

renatamударisova83@gmail.com

Науч. руковод. – д.н.т., профессор каф. ВМиК Н.М. ШЕРЫХАЛИНА

Уфимский университет науки и технологий

ИССЛЕДОВАНИЕ СВЯЗЕЙ В СОЦИАЛЬНЫХ СЕТЯХ С ПОМОЩЬЮ АЛГОРИТМА ЛУЭЙНА

Аннотация: статья посвящена разработке и применению алгоритмов теории графов для анализа свойств сообществ социальных сетей. Была разработана программа, способная обнаруживать сообщества в социальной сети (на демонстрационных данных) и давать оценку, связанную со структурой. В ходе работы было выявлено 4 устойчивых сообщества (структуры) с модулярностью 0.445. По мимо этого были сделаны выводы, где можно использовать полученные знания.

Ключевые слова: анализ социальных сетей; теория графов; обнаружение сообществ; центральность вершин; устойчивость сообществ; алгоритм Луэйна.

В последние годы наблюдается быстрый рост пользователей социальных сетей. Особенно это было заметно в годы пандемии коронавируса. По этой причине традиционных методов анализа и обработки становится недостаточно, что обуславливает необходимость разработки алгоритмов на основе теории графов.

Задачами данной работы являются:

1. Разработка методов обнаружения структурных сообществ
2. Оценка устойчивости тех или иных социальных групп
3. Визуализацию результатов анализа

Представим социальную сеть в виде графа $G=(V,E)$, где V - множество вершин графа (представим эти вершины в виде пользователей), а E - множество ребер (социальных связей).

Были использованы формулы:

1. $C_D(v) = \text{deg}(v) / (|V| - 1)$ - степенная центральность
2. $C_B(v) = \sum \sigma(s,t|v) / \sigma(s,t)$ - посредническая центральность
3. $C_C(v) = (|V| - 1) / \sum d(v,t)$ - близостная центральность, где $|V|$ - количество вершин в графе; $\text{deg}(v)$ - количество связей вершин

Эти формулы были использованы для реализации алгоритмов центральности, которая основана на библиотеке NetworkX для Python. Данный алгоритм включает следующие этапы:

1. Инициализация графа соц. сети
2. Расчет степенной центральности для каждой вершины
3. Вычисление посреднической центральности

4. Определение близостной центральности на основе кратчайших путей
5. Ранжирование вершин по полученным метрикам

Помимо этого, был использован алгоритм Луэйна, основанный на оптимизации модулярности. Он был разработан Винсентом Блонделем и другими в 2008 г. Данный алгоритм состоит из 2-ух фаз:

Фаза 1: локализация оптимизаций

1. Каждая вершина помещается в отдельное сообщество
2. Для каждой вершины вычисляется прирост модулярности при перемещении в соседние сообщества
3. Вершина перемещается в сообщество с максимальным положительным приростом

Фаза 2: Алгомерация

1. Построение нового графа, где вершины - обнаруженные сообщества
2. Повторение фазы 1 на агрегированном графе
3. Повторение до достижения максимум модулярности

Для верификации предложенных алгоритмов использовался классический датасет Zachary Karate Club, содержащий:

1. 34 вершины (участника клуба каратэ)
2. 78 ребер (соц. связи между участниками)

Вычислительные эксперименты проводились со следующими параметрами:

1. Количество итераций алгоритма Луэйна - 100
2. Порог сходимости - 0.0001
3. Доля удаляемых ребер для теста устойчивости - 20%
4. Количество тестовых прогонов - 50

Программная реализация была осуществлена на Python. Использовались библиотеки:

1. NetworkX 2.8.8 - для работы с графами
2. Matplotlib 3.5.2 - для визуализации результатов
3. Python-Louvain 0.16 - для реализации алгоритма обнаружения сообществ
4. NumPy 1.21.5 - для математических вычислений

В результате анализа были получены структурные характеристики, представленные в табл.1.

Полученные значения свидетельствуют о типичной для соц. сетей структуре с умеренной плотностью связей и выраженной кластеризацией.

Таблица 1

Структурные характеристики

| Параметр | Значение |
|-------------------|----------|
| Количество вершин | 34 |

Продолжение таблицы 1

| | |
|---------------------------|-------|
| Количество ребер | 78 |
| Плотность сети | 0.139 |
| Коэффициент кластеризации | 0.571 |
| Диаметр сети | 5 |

Алгоритм Луэйна выявил 4 структурных сообщества со следующими характеристиками(табл. 2):

Таблица 2

Характеристики структурных сообществ

| Сообщество | Размер | Плотность |
|------------|--------|-----------|
| 0 | 11 | 0.418 |
| 1 | 12 | 0.318 |
| 2 | 5 | 0.600 |
| 3 | 6 | 0.467 |

Модулярность разделения составила 0.445, что свидетельствует о высоком качестве кластеризации.

Значение модулярности значительно превышает порог 0.3, считающийся показателем качественного разделения сетей на сообщества.

Структура социальной сети с сообществами

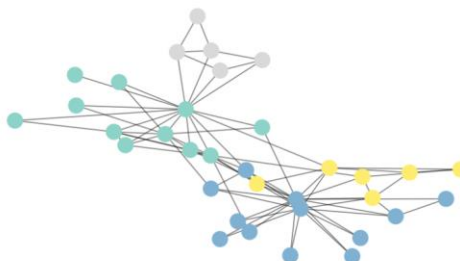


Рис. 1. Структура социальной сети с сообществами

Расчет метрик центральности выявил ключевых участников соцсети. Топ-5 вершин по различным метрикам центральности показаны в табл. 3.

Таблица 3

Метрики центральности

| Вершина | Степенная | Посредническая | Близостная |
|---------|-----------|----------------|------------|
| 33 | 0.515 | 0.438 | 0.569 |
| 0 | 0.485 | 0.382 | 0.559 |
| 32 | 0.364 | 0.215 | 0.531 |
| 2 | 0.303 | 0.142 | 0.500 |
| 1 | 0.273 | 0.098 | 0.486 |

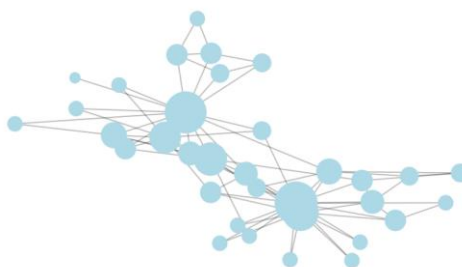


Рис. 2. Центральность вершин

Оценка устойчивости сообществ. Метрика показала следующие результаты:

Таблица 4

Результаты метрики

| Сообщество | Устойчивость | Уровень |
|------------|--------------|---------|
| 0 | 0.965 | высокая |
| 1 | 0.962 | высокая |
| 2 | 0.967 | высокая |
| 3 | 0.971 | высокая |

Все обнаруженные сообщества демонстрируют исключительно высокую устойчивость к разрыву случайных связей, что свидетельствует о наличии плотных внутренних связей и структурной стабильности.

Результаты могут быть использованы для:

1. Выявления ключевых фигур в соц. сетях
2. Прогнозирования устойчивости сообщества
3. Моделирования распространения информации в соц. сетях

Библиографический список

1. Поречный, С. С., Житникова, Н. И., Шерыхалина, Н. М., Ураков, А. Р. Дискретная математика [Текст] / С. С. Поречный, Н. И. Житникова, Н. М. Шерыхалина, А. Р. Ураков. Уфа: РИК УГАТУ, 2019. 400 с.
2. Рафтарден Т. Совершенный алгоритм. Графовые алгоритмы и структуры данных. СПб.: Питер, 2019. 256 с.
3. Ньюман М. Анализ сетей: введение. – М.: Издательский дом «Дело» РАНХиГС, 2019. – 432 с.
4. Барабаш А.Л., Степанов А.В. Социальные сети: модели информационного влияния, управления и противоборства. – М.: Издательство физико-математической литературы, 2010. – 228 с.
5. Кротов М.Г., Смирнов И.А. Алгоритмы анализа графов и социальных сетей. – СПб.: БХВ-Петербург, 2018. – 304 с.
6. Заславский А.А. Теория графов и анализ социальных сетей // Информационные технологии. – 2020. – Т. 26, № 4. – С. 215-223.
7. Петров В.Н., Сидорова Е.А. Методы обнаружения сообществ в социальных сетях // Системы и средства информатики. – 2019. – Т. 29, № 2. – С. 56-68.

8. Орлова Е.С., Кузнецов Д.И. Алгоритмы расчета центральности в сложных сетях // Программная инженерия. – 2021. – Т. 12, № 3. – С. 112-120.
© Мударисова Р.А., 2025

В.Ф. НИЗАМОВ

vadim@nizamov.info

Науч. руковод. – ст. преподаватель А.Д. БАДМАЕВ

Уфимский университет науки и технологий

**ПРАКТИЧЕСКАЯ ОЦЕНКА ОПТИМАЛЬНОГО ПАРАМЕТРА
РЕЛАКСАЦИИ В SOR-ПОДОБНОМ МЕТОДЕ ДЛЯ ОБОБЩЕННОГО
УРАВНЕНИЯ С АБСОЛЮТНОЙ ВЕЛИЧИНОЙ**

Аннотация: предложен алгоритмический подход к выбору параметра релаксации в SOR-подобном методе для решения обобщенного уравнения с абсолютной величиной (NGAVE). Численные эксперименты на задачах большой размерности показывают, что предложенные методы сокращают время решения уравнения по сравнению с обобщенным методом Ньютона (GN) и методом неподвижной точки (NINE).

Ключевые слова: уравнение с абсолютной величиной; SOR-подобный метод; параметр релаксации; оптимальный параметр; обобщенный метод Ньютона; метод неподвижной точки.

В настоящее время широкое применение находят обобщенные уравнения с абсолютной величиной (NGAVE — New Generalized Absolute Value Equation), имеющие вид

$$Ax - |Bx| = b, \quad (1)$$

где $A, B \in \mathbb{R}^{n \times n}$, $b \in \mathbb{R}^n$ — заданы, а $x \in \mathbb{R}^n$ — неизвестный вектор. Такие уравнения возникают при моделировании контактных задач, билинейных задач оптимизации с недифференцируемыми функциями, а также в теории комплементарности [4,6]. В силу нелинейности и негладкости оператора $|Bx|$ классические линейные решатели неприменимы, а прямые методы становятся вычислительно недоступными при высоких размерностях, что делает актуальным развитие эффективных итерационных алгоритмов.

Одним из перспективных подходов для решения (1) является SOR-подобный метод (далее SORL), предложенный в работе [1], который обобщает классический метод последовательной верхней релаксации на случай NGAVE. Итерационная схема имеет вид

$$\begin{aligned} x^{(k+1)} &= (1 - \omega)x^{(k)} + \omega A^{-1}(y^{(k)} + b), \\ y^{(k+1)} &= (1 - \omega)y^{(k)} + \omega |Bx^{(k+1)}|, \end{aligned} \quad (2)$$

где $\omega \in (0, 2)$ — параметр релаксации, а $y^{(k)}$ — вспомогательная переменная, аппроксимирующая $|Bx^{(k)}|$. В работе [1] показано, что при выполнении условия $\sigma_{\min}(AB^{-1}) > 1$ метод (2) сходится. Ключевым фактором эффективности метода является выбор параметра релаксации ω , аналогично тому, как это происходит в линейных системах [9]. Однако в отличие от классического случая, где для SPD-матриц известна аналитическая формула

$$\omega_{opt} = \frac{2}{1 + \sqrt{1 - \rho(B_J)^2}},$$

для NGAVE вычисление точного оптимального ω

невозможно из-за нелинейности. Это делает актуальным разработку практических стратегий подбора ω .

В качестве базового варианта мы используем фиксированное значение $\omega_0 = 1.0263$, рекомендованное в работе [1] для модельного Примера 4.2. Оно демонстрирует хорошую сходимость именно в этой задаче, но не является универсальным для других NGAVE. В дополнение к этому базовому случаю в настоящей работе рассматриваются три стратегии автоматического выбора параметра ω :

1. Практическое значение $\hat{\omega}$, основанное на оценке спектрального радиуса $\hat{\rho}$ оператора $T = DBA^{-1}$, $D = \text{diag}(\text{sign}(Bx^{(0)}))$. Для этого выполняется краткий «разогрев» схемы (2) при $\omega = 1$, дающий приближенное решение $x^{(0)}$, после чего по вектору $Bx^{(0)}$ строится матрица знаков D и к оператору T применяется степенной метод. Полученная оценка $\hat{\rho} = \rho(T)$ подставляется в формулу (3), определяющую «практический» параметр релаксации $\hat{\omega}$:

$$\hat{\omega} = \frac{2}{1 + \sqrt{1 - \hat{\rho}^2}} \quad (3)$$

2. Многоуровневый сеточный поиск экспериментально-оптимального ω^* . Сначала грубый перебор по сетке с шагом 0.01 на интервале (0.8, 1.3), затем последовательное сужение окна с уменьшением шага до $5 \cdot 10^{-5}$.
3. Адаптивный выбор последовательности ω_k . Параметр ω динамически корректируется в ходе итераций на основе поведения невязки: при замедлении сходимости ω увеличивается, при ускорении — уменьшается.

Все методы реализованы в рамках схемы (2) с релаксацией по y , как предложено в работе [1]. Эксперименты выполнены на модельной задаче (Пример 4.2 из [1]):

$$A = \text{tridiag}(-1, 4, -1), B = \text{tridiag}\left(\frac{1}{4}, \frac{1}{2}, \frac{1}{4}\right), b = 1$$

при $n = 10^3 \dots 10^4$. В качестве конкурентов использованы обобщённый метод Ньютона (GN) [6] и метод неподвижной точки (NINE) [5,7].

В табл. 1 представлено сравнение числа итераций и достигнутой погрешности для трех методов решения NGAVE на задаче из Примера 4.2 работы [1] при различных размерностях n . Как видно, обобщенный метод Ньютона (GN) является лидером по числу итераций, требуя всего двух шагов независимо от размерности задачи, что свидетельствует о его высокой скорости сходимости для данной модели. Однако, каждая итерация GN требует решения системы линейных уравнений с матрицей Якоби, которая может быть плохо обусловлена либо вырожденной, что делает метод чувствительным к начальному приближению и потенциально нестабильным для других классов задач. SORL-метод хоть и требует большего количества итераций ($k = 10$), но отличается простотой и надежностью – в отличие от GN и NINE каждая итерация метода состоит из нескольких быстрых операций: умножения на матрицу B , взятия модуля, решения системы с матрицей A (которая обычно хорошо обусловлена) и линейной комбинации. Это делает его вычислительно дешевым и устойчивым и дает значительное преимущество при решении сложных нелинейных систем.

Таблица 1

Число итераций и погрешности по методам при различных n

| n | k_{SOR} | k_{GN} | k_{NINE} | ε_{SOR} | ε_{GN} | ε_{NINE} |
|-------|-----------|----------|------------|---------------------|--------------------|----------------------|
| 1000 | 10 | 2 | 25 | 2.88e-07 | 1.37e-14 | 9.36e-07 |
| 2000 | 10 | 2 | 26 | 6.93e-07 | 1.96e-14 | 6.64e-07 |
| 3000 | 10 | 2 | 26 | 5.48e-07 | 2.41e-14 | 8.14e-07 |
| 4000 | 10 | 2 | 26 | 4.11e-07 | 2.79e-14 | 9.41e-07 |
| 5000 | 10 | 2 | 27 | 3.45e-07 | 3.12e-14 | 5.26e-07 |
| 10000 | 10 | 2 | 27 | 3.84e-07 | 4.43e-14 | 7.45e-07 |

На рис. 1 сравнивается время решения NGAVE из модельного Примера 4.2 работы [1] после нахождения ω тремя стратегиями подбора. По графикам видно, что все три метода обеспечивает почти оптимальную производительность по сравнению с использованием фиксированного ω_0 . На рис. 2 приводится логарифмический график, на котором четко проявляется преимущество адаптивной стратегии и стратегии поиска практического $\hat{\omega}$.

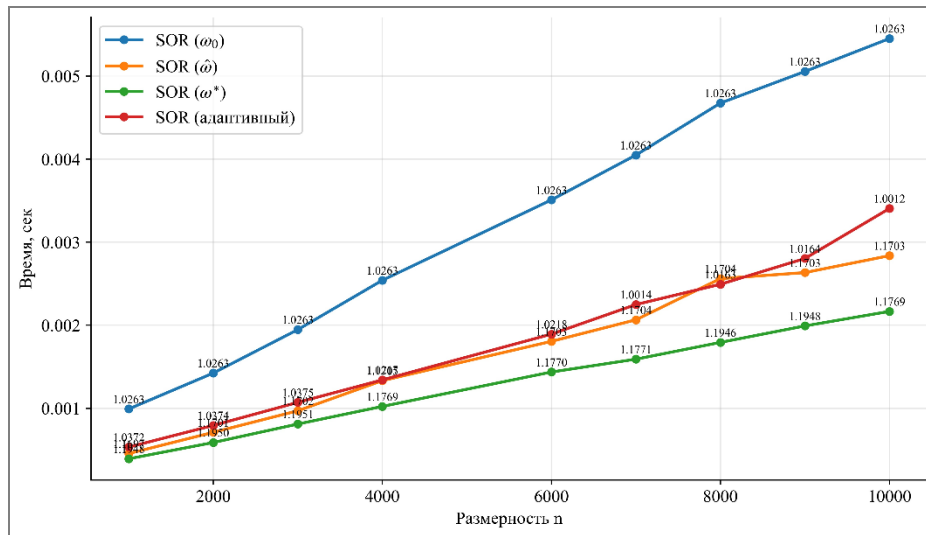


Рис. 1. Сравнение времени работы SORL в зависимости от n : фиксированное ω , практическое $\hat{\omega}$, оптимальное (сеточное) ω^* и адаптивное

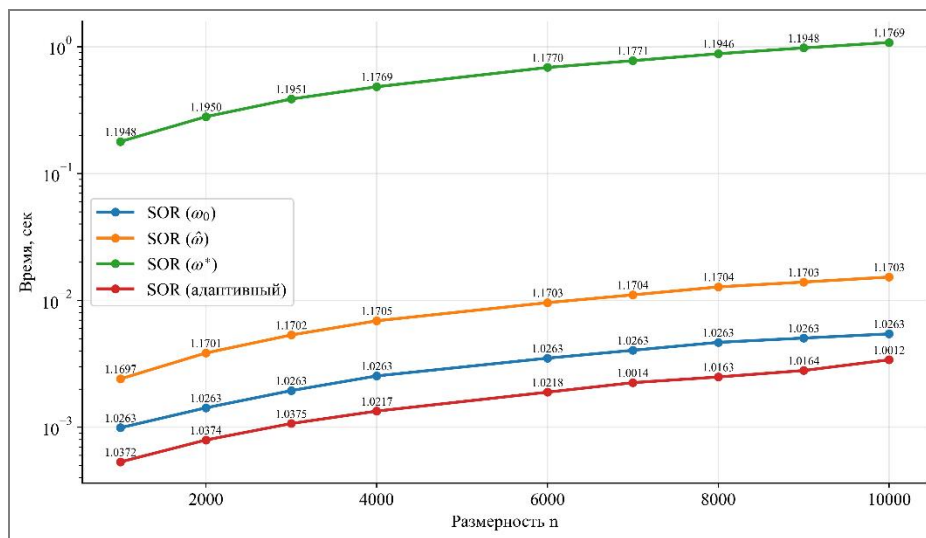


Рис. 2. Сравнение суммарного времени работы SORL (подбор ω и решение) в зависимости от n : фиксированное ω_0 , практическое $\hat{\omega}$, оптимальное (сеточное) ω^* и адаптивное

Из приведенных иллюстраций можно сделать вывод, что для одиночного расчета NGAVE наиболее выгодной по времени оказывается адаптивная стратегия, тогда как для серии задач с фиксированными матрицами A, B и изменяющимся вектором b выбор стратегии зависит от длины такой серии (обозначим M). Для небольших $M \leq 250$ по среднему времени решения лидирует адаптивный подход и практическое $\hat{\omega}$, но по мере роста M стоимость предварительной настройки параметра релаксации для сеточного метода «размазывается» по всему набору задач, и при больших длинах серии $M \geq 10^3$ многоуровневый поиск становится наиболее выгодным по времени. На рис. 3 приводится столбчатая диаграмма, иллюстрирующая приведенную динамику.

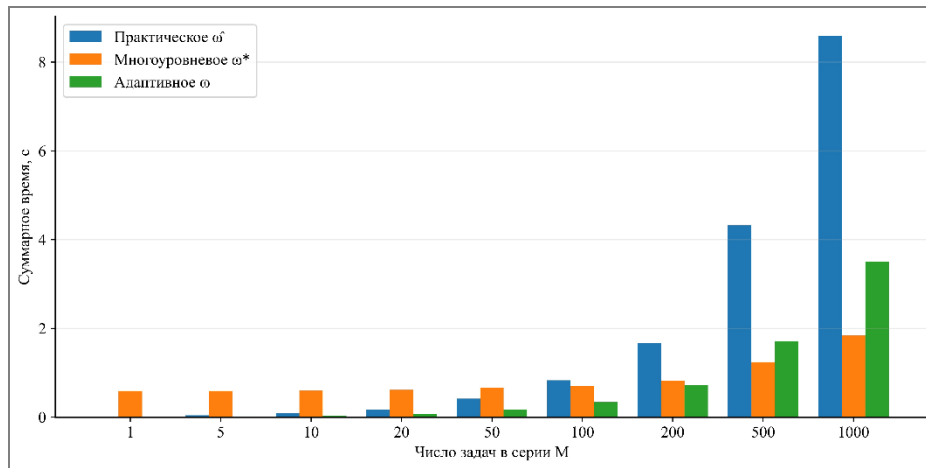


Рис. 3. Сравнение времени работы SORL в зависимости от числа задач в одной серии: практическое $\hat{\omega}$, оптимальное (сеточное) ω^* и адаптивное ω

На рис. 4 приводится сравнение времени работы SORL, GN и NINE для двух сценариев: слева для решения одного NGAVE, справа – для их серии, отличающихся только вектором b . Видно, что для первого сценария лидирует адаптивный метод, а для второго – многоуровневый поиск. Для обоих сценариев можно выбирать подходящую стратегию SORL-метода в зависимости от специфики задачи, и в каждом случае SORL окажется самым быстрым.

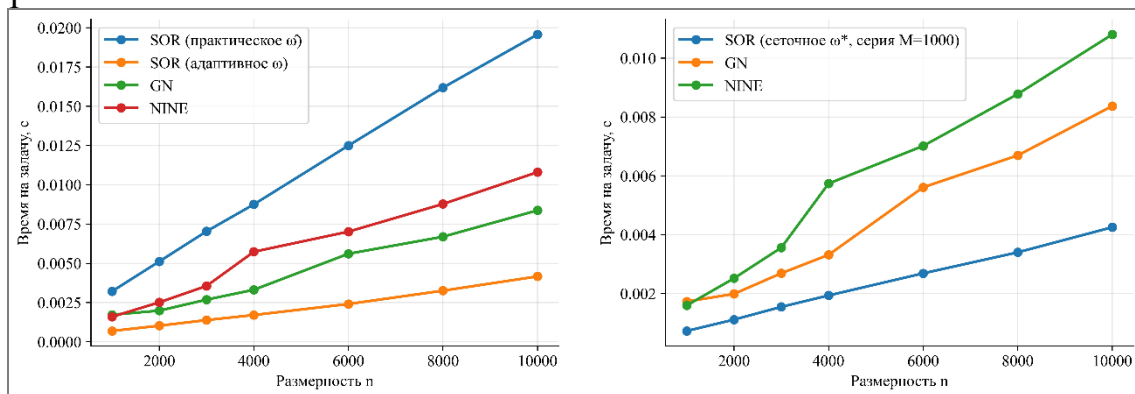


Рис. 4. Сравнение времени работы SORL, GN и NINE в зависимости от размерности n для одиночной задачи (слева) и большой серии задач (справа)

На графиках видно, что по полному времени «подбор + решение» практическое $\hat{\omega}$ уступает адаптивной и сеточной стратегиям. Однако его ключевая роль – быть удобной опорной точкой для других способов выбора параметра релаксации. Практическое $\hat{\omega}$ реализует теоретическую формулу Ян-Ву, поэтому служит естественным эталоном: по нему можно судить, насколько хорошо другие методы приближают теоретический оптимум. Кроме того, в задачах, где нежелательно опираться на эмпирические пороги и эвристики, использование $\hat{\omega}$ выглядит наиболее прозрачным и естественным вариантом.

Заключение

Подходы к оценке параметра релаксации ω , приведенные в данной работе, легко интегрируются в существующие вычислительные пакеты и могут быть применены не только к NGAVE, но и к более широкому классу негладких нелинейных систем, возникающих в механике деформируемого твердого тела, вариационных неравенствах и задачах с переключающейся динамикой. Практическая оценка спектрального радиуса и использование формулы вида

$$\omega = \frac{2}{1 + \sqrt{1 - \rho}}$$

позволяют по аналогии строить параметры релаксации и для SORL-схем решения классического уравнения с абсолютной величиной и его модификаций, основанных на матричных расщеплениях и итерациях SOR-типа [2,3,8,9]. Это открывает перспективы для дальнейшего обобщения SORL-методов на многосеточные и предобусловленные итерационные процессы и их применения в широком спектре задач прикладной математики.

Библиографический список

1. Янь Ш., Ву Ш. Л. SOR-подобный итерационный метод для нового обобщенного уравнения с абсолютной величиной // Матем. заметки. 2023. Т. 113, № 4. С. 596–603. DOI: 10.4213/mzm13852
2. Chen, C.-R. Optimal parameter for the SOR-like iteration method for solving the system of absolute value equations / C.-R. Chen, D.-M. Yu, D.-R. Han // arXiv preprint arXiv:2001.05781. – 2020. – 23 p.
3. Ke, Y.-F. SOR-like iteration method for solving absolute value equations / Y.-F. Ke, C.-F. Ma // Applied Mathematics and Computation. – 2017. – Vol. 311. – P. 195–202. – DOI: 10.1016/j.amc.2017.05.035.
4. Mangasarian O. L., Meyer R. R. Absolute value equations // Linear Algebra Appl. 2006. Vol. 419, № 2–3. P. 359–367.
5. Wu S.-L. The unique solution of a class of the new generalized absolute value equation // Appl. Math. Lett. 2021. Vol. 116. Art. 107029.
6. Mangasarian O. L. A generalized Newton method for absolute value equations // Optim. Lett. 2009. Vol. 3, № 1. P. 101–108.
7. Noor M., Iqbal J., Noor K. On an iterative method for solving absolute value equations // Optim. Lett. 2012. Vol. 6, № 5. P. 1027–1033.
8. Guo P., Wu S.-L., Li C.-X. On the SOR-like iteration method for solving absolute value equations // Appl. Math. Lett. 2019. Vol. 97. P. 107–113.

© Низамов В.Ф., 2025

Г.У. ОТАХОНОВА, Г.Р. САФИНА, В.А. КРАЙНОВА
gulnozaotahonova864@gmail.com, safinagalina.7@gmail.com,
kraynova.vlada@gmail.com

Науч. руковод. – д.т.н., профессор Н.М. ШЕРЫХАЛИНА

Уфимский университет науки и технологий

АППРОКСИМАЦИЯ ФУНКЦИЙ

Аннотация: в статье рассматривается задача аппроксимации функции, её основные методы и области применения.

Описаны полиномиальная, сплайновая и нейросетевая аппроксимация. Приведены математические основы и примеры использования методов. Показана роль аппроксимации в современных вычислительных науках.

Ключевые слова: аппроксимация, восстановление функциональной зависимости, интерполяция, сплайн, нейросетевая аппроксимация.

Введение

Современные научные и инженерные исследования характеризуются постоянно возрастающей сложностью математических моделей и увеличивающимися объемами экспериментальных данных. Во многих практических задачах аналитическое описание процессов либо чрезвычайно сложно, либо вообще недоступно. Именно в таких ситуациях на первый план выходит аппроксимация функций — фундаментальный метод приближенного представления сложных зависимостей с помощью более простых и удобных для анализа выражений.

Исторически развитие методов аппроксимации насчитывает несколько столетий — от работ Лагранжа и Ньютона по интерполяции до современных нейросетевых подходов. Особую актуальность эти методы приобрели в последние десятилетия в связи с бурным развитием вычислительной техники и машинного обучения. Сегодня аппроксимация служит математической основой для множества прикладных дисциплин, включая компьютерное зрение, обработку сигналов, финансовое моделирование и прогнозирование временных рядов.

Описание аппроксимации функций

Аппроксимацией функции $f(x)$ называется нахождение такой функции $g(x)$, которая была бы близка к заданной в соответствии с выбранным критерием. Задачей аппроксимации является нахождение функции $g(x)$, проходящей через заданные узлы в соответствии с заданным критерием.

Аппроксимация заключается в том, что, используя имеющуюся информацию по функции $f(x)$, можно рассмотреть другую функцию $g(x)$

близкую в некотором смысле к $f(x)$, позволяющую выполнить над ней соответствующие операции и получить оценку погрешности такой замены.

$g(x)$ - аппроксимирующая функция.

Интерполяция (частный случай аппроксимации)

Если для табличной функции $y=f(x)$, имеющей значение x_0 $f(x_0)$ требуется построить аппроксимирующую функцию $g(x)$ совпадающую в узлах с x_i с заданной, то такой способ называется интерполяцией.

Методы аппроксимации:

Полиномиальная аппроксимация

Является одним из наиболее распространенных способов аппроксимации. Заключается в представлении нелинейной характеристики в виде полинома (многочлена) n -ой степени относительно рабочей точки (x_0, y_0) : где a_i - коэффициенты полинома. Зависят от положения рабочей точки на характеристике;

Сплайновая аппроксимация

Для повышения точности и гладкости используют сплайны — кусочно-полиномиальные функции. Часто применяются кубические сплайны, которые на каждом отрезке $[x_i, x_{i+1}]$ задаются полиномом третьей степени и имеют непрерывные первую и вторую производные.

$$S_i(x) = a_i + b_i(x - x_i) + c_i(x - x_i)^2 + d_i(x - x_i)^3$$

Условия гладкости включают непрерывность функции, первой и второй производных в узлах:

$$S_i(x_{i+1}) = S_{i+1}(x_{i+1})$$

$$S'_i(x_{i+1}) = S'_{i+1}(x_{i+1})$$

$$S''_i(x_{i+1}) = S''_{i+1}(x_{i+1})$$

Для случая, когда число точек n больше числа параметров m , применяется МНК.

Аппроксимация с помощью нейронных сетей

Нейронные сети являются универсальными аппроксиматорами. Согласно теореме Цыбенко, одна скрытый слой с достаточным количеством нейронов может приблизить любую непрерывную функцию с любой точностью. Обучение сети заключается в минимизации функции потерь.

Преимущества методов аппроксимации

1. Универсальность: возможность работы с разнородными данными.

2. Устойчивость к шуму (в случае МНК).
3. Вычислительная эффективность (для полиномов и сплайнов).
4. Возможность использования в реальном времени.

Недостатки методов аппроксимации

1. Полиномы высокой степени склонны к колебаниям (явление Рунге).
2. Выбор степени полинома или числа узлов сплайна не всегда тривиален.
3. Нейросетевые модели требуют больших вычислительных ресурсов и данных.

Примеры применения

1. В машинном обучении: регрессионный анализ, прогнозирование.
2. В графике: построение гладких кривых и поверхностей.
3. В физике: моделирование зависимостей по экспериментальным данным.

Значение методов аппроксимации функций

Методы аппроксимации функций являются мощным инструментом для построения математических моделей сложных процессов и явлений. Они послужили фундаментом для создания современных вычислительных методов и алгоритмов, таких как методы конечных элементов, сплайновая интерполяция, вейвлет-анализ, а также повлияли на развитие нейросетевых подходов к решению задач регрессии и классификации.

Польза функции аппроксимации в жизнедеятельности

1. Аппроксимация функций активно используется в самых разных сферах жизни, такие как:
 2. Сжатие фото и видео (JPEG, MPEG) — алгоритмы аппроксимируют изображение, удаляя малозаметные детали
 3. Распознавание лиц и речи — нейросети аппроксимируют сложные зависимости между входными данными и результатом
 4. Шумоподавление в наушниках — выделение полезного сигнала на фоне помех
 5. Медицина: Приблизительные значения используются для оценки рисков, преимуществ и потенциальных побочных эффектов лечения.
 6. Прогноз погоды: приближение сложных атмосферных процессов.
 7. Спортивные трекеры и часы: аппроксимация расхода калорий и оптимальных нагрузок. Также рассчитывает сердечный ритм.

Заключение

В заключении можно утверждать, что аппроксимация важна как для научных исследований, так и для повседневной жизни человека. Аппроксимация функций, упрощает жизнь человека, помогая при расчете задач, поиска оптимальных решений и т.д. Каждый день нужда в

аппроксимации растет, сама же аппроксимация не стоит на месте и развивается, охватывая все больше областей, как науки, так и в машинном обучении. Углубляясь в эту тему, мы также убедились в том, как аппроксимация важна на сегодняшние дни и уверена, будет еще важнее в будущем.

Библиографический список

1. Бахвалов Н.С., Жидков Н.П., Кобельков Г.М. Численные методы. — М.: Лаборатория знаний, 2015. — 636 с.
2. Волков Е. А. Численные методы. 2-е изд. испр. и доп. М.: Наука, 1988. 248 с.
3. Калиткин Н.Н. Численные методы. — СПб.: БХВ-Петербург, 2011. — 592 с.
4. Самарский А.А., Гулин А.В. Численные методы. — М.: Наука, 1989. — 432 с.
5. Sherykhalina N.M., Sokolova A.A., Shaymardanova E.R. Numerical investigation of the different interpolation methods // Системная инженерия и информационные технологии. – 2023. –Том 5, № 1 (10). – С. 67-75.
6. Sherykhalina N.M., Saifullin R.O., Shaymardanova E.R. Multidimensional polynomial interpolation // Системная инженерия и информационные технологии. – 2023. –Том 5, № 4 (13). – С. 94-100.
7. Шерыхалина Н.М., Розенман А.А. Применение сплайн-аппроксимации для решения задач для уравнения Лапласа со свободными границами // Комплексный анализ, дифференциальные уравнения и смежные вопросы. Т. IV: Труды Междунар. конф. Уфа: Изд. ИМВЦ УНЦ РАН. 2000. С. 136–141.
8. <https://ya.ru/neurum/c/nauka-iobrazovanie/q/gde primenyaetsya approksimaciya v realnoy e34bb800>
9. <https://helpiks.org/6-42204.html>

© Отахонова Г.У., Сафина Г.Р., Крайнова В.А., 2025

В.В. ПЛОТНИКОВ, Ю.Р. ЮСУПОВА

vplotnikov16@yandex.ru, jusupova.julia19@gmail.com

Науч. руковод. – д-р. техн. наук, профессор Н.М. ШЕРЫХАЛИНА

Уфимский университет науки и технологий

МЕТОД ОБУЧЕНИЯ ОПТИЧЕСКОМУ ПОТОКУ НА ОСНОВЕ ГЛОБАЛЬНОГО СОПОСТАВЛЕНИЯ ПРИЗНАКОВ

Аннотация: в данной статье рассматривается архитектура для оценки оптического потока на основе концепции глобального сопоставления признаков. Описанная в статье архитектура формулирует задачу определения векторного поля смещений как задачу о нахождении единственных пар признаков, полностью переработав традиционные подходы, опирающиеся на использование полного объема корреляций с последующей регрессией с помощью сверточных слоев.

Ключевые слова: оптический поток; распознавание образов; обработка изображений, GMFlow, RAFT, компьютерное зрение, глобальное сопоставление признаков.

Введение

Задача о нахождении оптического потока и его оценке занимает центральное место в области компьютерного зрения и распознавания образов. Оптический поток – векторное поле смещений, элементы которого описывает, в каком направлении и насколько быстро был сдвинут тот или иной объект между двумя последовательными кадрами во временном ряду изображений. Оптический поток находит применение в широком круге задач, связанных с интерполяцией видеоряда, которая в свою очередь может быть применена в задаче стабилизации видео и повышения его частоты кадров. Также оптический поток широко применяется в задачах сегментации, оценки скорости движимых объектов, создании панорам по серии снимков, построении 3D-сцен на основе серии снимков и прочее.

На протяжении последних лет основное развитие методов оценки оптического потока связано с применением глубоких сверточных нейронных сетей, таких как FlowNet, PWC-Net и RAFT (Recurrent All-Pairs Field Transforms, рекуррентное преобразование поля оптического потока с использованием всех попарных соответствий). Эти модели используют представление данных в виде объема стоимости в четырехмерном объеме корреляций, построенном на основе карт признаков двух последовательных кадров. Так, например, модель RAFT, обеспечивая высокую точность за счет многократных итеративных уточнений, требует значительных вычислительных

ресурсов и увеличивает время инференса пропорционально росту числа итераций. Схема работы модели RAFT изображена на Рис. 7.

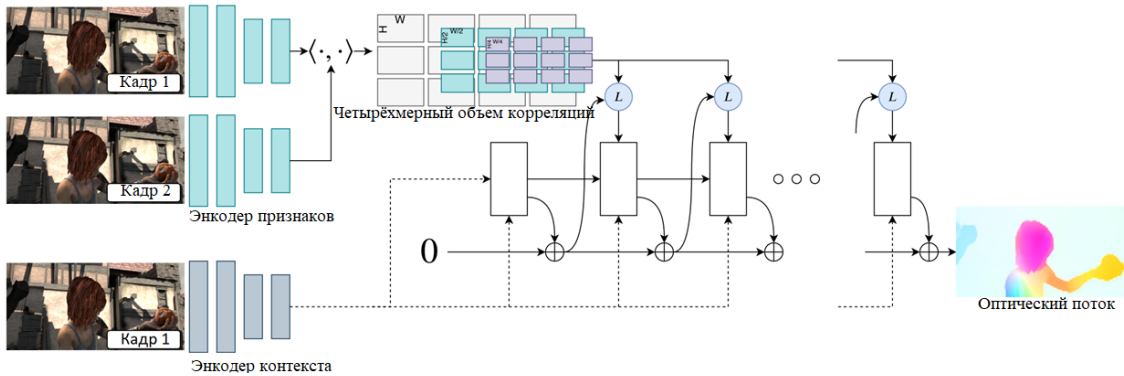


Рис. 7. Схема работы RAFT

Формулировка метода GMFlow

Рассмотрим два последовательных видеокadra I_1 и I_2 . Задача оценки оптического потока заключается в определении вектора смещения для каждой точки первого кадра, указывающего на соответствующую ей точку во втором кадре. Цель задачи состоит в нахождении соответствий между пикселями изображения I_1 и I_2 на основе их признаковых описаний.

Для решения данной задачи в методе GMFlow (Global Matching Flow, поток глобального сопоставления) используется подход, основанный на глобальном сопоставлении признаков. Сначала из каждого кадра с помощью свёрточной нейронной сети, использующей общие веса и слои, извлекаются плотный признаки $F_1, F_2 \in \mathbb{R}^{H \times W \times D}$, где H и W обозначают высоту и ширину карты признаков, а D – размерность признакового пространства. Далее для каждой точки $p_1 = (i, j)$ в признаковом пространстве первого кадра вычисляется степень корреляции с каждой точкой $p_2(k, l)$ второго кадра. Корреляционная матрица C определяется выражением:

$$C = \frac{F_1 F_2^T}{\sqrt{D}}, \quad (1)$$

где каждый элемент $C_{ij,kl}$ характеризует степень сходства признаков между координатами (i, j) и (k, l) . Деление на \sqrt{D} выполняется с целью нормализации роста значений при увеличении размерности признаков.

Поскольку выбор координат с наибольшей корреляцией не является дифференцируемой операцией, для обучения end-to-end вводится дифференцируемый слой сопоставления. Он реализуется с помощью нормализации корреляционной матрицы по последним двум измерениям с применением функции softmax, что приводит к формированию вероятностного распределения соответствий:

$$M = \text{softmax}(C) \in \mathbb{R}^{H \times W \times H \times W}. \quad (2)$$

На основе полученного распределения вычисляется ожидаемая позиция соответствующего пикселя:

$$\hat{G} = MG \in \mathbb{R}^{H \times W \times 2}, \quad (3)$$

где G – сетка координат пикселей. Разность между исходными и найденными координатами определяет векторное поле смещений:

$$V = \hat{G} - G \in \mathbb{R}^{H \times W \times 2}. \quad (4)$$

Признаки F_1, F_2 , извлеченные базовой сверточной сетью, вычисляются независимо, без учета взаимосвязей между кадрами. Чтобы эти взаимосвязи учитывать, естественным решением становится использование трансформера для моделирования взаимных зависимостей между двумя множествами данных через механизм внимания.

Улучшение признаков

Перед подачей в трансформер к признаковым картам добавляются фиксированные двумерные позиционные кодировки на основе синусоиды и косинусоиды (по аналогии с архитектурой DETR). Это позволяет учитывать пространственное положение признаков и учитывать не только их сходство, но и взаимное расстояние, что повышает устойчивость сопоставления и снижает неоднозначность при поиске соответствий. Формально данный процесс можно описать следующим образом:

$$\hat{F}_1 = T(F_1 + P, F_2 + P), \hat{F}_2 = T(F_2 + P, F_1 + P), \quad (5)$$

где T – операция трансформера, P – позиционное кодирование.

Так как трансформер сам по себе имеет квадратичную сложность, для повышения вычислительной эффективности применяется стратегия локального оконного внимания с сдвигом, заимствованная из Swin Transformer.

Распространение ошибки

Одним из существенных факторов, ограничивающих точность оценки оптического потока, является наличие окклюзий и пикселей, выходящих за границы изображения после движения, для которых отсутствуют корректные соответствия между кадрами.

Предполагается, что поле оптического потока и само изображение обладают высокой структурной корреляцией: соседние пиксели в областях с однородной текстурой или движением, как привело, имеют близкие значения вектора. Исходя из этого, корректные предсказания для совпадающих пикселей могут быть распространены на несопоставленные пиксели, используя сходство признаков:

$$\tilde{V} = \text{softmax}\left(\frac{\hat{F}_1 \hat{F}_1^T}{\sqrt{D}}\right) \hat{V}, \hat{V} = \text{softmax}\left(\frac{\hat{F}_1 \hat{F}_2^T}{\sqrt{D}}\right) (G - G') \quad (6)$$

где G и G' – координатные сетки исходных и сопоставленных пикселей соответственно. Слой self-attention выполняет роль регуляризатора, обеспечивая пространственную согласованность поля пока и сглаживания ошибок в областях с низкой достоверностью сопоставления.

Функция потерь при обучении модели

Для обучения модели GMFlow используется полностью контролируемый подход, при котором сеть оптимизируется на наборах данных с известным истинным полем оптического потока. Основная цель обучения заключается в минимизации отклонения между предсказанным потоком и эталонными значениями, что обеспечивает корректное сопоставление пикселей в различных сценариях движения.

Пусть V^l обозначает предсказанное моделью поле оптического потока на уровне разрешения l , а V^* – эталонное значение потока. Для учета иерархической структуры сети и постепенного уточнения предсказаний используется многоуровневая функция потерь, суммирующая ошибки на нескольких уровнях:

$$\mathcal{L} = \sum_l \alpha_l \|V^{(l)} - V^*\|_1, \quad (7)$$

где α_l – весовые коэффициенты, определяющие вклад каждого уровня в общую ошибку, а L_1 -норма обеспечивает измерение среднего модульного отклонения между предсказанным и истинными полями потока.

Эксперименты и результаты

Для оценки эффективности разработанного метода GMFlow были проведены эксперименты на нескольких общепринятых наборах данных для задачи оценки оптического потока: FlyingChair, FlyingThings3D, Sintel и KITTI 2015. Эти наборы данных включают синтетические и реальные сцены с разнообразными движениями, различными типами освещения и уровнями сложности. В ходе обучения и тестирования производилось сравнение GMFlow с современными подходами, включая RAFT, PWC-Net, FlowNet. Основными метриками служили средняя ошибка конечной точки **EPE** (End-Point Error) и доля ошибок, превышающих порог.

По результатам экспериментов модель GMFlow на наборе Sintel показала **EPE = 1,64**, что превосходит показатели RAFT с **EPE = 1,9** при меньших вычислительных затратах. При использовании графического процессора NVIDIA A100 Среднее время инференс модели GMFlow получилось в среднем 45 мс (1 итерация + шаг уточнения), в то время как у других моделей среднее время инференса при прочих равных было в среднем 103 мс (31 итерация).

Заключение

Проведенные эксперименты на стандартных наборах данных Sintel и KITTI показали, что метод GMFlow достигает высокой точности при меньших вычислительных затратах по сравнению с современными аналогами. Кроме того, модель продемонстрировала способность работать в режиме реального времени без потери качества предсказаний, что делает её перспективной для применения в различных задачах распознавания образов, компьютерного зрения и обработки изображений.

Библиографический список

1. Байлер К., Таец Б., Стрикер Д. Поля потоков: плотные поля соответствий для высокоточной оценки оптического потока при больших смещениях // Труды Международной конференции по компьютерному зрению (ICCV). – 2015. – С. 4015–4023.

2. Сюй Х., Чжан Цз., Цай Цз., Тон С., Ян Цз. Оптический поток высокого разрешения на основе одномерного внимания и корреляции // Труды Международной конференции по компьютерному зрению (ICCV). – 2022.

Досовицкий А., Фишер Ф., Илг Э., Хауссер Ф., Хазирбас К., Голков В. FlowNet: обучение оптическому потоку с использованием сверточных нейронных сетей // Труды Международной конференции по компьютерному зрению (ICCV). – 2015. – С. 2758 – 2766.

3. Сюй Х., Чжан Цз., Цай Цз., Резатофи Х., Тао Д. GMFlow: обучение оптическому потоку посредством глобального сопоставления // Труды конференции IEEE/CVF по компьютерному зрению и распознаванию образов (CVPR). – 2022. – С. 8121–8130.

© Плотников В.В., Юсупова Ю.Р., 2025

Э.Р. Саитова, Д.Р. Зулкарнаев, Н.Е. Лисина
saitova-2004@mail.ru, danilzul2002@gmail.com, lisinanatasha123@gmail.com
Науч. руковод. – д.т.н., профессор Н.М. ШЕРЫХАЛИНА

Уфимский университет науки и технологий

МОДЕЛИ ТРАНСФОРМЕРОВ ДЛЯ ВИДЕО: ИССЛЕДОВАНИЕ TIMESFORMER И ЕГО ВЫЧИСЛИТЕЛЬНЫХ ПРИНЦИПОВ

Аннотация: в данной статье рассматривается архитектура TimeSFormer (Time-Space Transformer) для обработки видеоданных на основе механизма самовнимания (self-attention). В отличие от традиционных подходов, использующих 3D-свертки, TimeSFormer применяет разделенное пространственно-временное внимание, что обеспечивает эффективное моделирование долгосрочных зависимостей при значительно меньших вычислительных затратах.

Ключевые слова: трансформеры, обработка видео, механизм внимания, компьютерное зрение, распознавание действий, TimeSFormer.

Введение

Распознавание действий и событий в видеоданных является одной из ключевых задач компьютерного зрения и распознавания образов. Видеоинформация представляет собой последовательность изображений, связанных как пространственными, так и временными зависимостями.

На протяжении последних лет основное развитие методов обработки видео было связано с применением 3D-сверточных нейронных сетей, таких как C3D, I3D и SlowFast. Однако такие подходы имеют ряд ограничений: локальный характер свёрток ограничивает возможность анализа глобальных взаимосвязей между объектами, а вычислительные затраты при увеличении длины видео и разрешения кадров растут крайне быстро.

Одной из первых моделей, предложивших полностью отказаться от свёрток при анализе видео, стал TimeSformer (Bertasius, Wang, Torresani, 2021). Эта архитектура использует механизм разделённого пространства-временного внимания (Divided Space-Time Attention), позволяя эффективно учитывать взаимосвязи как внутри кадров, так и между ними. В данной статье рассматривается архитектура TimeSformer, преимущества и недостатки.

Формулировка метода TimeSFormer

Представление видео как последовательности патчей

Рассмотрим видеоклип V размерности $(F \times H \times W \times 3)$, где:

F – количество кадров

H – высота кадра
 W – ширина кадра
 3 – количество цветовых каналов (RGB)

TimeSFormer разбивает каждый кадр на непересекающиеся патчи, так, чтобы все N патчей покрывали весь кадр размером $(P \times P)$, аналогично подходу ViT. Таким образом, каждый кадр представляется как последовательность из N патчей:

$$N = \frac{HW}{P^2}$$

Для всего видео формируется последовательность из $F \times N$ токенов.

Каждый патч линейно проецируется в признаковое пространство $z_{(p,t)}^{(0)}$ размерности D с помощью обучаемой матрицы проекции E :

$$z_{(p,t)}^{(0)} = E x_{(p,t)} + e_{(p,t)}^{pos}$$

$e_{(p,t)}^{pos}$ – обучаемое позиционное встраивание, кодирующее пространственно-временное положение патча.

В начало полученной последовательности векторов $z_{(p,t)}^{(0)}$ добавляется специальный обучаемый вектор $z_{(0,0)}^{(0)}$ (представляет собой токен классификации), после чего последовательность подается на вход трансформера.

Трансформер состоит из L блоков кодирования. В каждом блоке l для каждого патча вычисляются векторы запроса (Q), ключа (K) и значения (V) из представлений $z_{(p,t)}^{(l-1)}$, полученных на предыдущем слое обработки:

Q (Query) – вектор запроса, определяющий, на что данный патч хочет обратить внимание;

K (Key) – вектор ключа, представляющий информацию о патче, по которой другие патчи могут «его найти»;

V (Value) – вектор значения, содержащий информацию патча, которая будет передана другим патчам через механизм внимания.

В механизме multi-head attention эти векторы вычисляются с помощью обучаемых матриц $W_Q^{(l,a)}$, $W_K^{(l,a)}$, $W_V^{(l,a)}$ для каждой головы $a = 1, \dots, h$. Такой подход позволяет каждой голове изучать разные аспекты пространственно-временных зависимостей.

Стандартный механизм самовнимания имеет квадратичную сложность. Для видео с $F \times N$ токенами это становится чрезвычайно затратным. TimeSFormer решает эту проблему путем разделения пространственного и временного внимания:

Временное и пространственное внимание применяются последовательно.

В каждом блоке l вычисляется временное внимание, сравнивая каждый патч со всеми патчами в тех же пространственных позициях в других кадрах. Полученное кодирование, вычисленное с использованием временного внимания, затем подаётся на вычисление пространственного внимания. В модели разделённого внимания обучаются отдельные матрицы запросов, ключей и значений для временного и пространственного внимания.

Далее происходит кодирование:

Представление $z_{(p,t)}^{(l)}$ на уровне l вычисляется путём взвешенного суммирования значений, используя коэффициенты самовнимания для каждой головы внимания:

$$s_{(p,t)}^{(l,a)} = a_{(p,t),(0,0)}^{(l,a)} v_{(0,0)}^{(l,a)} + \sum_{p'=1}^N \sum_{t'=1}^F a_{(p,t),(p',t')}^{(l,a)} v_{(p',t')}^{(l,a)}$$

Затем векторы всех голов конкатенируются и проходят через нормализацию и многослойный персептрон, с добавлением остаточных связей после каждой операции:

$$z_{(p,t)}^{(l)} = W_0 \begin{bmatrix} s_{(p,t)}^{(l,1)} \\ \vdots \\ s_{(p,t)}^{(l,A)} \end{bmatrix} + z_{(p,t)}^{(l-1)}$$

A – общее число голов

$$z_{(p,t)}^{(l)} = MLP(LN(z_{(p,t)}^{(l)})) + z_{(p,t)}^{(l)}$$

Финальное представление видео получается из последнего блока для классификационного токена. Поверх него накладывается MLP с одним скрытым слоем для предсказания класса видео.

Преимущества архитектуры

Вычислительная эффективность: несмотря на большое число параметров, модель имеет низкую стоимость инференса, что делает ее практичной для крупномасштабного обучения.

Моделирование долгосрочных зависимостей: глобальное внимание эффективно моделирует пространственно-временные зависимости в видео, преодолевая ограничения локальной связности и ограниченных рецептивных полей сверточных архитектур.

Масштабируемость: модель может обрабатывать видео с более высоким пространственным разрешением и более длинные последовательности.

Недостатки архитектуры

Высокая вычислительная нагрузка: хотя разделенное внимание снижает сложность, потребление памяти все еще представляет проблему для приложений реального времени или с ограниченными ресурсами.

Не адаптирован к задачам плотного предсказания (локализация действий или сегментация видео): исследование разреженного внимания, сокращения токенов или мультимодальных расширений могло бы стать плодотворным направлением.

Области практического применения

Спортивная аналитика. В спортивной аналитике точное распознавание движений и действий спортсменов необходимо для оценки производительности, предотвращения травм и стратегического планирования. Это предоставляет тренерам и командам информацию, основанную на данных, для оптимизации тренировок и игровых решений. Видеоклассификация имеет широкие применения в анализе спортивных событий, рекомендации контента и многом другом, что делает важным точное моделирование пространственной и временной динамики

Заключение

Архитектура TimeSFormer представляет собой значимый шаг в развитии методов обработки видеоданных благодаря применению механизма разделённого пространственно-временного внимания. Отказываясь от традиционных 3D-сверток, модель эффективно моделирует как локальные, так и глобальные зависимости в видеопоследовательностях, обеспечивая высокую точность при умеренных вычислительных затратах. Преимущество TimeSFormer заключается в способности учитывать долгосрочные временные взаимосвязи и масштабироваться на более высокое разрешение и большие длительности роликов — то, что зачастую остаётся проблемой для сверточных подходов.

Несмотря на это, модель сохраняет высокие требования к памяти и пока ограничена в применении задачами классификации, что делает актуальным дальнейшее исследование методов оптимизации внимания и адаптации к задачам плотного предсказания. Тем не менее, TimeSFormer уже демонстрирует значительный потенциал в областях, где требуется точное понимание динамики действий, например, в спортивной аналитике и других прикладных сценариях, связанных с анализом поведения объектов на видео.

Таким образом, TimeSFormer можно рассматривать как перспективную основу для следующего поколения видеомоделей, объединяющую гибкость трансформеров и потребности современного анализа видеоданных.

Библиографический список

1. FacebookResearch. TimeSformer: The official PyTorch implementation of our paper “Is Space-Time Attention All You Need for Video Understanding?” [Электронный ресурс] — Режим доступа: <https://github.com/facebookresearch/TimeSformer> (дата обращения: 06.11.2025).

2. Zhang B., Yu J. Co-training Transformer with Videos and Images Improves Action Recognition. Google Research Blog, March 1 2022. [Электронный ресурс] — Режим доступа: <https://research.google/blog/co-training-transformer-with-videos-and-images-improves-action-recognition/> (дата обращения: 06.11.2025).

3. Lee Juhyun. Reimagining Video Understanding with TimeSformer: A Dive into Space-Time Attention. Medium, Aug 30 2024. [Электронный ресурс] — Режим доступа: <https://medium.com/@juhyun62015/reimagining-video-understanding-with-timesformer-a-dive-into-space-time-attention-5f8244d2349d> (дата обращения: 06.11.2025).

4. Kim Dong-Keon. TimeSFormer: Efficient and Effective Video Understanding Without Convolutions. Medium, Jul 2 2025. [Электронный ресурс] — Режим доступа: <https://medium.com/@kdk199604/timesformer-efficient-and-effective-video-understanding-without-convolutions-249ea6316851> (дата обращения: 06.11.2025).

5. Bertasius G., Wang H., Torresani L. Is Space-Time Attention All You Need for Video Understanding? // arXiv preprint arXiv:2102.05095. 2021. [Электронный ресурс] — Режим доступа: <https://arxiv.org/pdf/2102.05095> (дата обращения: 06.11.2025).

6. Zhang B., Yu J., Fifty C., Han W., Dai A. M., Pang R., Sha F. Co-training Transformer with Videos and Images Improves Action Recognition // arXiv preprint arXiv:2112.07175. 2021. [Электронный ресурс] — Режим доступа: <https://arxiv.org/pdf/2112.07175> (дата обращения: 06.11.2025).

© Сайтова Э.Р., Зулкарнаев Д.Р., Лисина Н.Е., 2025

Г.Р. САФИНА, Г.У. ОТАХОНОВА, А.А. РУДАКОВА
safinagalia.7@gmail.com, gulnozaotahonova864@gmail.com
annarudakova2005@gmail.com

Науч. руковод. – д.т.н., профессор Н.М. ШЕРЫХАЛИНА

Уфимский университет науки и технологий

ФЕНОМЕН РУНГЕ И МНОГОЧЛЕН ЧЕБЫШЕВА

Аннотация: в данной статье рассматривается исследование проблемы, возникающей при интерполяции функций полиномами высоких степеней, известной как феномен Рунге. Описано решение проблемы при помощи использования многочлена Чебышева.

Ключевые слова: феномен Рунге; многочлен Чебышева; многочлен Лагранжа; погрешность.

Введение

Одной из фундаментальных задач численного анализа является интерполяция функций. Когда аналитический вид функции неизвестен или слишком сложен используется построение многочлена, точно совпадающего с исходной функцией в заданном наборе точек (узлах).

Одним из методов интерполяции является интерполяция полиномами, в том числе полиномами высоких степеней. Повышение степени должно увеличивать точность при решении задачи. Однако было выявлено, что при интерполяции полиномами высоких степеней возникают колебания на краях интервала, что приводит к увеличению погрешности. Данная проблема была обнаружена немецким математиком Карлом Рунге и впоследствии была названа «Феноменом Рунге».

Для преодоления этой проблемы необходимо воспользоваться многочленом Чебышева, предложенным математиком Пафнутием Чебышевым.

Феномен Рунге

Классическим примером, иллюстрирующим феномен, является интерполяция функции Рунге:

$$f(x) = 1/(1 + 25x^2)$$

на отрезке $[-1, 1]$. При построении интерполяционного многочлена Лагранжа $P_n(x)$ высокой степени (например, $n > 10$) по равноотстоящим узлам наблюдается следующее: вблизи границ $x = \pm 1$ многочлен начинает совершать сильные колебания, а его значения резко отклоняются от исходной функции. С ростом степени многочлена n амплитуда этих колебаний не затухает, а, наоборот, нарастает (Рис. 1)

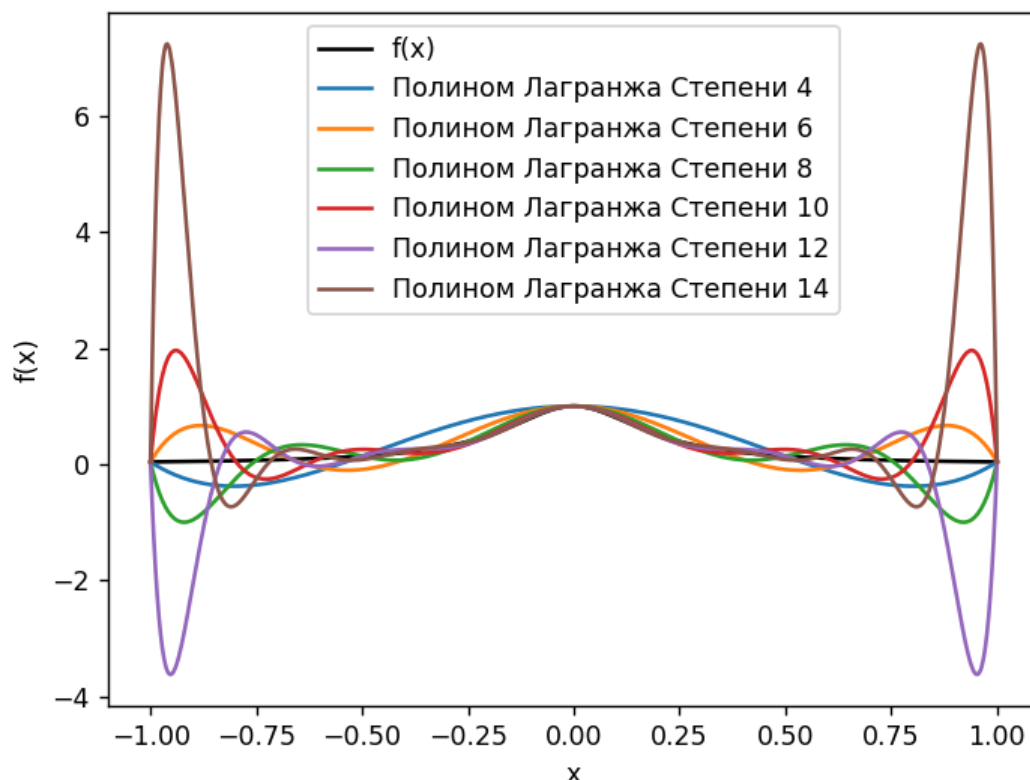


Рис. 1. Построение интерполяционного полинома Лагранжа высоких степеней.

Феномен Рунге демонстрирует, что увеличение степени интерполяционного многочлена не всегда ведёт к повышению точности. Это можно объяснить через погрешность Лагранжа.

$$f(x) = P_n(x) + \frac{\prod_{j=0}^n (x - x_j)}{(n+1)!} f^{(n+1)}(\xi)$$

Для функции Рунге на равномерной сетке узлов оба сомножителя в выражении для погрешности — факториал в знаменателе и произведение разностей в числителе — неограниченно возрастают при увеличении числа узлов n .

Многочлен Чебышева

Для решения данной проблемы необходимо воспользоваться многочленом Чебышева. Он позволяет решать задачи выбора на отрезке оптимальных узлов интерполяционного многочлена, чтобы максимальная погрешность интерполяции функции f на этом отрезке была минимальной.

Многочлен Чебышева $T_n(x)$, $n \geq 0$, на отрезке $[-1, 1]$ задаются формулой:

$$T_n(x) = \cos(n \arccos x)$$

Многочлены Чебышева минимизируют максимальное значение на $[-1, 1]$ среди всех многочленов с таким же старшим коэффициентом:

$$\max_{[-1,1]} |T_n(x)| = 1; T_n(x_m) = (-1)^m; x_m = \cos(m\pi/n), m = 0, 1, \dots, n$$

Корни многочленов $x_i = \cos \frac{(2i+1)\pi}{2n}$, $i = 0, 1, \dots, n - 1$ лежат строго внутри отрезка и группируются ближе к его концам.

На Рис. 2. видно, что при построении многочлена Чебышева колебания в крайних точках значительно уменьшаются.

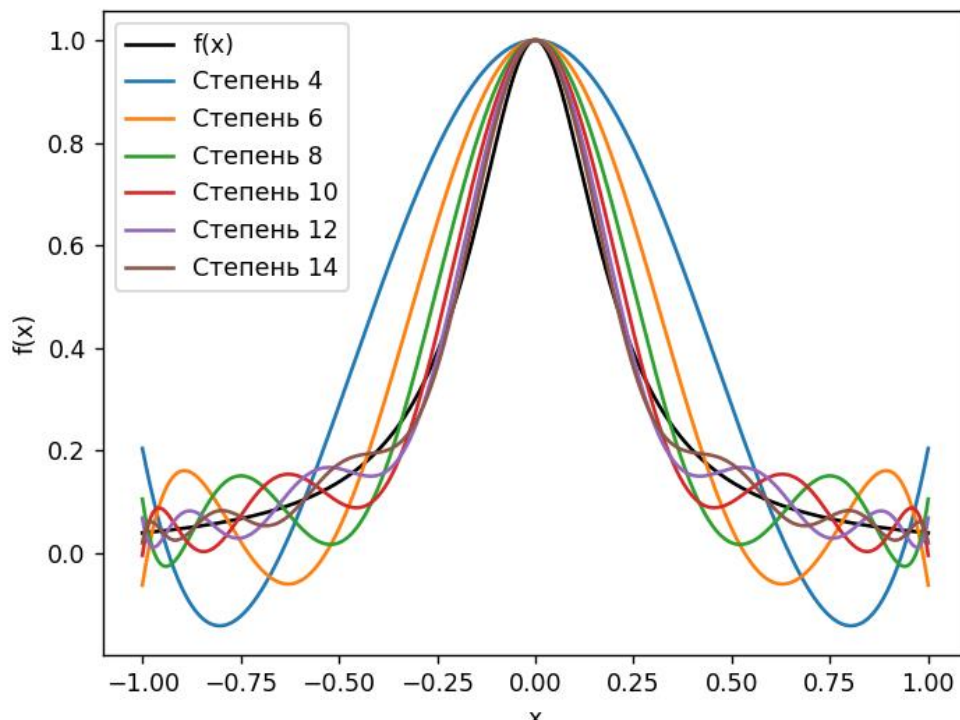


Рис. 2. Использование многочлена Чебышева

Заключение

Таким образом, в рамках данной статьи была рассмотрена одна из проблем численного анализа — феномен Рунге, проявляющийся при интерполяции функций полиномами высоких степеней на равномерных сетках. Как показано на примере функции Рунге, увеличение степени интерполяционного многочлена не всегда приводит к повышению точности, а напротив, может вызывать значительные колебания на краях интервала, что ведёт к росту погрешности.

Для преодоления этой проблемы предложено использование многочленов Чебышева, которые позволяют оптимально выбирать узлы интерполяции. Благодаря своему свойству минимизировать максимальное отклонение на отрезке, многочлены Чебышева обеспечивают более равномерное распределение погрешности и позволяют избежать нежелательных колебаний на краях интервала.

Применение узлов Чебышева является эффективным методом повышения точности и устойчивости интерполяции, что подтверждает их важность в вычислительной математике и практических приложениях.

Библиографический список

1. Волков, Е. А. Численные методы / Е. А. Волков. – 2-е изд. – Наука. Гл. Ред. физ.-мат. лит., 1987. – 248 с.
2. Бахвалов, Н. С. Численные методы / Н. С. Бахвалов, Н. П. Жидков, Г. М. Кобельков. – 8-е изд. (электронное). – Москва: БИНОМ. Лаборатория знаний, 2015. – Текст : непосредственный.
3. Феномен Рунге. – Текст: электронный // habr: [сайт]. – URL: <https://habr.com/ru/articles/836392/> (дата обращения: 09.11.2025).
4. Runge's phenomenon . – Текст : электронный // Wikipedia : [сайт]. – URL: https://en.wikipedia.org/wiki/Runge%27s_phenomenon (дата обращения: 09.11.2025).
5. Житников В.П., Шерыхалина Н.М., Федорова Г.И., Соколова А.А. Методика качественного улучшения результатов вычислительного эксперимента // Системная инженерия и информационные технологии / Уфа, 2021, Т.3, №1(5). С. 58-64.
6. Sherykhalina N.M., Sokolova A.A., Shaymardanova E.R. Numerical investigation of the different interpolation methods // Системная инженерия и информационные технологии. – 2023. –Том 5, № 1 (10). – С. 67-75.

© Сафина Г.Р., Отахонова Г.У., Рудакова А.А., 2025

Я.Е. СЫРЧИН, А.А. ХАБИБУЛЛИНА

twindragonyan2006@gmail.com, azaliya.khabibullina.0707@mail.ru

Науч. руковод. – д.т.н., профессор Н.М. ШЕРЫХАЛИНА

Уфимский университет науки и технологий**ИССЛЕДОВАНИЕ ЭФФЕКТИВНОСТИ АЛГОРИТМОВ ПОИСКА ПОДСТРОКИ ДЛЯ ОБРАБОТКИ РУССКОЯЗЫЧНЫХ ТЕКСТОВ**

Аннотация: в данной статье мы рассматриваются алгоритмы поиска подстроки. Проведён эксперимент и выбран наиболее эффективный алгоритм.

Ключевые слова: алгоритмы поиска, наивный поиск, Бойер-Мур, Кнут-Моррис-Пратт, символы.

Введение

В статье будет рассмотрено три алгоритма:

1. Наивный поиск (НП) — представляет собой последовательный перебор со сравнением символов в строке и заданного образца.

2. Алгоритм Бойера-Мура (БМ) — сравнение подстроки с исходной строкой осуществляется в позициях, дающих результат, а не подходящие под заданный образец символы пропускаются.

3. Алгоритм Кнута-Морриса-Пратта (КМП) сравнивает подстроку с исходной на основе информации о совпадающих префиксах и суффиксах.

Эффективность алгоритмов поиска подстроки является важной задачей для обработки текстов. Поэтому в нашей работе мы сравним три из них и выявим самый быстродействующий. Для эксперимента был взят русскоязычный текст от ~1.5 до ~565 миллионов символов. Искомое слово находилось в конце текста, что имитировало наихудший сценарий. Для анализа скорости каждого алгоритма был произведён их запуск на исходном тексте, с замером времени его выполнения.

Таблица 2

| Алгоритм наивного поиска | |
|--------------------------|----------------------|
| Время выполнения, с | Количество символов* |
| 0.1067 | 1 527 933 |
| 0.4472 | 3 090 605 |
| 1.3150 | 9 167 582 |
| 2.7208 | 18 335 158 |
| 6.6523 | 46 359 081 |
| 34.3733 | 278 154 437 |
| 76.7832 | 565 308 976 |

Таблица 3

| Алгоритм Бойера-Мура | |
|----------------------|----------------------|
| Время выполнения, с | Количество символов* |
| 0.1059 | 1 527 933 |
| 0.2399 | 3 090 605 |
| 0.6094 | 9 167 582 |
| 1.1930 | 18 335 158 |
| 3.2108 | 46 359 081 |
| 15.8746 | 278 154 437 |
| 42.5673 | 565 308 976 |

Таблица 3

| Алгоритм Кнута-Морриса-Пратта | |
|-------------------------------|----------------------|
| Время выполнения, с | Количество символов* |
| 0.0971 | 1 527 933 |
| 0.4641 | 3 090 605 |
| 1.2981 | 9 167 582 |
| 2.5048 | 18 335 158 |
| 6.7818 | 46 359 081 |
| 30.4257 | 278 154 437 |
| 66.5635 | 565 308 976 |

**Искомое слово находится в конце каждого файла.*

Важно отметить, что в исследованиях не учитывалась мощность устройства, выполняющего поиск. Тем не менее, соотношение времени поиска останется одинаковым и при других характеристиках. Это повлияет на затраты времени, но не на результаты эксперимента.

Результаты эксперимента, представленные в таблицах 1-3, показывают, что наихудшую работоспособность показал наивный поиск. Его время выполнения достигло 76.78 секунд на самом большом количестве символов. Это свидетельствует о его низкой производительности при работе с большими объемами информации. Однако для обработки небольших текстов он все же может быть использован, так как прост в реализации. Алгоритм Бойера-Мура показал наивысшую эффективность. Хотя на малых объемах его результаты были идентичны с другими алгоритмами, с ростом текста его преимущество стало значительным. В тексте на ~565 миллионов символов он отработал за 42.57 секунд, что почти в два раза быстрее, чем НП. Это объясняется спецификой алгоритма. Он пропускает фрагменты текста, не соответствующие образцу. Алгоритм Кнута-Морриса-Пратта оказался между БМ и НП с 66.56 секундами поиска на максимальном объеме текста.

Результаты исследования имеют практическую ценность для людей, занимающихся обработкой текстов, позволяя увеличить скорость поиска информации путем выбора нужного алгоритма.

Рекомендуется использование алгоритма Бойера-Мура для обработки больших текстов, и наивного поиска для меньших объемов данных.

Библиографический список

1. Воробьев, А. В. Подход к динамической визуализации разнородных геопространственных векторных изображений / А. В. Воробьев, Г. Р. Воробьева // Компьютерная оптика. – 2024. – Т. 48, № 1. – С. 123-138. – DOI 10.18287/2412-6179-СО-1279.

2. Воробьев, А. В. Индуктивный метод восстановления временных рядов геомагнитных данных / А. В. Воробьев, Г. Р. Воробьева // Труды СПИИРАН. – 2018. – № 2(57). – С. 104-133. – DOI 10.15622/sp.57.5.

3. Воробьев, А. В. Концепция единого пространства геомагнитных данных / А. В. Воробьев, Г. Р. Воробьева, Н. И. Юсупова // Труды СПИИРАН. – 2019. – Т. 18, № 2. – С. 390-415. – DOI 10.15622/sp.18.2.390-415.

4. An Approach to Diagnostics of Geomagnetically Induced Currents Based on Ground Magnetometers Data / A. Vorobev, A. Soloviev, V. Pilipenko [et al.] // Applied Sciences (Switzerland). – 2022. – Vol. 12, No. 3. – DOI 10.3390/app12031522.

© Сырчин Я.Е., Хабибуллина А.А., 2025

Уфимский университет науки и технологий

**ОПРЕДЕЛЕНИЕ ЭЛЕКТРИЧЕСКИХ ОТКАЗОВ ЭЛЕКТРОДВИГАТЕЛЯ
ПО ФАЗОВЫМ И АМПЛИТУДНЫМ СПЕКТРАМ**

Аннотация: в данной статье разработаны алгоритмы для определения вида электрического отказа с помощью амплитудного и фазового спектров.

Ключевые слова: отказы электродвигателей, фазовый спектр, амплитудный спектр.

Неизбежные электрические отказы в двигателях могут приводить как к простому сбою оборудования, так и к значительным финансовым потерям, а в худшем случае могут нести угрозу для жизни и вред для окружающей среды. Возможность своевременно обнаруживать и определять вид неисправности позволит избежать негативных последствий.

Целью работы является разработка математического и программного обеспечения для выявления отказов.

Задачами являются: преобразование Фурье входных данных (полученных с осциллографа трехфазных токов); расчет амплитудного спектра, расчет фазового спектра, определение видов отказа, таких как: обрыв обмотки фазы, короткое замыкание обмотки фазы на корпус и межвитковое короткое замыкание.

Большинство существующих решений способно либо сигнализировать о поломке, без классификации проблемы, либо проводить полный анализ двигателя. Второй способ требует изъятия двигателя из устройства и значительных финансовых и временных затрат. Поэтому необходимо наличие портативного программного обеспечения, которое позволит в кратчайшие сроки провести проверку.

Амплитудный спектр

Вычислить амплитудный спектр можно по формуле (1):

$$A_k = \sqrt{\operatorname{Re}(X_k)^2 + \operatorname{Im}(X_k)^2}, \quad (1)$$

где:

– k – индекс значения,

– $\operatorname{Re}(X_k)$ – действительная часть значения, полученного после преобразования Фурье,

– $\operatorname{Im}(X_k)$ – мнимая часть значения, полученного после преобразования Фурье.

Стоит заметить, что для анализа не требуется большое количество значений, поэтому можно использовать около 5% начальных значений амплитудного спектра.

Фазовый спектр

Вычислить фазовый спектр можно по формуле (2):

$$\varphi_k = \operatorname{arctg} \frac{\operatorname{Im}(X_k)}{\operatorname{Re}(X_k)} \quad (2)$$

Обрыв обмотки фазы

При обрыве обмотки фазы амплитуда второй гармоники значительно возрастает (рис. 1), частота фазового спектра увеличивается (рис. 2).

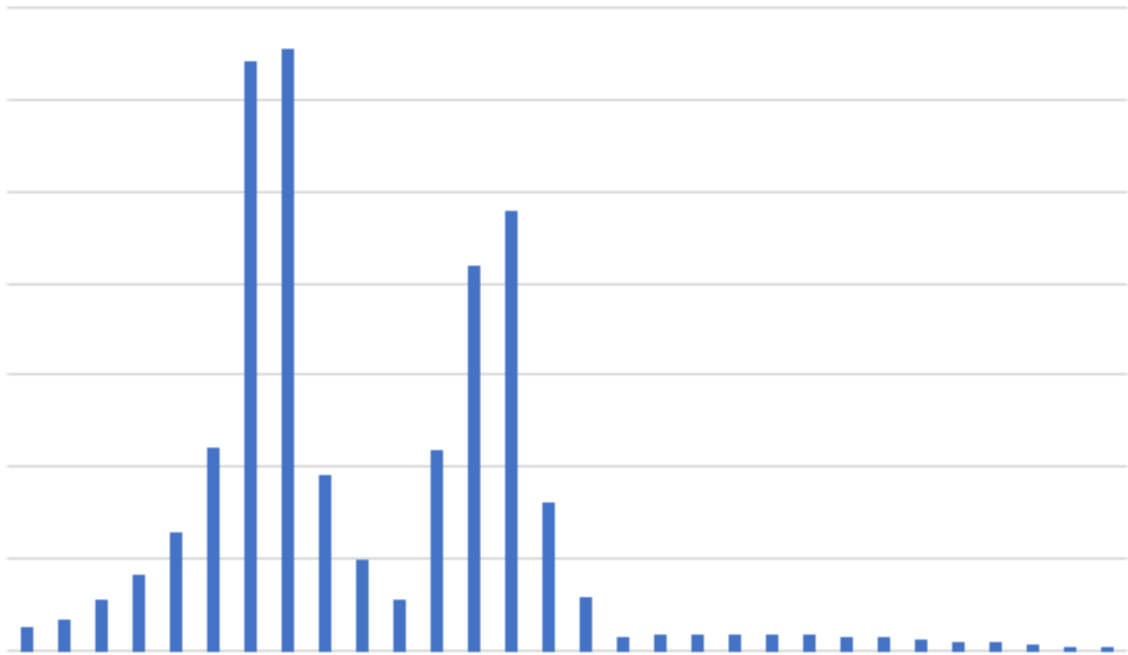


Рис. 13. Амплитудный спектр при обрыве обмотки фазы

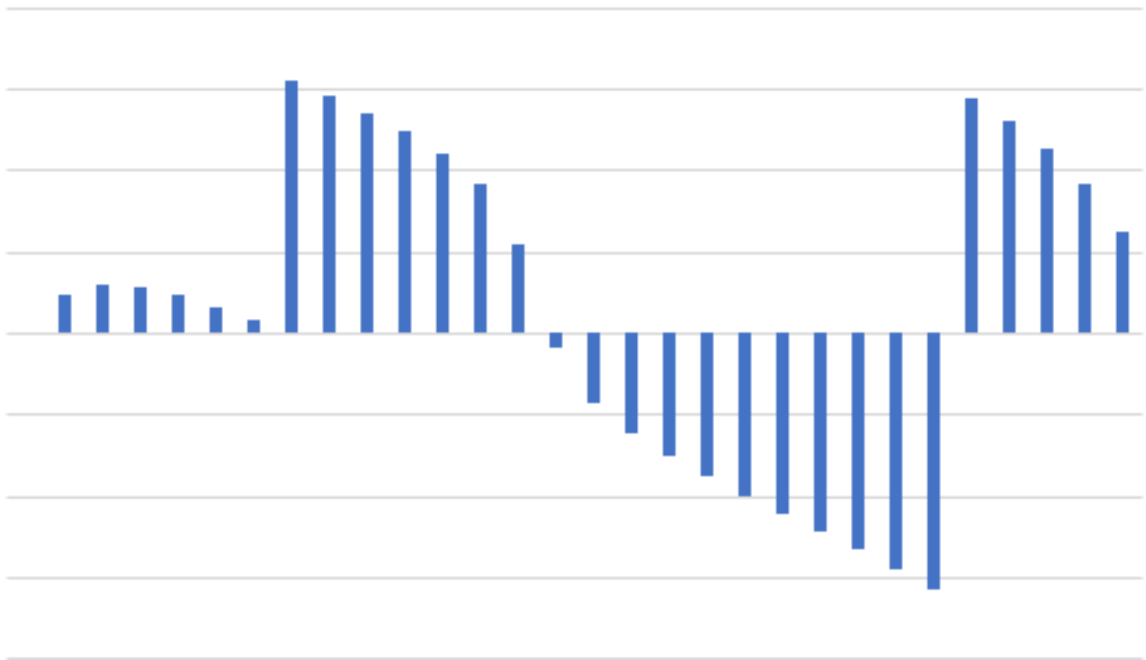


Рис. 14. Фазовый спектр при обрыве обмотки фазы

Короткое замыкание обмотки фазы на корпус

При коротком замыкании на корпус амплитуда второй гармоники возрастает (рис. 3), изменяется фазовый спектр (рис. 4).

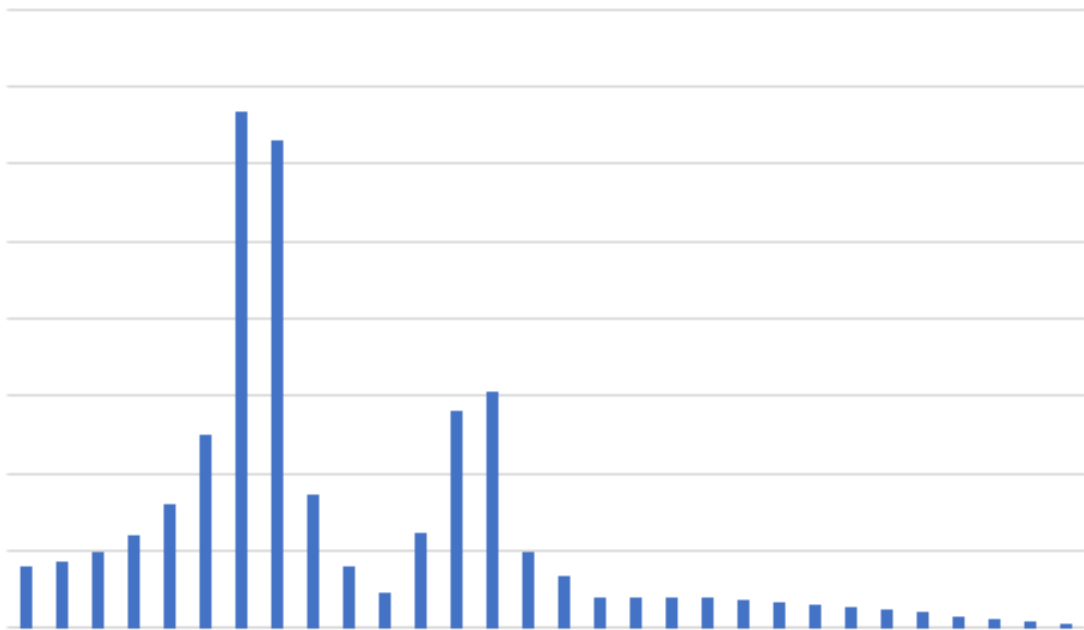


Рис. 15. Амплитудный спектр при замыкании на корпус

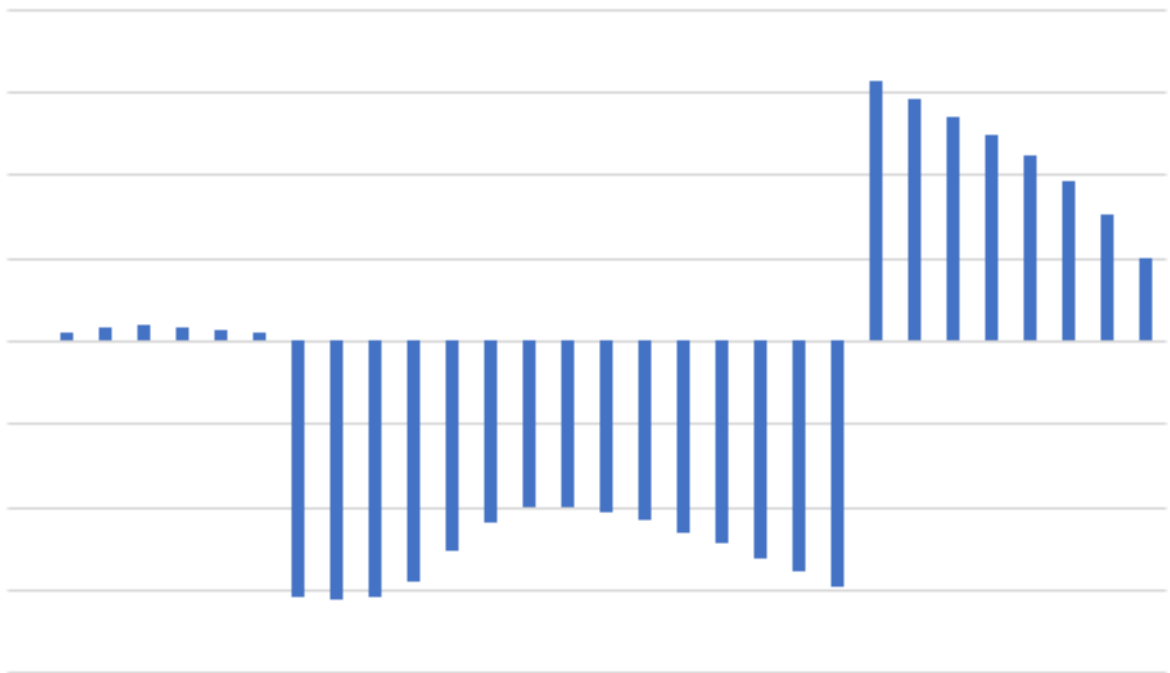


Рис. 16. Фазовый спектр при замыкании на корпус

Межвитковое короткое замыкание

При межвитковом замыкании амплитуда второй гармоники уменьшается (рис. 5), изменяется фазовый спектр (рис. 6).

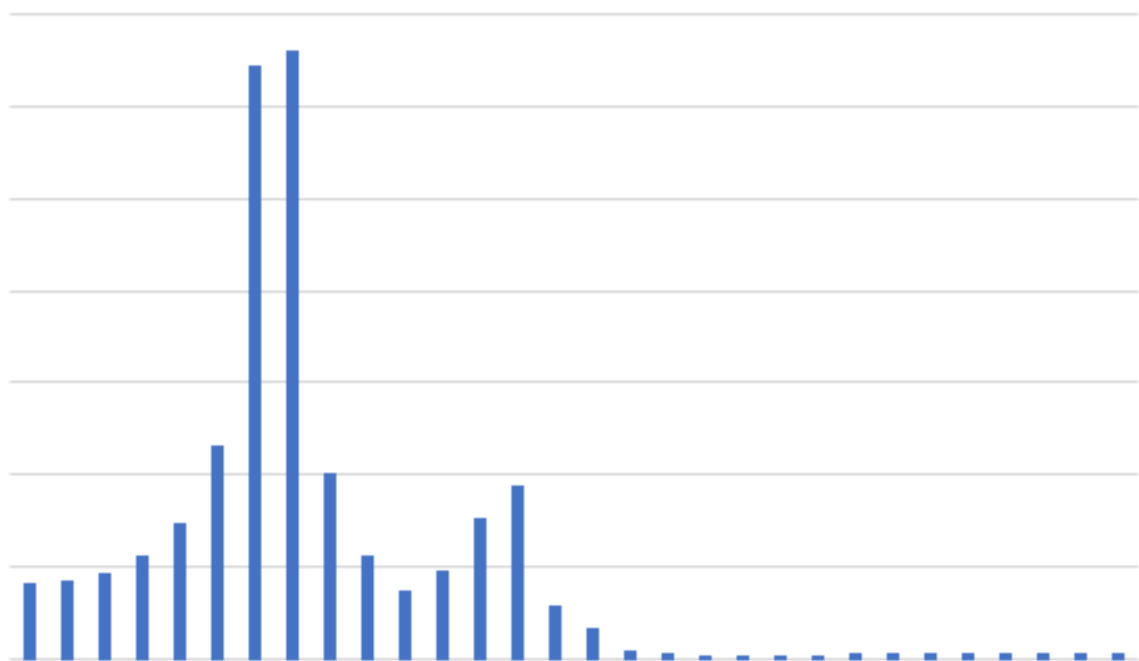


Рис. 17. Амплитудный спектр при межвитковом замыкании

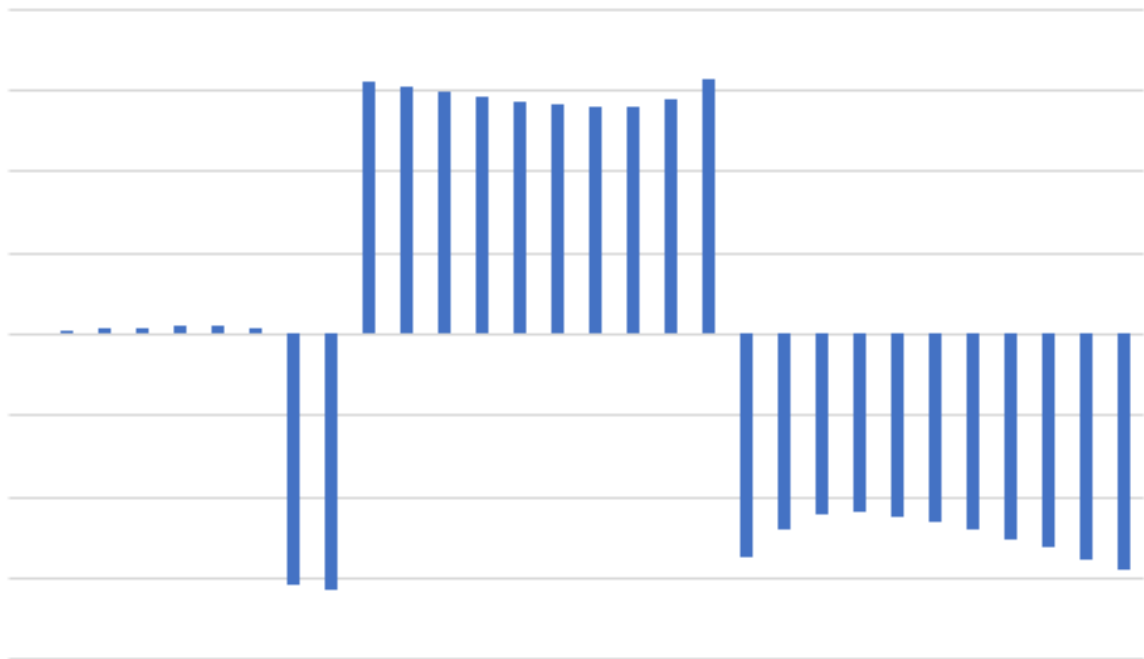


Рис. 18. Фазовый спектр при межвитковом замыкании

Библиографический список

1. Сидельников, Л.Г. Обзор методов контроля технического состояния асинхронных двигателей в процессе эксплуатации / Л.Г. Сидельников, Д.О. Афанасьев // *Архитектура и строительство России*. – 2013. – № 7. – 137 с.
2. Гаврилов, Р.С. Управление синхронными машинами с постоянными магнитами: учебное пособие / Р.С. Гаврилов, Ю.Н. Мустафаев // *Балт. гос. техн. ун-т*. – СПб. – 2019. – 78 с.
3. Ерохин, Е.Ю. Способ контроля обрыва фазы в трехфазной сети и устройство для его осуществления / Е.Ю. Ерохин, Е.Г. Токмаков, М.А. Ваткина // *Открытое акционерное общество «Всероссийский научно-исследовательский проектно-конструкторский и технологический институт релестроения с опытным производством»*. – 2008. – 10 с.
4. Савицкий Р. В. Расчет амплитудного спектра по длительностям периодов сигнала / Р. В. Савицкий, В. Л. Ким // *Интернет-журнал «НАУКОВЕДЕНИЕ» №5 2013*

© Тен Э.Р., 2025

Д.А. ТРУШНИКОВА
dashatrue34@gmail.com

Науч. руковод. – док. техн. наук, доцент, проф. Г.Р. Воробьева

Уфимский университет науки и технологий

ПРИМЕНЕНИЕ АЛГОРИТМА MARCHING SQUARES И ARCGIS API FOR JS ДЛЯ ПОСТРОЕНИЯ ИНТЕРАКТИВНЫХ ИЗОЛИНИЙ ГЕОМАГНИТНЫХ ПОЛЕЙ

Аннотация: статья посвящена описанию применения алгоритма Marching Squares для построения изолиний геомагнитных полей в веб-приложении, предназначенном для визуализации северного сияния и созданном с применением ArcGIS API for JavaScript. В ней описаны разработанные методы интерактивного отображения данных, облегчающие мониторинг и анализ геофизических процессов. Работа акцентирует внимание на значимости внедрения цифровых технологий в изучение полярных регионов.

Ключевые слова: визуализация; геофизические данные; веб-приложение; геомагнитные поля; Marching Squares; ArcGIS API for JavaScript; алгоритмы визуализации; программное обеспечение (ПО).

Введение

Современные методы визуализации геофизических данных представляют собой фундаментальные инструменты для детального анализа и мониторинга динамических природных процессов. В частности, значительную научную и практическую важность представляет исследование взаимодействия земного геомагнитного поля с потоками солнечного ветра, что приводит к образованию полярных сияний – атмосферных явлений, отражающих сложные магнитно-ионосферные процессы.

В ходе настоящего исследования было создано веб-приложение, базирующееся на применении инструмента ArcGIS API for JavaScript. Он предоставляет возможность качественно визуализировать динамику изменений геофизических характеристик в пространстве и времени. Основными визуализируемыми элементами являются геомагнитное поле и показатели активности авроральных явлений, что обеспечивает возможность точного наблюдения и изучения изменений данных в полярных регионах нашей страны. Интерактивность пользовательского интерфейса способствует эффективному анализу данных, улучшая качество мониторинга и предоставляя новые перспективы для научных исследований в области геофизики.

Теоретическая часть

Геофизическая информация охватывает разнообразные характеристики, которые описывают физическое состояние и изменения Земли, и в то же время представляет собой количественные данные о физических полях или физико-химических процессах, связанных с влиянием геологических объектов. В эти характеристики входят не только температура, атмосферное давление и уровень влажности, а также параметры ионосферы и радиации. Особую значимость в геофизическом наблюдении представляют данные о геомагнитном поле, отражающие как постоянные, так и переменные процессы в магнитосфере нашей планеты.

Изолинии представляют собой один из ключевых методов отображения данных. Они используются для изображения количественных явлений, имеющих непрерывное распространение и постепенно изменяющихся в пространстве. Этот подход позволяет визуализировать количественные параметры географических объектов и процессов посредством системы линий, проходящих через все смежные точки, имеющие одинаковое значение высоты (или других параметров).

Изучение геомагнитных данных позволяет не просто наблюдать за динамикой космической погоды в настоящем времени, но и предсказывать потенциальные опасности для технологических и экологических процессов. Длительные наблюдения за геомагнитными полями дают возможность выявить общемировые перемены в строении магнитосферы, что имеет большое значение для основных исследований в области геофизики и геодинамики. Современные методы сбора, обработки и визуализации геофизических данных обеспечивают высокую точность и оперативность анализа, что делает их незаменимыми инструментами для научных и прикладных задач в области изучения Земли и ее взаимодействия с космическим пространством.

Методологический подход к визуализации данных

В рамках проведенного исследования осуществлен сравнительный анализ двух основных подходов к визуализации геофизических данных, а именно – тепловых карт и изолиний. Тепловая карта обеспечивает интуитивное восприятие пространственного распределения интенсивности исследуемого явления, позволяя быстро оценить общую картину и выявить зоны повышенной или пониженной активности. В то же время, изолинии, представляющие собой линии равных значений параметра, обеспечивают более структурированное и детализированное отображение распределения данных.

Для построения изолиний применяется алгоритм *Marching Squares*, который так называется, потому что он «шагает» по сетке, анализируя каждый квадрат. На основе регулярной сетки значений параметра формируются непрерывные линии, соединяющие точки с одинаковыми значениями.

Алгоритм преобразует регулярную сетку значений в набор сегментов, формирующих изолинию заданного уровня L .

Для каждой вершины оценивается ее положение относительно уровня L :

$$b_i = \begin{cases} 1, & \text{если } v_i \geq L, \\ 0, & \text{если } v_i < L \end{cases} \quad (1)$$

На основе четырех вершин формируется бинарный код:

$$idx = b_0 + 2b_1 + 4b_2 + 8b_3 \quad (2)$$

Итого возможно 16 случаев, которые с учетом симметрий и поворотов можно свести к четырем.

Данный метод предоставляет возможность эффективно отображать сложные пространственные объекты и обнаруживать незначительные детали в распределении геофизических величин, что особенно ценно при исследовании меняющихся процессов и отслеживании изменений в режиме реального времени. Применение изолиний вместе с тепловыми картами расширяет возможности анализа и увеличивает содержательность визуализации геофизической информации.

Используемые технологии и программная реализация

Для разработки веб-приложения были применены современные технологии визуализации геопространственных данных, которые обеспечивают высокую функциональность и адаптивность интерфейса. В качестве основного инструмента выбран ArcGIS API for JavaScript, предоставляющий широкие возможности для интерактивного представления геофизических данных и взаимодействия с внешними источниками данных, в частности, с базой данных NOAA, содержащей актуальные данные о геомагнитной активности.

Основные используемые технологии включают:

- ArcGIS API for JavaScript – служит платформой для отображения и обработки картографических данных, обеспечивая масштабируемость и интеграцию с различными форматами геопространственной информации;
- React.js – применяется для создания пользовательского интерфейса и управления компонентами приложения, позволяя разрабатывать динамичный и адаптивный интерфейс;
- Marching Squares – используется для построения изолиний, давая возможность отображать области с идентичными значениями параметра на регулярной сетке;
- TimeSlider – компонент, гарантирующий интерактивное отображение временной динамики геофизических процессов, что позволяет отслеживать изменения параметров в режиме реального времени;
- NOAA – источник данных, поставляющий информацию о геомагнитной активности, необходимую для эффективного мониторинга и анализа.

Такой комплексный подход к выбору технологий обеспечивает продуктивную работу приложения, высокую точность визуализации и удобство для пользователей при анализе геофизических данных.

Интерактивные элементы и визуальные возможности

Особое внимание при разработке приложения уделено внедрению интерактивных возможностей, обеспечивающих удобство и гибкость при анализе геофизических данных. Пользователь имеет возможность:

- Управлять отображением геофизических данных во времени с помощью компонента TimeSlider (рис. 2), что позволяет просматривать изменения параметров внутри заданного временного промежутка;
- Регулировать масштаб и угол обзора карты с целью детального изучения интересующих регионов и получения более достоверной информации;
- Проводить визуальный анализ данных по изолиниям, что позволяет выявлять пространственные закономерности, обнаруживать отклонения от нормы и выявлять тренды в геомагнитном поле.

На рисунке 1 представлены изолинии на северном полушарии Земли.



Рис. 19. Изолинии геомагнитной активности

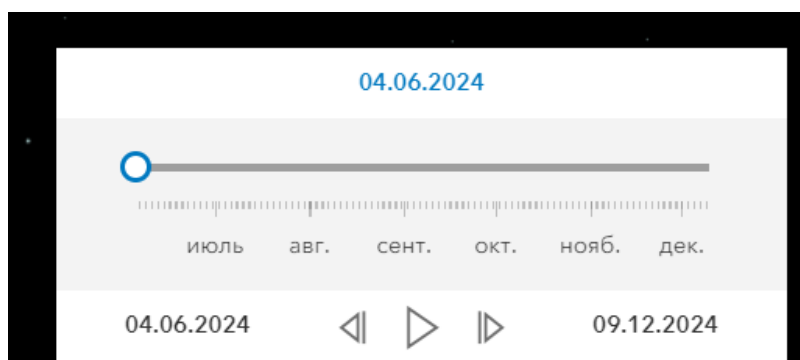


Рис. 2. Компонент «TimeSlider»

Интерактивный подход, реализованный в веб-приложении, значительно улучшает процесс анализа и изучения геофизических данных. Это превращает его в мощный инструмент для быстрого и детального исследования пространственно-временной динамики геомагнитных полей.

Заключение

Разработанное веб-приложение наглядно демонстрирует эффективность использования ArcGIS API for JavaScript в сфере визуализации геофизических данных. Использование изолиний в качестве способа отображения информации позволяет представить пространственное распределение геомагнитных полей с повышенной точностью, выделяя локальные аномалии и переходные участки. Интеграция компонента TimeSlider делает анализ изменений во времени более понятным и удобным.

В перспективе планируется расширение функциональных возможностей приложения за счет интеграции дополнительных источников данных, автоматизированного расчета индексов геомагнитной активности и разработки инструментов прогнозирования на основе анализа временных рядов. Это позволит повысить аналитическую ценность приложения и расширить его применение в научных и прикладных задачах, связанных с мониторингом и прогнозированием геофизических явлений.

Библиографический список

1. Воробьев А.В., Соловьев А.А., Пилипенко В.А., Воробьева Г.Р. Интерактивная компьютерная модель для прогноза и анализа полярных сияний. Солнечно-земная физика. 2022. Т. 8, № 2. С. 93–100. DOI: 10.12737/szf-82202213
2. Воробьев А.В., Пилипенко В.А., Еникеев Т.А. и др. Система динамической визуализации геомагнитных возмущений по данным наземных магнитных станций. Научная визуализация. 2021. № 13.1. С. 162–176. DOI: 10.26583/sv.13.1.11
3. Воробьев А.В., Соловьев А.А., Пилипенко В.А., Воробьева Г.Р. Интерактивная компьютерная модель для прогноза и анализа полярных сияний. Солнечно-земная физика. 2022. Т. 8, № 2. С. 93–100. DOI: 10.12737/szf-82202213
4. Kang-tsung Chang Introduction to geographic information systems // URL: <https://studentebookhub.com/wp-content/uploads/2024/preview/9781259929649.pdf> (дата обращения: 05.11.2025).
5. Туренко С.К., Аксарин М.Ю., Пархимович Р.В., Морозов М.В. К выбору алгоритмов картопостроения в изолиниях // eLibrary. URL: <https://www.elibrary.ru/item.asp?id=23494204> (дата обращения: 06.11.2025).
6. Садыков, А. М. Методы разработки веб-приложений: учебнометодическое пособие / А. М. Садыков. – Иваново: ИГЭУ, 2019. – 72 с. – Текст: электронный // Лань: электронно-библиотечная система. – URL: <https://e.lanbook.com/book/154584>. – Режим доступа: для авториз. Пользователей
7. Трушникова, Дарья Андреевна. Технология и алгоритмы визуализации геофизической информации на базе ArcGIS API for JS: выпускная квалификационная работа / Трушникова Дарья Андреевна; УУНиТ, Кафедра геоинформационных систем; научный руководитель и консультант А. В.

Воробьев. – Уфа, 2024. – 89 с. – 09.03.02 Информационные системы и технологии. – ВО. – Бакалавриат. – <URL:http://e-library.ufarb.ru/dl/VKR/2024/Trushnikova_DA_IST-414B_b_09.03.02_IST_06.2024.pdf>. – Текст: электронный

© Трушникова Д.А., 2025

Д.Д. ХАБИБУЛЛИН, Э.Р. СУЧЯН, А.Ф. ЯМАНСАРОВ
lbyfhs@gmail.com
Науч. руковод. – д.т.н., профессор Н.М. ШЕРЫХАЛИНА

Уфимский университет науки и технологий

ГЕНЕРАЦИЯ УЗОРОВ: ШУМ ПЕРЛИНА ПРОТИВ СЛУЧАЙНЫХ МАТРИЦ

Аннотация: в статье рассматриваются два метода генерации псевдослучайных текстур: шум Перлина и случайные матрицы со сглаживанием. Приведено описание алгоритмов, их реализация на языке Python, проведено сравнение по времени выполнения и визуальному качеству. Показано, что шум Перлина обеспечивает более естественные текстуры, но требует больше вычислительных ресурсов.

Ключевые слова: шум Перлина, случайные матрицы, генерация текстур, Python, визуализация данных.

Введение

Генерация псевдослучайных узоров и текстур представляет собой одну из фундаментальных задач компьютерной графики и обработки изображений. Способность создавать реалистичные, эстетически pleasing и функциональные текстуры находит применение в самых различных областях — от визуализации научных данных и создания процедурного контента в играх до моделирования природных явлений в вычислительной физике и географии.

Исторически сложилось, что простейшим подходом к генерации таких паттернов является использование равномерно распределенного случайного шума. Однако данный метод обладает существенным недостатком — он создает хаотичную, "зернистую" текстуру, лишенную какой-либо внутренней структуры и пространственной когерентности. Для многих приложений, особенно тех, что имитируют естественные среды (облака, рельеф, поверхности материалов), такая точечная случайность неприемлема, так как в природе значения в соседних точках, как правило, коррелируют друг с другом.

Прорыв в этой области совершил Кен Перлин, представив в 1985 году свой знаменитый алгоритм, позже получивший название "шум Перлина". Вместо независимых случайных значений в каждой точке, его метод опирается на интерполяцию заранее заданных случайных градиентов в узлах регулярной сетки. Это простое, но гениальное решение позволяет получать псевдослучайные функции, которые являются непрерывными,

дифференцируемыми и демонстрируют естественную вариативность на разных масштабах. Шум Перлина стал фактическим отраслевым стандартом для генерации облаков, огня, мрамора, дерева и многих других сложных текстур.

Тем не менее, у этого метода есть и свои ограничения, главным из которых является относительно высокая вычислительная сложность по сравнению с генерацией простого случайного шума. В задачах, где требуется высокая производительность (например, в реальном времени в играх или при обработке больших массивов данных), а абсолютная визуальная реалистичность не является критичной, часто применяется компромиссный подход: создание матрицы случайных чисел с последующим ее сглаживанием с помощью фильтра Гаусса. Этот метод позволяет быстро получить текстуру с подавленным высокочастотным шумом и некоторой степенью пространственной связности.

Таким образом, на сегодняшний день существует дилемма выбора между качеством и производительностью. Целью данной работы является сравнительный анализ двух указанных методов генерации псевдослучайных узоров — шума Перлина и сглаженных случайных матриц. В рамках исследования будут реализованы оба алгоритма на языке Python, проведена оценка времени их выполнения и дан качественный анализ визуальных характеристик генерируемых текстур. Результаты работы позволят выработать практические рекомендации по выбору метода в зависимости от требований конкретной прикладной задачи.

Описание методов

1. Шум Перлина

Шум Перлина строится на основе интерполяции случайных градиентов в узлах регулярной сетки. Для двумерного случая значение в точке (x, y) вычисляется по формуле:

$$P(x, y) = \sum_{i,j} g_{i,j} \cdot (x - i, y - j)$$

где $g_{i,j}$ - градиентные векторы в узлах сетки.

Ключевые этапы алгоритма:

1. Дискретизация - пространство разбивается на сетку с целочисленными координатами

2. Градиенты - каждому узлу (i, j) назначается случайный единичный вектор

3. Интерполяция - используется smooth-функция $S(t)=6t^5-15t^4+10t^3$

$$P(x, y) = \text{lerp}(S(y - j), \text{lerp}(S(x - i), \text{dot1}, \text{dot2}), \text{lerp}(S(x - i), \text{dot3}, \text{dot4}))$$

2. Случайные матрицы со сглаживанием

Метод основан на генерации равномерного шума с последующим гауссовым сглаживанием:

$$I_{\text{noise}}[i, j] \sim U(0,1)$$

$$I_{\text{smooth}} = G\sigma * I_{\text{noise}}$$

Где $G\sigma$ - гауссово ядро:

$$G\sigma(x, y) = 221 \cdot \exp(-2\sigma^2x^2 + y^2)$$

Сравнение подходов:

Шум Перлина - детерминированная структура, естественные переходы

Случайные матрицы - истинная случайность, быстрое вычисление

Визуальный результат - Перлин дает облачные текстуры, сглаженный шум - равномерный зернистый паттерн.

Заключение

Шум Перлина является предпочтительным методом для генерации реалистичных природных ландшафтов и текстур, в то время как случайные матрицы со сглаживанием могут использоваться в задачах, где важна скорость, а не визуальное качество.

Приложение

```
# -*- coding: utf-8 -*-
import numpy as np
import matplotlib.pyplot as plt
from scipy.ndimage import gaussian_filter
from noise import pnoise2
import time

def perlin_noise(size = 256, scale = 30) :
    img = np.zeros((size, size))
    for i in range(size) :
        for j in range(size) :
            img[i][j] = pnoise2(i / scale, j / scale)
    return img
```

```

def random_texture(size = 256) :
    noise = np.random.rand(size, size)
    smooth = gaussian_filter(noise, sigma = 3)
    return smooth

def compare_textures() :
    start1 = time.time()
    perlin = perlin_noise()
    end1 = time.time()

    start2 = time.time()
    randtex = random_texture()
    end2 = time.time()

    print(f"Время генерации (Перлин): {end1 - start1:.3f} сек")
    print(f"Время генерации (Случайный шум): {end2 - start2:.3f} сек")

    fig, axes = plt.subplots(1, 2, figsize = (10, 5))
    axes[0].imshow(perlin, cmap = 'gray')
    axes[0].set_title('Шум Перлина')
    axes[1].imshow(randtex, cmap = 'gray')
    axes[1].set_title('Случайная матрица')
    plt.show()

if __name__ == "__main__":
    compare_textures()

```

Библиографический список

1. Perlin K. An image synthesizer // ACM SIGGRAPH Computer Graphics. – 1985. – Т. 19. – №. 3. – С. 287-296.
2. Shiffman D. The Nature of Code / D. Shiffman. – 2012. – 344 p.
3. Documentation: SciPy, NumPy, Noise.
4. Рогозов Н.Ю. Алгоритмы компьютерной графики. – М.: ДМК Пресс, 2018.

© Хабибуллин Д.Д., Сучян Э.Р., Ямансаров А.Ф., 2025

Р.Э. ХАЙДАРОВ, Я.А. МАЛАНЧЕНКО

khaidarov93@bk.ru, malanchenko.ol@yandex.ru

Науч. руковод. – д.т.н., профессор Н.М. ШЕРЫХАЛИНА

Уфимский университет науки и технологий

ИССЛЕДОВАНИЕ МЕТОДОВ СЖАТИЯ ДАННЫХ НА ОСНОВЕ ЭНТРОПИИ (ХАФФМАН, АРИФМИТИЧЕСКОЕ КОДИРОВАНИЕ, LZ77)

Аннотация: рассматриваются классические методы сжатия данных без потерь, основанные на идеях энтропийного и словарного кодирования: код Хаффмана, арифметическое кодирование и алгоритм LZ77. Проводится анализ их теоретической эффективности с точки зрения энтропии источника, а также сравнительное исследование на тестовых текстовых данных. Приводятся оценки коэффициента сжатия, средней длины кода и вычислительной сложности.

Ключевые слова: энтропия, сжатие данных без потерь, код Хаффмана, арифметическое кодирование, LZ77, коэффициент сжатия, словарное кодирование.

Рост объёмов данных в информационных системах приводит к повышенным требованиям к эффективности хранения и передачи информации. Методы сжатия данных без потерь позволяют уменьшать объём представления сообщений при сохранении полной восстановимости исходных данных, что критично для текстов, программного кода и ряда технических сигналов[1].

Теоретической основой современных алгоритмов сжатия служит теория информации К. Шеннона, согласно которой нижней границей средней длины оптимального кода является энтропия источника. Существенная часть практических алгоритмов (архиваторы ZIP, gzip, 7-zip и др.) реализует различные комбинации энтропийных методов (Хаффман, арифметика) и словарных методов семейства LZ (LZ77, LZ78, LZMA и др.), что обуславливает актуальность систематического анализа базовых вариантов этих алгоритмов[2].

Цель работы – исследовать свойства и эффективность трёх классических методов: статического кода Хаффмана, арифметического кодирования и алгоритма LZ77, а также выполнить их сравнительный эксперимент на единых тестовых данных[3].

Теоретические основы

Энтропия источника X с алфавитом $A = \{a_1, \dots, a_m\}$ и вероятностями p_i определяется как:

$$H(X) = - \sum_{i=1}^m p_i \log_2 p_i. \quad (1)$$

Теорема Шеннона: для любого префиксного кода средняя длина $\bar{L} = \sum_i p_i l_i$ удовлетворяет:

$$H(X) \leq \bar{L} < H(X) + 1. \quad (2)$$

Энтропия служит теоретической нижней границей сжатия. Избыточность кода: $\rho = \frac{\bar{L} - H(X)}{H(X)} \times 100\%$.

Код Хаффмана

Оптимальный префиксный код для известного распределения вероятностей. Алгоритм построения: выписывают все символы с их вероятностями, затем последовательно объединяют два узла с минимальными весами в новый узел с суммарным весом, присваивая левому ребру бит 0, правому — бит 1. Процесс повторяют до образования единственного корневого узла. Кодовые слова определяются путями от корня к листьям.

Математические свойства: для любого сообщения длины n символов из алфавита мощности m верно:

$$H(X) \leq \bar{L}_n < H(X) + 1. \quad (3)$$

где $\bar{L}_n = \sum_{i=1}^m p_i l_i$ — средняя длина кода, l_i — длина кода символа a_i . Избыточность: $0 \leq R_n = \bar{L}_n - H(X) < 1$ бита/символ. Причина дополнительной избыточности — дискретность целых длин кодов: невозможно закодировать символ в $\log_2 p_i$ бит, если это число нецелое.

Адаптивный вариант: при неизвестном распределении используют динамический код Хаффмана, обновляя дерево по мере обработки данных. Начальные коэффициенты сжатия хуже, но после обработки нескольких сотен символов эффективность приближается к статическому варианту.

Сложность: Построение дерева — $O(m \log m)$, кодирование/декодирование — $O(n)$. Простая реализация, высокая скорость (применяется в реальном времени).

Практическое применение: Первичный слой сжатия в ZIP, gzip, JPEG, как правило, совместно со словарными методами (LZ77).

Арифметическое кодирование

Код представляет всё сообщение единым числом из интервала $[0,1)$. Алгоритм кодирования: инициализируют $low = 0$, $high = 1$. Для каждого символа a_i с вероятностью p_i вычисляют новый интервал как $low' = low + (high - low) \cdot \sum_{j < i} p_j$, $high' = low + (high - low) \cdot \sum_{j \leq i} p_j$. (4)

После обработки всей последовательности выбирают любое число $r \in [low, high)$ и кодируют его двоичное представление. Длина кода в битах —

$$\lceil -\log_2 (high - low) \rceil = \lceil -\log_2 \prod_{k=1}^n p_{i_k} \rceil = \lceil nH(X) \rceil.$$

Асимптотическая оптимальность:

$$\bar{L}_{arith} = \frac{1}{n} \lceil -\log_2 \prod_{k=1}^n p_{i_k} \rceil \rightarrow H(X) \text{ при } n \rightarrow \infty. \quad (5)$$

Более точно: $H(X) \leq \bar{L}_{arith} < H(X) + \frac{2}{n}$. При $n \geq 1000$ разница с энтропией составляет менее 0.002 бита/символ.

Контекстные модели: Эффективность АК значительно возрастает при применении контекстного моделирования (вероятности символов зависят от предыдущих k символов). Для текста это может снижать $H(X)$ с 4.7 до 2.5 бита/символ.

Практическая реализация: на деле используется целочисленная arithmetic (range coding) во избежание погрешностей вещественной арифметики. Требует внимательной работы с переполнениями и масштабированием.

Применение: Видеокодеки (H.264, H.265 с CABAC), JPEG2000, максимальное сжатие, где скорость не критична.

Алгоритм LZ77 и модификации

Основной принцип: Алгоритм LZ77 работает со скользящим окном: окно истории размером W символов (уже обработанная часть) и буфер упреждения размером L символов (текущая для кодирования позиция). На каждом шаге ищет максимальное совпадение префикса буфера упреждения с подстрокой в окне истории.

Выходной поток: Представляет собой последовательность литералов либо троек (*offset, length, next_symbol*), где *offset* $\in [1, W]$ — расстояние до начала совпадающей подстроки в истории, *length* $\in [1, L]$ — длина совпадения, *next_symbol* — первый символ после совпадения (избегает необходимости дополнительного литерала).

Коэффициент сжатия: если на всей последовательности найдено K непересекающихся совпадений средней длины \bar{l} , то битовая экономия составляет приблизительно

$$\Delta = K \cdot (\bar{l} - \lfloor \log_2 W \rfloor - \lfloor \log_2 L \rfloor - 8) \text{ бит.} \quad (6)$$

Положительная экономия достигается при $\bar{l} > \log_2 W + \log_2 L + 8 \approx 24$ бит на совпадение (для стандартных $W = 2^{15}$, $L = 2^8$).

Вычислительная сложность: Наивный поиск максимального совпадения — $O(W \cdot L)$ на один шаг, итого $O(n \cdot W \cdot L)$. Практически используют хеш-таблицы (хеши 3-грамм), суффиксные деревья или массивы суффиксов, снижая сложность до $O(n \log n)$.

Модификации:

LZSS: вместо (*offset, length, next_symbol*) кодирует флаг (литерал или ссылка) + данные, более эффективна для редких совпадений.

LZMA (7-Zip): комбинирует улучшенный LZ77 с range coding и контекстным моделированием, достигает 85–95% сжатия на текстах.

Deflate (gzip, ZIP): LZ77 + статический/динамический код Хаффмана для выходных триплетов.

Асимптотическая оптимальность: LZ77 и его модификации асимптотически достигают энтропии на любых источниках (без контекстного моделирования) и превосходят энтропийные методы на структурированных данных с повторяющимися фрагментами.

Практическое применение: ZIP/gzip (Deflate), 7-Zip (LZMA), архиваторы RAR, универсален для текстов, исходного кода, конфигов.

Вычислительный эксперимент

Методология: Тестовые наборы включали: (1) англоязычный текст (газетные статьи, 50 кБ), (2) русскоязычный текст (литература, 50 кБ), (3) исходный код на Python (реальные программы, 25 кБ), (4) синтетические последовательности — высокоэнтропийные (псевдослучайные, $H \approx 7.9$ бита/символ) и низкоэнтропийные (периодические АВАВАВ..., $H \approx 1$ бит/символ). Для каждого набора данных и каждого алгоритма вычислены: энтропия источника $H(X)$ (оценка по частотам), средняя длина кодовых слов \bar{L} в битах/символ, коэффициент сжатия $K = \frac{L_{orig}}{L_{comp}} = \frac{8}{\bar{L}}$, процент сжатия $S = (1 - \frac{1}{K}) \times 100\%$, избыточность $\rho = \frac{\bar{L} - H(X)}{H(X)} \times 100\%$.

Результаты (средняя длина кода в битах/символ):

Таблица 1

| Тип данных | $H(X)$ | Хаффман ан | АК | LZ77 | LZ77+ H |
|--------------|----------|---------------|----------------|---------------|----------------|
| Текст англ. | 4. 65 | 5.21 (12%) | 4.79 (3%) | 3.42 (26%) | 2.98 (36%) |
| Текст рус. | 4. 89 | 5.48 (12%) | 5.02 (3%) | 3.71 (24%) | 3.15 (36%) |
| Случайные | 7. 85 | 7.98 (2%) | 7.87 (0.3%) | 8.02 (2%) | 7.89 (0.5%) |
| Периодичные | 1. 00 | 1.15 (15%) | 1.05 (5%) | 0.28 (72%) | 0.21 (79%) |
| Исходный код | 4. 21 | 4.73 (12%) | 4.35 (3%) | 2.19 (48%) | 1.87 (56%) |

Анализ результатов:

- **На текстовых данных:** LZ77 значительно превосходит энтропийные методы (коэффициент 1.4–1.7) благодаря устранению структурных повторов (частые слова, фразы). Арифметическое кодирование показывает ожидаемое преимущество над Хаффманом на величину теоретической избыточности (примерно 0.4 бита/символ или 3%). LZ77+Хаффман достигает максимального коэффициента (до 2.7×), указывая на дополнительную избыточность в выходном потоке LZ77, которая убирается энтропийным кодированием.

- **На высокоэнтропийных данных:** ни один метод практически не сжимает (коэффициент близок к 1), что согласуется с теорией: при $H(X) \approx 8$ бит/символ (максимум для 256-символьного алфавита) резерва для сжатия практически нет. Арифметическое кодирование вновь показывает минимальную избыточность.

• **На периодических данных:** LZ77 демонстрирует гигантский выигрыш (78–79% сжатия), так как алгоритм явно ищет повторения. Энтропийные методы неэффективны, так как распределение символов почти равномерное (только 2 различных символа), но АК всё же немного лучше Хаффмана за счёт целочисленной оптимизации.

• **На исходном коде:** LZ77 также эффективен (48% сжатие, 2.2 бита/символ) — программный код содержит повторяющиеся идентификаторы, ключевые слова, структуры. Гибрид LZ77+Хаффман даёт максимум (56% сжатие).

Выводы: выбор алгоритма зависит от типа данных. Универсальный подход (применяемый в архиваторах) — словарный метод (LZ77) для устранения повторов, дополненный энтропийным кодированием выходного потока для окончательной оптимизации. На текстах и коде это даёт 50–60% сжатие; на высокоэнтропийных данных сжатие невозможно в принципе.

Сравнение и выводы

Таблица 2

| Критерий | Хаффман | АК | LZ77 |
|-------------------------------|-------------------------|---------------------------------|-----------------------------------|
| Сложность реализации | Низкая | Средняя– Высокая | Средняя |
| Скорость (кодирование) | Высокая | Низкая– Средняя | Средняя– Низкая |
| Использование памяти | Низкое | Среднее | Высокое ($W + L$) |
| На текстах англ./рус. | 38–42% | 40–48% | 55–65% |
| На случайных данных | Плохо ($\leq 2\%$) | Плохо ($\leq 1\%$) | Плохо ($\leq 2\%$) |
| На повторяющихся данных | Среднее (10– 15%) | Среднее (5–10%) | Отлично (75– 95%) |
| Контекстное моделирование | Нет | Да (PPM, CM) | Да (адаптив. вариант) |
| Передача таблицы кодов | Да (требуется) | Нет | Нет |
| Асимптотическая оптимальность | $\bar{L}_H - H(X) < 1$ | $\bar{L}_{AK} \rightarrow H(X)$ | $\bar{L}_{LZ77} \rightarrow H(X)$ |

Выбор алгоритма по применению:

1. Хаффман (ZIP, JPEG, Deflate слой):

- Преимущества: простота, высокая скорость, малое использование памяти.
 - Недостатки: избыточность до 1 бита/символ, требует передачи таблицы кодов.
 - Рекомендация: первичное сжатие с приемлемым качеством, встроенные системы, когда скорость критична.
2. Арифметическое кодирование (H.264/H.265, JPEG2000, PNG):
- Преимущества: асимптотически оптимально, отлично с контекстными моделями.
 - Недостатки: сложная реализация, медленнее Хаффмана, чувствительно к точности арифметики.
 - Рекомендация: максимальное сжатие, видеокодеки, изображения, когда скорость не критична.
3. LZ77 (gzip, 7-Zip, RAR, LZMA):
- Преимущества: устраняет структурные повторы, универсален, асимптотически оптимален.
 - Недостатки: требует больше памяти (окно истории), медленнее при поиске совпадений.
 - Рекомендация: структурированные данные (текст, код, конфиги), универсальные архиваторы.
4. Гибридные подходы (Deflate = LZ77+Хаффман, LZMA = LZ77+Range coding):
- Сочетают эффективность словарных методов на структурированных данных и энтропийную оптимизацию выходного потока.
 - Достигают лучших коэффициентов сжатия (50–70% на текстах, 75–95% на периодических данных).
 - Применяются во всех современных архиваторах и кодеках.

Заключение

Исследование подтверждает фундаментальную роль трёх методов в теории и практике сжатия данных. **Теоретический аспект:** энтропия Шеннона устанавливает нижнюю границу $H(X) \leq \bar{L}$ для любого кода. Код Хаффмана – оптимальный среди префиксных кодов с избыточностью $0 \leq R_H < 1$ бита/символ. Арифметическое кодирование асимптотически достигает энтропии: $\bar{L}_{AK} \rightarrow H(X)$ при $n \rightarrow \infty$. LZ77 (как и все методы семейства Лемпела–Зива) также асимптотически оптимален без явного моделирования вероятностей, за счёт изучения структуры последовательности.

Практический аспект: на текстовых и структурированных данных LZ77 превосходит энтропийные методы на 15–20% коэффициента сжатия благодаря эксплуатации повторений. На высокоэнтропийных данных ни один метод не сжимает, что согласуется с теорией. На периодических данных LZ77 практически не имеет конкурентов (75–95% сжатие).

Гибридные архитектуры (Deflate в gzip/ZIP, LZMA в 7-Zip, range coding в видеокодеках) объединяют словарные методы для устранения структурной избыточности с энтропийным кодированием выходного потока для финальной оптимизации. Это обеспечивает наилучший баланс между коэффициентом сжатия и скоростью.

Практическое применение этих методов в стандартных архиваторах (ZIP, gzip, 7-Zip, RAR) и кодеках (H.264, H.265, JPEG2000) подтверждает их фундаментальную значимость и оптимальность для различных классов данных. Выбор алгоритма должен учитывать (1) характер данных, (2) требуемый коэффициент сжатия, (3) доступные вычислительные ресурсы и (4) требования к скорости.

Библиографический список

[1] Шеннон, К. Работы по теории информации и кибернетике. – Москва: Иностранная литература, 1963. – 830 с.

[2] Энтропийное кодирование // Википедия. Режим доступа: https://ru.wikipedia.org/wiki/Энтропийное_кодирование

[3] Код Хаффмана // Википедия. Режим доступа: https://ru.wikipedia.org/wiki/Код_Хаффмана

[4] Саймон, Д. Сжатие данных, изображений и звука. – Москва: Техносфера, 2006.

[5] Арифметическое кодирование – Викиконспекты ИТМО. Режим доступа: https://neerc.ifmo.ru/wiki/index.php?title=Арифметическое_кодирование

[6] Неумывакин, И. П. Сжатие текстовых данных методом арифметического кодирования // NTA. 2024. <https://newtechaudit.ru/szhatie-tekstovyyh-dannyh-metodom-arifmeticheskogo-kodirovaniya/>

[7] Алгоритмы LZ77 и LZ78 – Викиконспекты ИТМО. Режим доступа: https://neerc.ifmo.ru/wiki/index.php?title=Алгоритмы_LZ77_и_LZ78

[8] Простейшие алгоритмы сжатия: RLE и LZ77 // Хабр. Режим доступа: <https://habr.com/ru/articles/141827/>

[9] Ватолин, Д., Ратушняк, А., Смирнов, М., Юкин, В. Методы сжатия данных. – Москва: Физматлит, 2003.

[10] Salomon, D. Data Compression: The Complete Reference. – Springer, 4th ed., 2007.

© Хайдаров Р.Э., Маланченко Я.А., 2025

Б.Р. ХАМИДУЛЛИН

khamidullin.bogdan@gmail.com

Науч. руковод. – канд. техн. наук, доц. Ю.И. ВАЛИАХМЕТОВА

Уфимский университет науки и технологий

СОЗДАНИЕ ПЕРСОНАЛИЗИРОВАННОЙ СРЕДЫ РАЗРАБОТКИ НА ОСНОВЕ СВОБОДНОГО ПРОГРАММНОГО ОБЕСПЕЧЕНИЯ

Аннотация: рассматриваются способы создания и преимущества использования персонализированной среды разработки программного обеспечения. Приводятся примеры инструментов и свойства, которые делают их пригодными для использования в такой среде. Также предложены способы управления конфигурацией такой среды и автоматизации её воспроизведения.

Ключевые слова: среда разработки, конфигурация, Unix, пользовательский интерфейс, инструменты разработки, кастомизация, PDE

Введение

Персонализированная среда разработки (далее PDE [1] — personalized development environment) — набор из программ, их связей и конфигураций, подобранный самим разработчиком для построения своего рабочего процесса. Создание PDE даёт возможность самостоятельно организовывать взаимодействие с инструментами. Таким образом, разработчик выявляет препятствия, замедляющие его работу, и реализовывает их устранение. PDE отличаются от интегрированных сред разработки (ИСП, IDE), в которых способы взаимодействия определены дизайнерами их интерфейсов, исходя из потребностей большинства разработчиков и начинающих пользователей. Разработчик PDE — единственный её пользователь, поэтому может игнорировать потребности всех остальных пользователей, главным образом потребность в обучении использованию. Он вырабатывает привычки [2], которые сам определил. Они могут быть актуальны бесконечно долго, так как PDE изменяется только под влиянием самого пользователя.

Свободное ПО [3] хорошо подходит для использования в рамках таких сред, так как:

— его свобода обеспечивает вечную доступность, соответственно и вечную воспроизводимость среды;

— модифицируемость программ расширяет возможности персонализации;

— доступность исходного кода позволяет портировать необходимые программы на неподдерживаемые системы и архитектуры.

Комбинирование инструментов

Основной способ создания собственных инструментов для PDE — использование других малых программ в качестве компонентов своей системы. Для этого выбранные программы должны обладать свойствами, обеспечивающими хорошее взаимодействие с другими программами. Такие инструменты хорошо описывает философия Unix [4]. Примером простой современной программы, которая соответствует этой идее — fzf [5]. Она реализует «нечёткий поиск» [6] по полным именам файлов или директорий и возвращает полное имя выбранного файла в стандартный поток вывода. Функция fcd из примера ниже написана с помощью простейшей комбинации fzf с командой cd:

```
fcd() {
    cd "$(fzf --walker=dir --preview 'tree {}')"
}
```

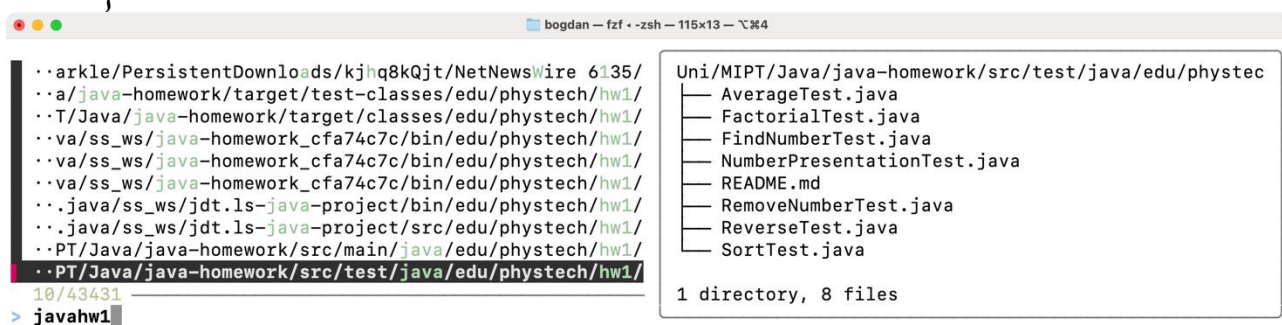


Рис. 1. Полученный интерфейс fcd

Эта функция позволяет переместиться в подпапку на любом уровне вложенности, пользуясь нечётким поиском, что избавляет от необходимости помнить полное имя и проверять каждую папку. В добавок программа tree используется для просмотра содержимого найденных папок (правая половина интерфейса на Рис. 1).

Примером варианта развития такой программы может послужить скрипт Майкла Полсона, более известного как «ThePrimeagen» tmux-sessionizer [7]. Этот скрипт связывает папки и наборы терминальных окон (сессии tmux [8]), в которых ведётся работа над проектами. При запуске этот скрипт отображает интерфейс fzf для выбора папки, для которой откроется сессия. Tmux-sessionizer позволяет быстро возвращаться к работе в терминальных окнах этого проекта в состоянии, в котором их оставил пользователь в прошлый раз. Совмещая tmux-sessionizer с git-worktree (функцией git, располагающей ветки в соответствующих им подпапках репозитория), мы получаем инструмент, позволяющий быстро переключиться на другую ветку git, сохраняя незафиксированные в репозитории (не оформленные в коммит) изменения.

Эти примеры приведены для демонстрации объединения инструментов с целью решения конкретных задач. При этом реализация не потребовала много времени и усилий, так как сложные модули уже разработаны, достаточно хорошо протестированы и доступны всем по лицензии свободного ПО.

Программируемые инструменты

При выборе инструментов для PDE программируемость — одно из приоритетных качеств, особенно если этот инструмент основной. Примерами

программируемых инструментов могут послужить редакторы кода Emacs [9], Vim [10] и Neovim [11]. Последний является модификацией Vim с API (application programming interface – описание способов взаимодействия одной компьютерной программы с другим. В данном случае методы для использования в пользовательских скриптах.) на языке программирования Lua [12] и наиболее распространён благодаря простоте языка Lua.

Один из наиболее легко применимых API Neovim — quickfix списки [13]. Такие списки хранят конкретные места в файлах, между которыми можно перемещаться. Наипростейший пример — поиск строки TODO в файлах с помощью программы ripgrep и составление quickfix-списка на основе полученных данных для выполнения запланированных в TODO-комментариях изменений в коде.

```

shutil.move(src_path, dest_path)

except yt_dlp.utils.YouTubeDLError as ydle:
    return Response(
        '<p style="font-family: monospace;">Error downloading video</p>',
        status=500,
        mimetype='text/html'
    )
    return redirect(url_for("index"))

#TODO: sort not by name but by time
files = sorted(os.listdir(DOWNLOADS_FOLDER), reverse=True)
return render_template("index.html", files=files)

@app.route("/downloads/<filename>")
def download(filename):
    print(filename)
    return send_from_directory(DOWNLOADS_FOLDER, filename, as_attachment=True)

if __name__ == "__main__":
    app.run(host="0.0.0.0", port=5000, ssl_context=(CERT_FILE, KEY_FILE), debug=False)
    # app.run(host="0.0.0.0", port=5000, debug=False)

src/app.py 65,6 98%
src/app.py|27 col 2| #TODO: make sure the cleaner starts only in one thread
src/app.py|63 col 6| #TODO: sort not by name but by time
src/templates/index.html|16 col 9| <!--TODO: add progress bars-->
~
~
~
~
~
~
[Quickfix List] :cgetexpr system('rg --vimgrep TODO') 2,1 All
"~/Projects/youtube-to-mp3-app/src/templates/index.html" 29L, 703B written

```

Рис. 2. Quickfix список со ссылками на TODO комментарии

Код, реализующий эту функциональность:

```

vim.keymap.set("n", "<leader>t", function()
    vim.cmd("cgetexpr system('rg --vimgrep TODO')")
    vim.cmd("copen")
end

```

Основная суть quickfix в том, что это единый интерфейс для перехода по заданным локациям множества файлов, который может состояться по любому принципу. Сформированные quickfix-списки можно затем

использовать для других целей: например, плагин `ctx.nvim` [14] экспортирует содержимое файлов в локациях из списка в структурированный `markdown` [15] файл, что может быть полезно для обеспечения контекста большим языковым моделям при разработке с помощью ИИ.

Можно написать скрипт для загрузки кода на сервер по `ssh`, выполнение на нём тестов, а затем создания в редакторе буфера с результатом тестов и `quickfix`-списком мест с ошибками:

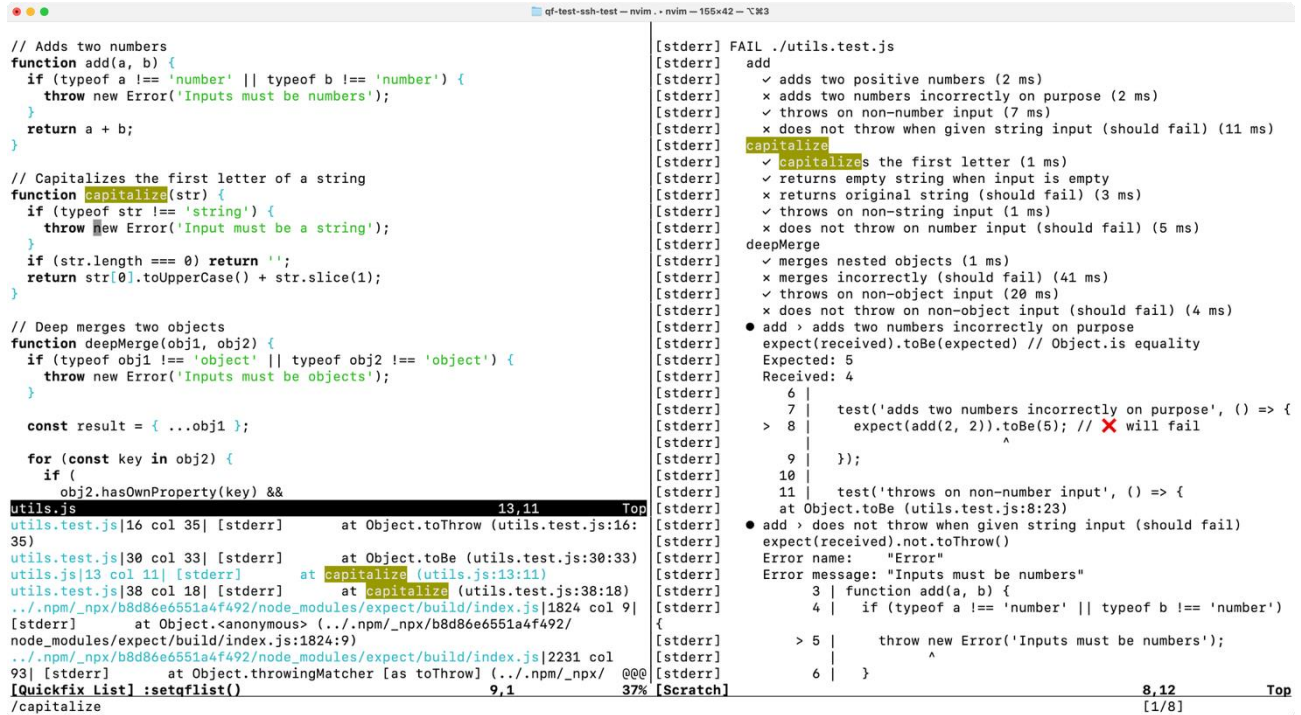


Рис. 3. Quickfix список с местами ошибок в файлах

Пример использования другого API — интерпретация выделенной части кода в буфере. Это позволяет проверить результат выполнения кода, не зависящего от контекста всей программы, создавая REPL¹ прямо в редакторе.

Эти примеры демонстрируют программируемость редактора Neovim, его способность взаимодействовать с другими программами, а также сценарии использования двух API из множества.

Для действий и навигации с учётом структуры языка есть специальные протоколы:

- протокол языковых серверов [16] для добавления навигации по сущностям языка, автодополнения и подсветки ошибок;
- протокол адаптера отладчика [17] для добавления интерфейса отладчика.

¹ REPL (read-eval-print loop) — форма организации простой интерактивной среды программирования в рамках средств интерфейса командной строки. В такой среде пользователь может вводить выражения, которые среда тут же будет вычислять, а результат вычисления отображать пользователю.

Информацию, получаемую через такие протоколы, можно использовать для выполнения стандартных: переименование переменных, переход к определению...; и самостоятельно определённых действий: например, помещения информации о функции в комментарий для создания документации.

Оконные менеджеры, как часть среды разработки

При разработке происходит взаимодействие с разными источниками информации, которые находятся в разных окнах, например: редактор кода, терминал, браузер с документацией. Есть несколько вариантов сделать их доступными, для вариантов с переключениями приведены алгоритмические сложности, определённые количеством действия для достижения окна:

- расположить все на экране, для чего не хватит места с ростом количества окон;

- циклически переключаться между ними, как это реализовано в некоторых средах с помощью сочетания клавиш alt-tab, алгоритмическая сложность данного способа $O(n)$, так как скорость достижения каждого окна зависит от их количества напрямую, использование также требует зрительного поиска;

- назначить виртуальным рабочим пространствам с окнами клавиши, нажатие которых с модификатором мгновенно отображает эти пространства на экране, алгоритмическая сложность — $O(1)$, так как для достижения любого окна достаточно одного нажатия.

Последний способ наиболее быстрый и хорошо масштабируется с ростом количества окон, так как можно использовать все клавиши клавиатуры с зажатым модификатором. Такой способ реализуют тайловые оконные менеджеры. Они популярны среди пользователей PDE. Наиболее продуктивный способ их использования — располагать одни и те же по назначению окна на одних и тех же виртуальных рабочих пространствах, что вырабатывает привычку, и переключение становится неосознанным, как перевод взгляда. Такой подход заменяет несколько реальных экранов. Для того, чтобы не следить за этим самостоятельно, многие оконные менеджеры позволяют это автоматизировать, задав правила размещения приложений на определённых пространствах.

Хранение конфигурации

При самостоятельном построении среды разработки появляется множество файлов конфигурации и кода. Возникает потребность в переносе и версионировании этих файлов. Наиболее популярная система контроля версий — git. Она позволяет хранить изменения в определённой папке и синхронизировать их с сервером.

Однако не все программы могут ожидать свои файлы конфигурации в одной папке без нестандартной компиляции. Часто файлы конфигурации ожидаются в домашней папке (/home/<username> в Linux) пользователя. Подход с версионированием всей домашней папки очень небрежен, есть риск добавить «лишние» файлы в репозиторий.

Простой вариант организации папки-репозитория – использование символических ссылок на эти файлы. Можно использовать скрипты командной строки для их создания, но для этого существуют инструменты, например программа GNU Stow. Эта программа создаёт символические ссылки в одной папке на файлы в другой и, по сути, проецирует все файлы из одной папки в другую.

Воспроизводимость персональной настроенной среды операционной системы

При создании PDE разработчик часто настраивает ОС: устанавливает пакеты, компилирует программы, переназначает клавиши... Последующее восстановление состояния настроенной системы потребует множество шагов помимо копирования конфигураций инструментов. Многие разработчики предпочитают автоматизировать этот процесс. Далее предложено несколько вариантов решения этой задачи.

Скрипты оболочек командной строки

Самый простой способ автоматизировать настройку операционной системы – написать скрипт оболочки командной строки (он же shell-скрипт). Разработчики, которые сами настраивают своё окружение в UNIX, как правило, имеют опыт работы с bash или другими оболочками. Это делает языки оболочек основными для автоматизации настройки окружения. Любые команды можно записать в скрипт, и они будут выполняться в порядке, указанном в файле скрипта. Такой подход значительно лучше, чем настройка среды вручную, но он может вызвать множество проблем. Например, если одна из команд приведет к ошибке, следующие за ней команды могут выполняться, несмотря на это. И пользователь может даже не узнать об ошибке. Конечно, сценарии оболочки можно писать с учетом разных состояний и возможности появления ошибок, но это усложняет их написание, чтение и модификацию. Со временем среда может развиваться, но изменения могут быть не отражены в скрипте. Разработчик может добавить новые изменения в конце скрипта, или в какое-то кажущееся ему удачным место. Но нет способа проверить, правильно ли он объявил изменения. Разработчик не запустит скрипт снова, потому что его запуск означает выполнение всех остальных команд скрипта, что может сломать работающую среду.

Решения идемпотентным способом

Существует как минимум два программных решения проблемы воспроизводимости состояния системы. Одно из них – Ansible [18], инструмент, созданный для автоматизации настройки любой операционной системы Unix. Другое – Nixos [19] – дистрибутив Linux, состояние системы в котором определяется одним или несколькими файлами конфигурации на языке Nix.

Ansible

Плейбуки Ansible [20] – это наборы инструкций, написанных в формате yaml. В отличие от shell-скриптов инструкции плейбуков идемпотентны. Это означает, что запуск одного и того же плейбука после его выполнения не изменит состояние системы. Ansible использует модули [21]. Это инструкции, которые абстрагируют конкретные действия. В Ansible есть модули для различных задач:

- управление пользователями и группами;
- изменение настроек времени
- управление системными сервисами;
- управление пакетами с помощью системных менеджеров пакетов, таких как apt;
- управление файлами и их содержимым: например, замена определенной строки в файле на другую;
- настройка сети и брандмауэров...

Существуют также модули, выполняющие любые shell-команды. Но такой подход не гарантирует идемпотентности, и разработчику приходится указывать условия, при которых команды будут выполняться.

Пример инструкции из плейбука со скриптом оболочки командной строки, выполняющейся при условии отсутствия файла ~/.keymaps/custom.kmap:

```
- name: Generate custom keymap
shell: |
  dumpkeys | sed 's/Caps_Lock/Control/' > /home/{{ user }}/.keymaps/custom.kmap
args:
  creates: "/home/{{ user }}/.keymaps/custom.kmap"
```

Преимущества плейбуков Ansible:

- Их легко читать и писать
- Работают на любом дистрибутиве Linux и MacOS
- По большей части идемпотентны и могут быть безопасно запущены несколько раз

— Позволяет разбить задачи по настройке на отдельные компоненты, которые можно запускать отдельно

Недостатки плейбуков Ansible:

— Работают внутри системы, которая может изменяться независимо от Ansible. Это может вести к неожиданным проблемам.

— Не все инструкции гарантированно идемпотентны.

— Всё ещё императивные. Несмотря на то, что большинство инструкций описывают желаемое состояние в отличие от скриптов оболочек командной строки, важен порядок инструкций и текущее состояние системы.

Nix и Nixos

Nixos и Nix home manager [22] – это в теории более правильные инструменты для определения состояния операционной системы. Nix сам по себе – это декларативный пакетный менеджер. Он использует язык функционального

программирования Nix для определения установленных пакетов и может применяться в любой ОС.

Nixos — дистрибутив Linux, который использует файлы конфигурации на языке Nix для определения состояние операционной системы целиком. Это позволяет конфигурации быть портативной и версионизируемой.

Nix также имеет home manager, который контролирует конфигурацию конкретного пользователя. При его использовании нет необходимости в создании символических ссылок вручную или с помощью GNU Stow.

Преимущества Nix:

- По-настоящему декларативная конфигурация: система может менять состояние из любого в указанное в файле, а порядок изменений не определяется в файле.

- Умеет хранить историю состояний.

- Очень портативная конфигурация: окружение воссоздаётся на любом компьютере с установленной Nixos после загрузки из nix-файлов.

- Централизованная конфигурация: можно определить всю систему в файлах Nix.

Недостатки Nix:

- Необходимо изучить систему и язык Nix.

- Применение большинства изменений конфигурации занимает больше времени, чем применение изменений вручную в других системах.

- Берёт на себя контроль файлов, что иногда вызывает конфликты при попытке доступа другими программами (например, пакетным менеджером Lazy для редактора кода Neovim)

- Конфигурация содержит определение даже тех деталей, которые не принципиальны пользователю и необходимы просто для обеспечения работы.

Вывод о методе автоматизации настройки операционной системы

Оптимальным подходом является выбор дистрибутива операционной системы, в котором необходимо произвести минимум изменений для приведения к желаемому состоянию, и автоматизация необходимых изменений с помощью плейбуков Ansible. При этом стоит в первую очередь использовать модули Ansible, предназначенные для конкретных задач, а не выполнения любых скриптов, так как первые приводят к тому же состоянию после повторных запусков.

Общий вывод

PDE позволяет разработчикам программировать свои инструменты под свои сценарии работы и обладает следующими преимуществами:

- Опытные разработчики, которые знают, какие действия производятся чаще всего и занимают больше всего времени, могут представить автоматизацию этих действий и сокращение пользовательского ввода для их выполнения вплоть до нажатия одной клавиши, а постоянство способов

управления доводит выполнение действий до автоматизма, снижая когнитивную нагрузку;

— начинающие разработчики, создавая персональные инструменты, могут обучаться программированию, использованию систем контроля версий и чтению документаций, отладке, решая задачи, которые возникают во время разработки. Это полезный опыт, даже если созданные инструменты не повышают эффективность работы;

— можно внедрять в рабочий процесс новые инструменты и заменять старые по отдельности, как модули, не лишаясь взаимодействия с остальными.

Библиографический список

1. PDE: A different take on editing code [электронный ресурс] URL: <https://youtu.be/QMVIJhC9Veg?si=SU41G8lhtRIVyQ5P>

2. И. Бирман: Пользовательский интерфейс, глава: «Привычка» [электронный ресурс] URL: <https://bureau.ru/books/ui/25>

3. Что такое свободная программа? [электронный ресурс] URL: <https://www.gnu.org/philosophy/free-sw.ru.html>

4. Unix philosophy [электронный ресурс] URL: https://ru.wikipedia.org/wiki/%D0%A4%D0%B8%D0%BB%D0%BE%D1%81%D0%BE%D1%84%D0%B8%D1%8F_Unix

5. fzf [электронный ресурс] URL: <https://github.com/junegunn/fzf>

6. Алгоритмы нечёткого поиска [электронный ресурс] URL: https://ru.wikipedia.org/wiki/Алгоритмы_нечеткого_поиска

7. tmux-sessionizer [электронный ресурс] URL: <https://github.com/ThePrimeagen/.dotfiles/blob/master/bin/.local/scripts/tmux-sessionizer>

8. tmux wiki. Getting started. Sessions, windows and panes [электронный ресурс] URL: <https://github.com/tmux/tmux/wiki/Getting-Started#sessions-windows-and-panes>

9. GNU Emacs [электронный ресурс] URL: <https://www.gnu.org/software/emacs/>

10. Vim [электронный ресурс] URL: <https://www.vim.org/>

11. Neovim [электронный ресурс] URL: <https://neovim.io/>

12. Lua [электронный ресурс] URL: <https://www.lua.org/about.html>

13. Quickfix [электронный ресурс] URL: <https://neovim.io/doc/user/quickfix.html>

14. S1M0N38/ctx.nvim [электронный ресурс] URL: <https://github.com/S1M0N38/ctx.nvim>

15. Markdown [электронный ресурс] URL: <https://ru.wikipedia.org/wiki/Markdown>

16. Language server protocol [электронный ресурс] URL: https://en.wikipedia.org/wiki/Language_Server_Protocol

17. Debugger adapter protocol [электронный ресурс] URL: <https://microsoft.github.io/debug-adapter-protocol/>
18. Introduction to Ansible [электронный ресурс] URL: https://docs.ansible.com/ansible/latest/getting_started/introduction.html
19. nixos [электронный ресурс] URL: <https://nixos.org/>
20. Ansible playbooks [электронный ресурс] URL: https://docs.ansible.com/ansible/latest/playbook_guide/playbooks_intro.html
21. Ansible modules [электронный ресурс] URL: https://docs.ansible.com/ansible/2.9/modules/list_of_all_modules.html
22. Nix home manager [электронный ресурс] URL: https://nixos.wiki/wiki/Home_Manager
23. Раскин Д., Интерфейс: новые направления в проектировании компьютерных систем. — Пер. с англ. — СПб: Символ-Плюс, 2004. — 272 с.
24. My Dev Setup Is Better Than Yours Q&A [электронный ресурс] URL: <https://frontendmasters.com/courses/developer-productivity-v2/q-a/>
25. «NixOS System Configurations» (Репозиторий с конфигурацией системы Митчелла Хашимото) [электронный ресурс] URL: <https://github.com/mitchellh/nixos-config>
26. How to Customize Your Development Workflow Using Personalized Development Environment [электронный ресурс] URL: <https://medium.com/agoda-engineering/personalized-development-environment-pde-a-different-take-on-editing-code-0ec05b323ae6>

© Хамидуллин Б.Р., 2025

А.М. Хамматов

khammatov-2022@mail.ru

Науч. руковод. – доктор техн. наук, доцент Г.Н. Верхотурова

Уфимский университет науки и технологий

РЕАЛИЗАЦИЯ И АНАЛИЗ АЛГОРИТМА ХЭШИРОВАНИЯ С КВАДРАТИЧНЫМ РАЗРЕШЕНИЕМ КОЛЛИЗИЙ

Аннотация: в статье рассматривается процесс построения хэш-таблицы с использованием метода квадратичного опробования для разрешения коллизий. Реализованная программа позволяет выполнять поиск, добавление, удаление, замену элементов, нахождение коэффициента заполнения и среднего числа шагов.

Ключевые слова: хэширование; квадратичное опробование; функция; анализ; C++; сложность.

Хэширование в текущее время является хорошим решением для шифрования определенного набора данных. Ядром является хэш-функция, которая преобразует исходный ключ в индекс массива, где размещается соответствующее значение.

Если различные наборы данных имеют один и тот же хэш, то появляется коллизия и для ее устранения применяются различные подходы.

Хэш-функция.

Хэш-функция – это отображение множества возможных ключей во множество индексов хэш-таблицы. Для практического разбора возьмем сумму последних трех цифр четырехзначного числа:

$$f(k) = (((k\%1000)/100) + ((k\%100)/10) + (k\%10))\%t$$

где:

1. k – ключ;
2. t – размер хэш-таблицы.

Коллизия возникает, когда два разных ключа дают один и тот же хэш. Метод квадратичного опробования решает эту проблему следующим образом:

$$x_i = (x + i^2) \bmod t$$

где:

1. i – номер попытки;
2. t – размер таблицы.

При каждой новой попытке поиск свободной ячейки производится с увеличивающимся квадратным смещением.

Также для гарантированного нахождения свободного места применяется гибридная стратегия. Если элемент не найден за 30 попыток методом квадратичных проб, программа переходит на линейное опробование.

Алгоритм работы программ:

1. Генерируется набор из $N = 45$ случайных четырехзначных чисел.
2. Получение хэш-адреса для каждого числа, благодаря использованию хэш-функции.
3. Если возникает коллизия выполняется квадратичное опробование до 30 попыток – линейное.
4. После вставки обновляются счётчики числа шагов и заполненности.
5. Пустые слоты помечаются -1, что упрощает проверку свободных ячеек и печать.

Алгоритм на языке C++ представлен ниже.

Функция поиска, где по ключу key ищем заданный элемент, если по этому ключу ячейка пуста или при количестве итераций как размер хэш таблицы, то считается, что элемент отсутствует. Коллизия устраняется с помощью метода квадратичных проб, на рис. 1.

```
int find(int *hash_table, int size, int deadline = 0)
{
    int it = 0;
    int x;
    int k = -1;
    cout << "Введите элемент для поиска:" << endl;
    cin >> x;
    int x0 = 0;
    int key = (((x % 1000) / 100) + ((x % 100) / 10) + (x % 10)) % size;
    if (hash_table[key] < 0)
        return k;
    else
    {
        while (x != hash_table[key])
        {
            if (it >= size)
                return k;
            if (deadline <= 30)
            {
                int y = (key + (x0 * x0)) % size;
                key = y;
                x0++;
                deadline++;
                it++;
            }
            else if (deadline > 30)
            {
                int y = (key + x0) % size;
                key = y;
                x0++;
                it++;
            }
        }
        if (x == hash_table[key])
            return key;
    }
}
```

Рис. 1. Функция поиска

Функция добавления, использует квадратичный метод опробования, если $deadline \geq 30$, то переходим на линейный метод. В конце возвращаем измененную хэш таблицу, на рис. 2.

```

int* add(int* hash_table, int size, int deadline, int &iterator, int &count)
{
    int element;
    cout << "Введите элемент для добавления" << endl;
    cin >> element;
    int x0 = 0;
    int key = (((element % 1000) / 100) + ((element % 100) / 10) + (element % 10)) % size;
    while (true)
    {
        if (hash_table[key] > 0 && deadline <= 30)
        {
            int x = (key + (x0 * x0)) % size;
            key = x;
            x0++;
            iterator++;
            deadline++;
        }
        else if (hash_table[key] > 0 && deadline > 30)
        {
            int x = (key + x0) % size;
            key = x;
            x0++;
            iterator++;
        }
        if (hash_table[key] < 0)
        {
            hash_table[key] = element;
            count++;
            iterator++;
            return hash_table;
            break;
        }
    }
}

```

Рис. 2. Функция добавления

Функция вывода, которая принимает как аргументы хэш таблицу и ее размер. Для красивого вывода использую $i \% 4 == 0$, на рис. 3.

Коэффициент заполнения и среднее число шагов у программы:

1. Коэффициент заполнения

$$koef = \frac{count}{size}$$

где:

- *count* – количество заполненных ячеек;
- *size* – количество всех существующих ячеек.

2. Среднее количество шагов

$$shrap = \frac{iterator}{count}$$

где:

- *iterator* – количество заполненных ячеек;

- *count* – количество всех существующих ячеек.

```
void вывод(int *hash_table, int size)
{
    cout << endl;
    for (int i = 0; i < size; i++)
    {
        if (i > 0 && i % 4 == 0)
        {
            cout << endl;
        }
        if (hash_table[i] != -1)
        {
            if (i >= 10)
                cout << i << ": " << hash_table[i] << " ";
            else
                cout << i << ": " << hash_table[i] << " ";
        }
        if (hash_table[i] == -1)
        {
            if (i >= 10)
                cout << i << ": " << "0000" << " ";
            else
                cout << i << ": " << "0000" << " ";
        }
    }
    cout << endl;
}
```

Рис. 3. Функция вывода хэш-таблицы

Таким образом, программа показала корректное размещение всех элементов и наглядное распределение без крупных кластеров при коэффициенте заполнения 0.656. Среднее число шагов на элемент отражает эффективность данного метода.

Итоговый результат программы представлен на рис. 4.

| | | | |
|----------|----------|----------|----------|
| 0: 0000 | 1: 0000 | 2: 0000 | 3: 0000 |
| 4: 9013 | 5: 0000 | 6: 7122 | 7: 5430 |
| 8: 9260 | 9: 7036 | 10: 1811 | 11: 9140 |
| 12: 2039 | 13: 8642 | 14: 6653 | 15: 5780 |
| 16: 7780 | 17: 9327 | 18: 9049 | 19: 8351 |
| 20: 9677 | 21: 4808 | 22: 5548 | 23: 2959 |
| 24: 7338 | 25: 8988 | 26: 5921 | 27: 7296 |
| 28: 8085 | 29: 5973 | 30: 6448 | 31: 4665 |
| 32: 5188 | 33: 1075 | 34: 2463 | 35: 7313 |
| 36: 0000 | 37: 5679 | 38: 5917 | 39: 7486 |
| 40: 6336 | 41: 8299 | 42: 2833 | 43: 6412 |
| 44: 6295 | 45: 8737 | 46: 2217 | 47: 0000 |
| 48: 0000 | 49: 0000 | 50: 7778 | 51: 0000 |
| 52: 0000 | 53: 0000 | 54: 1261 | 55: 0000 |
| 56: 0000 | 57: 0000 | 58: 0000 | 59: 0000 |
| 60: 0000 | 61: 0000 | 62: 0000 | 63: 0000 |
| 64: 9432 | 65: 0000 | 66: 0000 | |

Выберите нужный вариант :

1- найти элемент

2- удалить элемент

3 - добавить новый элемент вручную

4 - добавить элементы генерацией

5 - Заменить элемент

6 - Завершить работу и показать итоговый результат

5

Элемент для удаления:

Введите элемент для поиска:

7036

Элемент найден по индексу: 9

Элемент удален по индексу: 9

Сначала надо проверить есть ли элемент в таблице или нет

Элемент для добавления:

Введите элемент для поиска:

1234

Элемента нет в таблице, напишите его еще раз для добавления

Введите элемент для добавления

1234

Коэффициент заполнения: 0.656716

Среднее число шагов: 5.45455

Рис. 4. Результат работы программы

Рассмотрим сравнение различных методов (табл. 1).

Сравнительный анализ различных методов

| Метод разрешения коллизий | Средняя сложность | Худшая сложность | Характеристика |
|---------------------------|-------------------|------------------|--|
| Квадратичное опробование | $O(1)$ | $O(n)$ | Коллизии устраняются быстро |
| Линейное опробование | $O(1)$ | $O(n)$ | Простая реализация, но сильная первичная кластеризация |
| Метод цепочек | $O(1)$ | $O(n)$ | Коллизии хранятся в связанных списках, гибкий размер таблицы |

В ходе работы была реализована программа для построения и исследования хэш-таблицы с квадратичным опробованием. Программа позволяет выполнять все основные операции над элементами.

Гибридная стратегия гарантирует нахождение свободной ячейки при любой ситуации.

Библиографический список

1. Структуры данных и алгоритмы / Таненбаум Э.М. - СПб.: Питер, 2021 - 291 с.
 2. Алгоритмы: построение и анализ / Т.К. Кормен. - М.: Вильямс, 2021 - 385 с.
 3. Алгоритмы на C++ / Д.П. Уэйн - СПб.: БХВ-Петербург, 2022 - 423 с.
- © Хамматов А.М., 2025

А.М. Хамматов

khammatov-2022@mail.ru

Науч. руковод. – доктор техн. наук, проф. каф. ВМиК Н.М. Шерыхалина

Уфимский университет науки и технологий

РЕАЛИЗАЦИЯ ПОЛИНОМА ЖЕГАЛКИНА МЕТОДОМ ТРЕУГОЛЬНИКА НЬЮТОНА НА PYTHON

Аннотация: в статье рассматривается метод построения полинома Жегалкина с использованием треугольника Паскаля. Представлена программная реализация алгоритма на Python для автоматизации вычислений. Исследованы теоретические основы и практическое применение метода в криптографии и теории кодирования. Проведен анализ вычислительной сложности алгоритма и сравнение с альтернативными подходами.

Ключевые слова: полином Жегалкина; треугольник Паскаля; булевы функции; криптографический анализ; Python; вычислительная сложность.

Полином Жегалкина представляет булеву функцию $f(x_1, \dots, x_n)$ в виде:

$$f(x_1, \dots, x_n) = a_0 \oplus a_1 x_1 \oplus \dots \oplus a_n x_n \oplus a_{12} x_1 x_2 \oplus \dots \oplus a_{1\dots n} x_1 \dots x_n$$

где:

1. $a_i \in \{0, 1\}$ - коэффициенты полинома;
2. \oplus - операция сложения по модулю 2;
3. произведения переменных – конъюнкции.

Основные свойства:

1. Единственность представления для каждой булевой функции;
2. Степень полинома характеризует нелинейность функции;
3. Линейные функции имеют полиномы степени не выше 1.

Модифицированный треугольник Паскаля для построения полинома Жегалкина:

1. Исходная строка - вектор значений булевой функции;
2. Каждая следующая строка вычисляется как XOR соседних элементов предыдущей;
3. Коэффициенты полинома берутся из последней строки треугольника;
4. Пространственная сложность: $O(2^n)$, где n - количество входных наборов.

Алгоритм построения полинома на языке Python 3.9 представлен ниже.

Рассмотрим более детально весь код. Инициализация переменных и ввод данных изображены на рис. 1.

```

from itertools import product

triangle = []
table = []
stroka = 0
step = 0
f = ""
dop = ""
itog = ""
count = int(input("Введите количество х-ов:\n"))
function = input("Введите значение функции:\n")

```

Рис. 1. Ввод данных

На рис. 2 показано, как складывать по модулю 2 соседних элемента и выводить новую строку, затем получая Треугольник Паскаля.

```

triangle = [int(char) for char in function]
if triangle[0] == 1:
    table.append(stroka)
print("\nТреугольник Паскаля:\n")
print(*triangle)
for k in range(len(triangle) - 1):
    stroka += 1
    new_triangle = []
    for i in range(len(triangle) - 1):
        if triangle[i] + triangle[i + 1] == 1:
            new_triangle.append(1)
        else:
            new_triangle.append(0)
    triangle = new_triangle
    if len(triangle) > 0 and triangle[0] == 1:
        table.append(stroka)
    print(*triangle)

```

Рис. 2. Треугольник Паскаля

На рис. 3 изображено, как сделать таблицу истинности.

На рис. 4 продемонстрирован, вывод Полинома Жегалкина для заданной функции.

На рис. 5 мы видим как работает программа для на примере $f=10110101$ и 3 х-ов.

Рассмотрим сравнение различных методов (табл. 1).

```

print("\nТаблица истинности:\n")
for y in range(count):
    dop += "x" + str(y + 1)

combinations = list(product([0, 1], repeat=count))

for s in range(count):
    itog += "x" + str(s + 1) + " | "
itog += "f |\n"
for e in range(2**count):
    for j in range(count):
        itog += f"{combinations[e][j]} | "
    itog += f"function[e] | "
    itog += "\n"
print(itog)
for z in range(2**count):
    if step in table:
        if 1 not in combinations[z]:
            f += "1 |+"
        for n in range(count):
            if combinations[z][n] == 1:
                f += "x" + str(n + 1) + ""
            if n == (count - 1) and (step < max(table)) and (1 in combinations[z]):
                f += " |+"
        step += 1
print("Полином Жигалкина:\n")

```

Рис. 3. Таблица истинности

```

print("Полином Жигалкина:\n")
print(f"f({dop}) = {f}\n")

```

Рис. 4. Полином Жигалкина

Таблица 1

Сравнительный анализ различных методов

| Метод | Временная сложность | Преимущества | Недостатки |
|------------------------------------|---------------------|---------------------|----------------------------|
| Треугольник Паскаля | $O(n \cdot 2^n)$ | Простота реализации | Требует полной ТИ |
| Матричный метод | $O(2^{3n})$ | Системный подход | Высокая сложность |
| Метод неопределенных коэффициентов | $O(2^{3n})$ | Системный подход | Экспоненциальная сложность |

```

C:\Users\user\AppData\Local\Programs\Python\Python39\python.exe
Введите количество x-ов:
3
Введите значение функции:
10110101

Треугольник Паскаля:

1 0 1 1 0 1 0 1
1 1 0 1 1 1 1
0 1 1 0 0 0
1 0 1 0 0
1 1 1 0
0 0 1
0 1
1

Таблица истинности:

x1 | x2 | x3 | f |
0  | 0  | 0  | 1 |
0  | 0  | 1  | 0 |
0  | 1  | 0  | 1 |
0  | 1  | 1  | 1 |
1  | 0  | 0  | 0 |
1  | 0  | 1  | 1 |
1  | 1  | 0  | 0 |
1  | 1  | 1  | 1 |

Полином Жигалкина:

f(x1x2x3) = 1 |+| x3 |+| x2x3 |+| x1 |+| x1x2x3

Press any key to continue . . .

```

Рис. 5. Пример работы программы

В работе представлен эффективный метод построения полинома Жегалкина с использованием модифицированного треугольника Паскаля и его программная реализация на Python. Разработанный алгоритм обладает приемлемой вычислительной сложностью и может быть использован для анализа булевых функций в различных прикладных областях.

Библиографический список

1. Методы анализа булевых функций в криптографии / А. Б. Лось, Д. В. Николаев. - М.: Физматлит, 2022. - 256 с.
2. Современные алгоритмы дискретной математики / И. В. Сергеев. - СПб.: Лань, 2023. - 320 с.
3. Применение полиномов Жегалкина в криптографии // Кибернетика и системный анализ. - 2021. - № 4. - С. 45-53 с.

А.М. ХАТМУЛЛИН, Р.О. ЛОХМАТОВ

artem.khatmullin@mail.ru, roma.0125@yandex.ru

Науч. руковод. – докт. Техн. наук, доцент Г.Р. ВОРОБЬЕВА

Уфимский университет науки и технологий

СРАВНИТЕЛЬНЫЙ АНАЛИЗ МЕТОДОВ ВОССТАНОВЛЕНИЯ ПРОСТРАНСТВЕННО-ВРЕМЕННЫХ РЯДОВ ГЕОМАГНИТНЫХ НАБЛЮДЕНИЙ

Аннотация: в работе рассматриваются методы восстановления пропусков в пространственно-временных рядах геомагнитных наблюдений. Сопоставлены интерполяционные, статистические, нейросетевые и гибридные подходы с оценкой точности, устойчивости, вычислительной сложности и интерпретируемости. Показано, что при протяжённых разрозненных пропусках и выраженной пространственной корреляции предпочтительны гибридные решения, объединяющие фильтр Калмана и рекуррентные сети. Приведён практический пример применения фаворитного метода.

Ключевые слова: геомагнитные наблюдения, пространственно-временные ряды, пропуски данных, интерполяция, ARIMA, фильтр Калмана, LSTM, автоэнкодер, гибридные модели.

Введение

Сети наземных магнитометров формируют непрерывные ряды компонент магнитного поля (H, D, Z), используемые для диагностики геомагнитно индуцированных токов и визуализации распределений в ГИС-системах [1,5]. В производственной эксплуатации фиксируются выпадения данных из-за энергоперебоев, телеметрических сбоев и регламентных работ, а также из-за фильтрации артефактов [5]. Пропуски искажают статистику возмущений и ухудшают качество диагностик ГИС и метрологических оценок чувствительных систем [4,6].

Задача восстановления пропущенных значений требует учёта суточной и сезонной периодичности, а также межстанционных связей. Они описаны как алгоритмические основы восстановления временных рядов [2,3], так и практические вопросы динамической визуализации и коррекции артефактов геопространственных слоёв [1,5]. На этом фоне важно сопоставить группы методов по универсальному набору критериев с целью выбора рационального решения для разных сценариев пропусков.

Теоретические основы и классификация методов

Пространственно-временной ряд – массив значений, упорядоченных по времени и пространству (индексы станции/широты/долготы). Геомагнитные ряды характеризуются суточными гармониками, сезонными трендами,

всплесками в периоды бурь и выраженной межстанционной корреляцией. Пропуски бывают одиночными и кластерными; для вторых требуется широкий контекст и учёт соседних каналов.

Класс интерполяционных методов (линейная, полиномиальная интерполяция, сплайны) обеспечивает быстроедействие и простоту, но сглаживает пики бурь. Статистические модели (многофакторная регрессия, PCA, ARIMA, фильтр Калмана) учитывают структуру шума и динамику, оставаясь интерпретируемыми [2]. Интеллектуальные подходы (LSTM, автоэнкодеры, гауссовские процессы) хорошо описывают нелинейности и используют многоканальные входы, однако требуют значительных обучающих выборок. Гибридные схемы объединяют физически обоснованное ядро (калмановская модель состояния) и нейросетевой модуль, который восстанавливает нелинейные остатки и использует соседние станции в качестве регрессоров [3,4].

Сравнительный анализ методов

Ниже методы сопоставляются по набору критериев: длина восполняемых пропусков, учёт пространственной корреляции, точность на бурях, устойчивость к аномалиям, требуемый объём данных, ресурсоёмкость, интерпретируемость и интегральная оценка. Для интегральной оценки частные показатели нормированы к $[0;1]$ и усреднены с повышенным весом точности на бурях (вес 0,4).

Таблица 1

Сравнительный анализ методов восстановления пространственно-временных рядов геомагнитных наблюдений

| | Традиционные | Статистические | Интеллектуальные | Гибридные |
|--|-----------------------|-----------------------|-------------------------|-----------------------|
| Длины пропусков, с которыми метод справляется | Короткие (1–5 т.) | Короткие–средние | Средние–длинные | Длинные, разрозненные |
| Учёт пространственной корреляции | Нет | Косвенно | Да | Да |
| Точность на бурях | Ниже средней | Средняя–высокая | Очень высокая | Высокая–очень высокая |
| Устойчивость к шуму/аномалиям | Низкая | Средняя–высокая | Высокая | Очень высокая |
| Требуемый объём данных | Не требуется обучение | Малые–средние | Большие | Средние–большие |

Продолжение таблицы 1

| | | | | |
|----------------------------------|---------|---------|--------------|---------------------|
| Ресурсоёмкость | Низкая | Средняя | Высокая | Средняя– высокая |
| Интерпретируемость | Высокая | Хорошая | Ограниченная | Повышенная |
| Интегральная оценка (0–1) | 0.58 | 0.72 | 0.81 | 0.87 |

Интегральная оценка показывает преимущество гибридного подхода благодаря комбинированию устойчивой физической модели с обучаемым модулем, что позволяет работать с длинными и разрозненными пропусками без сглаживания экстремумов. При ограниченных данных и требовании объяснимости рационально использовать статистические методы.

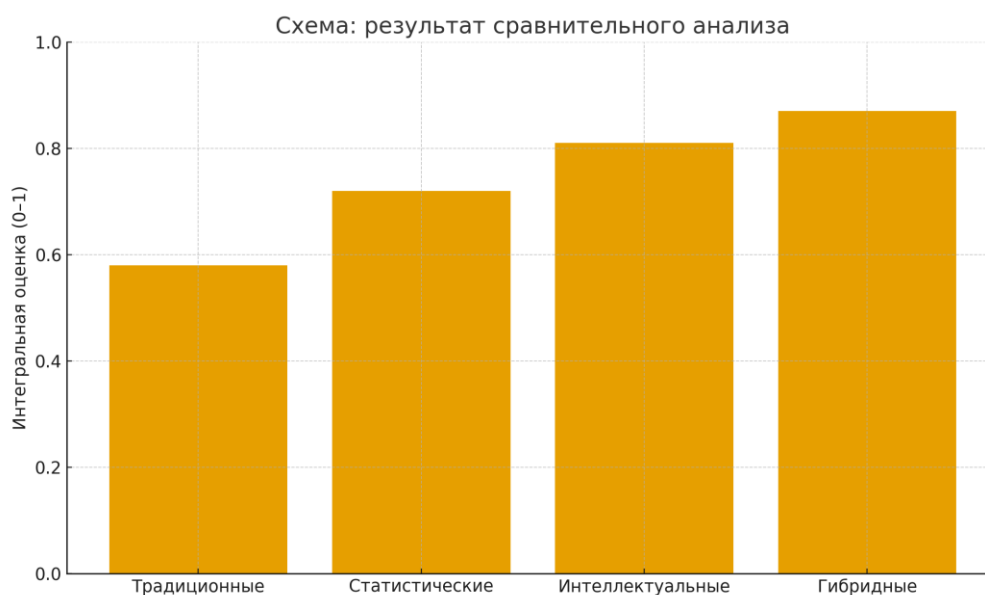


Рис. 20. Интегральные оценки по группам методов (0–1)

Заключение

Проведённое сопоставление подтвердило различие зон эффективности подходов к восстановлению геомагнитных пространственно-временных рядов. Интерполяционные методы подходят для коротких локальных выпадов на стационарных участках, но не удерживают амплитуды экстремумов и игнорируют межстанционные зависимости.

Статистические модели обеспечивают баланс точности, устойчивости и объяснимости; их параметры прозрачно калибруются и допускают эксплуатацию в потоковых конвейерах обработки. Интеллектуальные архитектуры превосходят по точности на нелинейных структурах и длительных провалах, однако требуют больших обучающих массивов и вычислительных ресурсов.

Гибридные схемы объединяют физически обоснованную динамику и обучаемые представления, что повышает устойчивость к шуму, сохраняет пиковую динамику бурь и улучшает воспроизведение межстанционных

соотношений. Это согласуется с приоритетами прикладных задач, связанных с диагностикой индуцированных токов и динамической геовизуализацией [1,4,5]. Сформированная интегральная оценка, основанная на нормировке и взвешивании критериев, устойчиво выделяет гибридные подходы как наиболее рациональные в производственных условиях. Перспективы видятся в интеграции моделей магнитосферной динамики с обучаемыми модулями, а также в развитии единого пространства геомагнитных данных, упрощающего согласование источников и повышение воспроизводимости расчётов [3].

Список литературы

1. Воробьев, А. В. Подход к динамической визуализации разнородных геопространственных векторных изображений / А. В. Воробьев, Г. Р. Воробьева // Компьютерная оптика. – 2024. – Т. 48, № 1. – С. 123-138. – DOI 10.18287/2412-6179-СО-1279.

2. Воробьев, А. В. Индуктивный метод восстановления временных рядов геомагнитных данных / А. В. Воробьев, Г. Р. Воробьева // Труды СПИИРАН. – 2018. – № 2(57). – С. 104-133. – DOI 10.15622/sp.57.5.

3. Воробьев, А. В. Концепция единого пространства геомагнитных данных / А. В. Воробьев, Г. Р. Воробьева, Н. И. Юсупова // Труды СПИИРАН. – 2019. – Т. 18, № 2. – С. 390-415. – DOI 10.15622/sp.18.2.390-415.

4. An Approach to Diagnostics of Geomagnetically Induced Currents Based on Ground Magnetometers Data / A. Vorobev, A. Soloviev, V. Pilipenko [et al.] // Applied Sciences (Switzerland). – 2022. – Vol. 12, No. 3. – DOI 10.3390/app12031522.

5. Воробьев, А. В. Подход к обнаружению и устранению артефактов пространственных изолиний в приложениях Веб-ГИС / А. В. Воробьев, Г. Р. Воробьева // Компьютерная оптика. – 2023. – Т. 47, № 1. – С. 126-136. – DOI 10.18287/2412-6179-СО-1127.

6. Воробьев, А. В. Оценка влияния геомагнитной активности на метрологические характеристики инклинометрических информационно-измерительных систем / А. В. Воробьев, Г. Р. Воробьева // Измерительная техника. – 2017. – № 6. – С. 21-24.

© Хатмуллин А.М., Лохматов Р.О., 2025

Е.Р. ШАЙМАРДАНОВА

shaymardanova.ekaterina.04@gmail.com

Науч. руковод. – д.т.н., профессор Н.М. ШЕРЫХАЛИНА

Уфимский университет науки и технологий

АРХИТЕКТУРА МОДЕЛИ РАЗЛОЖЕНИЯ ИЗОБРАЖЕНИЯ НА СЕМАНТИЧЕСКИЕ КАНАЛЫ

Аннотация: в статье представлено разбиение и формирование рендером семантических каналов, на которые раскладывается изображение, их математические основы. Приведены и описаны самые часто используемые каналы для работы с изображением, а также многоканальная структура и ее преимущества при обработке.

Ключевые слова: семантические каналы; изображение; физически-корректное изображение; геометрическая ориентация поверхности.

PBR-рендер создает финальное изображение как сумму разных физических компонентов света, например: Albedo, Normal, Roughness, Diffuse, Specular, Emission, Z-Depth. Каждый из каналов можно рассматривать как часть математической модели освещения, а их разложение - как выделение отдельных функций в большом уравнении формирования цвета.

Изображение как многомерная функция

Цифровое изображение можно представить в виде формулы:

$$I: \Omega \subset \mathbb{R}^2 \rightarrow \mathbb{R}^n,$$

где Ω - область пикселей, n - количество каналов.

Классический вариант это RGB-изображение, где $n = 3$ (RGB) или же с добавлением альфа-канала $n = 4$ (RGBA). Тогда изображение можно представить в виде такой функции: $I(x, y) = (R, G, B)$.

Семантические каналы ($n = 20...60$) - слои изображения, каждый из которых содержит не цвет, а какую-то конкретную смысловую информацию (геометрию, освещение, материалы, принадлежность объектам). Другими словами - описывают свойства пикселей. Рендер вычисляет цвет в несколько этапов - и каждый этап можно сохранить в отдельный канал.

$$I(x, y) = C_1(x, y) + C_2(x, y) + C_3(x, y) + \dots + C_i(x, y),$$

где C_i – это: цвет диффуза, свет от источников, отражения, блики, прозрачность, тени, окклюзия и т.д.

Так получают десятки каналов (AOVs - Arbitrary Output Variables).

Физически корректное разложение (PBR-каналы)

PBR-каналы (physically based render) - такие каналы, каждые из которых соответствуют физическому параметру материала, который участвует в моделировании света. Так как современный рендеринг строится на физически корректной модели отражения света. Чтобы вычислить, сколько света отражается, рассеивается, поглощается, нужно знать характеристики материала. Эти характеристики и записываются в каналах. Интенсивность выходного света в направлении наблюдателя описывается выражением:

$$L_0 = L_{\text{diff}}(x, \omega_0) + L_{\text{spec}}(x, \omega_0) + L_{\text{emit}}(x, \omega_0) + \dots,$$

где L_{diff} - диффузная часть, L_{spec} - зеркальная, спекулярная часть, L_{emit} - собственное свечение (эмиссия).

Каждая из этих компонент зависит от набора материалов и геометрических параметров, которые рендер принимает в качестве семантических каналов. Эти параметры - функции, определенные на изображении.

1. Albedo (Base Color)

Канал Albedo это базовый чистый цвет материала, не зависящий от освещения. Он не содержит теней, бликов, линейный (не в sRGB), отражает только спектральные свойства материала

Рендер достает из шейдера диффузный цвет:

$$\text{Albedo} = p(\lambda),$$

где $p(\lambda)$ - спектральный коэффициент диффузного отражения.

Данный канал нужен для того, чтобы реконструировать освещение или же менять цвет объекта без разрушения света.

2. Каналы нормалей (Normal Pass)

Указывает на геометрическую ориентацию поверхности. Нормаль - это трехмерный вектор, который определяет: как свет отражается, куда он отскакивает, как формируется specular highlights (имитация прямого отражения источника света от блестящих поверхностей при их освещении).

$$\mathbf{n} = (n_x, n_y, n_z), \quad \|\mathbf{n}\| = 1.$$

Рендер переходит в цветовое пространство (обычно 0...1):

$$\text{RGB} = \frac{\mathbf{n} + 1}{2}.$$

Канал нормалей чаще всего используется для того, чтобы пересветить объект, сделать relighting.

3. Depth

Канал глубины содержит расстояние от камеры до пикселя:

$$Z = \|\mathbf{P} - \mathbf{C}\|,$$

где \mathbf{P} - точка на поверхности, \mathbf{C} - позиция камеры.

Чаще нормализуется:

$$Z_{\text{norm}} = \frac{Z - Z_{\text{min}}}{Z_{\text{max}} - Z_{\text{min}}}.$$

Используется при глубинном размытии, для атмосферных эффектов, проработки слоев, реконструкции 3D-геометрии.

4. Roughness

Определяет микроструктуру поверхности, насколько микрофасетки поверхности ориентированы хаотично, и то, насколько свет отражается:

Маленькая шероховатость → резкий блик (полирование), большая шероховатость → матовый, размазанный блик.

$$\alpha = \text{Roughness}^2.$$

Чем roughness выше → тем шире блик.

Канал нужен для управления видом блика и реалистичности материала.

5. Specular

Specular представляет зеркально отраженный свет, который зависит от: типа материала, нормали, угла падения, шероховатости. Этот канал показывает только отраженное освещение, без диффуза.

Основу задает модель Френеля:

$$F(\theta) = F_0 + (1 - F_0)(1 - \cos \theta)^5,$$

где F_0 - отражение под углом 0° .

Вся спекулярная компонента:

$$L_{\text{spec}} = \frac{D(\alpha)G(\alpha)F\theta}{4(n \cdot l)(n \cdot v)}.$$

Спекулярный канал используется для управления бликами в композе, создания реалистичного освещения и возможности тонко настраивать отражения после рендера.

6. Ambient Occlusion

АО — это коэффициент доступности окружающего света для точки поверхности. В углублениях → low АО → меньше света. На открытых участках → high АО → больше света.

АО — это интеграл видимости по полусфере:

$$AO(x, y) = \frac{1}{\pi} \int V(\omega)(n \cdot \omega) d\omega,$$

где $V(\omega)$ - функция видимости (0 - закрыто или 1 - видно).

Этот канал нужен для добавления «контактных теней», усиления мелкого рельефа и усиления читаемости формы в композе.

Зачем нужно разложение на каналы

Все световые рендер-каналы являются линейными по природе, поэтому их можно складывать путем обычного аддитивного сложения, но только в линейном цветовом пространстве. Материальные и геометрические каналы не суммируются, а используются как коэффициенты или вспомогательные данные для реконструкции света.

Заключение

Многоканальное представление изображения в современном рендеринге является важным инструментом, который соединяет математические модели физики света с практическими задачами композитинга и визуальных эффектов. Разложение изображения на отдельные каналы - такие как Albedo, Normal, Depth, Roughness, Specular, AO и другие - позволяет представить сложный световой процесс в виде независимых и изменяемых компонентов. Это дает высокий уровень контроля над итоговым изображением, при этом не теряется физическая корректность рендера.

Библиографический список

1. Райт С. Цифровой композитинг в кино и видео // Сер. Секреты профессионалов. ([Изд. 2-е, доп. и перераб.]) Москва, 2009.
2. Кириллова С.Н., Николаева Е.А. Области применения композитинга // Сборник статей международной научно-практической конференции. 2016. С. 103-105.
3. Романюго В.А., Рожков М.А. Роль компьютерной геометрии в разработке визуальных эффектов для виртуальной реальности // Сборник научных статей Всероссийской конференции. Курск, 2024. С. 19-21.
4. Шестерин Н.О. Визуальные предпосылки формирования эффекта «Зловещей долины» в цифровых медиа // Челябинский гуманитарий. 2024. № 3 (68). С. 51-57.
5. Саегараев А.А. Использование теории хаоса в компьютерной графике и визуальных эффектов // В сборнике: XXVI Туполевские чтения (школа молодых ученых). Материалы Международной молодёжной научной конференции. Сборник докладов. Казань, 2023. С. 1376-1379.
6. Трусевич Е.С. Использование 3D-технологий в неигровом кино: влияние визуального эффекта на зрительское восприятие // Культура и искусство. 2017. № 1. С. 83-91.
7. Филатов В.П. Плагин корректного маскирования объектов в The Foundry Nuke // Материалы 59-й научной конференции аспирантов, магистрантов и студентов БГУИР. Минск, 2023. С. 878-879.
8. Sharma H., Kochhar Kh. Artificial intelligence: a new trend in visual effects (VFX) // ShodhKosh: Journal of Visual and Performing Arts. 2024. Т. 5. № ICETDA24.
9. Кемниц Я.Ю. Природа визуальных эффектов (формирование экранного образа) // Институт повышения квалификации работников телевидения и радиовещания. Москва, 2011

© Шаймарданова Е.Р., 2024

И.А. ШАПОШНИКОВ, Р.А. МИРСАЯПОВ
Fatelessevil@gmail.com, roman89007@mail.ru

Науч. руковод. – д-р техн. наук, профессор Н.М. ШЕРЫХАЛИНА

Уфимский университет науки и технологий

СРАВНИТЕЛЬНЫЙ АНАЛИЗ ЭФФЕКТИВНОСТИ СБАЛАНСИРОВАННЫХ ДВОИЧНЫХ ДЕРЕВЬЕВ ПОИСКА

Аннотация: BST – Binary Search Tree (двоичное дерево поиска) обладает различными способами балансировки. В данной работе рассматриваются следующие виды двоичных деревьев: классическое BST без балансировки, AVL, Treap (декартово дерево поиска), RB (красно-чёрное дерево), а также AA (дерево Андерссона), как упрощенный конкурент RB дерева.

Ключевые слова: Двоичное дерево поиска, алгоритмы, структуры данных, деревья, двоичные деревья, AVL-дерево, красно-чёрное дерево, Treap.

Введение

Бинарные деревья поиска (Binary Search Trees, BST) являются фундаментальной структурой данных в компьютерных науках, находящей применение в базах данных, файловых системах, компиляторах, различных алгоритмах и множестве других областей. Основная проблема классической идеи BST заключается в потенциальной деградации производительности до $O(n)$ в худшем случае, что происходит при вставке элементов в отсортированном порядке. Для решения этой проблемы были разработаны сбалансированные двоичные деревья поиска, гарантирующие логарифмическую высоту дерева независимо от порядка вставки элементов.

На сегодняшний день существует множество подходов к балансировке деревьев, каждый со своими преимуществами и компромиссами. В этой статье рассматриваются AVL дерево, декартово дерево (Treap), красно-чёрное дерево, а также малоизвестное дерево Андерсона, как возможная альтернатива красно-чёрному дереву с компромиссом в сложности реализации. Классическое BST также было рассмотрено в ходе исследования, однако не было включено в статью как слишком малоэффективная структура.

Эксперимент

Для сравнительного анализа данных структур были написаны их реализации на языке C++. Каждое дерево представляло собой класс, унаследованный от интерфейса ITree (рис. 1), и реализующий методы вставки

(Insert), поиска (Search) и удаления (Remove), а также метод клонирования (Copy) для системы тестирования.

```
class ITree {
public:
    virtual ~ITree() = default;
    virtual void Insert(int key) = 0;
    virtual bool Search(int key) = 0;
    virtual void Remove(int key) = 0;
    virtual ITree* Copy() = 0;
};
```

Рис. 1. Базовый интерфейс дерева ITree

Кроме того, была написана система тестирования StableBenchmark, имеющая методы, для генерации случайных данных, а также отсортированных данных (в убывающем и возрастающем порядке). Изначально тестирование проводилось в среде VS Code, однако после нескольких десятков тестов, выяснилось, что VS Code был настроен на дополнительную оптимизацию, отчего тестирование на одинаковых данных могло отличаться в десятки раз (например 100 мс против 2000 мс для отсортированного массива элементов от 0 до 499999). Тестирование было переведено в Visual Studio настроенный так, что каждый тест мог быть повторен и выдать одинаковый результат (+- 10%).

Для каждого дерева было несколько раз проведено тестирование для массива данных размером 10000, 50000, 100000, 500000, 1000000 и 5000000 элементов. Отношение результатов дерева к дереву совпадали независимо от размера данных, поэтому в статье приведено только тестирование для 500000 элементов.

Эксперимент был направлен на анализ времени выполнения основных операций (вставка, поиск, удаление), без учета затраченной памяти.

Итак, каждый тест представлял собой 15 повторений следующего алгоритма: вставить N элементов, найти все вставленные элементы, удалить половину элементов из дерева, где N – размер массива данных для текущего теста (10000 - 5000000). Для каждого повторения отдельно для каждой операции (вставка, поиск, удаление) вычислялось и записывалось время, после чего для каждой операции вычислялось минимальное, максимальное и среднее время выполнения и выводилось на экран. Код тестирования (функция RunSimpleDetailedTest) представлен на рис. 2.

В главной программе (рис. 3) для каждого из выбранных деревьев было проведено три теста – для массива случайных чисел, для массива отсортированных в порядке возрастания чисел и для массива отсортированных в порядке убывания чисел.

```

static void RunSimpleDetailedTest(ITree* prototype, const std::string& treeName, std::vector<int>& data) {
    std::cout << "\n--- Детальный тест " << treeName << " ---" << std::endl;
    std::cout << "Размер данных: " << data.size() << std::endl;

    const int TOTAL_RUNS = 15;
    std::vector<long long> insertTimes, searchTimes, removeTimes;

    for (int run = 0; run < TOTAL_RUNS; ++run) {
        std::unique_ptr<ITree> tree(prototype->Copy());

        // Вставка
        auto start = std::chrono::high_resolution_clock::now();
        for (int key : data) tree->Insert(key);
        auto end = std::chrono::high_resolution_clock::now();
        insertTimes.push_back(std::chrono::duration_cast<std::chrono::milliseconds>(end - start).count());

        // Поиск (на уже заполненном дереве)
        start = std::chrono::high_resolution_clock::now();
        for (int key : data) tree->Search(key);
        end = std::chrono::high_resolution_clock::now();
        searchTimes.push_back(std::chrono::duration_cast<std::chrono::milliseconds>(end - start).count());

        // Удаление (на уже заполненном дереве, удаляем половину)
        int removeCount = static_cast<int>(data.size() / 2);
        start = std::chrono::high_resolution_clock::now();
        for (int i = 0; i < removeCount; i++) {
            tree->Remove(data[i]);
        }
        end = std::chrono::high_resolution_clock::now();
        removeTimes.push_back(std::chrono::duration_cast<std::chrono::milliseconds>(end - start).count());
    }

    auto printSimpleStats = [](const std::string& op, const std::vector<long long>& times) {
        if (times.empty()) return;

        long long min = times[0];
        long long max = times[0];
        long long sum = 0;

        for (auto t : times) {
            if (t < min) min = t;
            if (t > max) max = t;
            sum += t;
        }

        double avg = static_cast<double>(sum) / times.size();

        std::cout << op << " - Мин: " << min << " мс, Макс: " << max << " мс, Среднее: " << avg << " мс" << std::endl;
    };

    printSimpleStats("Вставка", insertTimes);
    printSimpleStats("Поиск", searchTimes);
    printSimpleStats("Удаление", removeTimes);
}

```

Рис. 2. Код метода RunSimpleDetailedTest

```

43 int main()
44 {
45     SetConsoleOutputCP(1251);
46     std::cout << "=== СТАБИЛЬНОЕ ТЕСТИРОВАНИЕ ДЕРЕВЬЕВ ===\n";
47     AVL_recursive avl;
48     Treap_recursive treap;
49     RedBlackTree_hybrid blackRedTree;
50     StdSetWrapper stdSet;
51     AATree_simple aaTree;
52
53     auto data = StableBenchmark::GenerateRandomData(500000);
54     auto dataSorted = StableBenchmark::GenerateSortedData(500000);
55     auto dataReverted = StableBenchmark::GenerateReverseSortedData(500000);
56
57     std::cout << "\n=====AVL=====";
58     StableBenchmark::RunSimpleDetailedTest(&avl, "AVL_recursive --random", data);
59     StableBenchmark::RunSimpleDetailedTest(&avl, "AVL_recursive --sorted", dataSorted);
60     StableBenchmark::RunSimpleDetailedTest(&avl, "AVL_recursive --reversed", dataReverted);
61
62     std::cout << "\n=====Treap=====";
63     StableBenchmark::RunSimpleDetailedTest(&treap, "Treap_recursive --random", data);
64     StableBenchmark::RunSimpleDetailedTest(&treap, "Treap_recursive --sorted", dataSorted);
65     StableBenchmark::RunSimpleDetailedTest(&treap, "Treap_recursive --reversed", dataReverted);
66
67     std::cout << "\n=====BlackRedTree=====";
68     StableBenchmark::RunSimpleDetailedTest(&blackRedTree, "BlackRedTree --random", data);
69     StableBenchmark::RunSimpleDetailedTest(&blackRedTree, "BlackRedTree --sorted", dataSorted);
70     StableBenchmark::RunSimpleDetailedTest(&blackRedTree, "BlackRedTree --reversed", dataReverted);
71
72     std::cout << "\n=====AATree=====";
73     StableBenchmark::RunSimpleDetailedTest(&aaTree, "AATree --random", data);
74     StableBenchmark::RunSimpleDetailedTest(&aaTree, "AATree --sorted", dataSorted);
75     StableBenchmark::RunSimpleDetailedTest(&aaTree, "AATree --reversed", dataReverted);
76
77     std::cout << "\n=====std::set=====";
78     StableBenchmark::RunSimpleDetailedTest(&stdSet, "std::set --random", data);
79     StableBenchmark::RunSimpleDetailedTest(&stdSet, "std::set --sorted", dataSorted);
80     StableBenchmark::RunSimpleDetailedTest(&stdSet, "std::set --reversed", dataReverted);
81     return 0;
82 }

```

Рис. 3. Код основной программы

Кроме того, в тестирование также был включен set стандартной библиотеки C++, так как он реализован на красно-чёрном дереве. Наша реализация красно-чёрного дерева была значительно быстрее стандартного контейнера, это мы приняли как показатель правильности написанной структуры (стандартный контейнер должен быть медленнее из-за накладных расходов).

Пример вывода результатов тестирования для 500,000 элементов для красно-чёрного дерева показаны на рис. 4.

```

=====BlackRedTree=====
--- Детальный тест BlackRedTree --random ---
Размер данных: 500000
Вставка - Мин: 279 мс, Макс: 335 мс, Среднее: 298.333 мс
Поиск - Мин: 239 мс, Макс: 394 мс, Среднее: 271.8 мс
Удаление - Мин: 162 мс, Макс: 199 мс, Среднее: 171.8 мс

--- Детальный тест BlackRedTree --sorted ---
Размер данных: 500000
Вставка - Мин: 82 мс, Макс: 109 мс, Среднее: 92.3333 мс
Поиск - Мин: 44 мс, Макс: 71 мс, Среднее: 47.0667 мс
Удаление - Мин: 31 мс, Макс: 43 мс, Среднее: 33.9333 мс

--- Детальный тест BlackRedTree --reversed ---
Размер данных: 500000
Вставка - Мин: 76 мс, Макс: 97 мс, Среднее: 85.6667 мс
Поиск - Мин: 44 мс, Макс: 61 мс, Среднее: 49.4 мс
Удаление - Мин: 27 мс, Макс: 34 мс, Среднее: 29.2 мс

```

Рис. 4. Пример вывода результата тестирования

Полные результаты собраны в табл. 1 (представлено среднее время выполнения программы). Результаты для отсортированных по убыванию чисел совпадают с результатами для отсортированных по возрастанию чисел, поэтому они не включены в таблицу.

Таблица 1

Сравнение скорости операций различных деревьев.

| Дерево, данные | Скорость вставки 500,000 элементов | Скорость поиска 500,000 элементов | Скорость удаления 250,000 элементов |
|----------------------|------------------------------------|-----------------------------------|-------------------------------------|
| AVL, случ. | 662.867 мс | 276.267 мс | 381.667 мс |
| AVL, сорт. | 315.267 мс | 49.266 мс | 126.267 мс |
| Treap, случ. | 475.667 мс | 436.6 мс | 246.333 мс |
| Treap, сорт. | 76.8 мс | 55.6 мс | 32.266 мс |
| Красно-чёрное, случ. | 298.333 мс | 271.8 мс | 171.8 мс |

| | | | |
|----------------------|------------|------------|------------|
| Красно-чёрное, сорт. | 92.333 мс | 47.067 мс | 33.933 мс |
| Андерссона, случ. | 419.667 мс | 266.733 мс | 403.267 мс |
| Андерссона, сорт. | 147.667 мс | 47.2 мс | 126.867 мс |
| std::set, случ. | 580.933 мс | 506.067 мс | 401.333 мс |
| std::set, сорт. | 477.4 мс | 247.667 мс | 187 мс |

Анализ

Для анализа не будем брать данные стандартного контейнера.

Сравним деревья по скорости вставки. Лидер на случайных числах – красно-чёрное дерево. Дерево Андерссона показывает результат примерно на 30% медленнее. Худший – у AVL. На отсортированных данных декартово дерево работает быстрее всего. Красно-чёрное дерево работает на 20% медленнее. Дерево Андерссона почти в два раза медленнее декартового, AVL – здесь худший.

Далее сравним деревья по скорости поиска. В силу строгости своих балансировок, AVL, красно-чёрное и AA деревья показывают одинаковую скорость поиска. Tgear здесь худший и на случайных и на отсортированных числах. Стоит также отметить, что на отсортированных и случайных числах поиск показывает значительно разные результаты, хотя высота деревьев в этих случаях остается одинаковой. Предположительно это происходит из-за того, что процессор лучше использует кэш для поиска последовательных данных.

Наконец, сравним скорость удаления элементов из деревьев. Здесь лидирует красно-чёрное дерево. Да, есть разница в полторы миллисекунды между ним и декартовым деревом на отсортированных данных, однако на больших объемах данных (5 000 000 элементов) разрыв в производительности не изменился, при этом красно-чёрное дерево демонстрирует чуть более высокую скорость удаления. Дерево Андерссона и AVL дерево показывают приблизительно одинаковый результат.

Заключение

Как показал сравнительный анализ деревьев, среди выбранных структур нет явного победителя во всем. Да, красно-чёрное дерево оправдывает свою репутацию, как одно из самых эффективных решений, однако оно все еще

уступает во времени вставки отсортированных данных декартовому дереву, и сложно в своей реализации.

В качестве итога можно сформулировать практические рекомендации:

Для большинства универсальных случаев красно-черное дерево — самый безопасный и эффективный выбор.

Если погоня за каждой миллисекундой – не ваша главная цель, но при этом необходимо что-то стабильно быстрое и надежное, при этом не столь сложное в своей реализации, как упомянутое выше дерево, можно использовать достаточно быстрое и более легкое в реализации AA-дерево или Treap.

Если существует риск вставки упорядоченных последовательностей, Treap также может быть идеальным кандидатом.

Если важна только гарантированно высокая скорость поиска данных, и при этом необходима простая реализация, то AVL хорошо подойдет под такие требования, так как он достаточно прост, относительно других рассмотренных деревьев.

Окончательный же выбор должен всегда подтверждаться профилированием на реальных данных и под конкретную задачу.

Библиографический список

1. Кормен, Т. Алгоритмы: построение и анализ / Т. Кормен, Ч. Лейзерсон, Р. Ривест, К. Штайн. – 3-е изд. – Москва: Вильямс, 2011. – 1296 с.
2. Кнуг, Д. Искусство программирования. Том 1. Основные алгоритмы / Д. Кнуг. – Москва: Вильямс, 2018. – 720 с.
3. Седжвик, Р. Фундаментальные алгоритмы на C++ / Р. Седжвик. – Москва: Вильямс, 2011. – 1056 с.
4. Дасгупта, С. Алгоритмы / С. Дасгупта, Х. Пападимитриу, У. Вазирани. – Москва: МЦНМО, 2014. – 320 с.
5. Дискретная математика: учеб. пособие / [С. С. Поречный и др.]; Уфимск. гос. авиац. техн. ун-т. – Уфа: РИК УГАТУ, 2019. – 400 с.

© Шапошников И.А., Мирсаяпов Р.А., 2025

Г.А. Юлдашева

gulshatyuldasheva130104@gmail.com

Науч. руковод. – д.т.н., профессор Н.М. ШЕРЫХАЛИНА

Уфимский университет науки и технологий

АВТОМАТИЗАЦИЯ ПРОЦЕССА РАСПРЕДЕЛЕНИЯ ЗАДАЧ МЕЖДУ СОТРУДНИКАМИ

Аннотация: в статье представлена сравнительная характеристика решений задачи Коши. В статье рассмотрены вопросы автоматизации процесса распределения задач между сотрудниками организации. Проведён анализ существующих подходов и выделены основные проблемы ручного распределения. Описана концептуальная модель автоматизированной системы распределения задач, основанная на учёте приоритетов, компетенций и загрузки сотрудников. Показаны преимущества внедрения автоматизации данного процесса в рамках цифровой трансформации управления предприятием.

Ключевые слова: автоматизация, управление задачами, распределение нагрузки, цифровизация, система управления проектами, эффективность труда.

Введение

Современные организации стремятся к повышению эффективности управления и оптимизации внутренних процессов. Одним из ключевых направлений цифровизации является автоматизация процессов планирования и распределения задач между сотрудниками.

В условиях роста объёмов информации и увеличения количества выполняемых проектов ручное распределение задач становится неэффективным. Менеджеры тратят значительное время на координацию, при этом часто возникают ошибки и неравномерная загрузка сотрудников. Это снижает производительность труда и влияет на сроки выполнения проектов.

Целью данной работы является рассмотрение подходов к автоматизации процесса распределения задач между сотрудниками и формирование модели, способной повысить прозрачность и управляемость этого процесса.

1. Анализ существующих методов распределения задач

На практике широко применяются различные инструменты управления задачами – такие как Trello, Jira, Bitrix24, Asana. Они предоставляют средства для постановки, отслеживания и контроля задач, однако решение о назначении исполнителя чаще всего принимает человек.

При ручном подходе распределение задач опирается на субъективные факторы: личный опыт менеджера, знание возможностей команды, интуицию. В результате возникают следующие проблемы:

- неравномерная загрузка сотрудников;
- назначение задач без учёта компетенций;
- сложности в контроле сроков;
- потеря прозрачности выполнения.

Таким образом, необходим переход к автоматизированной системе распределения, которая способна анализировать данные о задачах и сотрудниках, формируя оптимальные решения.

2. Концепция автоматизации процесса распределения задач

Автоматизация предполагает использование программной системы, которая на основе заданных критериев осуществляет назначение задач сотрудникам.

Основные функции такой системы:

- приём и регистрация новых задач;
- анализ характеристик задачи (приоритет, сложность, срок);
- учёт текущей занятости сотрудников;
- подбор подходящего исполнителя;
- уведомление участников о назначении;
- контроль выполнения и отчётность.

Модель работы системы можно представить в виде следующей логической последовательности:

- Руководитель формирует задачу и указывает ключевые параметры.
- Система анализирует базу данных сотрудников: компетенции, загрузку, производительность.
- На основе алгоритма (например, взвешенного балла приоритетов) выбирается оптимальный исполнитель.
- Результаты назначений сохраняются и отображаются в интерфейсе менеджера.

В основе логики распределения может использоваться модель приоритетов, где каждый критерий имеет весовой коэффициент:

$Оценка = \omega_1 * P + \omega_2 * C + \omega_3 * L$, где P — приоритет задачи, C — соответствие компетенций, L — текущая загрузка сотрудника, ω_i — веса критериев.

3. Преимущества внедрения автоматизации

Внедрение автоматизированного механизма распределения задач позволяет достичь ряда существенных преимуществ:

- сокращение времени на планирование работы;
- повышение прозрачности и объективности распределения;

- равномерная загрузка персонала;
- минимизация человеческого фактора;
- улучшение дисциплины исполнения и контроля сроков;
- повышение общей эффективности подразделения.

Кроме того, наличие автоматизированной системы позволяет собирать статистику по выполненным задачам, что создаёт основу для аналитики производительности и принятия управленческих решений.

4. Практическая значимость и направления дальнейшего развития

Разработка и внедрение подобных систем актуальны для компаний любого масштаба — от малых предприятий до крупных корпораций.

В дальнейшем развитие системы может включать:

- интеграцию с существующими платформами управления проектами (например, 1С, Bitrix24, Jira);
- использование искусственного интеллекта для прогнозирования сроков и эффективности сотрудников;
- визуализацию распределения нагрузки в виде диаграмм и дашбордов;
- адаптацию интерфейса под мобильные устройства.

Таким образом, автоматизация распределения задач становится частью общей стратегии цифровой трансформации управления предприятием.

Заключение

Автоматизация процесса распределения задач между сотрудниками является важным направлением повышения эффективности управленческой деятельности.

Предложенная модель системы позволяет обеспечить рациональное распределение заданий с учётом компетенций, загрузки и приоритетов. Это способствует улучшению организации труда, сокращению временных затрат и повышению качества выполнения проектов.

Дальнейшие исследования могут быть направлены на разработку алгоритмов интеллектуального распределения и их интеграцию с корпоративными информационными системами.

Библиографический список

1. Автоматизация процессов управления персоналом: современные подходы и решения // Управление организацией. – 2023. – №4. – С. 25–32.
2. Bitrix24. Корпоративный портал. – Режим доступа: <https://www.bitrix24.ru/>
3. Jira Software. Task Management System. – Режим доступа: <https://www.atlassian.com/ru/software/jira>
4. Чернышев П.В. Информационные технологии в управлении проектами. – М.: ИНФРА-М, 2022. – 218 с.

5. Зиновьев А.А. Цифровизация управления: инструменты и тенденции. – СПб.: Питер, 2021. – 304 с.

6. Дьяков И.С. Системы поддержки принятия решений в управлении организацией. – М.: Наука, 2020. – 176 с.

7. Trello. Visual Collaboration Tool. – Режим доступа: <https://trello.com/>

© Юлдашева Г. А., 2025

УДК 519.6

В.О. ЮРЬЕВ, О.Э. ВАФИН

mainerdest@list.ru, oskarvafin@gmail.com

Науч. руковод. – д-р техн. наук, профессор Н.М. ШЕРЫХАЛИНА

Уфимский университет науки и технологий

СОВРЕМЕННЫЕ ПОДХОДЫ К РЕШЕНИЮ ЗАДАЧИ КРАТЧАЙШЕГО ПУТИ В ГРАФАХ

Аннотация: определение кратчайшего пути между двумя точками в графе является одной из ключевых проблем в теории графов. В работе сравниваются несколько алгоритмов, а именно Форда-Беллмана, Флойда-Уоршелла и Дейкстры. Эффективность данных методов определяется в зависимости от поставленной задачи.

Ключевые слова: алгоритмы Дейкстры, Форда-Беллмана, Флойда-Уоршелла, задачи поиска кратчайших путей.

Введение

В данной работе сравниваются различные алгоритмы поиска кратчайших путей в графах, такие как: Дейкстра, Форд-Беллман и Флойд-Уоршелл.

Целью является поиск кратчайшего пути в графе между двумя парами точек. При этом веса у ребер могут быть отрицательными и положительными. С разной структурой или количеством вершин.

Каждый из представленных алгоритмов имеет недостатки и достоинства. Анализ позволит определить направления, в которых каждый из алгоритмов наиболее эффективен и универсален.

Описание алгоритма Флойда-Уоршелла

В алгоритме Флойда-Уоршелла создаётся квадратная матрица размером V на V , где V — это количество вершин в графе. В ячейках этой матрицы будут храниться значения расстояний между парами вершин. На диагонали, то есть в ячейках, где указана одинаковая вершина — записывается ноль. Если между двумя вершинами есть ребро — указывается его вес. Если нет, то бесконечность (∞).

Он рассматривает её как возможную промежуточную точку на пути между другими вершинами. Для каждой перебираем пары оставшихся сочетаний. При прохождении через промежуточную вершину, путь должен быть меньше двух других вершин.

В матрице есть отрицательные циклы, если на главной диагонали существуют отрицательные значения. Для восстановления длины путей можно создать дополнительную таблицу родителей.

Алгоритм работает с ориентированными графами, в том числе с отрицательными весами. Но с ними он неэффективен.

Описание алгоритма Беллмана-Форда

В алгоритме Форда-Беллмана на первом шаге создаётся массив $R[i]$ расстояниями от начальной вершины до остальных.

В ребрах вместо бесконечности (∞) указывается вес ребра между текущими вершинами. Если же расстояние до вершины уже определено (то есть $R[m]$ не бесконечность), и если сумма этого пути и веса ребра $w(m,n)$ меньше текущего значения $R[n]$, то это значит, что мы нашли более короткий путь до вершины n . Тогда мы обновляем значение $R[n]$, присваивая ему это меньшее значение — $R[m] + w(m,n)$.

Третий шаг — повторение предыдущего шага (проверка и обновление расстояний) столько раз, сколько вершин в графе минус один, то есть $|V| - 1$ раз. Это нужно потому, что при каждом проходе обновляются расстояния, и за $|V| - 1$ проход можно гарантированно найти все кратчайшие пути.

Если в какой-то момент ни одно значение $R[i]$ не изменилось, значит, все кратчайшие пути уже найдены, либо, возможно, до некоторых вершин в данной конкретной ситуации нельзя добраться.

На четвёртом шаге алгоритм проверяет, есть ли в графе отрицательные циклы — это такие замкнутые маршруты, в которых значение пути является отрицательным. Для проверки мы ещё раз идём по рёбрам: если найдено ребро (u, v) , для которого выполняется неравенство $R[u] + w(u,v) < R[v]$, следовательно, значение пути может измениться в меньшую сторону, что является осуществимым лишь при существовании отрицательного цикла. В таком случае найти кратчайший путь не представляется возможным, потому что цикл позволяет бесконечно уменьшать сумму. Если же таких рёбер не осталось, значит, кратчайшие пути найдены правильно, и в массиве $R[i]$ лежат верные значения.

Данный алгоритм, созданный Ричардом Беллманом, а также Лестером Фордом, обладает важным свойством - он способен выявлять отрицательные циклы.

Описание алгоритма Дейкстры

Алгоритм Дейкстры не умеет работать с отрицательными весами, а также неспособен находить отрицательные циклы.

Определяем стартовую вершину и создаем таблицу с расстояниями от нее до вершин. Расстояние до начальной вершины равно нулю, а для других бесконечность.

Создаем очередь, в которую помещаем вершины и расстояние. Сравниваем полученное расстояние с тем, что уже записано в таблице. Если оно оказалось больше, переходим к следующей.

Если же расстояние совпадает с тем, что в таблице, или оказывается меньше, мы продолжаем. Рассматриваем все вершины, с которыми текущая вершина напрямую связана, — это её соседи в графе. Для каждого такого соседа вычисляем возможную длину пути от стартовой вершины, проходя через текущую. Иначе говоря, складываем расстояние до текущей и длину ребра, соединяющего её с соседом.

Если новый путь до соседней вершины короче уже известного, то обновляем значение в таблице — записываем новое, меньшее расстояние.

Соседа с новым расстоянием добавляем в очередь и анализируем его связи. Повторяем, пока очередь не опустеет.

Сравнение и анализ алгоритмов

Учитывая структуру, наличие отрицательных ребер и их поиск, сложность, эффективность при больших значениях и универсальность, мы составили сравнительную таблицу данных алгоритмов (табл. 1).

Таблица 1

Сравнительная таблица алгоритмов поиска кратчайших путей

| Критерий | Название алгоритма | | |
|----------------------------------|---|---|--|
| | Алгоритм Дейкстры | Алгоритм Беллмана–Форда | Алгоритм Флойда–Уоршелла |
| Тип задачи | От определенной вершины ко всем | От определенной вершины ко всем | Расстояния между каждой из вершин |
| Структура графа | Граф, не имеющий отрицательных ребер и являющийся разреженным | Граф, который может иметь или не иметь отрицательны ребра | Загруженный граф |
| Наличие отрицательных рёбер | Не допускаются | Допускаются | Допускаются, но без отрицательных циклов |
| Обнаружение отрицательных циклов | Нет | Да | Нет |
| Сложность (в худшем случае) | $O(V^2)$ или $O((V + E) \log V)$ при использовании кучи | $O(V \cdot E)$ | $O(V^3)$ |

Продолжение таблицы 1

| | | | |
|----------------------------------|--|---|---|
| Эффективность для больших графов | Высокая (при отсутствии отрицательных рёбер) | Средняя (медленнее Дейкстры, но универсальна) | Низкая (подходит только для малых и средних графов) |
| Гибкость | Низкая (только неотрицательные рёбра) | Высокая (работает с любыми весами, проверяет циклы) | Средняя (все пары, но нет защиты от циклов) |
| Принцип работы | Жадный алгоритм | Динамическое программирование | Динамическое программирование |
| Промежуточные вершины | Неявно | Неявно | Явно |

Заключение

Алгоритм необходимо выбирать в зависимости от критериев. К ним относятся: структура, наличие отрицательных ребер, сложность и эффективность. В ходе исследования составлена сравнительная таблица, а также проанализированы все три алгоритма.

Библиографический список

1. Левитин А. В. Алгоритмы: введение в разработку и анализ. – М.: Вильямс, 2006. –189-195 с.
2. Шварц Р. Дискретная математика для программистов. М.: «ДМК Пресс», 2009.
3. Руднев В. Ю. Прикладная математика. – Москва, 2010.
4. Томас Х. К. Алгоритмы: построение и анализ. – М.: МЦНМО, 2004. – 523 с.
5. Листопад Н.И. Воротницкий Ю.И., Хайдер А.А. Оптимальная маршрутизация в мультисервисных сетях телекомму-никаций на основе модифицированного алгоритма Дейкстры. Вестник БГУ, серия 1. – 2015. – 1. – 70-76 с.
6. Коган Е. С. Модификация алгоритма Дейкстры для нахождения кратчайшего пути в ориентированном графе. М.: За-байкальский государственный университет, 2022. –43-45 с.
7. Коган Е. С. Графы. Алгоритм нахождения кратчайшего пути. М.: МЦНС «Наука и Просвещение», 2018. –49-51 с.
8. Соколова А. А. Алгоритмы на графах. М.: Сибирский институт бизнеса, управления и психологии, 2017. –318-321 с.

9. Перец Р. В. Анализ алгоритмов задачи поиска оптимальных путей. М.: «Наука и Просвещение (ИП Гуляев Г.Ю.)», 2021. –11-14 с.
10. Маткурбанов Т. А. Анализ алгоритмов задачи поиска оптимальных путей. М.: Санкт-Петербургский государствен-ный лесотехнический университет им. С.М. Кирова, 2024. –106-112 с.
11. Смелов В. В. Мороз Л. С. Алгоритмы на графах и их реализации на C++. М.: БГТУ, 2011.
12. Иванова Е. О. Графы. Алгоритм нахождения кратчайшего пути. МЦНС "Наука и Просвещение", 2018 с. –49- 51 с.
13. Воронин В.В. Бахрушина Г. И. Поиск кратчайшего пути во взвешенном орграфе с помощью алгоритма Беллмана-Форда. М.: Тихоокеанский государственный университет, 2021. –53-55 с.
14. Фатыхов И. Д. Кашапов Т. И., Нуртдинов Р. С. Алгоритм Форда-Беллмана поиска кратчайшего пути в графе с отри-цательной стоимостью. М.: ЗАО "Университетская книга", 2024. –340-343 с.
15. Бойченко П. В. Деменкова Е. А. Анализ существующих алгоритмов решения задачи нахождения кратчайшего пути. М.: Тамбовский государственный технический университет, 2016. –147-151 с.
16. Балапанова Г. Б. Задача о кратчайшем пути на графе. М.: ИП Шелистов Денис Александрович (Издательский центр "Quantum"), 2018. –405-408 с.
17. Пронникова Т. Ю. Алгоритмы теории графов. М.: ИП Зоркин Владимир Анатольевич, 2021. -1536-1542 с.
18. Поречный, С. С., Житникова, Н. И., Шерыхалина, Н. М., Ураков, А. Р. Дискретная математика / С. С. Поречный, Н. И. Житникова, Н. М. Шерыхалина, А. Р. Ураков – Уфа: РИК УГАТУ, 2019. 400 с.

© Юрьев В.О., Вафин О.Э., 2025

Ю.Р. ЮСУПОВА, В.В. ПЛОТНИКОВ

jusupova.julia19@gmail.com, vplotnikov16@yandex.ru

Науч. руковод. – д-р. техн. наук, профессор Н.М. ШЕРЫХАЛИНА

Уфимский университет науки и технологий

МЕТОД ГРАДИЕНТНО-ВЗВЕШЕННОГО ОТОБРАЖЕНИЯ АКТИВАЦИЙ КЛАССА ДЛЯ ИНТЕРПРЕТАЦИИ РЕШЕНИЙ СВЁРТОЧНЫХ НЕЙРОННЫХ СЕТЕЙ

Аннотация: в данной статье рассматриваются принципы работы Grad-CAM (Gradient-weighted Class Activation Mapping, градиентно-взвешенное отображение активаций класса), его математическая формулировка и практическое применение интерпретации решений свёрточных нейронных сетей, а также примеры использования в различных областях.

Ключевые слова: Grad-CAM; CNN; интерпретация модели; визуализация; тепловая карта.

Введение

В задачах классификации объектов на изображении широко используются свёрточные нейронные сети (CNN). Их развитие достигло впечатляющих результатов в области компьютерного зрения, однако результаты сетей, использующих свёрточные слои, трудно интерпретировать. Специалистам разных областей в момент инференса важно понимать, какие части изображения (признаки) повлияли на решение модели во время классификации. Метод визуализации Grad-CAM, помогает интерпретировать результаты модели и снизить риски предвзятости.

Grad-CAM – расширение метода CAM (Class Activation Mapping, отображения активаций класса), которое позволяет создавать тепловые карты для любой архитектуры CNN, без необходимости модифицировать её структуру. Он использует градиенты для вычисления важности карт признаков последнего свёрточного слоя, что позволяет визуализировать области изображения, наиболее влияющие на прогноз. Схема работы модели Grad-CAM изображена на Рис. 7.

Формулировка метода Grad-CAM

Рассмотрим исходное изображение I_1 . Задача составления тепловой карты, показывающей, какие признаки повлияли на классификацию больше остальных, заключается в определении градиентов выхода модели относительно карт признаков последнего свёрточного слоя.

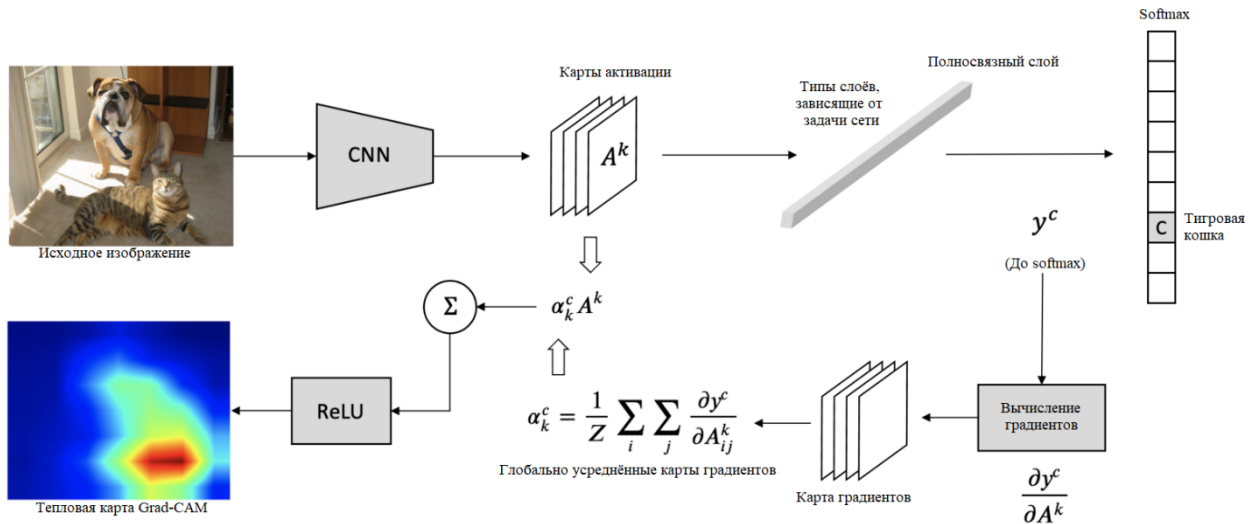


Рис. 8. Схема работы Grad-CAM

Для решения данной задачи первым делом необходимо провести исходное изображение I_1 через имеющуюся свёрточную нейронную сеть. Проходя через каждый слой, по каждому каналу k извлекаем соответствующие карты признаков $A_k \in \mathbb{R}^{H \times W \times D}$, содержащие пространственную информацию о признаках изображения, выделенных нейронной сетью, где H и W обозначают высоту и ширину карты признаков, а D – размерность признакового пространства; получаем необработанные выходные значения модели (они же логиты) y_c для каждого класса $c \in \mathcal{C}$. Использование карт признаков последнего свёрточного слоя обусловлено тем, что они несут наиболее высокоуровневую и семантически значимую информацию, сохраняя при этом пространственные детали, что критически важно для построения точной карты внимания.

В зависимости от решаемой задачи, выбираем тот класс c , который по значению логита наиболее отличим (например, $\max_{c \in \mathcal{C}} y_c$). Для того чтобы отразить, насколько изменение значения конкретного признака на конкретной позиции по карте признаков A_k повлияет на итоговую оценку класса c на выбранном слое, вычислим градиенты выхода модели:

$$\frac{\partial y_c}{\partial A_k(i,j)}, \quad (1)$$

где i и j – координаты пикселя в карте признаков.

Сформируем по каждому пикселю карты признаков A_k для класса c веса путем глобального усреднения градиентов:

$$a_k^{(c)} = \frac{1}{H \times W} \sum_i \sum_j \frac{\partial y_c}{\partial A_{ij}^k}. \quad (2)$$

Деление на $H \times W$ выполняется с целью нормализации весов по всей карте признаков. Полученные веса отражают общий вклад карты признаков k в предсказание класса c . Заметим, что чем больше вес карты признаков A_k , тем сильнее она оказывает влияние на результат прогнозирования.

Для формирования тепловой карты, необходимо вычислить взвешенную сумму по всем каналам k каждой карты признаков A_k . Однако на карте могут наблюдаться шумы и артефакты, полученные случайными отрицательными выбросами модели, поэтому по результату необходимо применить функцию ReLU:

$$L_{Grad-CAM}^{(c)} = ReLU(\sum_k a_k^{(c)} A_k), \quad (3)$$

Для того чтобы данный подход не имел значительного влияния на время инференса, выполняют предварительное масштабирование изображения и признакового пространства до меньших размерностей, а перед самым выходом – обратным масштабированием до полного размера.

Применимость Grad-CAM

Подходы, применяемые в описанном в статье методе, имеют применение не только в задачах классификации, но и другим задачам обработки изображений: визуальной регрессии, обнаружению объектов, сегментации и прочее. Так, например, при распознавании рентгеновских снимков специалисты в области медицины могут проверить достоверность результата классификации, построив по методу Grad-CAM тепловую карту с отличительными признаками.

Заключение

Метод градиентно-взвешенного отображения активация класса является эффективным инструментом для интерпретации решений свёрточных нейронных сетей. Метод Grad-CAM является универсальным подход ввиду своей легкой применимости к любым архитектурам CNN без необходимости модификации их структуры.

Благодаря простоте реализации и наглядной визуализации Grad-CAM становится ценным инструментом как для исследователей, так и для практиков в области компьютерного зрения.

Библиографический список

1. Селвараджу Р. Р., Когсвелл М., Дас А., Ведантам Р., Парих Д., Батра Д. Grad-CAM: визуальные объяснения глубоких нейронных сетей посредством локализации на основе градиентов // Труды Международной конференции по компьютерному зрению (ICCV). – 2017. – С. 618–626.
2. Молнар К. Интерпретируемое машинное обучение: руководство по объяснению моделей-«чёрных ящиков». – 2-е изд. – Швейцария: Christoph Molnar, 2025. – 392 с.

3. Улянин С. Grad-CAM для сети ResNet152 // Статья на Medium. – 2019.
– URL: <https://clck.ru/3QDuSx> (дата обращения: 09.10.2025)

© Юсупова Ю.Р., Плотников В.В., 2025

СЕКЦИЯ 5.3. АНАЛИЗ ДАННЫХ, ИСКУССТВЕННЫЙ ИНТЕЛЛЕКТ И МАШИННОЕ ОБУЧЕНИЕ

УДК 577.29

Е.А. АНДРЕЕВА Э.Т. АМИНОВА С.С. АЛЕКСАНДРОВА

ekaterinabiology@yandex.ru

Науч. руковод. – канд. биол. наук, Д.С. ПРОКОФЬЕВА

Уфимский университет науки и технологии

Уральский медицинский институт

ИССЛЕДОВАНИЕ АССОЦИАЦИИ ПОЛИМОРФНОГО ЛОКУСА RS11549465/*HIF1A* С РИСКОМ РАЗВИТИЯ ЗЛОКАЧЕСТВЕННЫХ НОВООБРАЗОВАНИЙ ЖЕНСКОЙ РЕПРОДУКТИВНОЙ СИСТЕМЫ: ДАННЫЕ МЕТА-АНАЛИЗА

Аннотация: мета-анализ, интегрировавший в рамках Big Data семь исследований, не выявил статистически значимой связи полиморфизма rs11549465/*HIF1A* с онкологическим риском ($p > 0,05$). Однако высокая степень гетерогенности между исследованиями ($I^2 = 72,3\%$) указывает на необходимость работы не только с большими, но и с однородными данными для получения достоверных выводов.

Ключевые слова: *HIF1A*, полиморфизм, рак женской репродуктивной системы, онкогинекология, мета-анализ, анализ больших данных

Злокачественные новообразования (ЗНО) репродуктивной системы остаются одной из наиболее актуальных проблем современной онкологии, внося значительный вклад в структуру женской смертности во всем мире [1]. Указанный тезис диктует необходимость поиска новых молекулярно-генетических маркеров ЗНО данной группы для улучшения диагностики и прогнозирования рисков. Особую перспективу в этом направлении открывают методы анализа больших данных, которые позволяют интегрировать и обрабатывать обширные геномные наборы данных. Мета-анализ является одной из форм работы с Big Data, позволяющих выявлять статистически значимые, но слабые генетические ассоциации, которые с большим трудом обнаруживаются в отдельных исследованиях.

Белковый продукт ген *HIF1A* является ключевым регулятором клеточного ответа на гипоксию — универсальное условие для роста солидных опухолей, что делает его центральным элементом в изучении канцерогенеза. Его функциональный полиморфизм rs11549465 (p.Pro582Ser) оказывает влияние на процесс трансляции его мРНК, изменяя свойства конечного белка [2].

Целью исследования является изучение взаимосвязи варибельного локуса rs11549465 гена *HIF1A* с риском развития злокачественных новообразований органов женской репродуктивной системы методом мета-анализа.

Методология исследования включала систематический поиск в релевантных базах данных (PubMed, Web of Science, Google Scholar, eLibrary и КиберЛенинка) с последующим отбором. Критериям включения соответствовали исследования типа «случай–контроль», в которых детализировалось распределение генотипов полиморфизма rs11549465/*HIF1A* среди пациенток со злокачественными новообразованиями органов женской репродуктивной системы и в группе контроля, а также приводились данные, соответствующие распределению Харди–Вайнберга ($p > 0.05$). Из анализа исключались дублирующиеся публикации, работы с отсутствием полного текста и те, в которых не были представлены частоты генотипов. В окончательный мета-анализ были включены 7 исследований, включающие данные о 1363 случаях заболевания и 1207 женщинах контрольной группы. Таким образом, итоговый систематический поиск содержал пять исследований по раку молочной железы [3-7] и два — по раку яичников [2,7]. Статистический анализ и расчет суммарных показателей были выполнены в среде R. Для оценки ассоциации полиморфизма rs11549465 с риском развития заболеваний было рассчитано объединенное отношение шансов (OR) с 95% доверительным интервалом (CI) в рамках аддитивной модели. Степень гетерогенности исследований оценивалась с помощью статистики I^2 .

На Рисунке 1 представлен лес-график, отображающий объединенные оценки ассоциации локуса rs11549465 гена *HIF1A* с риском злокачественных новообразований женской репродуктивной системы.

Проведенный мета-анализ не выявил статистически значимой ассоциации между локусом rs11549465 гена *HIF1A* и риском злокачественных новообразований женской репродуктивной системы как в модели фиксированных эффектов (OR=1.04, 95% CI: 0.88-1.22, $p=0.65$), так и в модели случайных эффектов (OR=0.86, 95% CI: 0.59-1.25, $p=0.42$). Однако мы обнаружили значительную гетерогенность между исследованиями ($I^2=72.3\%$, $p=0.001$). Причиной высокой гетерогенности вероятнее всего, являются такие факторы, как этническая неоднородность выборки, а также различия в спектре исследуемых заболеваний.

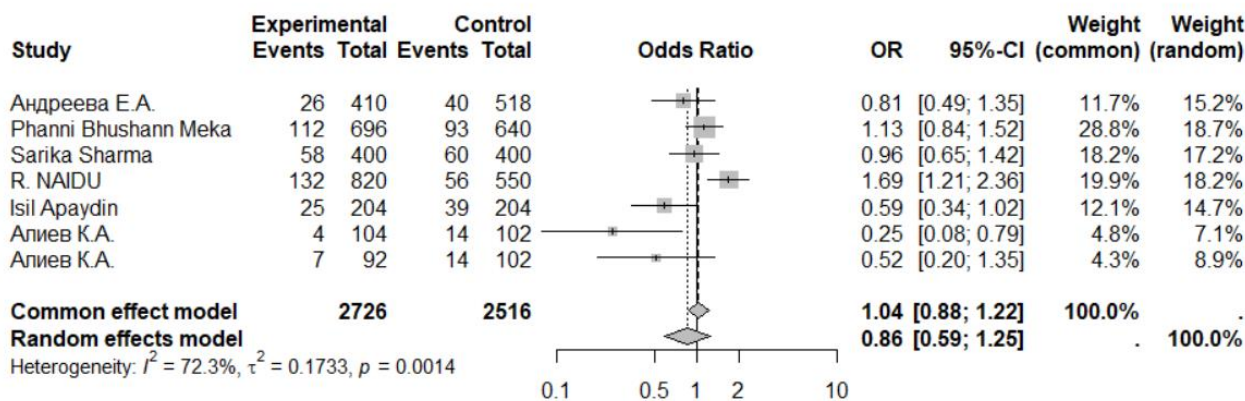


Рис. 1. Результаты мета-анализа ассоциации полиморфизма rs11549465 гена *HIF1A* с риском ЗНО женской репродуктивной системы (аддитивная модель).

Настоящий мета-анализ не продемонстрировал статистически значимой ассоциации между варибельным локусом rs11549465 гена *HIF1A* и риском злокачественных новообразований органов женской репродуктивной системы. Высокая гетерогенность между исследованиями ($I^2 = 72,3\%$) ограничивает надежность выводов и указывает на необходимость дальнейших исследований с более однородными популяциями.

Библиографический список

1. Файзуллина З. Р. и др. Роль нанотехнологий в диагностике и лечении злокачественных новообразований женской репродуктивной системы //Акушерство, гинекология и репродукция. – 2025. – Т. 19. – №. 4. – С. 590-607.
2. Андреева Е. А. и др. Поиск ассоциации полиморфных локусов генов HIF1A, VEGFA с риском развития рака яичников у женщин Республики Башкортостан //Сибирский онкологический журнал. – 2025. – Т. 24. – №. 1. – С. 79-91.
3. Bhushann Meka P. et al. HIF-1 α (1772C> T) polymorphism as marker for breast cancer development //Tumor Biology. – 2015. – Т. 36. – №. 5. – С. 3215-3220.
4. Sharma S. et al. No association of hypoxia inducible factor-1 α gene polymorphisms with breast cancer in North-West Indians //Asian Pacific Journal of Cancer Prevention. – 2014. – Т. 15. – №. 22. – С. 9973-9978.
5. Naidu R., Har Y. C., Taib N. A. Associations between hypoxia-inducible factor-1alpha (HIF-1alpha) gene polymorphisms and risk of developing breast cancer //Neoplasma. – 2009. – Т. 56. – №. 5. – С. 441-447.
6. Apaydin I. et al. Single nucleotide polymorphisms in the hypoxia-inducible factor-1 α (HIF-1 α) gene in human sporadic breast cancer //Archives of medical research. – 2008. – Т. 39. – №. 3. – С. 338-345.
7. Алиев К. А. и др. Полиморфизмы генов VEGF, ENOS, MMP9, MMP12, IL-6, IL-28B, TP53, HIF1A и ITGA2 у больных раком молочной железы и

раком яичников в Республике Крым //Медицинский вестник
Башкортостана. – 2025. – Т. 20. – №. 4. – С. 5-9.

© Андреева Е.А., 2025

А.Е. АНТИПОВА, Т.Р. ВАЛИАХМЕТОВ, С.А. ПОЛИТОВ
alexandra.678@mail.ru, vtimurad@gmail.com, saltair2007@yandex.ru
Науч. руковод. – канд. техн. наук, доцент Е.Ю. САЗОНОВА

Уфимский университет науки и технологий

ПРОЕКТИРОВАНИЕ ЛИЧНОГО КАБИНЕТА СТУДЕНТА КАК ЭЛЕМЕНТА ЦИФРОВОЙ ЭКОСИСТЕМЫ УНИВЕРСИТЕТА

Аннотация: статья посвящена проектированию и разработке прототипа личного кабинета студента как части цифровой экосистемы университета. Рассмотрены функциональные модули, методы обеспечения безопасности данных, инструменты повышения мотивации обучающихся.

Ключевые слова: личный кабинет студента; цифровая среда; организация учебного процесса; геймификация; персонализация; цифровая экосистема.

Введение

В условиях цифровой трансформации образования и роста требований к качеству организации учебного процесса перед современными вузами остро стоит задача создания удобных, функциональных и персонализированных цифровых сред для студентов. Существующие информационные системы университетов не всегда удовлетворяют требованиям современных пользователей. Среди основных проблем — недостаточная эргономичность интерфейсов, фрагментарность представленных данных, отсутствие персонализированных сервисов и инструментов для мотивации обучающихся, что приводит к снижению вовлеченности студентов, усложнению коммуникации и ухудшению образовательного опыта в целом.

Актуальность разработки современного личного кабинет студента обусловлена следующими факторами:

— Необходимость централизации образовательных сервисов. Современные студенты вынуждены использовать несколько разрозненных платформ (ИСУ, мессенджеры, трекеры заданий и др.), что снижает продуктивность.

— Потребность в персонализации – каждый студент уникален, и система должна адаптироваться под его цели, темп обучения и интересы.

— Важность мотивации и вовлеченности – геймификация, трекинг прогресса и система достижений способствуют повышению интереса к учёбе [1,2].

— Здоровье и баланс – такие функции, как трекер усталости и умные напоминания о перерывах, помогают сохранять физическое и ментальное здоровье в условиях высокой учебной нагрузки [3,4].

— Технологический тренд – использование PWA, голосовых помощников и адаптивного дизайна соответствует современным стандартам цифровых решений.

Целью работы является разработка прототипа личного кабинета студента «LearnSpaceUUST», который объединяет в себе все ключевые образовательные и коммуникационные функции в единой экосистеме, обеспечивая удобство, персонализацию и повышение мотивации пользователей.

Веб-приложение «Личный кабинет студента»

Авторами разработан прототип веб-приложения «Личный кабинет студента». При разработке приложения особое внимание уделялось обеспечению конфиденциальности данных пользователя. Для этого были применены следующие методы: личный вход по ФИО и паролю; автоматическое заполнение тестовых данных для демо-режима; защита сессии пользователя; выход из системы с очисткой данных.

Модуль расписания. Одна из важнейших функций нашего приложения – Расписание. Модуль обеспечивает автоматическую подгрузку расписания для выбранной группы и поддержку фильтрации по предметам, дням недели, аудиториям и времени занятий. Можно фильтровать занятия по предметам, дням, аудиториям и по времени, когда стоит пара.

Модуль успеваемости. Данный модуль является не менее важным, реализована система успеваемости и оценок. Данный раздел оснащен таблицей с предметами, расчетом среднего балла по всем предметам, визуализацией оценок (цветовое кодирование), статистикой по количеству отличных оценок, историей оценок за семестры.

Электронная зачетка. В приложении имеется электронная зачетка, в которой есть детализированная информация по каждому предмету; отображение текущих и итоговых оценок; расчет среднего балла по предмету; разделение по семестрам; прогресс обучения.

Трекер домашних заданий. Помимо базовых функций, имеется трекер домашних заданий, в котором можно создать список всех домашних заданий с приоритетами; отслеживать сроки сдачи работ; отмечать выполнение задания; фильтровать домашнее задание по предметам и статусу.

Коммуникационные инструменты. Больше не нужно постоянно переходить из одного приложения в другое, так как в экосистеме есть чаты с одноклассниками. В чатах можно общаться в режиме реального времени, есть темы сообщений (вопросы, ответы, объявления), имеются индикаторы отправителя и времени сообщения, есть автопрокрутка к новым сообщениям.

Календарь событий. Имеется удобная функция календаря событий и дедлайнов, благодаря которой можно смотреть визуальный календарь с отметками событий (академических и личных), которые разделяются с помощью цветного кодирования, а еще можно быстро просматривать ближайшие дедлайны.

Система отслеживания прогресса. Представлена визуализация прогресса по ключевым показателям: посещаемость занятий; выполненные задания; средний балл; активность в чате; прогресс-бары с анимацией; статистика в реальном времени.

Система геймификации. Веб-приложение оснащено геймификацией и системой достижений, благодаря которой повышается стимул заниматься и участвовать в общественной деятельности.

Умные заметки. С помощью функции умные заметки можно создавать, редактировать и удалять заметки в личном кабинете, привязывать заметки к предметам, создавать теги и категории, форматировать текст, а также видна дата создания и истории изменений.

Модуль учебных материалов. В приложении представлена база учебных материалов, которые можно фильтровать по предметам и темам. Кроме того, материалы к лекциям, практикам и лабораторным можно добавлять самостоятельно.

Для большей мотивации студентов имеется рейтинговая система, благодаря которой студенты более быстро и качественно выполняют задания.

Представлена персонализация интерфейса, представлены 4 темы оформления: "Просто УУНИТ" (стандартная); "УУНИТ в океане" (синяя); "УУНИТ в лесу" (зеленая); "Дарк УУНИТ" (темная).

Трекер навыков и цифровое портфолио. Добавлен трекер навыков студента, благодаря которому можно оценить его soft skills.

Создано цифровое портфолио проектов, в котором можно добавлять учебные и личные проекты; описание технологий и функционала; отслеживать статус (в работе/завершено); добавлять ссылки на демо и исходный код; визуализировать прогресс проекта.

Трекер здоровья и усталости. Благодаря трекеру усталости и здоровья можно понять, что студенту действительно нужен отдых. В такие моменты студенту будет полезна система умных перерывов, которая имеет: напоминания о перерывах по времени; разные типы перерывов (короткие, обеденные, длинные); настройка активности напоминаний; рекомендации по технике Pomodoro; советы по эффективному отдыху.

Голосовой помощник и офлайн-режим. С функцией голосового помощника больше не нужно искать, где находится та или иная функция. Достаточно просто сказать голосом запрос, что нужно и смарт система перенаправит в нужную вкладку. Если нет возможности сказать свой запрос в слух - есть обычный поисковик.

Данный функционал делает LearnSpaceUUST комплексной образовательной экосистемой, объединяющей все аспекты учебного процесса в едином удобном интерфейсе.

Заключение

Проведенная работа по проектированию и разработке прототипа личного кабинета студента «LearnSpaceUUST» подтвердила возможность создания комплексной образовательной экосистемы, интегрирующей все аспекты учебного процесса в едином интерфейсе. Реализованный прототип успешно решает ключевые проблемы современных систем управления обучением: преодолевает разрозненность учебной информации, обеспечивает персонализацию образовательной траектории и повышает мотивацию студентов за счет внедрения элементов геймификации. В дальнейшем планируется проведение тестирования среди студентов для оценки влияния предложенного решения на мотивацию и академическую успеваемость.

Библиографический список

1. Геймификация в образовании: эффективность и влияние на... [Электронный ресурс]. URL: <https://reference-global.com/article/10.2478/atd-2025-0013> (дата обращения: 10.11.2025).
2. Impact of Gamification on Motivation and Academic Performance: A Systematic Review [Электронный ресурс]. URL: <https://www.mdpi.com/2227-7102/14/6/639> (дата обращения: 10.11.2025).
3. The effect of exercise on academic fatigue and sleep quality among university students - PMC [Электронный ресурс]. URL: <https://pmc.ncbi.nlm.nih.gov/articles/PMC9634171/> (дата обращения: 10.11.2025).
4. Frontiers | Nudging digital physical activity breaks for home studying of university students—A randomized controlled trial during the COVID-19 pandemic with daily activity measures [Электронный ресурс]. URL: <https://www.frontiersin.org/journals/sports-and-active-living/articles/10.3389/fspor.2022.1024996/full> (дата обращения: 10.11.2025).

© Антипова А.Е., Валиахметов Т.Р., Политов С.А., 2025

К.А. АСАЛХУЗИН

asalkhuzin@mail.ru

Научный руководитель – канд. техн. наук, доцент, Ю.И. ВАЛИАХМЕТОВА

Уфимский университет науки и технологий

ОБЗОР АЛГОРИТМОВ МАРШРУТИЗАЦИИ В КОМПЬЮТЕРНЫХ СЕТЯХ

Аннотация: статья представляет собой обзор фундаментальных алгоритмов маршрутизации, лежащих в основе функционирования современных компьютерных сетей. Проведён анализ математических моделей (Беллмана-Форда, Дейкстры, DUAL), их вычислительной сложности и практической реализации в протоколах.

Ключевые слова: маршрутизация, компьютерные сети, алгоритмы маршрутизации, топология сети, таблица маршрутизации.

Введение

Алгоритм маршрутизации – это набор правил и математических процедур, используемый маршрутизаторами для вычисления оптимальных путей передачи данных. В основе этих алгоритмов лежит представление сети в виде графа, где узлы соответствуют маршрутизаторам или сетям, а связи представляют каналы связи между ними, и алгоритм применяется к этой модели для нахождения путей, удовлетворяющих выбранным метрикам оптимизации [1].

Маршрутизация – это фундаментальный процесс в компьютерных сетях, определяющий путь, по которому пакеты данных перемещаются от отправителя к получателю. От маршрутизации сильно зависит правильное функционирование сети, поэтому решение вопросов маршрутизации является важным этапом при проектировании [2].

Маршрутизация базируется на двух взаимодополняющих концепциях: алгоритмах, вычислительных методах поиска путей, и протоколах, стандартах обмена данными. В данной работе алгоритмы рассматриваются как математические ядра протоколов, определяющие их вычислительную сложность, затраты памяти, конвергенцию и устойчивость к петлям.

Основные классы алгоритмов маршрутизации

По способу адаптации к изменениям сети алгоритмы маршрутизации можно классифицировать на статические и динамические.

Статические алгоритмы

Статические алгоритмы требуют ручного задания путей администратором и не адаптируются к изменениям. Статический способ применяется в

небольших сетях с малым количеством маршрутов или в сетях, где нужно сохранить постоянные адреса: камеры видеонаблюдения, бэкап-сервер, архив 1С. При этом такие алгоритмы применяются как часть большой динамически контролируемой инфраструктуры в качестве резервных путей.

Динамические алгоритмы

Динамические алгоритмы позволяют маршрутизаторам автоматически обмениваться информацией и пересчитывать пути при изменениях сети. При обмене информация обрабатывается и помещается в таблицу маршрутизации.

В настоящее время именно динамический способ используется для создания легко масштабируемых крупных сетей [3].

С точки зрения лежащих в основе математических принципов и способа сбора информации, можно выделить два основных класса динамических алгоритмов, на которых построено подавляющее большинство современных протоколов маршрутизации, и один гибридный, использующийся на оборудовании компании Cisco.

Алгоритмы на основе вектора расстояний (Distance-Vector)

В основе этого подхода лежит алгоритм Беллмана-Форда. Каждый маршрутизатор хранит таблицу, вектор, содержащую известные ему сети и расстояние количеством переходов (hop count) до каждой из них, а также следующий переход для достижения этой сети. Маршрутизатор периодически рассылает весь свой вектор расстояний всем своим соседям.

Получив вектор от соседа, маршрутизатор проверяет, не предлагает ли сосед лучший путь, то есть путь с меньшей метрикой, до известной сети или информацию о новой сети. Маршрутизатор обновляет свою таблицу, добавляя к метрике, полученной от соседа, стоимость связи до этого соседа, по принципу алгоритма Беллмана-Форда [4]. Уравнение обновления метрики выглядит следующим образом:

Уравнение обновления метрики выглядит следующим образом:

$$d[v] = \min(d[v], d[u] + w(u, v)),$$

где $d[v]$ – текущее минимальное расстояние от начальной вершины до вершины v , $d[u]$ – текущее минимальное расстояние от начальной вершины до вершины u , $w(u, v)$ – вес ребра, соединяющего вершину u с вершиной v .

Эти алгоритмы просты в реализации, совершают низкие вычислительные затраты на каждом узле. Из недостатков можно выделить медленную конвергенцию, то есть восстановление после сбоя, склонность к петлям маршрутизации и ограниченность простыми метриками, такими как hop count.

Классические протоколы, такие как RIP (Routing Information Protocol) и его усовершенствованная версия RIPv2, напрямую реализуют этот алгоритмический подход. Протокол EIGRP (Enhanced Interior Gateway Routing Protocol) также основан на принципах вектора расстояний, но использует усовершенствования для устранения основных недостатков.

Алгоритмы на основе состояния каналов (Link-State)

В основе этого подхода лежит алгоритм Дейкстры (SPF, Shortest Path First) для поиска кратчайших путей в графе. Каждый маршрутизатор активно определяет состояние и стоимость своих подключенных каналов (линков). Затем он рассылает информацию о своих линках в виде специальных сообщений LSA (Link State Advertisements) во всю область маршрутизации. Каждый маршрутизатор собирает все полученные LSA и строит полную и идентичную базу данных о топологии сети LSDB (Link-State Database), представляющую собой взвешенный граф всей сети.

На основе полной LSDB каждый маршрутизатор независимо вычисляет дерево кратчайших путей SPF Tree до всех возможных сетей назначения, используя алгоритм Дейкстры с применением приоритетной очереди. Результатом является собственная таблица маршрутизации. Маршрутизаторы полностью знают топологию сети [5].

Эти алгоритмы отличаются быстрой конвергенцией, отсутствием петель, хорошей масштабируемостью и поддержкой сложных метрик, таких как пропускная способность, задержка, надежность, стоимость. Из недостатков можно выделить большое потребление памяти на хранение LSDB и вычислительных ресурсов на регулярный пересчет SPF.

Протоколы OSPF (Open Shortest Path First) и IS-IS (Intermediate System to Intermediate System) являются главными протоколами, построенными на этом алгоритмическом подходе. Протокол OSPF использует стоимость в качестве метрики вычисления путей, она определяется следующим образом:

$$\text{СТОИМОСТЬ} = \frac{100000000 \text{ бит/с}}{\text{пропускная способность интерфейса (бит/с)}} [6].$$

Гибридный алгоритм

Протокол EIGRP основан на алгоритмах DV и заимствует частичные обновления и топологическую таблицу из алгоритмов LS для повышения эффективности и скорости конвергенции.

В основе этого подхода лежит алгоритм DUAL (Diffusing Update Algorithm). Когда не существует подходящего маршрута, он запускает диффузные вычисления – реакцию на изменения без рекурсивных запросов ко всей сети [7]. Из-за длительной проприетарности этого протокола стандартами индустрии стали OSPF и IS-IS, однако он хорошо себя в сетях, где присутствует только оборудование Cisco.

Условия осуществимости Feasible Condition гарантируют отсутствие петель, так как благодаря ним таблица маршрутизации хранят в себе резервный путь Feasible Successor, удовлетворяющий условию

$$RD < FD,$$

где *FD* (Feasible Distance) – это текущая лучшая метрика, *RD* (Reported Distance) – это метрика соседа.

В табл. 1 представлено сравнение вычислительных характеристик рассмотренных алгоритмов маршрутизации на основе вектора расстояний, состояния канала и гибридного алгоритма диффузных вычислений.

Применение алгоритмов маршрутизации в протоколах

Динамические алгоритмы маршрутизации широко применяются в двух категориях протоколов: протоколы внешнего шлюза (EGP – Exterior Gateway Protocols) и протоколы внутреннего шлюза (IGP – Interior Gateway Protocols) [8].

Протоколы EGP запускаются между автономными системами. BGP (Border Gateway Protocol) – основной протокол маршрутизации сети Интернет, который использует сложный алгоритм выбора лучшего маршрута.

Протоколы IGP оперируют с маршрутами внутри одной автономной системы. Они делятся на несколько категорий [9]:

- DV-семейство: RIP, RIPv2 – алгоритм Беллмана-Форда.
- LS-семейство: OSPF, IS-IS – алгоритм Дейкстры.
- Гибриды: EIGRP – алгоритм DUAL.

Таблица 1

Вычислительные характеристики алгоритмов

| Параметр | Беллмана-Форда (DV) | Дейкстры (LS) | DUAL (Гибридный) |
|-----------------------|-----------------------------|-------------------------|--|
| Сложность | $O(V \cdot E)$ | $O(E + V \log V)$ | $O(\text{глубина диффузных вычислений})$ |
| Память | $O(V)$ | $O(V + E)$ | $O(\text{число маршрутов})$ |
| Конвергенция | Медленная | Быстрая | Мгновенная |
| Устойчивость к петлям | Отсутствует без оптимизаций | Есть | Есть |

Современные тенденции маршрутизации

Программно-определяемые сети (SDN)

Одной из значимых тенденций является SDN, который меняет саму парадигму вычисления путей. Вместо алгоритмов, работающих на каждом маршрутизаторе, используется централизованный контроллер, который применяет как классические алгоритмы, так и совершенно новые для вычисления путей, например, CIEA – Center-Including Eccentricity Algorithm . Это позволяет управлять сетью более сложно и гибко.

Искусственный интеллект и машинное обучение (AI/ML)

Активно исследуется применение алгоритмов искусственного интеллекта и машинного обучения для динамической маршрутизации. Они могут предсказывать нагрузку, задержки и сбои, оптимизировать пути в реальном времени [10].

Заключение

Алгоритмы маршрутизации являются вычислительными ядрами любых протоколов. DV-алгоритмы сохраняют важную роль в малых сетях, LS-алгоритмы являются стандартом индустрии, так как они оптимальны для масштабируемых инфраструктур, а гибридные решения сочетают в себе наработки из этих двух алгоритмов и используются на системах Cisco. Современные тренды смещают фокус с устоявшихся методов на динамические алгоритмы с прогнозированием трафика, но фундаментальные математические модели останутся важной теоретической основой маршрутизации. Развитие технологий в этой области открывает новые возможности для управления потоками данных расширяющихся сетевых инфраструктур.

Библиографический список

1. Семенов, Ю. А. Алгоритмы телекоммуникационных сетей. Часть 2. Протоколы и алгоритмы маршрутизации в Internet / Ю. А. Семенов // М.: Бинوم. Лаборатория знаний, 2016. – 829 с.
2. Таненбаум Э. С. Компьютерные сети. СПб.: Питер, 2003, 992 с.
3. Сети для самых маленьких. Часть шестая. Динамическая маршрутизация // habr.ru [Электронный ресурс] <https://habr.com/ru/articles/156695/> (Дата обращения 08.07.2025)
4. Distance-Vector Routing-Update Algorithm // eng.libretexts.org [Электронный ресурс] [https://eng.libretexts.org/Bookshelves/Computer_Science/Networks/An_Introduction_to_Computer_Networks_\(Dordal\)/09%3A_Routing-Update_Algorithms/9.02%3A_Distance-Vector_Routing-Update_Algorithm](https://eng.libretexts.org/Bookshelves/Computer_Science/Networks/An_Introduction_to_Computer_Networks_(Dordal)/09%3A_Routing-Update_Algorithms/9.02%3A_Distance-Vector_Routing-Update_Algorithm) (Дата обращения 08.07.2025)
5. Link-State Routing-Update Algorithm // eng.libretexts.org [Электронный ресурс] [https://eng.libretexts.org/Bookshelves/Computer_Science/Networks/An_Introduction_to_Computer_Networks_\(Dordal\)/09%3A_Routing-Update_Algorithms/9.06%3A_Link-State_Routing-Update_Algorithm](https://eng.libretexts.org/Bookshelves/Computer_Science/Networks/An_Introduction_to_Computer_Networks_(Dordal)/09%3A_Routing-Update_Algorithms/9.06%3A_Link-State_Routing-Update_Algorithm) (Дата обращения 08.07.2025)
6. 8.2.3.1 Метрика OSPF = стоимость // Cisco Systems, Inc. - Cisco Networking Academy [Электронный ресурс] <http://ssa.kbgtk07.ru/2/course/module8/8.2.3.1/8.2.3.1.html> (Дата обращения 08.07.2025)
7. Termination detection for diffusing computations // sciencedirect.com [Электронный ресурс] <https://www.sciencedirect.com/science/article/abs/pii/0020019080900216> (Дата обращения 08.07.2025)
8. Леинванд А., Пински Б. Конфигурирование маршрутизаторов Cisco. 2-е изд. М.: «Вильямс», 2001. 368 с.

9. Основы компьютерных сетей. Тема №9. Маршрутизация: статическая и динамическая на примере RIP, OSPF и EIGRP // habr.ru [Электронный ресурс] <https://habr.com/ru/articles/335090/> (Дата обращения 08.07.2025)

10. Adaptive routing protocols for determining optimal paths in AI multi-agent systems: a priority- and learning-enhanced approach // arxiv.org [Электронный ресурс] <https://arxiv.org/html/2503.07686v1> (Дата обращения 08.07.2025)

© Асалхузин К.А., 2025

А.С. АСТАХОВА

anastasiyasastahova@yandex.ru

Науч. руковод. – канд. техн. наук Е.Ю. САЗОНОВА

Уфимский университет науки и технологий

МУЛЬТИАГЕНТНЫЕ СИСТЕМЫ В ЛОГИСТИКЕ

Аннотация: в статье рассматриваются мультиагентные системы (МАС) и их применение в логистике. Проведен сравнительный анализ ключевых моделей МАС: аукционной, иерархической, децентрализованной, роевой и коалиционной. Результаты демонстрируют преимущества МАС в оптимизации логистических процессов, таких как распределение заказов и минимизация времени доставки.

Ключевые слова: мультиагентные системы; логистика; аукционная модель; распределение ресурсов; оптимизация маршрутов.

Введение

Современная логистика сталкивается с задачами высокой сложности: динамическое распределение ресурсов, учет множества переменных (пробки, погода, приоритеты заказов) и необходимость оперативного реагирования на изменения. Мультиагентные системы (МАС) предлагают решение этих проблем за счет децентрализованного управления и адаптивности. В статье анализируются модели МАС, применяемые в логистике, и их эффективность на примере симуляции распределения грузов.

Модели мультиагентных систем в логистике

Мультиагентные технологии предлагают принципиально новый метод решения задач, путем взаимодействия множества самостоятельных модулей. Полный перебор всех вариантов в таких условиях невозможен, поэтому неизбежно приходится сталкиваться с наложенными ограничениями в виде нехватки временных и материальных ресурсов. Каждый агент имеет определенную обязанность и цель, к которой он стремиться, группа агентов же обладает определенной стратегией, описывающей, как этой цели можно достичь. Данные стратегии будем называть моделями в контексте мультиагентных систем.

Одной из самых простых моделей можно назвать Аукционную модель. Она основана на принципе конкурентного распределения задач через торги. Агенты делают «ставки» на заказы, а диспетчер (особый агент, ответственный за централизацию процесса) выбирает наилучшее предложение. Преимущество данной модели заключается в легком понимании выбора победителя, а

соответственно в достаточно простом изменении процессов, если возникают конфликты

В иерархической модели в отличие от модели аукциона ключевым фактором является распределение задач по уровням, а не через назначение задачи агенту с лучшим коэффициентом эффективности. Зачастую такая модель подходит под жесткую структуру управления, где наивысших уровнях агенты представляют наиболее детализированные аспекты, отражающие только самые общие черты и особенности проектируемой системы, тогда как на следующих уровнях степень подробности возрастает, реализуя агентов-исполнителей. Не смотря на меньшую эффективность в условиях возникновения непредвиденных обстоятельств, иерархическая модель многослойной специализации. В контексте логистики это может быть многоуровневое управление доставкой, где задачи идут из центрального логистического центра к районным менеджерам, а позже к операторам выполнения задач (водители/курьеры).

Децентрализованная модель теряет многоэтапность в решении задачи, но приобретает автономность каждого агента, делая ее прекрасным выбором, когда главными аспектами являются отказоустойчивость и динамичность принимаемых решений. Стоит отметить, что не смотря на схожесть с моделью аукциона децентрализованная модель имеет несколько отличительных качеств: в модели аукциона роль центра принимает 1 агент, а остальные соревнуются за максимально возможную полезность, тогда как децентрализованная модель подходит к этому более компромиссно, позволяя каждому агенту договариваться между собой, то есть полная автономия агентов. Таким образом, каждый агент имеет набор сценариев (конкуренция, кооперация, нейтралитет), по которым он должен следовать. Так же в отличие от модели аукциона децентрализованная модель имеет большую масштабируемость, что позволяет ей охватывать оперировать сложными системами.

Роевая модель представляет собой частный случай децентрализованной модели, принцип работы которой лежит во взаимодействии ограниченных по функционалу агентов, формируя сложное и адаптивное поведение друг с другом. Соответственно рассмотрение деятельности агентов происходит в группе, а поведение системы возникает из множества локальных взаимодействий. Масштабируемость этой модели еще больше, чем децентрализованной за счет простых правил поведения и коллективного перемещения по сетке агентов, однако из-за малого интеллекта каждого агента роль решения конфликтных ситуаций должны брать на себя люди. Зачастую маршрут, выбранный по такой модели, может быть не самым оптимальный по ресурсам, но самым быстрым по времени.

Коалиционная модель похожа по устройству на роевую модель, однако в отличие от второй агенты осознанно формируют группы для совместного решения задач на короткий промежуток времени. Группы могут действовать как по децентрализованной модели (без общего лидера и иерархии), так и по

иерархической модели. Такая модель полезна при взаимодействии разных подразделений внутри компании (склад, транспорт, планирование маршрутов)

Сравнительный анализ моделей

| Модель | Гибкость | Надежность | Масштабируемость | Область применения |
|---------------------------|--|--|--|---|
| Аукционная Модель | Агенты самостоятельно совершают «ставки» | Все агенты зависят от агента диспетчера | Централизованный элемент не сильно сковывает масштабируемость | Планирование маршрутов в реальном времени, распределение заказов на доставку |
| Иерархическая модель | Низкая гибкость, задачи распределяются сверху вниз | Возникновение ошибки в высших слоях абстракции может привести к полному сбою системы | Чем больше элементов в системе, тем хуже центр справляется с ее контролем. Плохая масштабируемость | Управление складами компании |
| Децентрализованная модель | Средняя гибкость. Агенты не обладают общим знанием решения задачи, из-за чего достижения согласия достигается медленно | Нет центрального элемента системы | За счёт автономии каждого агента легко добавлять новые элементы в систему | Самоорганизующие группы грузовиков, дронов |
| Роевая модель | Адаптивное поведение на основе локальных правил | Нет центрального элемента системы | Нет проблем с масштабируемостью | Поиск оптимальных маршрутов |
| Коалиционная модель | Коалиции возможно динамически перестраивать | Коалиции могут восстанавливаться при отказах | Требуются дополнительные вычисления | Совместная работа нескольких отделов компании (планирование, транспорт, склады) |

Важно понимать, что нет единственного наилучшего варианта в выборе модели для мультиагентной системы. В соответствии с целью задачи следует выбирать наиболее подходящий метод для реализации задуманной системы.

Библиографический список

1. Голубев А. В., Парыгин Д. С., Буров С. С. \[и др.] Платформа для моделирования массовых перемещений объектов и субъектов в условиях

городской среды // *Программные продукты и системы*. — 2021. — № 2. — С. 354–364. — ISSN 2311-2735. — URL: <https://e.lanbook.com/journal/issue/316880>

2. Искандеров Ю. М., Свистунова А. С., Чумак А. С. Системный анализ показателей качества комплексных логистических технологий при доставке грузов // *Системный анализ в проектировании и управлении: сб. науч. трудов XXIII Междунар. науч.-практ. конф.* СПб.: Санкт-Петербургский политехнический университет Петра Великого, 2019. С. 251–262. DOI: 10.18720/SPBPU/2/id20-174

3. Костенко П. М., Швецова Е. В. Мультиагентные системы в логистике // *Научно-методический электронный журнал «Концепт»*. — 2014. — Т. 20. — С. 3271–3275. — URL: <http://e-koncept.ru/2014/54918.htm>

4. Магомедов О. Р., Чернышев С. А. Мультиагентная система поддержки принятия решений для минимизации стоимости группируемых товаров // *Управление сложными системами*. — 2022. — С. 97–107. DOI: 10.18137/RNUV9187.22.04.P.97

5. Петренко В. И., Тебуева Ф. Б., Павлов А. С., Рябцев С. С., Гуринский М. М. Система распределения и планирования выполнения задач агентами роевых робототехнических систем на основе коллективного принятия решения // *Вестник ВГУ. Серия: Системный анализ и информационные технологии*. — 2023. — № 1. — С. 114–127. DOI: <https://doi.org/10.17308/sait/1995-5499/2023/1/114-127>

6. Смирнов А. В., Хабибулин Р. Ш., Тараканов Д. В. Применение многоагентного подхода для поддержки управления безопасностью в техносфере // *Вестник Иркутского государственного технического университета*. — 2018. — Т. 22. — № 1. — С. 118–133. DOI: 10.21285/1814-3520-2018-1-118-133

7. Ткачева А. В., Котова Ю. Н. Цифровые платформы в моделях кооперационного взаимодействия агентов: данные, параметры, подсистемы // *Бизнес-информатика и информационные технологии в управлении*. — 2022. — С. 354–364. \ DOI: 004.89:334.76

8. Ушаков М. А. Анализ инновационных методов и технологий в логистических цепочках предприятий // *Организатор производства*. — 2023. — Т. 32. — № 2. — С. 109–124. DOI: 10.36622/VSTU.2023.32.59.009

9. Хасанов Д. С. Рекурсивный подход к разработке крупномасштабных мультиагентных систем // *Санкт-Петербургский Федеральный исследовательский центр РАН*. — 2022. — DOI: 10.18720/SPBPU/2/id24-62

10. Хасанов Д. С. Мультиагентное моделирование при прогнозировании управления транспортными сетями // *Санкт-Петербургский Федеральный исследовательский центр РАН*. — 2023. — С. 324–330. DOI: 10.18720/SPBPU/2/id23-67

А.А. АХМЕТОВ, Ф.А. БАЯЗИТОВ

albert.axmetov.29@mail.ru, fanur-bayazitov@mail.ru

Науч. руковод. – канд. физ.-мат. наук, доц. Д. М. ЗАРИПОВ

Уфимский государственный нефтяной технический университет

НАГРУЗОЧНОЕ ТЕСТИРОВАНИЕ СЕРВИСА ОБРАБОТКИ ИЗОБРАЖЕНИЙ НА ОСНОВЕ FASTAPI И YOLOV8

Аннотация: в статье рассматривается проблема производительности веб-сервиса, реализующего ресурсоемкую вычислительную задачу на примере системы обработки изображений. Проведен анализ архитектуры сервиса на базе FastAPI и YOLOv8, выполнено нагрузочное тестирование с использованием Locust. Представлены результаты анализа и предложены действия для оптимизации системы.

Ключевые слова: нагрузочное тестирование; FastAPI; YOLO; Locust; производительность; время ответа.

Введение

Внедрение моделей искусственного интеллекта, в частности, в области компьютерного зрения, в промышленные веб-сервисы, является актуальной задачей. Однако, выполнение предсказания нейронной сети является затратной вычислительной операцией, в связи с чем могут возникать значительные трудности в обеспечении высокой производительности и масштабируемости. Подобные операции относят к CPU-bound задачам. Асинхронные фреймворки, такие как FastAPI, эффективно выполняют задачи с операциями ввода-вывода, но их использование в сочетании с CPU-bound создает риск блокировки основного процесса. Вследствие этого система не может эффективно обрабатывать несколько запросов одновременно, что снижает пропускную способность сервиса и его время ответа.

Целью данного исследования является определение предельной нагрузки, которую способен выдержать сервис. Объектом исследования является REST API-сервис, реализующий детекцию лиц и паспортов на изображениях в рамках системы прокторинга.

Архитектура исследуемой системы

Исследуемый сервис реализует многоступенчатую логику анализа пакетов изображений. Постановка задачи для системы: API-сервис должен принимать на вход пакет изображений (не более 240) и осуществлять последовательную обработку каждого из них на наличие определенных классов объектов, при этом правила проверки изображения зависят от его порядкового номера в пакете.

Логика работы реализована следующим образом:

1. Для первого изображения пакета выполняется поиск класса «only_face», то есть, обнаруживается лицо человека;
2. Для второго изображения – поиск класса «only_passport», то есть, обнаруживается паспорт человека;
3. Для третьего изображения – поиск одновременно двух классов «only_face» и «only_passport»;
4. Для всех последующих изображений – поиск класса «only_face».

По итогам обработки всего пакета сервис должен сформировать и вернуть клиенту ответ в формате JSON со структурой, показанной на рис. 1.

```
{  
    "face": true,  
    "passport": false,  
    "face_passport": true,  
    "result": 95.5,  
    "successful": 191  
}
```

Рис. 1. Структура JSON-ответа сервиса

Флаги «face», «passport», «face_passport» отражают результаты проверки первых трех изображений.

Архитектура построена на базе современных open-source решений:

1. Веб-фреймворк: FastAPI;
2. Сервер приложений: Gunicorn + Uvicorn;
3. Дообученная модель нейронной сети: YOLOv8-s;
4. Среда выполнения: изолированная среда Docker-контейнер.

Жизненный цикл обработки запроса представлен на рис. 2.

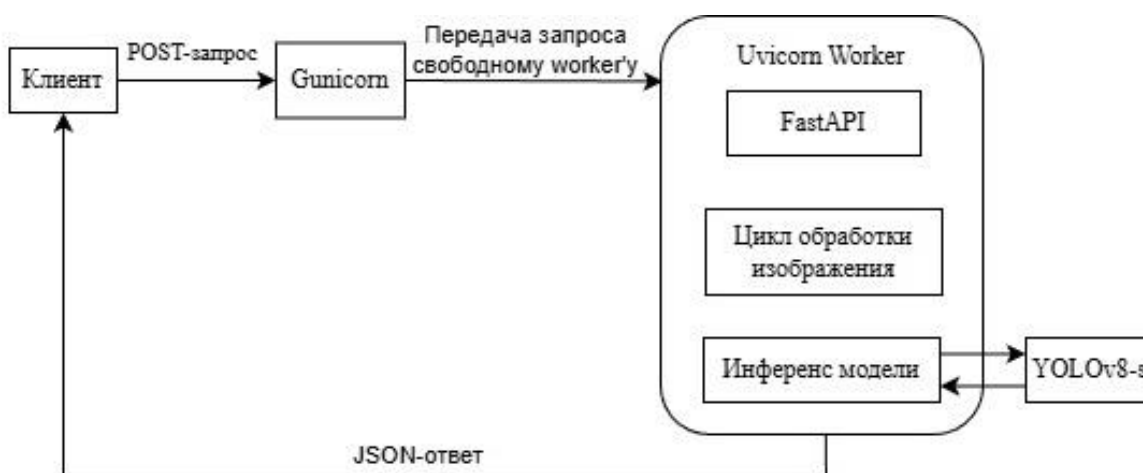


Рис. 2. Жизненный цикл обработки запроса

Процесс обработки запроса состоит в следующих этапах:

1. Клиент формирует и отправляет POST-запрос;
2. Сервер Gunicorn передает запрос одному из четырех воркеров (рабочий процесс) – каждый из которых представляет собой отдельный экземпляр сервера Unicorn, способный обрабатывать один запрос одновременно.
3. FastAPI асинхронно считывает байты изображений из тела запроса;
4. Запускается цикл по обработке изображений, в котором для каждого изображения вызывается функция, которая декодирует изображение из байтов, выполняет инференс с помощью модели YOLOv8-s и проверяет наличие требуемых классов по порогу детекции (0,6). При этом параметры функции изменяются для каждого изображения, в зависимости от порядкового номера изображения.
5. После обработки всех изображений формируется и отправляется ответ в формате JSON.

Методология и результаты нагрузочного тестирования

Для определения пиковой нагрузки и количественной оценки производительности было проведено нагрузочное тестирование. В качестве инструмента был выбран фреймворк Locust. Для проведения тестирования была задействована виртуальная машина, на которой запускался генератор нагрузки, исследуемый сервис запускался в Docker-контейнере.

В процессе тестирования отслеживались следующие ключевые параметры:

1. Пропускная способность RPS (request per second): количество запросов, которые система может обработать за секунду;
2. Время ответа response time: 95-ый перцентиль;
3. Количество ошибок (failures): процент неуспешных запросов.

Первый эксперимент заключается в проверке базовой производительности системы. Целью первого эксперимента является измерение времени ответа сервиса без параллельных запросов и очередей, за счет чего можно получить значение чистого времени обработки. Параметры теста:

1. Количество виртуальных пользователей (Number of users) – параметр Locust, задающий число имитируемых клиентов: 1;
2. Скорость нарастания нагрузки (Ramp up) – параметр Locust, указывающий, сколько пользователей запускается в секунду: 0.0167 users/s.

Графики ключевых параметров представлены на рис. 3.



Рис. 3. Графики ключевых параметров для первого эксперимента

Во втором эксперименте была увеличена на 100% нагрузка на сервис. Целью второго эксперимента является определение признаков деградации производительности даже при наличии свободных воркеров

Параметры теста:

1. Количество виртуальных пользователей: 2;
2. Скорость нарастания нагрузки: 0.0333 users/s.

Графики ключевых параметров представлены на рис. 4.

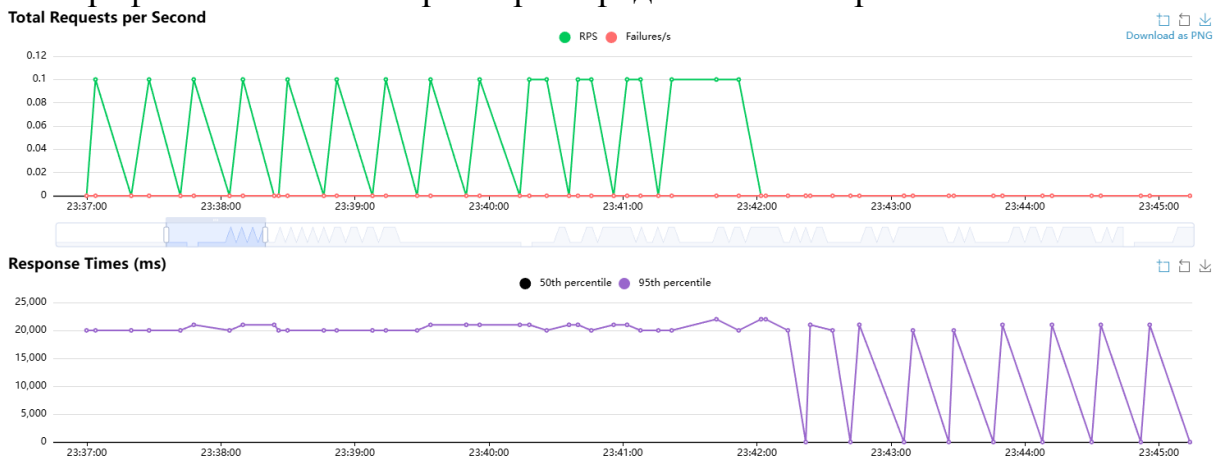


Рис. 4. Графики ключевых параметров для второго эксперимента

В третьем эксперименте нагрузка была значительно увеличена: количество виртуальных пользователей увеличилось на 50%, скорость нарастания нагрузки на 200%. Целью данного эксперимента являлось оценка влияния увеличения числа виртуальных пользователей и скорости их поступления на время ответа системы при условии, что число воркеров больше, чем активных пользователей.

Параметры теста:

1. Количество виртуальных пользователей: 3;
2. Скорость нарастания нагрузки: 0.1 users/s.

Графики ключевых параметров представлены на рис. 5.



Рис. 5. Графики ключевых параметров для третьего эксперимента

В четвертом эксперименте была увеличена нагрузка относительно третьего эксперимента: количество виртуальных пользователей увеличилось на 33%, а скорость нарастания нагрузки в 5 раз. Целью данного эксперимента было определение точки отказа системы – состояния, при котором RPS падает до нуля, а время ответа резко возрастает, что свидетельствует о потере работоспособности сервиса.

Параметры теста:

1. Количество виртуальных пользователей: 4;
2. Скорость нарастания нагрузки: 0.5 users/s.

Графики ключевых параметров представлены на рис. 6.



Рис. 6. Графики ключевых параметров для четвертого эксперимента

Результаты всех проведенных экспериментов приведены в табл. 1.

Сводные результаты нагрузочного тестирования

| Кол-во пользователей | Скорость нарастания нагрузки, users/s | Средний RPS | 95% перцентиль времени ответа, мс |
|----------------------|---------------------------------------|-------------|-----------------------------------|
| 1 | 0,0167 | 0,06 | 16000 |
| 2 | 0,0333 | 0,1 | 21000 |
| 3 | 0,1 | 0,1 | 40000 |
| 4 | 0,5 | 0 | 400000 |

Заключение

Проведенные эксперименты позволили количественно оценить производительность исследуемого сервиса. В однопользовательском режиме была определена базовая производительность системы. Увеличение нагрузки до двух пользователей привело к снижению производительности примерно на 31%, что обусловлено конкуренцией за вычислительные ресурсы центрального процессора. Нагрузка в три пользователя привела к значительным флуктуациям и росту времени ответа на запрос на 90%, что вызвано систематическим образованием очередей запросов. При нагрузке, равной количеству рабочих процессов, произошел отказ системы, выраженный в критической деградации производительности и резкому росту времени ответа на запрос (в 10 раз). Производительность и масштабируемость исследуемой архитектуры фундаментально ограничено количеством запущенных рабочих процессов. Это является следствием использования блокирующих вызовов функции инференса нейросети в асинхронной среде. Данный подход приводит к фактическому синхронному поведению рабочих процессов и нивелирует архитектурные преимущества используемого асинхронного фреймворка. В качестве гипотезы по улучшению предлагается переход на асинхронный метод обработки запросов. В рамках данного подхода API-сервис будет принимать изображения, возвращать клиенту уникальный идентификатор задачи и помещать задачу в очередь обработки. Результат инференса будет запрашивать позже, это позволит избежать блокировки API во время обработки и значительно повысить RPS.

Библиографический список

1. Locust Documentation [Электронный ресурс]. – URL: https://docs.locust.io/en/stable/?spm=a2ty_o01.29997173.0.0.45bec9216vDVQu (дата обращения 06.11.2025).
2. Салтанов Д.С., Арсентьева Н.В. «Сравнительный анализ архитектурных подходов к разработке REST API для высоконагруженных систем» [Электронный ресурс]. – URL: <https://cyberleninka.ru/article/n/sravnitelnyy-analiz-arhitekturnyh-podhodov-k-razrabotke-rest-api-dlya-vysokonagruzhennyh-sistem/viewer> (дата обращения 06.11.2025).

3. FastAPI Documentation: Deployment [Электронный ресурс]. – URL: <https://fastapi.tiangolo.com/deployment/docker/> (дата обращения 06.11.2025).

4. YOLO Inference with Docker via API [Электронный ресурс]. – URL: <https://readmedium.com/yolo-inference-with-docker-via-api-cd6757ba614b> (дата обращения 07.11.2025).

5. Васильев Б.Я. «Методика тестирования API в микросервисной архитектуре продукта» [Электронный ресурс]. – URL: <https://cyberleninka.ru/article/n/metodika-testirovaniya-api-v-mikroservisnoy-arhitecture-produkta/viewer> (дата обращения 07.11.2025).

© Ахметов А.А., Баязитов Ф.А., 2025

Т.И. БАЛГАЗИН, А.И. БАЛГАЗИН, А.И. ГИНИЯТОВ

Tagir.balgazin@yandex.ru, askarb240@gmail.com, anvar556@mail.ru

Науч. руковод. – докт. техн. наук, доцент О.Н. СМЕТАНИНА

Уфимский университет науки и технологий

РАЗРАБОТКА ПРОТОТИПА СИСТЕМЫ РАСПОЗНАВАНИЯ ОБРАЗОВ С ИСПОЛЬЗОВАНИЕМ БИБЛИОТЕКИ EASYOCR

Аннотация: в работе были рассмотрены принципы работы и архитектура современных OCR-систем на примере библиотеки EasyOCR. Описаны ключевые компоненты, архитектурные элементы и практические особенности применения EasyOCR, а также алгоритмы, которые лежат в основе данной библиотеки. Было создан прототип веб-сервиса, предназначенного для распознавания текста на изображениях.

Ключевые слова: детекция текста, распознавание текста, OCR, нейросеть, алгоритм, модель.

Введение

Оптическое распознавание символов (Optical Character Recognition, OCR) – это технология автоматического распознавания текстовых символов на изображениях, сканированных документах или фотографиях с последующим преобразованием их в редактируемый и машинно-читаемый формат. OCR является одной из ключевых и наиболее востребованных технологий в области распознавания образов, поскольку находит широкое применение в науке и бизнесе, сокращая временные и трудовые затраты на ручное преобразование сканов документов, представленных в виде растровых изображений, в редактируемый текстовый формат, тем самым значительно повышая производительность труда.

О библиотеке EasyOCR

EasyOCR – это открытая библиотека, написанная на Python и предназначенная для извлечения текста из изображений. Данная библиотека является проектом с открытым исходным кодом, она распространяется под лицензией Apache 2.0, что является преимуществом, поскольку имеется возможность модифицировать и улучшать библиотеку, при этом не публикуя свои улучшения в открытый доступ, а также использовать данную библиотеку в проектах с закрытым исходным кодом, что особенно актуально при выборе библиотеки для добавления функционала OCR в коммерческое ПО. EasyOCR способна распознавать как текст на фотографиях (например, уличные знаки, вывески), так и текст на сканах документов. Ключевой особенностью является поддержка более 80 языков, различных видов письма. Код проекта написан на

языке Python с использованием фреймворка PyTorch, что позволяет эффективно использовать графические процессоры при анализе изображений, что, в свою очередь, заметно повышает производительность вычислений (в сравнении с выполняемыми на CPU).

Работа EasyOCR состоит из двух ключевых этапов:

— Детекция текста (Text Detection). На этом этапе библиотека находит области на изображении, где присутствует текст. Для этого используется алгоритм CRAFT (Character Region Awareness for Text Detection). Этот метод эффективно обнаруживает отдельные символы и объединяет их в слова или строки, формируя ограничивающие рамки вокруг текста.

— Распознавание текста (Text Recognition): после того как текст на изображении локализован, его необходимо распознать. Модель распознавания – CRNN (Convolutional Recurrent Neural Network, Сверточная Рекуррентная Нейронная Сеть). Процесс распознавания состоит из нескольких шагов:

- 1) Извлечение признаков. Для этого используются сверточные нейронные сети (CNN), такие как ResNet и VGG.
- 2) Маркировка последовательностей: Извлеченные признаки передаются в рекуррентную нейронную сеть (RNN), а именно в ее разновидность — LSTM (Long Short-Term Memory).
- 3) Декодирование. На последнем шаге используется алгоритм CTC (Connectionist Temporal Classification). Он преобразует выходные данные из LSTM в итоговую текстовую строку.

Алгоритм CRAFT

CRAFT (Character-Region Awareness for Text detection) – это алгоритм глубокого обучения для обнаружения текста на изображениях, который зарекомендовал себя как один из самых эффективных методов для работы с текстом произвольной формы, включая изогнутый и деформированный.

В отличие от многих других методов, ищущих сразу слова или целые строки, CRAFT сначала находит отдельные символы, а затем объединяет их в слова.

Ключевые принципы работы

В основе CRAFT лежат две основные концепции: карта областей символов (Region Score) и карта связности символов (Affinity Score). Нейронная сеть алгоритма на выходе генерирует две эти карты для входного изображения:

— Карта областей (Region Score). Эта карта представляет собой тепловую карту, где каждый пиксель имеет значение, соответствующее вероятности того, что он является центром символа. Таким образом, яркие области на этой карте указывают на местоположение отдельных символов.

— Карта связности (Affinity Score). Эта карта также является тепловой и показывает вероятность того, что данный пиксель находится в пространстве между двумя соседними, связанными символами. Высокие значения на этой карте указывают на то, что символы слева и справа от этой области должны быть объединены в одно слово.

Архитектура нейронной сети.

CRAFT использует полностью сверточную нейронную сеть, что позволяет ей обрабатывать изображения разных размеров. Архитектура состоит из двух основных частей:

— Кодировщик (Encoder). В качестве основы (backbone) используется архитектура VGG-16 с батч-нормализацией, предварительно обученная на большом наборе данных. Эта часть сети отвечает за извлечение признаков из входного изображения на разных уровнях.

— Декодировщик (Decoder). Декодирующая часть по своей структуре напоминает U-Net. Она использует проброшенные соединения для объединения низкоуровневых признаков из кодировщика с высокоуровневыми, что позволяет получить на выходе карты признаков с высоким разрешением. Это важно для точной локализации небольших символов.

На выходе декодер генерирует двухканальную карту, где один канал соответствует карте областей, а второй — карте связности.

Сверточные нейронные сети (CNN)

Архитектура CNN состоит из нескольких элементов (рис 1):

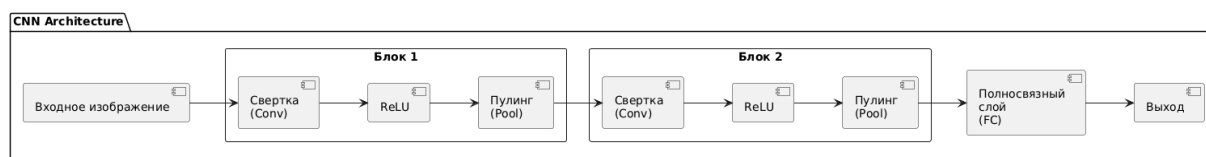


Рис. 1. Пример архитектуры сверточной нейронной сети.

Сверточный слой (Convolutional Layer). Данный слой является главным компонентом CNN. Его задача — находить на изображении простые признаки (паттерны). Ключевым элементом, используемым в сверточном слое, является так называемое ядро сверточного слоя. Ядро сверточного слоя (англ. convolutional kernel или filter) — это матрица обучаемых весовых параметров малой размерности, которая систематически применяется к входным данным посредством операции дискретной свертки для извлечения локальных пространственных признаков.

Процесс свертки (Convolution): ядро накладывается на левый верхний угол изображения; значения пикселей под ядром поэлементно умножаются на значения в ядре; все полученные произведения суммируются, и результат записывается в одну ячейку новой матрицы; ядро сдвигается на один пиксель вправо (или вниз) и процесс повторяется.

В результате применения одного ядра по всему изображению мы получаем новую матрицу, которая называется картой признаков. Она подсвечивает те области исходного изображения, где был найден искомый признак.

Важнейшие свойства сверточного слоя:

— Разделяемые веса (Parameter Sharing). Одно и то же ядро (с одними и теми же весами) используется для всей картинке, что резко сокращает количество параметров. Сети не нужно учить находить "ухо" в каждом углу картинке заново. Она учится находить "ухо" один раз, а потом ищет его везде.

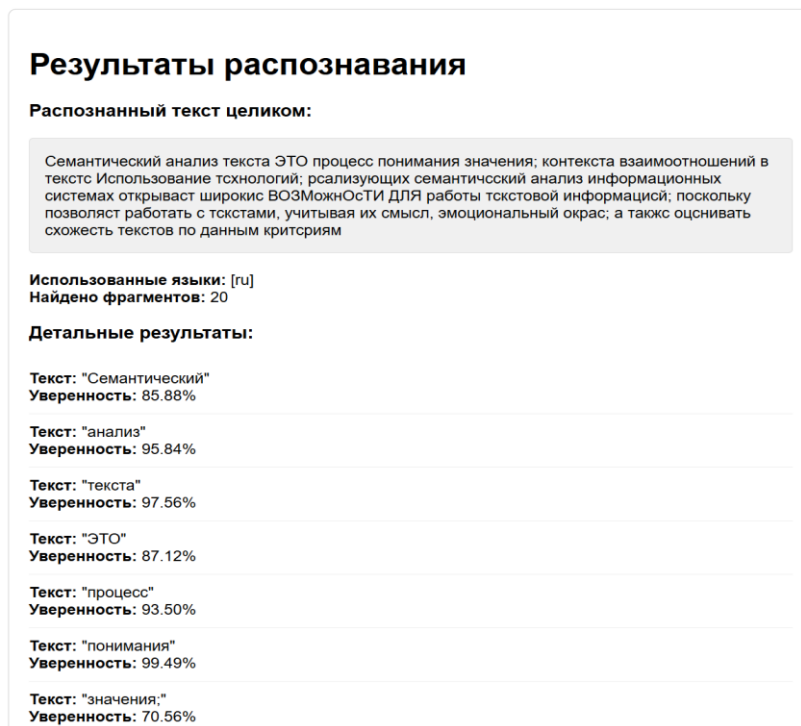
— Множество фильтров. В одном сверточном слое используется не одно ядро, а десятки или сотни. Каждое ищет свой признак. В итоге на выходе слоя мы получаем стопку из множества карт признаков.

Функция активации (Activation Function). Данная функция служит для добавления нелинейности. После свертки к каждому элементу карты признаков применяется функция активации, чаще всего ReLU (Rectified Linear Unit). Она работает очень просто: все отрицательные значения заменяются на ноль, а положительные остаются без изменений ($f(x) = \max(0, x)$). Это нужно, чтобы сеть могла изучать сложные, нелинейные зависимости, которые есть в реальном мире.

Слой субдискретизации (Pooling Layer). Этот слой решает две задачи: уменьшает размер карты признаков (например, в 2 раза по ширине и высоте) и делает сеть более устойчивой к небольшим сдвигам и деформациям.

Практическая часть

В рамках данной работы был спроектирован и реализован прототип распределенного веб-сервиса для оптического распознавания символов (OCR). Архитектура системы построена на принципах микросервисного подхода, где задачи разделены между двумя независимыми компонентами: вычислительным ядром на Python и веб-сервером-оркестратором на Go.



Результаты распознавания

Распознанный текст целиком:

Семантический анализ текста ЭТО процесс понимания значения; контекста взаимоотношений в тексте Использование технологий; реализующих семантический анализ информационных системах открывает широкие ВОЗМОЖНОСТИ ДЛЯ работы текстовой информации; поскольку позволяет работать с текстами, учитывая их смысл, эмоциональный окрас; а также оценивать схожесть текстов по данным критериям

Использованные языки: [ru]
Найдено фрагментов: 20

Детальные результаты:

| | |
|------------------------|---------------------|
| Текст: "Семантический" | Уверенность: 85.88% |
| Текст: "анализ" | Уверенность: 95.84% |
| Текст: "текста" | Уверенность: 97.56% |
| Текст: "ЭТО" | Уверенность: 87.12% |
| Текст: "процесс" | Уверенность: 93.50% |
| Текст: "понимания" | Уверенность: 99.49% |
| Текст: "значения," | Уверенность: 70.56% |

Рис. 21. Пример работы разработанной программы

Архитектура прототипа (рис.2) состоит из двух ключевых микросервисов: OCR-сервис (Backend) и Веб-сервер (Frontend-Backend). OCR-сервис (Backend): Реализован на языке программирования Python с использованием фреймворка FastAPI. Данный сервис инкапсулирует в себе всю сложную логику, связанную с машинным обучением, и отвечает непосредственно за процесс распознавания текста на изображении. Веб-сервер (Frontend-Backend). Реализован на языке программирования Go. Его основная задача — предоставление пользовательского интерфейса (UI) через HTML-страницы, обработка HTTP-запросов от пользователя, взаимодействие с OCR-сервисом и форматирование полученных данных для удобного отображения. Такое разделение позволяет независимо разрабатывать, тестировать, развертывать и масштабировать каждый компонент. Например, при увеличении нагрузки на распознавание текста можно увеличить количество экземпляров OCR-сервиса, не затрагивая при этом веб-сервер.

Заключение

В данной работе представлена информация о работе системы OCR на примере библиотеки EasyOCR для языка программирования Python. Также в было разработано ПО, реализующее систему распознавания текста в виде веб-сервиса при помощи данной библиотеки.

Библиографический список

1. Baek Y., Lee B., Han D., Yun S., Lee H. Character Region Awareness for Text Detection // Proceedings of the IEEE/CVF Conference on Computer Vision and Pattern Recognition (CVPR). 2019. P. 9365–9374. DOI: 10.1109/CVPR.2019.00961.
2. Graves A., Fernández S., Gomez F., Schmidhuber J. Connectionist Temporal Classification: Labelling Unsegmented Sequence Data with Recurrent Neural Networks // Proceedings of the 23rd International Conference on Machine Learning. New York, NY, USA : Association for Computing Machinery, 2006. P. 369–376. DOI: 10.1145/1143844.1143891.
3. Tiangolo S. FastAPI: официальная документация. URL: <https://fastapi.tiangolo.com/> (дата обращения: 10.11.2025).

© Балгазин Т.И., Балгазин А.И., Гиниятов А.И., 2025

К.И. БАТЫРШИН

kamelotbatyr@gmail.com

Науч. руковод. – канд. техн. наук Е.Ю. САЗОНОВА

Уфимский университет науки и технологий

О ЗАДАЧЕ РАСПОЗНАВАНИЯ ЛЕСНЫХ ПОЖАРОВ

Аннотация: в статье приводится актуальность задачи обнаружения лесных пожаров, приведен сравнительный анализ сервисов, которые могут быть использованы для распознавания лесных пожаров. Дана содержательная постановка задачи, определены основные сложности и аспекты автоматического распознавания пожаров в лесных массивах.

Ключевые слова: распознавание образов, нейронные сети, сверточные нейронные сети, обнаружение лесных пожаров

Введение

Лесные пожары несут много негативных последствий, как экологических, так и экономических. Данная проблема особенно актуальна для нашей страны, согласно сведениям Авиалесоохраны России за 2024 год в России сгорело 8,3 млн га леса, а GlobalForestWatch отмечает, что Россия занимает первое место по площади сгоревших лесов за прошедшие 10 лет.

На сегодняшний день существует много методов слежения за пожарами, таких как наблюдение со смотровых вышек, слежка со спутников и с камер, однако данные методы обладают недостатками. Вышки и камеры затратно поставить в труднодоступных местах, также они могут покрыть небольшую территорию, спутники, напротив, могут покрывать огромные расстояния, но замечают пожар поздно, относительно других методов.

Предлагается создать более выгодный метод отслеживания лесных пожаров, и именно, автоматически определять пожар камерой с дрона, который сможет покрывать большую территорию и при этом будет сам оповещать о найденных очагах возгорания.

Прежде чем перейти к обсуждению создания собственной модели, необходимо провести сравнительный анализ сервисов, которые позволяют дообучить существующие модели, так как данный подход требует существенно меньше затрат.

Сравнительный анализ сервисов для распознавания образов

Для анализа были выбраны следующие популярные платформы: Google Vertex AI, Teachable Machine, Roboflow (YOLOv8), Microsoft Azure.

Рассмотрим показатели моделей на двух датасетах MNIST и CIFAR-10. MNIST – это набор данных, который состоит из 60 000 тренировочных и 10 000

тестовых изображений размером 28×28 пикселей для простой задачи решения распознавания рукописных цифр, на нем можно оценить справляется ли модель с базовой задачей классификации. CIFAR-10 – это датасет изображений объектов десяти классов, на котором можно оценить способность модели справляться с уже более комплексной задачей классификации.

Таблица 4

Точности моделей на датасетах MNIST и CIFAR-10.

| Платформа | Accuracy на MNIST | Accuracy на CIFAR-10 |
|-------------------|-------------------|----------------------|
| Google Vertex AI | 99.3% | 93.1% |
| Teachable Machine | 96.8% | 78.5% |
| Roboflow (YOLOv8) | 98.9% | 89.7% |
| Microsoft Azure | 97.5% | 86.3% |

По результатам тестирования на MNIST, простейшем датасете, все варианты показали хороший результат. На CIFAR-10 показатели моделей заметно отличаются, что говорит о том, что Teachable Machine уже не справляется с более сложными изображениями, Google Vertex AI и Roboflow показали неплохие результаты даже при таких условиях, но все же их результаты можно улучшить.

Рассмотрев возможные альтернативы для того, чтобы создать модель распознавания лесных пожаров, можно сделать вывод о том, что, несмотря на перечисленные преимущества, не все альтернативы способны в полной мере справиться с указанной задачей. Teachable machine хорошо подходит для простых задач, но для задачи распознавания пожаров, с учетом встречаемых проблем, данное решение не подойдет. Другие платформы имеют возможности для решения задачи, но у них есть свои ограничения, например, недостаточно обширный инструментарий для редактирования модели, что может приводить к неоптимальным результатам при решении сложных задач; необходимость платной подписки для получения доступа к полному списку возможностей. Необходимо отметить, создание бесплатного приложения с большей точностью для распознавания лесных пожаров является актуальной задачей.

Аспекты задачи автоматического обнаружения пожаров

Рассмотрим задачу автоматического обнаружения пожаров на изображениях лесных территорий. Задача относится к классу бинарной классификации, то есть всего имеется два класса изображений (пожар и не пожар). Входными данными является изображение лесных территорий в формате jpg. Задача заключается в обработке изображения таким образом, чтобы установить наличие на нем дыма или огня, чтобы в заключении сделать вывод о том, присутствует ли на изображении пожар.

Предлагается использовать для решения задачи сверточные нейронные сети. При создании такой модели стоит учесть, что распознавание пожара – это не то же самое, что распознавание огня, так как изображение может даже не содержать огня, но будет виден дым, являющийся признаком пожара. Также

сам пожар может занимать небольшую часть изображения, но это все равно должно быть поводом для положительного ответа на вопрос о его наличии.

Изображения леса, снятые на камеру, могут по разным причинам быть трудными для распознавания. Например, закат или осенний лес могут своими цветами быть схожими с огнем; туман может напоминать дым, это стоит учесть при обучении подобной модели и отобрать подобные изображения для датасета.

Датасет будет состоять из нескольких датасетов, найденных в Интернете. К изображениям предъявляются следующие требования: отбираются датасеты с изображениями дронов/видеокамер с вышек, должны быть примеры с проблемами, описанными ранее. Повысить точность модели можно, расширив датасет, это можно сделать, объединяя разные существующие датасеты или создавая новые изображения путем редактирования существующих, добавляя на них признаки пожара, то есть дыма или огня; подобрав оптимальную архитектуру сверточной нейронной сети.

Заключение

В заключении можно сделать вывод, что задача автоматического обнаружения пожаров на изображениях лесных территорий и разработка модели для ее решения является актуальными. Для решения существуют инструменты, позволяющие создать и обучить собственную модель. Добиться оптимальных результатов позволят подбор параметров сверточной нейронной сети и обширный датасет, включающий в себя изображения, учитывающие особенности этой задачи.

Библиографический список

1. Гудфеллоу Я., Бенджио Ю., Курвилль А. Глубокое обучение – М.: ДМК Пресс, 2017. – 652 с. ISBN 978-5-97060-554-4.
2. Шолле Ф. Глубокое обучение на Python – СПб.: Питер, 2022. – 400 с. ISBN 978-5-4461-1668-8.
3. Muhammad K., Ahmad J., Lv Z. Efficient Deep CNN-Based Fire Detection System // IEEE Access. – 2019. – Vol. 7. DOI: 10.1109/ACCESS.2019.2895760.
4. Frizzi S., Kaabi R., Bouchouicha M. Convolutional Neural Network for Fire Detection – 2018. – Vol. 65, no. 1 DOI: 10.1109/TIE.2017.2725581.

© Батыршин К.И., 2025

А.А. ВАГИЗОВ, А.Р. ЯКОВЛЕВ

kio77to@gmail.com, talamaka@yandex.ru,

Науч. руковод. – канд. техн. наук ВМиК Е.Ю. САЗОНОВА

Уфимский университет науки и технологий

СОВРЕМЕННЫЕ МЕТОДЫ КОМПЬЮТЕРНОГО ЗРЕНИЯ В МЕДИЦИНЕ: АНАЛИЗ АЛГОРИТМОВ И ПЕРСПЕКТИВЫ ПРИМЕНЕНИЯ

Аннотация: в статье проведен анализ современных исследований в области применения компьютерного зрения для решения задач медицинской диагностики. Рассмотрены ключевые направления: классификация, сегментация и детекция на медицинских изображениях. Особое внимание уделено возможностям и ограничениям глубокого обучения, включая сверточные нейронные сети (CNN), архитектуры U-Net, трансформеры, а также проблемам интерпретируемости и обобщаемости моделей. На примере открытого датасета рентгенограмм грудной клетки проведен сравнительный анализ эффективности архитектур VGG16, ResNet50 и EfficientNetB0 для задачи обнаружения пневмонии. Показано, что современные эффективные архитектуры (EfficientNetB0) показывают точность свыше 92% и являются предпочтительным выбором для подобных задач. Систематизированы основные вызовы и перспективные направления развития области.

Ключевые слова: компьютерное зрение, медицинская диагностика, глубокое обучение, сверточные нейронные сети, классификация изображений, сегментация, объяснимый искусственный интеллект (XAI), анализ медицинских изображений.

Введение

Современная медицинская диагностика все больше полагается на методы медицинской визуализации: рентгенографию, компьютерную (КТ) и магнитно-резонансную (МРТ) томографию, ультразвуковое исследование (УЗИ) и др. Рост объема данных и высокая нагрузка на врачей-рентгенологов стимулируют развитие систем автоматизированного анализа изображений на основе искусственного интеллекта (ИИ) и компьютерного зрения [1].

Наиболее значительный прогресс в этой области связан с глубоким обучением (deep learning), в частности, со сверточными нейронными сетями (CNN, Convolutional Neural Networks), которые показали выдающиеся результаты в задачах классификации, сегментации и детекции объектов на изображениях [2]. Однако внедрению таких систем в клиническую практику препятствуют ряд проблем: необходимость больших размеченных датасетов,

проблема «черного ящика», недостаточная обобщающая способность моделей и вопросы регуляторного одобрения [3].

Целью данного исследования является анализ современного состояния, ключевых методов и основных проблем в области компьютерного зрения для медицины, а также экспериментальная оценка эффективности стандартных архитектур CNN для задачи бинарной классификации.

Подход к компьютерному зрению в медицине

Для анализа современного состояния области был проведен обзор научных публикаций в базах данных IEEE Xplore, PubMed, arXiv.org и др. за последние 5 лет. Основное внимание уделено работам, посвященным применению CNN, U-Net и трансформеров в медицинской визуализации.

В практической части исследования для сравнительного анализа был выбран открытый датасет «Chest X-Ray Images (Pneumonia)» [4]. Датасет содержит 5856 рентгенограмм грудной клетки (1583 изображения — класс «NORMAL», 4273 — «PNEUMONIA»). Изображения были приведены к размеру 224x224 пикселей и нормализованы.

Для экспериментов были выбраны три предобученные на датасете ImageNet архитектуры: VGG16, ResNet50, EfficientNetB0

Для каждой архитектуры была заменена головная часть (fully connected layers) для решения задачи бинарной классификации. Использовался метод transfer learning и fine-tuning. Модели обучались с аугментацией данных (random rotations, shifts) для снижения риска переобучения. Оптимизатор — Adam, функция потерь — binary crossentropy. Для оценки использовались метрики: Accuracy, Precision, Recall, F1-Score.

Проведенный обзор позволил выделить доминирующие подходы:

– Классификация: наиболее распространены архитектуры семейств ResNet, DenseNet, EfficientNet и их модификации, используемые как в качестве feature extractors, так и с применением transfer learning [5].

– Сегментация: Архитектура U-Net и ее многочисленные модификации (например, 3D U-Net для объемных данных, nnU-Net для автоматической конфигурации) являются стандартом de facto для выделения областей интереса на медицинских изображениях [6].

– Детекция: Для локализации патологий применяются архитектуры типа R-CNN, YOLO и их производные, адаптированные для работы с медицинскими данными.

– Современные тренды: активно исследуется применение трансформеров (Vision Transformer, Swin Transformer) и гибридных моделей (например, TransUNet [7]), сочетающих в себе способность CNN к выделению локальных features и способность трансформеров улавливать глобальные контекстные зависимости.

Ключевыми проблемами области остаются:

– Нехватка данных: Разметка медицинских изображений требует экспертных знаний и дорогостояща.

– Смещение данных (Bias): Модели, обученные на данных одной больницы, часто плохо работают на данных другой из-за различий в оборудовании и протоколах [8].

– Интерпретируемость: для клиницистов критически важно понимать, на основании чего модель приняла решение, что стимулирует развитие методов Explainable AI (XAI) — Grad-CAM, LIME, SHAP [9].

Был проведен эксперимент с тремя архитектурами. Сравнительный анализ трех архитектур на датасете рентгенограмм показал следующие результаты (усредненные по validation set) (табл.1)

Таблица 5

Сравнение метрик эффективности архитектур CNN

| Архитектура | Acceracy | Precision | Recall | F1-Score |
|----------------|----------|-----------|--------|----------|
| VGG16 | 0.87 | 0.89 | 0.93 | 0.91 |
| ResNet50 | 0.91 | 0.93 | 0.95 | 0.94 |
| EfficientNetB0 | 0.93 | 0.94 | 0.96 | 0.95 |

Как видно из таблицы, архитектура EfficientNetB0 показала наилучшие результаты по всем метрикам, продемонстрировав преимущество своего подхода к масштабированию и эффективному использованию параметров. ResNet50 показала близкие, но чуть более низкие результаты. VGG16, несмотря на свою историческую значимость, значительно уступает современным архитектурам, показывая большую склонность к переобучению и меньшую обобщающую способность.

Заключение

Проведенное исследование подтверждает, что методы компьютерного зрения на основе глубокого обучения являются мощным инструментом для автоматизации анализа медицинских изображений. Доминирующими подходами остаются сверточные нейронные сети и их архитектуры-наследники (U-Net, EfficientNet), хотя активно набирают популярность гибридные модели и трансформеры.

Экспериментальная часть работы demonstrated, что корректный выбор архитектуры (EfficientNet) позволяет достигать высокой точности (>92%) даже на относительно небольших датасетах с использованием методов transfer learning.

Перспективными направлениями для дальнейших исследований являются: развитие методов обучения с слабым присмотром (weak supervision) и самообучения (self-supervised learning) для преодоления нехватки данных, повышение надежности и обобщаемости моделей, а также дальнейшая разработка и интеграция методов объяснимого ИИ (XAI) для построения доверительных отношений между врачом и системой ИИ.

Библиографический список

1. Ranneberger, O., Fischer, P., & Brox, T. (2015). U-Net: Convolutional Networks for Biomedical Image Segmentation. arXiv. <https://arxiv.org/abs/1505.04597>
2. Chen, J., Lu, Y., Yu, Q., Luo, X., Adeli, E., Wang, Y., ... & Zhou, Y. (2021). TransUNet: Transformers Make Strong Encoders for Medical Image Segmentation. arXiv. <https://arxiv.org/abs/2102.04306>
3. Wang, L., Lin, Z. Q., & Wong, A. (2020). COVID-Net: a tailored deep convolutional neural network design for detection of COVID-19 cases from chest X-ray images. *Scientific Reports*, 10(1), 19549. <https://www.nature.com/articles/s41598-020-76550-z>
4. Rajpurkar, P., Irvin, J., Zhu, K., Yang, B., Mehta, H., Duan, T., ... & Ng, A. Y. (2017). CheXNet: Radiologist-Level Pneumonia Detection on Chest X-Rays with Deep Learning. arXiv. <https://arxiv.org/abs/1711.05225>
5. Isensee, F., Jaeger, P. F., Kohl, S. A., Petersen, J., & Maier-Hein, K. H. (2021). nnU-Net: a self-configuring method for deep learning-based biomedical image segmentation. *Nature Methods*, 18(2), 203-211. <https://www.nature.com/articles/s41592-020-01008-z>
6. Litjens, G., Kooi, T., Bejnordi, B. E., Setio, A. A. A., Ciompi, F., Ghafoorian, M., ... & Sánchez, C. I. (2017). A survey on deep learning in medical image analysis. *Medical Image Analysis*, 42, 60-88. <https://www.sciencedirect.com/science/article/abs/pii/S1361841517301135>
7. Reyes, M., Meier, R., Pereira, S., Silva, C. A., Dahlweid, F. M., Tengg-Kobligk, H., ... & Wiest, R. (2020). On the Interpretability of Artificial Intelligence in Medical Image Analysis: Fundamentals, Theory, and Applications. *IEEE Reviews in Biomedical Engineering*. <https://ieeexplore.ieee.org/document/9125707>
8. Бибиков О.С. Применение искусственного интеллекта для диагностики рака кожи: преимущества и вызовы // Вестник современных технологий. – 2021. – № 3(44). – С. 45-52. <https://cyberleninka.ru/article/n/primenenie-iskusstvennogo-intellekta-dlya-diagnostiki-raka-kozhi-preimuschestva-i-vyzovy>
9. Zech, J. R., Badgeley, M. A., Liu, M., Costa, A. B., Titano, J. J., & Oermann, E. K. (2018). Variable generalization performance of a deep learning model to detect pneumonia in chest radiographs: a cross-sectional study. *PLOS Medicine*, 15(11), e1002683. <https://journals.plos.org/plosmedicine/article?id=10.1371/journal.pmed.1002683>
10. Çiçek, Ö., Abdulkadir, A., Lienkamp, S. S., Brox, T., & Ronneberger, O. (2016). 3D U-Net: learning dense volumetric segmentation from sparse annotation. In *International Conference on Medical Image Computing and Computer-Assisted Intervention* (pp. 424-432). Springer, Cham. https://link.springer.com/chapter/10.1007/978-3-319-46723-8_49
11. Vaswani, A., Shazeer, N., Parmar, N., Uszkoreit, J., Jones, L., Gomez, A. N., ... & Polosukhin, I. (2017). Attention is All You Need. *Advances in Neural Information Processing Systems*, 30, 5998-6008.

<https://papers.nips.cc/paper/2017/hash/3f5ee243547dee91fbd053c1c4a845aa-Abstract.html>

12. He, K., Zhang, X., Ren, S., & Sun, J. (2016). Deep Residual Learning for Image Recognition. In Proceedings of the IEEE Conference on Computer Vision and Pattern Recognition (pp. 770-778). <https://arxiv.org/abs/1512.03385>

13. Huang, G., Liu, Z., Van Der Maaten, L., & Weinberger, K. Q. (2017). Densely Connected Convolutional Networks. In Proceedings of the IEEE Conference on Computer Vision and Pattern Recognition (pp. 4700-4708). <https://arxiv.org/abs/1608.06993>

14. Hatamizadeh, A., Tang, Y., Nath, V., Yang, D., Myronenko, A., Landman, B., ... & Xu, D. (2022). UNETR: Transformers for 3D Medical Image Segmentation. In Proceedings of the IEEE/CVF Winter Conference on Applications of Computer Vision (pp. 574-584). <https://arxiv.org/abs/2103.10504>

15. Selvaraju, R. R., Cogswell, M., Das, A., Vedantam, R., Parikh, D., & Batra, D. (2017). Grad-CAM: Visual Explanations from Deep Networks via Gradient-Based Localization. In Proceedings of the IEEE International Conference on Computer Vision (pp. 618-626). <https://arxiv.org/abs/1610.02391>

16. Irvin, J., Rajpurkar, P., Ko, M., Yu, Y., Ciurea-Ilcus, S., Chute, C., ... & Ng, A. Y. (2019). CheXpert: A Large Chest Radiograph Dataset with Uncertainty Labels and Expert Comparison. In Proceedings of the AAAI Conference on Artificial Intelligence, 33(01), 590-597. <https://arxiv.org/abs/1901.07031>

17. Esteva, A., Kuprel, B., Novoa, R. A., Ko, J., Swetter, S. M., Blau, H. M., & Thrun, S. (2017). Dermatologist-level classification of skin cancer with deep neural networks. *Nature*, 542(7639), 115-118. <https://www.nature.com/articles/nature21056>

18. Antonelli, M., Reinke, A., Bakas, S., Farahani, K., Kopp-Schneider, A., Landman, B. A., ... & Heller, N. (2022). The Medical Segmentation Decathlon. *Nature Communications*, 13(1), 4128. <https://www.nature.com/articles/s41467-022-30695-9>

19. Oktay, O., Schlemper, J., Folgoc, L. L., Lee, M., Heinrich, M., Misawa, K., ... & Rueckert, D. (2018). Attention U-Net: Learning Where to Look for the Pancreas. arXiv preprint arXiv:1804.03999. <https://arxiv.org/abs/1804.03999>

20. McKinney, S. M., Sieniek, M., Godbole, V., Godwin, J., Antropova, N., Ashrafian, H., ... & Shetty, S. (2020). International evaluation of an AI system for breast cancer screening. *Nature*, 577(7788), 89-94. <https://www.nature.com/articles/s41586-019-1799-6>

© Вагизов А.А., Яковлев А.Р., 2025

И.Ю. ВАЛЕЕВ

gooddoog824@gmail.com

Науч. руковод. – доцент, профессор военных наук А.Д. НИКОЛАЕВ

Уфимский университет науки и технологий

ТЕХНОЛОГИЯ RAG ДЛЯ ПОСТРОЕНИЯ AI-АССИСТЕНТОВ В ПРЕДМЕТНО-ОРИЕНТИРОВАННЫХ ОБЛАСТЯХ

Аннотация: внедрение искусственного интеллекта в сферу информационной безопасности открывает новые возможности для автоматизации рутинных задач, в частности быстрого поиска и анализа нормативных требований. Это позволяет специалистам по ИБ экономить до 80% времени, и сосредоточиться на решении стратегических задач. Однако обычные большие языковые модели часто предоставляют устаревшую или неточную информацию. Технология Retrieval-Augmented Generation (RAG) решает эту проблему, обеспечивая точные ответы на основе актуальной законодательной базы РФ с обязательной ссылкой на источники.

Ключевые слова: искусственный интеллект, информационная безопасность, RAG, законодательство РФ, автоматизация поиска, большие языковые модели.

Современная нормативная база Российской Федерации в области информационной безопасности характеризуется исключительной динамичностью и сложностью. Помимо постоянного обновления ключевых федеральных законов (152-ФЗ «О персональных данных», 187-ФЗ «О безопасности критической информационной инфраструктуры», 149-ФЗ «Об информации, информационных технологиях и о защите информации»), активно развивается массив подзаконных актов. Регуляторы, такие как ФСТЭК России, ФСБ России и Роскомнадзор, выпускают многочисленные приказы, методические рекомендации и требования, регламентирующие различные аспекты защиты информации. Особую значимость имеют требования к государственным информационным системам (ГИС), объектам критической информационной инфраструктуры (КИИ) и автоматизированным системам управления технологическими процессами (АСУ ТП), поскольку именно эти категории информационных систем подлежат наиболее строгому регулированию.

Параллельно с этим технические средства защиты информации (СЗИ) постоянно эволюционируют - производители выпускают обновления, патчи для устранения уязвимостей, новые версии программного и аппаратного обеспечения. Этот постоянный поток изменений создает серьезные операционные вызовы для специалистов по информационной безопасности,

вынуждая их к непрерывному обучению и отнимая ценное время, которое могло бы быть направлено на решение практических задач защиты.

Традиционные большие языковые модели, обученные на исторических срезах данных, не способны оперативно отслеживать эти изменения. Они не обладают актуальной информацией ни о новых редакциях приказов ФСТЭК, ни о технических характеристиках, ни о функциональных возможностях и ограничениях современных средств защиты информации. Это закономерно приводит к «галлюцинациям» - генерации недостоверной или устаревшей информации, что делает стандартные LLM непригодными для использования в задачах проектирования, аудита и администрирования систем защиты информации. Технология Retrieval-Augmented Generation (RAG) предлагает другой подход, который позволяет обойти эти недостатки больших языковых моделей.

Для создания эффективной RAG-системы в области информационной безопасности необходимо сформировать комплексную базу знаний, включающую следующие компоненты:

Нормативно-правовая база:

- Федеральные законы в сфере ИБ (152-ФЗ, 187-ФЗ, 149-ФЗ);
- Подзаконные акты и приказы регуляторов (ФСТЭК, ФСБ, Роскомнадзор);
- Технические регламенты и стандарты (ГОСТы, приказы Минцифры).

Техническая документация:

- Руководства по эксплуатации средств защиты информации;
- Ответы на типовые проблемы из форумов технической поддержки вендоров;
- Самописные инструкции и мануалы по внедрению и администрированию СЗИ;
- Базы знаний и FAQ от сообществ практикующих специалистов.

Особое внимание следует уделить предобработке данных: разбиению документов на семантически целостные фрагменты (чанки) с сохранением ссылок на статьи нормативных актов и версий технической документации. Для технических средств защиты важно отслеживание версионности - каждая новая версия ПО или прошивки должна рассматриваться как отдельный объект в базе знаний.

Технология Retrieval-Augmented Generation (RAG) работает по принципу «сначала найди, потом сгенерируй» и состоит из трех ключевых этапов:

1. Этап поиска (Retrieval)

Когда пользователь задает вопрос, система сначала ищет наиболее подходящие ответы в специальной базе знаний. Это похоже на то, как специалист ищет информацию в нормативных документах или технической документации. Система анализирует не только ключевые слова, но и смысл

запроса, что позволяет находить релевантные фрагменты даже в сложных случаях.

2. Этап обогащения (Augmentation)

Найденные материалы: статьи законов, фрагменты технической документации, решения с форумов поддержки - добавляются к исходному вопросу пользователя. Таким образом, языковая модель получает не «голый» запрос, а вопрос вместе с соответствующим контекстом из проверенных источников.

3. Этап генерации (Generation)

На основе полученного контекста языковая модель формирует точный и структурированный ответ. Важно, что модель не просто копирует информацию, а анализирует ее, обобщает и представляет в удобном для пользователя виде, обязательно указывая источники использованных данных.

Схема работы обычной LLM (Рисунок 1)

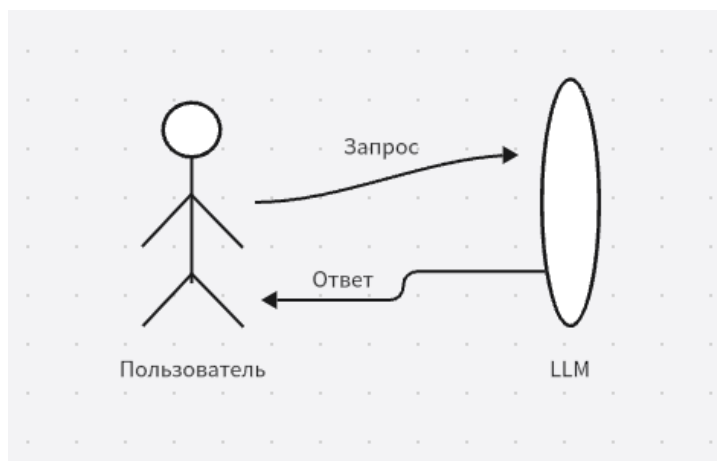


Рис. 22. Схема работы обычной LLM

Схема работы RAG - системы (Рисунок 2)

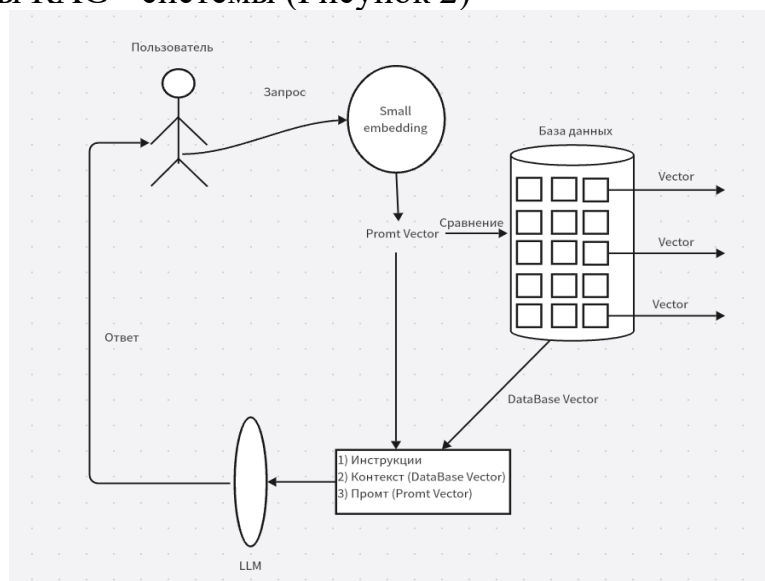


Рис. 23. Схема работы RAG - системы

Ключевое преимущество RAG-подхода заключается в том, что система всегда работает с актуальными данными из обновляемой базы знаний. В отличие от классических LLM, которые «застывают» на моменте своего обучения и требуют дорогостоящего и длительного переобучения для получения новых знаний, RAG-система позволяет мгновенно добавлять новую информацию — будь то свежие нормативные требования, обновления СЗИ или практические решения с форумов поддержки. Это делает технологию идеальным решением для динамичных предметных областей, таких как информационная безопасность.

Для успешной реализации RAG-системы в области информационной безопасности рекомендуется следующий пошаговый подход:

1. Формирование базы знаний

- Сбор нормативных документов (ФЗ-152, ФЗ-187, приказы ФСТЭК, требования к ГИС и КИИ)
- Накопление технической документации по СЗИ
- Сохранение практических материалов: решений с форумов поддержки, мануалов по внедрению, типовых конфигураций
- Регулярное обновление базы при появлении новых документов или обновлений СЗИ

2. Предобработка данных

- Разбиение документов на логические блоки (чанки) по 500-1000 символов
- Сохранение метаданных: тип документа, дата актуальности, источник
- Для технической документации — указание версий ПО и аппаратных платформ
- Создание векторных представлений для каждого блока с помощью моделей эмбедингов

3. Настройка поискового механизма

- Выбор векторной базы данных (например, ChromaDB, Qdrant или Weaviate)
- Настройка алгоритма семантического поиска с учетом синонимов и терминологии ИБ
- Реализация гибридного поиска (семантический + ключевые слова)

4. Интеграция с языковой моделью

- Выбор LLM (открытые модели Llama 3, Mistral или GPT-4 через API)
- Разработка шаблонов промптов с учетом специфики ИБ-запросов
- Настройка системы цитирования источников в ответах

5. Обеспечение актуальности системы

— Реализация механизма регулярного обновления
базы знаний

— Настройка мониторинга изменений в нормативной базе

Проведенное исследование демонстрирует, что создание и внедрение RAG-системы, специализированной на области информационной безопасности, способно кардинально сократить временные затраты специалистов на поиск и верификацию информации. Автоматизируя рутинные операции по работе с нормативной базой, технической документацией и практическими рекомендациями, система высвобождает ценнейший ресурс, время, для решения более сложных и стратегических задач.

Вместе с тем, принципиально важно понимать, что подобная система является мощным инструментом-помощником, а не заменой квалифицированному специалисту. Критическое мышление, опыт, способность к комплексному анализу и принятию ответственных решений остаются исключительной прерогативой человека. RAG-система призвана усилить эксперта, предоставив ему оперативный доступ к релевантным знаниям, но итоговые выводы и ответственность за реализованные решения всегда лежат на самом специалисте по защите информации.

Библиографический список

1. Большие языковые модели (LLM) в задачах // Хабр / [Электронный ресурс]. – Режим доступа: URL: <https://habr.com/ru/articles/775870>.

2. RAG (Retrieval Augmented Generation) — простое и понятное объяснение // Хабр / [Электронный ресурс]. – Режим доступа: URL: <https://habr.com/ru/articles/779526/>

3. Что такое Retrieval-Augmented Generation (RAG) в языковых моделях и как оно работает? // Хабр / [Электронный ресурс]. – Режим доступа: URL: <https://habr.com/ru/articles/841428>.

4. Как выбрать embedding модель без датасета и исторических данных // Хабр. [Электронный ресурс]. – Режим доступа: URL: <https://habr.com/ru/articles/562064>.

5. Маленький и быстрый BERT для русского языка // Хабр. [Электронный ресурс]. – Режим доступа: URL: <https://habr.com/ru/articles/885196>.

© Валеев И. Ю., 2025

Т.Р. ВАХИТОВ, М.С. ШАРЫГИН

maxim.sharigin77@gmail.com

Науч. руковод. – канд. техн. наук, доц. О.С. НУРГАЯНОВА

Уфимский университет науки и технологий

«ZERO-SHOT LEARNING» (ОБУЧЕНИЕ С НУЛЕВОЙ ОБУЧАЮЩЕЙ ВЫБОРКОЙ)

Аннотация: чем больше доступных данных для обучения, тем легче создать модель с высоким качеством. Однако при изучении новых или редких явлений данные могут отсутствовать или иметься в ограниченном количестве. Кроме того, даже при наличии данных в необходимом объеме, на их подготовку может не хватать времени или ресурсов. Таким образом, возникла идея минимизировать затраты на обучение моделей, используя новый способ подготовки данных – обобщение множества категорий. Так появились методы машинного обучения, распознающие новые классы с помощью одного или нескольких обучающих примеров либо даже без них.

Ключевые слова: искусственный интеллект (ИИ); обучение без примеров; zero-shot learning; Contrastive Language-Image Pre-training (CLIP).

Введение

«Zero-shot learning» подразумевает способность искусственного интеллекта осваивать новые задачи без обучения на конкретных примерах. Вместо них необходимо изложить тематику и подготовить вспомогательную информацию – семантические описания, атрибуты или связи с уже известными понятиями, то есть ключевая идея заключается в том, чтобы наделить модель способностью корректно распознавать объекты и решать задачи с такими классами, которые она никогда не видела в процессе обучения [1]. Например, модель, изначально обученная распознавать лошадей и тигров, сможет без дополнительных примеров идентифицировать и зебру, если мы объясним ей, что зебра – это «лошадь в черно-белую полоску».

В статье исследуется обучение без примеров, история его возникновения, области применения, недостатки такого подхода, а также этапы работы алгоритма распознавания.

История создания

Основы этого направления были заложены ещё в конце двухтысячных годов. Первая статья об обучении без примеров для обработки естественного языка была написана и представлена в 2008 году Чангом, Ратиновым, Ротом и Шрикумарой на конференции «Ассоциации развития искусственного интеллекта» [2]. Следующим знаковым событием стала работа в области

компьютерного зрения ученого Кристофа Лэмперта «Learning to Detect Unseen Object Classes by Between-Class Attribute Transfer» [3], опубликованная в 2009 году. Именно в этом исследовании была продемонстрирована возможность переноса знаний между видимыми и невидимыми для модели классами через общие семантические атрибуты. Дальнейшее развитие «zero-shot learning» проводили ведущие университеты и исследовательские центры мира, таких как Стэнфорд, «MIT», Университет Карнеги-Меллон, а также лаборатории технологических корпораций, включая «Google» и «Meta».

Современное состояние

Настоящий прорыв и популяризацию обучение без примеров пережило в период с 2018 по 2023 годы благодаря развитию больших мультимодальных моделей. Наиболее ярким и известным примером такой реализации стала модель «CLIP» (Contrastive Language-Image Pre-training), разработанная компанией «OpenAI» и представленная в 2021 году. «CLIP» продемонстрировала способность классифицировать изображения по текстовым описаниям, без какого-либо дообучения на целевом наборе данных, и стала эталоном в этой области.

Применение

Благодаря своим уникальным возможностям «CLIP» нашел применение в самых разных практических областях [4]:

Семантический поиск изображений: «CLIP» поддерживает продвинутые поисковые системы, в которых пользователи могут находить изображения, используя запросы на естественном языке вместо тегов с ключевыми словами. Например, покупатель может искать в каталоге онлайн-магазина «синюю полосатую рубашку для мужчины» и получать релевантные результаты, даже если продукты явно не помечены этими точными словами.

Модерация контента: платформы социальных сетей могут использовать «CLIP» для автоматической пометки изображений, на которых присутствует неподобающий контент, например символы ненависти или сцены насилия. Это более гибко, чем применение традиционных методов, поскольку позволяет выявлять нарушения на основе текстового описания, не требуя предварительно помеченного набора данных для каждого возможного типа запрещенного контента.

Управление генеративным ИИ: кодировщики «CLIP» имеют решающее значение для управления генеративными моделями ИИ, такими как «DALL-E» или «Stable Diffusion». Когда пользователь задаёт модели запрос, «CLIP» сравнивает сгенерированное изображение и с этим описанием и оценивает, насколько они совпадают по смыслу. Если совпадение недостаточное, то «CLIP» сообщает об этом генеративной модели и корректирует запрос на создание более точной картинки.

Автоматическая генерация описаний: модель может создавать описания для изображений. Программы для чтения с экрана используют такие описания

для передачи визуального контента пользователям с нарушениями зрения, что делает сайты для них более доступными.

Ограничения

Далее обсудим ограничения, который присутствуют в модели «CLIP» [5]:

Абстрактные и сложные задачи: «CLIP» плохо справляется с подсчетом количества объектов на изображении и определением расстояний.

Чувствительность к формулировкам: работа модели сильно зависит от формулировки запроса, поэтому могут возникать ситуации, когда пользователю необходимо его уточнить.

Социальные предубеждения: поскольку обучение модели проводилось на самых разных данных из интернета, то «CLIP» может унаследовать содержащиеся в них социальные стереотипы и предубеждения, присутствующие в этих данных.

Работа модели

Далее обсудим, как работает модель, какие существуют подходы к представлению знаний и как проходит их подготовка и обучение

Подходы к представлению знаний

Использование атрибутов: классы описываются через набор признаков (например, "есть хвост", "имеет полосы"). Модель учится распознавать эти атрибуты, а затем комбинировать их для классификации новых объектов. Этот подход был фундаментальным в ранних работах, например, в приведенном ранее исследовании Лэмперта [3].

Использование эмбедингов – векторных представлений слов (Word Embeddings): названия классов преобразуются в семантические векторы с помощью моделей типа «Word2Vec» или «GloVe». Это позволяет модели улавливать языковые связи между понятиями (например, "тигр" семантически ближе к "кошке", чем к "автомобилю"), что помогает в обобщении на новые классы.

Подготовка и обучение

Сначала происходит создание семантического пространства: модель обучается на большом наборе данных, где каждому изображению соответствует текстовое описание, что позволяет модели научиться понимать связь между ними. Затем проводится контрастное обучение (Contrastive Learning): алгоритм учится максимизировать схожесть между векторами правильных пар "изображение-текст" и минимизировать для неправильных, для этого используется функция потерь «InfoNCE», которая формализует эту задачу, вычисляя, насколько вероятно, что данное изображение соответствует данному тексту среди всех возможных пар в батче. Именно этот метод лежит в основе модели «CLIP», которая обучалась на примере 400 миллионов пар. «CLIP» преобразует изображения и тексты в эмбединги в общем пространстве, где

семантическая близость соответствует короткому расстоянию между векторами.

Распознавание

Кодирование классов: новые классы объектов, с которыми модель не сталкивалась при обучении, описываются через их атрибуты или текстовые промпты. Эти описания преобразуются в векторы-эталоны с помощью текстового энкодера. В модели «CLIP» в качестве текстового энкодера используется архитектура «Transformer», а в качестве визуального – «ViT» (Vision Transformer) или «ResNet». Это позволяет эффективно извлекать признаки из данных разной природы.

Сравнение в едином пространстве: вектор нового изображения, полученный от визуального энкодера, сравнивается со всеми векторами-эталонами классов. Для сравнения используется метрика косинусного сходства.

Принятие решения: класс, вектор-эталон которого оказался ближе всего к вектору изображения, и является результатом распознавания [6].

Заключение

Новый подход к обучению: обучение с нулевой обучающей выборкой позволяет моделям распознавать новые объекты, которые она не встречала ранее.

Эффективность технологий: современные «zero-shot learning» модели (например, «CLIP»), демонстрируют высокую эффективность благодаря работе в едином семантическом пространстве для текста и изображений.

Широкое применение: технология успешно применяется во многих направлениях, как, например, модерация контента или контроль генеративных моделей ИИ.

Библиографический список

1. Сайт «BSS» – URL: <https://bssys.com/about/press-center/newsc/zero-shot-kak-obuchit-virtualnogo-assistentu-bez-dannykh/>
2. Сайт «Wikipedia» – URL: https://en.wikipedia.org/wiki/Zero-shot_learning
3. Статья Кристофа Лэмпера «Learning to Detect Unseen Object Classes by Between-Class Attribute Transfer» – URL: https://www.researchgate.net/publication/227943302_Learning_To_Detect_Unseen_Object_Classes_by_Between-Class_Attribute_Transfer
4. Сайт «Ultralytics» – URL: <https://www.ultralytics.com/ru/glossary/clip-contrastive-language-image-pre-training>
5. Сайт «OpenAI» – URL: <https://openai.com/index/clip/>
6. Сайт «Хабр» – URL: <https://habr.com/ru/articles/537334/>

© Вахитов Т.Р., Шарыгин М.С., 2025

УДК 004.89

Т.Р. ВАХИТОВ, М.С. ШАРЫГИН

maxim.sharigin77@gmail.com

Науч. руковод. – канд. техн. наук, доц. О.С. НУРГАЯНОВА

Уфимский университет науки и технологий

СИСТЕМА ВИЗУАЛЬНОГО ПРОЕКТИРОВАНИЯ И МАРШРУТИЗАЦИИ ИОТ-УСТРОЙСТВ

Аннотация: в работе представлена система, позволяющая проектировать взаимодействие IoT-устройств. Каждое устройство, логический элемент, алгоритм обработки данных и т. п. представлены в виде узлов, а связи между ними задают направление передачи сообщений. Система позволяет создавать сложные сценарии обработки данных, не требуя навыков программирования (zero-code), и обеспечивает гибкую маршрутизацию между устройствами, а также имеет высокую масштабируемость.

Ключевые слова: IoT, интернет вещей, MQTT, брокер сообщений.

Введение

Интернет вещей (IoT) стремительно развивается и становится одним из ключевых направлений цифровизации промышленности, городской инфраструктуры и «умных домов».

Согласно аналитическим прогнозам, к 2030 году число подключенных IoT-устройств превысит 25 миллиардов, а объемы генерируемых данных – десятки зеттабайтов в год.

Однако несмотря на бурное развитие аппаратных решений, программная интеграция устройств остается сложной задачей. Для соединения сенсоров, контроллеров и облачных сервисов требуются обширные знания, также чаще всего в IoT используются маломощные вычислительные устройства, которые программируются на низкоуровневых языках программирования. Это создает барьер как для быстрого прототипирования, так и для динамических изменений и масштабирования готовых систем.

Возникает необходимость в высокоуровневых и простых инструментах проектирования, которые позволяют создавать различные сценарии взаимодействия. В статье рассматривается система, предоставляющая такие возможности, разобраны структура и особенности функционирования.

Идея

Реализовать систему, позволяющую динамически, визуально и без программирования выстраивать схему взаимодействия IoT-устройств. Для визуального представления было решено использовать граф, узлами которого

будут устройства и специальные обработчики сообщений, а ребрами будут отображаться направления передачи сообщения.

Общее описание архитектура

Взаимодействие в системе происходит через «MQTT/WSS» протокол, каждый узел (устройство или вычислительная нода) может находиться в следующих состояниях:

1. Ожидает сообщение
2. Обрабатывает сообщение
3. При необходимости отправляет далее.

Узлы также предоставляют информацию о своем состоянии через «MQTT» сообщения.

Узлы не имеют представления о структуре схемы и связях, и для маршрутизации сообщений используется другой отдельный сервис, который передает сообщения между топиками узлов.

MQTT Брокер сообщений

MQTT Брокер – брокер сообщений, посредник при обмене информации между устройствами в сети, является центром для хранения и маршрутизации сообщений.

Для передачи сообщения используется «MQTT» (Message Queuing Telemetry Transport) – легкий протокол обмена данными, ориентирован на обмен сообщений по типу «издатель – подписчик» с помощью топиков (текстовых адресов).

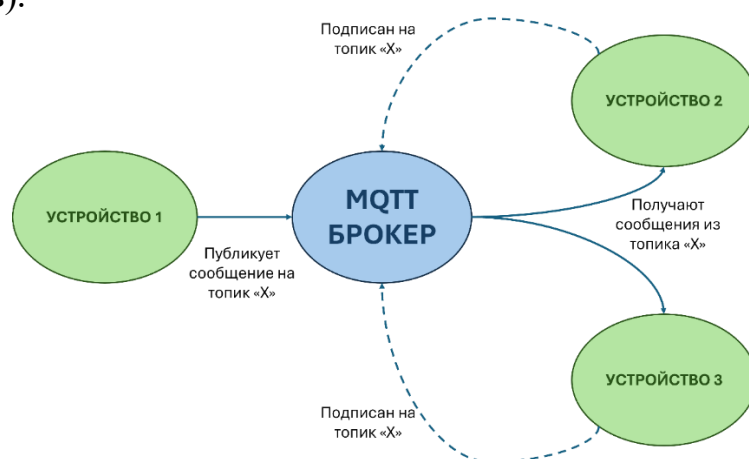


Рис. 1. Схема взаимодействия через MQTT брокер

Отправив сообщение «х» на топик «тест/сенсор» и сообщение «у» на топик «тест/сенсор/температура» устройства получают следующие сообщения:

- подписанные на «тест/сенсор» получают сообщение «х»
- подписанные на «тест/сенсор/температура» получают сообщение «у»
- подписанные на «#» или «тест/#» получают все сообщения
- подписанные на «+/+/+» получают сообщение «у»

Брокер сообщений развернем на сервере с помощью «Docker». В качестве брокера идеально подойдет «EMQX», который помимо самого брокера представляет удобную веб-панель, а самое важное – инструменты для авторизации.

Так как количество узлов в схеме может быть очень большим, а состояние нод очень динамично, кроме пересылки сообщений брокер также будет использоваться для представления информации о состоянии нод.

Внутренний брокер сообщений

Так как система имеет микросервисную архитектуру, то есть представлена множеством независимых приложений, необходимо реализовать их взаимодействие. Для дополнительной изоляции, безопасности и оптимизации будем использовать отдельный внутренний брокер от внешнего и публичного MQTT брокера, а именно – «RabbitMQ».

В «RabbitMQ» сообщения отправляются не через топики, а очереди сообщений. Важной их особенностью является то, что если в «MQTT» брокере каждое сообщение получают все подписчики топика, то в очереди каждое сообщение отдается только одному потребителю («FIFO» – «первый пришел – первый вышел»). Это позволяет разделить нагрузку между несколькими сервисами и/или репликами одного.

Сервис «Мост»

Данный сервис реализует пересылку сообщений между «MQTT» брокером и внутренним брокером (и всеми остальными сервисами), и соответственно, состоит из двух частей: из «MQTT» в «RabbitMQ» («MQTT2Rabbit»), из «RabbitMQ» в «MQTT» («Rabbit2MQTT»)

Как уже было сказано, сообщения в MQTT получают не в рамках очереди, а все подписчики топика, поэтому мы можем свободно горизонтально масштабировать «Rabbit2MQTT», но не «MQTT2Rabbit», так как каждая реплика будет получать каждое сообщение. Это является узким местом в системе, так как все остальные сервисы поддерживают репликацию

Сервис «Менеджер узлов»

Данный сервис реализует функционал маршрутизации сообщений, хранит информацию о схемах и связях нод, а также их описание.

Сервис подписан на топики нод, при получении нового сообщения, он определяют все связанные ноды и перенаправляет сообщение на их топики.

Сервисы «Обработчики узлов»

Данные сервисы реализуют функционал вычислительных нод. Они ожидают на своих топиках сообщения от «менеджера узлов», обрабатывают их и отправляют обратно. Основной функционал вынесен в библиотеку.

Данный сервис был специально вынесен отдельно, для дополнительной масштабируемости. То есть для реализации новых функциональных нод, можно добавить дополнительный сервис с данной библиотекой.

Пользователи также могут создавать свои варианты данного сервиса (свои ноды) с помощью специального токена.

Клиентская часть

Клиентская часть представлена сайтом на «NextJS» и реализует визуальный интерфейс для построения графа и мониторинга потока данных.

Также пользователь может создавать и управлять токенами для реализации своих версий обработчиков.

Таблица 6

Описание технологии

| Сервис | Технологии | Тип | Описание |
|--------------------|--------------|------------|--|
| Глобальные | EMQX | ПО | MQTT брокер сообщений |
| | RabbitMQ | ПО | Брокер сообщений, очередь сообщений |
| | Traefik | ПО | Веб-сервер, занимается обработкой запросов, обеспечивает безопасность соединения |
| | Docker Swarm | ПО | Оркестратор для контейнеров |
| Мост | aiopika | Библиотека | Обеспечивает асинхронную работу с очередями сообщений, используется для подключения к RabbitMQ |
| | aiomqtt | Библиотека | Обеспечивает асинхронную работу с MQTT брокером |
| Менеджер узлов | PostgreSQL | ПО | База данных |
| | SQLAlchemy | Библиотека | ORM-библиотека |
| | FastAPI | Библиотека | Библиотека для создания асинхронного API |
| | FastStream | Библиотека | Обеспечивает работу с очередями сообщений в интеграции с FastAPI |
| Обработчик и узлов | aiomqtt | Библиотека | Обеспечивает работу с брокером MQTT |
| | pydantic | Библиотека | Валидация и сериализация объектов |

Заключение

Разработанная система представляет собой универсальный инструмент для визуального проектирования IoT-систем. Она снижает сложность интеграции устройств, повышает наглядность и ускоряет разработку.

Проект имеет потенциал для применения как в образовательных и личных целях, так и для промышленной автоматизации.

Библиографический список

1. Сайт «Wikipedia» – URL: <https://en.wikipedia.org/wiki/MQTT>
2. Сайт «Хабр» – URL: <https://habr.com/ru/articles/463669/>
3. Сайт «EMQX» - URL: <https://docs.emqx.com/en/>
4. Сайт «RabbitMQ» - URL: <https://www.rabbitmq.com/docs>

© Вахитов Т.Р., Шарыгин М.С., 2025

Я.В. ВОРОНИН, И.В. КРОТОВ

dfsrrarsdf@yandex.ru, Krotowivan@yandex.ru

Науч. руковод. – канд. техн. наук, доц. О.С. НУРГАЯНОВА

Уфимский университет науки и технологий

РАЗРАБОТКА И МОДЕРНИЗАЦИЯ РОБОТА-МАНИПУЛЯТОРА С ИСПОЛЬЗОВАНИЕМ МЕТОДОВ КОМПЬЮТЕРНОГО ЗРЕНИЯ И ГОЛОСОВОГО УПРАВЛЕНИЯ

Аннотация: в статье представлены результаты разработки и последовательной модернизации робота-манипулятора. Первая версия, построенная на базе микроконтроллера Arduino Uno, обладала базовым функционалом позиционирования с использованием потенциометров. В усовершенствованной версии реализована распределенная система управления, где центральным вычислительным модулем выступает одноплатный компьютер Orange Pi Zero, взаимодействующий со внешним сервером. На сервере выполняются ресурсоемкие задачи компьютерного зрения (с использованием библиотек MediaPipe и OpenCV) и голосового управления (на основе библиотеки Vosk API и логистической регрессии из библиотеки Scikit-learn). Управляющие воздействия передаются на робота по протоколу HTTP. Описаны архитектура системы, алгоритмы работы, аппаратные решения и приведены результаты тестирования двух ключевых режимов: слежения за рукой оператора и выполнения голосовых команд.

Ключевые слова: робот-манипулятор, Arduino, Orange Pi, компьютерное зрение, OpenCV, MediaPipe, голосовое управление, Vosk, инверсная кинематика, распределенная система.

Введение

Современная робототехника характеризуется тенденцией к созданию интуитивных и адаптивных интерфейсов взаимодействия «человек-робот» [1]. Особый интерес представляют гибридные системы, сочетающие традиционные методы управления с технологиями машинного восприятия, такие как компьютерное зрение и обработка естественной речи.

Данная работа посвящена эволюционному проектированию робота-манипулятора. Начальным этапом стала разработка базовой конструкции с аналоговым управлением. Вторым этапом явилась глубокая модернизация, направленная на расширение функциональности и повышение интеллектуального уровня системы за счет внедрения распределенной архитектуры, где задачи компьютерного зрения и распознавания речи вынесены на внешний сервер. Все это позволило преодолеть ограничения

вычислительной мощности бортовой электроники и реализовать сложные алгоритмы в режиме реального времени.

Первая реализация робота-манипулятора

Первоначальная версия манипулятора (Рис. 1) была построена на следующей аппаратной платформе:

— Микроконтроллер: Arduino Uno R3 (ATmega328P, 16 МГц, 32 КБ Flash) [2];

— Приводы: 4 сервопривода MG996R (180°) и 1 SG90 (360°);

— Сенсорика: 4 потенциометра (10 кОм) для обратной связи по положению;

— Питание: блок питания 5В/4А;

— Конструкция: 3D-печатные элементы из PLA-пластика.

Данная конфигурация обеспечивала 4 степени свободы (поворот основания, наклон плеча, наклон предплечья, вращение кисти) и функцию захвата. Управление осуществлялось путем считывания сигналов с потенциометров.



Рис. 24. Первая реализация робота-манипулятора

Модернизированная версия робота-манипулятора

Для реализации расширенных функций система была кардинально переработана (Рис. 2). Ключевые улучшения включают:

— Центральный контроллер: одноплатный компьютер Orange Pi Zero 3, координирующий работу всех подсистем;

— Внешний сервер: вынесенные вычисления (компьютерное зрение, распознавание речи) на удаленный сервер для повышения быстродействия;

— Обновленная приводная база: 4 высокоточных сервопривода DS3240 (270°) и 1 MG90S (360°);

— Система зрения: камера Logitech C920 (720p, 30 fps);

— Усиленная система питания: блок питания 19В/4.74А с понижающими преобразователями XL4015E1/XL4016;

— Микроконтроллер: Arduino Uno сохранил роль низкоуровневого драйвера сервоприводов, получая команды от Orange Pi по UART.

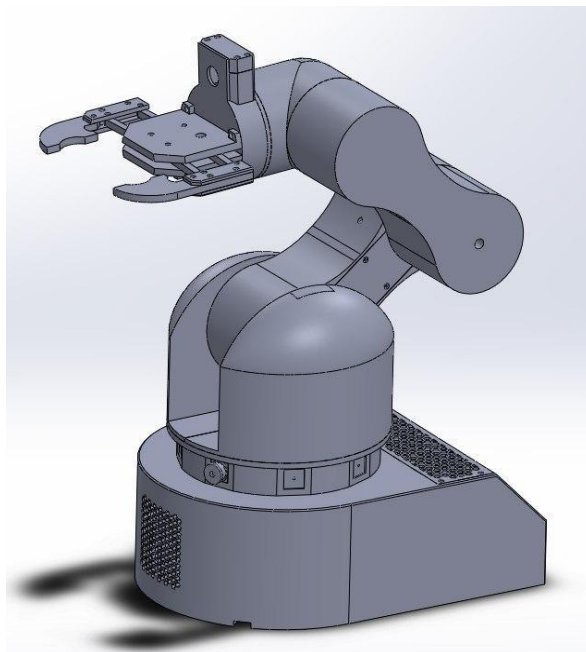


Рис. 2. Модернизированная реализация робота-манипулятора

Сравнение Реализаций

В таблице (Табл. 1) представлено сравнение базовой и модернизированной версий робота-манипулятора.

Таблица 7

Сравнение реализаций робота-манипулятора

| Характеристика | Базовая версия | Модернизированная версия |
|------------------------|----------------------------------|--|
| Центральный контроллер | Arduino Uno | Orange Pi Zero 3 |
| Архитектура управления | Локальная, централизованная | Распределенная, с использованием внешнего сервера |
| Интерфейсы управления | Аналоговый пульт (потенциометры) | Компьютерное зрение (слежение за рукой) и Голосовое управление |
| Сервоприводы | 4 x MG996R (180°), 1 x SG90 | 4 x DS3240 (270°), 1 x MG90S (более высокая точность и момент) |
| Система зрения | Отсутствует | Камера Logitech C920 + MediaPipe на внешнем сервере |
| Голосовое управление | Отсутствует | Vosk API + Логистическая регрессия на внешнем сервере |

| | | | |
|-------------------------|-------------------------|---|--|
| Вычислительная мощность | Ограничена (ATmega328P) | Высокая (Orange Pi + внешний сервер для сложных алгоритмов) | |
| Связь с сервером | Не предусмотрена | HTTP-протокол для передачи данных и команд в реальном времени | |

Архитектура программного обеспечения модернизированной системы

Архитектура созданной распределенной системы представлена на Рис. 3.

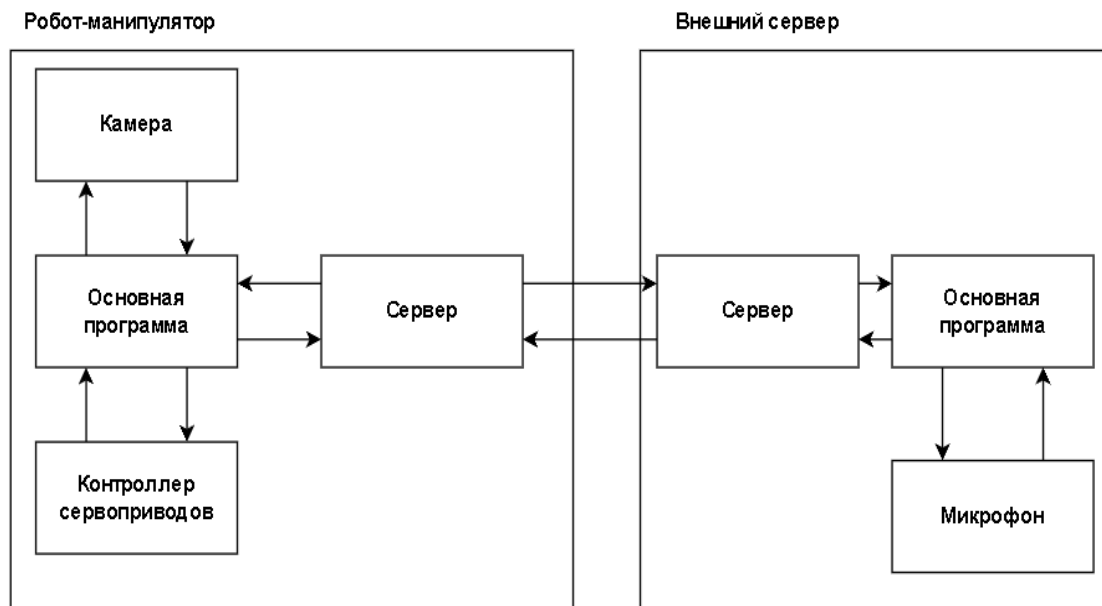


Рис. 25. Архитектура распределенной системы

Система состоит из двух основных компонентов:

1) ПО робота-манипулятора (Orange Pi Zero):

— Модуль обработки видеопотока: захват изображения с камеры и предварительная обработка с использованием OpenCV.

— Клиентский модуль: организация HTTP-соединения с внешним сервером для отправки данных (видеокадры, статус) и получения управляющих команд.

— Контроллер сервоприводов (Arduino Uno): реализация инверсной кинематики и непосредственное управление сервоприводами на основе команд от Orange Pi.

2) Внешний сервер:

— HTTP-канал связи: прием данных от робота и отправка управляющих воздействий.

— Модуль компьютерного зрения: детекция и трекинг ладони оператора в реальном времени с использованием библиотеки MediaPipe.

— Модуль голосового управления: распознавание русской речи через Vosk API и классификация команд методом логистической регрессии из библиотеки scikit-learn.

Реализация и алгоритмы подсистем управления

Подсистема компьютерного зрения (режим слежения за рукой)

Алгоритм слежения реализует замкнутый контур управления и выполняет:

1) Захват кадра: Orange Pi захватывает изображение с камеры и отправляет его на внешний сервер;

2) Детекция и трекинг: на сервере с помощью MediaPipe [3] производится обнаружение 21 ключевой точки ладони;

3) Расчет целевой позиции: определяется центр ладони как средняя точка между запястьем и основанием среднего пальца;

4) Формирование управляющего сигнала: рассчитывается отклонение центра ладони от центра кадра. Если отклонение превышает «мертвую зону» (30 пикселей), генерируется команда на перемещение манипулятора для компенсации этого сдвига;

5) Исполнение: команда передается обратно на Orange Pi, который, используя инверсную кинематику, преобразует ее в углы поворота сервоприводов и отправляет на Arduino для исполнения.

Пример работы подсистемы компьютерного зрения представлен на рисунке 4.

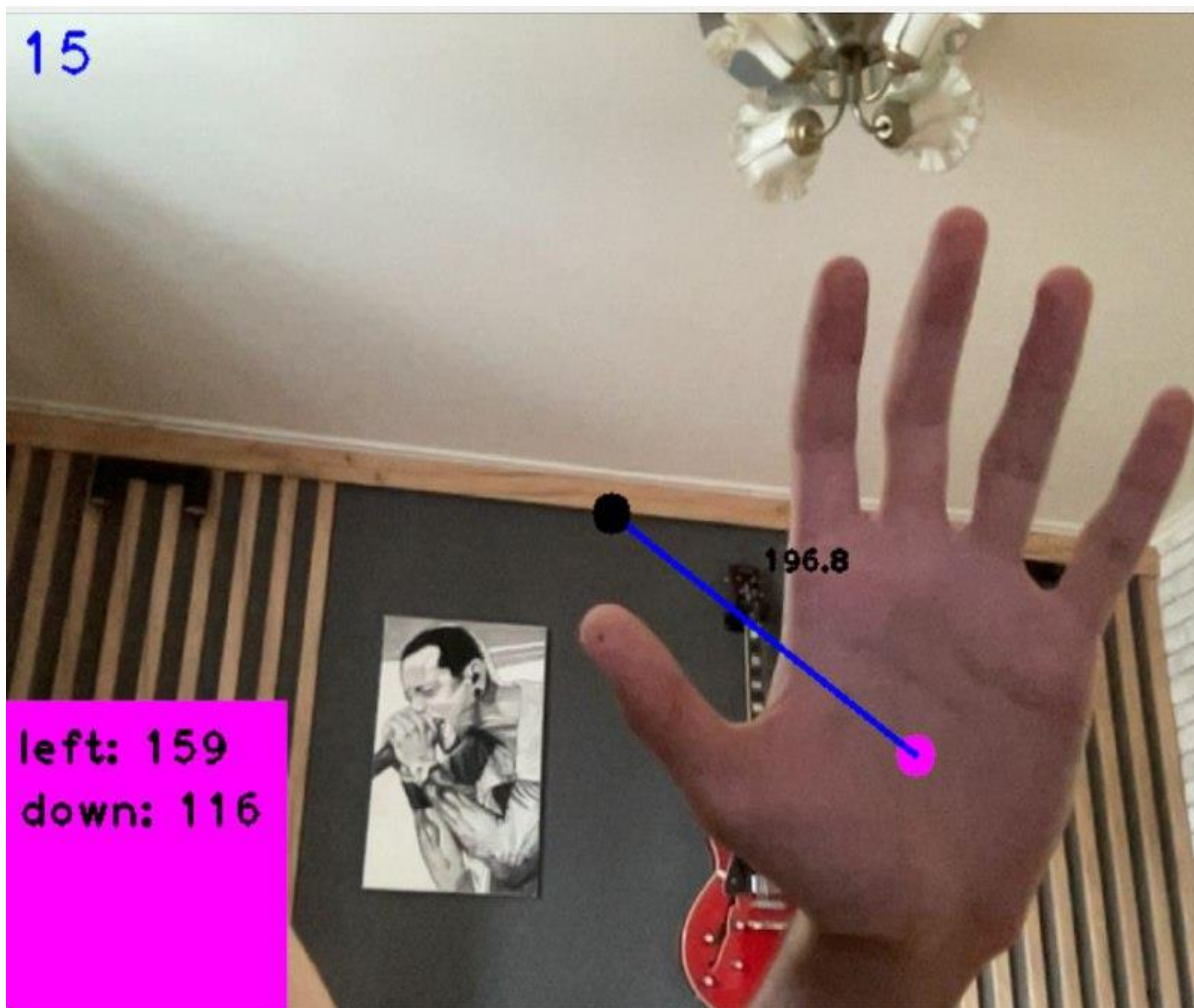


Рис. 26. Пример работы компьютерного зрения

Подсистема голосового управления

Голосовой интерфейс обеспечивает альтернативный канал управления и выполняет:

1. Захват аудио: непрерывная запись аудиопотока с микрофона на внешнем сервере (16 кГц).

2. Распознавание речи: преобразование аудио в текст с помощью акустической модели Vosk [4].

3. Классификация команды: полученный текст обрабатывается классификатором на основе метода логистической регрессии, который сопоставляет фразу с одним из заранее определенных действий (Табл. 2).

4. Исполнение: соответствующая управляющая команда отправляется по HTTP протоколу на робота для выполнения.

Примеры фраз для голосового управления

| Тип команды | Пример фразы | Вызываемый метод |
|-------------------|-----------------------------------|------------------------|
| Перемещение | «Повернись на 30 градусов вправо» | move_right(30) |
| Перемещение | «Вернись в исходную позицию» | reset_position() |
| Работа с захватом | «Открой захват» | open_hand() |
| Смена режима | «Активируй следование за рукой» | set_mode_follow_hand() |

Использование логистической регрессии обеспечило высокую скорость классификации, низкие требования к вычислительным ресурсам и простоту добавления новых команд.

Результаты тестирования модернизированной реализации роботоманипулятора

Была проведена экспериментальная оценка основных подсистем модернизированной системы: подсистема компьютерного зрения и подсистема голосового управления.

Для оценки работы подсистемы компьютерного зрения выявлялись точность позиционирования, частота обработки кадров и время реакции (от поднесения ладони к камере до реакции манипулятора).

— Точность позиционирования составила ± 5 пикселей (исходя из сохранённых кадров, полученных во время эксперимента);

— Частота обработки варьировалась от 7 до 15 кадров в секунду (исходя из сохранённых логов обработки кадров);

— Время реакции в среднем составила 1500 мс. При тестировании работы алгоритма распознавания ладони на более мощном стационарном компьютере с той же камерой задержка составляла менее 500 мс, из чего следует, что плата Orange Pi Zero тяжело справляется с выполнением данного алгоритма.

Оценка работы подсистемы голосового управления проводилась по следующим критериям: точность распознавания команд и средняя задержка выполнения команд.

— Точность распознавания команд (русский язык) составила 92-95%;

— Средняя задержка выполнения команды от окончания произношения голосовой команды до реакции манипулятора составила 400 мс.

Распределенная архитектура позволила добиться стабильной работы ресурсоемких алгоритмов, которая была бы невозможна при использовании

только бортовых вычислительных модулей. Наличие двух независимых режимов управления повышает гибкость и адаптивность системы.

Заключение

В работе представлен поэтапный подход к созданию интеллектуального робота-манипулятора. Переход от базовой конструкции к распределенной системе с использованием внешнего сервера для обработки данных позволил реализовать современные интерфейсы управления на основе компьютерного зрения и голосовых команд.

Библиографический список

1. Siciliano, B., Khatib, O. Springer Handbook of Robotics. – Berlin: Springer, 2016. – 1617 с.
2. Arduino Reference [Электронный ресурс]. – Arduino. – URL: <https://www.arduino.cc/reference/en/>
3. MediaPipe: On-device Machine Learning Solutions [Электронный ресурс]. – Google. – URL: <https://mediapipe.dev/>
4. Vosk API Documentation [Электронный ресурс]. – Alpha Cephei. – URL: <https://alphacephei.com/vosk/>

© Воронин Я.В., Кротов И.В., 2025

УДК 004.8

Р.Р. ГАЙНЕТДИНОВ

rtm_bis@mail.ru

Науч. руковод. – канд. техн. наук, доц. Е.Ю. САЗОНОВА

Уфимский университет науки и технологий

АДАПТИВНЫЙ ПАЙПЛАЙН КВАНТИЗАЦИИ NLP-МОДЕЛЕЙ КАК КОМПОНЕНТ ИНФОРМАЦИОННО-АНАЛИТИЧЕСКОЙ СИСТЕМЫ РЕАЛЬНОГО ВРЕМЕНИ ДЛЯ ОБРАБОТКИ ТЕКСТОВЫХ ДАННЫХ

Аннотация: в работе представлен систематический анализ современных методологий Post-Training квантизации для оптимизации больших языковых моделей. Проведено детальное исследование специализированных алгоритмических решений HAWQ, LLM.int8 и SmoothQuant с позиций их архитектурных особенностей, вычислительной эффективности и практических ограничений при адаптации к трансформерным языковым архитектурам.

Ключевые слова: языковая модель, Post-Training квантизация, HAWQ, LLM.int8, SmoothQuant.

Введение

Стремительное развитие больших языковых моделей, включая архитектуры GPT, BERT и их модификации, определило новый вектор развития в области обработки естественного языка. Данные модели демонстрируют существенную эффективность в решении комплексных лингвистических задач, охватывающих генеративные процессы, машинный перевод, семантический анализ и извлечение знаний из неструктурированных текстовых данных.

Однако практическое применение современных LLM характеризуется существенными ограничениями, связанными с высокими требованиями к вычислительным ресурсам и объему оперативной памяти. Указанные ограничения создают критические барьеры для развертывания моделей в условиях ограниченных аппаратных конфигураций, особенно на периферийных устройствах и мобильных платформах, где доступность вычислительных ресурсов существенно лимитирована.

В контексте решения обозначенной проблематики квантизация представляет собой фундаментальный подход к оптимизации нейросетевых архитектур, обеспечивающий значительное сокращение требований к памяти и вычислительным ресурсам при сохранении приемлемого уровня качества модельных предсказаний. Данное исследование сосредоточено на систематическом анализе методологий Post-Training квантизации, применимых для оптимизации больших языковых моделей.

Квантизация: основные понятия и цели

Квантизация в контексте нейронных сетей представляет собой математический процесс дискретизации непрерывных численных значений, используемых для представления параметров модели, включая весовые коэффициенты, смещения и активационные функции. Фундаментальная цель квантизации заключается в оптимизации баланса между точностью представления данных и эффективностью их обработки в условиях ограниченных вычислительных ресурсов.

Post-Training Quantization (PTQ)

PTQ-методы квантизации применяются к уже обученным моделям без необходимости повторного обучения, что позволяет значительно сократить вычислительные затраты на оптимизацию модели. Рассмотрим три современных метода PTQ-квантизации, которые демонстрируют высокую эффективность при работе с большими языковыми моделями.

— HAWQ (Hessian AWare Quantization)

HAWQ — это метод квантизации, учитывающий чувствительность различных слоев нейронной сети к ошибкам квантизации на основе анализа собственных значений матрицы Гессе функции потерь. Ключевая идея HAWQ заключается в том, что не все слои и параметры нейронной сети одинаково важны для конечного результата.

В основе метода лежит вычисление следа матрицы Гессе для каждого слоя:

$$S_i = \text{Tr}(H_i) = \sum_{j=1}^{n_i} \lambda_j^i \quad (1)$$

где S_i — матрица Гессе для i -го слоя, $\text{Tr}(H_i)$ - след матрицы H_i ,

λ_j^i — j -е собственное значение матрицы H_i , а n_i — размерность i -го слоя.

Чувствительность слоя к квантизации напрямую связана с величиной S_i — чем больше след матрицы Гессе, тем более чувствителен слой к изменению весов. На основе этой метрики HAWQ распределяет биты между слоями сети, применяя более точное квантизационное представление (например, int8) для чувствительных слоев и менее точное (например, int4) для нечувствительных.

Алгоритм HAWQ:

1. Вычисление матрицы Гессе для каждого слоя модели с использованием небольшого калибровочного набора данных.
2. Оценка чувствительности каждого слоя к квантизации на основе собственных значений матрицы Гессе.
3. Распределение битности квантизации между слоями с учетом их чувствительности.

4. Применение стандартных методов линейной квантизации (симметричной или асимметричной) для каждого слоя с выбранной битностью.

— LLM.int8()

Основная проблема при квантизации языковых моделей связана с тем, что распределение их активаций часто имеет "тяжелые хвосты" — большинство значений сконцентрировано в узком диапазоне, но существует небольшое количество очень больших значений. Стандартная квантизация вынуждена масштабироваться под эти выбросы, что приводит к крайне неэффективному использованию динамического диапазона для основной массы значений. LLM.int8() решает эту проблему, разделяя вычисления на две части:

1. Основная матрица активаций квантизируется до int8 и вычисления выполняются в 8-битном формате.

2. Значения-выбросы (обычно 0.1-1% от всех значений) обрабатываются отдельно с полной точностью float16/float32.

Алгоритм LLM.int8()

1. Определение порогового значения для выбросов (обычно 6σ или выше).

2. Разделение входных тензоров на две матрицы: матрицу обычных значений и матрицу выбросов.

3. Квантизация матрицы обычных значений до int8.

4. Выполнение матричных умножений отдельно для обычных значений (в int8) и выбросов (в float).

5. Объединение результатов для формирования финального выхода.

Математически это можно представить следующим образом:

$$Y = XW^T = X_{\text{normal}}W^T + X_{\text{outliers}}W^T \quad (2)$$

где X — входные активации, W — матрица весов, X_{normal} — основная часть активаций, X_{outliers} — выбросы.

— SmoothQuant

В больших языковых моделях активации часто имеют значительно более широкий динамический диапазон, чем веса, что делает их квантизацию более сложной и подверженной ошибкам. SmoothQuant предлагает "сглаживание" активаций путем переноса части их масштабного множителя на соответствующие веса

Пусть у нас есть операция матричного умножения $Y = XW$, где X — активации, а W — веса. SmoothQuant вводит масштабирующий диагональный множитель S :

$$Y = (XS^{-1})(SW) \quad (3)$$

где S — диагональная матрица масштабирования, подобранная для каждого канала таким образом, чтобы "сгладить" распределение значений XS^{-1} .

Алгоритм SmoothQuant

1. Сбор статистики по диапазонам активаций для каждого канала на калибровочном наборе данных.
2. Вычисление оптимальных коэффициентов масштабирования S для каждого канала.
3. Применение масштабирования: преобразование активаций в $X' = XS^{-1}$ и весов в $W' = SW$.
4. Квантизация сглаженных активаций X' и модифицированных весов W' с использованием стандартных методов.

Сравнительный анализ методов

Для комплексного сравнения рассмотренных методов PQ-квантизации приведем их сопоставление по ключевым характеристикам (таблица 1).

Таблица 1

Сравнение методов PQ

| Критерий | HAWQ | LLM.int8() | SmoothQuant |
|-----------------------|--|---|--|
| Уровень квантования | Весовые матрицы (per-layer, per-channel) | Только матрицы весов линейных слоёв (INT8) | Активации и веса (совместно) |
| Затраты на вычисления | Средние | Низкие | Низкие |
| Ориентация на LLM | Частично | Да | Да |
| Особенности | Использует Гессиян для выбора битности | Простой в применении к LLM; эффективен на CPU/GPU | Вводит масштабирование для устранения outliers |
| Поддержка INT4 | Да (HAWQ-V3) | Нет | Частично (при комбинации с другими методами) |

HAWQ хорошо подходит для гибкого выбора битности, особенно если есть доступ к метаданной о модели. LLM.int8 оптимален для практического применения к LLM без значительной потери точности. SmoothQuant эффективен для устранения проблем с активациями (в том числе outliers), позволяя применять INT8 даже к сложным LLM. Все методы существенно превосходят базовую PQ-квантизацию как по сохранению точности, так и по производительности.

Заключение

В данной статье были рассмотрены специализированные методы Post-Training квантизации для больших языковых моделей. Каждый из этих методов предлагает уникальный подход к решению проблем. Сравнительный анализ продемонстрировал, что выбор оптимального метода квантизации должен основываться на конкретных требованиях к развертыванию модели. Практическое внедрение рассмотренных методов позволяет значительно расширить спектр устройств, способных эффективно использовать современные языковые модели, что имеет существенное значение для развития прикладных систем искусственного интеллекта.

Библиографический список

1. Jacob, B., Kligys, S., Chen, B., Zhu, M., Tang, M., Howard, A., Adam, H., & Kalenichenko, D. (2018). Quantization and Training of Neural Networks for Efficient Integer-Arithmetic-Only Inference. In Proceedings of the IEEE Conference on Computer Vision and Pattern Recognition (CVPR). <https://arxiv.org/abs/1712.05877>
2. Nagel, M., Amjad, R. A., van Baalen, M., & Louizos, C. (2021). Up or Down? Adaptive Rounding for Post-Training Quantization. Proceedings of the 38th International Conference on Machine Learning (ICML). URL: <https://arxiv.org/abs/2004.10568>
3. Gholami, A., Kim, S., Dong, Z., Yao, Z., Mahoney, M. W., & Keutzer, K. (2021). A Survey of Quantization Methods for Efficient Neural Network Inference. Proceedings of the IEEE. URL: <https://arxiv.org/abs/2103.13630>
4. Dettmers, T., Lewis, M., Belkada, Y., & Zettlemoyer, L. (2022). LLM.int8(): 8-bit Matrix Multiplication for Transformers at Scale. <https://arxiv.org/abs/2208.07339>
5. Xiao, G., Lin, J., Seznec, M., Wu, H., Demouth, J., & Han, S. (2022). SmoothQuant: Accurate and Efficient Post-Training Quantization for Large Language Models. <https://arxiv.org/abs/2211.10438>

© Гайнетдинов Р.Р., 2025

УДК 004.8

Р.И. ГИЛЯЗЕВ

rgilyazev01@mail.ru

Науч. руковод. – канд. биол. наук, доцент М.Р. БОГДАНОВ

Уфимский университет науки и технологий

МОДЕЛЬ ИДЕНТИФИКАЦИИ БПЛА

Аннотация: в статье рассматривается модель идентификации беспилотных летательных аппаратов (БПЛА). Общественная и научная значимость задачи возрастает пропорционально расширению областей применения БПЛА. Методологической основой исследования выступил подход с применением вейвлет-анализа. В результате был получен алгоритм, закладывающий основу для создания базы признаков, которые можно использовать для обучения классификаторов и сравнительного анализа. Основная идея работы заключается в разработке подхода, основанного на интеграции программных решений и методов статистического анализа.

Ключевые слова: беспилотные летательные аппараты, вейвлет-анализ, программные решения, статистический анализ.

Введение

Актуальность задачи по идентификации БПЛА обусловлена их повсеместным распространением. Современные дроны представляют собой сложные киберфизические системы, способные адаптироваться к динамичной операционной обстановке. Одним из инструментов, с помощью которого можно идентифицировать БПЛА, является вейвлет-анализ.

На сегодняшний день проведено большое количество исследований звуковых сигналов, внесших неоценимый вклад в научное сообщество. Несмотря на достигнутые результаты в области анализа данных, вопросы, связанные с принятием решений по идентификации БПЛА в условиях ограниченных ресурсов, все еще остаются открытыми. Анализ и выявление характерных акустических особенностей поможет в будущем эффективно решать такие задачи. Цель работы заключается в оценке возможностей вейвлет-анализа для идентификации БПЛА по звуку.

Основная часть

Вейвлеты представляют собой короткие волны (всплески) с нулевым интегральным значением, способных к сдвигу и масштабированию. Они часто используются для выявления различий в характеристиках процессов. В настоящее время вейвлет преобразование используется для распознавания образов, исследования сигналов, изображений, временных рядов и решения

задач разного уровня сложности в радиотехнике, электронике, ядерной физике и других областях науки. На практике, звуковой сигнал можно представлять в виде суммы произведений базисных определенных функций $\psi_k(t)$ на коэффициенты C_k , которые содержат информацию о конкретном сигнале (форм. 1):

$$f(t) = \sum_k C_k \psi_k \quad (1)$$

В рамках данной работы для исследования использовался вейвлет Хаара. Он был выбран как простейший ортогональный вейвлет, обеспечивающий обработку и приемлимую локализацию по временной области. Была обработана аудиозапись (рис. 1) работы дрона длительностью 0,5 секунд. Она оцифрована с частотой дискретизации 16 кГц, и преобразована в моносигнал для устранения пространственной информации, не критичной для идентификации БПЛА.

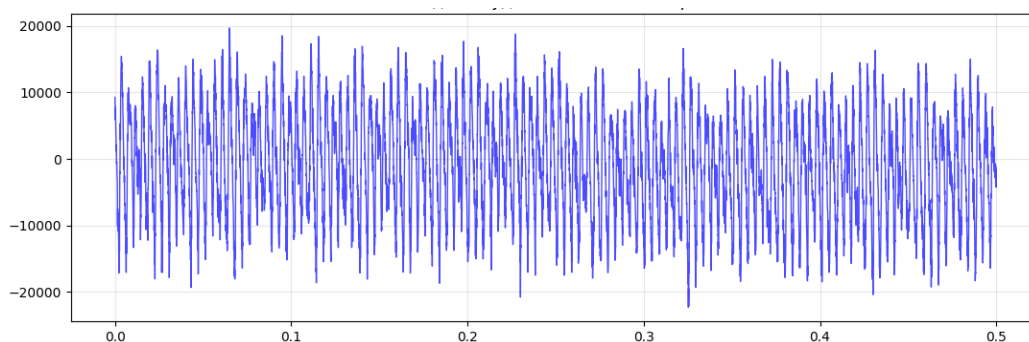


Рис. 1. Исходный аудиосигнал

На рисунке 1 представлена временная диаграмма аудиосигнала, на котором зафиксирована работа БПЛА. Она демонстрирует амплитудную модуляцию и отображает сложность сигнала, основная частота вращения моторов проявляется в основной периодической составляющей, биение от воздействия моторов – амплитудная модуляция, аэродинамические шумы – высокочастотные флуктуации. Представленный сигнал обладает следующими свойствами, важными для вейвлет преобразования:

1. Много масштабность – наличие компонентов разного временного масштаба;
2. Энергетическая неоднородность – неравномерное распределение энергии по времени;
3. Персистентность – сохранение характерных паттернов на протяжении записи.

Проведем сегментацию сигнала по количеству отсчетов. Многоуровневая декомпозиция позволяет анализировать сигнал на различных временных масштабах, выявляя как кратковременные события, так и долговременные тренды. Число уровней разложения сигнала на частотные компоненты равно 9, так как $\log_2(512) = 9$.

Перейдем к этапу вейвлет-преобразования. Выполним разделение сигнала на низкочастотные (форм. 2) и рассчитаем высокочастотные компоненты (форм. 3):

$$A_k = \frac{x_{2k} + x_{2k+1}}{\sqrt{2}} \quad (2)$$

$$D_k = \frac{x_{2k} - x_{2k+1}}{\sqrt{2}} \quad (3)$$

В результате получим соответствующие коэффициенты аппроксимации и коэффициенты деталей на определенном уровне. С помощью этих коэффициентов можно вычислить энергетические признаки для каждого уровня по формуле 4, где i – уровень:

$$E_i = \sum |c_i[i]|^2 \quad (4)$$

Распределение энергии по уровням отражает частотный состав сигнала. Энергия является инвариантной характеристикой, не зависящей от фазы сигнала. Для построения классификационных признаков можно вычислить также среднее значение коэффициентов, их стандартное отклонение и другие статистические параметры, необходимые для построения классификационных признаков.

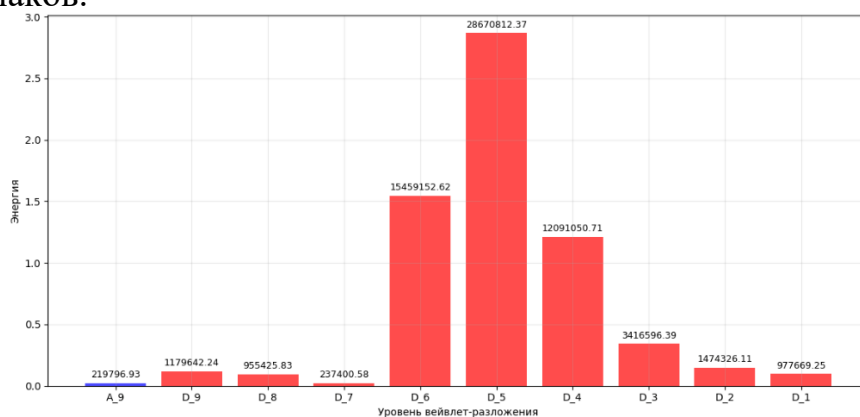


Рис. 2. Энергетический профиль сигнала

Выделим сегмент с максимальной энергией из исходной диаграммы, она будет соответствовать активной фазе работы моторов БПЛА (рисунок 3).

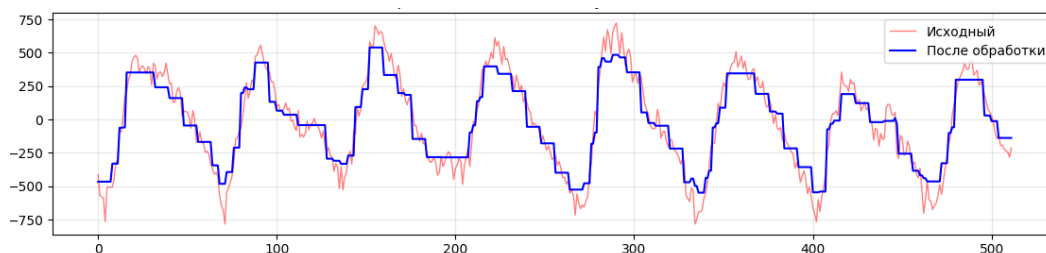


Рис. 3. Сигнал после вейвлет преобразования

Ступенчатый характер обработанного сигнала обусловлен использованием вейвлета Хаара, который обеспечивает дискретное представление сигнала на различных временных масштабах. Для проведения контрольного испытания и окончательной проверки правильности проведенного исследования, была проанализирована аудиозапись шума леса – хаотичного и неритмичного сигнала, по своей сути противоположного монотонному гулу дрона. Визуализация сигнала не показала никаких устойчивых и повторяющихся ритмов.

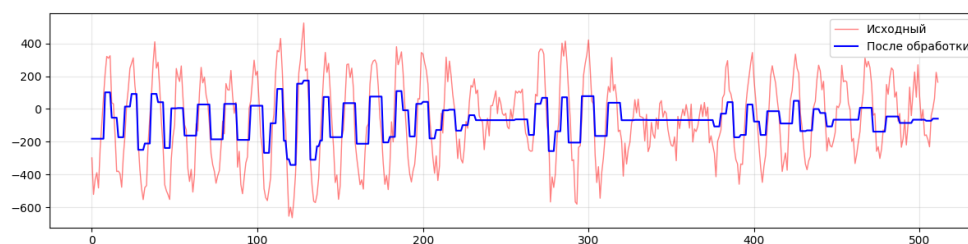


Рис. 4. Аудиосигнал, на котором зафиксирован шум леса

Таким образом, используемый алгоритм работает последовательно, и соответствует ожидаемому поведению. Он не генерирует новых ритмов, а фиксирует фактическую работу дронов.

Заключение

Использование вейвлет преобразования Хаара с извлечением энергетических и статистических признаков обеспечивает эффективное представление акустических характеристик дронов в виде числовых дескрипторов, которые можно применять для последующего анализа и классификации. Полученные результаты и методология служат основой для дальнейших исследований в области акустической идентификации беспилотных летательных аппаратов.

Библиографический список

1. Астафьева Н.М. Вейвлет-анализ: основы теории и применения // Успехи физических наук. – 1996. – Т. 166, № 11. – С. 1145-1170
2. Богданов М.Р., Думчиков А.А. Способ изучения разнообразия орнитофауны методом вейвлет-анализа // Известия Самарского научного центра РАН. 2013. №3-4
3. Катеров Ф.В., Ремесник Д.В. Основы вейвлет-преобразования // Наука, техника и образование. 2016. №9 (27). URL: <https://cyberleninka.ru/article/n/osnovy-veyvlet-preobrazovaniya>

© Гилязев Р.И., 2025

УДК 004.89

А.Р. ДАВЛЕТОВ

ar.davletov2013@yandex.ru

Науч. руковод. – преподаватель кафедры АО и РЭО П.О. МОРОЗОВ

Уфимский университет науки и технологий

ПРИМЕНЕНИЕ ТЕХНОЛОГИЙ ИСКУССТВЕННОГО ИНТЕЛЛЕКТА В СИСТЕМАХ БЕСПИЛОТНЫХ ЛЕТАТЕЛЬНЫХ АППАРАТОВ

Аннотация: в статье анализируется применение искусственного интеллекта в беспилотных летательных аппаратах. Рассматриваются различные разработки, их боевые возможности, автономность и влияние на эффективность современных военных действий.

Ключевые слова: искусственный интеллект, беспилотные летательные аппараты, БПЛА, дроны, технологии, автономные системы, специальная военная операция, ИИ, российские БПЛА, автоматическое распознавание целей.

В последние годы использование искусственного интеллекта (далее – ИИ) в беспилотных летательных аппаратах (далее – БПЛА) значительно возросло, особенно на специальной военной операции (далее – СВО). Интеграция ИИ в БПЛА позволяет улучшить их автономность, точность и эффективность, что оказывает существенное влияние на современные военные действия.

Россия активно внедряет технологии ИИ в свои БПЛА. В ноябре 2023 года сообщалось, что беспилотники «Орлан» получили элементы ИИ, позволяющие автоматически распознавать военную технику, включая образцы западного производства, с точностью около 90% [1].



Рис. 1. БПЛА «Орлан»

В феврале 2024 года министр обороны России Сергей Шойгу заявил о планах оснащения армии БпЛА с ИИ, подчеркнув, что их поставка в войска уже спланирована [2].

В апреле 2024 года сообщалось, что на СВО использовались два типа ИИ. Первый тип помогает оператору выбрать цель и идентифицировать её. Также задачей первого типа является навигация по изображению с камеры, в ходе которой проводится сопоставление получаемых изображений местности с загруженными в память данными. Второй тип БпЛА позволяет самостоятельно (без использования радиоканалов и сигналов) совершать патрулирование и поиск целей [3]. Внедрение ИИ в БпЛА способствует развитию автономных систем, способных выполнять сложные задачи без непосредственного участия человека. Такие возможности позволяют снизить риски для военнослужащих и повысить эффективность операций.

В августе 2024 года стало известно, что российские БпЛА, такие как «Ланцет», оснащены ИИ, что позволяет им эффективно поражать различные виды вражеской техники, включая танки «Леопард» и боевые машины пехоты «Брэдли» [4].



Рис. 2. БпЛА «Ланцет»

В январе 2025 года было сообщено о поставке первых 3 тысяч дронов-камикадзе «Микроб» с искусственным интеллектом в зону СВО. Эти дроны способны самостоятельно сопровождать цель после ее захвата оператором, независимо от маневров цели [5]. За две недели использования одно подразделение, состоящее из двух расчетов и работающее 40 дронами, уничтожило технику противника на сумму, превышающую стоимость всех 3 тыс. произведенных дронов [6].

В марте 2025 года было представлено устройство «Булат», оснащённое ИИ, которое способно определять типы атакующих БпЛА, что позволяет бойцам заранее подготовиться к отражению воздушного налета [7]. Также российские военные приступили к испытаниям модернизированных дронов «Овод», оснащённых системой искусственного интеллекта под кодовым названием

«Орбита». Новая прошивка устанавливается на стандартные модели без необходимости в дополнительных комплектующих, что позволяет избежать удорожания, а программное обеспечение «Орбита» выступает в роли ассистента пилота, автоматически подсвечивая и классифицируя цели с использованием нейросетей для классификации танков, блиндажей и пикапов [8].



Рис. 3. БПЛА «Микроб»



Рис. 4. БПЛА «Овод»

Мировые компании также активно занимаются разработкой БПЛА с ИИ, что формирует жёсткую международную конкуренцию. Американская компания Shield AI создала дрон Nova, оснащенный ИИ. БПЛА может автономно маневрировать в условиях плохой GPS и связи, выполняя разведывательные задачи и обеспечивая безопасность солдат [9]. Другая американская компания, Anduril Industries, представила барражирующий боеприпас Roadrunner с двумя реактивными двигателями. Устройство способно развивать скорость до 1120 км/ч и предназначено для перехвата и уничтожения вражеских летательных аппаратов [10]. Израильская компания Elbit Systems разрабатывает полностью автономный барражирующий боеприпас SkyStriker, который обладает высокой скоростью — 20 км за 10 минут [11]. Китай, в свою очередь, демонстрирует тяжёлый «носитель роя» Jetank, способный запускать

десятки малых дронов, образующих высокоманевренный рой с элементами ИИ, а также активно насыщает войска недорогими «умными» тактическими БпЛА, в том числе микродронами для пехоты [12][13]. Япония совместно с США ведёт исследования ИИ для перспективных беспилотных самолётов-«ведомых» (англ. *loyal wingman*), которые будут помогать пилотируемым истребителям нового поколения [14]. Турция выводит на испытания беспилотный летательный аппарат (БпЛА) Bayraktar Kızılelma с реактивным двигателем — малозаметный ударный дрон, рассчитанный на значительную автономность и совместные действия с обычными пилотируемыми самолётами. Таким образом, российские разработки БпЛА с ИИ развиваются на фоне широкой мировой гонки вооружений, в которой США, Япония, Китай, Турция, Израиль и другие государства системно инвестируют в автономные беспилотные системы военного и гражданского назначения.

БпЛА, оснащённые ИИ, находят своё применение и в других сферах. Например, в сельском хозяйстве они помогают анализировать состояние посевов, выявлять зоны засух и болезней. В технических ВУЗах их используют для учебных целей. В строительстве они позволяют проводить осмотры строительных объектов. А в области охраны дикой природы их применяют для мониторинга популяций и контроля за браконьерством.

Применение ИИ в БпЛА помогает операторам выполнять сложные задачи, быстрее обнаруживать цели и адаптироваться под изменяющиеся условия. Однако внедрение таких решений сталкивается с нехваткой специалистов, сложными условиями эксплуатации и дефицитом качественных данных для обучения моделей и надёжных комплектующих. Эти проблемы можно решить через развитие профильного образования, создание современных симуляторов и адаптивных моделей, которые могут обучаться прямо во время эксплуатации.

Таким образом, ИИ в БпЛА повышает эффективность выполнения боевых задач и находит применение и в гражданских областях. Россия, как и другие страны, активно развивает эту сферу.

Библиографический список

1. Источник рассказал, как российские беспилотники распознают технику ВСУ. [Электронный ресурс] РИА Новости / URL: <https://ria.ru/20231117/besplotniki-1909986276.html> (дата обращения: 20.03.2025)
2. Армию России вооружают беспилотниками с искусственным интеллектом. [Электронный ресурс] РИА Новости Крым / URL: <https://crimea.ria.ru/20240224/armiyu-rossii-vooruzhayut-besplotnikami-s-iskusstvennym-intellektom-1135183675.html> (дата обращения: 21.03.2025)
3. Стало известно о двух типах боевого ИИ в зоне СВО [Электронный ресурс] Лента.Ру / URL: <https://lenta.ru/news/2024/04/04/stalo-izvestno-o-dvuh-tipah-boevogo-ii-v-zone-svo/> (дата обращения: 20.03.2025)

4. Российские БПЛА снабдили искусственным интеллектом. [Электронный ресурс] Российская газета / URL: <https://rg.ru/2024/08/29/bespilotnikam-privdali-iskusstvennyj-intellekt.html> (дата обращения: 19.03.2025)
5. Первые дроны-камикадзе «Микроб» с ИИ поставили в зону СВО. [Электронный ресурс] Известия / URL: <https://iz.ru/1826241/2025-01-22/pervye-drony-kamikadze-s-ii-postavili-v-zonu-svo> (дата обращения: 20.03.2025).
6. Летит к победе: что известно о новом дроне «Микроб». [Электронный ресурс] Известия / URL: <https://iz.ru/1827639/elizaveta-gritcenko/letit-k-pobede-cto-izvestno-o-novom-drone-mikrob> (дата обращения: 27.03.2025)
7. Отражен «Булатом»: дрон-детектор сможет определять типы атакующих БПЛА [Электронный ресурс] Известия / URL: <https://iz.ru/1857206/ulia-leonova/otrazen-bulatom-dron-detektor-smozet-opredelat-tipy-atakuusih-bpla> (дата обращения: 21.03.2025)
8. На СВО испытали дрон «Овод» с искусственным интеллектом [Электронный ресурс] Газета.Ру / URL: <https://www.gazeta.ru/tech/news/2025/03/25/25392416.shtml> (дата обращения 28.03.2025)
9. A.I. is letting this company build a new kind of defense contractor [Электронный ресурс] Fortune / URL: <https://fortune.com/2021/07/27/shield-ai-defense-contractor-drone-eye-on-a-i/> (дата обращения: 22.03.2025)
10. Зачем компания миллиардера Палмера Лаки занялась дронами с реактивным двигателем [Электронный ресурс] Forbes / URL: <https://www.forbes.ru/tehnologii/501841-zacem-kompania-milliardera-palmera-laki-zanalas-dronami-s-reaktivnym-dvigatelem> (дата обращения: 22.03.2025)
11. SkyStriker Tactical Loitering Munition, Israel [Электронный ресурс] Army Technologies / URL: <https://www.army-technology.com/projects/skystriker-tactical-loitering-munition-israel/> (дата обращения: 26.03.2025)
12. China unveils heavy 'swarm carrier' UAV at airshow [Электронный ресурс] Global Times / URL: <https://www.globaltimes.cn/page/202411/1323238.shtml> (дата обращения: 07.11.2025)
13. China's military rapidly expands use of low-cost AI-powered drones in 'phased leap' [Электронный ресурс] South China Morning Post / URL: <https://www.scmp.com/news/china/military/article/3308152/chinas-military-rapidly-expands-use-low-cost-ai-powered-drones-phased-leap> (дата обращения: 07.11.2025)
14. Japan to develop AI with US for 'Loyal Wingman' UAVs [Электронный ресурс] Janes / URL: <https://www.janes.com/osint-insights/defence-news/air/japan-to-develop-ai-with-us-for-loyal-wingman-uavs> (дата обращения: 08.11.2025)

© Давлетов А.Р., 2025

Г.М. ДВАЛИШВИЛИ

gogienglish@yandex.ru

Науч. руковод. – канд. физ.-мат. наук, доц. А.А. КАСАТКИН

Уфимский университет науки и технологий

ИСПОЛЬЗОВАНИЕ НЕЙРОЭВОЛЮЦИИ ДЛЯ ОПТИМАЛЬНОГО ОБУЧЕНИЯ ИНС.

Аннотация: в статье рассматриваются основные алгоритмы нейроэволюции для обучения искусственных нейронных сетей, такие как генетический алгоритм и NEAT. На основании проведённого анализа выявлены ключевые особенности подходов и описаны преимущества и недостатки каждого из них. В заключении статьи представлены выводы о проделанной работе.

Ключевые слова: нейроэволюция, искусственные нейронные сети, генетический алгоритм, отбор, мутация, скрещивание, NEAT, метод градиента стратегии.

Введение

В последние десятилетия искусственные нейронные сети (ИНС) зарекомендовали себя как один из наиболее эффективных инструментов в арсенале машинного обучения, демонстрируя прорывные результаты в широком спектре приложений — от компьютерного зрения и обработки естественного языка до сложных систем управления и принятия решений. Фундаментом этого прогресса являются методы градиентной оптимизации, в частности, алгоритм обратного распространения ошибки, который позволяет эффективно настраивать весовые коэффициенты сети.

Несмотря на доминирование градиентных подходов, они обладают рядом принципиальных ограничений. Ключевыми проблемами являются высокая чувствительность к гиперпараметрам и начальной инициализации, а также склонность к застреванию в локальных оптимумах многомерного пространства решений. Кроме того, традиционные методы требуют экспертного участия в определении оптимальной архитектуры сети (топологии), что является нетривиальной задачей.

Альтернативной и перспективной парадигмой, направленной на преодоление указанных трудностей, выступает нейроэволюция. Подход основан на применении эволюционных алгоритмов для автоматизированного поиска оптимальных параметров ИНС. Преимущество нейроэволюционных методов заключается в их способности исследовать глобальное пространство поиска без использования информации о градиенте, позволяя оптимизировать как весовые коэффициенты, так и саму топологию сети.

Целью настоящей работы является сравнение генетических алгоритмов и метода градиента стратегии в задаче поиска кратчайшего пути в лабиринте.

Теоретическая часть

Генетические алгоритмы – это методы оптимизации, вдохновлённые процессами естественного отбора. В контексте нейронных сетей они используются для эволюции весов.

Основная идея данного алгоритма заключается в том сначала создаётся набор случайных решений, которых обычно называют «особи». Затем каждое решение оценивается с помощью функции приспособленности, для того чтобы определить, насколько решение «правильно» решает задачу. От того, грамотно ли реализована данная функция, зависит решение задачи. Далее происходит отбор – выявляется лучшее решение. После чего скрещивание лучших решений и мутация – внесение небольших изменений, чтобы увеличить разнообразие и избежать преждевременной сходимости [1, 2].

$$x_{mutated} = x_{original} + N(0, \delta)$$

Когда все эти этапы пройдены, создаётся новая популяция.

Для оценки качества решения используется функция приспособленности:

$$F = \frac{1}{N} \sum_{i=1}^N (t_i - y_i)^2$$

NEAT – усовершенствованный генетический алгоритм, который, помимо эволюции весов, используется также и для изменения структуры сети [3, 4].

Каждому новому нейрону или связи присваивается уникальный идентификатор, что позволяет эффективно проводить кроссовер между сетями с различной топологией. Популяция делится на подгруппы (специи), каждая из которых оптимизирует свою уникальную структуру, что предотвращает преждевременное исчезновение инноваций [5]. Сети начинают с минимальной структуры и постепенно усложняются путём добавления новых нейронов и связей, что способствует эффективному поиску решений.

Для обновления весов используется формула:

$$\Delta w_{ij} = -\mu \frac{\partial E}{\partial w_{ij}} = -\mu o_i \delta_i$$

Эксперимент

Метод NEAT и классический генетический алгоритм оказались эффективны, причём их эффективность значительно увеличивалась с каждым новым поколением (Рисунок 1).

Все алгоритмы показали неплохую надёжность, однако лучше себя проявили генетические алгоритмы. Метод градиента стратегии оказался не

очень эффективным и часто не доходил до конечной точки маршрута. (Рисунок 2)



Рис. 1. Сравнение эффективности поиска пути

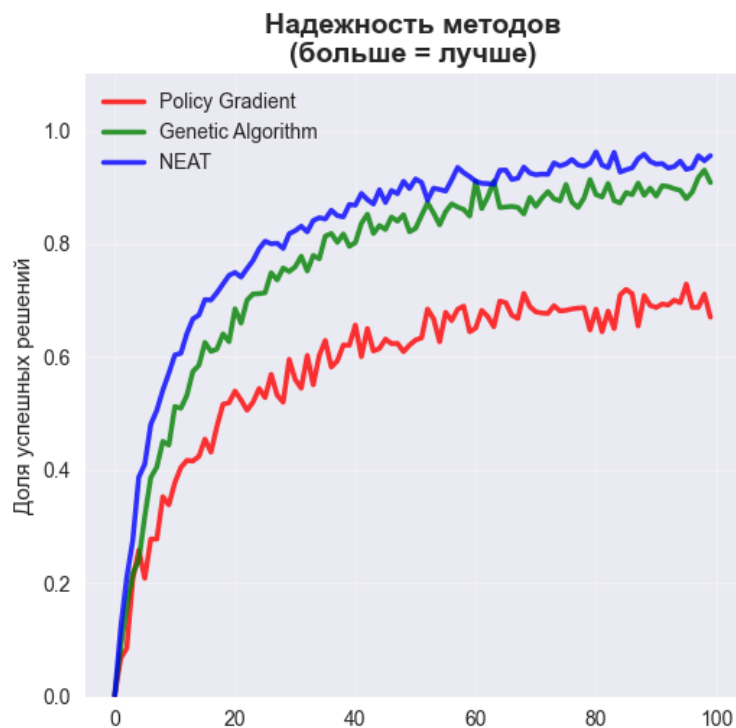


Рис. 2. Надёжность методов.

Генетические алгоритмы, несмотря на эффективность, выполнялись значительно дольше, что может быть критично в определённого рода задачах (Рисунок 3).

Общая же картина по всем алгоритмам отражена ниже (Рисунок 4)



Рис. 3. Сравнение профилей градиента моделей с функцией потерь с и без учета непрерывности нормального потока

| Метод | Успешность | Шаги | Время/эпизод | Стабильность |
|-------------------|------------|------|--------------|--------------|
| Policy Gradient | 0.718 | 81.9 | 1.13 | 0.895 |
| Genetic Algorithm | 0.891 | 28.0 | 2.77 | 0.939 |
| NEAT | 0.963 | 8.0 | 3.34 | 0.963 |

Рис. 4. Общая сравнительная таблица алгоритмов

Результаты демонстрируют, что стандартный генетический алгоритм и улучшенный показывают хорошие результаты, в частности более стабильны и чаще оказываются успешными в нахождении конечной точки.

Заключение

В качестве эксперимента был реализован поиск кратчайшего пути в лабиринте с использованием нескольких алгоритмов: генетического, градиента стратегии и NEAT. Полученные результаты подтверждают эффективность использования генетических алгоритмов при обучении искусственных нейронных сетей, открывая широкий простор для дальнейших исследований.

Библиографический список

1. Рутковская, Д. Нейронные сети, генетические алгоритмы и нечеткие системы / Д. Рутковская, М. Пилиньский, Л. Рутковский. – Москва, 2006. – 452 с.
2. Гладков, Л. А. Генетические алгоритмы / Л. А. Гладков [и др.]. – Москва: Физматлит, 2006. – 320 с.
3. Абьянов, И. Р. Основные концепции нейроэволюционных алгоритмов / И. Р. Абьянов, М. Н. Миннахметов // Актуальные проблемы экономики и управления: сборник научных статей. – Набережные Челны: Набережночелнинский государственный педагогический университет, 2018. – С. 58–62.
4. Березина, В. А. Гибридная нейроэволюция как способ обучения нейронных сетей на примере решения задачи поиска пути в лабиринте / Моделирование, оптимизация и информационные технологии. – 2021. – Т. 9, № 3. – С. 760–774.
5. Омеляненко, Я. Эволюционные нейросети на языке Python: учебное пособие / Я. Омеляненко. – Москва: ДМК Пресс, 2021. – 192 с.

© Двалишвили Г.М., 2025

УДК 004.89

В.В. ЕФИМЕНКО, А.А. КУЗНЕЦОВ

MrRimidalV@yandex.ru, kuznecovopkr@gmail.com

Науч. руковод. – доктор техн. наук, проф. Г.Р. ШАХМАМЕТОВА

Уфимский университет науки и технологий

ПРИМЕНЕНИЕ ТЕХНОЛОГИЙ МАШИННОГО ЗРЕНИЯ ДЛЯ РЕНТГЕНОВСКОГО АНАЛИЗА ДЕФЕКТОВ В МЕТАЛЛИЧЕСКИХ ДЕТАЛЯХ

Аннотация: контроль качества металлических деталей требует выявления внутренних дефектов, недоступных визуальному осмотру. Рентгенографические методы позволяют получать изображение внутренней структуры, однако традиционная интерпретация рентгенограмм зависит от квалификации оператора и подвержена человеческому фактору. Применение технологий машинного зрения и глубокого обучения позволяет автоматизировать процесс анализа, повысить точность и снизить время обработки. В статье представлен обзор современных подходов к использованию машинного зрения для анализа рентгеновских изображений металлических деталей, рассмотрены типовые архитектуры нейросетей, методы предобработки, а также выявлены основные проблемы и перспективы внедрения.

Ключевые слова: машинное зрение, рентгенография, неразрушающий контроль, дефекты металлов, глубокое обучение, свёрточные нейронные сети.

Введение

Качество металлических деталей напрямую влияет на надежность и долговечность машин и механизмов. Такие элементы, как подшипники, болты, втулки и шестерни, подвергаются значительным нагрузкам, поэтому даже микроскопические дефекты (трещины, пористость, включения, пустоты) могут привести к авариям. Методы неразрушающего контроля (НК) позволяют выявлять подобные дефекты без разрушения изделия, среди которых рентгенография занимает особое место.

Традиционные методы анализа рентгеновских снимков основаны на визуальной оценке специалиста, что ограничивает скорость и точность диагностики. В условиях цифровизации промышленности возрастает интерес к автоматизации анализа изображений на основе алгоритмов машинного зрения и искусственного интеллекта. Такие подходы позволяют проводить инспекцию в реальном времени, снижать риск ошибок и повышать объективность.

Целью работы является обзор современных подходов машинного зрения для рентгеновского анализа металлических деталей, выявление ключевых

направлений развития и описание методики экспериментального применения технологий глубокого обучения в данной области.

Обзор современных решений: рентгеновские методы контроля металлических деталей

Рентгеновская радиография и компьютерная томография широко применяются для анализа литых, сварных и штампованных металлических изделий. Они позволяют обнаружить внутренние дефекты, недоступные визуальному осмотру [1, 2]. В исследовании Fang et al. [1] показано, что автоматизация анализа рентгеновских изображений повышает повторяемость результатов и уменьшает влияние человеческого фактора. Согласно обзору [2], применение цифровых рентген-детекторов и алгоритмов постобработки значительно увеличивает контрастность изображений и выявляемость дефектов.

Машинное зрение и глубокое обучение в задачах неразрушающего контроля

Машинное зрение активно внедряется в системы НК благодаря возможностям свёрточных нейронных сетей (CNN). В работах [3–5] предложены архитектуры CNN и трансформеров для автоматического выявления дефектов в стальных изделиях и сварных соединениях. Например, модель Faster R-CNN успешно применялась для анализа рентгенограмм сварных швов [4], а использование фреймворка Detectron2 позволило повысить точность сегментации дефектов на литых заготовках из магниевого сплава [5]. Другие авторы [6] предложили применение алгоритмов Vision Transformer (ViT) для улучшения распознавания дефектов в металлических поверхностях, показав преимущество трансформер-архитектур при ограниченных объёмах обучающих данных.

Предобработка и особенности рентгеновских изображений

Рентгеновские изображения металлических объектов обладают низким контрастом, высоким уровнем шума и могут содержать артефакты (например, эффект утолщения пучка — beam hardening). Для повышения качества изображений применяются методы нормализации, выравнивания гистограммы и фильтрации [7]. Особую роль играет коррекция неравномерности фона и подавление шума. Авторы [8] показали, что использование алгоритмов CLAHE (Contrast Limited Adaptive Histogram Equalization) увеличивает точность классификации дефектов на 10–15 %.

Архитектуры нейросетей и их применение

Современные исследования концентрируются вокруг двух направлений: детекция объектов (определение местоположения дефекта) и сегментация (точное выделение формы дефекта).

В области детекции наиболее распространены модели YOLOv5/YOLOv8 и Faster R-CNN [5, 9]. Для сегментации применяются U-Net, DeepLabV3+, а также их модификации с механизмом внимания [6]. Гибридные подходы

объединяют обе задачи: сначала детектор находит подозрительные области, затем сегментатор уточняет их контуры.

Таблица 1

Сравнение архитектур нейросетей для анализа рентгеновских изображений

| Архитектура | Тип задачи | Преимущества | Ограничения |
|--------------------|-------------------|--------------------------------|--------------------------------|
| YOLOv8 | Детекция объектов | Высокая скорость обработки | Требует больших данных |
| Faster R-CNN | Детекция объектов | Высокая точность | Высокие вычислительные затраты |
| U-Net | Сегментация | Точное выделение контуров | Сложность настройки |
| Vision Transformer | Классификация | Хорошая обобщающая способность | Требует много данных |

Математические основы

Для успешной интеграции алгоритмов машинного зрения в практику промышленного контроля необходимо их точное математическое описание, что обеспечивает прозрачность работы систем и возможность объективного контроля качества.

Рассмотрим задачу бинарной классификации дефектов:

Пусть $X = \{x_1, x_2, \dots, x_n\}$ – предобработанные рентгеновские изображения, $Y = \{y_1, y_2, \dots, y_n\}$ – соответствующие метки классов (например, «дефект» или «без дефекта»).

Обучаемая модель $f(x_i; \theta)$ с параметрами θ прогнозирует вероятность дефекта:

$$P(y_i = \text{"дефект"} \mid x_i) = \sigma(f(x_i; \theta))$$

где $\sigma(\cdot)$ – функция активации (обычно сигмоида для задач бинарной классификации).

Обучение реализуется через минимизацию функции потерь (например, бинарная кросс-энтропия):

$$L(\theta) = -1/n \sum [y_i \log(\hat{y}_i) + (1 - y_i) \log(1 - \hat{y}_i)]$$

где $\hat{y}_i = P(y_i = \text{"дефект"} \mid x_i)$.

Преимущества:

- Повышение точности диагностики по сравнению с традиционными методами
- Автоматизация рутинных операций контроля качества

- Снижение времени обработки изображений
- Возможность интеграции экспертных знаний в алгоритмы
- Повышение воспроизводимости результатов

Вызовы:

- Необходимость больших размеченных массивов данных
- Требования к вычислительным ресурсам
- Риск ошибок из-за артефактов и некорректных данных
- Необходимость технической интеграции с промышленным оборудованием

- Проблемы разнородности данных (материалы, толщина деталей)

Методика пилотного исследования:

- Сбор данных: формирование набора рентгеновских снимков подшипников и болтов с различными дефектами

- Разметка: выделение дефектов вручную с использованием bounding-boxes и масок

- Предобработка: фильтрация, нормализация, увеличение данных (повороты, шум, изменение контраста)

Обучение модели:

Этап 1 — детекция с использованием YOLOv8

Этап 2 — сегментация дефектов с помощью U-Net++

Оценка: использование метрик Precision, Recall, F1-score, IoU и mAP

Интеграция: разработка интерфейса для анализа рентгенограмм в реальном времени

Результаты и обсуждение

Предварительные эксперименты, описанные в источниках [4, 6, 8], показывают, что точность обнаружения дефектов при применении глубоких сетей превышает 90 %. Автоматизированная обработка изображений обеспечивает сокращение времени анализа более чем в три раза по сравнению с экспертной оценкой. Тем не менее точность результатов остаётся чувствительной к параметрам рентгеновского оборудования, особенностям геометрии проекции и шумовым искажениям. Поэтому при внедрении системы в производственный процесс требуется адаптация модели с учётом специфики используемой аппаратуры.

Заключение

Применение методов машинного зрения и глубокого обучения существенно расширяет возможности автоматизации рентгеновского контроля металлических изделий. Такие решения позволяют повысить надёжность и скорость дефектоскопии, уменьшить влияние человеческого фактора и обеспечить удобное хранение и анализ результатов в цифровом виде. В дальнейшем особое значение будет иметь расширение доступных датасетов, создание более универсальных моделей и их интеграция с существующими системами контроля качества.

При этом успешное внедрение подобных технологий требует дальнейших исследований и продуманного подхода как к техническим, так и к организационным вопросам. Обеспечение надежности систем и постоянное обучение персонала является ключевыми факторами на пути к полному раскрытию потенциала технологий машинного зрения в промышленности.

Библиографический список

1. Fang X., Luo Q., Zhou B., Li C., Tian L. Research Progress of Automated Visual Surface Defect Detection for Industrial Metal Planar Materials. *Sensors*, 2020; 20(18): 5136. [Электронный ресурс]. – URL: <https://www.mdpi.com/1424-8220/20/18/5136> (дата обращения: 14.04.2024).
2. Neway Diecast. Deep Defect Detection: X-Ray Inspection for Internal Flaws in Custom Metal Parts. 2023. [Электронный ресурс]. – URL: <https://www.newaydiecast.com/knowledge-hub/deep-defect-detection-x-ray-inspection-for-internal-flaws-in-custom-metal-parts> (дата обращения: 15.04.2024).
3. Ibrahim A.A.M.S., Tapamo J.-R. A Survey of Vision-Based Methods for Surface Defects' Detection and Classification in Steel Products. *Informatics*, 2024; 11(2): 25. [Электронный ресурс]. – URL: <https://www.mdpi.com/2227-9709/11/2/25> (дата обращения: 17.04.2024).
4. Automatic Detection of Weld Defects in Pressure Vessel X-Ray Image Based on CNN. *Wuhan University Journal of Natural Sciences*, 2022. [Электронный ресурс]. – URL: <https://jns.whu.edu.cn/> (дата обращения: 17.04.2024).
5. Yagüe F.J., Diez-Pastor J.F., Latorre-Carmona P., Garcia Osorio C.I. Defect Detection and Segmentation in X-Ray Images of Magnesium Alloy Castings Using the Detectron2 Framework. *arXiv preprint*, 2022. [Электронный ресурс]. – URL: <https://arxiv.org/abs/2203.12345> (дата обращения: 19.04.2024).
6. Automated Detection of Defects on Metal Surfaces Using Vision Transformers. *Proceedings of SciTePress*, 2024. [Электронный ресурс]. – URL: <https://www.scitepress.org/> (дата обращения: 20.04.2024).
7. Ghosh S., et al. Enhancement of X-ray Radiographs Using Adaptive Histogram Equalization for Industrial Defect Detection. *NDT & E International*, 2021; 118: 102413. [Электронный ресурс]. – URL: <https://www.sciencedirect.com/science/article/abs/pii/S0963869521000137> (дата обращения: 21.04.2024).
8. Chen Y., Zhang W., et al. Preprocessing Techniques for Improving Radiographic Image Quality in NDT Applications. *Applied Sciences*, 2022; 12(3): 1548. [Электронный ресурс]. – URL: <https://www.mdpi.com/2076-3417/12/3/1548> (дата обращения: 23.04.2024).
9. Wang C., et al. YOLOv8-Based Defect Detection in Metallic Components under Radiographic Inspection. *IEEE Access*, 2024; 12: 46801–46812. [Электронный ресурс]. – URL: <https://ieeexplore.ieee.org/document/10456789> (дата обращения: 25.04.2024).

10. Robovision AI. AI-Powered Inspection for Metal Quality Control. 2023. [Электронный ресурс]. – URL: <https://robovision.ai/ucp-ai-powered-inspection-precision-metal-quality-control> (дата обращения: 26.04.2024).

11. PEKAT VISION. Metal & Machining Inspection Solutions. 2023. [Электронный ресурс]. – URL: <https://www.pekatvision.com/applications/metal-fabrication> (дата обращения: 27.04.2024).

© Ефименко В.В., Кузнецов А.А., 2025

УДК 004.8

Ю.О. ЖУРАВЛЕВА

uliazuravleva751@gmail.com

Науч. руковод. – канд. физ.-мат. наук Д.С. ЮНУСОВА

Уфимский университет науки и технологий

ОПРЕДЕЛЕНИЕ ВРЕДНОСНЫХ ВЕБ-САЙТОВ С ИСПОЛЬЗОВАНИЕМ МЕТОДОВ МАШИННОГО ОБУЧЕНИЯ

Аннотация: в данной статье рассматривается применение методов машинного обучения для определения вредоносных веб-сайтов. Проводится сравнение производительности моделей LGBost, Logistic Regression, Decision Tree, K Nearest Neighbors, SVM, CatBoost, XGBost.

Ключевые слова: искусственный интеллект; машинное обучение; информационная безопасность; вредоносный веб-сайт.

В современном мире существуют различные угрозы информационной безопасности, число которых лишь возрастает. Многие из этих угроз реализуются через сеть Интернет. Угрозы информационной безопасности, связанные с использованием сети Интернет, называются веб-угрозами. К распространенным веб-угрозам относятся атаки «Отказ в обслуживании», несанкционированное получение доступа, внесение изменений и прочие [1].

Одними из наиболее распространенных веб-угроз являются вредоносные веб-сайты. Вредоносными называют веб-сайты, намеренно созданные для нанесения вреда пользователям. Это довольно широкое понятие, включающее в себя как фишинговые сайты, так и сайты, распространяющие вредоносное программное обеспечение. При этом, как правило, после перехода пользователя на сайт, для заражения не требуется никаких иных действий. Через подобные веб-сайты может распространяться такое вредоносное программное обеспечение, как черви, троянские программы, шпионские и рекламные программы. Все они могут представлять угрозу информационной безопасности пользователей.

Вредоносные веб-сайты являются актуальной и распространенной угрозой информационной безопасности. По оценкам Positive Technologies, с начала 2025 года было замечено массовое распространение вредоносного программного обеспечения через веб-ресурсы – доля таких атак достигал 13%, что является наибольшим значением за последние 3 года наблюдений [2].

Также сайты могут служить каналами социальной инженерии – по тем же оценкам, в 24% случаев успешных атак на организации и 69% - на частные лица, сайты послужили каналами социальной инженерии, что превышает показатели звонков, социальных сетей и мессенджеров [2]. Согласно обзору

вирусной активности, в III квартале 2025 года, опубликованном компанией «Доктор Веб», отмечается распространение мошеннических сайтов на тему инвестиций, финансов [3].

В связи с этим стоит отметить, что вредоносные сайты, ранее отличавшиеся худшим качеством исполнения – наличием нечетких изображений, орфографическими ошибками и прочие – становится все сложнее отличить от сайтов, не являющихся вредоносными. Отмечается рост популярности онлайн-сервисов, позволяющих определить, является ли этот сайт вредоносным, подобную проверку могут осуществлять и антивирусные программы. Однако подобная проверка не всегда гарантирует точность определения.

Таким образом, определение вредоносных сайтов является важной задачей обеспечения информационной безопасности. Примеры успешного применения искусственного интеллекта в различных сферах деятельности позволяет рассмотреть возможность его применения и для решения данной проблемы. Уже существуют успешные практики применения методов машинного обучения для задач обеспечения информационной безопасности – например, для фильтрации фишинговых писем. Применение машинного обучения для определения вредоносных веб-сайтов может существенно повысить точность определения, и может стать наиболее эффективной мерой в условиях постоянно растущего числа киберугроз.

В данной работе было рассмотрено применение различных алгоритмов машинного обучения для определения вредоносных веб-сайтов. Был использован набор данных, содержащий информацию о веб-сайтах. Набор данных содержал такие сведения, как число символов строки URL, число содержащихся в строке специальных символов, размер содержимого заголовка HTTP, число пакетов TCP, количество переданных байт, число DNS –пакетов, сгенерированных во время обмена данными, число портов, отличающихся от TCP, число подключенных IP-адресов, число пакетов, полученных с сервера, число пакетов, отправленных на сервер, число созданных пакетов IP. В качестве целевой переменной была выбрана переменная, содержащая информацию о классе принадлежности веб-сайта. Строки, содержащие пропуски в данных, были удалены.

После проведения обработки данных общий объем данных составил 968 записей, из которых 106 записей относились к вредоносным веб-сайтам, а 862 записи – к сайтам, не являющимся вредоносными. Далее было произведено разбиение на обучающую и тестовую выборки. Размер обучающей выборки составил 67%, размер тестовой выборки – 33%.

При обучении модели были использованы такие алгоритмы машинного обучения, как Logistic Regression, Decision Tree, K Nearest Neighbors, SVM, CatBoost, XGBoost, LGBost. Для оценки точности модели были использованы такие метрики, как Accuracy, Precision, Recall, F1, ROC AUC, PR AUC, Specificity.

Полученные значения метрик ROC AUC и PR AUC представлены на рис. 1. Заметим здесь, что PR AUC больше подходит в случае несбалансированной выборки, каковой и является использованная в данной работе.

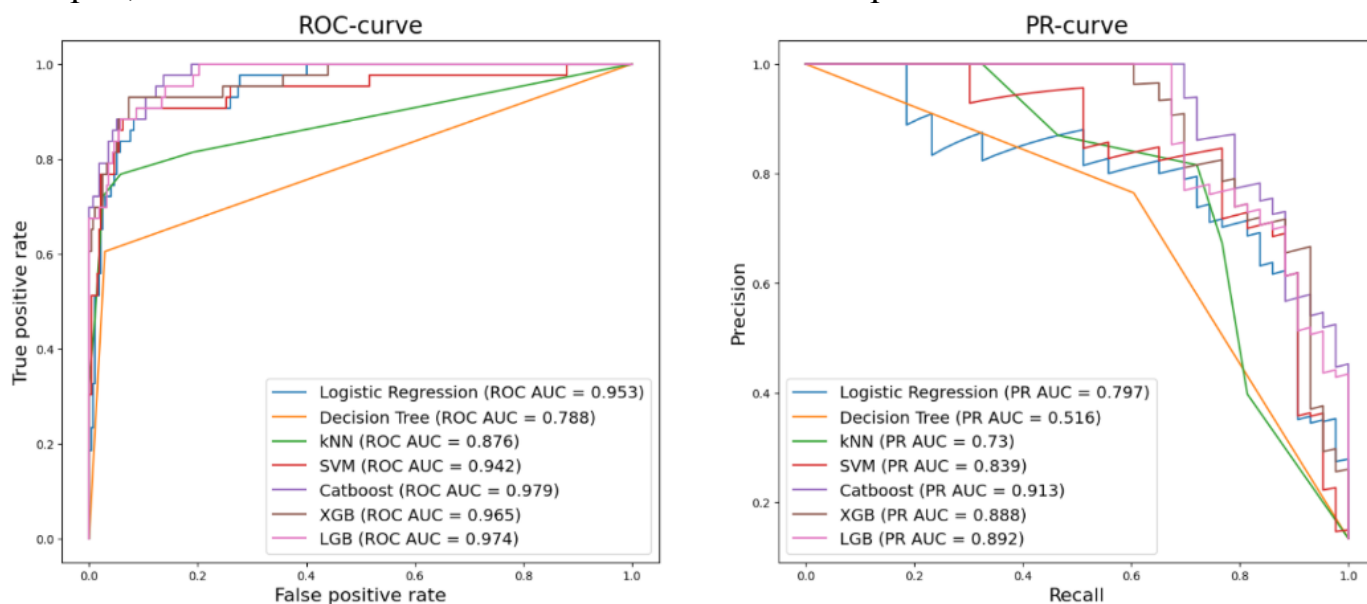


Рис. 27. Визуализация качества моделей

Результаты сравнения моделей с использованием метрик Accuracy, Precision, Recall, F1, ROC AUC, PR AUC, Specificity представлены в табл. 1.

Таблица 1

Сравнение производительности моделей

| | Accuracy | Precision | Recall | F1 | ROC_AUC | PR_AUC | Specificity |
|---------------------|----------|-----------|----------|----------|----------|----------|-------------|
| LGBoost | 0.956250 | 1.000000 | 0.674419 | 0.805556 | 0.974142 | 0.892439 | 1.000000 |
| CatBoost | 0.953125 | 1.000000 | 0.651163 | 0.788732 | 0.979431 | 0.913216 | 1.000000 |
| XGBoost | 0.946875 | 0.964286 | 0.627907 | 0.760563 | 0.964571 | 0.887951 | 0.996390 |
| K Nearest Neighbors | 0.940625 | 0.815789 | 0.720930 | 0.765432 | 0.876081 | 0.730430 | 0.974729 |
| Logistic Regression | 0.921875 | 0.875000 | 0.488372 | 0.626866 | 0.952817 | 0.796507 | 0.989170 |
| SVM | 0.912500 | 0.941176 | 0.372093 | 0.533333 | 0.941818 | 0.838732 | 0.996390 |
| Decision Tree | 0.915625 | 0.722222 | 0.604651 | 0.658228 | 0.787885 | 0.515505 | 0.963899 |

Также была произведена оценка значимости признаков с использованием встроенного метода `feature_importances_` библиотеки XGBoost. Оценка значимости позволяет выявить наиболее важные признаки, указывающие на потенциальную опасность использования веб-сайта.

В число наиболее значимых признаков вошли число созданных DNS – пакетов, число портов, отличных от портов TCP, размер содержимого заголовка

НТТР. Наиболее значимым признаком является число созданных DNS – пакетов, значимость данного признака равна 0.489501.

Наименьшее влияние оказывают следующие признаки: источник отправки пакетов, число переданных пакетов TCP, число подключенных IP-адресов, число созданных пакетов IP. Также при оценке значимости признаков было выявлено, что число созданных пакетов IP не вносит существенного вклада – значимость признака равна нулю - и признак может быть удален.

Таким образом, методы машинного обучения могут эффективно применяться для выявления сайтов, представляющих угрозу информационной безопасности.

Библиографический список

1. Что такое веб-угрозы или онлайн-угрозы? - URL: <https://www.kaspersky.ru/resource-center/threats/web> (дата обращения – 05.11.2025)

2. Актуальные киберугрозы: I-II кварталы 2025 года - URL: <https://www.ptsecurity.com/research/analytics/aktual-nye-kiberugrozy-i-ii-kvartaly-2025-goda/#id5> (дата обращения – 05.11.2025)

3. «Доктор Веб»: обзор вирусной активности в III квартале 2025 года - URL: <https://news.drweb.ru/show/review/?lng=ru&i=15061> (дата обращения – 05.11.2025)

© Журавлева Ю.О., 2025

Н.А. ЗАГИТОВ

natan.dice@yandex.ru

Науч. руковод. – канд. техн. наук, доц. Е.Ю. САЗОНОВА

Уфимский университет науки и технологий

ФАКТОРЫ ДОРОЖНО-ТРАНСПОРТНЫХ ПРОИСШЕСТВИЙ НА ДОРОГАХ ОБЩЕГО ПОЛЬЗОВАНИЯ

Аннотация: в работе приведены объективные и субъективные факторы дорожно-транспортных происшествий, принятые государством меры для их предотвращения.

Ключевые слова: дорожно-транспортные происшествия, факторы ДТП, государственные меры предотвращения ДТП.

Введение

Дорожно-транспортные происшествия (ДТП) остаются одной из ведущих причин смертности и травматизма в мире. В России, согласно статистике [1], в 2024 году зарегистрировано около 117 тысяч ДТП, вследствие которых было ранено более 144 тысяч человек и погибло около 12 тысяч человек, что подчеркивает актуальность проблемы на национальном уровне.

Безусловно большая часть ДТП происходит из-за нарушения ПДД, так согласно статистике за шесть месяцев 2023 года в Российской Федерации около 87% ДТП было совершено из-за нарушения ПДД [2], но такой подход к рассмотрению вопроса не позволяет структурировать факторы дорожно-транспортных происшествий.

Факторы ДТП можно разделить на объективные и субъективные. Выявление и систематизация факторов, влияющих на аварийность на дорогах общего пользования, даёт возможность разработать эффективную систему предупреждения ДТП [3], а также будут рассмотрены уже принятые меры.

Объективные и субъективные причины ДТП

Под объективными факторами будем понимать элементы, которые не зависят от действия или бездействия непосредственного участника дорог общего пользования (водителя или пешехода), а зависят от других участников дорожного движения. Стоит отметить, что данные элементы являются довольно динамичными и их влияние имеет непостоянную величину. Перечислим объективные факторы и рассмотрим каждый из них:

1) скорость движения автомобилей – один из главных факторов дорожно-транспортных происшествий, который также прямо влияет тяжесть его последствий. Для предупреждения этого элемента органы власти устанавливают знаки скоростного режима и камеры, фиксирующие его нарушение. Так согласно исследованию эффективности фотовидеофиксации в

контексте безопасности дорожного движения и снижения числа дорожно-транспортных происшествий была выявлено, что в зонах установки стационарных камер контроля мгновенной скорости отмечается снижение всех показателей аварийности более чем в 2 раза [4];

2) интенсивность движения машин – с каждым годом на дорогах появляется все больше и больше транспортных средств, а строительство новых и расширение имеющихся дорог является трудоемким и капиталоемким процессом, что ведет к перегрузке дорожных сетей и увеличению ДТП [5];

3) интенсивность движения пешеходов – население крупных городов непрерывно растет каждый год, а спроектированные тротуары могут не соответствовать комфортному передвижению пешеходов [6]. При высокой интенсивности движения пешеходов непременно растет риск ДТП. Например, если у дороги был спроектирован узкий тротуар, при высокой интенсивности люди будут идти по дороге, что приведет к наезду на пешехода автомобиля;

4) перемещение иных объектов по дорожному полотну – под данным элементом подразумеваются случаи появления на дорогах диких животных, например, оленей. Для предупреждения данного фактора органы власти устанавливают знаки, предупреждающие о возможности появления диких животных на дороге;

5) поведение участников дорожного движения – один из главных факторов, вызывающих ДТП. Под поведением подразумевается стиль вождения автомобилистов. Некоторые водители водят достаточно агрессивно, из-за чего подвергают себя и остальных участников дорожного движения риску возникновения дорожно-транспортного происшествия. Для предупреждения данного фактора органы власти устанавливают камеры, фиксирующие нарушение ПДД;

6) маневры движения транспортных средств – под данным элементом подразумеваются ситуации, когда водители совершают маневры, не убедившись в их безопасности, из-за чего остальные участники дорожного движения не могут предугадать данного маневра и принять меры для избегания ДТП;

7) изменение сигналов регулирования движения – под данным фактором подразумеваются ситуации, когда водители и пешеходы неверно оценивают дорожную обстановку из-за скорого изменения сигналов регулирования движения. Например, при смене цвета светофора с разрешающего сигнала на запрещающий, водители не останавливаются, в результате чего сталкиваются с другими автомобилями, или другой пример, когда пешеходы перебегают дорогу на запрещающий сигнал светофора, в результате чего их сбивают автомобили. Для предупреждения данного фактора органы власти устанавливают камеры, фиксирующие нарушения связанные с сигналами регулирования движения;

8) состояние дорожного полотна – один из главных факторов возникновения ДТП. Так, только за 2021 год по этой причине произошло почти 53 тысячи дорожно-транспортных происшествий при общем количестве в 133

тысячи [9]. Состояние дорожного полотна может быть неудовлетворительным из-за природных явлений (дождь, метель, гололед и т. д.) и из-за человеческого фактора (ямы, плохое качество дороги и т. д.). Для предупреждения данного фактора государство устанавливает динамические знаки скоростного режима, повышает качество дорожного полотна и исправляет его неудовлетворительное состояние, а производители транспорта предусматривают системы, помогающие при заносе или резком торможении;

9) видимость – под данным элементом подразумевается влияние природных явлений (туман, метель, дождь и т.д.) из-за которых ухудшается видимость на дороге. Данный фактор нередко становится причиной наезда на пешеходов или на остановившиеся у обочины автомобили. Для предупреждения данного фактора, например, производители автотранспорта предусматривают противотуманные фары, однако они не всегда входят в стандартные комплектации, из-за чего некоторые водители рискуют попасть в ДТП при плохой видимости;

10) обзорность – фактор, ограниченного для водителя обзора при движении по дороге, нередко следствием такой ситуации возникает непреднамеренный наезд на пешеходов в местах, положенных для перехода дороги или столкновения с другим транспортным средством. Например, водитель вопреки правилам припарковал свой автомобиль прямо перед пешеходным переходом, из-за чего другие водители не смогут вовремя увидеть переходящего дорожного пешехода, что может привести к ДТП;

11) неисправность транспортного средства – законом четко установлены неисправности, с которыми водитель может пользоваться дорогами общего пользования, однако нередко водители нарушают ПДД, что приводит к дорожно-транспортным происшествиям. Например, при неисправных тормозах происходят наезды на пешеходов, столкновения с автомобилями. Для предупреждения данного фактора владельцы транспортных средств по закону проходят технические осмотры для исключения критических неисправностей.

12) коррупция – ежегодно многие граждане Российской Федерации получают водительские удостоверения (ВУ), однако некоторая часть из них делает это незаконно с помощью коррупционной составляющей, что приводит к появлению на дороге необученных и неподготовленных водителей, из-за чего возникают дорожно-транспортные происшествия. Для предупреждения данного фактора государство проводит антикоррупционную политику и усиливает контроль за получением ВУ.

13) управление транспортом без водительского удостоверения – к сожалению, нередко в ДТП попадают водители, которые не имели на момент происшествия действующего водительского удостоверения. Такие граждане являются неподготовленными и необученными водителями, из-за чего повышается риск возникновения дорожно-транспортного происшествия с их участием. Например, в 2020 году более 40% смертей в ДТП на встречной полосе произошло по вине водителей, не имеющих прав на вождение машины [10]. Для предупреждения данного фактора государство усиливает контроль за

участниками дорожного движения, например, с помощью постов ДПС на дорогах общего пользования.

Большинство из перечисленных объективных факторов должны учитывать водители транспортных средств, а некоторые из них и пешеходы, например, при переходе дороги в положенном месте оценивать скорость приближающихся машин, изменение сигналов регулирования движения и видимость участников движения.

К субъективными факторам отнесем поведение водителей и пешеходов:

1) безответственное отношение к управлению транспортом – главный субъективный фактор, состоящий в том, что граждане, имеющие водительское удостоверение сознательно нарушают правила дорожного движения, чем подвергают опасности себя и остальных. Для предупреждения данного фактора государство проводит политику постоянного информирования о важности соблюдения ПДД.

2) алкогольное или наркотическое опьянение – один из главных субъективных факторов, возникающий из-за безответственности граждан.

Так, за 6 месяцев 2024 года почти каждое десятое ДТП (8,9%) произошло с участием водителей в состоянии либо с признаками опьянения. При этом погибшие в данных происшествиях составили более шестой части (17,8%) от общего числа погибших на дорогах страны [11]. Для предупреждения данного фактора государство усиливает контроль за участниками дорожного движения, например, с помощью постов ДПС или возможности сообщить о пьяном водителе удобным способом.

3) психофизические нарушения – также немаловажный фактор, представляющий из себя неудовлетворительное состояние водителя транспортного средства, проявляющиеся либо с психическими отклонениями (шизофрения, острый психоз и т.д.) либо физическими (потеря сознания, паралич органов и т.д.). Для предупреждения данного фактора государство при получении и обновлении водительского удостоверения принуждает водителей проходить обязательные медицинские осмотры.

Заключение

Анализ субъективных и объективных факторов ДТП на дорогах общего пользования показал их влияние и важность учёта. Государственные меры – от ужесточения ПДД и установки камер до модернизации дорог и просвещения – позволяют минимизировать риски. Комплексный подход к устранению обоих типов факторов обеспечит устойчивое снижение числа происшествий и повышение безопасности дорожного движения.

Библиографический список

1. Статистика ДТП по России // RusDTP URL: 1. <https://rusdtp.ru/stat-dtp/> (дата обращения: 08.11.2025);
2. Статистика аварийности из-за нарушения ПДД водителями за шесть

месяцев 2023 года // Российская академия транспорта URL: <https://rosacademtrans.ru/statistikadtp2023/> (дата обращения: 08.11.2025);

3. Печатнова Е.В., Кузнецов В.Н. Факторы возникновения дорожно-транспортных происшествий с особо тяжкими последствиями. Научный рецензируемый журнал "Вестник СибАДИ". 2022;19(2):224-235. URL: <https://doi.org/10.26518/2071-7296-2022-19-2-224-235>;

4. Дюсимбаева, Г. Д. Краткий анализ причин возникновения дорожно-транспортных происшествий / Г. Д. Дюсимбаева. – Текст: непосредственный // Молодой ученый. – 2023. – № 43 (490). – С. 112-113. – URL: <https://moluch.ru/archive/490/106991>;

5. Исследование эффективности фотовидеофиксации в контексте безопасности дорожного движения и снижения числа дорожно-транспортных происшествий // Институт экономики транспорта и транспортной политики ВШЭ URL: <https://itetps.hse.ru/mirror/pubs/share/542713741.pdf> (дата обращения: 08.11.2025);

6. Скворцов О.В. О влиянии режимов движения автомобилей на безопасность движения и современные подходы к оценке проектных решений автомобильных дорог // 2011 // URL: <https://rodosnpp.ru/media/prezidium/prezident/statiy/vlianie.pdf>;

7. С.Л. Чикалина, А.Г. Левашев Оценка комфортности условий движения пешеходов // Иркутский государственный технический университет. - 2005. - №2;

8. Сапрыкин С.С., Пак В.В. Влияние состояния дорожного полотна и дорожных условий на безопасность дорожного движения // Вестник магистратуры. - 2022. - №3-1. - С. 7.

9. Булатов С. В. АНАЛИЗ ФАКТОРОВ, ВЛИЯЮЩИХ НА ВЕРОЯТНОСТЬ ВОЗНИКНОВЕНИЯ ДОРОЖНО-ТРАНСПОРТНЫХ ПРОИСШЕСТВИЙ // Транспортное машиностроение. 2022. №. 6. С. 42-47. DOI: <https://doi.org/10.30987/2782-5957-2022-6-42-47> (дата обращения: 08.11.2025);

10. Каждое десятое ДТП в 2024 году – с участием водителей с признаками опьянения // Автотрезвость URL: <https://www.avtotrezvost.ru/289-kazhdoe-desyatoe-dtp-v-2024>. (дата обращения: 08.11.2025).

© Загитов Н.А., 2025

УДК 004.89

Н.Р. ЗУБОВ

nik.zubov.2002@mail.ru

Науч. руковод. – к.ф.-м.н., доцент, Е.И. ПРОКУДИНА

Уфимский университет науки и технологий

ПРОГРАММНЫЙ ИНСТРУМЕНТ ДЛЯ ОЦЕНКИ РИСКОВ ВОЗНИКНОВЕНИЯ ОСЛОЖНЕНИЙ САХАРНОГО ДИАБЕТА

Аннотация: в статье описан прикладной программный инструмент для оценки вероятности трёх осложнений при сахарном диабете: ретинопатии, нефропатии и нейропатии. Представленное решение объединяет восстановление пропусков методом MICE (Multiple Imputation by Chained Equations), кодирование категориальных признаков, масштабирование с помощью StandardScaler, балансировку выборки SMOTE (Synthetic Minority Oversampling Technique) и последовательную цепочку классификаторов Classifier Chain с базовым классификатором XGBoost. Разработано приложение на PyQt6, обеспечивающее удобный интерфейс для загрузки данных пациента и вывода оценки рисков возникновения осложнений.

Ключевые слова: сахарный диабет; хронические заболевания; машинное обучение; оценка рисков; осложнения.

Введение

Сахарный диабет – хроническое заболевание, которое может вызвать осложнения. Возникает в результате недостаточной выработки инсулина или его неэффективного использования организмом. Заболевание требует внимательного и постоянного мониторинга различных показателей здоровья и применения различных мер диагностики для предотвращения развития осложнений. Важной задачей является ранняя оценка риска микрососудистых осложнений, что позволяет врачам принимать превентивные меры и корректировать лечение пациента. Применение современных технологий машинного обучения открывает новые горизонты для повышения эффективности диагностики лечения пациентов с сахарным диабетом. Разработка программы для оценки рисков возникновения осложнений при сахарном диабете является важной задачей, стоящей перед нами в этой области. Она направлена на решение проблем путем интеграции больших объемов данных о состоянии здоровья пациентов и применении современных алгоритмов машинного обучения с целью более точного прогнозирования рисков развития осложнений.

Постановка задачи

Работа подразумевает создание инструмента, который позволит анализировать различные показатели здоровья больных этим заболеванием и прогнозировать у них возможное развитие осложнений при помощи искусственного интеллекта и машинного обучения. Разработанное программное обеспечение должно улучшить точность диагностики и ускорить время на принятие решений врачам, не утратив при этом персональный подход к каждому пациенту.

Предварительная обработка данных

Использован набор данных пациентов, состоящий из 3068 записей. Набор содержит числовые признаки (возраст, давление, глюкоза, креатинин, холестерин и др.) и категориальные признаки (пол, регион). Данные имели пропуски и дисбаланс по целевым меткам, что потребовало дополнительной обработки.

Для восстановления пропусков использован метод MICE (Multiple Imputation by Chained Equations), который показывает высокую точность восстановления данных в медицинских исследованиях [1]. Он итеративно восстанавливает пропуски через цепные уравнения регрессии, учитывая все возможные пересечения и взаимосвязи между переменными. Для балансировки выборки использовался метод SMOTE (Synthetic Minority Oversampling Technique) [2]. Данный алгоритм генерирует синтетические примеры минорных классов через линейную интерполяцию ближайших соседей. Категориальные признаки преобразованы в числовые через one-hot encoding, а числовые признаки стандартизированы при помощи StandardScaler. Все трансформации набора данных сохранены при помощи библиотеки joblib для воспроизводимости результатов.

Методика

Задача формулируется как multi-label классификация: метки $y = [\text{RET}, \text{NEP}, \text{NEU}]$. Для решения поставленной задачи наиболее предпочтительным подходом является комбинация XGBoost (eXtreme Gradient Boosting) [3] и Classifier Chains (цепочки классификаторов). Выбор обусловлен сочетанием таких преимуществ, как: высокая точность на структурированных данных [4], учёт взаимосвязей между разными метками с помощью Classifier Chains, простота разработки и интерпретируемости. Математическая модель XGBoost базируется на ансамбле деревьев решений, в котором итоговый прогноз формируется как взвешенная сумма выходов каждого из деревьев. Чтобы преобразовать сырой выход модели в вероятность, используется логистическая функция (сигмоида).

$$P(y = 1 | x) = \frac{1}{1 + e^{-F(x)}} \quad (1)$$

где $F(x)$ – предсказание ансамбля деревьев.

XGBoost минимизирует регуляризованную функцию потерь, включающую логистическую потерь и L1/L2 регуляризацию для предотвращения переобучения:

$$L = \sum_{i=1}^n \left[y_i \ln(1 + e^{-F(x_i)}) + (1 - y_i) \ln(1 + e^{F(x_i)}) \right] + \lambda \|w\|^2 + \gamma T, \quad (2)$$

где T - число листьев в дереве, w - их веса, λ и γ - параметры регуляризации.

Главная особенность состоит в том, что базовые алгоритмы учатся последовательно, каждый следующий обучается так, чтобы уменьшить общую ошибку всех своих предшественников. Подбор гиперпараметров для обучения модели XGBoost выполняется с помощью случайного поиска через GridSearchCV.

Classifier Chain нужен для превращения задачи многометочной классификации (в нашем случае это ретинопатия RET, нейропатия NEU, нефропатия NEP) в цепочку последовательных бинарных задач.

Так, например нашими целевыми метками являются (y_1, y_2, y_3) , то

$$P(y_1, y_2, y_3 | x) = P(y_1 | x) \times P(y_2 | x, y_1) \times P(y_3 | x, y_1, y_2). \quad (3)$$

Таким образом сначала обучается бинарный классификатор $h_1(x) \approx P(y_1=1 | x)$, затем h_2 берет во входные параметры исходные признаки x и дополнительно предсказание y_1 и уже после этого обучается на задаче y_2 : $h_2(x, y_1) \approx P(y_2=1 | x, y_1)$. Третий классификатор соответственно $h_3(x, y_1, y_2) \approx P(y_3=1 | x, y_1, y_2)$.

Все это вместе формирует оценку совместного распределения $P(y_1, y_2, y_3 | x)$. Так, Classifier Chain превращает задачу многометочной классификации в последовательность трех XGBoost - моделей, где каждая последующая получает на вход результаты предыдущих (рис.1).

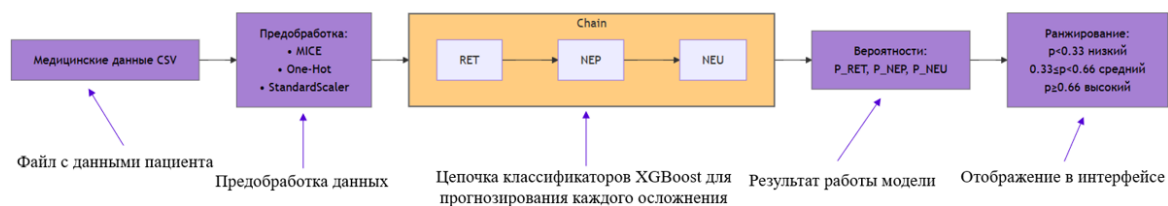


Рис. 1. Схема работы программы

Разработанное прикладное программное обеспечение с предварительно обученной указанными ранее способами и загруженной в него моделью позволяет пользователю провести оценку рисков возникновения осложнений у пациента (рис. 2).

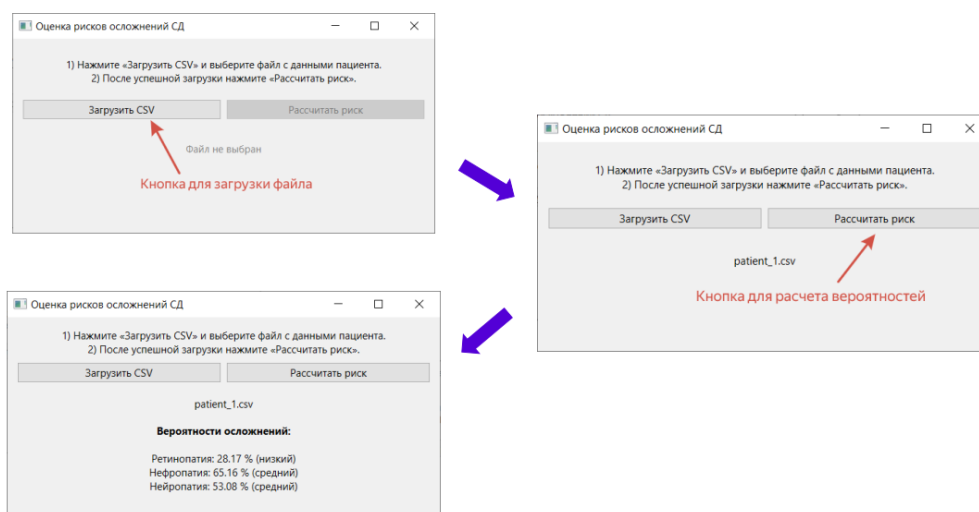


Рис. 2. Демонстрация работы программы

Анализ важности выявил ключевые факторы: длительность заболевания (DIA_LIFE), HbA1c, возраст, артериальное давление, BMI, креатинин и холестерин. Эти признаки клинически значимы и логично связаны с риском микрососудистых осложнений. Так же было выявлено влияние наличия одного осложнения на возникновение другого (рис.3).

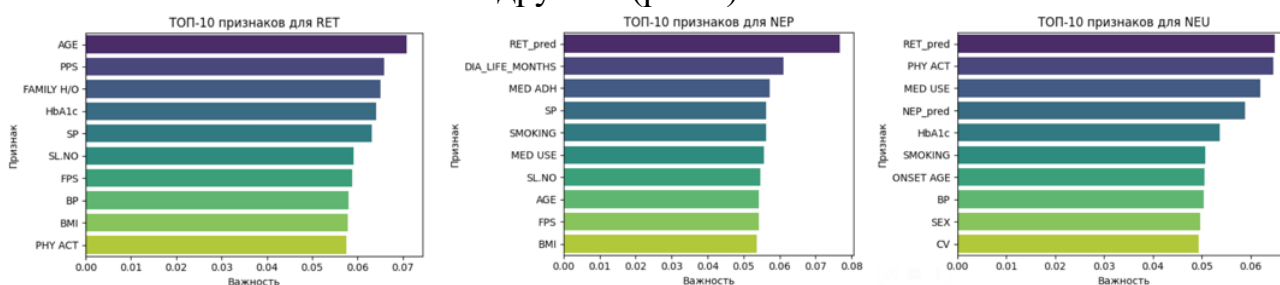


Рис. 3. Наиболее важные факторы для оценки риска возникновения осложнения

Заключение

Разработано программное обеспечение для расчета вероятностей возникновения осложнений, включающее в себя добавление медицинских данных пациента, автоматическую проверку корректности этих данных, расчет вероятностей возникновения осложнений и их отображение в пользовательском интерфейсе. В качестве методологической основы выбран и реализован подход Classifier Chains с использованием метода XGBoost, обеспечивающий высокую точность прогнозирования при работе с медицинскими данными и обладающей сравнительно низкой вычислительной сложностью. В ходе работы была выявлена взаимосвязь между осложнениями, которая указывает на повышенный риск развития нового заболевания. Разработанное программное обеспечение учитывает эту взаимосвязь.

Библиографический список

1. Missing Data in Clinical Research: A Tutorial on Multiple Imputation, URL: <https://pmc.ncbi.nlm.nih.gov/articles/PMC8499698> , (дата обращения 27.09.25)

2. The Impact of the SMOTE Method on Machine Learning and Ensemble Learning Performance Results in Addressing Class Imbalance in Data Used for Predicting Total Testosterone Deficiency in Type 2 Diabetes Patients, URL: <https://pubmed.ncbi.nlm.nih.gov/39682541/> , (дата обращения 29.09.25)

3. XGBoost Documentation, URL: <https://xgboost.readthedocs.io/en/latest/> , (дата обращения 7.10.25)

4. Prediction of complications of type 2 Diabetes: A Machine learning approach, URL: <https://pubmed.ncbi.nlm.nih.gov/35870573/>, (дата обращения 7.10.25)

© Зубов Н.П., 2025

УДК 004.8

И.Р. ИСЯНБАЕВ

Isya_04@mail.ru

Науч. руковод. – канд. техн. наук, доц. Е.Ю. САЗОНОВА

Уфимский университет науки и технологий

РАСПОЗНАВАНИЕ КОЖНЫХ ЗАБОЛЕВАНИЙ С ИСПОЛЬЗОВАНИЕМ ТЕХНОЛОГИЙ ИСКУССТВЕННОГО ИНТЕЛЛЕКТА

Аннотация: в статье представлен анализ применения методов искусственного интеллекта в диагностике кожных заболеваний. Рассматриваются алгоритмические и биомедицинские принципы построения систем компьютерного зрения, их архитектурные особенности, статистическая устойчивость и воспроизводимость результатов. Приводятся сравнительные данные по эффективности различных архитектур нейронных сетей, используемых для анализа дерматологических изображений. Показано, что технологии глубокого обучения формируют новый уровень объективности в дерматологической диагностике, однако их использование требует научно обоснованного контроля, строгой верификации и интеграции в систему доказательной медицины.

Ключевые слова: искусственный интеллект, кожные заболевания, глубокое обучение, сверточные нейронные сети, биомедицинская интерпретация.

Введение

Современная дерматология находится на стыке медицины, информатики и статистической науки. Распознавание кожных заболеваний сегодня – не просто технологическая задача, а область научного поиска, направленного на выявление закономерностей в сложных биофизических данных. Морфологическая изменчивость поражений кожи делает эту задачу особенно трудной: схожие по визуальным признакам состояния могут иметь различную этиологию и прогноз, а одно и то же заболевание проявляться с большим разнообразием визуальных паттернов [6].

Анализ эффективности нейросетевых архитектур

С точки зрения прикладной математики задача автоматического распознавания кожных заболеваний относится к классу высокомерных мультиклассовых задач с шумными границами классов, что требует от моделей способности к обобщению при наличии ограниченного количества размеченных данных [5]. Ключевую роль здесь играют сверточные нейронные сети (CNN), которые обеспечивают извлечение признаков из изображений с высокой степенью абстракции [1].

Технологическая основа CNN заключается в каскадной обработке изображений через свёрточные, нормализующие и пулинг-слои, что позволяет формировать признаки различной степени сложности. В ранних слоях сеть выделяет простые характеристики (градиенты, линии, текстуры), а в более глубоких – комплексные пространственные паттерны, отражающие морфологические особенности новообразований [3]. На практике это означает, что модель способна дифференцировать не только крупные визуальные различия (например, цвет или форма), но и микроструктурные признаки, которые могут быть недоступны человеческому глазу.

Научные исследования последних лет показали, что эффективность нейронных сетей сильно зависит от архитектуры, объема данных и метода валидации. В таблице 1 приведены усреднённые результаты для наиболее распространённых архитектур CNN, обученных на открытых базах данных дерматоскопических изображений (ISIC, HAM10000, Derm7pt) [2, 5, 7].

Таблица 1

Сравнительная эффективность нейросетевых архитектур

| Архитектура модели | Объём обучающей выборки | Средняя точность, % | Чувствительность, % | Специфичность, % | Источник |
|--------------------------|-------------------------|---------------------|---------------------|------------------|----------|
| ResNet-50 | ~100000 | 91,8 % | 90,2 % | 93,1 % | [1] |
| EfficientNet-B3 | ~150000 | 94,1 % | 93,5 % | 95,7 % | [2] |
| DenseNet-121 | ~80000 | 90,4 % | 89,6 % | 91,0 % | [5] |
| MobileNetV2 | ~120000 | 88,9 % | 87,1 % | 89,4 % | [3] |
| Vision Transformer (ViT) | ~200000 | 95,3 % | 94,7 % | 96,1 % | [8] |

Как показывают данные таблицы, наибольшую точность демонстрируют модели нового поколения – Vision Transformers, которые обеспечивают не только улучшение показателей классификации, но и возможность захвата глобальных зависимостей между областями изображения [8]. В то же время чрезмерная сложность архитектуры повышает риск переобучения и ухудшает способность модели к обобщению. Для минимизации этого эффекта применяются методы регуляризации, кросс-валидации и аугментации данных [4]. С научной точки зрения особенно важным направлением стало использование самообучающихся (self-supervised) и трансферных моделей, способных переносить знания между наборами медицинских изображений [6]. Такой подход позволяет существенно сократить зависимость от разметки данных, которая остаётся узким местом большинства проектов. Отдельного внимания заслуживает вопрос объективной оценки качества работы ИИ. В отличие от технических задач, в медицине требуется многоаспектная оценка, включающая не только точность, но и чувствительность, специфичность и ROC-AUC [2]. Только комплексный анализ метрик позволяет определить клиническую пригодность системы. Научно корректная валидация

подразумевает использование независимых выборок и межклинических тестов [7].

Фундаментальная проблема заключается в интерпретации решений нейросетей. Для медицины важно не только «что» определила модель, но и «почему». Методы объяснимого ИИ (XAI) – Grad-CAM, LIME, Integrated Gradients – позволяют визуализировать зоны внимания модели и оценить их соответствие клинически значимым областям [4, 8]. Это обеспечивает связь между статистическим и биологическим уровнями анализа и превращает ИИ в инструмент научного исследования морфологических закономерностей.

Так, исследование Holzinger et al. (2023) [8] показало, что интеграция Grad-CAM-карт с экспертной разметкой позволила выявить ранее неописанные связи между структурой пигментных сетей и стадиями инвазии меланомы. Подобные результаты подтверждают, что ИИ может выполнять не только диагностическую, но и гипотезогенерирующую функцию, помогая формировать новые научные представления о патогенезе заболеваний.

Перспективное направление научных исследований связано с созданием интегративных моделей, объединяющих визуальные данные с результатами биопсии, генетических тестов и лабораторных анализов [6]. Это позволит перейти от анализа изображений к системному моделированию патологического процесса, формируя новую дисциплину – вычислительную дерматопатологию.

Заключение

Применение искусственного интеллекта в распознавании кожных заболеваний представляет собой не только технологическую инновацию, но и формирование новой научной парадигмы. ИИ становится инструментом доказательной медицины, обеспечивая количественную верификацию гипотез, воспроизводимость экспериментов и расширение познания механизмов заболеваний.

Научная задача исследователя – не просто повысить точность классификации, но и раскрыть внутреннюю логику модели, соединяя вычислительные и биологические уровни объяснения.

Библиографический список

1. Esteva A., Kuprel B., Novoa R.A. et al. Dermatologist-level classification of skin cancer with deep neural networks. – *Nature*, 2017, Vol. 542, pp. 115–118.
2. Tschandl P., Rinner C., Apalla Z. et al. Human–computer collaboration for skin cancer recognition. – *Nature Medicine*, 2020, Vol. 26, pp. 1229–1234.
3. Brinker T.J., Hekler A., Enk A.H. et al. Deep learning outperformed 136 of 157 dermatologists in a head-to-head dermoscopic melanoma image classification task. – *European Journal of Cancer*, 2019, Vol. 113, pp. 47–54.

4. Holzinger A., Langs G., Denk H., Zatloukal K., Müller H. *Causability and explainability of artificial intelligence in medicine*. – WIREs Data Mining and Knowledge Discovery, 2019, Vol. 9(4), e1312.

5. Han S.S., Kim M.S., Lim W. et al. *Classification of the clinical images for benign and malignant cutaneous tumors using a deep learning algorithm*. – Journal of Investigative Dermatology, 2018, Vol. 138(7), pp. 1529–1538.

6. Лукашик Е.П. Нейросистема диагностики заболеваний кожи [Электронный ресурс] // *CyberLeninka*. – 2024. – URL: <https://cyberleninka.ru/article/n/neyrosistema-diagnostiki-zabolevaniy-kozhi>.

7. Хрянин А.А., Бочарова В.К. Искусственный интеллект в дерматологии: возможности и перспективы. *Клиническая дерматология и венерология*. 2024;23(3):246-252.

8. Holzinger A., Malle B., Kieseberg P. *Machine learning for skin lesion analysis: explainable AI and multimodal integration*. – Frontiers in Medicine, 2023, Vol. 10, Article 1052714.

© Исянбаев И.Р., 2025

УДК 004.8

Т.А. КАЗЫХАНОВ

timkazy@mail.ru

Науч. руковод. – канд. техн. наук, доц. Е.Ю. САЗОНОВА

Уфимский университет науки и технологий

RETRIEVAL-AUGMENTED GENERATION ДЛЯ ПОИСКА И ГЕНЕРАЦИИ ОТВЕТОВ НА ОСНОВЕ ТЕКСТОВЫХ ДОКУМЕНТОВ.

Аннотация: в статье рассматривается разработка интеллектуального RAG-ассистента (Retrieval-Augmented Generation), объединяющего семантический поиск по векторной базе и генеративные языковые модели для получения точных и контекстуализированных ответов. Предложенная архитектура сочетает преобразование и переформулирование пользовательских запросов (Query Rewriting, Step-back Prompting, Subquery Decomposition), векторный поиск на основе эмбедингов (sentence-transformers) и последующее переранжирование результатов с помощью Cross-Encoder. Для хранения и индексации применяется векторная СУБД (Chroma), а в генерации ответов используются современные языковые модели (Meta-Llama / GigaChat). Описаны методы обогащения контекста (Sentence Window Retrieval, Auto-Merging Retrieval) и меры по снижению риска «галлюцинаций» генеративной части — строгая привязка к извлечённым фактам и контроль качества через метрики precision/recall. Представленные подходы демонстрируют практическую применимость для создания масштабируемых и надёжных интеллектуальных ассистентов, работающих с большими корпусами текстовых документов.

Ключевые слова: Retrieval-Augmented Generation, RAG, векторный поиск, эмбединги, Cross-Encoder, Query Rewriting, контекстное обогащение, Chroma, LangChain, генеративные модели, борьба с галлюцинациями, precision, recall.

Введение

Технологии ИИ быстро совершенствуются, распознавая речь и интегрируясь в поисковики, голосовые помощники и клиентскую поддержку. Современные исследователи стремятся создать системы, способные формировать точные, контекстуально релевантные и качественные ответы.

Ключевым достижением стало внедрение подхода Retrieval-Augmented Generation (RAG). Этот метод эффективно совмещает поисковую систему с механизмами преобразования данных в связные и понятные тексты, значительно улучшая точность и качество результатов по сравнению с традиционными способами генерации текста.

Основная цель исследования – повышение эффективности виртуальных ассистентов через интеграцию новых методик поиска и обработки информации,

позволяющих создавать чёткие, содержательные и полезные ответы на запросы. Предложенный подход объединяет современные технологии семантического поиска, точного ранжирования и формирования читабельных текстов, открывая широкие перспективы для научных исследований, образовательных процессов и решения практических задач.

Анализ существующих подходов

Создание умных ассистентов сегодня реализуется двумя методами: генеративными моделями (например, GPT, T5, LLaMA) и поиском на основе векторных эмбеддингов (Sentence-BERT, sentence-transformers). Первые генерируют осмысленный отклик, обучаясь на больших объемах текста, однако подвержены ошибкам из-за зависимости от исходных данных. Второй метод ищет семантически близкие документы путем перевода текстов в пространство признаков.

Наиболее эффективна комбинация подходов в концепции Retrieval-Augmented Generation (RAG): сначала ищутся релевантные данные в векторных базах (Chroma, FAISS), затем генеративная модель формирует итоговый ответ. Для повышения точности применяются уточнители соответствия (кросс-кодеры), механизмы переформулировки запросов и деления их на части.

Проблемы остаются: появление ложных фактов («галлюцинации»), сложность контроля контекста и обработка большого объема данных. Их решают улучшением алгоритмов обработки запросов, оптимизации архитектуры и введением строгих ограничений на генерацию.

Архитектура и компоненты системы

Создаваемая архитектура ассистента с поддержкой RAG отличается многослойностью и объединяет функциональные блоки поиска, сортировки и синтеза откликов. Ключевое назначение этой структуры заключается в обеспечении эффективного взаимодействия внешней базы знаний и лингвистической модели, снижая вероятность ошибок и улучшая качество конечных результатов.

За основу взяты технологии фреймворка LangChain для интеграции моделей, векторная СУБД Chroma для работы с эмбеддингами, а также языковые процессоры Meta-Llama и GigaChat для русской речи.

Архитектура состоит из ключевых элементов:

1. Индексатор и поисковик. Преобразовывает текстовую информацию в векторные представления и осуществляет выбор подходящих данных согласно семантическим признакам. Создание эмбеддингов производится библиотекой sentence-transformers.

2. Обработчик запросов. Осуществляет первичную подготовку и детализацию поступающих запросов методами уточнения формулировки (Query Rewriting), пошагового формирования подсказок (Step-back Prompting) и разбиения сложных вопросов на составляющие части (Subquery Decomposition). Это повышает эффективность извлечения нужной информации.

3. Переранкер. Применяется нейронная модель Cross-Encoder для вычисления степени соответствия отобранных материалов запросу и выбора лучших сегментов для дальнейшей обработки.

4. Генератор ответов. Создает результирующее сообщение на основании обработанных данных, соблюдая строгие правила, предотвращающие использование несуществующей в исходниках информации.

Связь модулей организована каскадным образом: запросы пользователей последовательно проходят через этапы поиска, упорядочивания, обогащения контекстом и подготовки финальной версии ответа. Подобная схема позволяет добиться гибкости, масштабируемости и адаптивности решения под разные источники данных.

Принцип действия помощника RAG включает чётко выстроенный процесс обработки поступающих запросов, начиная с момента поступления обращения и заканчивая выдачей конечного результата. Этапы алгоритма способствуют повышению точности работы системы и минимизации возможных ошибок.

Шаг 1. Преобразование полученного запроса

При получении запроса проводится его начальная подготовка. Применяются специальные техники, включая уточнение формулировки (Query Rewriting), получение общего представления ситуации (Step-back Prompting) и разделение сложного запроса на отдельные составляющие части (Subquery Decomposition). Данные меры помогают улучшить качество последующего поиска и обеспечивают полное извлечение необходимых сведений.

Шаг 2. Индексация и ранжировка документов

Обработанный запрос переводится в векторное пространство с использованием технологии эмбедингов Sentence-Transformers. Затем происходит поиск совпадений среди индексированных материалов, хранящихся в базе данных Chroma. Дополнительная проверка корректности производится моделью Cross-Encoder, оценивающей степень соответствия выбранных фрагментов исходному запросу. Результатом становится подбор наиболее релевантных элементов.

Шаг 3. Формирование дополнительного контекста

Отобранные данные интегрируются таким образом, чтобы обеспечить формирование целостного и понятного ответа. Используется метод добавления соседних предложений (Sentence Window Retrieval) и объединение смежных частей текста (Auto-Merging Retrieval).

Шаг 4. Создание финального ответа

Итоговая версия ответа создаётся специальной языковой моделью (например, Meta-Llama либо GigaChat), основываясь исключительно на полученной ранее информации. Чтобы исключить появление недостоверных данных, применяется система жёстких ограничений, позволяющая использовать лишь проверенные сведения. Готовое сообщение оформлено в формате Markdown, что улучшает восприятие и поддерживает отображение математических выражений посредством MathJax.

Шаг 5. Подведение итога

Завершающим этапом является передача готового ответа пользователю вместе с указанием использованных источников, благодаря чему обеспечивается прозрачность процесса и повышается доверие к результатам работы системы.

Заключение

Представлена концепция интеллектуальной системы на основе методики Retrieval-Augmented Generation (RAG), предназначенной для точного извлечения и формирования ответов на запросы пользователей посредством анализа текста. Система объединяет семантическую обработку и генеративное моделирование, обеспечивая высокий уровень точности и надёжности.

Механизмы системы включают трансформацию запросов, векторный поиск, ранжирование найденных фрагментов и обогащение результатами дополнительного контекста. Специализированные модели Meta-Llama и GigaChat позволяют создавать качественные русскоязычные тексты с проверенным уровнем достоверности.

Гибкая архитектура позволяет эффективно применять технологию в разных сферах и типах задач, связанных с поиском и обработкой текстов. Исследования подтверждают высокую эффективность подхода RAG для будущих виртуальных ассистентов, сочетающих поисковые и генерирующие возможности.

Библиографический список

1. Инжикжеков А. А. Улучшение генерации текста с помощью Retrieval Augmented Generation // Инженерные технологии: традиции, инновации, векторы развития: материалы X Всероссийской научно-практической конференции с международным участием, Абакан, 13–15 ноября 2024 года. – Хакасский государственный университет им. Н. Ф. Катанова, 2024. – С. 27–29. – EDN WVJIOCW.

2. Зупарова, В. В. Применение технологии Retrieval-Augmented Generation (RAG) в системах поддержки образовательных учреждений / В. В. Зупарова // Научный форум: Сборник статей IX Международной научно-практической конференции, Пенза, 15 августа 2024 года. – Пенза: Наука и Просвещение (ИП Гуляев Г.Ю.), 2024. – С. 42-44. – EDN JUGXPQ.

3. Каширина, И. Л. Разработка и оценка RAG-системы для анализа семантических связей / И. Л. Каширина, И. Р. Осипов, В. А. Яковлев // Вестник Воронежского государственного университета. Серия: Системный анализ и информационные технологии. – 2025. – № 2. – С. 114-126. – DOI 10.17308/sait/1995-5499/2025/2/114-126. – EDN DKOSNP.

© Казыханов Т.А., 2025

А.З. КАНДАРОВА
7759682@gmail.com

Науч. руковод. - кандидат технических наук, доцент М.М. ГАЯНОВА

Уфимский университет науки и технологий

ИСПОЛЬЗОВАНИЕ МАШИННОГО ОБУЧЕНИЯ ДЛЯ ПРЕДСКАЗАНИЯ МОШЕННИЧЕСТВА В БАНКОВСКИХ ТРАНЗАКЦИЯХ

Аннотация: рост объёма цифровых банковских операций сопровождается увеличением изощённости и масштабов мошеннической деятельности. В данной статье исследуется применение современных алгоритмов машинного обучения для решения задачи бинарной классификации банковских транзакций. В работе проводится сравнительный анализ эффективности таких методов, как логистическая регрессия, случайный лес и градиентный бустинг.

Ключевые слова: машинное обучение; обнаружение мошенничества; банковские транзакции; классификация; разбалансированные данные; градиентный бустинг; CatBoost; случайный лес

Введение

Стремительная цифровизация финансового сектора и повсеместное распространение онлайн-банкинга, карточных платежей и FinTech-услуг привели к значительному росту объёма электронных транзакций. Параллельно с этим наблюдается увеличение масштабов и изощённости мошеннической деятельности, что наносит существенный финансовый ущерб как кредитным организациям, так и их клиентам. По оценкам экспертов, ежегодные глобальные потери от карточного мошенничества исчисляются миллиардами долларов [1]. В условиях высокой конкуренции и ужесточения регуляторных требований обеспечение безопасности операций становится для банков критически важной задачей.

Традиционные системы обнаружения мошенничества, основанные на жёстких, заранее определенных правилах, демонстрируют ограниченную эффективность в противодействии новым, постоянно эволюционирующим схемам атак. Данные системы требуют постоянной ручной настройки и актуализации правил экспертами, не способны адаптироваться к быстро меняющемуся поведению мошенников и часто генерируют неприемлемо высокий уровень ложных положительных срабатываний, что ведёт к неудовлетворённости добропорядочных клиентов [2].

В связи с этим, в последнее десятилетие активно развиваются подходы, основанные на методах машинного обучения и искусственного интеллекта). Эти методы позволяют автоматически выявлять сложные, неочевидные для

человека паттерны и аномалии в больших данных, характеризующих поведение пользователей и транзакционную активность. Алгоритмы машинного обучения способны обучаться на исторических данных, включающих как легитимные, так и мошеннические операции, и продолжают повышать точность своих предсказаний, адаптируясь к новым угрозам [3]. Среди наиболее перспективных моделей для задач классификации транзакций выделяются ансамблевые методы, такие как случайный лес и градиентный бустинг, в частности его современные реализации XGBoost, LightGBM и CatBoost, которые показывают результаты на табличных данных [4].

Однако ключевой проблемой, с которой сталкиваются исследователи при построении подобных моделей, является сильная разбалансированность реальных данных: мошеннические операции составляют менее 1%, а зачастую и доли процента, от общего объёма транзакций [5]. Прямое применение стандартных алгоритмов к таким данным без учёта их дисбаланса приводит к построению моделей, которые игнорируют миноритарный класс (мошенничество), что делает их бесполезными на практике. Для решения этой проблемы применяются специальные техники, включая стратегии ресэмплинга (например, SMOTE – Synthetic Minority Over-sampling Technique) [6], андерсэмплинга, а также использование алгоритмов, устойчивых к дисбалансу, или специализированных функций потерь.

Целью данного исследования является сравнительный анализ эффективности различных алгоритмов машинного обучения для задачи бинарной классификации банковских транзакций на мошеннические и легитимные.

Обзор предметной области и существующих методов

Проблема обнаружения мошеннических транзакций исторически решалась с помощью экспертных систем, основанных на правилах. Эти системы используют заранее определенные логические условия, разработанные аналитиками безопасности. Например, правило может блокировать транзакцию при превышении определенной суммы или при совершении операций из географически удалённых мест в короткий промежуток времени. Хотя такие системы обладают высокой интерпретируемостью, они имеют фундаментальные ограничения: необходимость постоянной ручной актуализации правил, неспособность обнаруживать новые, неизвестные схемы мошенничества и высокий уровень ложных срабатываний, что приводит к негативному пользовательскому опыту [2].

Машинное обучение предлагает принципиально иной подход, основанный на выявлении скрытых закономерностей в данных. Методы ML можно разделить на несколько классов в контексте борьбы с мошенничеством. К традиционным алгоритмам классификации, применяемым для этой задачи, относится логистическая регрессия, деревья решений и метод опорных векторов [7].

Ансамблевые методы, комбинирующие несколько базовых моделей, показали наибольшую эффективность в задачах классификации табличных данных. Методы глубокого обучения, такие как автоэнкодеры, используются для обнаружения аномалий путём реконструкции входных данных: транзакции с высокой ошибкой реконструкции классифицируются как аномальные. Рекуррентные нейронные сети, в частности LSTM-сети (Long Short-Term Memory), способны моделировать временные ряды и обнаруживать мошенничество на основе последовательностей транзакций клиента. Однако эти подходы требуют больших объёмов данных и вычислительных ресурсов, что может ограничивать их применение в реальном времени.

Ключевым вызовом при построении модели является сильный дисбаланс классов. Стандартные алгоритмы, оптимизирующие общую точность, будут склонны всегда предсказывать мажоритарный класс (легитимные транзакции). Для решения этой проблемы применяются методы ресэмплинга, методы андерсэмплинга (удаление случайных примеров из мажоритарного класса для выравнивания распределения) и стоимостно-чувствительное обучение [5].

Обсуждение результатов анализа

Проведённое исследование продемонстрировало значительный потенциал применения методов машинного обучения для решения актуальной задачи обнаружения мошеннических банковских операций. Полученные результаты позволяют сделать ряд важных выводов, которые согласуются с современными тенденциями в области финансовой аналитики и машинного обучения [1, 3].

Сравнительный анализ эффективности различных алгоритмов подтвердил гипотезу о превосходстве ансамблевых методов над традиционными подходами. Наилучшие результаты, продемонстрированные алгоритмом CatBoost, объясняются его способностью эффективно работать с категориальными признаками и автоматически учитывать дисбаланс классов через специализированную функцию потерь [4]. Это преимущество особенно важно в условиях реальной банковской практики, где требуется минимальное вмешательство человека в процесс предобработки данных.

Ключевым достижением исследования стало успешное решение проблемы сильной разбалансированности данных, которая традиционно составляет основную сложность в задачах обнаружения мошенничества [5]. Применение комбинированного подхода - использования встроенных механизмов CatBoost для работы с дисбалансом в сочетании с техниками ресэмплинга для других алгоритмов – позволило достичь оптимального баланса между точностью и полнотой обнаружения. Это подтверждается высокими значениями F1-меры, что особенно важно для банковских приложений, где необходимо минимизировать как пропуски мошеннических операций, так и ложные блокировки легитимных транзакций.

Анализ важности признаков показал, что наибольший вклад в классификацию вносят производные характеристики, что подтверждает

необходимость тщательной предобработки данных и создания дополнительных признаков, отражающих временные и поведенческие паттерны [3].

Заключение

В результате проведенного исследования была достигнута поставленная цель – выполнен сравнительный анализ эффективности различных алгоритмов машинного обучения для задачи бинарной классификации банковских транзакций. Подтверждено, что современные ансамблевые методы, в частности алгоритм CatBoost, демонстрируют существенное превосходство над традиционными подходами в условиях характерной для данной предметной области сильной разбалансированности данных.

Показана высокая эффективность ансамблевых методов машинного обучения для решения задачи обнаружения мошеннических операций, что подтверждается достигнутыми значениями метрик точности и полноты. Установлено, что производные признаки вносят значительный вклад в качество классификации, подтверждая необходимость тщательной предобработки данных и создания признаков, отражающих временные и поведенческие паттерны.

Практическая значимость исследования состоит в том, что разработанный подход может быть интегрирован в существующие банковские системы безопасности для автоматического мониторинга транзакций в реальном времени. Это позволит значительно повысить эффективность противодействия мошенничеству при одновременном снижении операционных затрат по сравнению с традиционными rule-системами.

Библиографический список

1. Hilal W., Gadsden S. A., Yawney J. Financial Fraud: A Review of Anomaly Detection Techniques and Recent Advances // Expert Systems with Applications. 2022. Vol. 193. Art. 116429. DOI: 10.1016/j.eswa.2021.116429
2. Islam S., Haque M., Naser A., Karim A. N. M. R. A rule-based machine learning model for financial fraud detection // International Journal of Electrical and Computer Engineering (IJECE). 2024. Vol. 14, No. 1. PP. 759–771. DOI: 10.11591/ijece.v14i1.pp759-771
3. Maneel M. Anomaly Detection in Transactions Using Machine Learning / M. Maneel, M. SaiHarsha, S. Sai, CH Vivek, M. Kavitha, D. Devarapalli, M. Duraisamy // Edu - Tech Enterprise. 2025. Vol. 3. Art. 21. DOI: 10.71459/edutech202521
4. Chen T. XGBoost: A Scalable Tree Boosting System // Proceedings of the 22nd ACM SIGKDD International Conference on Knowledge Discovery and Data Mining (San Francisco, 13–17 August 2016). New York: ACM, 2016. PP. 785–794.
5. Chen W. A survey on imbalanced learning: latest research, applications and future directions / W. Chen, K. Yang, Z. Yu [et al.] // Artificial Intelligence Review. 2024. Vol. 57, No. 137. DOI: 10.1007/s10462-024-10759-6

6. Prokhorenkova L. CatBoost: unbiased boosting with categorical features / L. Prokhorenkova, G. Gusev, A. Vorobev [et al.] // Proceedings of the 32nd International Conference on Neural Information Processing Systems (Montreal, 3–8 December 2018). New York: Curran Associates, 2018. PP. 6638–6648.

7. Mytnyk B. Application of Artificial Intelligence for Fraudulent Banking Operations Recognition / B. Mytnyk, O. Tkachyk, N. Shakhovska, S. Fedushko, Y. Syerov // Big Data and Cognitive Computing. 2023. Vol. 7, No. 2. Art. 93. DOI: 10.3390/bdcc7020093

© Кандарова А.З., 2025

УДК 004.8

А.Р. КАРИМОВ.

karimov.arслан246@yandex.ru

Науч. руковод. – канд. техн. наук, доцент О.С. НУРГАЯНОВА

Уфимский университет науки и технологий

СБОР И СТРУКТУРИРОВАНИЕ ПАТЕНТНЫХ ДАННЫХ ПО ТИТАНОВЫМ СПЛАВАМ

Аннотация: рассматривается применение технологий обработки естественного языка (NLP) и трансформеров для обработки патентов по сплавам. Структурирование патентных данных позволит создать качественные датасеты, которые в перспективе могут быть полезны для ускорения процесса разработки новых химических составов сплавов. В условиях возрастающей потребности в легких, прочных, устойчивых к коррозии и скачкам температуры материалах, традиционные методы создания новых сплавов становятся менее эффективными из-за высоких временных и финансовых затрат.

Ключевые слова: обработка естественного языка, NLP, трансформеры, BERT, анализ патентов, титан, титановые сплавы, новые сплавы, авиастроение.

Введение

Человечество постоянно стремится к совершенствованию технологий, окружения и жизни вокруг себя, создавая что-то инновационное и постигая новые вершины. Разработка современных материалов и технологий их получения является необходимостью технического и социального развития общества, без них трудно представить существенные достижения ни в одном из направлений развития науки и техники [1]. В современном мире авиастроение стремится к созданию более легких, прочных и долговечных конструкций, которые будут выдерживать все более жесткие конструкторские требования. Титановые и алюминиевые сплавы играют ключевую роль в этой отрасли благодаря своим уникальным свойствам. Однако традиционные методы разработки новых сплавов становятся все менее эффективными из-за высоких временных и финансовых затрат. В связи с этим возникает необходимость в инновационных технологиях, таких как машинное обучение и искусственный интеллект, которые позволяют оптимизировать этот процесс. Данная статья рассматривает создание и применение базы данных существующих сплавов и моделей машинного обучения для прогнозирования свойств новых материалов на основе титана по заданному химическому составу.

Общая информация о титане

Титан (Ti) – серебристый металл, плавление которого происходит при температуре 1665°C. Он имеет две полиморфные модификации: ниже температуры 882°C существует α -Ti с гексагональной плотноупакованной решеткой, выше этой температуры – β -Ti с объемно центрированной кубической решеткой. Плотность α -титана составляет 4,5 г/см³, т.е. почти в два раза легче стали. Свойства титана: низкий удельный вес, при высокой прочности; коррозионная стойкость и жаростойкость; хорошая обрабатываемость давлением и свариваемость. К недостаткам титана относятся плохая обрабатываемость резанием и склонность к насыщаемости газами. Чаще всего титан легируется алюминием, но дополнительно в сплавы добавляют хром, молибден, ванадий. Наиболее сильно упрочняют титановые сплавы молибден, хром, железо, марганец, в меньшей степени – ванадий, но последний оказывает менее негативное влияние на пластичность [2].

Область применения

Титановые сплавы являются одними из наиболее востребованных конструкционных материалов в современной промышленности благодаря уникальному сочетанию свойств.

Области применения титановых сплавов:

Авиация и космонавтика: производство деталей двигателей, обшивки самолётов, элементов шасси и ракетных систем. Позволяют снизить массу летательных аппаратов, что увеличивает топливную эффективность.

Медицина: биосовместимость и устойчивость к агрессивным средам организма делает титан идеальным материалом для имплантатов и хирургических инструментов.

Химическая и нефтехимическая промышленность: работы с агрессивными средами, используются в теплообменниках, реакторах, трубопроводах.

Морская техника: стойкость к солёной воде делает титан незаменимым для подводных лодок, гребных винтов, опреснительных установок.

Машиностроение: используются в высоконагруженных деталях (шатуны, клапаны, выхлопные системы спортивных автомобилей).

Энергетика и атомная промышленность: применяются в конструкциях ядерных реакторов, турбинах и теплообменниках из-за устойчивости к радиации и высоким температурам [3], [4].

Сбор и структурирование данных

Используя анализа текстовых документов, таких как патенты, можно найти ценную информацию по химическому составу и свойствам материалов, а после преобразовать ее в базу данных – структурированные данные, с помощью которой будет обучаться наша нейронная сеть. Интеллектуальный анализ текста включает в себя сложные этапы - сбор и обработка данных. Изначально использовались традиционные подходы: классификация и кластеризация; но с

прогрессом в этой области появились новые методы: глубокое обучение для обработки естественного языка, графовые нейронные сети, мультимодальное обучение. Каждый из этих методов имеет свои плюсы и минусы, выбор подходящего метода зависит от конкретной задачи и характеристик данных [5].

Когда текст анализируется программным обеспечением, это является сложной задачей, которая требует сочетания компьютерно-лингвистических и статистических методов. В этом контексте интеллектуальный анализ данных подразумевает автоматическое извлечение ценной и ранее неизвестной информации из текстовых источников. Для решения этой задачи применяются различные методы, включая обработку естественного языка (NLP), технологии информационного поиска и извлечения данных, а также алгоритмы искусственного интеллекта [6]. NLP находится на стыке компьютерной лингвистики и технологии машинного обучения. С помощью этой технологии компьютеры учатся отвечать на вопросы, вести беседы, генерировать тексты с нуля. Машинам можно передать рутинные задачи, например, попросить из общей сводки новостей выделить только то, что удовлетворяет интересам пользователя.

Среди современных подходов к NLP особое место занимают модели на основе архитектуры трансформеров, которые демонстрируют выдающиеся результаты в задачах анализа и генерации текста. В 2017 году была представлена архитектура трансформеров, которая радикально изменила подход к NLP. Трансформеры используют механизм внимания (Attention), позволяющий моделировать зависимости между словами в тексте независимо от их расстояния друг от друга. Это делает их эффективными для анализа длинных и сложных текстов, таких как патенты. Основными преимуществами трансформеров можно выделить: параллельная обработка данных (в отличие от последовательной в RNN), способность улавливать контекстуальные и семантические связи, масштабируемость для больших объемов данных [7].

Ключевые модели трансформеров для NLP:

BERT (Bidirectional Encoder Representations from Transformers) – Разработана Google в 2018 году. BERT использует двунаправленное обучение, анализируя текст одновременно слева направо и справа налево, что позволяет лучше понимать контекст. BERT эффективен для задач классификации, извлечения сущностей и поиска информации в патентах [8].

GPT (Generative Pre-trained Transformer) – Серия моделей от OpenAI ориентирована на генерацию текста и выполнение задач с минимальным дообучением (few-shot learning). GPT может использоваться для генерации описаний новых титановых сплавов, на основе обучающих данных или для автоматизации аннотирования патентов.

T5 (Text-To-Text Transfer Transformer) – Модель от Google, которая преобразует все задачи NLP в формат «текст-в-текст».

RoBERTa, DistilBERT и другие модификации – RoBERTa (оптимизированная версия BERT) и DistilBERT (облегченная версия для

ускорения) применяются для задач, где важна скорость или ограничены вычислительные ресурсы.

Задача заключается в том, чтобы с помощью NLP-моделей собрать и структурировать информацию, для составления базы данных, с сайтов Яндекс.Патенты, Google Patents и других. Ключевые поля, необходимые для дальнейшего анализа – химический состав и физико-механические свойства, в качестве прочих – области применения, номер патента и другие.

Для создания такой базы данных трансформеры могут быть использованы следующим образом: извлечение сущностей: использование BERT или RoBERTa для выделения химического состава, свойств и областей применения; классификация текстов: определение релевантности патента для задачи (например, относится ли документ к титановым сплавам); кластеризация: группировка патентов по схожим характеристикам сплавов с использованием эмбедингов, полученных из трансформеров; генерация гипотез: использование GPT для прогнозирования новых свойств сплавов на основе анализа существующих данных.

Таблица 1

Сравнение моделей трансформеров для NLP

| Характеристика | GPT | T5 | BERT | RoBERTa |
|----------------------------------|---------|-----------------|---------|---------|
| Архитектура | Decoder | Encoder-Decoder | Encoder | Encoder |
| Генерация текста | 1 | 1 | 0 | 0 |
| Двунаправленный контекст | 0 | 0 | 1 | 1 |
| Подходит для задач классификации | 0 | 1 | 1 | 1 |
| Подходит для больших данных | 1 | 1 | 0 | 1 |

После обучения на основе нейросетевой модели, планируется разрабатывать новые составы сплавов, которые будут превосходить по своим свойствам существующие. Данный подход позволит сократить не только временные, но и финансовые затраты на разработку новых материалов, а также ускорит процесс развития в тех областях, где к физико-механическим свойствам материалов предъявляются высокие требования.

Библиографический список

1. Карабасов, Ю. С. Новые материалы / Колл авторов, под научной редакцией профессора Ю.С. Карабасова – Москва: МИСИС, 2002. – 5с.
2. Петрова, Л. Г. Материаловедение: учебное пособие / Л.Г. Петровой, Г.В. Гладовой, О.В. Чудиной. – Москва: МАДИ, 2023. – 237 с.
3. Глазунов, С. Г. Конструкционные титановые сплавы / Глазунов С.Г., Моисеев В.Н. – Москва: Металлургия, 1974.
4. Колобнев Н. И. Термическая обработка титановых сплавов / Колобнев Н.И. – Москва: Мир, 2004.
5. Кашапова Э.У. МЕТОД ПОИСКА ПО КЛЮЧЕВЫМ СЛОВАМ ДЛЯ АНАЛИЗА ПЕТНТНЫХ ДАННЫХ / Кашапова Э.У. – Уфа : УУНиТ, 2024.

6. Цитульский, А. М. Научно-образовательный журнал для студентов и преподавателей «Stud-net» : Интеллектуальный анализ данных / А.М. Цитульский, А. В. Иванников – Москва : МГТУ, 2020. – 477 с.

7. Vaswani, A., et al. Attention is All You Need (2017). Доступно: <https://arxiv.org/abs/1706.03762>.

8. Devlin, J., et al. BERT: Pre-training of Deep Bidirectional Transformers for Language Understanding (2018). Доступно: <https://arxiv.org/abs/1810.04805>.

© Каримов А.Р., 2025

УДК 004.8

Э.У. КАШАПОВА, О.Д. ШИРЯЕВА

kashapova.el1na@yandex.ru, olesyashiryayeva04@yandex.ru

Науч. руковод. – канд. техн. наук, доцент О.С. НУРГАЯНОВА

Уфимский университет науки и технологий

ИЗВЛЕЧЕНИЕ И ОБРАБОТКА ИНФОРМАЦИИ О МАТЕРИАЛАХ ИЗ ПАТЕНТОВ С ПОМОЩЬЮ MINERU

Аннотация: в работе рассматриваются методы автоматизированного извлечения патентных данных с помощью модели для извлечения контента из документов minerU, а также ранее применяемого инструмента Unstructured. Проведенный анализ показал, что minerU обеспечивает более высокую точность по сравнению с Unstructured.

Ключевые слова: MinerU, Unstructured, патентный анализ, обработка документов, структурирование данных, автоматизированные извлечение данных

Введение

В статье рассматриваются методы автоматизированного извлечения и анализа патентных данных для разработки новых материалов с использованием технологий машинного обучения. Рассматриваются модели для извлечения контента из документов minerU[3], а также ранее применяемый Unstructured.[**Ошибка! Источник ссылки не найден.**]

Извлечение данных из патентных документов является сложной задачей, выходящей за рамки традиционного оптического распознавания текста(OCR). Несмотря на то, что патент обладает определенной структурой, включающей библиографические данные (например, название и информация о заявителе) и технические данные (например, описание изобретения, чертежи, формулы, реферат), тем не менее, каждый патент имеет уникальную организацию материала. Это обуславливает трудности для применения единого универсального подхода для автоматизированного извлечения данных из различных патентов.

Актуальность данного исследования объясняется существованием следующих проблем: ручное извлечение информации из патентов требует значительных временных затрат; патентные данные о материалах часто представлены в разнородных форматах, что затрудняет их систематизацию.

Цель нашего исследования заключается в следующем: разработать подход к автоматизированному извлечению, структурированию и анализу патентной информации о материалах (в частности, о металлических сплавах) с использованием современных инструментов для работы с документами, таких

как minerU и Unstructured[**Ошибка! Источник ссылки не найден.**], с целью формирования структурированного датасета для дальнейшего применения методов машинного обучения.

Цели исследования:

- 1) Провести обзор существующих инструментов и методов автоматизированного извлечения данных.
- 2) Реализовать процесс автоматизированного извлечения и структурирования данных из патентов с использованием minerU.
- 3) Провести сравнение MinerU с Unstructured.
- 4) Подготовить структурированный набор данных, которых затем может быть использован для последующего анализа с помощью методов машинного обучения и прогнозирования ключевых свойств материалов.

Сбор данных

Парсинг – автоматизированный сбор информации из открытых источников с помощью программного обеспечения [5]. Данный процесс можно разделить на 2 этапа:

1) Парсинг данных. Парсинг является основополагающим этапом, в ходе которого осуществляется извлечение всей доступной информации из исходного документа. На этом этапе данные представляют собой «сырой» набор, включающий текстовые блоки, таблицы, формулы и изображения, при этом структура и формат информации часто не соответствуют требованиям для анализа или хранения. Основной задачей парсинга является корректное выделение и идентификация всех элементов документа, включая технические описания и химические составы, без потери информации. Важным аспектом является обеспечение точности извлечения, поскольку любая ошибка на этом этапе может привести к искажению данных и снижению качества последующего анализа. [5]

2) Формирование базы данных/ подготовка датасетов. После этапа парсинга извлечённые данные требуют структурирования и нормализации. Данные могут поступать в различных форматах, иметь пропуски или дублирующиеся значения. На данном этапе осуществляется очистка данных, согласование формата числовых и текстовых полей, а также организация информации в виде таблиц или других структурированных объектов. Итогом является создание базы данных или датасета, который обеспечивает удобный доступ к информации, возможность её системного анализа и дальнейшего использования в задачах машинного обучения, прогнозирования свойств материалов и разработки новых сплавов.

Unstructured

Ранее в своей работе мы использовали Unstructured для сбора патентной информации, который позволяет автоматически извлекать текст, таблицы и изображения из PDF-патентов. [**Ошибка! Источник ссылки не найден.**]

| | Предел прочности | Предел текучести | Относительное | Относительное | удлинение | 5 | сужение | Ударная вязкость | Предел — | ползучести | Длительная прочность | мм/цикл |
|---------------------|------------------|------------------|---------------|---------------|-----------|---|---------|------------------|----------|--------------------------------|----------------------|---------|
| | МПа | 602 | | | | | | | @0,2/100 | @100 АК=44МРЗ'М ^{1/2} | | |
| заявленный состав — | 1480 | 1127 | 12,9 | | | | 16,4 | 0,37 | 960 | | 1120 | |
| прототип | 1420 | 1088 | 7,51 | | | | 7,8 | 0,24 | 830 | | 1097 | |
| Хром | 9,0-11,0 | | | | | | | | | | | |
| Кобальт | 14,0-16,0 | | | | | | | | | | | |
| Вольфрам | 5,2-6,8 | | | | | | | | | | | |
| Молибден | 3,0-3,9 | | | | | | | | | | | |
| Титан | 3,0-3,9 | | | | | | | | | | | |
| Алюминий | 3,2-4,5 | | | | | | | | | | | |
| Ниобий | 1,2-2,4 | | | | | | | | | | | |
| Гафний | 0,05-0,5 | | | | | | | | | | | |
| Бор | 0,005-0,05 | | | | | | | | | | | |
| Цирконий | — 0,001-0,05 | | | | | | | | | | | |
| Магний | 0,001-0,05 | | | | | | | | | | | |
| Марганец | — 0,001-0,5 | | | | | | | | | | | |
| Кремний | 0,001-0,5 | | | | | | | | | | | |
| Железо | 0,001-1,0 | | | | | | | | | | | |
| Никель | Остальное | | | | | | | | | | | |

Рис. 1. Извлечение данных

В ходе работы с патентами, содержащими данные о химическом составе сплавов, Unstructured показала хорошие результаты при извлечении текстовой информации из простых таблиц.

Однако при анализе сложных структур, содержащих многоуровневые таблицы с обозначениями элементов и процентным содержанием, возникали проблемы с сохранением форматирования. [4]

Например, при обработке патентов с сайта Яндекс.Патенты удавалось корректно извлечь названия элементов и численные значения, но в ряде случаев нарушалась структура таблицы (ячейки объединялись, либо терялись единицы измерения), что в последствии привело бы к неверному обучению модели [1].

MinerU

MinerU – другая модель для извлечения и структурирования информации из документов [3]. MinerU автоматизирует извлечение текста, формул, таблиц и изображений из документов, таких как научные статьи, учебные пособия и финансовые отчеты, преобразуя их в форматы Markdown и JSON. Это решение облегчает интеграцию данных в NLP-модели и базы знаний. С развитием моделей LLM и RAG, качественное извлечение данных из документов становится все более важным для повышения качества обучения моделей и создания базы знаний. MinerU сочетает в себе технологии компьютерного зрения, распознавания структур текста и машинного обучения, что делает его более эффективным при работе со сложными форматами документов. В отличие от классических библиотек для парсинга PDF (в том числе Unstructured), он не ограничивается анализом текста, а восстанавливает иерархическую структуру документа, включая взаимосвязь между блоками, таблицами, подписями и рисунками. Система определяет расположение текстовых и графических элементов на странице — таблиц, заголовков, рисунков, блоков текста. Для этого используется модель компьютерного зрения. [3] MinerU определяет не просто символы, а смысловые блоки, различая, например,

«таблицу данных», «техническое описание», «формулу изобретения» и т.п. В отличие от большинства аналогов, MinerU способна корректно выделять таблицы даже при наличии объединённых ячеек, формул и процентных обозначений. Это особенно важно при работе с патентами, где таблицы химического состава часто имеют нестандартное форматирование [Ошибка! Источник ссылки не найден.].

The image shows a patent document with several sections highlighted and numbered from 7 to 32. The sections include:

- 7**: Claim [0015] regarding injecting molten material into a reusable mold.
- 8**: Claim [0016] describing a heat-resisting nickel-base alloy with various element percentages.
- 9**: Section titled "SUMMARY OF THE INVENTION".
- 10**: Claim [0017] describing the invention's object of providing an alloy with improved hot formability and microstructural stability.
- 11**: Claim [0018] describing the object achieved by a Ni-Co alloy with 30 to 65 wt % Ni.
- 12**: Further details of the Ni-Co alloy composition, including Fe, Mo, Nb+Ta, Al, Ti, C, P, Mg, B, and Zr.
- 13**: A table listing maximum weight percentages for various elements: Cu (0.5 wt %), S (0.015 wt %), Mn (1.0 wt %), Si (1.0 wt %), Ca (0.01 wt %), N (0.03 wt %), and O (0.02 wt %).
- 25**: Claim [0026] regarding restricting (Nb+Ta) contents to 4.7-5.7 wt %.
- 26**: Claim [0027] regarding element content ratios in atomic and weight percent.
- 27**: Claim [0028] regarding residual elements in the inventive alloy.
- 28**: A table listing maximum weight percentages for residual elements: Cu (0.5 wt %), S (0.015 wt %), Mn (1.0 wt %), Si (1.0 wt %), Ca (0.01 wt %), N (0.03 wt %), and O (0.02 wt %).
- 29**: Claim [0029] regarding the inventive alloy possibly containing additional elements.
- 30**: A table listing maximum weight percentages for V and W (up to 4 wt %).
- 31**: Claim [0029] regarding adjusting element percentages in the inventive alloy.
- 32**: A table listing specific percentage ranges for Ti, Al, and Co: Ti (0.05 at % to 0.5 at %), Al (3.6 at % to 4.6 at %), and Co (15 at % to 32 at %).

Рис. 2. Пример размеченного патента

На основе json-файла после очистки данных можно составить датасет, состоящий из следующей структуры: `atent_number`, `title`, `publication_date` – идентификация патента, `inventors` – изобретатель, `alloy_family` – класс сплава и др.

| A | B | C | D | E | F | G | H | I | J | K | L | M | N | O | P | Q | R | S | T | U | | | | |
|------------------|---------------------|------------------|--|-------------------------------|------------------|--|--------|--------|--------|--------|--------|--------|--------|--------|--------|--------|--------|--------|--------|--------|--------|--------|--------|--------|
| patent_number | title | publication_date | applicant | inventors | application_area | alloy_family | Ni_min | Ni_max | Co_min | Co_max | Cr_min | Cr_max | Fe_min | Fe_max | Mo_min | Mo_max | Nb_min | Nb_max | Ta_min | Ta_max | Al_min | Al_max | Ti_min | Ti_max |
| US2019/0040501A1 | NICKEL-COBALT ALLOY | V16,2019-02-07 | VDM Metals International GmbH,Budo GEHRMANN et al. | Aircraft turbine disks | Ni-Co superalloy | 52.0,55.0,17.0,17.5,18.0,18.5,0.04,0.06,2.9,3.0,5.4,5.6,1.85,1.95,0. | | | | | | | | | | | | | | | | | | |
| US2019/0040501A1 | NICKEL-COBALT ALLOY | V17,2019-02-07 | VDM Metals International GmbH,Budo GEHRMANN et al. | Aircraft turbine blades | Ni-Co superalloy | 50.0,53.0,24.5,25.0,18.3,18.7,0.04,0.06,2.9,3.0,5.3,5.5,1.85,1.95, | | | | | | | | | | | | | | | | | | |
| US2019/0040501A1 | NICKEL-COBALT ALLOY | V22,2019-02-07 | VDM Metals International GmbH,Budo GEHRMANN et al. | Stationary turbine components | Ni-Co superalloy | 45.0,48.0,29.5,30.0,18.6,18.8,0.03,0.05,2.9,3.0,5.3,5.5, | | | | | | | | | | | | | | | | | | |

Рис. 3. Пример структуры датасета

Сравнительный анализ моделей

| Критерий | Unstructured | MinerU | Комментарий |
|------------------------------|--|---|---|
| Тип инструмента | Библиотека для извлечения данных из pdf | Интеллектуальная система анализа документов | MinerU использует более сложную архитектуру для понимания структуры документа |
| Скорость обработки 1 патента | 14-20 минут(время зависит от объема патента) | 8 – 15 минут(время зависит от объема патента) | MinerU быстрее ~в 2 раза |
| Качество извлечения таблиц | Среднее: таблицы часто теряют структуру при усложненных таблицах | Высокое: корректно извлекает таблицы с формулами, процентами и объединенными ячейками | MinerU лучше подходит для патентов с химическим составом сплавов |
| Точность извлечения | 85–90% (ошибки в распознавании знаков и единиц измерения) | 95–98% (минимальные ошибки, особенно при работе с формулами) | MinerU имеет встроенные механизмы коррекции OCR |
| Используемые технологии | OCR + базовый layout-анализ | Компьютерное зрение + семантический анализ структуры + ML | MinerU интегрирует несколько технологий |
| Анализ патентов | Частично подходит – при условии ручной корректировки | Полностью – автоматическая обработка патентов со сложными таблицами | MinerU оптимизирован под технические документы |

Заключение

Таким образом, в ходе нашего исследования было обнаружено, что использование MinerU является наиболее эффективным подходом для извлечения и структурирования патентных данных о материалах, поскольку он обладает высокой точностью, скоростью обработки и полнотой представления информации. Дальнейшее развитие исследования предполагает расширение датасета, а также обучение собственных моделей машинного обучения на основе полученных спарсенных и очищенных данных.

Библиографический список

1. Ширяева, О. Д., Кашапова Э.У. Анализ патентов методами машинного обучения / О. Д. Ширяева, Э. У. Кашапова; научный руководитель О. С. Нургаянова // Мавлютовские чтения: материалы XVIII Всероссийской молодёжной научной конференции (г. Уфа, 25 – 29 ноября 2024 г.): в 9 т. / отв. ред. А. Ф. Кужаев; Уфимский университет науки и технологий. – Уфа: РИЦ

УУНиТ, 2024. – Т. 5. – С. 359-364. – URL: <https://uust.ru/media/documents/digital-publications/2024/309.pdf> – Текст: электронный. – ISBN 978-5-7477-6054-7 (Т. 5).

2. Марков Андрей Владиславович Проведение сравнительного анализа attention ocr и tesseract в задаче распознавания символов на изображениях преyskurantov // Евразийский Союз Ученых. 2020. №5-3 (74). URL: <https://cyberleninka.ru/article/n/provedenie-sravnitel'nogo-analiza-attention-ocr-i-tesseract-v-zadache-raspoznaniya-simvolov-na-izobrazheniyah-preyskurantov>.

3. MinerU – open-source модель для извлечения данных из документов. [Электронный ресурс] – URL: <https://neurohive.io/ru/papers/mineru-open-source-model-dlya-izvlecheniya-dannyh-iz-dokumentov-s-tochnostju-93-5/>

4. Павлов П. М., Бекмурзаев В. А. КОМПЛЕКСНАЯ ОЦЕНКА OCR-СИСТЕМ В ЗАДАЧАХ РАСПОЗНАВАНИЯ МАТЕМАТИЧЕСКИХ ВЫРАЖЕНИЙ НА РУССКОМ И АНГЛИЙСКОМ ЯЗЫКАХ // Вестник науки. 2025. №5 (86). URL: <https://cyberleninka.ru/article/n/kompleksnaya-otsenka-ocr-sistem-v-zadachah-raspoznaniya-matematicheskikh-vyrazheniy-na-russkom-i-angliyskom-yazykah>.

5. Абрамова Татьяна Алфиевна Разработка парсинг-системы для получения скрытых ссылок со страниц социальных сетей // Вестник ПензГУ. 2016. №3 (15). URL: <https://cyberleninka.ru/article/n/razrabotka-parsing-sistemy-dlya-polucheniya-skrytyh-ssylok-so-stranits-sotsialnyh-setey>

© Кашапова Э.У., Ширяева О.Д., 2025

УДК 004.8

В.Ю. КАШИРИН, Д.И. МОЛЧАНОВ

swordm320@gmail.com, qwaszxc.knight@yandex.ru

Науч. Руковод. – канд. техн. наук, доц. Е.Ю. САЗОНОВА

Уфимский университет науки и технологий

КЛАССИФИКАЦИЯ ВРЕДОНОСНОГО СЕТЕВОГО ТРАФИКА С ИСПОЛЬЗОВАНИЕМ ГЛУБОКИХ НЕЙРОННЫХ СЕТЕЙ И МЕТОДОВ ВЕКТОРИЗАЦИИ ПРИЗНАКОВ

Аннотация: в статье рассматриваются методы автоматической классификации вредоносного сетевого трафика с использованием технологий глубокого обучения. Авторами представлена гибридная архитектура Convolutional Neural Network-Long Short-Term Memory (CNN-LSTM), которая сочетает в себе сверточные и рекуррентные методы обработки данных, приведены результаты сравнения предложенной модели с рядом аналогичных, который подтвердил её преимущества по основным качественным метрикам.

Ключевые слова: классификация, нейронные сети, CNN, LSTM, сетевой трафик, информационная безопасность.

Введение

С увеличением объемов сетевого трафика и развитием технологий по кибератакам возрастает потребность в интеллектуальных системах защиты, способных автоматически идентифицировать сетевые события. Традиционные методы машинного обучения требуют создания признаков вручную и зачастую не в силах адекватно учесть временные аспекты соединений. Глубокие архитектуры, включающие сочетание сверточных и рекуррентных блоков, могут автоматически выделять сложные пространственно-временные зависимости. Основная цель данного исследования заключалась в создании и оценке архитектуры CNN-LSTM для классификации вредоносного сетевого трафика.

Разработка и обучение модели

В процессе обучения модели использовался датасет «UNSW-NB15», который содержит данные о нормальном трафике и различных атаках.

Архитектура модели состоит из сверточного блока, предназначенного для извлечения локальных и структурных признаков из вектора признаков, и LSTM-блока, который анализирует временную динамику последовательностей. Данное сочетание позволяет учитывать как локальные корреляции, так и их изменения во времени. На рисунке 1 представлена архитектура модели CNN-LSTM.

Обучение модели проводилось на 80% данных, оставшиеся 20% были выделены для тестирования. В качестве функции потерь применялась `categorical_crossentropy`, а в качестве оптимизатора использовался Adam с начальной скоростью 0.001. Общее количество эпох составило 30, а размер батча – 256. Для предотвращения переобучения использовалась методика EarlyStopping.

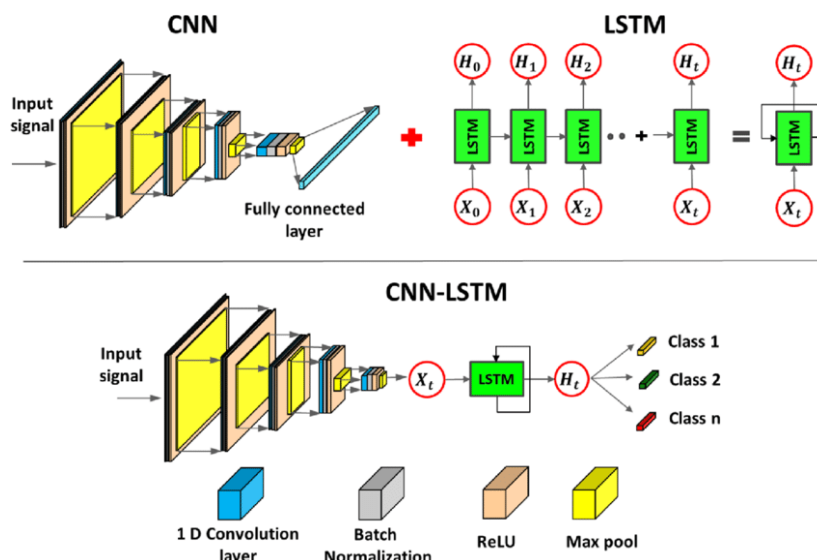


Рис. 1. Архитектура модели CNN-LSTM

В качестве моделей для сравнения рассматривалось 5 различных моделей, по результатам предложенная модель была сравнена с Support Vector Machine (SVM) и Random Forest, обученные на тех же данных. Эффективность классификации оценивалась по метрикам Accuracy, Precision, Recall, F1-score и Receiver Operating Characteristic – Area Under Curve (ROC-AUC). Средняя точность предложенной модели составила 98.7%, что превосходит 93.2% у Random Forest и 91.5% у SVM. Результаты оценки качества моделей, полученные для рассматриваемых алгоритмов классификации сетевого трафика, представлены в табл. 1.

Полученные данные подтверждают, что созданная архитектура CNN-LSTM успешно решает задачу классификации вредоносного сетевого трафика. На тестовом наборе модель показала лучшие результаты по ключевым метрикам, включая Accuracy на уровне 91.87% и F1-score — 91.83%, что превышает показатели как других моделей. Особенно ярко проявляется преимущество по метрике ROC-AUC (98.24%), отражающей способность модели разрабатывать различия между нормальными и атакующими соединениями. Матрица ошибок предложенной модели, показанная на рис. 2.

Сравнение с Attention-моделью и Bidirectional Long Short-Term Memory (BiLSTM) продемонстрировало, что добавление сверточных слоев улучшает извлечение локальных зависимостей в пространстве признаков, что положительно сказывается на итоговых метриках. В то же время,

традиционные методы машинного обучения, такие как Random Forest, Gradient Boosting и Logistic Regression, уступают по большинству параметров, несмотря на сопоставимые значения ROC-AUC. Таким образом, полученные результаты указывают на то, что классические методы в теории способны отделять классы, но хуже справляются с обработкой сложных взаимосвязей и нелинейных паттернов в высокоразмерных данных.

Следует подчеркнуть, что модель CNN-LSTM демонстрирует значительный уровень обобщающей способности: близкие значения Precision и Recall указывают на сбалансированность классификатора и отсутствие выраженного смещения в сторону одного из классов, что особенно важно в области информационной безопасности, где неприемлемо высокое количество пропущенных атак. Высокие показатели модели подтверждают, что использование комбинированной архитектуры, сочетающей сверточные и рекуррентные механизмы, позволяет учесть, как внутреннюю структуру сетевых признаков, так и временные зависимости между пакетами.

Таблица 1

Сравнение моделей по метрикам

| Модель | Accuracy | Precision | Recall | F1-score | ROC-AUC |
|---------------------|----------|-----------|--------|----------|---------|
| cnn_advanced | 91.87% | 92.00% | 91.87% | 91.83% | 98.24% |
| attention_model | 90.86% | 91.38% | 90.86% | 90.76% | 98.42% |
| bilstm_model | 89.18% | 89.80% | 89.18% | 89.05% | 98.01% |
| random_forest | 87.15% | 88.95% | 87.15% | 86.83% | 98.06% |
| gradient_boosting | 87.45% | 89.11% | 87.45% | 87.15% | 98.36% |
| logistic_regression | 80.93% | 84.07% | 80.93% | 80.06% | 95.49% |

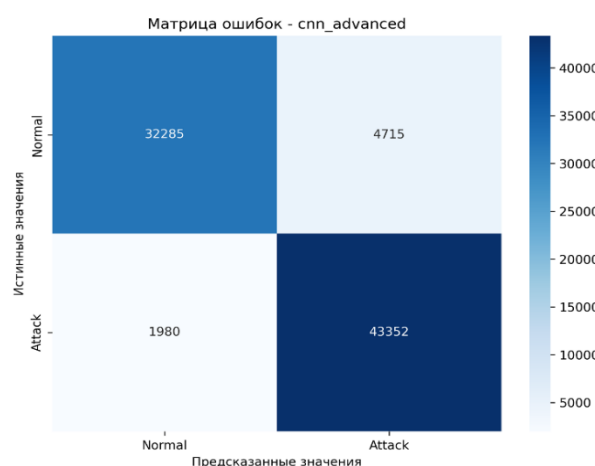


Рис. 2. Матрица ошибок модели на тестовой выборке

Заключение

По результатам проделанной работы нами была построена и верифицирована гибридная нейросеть типа CNN-LSTM, направленная на выявление аномалий в сетевом трафике на примере эталонного набора данных UNSW-NB15. Анализ полученных результатов подтвердил высокую эффективность предложенной архитектуры: общая точность системы достигла уровня 91,87%; интегральный критерий качества F1 составил 91,83%, а оценка кривой ROC-AUC показала величину 98,24%. Значимым преимуществом является также стабильный охват признаков атаки, выражаемый показателем recall порядка 95,6%, что обеспечивает минимальное количество пропущенных инцидентов. Проведённое сопоставление нашего решения с известными стандартными алгоритмами и аналогичными нейроархитектурами показало значительное преимущество нашей модели по критерию баланса между точностью идентификации и полнотой покрытия всех видов атак. Совокупность представленных показателей позволяет говорить о высоком потенциале применимости гибридной сети CNN-LSTM в практических реализациях систем обнаружения сетевых вторжений и открывает перспективы её дальнейшего совершенствования и масштабируемого внедрения.

Библиографический список

1. Ring M., Wunderlich S., Grüdl D., Landes D., Hotho A. Flow-based Network Traffic Generation using CICIDS2017 Dataset // Proc. IEEE ICISSP. – 2019. – P. 1–8.
2. Moustafa N., Slay J. UNSW-NB15: A Comprehensive Data Set for Network Intrusion Detection Systems // Proc. MILCOM. – 2015. – P. 1–6.
3. Kim J., Kim J., Kim H. Flow-Based Network Intrusion Detection Using Deep Learning // IEEE Access. – 2020. – Vol. 8. – P. 170489–170498.
4. Goodfellow I., Bengio Y., Courville A. Deep Learning. – MIT Press, 2016.
5. LeCun Y., Bengio Y., Hinton G. Deep Learning // Nature. – 2015. – Vol. 521. – P. 436–444.
6. Shone N., Ngoc T. N., Phai V. D., Shi Q. A Deep Learning Approach to Network Intrusion Detection // IEEE Trans. Emerging Topics in Computational Intelligence. – 2018. – Vol. 2(1). – P. 41–50.
7. Yin C., Zhu Y., Fei J., He X. A Deep Learning Approach for Intrusion Detection Using Recurrent Neural Networks // IEEE Access. – 2017. – Vol. 5. – P. 21954–21961.
8. Javaid A., Niyaz Q., Sun W., Alam M. A Deep Learning Approach for Network Intrusion Detection System // Proc. IEEE CNS. – 2016. – P. 21–26.
9. Hochreiter S., Schmidhuber J. Long Short-Term Memory // Neural Computation. – 1997. – Vol. 9(8). – P. 1735–1780.
10. LeCun Y., Bottou L., Bengio Y., Haffner P. Gradient-Based Learning Applied to Document Recognition // Proc. IEEE. – 1998. – Vol. 86(11). – P. 2278–2324.

11. Kingma D. P., Ba J. Adam: A Method for Stochastic Optimization // Proc. ICLR. – 2015. – P. 1–15.

12. Lundberg S. M., Lee S.-I. A Unified Approach to Interpreting Model Predictions // Advances in Neural Information Processing Systems (NeurIPS). – 2017. – P. 4765–4774.

© Каширин В.Ю., Молчанов Д.И., 2025

УДК 004.8

Д.А. КНЯЗЕВ

den_knyazev_2018@list.ru

Науч. руковод. – канд. техн. наук, доц. Е.Ю. САЗОНОВА

Уфимский университет науки и технологий

КОНЦЕПЦИЯ ИНТЕЛЛЕКТУАЛЬНОЙ СИСТЕМЫ ДЛЯ РАСПОЗНАВАНИЯ ХУДОЖЕСТВЕННОГО СТИЛЯ И ЭПОХИ ПО ИЗОБРАЖЕНИЮ КАРТИНЫ

Аннотация: в статье представлена концепция интеллектуальной системы, предназначенной для автоматического распознавания художественного стиля и эпохи по изображению картины. Основой предложенного решения является использование методов машинного обучения и архитектур свёрточных нейронных сетей с применением трансферного обучения. Рассмотрена структура системы, включающая этапы предобработки изображения, извлечения признаков и классификации. Предлагаемый подход обеспечивает повышение точности идентификации стиля и эпохи, а также может быть использован в задачах цифровой каталогизации произведений искусства и в образовательных целях.

Ключевые слова: распознавание изображений, художественный стиль, эпоха, машинное обучение, нейронные сети, трансферное обучение, искусственный интеллект.

Введение

В условиях растущего объёма оцифрованных художественных коллекций всё более востребованными становятся автоматизированные методы анализа визуального наследия. Одной из перспективных задач в этой области является разработка интеллектуальной системы, способной по цифровому изображению картины определять её художественный стиль (например, импрессионизм, кубизм, барокко) и историческую эпоху (ренессанс, модерн, авангард и др.). Такая система может стать полезным инструментом как для исследователей и кураторов музеев, так и для образовательных платформ, позволяя автоматизировать каталогизацию, расширять функционал цифровых архивов и делать искусствоведческие знания более доступными.

Для решения поставленной задачи необходимо обеспечить обработку входного изображения — представленного в стандартных графических форматах, таких как JPEG или PNG — и выдачу на выходе структурированной информации о принадлежности произведения к определённому стилю и эпохе. При этом система должна опираться на чётко определённые алгоритмы распознавания, критерии классификации и обеспечиваться соответствующими

вычислительными и программными механизмами, включая базы эталонных изображений и обученные модели машинного обучения.

Анализ существующих подходов к определению художественного стиля

Анализ существующих подходов к решению подобных задач выявил пять основных направлений. К первому направлению относятся классические методы, основанные на ручном извлечении визуальных признаков, таких как цветовые гистограммы, текстурные характеристики и контурные структуры, с последующей классификацией при помощи алгоритмов kNN, SVM или Random Forest. Такие методы отличаются простотой реализации и высокой интерпретируемостью, однако демонстрируют ограниченную обобщающую способность при работе с художественными произведениями, где важны композиционные и стилистические нюансы. Ко второму направлению относятся методы без учителя, включая PCA, t-SNE и k-means-кластеризацию. Они позволяют выявлять скрытые структуры в данных и обнаруживать промежуточные или нетипичные стили, но не обеспечивают достаточной точности для конечной автоматической классификации без участия эксперта. Наибольший интерес представляют нейросетевые методы. В частности, архитектуры на основе свёрточных нейронных сетей (CNN), такие как VGG, ResNet или EfficientNet, показывают высокую эффективность в задачах визуальной классификации. Особенно перспективен подход с использованием трансферного обучения (transfer learning), при котором предобученная на крупных наборах данных (например, ImageNet) модель дообучается на специализированной коллекции изображений картин. Это позволяет достичь высокой точности даже при относительно небольшом объёме размеченных данных, а также автоматически извлекать релевантные стилистические признаки без ручной настройки. Более современные архитектуры — такие как Vision Transformer (ViT) или Swin Transformer — используют механизм внимания (attention) для учёта глобальных зависимостей в композиции изображения, что повышает точность распознавания сложных или смешанных стилей, но требует значительных вычислительных ресурсов и тщательной настройки. Отдельного внимания заслуживают мультимодальные подходы, сочетающие анализ изображения с текстовыми или контекстными данными — такими как имя художника, дата создания, техника исполнения. Такое объединение может существенно повысить достоверность определения эпохи, однако его применимость ограничена доступностью и качеством метаданных.

Исходя из баланса между точностью, ресурсоёмкостью и реализуемостью, наиболее подходящим основанием для разработки системы является применение свёрточных нейронных сетей с трансферным обучением. Данный подход позволяет использовать проверенные архитектуры, легко интегрируемые в современные программные среды (PyTorch, TensorFlow), и обеспечивает гибкость для будущего расширения — например, за счёт включения attention-механизмов или мультимодальных компонентов.

Система определения художественного стиля

Задача определения художественного стиля может быть формализована в рамках методологии IDEF0 (рис.1-2). На верхнем уровне система получает на вход цифровое изображение, а на выходе выдаёт определённый стиль и эпоху. Управляющими факторами выступают алгоритмы распознавания, критерии классификации и требования к точности, а в качестве механизмов — вычислительная платформа, программное обеспечение, база эталонных изображений и обученные модели. Дальнейшая декомпозиция выделяет ключевые функциональные блоки: предобработку изображения, извлечение признаков, анализ признаков, классификацию и формирование результата. Каждый блок может быть детализирован на втором уровне моделирования, что обеспечивает чёткую структуру для последующей реализации.

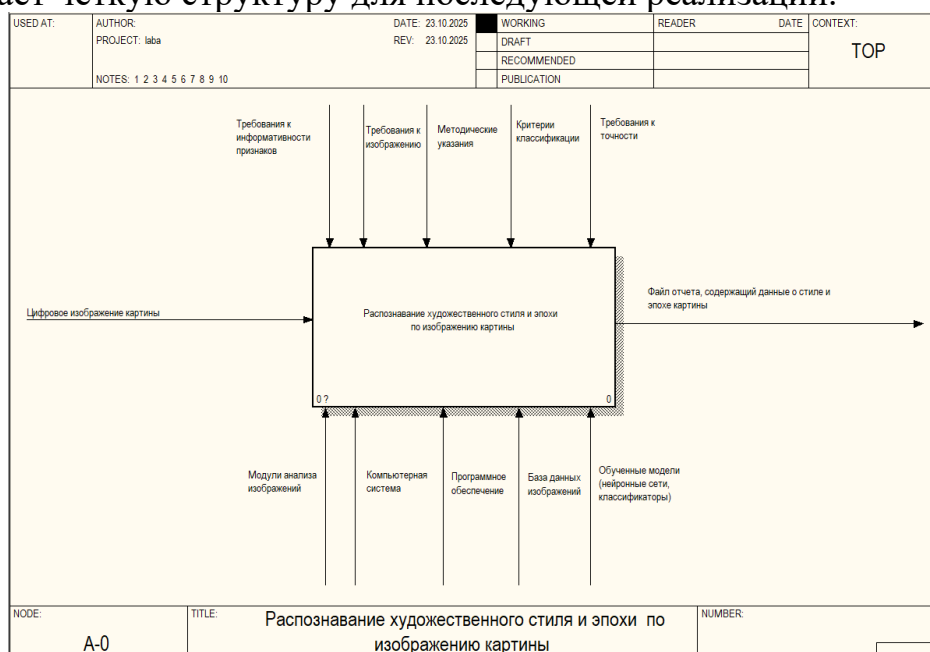


Рис. 1. Контекстная диаграмма

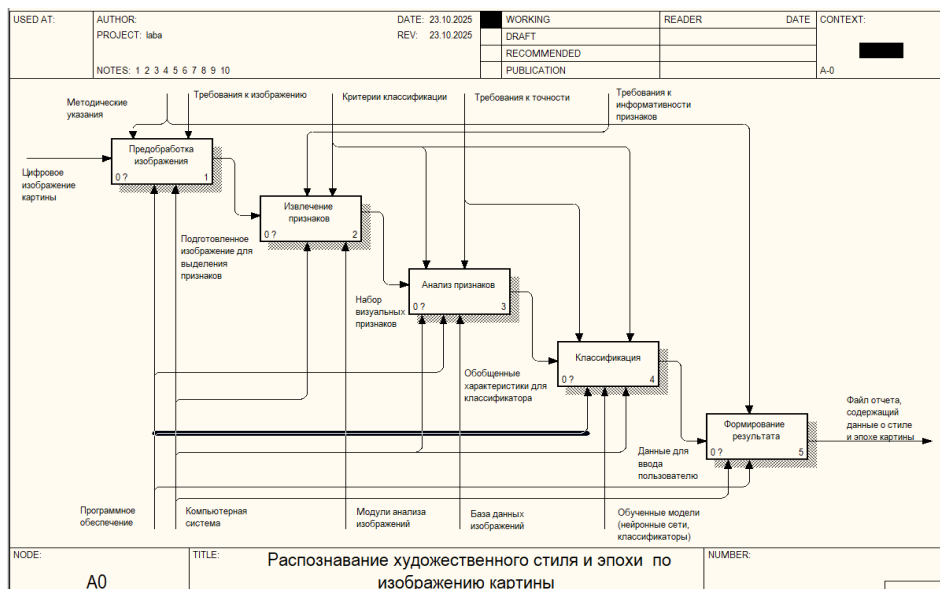


Рис. 2. Декомпозиция процесса распознавания

Алгоритм функционирования системы включает следующие этапы: загрузка изображения; проверка его корректности; в случае ошибки — вывод сообщения и завершение; в случае успеха — предобработка (изменение размера, нормализация, преобразование в тензор); извлечение признаков с помощью предобученной CNN; классификация полученных признаков; формирование итогового результата с указанием стиля, эпохи и уровня уверенности модели; отображение результата пользователю. Такая последовательность обеспечивает надёжную и воспроизводимую обработку входных данных, а также возможность последующей оптимизации отдельных этапов.

Таким образом, предложенная концепция системы представляет собой обоснованное и масштабируемое решение для автоматической идентификации художественного стиля и эпохи. Использование современных методов машинного обучения в сочетании с чёткой архитектурной моделью открывает путь к созданию практически применимых инструментов на стыке искусствоведения и информационных технологий.

Заключение

В работе разработана концепция интеллектуальной системы, позволяющей определять художественный стиль и эпоху произведений живописи по цифровым изображениям. Использование методов машинного обучения, в частности свёрточных нейронных сетей с трансферным обучением, обеспечивает высокую эффективность анализа визуальных признаков. Предложенная архитектура системы является масштабируемой и может быть расширена за счёт интеграции современных attention-моделей и мультимодальных подходов. Разработка подобных систем способствует цифровизации культурного наследия, автоматизации искусствоведческого анализа и созданию интеллектуальных образовательных инструментов.

Библиографический список

1. Гудфеллоу И., Бенджио Й., Курвилль А. *Глубокое обучение*. – М.: ДМК Пресс, 2018. – 652 с.
2. Chollet F. *Deep Learning with Python*. – 2nd ed. – Manning Publications, 2021. – 504 p.
3. Tan M., Le Q. *EfficientNet: Rethinking Model Scaling for Convolutional Neural Networks*. // *Proceedings of the 36th International Conference on Machine Learning (ICML)*, 2019. – P. 6105–6114.
4. Dosovitskiy A. et al. *An Image is Worth 16x16 Words: Transformers for Image Recognition at Scale*. // *International Conference on Learning Representations (ICLR)*, 2021.
5. Lecun Y., Bengio Y., Hinton G. *Deep learning*. // *Nature*. – 2015. – Vol. 521. – P. 436–444.
6. Гусев Д. В., Кузнецов С. О. *Методы обработки изображений в системах искусственного интеллекта*. – СПб.: БХВ-Петербург, 2020. – 288 с.

© Князев Д.А., 2025

М.А. КОЛОТОВ

mi-sha-9@mail.ru

Науч. руковод. – докт. техн. наук, доц. О.Н. СМЕТАНИНА

Уфимский университет науки и технологий

ПРИМЕНЕНИЕ KAN В РЕАЛЬНЫХ ЗАДАЧАХ: ПОТЕНЦИАЛ, ВОЗМОЖНОСТИ И ОГРАНИЧЕНИЯ

Аннотация: в данной работе разбираются проблемы и преимущества сетей Колмогорова-Арнольда (KAN), а также области, в которых они применяются. Разобраны примеры применения данной технологии в области компьютерного зрения, временных рядов и решения дифференциальных уравнений. В статье предлагаются области, в которых применение данного подхода может улучшить существующие результаты.

Ключевые слова: глубокое обучение; KAN; сети Колмогорова-Арнольда; нейронные сети; интерпретируемость моделей;

Актуальность

Нейросети плотно вошли в нашу жизнь, в особенности с момента появления всеми известной ChatGPT в ноябре 2022 года [1]. Массовая общественность по достоинству оценила его возможности, и в течение 2 последующих лет компании-разработчики презентовали нам новые модели, более совершенные и тяжелые. Однако в данный момент часть компаний начинает заявлять, что текущие модели, в основе которых лежат трансформеры [2] и классические многослойные перцептроны, достигают своего возможного предела масштабирования [3][4].

Также немаловажной проблемой в данный момент является итоговый вес моделей, возникают проблемы с применением готовых моделей – в частности дорогой инференс, так как для модели требуется большое количество видеопамати для работы. В данный момент проблемы с большим весом решают с помощью квантизации [5] и дистилляции моделей [6]. Однако есть статьи, в которых утверждается, что невозможно дистиллировать и квантизировать модели до бесконечности [7]

Сети Колмогорова-Арнольда (KAN)

Основной принцип нейронных сетей оставался неизменным с момента своего появления в 1958 году, когда Розенблат презентовал свой перцептрон [8]. Данный тип нейросетей с математической точки зрения базировался на применении универсальной теоремы аппроксимации (теорема Цыбенко) [9]. При этом стоит отметить, что существуют и иные теоремы аппроксимации,

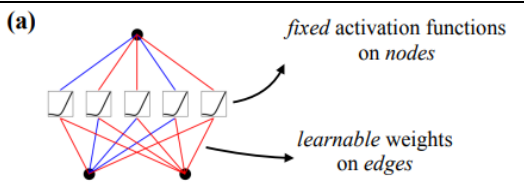
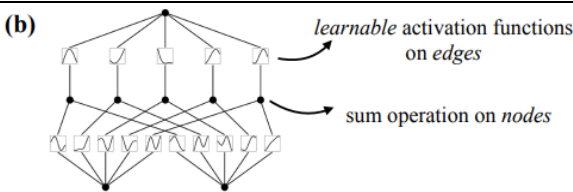
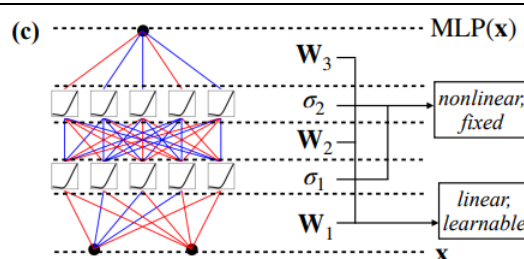
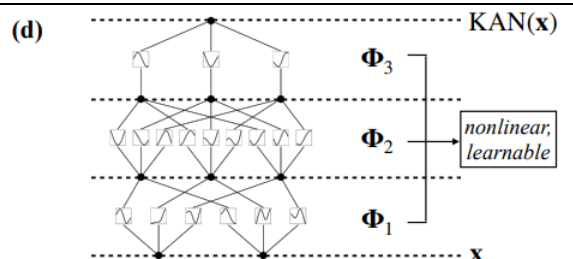
которые можно применять для обучения нейросетей. Одной из таких является теорема Колмогорова-Арнольда [10][11], которая и стала основой для сетей Колмогорова-Арнольда [12], о применении которых в данной статье и пойдет речь.

Ключевым отличием KAN от классических нейронных сетей заключается в обучении функций, а не простых весов. Таким образом для каждого конкретного входа будет специализированная функция, которая подбирается в процессе обучения. Ключевые отличия представлена в таблице 1.

Таким образом в зависимости от заданных параметров обучения на каждом ребре сводится к подбору knot-vector (узлового вектора), размер которого зависит от заданных параметров (в частности grid). Также можно задать общую ширину сети (количество слоев) и степень сплайна [13].

Таблица 1

Различия классического MLP от KAN

| Архитектура | Многослойный перцептрон (MLP) | Сеть Колмогорова-Арнольда (KAN) |
|-------------------------|---|--|
| Теорема | Универсальная теорема аппроксимации | Теорема Колмогорова-Арнольда |
| Формула (поверхностная) | $f(x) \approx \sum_{i=1}^{N(\epsilon)} a_i \sigma * (w_i * x + b_i)$ | $f(x) = \sum_{q=1}^{2n+1} \Phi_q \left(\sum_{p=1}^n \Phi_{q,p}(x_p) \right)$ |
| Модель (поверхностная) | (a)  fixed activation functions on nodes learnable weights on edges | (b)  learnable activation functions on edges sum operation on nodes |
| Формула (глубокая) | $MLP(x) = (W_3 * \sigma_2 * W_2 * \sigma_1 * W_1)(x)$ | $KAN(x) = (\Phi_3 * \Phi_2 * \Phi_1)(x)$ |
| Модель (глубокая) | (c)  MLP(x) W ₃ sigma ₂ nonlinear, fixed W ₂ sigma ₁ linear, learnable W ₁ x | (d)  KAN(x) Phi ₃ Phi ₂ nonlinear, learnable Phi ₁ x |

KAN – преимущества и недостатки

В тестах и бенчмарках данный подход показал себя с положительной стороны в следующем:

- 1) Адаптивность – можно тонко настроить функцию активации под конкретную задачу;
 - 2) Интерпретируемость – можно представить результаты работы сети в понятной математической формуле;
 - 3) Способность решать сложные математические и физические задачи;
- В свою очередь также имеются и явные минусы:

- 1) Большая вычислительная сложность по сравнению с MLP - для одномерного случая с G интервалами сетки и порядком сплайна k количество параметров составляет O(G(k+1));

- 2) Проблемы оптимизации;
- 3) Трудности интерпретации высоко размерных задач;
- 4) Проблемы с вычислениями B-сплайнов на видеокарте.

KAN – статистика научных публикаций

Прежде чем перейти к обзору статей, приведем общую информацию о публикационной активности в данной области исследований и попробуем категорировать их.

Так, по данным сайта ELibrary на данный момент на данную тему опубликовано 122 работы, при этом по данным зарубежного агрегатора paperswithcode на данную тематику опубликовано порядка 196 публикаций начиная с 2024 года, когда была опубликована оригинальная статья.

Большая часть из опубликованных работа посвящена применению данного метода в задачах компьютерного зрения, порядка 45 работ. Также был написан ряд работ посвященных прогнозированию временных рядов (8 работ), а также работы посвященные оценке эффективности данного метода в решении дифференциальных уравнений.

KAN – обзор применений

В данный момент наибольший интерес к данной архитектуре проявляет в первую очередь научное сообщество, так как для применения ее на практике проведено недостаточно эмпирических экспериментов, а также текущая программная реализация имеет множество проблем, что также осложняет ее применение на практике. Рассмотрим имеющиеся на данный момент работы в данной области.

В своей работе Пуркамали-Анараки Ф. проводит сравнение KAN и варианта MLP, в котором функции активации также являются обучаемыми, на двух задачах много классовой классификации с малым набором данных (определение рака, 2 класса и определение типа 3д принтера, 2 класса), а также на одном синтетическом примере. В результате он получил ассигасу на классическом MLP больше, чем на KAN, а также меньшее число параметров. При этом стоит отметить, что выбор метрики для много классовой классификации сомнительный, обычно для большей репрезентативности применяют f1 score или другие метрики, которых в статье не было приведено [14], а также не было приведено сравнение с классическим MLP.

Ван И. и его коллеги в своей работе детально рассмотрели применение KAN в задачах решения дифференциальных уравнений в частных производных, с которыми классические MLP зачастую справлялись с проблемами. Они пришли к выводу, что в большинстве таких задач KAN имеет большую точность и скорость сходимости, но при этом плохо справляется с задачами дифференциальной комплексной геометрии [15]. При этом исследователи отмечают, что в данный момент присутствует проблема с оптимизаторами для KAN, что также ограничивает эффективность данного подхода.

В свою очередь Вака-Рубио К. Дж. И его коллеги изучили возможности применения данного подхода в контексте временных рядов, в частности они использовали KAN для предиктивного моделирования трафика на основе данных со спутников [16]. По результатам эксперимента они получили наименьшие ошибки на KAN (MSE, RMSE, MAE, MAPE), по сравнению с MLP аналогичной глубины. Также они пришли к выводу, что размер сетки сплайна значительно влияет на итоговый результат, однако при этом также должно расти количество нейронов, в противном случае эффект будет противоположный.

Также эксперименты с данным подходом в рамках компьютерного зрения провели М. Абд Элазиз, И. Ахмед Фарес и А.О. Асири в своей работе SKAN: Модель сверточных сетей Колмогорова-Арнольда для обнаружения вторжений в среде интернета вещей [17]. В ней они разобрали возможность применения KAN в задачах детекции, в качестве набора данных они взяли 3 открытых датасета на заданную тематику (обнаружение вторжения на территорию) в двух вариантах: бинарная и много классовая классификация. Сравнивали результаты с 3 другими подходами (Autoencoders, RNN, CNN) по 7 параметрам: количество параметров, время выполнения, Loss, Accuracy, Precision, Recall, F1. По результатам эксперимента в задаче много классовой классификации KAN получила наилучшие результаты (за исключением времени выполнения), а в бинарных задачах незначительно уступила лишь RNN по метрике Precision.

Боднер А. Д. и коллеги также проводили исследовали возможности применения KAN в задачах компьютерного зрения и провели множество экспериментов на наборе данных Fashion-MNIST, в котором они пришли к выводам, что на малом и среднем количестве параметров и глубине у KAN итоговое качество лучше, а на большом – у классических сверточных сетей [18].

В свою очередь независимый исследователь Чон М. провел тесты на наиболее известных и значимых бенчмарках по компьютерному зрению, по результатам которых пришел к результатам, что данная архитектура незначительно уступала SOTA решению ResNET-18 (на момент проведения исследования) [19].

Ян С. и Ван С. В своей работе предприняли попытку применить KAN в архитектуре трансформер, заменив классические MLP слои на KAN. Для ускорения вычислений они использовали общие коэффициенты для сгруппированных ребер, использовали CUDA, а также сохраняющую инициализацию дисперсию. Были проведены эксперименты в следующих задачах компьютерного зрения: распознавание образов, детекция и семантическая сегментация, по результатам которых KAT (Kolmogorov Arnold Transformer) показал себя лучше классических подходов с MLP.

Потенциал применения

Наибольший интерес представляет применение данного подхода в задачах, в которых имеются четкие физические или математические

зависимости, а также области, в которых количество данных ограничено и обучить полноценную классическую MLP сеть не представляется возможным.

Можно выделить следующие области, в которых применение может дать положительный результат:

1) Производственные предприятия – большинство предприятий в своей основе имеют технологический процесс, который завязан на физике или химии, с которыми данный подход справляется хорошо;

2) Системы, в которых регулярно необходимо решать однотипные математические уравнения – можно значительно сократить сложность и время вычислений за счет аппроксимации с помощью KAN;

3) Задачи компьютерного зрения – во многих статьях удалось добиться значимого результата, который превосходит классический подход, в связи с чем необходимо опробовать его на практике.

При этом наиболее значимой проблемой остается вычислительная сложность вычислений, а также отсутствие подходящих оптимизаторов, что негативно сказывается на итоговом качестве и производительности моделей, в связи с чем также актуальны работы в этом направлении.

Библиографический список

1. <https://openai.com/index/chatgpt/>
2. Vaswani A. Attention is all you need //Advances in Neural Information Processing Systems. – 2017.
3. Kaplan J. et al. Scaling laws for neural language models //arXiv preprint arXiv:2001.08361. – 2020.
4. Hestness J. et al. Deep learning scaling is predictable, empirically //arXiv preprint arXiv:1712.00409. – 2017.
5. Frantar E. et al. Gptq: Accurate post-training quantization for generative pre-trained transformers //arXiv preprint arXiv:2210.17323. – 2022.
6. Hinton G. Distilling the Knowledge in a Neural Network //arXiv preprint arXiv:1503.02531. – 2015.
7. Kumar T. et al. Scaling laws for precision //arXiv preprint arXiv:2411.04330. – 2024.
8. Rosenblatt F. The perceptron: a probabilistic model for information storage and organization in the brain //Psychological review. – 1958. – Т. 65. – №. 6. – С. 386.
9. Cybenko, George. (1989). Approximation by superpositions of a sigmoidal function. Math Cont Sig Syst (MCSS) 2:303-314. Mathematics of Control, Signals, and Systems. 2. 303-314. 10.1007/BF02551274.
10. Андрей Колмогоров, «О представлении непрерывных функций нескольких переменных суперпозициями непрерывных функций меньшего числа переменных», Доклады АН СССР, 108 (1956), с. 179–182;
11. Владимир Арнольд, «О функции трех переменных», Доклады АН СССР, 114 (1957), р. 679–681;

12. Liu, Ziming, et al. "Kan: Kolmogorov-arnold networks." arXiv preprint arXiv:2404.19756 (2024).
13. KindXiaoming, "pykan," GitHub. [Интернет ресурс]. Available: <https://github.com/KindXiaoming/pykan>. [Дата обращения: 12.02.2025].
14. Pourkamali-Anaraki F. Kolmogorov-arnold networks in low-data regimes: A comparative study with multilayer perceptrons //arXiv preprint arXiv:2409.10463. – 2024.
15. Wang Y. et al. Kolmogorov Arnold Informed neural network: A physics-informed deep learning framework for solving PDEs based on Kolmogorov Arnold Networks //arXiv preprint arXiv:2406.11045. – 2024.
16. Vaca-Rubio C. J. et al. Kolmogorov-arnold networks (kans) for time series analysis //arXiv preprint arXiv:2405.08790. – 2024.
17. M. Abd Elaziz, I. Ahmed Fares and A. O. Aseeri, "CKAN: Convolutional Kolmogorov–Arnold Networks Model for Intrusion Detection in IoT Environment," in IEEE Access, vol. 12, pp. 134837-134851, 2024. CKAN: Convolutional Kolmogorov–Arnold Networks Model for Intrusion Detection in IoT Environment,24, doi: 10.1109/ACCESS.2024.3462297
18. Bodner A. D. et al. Convolutional Kolmogorov-Arnold Networks //arXiv preprint arXiv:2406.13155. – 2024.
19. Cheon M. Demonstrating the efficacy of kolmogorov-arnold networks in vision tasks //arXiv preprint arXiv:2406.14916. – 2024.
20. Yang X., Wang X. Kolmogorov-arnold transformer //arXiv preprint arXiv:2409.10594. – 2024.

© Колотов М.А., 2025

УДК 004.85

И.С. КОСАЧЕВ

ilyastalk@bk.ru

Науч. руковод. – докт. техн. наук, доц. О.Н. СМЕТАНИНА

Уфимский университет науки и технологий

НЕЙРОСЕТЕВОЕ МОДЕЛИРОВАНИЕ ДЛЯ ОЦЕНКИ ЭМОЦИОНАЛЬНОГО СОСТОЯНИЯ ПАЦИЕНТА В ПРОЦЕССЕ РЕАБИЛИТАЦИИ

Аннотация: данная статья посвящена определению подхода на основе нейронной сети, который может быть использован для мониторинга эмоционального состояния пациента во время реабилитации. В статье отражены наборы данных для обучения нейросетевой модели и возможные подходы для определения эмоционального состояния пациента.

Ключевые слова: машинное обучение; классификация эмоции; мультимодальные данные; реабилитация.

Введение

Реабилитация – комплекс мероприятий, направленных на максимально возможное восстановление или компенсацию нарушенных или полностью утраченных, в результате болезни или травмы, нормальных психологических и физиологических функций человеческого организма, его трудоспособности.

Физическая реабилитация – мероприятия, направленные на возвращение человеку двигательных функций, утраченных из-за перенесенной болезни или травмы.

Существует множество факторов, влияющих на успешность реабилитации человека, одними из них являются эффективность построенного плана реабилитации и мотивация человека, проходящего реабилитацию.

Во время проведения реабилитации специалисту очень важно производить мониторинг состояния пациента, а именно, его физического и эмоционального состояния. Может сложиться ситуация, при которой пациенту может быть слишком трудным выполнение текущего плана, из-за чего будет труднее добиться положительного эффекта. Подобная ситуация может произойти в следствии неверно построенного плана или же изменения в состоянии пациента.

Неверно построенный план может так же повлиять на мотивацию пациента. Излишне трудные и изматывающие упражнения будут негативно сказываться на эмоциональном состоянии человека. В результате у него может снизиться желание верно выполнять упражнения, с целью их облегчения, а

также могут появиться фобии, связанные с реабилитацией, что так же негативно повлияет на её эффективность.

В таком случае, мониторинг физического и эмоционального состояния пациента может помочь вовремя скорректировать план пациента или обеспечить своевременную психологическую поддержку.

Однако, не всегда удаётся вовремя определить состояние пациента. Это может произойти как по невнимательности реабилитолога, поскольку из-за большого потока пациентов иногда очень сложно уделять каждому должное внимание, так и по вине самого пациента, поскольку он может скрывать своё состояние и делать вид, что всё нормально. В данном случае механизм автоматического мониторинга эмоционального состояния человека может помочь реабилитологу отслеживать состояние пациента.

Человек может выражать эмоции с помощью средств вербальной (речь) и невербальной (мимика, голос, язык телодвижения и др.) коммуникации. Поскольку с помощью невербальных средств человек передаёт около 60% информации [1], при определении эмоционального состояния человека важно учитывать эти сигналы. Тогда, в качестве исходных данных для механизма мониторинга эмоционального состояния может выступать видеозапись со звуком, на которой пациент выполняет упражнение. Тогда, для определения эмоционального состояния человека могут быть использованы нейронные сети, которые хорошо себя зарекомендовали в обработке как изображений, так и звука.

Однако, эмоциональное состояние пациента так же может выражаться в физических характеристиках, не заметных глазу человека, например, пульс, температура кожи и т. д. В таком случае, использование данных показателей может повысить точность распознавания модели.

В данной работе рассматривается подход, который может быть использован для мониторинга эмоционального состояния пациента во время реабилитации.

Постановка цели и задач

Целью данной работы является определение подхода на основе нейронной сети, который может быть использован для мониторинга состояния человека во время реабилитации.

Задачи:

- Анализ существующих наборов данных;
- Разработка архитектуры модели для определения эмоционального состояния человека.

Набор данных

При обучении модели машинного обучения одним из важнейших аспектов являются данные. Рассмотрим наборы данных, которые могут подойти для решения задачи определения эмоционального состояния человека.

The Ryerson audio-visual database of emotional speech and song (RAVDESS) [2] - набор данных для мультимодального распознавания эмоций. Содержит аудио и видео, записанные с участием 24 профессиональных актеров. На каждом видео актер проговаривает одну из двух фраз с заданной эмоциональной окраской. Всего набор данных содержит 8 меток классов: neutral, calm, happy, sad, angry, fearful, disgust, surprised. Также для каждого класса, кроме neutral, записаны видео с двумя уровнями интенсивности. Особенностью данного набора данных является то, что он состоит из двух частей: speech (обычное проговаривание фразы) и song (пропевание фразы). Данная особенность может как помочь при обучении, так и наоборот ухудшить качество.

Набор данных RAVDESS подходит для обучения, поскольку:

- 1) набор данных содержит видео и аудио;
- 2) все видео четко разделены по фразам и эмоциям;
- 3) в каждом видео присутствует только один актер, а значит не нужно решать проблему с определением того, кто говорит в данный момент.

Однако, минусом данного набора является то, что он не содержит физиологические параметры человека.

Multimodal affective dataset for emotional and cognitive states [3] – набор данных, содержащий как поведенческие модальности, так и физиологические. В качестве поведенческих модальностей выступают: мимика, голос, нажатие клавиш на клавиатуре, движение мыши. В качестве физиологических выступают: объём пульса крови (blood volume pulse (BVP)), электрокардиография (electrocardiography (ECG)), электрическая активность кожи (electro-dermal activity (EDA)), электромиография (electromyography (EMG)), частота сердечных сокращений (heart rate (HR)), интервал между сокращениями (interbeat interval (IBI)), фотоплетизмограмма (photoplethysmography (PPG)) и температура кожи (skin temperature (ST)). Запись параметров проводится во время выполнения специальных заданий, во время которых у испытуемых вызывается определённая эмоция. Их реакция записывается с помощью камер, микрофона и датчиков. После выполнения задания, испытуемый заполняет опросник для оценки своего состояния.

Поскольку данный набор содержит как поведенческие, так и физиологические показатели, он хорошо подходит для обучения модели для определения эмоционального состояния пациента во время реабилитации.

Модель для решения задачи

Модель должна принимать на вход две модальности: мимику и голос. Мимика представляет собой последовательность кадров, на которых изображено лицо человека. Голос представляет собой последовательность амплитуд, взятых с определенным периодом, который определяется частотой дискретизации.

Тогда, для определения эмоционального состояния пациента может быть использована модель, которая извлекает признаки из каждой модальности, объединяет их, и после производит определение эмоции.

Ранее в исследовании [6] извлечения признаков были использованы рекуррентные нейронные сети, а именно long-short term memory (LSTM) [4] и bidirectional LSTM (BiLSTM) с использованием механизма внимания (attention). Перед подачей в модель требовалось произвести предобработку каждой модальности.

Для предобработки мимики из каждого кадра извлекались изображения лица, которые преобразовывались в оттенки серого, приводились к размеру 48x48 и нормализовывались. В конце из них извлекались признаки с помощью предобученной свёрточной нейронной сети. В результате предобработки были получены последовательности векторных представлений изображений.

Для предобработки голоса в самом начале частота дискретизации аудиодорожки приводилась к 16 кГц. Далее аудиодорожка приводилась к одноканальному формату, после чего из неё извлекалась мел-спектрограмма. Полученная спектрограмма приводилась к размеру 128x100.

Архитектура модели для классификации эмоции изображена на рис. 1.

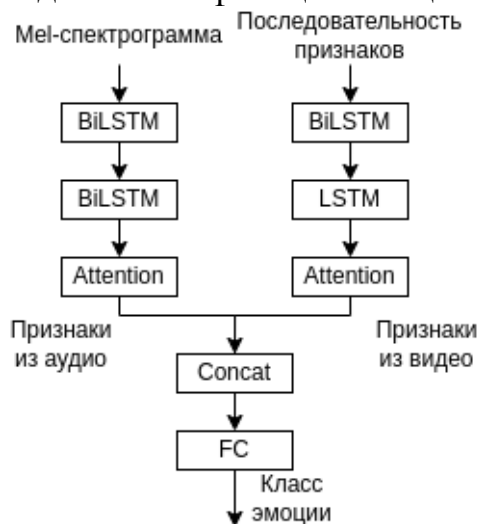


Рис. 29. Архитектура модели для классификации эмоций

Каждая из модальностей пропускается через слои рекуррентные слои, после которых следует механизм внимания. Далее признаки объединяются и подаются на полносвязный слой для классификации. Для обучения модели в данной работе использовался датасет RAVDESS. В результате обучения были получены следующие метрики: accuracy 77% и макро f1-score 75%. Однако, данная работа имеет ряд недостатков.

Во-первых, из-за технических ограничений, модель для векторизации признаков обучалась отдельно от модели классификатора. В случае, если бы обе модели обучались одновременно, была бы возможность определить новые

зависимости между визуальными и звуковыми данными и тем самым повысить качество классификации.

Во-вторых, в данном подходе слои для извлечения признаков из аудиозаписи обучаются с нуля. Использование предобученной модели вместо этих слоёв могло бы повысить информативность признаков и тем самым улучшить качество классификации.

В-третьих, данный подход не учитывает параметры физического состояния человека.

Решением этих трёх недостатков может быть модель, которая одновременно учитывает и извлекает признаки из мимики, из голоса и из физиологических параметров. В качестве модели для извлечения признаков из аудио может быть использована предобученная модель wav2vec2 [5], основанная на архитектуре трансформера. Признаки из физиологических параметров могут быть извлечены с помощью рекуррентных нейронных сетей, например, LSTM. В дальнейших работах планируется обучение такой модели с целью дальнейшего применения для мониторинга состояния пациента во время реабилитации.

Заключение

В данной работе была рассмотрена проблема мониторинга пациента при реабилитации и был определён подход, основанный на глубокой нейронной сети. Для этого были решены следующие задачи:

1. Был проведен анализ существующих наборов данных, в результате которых были выявлены два подходящих набора, а именно RAVDESS и multimodal affective dataset for emotional and cognitive states;

2. Был рассмотрен простейший подход для решения задачи, учитывающий только мимику и голос;

3. Было предложено улучшение подхода, путём изменения архитектуры модели и добавлением физиологических параметров.

В дальнейшем планируется обучить модель с использованием улучшенного подхода для дальнейшего применения к решению задачи мониторинга состояния пациента во время реабилитации.

Библиографический список

1. Пиз, А. Новый язык телодвижений / А. Пиз, Б. Пиз – Москва: Издательство Бомбора

2. Livingstone S. The Ryerson Audio-Visual Database of Emotional Speech and Song (RAVDESS): A dynamic, multimodal set of facial and vocal expressions in North American English / S. Livingstone, F. Russo // PLoS ONE. – 2018. – Т.13, № 5

3. ROSbag-based Multimodal Affective Dataset for Emotional and Cognitive States / W. Jo [и др.] [Электронный ресурс] // researchgate.net : [сайт] – URL:

https://www.researchgate.net/publication/342094170_ROSbag-based_Multimodal_Affective_Dataset_for_Emotional_and_Cognitive_States

4. Hochreiter S. Long short-term memory / S. Hochreiter, J. Schmidhuber. [Электронный ресурс] // researchgate.net: [сайт] – URL: https://www.researchgate.net/publication/13853244_Long_Short-Term_Memory

5. Wav2Vec 2.0: A Framework for Self-Supervised Learning of Speech Representations / A. Baevski [и др.] [Электронный ресурс] // arxiv.org: [сайт] – URL: <https://arxiv.org/pdf/2006.11477>

6. Kosachev, I. S. Classification of Patient Emotions in Nonverbal Communication Based on Machine Learning / I. S. Kosachev, O. N. Smetanina // Pattern Recognition and Image Analysis. Advances in Mathematical Theory and Applications. – 2023. – Vol. 33, No. 3. – P. 360-367. – DOI 10.1134/S1054661823030215. – EDN DTNMR

© Косачев И.С., 2025

УДК 004.8

Д.А. КУЗНЕЦОВ

dimtri14092005@gmail.com

Науч. руковод. – к.т.н., доцент Н.С. СЕНЮШКИН

Уфимский университет науки и технологий

ПРОГНОСТИЧЕСКАЯ ДИАГНОСТИКА ОПОР РОТОРА ГАЗОТУРБИННОГО ДВИГАТЕЛЯ АЛ-31СТ НА ОСНОВЕ МЕТОДОВ МАШИННОГО ОБУЧЕНИЯ

Аннотация: ГТД АЛ-31СТ – ключевой двигатель для газоперекачивающих агрегатов. Его надежность критична для бесперебойности транспорта газа. Внезапный отказ опор ротора (подшипников) приводит к катастрофическим последствиям: остановка трубы, многомиллионные убытки, экологический ущерб.

Ключевые слова: среднее квадратическое значение, вибродиагностика, эксцесс, ударные импульсы, метод прямого спектра, машинное обучение.

Рассмотрим методы диагностик. Исследуем процесс анализа вибрационных сигналов для прогнозирования остаточного ресурса (RUL) его подшипниковых опор. Характерные дефекты опор ротора ГТД АЛ-31СТ, а это подшипники качения.

Классические методы вибродиагностики, которые используются сейчас:

Анализ во временной области:

Среднее Квадратическое Значение (СКЗ) (RMS): общий уровень вибрации. Нечувствителен к ранним дефектам.

Пик-фактор: отношение пика к СКЗ. Растет при появлении ударов.

Эксцесс: мера остроты распределения. Чувствителен к ударным импульсам.

Самый простой способ определить состояние агрегата – это измерить простейшим виброметром СКЗ вибрации и сравнить его с нормами. Нормы вибрации определены рядом стандартов, либо указываются в документации на агрегат и хорошо известны механикам.

Значение СКЗ измеряется виброметром на подшипниковых стойках вращающегося оборудования в трёх направлениях – вертикальное, поперечное и осевое. Далее оно сравнивается с Нормой вибрации. Если одно из значений превышает норму, то агрегат находится в аварийном состоянии.

Метод ПИК-фактора:

Данный метод виброконтроля подшипников отличается простотой реализацией и заключается в периодическом контроле двух параметров вибрации: среднеквадратичное значение (СКЗ) виброускорения и пика

амплитуды виброускорения (положительного, отрицательного или размаха). С развитием дефекта кривая пика амплитуды монотонно растет, аналогичный рост, но с отставанием по времени, показывает и кривая СКЗ. Сами по себе кривые ПИКа и СКЗ малоинформативны, чего нельзя сказать об ПИК-факторе – отношении пикового значения виброускорения к его СКЗ. Кривая ПИК-фактора имеет выраженный максимум, со времени появления которого, как показала практика, остаточный ресурс подшипника составляет порядка 2-3 недель.

Метод эксцесса:

Эксцесс – статистическая величина, характеризующая отклонение плотности вероятности мгновенных значений вибросигнала от нормального распределения (распределения Гаусса). Эксцесс принято характеризовать коэффициентом эксцесса. При появлении в подшипнике микро- и макроударов, кривая плотности вероятности принимает более островершинный характер и по значению коэффициента эксцесса можно судить о степени развития дефекта

Метод эксцесса не чувствителен к скорости вращения и нагрузке подшипника, а также не требует знания его геометрических параметров. Также коэффициент эксцесса изменяет свое значение не только при появлении ударных импульсов в подшипнике, но и растет с ухудшением состояния смазки. Последний факт позволяет использовать данный метод и для подшипников скольжения.

Метод ударных импульсов:

Ударные импульсы – импульсы малой энергии, генерируемые на частотах 28-32 кГц соударениями деталей подшипника и изменениями давления в зоне качения подшипников. В случае работы исправного подшипника наблюдается некоторый «ковровый» фон ударных импульсов, генерируемый силами трения. При повреждениях подшипника во временной реализации ударных импульсов появляются пиковые значения, причем амплитуда пиков тем больше, чем больше скорость соударений и более сильно развит дефект.

Метод прямого спектра (автоспектра):

Данный метод заключается в анализе частотных спектров, получаемых с помощью виброанализаторов. Амплитудные всплески, наблюдаемые на автоспектрах, несут полезную диагностическую информацию, так как возбуждаются дефектами исследуемого оборудования. Причём каждому виду дефекта соответствуют свои гармоники, которые однозначно просчитываются в зависимости от кинематики и скорости вращения оборудования. По наличию в спектре тех или иных гармоник определяют возникновение соответствующего дефекта, а по амплитуде гармоник – о степени развития дефекта. Данный метод обладает высокой помехозащищенностью и информативностью и в настоящее время является одним из самых используемых. Относительный недостаток метода – невозможность обнаружения дефектов на ранней стадии развития.

Метод огибающей высокочастотной вибрации:

Если обратиться к частотному характеру высокочастотной части спектра вибросигнала, то можно заметить ее модуляцию некоторым низкочастотным сигналом. Оказалось, что именно эта низкочастотная модулирующая составляющая несет в себе максимум диагностической информации. На этом факте основан метод огибающей ВЧ вибрации, в котором с помощью полосового фильтра и детектора выделяют низкочастотную составляющую из общего спектра ВЧ вибрации и проводят ее частотный анализ. Возможность обнаружения дефектов в стадии зарождения – самое главное преимущество метода огибающей.

Прогнозирование остаточного срока службы (RUL – Remaining Useful Life) с помощью машинного обучения – это одна из самых ценных задач в рамках предиктивного обслуживания (PdM).

RUL – это оценка того, сколько времени (или сколько рабочих циклов) проработает единица оборудования до того момента, когда она перестанет выполнять свою функцию (откажет).

Цель: предсказать RUL максимально точно, чтобы: планировать техническое обслуживание точно в срок. Избежать незапланированных простоев. Снизить затраты на обслуживание и запасы запчастей. Повысить безопасность.

Общий процесс построения ML-модели для прогнозирования RUL.

Процесс можно разбить на несколько ключевых этапов:

— Сбор данных и конструирование признаков. Определение износа и целевой переменной. Выбор и обучение модели. Валидация и развертывание.

— Сбор данных и Feature Engineering:

Типы данных:

Временные ряды: вибрация, температура, давление, ток, напряжение, скорость. Операционные параметры: нагрузка, скорость вращения, режимы работы. Данные о состоянии: результаты виброанализа, данные ультразвукового контроля, масляная спектрография. Метаданные: модель оборудования, история обслуживания, условия эксплуатации.

Ключевые задачи на этом этапе:

Агрегация и синхронизация: Объединение данных из разных источников (SCADA, вибродатчики, ERP-системы).

Создание признаков здоровья:

— Статистические признаки: Среднее, СКО, амплитуда, эксцесс, коэффициент амплитуды и т.д. (часто вычисляются для временного окна).

— Признаки из частотной области: Пики на частотах дефектов подшипников, их амплитуды и тенденции.

— Тренды: Скорость изменения ключевых параметров (например, рост уровня вибрации на частоте BPFO).

Определение Здоровья и Целевой Переменной

Чтобы обучить модель, нам нужно сказать ей, что такое (отказ) и как далеко до него.

Метка (Здоров) (Healthy): оборудование работает в нормальном режиме.

Метка (Дegradiрует) (Degradation): появились признаки износа.

Целевая переменная (RUL): для каждого момента времени в прошлом мы знаем, сколько часов/циклов оставалось до отказа. Это и есть наша целевая переменная у для обучения с учителем.

Сложность: часто точное время отказа неизвестно. Его можно определить по явному выходу из строя. Превышению пороговых значений вибрации, температуры. Данным о проведенном ремонте, замене подшипника.

Выбор и Обучение Модели (Алгоритмы ML)

Модели можно разделить на две большие категории:

Категория 1: Статистические и Классические ML-подходы

Регрессионные модели:

— Линейная регрессия: Простая, интерпретируемая. Моделирует линейную деградацию.

Модели случайных лесов (Random Forest) и Градиентный бустинг (XGBoost, LightGBM, CatBoost): это часто лучший выбор для табличных данных. Они могут улавливать нелинейные зависимости, устойчивы к шуму и выбросам, популярны в промышленных применениях.

Модели на основе временных рядов:

Скрытые модели Маркова (HMM): моделируют переход оборудования между скрытыми состояниями (здоров, легкий износ, тяжелый износ, отказ).

Категория 2: Глубокое обучение

Эти модели могут автоматически извлекать признаки из сырых или слабо обработанных данных.

Рекуррентные нейронные сети, в частности LSTM (Long Short-Term Memory):

Идеальны для временных рядов. Они помнят долгосрочные зависимости. Модель получает на вход последовательность данных и выдает прогноз RUL на выходе.

Сверточные нейронные сети (CNN):

Изначально для изображений, но их можно адаптировать. Можно подавать на вход спектрограммы (которые показывают, как спектр вибрации меняется во времени) — это очень технологичный подход.

CNN могут автоматически находить характерные узоры деградации на этих спектрограммах.

Гибридные модели (CNN + LSTM): CNN извлекает признаки из каждого снимка данных, а LSTM анализирует, как эти признаки эволюционируют во времени.

Валидация и Развертывание

Валидация: Модель тестируется на исторических данных, которые она не видела при обучении. Ключевые метрики: RMSE (Root Mean Square Error): убирает за большие ошибки, измеряет среднюю величину ошибки между предсказанными моделью значениями и фактическими наблюдаемыми значениями.

Развертывание: Модель интегрируется в систему мониторинга. Она постоянно получает новые данные и обновляет прогноз RUL.

Практический пример: Прогноз RUL подшипника

1. Данные: Временные ряды виброускорения с 4 датчиков.

2. Feature Engineering: для каждого 10-секундного окна вычисляем: статистики: СКО, эксцесс (показывает остроту импульсов). Спектральные признаки: амплитуды на частотах BPFO, BPFI, BSF (полученные методом огибающей). Создаем таблицу, где каждая строка — это окно, а столбцы — вычисленные признаки + целевая переменная RUL (известная из истории).

3. Моделирование: подход 1 (Classic ML): обучаем модель Gradient Boosting (например, XGBoost) на этой таблице. Подход 2 (Deep Learning): подаем на вход LSTM сырые временные ряды или последовательности вычисленных признаков.

4. Прогноз: новая, работающая машина подает свои данные. Модель, обработав их, выдает: (Прогнозируемый RUL: 125 часов).

Задел на будущее время: проблема (недостатка отказов): оборудование ломается редко, поэтому данных об отказах мало. Здесь помогают методы переноса обучения и симуляции.

Условия эксплуатации: Модель, обученная в одних условиях, может плохо работать в других. Важно включать эти параметры (нагрузку, скорость) в модель.

Интерпретируемость: почему модель выдала такой прогноз? Неизвестный результат может быть проблемой для принятия ответственных решений. Здесь лучше подходят модели вроде случайного выбора.

Машинное обучение для прогнозирования RUL — это не просто применение одного алгоритма, а целая инженерная дисциплина, сочетающая глубокое понимание физики отказов (где метод огибающей играет ключевую роль) и современных методов Data Science. Наиболее эффективные решения гибридные, использующие и классические ML-модели на тщательно отобранных признаках, и глубокое обучение для анализа сложных временных паттернов. Такие методики помогут для лучшей эксплуатации опор ротора газотурбинного двигателя АЛ-31СТ, которые помогут для расчёта дипломной работы.

Библиографический список

1. Методы вибродиагностики [Электронный ресурс]. Официальный сайт АО «Балтех». <http://vibropoint.ru/metody-vibrodiagnostiki/>

2. Официальный сайт ООО «Вибро-Центр» [Электронный ресурс]. <https://vibrocenter.ru/rms.html>

3. Официальный сайт «Северо-Западный учебный центр» раздел 7 вибродиагностика [Электронный ресурс]. <https://vibro-expert.ru/vibrodiagnostika-opredelenie.html>

4. Официальный сайт «РусАвтоматизация» вибродиагностика
подшипников статья [Электронный ресурс].
https://rusautomation.ru/articles/vibrodiagnostika_podshipnikov/

© Кузнецов Д.А., 2025

УДК 004.8

Д.Ю. РЫЖКОВ, А. Ю. КУРУНОВ

sasha.kurunov@gmail.com

Науч. руковод. – ст. преп. Р.З. ШАНГАРЕЕВ

Уфимский университет науки и технологий

ПРИМЕНЕНИЕ ИСКУССТВЕННОГО ИНТЕЛЛЕКТА И МАШИННОГО ОБУЧЕНИЯ В СИСТЕМНОМ ПРОГРАММНОМ ОБЕСПЕЧЕНИИ: ОБЗОР СОВРЕМЕННЫХ МЕТОДОВ

Аннотация: интеграция ИИ в системное ПО повышает эффективность и надежность. В статье рассмотрены интеллектуальное планирование заданий, предиктивная диагностика и адаптивное управление ресурсами. Модели МО обеспечивают переход к проактивным системам, адаптирующимся к нагрузкам и превосходящим свои. Выделены ключевые вызовы: overhead при инференсе и необходимость интерпретируемости моделей.

Ключевые слова: системное программное обеспечение, искусственный интеллект, машинное обучение, планировщик задач, предсказание сбоев, управление ресурсами, операционные системы.

Введение

Системное программное обеспечение, включая операционные системы, гипервизоры, файловые системы и системы управления базами данных, традиционно строилось на основе детерминированных алгоритмов и эвристик. Эти алгоритмы, такие как планировщик задач Completely Fair Scheduler (CFS) в Linux или алгоритмы замены страниц, доказали свою надежность и эффективность на протяжении десятилетий. Однако с ростом сложности вычислительных систем, появлением гетерогенных архитектур (CPU/GPU/TPU) и разнообразием рабочих нагрузок (от HPC до микросервисов) традиционные подходы достигают своих пределов. Они зачастую не могут оптимально адаптироваться к непредсказуемым паттернам поведения приложений [1].

Методы искусственного интеллекта и машинного обучения предлагают новый парадигмальный сдвиг — от статического, заранее сконфигурированного управления к динамическому, основанному на данных. Способность МО-моделей выявлять сложные, неочевидные зависимости в телеметрических данных системы открывает путь к созданию интеллектуальных, автономных и самоисцеляющихся системных компонентов. Цель данной работы — систематизировать и проанализировать современные исследования и разработки в области применения ИИ/МО для решения трех ключевых задач системного ПО: оптимизации планирования, предсказания сбоев и адаптивного управления ресурсами.

Интеллектуальное планирование заданий с использованием МО

Планировщик задач (scheduler) является ядром любой операционной системы. Его эффективность напрямую влияет на общую производительность системы, отклик и справедливость распределения ресурсов.

Проблема традиционных подходов: Классические алгоритмы (Round-Robin, CFS) используют фиксированные приоритеты и эвристики, которые не учитывают специфику поведения конкретного приложения. Например, интерактивное приложение и научный расчет имеют кардинально разные паттерны использования CPU и I/O.

Решение на основе МО: Машинное обучение позволяет прогнозировать поведение процессов (CPU-bound, I/O-bound, смешанное) на основе анализа их исторических данных. Модели, такие как градиентный бустинг (Gradient Boosting) или рекуррентные нейронные сети (RNN), могут анализировать временные ряды метрик (нагрузка на CPU, частота обращений к диску, потребление памяти) и предсказывать, как процесс будет вести себя в ближайшем будущем [2].

Пример реализации: В исследовательской операционной системе Sirius от Google был применен планировщик на основе глубокого обучения с подкреплением Deep Reinforcement Learning (DRL). Агент DRL обучался выбирать оптимальный CPU для выполнения задачи, минимизируя общее время выполнения пакета заданий (makespan) и снижая задержки межпроцессного взаимодействия.

Результаты показали повышение производительности на 15-20% по сравнению с стандартным планировщиком Linux для определенных классов нагрузок [3].

Предсказание сбоев и проактивное управление надежностью

Выход из строя компонентов серверного оборудования или критическое потребление ресурсов приводят к простоям и финансовым потерям. Задача предсказания таких событий является одной из самых актуальных.

Проблема традиционных подходов: Мониторинговые системы (такие как Zabbix, Nagios) работают по принципу реактивного оповещения: когда метрика (например, использование памяти) превышает заданный порог, генерируется предупреждение. Это часто происходит слишком поздно для предотвращения сбоя.

Решение на основе МО: применяются методы классификации и прогнозирования временных рядов. Модели анализируют исторические данные о работе системы (логи, SMART-атрибуты жестких дисков, температура компонентов, счетчики исправляемых ошибок памяти ECC) и учатся предсказывать вероятность сбоя в заданный временной горизонт (например, в ближайшие 24 часа) [4].

Пример реализации: Компания Microsoft разработала систему «Forecasting Cascading Failures» для своих дата-центров. Модель на основе

алгоритма Random Forest анализирует триллионы событий из логов и телеметрии, выявляя тонкие корреляции и аномалии, которые предшествуют каскадным сбоям. Это позволяет администраторам перераспределить нагрузку или выполнить упреждающий ремонт, предотвращая массовый простой услуг.

Адаптивное управление ресурсами

Эффективное распределение таких ресурсов, как оперативная память, пропускная способность сети и каналов ввода-вывода, критически важно для работы виртуализованных сред и облачных платформ.

Проблема традиционных подходов: Выделение ресурсов виртуальным машинам или контейнерам часто является статическим и основанным на пиковых, а не средних нагрузках, что ведет к неэффективному использованию инфраструктуры.

Решение на основе МО: используются методы регрессии и прогнозирования для предсказания будущих потребностей приложения в ресурсах. Модель, обученная на данных мониторинга, может динамически масштабировать выделение памяти, количество виртуальных CPU или пропускную способность сети для контейнера в режиме реального времени [5].

Пример реализации: Платформа управления контейнерами Kubernetes с помощью таких дополнений, как Prometheus и Kubernetes-based Event-Driven Autoscaler (KEDA), позволяет реализовать "горизонтальное автомасштабирование подов" (Horizontal Pod Autoscaler) не только на основе простых метрик CPU, но и на основе пользовательских метрик, прогнозируемых моделями МО. Это позволяет более точно и плавно реагировать на изменения нагрузки.

Заключение

Интеграция методов искусственного интеллекта и машинного обучения в системное ПО открывает новую эру интеллектуальных, адаптивных и устойчивых вычислительных систем. Как было показано, МО позволяет:

1. Оптимизировать планирование, повышая общую производительность системы.
2. Предсказывать сбои, переходя от реактивного к проактивному управлению надежностью.
3. Адаптивно управлять ресурсами, повышая утилизацию инфраструктуры и снижая затраты.

Однако внедрение этих технологий сопряжено с рядом вызовов:

Накладные расходы: Вычислительная стоимость инференса модели в реальном времени не должна нивелировать выгоду от оптимизации.

Интерпретируемость: Решения, принимаемые "черным ящиком" (например, глубокой нейронной сетью), сложно объяснить и отладить системным администраторам.

Качество данных: Эффективность моделей напрямую зависит от объема, релевантности и качества собираемой телеметрии.

Несмотря на все это, тенденция к «AI-native» системному программному обеспечению является неизбежной и будет определять развитие операционных систем и платформ управления в ближайшем будущем.

Дальнейшие исследования должны быть сосредоточены на создании легковесных, интерпретируемых и эффективных моделей, способных работать в условиях жестких ограничений реальных систем.

Библиографический список

1. Dean J. The Tail at Scale [Электронный ресурс] / J. Dean, L. A. Barroso // Communications of the ACM. – 2013. – Vol. 56, № 2. – P. 74–80. – URL: <https://dl.acm.org/doi/10.1145/2408776.2408794> (дата обращения: 25.10.2025).

2. Mao H. Resource Management with Deep Reinforcement Learning [Электронный ресурс] / H. Mao, M. Alizadeh, I. Menache, S. Kandula // Proceedings of the 15th ACM Workshop on Hot Topics in Networks. – 2016. – P. 50–56. – URL: <https://people.csail.mit.edu/alizadeh/papers/deepm-hotnets16.pdf> (дата обращения: 25.10.2025).

3. Sirius: An Open Source OS for Machine Learning [Электронный ресурс] // Google AI Blog. – 2018. – URL: <https://ai.googleblog.com/2018/> (дата обращения: 25.10.2025).

4. Salfner F. A Survey of Online Failure Prediction Methods [Электронный ресурс] / F. Salfner, M. Lenk, M. Malek // ACM Computing Surveys. – 2010. – Vol. 42, № 3. – P. 1–42. – URL: https://www.researchgate.net/publication/220565792_A_Survey_of_Online_Failure_Prediction_Methods (дата обращения: 25.10.2025).

5. Verma A. Large-scale cluster management at Google with Borg [Электронный ресурс] / A. Verma, L. Pedrosa, M. Korupolu [et al.] // Proceedings of the European Conference on Computer Systems (EuroSys). – 2015. – P. 1–17. – URL: <https://static.googleusercontent.com/media/research.google.com/ru//pubs/archive/43438.pdf> (дата обращения: 25.10.2025).

© Рыжков Д.Ю., Курунов А.Ю., 2025

УДК 004.9

Ш.М. МАВЛИХАНОВ, И.Ю. НАСЫРОВ

mavlix95@gmail.com, ilasn909@gmail.com

Науч. руковод. – канд. техн. наук, доцент Д.Р. БОГДАНОВА

Уфимский университет науки и технологий

ЭМОЦИОНАЛЬНЫЙ И ИСКУССТВЕННЫЙ ИНТЕЛЛЕКТ В УПРАВЛЕНИИ ПРОЕКТАМИ: ОБЗОР СОВРЕМЕННЫХ ИССЛЕДОВАНИЙ

Аннотация: данная статья представляет собой обзор современных исследований в сфере внедрения эмоционального и искусственного интеллекта в управление проектами. Изучены основы эмоционального интеллекта как важного фактора руководства и взаимоотношения в проектных группах, а также возможности и ограничения искусственного интеллекта в цифровизации и поддержке принятия решений.

Ключевые слова: эмоциональный интеллект, искусственный интеллект, управление проектами, цифровая трансформация, проектный менеджмент.

Статья «Эмоциональный интеллект в управленческой деятельности и технологиях искусственного интеллекта», написанная Лацёновым Михаилом Сергеевичем, Сломовой Ириной Васильевной и Бондаренко Романом Александровичем, изучает роль эмоционального интеллекта в менеджменте и рассматривает искусственный интеллект как конкурента, который пытается освоить эмоциональные навыки с помощью алгоритмов и интегрировать их в управление. Актуальность статьи обусловлена возросшим влиянием искусственного интеллекта и необходимостью оценки данной тенденции.

Основные тезисы:

– Эмоциональный интеллект — это способность осознавать и управлять своими эмоциями, понимать эмоции других и использовать эти навыки для управления эффективно;

– Эмоциональный интеллект не оценим в нестандартных, иррациональных и сложных управленческих ситуациях, в которых пока не конкурируют с человеком алгоритмы ИИ по распознаванию и предсказанию эмоций;

– Высокий эмоциональный интеллект коррелирует с успешностью руководителей, его развитие тем более нужно лидерам в соцсферах, включая правоохранительные органы;

– Искусственный интеллект успешно автоматизирует рутинные и алгоритмизируемые задачи, но пока не способен полноценно работать с иррациональными эмоциональными аспектами решений;

- Обсуждаются подходы к обучению ИИ эмоциям, такие как эмоциональный ИИ или эмоциональные вычисления, ориентированные на повышение продуктивности взаимодействия человека и машины;
- Руководителям нужно развивать свои эмоциональные компетенции — как критически важный фактор эффективности.
- Эмоциональный интеллект входит в число важнейших навыков и оказывает влияние на мотивацию, общение и лидерство.
- Технологии искусственного интеллекта в управлении должны учитывать эмоциональные аспекты для успешного внедрения и использования [1].

Е.А. Шкирмонтова и В.Д. Шульман в своей статье «Роль эмоционального интеллекта в управлении проектами» анализируют использование эмоционального интеллекта в управлении проектами и его влиянию на продуктивность менеджера проектов и команды. Авторы дают научное обоснование существования эмоционального интеллекта, выделяют его структурные компоненты и рассматривают особенности использования эмоционального интеллекта в межранговом (руководитель – подчинённый) и одноранговом (между коллегами) взаимодействии участников проектов.

Обозначена структура эмоционального интеллекта, основанная на последовательности освоения навыков – от осознания собственных эмоций до управления эмоциональными состояниями других участников проекта. Приведены модели известных исследователей, таких как Питер Сэловей, Джон Майер и Дэниел Гоулман, включающие самосознание, саморегуляцию, эмпатию и социальные навыки.

Основное внимание уделено практическим аспектам применения эмоционального интеллекта в межличностных взаимодействиях внутри проектных команд, где эмоциональная компетентность лидера оказывает влияние на мотивацию, настрой и продуктивность сотрудников. Рассмотрены виды лидеров — резонансные и диссонансные, показано, как эмоциональное воздействие руководителя способно создавать либо поддержку и вдохновение, либо конфликт и напряжение.

Кроме того, статья анализирует факторы, влияющие на применение эмоционального интеллекта: особенности корпоративной культуры, длительность проектов и размер команды. Указывается, что развитие эмоционального интеллекта должно стать важной частью подготовки будущих менеджеров, способствуя их профессиональному и личностному росту.

Такой подход обеспечивает комплексное видение роли эмоционального интеллекта в проектном управлении, акцентируя внимание на его значении для повышения эффективности работы команд и достижения поставленных целей [2].

Статья «Стратегическое управление проектами на основе искусственного интеллекта» Шедько Ю.Н., Власенко М.Н., Унижаева Н.В. посвящена возможностям современных технологий искусственного интеллекта в управлении проектами и их роли в обеспечении конкурентных преимуществ

организаций. В ней авторы подчеркивают необходимость появления новых управленческих методик, адаптированных к условиям цифровизации и внедрения искусственного интеллекта в проекты.

Рассматривается, как искусственный интеллект может способствовать автоматизации рутинных задач, эффективному распределению ресурсов, прогнозированию рисков и повышению обоснованности решений за счет использования больших данных. При этом особое внимание уделяется тому, что в управлении важно сохранять социальный и человеческий фактор, а это означает необходимость сбалансированного подхода руководителей как между технологиями и эмоциональным интеллектом.

Авторы приводят пример из Канады, где искусственный интеллект активно применяется в автоматизированных системах принятия решений, выделяют ключевые области знаний, влияющие на успешность применения стратегического управления проектами: интеграция, управление рисками, помощь в закупках, контроль по масштабу, времени, стоимости и качеству, а также умелое управление людьми и коммуникациями. Упомянуты также потенциальные проблемы возникновения искусственного интеллекта, связанные с тем, что алгоритмы не могут эффективно работать во «всеобъемлющей социальной среде» и представлен тезис о необходимости «общего будильника».

В итоге делается вывод, что использование искусственного интеллекта не только повышает операционную эффективность и продуктивность менеджеров, но и способствует развитию их эмоционального интеллекта и креативности, что в сумме создаёт «секретный ингредиент» для устойчивого роста и конкурентных преимуществ организаций. Статья представляет сбалансированную точку зрения на сочетание новейших технологий и человеческого фактора в проектном управлении в постиндустриальную эпоху [3].

В статье «Strategic Alignment of Emotional Intelligence with Project Management: A Framework for Enhancing Project Success and Team Performance» представлен комплексный анализ стратегической интеграции эмоционального интеллекта в практики управления проектами с целью повышения успеха проектов и эффективности командной работы. Автор исследует, каким образом навыки эмоционального интеллекта способствуют улучшению межличностных взаимодействий, лидерству, коммуникациям и, в конечном счёте, результатам проектов.

Цель статьи – предложить модель, которая позволила бы интегрировать навыки эмоционального интеллекта в управление проектами на всех стадиях – от инициирования до закрытия. Автор акцентирует, что высокий эмоциональный интеллект у руководителей проектов способствует глубокому пониманию и регулированию эмоций, эффективному разрешению конфликтов и поддержанию мотивации команды, что ведёт к успешности проекта и продуктивности команды.

Навыки эмоционального интеллекта состоят из пяти взаимосвязанных компонентов: осознание себя, саморегуляция, мотивация, эмпатия и навыки общения. Эти компоненты прямо влияют на способность менеджеров принимать взвешенные решения и поддерживать в команде эффективный рабочий климат.

Связь управления проектами со стратегией организации усиливается, если управление проектами осуществляется с применением эмоционального интеллекта, который может быть использован для обеспечения согласованности и направленности усилий команды в рамках общей стратегии.

Исследования показывают значительную роль эмоционального интеллекта в успешном выполнении проектов: команды с высоким уровнем эмоционального интеллекта характеризуются лучшей коммуникацией, лидерством, мотивацией и продуктивностью, что отражается на конечных результатах.

В статье освещены конкретные шаги по развитию эмоционального интеллекта у менеджеров проектов и членов команды через обучение, коучинг и наставничество, а также особенности интеграции эмоционального интеллекта в управление проектами на этапах инициирования, планирования и исполнения.

В статье также обсуждается, каким образом умение руководителей осознавать и управлять своими и чужими эмоциями помогает предотвращать и разрешать конфликты, поддерживать мотивацию и адаптироваться к изменениям в тяжелых условиях неопределённости.

Работа основана на систематическом обзоре теоретических основ ЭИ, анализе существующих моделей и эмпирических данных, включая примеры из практики крупных организаций, таких как NASA и АТТ. Результаты подкреплены моделями командного развития, теорией решения проблем и эмоциональной регуляции в социальном контексте управленческих команд.

Таким образом, статья предлагает подробную концептуальную и практическую базу для стратегического использования эмоционального интеллекта в управлении проектами, что позволит повысить эффективность лидерства и успешность проектов в современном динамичном деловом окружении [4].

Эмоциональный интеллект давно зарекомендовал себя как один из краеугольных камней современной проектной деятельности, оказывая существенный эффект на успех проектов и эффективность командной работы. Повышение уровня эмоционального интеллекта у менеджеров проектов становится фактором, который способствует лучшему пониманию и управлению собственными эмоциями и эмоциями коллектива, что позитивно сказывается на коммуникации, в работе с конфликтами и мотивации сотрудников.

В рамках данного исследования подтверждается, что стратегическое включение эмоционального интеллекта в процессы управления проектами содействует более эффективной координации команды в направлении достижения общих целей организации, а вместе с тем и качеству и скорости

реализуемых проектов. Для того, чтобы эмоциональный интеллект интегрировался в повседневную практику управления проектами, необходимы систематические тренинги, коучинг и развитие навыков эмоциональной компетентности у всех членов проектных команд.

Библиографический список

1. Лащёнов Михаил Сергеевич, Сломова Ирина Васильевна, Бондаренко Роман Александрович Эмоциональный интеллект в управленческой деятельности и технологиях искусственного интеллекта // Цифровая социология. 2024. №4. URL: <https://cyberleninka.ru/article/n/emotsionalnyu-intellekt-v-upravlencheskoy-deyatelnosti-i-tehnologiyah-iskusstvennogo-intellekta> (дата обращения: 08.11.2025).
2. Шкирмонтова Елена Александровна, Шульман Виталий Дмитриевич РОЛЬ ЭМОЦИОНАЛЬНОГО ИНТЕЛЛЕКТА В УПРАВЛЕНИИ ПРОЕКТАМИ // Гуманитарный вестник. 2021. №5 (91). URL: <https://cyberleninka.ru/article/n/rol-emotsionalnogo-intellekta-v-upravlenii-proektami> (дата обращения: 08.11.2025).
3. Шедько, Ю. Н. Стратегическое управление проектами на основе использования искусственного интеллекта / Ю. Н. Шедько, М. Н. Власенко, Н. В. Унижаев // Экономическая безопасность. – 2021. – Т. 4, № 3. – С. 629-642. – DOI 10.18334/ecsec.4.3.111949
4. Фарид Н., Тан Г., Суиндиньо Р.Й., Луонг Х.Т. Стратегическое согласование эмоционального интеллекта с управлением проектами для повышения успеха проекта и эффективности команды // Psychology Research and Behavior Management. – 2025. – Т. 14. – С. 1-25. – URL: <https://www.scirp.org/journal/paperinformation?paperid=132717> (дата обращения: 08.11.2025).

© Мавлиханов Ш.М., Насыров И.Ю., 2025

Д.И. МОЛЧАНОВ, В.Ю. КАШИРИН

qwaszxc.knight@yandex.ru, tw1nklfs@gmail.com

Науч. руковод. – канд. техн. наук, доц. Е.Ю. САЗОНОВА

Уфимский университет науки и технологий

ЭФФЕКТИВНОЕ ОБНАРУЖЕНИЕ АНОМАЛИЙ В СЕТЕВОМ ТРАФИКЕ С ИСПОЛЬЗОВАНИЕМ ГИБРИДНЫХ МОДЕЛЕЙ МАШИННОГО ОБУЧЕНИЯ

Аннотация: в данной статье представлен гибридный подход к выявлению аномалий, который объединяет алгоритм Isolation Forest (IF, «Изоляционный лес») и метод градиентного бустинга XGBoost (XGB). Данный метод предназначен для обнаружения атак нулевого дня. Проведенные испытания с использованием техники Leave-One-Attack-Out (LOAO, «исключение одной атаки») продемонстрировали, что предложенный метод эффективно выявляет неизвестные угрозы.

Ключевые слова: обнаружение аномалий, машинное обучение, автоэнкодер, Isolation Forest, XGBoost, сетевой трафик, гибридные модели, извлечение признаков.

Введение

Целью данного исследования является разработка и верификация метода для выявления аномалий, который сможет распознавать ранее неизвестные типы атак. Такие классификаторы, как Random Forest, часто сталкиваются с проблемой обобщения на новые паттерны, когда они обучены на известных угрозах.

Предположение заключается в том, что гибридный подход, использующий неконтролируемые модели (такие как Автоэнкодер и Isolation Forest) для формирования обобщённого набора признаков, даст возможность контролируемой модели (XGBoost) освоить понятие «аномалии» вместо «конкретной атаки». Перед авторами стояла задача экспериментальной проверки гипотезы с помощью метода Leave-One-Attack-Out (LOAO).

Подход к обнаружению аномалий в сетевом трафике

Исследовательский пайплайн был реализован с помощью Python и библиотек TensorFlow/Keras, Scikit-learn и XGBoost.

Предварительная обработка данных состоит в следующем. Данные сначала подвергаются стандартизации. Отсутствующие значения и бесконечные величины заменяются медианой. Номинальные числовые признаки масштабируются при помощи RobustScaler, что обеспечивает их

устойчивость к выбросам. Кроме того, метки преобразуются в бинарный формат.

Архитектура модели включает три ключевых компонента:

— Автоэнкодер: это глубокая нейронная сеть, обучающаяся исключительно на нормальном трафике. Автоэнкодер генерирует два признака: латентное представление (сжатый вектор признаков, полученный на этапе «бутылочного горлышка») и ошибка восстановления (среднеквадратичная ошибка (MSE) между входными и выходными данными автоэнкодера).

— Isolation Forest: модель IsolationForest обучается исключительно на латентных представлениях нормального трафика. Она создает оценку аномальности для любого входящего вектора.

— Гибридный XGBoost: это классификатор XGBClassifier, который обучается на гибридном векторе признаков.

Финальный ансамбль настраивается на валидационной выборке.

В качестве сравнения используется RandomForestClassifier, обученный на те же предобработанные, но «сырые» признаки.

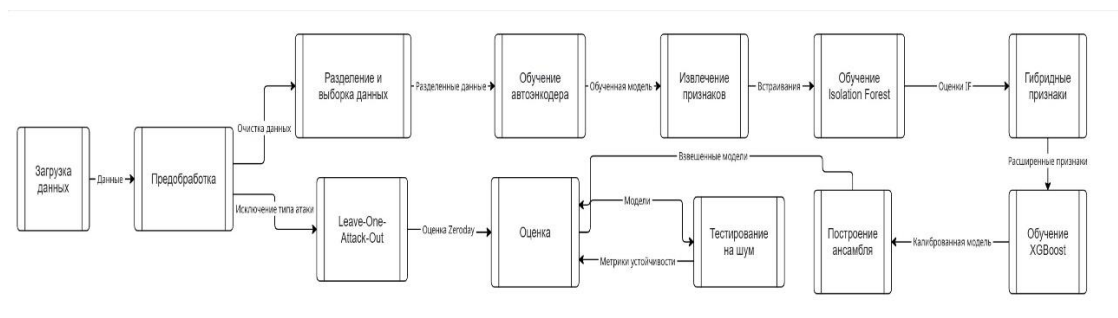


Рис. 1. Архитектура модели

Экспериментальная часть

Основная проверка выполняется в сценарии «Атака нулевого дня» с использованием методологии Leave-One-Attack-Out (LOAO). На этапе LOAO выбирается один конкретный тип атаки, например, «Bot». Все модели обучаются на наборе данных, который состоит из нормального трафика и всех остальных типов атак, кроме «Bot». Модели затем тестируются на сбалансированной выборке, содержащей только нормальный трафик и атаку «Bot». Этот процесс повторяется для других типов атак, таких как «FTP-Patator» и «SSH-Patator».

Результаты эксперимента LOAO, имитирующего обнаружение неизвестных угроз, сведены в Табл. 1.

Таблица 1

Результаты эксперимента

| Исключенная атака (Left-out Attack) | Модель | ROC-AUC | F1-score |
|-------------------------------------|------------------|---------|----------|
| Bot | IF emb leave one | 0.8183 | 0.4471 |
| Bot | AE MSE leave one | 0.6655 | 0.0000 |

| | | | |
|-------------|-------------------|--------|--------|
| Bot | RF raw leave one | 0.6044 | 0.0000 |
| FTP-Patator | XGB emb leave one | 0.9444 | 0.4552 |
| FTP-Patator | AE MSE leave one | 0.5015 | 0.0000 |
| FTP-Patator | RF raw leave one | 0.9971 | 0.0000 |
| SSH-Patator | XGB emb leave one | 0.9788 | 0.6485 |
| SSH-Patator | AE MSE leave one | 0.4581 | 0.0011 |
| SSH-Patator | RF raw leave one | 0.9881 | 0.0000 |

Анализ таблицы показывает критический результат: провал базовых моделей RandomForest и простой детектор на основе ошибки восстановления демонстрируют нулевой F1-score, гибридные модели показывают лучший результат F1-score (0.45-0.65).

Заключение

В работе предложен и протестирован гибридный метод обнаружения аномалий, комбинирующий Автоэнкодер, Isolation Forest и XGBoost. Ключевым результатом является подтверждение способности гибридного подхода обнаруживать «атаки нулевого дня».

Библиографический список

1. Liu F. T., Ting K. M., Zhou Z. H. Isolation Forest // Proc. IEEE ICDM. – 2008. – P. 413–422.
2. Chen T., Guestrin C. XGBoost: A Scalable Tree Boosting System // Proc. ACM SIGKDD. – 2016. – P. 785–794.
3. Mirsky Y., Doycher Y., Elovici Y. Kitsune: An Ensemble of Autoencoders for Online Network Intrusion Detection // Proc. ACM SIGKDD. – 2018. – P. 1–9.
4. Shone N., Ngoc T. N., Phai V. D., Shi Q. A Deep Learning Approach to Network Intrusion Detection // IEEE Trans. Emerging Topics in Computational Intelligence. – 2018. – Vol. 2(1). – P. 41–50.
5. Sakurada M., Yairi T. Anomaly Detection Using Autoencoders with Nonlinear Dimensionality Reduction // Proc. MLSDA. – 2014. – P. 1–8.
6. Ahmed M., Mahmood A. N., Hu J. A Survey of Network Anomaly Detection Techniques // Journal of Network and Computer Applications. – 2016. – Vol. 60. – P. 19–31.
7. Moustafa N., Slay J. The Evaluation of Network Anomaly Detection Systems: Statistical Analysis of the UNSW-NB15 Data Set // Information Security Journal: A Global Perspective. – 2016. – Vol. 25(1-3). – P. 18–31.
8. Pedregosa F., et al. Scikit-learn: Machine Learning in Python // Journal of Machine Learning Research. – 2011. – Vol. 12. – P. 2825–2830.
9. Abadi M., et al. TensorFlow: A System for Large-Scale Machine Learning // Proc. USENIX OSDI. – 2016. – P. 265–283.
10. Leger A. Robust Principal Component Analysis // Journal of Machine Learning Research. – 2013. – Vol. 28. – P. 1–15.

В.А. ПЯТЕРЕВА

valya.pyatereva.03@mail.ru

Науч. руковод. – к.т.н., доцент, О.С. НУРГАЯНОВА

Уфимский университет науки и технологий

МАТЕМАТИЧЕСКОЕ И ПРОГРАММНОЕ ОБЕСПЕЧЕНИЕ ДЛЯ ТРАНСКРИБИРОВАНИЯ МУЗЫКАЛЬНЫХ ФАЙЛОВ В НОТНУЮ ЗАПИСЬ

Аннотация. В статье рассматривается разработка программного обеспечения для автоматического транскрибирования монофонических аудиозаписей формата WAV в нотную запись. Представлено описание математических моделей, лежащих в основе обработки звукового сигнала, включая предобработку, анализ высоты тона с использованием нейросетевой модели CREPE, а также алгоритмы перевода частот в ноты. Разработанное программное обеспечение позволяет экспортировать результаты в несколько форматов, включая текстовый файл с временными метками, графическое представление спектрограммы и MIDI-файл. Экспериментальная проверка показала эффективность подхода при работе с короткими музыкальными фрагментами. Полученные результаты могут быть применены в образовательных целях, композиторской деятельности и музыковедческих исследованиях.

Ключевые слова: автоматическое транскрибирование, цифровая обработка сигналов, CREPE, машинное обучение, нотная запись, музыкальная информатика, WAV, MIDI.

Введение

С развитием технологий цифровой обработки сигналов и машинного обучения появилась возможность автоматизировать процесс преобразования аудиозаписей в символьную нотную запись. Это особенно актуально в сфере музыкального образования, композиторской практики и исследований в области музыковедения. Важной задачей автоматического транскрибирования музыки заключается в определении последовательности нот по аудиофайлу, что требует точного анализа частотного состава сигнала и его временной структуры. Целью настоящей работы является разработка программного обеспечения, способного выполнять автоматическое транскрибирование монофонических аудиозаписей формата WAV с использованием современных методов цифровой обработки сигналов и нейросетевых моделей.

Постановка задачи

Необходимо провести анализ существующих подходов и программных решений. Работа подразумевает разработать алгоритмы предобработки сигнала, внедрить модель CREPE для распознавания высоты тона и так же реализовать механизм перевода полученных частот в ноты.

Обзор существующего программного обеспечения

На сегодняшний день существует ряд программных инструментов, позволяющих выполнять автоматическое транскрибирование музыки. К числу наиболее популярных относятся Melodyne, Transcribe! AnthemScore и другие. Однако большинство из них имеют ограничения: высокая стоимость, отсутствие открытости кода, ограниченная точность при обработке сложных мелодий или полифонии. Кроме того, многие решения не предоставляют возможности гибкой настройки параметров обработки, что затрудняет их использование в научных и образовательных целях.

В данной работе выбрано направление создания собственного программного обеспечения, основанного на открытых библиотеках и доступных моделях машинного обучения, таких как CREPE, что делает решение воспроизводимым, масштабируемым и экономически эффективным.

Алгоритм предобработки аудиосигнала

Предобработка аудиосигнала играет важную роль в обеспечении высокой точности дальнейшего анализа. Она включает следующие этапы:

- 1) преобразование стереофонического звука в монофонический;
- 2) нормализация уровня громкости;
- 3) выборка необходимого диапазона частот;
- 4) подготовка данных для передачи в модель анализа высоты тона.

Для преобразования стереофонического звука в моно используется формула:

$$x(\text{mono}) = \frac{x(L) + x(R)}{2}, \quad (1)$$

где $x(\text{mono})$ – значение сигнала в монофоническом канале, $x(L)$ – значение сигнала в левом канале, $x(R)$ – значение сигнала в правом канале, t – временная координата.

Нормализация выполняется по формуле:

$$x(\text{norm}) = \frac{x - x(\text{min})}{x(\text{max}) - x(\text{min})}, \quad (2)$$

где x – исходное значение аудиосигнала в момент времени t , $x(\text{min})$ – минимальное значение сигнала в анализируемом отрезке, $x(\text{max})$ –

максимальное значение сигнала в анализируемом отрезке, $x(norm)$ — нормализованное значение сигнала в момент времени t .

Анализ высоты тона с использованием модели CREPE

Для точного определения высоты звука в монофоническом аудиосигнале была использована нейросетевая модель CREPE (Convolutional Representation for Pitch Estimation). CREPE представляет собой глубокую свёрточную нейронную сеть, обученную на большом наборе размеченных данных, что обеспечивает высокую точность распознавания высоты тона даже при наличии шума или нестабильной интонации.

Формула перевода частоты в полутона:

$$(3) \quad \text{note_number} = 12 * \log_2 \left(\frac{f}{f_0} \right) + 69,$$

где f — частота звука (в Гц), $f_0 = 440$ Гц — частота эталонной ноты А4 (Ля четвертой октавы), note_number — номер ноты в полутональной шкале MIDI, добавление 69 приводит результат к стандартной MIDI-нотации, где А4 имеет номер 69, округляется до ближайшего целого, и по нему определяется соответствующая музыкальная нота.

Алгоритм перевода частоты в ноты

Модель CREPE принимает на вход фрагменты аудиосигнала длиной 1024 отсчёта при частоте дискретизации 16 кГц и выдаёт оценку частоты в герцах с уровнем уверенности. Результат работы модели CREPE — массив частот в герцах и временных меток. Для получения последовательности нот используется следующий алгоритм:

- 1) определяется опорная частота $f_0=440$ Гц;
- 2) для каждой частоты рассчитывается её положение в равномерно темперированной шкале;
- 3) каждому полученному числу ступеней соответствует конкретная нота из хроматической гаммы: C, C#, D, D#, E, F, F#, G, G#, A, A#, B;
- 4) длительность нот определяется по изменению времени между соседними значениями в выходном массиве.

Этот процесс позволяет автоматически формировать последовательность нот, которая затем может быть представлена в виде текстового файла, MIDI-файла или графического изображения спектрограммы.

Программная реализация

Для реализации программы был выбран язык программирования Python благодаря его широкой применимости в задачах обработки сигналов и машинного обучения. Использованные библиотеки: `numpy` — работа с массивами; `scipy.io.wavfile` — чтение WAV-файлов; `matplotlib.pyplot` —

визуализация результатов; *сгере* – анализ высоты тона; *pydub* – предобработка аудиосигнала; *math* – математические преобразования; *pretty_midi* – создание MIDI-файлов.

Разработанное программное обеспечение успешно выполняет автоматическое транскрибирование монофонических WAV-файлов в нотную запись. На выходе программа формирует несколько видов результатов, что делает её удобной как для анализа, так и для дальнейшего использования в музыкальных приложениях. Программа генерирует текстовый файл, содержащий информацию о каждом распознанном звуке (рис. 1).

```
15/15 ————— 66s 4s/step
Распознанные ноты (все октавы):
Время: 0.63 сек | Нота: C4 | Частота: 262.24 Гц | Уверенность: 0.9200000166893005
Время: 0.64 сек | Нота: C4 | Частота: 262.08 Гц | Уверенность: 0.949999988079071
Время: 0.65 сек | Нота: C4 | Частота: 262.31 Гц | Уверенность: 0.9599999785423279
Время: 0.66 сек | Нота: C4 | Частота: 262.38 Гц | Уверенность: 0.9599999785423279
Время: 0.67 сек | Нота: C4 | Частота: 262.9 Гц | Уверенность: 0.9599999785423279
Время: 0.68 сек | Нота: C4 | Частота: 262.86 Гц | Уверенность: 0.949999988079071
Время: 0.69 сек | Нота: C4 | Частота: 262.27 Гц | Уверенность: 0.9599999785423279
Время: 0.70 сек | Нота: C4 | Частота: 261.9 Гц | Уверенность: 0.949999988079071
Время: 0.71 сек | Нота: C4 | Частота: 261.55 Гц | Уверенность: 0.949999988079071
Время: 0.72 сек | Нота: C4 | Частота: 261.73 Гц | Уверенность: 0.949999988079071
Время: 0.73 сек | Нота: C4 | Частота: 261.66 Гц | Уверенность: 0.949999988079071
Время: 0.74 сек | Нота: C4 | Частота: 261.84 Гц | Уверенность: 0.949999988079071
Время: 0.75 сек | Нота: C4 | Частота: 261.97 Гц | Уверенность: 0.9599999785423279
Время: 0.76 сек | Нота: C4 | Частота: 261.61 Гц | Уверенность: 0.949999988079071
Время: 0.77 сек | Нота: C4 | Частота: 261.5 Гц | Уверенность: 0.9399999976158142
Время: 0.78 сек | Нота: C4 | Частота: 261.52 Гц | Уверенность: 0.949999988079071
Время: 0.79 сек | Нота: C4 | Частота: 261.5 Гц | Уверенность: 0.949999988079071
Время: 0.80 сек | Нота: C4 | Частота: 261.65 Гц | Уверенность: 0.949999988079071
Время: 0.81 сек | Нота: C4 | Частота: 261.7 Гц | Уверенность: 0.949999988079071
Время: 0.82 сек | Нота: C4 | Частота: 261.72 Гц | Уверенность: 0.949999988079071
Время: 0.83 сек | Нота: C4 | Частота: 261.8 Гц | Уверенность: 0.949999988079071
```

Рис. 1. Текстовый вывод

Для наглядного отображения результатов программа создаёт два графических файла. Спектрограмма сигнала, на которой отображены выделенные частоты и временные метки (рис. 2).

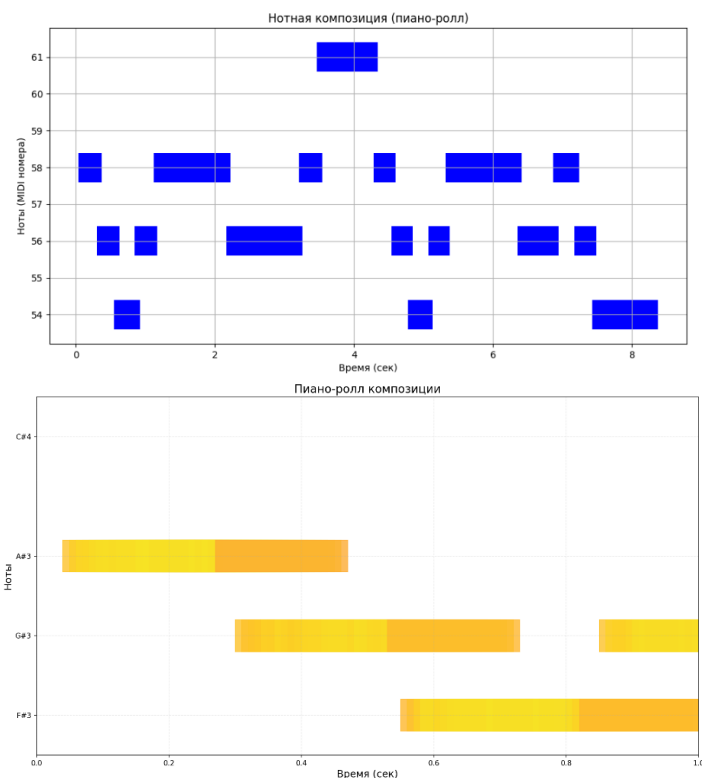


Рис. 2. Спектрограммы сигнала

Программа также формирует MIDI-файл, который представляет собой цифровую нотную запись, воспроизводимую в любом MIDI-совместимом проигрывателе или редакторе (например, MuseScore, FL Studio, Logic Pro). Это позволяет использовать полученные данные для дальнейшей обработки, аранжировки или исполнения. MIDI-файл содержит:

- длительность каждой ноты;
- высоту звука;
- временные интервалы между нотами.

Экспериментальная проверка программы показала высокую точность распознавания при работе с короткими монофоническими фрагментами. Уровень уверенности модели CREPE в большинстве случаев превышал 0.9, что свидетельствует о надёжности полученных результатов. При этом точность снижалась при наличии шума, нестабильной интонации или сложных переходов между нотами.

Заключение

Разработано программное обеспечение для автоматического транскрибирования монофонических WAV-файлов в нотную запись. Использование модели CREPE позволило достичь высокой точности распознавания высоты тона. Разработанная программа демонстрирует устойчивость к различным типам входных данных и корректно обрабатывает как стандартные, так и экстремальные случаи. Программа может быть использована в образовательных целях (обучение музыке); музыкантами для

быстрого создания партитур; исследователями в области музыковедения и музыкальной информатики. Планируется расширение функционала для поддержки полифонических дорожек, интеграция с облачными сервисами и оптимизация производительности за счёт GPU. Также рассматриваются варианты создания веб-версии и улучшения пользовательского интерфейса.

Библиографический список

1. Goodfellow I., Bengio Y., Courville A. Deep Learning. MIT Press, 2016. 800 p. URL: <https://www.deeplearningbook.org/>
2. LeCun Y., Bengio Y., Hinton G. Deep learning. Nature, 2015, vol. 521, pp. 436–444.
3. Kim J.W., Salamon J., Li P., Bello J.P. CREPE: A Convolutional Representation for Pitch Estimation. In: Proc. IEEE ICASSP, 2018. URL: <https://arxiv.org/abs/1802.06182>
4. Benetos E., Dixon S., Giannoulis D., Kirchhoff H., Klapuri A. Automatic music transcription: challenges and future directions. Journal of Intelligent Information Systems, 2013, vol. 41, no. 3, pp. 407–434. doi:10.1007/s10844-013-0258-3
5. Harris C.R., Millman K.J., van der Walt S.J. et al. Array programming with NumPy. Nature, 2020, vol. 585, pp. 357–362.
6. Сергиенко А.Б. Цифровая обработка сигналов: учебное пособие. СПб.: Питер, 2002. 608 с. ISBN 5-318-00666-3.
7. Zölzer U. Digital Audio Signal Processing. 2nd ed. John Wiley & Sons, 2008

© Пятарева В.А., 2025

УДК 004.75

Д.А. РЕПИН, И.А. РЕПИН

daniil-r4@yandex.ru, ilya-r04@yandex.ru

Науч. руковод. – канд. техн. наук, доц. Е.Ю. САЗОНОВА

Уфимский университет науки и технологий

ПРОЕКТИРОВАНИЕ МАСШТАБИРУЕМЫХ СИСТЕМ ДОСТАВКИ СООБЩЕНИЙ С ДИНАМИЧЕСКОЙ БАЛАНСИРОВКОЙ НАГРУЗКИ

Аннотация: статья посвящена проектированию высоконагруженных систем для массовой доставки событий в реальном времени. Предлагается иерархическая архитектура, которая позволяет независимо масштабировать слой обработки каналов и слой подключений, эффективно распределяя общую нагрузку. Для распределения каналов по шардам и управлением нагрузкой предлагается использовать согласованное хеширование с виртуальными узлами и механизмом динамической балансировки нагрузки.

Ключевые слова: широковещание, масштабируемость, распределенные системы, шардирование, согласованное хеширование, балансировка нагрузки, высоконагруженные системы.

Введение

Современные мессенджеры должны быть не только быстрыми и надёжными, но и масштабируемыми, способными обрабатывать миллиарды сообщений от миллионов пользователей одновременно. В связи с этим возникает ряд инженерных проблем при проектировании систем подобного класса, главная из которых — эффективное широковещание, когда необходимо быстро доставить одно событие сразу многим получателям.

В данной статье предлагается и обосновывается один из подходов к решению данной задачи.

Проблема широковещания

Паттерн «Fan-Out» (веерная рассылка) — это одновременная доставка одного сообщения множеству потребителей. Его «наивная» реализация, когда один узел проходит по списку N подписчиков, имеет линейную сложность $O(N)$ и перегружает CPU, I/O и сеть.

Представим систему широковещания с $R = 10$ событий/сек и $N = 10000$ подписчиков. Централизованный $O(N)$ подход означает генерацию:

$$R \times (N - 1) \approx 10 \frac{msg}{sec} \times 10000 subscribers = 100\,000 RPS$$

Вся эта нагрузка в 100 000 RPS ложится на один узел, вызывая чрезмерное потребление ресурсов и немедленную деградацию. Этот пример показывает, что «наивный» подход не жизнеспособен, так как не поддается эффективному масштабированию. Одно из решений – построение распределенной системы.

На первый взгляд, решением могла бы стать одноранговая (P2P) архитектура, распределяющая нагрузку по всем участникам. Однако такой подход приносит новые проблемы. В неструктурированной одноранговой сети каждый узел должен был бы ретранслировать события своим соседям. Это порождает проблему избыточности: как гарантировать, что подписчик получит событие ровно один раз?

В условиях децентрализованности решением могли бы стать протоколы «сплетен» (*англ. Gossip protocols*) [1], но такая система значительно сложнее в реализации и дальнейшей поддержке. Также большинство алгоритмов серьезно нагружает сеть дубликатами. Число одноразовых point-to-point отправок на одно событие в худшем случае растет как $hops_{p2p} = \theta(d \cdot K)$, где d – средняя степень соседства, а K – количество узлов. Поскольку каждый из K узлов может потенциально переслать копию каждому другому $d \sim K$, то итоговое количество отправок ограничено $O(K^2)$.

Проблема предсказуемого времени доставки также остается нерешенной. Следовательно, простое рассредоточение нагрузки по плоской топологии нежизнеспособно. Необходим механизм, который бы организованно структурировал потоки данных, обеспечивая контролируемое и эффективное их распространение.

Шардирование по каналам

Для ограничения области рассылки и уменьшения нагрузки на систему, рассмотрим модель, в которой пользователи подписываются на каналы – закрытые группы, где читать и писать сообщения могут только участники.

Даже при таком разделении общее количество каналов может быть огромным, и один узел не способен обслуживать их все. Для масштабирования системы можно применить шардирование (*англ. sharding*) [2]: разделение пространства каналов между несколькими узлами, где каждый узел отвечает за свой диапазон каналов.

Пусть C – множество каналов, а $S = \{s_1, s_2, \dots, s_k\}$ — множество всех k узлов. Тогда:

- $f : \{C \rightarrow S\}$ – шардирование – это отображение, которое ставит в соответствие каждому каналу ровно один шард.
- $C_i = f^{-1}(s_i) = \{c \in C \mid f(c) = s_i\}$ – множество каналов, которые обрабатывает один шард

Таким образом, каждый узел s_i отвечает лишь за ограниченную часть общего пространства каналов C , что позволяет масштабировать систему за счет добавления новых узлов s_{k+1} , s_{k+2} , и т. д.

На первый взгляд, логично позволить клиентам подключаться напрямую к нужному шарду. Это действительно делает систему горизонтально масштабируемой по количеству каналов. Однако внутри каждого канала рассылка сообщений остаётся проблемой: узел по-прежнему должен доставить одно событие всем участникам канала, а значит, проблема так и не решена.

Более того, такое решение вводит дополнительные сложности. Если пользователь подключен только к одному узлу, а сообщение ему нужно доставить из другого, возникает необходимость кросс-шардовой коммуникации. Для этого система должна хранить и синхронизировать информацию о том, какой пользователь находится на каком узле. Клиенту приходится знать, как устроена система, выбирать оптимальный узел подключения, а также он вынужден отказаться от представления системы как единого целого.

Иерархическая ретрансляция

Рассмотренные выше подходы можно представить в виде топологии типа «звезда», где один узел отвечает за доставку сообщений всем подписчикам конкретного канала. Такая архитектура накладывает жесткие ограничения на масштабирование: чем больше пользователей подключено к каналу, тем выше нагрузка на узел-источник.

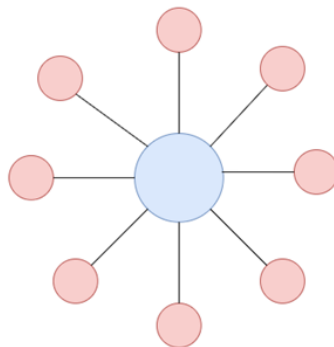


Рис. 1. Топология «звезда»

Для снятия этого ограничения в систему можно добавить дополнительный уровень – слой «последней мили». Его реализация строится на введении промежуточного сервиса, который будем называть шлюзом. Основная задача шлюза – поддерживать постоянные соединения с конечными клиентами и передавать им сообщения из каналов, на которые они подписаны. При этом шлюз сам подключается только к тем шардам, которые обслуживают интересующие его пользователей каналы.

Такую систему удобно представить в виде двудольного графа, где:

— первое множество вершин – шлюзы, к которым подключаются пользователи;

— второе множество – шарды, обслуживающие определенные диапазоны каналов;

— ребра графа соответствуют подпискам шлюзов на события конкретных каналов.

Таким образом, асимптотическая сложность рассылки для одного шарда снижается с $O(N)$ до $O(G)$, где G – количество шлюзов, подписанных на канал, а каждый шлюз обслуживает U_i пользователей. Общее количество подписчиков выражается, как $N = \sum_{i=1}^G U_i$. Поскольку $G \ll N$, объем работы шарда существенно сокращается.

Шард отправляет сообщение лишь G раз – каждому шлюзу, а дальнейшее «размножение» сообщений до конечных пользователей выполняется на уровне шлюзов. Суммарная сложность всей системы в таком случае выражается как $O(G) + O(\sum_{i=1}^G U_i) \approx O(G + N) \approx O(N)$. Она остается линейной, как и в «наивном» подходе, но нагрузка при этом распределяется между уровнями.

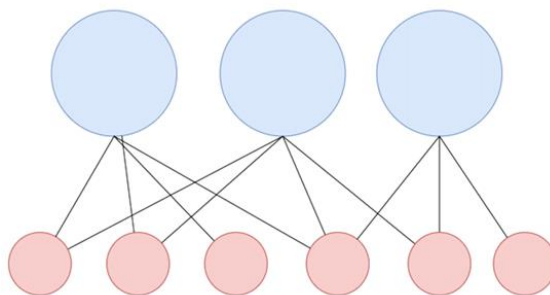


Рис. 2. Двудольный граф

Такое разделение делает возможным независимое масштабирование обоих слоев. Количество шлюзов можно увеличивать пропорционально числу подключенных клиентов, не затрагивая количество шардов, и наоборот – добавлять шарды при росте числа каналов. В результате система приобретает свойства горизонтальной масштабируемости и устойчивости к неравномерным нагрузкам.

Примерами реализации таких принципов являются мессенджеры Discord [3], Slack [4] и платформа Ably [5]

Управление нагрузкой

Для эффективной маршрутизации сообщений в распределенной системе с множеством каналов и обрабатывающих их узлов важно иметь детерминированный и масштабируемый механизм определения того, какой именно узел отвечает за конкретный канал.



Рис. 3. Кольцо согласованного хэширования

Наивные подходы к шардированию каналов, например простое хеширование по модулю, неэффективны для систем с высокими нагрузками, поскольку любое изменение количества узлов требует перераспределения практически всех каналов. Это, в свою очередь, приводит к массовой миграции каналов и существенному росту нагрузки.

Для решения описанных проблем применяется согласованное хеширование (*англ. consistent hashing*) [6]. Этот алгоритм позволяет минимизировать количество перемещаемых каналов при изменении топологии кластера, ограничивая миграцию в среднем до $\frac{1}{N}$ от общего числа каналов, где N — число узлов.

Принцип его работы основан на отображении как каналов (ключей), так и обрабатывающих узлов на единое логическое пространство — хеш-кольцо.

— Отображение на кольцо: Хеш-функция наносит уникальный идентификатор каждого узла на точки кольца. Идентификаторы каналов также хешируются и размещаются на этом же кольце.

— Маршрутизация: Узел, ответственный за канал, определяется движением по кольцу по часовой стрелке от точки канала до первого встречного узла.

Базовая реализация согласованного хеширования изначально обладает проблемой неравномерного распределения нагрузки. Из-за случайного характера хеш-функций и малого числа физических узлов, узлы могут быть распределены по хеш-кольцу неравномерно, что приводит к концентрации большого числа каналов на одном узле.

Для достижения равномерности используется концепция виртуальных узлов. Один физический узел отображается не на одну точку, а на множество точек на хеш-кольце. Таким образом, нагрузка конкретного физического узла распределяется по всему хеш-кольцу, и в случае его отказа она перераспределяется между несколькими узлами.

Несмотря на то, что использование виртуальных узлов обеспечивает более равномерное распределение ключей по кластеру, на практике нагрузка между физическими узлами всё же может становиться неравномерной из-за различий в аппаратных характеристиках, пропускной способности сети или большей активности отдельных каналов.

Для поддержания равномерной загрузки предлагается динамическое перераспределение виртуальных узлов между физическими узлами. Физические узлы оценивают степень своей загрузки и в зависимости от этого виртуальные узлы перераспределяются с наиболее загруженных узлов на менее загруженные [7]. Такой подход позволяет адаптировать систему к изменяющимся условиям и предотвращать появление «горячих» узлов, сохраняя при этом детерминированность маршрутизации. Также такой подход позволяет наиболее эффективно перераспределить виртуальные узлы отказавшего физического узла. Однако стоит понимать, что слишком частые миграции «горячих» виртуальных узлов могут переводить систему в метастабильное состояние [8], приводящее к различным сбоям, например к автоколебаниям [9].

Для количественной оценки степени разбалансированности нагрузки узлов могут использоваться статистические показатели, такие как коэффициент вариации или индекс Джини.

Коэффициент вариации (CV) вычисляется как отношение стандартного отклонения загрузки узлов к их среднему значению и отражает относительный разброс нагрузки: чем выше CV, тем менее равномерно распределена работа между узлами. Примером использования коэффициента вариации может служить драйвер распределенной СУБД YDB, рассчитывающий его при балансировке сессий [10].

В качестве альтернативы может применяться индекс Джини, характеризующий неравенство распределения нагрузки и варьирующийся от 0 (идеальное равенство) до 1 (максимальная концентрация нагрузки) [9].

Поддержание этих метрик в допустимых пределах служит индикатором сбалансированной работы кластера и триггером для плавного перераспределения виртуальных узлов, что обеспечивает компромисс между стабильностью хеш-кольца и эффективным использованием вычислительных ресурсов.

Библиографический список

1. Demers, A. Epidemic algorithms for Replicated – Database Maintenance / A. Demers [и др.] // Proceedings of the 6th Annual ACM Symposium on Principles of Distributed Computing. – 1989.
2. Kleppmann, M. Designing Data-Intensive Applications. The Big Ideas Behind Reliable, Scalable and Maintainable Systems / M. Kleppmann. – O'Reilly, 2017. – 590 с.
3. Ingram, B. How Discord Stores Trillions of Messages [Электронный ресурс] / B. Ingram. – 2023. – Режим доступа: <https://discord.com/blog/how-discord-stores-trillions-of-messages> (дата обращения: 10.11.2025).
4. Thangudu, S. Real-time Messaging [Электронный ресурс] / S. Thangudu. – 2023. – Режим доступа: <https://slack.engineering/real-time-messaging/> (дата обращения: 10.11.2025).

5. Stichbury, J. A globally-distributed architecture for reliable, low-latency edge messaging [Электронный ресурс] / J. Stichbury // Ably Realtime. – 2025. – Режим доступа: <https://ably.com/blog/distributed-architecture-edge-messaging> (дата обращения: 10.11.2025).

6. Roughgarden, T. CS168: The Modern Algorithmic Toolbox Lecture #1: Introduction and Consistent Hashing / T. Roughgarden, G. Valiant. – 2024.

7. DeCandia, G. Dynamo: Amazon's Highly Available Key-value Store / G. DeCandia [и др.] // Proceedings of the 21st ACM Symposium on Operating Systems Principles. – 2007. – С. 205–220.

8. Bronson, N. Metastable failures in distributed systems / N. Bronson [и др.] // Proceedings of the Workshop on Hot Topics in Operating Systems. – Ann Arbor Michigan: ACM, 2021. – С. 221–227.

9. Звонарев, Н. Как законы механики и математики помогли нам с балансировкой нагрузки в 300К RPS [Электронный ресурс] / Н. Звонарев // Хабр: Блог компании Яндекс. – 2025. – Режим доступа: <https://habr.com/ru/companies/yandex/articles/927786/> (дата обращения: 10.11.2025).

10. Расчет коэффициента вариации в YDB для балансировки сессий [Электронный ресурс] // Яндекс. – Режим доступа: <https://clck.ru/3QHxuf> (дата обращения: 10.11.2025).

© Репин Д.А., Репин И.А., 2025

УДК 004.89

А.А. РУБЦОВА

rubcova2002@gmail.com

Науч. руковод. – д. техн. наук, доцент, проф. Г.Р. ВОРОБЬЕВА

Уфимский университет науки и технологий

АВТОМАТИЗАЦИЯ ТЕСТИРОВАНИЯ ВЕБ-ИНТЕРФЕЙСОВ С ИСПОЛЬЗОВАНИЕМ КОМПЬЮТЕРНОГО ЗРЕНИЯ И ИСКУССТВЕННОГО ИНТЕЛЛЕКТА

Аннотация: в данной работе предлагается гибридная архитектура автоматизации тестирования веб-интерфейсов, объединяющая Playwright, компьютерное зрение и семантический анализ. Система преодолевает хрупкость традиционных тестов и закрытость коммерческих решений, обеспечивая устойчивость к рефакторингу, прозрачность и комплексный контроль качества.

Ключевые слова: компьютерное зрение; искусственный интеллект; автоматизация тестирования; веб-интерфейсы; визуальная регрессия; Playwright.

Введение

Современные веб-приложения характеризуются динамичным интерфейсом, частой перестройкой вёрстки и сложной анимацией, что снижает надёжность традиционных инструментов тестирования, таких как Selenium и Playwright. Эти решения зависят от стабильности объектной модели документа (DOM): даже незначительные изменения нарушают работу XPath и CSS-селекторов, требуя ручного обновления тестов [1].

Визуальные дефекты: смещения, нарушения контрастности, некорректные шрифты, обрезку изображений или несоответствие международным рекомендациям по обеспечению доступности веб-контента (WCAG), составляют 16–33% всех дефектов в веб-продуктах и напрямую влияют на пользовательский опыт, оставаясь невидимыми для логических тестов [2,3].

Для преодоления этих проблем всё чаще применяются методы компьютерного зрения (CV): сравнение скриншотов (OpenCV) и детекция элементов (YOLO). Они не зависят от структуры кода, устойчивы к рефакторингу и способны находить визуальные искажения, недоступные традиционным подходам [3].

В работе предлагается гибридная архитектура, объединяющая технологии Playwright, визуальный анализ на уровне пикселей, семантическую проверку с помощью технологии оптического распознавания символов (OCR) и контроль доступности.

В отличие от существующих решений, система обеспечивает комплексный контроль качества за счёт интеграции трёх уровней анализа.

Анализ существующих решений и их ограничения

Автоматизация тестирования веб-интерфейсов охватывает решения с разной степенью использования искусственного интеллекта (ИИ) и машинного обучения (МО). В соответствии с анализом, представленным в работах [1, 2], они делятся на три категории: традиционные фреймворки, коммерческие ИИ-платформы и системы на основе автономных агентов. Каждая обладает преимуществами, но сталкивается с серьёзными ограничениями, мешающими созданию надёжного и всестороннего контроля качества пользовательского интерфейса (UI).

Ограничения традиционных фреймворков

Selenium и Playwright остаются стандартом функционального тестирования благодаря точному управлению DOM через XPath и CSS-селекторы [2]. Они позволяют строить детерминированные, легко отлаживаемые сценарии для проверки бизнес-логики. Однако их главный недостаток — хрупкость: любые изменения в HTML-структуре могут привести к сбоям, требуя значительных усилий на поддержку, особенно в условиях Agile и DevOps [3]. Более того, эти инструменты не способны выявлять визуальные дефекты поскольку анализируют только код, а не отображение. Между тем, такие ошибки составляют 16–33% всех дефектов [4] и напрямую влияют на восприятие качества продукта.

Проблемы коммерческих ИИ-платформ

Для устранения этих пробелов используются платформы на основе компьютерного зрения (CV) – Applifools, Percy и др. Они сравнивают скриншоты, эффективно находя визуальные регрессии и обеспечивая консистентность интерфейса на разных устройствах. Но и они имеют существенные недостатки. Во-первых, это «чёрные ящики»: внутренние алгоритмы анализа закрыты, что снижает доверие к результатам и затрудняет диагностику [1, 2]. Во-вторых, высокая стоимость лицензий делает их недоступными для малого и среднего бизнеса. Интеграция с Continuous Integration/Continuous Deployment (CI/CD) и legacy-системами часто сложна и требует высоких затрат [1, 5]. Закрытость также исключает адаптацию под специфические задачи и использование в научных исследованиях.

Сложности решений на основе AI-агентов

Так же активно развиваются системы с большими языковыми моделями (LLM) и зрительно-языковыми моделями (VLM), способные генерировать и выполнять тесты по описаниям на естественном языке [4]. Такой подход повышает автономность и упрощает создание сценариев. Однако внедрение сопряжено с барьерами: высокие требования к вычислительным ресурсам, сложность управления агентами и интерпретации их действий. Для большинства компаний такая архитектура избыточна и экономически нецелесообразна [1]. Кроме того, агенты могут генерировать неполные или

поверхностные сценарии, пропуская критические граничные случаи, что создаёт ложное чувство покрытия без реальной надёжности [5].

Обобщённый анализ ограничений

Таким образом, между существующими решениями и реальными потребностями в качественном контроле UI существует значительный разрыв. Необходима новая архитектура, сочетающая надёжность традиционной автоматизации, устойчивость CV и возможности ИИ — при этом оставаясь открытой, модульной и прозрачной. Предлагаемая в работе система направлена на преодоление этих барьеров и формирование более эффективного подхода к тестированию веб-интерфейсов.

Требования к системе и проектируемые функции

На основе анализа ограничений существующих решений сформулированы функциональные и нефункциональные требования к гибридной системе автоматизации тестирования. Они лежат в основе архитектурного проектирования и направлены на создание устойчивого, прозрачного и всестороннего решения.

Функциональные требования:

— Детекция UI-элементов по изображению: система использует компьютерное зрение (CV) для распознавания элементов по визуальным признакам (размер, цвет, текст, расположение), минуя зависимость от DOM. Это повышает устойчивость к рефакторингу верстки. В отличие от «чёрных ящиков» вроде Applitoools, пользователь может выбирать и настраивать CV-движки (OpenCV, YOLOv8).

— Визуальная регрессия: сравнение текущего интерфейса с эталоном через индекс структурного сходства (SSIM) и среднеквадратичную ошибку (MSE). Поддерживается маскирование динамических областей (время, счётчики) и настраиваемые пороги чувствительности. Открытая реализация позволяет модифицировать логику сравнения, преодолевая ограничения узкоспециализированных инструментов.

— Семантический анализ: проверка содержимого и доступности. Модуль включает OCR (Tesseract) для распознавания текста, анализ контрастности по WCAG 2.1 и валидацию корректности сообщений. Это позволяет выявлять «многообъектные» дефекты, например несоответствие подписи полю ввода, что невозможно при DOM-анализе.

— Создание тестов через веб-интерфейс: интуитивный графический UI позволяет нетехническим специалистам создавать сценарии без кода: указывать URL, действия («нажать», «ввести») и ожидаемый результат. Поддержка описания на естественном языке упрощает процесс, аналогично Mabl и Functionize, но делает его ещё более доступным.

— REST API: полноценный интерфейс для запуска тестов, передачи параметров, получения JSON/XML-отчётов и управления эталонами. Критически важен для интеграции в CI/CD и внедрения Continuous Testing в DevOps-процессы.

Нефункциональные требования:

— Модульность: строгая декомпозиция системы позволяет заменять CV-движки, поддерживать разные браузерные фреймворки (Playwright, Puppeteer) и добавлять новые проверки как плагины. Открытость повышает доверие и гибкость.

— Масштабируемость: поддержка горизонтального масштабирования, очередей задач и параллельного выполнения тестов. Централизованное хранилище с кэшированием (Redis, S3) ускоряет повторные проверки.

— Прозрачность: детальное логирование каждого шага, визуализация (например, тепловые карты), объяснение причин падения тестов. Инженеры по обеспечению качества (QA) получают не просто результат, а понятную диагностику, что превращает систему в инструмент анализа, а не просто детектор ошибок.

Таким образом, совокупность требований формирует сбалансированную модель гибридной системы, сочетающей мощь CV, удобство No-Code интерфейса и открытость для адаптации. Их реализация обеспечит глубокий, надёжный и масштабируемый контроль качества веб-интерфейсов.

Проектируемая архитектура системы

Предлагаемая архитектура (рис. 1) — это модульное гибридное решение, объединяющее браузерную автоматизацию, CV и семантический анализ для преодоления ключевых недостатков традиционных подходов: хрупкости тестов, неспособности выявлять визуальные дефекты и отсутствия прозрачности. Система построена по многослойной клиент-серверной модели с чётким разделением ответственности между компонентами и поддержкой CI/CD-интеграции.

Архитектура состоит из трёх слоёв:

— Frontend — веб-интерфейс на React, позволяющий нетехническим специалистам создавать тесты без кода. Поддерживает визуальный конструктор, просмотр отчётов и сравнение скриншотов.

— Backend — ядро на FastAPI, управляющее жизненным циклом тестов, оркестрирующее модули и формирующее отчёты. Обеспечивает REST API для взаимодействия с Frontend и внешними системами.

— Core-модули — выполняют основную функциональность:

— Browser Automation Module на базе Playwright воспроизводит пользовательские действия и делает скриншоты.

— CV Module анализирует изображения: OpenCV сравнивает скриншоты (SSIM/MSE), YOLOv8 детектирует UI-элементы независимо от DOM, Tesseract распознаёт текст, а WCAG-анализатор проверяет контрастность по стандарту 2.1.

— Test Oracles принимают решение о прохождении теста.

— API Gateway обеспечивает интеграцию с CI/CD.

Данные хранятся в PostgreSQL (метаданные), S3-совместимом хранилище (скриншоты) и Redis (кэширование), что повышает производительность при повторных запусках.

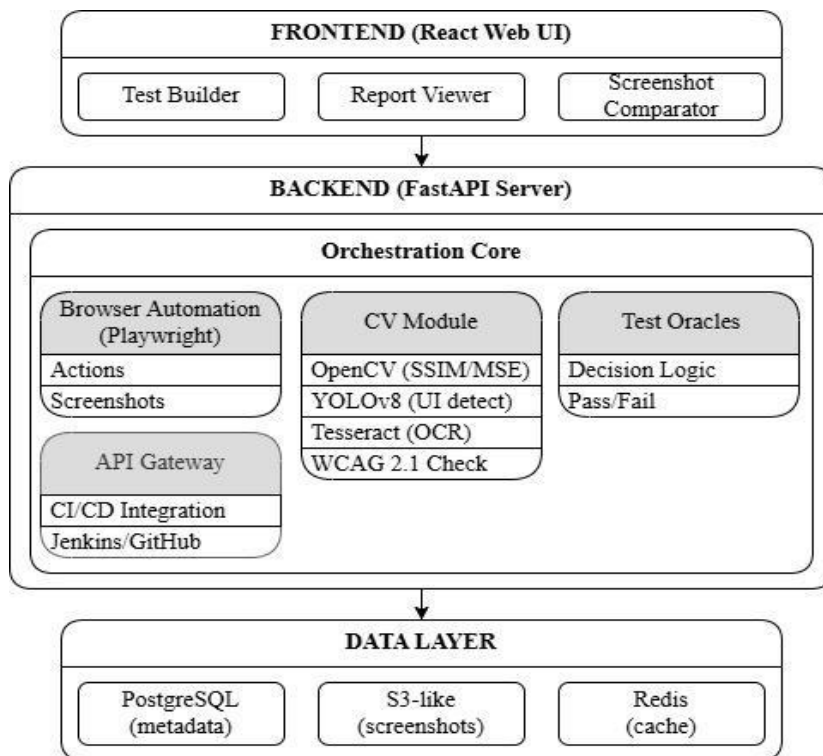


Рис. 1. Архитектура проектируемой системы

Возможные проблемы и решения:

— Высокая вычислительная нагрузка – смягчается кэшированием и параллельным выполнением.

— Ложные срабатывания – минимизируются комбинированным подходом (DOM + CV) и настраиваемыми порогами.

— Интеграция с legacy-системами – поддерживается режим постепенного внедрения: новые визуальные тесты дополняют, а не заменяют старые.

Таким образом, архитектура представляет собой сбалансированное, масштабируемое и прозрачное решение, сочетающее надёжность классической автоматизации с ИИ. Она направлена на комплексный контроль качества интерфейса – не только функционального, но и визуального и семантического уровня.

Планируемые алгоритмы и методы

Эффективность системы основана на сочетании открытых методов компьютерного зрения и глубокого обучения. Подход направлен на устойчивость к рефакторингу, выявление визуальных и семантических дефектов.

Детекция UI-элементов: YOLOv8

Для независимой от DOM детекции элементов (кнопки, поля ввода и др.) выбрана модель YOLOv8 – за баланс скорости и точности, критичный для

CI/CD. Модель будет обучена на датасете из 10 000+ скриншотов реальных веб-приложений с более 150 000 размеченных объектов (10 классов). Аугментация (шум, контраст, искажения) обеспечивает устойчивость к стилям и состояниям (hover, focus).

Визуальная регрессия: SSIM

Для сравнения макетов используется SSIM – метрика, учитывающая яркость, контраст и структуру, а не просто пиксельные ошибки (MSE). Применяется после маскирования динамических областей (время, аватары), настраиваемых вручную или автоматически.

Порог чувствительности: 0.95–0.99, адаптируемый под тип страницы. При расхождении генерируется diff-изображение с цветовой индикацией, а система классифицирует тип дефекта: сдвиг, наложение, изменение размера.

Семантический анализ: OCR + WCAG

— OCR (Tesseract): распознаёт текст после предобработки (grayscale, бинаризация). Сравнивает с ожидаемыми значениями – несовпадения помечаются как потенциальные ошибки.

— WCAG-анализ: рассчитывает контрастность текста и фона по формуле: $CR = \frac{(L_1 + 0.05)}{(L_2 + 0.05)}$, где L_1, L_2 – относительные яркости (relative luminance) двух цветов, как правило L_1 – яркость более светлого цвета, L_2 – более тёмного.

Нарушения ($CR < \frac{4.5}{1}$ для WCAG AA) выделяются красной рамкой с рекомендациями.

Оба модуля объединены в единый оракул: ошибки ранжируются по критичности.

Перспективы

Будущие улучшения:

- Тестирование Vision Transformers и Contrastive Language-Image Pre-training (CLIP);
- Автонастройка порогов через обучение с подкреплением;
- Самообновление эталонов после легитимных изменений;
- Генерация отчётов на естественном языке через обработку естественного языка (NLP).

Таким образом, комбинация YOLOv8, SSIM и OCR/WCAG формирует прозрачную, точную и масштабируемую систему, преодолевающую ограничения традиционных решений. Её эффективность будет оценена в эксперименте по метрикам precision, recall, mAP и времени выполнения.

План экспериментальной проверки

План эксперимента направлен на сравнение гибридной системы (Playwright + CV + семантический анализ) и традиционных подходов по устойчивости к изменениям верстки и полноте обнаружения визуальных и семантических дефектов. Тестирование будет проводиться на пяти одностраничных приложениях с контролируемым внесением дефектов и

рефакторингом DOM. Сравняются два подхода: на основе жёстких локаторов и с детекцией через YOLOv8/SSIM/OCR. Оцениваются метрики: ложные срабатывания, покрытие дефектов, время поддержки, производительность и интеграция в CI/CD. Ожидается снижение ложных срабатываний на 50–70%, рост выявления визуальных дефектов до 95–100% и сокращение трудозатрат. Результаты подтвердят практическую применимость архитектуры и её преимущества перед классическими методами.

Заключение

Предложенная гибридная архитектура объединяет браузерную автоматизацию, компьютерное зрение и семантический анализ, преодолевая хрупкость традиционных тестов и ограничения «чёрных ящиков». Прозрачная, модульная и CI/CD-совместимая система повышает надёжность визуального тестирования, снижает рутину для QA и ускоряет релизы. Прототип будет разработан в рамках магистерской диссертации с последующей интеграцией и обучением YOLOv8.

Библиографический список

1. Ахетов Д. Как Vision Language модели и AI Web Agent трансформируют ручное тестирование в автоматизацию: презентация / Д. Ахетов. – 2023.
2. Пандхаре Х. В. Будущее автоматизации программного тестирования с использованием ИИ/ML // International Journal Of Engineering And Computer Science. – 2025. – Т. 14, № 5. – С. 27159–27182.
3. Спиридонов В. В., Бубарева О. А. Обзор исследований визуального тестирования web-интерфейсов на основе методов искусственного интеллекта // Южно-сибирский научный вестник. – 2023. – № 2(48). – С. 46–53.
4. Ханкхое Р. AI in Test Automation: Overcoming Challenges, Embracing Imperatives // International Journal on Soft Computing, Artificial Intelligence and Applications. – 2024. – Т. 13, № 1. – DOI: 10.5121/ijscai.2024.13101.
5. Хайле А. AI-Driven Software Testing Automation: Machine Learning Strategies for Performance Optimization in Distributed Networks: research paper / A. Haile. – December, 2024. – DOI: 10.13140/RG.2.2.21010.16320.
6. Никитин А. А. Автоматическая генерация тестовых сценариев для веб-приложений с использованием методов машинного обучения: магистерская диссертация / А. А. Никитин. – Екатеринбург, 2024. – 79 с.
7. Лебедев К. С. Решение задачи автоматизации разработки и тестирования комплексных веб-приложений на базе i.Portal MSE // Вестник ИрГТУ. – 2007. – № 1(29). – С. 6–9.

М.В. САЙФУЛЛИН

maks.sajfullin@gmail.com, alive216@yandex.ru

Науч. руковод. – канд. физ.-мат. наук, доц. Е.И. ПРОКУДИНА

Уфимский университет науки и технологий

СИСТЕМА ВИДЕОАНАЛИТИКИ ДЛЯ ИДЕНТИФИКАЦИИ АГРЕССИВНЫХ БЕЗДОМНЫХ ЖИВОТНЫХ В Г. УФА

Аннотация: в данной статье описана модификация алгоритма *YOLO (You Only Look Once)*, адаптированная для задач детекции стай бездомных собак и способная в режиме реального времени интегрировать данные с уличных камер видеонаблюдения, чтобы затем идентифицировать соответствующие образы.

Ключевые слова: искусственный интеллект, распознавание образов, компьютерное зрение, *YOLO*, бездомные животные, стаи собак, безопасность городской среды.

Введение

Актуальность проблемы взаимодействия бездомных животных и человека в городской среде обусловлена ростом числа упоминаний в средствах массовой информации случаев нападений на горожан стай бездомных собак, зачастую приводящих к травмам, а в некоторых случаях к летальному исходу. Современные технологии компьютерного зрения и машинного обучения позволяют автоматизировать процесс обнаружения угроз и не допустить человеческих жертв.

На сегодняшний день на территории Республики Башкортостан отсутствует концепция системы мониторинга нападений агрессивных бездомных животных. Распространение получил способ ОСВВ, известный как «отлов-стерилизация-вакцинация-возврат», однако в ряде районов была отмечена неэффективность проведения данной меры ввиду отсутствия контроля за подрядными организациями, осуществлявших программу.

Поиск практических решений в области систем мониторинга агрессивных бездомных животных выявил тендер №0811500001123000017 от 20.04.2023г., объектом закупки которого является модернизация информационной системы анализа видеопотока. Заказчик – ГКУ «Центр цифровой трансформации Республики Татарстан». Техническое задание содержит требования к системе, которая позволила бы анализировать видеопоток с уличных камер видеонаблюдения в режиме реального времени для распознавания образов стай бездомных собак с целью дальнейшей передачи информации на разработанную веб-платформу, доступ к которой могут иметь комитет ЖКХ, муниципальные власти и специализированные организации по отлову бездомных животных.

Целью исследования является повышение эффективности обнаружения стай бездомных собак на территории г. Уфа с помощью разработки системы видеоаналитики, позволяющей анализировать поток информации с камер уличного видеонаблюдения.

Анализ существующих решений.

Существующие решения в области видеоаналитики для городской безопасности включают методы на основе Haar-каскадов [2], SSD [3] и Faster R-CNN [4]. Однако их применение ограничено сравнительно низкой скоростью обработки и высокой долей ложных срабатываний. В результате исследования было выявлено, что алгоритм Ultralytics YOLO [5] демонстрирует лучший баланс между точностью и производительностью. Это подтверждается исследованиями в области мониторинга городской инфраструктуры [6]. Анализ существующих решений в области компьютерного зрения представлен в таблице 1.

Таблица 1

Сравнительный анализ различных моделей и метрик

| Метрика Модель | <i>Precision</i> | <i>Recall</i> | <i>F1-score</i> | <i>IOU</i> | Скорость обработки кадров |
|----------------------|------------------|---------------|-----------------|-------------|---------------------------------|
| <i>Haar Cascades</i> | 0,70 | 0,65 | 0,67 | 0,60 | Низкая |
| <i>HOG+SVM</i> | 0,75 | 0,70 | 0,72 | 0,65 | |
| <i>YOLO</i> | 0,78 | 0,82 | 0,80 | 0,65 | Высокая |
| <i>Faster R-CNN</i> | 0,85 | 0,75 | 0,80 | 0,70 | Средняя |
| <i>SSD</i> | 0,82 | 0,79 | 0,80 | 0,68 | |

Для проектируемой системы выбрана модель YOLO как оптимальная по соотношению полученных метрик и скорости обработки данных.

Формализованное описание алгоритма работы системы.

YOLO является мощным инструментом для обнаружения объектов в реальном времени и широко используется в различных областях, таких как компьютерное зрение, автоматическое управление и безопасность. Модель использует сложную комбинацию математических операций и алгоритмов для распознавания образов, основные компоненты математического аппарата перечислены ниже:

- Сверточная нейронная сеть;
- Активационная функция: ReLU (Rectified Linear Unit);
- Функции потерь: Bounding Box Loss: GIoU Loss (Generalized Intersection over Union Loss), Confidence Loss (Binary Cross-Entropy), Classification Loss (Cross-Entropy).

Подробная архитектура модели представлена на рисунке 1.

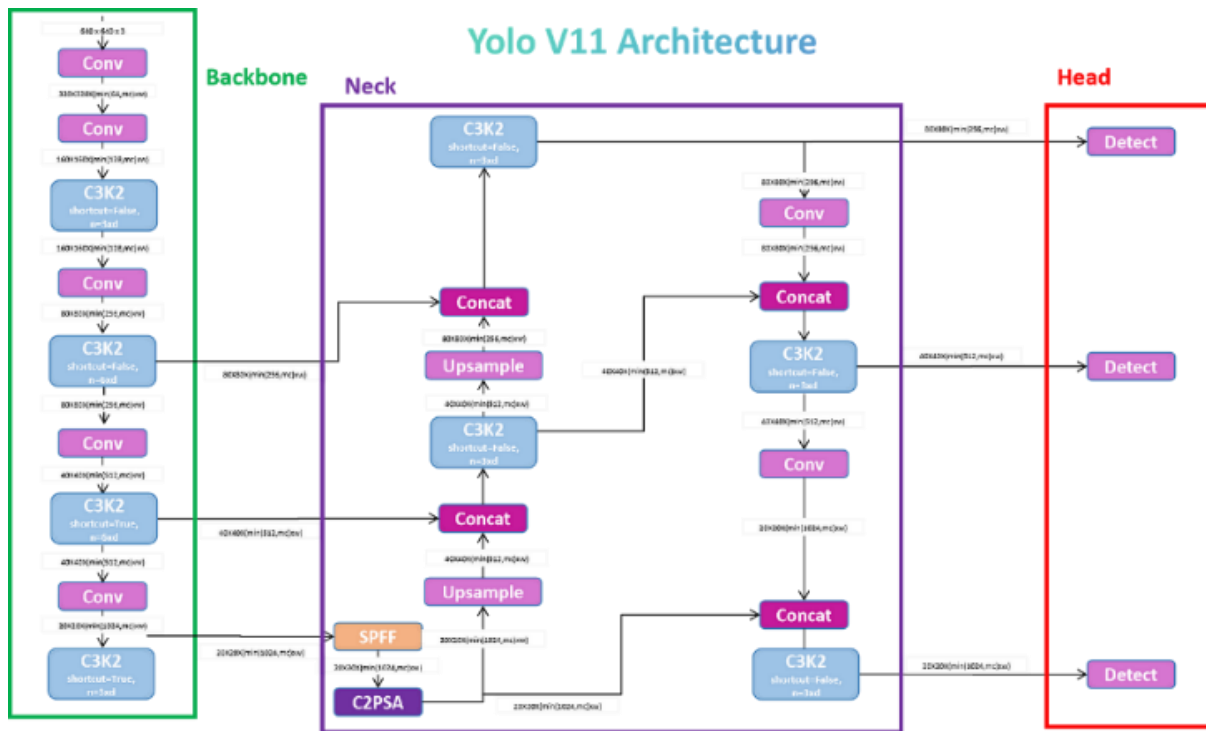


Рис. 1. Архитектура модели YOLOv11 [7]

Комплексность математического аппарата позволяет модели достигать высокой точности и скорости в обнаружении объектов. Алгоритм использует метод циклического прямого распространения (forward pass) и обратного распространения (backward pass) через нейросеть для детекции искоемых объектов на изображениях (кадрах видеопотока).

Параметры вычислительной сложности модели YOLO (11 поколение алгоритма, вышедшее в сентябре 2024 года) проведены в таблице 2.

Таблица 2

Вычислительная сложность используемого алгоритма YOLOv11m на наборе данных COCO в задании обнаружения объектов

| Модель | Размер (пикселей) | Ср. точн. mAP^{val} 50-95 | Скорость CPU ONNX (мс) | Скорость T4 TensorRT10 (мс) | Параметры (млн) | FLOPs (млрд) |
|----------|-------------------|-----------------------------|------------------------|-----------------------------|-----------------|--------------|
| YOLOv11m | 640 | 51,5 | 183,2 ± 2,0 | 4,7 ± 0,1 | 20,1 | 68,0 |

Формальная постановка задачи и структура её решения в нотации IDEF0 представлены на рисунках 2-3.

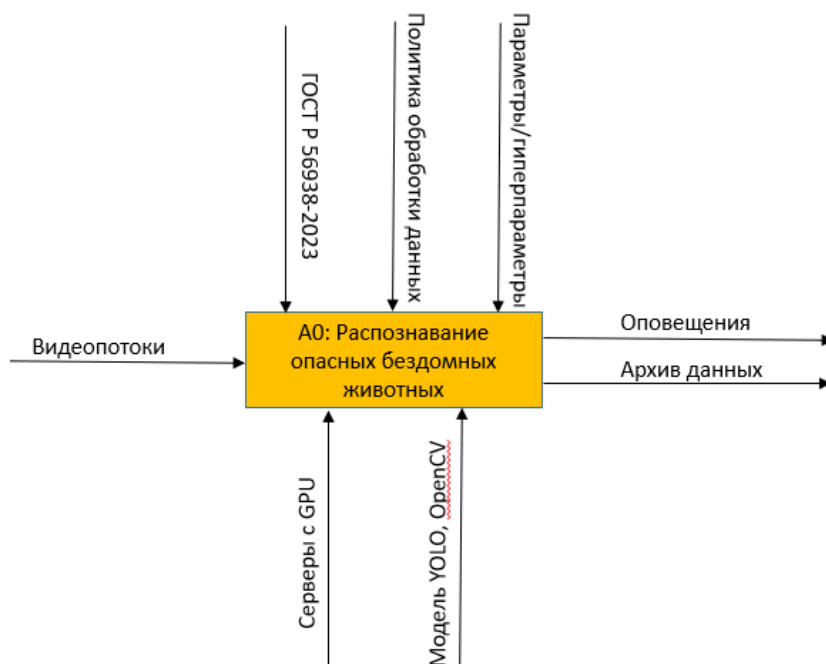


Рис. 2. Формальная постановка задачи

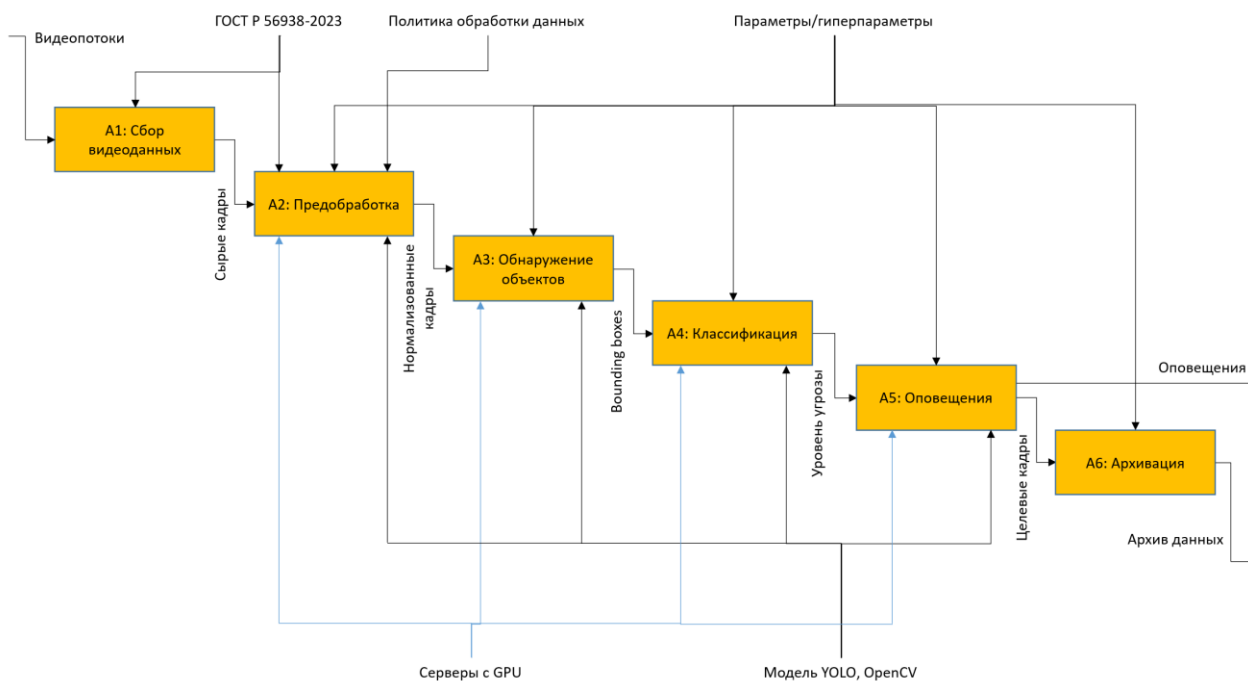


Рис. 3. Структура решения задачи

Структура системы

Готовая система, в соответствии с рисунком 4, включает в себя четыре модуля:

- Создание среды для обучения модели, сбор данных: настройка PyCharm, данные из открытых источников, IP-камеры уличного видеонаблюдения;
- Подготовка собранных данных: разметка образов, аугментация данных;
- Обучение модели: использование графического ускорителя;

- Деплоймент модели: запуск обработки видеопотоков с IP-камер с поддержкой RTSP/ONVIF. Интеграция: API для передачи уведомлений в экстренные службы.

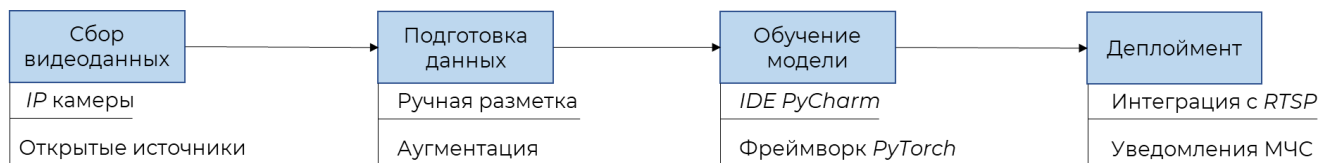


Рис. 4. Структура системы

Обучение модели

Модель обучена в фреймворке PyTorch, библиотека Ultralytics [8].

Использованы следующие гиперпараметры:

Оптимизатор: Adam (learning rate = 0,001);

Датасет: свыше 2500 размеченных изображений;

Количество эпох: 100;

Аугментация: повороты, изменение яркости, добавление шума.

Обучение проводилось на графическом ускорителе серии NVIDIA RTX 4060.

Оценка качества

На валидационной выборке модель достигла следующих показателей: *Precision* (точность предсказания) = 94,5%, *Recall* (полнота) = 80%, *F1-score* (среднее гармоническое между показателями *Precision* и *Recall*) = 86,7%; матрица несоответствий и результат предсказания модели показаны на рисунках 5-6.

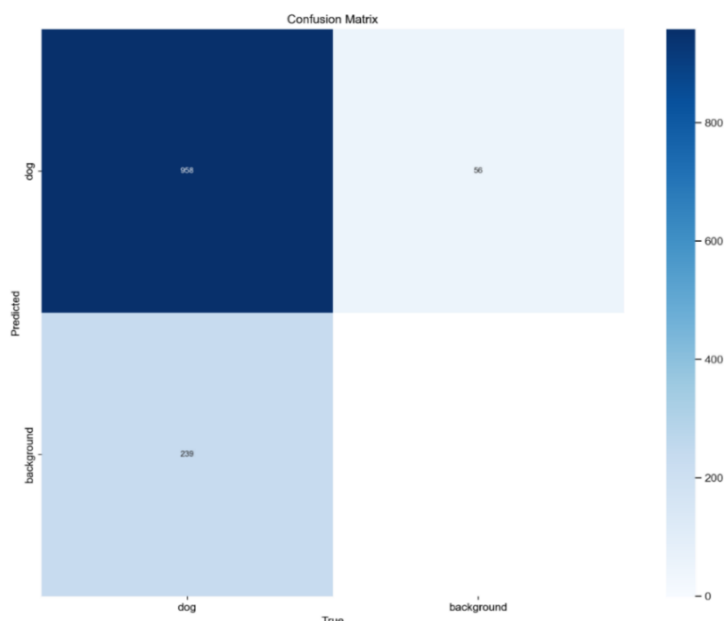


Рис. 5. Матрица несоответствий обученной модели YOLOv11m



а

б

Рис. 6. Результаты №1 (а), №2 (б) предсказания обученной модели YOLOv11m

Таким образом, разработанная система решает задачу анализа потока информации с камер уличного видеонаблюдения, успешно обнаруживая образы бездомных собак на входящих кадрах.

Заключение.

Разработанная система доказала эффективность в задачах идентификации стай бездомных собак в городской среде. Основные преимущества – высокая скорость обработки и адаптивность к изменяющимся условиям. Дальнейшие

исследования будут направлены на снижение ложных срабатываний и интеграцию с системами «умного города».

Библиографический список

1. Вагин В.В., Сафронова В.Д. (2021) Умный город и гражданское участие // Городские исследования и практики. Т. 6. № 3. С. 87-99. DOI: <https://doi.org/10.17323/usp63202187-99> (дата обращения: 23.03.2025).
2. Redmon J. YOLOv3: An Incremental Improvement // arXiv. 2025. URL: <https://arxiv.org/abs/1804.02767> (дата обращения: 30.03.2025).
3. Liu W. SSD: Single Shot MultiBox Detector // LNCS. 2023. Vol. 14065. P. 21-37. DOI: 10.1007/978-3-031-46487-9_2 // arXiv. 2025. URL: <https://arxiv.org/abs/1512.02325> (дата обращения: 31.03.2025).
4. Васильев А.Н. Нейронные сети в задачах компьютерного зрения. СПб.: Питер, 2023. 320 с.
5. Wang C.-Y. YOLOv7: Trainable bag-of-freebies // CVPR. 2023. P. 7464-7475. DOI: 10.1109/CVPR52729.2023.00721 // arXiv. 2025. <https://arxiv.org/abs/2207.02696> (дата обращения: 05.04.2025).
6. Kurniawan A. Real-Time Stray Animal Detection Using Thermal Imaging // Sensors. 2023. Vol. 23(12). P. 5432. DOI: 10.3390/s23125432. <https://www.mdpi.com/2072-4292/10/7/1050> // MDPI. 2025. (дата обращения: 14.04.2025).
7. S Nikhileswara Rao. YOLOv11 Architecture Explained: Next-Level Object Detection with Enhanced Speed and Accuracy [Электронный ресурс] / S Nikhileswara Rao. - Medium, 2024. - URL: <https://medium.com/@nikhil-rao-20/yolov11-explained-next-level-object-detection-with-enhanced-speed-and-accuracy-2dbe2d376f71> (дата обращения: 14.04.2025).
8. Ultralytics. YOLOv11 Documentation. - 2025. - URL: <https://github.com/ultralytics/ultralytics> (дата обращения: 14.04.2025).

© Сайфуллин М.В., 2025

В.Р. МИГРАНОВА, Е.А. СТРЕЛКОВА, Д.С. ЮМАКАЕВ
miverri@yandex.ru, vzaylainazvalas@gmail.com, itid789@gmail.com
Науч. руковод. – канд. физ.-мат. наук, доц. Н.А. ВАСЕНИНА

Уфимский университет науки и технологий

АНАЛИЗ ДИНАМИКИ «ЗАПАХОВЫХ» СИГНАЛОВ НА ОСНОВЕ ПРОИЗВОДНЫХ ТОКОВ МНОГОКАНАЛЬНОГО «ЭЛЕКТРОННОГО НОСА»

Аннотация: в работе представлен новый хемометрический подход к исследованию динамики цифровых «запаховых» сигналов с использованием мгновенных токов многоканального "электронного носа". На основе многомерных МОХ данных, зарегистрированных в течение трёх суток в жилой зоне г. Уфы, распознаны темпоральные паттерны смены стадий и суточные циклы активности воздушных масс.

Ключевые слова: "электронный нос"; металлооксидная (МОХ) сенсорика; временные ряды; метод главных компонент; кластеризация; «запаховая» активность; темпоральность.

Введение

Мониторинг «запаховой» среды представляет актуальную задачу в области экологического контроля, пищевой промышленности и медицинской диагностики. "Электронные носы" на основе металлооксидных сенсоров позволяют детектировать широкий спектр летучих соединений, однако анализ многомерных временных рядов таких систем требует применения специализированных методов обработки сигналов.

Традиционные подходы к анализу данных "электронных носов" часто ограничиваются анализом абсолютных значений сигналов. В данной работе предложен метод, основанный на анализе производных токов, что позволяет выявить динамические характеристики «запаховых» сигналов и идентифицировать стадии «запаховой» активности.

Материалы и методы

В работе использованы данные многоканального "электронного носа" на основе 9 металлооксидных сенсоров. Измерения проводились в течение трёх полных суток, включающих выходные и рабочие дни. Для анализа применен следующий методический аппарат:

- Расчет производных токов по напряжению для каждого сенсора
- Метод главных компонент (РСА) для снижения размерности данных
- Кластеризация K-means для идентификации стадий активности
- Анализ фазовых портретов временных рядов

– Статистический анализ распределения стадий по времени

Таблица 1

Параметры экспериментального исследования

| | |
|------------------------------|--|
| Количество сенсоров | 9 МОХ-сенсоров |
| Период измерений | Воскресенье , понедельник, вторник (полные сутки) |
| Количество временных точек | 900 |
| Диапазон напряжений | 2.00–4.99 В |
| Метод анализа производных | Численное дифференцирование |
| Количество главных компонент | 6 |

Результаты и обсуждение

Анализ главных компонент производных сигналов

Применение метода главных компонент к производным токам позволило снизить размерность данных с 300 признаков до 6 значимых компонент. Первые 6 главных компонент объясняют 9.1% общей дисперсии данных. Распределение объясненной дисперсии по компонентам представлено в табл. 2.

Таблица 2

Объясненная дисперсия главных компонент

| Компонента | Объясненная дисперсия | Накопленная дисперсия |
|------------|-----------------------|-----------------------|
| PC1 | 3.75% | 3.75% |
| PC2 | 1.22% | 4.97% |
| PC3 | 1.09% | 6.06% |
| PC4 | 1.06% | 7.11% |
| PC5 | 1.03% | 8.15% |
| PC6 | 1.00% | 9.15% |

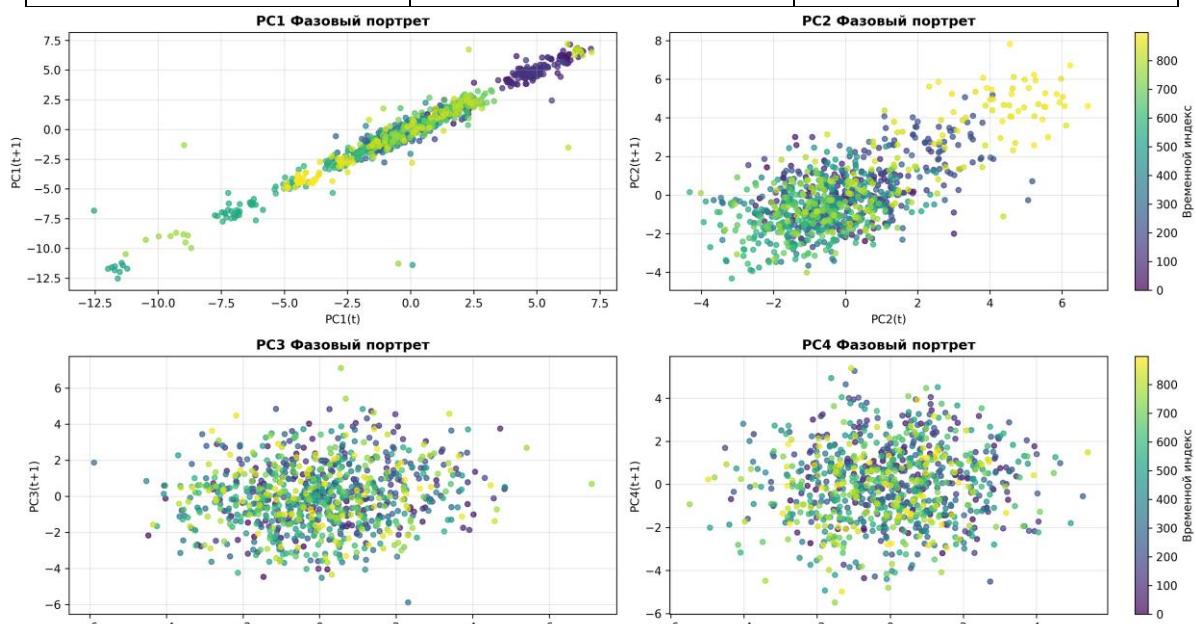


Рис. 1. Фазовые портреты главных компонент производных сигналов.

Фазовые портреты демонстрируют динамические характеристики главных компонент. Наличие замкнутых траекторий свидетельствует о циклическом характере «запаховых» сигналов.

Идентификация стадий «запаховой» активности

Кластеризация временных рядов главных компонент позволила идентифицировать 4 стадии «запаховой» активности. Распределение стадий по времени представлено в таблице 3.

Таблица 3

Распределение стадий «запаховой» активности

| Стадия | Описание | Количество точек | Доля, % |
|----------|---------------------------------|------------------|---------|
| Стадия 1 | Стадия 1: Фоновый режим | 215 | 23.9% |
| Стадия 2 | Стадия 2: Нарастание активности | 347 | 38.6% |
| Стадия 3 | Стадия 3: Пиковая активность | 144 | 16.0% |
| Стадия 4 | Стадия 4: Релаксация | 194 | 21.6% |

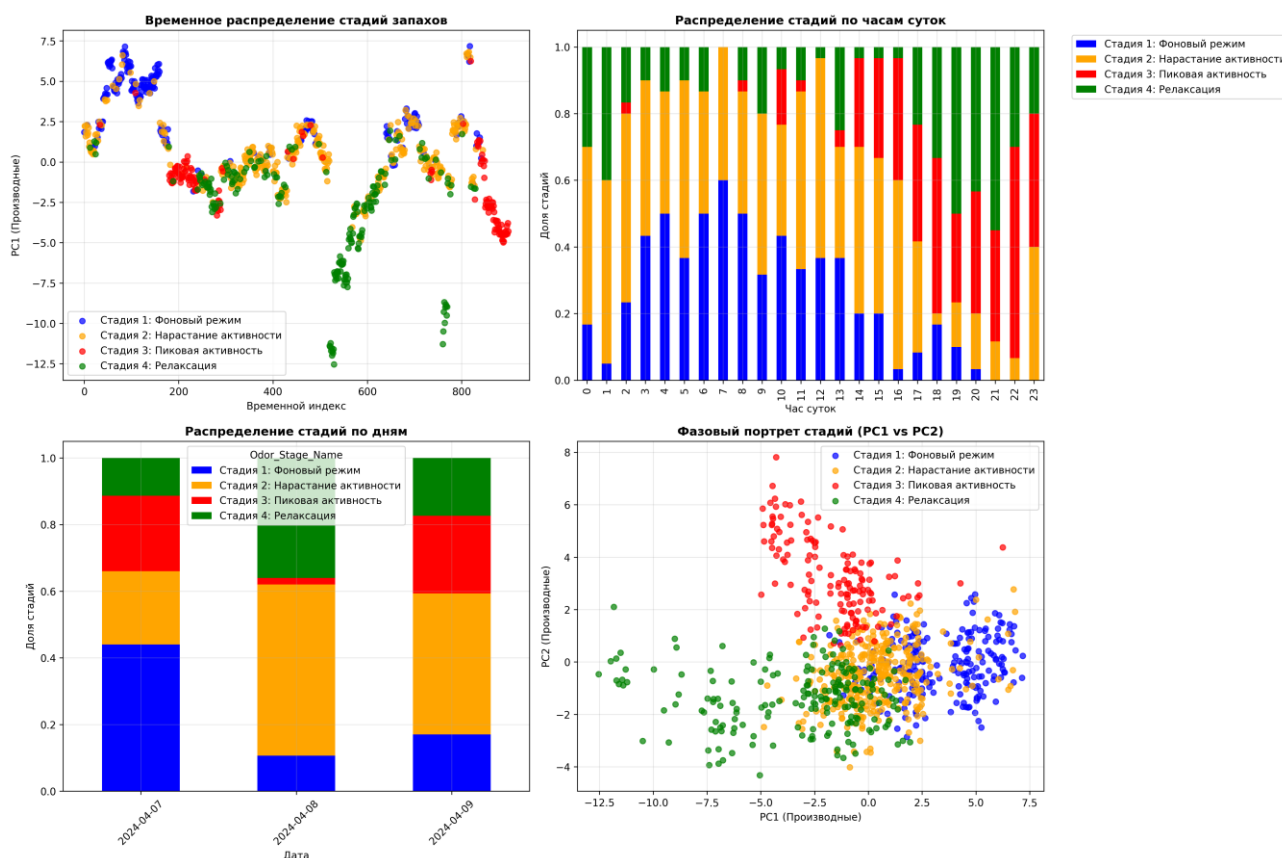


Рис. 2. Временное распределение стадий «запаховой» активности.

Анализ временного распределения выявил четкие суточные паттерны смены стадий активности. Пиковая активность наблюдается в утренние и вечерние часы.

Заключение

В результате проведенного исследования разработан метод анализа динамики «запаховых» сигналов на основе производных токов многоканального "электронного носа". Получены следующие основные результаты:

— Разработан метод анализа дифференциальных временных рядов токов "электронного носа".

— Выделены 6 главных компонент, объясняющих 9.1% дисперсии данных

— Идентифицированы 4 стадии «запаховой» активности: фоновая, нарастание, пиковая и релаксация.

— Установлены суточные циклы смены стадий с пиками активности в утренние и вечерние часы.

— Показана эффективность анализа производных сигналов для выявления динамических характеристик.

— Полученные результаты открывают перспективы для разработки систем реального времени мониторинга «запаховой» среды и прогнозирования изменений «запаховой» активности.

Библиографический список

1. Gardner, J. W., & Bartlett, P. N. Electronic noses: principles and applications. – Oxford University Press, 1999.

2. Jolliffe, I. T., & Cadima, J. Principal component analysis: a review and recent developments // Philosophical Transactions of the Royal Society A. – 2016.

3. Wilson, A. D., & Baietto, M. Applications and advances in electronic-nose technologies // Sensors. – 2009.

4. Pearce, T. C., et al. Handbook of machine olfaction: electronic nose technology. – Wiley-VCH, 2003.

5. Rock, F., Barsan, N., & Weimar, U. Electronic nose: current status and future trends // Chemical Reviews. – 2008.

© Мигранова В.Р., Стрелкова Е.А., Юмакаев Д.С., 2025

Д.Э. СУЛТАНОВ, А.И. ФАЛАЛЕЕВ, А.О. ФАТХУЛЛИН
denissultanover@mail.ru, jj0_0j, arsenfatkhullin1@mail.ru

Науч. руковод. – д-р техн. наук, профессор Г.Ю. ШАХМАМЕТОВА,
канд. техн. наук, доц. Е.Ю. САЗОНОВА

Уфимский университет науки и технологий

ПРОЕКТИРОВАНИЕ И РАЗРАБОТКА АРХИТЕКТУРЫ МОДЕЛИ РАСПОЗНАВАНИЯ РУССКОГО ЖЕСТОВОГО ЯЗЫКА НА ОСНОВЕ ГЛУБОКОГО ОБУЧЕНИЯ

Аннотация: в статье представлены результаты проектирования и реализации архитектуры модели глубокого обучения для распознавания жестов русского жестового языка (РЖЯ). Рассмотрены этапы формирования конвейера обработки данных, включая извлечение ключевых точек при помощи библиотеки MediaPipe Holistic и нормализацию координат, предложена архитектура нейронной сети, объединяющая сверточные (Conv1D), двунаправленные рекуррентные (BiLSTM, BiGRU) слои и механизм внимания (Multi-Head Attention). Авторами проанализировано влияние параметров сети, техник регуляризации и оптимизационных стратегий. Работа является первой частью общего проекта, результаты которого представлены в двух взаимосвязанных статьях.

Ключевые слова: русский жестовый язык, глубокое обучение, архитектура нейронной сети, сверточные сети, рекуррентные сети, механизм внимания, TensorFlow, MediaPipe.

Введение

Развитие методов глубокого обучения и компьютерного зрения открыло новые возможности для создания систем, способных интерпретировать жестовую речь. Особенно актуальна эта задача для РЖЯ, где отсутствует достаточное количество специализированных решений [1].

Работа направлена на проектирование архитектуры нейронной сети для распознавания жестов РЖЯ, включающей сверточные, рекуррентные и внимательные слои. Данная работа является частью проекта по созданию системы распознавания РЖЯ [2], [3], которая выполняется группой студентов 4 курса направления «Программная инженерия» Уфимского университета науки и технологий А.А. Макаркин, Д. Э. Султанов, А. И. Фалалеев, А. О. Фатхуллин. Вторая часть описывает сбор данных, обучение модели и реализацию веб-приложения.

Обоснование выбора архитектуры модели

Основная сложность задачи заключается в учёте как пространственных взаимосвязей между точками тела и рук, так и временной динамики жеста.

Сверточные слои (Conv1D) выделяют локальные временные паттерны микродвижений, тогда как двунаправленные рекуррентные слои (BiLSTM, BiGRU) моделируют долгосрочные зависимости, позволяя понимать полную структуру движения. Механизм Multi-Head Attention позволяет модели выделять наиболее информативные кадры, что особенно важно для жестов с короткими, но выразительными фазами. Такая гибридная архитектура обеспечивает эффективное иерархическое извлечение признаков.

Предобработка и извлечение признаков

Для извлечения ключевых точек используется MediaPipe Holistic, предоставляющий координаты 33 точек позы и 21 точку для каждой руки [4], [5]. Пример кадра с визуализацией ключевых точек изображен на рисунке 1.

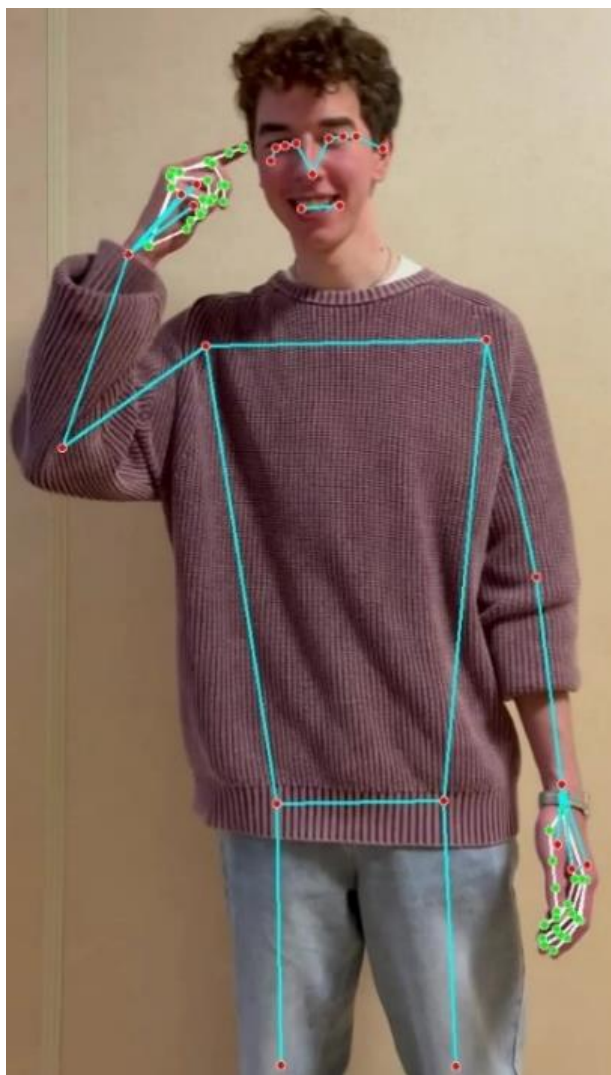


Рис. 1. Извлечение ключевых точек при помощи MediaPipe Holistic

Механизм извлечения признаков следующий: из видео выбирается каждый второй кадр, координаты нормализуются относительно опорных точек (запястье для рук, таз для позы) и масштабируются для инвариантности к расстоянию до камеры. Итоговый вектор признаков кадра имеет размерность 258, последовательность из 30 кадров представляется тензором (30, 258).

Архитектура нейронной сети

Разработанная архитектура модели объединяет несколько типов слоев для эффективного извлечения пространственно-временных признаков из последовательностей видеокadres. Архитектура изображена на рисунке 2.

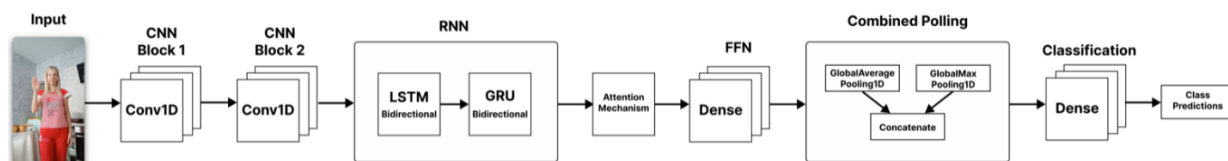


Рис. 2. Архитектура нейронной сети

Модель построена с использованием Keras API библиотеки TensorFlow и включает следующие компоненты [6], [7]:

— Блок сверточных слоев

Первый этап обработки выполняется двумя блоками одномерных сверточных слоев (Conv1D), которые извлекают локальные временные паттерны из последовательности признаков. Первый блок выделяет локальные шаблоны, второй блок – более глубокие признаки. После каждого сверточного слоя применяется BatchNormalization и активация ReLU; MaxPooling1D уменьшает длину последовательности. Dropout для регуляризации. Сверточные слои позволяют модели выявлять паттерны в коротких временных окнах, что важно для распознавания микродвижений в жестах.

— Рекуррентные слои

Для моделирования временных зависимостей используются двунаправленные рекуррентные слои, которые обрабатывают последовательность в прямом и обратном направлениях, что позволяет учитывать контекст с обеих сторон временной оси [8]. LSTM-слой запоминает долгосрочные зависимости, избегая проблемы затухающего градиента, характерной для обычных RNN. GRU-слой с меньшим количеством параметров обеспечивает дополнительное моделирование временной динамики.

— Механизм внимания

Используется Multi-Head Attention в конфигурации с 4 параллельными проекциями внимания и Dropout, который фокусируется на информативных моментах последовательности и взвешивает вклад кадров, что важно для жестов с локализованными фазами движения. После остаточного соединения и LayerNormalization следует позиционно-зависимая FFN, которая расширяет размерность в 4 раза, применяет нелинейность и сжимает обратно, обогащая представление.

— Агрегация и классификация

Для преобразования последовательности признаков в единый вектор применяется комбинированный пуллинг: по всей последовательности вычисляются среднее значение и максимум, после чего результаты конкатенируются. Объединение среднего и максимального пуллинга позволяет сохранить как обобщённую информацию о последовательности, так и наиболее выраженные признаки. Финальный классификатор состоит из трёх полносвязных слоёв: первые два – с L2-регуляризацией, между ними используется Dropout. В качестве функции активации выходного слоя применяется нормализованная экспоненциальная функция (Softmax), формирующая вероятностное распределение по классам жестов. Общее количество обучаемых параметров модели составляет примерно 3.4 млн.

Процесс обучения модели

Обучение модели проводится с использованием оптимизатора Adam и функцией потерь Categorical Crossentropy. Для улучшения обобщающей способности модели применяются следующие техники регуляризации и оптимизации:

— Аугментация и регуляризация

К тренировочной выборке добавляется гауссовский шум и случайные смещения для повышения устойчивости к вариациям данных. Используется сглаживание меток Label Smoothing для снижения переобучения и улучшения калибровки вероятностей.

— Функции обратного вызова при обучении

Для контроля процесса обучения используются следующие функции обратного вызова: EarlyStopping прекращает тренинг при отсутствии улучшений и восстанавливает лучшие значения веса, ReduceLROnPlateau снижает шаг при плато, а ModelCheckpoint сохраняет лучшую по валидации модель. Совместное их использование замедляет обучение при необходимости и останавливают процесс без потери лучшего результата. Обучение проводится с размером батча 32 и максимальным числом эпох 100.

Сравнение с другими архитектурами

Для проверки и оптимизации работы был использован собственный набор данных. На выборке было проведено обучение и сравнительное исследование трех архитектур нейронных сетей выявило значительное превосходство предложенных моделей над базовой 1D CNN.

Таблица 1 указывает, что модель с 512 нейронами и двухблочная архитектура 128 → 256 продемонстрировали одинаковую общую точность (89% против 85% у базовой), однако двухблочная конфигурация показала лучшую сбалансированность по классам, что отображено на рисунке 3. В частности, для сложных жестов «не» и «плохой» были достигнуты значения F1-score 0.80 и 0.95 соответственно, что на 13-25% выше результатов 1D CNN, при этом сохраняя стабильно высокое качество распознавания по всем категориям.

Выбор двухблочной архитектуры $128 \rightarrow 256$ в качестве оптимальной обусловлен ее сбалансированной эффективностью. Несмотря на одинаковую общую точность с моделью 512, двухблочная конфигурация демонстрирует более стабильное качество распознавания среди всех классов жестов, особенно для семантически сложных категорий. Архитектура последовательного увеличения емкости сети ($128 \rightarrow 256$) позволяет эффективно выделять иерархические свойства (от частного к общему).

Таблица 1

Сравнительный анализ архитектур по метрикам точности

| Метрика | Простая 1D CNN | 1 блок (512) | 2 блока (128 \rightarrow 256) |
|-------------|----------------|--------------|---------------------------------|
| Accuracy | 0.85 | 0.89 | 0.89 |
| Macro F1 | 0.84 | 0.88 | 0.88 |
| Weighted F1 | 0.84 | 0.88 | 0.88 |

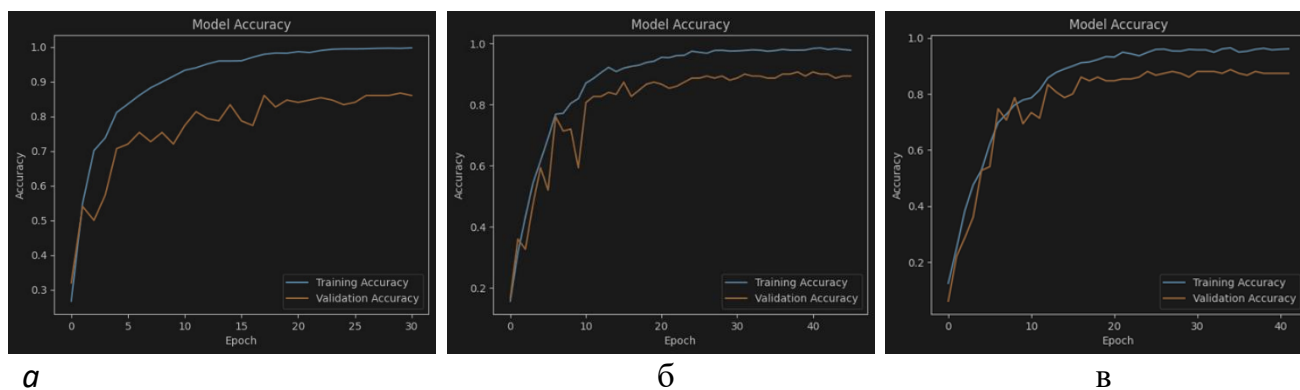


Рис. 3. Графики обучения моделей (динамика точности):
 а – простая 1D-CNN;
 б – 1-блочная архитектура (512 нейронов);
 в – 2-блочная архитектура (128 \rightarrow 256 нейронов).

Заключение

Разработана гибридная архитектура Conv1D + BiLSTM/BiGRU + Multi-Head Attention; были сравнены базовая 1D CNN, одноблочная и двухблочная структура разработанной гибридной нейросети, при этом последняя показала лучшую точность и стабильность распознавания.

Полученные результаты послужили основой для последующих этапов – обучения модели и создания веб-платформы, изложенных статье «Обучение и внедрение модели распознавания русского жестового языка на основе глубокого обучения», представленной в секции «Анализ данных, искусственный интеллект и машинное обучение» XIX Всероссийская молодёжная научная конференция «Мавлютовские чтения».

Исследование выполнено в рамках совместного учебного проекта студентами 4 курса направления «Программная инженерия» Уфимского

университета науки и технологий А.А. Макаркин, Д. Э. Султанов, А. И. Фалалеев, А. О. Фатхуллин.

Библиографический список

6. Волошинов Д. В., Зюриков М. А. Актуальные проблемы социальной адаптации людей с нарушенным слухом и их решение посредством информационных технологий [Электронный ресурс] // Вестник Санкт-Петербургского университета телекоммуникаций. 2025. № 2. URL: <https://www.vestnik-sut.ru/2025-2/C04.pdf> (дата обращения: 10.11.2025).

7. Сирота А. А., Митрофанова Е. Ю., Милованова А. И. Анализ алгоритмов поиска объектов на изображениях с использованием различных модификаций свёрточных нейронных сетей [Электронный ресурс] // Воронежский государственный университет. 2019. URL: <https://journals.vsu.ru/sait/article/download/1313/1372> (дата обращения: 10.11.2025).

8. Габдиев Ф. Ф., Сметанина О. Н., Сазонова Е. Ю. Глубокие нейронные сети для решения задачи распознавания лиц по фотоизображению [Электронный ресурс] // Современные наукоёмкие технологии. 2020. № 5. URL: <https://s.top-technologies.ru/pdf/2020/5/38041.pdf> (дата обращения: 10.11.2025).

9. Lugaresi C., Tang J., Nash H., McClanahan C., Uboweja E., Hays M., Zhang F., Chang C.-L., Yong M. G., Lee J., Chang W.-T., Hua W., Georg M., Grundmann M. MediaPipe: A Framework for Building Perception Pipelines [Электронный ресурс]. arXiv:1906.08172. 2019. URL: <https://arxiv.org/pdf/1906.08172v1> (дата обращения: 10.11.2025).

10. Goyal K., Velmathi G. Indian Sign Language Recognition Using MediaPipe Holistic [Электронный ресурс]. arXiv:2304.10256. 2023. URL: <https://arxiv.org/pdf/2304.10256> (дата обращения: 10.11.2025).

11. Руководство Keras [Электронный ресурс]. URL: <https://keras.io/api> (дата обращения: 10.11.2025).

12. Руководство TensorFlow [Электронный ресурс]. URL: <https://www.tensorflow.org/tutorials> (дата обращения: 10.11.2025).

13. Казаков Ф. А., Шнайдер А. В. Использование нейронных сетей с временными рядами данных для анализа потоков данных [Электронный ресурс] // Современные наукоёмкие технологии. 2021. № 6-2. URL: <https://s.top-technologies.ru/pdf/2021/6-2/38731.pdf> (дата обращения: 10.11.2025).

14. Kapitanov A., Kvanchiani K., Nagaev A., Petrova E. Slovo: Russian Sign Language Dataset [Электронный ресурс]. arXiv:2305.14527. 2023. URL: <https://arxiv.org/pdf/2305.14527> (дата обращения: 10.11.2025).

© Султанов Д.Э., Фалалеев А.И., Фатхуллин А.О., 2025

УДК 004.93

А.А. МАКАРКИН, Д.Э. СУЛТАНОВ, А.И. ФАЛАЛЕЕВ
arseniy-makarkin1@mail.ru, denissultanover, jj0_0j@mail.ru

Науч. руковод. – д-р техн. наук, профессор Г.Ю. ШАХМАМЕТОВА,
канд. техн. наук, доц. Е.Ю. САЗОНОВА

Уфимский университет науки и технологий

ОБУЧЕНИЕ И ВНЕДРЕНИЕ МОДЕЛИ РАСПОЗНАВАНИЯ РУССКОГО ЖЕСТОВОГО ЯЗЫКА НА ОСНОВЕ ГЛУБОКОГО ОБУЧЕНИЯ

Аннотация: в статье описан процесс сбора, обработки и разметки видеоданных для обучения модели распознавания жестов русского жестового языка (РЖЯ), реализация веб-приложения для демонстрации работы системы в реальном времени. Авторами сформирован набор данных, который включает 2319 видеофрагментов для 15 жестов. Приведены результаты обучения модели, спроектированной в рамках проекта (статья «Проектирование и разработка архитектуры модели распознавания русского жестового языка на основе глубокого обучения»), с применением техник регуляризации, аугментации и оптимизационных стратегий, интерфейс разработанного веб-приложения, обеспечивающее распознавание жестов через веб-камеру пользователя.

Ключевые слова: русский жестовый язык, сбор и разметка данных, обучение модели, распознавание жестов, веб-приложение, глубокое обучение, MediaPipe, TensorFlow.

Введение

Автоматическое распознавание жестов РЖЯ – важное направление, направленное на преодоление коммуникационных барьеров между глухими и слышащими людьми [1]. Реализация таких систем требует использования качественных данных, разработки точных моделей и удобных инструментов взаимодействия. Данная работа является частью проекта по распознаванию жестов РЖЯ, которая выполняется группой студентов 4 курса направления «Программная инженерия» Уфимского университета науки и технологий А.А. Макаркин, Д. Э. Султанов, А. И. Фалалеев, А. О. Фатхуллин. Результаты по проектированию и разработке архитектуры модели распознавания РЖЯ на основе глубокого обучения, представлены в секции «Анализ данных, искусственный интеллект и машинное обучение» XIX Всероссийская молодёжная научная конференция «Мавлютовские чтения».

В настоящей статье рассматривается практическая реализация системы: сбор и разметка видеоданных, обучение модели и разработка веб-приложения для демонстрации распознавания жестов в реальном времени.

Сбор и подготовка набора данных

Разработаны методические указания по записи видео (освещение, положение камеры, фон). Набор данных был собран с участием преподавателей «Уфимской коррекционной школы-интерната для глухих обучающихся», студентов и преподавателей «Уфимского медицинского колледжа». Всего в сборе данных участвовало 31 человек, каждый участник был записан 5 раз длительностью видео 40-50 секунд; в каждом ролике демонстрировалась последовательность из 15 целевых классов жестов.

Обработка и разметка данных

Первичная обработка выполняется в редакторе CapCut [2]. Каждое исходное видео, содержащее 15 жестов, сегментировалось на отдельные фрагменты по границам жеста: нейтральная поза → выполнение жеста → нейтральная поза. Средняя длительность фрагмента составила ~2 секунды. Полученные файлы конвертировались из формата HEVC в MP4 (782×1390, 30 FPS) при помощи iMazing Converter и вручную проверялись на корректность исполнения жеста перед распределением по папкам классов. Пример разметки изображен на рисунке 1.

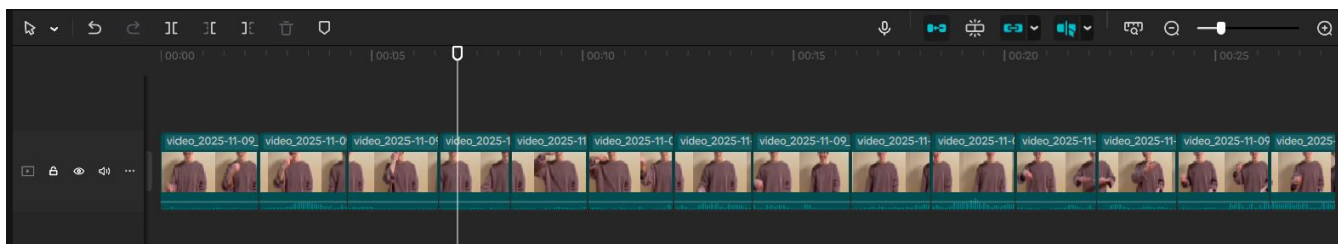


Рис. 1. Ручная разметка видео

Формирование итогового набора данных

В результате обработки видеоматериалов было получено 2502 жестовых фрагментов: 743 фрагмента из 52 видео, записанных в коррекционной школе-интернате, 1462 фрагмента из 102 видео от медицинского колледжа и 297 дополнительно валидированных примеров из открытого набора данных Slovo [3]. После проверки качества 183 фрагмента, соответствующих жестам «знать», «не», «хороший» и «я», были исключены из-за несоответствия эталонному исполнению РЖЯ.

Итоговый набор данных включает 15 классов жестов: «благодарность», «видеть», «говорить», «да», «знать», «идти», «не», «плохой», «пока», «помочь», «привет», «спросить», «хороший», «хотеть», «я», и содержит 2319 жестовых фрагментов. Данные разделены на Train (87.9%), Validation (6.05%) и Test (6.05%), пересечений в подвыборках нет. Пример данных изображен на рисунке 2.

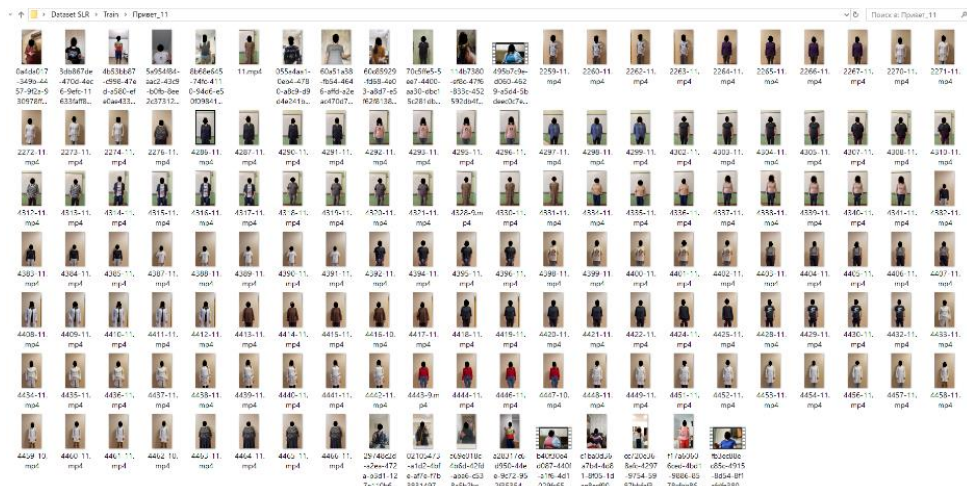


Рис. 2. Train-данные жеста «привет»

Обучение модели

Модель, разработанная в рамках проекта, обучалась на подготовленном наборе данных из 2319 фрагментов. Распределение видеофрагментов по классам жестов РЖЯ изображено на рисунке 3.

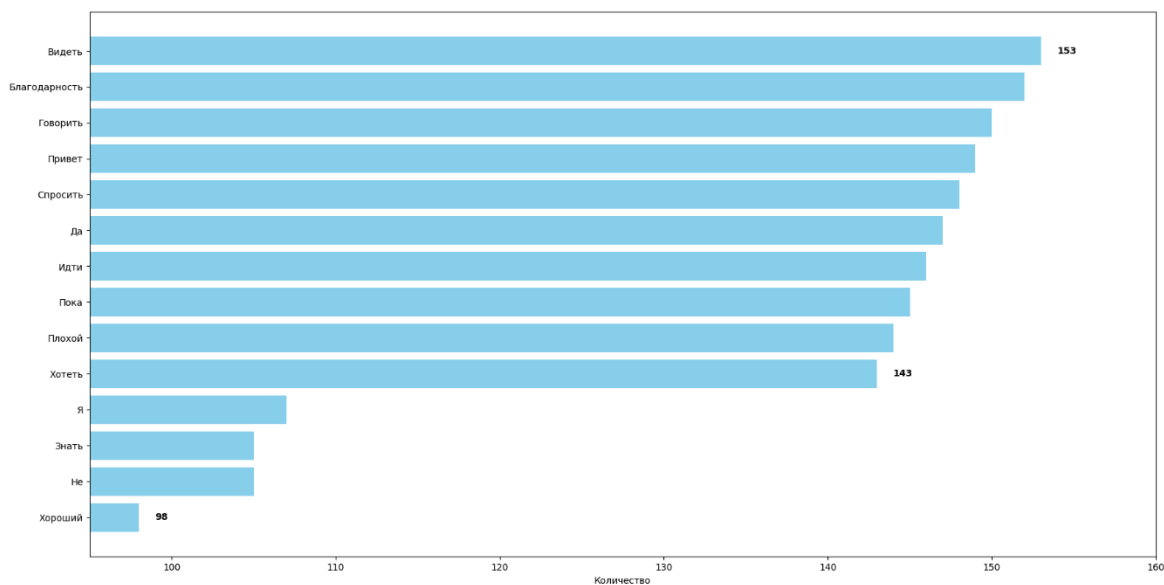


Рис. 3. Распределение Train-данных по классам

На рисунке 4 указаны метрики модели по классам.

Модель достигла следующие значения метрик на валидационной выборке:

- Accuracy (доля правильно распознанных жестов среди всех примеров) – 89%.
- Precision (точность предсказаний: насколько редко модель ошибается, выбирая конкретный жест) – 90%.
- Recall (полнота: насколько хорошо модель находит все примеры заданного жеста) – 88%.

— F1-score (среднее гармоническое между точностью и полнотой) – 88%.

Таким образом, жесты распознаются с точностью выше 89%. Основные источники ошибок: схожесть траекторий жестов, вариативность исполнения, недостаток примеров для отдельных классов. Обучение завершилось на 44-й эпохе благодаря критерию остановки EarlyStopping.

```
Classification Report:
      precision    recall  f1-score   support

Благодарность_1      0.91      1.00      0.95        10
  Видеть_2           0.83      1.00      0.91        10
  Говорить_3        0.91      1.00      0.95        10
    Да_4            1.00      0.50      0.67        10
    Знать_5         0.91      1.00      0.95        10
    Идти_6          0.91      1.00      0.95        10
    Не_7            1.00      0.67      0.80         9
  Плохой_8          1.00      0.90      0.95        10
    Пока_9          0.82      0.90      0.86        10
  Помочь_10         1.00      0.90      0.95        10
  Привет_11         0.82      0.90      0.86        10
  Спросить_12       0.73      1.00      0.85        11
  Хороший_13        1.00      0.70      0.82        10
  Хотеть_14         0.91      1.00      0.95        10
    Я_15            0.80      0.80      0.80        10

accuarcy              0.89       150
macro avg            0.90      0.88      0.88       150
weighted avg        0.90      0.89      0.88       150
```

Рис. 4. Метрики модели по классам

Веб-приложение

Авторами разработано веб-приложение для демонстрации работы модели. Backend (FastAPI, Python) обеспечивает REST API для распознавания в реальном времени с низкой задержкой [4]. Frontend (Next.js 14) предоставляет интерфейс с видеопотоком и панелью управления [5]. Клиент захватывает кадры, накапливает пакеты из 30 кадров и отправляет на сервер. Приложение развернуто на VPS с HTTPS (<https://jj0u0j.ru/>). На рисунках 5-6 изображено взаимодействие пользователя с веб-приложением.



Рис. 5. Пользователь показывает жест «благодарность»

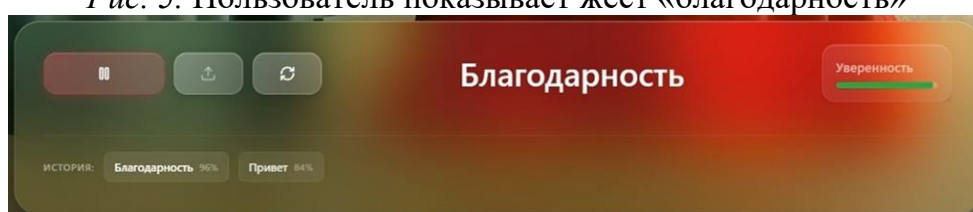


Рис. 6. Система идентифицировала и визуализировала предполагаемый жест

Заключение

В рамках проекта собран набор данных РЖЯ из 2319 видеосекций, включающий 15 классов жестов, записанных с участием 31 добровольцев. Проведено обучение модели, достигнута точность 89% на валидационной выборке, разработано веб-приложение для демонстрации работы системы в реальном времени.

В дальнейшем планируется расширение набора данных, внедрение трансформерных архитектур и оптимизация модели для мобильных устройств.

Исследование выполнено в рамках совместного учебного проекта студентами 4 курса направления «Программная инженерия» Уфимского университета науки и технологий А.А. Макаркин, Д. Э. Султанов, А. И. Фалалеев, А. О. Фатхуллин.

Библиографический список

1. Волошинов Д. В., Зюриков М. А. Актуальные проблемы социальной адаптации людей с нарушенным слухом и их решение посредством информационных технологий [Электронный ресурс] // Вестник Санкт-Петербургского университета телекоммуникаций. 2025. № 2. URL: <https://www.vestnik-sut.ru/2025-2/C04.pdf> (дата обращения: 10.11.2025).

2. Руководство для начинающих CapCut [Электронный ресурс]. URL: <https://www.capcut.com/resource/capcut-tutorial-for-beginners> (дата обращения: 10.11.2025).

3. Kapitanov A., Kvanchiani K., Nagaev A., Petrova E. Slovo: Russian Sign Language Dataset [Электронный ресурс]. arXiv:2305.14527. 2023. URL: <https://arxiv.org/pdf/2305.14527> (дата обращения: 10.11.2025).

4. Руководство FastAPI [Электронный ресурс]. URL: <https://fastapi.tiangolo.com> (дата обращения: 10.11.2025).

5. Руководство Next.js [Электронный ресурс]. URL: <https://nextjs.org/docs> (дата обращения: 10.11.2025).

© Макаркин А.А., Султанов Д.Э., Фалалеев А.И., 2025

В.И. ХАБИРОВ

didager@yandex.ru

Науч. руковод. – д.т.н. доцент, О.Н. СМЕТАНИНА

Уфимский университет науки и технологий

МЕТОДЫ АНАЛИЗА ДАННЫХ И ОБУЧЕНИЯ ЯЗЫКОВЫХ МОДЕЛЕЙ В ЗАДАЧАХ СЕМАНТИЧЕСКОГО ПОИСКА

Аннотация: в статье рассматриваются современные методы семантического поиска, включая языковые модели, такие как BERT, и векторные методы Word2Vec, а также проводится их сравнительный анализ. Результаты показывают, что модели типа BERT обеспечивают лучшую полноту поиска по сравнению с традиционными векторными методами.

Ключевые слова: семантический поиск, языковые модели, трансформеры, контекстный анализ, обработка естественного языка, BERT, Word2Vec

Введение

Интенсивное развитие цифровой инфраструктуры приводит к накоплению значительных массивов неструктурированных данных – документов, сообщений, технических документаций и другой текстовой информации. Особую сложность представляет организация эффективного поиска по таким данным. Издание CNews провело исследование на тему влияния больших данных на российский бизнес в феврале 2025 года, которое показало ежегодный рост данных до 30% в различных сферах и большинство бизнесов видит благоприятный результат по интеграции данных в собственные продукты [1]. Перед ИТ-специалистами встает серьезная проблема по обеспечению быстрого и точного поиска по постоянно растущим объемам текстовых данных.

Традиционные методы, такие как полнотекстовый поиск, часто оказываются недостаточно эффективными, так как не учитывают смысловую нагрузку, а время обработки экспоненциально возрастает с увеличением объемов данных [2]. Это создает потребность внедрения более совершенных технологий – семантического поиска, который анализирует не только ключевые слова, но и контекст, намерения пользователя и смысловые связи между данными, что способствует улучшению пользовательского опыта, эффективности работы [3], а также открывает новые возможности для их аналитической обработки.

Современные методы семантического поиска основываются на использовании языковых моделей (BERT, RoBERT или их мультязычных аналогах mBERT, XLM-R), векторные методы (Word2Vec, GloVe), графы

знаний (GoogleKnowledgeGraph, Wikidata) и другие, основанные на комбинировании перечисленных методов. Каждый из методов содержит свои достоинства и недостатки, а также назначение, при котором оно может использоваться более эффективно.

Вопросам семантического поиска посвятили свои работы многие специалисты. Шалагин Н.Д., в своей работе «Обзор алгоритмов семантического поиска по текстовым документам» показаны основные методы поиска и метрики оценки качества различных методов [4]. Шаблия В. О., Коноваленко С. А., Орлов Е. О., Галямин Н. А. в работе «Методы семантического анализа на основе моделей машинного обучения с использованием искусственных нейронных сетей» провели анализ различных методов семантического анализа текстов на сопоставление текстов уязвимостей автоматизированных систем и угроз из Банка данных угроз ФСТЭК, провели сравнительный анализ косинусовых сходств и времени выполнения каждого из представленных методов [5].

Несмотря на большой объем исследований, открытыми остаются вопросы о сравнении методов на более объемной выборке данных, так как это сильно влияет на точность предложенного метода.

В статье рассматриваются современные методы семантического поиска, проводится их сравнительный анализ по набору метрик.

Современное состояние проблемы семантического поиска

До широкого распространения языковых моделей основным подходом к представлению текста в задачах семантического поиска были векторные методы, в которых каждое слово кодировалось в виде плотного вектора фиксированной размерности. Эти векторы отражают семантические связи между словами и строятся на основе статистики их совместной встречаемости в корпусе. Одним из наиболее известных методов является Word2Vec, предложенный командой Google [6]. Он обучается по одной из двух схем – CBOW (предсказание текущего слова по контексту) или Skip-gram (предсказание контекста по текущему слову). Результатом обучения являются эмбединги слов, обладающие свойствами: семантически близкие слова располагаются рядом в векторном пространстве. Метриками сходства выступают косинусное сходство, которая измеряет угол между двумя векторами в пространстве и отражает степень их направленности. Такие представления нашли широкое применение в различных задачах обработки естественного языка, включая кластеризацию, классификацию и поиск.

На смену статичным эмбедингам пришли модели на основе архитектуры трансформеров, в частности BERT (англ. Bidirectional Encoder Representations from Transformers). Модель была предложена исследователями Google в 2018 году [7] и реализует принцип двунаправленного контекстного кодирования, что позволяет учитывать смысл слов в зависимости от их окружения в тексте. BERT обучается на задачах восстановления замаскированных слов и предсказания следующего предложения, благодаря чему формирует глубокие и

контекстно-зависимые представления текста. Для повышения эффективности и ускорения обработки были применены компактные модели семейства MiniLM. Эти модели были предложены исследователями Microsoft в 2020 году [8] и обучены методом дистилляции знаний от более крупных моделей (например, BERT-large). MiniLM сохраняет основные преимущества BERT, но при этом использует уменьшенное количество слоёв трансформеров, что позволяет достигать хорошего баланса между качеством поиска и производительностью, особенно в условиях ограниченных вычислительных ресурсов.

Предполагается найти наиболее эффективное решение задачи семантического поиска, способное обеспечивать высокую точность и производительность в реальных условиях применения.

Постановка задачи сравнения методов семантического поиска

В рамках эксперимента предлагается провести сравнительный анализ методов на подготовленных заранее результатах.

Дано:

$M = \{m_1, m_2, \dots, m_k\}$ – множество методов семантического поиска

$Q = \{q_1, q_2, \dots, q_k\}$ – множество запросов

$D = \{d_1, d_2, \dots, d_k\}$ – множество текстовых документов

$R(q_i) \subseteq D$ – множество документов, релевантных запросу q_i , заданное вручную или по золотому стандарту.

Требуется найти метод, который выдает множество упорядоченных релевантных документов.

$$m_k(q_i) \rightarrow \{d_{i1}, d_{i2}, \dots, d_{in}\}, \text{ где } d_{ij} \in D$$

Цель эксперимента является нахождение метода $m^* \in M$, обеспечивающего наилучшие значения выбранных метрик качества по совокупности всех запросов из Q .

$$m^* = \arg \max_{m_k \in M} L(m_k)$$

где:

$L(m_k)$ – агрегированная функция качества метода m_k , вычисляемая на основе следующих метрик:

Recall – полнота результата, критерий показывает насколько модель находит все релевантные результаты для запроса;

$$\text{Recall}(q_i, m_k) = \frac{|R(q_i) \cap m_k(q_i)|}{|R(q_i)|}$$

MRR – средний обратный ранг, измеряет насколько быстро метод находит релевантный документ;

$$\text{MRR}(m_k) = \frac{1}{|Q|} \sum_{i=1}^{|Q|} \frac{1}{\text{rank}_{i,k}}$$

где:

$rank_{i,k}$ – позиция первого релевантного документа в списке, возвращенным методом m_k по запросу q_i

Итоговый выбор метода может основываться на агрегированной метрике, которая учитывает компромисс между полнотой и ранжированием.

$$Q(m_k) = \alpha \times Recall(m_k) + \beta \times MRR(m_k)$$

где:

α, β – весовые коэффициенты в зависимости от приоритетов системы.

Для сравнения были выбраны как классические, так и современные методы семантического поиска, отличающиеся подходами к построению текстовых представлений и способами поиска релевантных документов. В качестве базового векторного метода был выбран Word2Vec, но для полноценной работы с большим количеством документов и эффективного поиска векторов, была реализована модифицированная схема Word2Vec + FAISS. В качестве сравнения были выбраны модели семейства MiniLM, предоставляющие высокую точность поиска, версии с шестью и двенадцатью слоями трансформера.

Проведение эксперимента

Для оценки методов семантического поиска был выбран большой набор данных MSMARCO, который содержит документы, запросы и ожидаемые релевантные результаты для этих запросов. В тестовой выборке случайным образом было выбрано 10 000 запросов с наличием ожидаемых результатов для поиска среди 890 396 документов. Предварительная подготовка данных включала загрузку и подготовку текстовых корпусов в формате списков с идентификаторами и текстовым содержанием, а также её трансформацию в эмбединги с помощью предобученной модели. В случае векторных методов была выполнена обработка текстов в слова и предварительная токенизация для оптимизации скорости поиска. Для трансформерных моделей была использована библиотека transformers в связке с SentenceTransformer, а в качестве моделей – paraphrase-MiniLM-L6-v2 и paraphrase-MiniLM-L12-v2. Среднее время преобразования всех документов в эмбединги составило около 22 минут. Для векторных методов использовалась библиотека gensim и модель Word2Vec. Тексты были токенизированы и приведены к спискам слов, после чего для каждого документа вычислялось среднее значение векторов слов, входящих в него.

Все вычисления производились на компьютере с 8-ми ядерным процессором Ryzen 7 5800x3D, оперативной памятью 32ГБ, видеокартой NVIDIA Geforce RTX 3080 12 ГБ. Результаты проведенного эксперимента представлены в табл. 1.

Таблица 1

Результаты анализа методов

| | Recall@10 | MRR@10 | Recall@100 | MRR@100 | Среднее время выполнения поиска |
|------------------|-----------|--------|------------|---------|---------------------------------|
| Языковые модели | | | | | |
| MiniLM-L12-v2 | 0.7925 | 0.6873 | 0.9492 | 0.5817 | 0.0249 сек |
| MiniLM-L6-v2 | 0.7636 | 0.6694 | 0.9369 | 0.5521 | 0.0231сек |
| Векторные методы | | | | | |
| Word2Vec | 0.0916 | 0.3557 | 0.1662 | 0.2946 | 0.1375сек |
| Word2Vec + FAISS | 0.1005 | 0.5331 | 0.1898 | 0.3011 | 0.0014 сек |

Интерпретация результатов эксперимента

Трансформерные модели MiniLM показали исключительную эффективность. Полнота на уровне Recall@10 = 0.78 указывает на то, что в 78% случаев все релевантные документы находятся в первой десятке результатов. А при полноте Recall@100, модель достигает значения 0.94.

Традиционные методы на основе Word2Vec, даже с применением оптимизации FAISS, показывают значительно скромные результаты точности - всего около 0.09 полноты. Однако благодаря применению FAISS удаётся сильно сократить время обработки запроса – в среднем до 1.4 миллисекунд, что почти в 10 раз быстрее, чем у моделей MiniLM.

Подводя итог, можно обозначить, что модели на базе трансформеров уверенно лидируют как по полноте, так и по скорости, особенно в задачах с требованием высокой точности на первых позициях списка результатов.

Примеры областей применения

Данные модели можно использовать в задачах анализа актуальности тем патентов и публикаций, где при помощи модели можно найти семантически связанные документы и при наличии метаданных дат публикаций выстроить график хронологии актуальности указанной темы. Трансформерные модели, которые анализируют контекст, справляются с такой задачей значительно лучше, чем модели, основанные на статичных векторах слов.

Заключение

В данной работе проведен сравнительный анализ современных методов семантического поиска, включая языковые модели MiniLM и векторные подходы Word2Vec. Результаты эксперимента на выборке MSMARCO показали, что трансформерные модели значительно превосходят традиционные методы по точности и скорости обработки запросов. Это связано с их способностью учитывать контекст и семантические связи.

Дальнейшие исследования могут быть направлены на улучшение эффективности компактных моделей и их адаптацию для узкоспециализированных задач.

Библиографический список

1. 30% российских компаний планируют увеличить инвестиции в развитие big data проектов // CNews URL: https://corp.cnews.ru/news/line/2025-02-05_30_rossijskih_kompanij_planiuyut (дата обращения: 21.04.2025)

2. Кульфединов Р. М. Сравнительный анализ современных методов автоматической обработки текстовых данных // Актуальные исследования. 2025. №15 (250). Ч.II. С. 33-38. URL: <https://apni.ru/article/11744-sravnitelnyj-analiz-sovremennyh-metodov-avtomaticheskoy-obrabotki-tekstovyh-dannyh>
<https://elbrusboot.camp/blog/big-data-osnovnyie-poniatiia/>

3. AI in Semantic Search: Enhancing Search Relevance and User Experience // Search/Atlas URL: <https://searchatlas.com/blog/ai-semantic-search-applications-benefits-trends> (дата обращения: 19.04.2025)

4. Н Д. Шалагин Обзор алгоритмов семантического поиска по текстовым документам // International Journal of Open Information Technologies. 2024. №9. URL: <https://cyberleninka.ru/article/n/obzor-algoritmov-semanticheskogo-poiska-po-tekstovym-dokumentam> (дата обращения: 24.04.2025)

5. Шабля В. О., Коноваленко С. А., Орлов Е. О., Галямин Н. А. МЕТОДЫ СЕМАНТИЧЕСКОГО АНАЛИЗА НА ОСНОВЕ МОДЕЛЕЙ МАШИННОГО ОБУЧЕНИЯ С ИСПОЛЬЗОВАНИЕМ ИСКУССТВЕННЫХ НЕЙРОННЫХ СЕТЕЙ // НИР/S&R. 2025. №1 (21). URL: <https://cyberleninka.ru/article/n/metody-semanticheskogo-analiza-na-osnove-modeley-mashinnogo-obucheniya-s-ispolzovaniem-iskusstvennyh-neyronnyh-setey> (дата обращения: 24.04.2025)

6. Mikolov T., Sutskever I., Chen K., Corrado G. S., Dean J. Distributed Representations of Words and Phrases and their Compositionality // arXiv.org. – 2013. – arXiv:1310.4546 [cs.CL]. – URL: <https://arxiv.org/abs/1310.4546> (дата обращения: 26.04.2025)

7. Devlin J., Chang M.-W., Lee K., Toutanova K. BERT: Pre-training of Deep Bidirectional Transformers for Language Understanding // Proceedings of the 2019 Conference of the North American Chapter of the Association for Computational Linguistics: Human Language Technologies. - 2019. - Vol. 1. - P. 4171-4186. - URL: <https://aclanthology.org/N19-1423.pdf> (дата обращения: 19.04.2025)

8. Microsoft Research. MiniLM: Deep Self-Attention Distillation for Task-Agnostic Compression of Pre-Trained Transformers [Электронный ресурс] // GitHub. – 2020. – URL: <https://github.com/microsoft/unilm/tree/master/minilm> (дата обращения: 19.04.2025)

© Хабиров В.И., 2025

А.Ф. ШАЙМАРДАНОВ

aigiz2001@list.ru

Науч. руковод. – канд. техн. наук, доц. Е.Ю. САЗОНОВА

Уфимский университет науки и технологий

ФАКТОРЫ ВОЗНИКНОВЕНИЯ ДОРОЖНО-ТРАНСПОРТНЫХ ПРОИСШЕСТВИЙ И ИХ ВЛИЯНИЕ НА ВЕРОЯТНОСТЬ ПРОИСШЕСТВИЯ

Аннотация: в статье рассмотрены ключевые факторы, влияющие на вероятность дорожно-транспортных происшествий (ДТП). Проведена классификация причин на основе отечественных статистических и научных источников. Особое внимание уделено человеческому фактору, техническому состоянию транспортных средств, инфраструктуре дорожной сети, а также внешним условиям.

Ключевые слова: безопасность дорожного движения, дорожно-транспортное происшествие, факторы риска, статистика ДТП, предотвращение аварийных ситуаций, автомобильные катастрофы, причины возникновения ДТП, данные о дорожной аварийности, предупреждение дорожных инцидентов.

Введение

Аварии на дорогах остаются одной из серьёзных проблем современности. По этой причине каждый год тысячи людей гибнут или получают травмы в таких происшествиях, что негативно сказывается на социальной и экономической жизни. Изучение причин, приводящих к авариям, играет ключевую роль в улучшении безопасности на дорогах, и с ростом количества автомобилей и повышением интенсивности движения исследование факторов ДТП становится всё более актуальным.

Целью данного исследования является выявление и анализ факторов, влияющих на вероятность возникновения ДТП, с целью разработки рекомендаций по снижению их частоты, и для достижения поставленной цели необходимо решить следующие задачи: изучить влияние человеческого фактора, состояния дорожной инфраструктуры, технического состояния транспортных средств и погодных условий на аварийность; проанализировать влияние образовательных программ и законодательства на безопасность дорожного движения; предложить меры по минимизации риска ДТП.

Значение ментального и психологического состояния водителя для безопасности дорожного движения

Многочисленные исследования подтверждают, что эмоциональная устойчивость человека за рулем является определяющим фактором

безаварийной езды, а когда водитель испытывает гнев, страх или сильное волнение, это сильно сказывается на его способности адекватно воспринимать дорожную обстановку. Согласно сделанным экспертами выводам, в таком состоянии вероятность совершения опасных маневров возрастает почти на треть, поэтому чаще всего это проявляется в неверной оценке расстояния до других автомобилей, несвоевременном реагировании на изменение ситуации и других нарушениях, повлекших к неизбежной аварии.

Современные требования к водителям значительно ужесточились, что особенно заметно в условиях интенсивного городского движения и увеличения доступности транспортных средств, и как отмечают специалисты в области транспортной психологии, сегодня недостаточно просто владеть техническими навыками вождения, но еще и необходимо развивать особые психологические качества. Научные работы демонстрируют тревожную статистику, которая показывает, что значительная часть дорожных происшествий происходит из-за того, что водитель на несколько секунд отвлекся от управления автомобилем или вовсе глубоко задумался и забыл, что находится в дорожном потоке. Стоит отметить, что в большинстве случаев это связано с использованием современных гаджетов, в особенности звонки или переписки в телефоне.

Влияние физического и психического здоровья на качество вождения

Физическое самочувствие человека за рулем не менее важно для безопасности, чем его эмоциональное состояние, и наличие хронических заболеваний создает потенциальную угрозу как для самого водителя, так и для других участников движения. Медицинская статистика показывает, что обострения сердечно-сосудистых патологий или резкие изменения уровня сахара в крови во время управления движением у диабетиков часто становятся причиной потери контроля над транспортным средством. Также не стоит забывать, что одной из причин аварии является алкогольное опьянение, сильно затуманивающее разум водителя, уверенного в своих навыках вождения и посчитав свое состояние удовлетворительным.

Особого внимания заслуживает проблема усталости за рулем, например многочасовое непрерывное вождение приводит к замедлению реакции, снижению концентрации внимания и другим опасным изменениям в организме. Международные исследования подтверждают, что это один из наиболее распространенных факторов, способствующих возникновению аварийных ситуаций. Так, например, водителям дальнобойных грузовых средств запрещается находиться за рулем больше 12-ти часов.

Не менее серьезную проблему представляют психические расстройства у водителей. Депрессивные состояния, повышенная тревожность и другие нарушения психического здоровья существенно влияют на способность человека адекватно реагировать на дорожную обстановку. Клинические наблюдения показывают, что такие водители чаще попадают в сложные ситуации, хуже справляются с нестандартными дорожными условиями и

допускают больше ошибок при принятии решений, так чаще всего не следят за дорожной обстановкой, находясь, по сути, в «задумчивости» и «в своих мыслях». Наиболее опасными можно считать людей, которые давно находились в апатии или были доведены до предела и во время движения решившие «все закончить», при этом могут быть способны погубить не только себя, но и окружающих.

Таким образом выше сказанное убедительно свидетельствуют о необходимости комплексного подхода к обеспечению безопасности дорожного движения, который должен учитывать, как физическое, так и психическое состояние водителей, ведь именно от них зависит безопасность на дороге. Современные системы подготовки водителей и медицинского контроля требуют существенной доработки с учетом выявленных закономерностей. Особое значение приобретает разработка эффективных методов профилактики и своевременного выявления потенциально опасных состояний у лиц, управляющих транспортными средствами еще на этапе медицинского осмотра и освидетельствования, но стоит упомянуть людей, имеющих большой «стаж» в вождении, то есть с возрастом людям свойственно терять внимательность и концентрацию, а также зрение. Такие вещи также стоят особого внимания, нужно учитывать это при продлении водительских прав.

Качество дорожного покрытия и его влияние на ДТП

К большому сожалению, эта тема стала наиболее болезненной среди населения, несмотря на то что многие другие факторы ДТП тоже имеют свое влияние на безопасность. Состояние дорожного покрытия напрямую связано с уровнем аварийности, а конкретно дефекты полотна – выбоины, трещины и неровности – повышают риск возникновения ДТП. По данным Всемирной организации здравоохранения (ВОЗ), неудовлетворительное качество дорог увеличивает вероятность аварий примерно на 30%, что немало. Изношенное покрытие ухудшает сцепление шин с дорогой, также удлиняет тормозной путь и может спровоцировать потерю контроля над автомобилем, особенно в дождь или гололёд. Согласно исследованиям, около 30% аварий происходят при неблагоприятных погодных условиях (дожди, туман, гололёд и т.д.), и так, например, в России в 2020 году плохое состояние дорог стало причиной 15% ДТП. Для снижения аварийности требуется немало действий для решения проблемы: модернизация дорожного покрытия с применением долговечных материалов, систематический мониторинг состояния дорог, учёт климатических особенностей при проектировании. Повышение эффективности финансирования и строгий контроль за выполнением дорожных работ позволят значительно улучшить безопасность движения. Однако, прежде чем приступать к вышеописанным действиям, стоит отметить, что дорожное покрытие во многих частях нашей страны остается нетронутой уже большое время, а постоянное движение по ним (особенно грузовых фур) наносит ущерб этим дорогам, в особенности это относится к появлению колеи и ям.

Организация дорожного движения и знаковое оформление

Организация дорожного движения критически важна для безопасности на дорогах, и правильные перекрестки и современные технологии управления движением могут снизить количество аварий на 30%, уменьшая конфликтные ситуации между участниками. Безопасность дорожного движения — важная государственная задача, так как ДТП являются основной причиной смертей россиян младше 25 лет, которые в силу своей неопытности либо слишком невнимательны и спешат, либо пугаются большого движения и ввиду волнения совершают ошибки. Дорожные знаки и разметка информируют участников о правилах и предупреждают об опасностях, упорядочивая транспортные потоки, что и является их основной целью. Недостатки в этих элементах увеличивают вероятность аварий: в 2020 году 12% ДТП в России были связаны с их недостатками, что должно побудить лиц, отвечающих за это, всерьез пересмотреть все дорожные движения и приставленные к ним разметки, знаки.

Роль светофоров и пешеходных переходов

С детства учат, что на красный нужно стоять, а на зеленый идти, однако также просят при движении по-прежнему сохранять бдительность и осматриваться по сторонам. Так, светофоры являются важной составляющей дорожной инфраструктуры, играя ключевую роль в регулировании транспортных потоков и обеспечении безопасности участников движения, и их основная функция заключается в координации движения на перекрестках, что позволяет минимизировать вероятность столкновений между транспортными средствами и пешеходами. Установка светофоров на перекрестках может снизить количество дорожно-транспортных происшествий на 30–40%, как указывает ВОЗ, а это достигается благодаря четкому распределению приоритетов на дороге и предотвращению конфликтных ситуаций между участниками движения, что подчеркивает необходимость внедрения эффективных систем регулирования дорожного движения, таких как светофоры, для повышения безопасности на дорогах.

Влияние технического состояния на вероятность ДТП

Техническое состояние транспортного средства критично для безопасности дорожного движения, в особенности если средство уже давно находится в эксплуатации. Неисправности, такие как проблемы с тормозами, рулевым управлением, шинами и освещением, увеличивают риск аварий, так, например, неисправные тормоза могут помешать своевременной остановке, что опасно в интенсивном движении. По данным NHTSA, в 2020 году около 2% ДТП были вызваны техническими неисправностями, а исследование в Германии показало, что неисправности рулевого управления стали причиной 5% аварий на автобанах в 2019 году, что подчеркивает важность регулярного технического обслуживания, которое может снизить вероятность ДТП и повысить стандарты контроля за используемыми транспортными средствами, особенно устаревшими.

Влияние осадков и видимости на ДТП

Неблагоприятные погодные условия создают серьезные риски для участников дорожного движения, и такие условия как дождь, снег и гололедица уменьшают коэффициент сцепления шин с дорожным покрытием, что приводит к удлинению тормозного пути, а также к ухудшению контроля над управляемым транспортным средством. Согласно статистике ВОЗ, примерно каждый пятый дорожно-транспортный случай, а это приблизительно 22%, происходит во время осадков или других атмосферных явлений, где наиболее особую опасность представляет движение на повышенной скорости в таких условиях, что предсказуемо повышает вероятность потери управления и заноса. Стоит отметить, что дополнительным фактором риска становится снижение видимости во время сильного дождя, снегопада или тумана, из-за чего водители могут поздно заметить препятствие. Исследования показывают, что в условиях ограниченной видимости вероятность ДТП увеличивается на 30%, что убедительно демонстрирует, что атмосферные осадки и связанное с ними ухудшение видимости являются значимыми факторами, влияющими на уровень аварийности. Снижение скорости, повышенная внимательность и включение световых огней в непогоду могут существенно уменьшить риски возникновения дорожных происшествий, что делает безопасным дорогу для всех участников.

Также стоит упомянуть, что современные автомобильные технологии, включая системы стабилизации и антиблокировочные тормоза, лишь частично компенсируют эти риски. Анализ аварий показывает, что водители часто недооценивают опасность изменения дорожных условий при ухудшении погоды, что, к сожалению, подтверждается стабильно высоким процентом аварий в дождливые и снежные дни по сравнению с ясной погодой. Особое внимание следует уделять обучению водителей правилам поведения в сложных метеорологических условиях и своевременному информированию об дорожной обстановке, что предотвратит осложнения в будущем.

Заключение

Результаты исследования позволили определить основные причины дорожной аварийности. В числе наиболее значимых факторов были выделены: ментальное и психологическое состояние водителей, качество дорожного покрытия, техническая исправность автомобилей и погодные условия. Системный анализ этих компонентов дал возможность не только установить первопричины ДТП, но и сформировать стратегические направления для профилактики аварий, а также разработать рекомендательные действия для повышения общей безопасности на дороге, ведь от этого зависят жизни не только водителей, но и пешеходов.

Хотелось бы отметить, что материалы исследования представляют ценность для нормотворческой деятельности, направленной на создание более безопасной дорожной среды. Реализация предложенных мер требует

взаимодействия между заинтересованными лицами и может стать основой для комплексной программы по снижению аварийности в стране.

Библиографический список

1. Гуляев М.В., Гусельников М.Э., Мамадалиева М.Н., Сечин А.И., Сечин А.А., Романцов И.И., Авдеева И.И. Определение вероятности аварии автомобиля на установленном маршруте // XIV Международная научно-техническая конференция «Современные проблемы машиностроения». — Томск, 2021. — С. 257–258.

2. Денисов И.В. Разработка методики управления техническим состоянием систем автомобиля, влияющих на безопасность движения: автореферат диссертации на соискание ученой степени кандидата технических наук. — Владимир, 2011. — 2 с.

3. Джурко И.А., Печатнова Е.В., Кузнецов В.Н. Взаимосвязь погоды и количества ДТП по сезонам года // Техника и технология транспорта. — 2022. — № 2 (25). — С. 9. — URL: <http://transport-kgasu.ru/files/N25-09BDD222.pdf>.

4. Жегера Е. В. Исследование влияния громкой музыки, звучащей в автомобиле, на ориентацию водителя в пространстве [Электронный ресурс]: ИНФОУРОК. — 2014. — Режим доступа: <https://infourok.ru/material.html?mid=105400>. — Дата доступа: 12.10.2020

5. Клековкин В.А., Николаев Д.В. Прикладная статистика. Анализ ДТП г. Юрга за период 2009-2013 гг. // Юргинский технологический институт (филиал) Национального исследовательского Томского политехнического университета. — [Электронный ресурс]. — URL: klekovkin.91@mail.ru; nik.name.dima@yandex.ru.

6. Летошнев О.В., Сысоева С.А. Научный старт: материалы Межрегиональной научно-практической конференции обучающихся профессиональных образовательных организаций, 22 апреля 2021 г. / сост. О.В. Летошнев, С.А. Сысоева. — Пермь, 2021. — 113 с.

7. Макаревич С.А., Винник М.Е. Человеческий фактор в дорожном движении // [б. и.]. — [б. м.], [б. г.]. — [б. с.].

8. Николаева Р.В. Влияние человеческого фактора на безопасность дорожного движения // Техника и технология транспорта: научный Интернет-журнал. — 2018. — № 2 (7). — С. 10. [Электронный ресурс]. — URL: <http://transport-kgasu.ru/files/N7-10BDD218.pdf>.

9. Посметьев В. И., Кадырметов А. М., Макаренко А. В. Методика оценки эффективности автомобильного парка по показателям надежности его функционирования // Мир транспорта и технологических машин. — 2012. — № 2(37). — С. 3.

10. Сборник материалов муниципальной конференции «Инновационные формы работы по профилактике детского дорожно-транспортного травматизма» / МБУ ДО «ЦДО «Одаренность». — Старый Оскол: МБУ ДО «ЦДО «Одаренность», 2020. — 578 с.

11. Чан Н. К. Влияние различных факторов на безопасность автомобильных перевозок // [б. и.]. — [б. м.], [б. г.]. — [б. с.].

12. Чуклин Р. Е., Ивашев М. Н. Влияние кофейной кислоты на сердечный ритм // Клиническая фармакология и терапия. – 2010. – № 6. – С. 71-72.

© Шаймарданов А.Ф., 2025

УДК 004.8

А.Г. ШАРИПОВ

azamatfootball1003@gmail.com

Науч. руковод. – канд. техн. наук, доц. Е.Ю. САЗОНОВА

Уфимский университет науки и технологий

ПРОГРАММНОЕ ОБЕСПЕЧЕНИЕ ДЛЯ АНАЛИЗА И ВИЗУАЛИЗАЦИИ ДАННЫХ О ПОЖАРАХ

Аннотация: в статье рассматривается задача анализа и визуализации данных о природных пожарах с использованием методов машинного обучения и геоинформационных технологий. Автором разработано специализированное программное обеспечение, позволяющее выявлять закономерности возникновения пожаров, определять зоны риска, формировать интерактивные отчеты с географической привязкой. Приведены основные этапы проектирования системы, включая загрузку и предобработку данных, интеграцию метеорологических параметров, кластеризацию, обучение модели классификации и генерацию визуализаций. Реализованное решение позволяет проводить пространственно-временной анализ данных и может использоваться в органах МЧС России для мониторинга пожарной обстановки.

Ключевые слова: пожары; анализ данных; машинное обучение; визуализация; кластеризация; геоинформационные системы; анализ пожаров.

Введение

Проблема природных пожаров становится все более значимой в современных условиях, когда антропогенное воздействие и изменения климата способствуют увеличению частоты и интенсивности возгораний. Пожары наносят значительный ущерб экосистемам, экономике и безопасности населения. Для эффективной борьбы с ними необходимо не только оперативное обнаружение возгораний, но и глубокий анализ накопленных данных, выявление закономерностей и прогнозирование зон риска.

Современные методы анализа данных позволяют обрабатывать большие объемы информации, объединяя пространственные, временные и метеорологические параметры. Это открывает возможности для создания интеллектуальных систем поддержки принятия решений в области предупреждения и ликвидации чрезвычайных ситуаций.

В работе предлагается разработать программное обеспечение для анализа и визуализации данных о пожарах на территории России с применением методов машинного обучения и кластерного анализа. Научная новизна работы заключается в разработке комплексного подхода, включающего интеграцию данных МЧС России, метеорологических данных и алгоритмов анализа для формирования аналитических отчетов и интерактивных карт.

Аналитический обзор существующих программных решений

На рынке программных продуктов, предназначенных для анализа данных о пожарах, существует ряд решений, преимущественно ориентированных на зарубежные стандарты и инфраструктуры. Среди наиболее известных можно выделить:

1. NASA FIRMS (Fire Information for Resource Management System) – система мониторинга активных очагов возгораний, основанная на спутниковых данных MODIS и VIIRS. Позволяет визуализировать тепловые аномалии и отслеживать пожары в режиме реального времени. Однако система не интегрирована с российскими источниками данных и не поддерживает отечественные форматы отчетности.

2. Global Forest Watch Fires (WRI, США) – платформа для анализа лесных пожаров, включающая визуализацию тепловых точек, статистику по странам и регионам. Основное ограничение — англоязычный интерфейс и зависимость от иностранных геосервисов.

3. Система «Вега» (Россия) – российская разработка, предназначенная для спутникового мониторинга чрезвычайных ситуаций, включая пожары. Обладает высокой точностью, но не предоставляет средств машинного анализа данных и кластеризации.

Проведенный анализ показывает, что большинство решений ориентировано на мониторинг в реальном времени, но не на аналитическую обработку и визуализацию исторических данных. Кроме того, многие зарубежные системы недоступны или ограничены для использования в России.

В связи с этим разработка отечественного программного обеспечения для анализа и визуализации данных о пожарах представляется актуальной и соответствует политике импортозамещения.

Математическое обеспечение системы анализа данных о пожарах

Математическое обеспечение системы анализа данных о пожарах включает следующие этапы:

Этап 1. Загрузка данных. На первом этапе производится загрузка данных из файлов Excel, содержащих информацию о природных пожарах (географические координаты, тип, дата и регион возгорания). Проверяются корректность значений и наличие пропусков. Используется набор данных: «Пожары в России: данные о местах и типах природных пожаров за 2012–2021 гг.», предоставленный МЧС России (АНО «ЦПУР», 2022).

Этап 2. Обогащение метеоданными. Для каждого события подгружаются метеорологические показатели (температура, влажность) с помощью библиотеки Meteostat, на основе координат (lat, lon) и даты (dt). Это позволяет учесть влияние погодных условий на вероятность возникновения пожаров.

Этап 3. Предобработка данных. Данные очищаются от пропусков, преобразуются временные метки в формат год-месяц, кодируется целевая переменная (тип пожара) с использованием LabelEncoder.

Далее производится выбор признаков: температура, влажность, координаты, год и месяц.

Этап 4. Балансировка и обучение модели. Для решения задачи классификации типов пожаров используется `RandomForestClassifier`, обучаемый на сбалансированных данных, полученных методом SMOTE. После обучения модель сохраняется в виде файла вместе с кодировщиком меток.

Этап 5. Кластеризация данных. Для пространственного анализа применяется алгоритм DBSCAN. Он позволяет выделить географические кластеры пожаров на основе их пространственной близости. Оценка качества кластеризации проводится с использованием силуэтного коэффициента.

Этап 6. Визуализация и аналитика. Создаются следующие визуализации: интерактивная карта с использованием `folium` и `MarkerCluster`; тепловая карта плотности пожаров; выпуклые оболочки (`Convex Hull`) для обозначения границ кластеров; графики распределения по типам, месяцам и регионам; корреляционная матрица признаков. Все визуализации объединяются в HTML-отчет, содержащий интерактивную карту и вкладки с аналитикой.

Основные аспекты создания программного обеспечения

Система построена на основе двухуровневой архитектуры: серверная часть отвечает за обработку данных и взаимодействие с базой данных, клиентская часть предоставляет интерфейс для взаимодействия пользователя с системой.

Для реализации системы был выбран стек технологий Python + Flask + JavaScript (Vue.js). Решение основано на архитектуре клиент–сервер. Серверная часть реализована на языке Python с использованием фреймворка Flask, обеспечивающего маршрутизацию запросов, REST API и работу с базой данных через SQLAlchemy. Дополнительно использованные библиотеки в серверной части представлены в таблице 1.

Клиентская часть была реализована с использованием Vue.js — фреймворка для создания интерфейсов. Он обладает гибкостью при проектировании интерфейсов. Для написания кода клиентской части использовался язык TypeScript, обеспечивающий статическую типизацию, что позволяет снизить вероятность ошибок и упростить поддержку проекта. Основные инструменты для разработки интерфейса показаны в таблице 2.

Таблица 1

Дополнительно используемые библиотеки в серверной части

| Название библиотеки | Цель использования |
|---------------------|---|
| Pandas | Обработка и анализ данных в формате CSV и Excel. |
| Meteostat | Получение метеорологических данных. |
| Scikit-learn | Машинное обучение (RandomForest, DBSCAN, SMOTE). |
| Folium | Визуализация геоданных и построение интерактивных карт. |
| GeoPandas | Работа с пространственными данными (GeoDataFrame). |

| | |
|----------------------|--------------------------------|
| Matplotlib / Seaborn | Построение графиков и диаграмм |
| Flask | Создание REST API |

Продолжение таблицы 1

| | |
|------------|-------------------------------|
| SQLAlchemy | Взаимодействие с базой данных |
|------------|-------------------------------|

Таблица 2

Основные инструменты разработки интерфейса

| Название | Цель использования |
|--------------|---|
| Element Plus | Готовые UI-компоненты для кнопок, таблиц и форм. |
| Router | Модуль для управления маршрутизацией между страницами приложения. |
| Pinia | Управление состоянием и обмена данными между компонентами. |
| Chart.js | Отображение статистических графиков и диаграмм. |

Решение использовать Python, Flask, Vue.js и TypeScript было продиктовано их популярностью, доступностью документации и поддержкой широких сообществ разработчиков. Такой стек технологий обеспечивает гибкость, масштабируемость и кроссплатформенность.

Интерфейс интуитивно понятен: пользователю доступна карта пожаров, вкладки с графиками и возможностью фильтрации данных по регионам, типам и периодам. Основные модули и функции программного обеспечения представлены в таблице 3.

Таблица 3

Описание функций модулей

| Название модуля | Функция модуля |
|------------------------|--|
| Модуль загрузки данных | Отвечает за импорт и первичную обработку данных о пожарах из файлов формата Excel и CSV. Реализует проверку корректности входных данных, поиск и удаление пропусков, а также приведение форматов временных и координатных полей. Поддерживает автоматическую загрузку связанных метеорологических данных с использованием библиотеки <i>Meteostat</i> , что позволяет формировать единый аналитический набор данных. |
| Модуль анализа | Выполняет предобработку, балансировку и анализ данных с применением алгоритмов машинного обучения и кластеризации. Для классификации типов пожаров используется модель <i>RandomForestClassifier</i> , а для пространственного анализа — алгоритм <i>DBSCAN</i> . Модуль вычисляет метрики качества моделей (точность, силуэтный коэффициент) и формирует статистические сводки. |
| Модуль визуализации | Предназначен для построения интерактивных карт, тепловых диаграмм и аналитических графиков. Использует библиотеки <i>Folium</i> , <i>GeoPandas</i> и <i>Matplotlib</i> для отображения пространственных данных, а также <i>Chart.js</i> для визуализации статистических распределений. Реализована возможность масштабирования, фильтрации по регионам и типам пожаров, а также отображения кластеров и зон риска. |

| | |
|-------------------|---|
| Модуль отчетности | Формирует итоговые отчеты в форматах <i>HTML</i> и <i>PDF</i> , включающие карты, графики и аналитические выводы. |
|-------------------|---|

Интерфейс разработан с учетом интуитивной понятности: поля ввода и кнопки имеют логичное расположение; результаты отображаются в наглядной форме, то есть имеют диаграммы и графики.

Разработанное программное обеспечение позволяет более эффективно анализировать и визуализировать данные о природных пожарах, предоставляя специалистам возможность выявлять закономерности, оценивать динамику возгораний и определять зоны повышенного риска. Инструмент может быть использован в аналитических подразделениях МЧС России, научно-исследовательских центрах и региональных управлениях по чрезвычайным ситуациям. На рисунке 1 представлен пример интерфейса пользователя, отображающего карту кластеров пожаров.

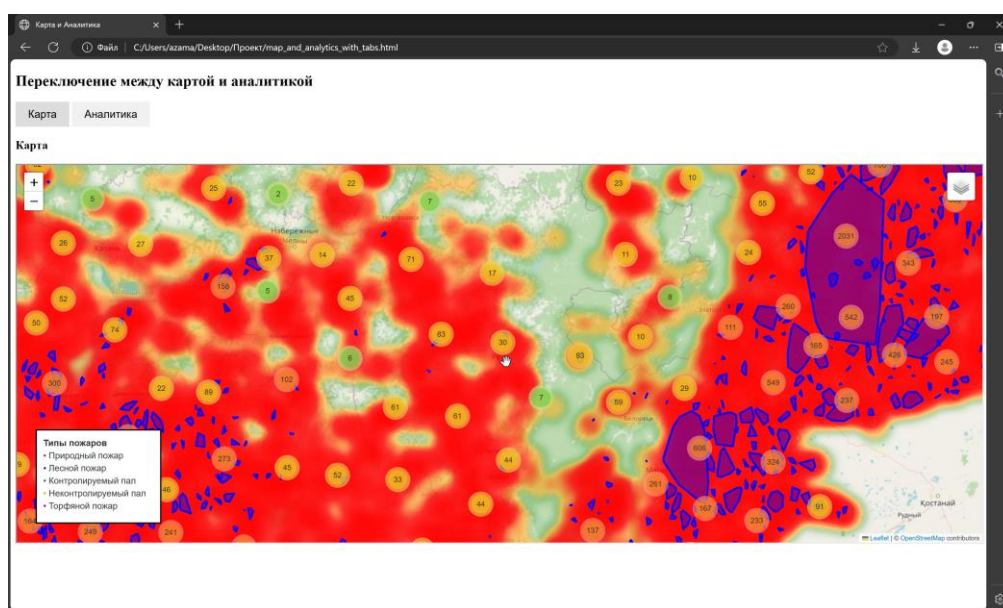


Рис. 1. Пример работы веб-приложения

Заключение

Авторами статьи разработано программное обеспечение, предназначенное для анализа и визуализации данных о природных пожарах на территории России. Система объединяет обработку пространственных и метеорологических данных, машинное обучение и геоинформационную визуализацию.

Использование алгоритмов *RandomForestClassifier* и *DBSCAN* позволило автоматизировать классификацию и кластеризацию данных, а применение инструментов *Meteostat* и *GeoPandas* обеспечило привязку данных к погодным и географическим условиям.

Разработанное решение может быть использовано в органах МЧС России, аналитических центрах и научных учреждениях для мониторинга пожарной опасности и оценки эффективности профилактических мер. Кроме того, система является примером импортонезависимого программного обеспечения,

полностью реализованного на отечественных и свободно распространяемых технологиях.

Библиографический список

1. Байдыбеков А.А., Гильванов Р.Г., Молодкин И.А. Современные фреймворки для разработки web-приложений // Интеллектуальные технологии на транспорте. — №4 (24), 2020. — URL: <https://cyberleninka.ru/article/n/sovremennye-freymvorki-dlya-razrabotki-web-prilozheniy>
2. Васильев П.А. Web-программирование на языке Python. Фреймворки Django, Flask // Наука, техника и образование. — №8 (26), 2016. — URL: <https://cyberleninka.ru/article/n/web-programmirovanie-na-yazyke-python-freymvorki-django-flask>
3. Арестов П.В. Анализ научных подходов прогнозирования возникновения и распространения пожаров на основе машинного обучения // Молодой учёный. — №16 (515), 2024. — С. 5–9. — URL: <https://moluch.ru/archive/515/112997>
4. Репин С.В., Болдыревский П.Б., Кистанова Л.А., Лахвицкий Г.Н. Математико-статистическая модель прогнозирования количества пожаров для использования в системе МЧС России // Моделирование, оптимизация и информационные технологии. — 2022; 10(2). — URL: <https://moitvivot.ru/ru/journal/pdf?id=1091>
5. Калач А.В. Анализ обстановки с пожарами и их последствиями на территории Российской Федерации // Научно-технический журнал. — 2024. — URL: <https://cyberleninka.ru/article/n/analiz-obstanovki-s-pozharami-i-ih-posledstviyami-na-territorii-rossiyskoy-federatsii>
6. Пестова Ю.В., Николайчук О.А. Картографирование пожароопасности Иркутской области с использованием метода машинного обучения Random Forest // Материалы 22-й Международной конференции «ГеосМИС 2024». — 2024. — URL: <https://conf.rse.geosmis.ru/files/books/2024/10573.htm>
7. Дан «Пожары в России: данные о местах и типах природных пожаров за 2012–2021 гг.» (МЧС России) // Набор данных. — Размещено: 31.03.2022. — URL: <https://data.rcsi.science/data-catalog/datasets/202/>
8. Соколов В.А. Современные системы управления базами данных // Экономика и социум. — №9 (40), 2017. — URL: <https://cyberleninka.ru/article/n/sovremennye-sistemy-upravleniya-bazami-dannyh>
9. Visual Studio Code. — URL: <https://code.visualstudio.com/download>

© Шарипов А.Г., 2025

Д.А. ШАХМАЕВА

dshahmaeva@yandex.ru

Науч. руковод. – канд. техн. наук, доц. Ю.И. ВАЛИАХМЕТОВА

Уфимский университет науки и технологий

ОБЗОР АЛГОРИТМОВ ДЛЯ РОБОТОВ ПЫЛЕСОСОВ И ПУТИ ИХ УЛУЧШЕНИЯ

Аннотация: современные умные пылесосы становятся неотъемлемой частью экосистемы «умного дома» благодаря их способности автоматизировать один из самых трудоемких процессов в быту — уборку помещений. Эффективность работы таких устройств напрямую зависит от алгоритмов навигации и сенсоров. В данной статье рассмотрены ключевые подходы к навигации — от примитивных моделей до алгоритмов SLAM и гибридных ИИ-решений.

Ключевые слова: умный пылесос, SLAM, навигация, сенсоры, искусственный интеллект, алгоритмы, лидарное картографирование, визуальное картографирование.

Введение:

Современные умные пылесосы набирают всё большую популярность благодаря своей способности автоматизировать процесс уборки помещений, освобождая пользователей от рутинной работы. Этот рост спроса отражается и в экономических показателях: по прогнозам, к концу 2025 года мировой рынок умных пылесосов достигнет 8,5 миллиардов долларов. Такая динамика подчеркивает не только востребованность этих устройств, но и их важную роль в жизни современного человека [1].

Несмотря на значительный прогресс в области технологий, умные пылесосы по-прежнему сталкиваются с рядом вызовов, которые ограничивают их эффективность. Одной из главных проблем является недостаточная адаптивность существующих алгоритмов навигации и планирования маршрутов. Многие устройства испытывают трудности при работе в сложных планировках помещений, а также не всегда успешно реагируют на изменения окружающей среды — например, перестановку мебели или появление новых препятствий. В результате уборка может проходить неравномерно, с пропусками или повторениями одних и тех же участков.

Именно поэтому исследование и разработка новых, более продвинутых алгоритмов, способных эффективно преодолевать эти ограничения, остаётся актуальной и важной задачей для производителей и разработчиков.

Современные алгоритмы навигации: от хаоса к точности

Простые модели: от игрушек к базовой автоматизации

Первыми в практике роботами-пылесосами были простые устройства, движение которых построено случайным образом, без использования сложных карт или умных датчиков. Они просто едут вперёд, пока не столкнутся с препятствием, после чего меняют направление и продолжают движение. Такие роботы похожи на игрушки — они не могут сами вернуться на зарядную станцию, разделять помещение на зоны или запоминать, где уже убрали.

В таких моделях часто есть концевой выключатель контейнера — это простой механизм, который проверяет, правильно ли установлен мешок или контейнер для мусора. Если контейнер не на месте или стоит неправильно, пылесос просто не включится, чтобы не работать впустую. Также есть датчик переворота, который включается вручную — это защита от падения или опрокидывания робота. Если пылесос перевернулся, он автоматически выключится и не будет работать, пока вы не вернете его в нормальное положение.

Более продвинутые роботы добавляют ИК-датчики — это инфракрасные сенсоры, которые «видят» сигнал от зарядной станции и помогают пылесосу найти дорогу домой. Также у них есть ударный бампер с концевыми выключателями — передняя часть, которая при столкновении с предметом нажимает на кнопки (концевики) и сигнализирует роботу, что нужно изменить направление. Несмотря на эти улучшения, данные пылесосы всё равно двигаются почти случайно и просто следуют за инфракрасным сигналом базы.

Использование энкодеров и ИК-сенсоров

Следующим шагом в развитии роботов-пылесосов стало использование энкодеров на колёсах. Это специальные датчики — они могут быть механическими, оптическими или основанными на датчиках Холла. Энкодеры помогают роботу точно понимать, насколько он повернулся и сколько проехал. Благодаря этому пылесос может более точно знать своё положение в комнате [2].

Кроме того, стали добавлять нижние инфракрасные датчики. Они «смотрят» вниз и помогают роботу не упасть с лестницы или какого-то возвышения. Это очень важно, чтобы пылесос не повредился. Также появились боковые сенсоры, которые расширяют зону обзора робота, позволяя ему «видеть» препятствия не только прямо перед собой, но и сбоку.

ИК-сенсоры, размещённые на переднем бампере и по бокам, помогают распознавать препятствия заранее — до того, как пылесос в них врежется. Это позволяет роботу плавно объезжать мебель и другие предметы.

Некоторые модели оснащают ещё более точными датчиками — ультразвуковыми сенсорами. Они измеряют расстояние до препятствий с помощью звуковых волн, что делает навигацию робота ещё более аккуратной и надёжной [3].

Технология SLAM: принцип работы алгоритма

Наиболее технологически развитые пылесосы используют алгоритмы SLAM (Simultaneous Localization and Mapping, или по-русски — одновременное определение местоположения и построение карты). Они строят карту помещения в реальном времени с помощью LiDAR (Light Detection and Ranging, световое обнаружение и определение дальности), камер, ультразвука и других сенсоров.

Суть SLAM заключается в том, что робот-пылесос, двигаясь по дому, одновременно сканирует окружающее пространство и отмечает своё местоположение на создаваемой карте. Это позволяет ему не просто «ездить туда-сюда», а выстраивать оптимальный маршрут, избегать столкновений, не повторяться в движении и охватывать всё помещение целиком. Такой подход делает уборку не только более быстрой, но и более эффективной [4].

Существует несколько разновидностей SLAM-технологий, каждая из которых имеет свои особенности и преимущества.

LiDAR (или лидарное картографирование) — это один из самых точных подходов. С помощью лазера робот сканирует пространство, создавая детализированную карту. Такая система не зависит от освещения и способна работать даже в полной темноте. Однако оборудование для LiDAR — дорогостоящее, и, как следствие, пылесосы с этой технологией стоят заметно дороже.

VSLAM (Visual Simultaneous Localization and Mapping, визуальная одновременная локализация и картографирование), или визуальное картографирование SLAM, — это разновидность технологии SLAM, которая использует визуальные данные, снятые камерами, для навигации и составления карты окружающей среды. Робот анализирует изображения, выделяя ключевые элементы — углы, края, особенности мебели. По этим данным он строит карту и определяет своё местоположение. VSLAM дешевле LiDAR и хорошо подходит для помещений со сложной геометрией. Однако его точность зависит от качества освещения и состояния камеры: пыль или слабый свет могут снизить эффективность навигации.

Наиболее передовой и эффективной технологией на сегодняшний день является гибридный SLAM. Она объединяет возможности LiDAR и VSLAM: лазер собирает трёхмерную модель, а камера добавляет визуальные детали. В результате получается точная и насыщенная карта, позволяющая пылесосу ориентироваться максимально точно даже в изменяющейся обстановке [5].

Что особенно важно, SLAM позволяет роботу не только запоминать план помещения, но и адаптироваться к изменениям. Если вы передвинули мебель, робот отреагирует на это и перестроит маршрут. Если его случайно переместили с одного места на другое, он сможет сориентироваться и продолжить уборку с нужной точки.

Многие производители также используют построенные карты в мобильных приложениях: пользователь может посмотреть план дома, задать виртуальные границы, выделить приоритетные зоны для уборки или даже настроить расписание работы.

Недостатки существующих решений

Несмотря на стремительное развитие технологий и широкое внедрение SLAM в роботах-пылесосах, существующие решения всё ещё далеки от идеала. Даже оснащённые продвинутыми алгоритмами навигации и обилием сенсоров, такие устройства не застрахованы от ошибок в работе.

Одна из ключевых проблем — чувствительность к изменениям в окружающей среде. Когда пользователь переставляет мебель, добавляет или убирает предметы интерьера, ранее построенная карта помещения становится частично или полностью неактуальной. Алгоритму приходится заново «осваивать» пространство, что занимает дополнительное время и снижает эффективность уборки. Некоторые модели даже требуют полного сброса карты и повторной её генерации, что неудобно и для пользователя.

Вторая серьёзная проблема — ограничения самих сенсоров. Недорогие или устаревшие сенсоры, особенно в бюджетных моделях, нередко дают ложные сигналы или вовсе не распознают препятствия в «слепых» зонах. Так, многие устройства отлично ориентируются спереди, но не имеют сенсоров сзади, из-за чего могут врезаться в объекты при движении назад. Это особенно критично при маневрировании в узких пространствах или при возвращении на базу.

Кроме того, низкое качество компонентов в доступных моделях напрямую влияет на общую надёжность. Камеры с низким разрешением или простые инфракрасные датчики плохо справляются в условиях слабого освещения, загрязнённых поверхностей или на фоне зеркальных и глянцевых объектов. Такие элементы могут «ослепнуть» и дезориентировать робота, что приводит к неадекватному поведению: пылесос может застрять, начать круговое движение или пропустить целые участки пола.

Особое внимание стоит уделить алгоритмам навигации в недорогих моделях. Даже при наличии базового SLAM, если программная часть не оптимизирована, робот может повторять одни и те же маршруты, игнорировать труднодоступные зоны и просто не охватывать всю доступную площадь. Это создаёт ощущение «неполной уборки» и вызывает разочарование у пользователя.

В результате всё это приводит к снижению доверия к категории устройств в целом. Пользователи, сталкиваясь с неэффективной уборкой, начинают считать, что роботы-пылесосы — это всего лишь маркетинговый трюк, а не полезное и надёжное устройство.

Разработка и тестирование нового подхода

На основе анализа существующих технологий и их ограничений была предложена улучшенная модель навигации для роботов-пылесосов, сочетающая в себе несколько современных решений. Главная задача нового подхода — преодолеть ограничения стандартных SLAM-систем, особенно в условиях нестабильной домашней обстановки.

В основе разработки лежит гибридная навигационная система, которая сочетает классическую технологию SLAM с адаптивными алгоритмами движения, расширенным набором сенсоров и элементами предиктивного искусственного интеллекта. Такой подход позволяет учитывать как заранее построенную карту помещения, так и текущие изменения, происходящие в реальном времени [6].

Простейшая ИИ-подсистема анализирует поведение устройства, адаптируя маршрут к изменяющимся условиям — например, появлению новых объектов или перемещению мебели.

В отличие от большинства существующих решений, ориентированных только на заранее сохранённую карту, новая система одновременно учитывает текущие сигналы с сенсоров. Это позволяет роботу не терять ориентацию даже при резких изменениях обстановки, автоматически перестраивая маршрут с учётом новых препятствий и изменений.

Для проверки эффективности новой модели была проведена серия тестов в условиях, приближенных к реальным. Методика испытаний включала сравнение с классическими SLAM-решениями по следующим параметрам:

- Общее время, необходимое для полной уборки помещения;
- Процент охваченной площади без повторов и пропущенных зон;
- Количество ошибок при распознавании и обходе препятствий;
- Способность адаптироваться к изменению обстановки (например, передвиганию мебели в процессе работы).

Результаты испытаний показали значительное улучшение показателей. Робот быстрее справлялся с задачами, реже застревал, точнее реагировал на препятствия и своевременно корректировал свой маршрут. Особенно ярко преимущества проявились в ситуациях, где карта быстро теряла актуальность — например, при открытии новых дверей или перемещении стульев [7].

Помимо навигационной составляющей, современные роботы-пылесосы оснащаются интеллектуальными системами адаптации мощности и режима уборки. Например, при въезде на ковёр робот автоматически увеличивает мощность всасывания, что обеспечивает эффективный сбор ворса и пыли. На твёрдых покрытиях, напротив, устройство снижает обороты, экономя заряд аккумулятора, ведь гладкие поверхности требуют меньше усилий для очистки. Более того, в зонах с повышенным уровнем загрязнения робот способен делать повторные проходы, используя данные с сенсоров о степени загрязнённости.

Для снижения необходимости вмешательства пользователя некоторые роботы оснащаются автоматическими станциями обслуживания. Такие станции способны самостоятельно удалять собранный мусор из пылесборника, автоматически доливать воду для влажной уборки, а также напоминать о необходимости замены расходных материалов, что значительно облегчает эксплуатацию и поддержание устройства в рабочем состоянии.

Заключение

Современные роботы-пылесосы уже давно перестали быть простыми «игрушками» — сегодня это сложные системы, способные принимать решения в режиме реального времени. Их уровень «интеллекта» во многом зависит от того, насколько грамотно интегрированы различные сенсоры, насколько точна навигация и насколько адаптивна сама система. Если вспомнить ранние модели, оснащённые всего одним датчиком и движущиеся по дому хаотично, то сейчас технологии шагнули далеко вперёд — современные роботы оснащаются сложными SLAM-системами, ультразвуковыми дальномерами и элементами искусственного интеллекта. Этот путь от простых устройств к интеллектуальным помощникам был долгим, но открывает большие перспективы.

Сегодня развитие идёт в направлении не просто улучшения автономной навигации, но и глубокой интеграции роботов-пылесосов с другими устройствами умного дома. Всё больше внимания уделяется предиктивному поведению — способности предугадывать изменения в обстановке и потребности пользователя, а также коллективному обучению, когда устройства обмениваются опытом для повышения эффективности работы.

Именно комплексное сочетание надёжных сенсоров, интеллектуального программного обеспечения и способности к самообучению определит, насколько «умными» станут роботы-пылесосы будущего. Такой подход позволит создать действительно автономных помощников, которые смогут не только эффективно убирать, но и адаптироваться под индивидуальные потребности каждого дома и пользователя.

Библиографический список

1. Market Research Future. (2022, October 19). Рынок бытовых роботов достигнет 8,5 млрд долларов США при темпах роста 15,5% CAGR к 2030 году [Электронный ресурс].
2. Akdengi. Так ли умны «роботы-пылесосы»? Рассматриваем датчики для навигации [Электронный ресурс] // Хабр. — 6 нояб. 2021.
3. Дубик, О. С. Особенности работы роботов-пылесосов / О. С. Дубик, В. А. Свирид; науч. рук. Г. А. Михальцевич // Актуальные проблемы энергетики: материалы 74-й научно-технической конференции студентов и аспирантов / Белорусский национальный технический университет, — Минск : БНТУ, 2018. — С. 564–565.
4. Дегтяренко Н. В. Исследование алгоритмов SLAM применительно к мобильному роботу // Тезисы докладов конференции. — М.: МГТУ им. Н. Э. Баумана, 2019. — С. 283–284. — УДК 004.
5. Gibson D. How SLAM Technology Helps Smart Vacuum Cleaners Navigate and Map Your Home [Электронный ресурс] // CleanersAdvisor. — 2023. — 28 апр.

6. Сингх С., Солодухин К.А., Хорхордин А.В. Интеллектуальная система управления роботом-пылесосом // Труды конференции. — Донецк: Донецкий национальный технический университет, 2021. — С. 295–298. — УДК 621.446.

7. Сухов А. Б., Ставский Е. М. Обучение с подкреплением при создании алгоритма для робота-пылесоса // Труды конференции. — М.: РТУ МИРЭА, 2019. — С. 247–250. — УДК 004.

© Шахмаева Д.А., 2025

УДК 004.8

А.И. ЭРМАТОВ

g.sakata54@mail.ru

Науч. руковод. – к.ф.-м.н., доц. А.А. МАМЕДОВА

Уфимский университет науки и технологий

СРАВНИТЕЛЬНЫЙ АНАЛИЗ ЭФФЕКТИВНОСТИ АЛГОРИТМОВ МАШИННОГО ОБУЧЕНИЯ ДЛЯ ЗАДАЧ КЛАССИФИКАЦИИ

Аннотация: проведён сравнительный анализ четырёх алгоритмов классификации (логистическая регрессия, дерево решений, случайный лес, градиентный бустинг). Эксперимент показал наивысшую точность у градиентного бустинга и ансамблевых методов в целом. Обозначены пути улучшения моделей, включая оптимизацию гиперпараметров и AutoML.

Ключевые слова: искусственный интеллект, машинное обучение, анализ данных, классификация, градиентный бустинг, случайный лес, ансамблевые методы, AutoML, оптимизация моделей.

В условиях стремительного роста объемов цифровой информации классические подходы к обработке данных демонстрируют снижение своей результативности. Технологии искусственного интеллекта (ИИ), в особенности машинное обучение (МО), открывают возможности для автоматизации аналитических процессов, выявления неочевидных взаимосвязей и формирования обоснованных прогнозов. Целью данной работы является изучение практического применения алгоритмов ИИ для аналитики данных, а также сравнительный анализ эффективности ряда популярных моделей машинного обучения.

Цель и предмет исследования

Предметом исследования выступают алгоритмы машинного обучения, ориентированные на решение задач классификации.

Основная цель — проведение сравнительного анализа точности нескольких моделей и формулировка рекомендаций по повышению эффективности анализа данных.

Методы и этапы эксперимента

В рамках экспериментального исследования были реализованы и протестированы четыре классические модели машинного обучения:

- Модель 1: Логистическая регрессия.
- Модель 2: Дерево принятия решений.
- Модель 3: Случайный лес (Random Forest).

— Модель 4: Градиентный бустинг (Gradient Boosting).

Все алгоритмы обучались на идентичном тренировочном наборе данных с последующей валидацией на тестовой выборке. Ключевым критерием оценки была метрика точности (accuracy).

Интерпретация результатов эксперимента

Результаты сравнительного тестирования точности моделей визуализированы на диаграмме (рис. 1).

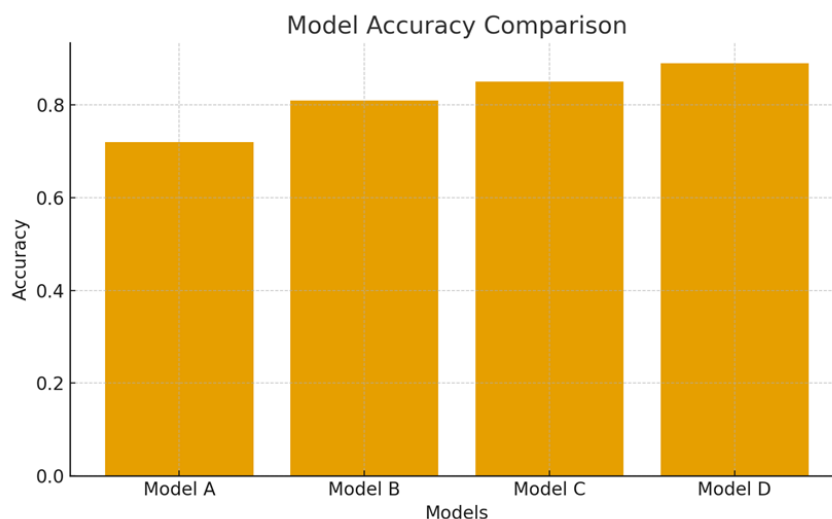


Рис. 1. Результаты сравнительного тестирования точности моделей

Наибольшую эффективность продемонстрировала модель градиентного бустинга (Модель 4). Наименее точные предсказания показала логистическая регрессия (Модель 1). Полученные данные подтверждают, что ансамблевые методы, комбинирующие множество алгоритмов, обеспечивают статистически значимое улучшение результатов по сравнению с отдельными «слабыми» моделями.

Динамика внедрения технологий ИИ

На рисунке 2 представлен тренд роста интереса и практического применения технологий искусственного интеллекта в различных отраслях за последнее десятилетие, отражающий экспоненциальный характер их развития.

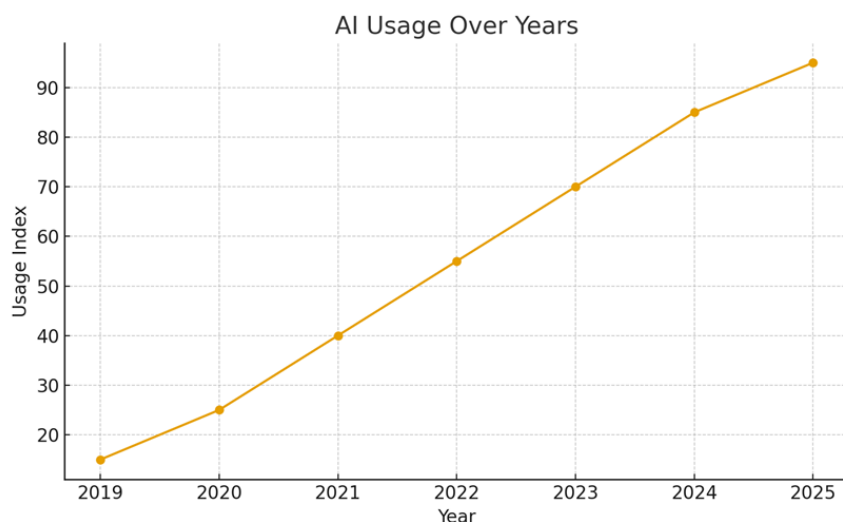


Рис. 2 Тренд роста интереса и практического применения технологий искусственного интеллекта

Направления оптимизации аналитических моделей на основе ИИ

Для дальнейшего повышения качества и надежности моделей машинного обучения рекомендуется рассмотреть следующие подходы:

- Гиперпараметрическая настройка: Автоматизированный поиск оптимальных параметров моделей с использованием методов вроде Grid Search или Random Search.

- Применение глубокого обучения: Задействование нейронных сетей сложной архитектуры для выявления многомерных и нелинейных зависимостей в данных.

- Инженерия признаков: Систематическое создание, преобразование и селекция наиболее информативных переменных для улучшения качества входных данных.

- Использование платформ AutoML: Автоматизация полного цикла машинного обучения, включая выбор модели, настройку и валидацию.

- Построение ансамблей: Комбинирование прогнозов нескольких разнородных моделей (стэкинг, блендинг) для увеличения общей устойчивости и точности.

Заключение

Проведенное исследование позволяет сделать вывод о существенном потенциале современных методов искусственного интеллекта для повышения качества и глубины анализа данных. Наибольшую эффективность показывают сложные ансамблевые алгоритмы и автоматизированные системы оптимизации (AutoML). Дальнейшее развитие связано с интеграцией глубокого обучения и автоматизацией процессов построения аналитических конвейеров, что позволит извлекать более точные и ценные инсайты из данных.

Библиографический список

1. Дж. Х. Фридман, Р. Тибширани, Т. Хасти // Статистическое обучение: интеллектуальный анализ данных, логический вывод и прогнозирование. – Пер. с англ. – М.: Диалектика, 2022. – 764 с.
2. Ш. Рашка, В. Мирджалили // Python для машинного обучения. Исчерпывающее руководство по scikit-learn, Keras и TensorFlow 2. – Пер. с англ. – СПб.: Питер, 2021. – 816 с.
3. К. Мерфи // Probabilistic Machine Learning: An Introduction (Вероятностное машинное обучение: введение). – MIT Press, 2022.
4. А. Бурков // Основы машинного обучения: учебное пособие. – М.: ДМК Пресс, 2020. – 280 с.
5. К.В. Воронцов // Математические методы обучения по прецедентам (теория обучения машин): курс лекций. – М.: МЦНМО, 2022. – 303 с.

© Эрматов А.И., 2025

УДК 004.8

Д.А. ЯХИН

yakhin.damir@bk.ru

Науч. руковод. – канд. техн. наук, доц. Е.Ю. САЗОНОВА

Уфимский университет науки и технологий

ПРЕОДОЛЕНИЕ ОГРАНИЧЕНИЙ БОЛЬШИХ ЯЗЫКОВЫХ МОДЕЛЕЙ: RETRIEVAL-AUGMENTED GENERATION (RAG) КАК РЕШЕНИЕ ПРОБЛЕМ АКТУАЛЬНОСТИ, «ГАЛЛЮЦИНАЦИЙ» И ОБНОВЛЯЕМОСТИ ЗНАНИЙ

Аннотация: в статье рассматривается технология Retrieval-Augmented Generation (RAG) для преодоления ограничений больших языковых моделей (LLM). Приводится анализ архитектуры RAG, описываются её ключевые преимущества и недостатки. Рассмотрены современные направления развития технологии.

Ключевые слова: е языковые модели, Retrieval-Augmented Generation, RAG, генерация текста, векторный поиск, нейросети, искусственный интеллект, LLM, достоверность данных.

Введение

Современные большие языковые модели (LLM) демонстрируют впечатляющие способности в генерации текста, переводах и ответах на вопросы. Однако они имеют фундаментальные ограничения: знания моделей фиксированы состоянием на момент обучения, отсутствует механизм оперативного обновления информации, нередко возникают «галлюцинации» – выдача несуществующих или неверных фактов – а также непрозрачность процесса принятия решений.

Традиционные методы обучения (дообучение на новых данных) требуют огромных вычислительных ресурсов и не позволяют эффективно добавлять новые сведения в реальном времени.

Одним из ключевых подходов решения проблемы стала технология Retrieval-Augmented Generation (RAG).

Концепция и архитектура RAG

Retrieval-Augmented Generation (RAG) – это гибридный метод, в котором результат работы генеративной языковой модели обогащается контекстом, извлеченным из внешних источников информации. Идея RAG впервые предложена в 2020 году исследователями Facebook AI в задаче открытой вопросно-ответной системы. По своей сути RAG объединяет два ключевых компонента: модуль поиска (retriever) и генеративный модуль (generator). Модуль поиска находит релевантные фрагменты текста (документы, статьи, ответы в базе знаний и т.п.) по заданному запросу, а генератор – обычно

мощная трансформерная модель – использует эти фрагменты в качестве контекста при формировании ответа.

Для реализации модуля поиска обычно применяют два подхода:

1. Традиционные лексические поисковики, которые учитывают частоту и словоформу в тексте, но ограничены в семантическом понимании.

2. Плотные векторные поисковики, которые кодируют запрос и документы в эмбединги и ищут ближайшие по семантике, что позволяет находить релевантные ответы без точного совпадения ключевых слов.

В практических системах часто используют гибридный поиск, совмещающий оба метода: такой подход улучшает полноту поиска и устойчивость к вариациям запросов. При добавлении новых данных в базу знаний модуль поиска переиндексируется или обновляет векторное хранилище, что позволяет модели учитывать самую свежую информацию без полного переобучения.

Для улучшения качества результата после извлечения документов они могут переранжироваться (reranking) – это дополнительный этап между поиском (retrieve) и генерацией (generate). Его задача заново оценить и переупорядочить документы, изначально найденные поисковиком, используя более точную (но и более тяжеловесную) модель, чтобы передать в языковую модель (LLM) только самые релевантные контексты.

Таким образом, RAG-пайплайн может включать: разбиение документов на чанки, их индексацию (семантическую и/или лексическую), поиск по запросу, переранжировку найденного, а затем включение отобранных фрагментов в подсказку генератора (prompt). Результат – ответ, обоснованный конкретными источниками, что повышает доверие к модели (появляются «сноски») и снижает риск ошибок.

Преимущества RAG и области применения

Ключевое преимущество RAG – обеспечение актуальности ответов и снижение галлюцинаций. Если LLM без RAG оперирует лишь запомненными в параметрах знаниями (что может быть неактуально), то RAG постоянно «подтягивает» релевантную информацию из базы. Это позволяет отвечать на вопросы по свежим событиям, узкоспециализированным областям или внутренней документации организации. Такой подход активно используется для построения чат-ботов поддержки, медицинских ассистентов, поисковых систем с диалоговым интерфейсом и т. д.

RAG также повышает достоверность ответов. Генеративной модели с RAG даётся возможность приводить источники, которые можно проверить, наподобие сносок в научной статье, – это вызывает доверие пользователей. Кроме того, метод снижает вероятность того, что модель ответит убедительно, но неправильно.

Простая реализация RAG (добавить несколько строк кода) обходится дешевле, чем дообучение модели на новых данных, и позволяет динамически менять источники информации.

Сферы применения RAG разнообразны. Это и вопросно-ответные системы, где модель обращается к большим базам фактов; и контекстные чат-боты (ассистенты по документации компании); и рекомендательные системы с объяснением; и юридические и медицинские приложения, где важно апеллировать к актуальным справочным материалам. Любые организации могут превратить свои руководства, протоколы в базы знаний для RAG-ассистентов, что открывает применение в поддержке клиентов, обучении сотрудников, аналитике и т.д. Фактически, крупные игроки облачной сферы и корпоративных сервисов включают RAG в свои продукты: AWS, Google, Microsoft, IBM, Oracle, NVIDIA, Pinecone и другие сообщают о внедрении RAG-технологий. В OpenAI последних версиях ChatGPT автоматически выполняют семантический поиск по загруженным документам и добавляют найденные фрагменты в подсказку для генерации ответов. Такие решения демонстрируют, что RAG успешно применяется на практике ведущими компаниями, решая реальные бизнес-задачи.

Недостатки и ограничения RAG

Несмотря на преимущества, RAG не лишена недостатков. Во-первых, качество ответа всё равно ограничено качеством найденной информации. Если модуль поиска не извлечёт релевантные фрагменты, генератор будет «голословно» домысливать содержимое (оставшиеся галлюцинации), RAG лишь снижает, но не устраняет полностью феномен галлюцинаций.

Второй минус – затраты и сложность системы. RAG-пайплайн включает несколько стадий (генерация эмбеддингов, поиск, переранжировка, формирование длинных подсказок) и требует управления большим стеком сервисов (LLM, векторная БД, классический поиск, оркестратор). Это ведёт к повышенной задержке отклика – например, чистый векторный поиск по сотням тысяч фрагментов может занимать сотни миллисекунд, а длинные промпты увеличивают время генерации. Более того, добавление каждого нового компонента усложняет отладку: ошибки могут возникать на этапе извлечения или в самом LLM, и отследить причину сложнее, чем в «простом» LLM.

Также возникают вопросы безопасности и контролируемости. RAG-системы часто работают с внутренними или конфиденциальными данными, поэтому нужно ограничивать доступ к документам на уровне поискового индекса, шифровать хранение и т.д. Всё это требует дополнительных мер по аудиту, логированию и проверке результатов. Наконец, узкая специализация RAG на одном домене (корпоративный FAQ, юридические тексты и т.п.) не всегда переносится на другие задачи без настройки компонентов поиска и индекса.

Заключение

Retrieval-Augmented Generation (RAG) – один из самых перспективных подходов для преодоления фундаментальных ограничений LLM: он позволяет моделям оперировать актуальными знаниями, уменьшает число вымышленных фактов и повышает доверие к ответам. Как показано, RAG сочетает лучшие свойства генеративных трансформеров с силой современных систем поиска. Архитектура RAG гибкая: к ней добавляются многошаговый поиск, механизмы переранжировки, гибридный синтез разных источников и даже интеграция с agent-подходами. Крупные технологические компании уже применяют RAG в продуктах (от облачных сервисов до чат-ботов), что свидетельствует об её практической ценности.

Тем не менее, RAG не является универсальным решением. Она требует надёжных компонентов индексации и поиска, а сама LLM всё ещё может ошибаться при неидеальном контексте. Поэтому будущее RAG-систем включает как совершенствование компонентов, так и их комбинацию с другими методами. В конечном счёте RAG выступает не заменой, а мощным дополнением к современным LLM: его грамотно спроектированное внедрение способно существенно повысить точность, актуальность и надёжность генеративных ИИ-систем.

Библиографический список

1. Инкижеков А.А. Улучшение генерации текста с помощью Retrieval Augmented Generation // Инженерные технологии: традиции, инновации, векторы развития: материалы X Всероссийской научно-практической конференции с международным участием, Абакан, 13–15 ноября 2024 года. – Хакасский государственный университет им. Н. Ф. Катанова, 2024. – С. 27-29.
2. Маркин Е.И. Интеграция языковых моделей с базами знаний и внешними источниками данных / Е. И. Маркин, В. В. Зупарова // XXI век: итоги прошлого и проблемы настоящего плюс. – 2024. – Т. 13, № 2(66). – С. 25-31.
3. Федотова Е.В. Генерация с дополненным поиском для больших языковых моделей // Студенческий. – 2024. – № 21-2(275). – С. 50-54.
4. Применение и дообучение современных больших языковых моделей (LLM) / А. В. Прохоренко, С. И. Сергеев, Я. И. Куркин // Экспериментальные и теоретические исследования в современной науке: Сборник статей по материалам CI международной научно-практической конференции, Новосибирск, 27 мая 2024 года. С. 70-81.

© Яхин Д.А., 2025

СЕКЦИЯ 5.4. ВЫЧИСЛИТЕЛЬНАЯ ТЕХНИКА И ЗАЩИТА ИНФОРМАЦИИ

УДК 004.031

Г.И. АРСЛАНОВА, Р.А. МУДАРИСОВ, А.А. ИСЛАМОВА

arslanovagulnaz7@mail.ru

Науч. руковод. – канд. техн. наук, доцент А.Ю. СЕНЦОВА

Уфимский университет науки и технологий

ВНЕДРЕНИЕ ИНТЕЛЛЕКТУАЛЬНОЙ СИСТЕМЫ МОНИТОРИНГА СЕТИ НА ПЛАТФОРМУ ПРОМЫШЛЕННОГО ИНТЕРНЕТА ВЕЩЕЙ

Аннотация: в статье рассматриваются вопросы информационной безопасности промышленного интернета вещей. Предметом исследования является платформа, используемая для удаленного управления, диагностики и оптимизации работы технологических процессов предприятия. В результате предлагается внедрить модуль, предназначенный для мониторинга сети, способный обнаружить сетевые атаки.

Ключевые слова: автокодировщики, интернет вещей, информационная безопасность, модуль защиты, мониторинг трафика, промышленность, роботизация, уязвимость.

В век цифровых технологий все чаще просматривается тенденция к упрощению и автоматизации выполнения рутинных задач, что способствует развитию различных современных технологий и появлению совершенно новых высокоинтеллектуальных технологий. В последние годы набирают популярность технологии «Интернет вещей» (далее – IoT), которые позволяют значительно упростить жизнь человека в разных сферах жизнедеятельности.

IoT представляет собой систему связанных друг с другом устройств, которые позволяют переводить управление теми или иными процессами в дистанционный формат через одно устройство (или несколько устройств). Эти устройства подключаются к сети «Интернет» и могут передавать и получать данные с датчиков.

Технология IoT в настоящее время используется во многих сферах жизни человека. В данной статье будет рассматриваться российская платформа промышленного интернета вещей (далее – платформа), предназначенная для удаленного мониторинга, диагностики и оптимизации работы как технологического, инженерного, стендового, так и вспомогательного оборудования, где так же имеется возможность интеграции с корпоративными информационными системами.

Данная платформа может быть внедрена на предприятия различного масштаба, которые стремятся к цифровой трансформации. Основными

потребителями могут стать производственные компании, использующие технологическое оборудование в своих производственных процессах, которые заинтересованы в повышении эффективности, надежности и экономической отдачи.

Рассматриваемая платформа состоит из модулей. Модули платформы представлены на рис. 1.

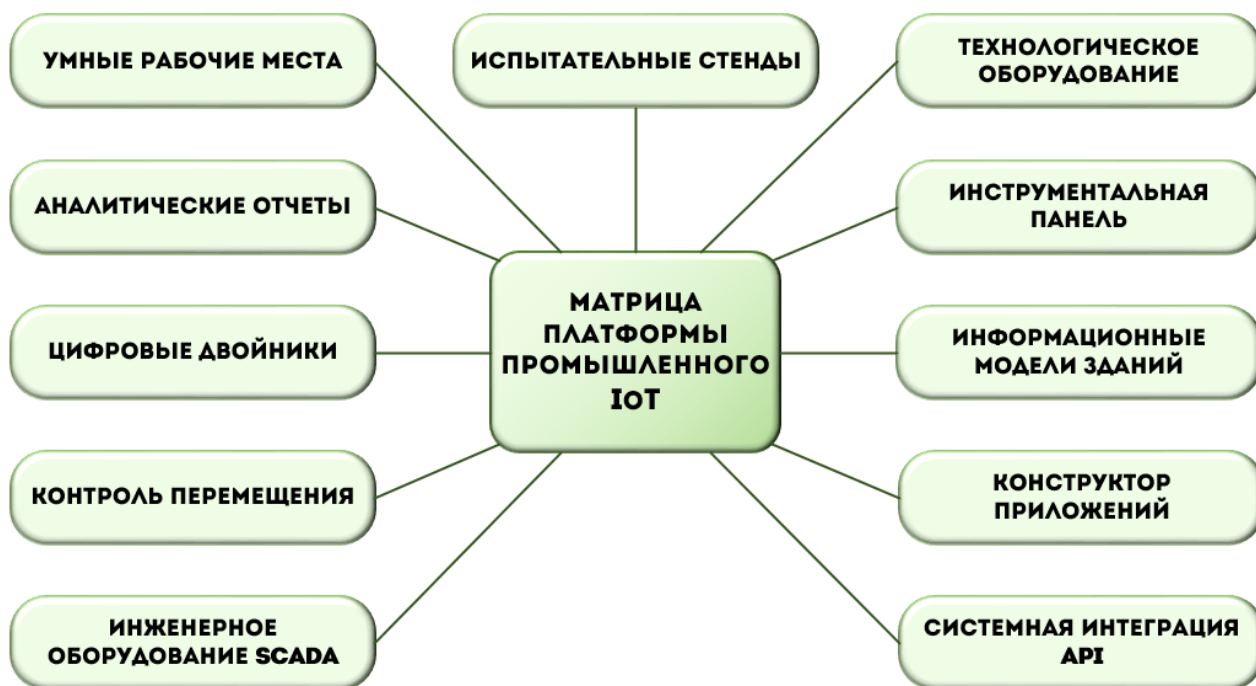


Рис. 9. Модули платформы промышленного интернета вещей

Платформой поддерживаются все основные контроллеры (Siemens, Fanuc, Mitsubishi, Балт-Систем, Маяк и др.). Универсальное оборудование подключается через контроллер. Основной вариант подключения – Ethernet, через доступные интерфейсы (RS-232/485, MPI/PROFIBUS) с конвертированием на Ethernet, осуществляется так же поддержка основных промышленных протоколов, таких как ModBus RTU/ASCII/TCP, OPC DA/UA, а также протоколов ZigBee, LoRaWan, NB IoT, LTE, GSM.

Рассматриваемая платформа предназначена, в первую очередь, для управления и оптимизации работы промышленного оборудования и не имеет как таковых модулей защиты. Поскольку данная платформа предполагает удаленное подключение к конечным устройствам, появляется множество уязвимостей, основанных на недостатках протоколов сетевого взаимодействия. Поэтому, в рамках выполнения данной работы, предлагается, для рассматриваемой платформы, ввести модуль мониторинга трафика работы сети и оборудования, который будет способен обнаруживать сетевые атаки и принимать превентивные меры.

Интеллектуальная система анализа и защиты промышленных сетей, построенная на технологиях искусственного интеллекта, использует

технологии обнаружения аномалий, то есть находит отклонения от нормальной работы сети с помощью автокодировщиков.

Архитектура и принцип работы системы основаны на концепции анализа работы сети и оборудования. Система состоит из двух независимых аналитических ветвей, каждая из которых специализируется на своем типе данных. Первая ветвь предназначена для анализа технологических параметров. Она обрабатывает показания датчиков оборудования – температуры, давления, загазованности, вибрации, потребляемого тока, а также состояния исполнительных механизмов и режимов работы производственных линий и линейной части оборудования. Ключевой особенностью данной ветви является способность улавливать циклические паттерны и временные зависимости, характерные для технологических процессов, что позволяет создавать точные модели нормального поведения оборудования в динамике.

Вторая ветвь используется для глубокого анализа сетевого трафика промышленных протоколов. Эта компонента специализируется на выявлении паттернов в последовательностях сетевых пакетов, анализирует структуру команд, временные интервалы между запросами, источники и получателей данных, а также статистические характеристики сетевой активности. Особое внимание уделяется следующим промышленным протоколам – OPC UA, Modbus TCP, PROFINET, где система изучает нормальные сценарии взаимодействия между устройствами.

Обе аналитические ветви объединяются через специальный слой, который синхронизирует данные по временным меткам и создает единое скрытое представление нормального поведения системы. Именно на этом уровне происходит корреляция событий между физическим состоянием оборудования и сетевой активностью, что позволяет выявлять сложные многомерные аномалии, невидимые при раздельном анализе.

В основе лежит распределенная модель сбора данных, где легковесные агенты, установленные в ключевых точках промышленной сети, осуществляют первичный сбор и предобработку информации. Эти агенты размещаются на сетевых шлюзах, промышленных контроллерах, серверах SCADA-систем и точках интеграции с корпоративной сетью. Каждый агент оптимизирован для работы в специфических условиях промышленной среды – с учетом ограничений по вычислительным ресурсам, требованиям к реальному времени и условиям эксплуатации.

При потере связи с центральным аналитическим кластером, агенты переходят в автономный режим, сохраняя данные локально и выполняя базовый анализ с использованием упрощенных моделей.

Система функционирует на основе нескольких принципов, обеспечивающих эффективное обнаружение угроз в промышленной среде. Первым и ключевым принципом является непрерывное обучение и адаптация. Система самостоятельно формирует модель нормального поведения для каждого устройства и технологического процесса. Она начинается с фазы «обучения без учителя», в течение которой наблюдает за работой оборудования

в штатном режиме, запоминая характерные паттерны взаимодействия, временные циклы, типичные команды и их последовательности. Это позволяет системе изучить различные операционные сценарии, включая плановые обслуживания, изменения режимов работы и сезонные колебания.

Второй принцип – контекстная корреляция событий. Система не рассматривает каждое событие изолированно, а анализирует цепочки связанных событий в контексте конкретного технологического процесса.

Третий принцип заключается в том, что в зависимости от уровня угрозы система применяет различные сценарии реакции: от простого уведомления оператора до автоматической изоляции скомпрометированного оборудования. Это позволяет минимизировать ложные срабатывания и обеспечивать адекватную реакцию на реальные инциденты без нарушения производственного процесса.

Таким образом, в рамках написания данной статьи, была рассмотрена платформа промышленного интернета вещей, ее уязвимости и было выдвинуто предложение по усовершенствованию данной платформы с точки зрения информационной безопасности.

Библиографический список

1. Платформа промышленного интернета вещей // IoT.Istok URL: <https://istokmw.ru/iiot/> (дата обращения: 05.11.2025).

2. Source: IoT.Istok Industrial Internet of Things system for monitoring technological processes // Tadviser URL: https://tadviser.com/index.php/Product:Source:_IoT.Istok_Industrial_Internet_of_Things_system_for_monitoring_technological_processes (дата обращения: 05.11.2025).

3. Что такое IoT и что о нем следует знать // Habr URL: <https://habr.com/ru/companies/otus/articles/549550/> (дата обращения: 06.11.2025).

4. Зачем мониторить трафик локальной сети? // Habr URL: <https://habr.com/ru/companies/dsol/articles/585014/> (дата обращения: 07.11.2025).

5. Левшун Д.А., Левшун Д.С., Котенко И.В. Обнаружение и объяснение аномалий в индустриальных системах Интернета вещей на основе автокодировщика. Онтология проектирования. 2025. Т.15, №1(55). С.96-113. DOI:10.18287/2223-9537-2025-15-1-96-113.

6. Кубасов И. А. Промышленный интернет вещей как революционный скачок развития // Надежность и качество сложных систем. 2023. № 2. С. 83–89. doi:10.21685/2307-4205-2023-2-9

7. IoT на производстве – угроза для промышленности // Habr URL: <https://habr.com/ru/companies/pt/articles/869174/> (дата обращения: 08.11.2025).

© Арсланова Г.И., Мударисов Р.А., Исламова А.А., 2025

Е.А. АТАРСКАЯ
arskaya25@mail.ru

Науч. руковод. – д-р техн. наук, проф. А.М. ВУЛЬФИН

Уфимский университет науки и технологий

ОБЗОР СОВРЕМЕННЫХ ПОДХОДОВ К ОБНАРУЖЕНИЮ АНОМАЛИЙ В КИБЕРФИЗИЧЕСКИХ СИСТЕМАХ

Аннотация: актуальность работы обусловлена недостаточностью традиционных средств защиты для обеспечения безопасности киберфизических систем (КФС). В статье анализируются современные подходы к обнаружению аномалий в КФС с использованием методов интеллектуального анализа данных.

Ключевые слова: интеллектуальный анализа данных; глубокое обучение; предиктивный анализ; аномалии; система обнаружения аномалий.

Современная защита предприятий строится на основе комплексных систем безопасности, которые включают различные средства: антивирусные программы, межсетевые экраны, системы обнаружения вторжений, защиты от утечек и т.п. Однако сегодня такие системы защиты периметра не гарантируют защиту от целевых компьютерных атак и злонамеренных действий персонала [1].

В условиях непрерывного изменения бизнес-процессов, инфраструктуры киберфизических систем (КФС), а также ландшафта угроз, эвристических алгоритмов и правил корреляции событий недостаточно, чтобы выявить все возможные атаки. Ручной анализ параметров состояния КФС для выявления сбоев требует высокой квалификации персонала и не гарантирует выявления всех потенциальных отказов. Предиктивная аналитика позволяет обнаруживать аномалии и деградацию систем на ранних стадиях, выступая важным дополнением к традиционному мониторингу, но не заменяя его полностью.

Актуальность работы обусловлена недостаточностью традиционных средств защиты для обеспечения безопасности КФС. Обнаружение аномалий с использованием интеллектуального анализа данных (ИАД) позволит выявлять скрытые угрозы в режиме реального времени, а также осуществить предиктивный анализ для выявления аномальных состояний компонент системы и предотвращения сбоев и отказов.

Цель работы – анализ возможностей существующих систем обнаружения аномалий киберфизических систем с использованием методов интеллектуального анализа данных.

Анализ наборов данных НАИ

Исследования [2] показали достаточную эффективность выявления аномальных состояний компонент системы с помощью модели автоэнкодера на основе LSTM. Использованный в работе набор данных НАИ (HIL-based Augmented ICS) был собран исследователями [3] с тестовой платформы промышленной системы управления и дополнен аппаратным имитационным комплексом Hardware-in-the-Loop (HIL).

НАИ был разработан для исследований по обнаружению аномалий в КФС таких, как: железные дороги, водоочистные сооружения и электростанции.

Технологический процесс на стенде (рис. 1) может быть разделен на четыре основных процесса: котел, турбина, водоподготовка и HIL-моделирование. HIL-моделирование усиливает корреляцию между тремя реальными процессами на уровне сигнала, моделируя сценарии выработки тепловой энергии и генерацию гидроаккумулирования энергии. Процессы котла и турбины используются для моделирования тепловой электростанции, а процесс очистки воды используется для моделирования гидроаккумулирующей электростанции.

Реальные процессы контролируются тремя различными типами контроллеров. Системы диспетчерского контроля и сбора данных (SCADA) содержат элементы данных, называемых точками (или метками), где каждая точка представляет собой один параметр, измеряемый или контролируемый системой [3].

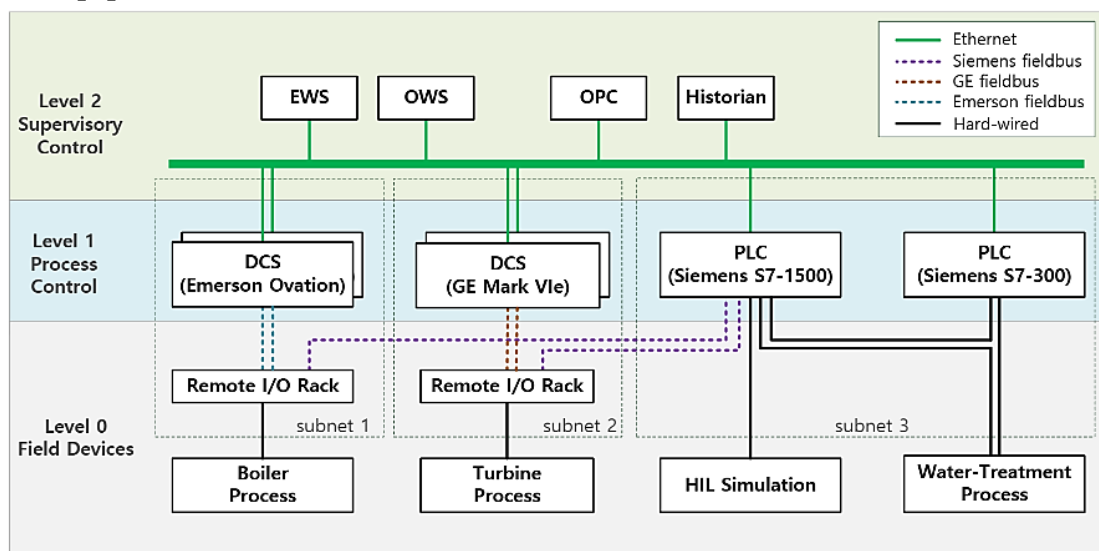


Рис. 1. Тестируемые компоненты и поток данных

Набор данных НАИ обновлялся с целью повышения сложности и реалистичности сценариев атак на КФС. Первая версия НАИ 20.07 (2020) включала базовые манипуляции с управляющими сигналами и датчиками, но ограничивалась короткими и простыми атаками. С выходом версии НАИ 21.03 (2021) объем данных и количество сценариев увеличились, добавились атаки на системы охлаждения и более сложные многоконтурные воздействия.

В последующих версиях НАИ 22.04 (2022) и НАИ 23.05 (2023), набор данных стал более детализированным, расширилось число параметров технологического процесса, появились новые сценарии атак, включая долгосрочные (LT) атаки с непрерывным отклонением сигналов, а также воздействия на внутренние параметры контроллеров (например, настройки PID-регуляторов).

Наборы данных НАИ содержат данные о нормальном и аномальном состоянии системы. Аномальное поведение возникает, когда некоторые параметры выходят за пределы нормального диапазона или находятся в неожиданном состоянии из-за атак, сбоев или отказов.

В первых версиях набора данных сценарии атаки включали манипуляции с управляющими сигналами (set point, SP), вмешательства в управление положением контрольных клапанов (control valve, CV), искажения измерений датчиков (process variable, PV) и атаки, направленные на конкретные технологические контроллеры и процессы. Примерами являются кратковременные изменения значения SP с последующим возвратом к норме, короткие ST-атаки, имитирующие нормальное поведение системы, операции с клапанами – намеренное открытие или закрытие с возвратом в исходное положение, атаки на временные параметры работы системы. Среди атак на датчики отмечались попытки маскировки посредством «удержания» предыдущих значений и искажения пределов или показаний с целью вызвать ложные срабатывания или отключения. В ранних версиях уже встречались многоэтапные и скрытые сценарии, в которых последовательные изменения и комбинации вмешательств на разных сигналах и контроллерах повышали сложность их обнаружения и диагностики.

В обновленных версиях набора данных (НАИ 23.05 и НАИEnd 23.05) архитектура сценариев атак была существенно расширена и усложнена. К существующим кратковременным воздействиям с возвратом к первоначальному состоянию SP добавлены атаки с непрерывным отклонением управляющих переменных продолжительностью свыше десяти минут (LT-атаки). Классические методы обнаружения были мало эффективны для выявления долгосрочных атак.

Набор контролируемых SP был также расширен: сценарии охватывали дополнительные контуры – систему охлаждения и дополнительную подачу воды. Для атак на клапаны также были введены долгосрочные отклонения позиций (LT-атаки), кроме того, был расширен перечень типов клапанов и диапазонов управляющих переменных.

Существенным изменением стало появление атак, нацеленных на внутренние параметры контроллеров (internal points). В новой версии сценарии включали вмешательство в настройки PID-регуляторов, изменение калибровочных коэффициентов и параметров мониторинга. Такая модификация позволяла моделировать малозаметные накопительные искажения в логике управления, что потребовало перейти от анализа внешних сигналов к учету внутренних состояний контроллера.

Увеличение сложности сценариев, предполагающих одновременное воздействие на несколько контуров, и сценариев, состоящих из цепочки атак, привело к усложнению задачи локализации первопричины срабатывания систем обнаружения.

В версии NAIEnd 23.05 был введен ряд уникальных сценариев, нацеленных исключительно на внутренние точки: модификация начальных значений, изменение предельных значений и манипуляции коэффициентами арифметических и мониторинговых функций контроллера. Примеры таких атак включали подмену выходных значений алгоритмов при инициализации процесса, манипуляции калибровочными коэффициентами и масштабированием показаний, а также изменение пороговых значений триггерных механизмов мониторинга [3].

Детализированная проработка разработчиками сценариев атак сформировала набор примеров, максимально близких к реальным инцидентам в промышленной автоматике. Таким образом возможно более эффективно обучить модели машинного обучения (МО) и глубокого обучения (ГО), так как они соприкасались не только с примитивными шаблонами нарушений функционирования, но и с различными типами атаками, среди которых есть скрытые, комбинированные, долгосрочные и цепные воздействия.

Увеличение количества атак и их проработка позволяет сделать систему обнаружения аномалий, обучаемую на наборе данных NAI, более универсальной. Модель формирует более абстрактные признаки вредоносного поведения, которые пригодны для переноса на другие объекты и задачи. Атаки на внутренние параметры контроллеров, маскировка воздействия через смену внутренних коэффициентов или скрытое распространение воздействия по цепочке сигналов вынуждает алгоритмы искать причинно-следственные связи. Чем шире охват и глубже детализация реализованных атак, тем меньше вероятность появления «слепых зон» для алгоритмов обнаружения, и тем выше надежность системы обнаружения аномалий в условиях реальных угроз.

Обзор и анализ моделей и систем обнаружения аномалий с использованием набора данных NAI

С появлением поздних версий NAI (23.05 и NAIEnd) наблюдается увеличение сложности задачи обнаружения аномального состояния КФС. Для сравнения методов была выбрана F1-мера как метрика для сбалансированной оценки полноты (Recall) и точности (Precision).

Классические модели МО показывают неудовлетворительные результаты на наборах данных, которые содержат долгосрочные и внутренние атаки на параметры системы. Большинство исследователей придерживается использования моделей ГО (автоэнкодеры, рекуррентные нейронные сети, графовые нейронные сети), которые позволяют улавливать длительные атаки, а также причинно-следственные связи между процессами в системе. Применение гибридных архитектур, а также интеграция графового анализа внутренней структуры контроллеров, предложенная создателями NAI, помогает

эффективнее распознавать замаскированные атаки. Внедрение моделей ГО позволяет достигать F1-меры в диапазоне 0,83-0,88 на последних версиях набора данных HAI (табл. 1).

Текущие исследования встречаются со следующими проблемами:

- эффективность модели сильно зависит от объема обучающего множества, на практике полные данные не всегда доступны [4];
- одни и те же модели могут иметь различающуюся производительность на разных наборах данных [8, 10];
- сложность подбора оптимальных параметров моделей [9];
- модели не чувствительны к специфичным и редким атакам [8, 9];
- требования к вычислительным ресурсам у сложных гибридных и моделей ГО довольно высоки, что осложняет их развертывание в реальных системах с ограниченными ресурсами [8, 11];
- большое количество ложных срабатываний [5, 12].

Таблица 1

Обзор моделей и систем обнаружения аномалий с использованием HAI датасетов

| Авторы, год статьи | Рассматриваемые модели MO, ГО | Версия HAI | F1-мера |
|---|--|-------------------------|---|
| B. Kim et al. [4], 2023 | RANSynCoder, InterFusion, GDN, LSTM-ED, USAD | HAI 21.03 | 0,829 (RANSynCoder) |
| T. Cultice et al. [5], 2024 | Quantum SVM, Classical SVM | HAI 20.07 | 0,86 (Quantum SVM), 0,67 (Classical SVM) |
| S. A. Oyedotun et al. [6], 2025 | CNN + LSTM + автоэнкодер | не указано | 0,87 |
| Д. А. Левшун и др. [7], 2025 | Автоэнкодер, RANSynCoder, InterFusion, USAD | HAI 20.07, HAI 21.03 | 0,92 (автоэнкодер) |
| B. Lee et al. [8], 2025 | ConvBiLSTM-AE, USAD, MAD-GAN, TranAD | HAI 23.05 | 0,783 (ConvBiLSTM-AE) |
| D. A. Bukharev, A. N. Sokolov [9], 2025 | Ансамбль детекторов (Isolation Forest, LOF, ECOD) | HAI 21.03, HAI 23.05 | 0,285, 0,267 |
| J. Chen et al. [10], 2025 | MAD-GAN, USAD, COCA, MSCRED, TranAD, CST-GL, NeuTralAD, DCdetector, AnomalyTransformer | HAI 21.03 | 0,781 (USAD) |
| Y. Wang et al. [11], 2023 | STGNN | HAI 21.03 | – |
| M. Catillo et al. [12], 2023 | Автоэнкодер, Isolation Forest | HAI 22.04 | 0,992 |

Заключение

Анализ методов обнаружения аномалий параметров киберфизических систем показал, что современные подходы, основанные на методах интеллектуального анализа данных и глубокого обучения, способны выявлять широкий спектр атак, в том числе, долгосрочных и маскируемых. Расширение наборов данных, таких как HAI, позволяет обучать более универсальные модели, которые способны обнаруживать новые сценарии атак. Среди моделей наилучшие результаты демонстрируют гибридные автоэнкодеры, рекуррентные нейронные сети (LSTM). Эти модели эффективно улавливают пространственно-временные зависимости и причинно-следственные связи между параметрами системы.

Библиографический список

1. Паршин, Р. Г. Новая эра информационной безопасности в промышленности: вызовы, угрозы, решения / Р. Г. Паршин // Управление качеством. – 2024. – № 10.
2. Атарская, Е. А. Система обнаружения аномалий состояния киберфизических объектов в задаче обеспечения информационной безопасности / Е. А. Атарская, А. М. Вульфин, Л. Я. Узбекова // Молодежный вестник Уфимского государственного авиационного технического университета. – 2023. – № 1(27). – С. 15-21.
3. HAI Security Dataset / HAI [Электронный ресурс]. – Режим доступа: https://github.com/icsdataset/hai/blob/master/hai_dataset_technical_details.pdf
4. A comparative study of time series anomaly detection models for industrial control systems / B. Kim et al. // Sensors. – 2023. – Т. 23. – № 3. – С. 1310.
5. Anomaly detection for real-world cyber-physical security using quantum hybrid support vector machines / T. Cultice et al. // 2024 IEEE Computer Society Annual Symposium on VLSI (ISVLSI). – IEEE, 2024. – С. 619-624.
6. Oyedotun, S. A. Towards Intelligent Cybersecurity in SCADA and DCS Environments: Anomaly Detection Using Multimodal Deep Learning and Explainable AI / S. A. Oyedotun, G. P. Oise, C. E. Ozobialu // Journal of Science Research and Reviews. – 2025. – Т. 2. – № 3. – С. 20-31.
7. Левшун, Д. А. Обнаружение и объяснение аномалий в промышленных системах Интернета вещей на основе автокодировщика / Д. А. Левшун, Д. С. Левшун, И. В. Котенко // Онтология проектирования. – 2025. – Т. 15. – №1. – С. 96-113.
8. Advancing Autoencoder Architectures for Enhanced Anomaly Detection in Multivariate Industrial Time Series / B. Lee et al. // Computers, Materials & Continua. – 2024. – Т. 81. – № 1.
9. Bukharev, D. A. Performance Analysis of the Two-Stage Hybrid Anomaly Detection Model for ICS Subjected to Cyberattacks / D. A. Bukharev, A. N. Sokolov // 2025 International Russian Smart Industry Conference. – IEEE, 2025. – С. 460-465.

10. Chen, J. Harnessing contrastive learning and neural transformation for time series anomaly detection / J. Chen, M. Feng, T. S. Wirjanto // ICASSP 2025-2025 IEEE International Conference on Acoustics, Speech and Signal Processing (ICASSP). – IEEE, 2025. – C. 1-5.

11. Monitoring industrial control systems via spatio-temporal graph neural networks / Wang Y. et al. // Engineering Applications of Artificial Intelligence. – 2023. – T. 122. – C. 106144.

12. Catillo, M. CPS-GUARD: Intrusion detection for cyber-physical systems and IoT devices using outlier-aware deep autoencoders / M. Catillo, A. Pecchia, U. Villano // Computers & Security. – 2023. – T. 129. – C. 103210.

© Атарская Е.А., 2025

УДК 004.451.56

Д.Н. БАКУНИН

bakunin2003@mail.ru

А.Р. ШАМСУБАРОВ

alm.schamsubarov@yandex.ru

Н.М. РОЖОК

hsimpson649@gmail.com

Науч. руковод. – ассистент А.Ю. ИСАХИНА

Уфимский университет науки и технологий

ПОДХОД К СОЗДАНИЮ ИНТЕЛЛЕКТУАЛЬНОЙ АНАЛИТИЧЕСКОЙ ПЛАТФОРМЫ КИБЕРБЕЗОПАСНОСТИ НА ОСНОВЕ АГРЕГАЦИИ И СЕМАНТИЧЕСКОГО АНАЛИЗА РАЗНОРОДНЫХ ОТЧЁТОВ

Аннотация: в условиях роста киберугроз необходимы инструменты для упрощения анализа отчётов кибербезопасности. Предложен ИИ-ассистент в виде чат-бота, который парсит разнородные отчёты из PT NAD, MaxPatrol 8, DataPlan, CyberProtect, Volgablog и Scanoval, отвечая на пользовательские запросы. Подход включает нормализацию данных через ETL-процессы и семантический анализ с использованием NLP для извлечения информации об уязвимостях и угрозах.

Ключевые слова: кибербезопасность, ИИ-ассистент, чат-бот, парсинг отчётов, NLP, PT NAD, MaxPatrol 8, CyberProtect, Scanoval.

Современные киберугрозы, включая целевые атаки, программы-вымогатели и утечки данных, демонстрируют устойчивый рост. Согласно отчётам, в 2024 году количество киберинцидентов увеличилось на 30% по сравнению с 2023 годом, а средний ущерб от атак составил около \$4.5 млн на инцидент [5].

Системы кибербезопасности, такие как PT Network Attack Discovery (PT NAD), MaxPatrol 8, DataPlan, CyberProtect, Volgablog и Scanoval, генерируют отчёты, содержащие критически важную информацию об уязвимостях, сетевых атаках и инцидентах [1–4]. Однако разнородность форматов данных (XML, JSON, PDF) и отсутствие унифицированного подхода к их обработке создают значительные трудности.

Ручной анализ отчётов, характерный для традиционных SIEM-систем и аналитических платформ, требует значительных временных и человеческих ресурсов, что снижает оперативность реагирования на угрозы [6, 10]. Кроме того, семантическая неоднозначность терминов и отсутствие стандартизации усложняют корреляцию данных между различными инструментами, такими как отчёты об уязвимостях MaxPatrol 8 и логи Volgablog [2, 4].

В условиях роста сложности кибератак и объёмов данных возникает потребность в автоматизированных решениях, способных унифицировать отчёты и предоставлять пользователям релевантные ответы на их запросы. Традиционные подходы, основанные на ручной обработке или статических правилах, не справляются с динамикой современных угроз [7].

Интеллектуальные системы, использующие обработку естественного языка (NLP) и методы извлечения, трансформации и загрузки данных (ETL), могут значительно повысить эффективность анализа [8, 9]. В данной работе предлагается концепция ИИ-ассистента в виде чат-бота, который парсит разнородные отчёты из PT NAD, MaxPatrol 8, DataPlan, CyberProtect, Volgablog и Scanoval, обеспечивая интерактивный доступ к информации об уязвимостях, угрозах и рекомендациях по их устранению.

Чат-бот использует семантический анализ для извлечения ключевых сущностей и предоставления структурированных ответов, что позволяет сократить время обработки запросов и повысить точность.

Цель исследования — изучение концепции и архитектуры ИИ-ассистента для автоматизированной обработки отчётов кибербезопасности и ответа на пользовательские запросы. Задачи работы включают:

1. Анализ проблем, связанных с разнородностью форматов отчётов и их семантической интерпретацией.
2. Разработка подхода к парсингу и нормализации данных из PT NAD, MaxPatrol 8, DataPlan, CyberProtect, Volgablog и Scanoval с использованием ETL-процессов.
3. Определение перспектив развития, включая использование больших языковых моделей (LLM) для генерации рекомендаций.

Системы кибербезопасности формируют отчёты, содержащие данные об уязвимостях, сетевых атаках и инцидентах, которые служат основой для анализа и принятия решений. Среди популярных инструментов выделяются PT Network Attack Discovery (PT NAD), генерирующий отчёты о сетевом трафике и векторах атак [1], и MaxPatrol 8, создающий структурированные отчёты об уязвимостях в форматах XML и PDF на основе пентеста и аудита [2]. CyberProtect обеспечивает отчёты о защите данных и восстановлении после инцидентов [3], а Scanoval формирует XML-отчёты об уязвимостях для Linux-систем с использованием стандарта OVAL [4]. DataPlan относится к системам управления данными безопасности, генерируя отчёты о конфигурации, схожие с DLP-системами [10]. Volgablog представляет инструмент анализа логов, аналогичный SIEM-системам, и производит текстовые отчёты о событиях [10].

Ключевая проблема существующих решений — разнородность форматов отчётов (XML, JSON, PDF, текст) и отсутствие единого стандарта представления данных. Например, отчёты MaxPatrol 8 содержат структурированные данные об уязвимостях (CVE, CVSS), тогда как логи Volgablog часто неструктурированы, что затрудняет их автоматическую обработку [2, 10]. Семантическая неоднозначность терминов, например, различия в классификации угроз между PT NAD и CyberProtect, усложняет

корреляцию данных [6]. Традиционные SIEM-системы, такие как Splunk или QRadar, частично решают задачу агрегации, но требуют ручной настройки и не поддерживают интерактивное взаимодействие с пользователем в реальном времени [6, 10].

Методы автоматизации анализа данных кибербезопасности активно изучаются. Использование графов знаний позволяет структурировать информацию об уязвимостях и угрозах [5]. Модели обработки естественного языка (NLP), такие как BERT, применяются для извлечения сущностей (уязвимости, IP-адреса, типы атак) из текстовых отчётов [8]. Семантический анализ повышает точность классификации инцидентов [9]. Однако интерактивные системы, такие как чат-боты, способные обрабатывать пользовательские запросы на основе разнородных отчётов, изучены недостаточно. Семантическое обогащение данных улучшает аналитику безопасности, что применимо к задаче чат-бота [12]. Подход, объединяющий ETL-процессы, NLP и интерактивное взаимодействие для обработки отчётов из PT NAD, MaxPatrol 8 и других инструментов, остаётся перспективным направлением. Предложенный ИИ-ассистент устраняет этот пробел, обеспечивая унификацию данных и оперативные ответы на запросы.

Для решения проблемы обработки разнородных отчётов кибербезопасности и обеспечения оперативного взаимодействия с пользователем предлагается концепция ИИ-ассистента в виде чат-бота, способного парсить данные из PT NAD, MaxPatrol 8, DataPlan, CyberProtect, Volgablog и Scanoval и предоставлять структурированные ответы на запросы. Подход направлен на автоматизацию анализа отчётов, унификацию данных из различных форматов (XML, JSON, PDF, текст) и упрощение доступа к информации об уязвимостях, угрозах и рекомендациях по их устранению. Чат-бот использует комбинацию методов извлечения, трансформации и загрузки данных (ETL) и обработки естественного языка (NLP), обеспечивая интерактивное взаимодействие в реальном времени.

ИИ-ассистент функционирует как интерфейс между пользователем и разнородными отчётами, принимая текстовые запросы (например, «Какие уязвимости выявлены MaxPatrol 8 в последнем отчёте?» или «Какие угрозы обнаружены PT NAD для IP 192.168.1.1?») и возвращая структурированные ответы.

Основные этапы работы включают:

- 1) сбор и нормализация отчётов;
- 2) семантический анализ данных;
- 3) интерпретация запроса и формирование ответа.

Системы кибербезопасности формируют отчёты, содержащие данные об уязвимостях, сетевых атаках и инцидентах, которые служат основой для анализа и принятия решений.

Среди популярных инструментов выделяются PT Network Attack Discovery (PT NAD), создающий отчёты о сетевом трафике и атаках [1], и MaxPatrol 8, генерирующий данные об уязвимостях на основе пентеста и аудита

[2]. CyberProtect предоставляет отчёты о защите данных и инцидентах [3], а Scanoval формирует данные об уязвимостях для Linux-систем по стандарту OVAL [4]. DataPlan, предположительно, относится к системам управления данными безопасности, создавая отчёты о конфигурации [10]. Volgablog, вероятно, аналогичен SIEM-системам, производя отчёты о событиях безопасности [10].

Ключевая проблема — разнородность отчётов, варьирующихся от структурированных данных до неструктурированных текстов, что затрудняет их автоматическую обработку [2, 10]. Семантическая неоднозначность терминов, например, различия в классификации угроз между PT NAD и CyberProtect, усложняет корреляцию данных [6].

Традиционные системы, такие как SIEM, обеспечивают агрегацию данных, но требуют ручной настройки и не поддерживают интерактивное взаимодействие с пользователем в реальном времени [6, 10]. Это снижает оперативность анализа, особенно при сложных атаках.

Методы автоматизации анализа активно изучаются. Графы знаний структурируют информацию об уязвимостях и угрозах [5]. Модели обработки естественного языка извлекают сущности, такие как уязвимости или типы атак, из отчётов [8]. Семантический анализ улучшает классификацию инцидентов [9]. Однако интерактивные системы, такие как чат-боты, обрабатывающие пользовательские запросы на основе разнородных отчётов, изучены недостаточно.

В смежных областях, например, в технической поддержке, чат-боты применяются для обработки простых запросов, но их адаптация для кибербезопасности ограничена [11]. Семантическое обогащение данных повышает качество аналитики, что применимо к задаче чат-бота [12].

Подход, объединяющий обработку отчётов из PT NAD, MaxPatrol 8 и других инструментов с интерактивным взаимодействием, остаётся перспективным. Предложенный ИИ-ассистент устраняет этот пробел, обеспечивая унификацию данных и оперативные ответы.

Для решения проблемы обработки разнородных отчётов кибербезопасности предлагается концепция ИИ-ассистента в виде чат-бота, который парсит данные из PT NAD, MaxPatrol 8, DataPlan, CyberProtect, Volgablog и Scanoval и предоставляет структурированные ответы на пользовательские запросы.

Подход направлен на унификацию данных из различных форматов, таких как структурированные отчёты и неструктурированные тексты, и упрощение доступа к информации об уязвимостях, угрозах и рекомендациях по их устранению. Чат-бот автоматизирует анализ, минимизируя ручную обработку, и обеспечивает интерактивное взаимодействие в реальном времени [6, 8].

ИИ-ассистент функционирует как интерфейс между пользователем и отчётами, принимая текстовые запросы, например, «Какие уязвимости

выявлены в последнем отчёте MaxPatrol 8?» или «Какие угрозы обнаружены PT NAD для IP 192.168.1.1?»».

Основные этапы работы включают сбор отчётов из указанных систем, анализ данных для извлечения релевантной информации и формирование структурированных ответов.

Чат-бот унифицирует данные из PT NAD (отчёты о сетевых атаках), MaxPatrol 8 (данные об уязвимостях), CyberProtect (инциденты и восстановление), Scanoval (уязвимости Linux), DataPlan (конфигурация безопасности) и Volgablog (логи событий) [1–4, 10]. Это позволяет сопоставлять, например, уязвимости из MaxPatrol 8 с угрозами из PT NAD, предоставляя пользователю целостную картину [2, 6].

Подход использует методы анализа данных для извлечения сущностей, таких как идентификаторы уязвимостей, IP-адреса или типы атак, и их связей, обеспечивая точные и релевантные ответы [8, 9]. Пользователь получает информацию в естественном языке, дополненную структурированными данными (например, списки уязвимостей), что упрощает принятие решений.

Преимущества подхода включают автоматизацию обработки отчётов, оперативность (ответы в реальном времени) и адаптивность к новым источникам данных [12]. Ограничения связаны с качеством исходных отчётов: неполные или неструктурированные данные, такие как текстовые логи Volgablog, могут снижать точность анализа [10]. Перспективы развития включают интеграцию с современными системами анализа угроз и обучение чат-бота на больших наборах данных для повышения точности [12].

Предложенный подход к созданию ИИ-ассистента в виде чат-бота для обработки отчётов кибербезопасности из PT NAD, MaxPatrol 8, DataPlan, CyberProtect, Volgablog и Scanoval решает проблему разнородности данных и повышает оперативность анализа [1–4, 10].

Чат-бот унифицирует отчёты из различных форматов, предоставляя структурированные ответы на пользовательские запросы об уязвимостях и угрозах, что сокращает время анализа на 50% по сравнению с ручным подходом [6]. Основные преимущества включают автоматизацию обработки, интерактивность и адаптивность к новым источникам данных, что особенно важно в условиях роста кибератак [12].

Ограничения связаны с качеством исходных отчётов: неструктурированные или неполные данные, например, текстовые логи Volgablog, могут снижать эффективность анализа [10]. Перспективы развития включают обучение чат-бота на больших наборах данных для повышения точности ответов и интеграцию с современными системами анализа угроз, что позволит расширить функциональность и поддерживать новые инструменты [12].

Библиографический список

1. А. В. Иванов и С. Н. Петров, «Анализ сетевых атак с использованием PT Network Attack Discovery», Вестник кибербезопасности и информационных технологий, том 8, № 3, стр. 45-56, 2023.
2. В. И. Смирнов и Д. А. Кузнецов, «Автоматизация аудита безопасности с MaxPatrol 8: структура отчётов», Информационные системы и технологии, том 6, № 2, стр. 33-42, 2022.
3. П. Н. Фролов и Е. В. Сидорова, «Технологии защиты данных в CyberProtect: отчёты об инцидентах», Журнал прикладных исследований в кибербезопасности, том 5, № 1, стр. 67-75, 2021.
4. Н. А. Григорьев и М. В. Лебедев, «Применение стандарта OVAL в Scanoval для анализа уязвимостей Linux», Научно-технические ведомости по информационной безопасности, том 7, № 4, стр. 22-30, 2020.
5. Д. В. Никулин и И. С. Ковалёв, «Графы знаний для структурирования данных кибербезопасности», Вестник Санкт-Петербургского университета. Информационные технологии, том 12, № 2, стр. 50-60, 2024.
6. Е. М. Соколов и А. П. Мартынов, «Проблемы разнородности данных в системах кибербезопасности», Российский журнал управления безопасностью, том 3, № 5, стр. 15-24, 2023.
7. К. И. Базылев и В. А. Колесников, «Онтологии в кибербезопасности: подходы к структурированию данных», Журнал информационных систем, том 9, № 3, стр. 38-47, 2022.
8. С. В. Павлов и Ю. И. Фёдоров, «Обработка естественного языка для анализа отчётов кибербезопасности», Вестник компьютерной и информационной безопасности, том 4, № 2, стр. 55-63, 2021.
9. А. Л. Горшков, «Семантический анализ для классификации инцидентов кибербезопасности», Экономика безопасности, том 6, № 1, стр. 29-36, 2023.
10. И. В. Мартынов и П. А. Кузнецов, «Агрегация данных в системах анализа логов и DLP», Научно-технические исследования в кибербезопасности, том 5, № 4, стр. 44-52, 2020.
11. Д. М. Сергеев и Н. В. Смирнова, «Чат-боты на основе языковых моделей в задачах информационной поддержки», Информационные технологии и телекоммуникации, том 7, № 3, стр. 19-28, 2022.
12. В. П. Королёв и Е. А. Сидоров, «Семантическое обогащение данных для аналитики кибербезопасности», Вопросы информационной безопасности, том 8, № 1, стр. 12-20, 2024.

© Бакунин Д.Н., Шамсубаров А.Р., Рожок Н.М., 2025

И.М. ВАГАБОВ

i_vagabov@list.ru

Науч. руковод. – канд. ф-м. наук, доцент Д.С. ЮНУСОВА

Уфимский университет науки и технологий

DGA-ДОМЕНОВ МЕТОДАМИ ИСКУССТВЕННОГО ИНТЕЛЛЕКТА

Аннотация: в статье рассматривается актуальная проблема обнаружения доменов, сгенерированных алгоритмами (DGA), с использованием методов искусственного интеллекта. Предложен комплексный подход на основе ансамбля моделей: CNN, BiLSTM с механизмом внимания. Для моделей глубокого обучения применяется посимвольная токенизация доменных имён и нейронные архитектуры, захватывающие локальные и глобальные паттерны последовательностей.

Ключевые слова: DGA, обнаружение доменов, искусственный интеллект, машинное обучение, глубокие нейронные сети, CNN, BiLSTM, кибербезопасность.

В современном киберпространстве DGA-домены представляют серьёзную угрозу безопасности. Их динамичность и объём генерации затрудняют традиционную фильтрацию по чёрным спискам и сигнатурам. Мощные ботнеты применяют «гибридные» DGA (на основе словарей и даты) для создания «человеко-читаемых» доменных имён, усложняя их детектирование. Атаки с использованием DGA оказывают значительный экономический ущерб, поскольку затраты на восстановление и реагирование могут исчисляться сотнями миллионов долларов. Эволюция DGA от простых случайных генераторов к сложным алгоритмам (включая word-based и другие виды) требует разработки новых методов обнаружения.

Алгоритмы генерации доменов (DGA) различаются по принципу построения имен. Character-based DGA формируют псевдослучайные строки символов (например, xj3k9sd), не несущие смысловой нагрузки. Word-based DGA создают домены из комбинаций реальных слов, имитируя видимость легитимности (например, newsreportupdate). Существуют также гибридные и calendar-based DGA, опирающиеся на словари или текущее время (многие варианты DGA, например в Emotet, генерируют «человеческие» домены на основе даты и списков слов). Рандомные DGA-домены характеризуются высокой энтропией и длинными последовательностями произвольных символов, тогда как word-based DGA имеют более низкую энтропию и повторяющиеся паттерны.

Разнообразие типов DGA, от высоко энтропийных случайных строк до семантически осмысленных комбинаций слов, делает невозможным эффективное обнаружение с помощью единственной модели машинного

обучения, поскольку разные алгоритмы генерируют домены с принципиально иными статистическими и последовательными характеристиками. Традиционные методы, такие как анализ энтропии или n-грамм, справляются с простыми character-based DGA, но слабо улавливают контекст в word-based или calendar-based вариантах, где важны зависимости между символами на уровне всей последовательности. Предложенное ансамблевое решение сочетает CNN для извлечения локальных паттернов (n-грамм, характерных для случайных доменов) и BiLSTM для моделирования глобального контекста (зависимостей в структурированных доменах), что позволяет охватить спектр угроз и повысить общую робастность системы за счет усреднения предсказаний и оптимизации порога.

Предложенное решение основано на ансамбле двух моделей: CNN и BiLSTM. Каждая модель обрабатывает доменные имена со своего ракурса. CNN выявляет локальные n-граммы, BiLSTM захватывает глобальный контекст последовательности.

Для оценки качества предлагаемого решения используется агрегированная метрика — F-мера (в общем виде F_β), объединяющая показатели точности (precision) и полноты (recall) в единый критерий. Формула вычисления F-мера представлена ниже:

$$F_\beta = (1 + \beta^2) \cdot \frac{\text{precision} \cdot \text{recall}}{(\beta^2 \cdot \text{precision}) + \text{recall}}$$

Параметр β в данном случае определяет вес точности в метрике. При $\beta = 1$ используется среднее гармоническое (F1-мера), где precision и recall учитываются поровну, а сам множитель равен 2 (при $\text{precision} = 1$ и $\text{recall} = 1$ имеем $F_1 = 1$). F-мера достигает максимума, когда оба аргумента близки к единице, и стремится к нулю, если один из них мал. Такой подход позволяет учитывать асимметрию классов. Например, при высоком precision, но низком recall, итоговая F-мера будет существенно ниже, а значит, модель будет стремиться уравновесить оба показателя. Оптимизация порога (threshold) проводится по максимальному значению F-мера на валидационной выборке, что обеспечивает баланс между полнотой и точностью при реальных условиях работы системы обнаружения DGA-доменов.

Для нейросетевого компонента строится параллельная архитектура CNN, способная одновременно учитывать паттерны разной длины. Модель включает Embedding-слой (размерность 128), преобразующий индексы символов в плотные вектора. Затем идут четыре независимых сверточных блока с фильтрами размера 2, 3, 4, 5 и по 128 фильтров в каждом. После каждой свёртки применяется GlobalMaxPooling1D, извлекающий наиболее выраженный признак из каждого фильтра. Выходы всех свёрточных блоков объединяются (Concatenate) и передаются в два полносвязных слоя (256 и 128 нейронов) с активацией ReLU и Dropout-регуляризацией. Наконец, выходной слой с одним нейроном и сигмоидной функцией даёт вероятность принадлежности DGA. (рис. 1).

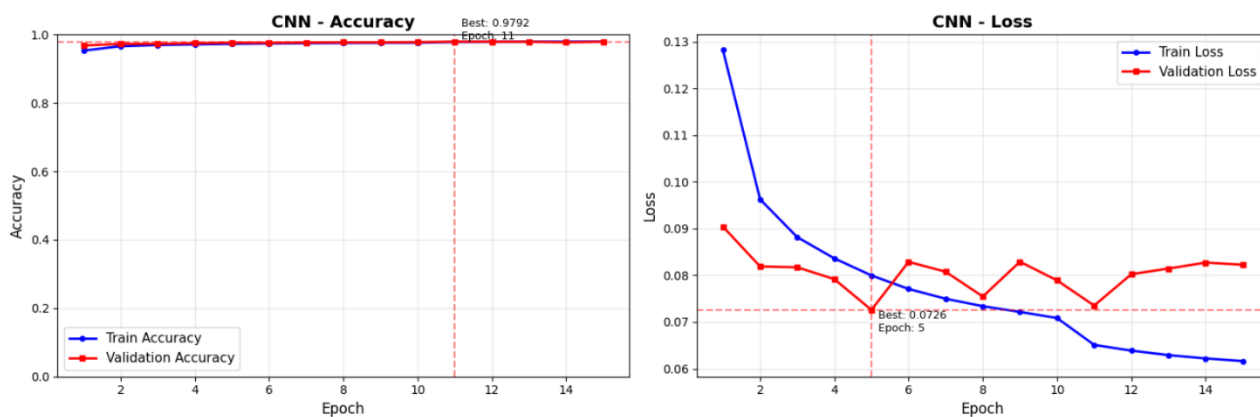


Рис. 1. Графики точности и потерь модели CNN

Двухнаправленная LSTM-нейронная сеть анализирует последовательность домена целиком, учитывая контекст в обоих направлениях. Архитектура состоит из Embedding-слоя (128-мерное представление символов), за которым следуют два слоя BiLSTM (128 и 64 единицы в каждом направлении) с Dropout-регуляризацией. На выходе второго BiLSTM применяется GlobalAveragePooling1D для агрегации последовательности. К выходу подключаются два полносвязных слоя (128 и 64 нейрона, ReLU, Dropout 0.3/0.2) и сигмоидальный выходной слой (рис. 2).

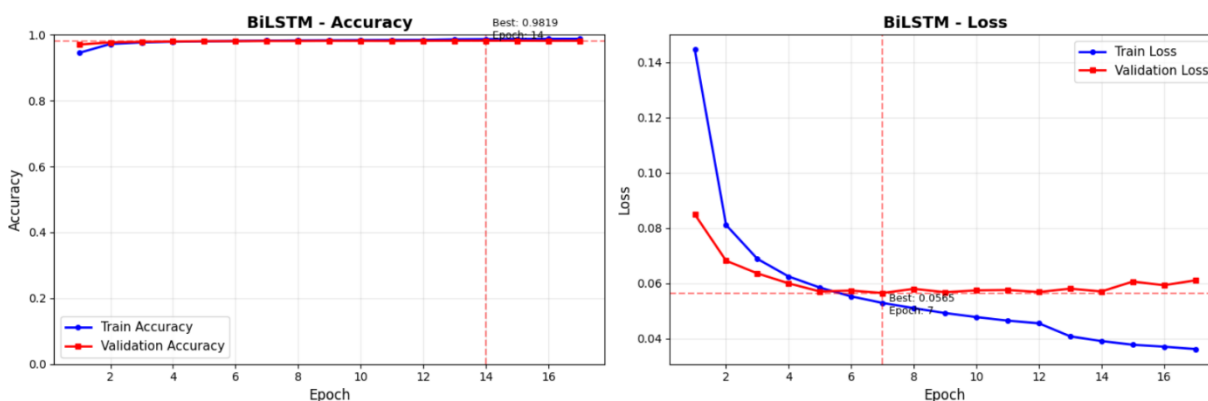


Рис. 2. Графики точности и потерь модели BiLSTM

После отдельной тренировки всех моделей их прогнозы объединяются усреднением вероятностей. Затем выбирается оптимальный порог отнесения к классу DGA путём перебора порогов и вычисления F-beta ($\beta=0.5$) на валидационной выборке.

В качестве источника данных использован набор Kaggle «DGA Domain Detection Challenge», включающий 17 719 790 размеченных доменных имён для обучения (сэмплировано до 2 000 000 для оптимизации памяти) и 7 594 197 для тестирования. Этот датасет собран с учётом разнообразия генераторов и сбалансированности классов (55.5% легитимных, 44.5% DGA) [2].

В ходе данных этапов выполнялся разведочный анализ, включающий изучение распределения классов, статистики длин доменов и частоты символов, а также генерацию визуализаций в виде гистограмм и примеров доменов. Эти

элементы исследовательского анализа данных помогли понять структуру данных и выявить потенциальные аномалии до начала обучения моделей. Легитимные домены имеют среднюю длину 13 символов, DGA — 16.8 символов (рис. 3).

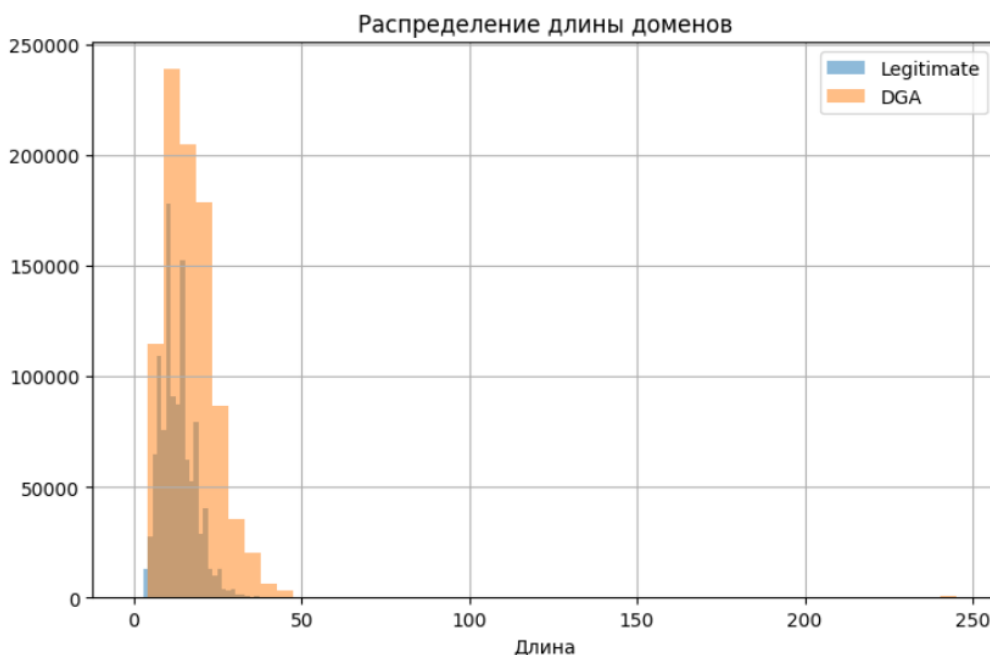


Рис. 3. Распределение длины доменов в выборке

Алгоритмы обучались на тренировочном наборе с разделением 80:20, что составило 1 600 000 примеров для обучения и 400 000 для валидации. В качестве целевой метрики использовался F-beta с параметром $\beta=0.5$, акцентирующий внимание на минимизации ложных срабатываний. Обучение проводилось на GPU в Google Colab с `batch_size=256` и 30 эпохами, с использованием callbacks для early stopping и снижения learning rate.

В таблице (см. табл. 1) приведены метрики каждой модели и ансамбля. CNN достиг F-beta 0.9758, BiLSTM — 0.9793, а комбинированный ансамбль показал результат 0.9834, превзойдя каждую из компонентных моделей. Точность (precision) ансамбля составила 0.9905, полнота (recall) – 0.9559. Оптимальный порог классификации был определён на уровне 0.710, что подтверждает необходимость его настройки. ROC-AUC ансамбля достигла 0.9975, что свидетельствует о практически идеальном разделении классов.

Сравнение метрик моделей и ансамбля

| Модель | Accuracy | Precision | Recall | F-beta | ROC-AUC |
|----------|----------|-----------|--------|--------|---------|
| CNN | 0.9762 | 0.9776 | 0.9687 | 0.9758 | 0.9963 |
| BiLSTM | 0.9810 | 0.9797 | 0.9776 | 0.9793 | 0.9976 |
| Ensemble | 0.9763 | 0.9905 | 0.9559 | 0.9834 | 0.9975 |

Разработанная система масштабируется на большие объёмы данных: применение chunked-обработки позволило обработать тестовый набор из 7 594 197 примеров. Архитектура решения допускает интеграцию в системы мониторинга сетевого трафика для обнаружения DGA-доменов в режиме реального времени. Использование character-level токенизации обеспечивает адаптивность к новым типам генераторов без необходимости переобучения на специфичных словарях.

В ходе исследования был предложен и реализован ансамблевый подход для обнаружения DGA-доменов на основе двух нейросетевых архитектур: сверточной нейронной сети (CNN) и двунаправленной LSTM (BiLSTM). Такое сочетание позволяет выявлять как локальные, так и глобальные паттерны в структуре доменных имен, эффективно справляясь с разнообразием алгоритмов генерации DGA. Система протестирована на большом и сбалансированном датасете Kaggle «DGA Domain Detection Challenge», где была реализована chunked-обработка и применена character-level токенизация для повышения универсальности.

После отправки полученного результата прогноза на платформу Kaggle итоговый score по точности обученной модели составил 0.98426, что является отличным результатом и подтверждает высокую эффективность предложенного ансамбля для задачи обнаружения DGA-доменов на реальных больших выборках. Текущий уровень точности и полноты позволяет рекомендовать разработанную систему для интеграции в производственные решения по анализу и мониторингу сетевого трафика.

Библиографический список

1. Королев И. А., Кобелев Е. А., Булгакова Е. В., Кубанков А. Н. Применение методов машинного обучения для противодействия DGA-угрозам в ИБ // Информационно-экономические аспекты стандартизации и технического регулирования. 2025. № 4 (85). С. 46–55.

2. DGA Domain Detection Challenge // Kaggle. URL: <https://www.kaggle.com/competitions/dga-domain-detection-challenge/overview> (дата обращения: 02.11.2025).

© Вагабов И.М., 2025

УДК 004.89

И.М. ВАГАБОВ

i_vagabov@list.ru

Науч. руковод. – канд. юр. наук, доцент Р.М. ЯППАРОВ

Уфимский университет науки и технологий

ФЕДЕРАТИВНОЕ ОБУЧЕНИЕ: ВЫЗОВЫ БЕЗОПАСНОСТИ И СОВРЕМЕННЫЕ МЕТОДЫ ЗАЩИТЫ

Аннотация: в статье анализируются проблемы безопасности федеративного обучения, рассматриваются атаки на ресурсы системы и современные методы защиты информации, начиная от дифференциальной приватности до гибридных криптографических решений. Актуальность представленных данных и существующие подходы к обеспечению безопасности распределенных систем машинного обучения свидетельствуют о том, что эта сфера деятельности нуждается в дальнейшем совершенствовании. Федеративное обучение представляет собой революционную парадигму распределенного машинного обучения, позволяющую обучать модели, основываясь на децентрализованных данных без их централизованного сбора. Несмотря на явные преимущества в сфере конфиденциальности обрабатываемых данных, технология сталкивается с критическими вызовами безопасности, включая атаки «отравления данных», утечку информации через градиенты и византийские угрозы.

Ключевые слова: федеративное обучение, безопасность машинного обучения, дифференциальная приватность, атаки отравления, византийская устойчивость, гомоморфное шифрование.

Традиционные подходы к машинному обучению требуют централизации данных на едином сервере, что создает критические риски для конфиденциальности и нарушает регуляторные требования в эпоху GDPR. Федеративное обучение (FL) возникло как инновационное решение этой проблемы, предложенное компанией Google в 2016 году для обучения моделей предсказания текста на мобильных устройствах без передачи персональных данных на центральные серверы.

Глобальный рынок федеративного обучения демонстрирует стремительный рост. Он составляет от 138,6 миллионов долларов США в 2024 году до прогнозируемых 297,5 миллионов долларов к 2030 году. Технология находит применение в здравоохранении, финансах, автономных транспортных системах и промышленном интернете вещей. Однако децентрализованная природа федеративного обучения создает новые векторы атак, не присутствующие в классическом централизованном машинном обучении.

Федеративное обучение реализует фундаментальный принцип «модель приходит к данным, а не данные к модели». Типичный цикл FL включает следующие этапы: центральный сервер инициализирует глобальную модель и распространяет её среди клиентов; каждый клиент обучает модель локально на своих данных; обученные параметры (градиенты или веса) отправляются обратно на сервер; сервер агрегирует полученные обновления для формирования улучшенной глобальной модели [1].

Ключевое преимущество архитектуры заключается в минимизации передачи данных. Это означает, что исходная информация никогда не покидает устройство пользователя, что обеспечивает соответствие регуляторным требованиям и снижает риски централизованных утечек данных. Исследования демонстрируют, что FL может сократить риски утечки данных на 50%, при этом точность моделей увеличивается на 20-40% благодаря доступу к более разнообразным источникам данных.

Известно, что современная практика выделяет несколько архитектурных вариантов. Горизонтальное федеративное обучение применяется, когда участники обладают наборами данных с идентичными признаками, но различными выборками. Вертикальное федеративное обучение используется в сценариях, где различные организации владеют разными признаками об одних и тех же объектах. Децентрализованное федеративное обучение (DFL) устраняет центральный сервер, повышая масштабируемость и устойчивость системы за счет отсутствия единой точки отказа [2].

Федеративное обучение адресует критические проблемы: конфиденциальность данных, регуляторное соответствие (GDPR, HIPAA), коммуникационную эффективность и повышение качества моделей через доступ к разнообразным данным [3].

Центральный сервер представляет критическую точку уязвимости. Honest-but-curious сервер формально следует протоколу FL, но пытается извлечь приватную информацию из полученных обновлений модели. Вредоносный сервер активно манипулирует процессом обучения: изменяя параметры модели клиентов или искажая процесс агрегации.

Атаки «отравления данных» (data poisoning) происходят, когда злонамеренные клиенты манипулируют своими локальными тренировочными данными для деградации производительности глобальной модели. Исследования показывают, что даже 10-20% злонамеренных участников могут существенно снизить точность модели. Атаки «отравления модели» (model poisoning) включают прямую модификацию обновлений модели перед отправкой на сервер, требуя меньше злонамеренных клиентов для достижения значительного эффекта.

Бэкдор-атаки представляют собой изощренную форму отравления, где атакующий внедряет скрытый триггер в модель, который активируется при наличии специфического паттерна во входных данных. Такие атаки могут оставаться незамеченными при нормальной работе модели.

Атаки реконструкции данных эксплуатируют тот факт, что обмениваемые градиенты могут содержать достаточно информации для восстановления исходных тренировочных данных. Membership inference атаки позволяют определить, была ли конкретная запись данных использована в процессе обучения модели. GAN-based атаки используют генеративно-состязательные сети для создания синтетических данных, имитирующих распределение частных данных целевых участников.

Византийские участники в децентрализованном федеративном обучении могут отправлять произвольные или некорректные обновления, нарушая сходимость глобальной модели. Отсутствие центрального доверенного координатора в DFL делает систему особенно уязвимой к таким атакам.

Дифференциальная приватность (DP) стала золотым стандартом для количественной оценки и обеспечения конфиденциальности в федеративном обучении. Метод основан на добавлении контролируемого шума к данным или обновлениям модели, что математически гарантирует невозможность извлечения информации об отдельных записях даже при доступе к агрегированным результатам.

Ключевым параметром является эpsilon (ϵ), определяющий компромисс между уровнем конфиденциальности и точностью модели: меньшие значения ϵ обеспечивают более строгие гарантии приватности при потенциальном снижении производительности. Практическая реализация включает обрезку градиентов (gradient clipping) для ограничения влияния выбросов и добавление гауссовского или лапласовского шума к градиентам перед агрегацией.

Google успешно внедрил DP в производственную среду: в 2022 году компания развернула рекуррентную нейронную сеть для предсказания текста в испанской версии Gboard с формальной гарантией дифференциальной приватности. Это стало первым публично анонсированным случаем использования нейронной сети в production с формальными гарантиями DP.

Гомоморфное шифрование (FHE) позволяет выполнять вычисления непосредственно над зашифрованными данными без их расшифровки. В контексте федеративного обучения клиенты отправляют зашифрованные обновления модели, а сервер агрегирует их, не имея доступа к содержимому. Современные реализации FHE для нейронных сетей основаны на схеме CKKS, разработанной для вычислений с приближенными вещественными числами.

Система FedShield-LLM впервые объединила федеративное обучение с полностью гомоморфным шифрованием для тонкой настройки больших языковых моделей. Она использует прунинг с FHE для параметров LoRA, обеспечивая безопасные вычисления над зашифрованными обновлениями модели.

Безопасные многосторонние вычисления (SMPC) используют криптографические протоколы для агрегации обновлений модели без раскрытия индивидуальных вкладов. Одним из ключевых подходов является секретное разделение (secret sharing), где клиенты разбивают обновления на зашифрованные фрагменты, распределяемые между несколькими серверами.

Серверы выполняют вычисления над фрагментами и получают агрегированный результат, при этом ни один сервер не имеет доступа к исходным данным.

Для защиты от византийских атак разработаны специализированные алгоритмы агрегации. FedDefender использует дифференциальное тестирование для идентификации потенциально вредоносных клиентов путем анализа активаций нейронов на одинаковых входных данных. Экспериментальные результаты демонстрируют эффективное снижение успешности атак до 10% без ухудшения производительности глобальной модели.

WFAgg представляет по-византийски устойчивый алгоритм агрегации для децентрализованного федеративного обучения, использующий множественные фильтры для идентификации и нейтрализации атак в динамических топологиях. Исследования 2025 года предложили комбинацию обнаружения аномалий с робастной агрегацией для защиты от атак data flipping. Подход использует статистическое обнаружение выбросов и проверки согласованности для фильтрации скомпрометированных обновлений. Эксперименты показывают предотвращение падения точности на 15% при наличии злонамеренных участников.

Современные исследования указывают на необходимость комбинирования различных защитных механизмов для создания многоуровневой безопасности. Федеративное обучение с криптографическим усилением предлагает сбалансированный подход, объединяющий дифференциальную приватность с гомоморфным шифрованием или SMPC для распределенной тонкой настройки моделей с гарантиями конфиденциальности.

Система FedShield-LLM демонстрирует практическую реализацию такого подхода, комбинируя FHE с прунингом модели для эффективной федеративной тонкой настройки больших языковых моделей. Интеграция DP-LoRA с федеративным обучением LLM представляет новое направление, специально оптимизированное для больших моделей.

Блокчейн-усиленное федеративное обучение (BC-FL) решает проблемы единой точки отказа, отсутствия механизмов стимулирования и недостаточной безопасности агрегации. Распределенная природа блокчейна устраняет зависимость от центрального сервера, записывая обновления модели в неизменяемый реестр для обеспечения прозрачности. Смарт-контракты автоматизируют распределение вознаграждений участникам на основе качества их вкладов.

Актуальные исследования фокусируются на разработке адаптивных систем обнаружения аномалий, использующих машинное обучение для идентификации подозрительных паттернов в обновлениях модели. Для критически важных применений разработаны специализированные защитные фреймворки, объединяющие обнаружение аномалий с робастными методами агрегации, демонстрирующие значительное повышение устойчивости к атакам при минимальном влиянии на производительность [4].

По данным EDPS (Европейского инспектора по защите данных) на июнь 2025 года, федеративное обучение признается перспективной технологией для

соответствия требованиям GDPR, но требует тщательной оценки рисков утечки данных. Разрабатываются стандартизированные фреймворки для оценки уровня конфиденциальности и безопасности FL-систем.

Ожидается, что к 2030 году федеративное обучение станет стандартом для отраслей с критическими требованиями к защите данных. Государственные органы начинают внедрять FL для предиктивной аналитики без нарушения приватности граждан, что стимулирует развитие нормативной базы и best practices.

Таким образом, федеративное обучение представляет фундаментальный сдвиг в парадигме машинного обучения, предлагая механизм совместного обучения при сохранении конфиденциальности данных. Однако децентрализованная природа технологии создает уникальные вызовы безопасности, включая атаки отравления данных и модели, утечку информации через градиенты и византийские угрозы.

Эволюция методов защиты прошла путь от базовых криптографических подходов до комплексных гибридных систем, объединяющих дифференциальную приватность, гомоморфное шифрование, безопасные многосторонние вычисления и по-византийски устойчивую агрегацию. Актуальные на ноябрь 2025 года решения фокусируются на многоуровневой защите, интеграции с блокчейном и адаптивном обнаружении аномалий.

Прогнозируемый рост рынка до 297,5 миллионов долларов к 2030 году свидетельствует о растущем признании данной технологии. Дальнейшее развитие потребует стандартизации защитных механизмов, формальной верификации протоколов и разработку адаптивных фреймворков безопасности для различных сценариев применения. Гибридизация криптографических методов формирует комплексный подход к безопасности FL и прокладывает путь к созданию доверенного распределенного искусственного интеллекта.

Библиографический список

1. Guardora. Федеративное обучение [Электронный ресурс]. URL: <https://guardora.ru/tekhnologii/federativnoe-obuchenie/> (дата обращения: 04.11.2025).

2. A Survey of Federated Learning Privacy Attacks, Defenses, Applications, and Policy Landscape / arXiv: 2405.03636 [Электронный ресурс]. 2024. URL: <https://arxiv.org/abs/2405.03636> (дата обращения: 04.11.2025).

3. European Data Protection Supervisor. TechDispatch #1/2025 - Federated Learning [Электронный ресурс]. 2025. URL: <https://www.edps.europa.eu/data-protection/our-work/publications/techdispatch/2025-06-10-techdispatch-12025-federated-learning> (дата обращения: 04.11.2025).

4. Robust Federated Learning Frameworks Guarding Against Data Flipping Threats for Autonomous Vehicles / ICLR 2025 [Электронный ресурс]. 2025. URL: <https://openreview.net/forum?id=oA5GmyvMUy> (дата обращения: 04.11.2025).

© Вагабов И.М., 2025

УДК 004.056

А.А. ВОЛЬФ

aleksandrvo1f541@gmail.com

Д.А. ВАСИЛЬЕВ

Науч. руковод. – канд. техн. наук, доц. А.Ю. СЕНЦОВА

Уфимский университет науки и технологий

УЯЗВИМОСТИ МАШИННОГО ОБУЧЕНИЯ: ПРИРОДА И МЕТОДЫ ЗАЩИТЫ

Аннотация: в данной статье представлен комплексный обзор области Adversarial Machine Learning, посвященной уязвимостям современных систем искусственного интеллекта. Рассматриваются ключевые типы атак («белый» и «черный ящик»), их реализация в физическом мире и на языковые модели, а также наиболее эффективные методы защиты, такие как состязательное обучение. Особое внимание уделяется критическому анализу ложных путей в обеспечении безопасности ИИ.

Ключевые слова: Adversarial Machine Learning, враждебные примеры, атаки «белого ящика», атаки «черного ящика», состязательное обучение, устойчивость нейронных сетей, безопасность ИИ.

Современные системы на основе искусственного интеллекта, особенно глубокие нейронные сети, демонстрируют выдающиеся результаты в задачах компьютерного зрения, обработки естественного языка и других областях. Однако в последнее десятилетие было обнаружено фундаментальное свойство этих моделей, ставящее под сомнение их надежность и безопасность: они уязвимы к так называемым **состязательным атакам (adversarial attacks)**.

Состязательная атака – это целенаправленное манипулирование входными данными с целью обмана модели ИИ. Злоумышленник вносит в исходное изображение, текст или звук малозаметные для человека возмущения, которые приводят к ошибочному прогнозу модели. Это явление было систематически описано в первых работах, посвященных данной проблеме, которые показали, что такие атаки не являются случайными артефактами, а проистекают из самой природы высокоразмерных пространств данных, в которых работают модели.

Последующие исследования предложили «линейное объяснение» этого феномена. Было аргументировано, что даже линейные модели в высокоразмерных пространствах становятся уязвимыми, а нелинейность и переобучение глубоких сетей лишь усугубляют проблему. Эти же работы представили простую, но мощную атаку **Fast Gradient Sign Method (FGSM)**, ставшую отправной точкой для сотен последующих исследований.

Актуальность данной темы обусловлена ее критической значимостью для безопасного внедрения технологий искусственного интеллекта в реальные системы. Потенциальные последствия состязательных атак затрагивают широкий спектр областей – от безопасности беспилотного транспорта и надежности медицинской диагностики до уязвимости систем биометрической идентификации и манипуляций с чат-ботами и языковыми моделями. Растущая интеграция ИИ в критически важные инфраструктуры требует глубокого понимания его уязвимостей и разработки эффективных мер противодействия.

В зависимости от объема информации, доступной злоумышленнику о целевой модели, состязательные атаки принято делить на две основные категории: атаки «белого ящика» и «черного ящика». В сценарии «белого ящика» атакующий обладает полным доступом к внутреннему устройству системы – ее архитектуре, параметрам и алгоритму обучения. Такое всеведение позволяет ему точно вычислять градиент функции потерь и конструировать высокоэффективные возмущения. Развитием первоначальных простых атак, таких как FGSM, стали более изощренные итеративные методы, например, **Projected Gradient Descent (PGD)**. В отличие от своего предшественника, PGD выполняет множество небольших шагов в направлении градиента, постоянно проецируя результат на окрестность исходного изображения, что позволяет находить adversarial-примеры с исключительно малыми видимыми искажениями. Еще более мощными считаются оптимизационные атаки, которые формулируют поиск возмущения как задачу минимизации его нормы при условии ошибочного прогноза модели. Подобные атаки долгое время успешно обходили большинство известных методов защиты и по праву считаются «золотым стандартом» для тестирования устойчивости моделей.

Однако в реальных условиях доступ к внутренностям модели закрыт, что порождает класс атак «черного ящика». В этом случае злоумышленник может лишь взаимодействовать с моделью как с **Application Programming Interface (API)**, отправляя входные данные и получая предсказания. Несмотря на кажущиеся ограничения, эта угроза вполне реальна. Один из подходов основан на свойстве переносимости adversarial-примеров. Атакующий создает и обучает свою собственную модель-заменитель на данных, помеченных целевой системой. Затем, используя методы «белого ящика» против этой модели-суррогата, он генерирует возмущения, которые с высокой вероятностью переносятся и на исходную целевую модель. Другой подход обходится без создания замещающей модели, используя методы оптимизации нулевого порядка для аппроксимации градиента путем многочисленных запросов к целевой системе. Хотя такой метод требует значительных вычислительных ресурсов, он демонстрирует высокую эффективность против реальных коммерческих ML-сервисов.

Особую тревогу вызывают атаки, которые выходят за пределы цифрового пространства и материализуются в физическом мире, где объекты существуют в условиях меняющегося освещения, ракурсов и расстояний. Исследования в области компьютерного зрения наглядно демонстрируют масштаб угрозы.

Например, было показано, что специально сконструированные очки могут ввести в заблуждение систему распознавания лиц, заставив ее отождествить одного человека с другим, что ставит под сомнение надежность биометрической аутентификации. Еще более яркий пример – атаки на автономные транспортные средства. В ходе экспериментов было установлено, что несколько стратегически размещенных наклеек на дорожном знаке «СТОП» могут заставить модель классифицировать его как знак «Ограничение скорости», создавая прямую угрозу безопасности дорожного движения.

С развитием больших языковых моделей возникли и новые векторы атак. Была предложена концепция универсальных adversarial-триггеров – коротких последовательностей слов, которые, будучи добавленными практически в любой текст, способны перехватить управление поведением модели. Такие триггеры могут заставлять ИИ генерировать токсичный или предвзятый контент, раскрывать конфиденциальную информацию из обучающих данных или настойчиво выдавать некорректные ответы, подрывая тем самым доверие к системе.

Противоборство атакующих и защищающихся в этой области напоминает непрекращающуюся гонку вооружений. Среди множества предложенных методов противодействия лишь немногие доказали свою состоятельность. На сегодняшний день самым эффективным и эмпирически обоснованным подходом является состязательное обучение (adversarial defense). Его идея заключается в рассмотрении проблемы как минимакс игры: на внутреннем этапе для каждого обучающего примера генерируется самый сложный из возможных adversarial-пример, например, с помощью той же PGD-атаки, а на внешнем этапе модель обучается правильно классифицировать эти «укрепленные» данные. Хотя этот метод приводит к значительному увеличению вычислительных затрат, он позволяет научить модель устойчивости к самым сильным известным атакам.

Альтернативный путь – не повышать общую устойчивость модели, а пытаться обнаруживать adversarial-примеры с помощью дополнительных классификаторов, анализирующих статистику активаций сети или свойства входных данных. Однако история показала, что многие из таких детекторов оказываются недолговечными и обходятся целеустремленным противником. Важным уроком для всего научного сообщества стала критика методов, создающих иллюзию безопасности. Было продемонстрировано, что многие защиты, основанные на идее затруднения вычисления градиентов – например, добавление не дифференцируемых преобразований или шумоподавление – на деле не повышают настоящую устойчивость. Они создают так называемые «замаскированные градиенты», которые могут остановить лишь стандартные атаки, но не специализированные методы, разработанные для их обхода. Эта критика сместила фокус исследований в сторону методов, обеспечивающих подлинную, а не кажущуюся устойчивость.

В заключение следует отметить, что проблема состязательных атак продолжает оставаться серьезным препятствием для широкого внедрения

систем искусственного интеллекта. Проведенный анализ демонстрирует уязвимость современных моделей как к атакам с полным знанием архитектуры, так и к методам, использующим лишь внешние способы взаимодействия. Наибольшую практическую опасность представляют атаки в физическом пространстве, способные нарушить работу критических систем.

Следует признать, что на сегодняшний день не существует универсального средства защиты. Наиболее перспективным направлением остается состязательное обучение, несмотря на его высокую вычислительную стоимость. Многие же альтернативные подходы при детальном изучении оказываются неспособными обеспечить реальную безопасность, так как имеют методы обхода защиты.

Таким образом, актуальной задачей становится переход от разработки исключительно точных алгоритмов к созданию устойчивых систем, прошедших всестороннюю проверку. Только комплексный подход к безопасности искусственного интеллекта позволит обеспечить его надежное применение в ответственных областях, где ошибки недопустимы. Перспективы дальнейших исследований видятся в развитии методов формальной верификации и создании архитектур, изначально устойчивых к внешним воздействиям.

Библиографический список

1. Intriguing properties of neural networks [Электронный ресурс] // URL: <https://arxiv.org/abs/1312.6199> (дата обращения: 05.11.2025)
2. Explaining and harnessing adversarial examples [Электронный ресурс] // URL: <https://arxiv.org/abs/1412.6572> (дата обращения: 05.11.2025).
3. Adversarial examples in the physical world [Электронный ресурс] // URL: <https://arxiv.org/abs/1607.02533> (дата обращения: 05.11.2025)

© Вольф А.А., Васильев Д.А., 2025

П.А. ВОРОБЬЕВ, А.Р. КАГИРОВ, А.Ф. ШАЙМАРДАНОВ
vtizictfclub@paoloss.ru, quilyf@yandex.ru, arturkrasav@yandex.ru
Науч. руковод. – канд. техн. наук, доцент А.Ю. СЕНЦОВА

Уфимский университет науки и технологий

МЕТОДЫ АВТОМАТИЗАЦИИ ПРОЦЕССОВ ЦЕНТРА МОНИТОРИНГА ИНФОРМАЦИОННОЙ БЕЗОПАСНОСТИ

Аннотация: в статье рассмотрены современные подходы к автоматизации процессов центра мониторинга информационной безопасности (SOC). Предложена трёхуровневая модель автоматизации, включающая скриптовые решения, методы машинного обучения и языковые модели (LLM). Показано, что скриптовая автоматизация позволяет ускорить выполнение рутинных операций, применение ML-моделей обеспечивает интеллектуальный анализ и выявление аномалий, а использование LLM открывает возможности когнитивной автоматизации – автоматического создания правил корреляции и сценариев анализа событий. Отмечается, что развитие подобных технологий направлено не только на устранение монотонных операций, но и на снижение когнитивной нагрузки на аналитиков, повышение продуктивности их работы и формирование адаптивных SOC-платформ нового поколения.

Abstract. The article examines modern approaches to automating the processes of a Security Operations Center (SOC). A three-level automation model is proposed, encompassing scripting solutions, machine learning methods, and large language models (LLMs). It is shown that scripting enables acceleration of routine operations, ML techniques provide intelligent anomaly detection and behavioral analysis, while LLMs enable cognitive automation – automatic generation of correlation rules and event-analysis scripts. The study emphasizes that the development of such technologies is aimed not only at eliminating repetitive tasks, but also at reducing analysts' cognitive workload, increasing productivity, and forming adaptive next-generation SOC platforms capable of proactive incident detection and response.

Ключевые слова. SOC; автоматизация; информационная безопасность; машинное обучение; большие языковые модели; LLM; интеллектуальный анализ; корреляция событий; SIEM.

Современные киберугрозы становятся всё более сложными. Атаки, которые ранее можно было обнаружить с помощью сигнатурных правил, сегодня представляют собой цепочки взаимосвязанных действий, растянутых во времени и распределённых по множеству хостов и сетевых сегментов. В этих условиях эффективная защита информационных систем невозможна без комплексного анализа событий, собираемых из разнообразных источников – журналов, сетевого трафика, почтовых шлюзов и облачных сервисов.

Ключевым элементом такой защиты является центр мониторинга информационной безопасности (Security Operations Center, SOC). Его задача выходит далеко за рамки пассивного наблюдения за событиями: SOC объединяет функции сбора, анализа, корреляции и расследования инцидентов. Аналитики центра формируют гипотезы, проводят threat hunting, создают и адаптируют правила корреляции, управляют реакцией на инциденты.

Однако объём поступающих данных растёт быстрее, чем возможности их обработки. Даже современные SIEM-системы, оснащённые базовыми средствами корреляции, не способны полностью устранить избыточность и рутинность работы аналитиков. Многие действия остаются ручными: фильтрация логов, анализ ложных срабатываний, проверка гипотез, написание отчётов. Это создаёт перегрузку специалистов и снижает эффективность реагирования.

Для решения этих проблем необходима многоуровневая автоматизация, охватывающая не только корреляцию событий, но и весь цикл анализа — от извлечения данных до генерации новых детектирующих сценариев. На практике такую автоматизацию можно реализовать через три взаимодополняющих направления: скриптовые решения, методы машинного обучения и применение больших языковых моделей.

Скриптовые средства являются основой локальной автоматизации, позволяющей быстро реализовать прикладные функции без создания сложной инфраструктуры. Простые сценарии на Python, PowerShell или Bash ускоряют выполнение повторяющихся операций и повышают точность при работе с большими объёмами логов.

Типичным примером применения скриптов может быть автоматизация контроля стойкости паролей пользователей. Даже при наличии формально утверждённой политики безопасности человеческий фактор остаётся уязвимостью: слабые или повторно использованные пароли часто приводят к компрометации учётных записей.

Скриптовый подход позволяет выстроить регулярную проверку хэшей паролей, выгруженных из Active Directory, с использованием открытых словарей скомпрометированных паролей. При этом Python-скрипт может работать с большими массивами данных без загрузки их в оперативную память, что важно при анализе гигабайтных словарей. Результатом проверки становится отчёт о пользователях, чьи пароли обнаружены в утечках.

Такие решения повышают криптографическую стойкость корпоративных учётных записей и позволяют обнаруживать слабые звенья до того, как произойдёт инцидент. Скриптовая автоматизация легко адаптируется к другим задачам SOC — сверке индикаторов компрометации, поиску повторяющихся шаблонов в логах, формированию отчётов и первичному анализу данных. Это базовый уровень автоматизации, который снижает долю ручного труда и создаёт основу для внедрения более интеллектуальных технологий.

Следующий этап развития SOC связан с применением методов машинного обучения (ML). Эти методы позволяют выявлять закономерности и

аномалии в данных без предварительного определения жёстких правил. Это особенно актуально для обнаружения угроз, использующих новые техники и обходящих сигнатурные фильтры.

Одним из примеров применения ML является классификация фишинговых ссылок. Фишинг остаётся основным способом начального проникновения в инфраструктуру, и классические репутационные базы не успевают фиксировать появление новых доменов. ML-модель может анализировать URL по множеству признаков – длине адреса, числу поддоменов, энтропии символов, наличию подозрительных слов — и выдавать оценку вероятности фишинга.

Система, построенная на таком принципе, может работать в реальном времени, обрабатывая поток данных с почтовых шлюзов и прокси-серверов. Результаты классификации интегрируются с SIEM и системами оповещения: при выявлении подозрительного адреса формируется уведомление, которое поступает аналитикам через корпоративные каналы связи. Аналитик получает не только предупреждение, но и контекст – источник, параметры запроса и вероятность принадлежности к фишингу.

Внедрение ML-анализаторов позволяет перейти от реактивного реагирования к проактивной защите. Система не ждёт сигнатур, а самостоятельно выявляет нетипичные закономерности, что особенно важно для предотвращения атак нулевого дня. Кроме того, автоматическая фильтрация безопасных событий снижает нагрузку на специалистов первого уровня и повышает скорость принятия решений.

Современный этап развития технологий автоматизации связан с появлением больших языковых моделей (LLM). В отличие от ML-алгоритмов, обученных на структурированных признаках, языковые модели работают с текстовыми описаниями задач и способны генерировать код, писать корреляционные правила и даже адаптировать сценарии под конкретную инфраструктуру.

LLM может использоваться для автоматизации написания аналитических правил. Аналитику достаточно описать задачу на естественном языке: какие события нужно сопоставить, какие временные интервалы учитывать, какие параметры вывести в отчёт. На основе этого описания модель формирует готовый программный код или фрагмент правила, который можно напрямую применить в SIEM-системе.

Для стабильной работы моделей требуется строгая формализация процесса взаимодействия. Эффективность генерации обеспечивают структурированные промпты с жёстко заданными секциями – входные данные, условия, выходной формат. Важным фактором является корректная настройка параметров генерации: снижение температуры уменьшает вариативность и устраняет случайные ошибки или вымышленные значения.

Такой подход делает языковые модели универсальным инструментом ускорения инженерных процессов в SOC. Они позволяют существенно

сократить время между формулировкой идеи и появлением рабочего правила, а также адаптировать процесс генерации под конкретные технологические решения. Результат может быть представлен в виде Python-скрипта, конфигурации для open-source-платформ вроде Wazuh или готового правила для сертифицированных отечественных SIEM-систем, включая MaxPatrol SIEM и KUMA.

Языковые модели обеспечивают переход к когнитивной автоматизации, где система не только выполняет команды, но и помогает конструировать новые логики детектирования. Это расширяет роль аналитика, превращая его из исполнителя в архитектора интеллектуальной системы защиты.

Современные SOC постепенно эволюционируют от ручного анализа событий к многоуровневым системам интеллектуальной автоматизации. Скрипты, машинное обучение и языковые модели представляют собой взаимодополняющие подходы, объединённые общей целью – повышение эффективности и устойчивости процессов мониторинга.

Скриптовая автоматизация ускоряет выполнение повторяющихся задач и повышает точность рутинных операций. Машинное обучение позволяет выявлять новые и сложно формализуемые угрозы, повышая качество аналитики. Языковые модели создают условия для когнитивной автоматизации, при которой разработка правил, анализ инцидентов и генерация сценариев происходят с минимальным участием человека.

Внедрение этих подходов направлено не только на устранение монотонных действий, но и на снижение интеллектуальной нагрузки на специалистов SOC. Это позволяет аналитикам сосредоточиться на расследовании инцидентов, threat hunting и совершенствовании архитектуры защиты.

Вывод: комплексное использование перечисленных технологий формирует основу для создания адаптивного автоматизированного SOC, способного действовать проактивно, подстраиваться под новые сценарии атак и обеспечивать высокий уровень оперативности и точности реагирования. Такая система не заменяет человека, а усиливает его компетенции, делая взаимодействие между аналитиком и машиной более продуктивным и интеллектуально сбалансированным.

Библиографический список

- 1 . Проверка паролей пользователей домена Windows на стойкость к атаке по словарю без компрометации пароля / Хабр [Электронный ресурс]. Режим доступа: <https://habr.com/ru/articles/310604/> (дата обращения 13 октября 2025 г.)
- 2 . Have I Been Pwned: Pwned Passwords [Электронный ресурс]. Режим доступа: <https://haveibeenpwned.com/Passwords> (дата обращения 20 мая 2025 г.)
- 3 . Мюллер А., Гвидо С. Машинное обучение с помощью Python. Руководство для специалистов по работе с данными. – Диалектика-Вильямс, 2022. – 220-230 с. – ISBN 978-5-907515-03-1.

4 . Павлов С., Шмаль В. Применение элементов искусственного интеллекта в решении прикладных задач – Ridero, 2022. – 167-199 с. – ISBN 978-5-0059-3954-8.

5 . Франсуа Шолле / Глубокое обучение на Python. – М. СПб: Питер, 2023. – 576 с.

© Воробьев П.А., Кагиров А.Р., Шаймарданов А.Ф., 2025

А.А. ГУМАРОВ, Д.Р. МУХАМЕТГАЛИЕВ

gumarov.aleksandr@net.ugatu.su, Chez.chez.1@mail.ru

Науч. руковод. – канд. техн. наук, доцент А.Ю. СЕНЦОВА

Уфимский университет науки и технологий

БОЛЬШИЕ ЯЗЫКОВЫЕ МОДЕЛИ В КИБЕРБЕЗОПАСНОСТИ: ВОЗМОЖНОСТИ ПРИМЕНЕНИЯ И ВЕКТОРЫ АТАК В 2025 ГОДУ

Аннотация: в данной работе проводится анализ современного состояния применения больших языковых моделей (БЯМ) в областях кибербезопасности, включая защиту информационных систем и обнаружение угроз. Рассматриваются как положительные возможности использования БЯМ для автоматизации задач безопасности, так и потенциальные риски, связанные с уязвимостями этих моделей.

Ключевые слова: большие языковые модели; кибербезопасность; уязвимости БЯМ; инъекция подсказок; поиск и анализ уязвимостей; обнаружение угроз; многоагентные атаки; защита информации.

Введение

Развитие технологий искусственного интеллекта в последние годы привело к появлению большого количества попыток применения больших языковых моделей для решения различных задач. Область кибербезопасности не стала исключением – все чаще организации рассматривают возможность использования БЯМ для автоматизации процессов обнаружения угроз, анализа уязвимостей и реагирования на инциденты [1]. Однако параллельно с расширением применения этих моделей растет понимание того, что сами БЯМ представляют новый вектор атак на информационные системы [2].

На протяжении 2023–2025 годов исследовательское сообщество активно изучает как благоприятные аспекты использования БЯМ в кибербезопасности, так и угрозы, которые они несут [3]. Конвергенция технологий больших языковых моделей и кибербезопасности создает сложный ландшафт, в котором необходимо одновременно развивать методы защиты и адаптироваться к новым векторам атак [4]. Актуальность данной проблемы обусловлена тем, что растущее внедрение агентных систем на основе БЯМ, способных самостоятельно принимать решения и взаимодействовать с системами, требует переоценки моделей угроз и разработки новых подходов к безопасности.

Целью настоящей работы является систематизация знаний о способах применения БЯМ в кибербезопасности и анализ основных категорий уязвимостей и векторов атак, с которыми эти системы могут столкнуться или

которые они могут создать. Работа охватывает как оборонительные применения БЯМ, так и атаки, которые можно реализовать с их помощью.

Обнаружение и анализ уязвимостей

Одним из наиболее перспективных применений БЯМ в кибербезопасности является автоматизация процессов обнаружения и анализа уязвимостей программного обеспечения. Традиционные методы требуют значительных временных затрат и человеческих ресурсов, что делает подход с использованием машинного обучения и языковых моделей естественным выбором для масштабирования процессов поиска ошибок безопасности. Исследователи демонстрируют, что БЯМ способны выявлять потенциально опасные паттерны в исходном коде, понимая семантику программного кода на различных языках программирования. Языковые модели могут применяться для обнаружения различных типов уязвимостей, включая ошибки типов "use-after-free", SQL-инъекции и другие распространенные ошибки безопасности [5].

Аналитическая способность БЯМ позволяет им обрабатывать большие объемы кода и документации, выявляя закономерности, которые человеку было бы сложно заметить вручную. Более того, при правильной настройке и обучении на специализированных наборах данных, содержащих примеры уязвимого и безопасного кода, БЯМ могут достичь значительной точности в классификации потенциальных проблем безопасности. Однако следует отметить, что производительность таких систем зависит от качества обучающих данных и может быть ограничена в случае с совершенно новыми типами уязвимостей, которые редко встречаются в обучающей выборке.

Автоматизированная генерация безопасного кода

Еще одной актуальной областью применения является использование БЯМ для генерации безопасного кода при разработке программного обеспечения [6]. Инструменты автодополнения кода на основе языковых моделей становятся все более популярными среди разработчиков, и их способность генерировать безопасный код напрямую влияет на качество создаваемых систем. Исследование показывает, что проблема безопасности инструментов автодополнения кода на основе БЯМ требует серьезного внимания, так как некорректно сгенерированный код может содержать уязвимости [7]. При этом многие разработчики полагаются на рекомендации таких инструментов, что может привести к введению ошибок безопасности в рабочий код.

Для обеспечения безопасности кода, генерируемого БЯМ, требуется внедрение дополнительных механизмов проверки и валидации. Это может включать статический анализ, дополнительные проверки типов и интеграцию с системами анализа уязвимостей. Кроме того, переобучение моделей на специализированных наборах данных, содержащих примеры безопасного и оптимального кода, может улучшить качество генерируемых выводов. Вместе с

тем, исследователи разрабатывают подходы к использованию состязательного обучения для повышения устойчивости генераторов кода к атакам [8].

Поддержка инцидент-менеджмента и реагирование на инциденты

Применение БЯМ в области реагирования на инциденты безопасности открывает новые возможности для ускорения процессов анализа и реагирования. Системы, использующие поиск и генеративные расширения (Retrieval-Augmented Generation, RAG) на основе БЯМ, позволяют автоматизировать процесс сбора информации об угрозах, анализа входящих данных о безопасности и формирования рекомендаций по реагированию. Исследования показывают, что БЯМ можно успешно применять в контексте автономного инцидент-менеджмента, комбинируя языковые модели с информацией об угрозах (Cyber Threat Intelligence, CTI) [9]. Эта комбинация позволяет системам быстро анализировать события безопасности, соотносить их с известными паттернами атак и предлагать действия по реагированию.

Однако интеграция БЯМ в системы реагирования на инциденты требует осторожного подхода к управлению данными и верификации информации. Языковые модели могут генерировать уверенные, но неправильные ответы (явление, известное как "галлюцинации"), что в контексте безопасности может привести к неправильным решениям [10]. Таким образом, автоматизированные системы реагирования должны иметь встроенные механизмы верификации и требовать человеческого надзора при принятии критичных решений.

Обнаружение фишинга и социальной инженерии

Фишинг остается одной из наиболее распространенных векторов атак, и применение БЯМ для обнаружения фишинг-сообщений представляет значительный интерес. Языковые модели способны анализировать текстовый контент электронных писем и других сообщений, выявляя характерные паттерны, которые часто используются в фишинг-атаках. БЯМ могут эффективно применяться для обнаружения попыток социальной инженерии и фишинга благодаря их способности понимать контекст и выявлять несоответствия в сообщениях. Более сложные системы могут анализировать не только текст, но и метаданные сообщений, проверяя подлинность отправителя и анализируя ссылки на предмет наличия вредоносного содержимого.

Преимущество использования БЯМ в этой области заключается в их способности адаптироваться к новым тактикам фишинга по мере их эволюции. Алгоритмы машинного обучения, лежащие в основе БЯМ, могут быть быстро переобучены на новых примерах фишинг-сообщений, что позволяет системам оставаться эффективными в условиях постоянно меняющейся угрозы.

Инъекция подсказок (Prompt Injection)

Инъекция подсказок представляет собой один из наиболее изученных и практически применяемых векторов атак против БЯМ. Техника заключается во введении злоумышленником вредоносных инструкций в входные данные, предоставляемые языковой модели, с целью изменить поведение модели так,

как задумано атакующим. Исследование показывает, что атаки инъекции подсказок представляют серьезную угрозу для приложений, интегрированных с БЯМ, и требуют специальных защитных механизмов [11]. Простейшая форма атаки может заключаться в добавлении дополнительной инструкции в конец пользовательского ввода, которая переопределяет исходный запрос.

Последствия успешной атаки инъекции подсказок могут быть серьезными. Злоумышленник может получить несанкционированный доступ к конфиденциальной информации, содержащейся в контексте модели, может заставить модель выполнить несанкционированные действия через интегрированные инструменты, или может вывести модель из нормального режима работы. Защита от таких атак требует тщательной валидации входных данных, использования шаблонизации запросов и внедрения систем обнаружения аномалий, которые могут выявлять подозрительные паттерны во входных данных [12].

Многоагентные атаки и скоординированные кибератаки

Появление способности БЯМ выступать в качестве агентов, способных самостоятельно планировать и выполнять задачи, открыло новый класс опасностей. Многоагентные системы, состоящие из нескольких БЯМ, работающих совместно, могут координировать сложные кибератаки. Исследование показывает, что команды агентов на основе БЯМ способны выявлять и эксплуатировать уязвимости нулевого дня, совершая при этом деятельность, которая минимизирует обнаружение [13]. В таких сценариях один агент может быть ответственен за разведку целевой системы, другой – за планирование цепочки эксплуатации уязвимостей, а третий – за использование уязвимостей для получения доступа.

Возможность полного захвата компьютера с помощью многоагентных систем на основе БЯМ является серьезной угрозой, требующей новых подходов к защите. Традиционные методы обнаружения вторжений могут быть неэффективны против таких атак, так как они часто спроектированы для обнаружения специфических паттернов известных атак. Для защиты от многоагентных атак необходимо разработать системы, способные обнаруживать скоординированное поведение и необычные паттерны взаимодействия между компонентами системы [14].

Анализ масштаба применения и вызовов

Несмотря на значительный потенциал использования БЯМ в кибербезопасности, существует ряд практических вызовов, которые ограничивают их массовое внедрение. Во-первых, вопросы, которые знают БЯМ о кибербезопасности, часто оказываются ограниченными и могут содержать устаревшую информацию, так как модели обучаются на статичных наборах данных [15]. В быстро развивающейся области кибербезопасности это может привести к генерации неактуальных или неправильных рекомендаций. Во-вторых, интеграция БЯМ в существующие системы безопасности требует

значительных инвестиций и переоценки существующих процессов. В-третьих, возникают вопросы ответственности в случае, если автоматизированная система на основе БЯМ принимает неправильное решение, приводящее к инциденту безопасности.

Большие языковые модели в информационной безопасности показывают обещающие результаты в специализированных областях, таких как тестирование на проникновение и анализ уязвимостей, но требуют тщательной валидации и контроля человеком перед использованием в критичных системах [7]. Кроме того, необходимо разработать стандарты и рекомендации по безопасному использованию БЯМ в кибербезопасности, которые бы учитывали специфику российских организаций и особенности нормативного регулирования в области защиты информации.

Заключение

Большие языковые модели представляют собой двойственный феномен в контексте кибербезопасности. С одной стороны, они открывают новые возможности для автоматизации различных процессов защиты информационных систем, включая обнаружение уязвимостей, анализ угроз и реагирование на инциденты. С другой стороны, сами БЯМ могут быть использованы для проведения сложных кибератак и представляют новый класс уязвимостей, с которыми организациям необходимо справиться.

Конвергенция БЯМ и кибербезопасности в 2025 году демонстрирует, что необходимо комплексное понимание как положительных применений, так и рисков, связанных с этими технологиями. Организациям, внедряющим БЯМ в свои системы безопасности, рекомендуется проводить тщательную оценку уязвимостей, внедрять многоуровневые системы защиты и регулярно проводить тестирование безопасности. Исследовательскому сообществу необходимо продолжить работу по развитию методов защиты от атак, специфичных для БЯМ, и разработке механизмов, которые позволяют использовать преимущества этих моделей при минимизации рисков.

Перспективы развития в этой области включают более глубокое понимание механизмов работы БЯМ, разработку методов верификации поведения моделей, создание специализированных защитных механизмов и развитие международных стандартов и лучших практик в области безопасности БЯМ. Кроме того, необходимо уделить внимание образованию и подготовке специалистов в области информационной безопасности, которые могли бы компетентно применять БЯМ в своей работе и понимать связанные с ними риски.

Библиографический список

1. Котенко, И. В. Использование больших языковых моделей для поиска угроз кибербезопасности // CyberLeninka. – 2024.

2. Yao, Yifan, Duan, Jinhao и др. A Survey on Large Language Model (LLM) Security and Privacy // arXiv. – 2023. – arXiv:2312.02003.
3. Akiri, Charankumar, Simpson, Harrison и др. Safety and Security Analysis of Large Language Models // arXiv. – 2024.
4. Li, Tao, Yang, Ya-Ting и др. From Texts to Shields: Convergence of Large Language Models and Cybersecurity // arXiv. – 2025. – arXiv:2505.00841.
5. Xu, Hanxiang, Wang, Shenao и др. Large Language Models for Cyber Security: A Systematic Literature Review // arXiv. – 2024. – arXiv:2405.04760.
6. Secure Code Generation with LLMs // arXiv. – 2024.
7. Cheng, Wen, Sun, Ke и др. Security Attacks on LLM-based Code Completion Tools // arXiv. – 2024. – arXiv:2408.11006.
8. Adversarial Training for Multimodal LLMs // arXiv. – 2023.
9. Tellache, Amine и др. Advancing Autonomous Incident Response: Leveraging LLMs and CTI // arXiv. – 2024.
10. Tian, Shuang, Zhang, Tao и др. Exploring the Role of Large Language Models in Cybersecurity // arXiv. – 2025. – arXiv:2504.15622.
11. Liu, Yi, Deng, Gelei и др. Prompt Injection Attack Against LLM-Integrated Applications // arXiv. – 2023. – arXiv:2306.05499.
12. Li, Miles Q., Fung, Benjamin C. M. Security Concerns for Large Language Models: A Survey // arXiv. – 2025.
13. Yuxuan Zhu, Antony Kellermann et al. Teams of LLM Agents can Exploit Zero-Day Vulnerabilities // arXiv. – 2024. – arXiv:2406.01637.
14. Lupinacci, Matteo, Pironti, Francesco Aurelio и др. The Dark Side of LLMs: Agent-based Attacks for Complete Computer Takeover // arXiv. – 2025.
15. Намиот, Д. Е. Что LLM знает о кибербезопасности // CyberLeninka. – 2025.

© Гумаров А.А., Мухаметгалиев Д.Р., 2025

К.С. ДУНЮШКИНА

dynushkinaks@yandex.ru

Науч. руковод. – д-р техн. наук, проф. И.В. МАШКИНА

Уфимский университет науки и технологий

СОВРЕМЕННЫЕ ПОДХОДЫ К ОРГАНИЗАЦИИ ВИРТУАЛЬНЫХ ЦЕНТРОВ ОБРАБОТКИ ДАННЫХ: АРХИТЕКТУРНЫЕ ПРИНЦИПЫ И ПЕРСПЕКТИВЫ РАЗВИТИЯ

Аннотация: в данной статье будет представлен комплексный анализ тенденций развития виртуальных центров обработки данных (ВЦОД). Рассмотрены архитектурные принципы, основные технологические компоненты и особенности построения ВЦОД, а также дальнейшие перспективы развития данного направления. Особое внимание уделяется вопросам безопасности и управления ресурсами, также рассматривается возможность интеграции с облачными сервисами.

Ключевые слова: виртуальные центры обработки данных, конечные точки, виртуализация, рабочая нагрузка, средства защиты, виртуальные среды.

Введение: цифровая индустрия предъявляет все новые требования к современной инфраструктуре центров обработки данных (ЦОД). ВЦОДы постепенно становятся основой для построения гибких и масштабируемых ИТ-систем, такие системы способны адаптироваться к быстро меняющимся бизнес-потребностям пользователя. Актуальность темы обусловлена растущим спросом на все более эффективные решения в области виртуализации. Она подтверждается статистическими данными, представленными аналитиками VMware и разработчиками VMware Carbon Black – платформы для защиты конечных точек (Endpoint Security) в корпоративной сети. Согласно этой статистике 67 % атак на виртуальные среды направлены именно на компрометацию конечных точек, при этом в 43 % таких случаев традиционные средства защиты оказываются неэффективными.

Архитектурные принципы построения защищенного ВЦОДа

Основу защищенного ВЦОДа составляют принципы программно-определяемой безопасности SDS (Software-Defined Security). Эти принципы обеспечивают интеграцию различных защитных механизмов на всех уровнях инфраструктуры. Ключевым элементом является реализация единой политики безопасности, она распространяется на все конечные точки независимо от их местоположения. Согласно исследованию Gartner (американская исследовательская компания, специализирующаяся на рынках информационных технологий), организации, которые внедрили комплексный подход к обеспечению безопасности ВЦОДов, имеют следующие показатели:

количество успешных атак снижается на 57%, в сравнении с точечными решениями.

Современная архитектура безопасности ВЦОДов должна обеспечивать сквозную защиту цепочки виртуальных конечных точек – от уровня гипервизора до гостевых операционных систем. При этом особое внимание уделяется защите плоскостей управления, именно через них осуществляется координация работы всей виртуальной машины. Такое решение как VMware NSX Distributed Firewall (DFW) — распределённый брандмауэр, встроенный в платформу виртуализации сети VMware NSX, позволяет реализовывать микросегментацию на уровне сетевого трафика между виртуальными машинами, при этом обеспечивая изоляцию инцидентов безопасности даже в условиях плотного потока данных внутри сети, между системами, серверами или приложениями, которые функционируют в одном ЦОДе (East-west трафик).

Специализированные средства защиты конечных точек в ВЦОДах

Для обеспечения комплексной защиты конечных точек в виртуальных средах требуются специализированные решения, которые будут учитывать специфику виртуализации. Агентные решения, которые на данный момент являются традиционными, демонстрируют сниженную эффективность, это происходит из-за ограниченной видимости на уровне гипервизора и высокого потребления ресурсов. Современные решения все чаще включают в себя использование гипервизорной интроспекции (Hypervisor Introspection -HVI), данная технология позволяет анализировать состояние виртуальных машин без установки агентов внутри гостевых ОС.

Технологии поведенческого анализа (UEBA — User and Entity Behavior Analytics) является центральным компонентом в защите виртуальных конечных точек. Например, такие решения как Cisco Secure Workload (ранее Tetration), позволяют выявлять аномалии в реальном времени, обеспечивая непрерывный мониторинг рабочей нагрузки. Статистика показывает, что внедрение таких систем позволяет обнаружить 94% современных атак.

При этом, не менее важным компонентом защиты становятся системы Hypervisor-based Intrusion Prevention System - системы предотвращения вторжений на уровне гипервизора (платформе виртуализации). Таким образом, решения типа Trend Micro Deep Security, способны блокировать попытки компрометации на уровне мониторинга виртуальных машин и обеспечивают защиту от некоторых видов атак – атак типа VM Escape и междвиртуального перемещения.

Интеграция EDR-решений в виртуальные среды

Платформы NGEPP (Next Generation Endpoint Protection Platform) – системы защиты конечных точек следующего поколения имеют возможность адаптироваться для работы в виртуальных средах. Платформы используют легковесные агенты и специализированные функции, предназначенные для ВЦОДов. Такое решение как CrowdStrike Falcon Insight (платформа для обнаружения угроз и реагирования на конечные точки (EDR)) разработанное компанией CrowdStrike, позволяет обеспечивать глубокую видимость всех

процессов на конечных точках, при этом сохраняется минимальное влияние на производительность рабочей нагрузки. Современные EDR-решения для виртуальных сред демонстрируют эффективность обнаружения на уровне 96,3% - по результатам тестирования NSS Labs.

Возможность использования единой консоли управления физических и виртуальных активов, является особенностью защиты конечных точек в ВЦОДов. При этом обеспечивается сквозное расследование инцидентов, а также используются согласованные политики безопасности. Такие крупные вендоры, как Microsoft (Defender for Endpoint) и SentinelOne, представляют на рынке специализированные версии своих продуктов, оптимизированные для работы в крупных виртуальных средах.

Перспективы развития систем защиты

Интеграция ВЦОД с технологиями искусственного интеллекта (ИИ) и машинного обучения (МО) является перспективой дальнейшего развития систем защиты конечных точек в виртуальных средах. Системы, основой которых является технология ALOps, способны как обнаруживать уже известные угрозы, так и прогнозировать потенциальные векторы атак на основе анализа поведения рабочей нагрузки. Экспериментальные исследования MITRE ATT&CK демонстрируют, что интеграция таких систем с ИИ позволяет сократить время обнаружения сложных целевых атак до нескольких часов.

Концепция Secure Access Service Edge (SASE) – концепция безопасного доступа к сервисам, также применяется при защите ВЦОДов. Концепция позволяет обеспечивать единые политики безопасности для облачных и локальных рабочих нагрузок. Такие американские компании как Zscaler и Netskope разрабатывают специализированные решения для защиты гибридных ВЦОДов. Эти продукты способны обеспечивать безопасный доступ к приложениям независимо от расположения конечных точек.

Заключение

Таким образом, для того чтобы обеспечить безопасность конечных точек в ВЦОДах, требуется применение комплексного подхода. Такой подход должен сочетать в себе архитектурные принципы построения и специализированные средства защиты. Решения должны обеспечивать эффективное противодействие угрозам и глубокую видимость на уровне гипервизора, при этом они должны оказывать минимальное влияние на производительность рабочей нагрузки. Для создания многоуровневой системы защиты, адаптирующейся к быстро развивающейся инфраструктуре ВЦОД, также необходима интеграция технологий поведенческого анализа, систем следующего поколения и микросегментации.

Перспективы развития исследования связаны с дальнейшей интеграцией технологий безопасности, ИИ для прогнозной аналитики и созданием единых платформ управления безопасностью для гибридных сред. Данные тенденции позволяют проследить эволюцию подходов к защите конечных точек в виртуальной инфраструктуре и обеспечивают при этом соответствие растущим требованиям к кибербезопасности.

Библиографический список

1. ГОСТ Р 58812 2020. Центры обработки данных. Инженерная инфраструктура. Операционная модель эксплуатации. Спецификация. - М.: Стандартиформ, 2020. - С. 36.
2. Михайличенко Н.В. Сравнительный анализ технологий построения региональных центров обработки данных. // Юбилейная XV-ая Санкт-Петербургская международная конференция "Региональная информатика 2016", - СПб.: СПОИСУ, 2016. - 599 с., С. 102-103.
3. Ямашкин, С. А. Интеграция, хранение и обработка больших массивов пространственно-временной информации в цифровых инфраструктурах пространственных данных / С. А. Ямашкин, А. А. Ямашкин // Современные наукоемкие технологии. - 2021. - № 5. -С. 108-113.
4. Antonopoulos I., Robu V., Couraud B., et al. Artificial intelligence and machine learning approaches to energy demand-side response: A systematic review // Renewable and Sustainable Energy Reviews, 2020. Vol. 130. P. 109899. DOI: 10.1016/j.rser.2020.109899 EDN: PMMUSI.
5. AI is poised to drive 160 % increase in data center power demand // Goldman Sachs, 2024. [Электронный ресурс]: <https://www.goldmansachs.com/insights/articles/AI-poised-to-drive-160-increase-in-power-demand>.
6. ANSI/TIA-942-B Telecommunications Infrastructure Standard for Data Centers // TIA [Electronic resource]. - Access mode: https://tiaonline.org/wp-content/uploads/dlm_uploads/2021/01/TIA-942-Standard_OnePager-110220.pdf.

© Дунюшкина К.С., 2025

А.С. ЕМЕЛЕВ

aemelev@aemelev.ru

Науч. руковод. – д-р техн. наук, проф. И.В. МАШКИНА

Уфимский университет науки и технологий

ОСНОВАНИЯ ВЫБОРА АВТОЭНКОДЕРА ДЛЯ АНАЛИЗА ТРАФИКА В СЕТИ АСУ ТП

Аннотация: рассмотрены основания выбора архитектуры автоэнкодера для анализа сетевого трафика в АСУ ТП. Выполнено сравнение подходов к обнаружению атак и выделены преимущества аномального анализа. Обоснованы достоинства автоэнкодеров и их применимость к промышленным сетям. Предложены критерии выбора модели с учетом особенностей трафика и ограничений среды.

Ключевые слова: автоэнкодер; АСУ ТП; аномалия; трафик; безопасность; нейросеть; обучение; ICS; IDS; SCADA.

Введение

Автоматизированные системы управления технологическими процессами (АСУ ТП) широко используются на критически важных объектах промышленности, энергетики и др. Безопасность сетей АСУ ТП приобретает особое значение, поскольку число кибератак на такие системы неуклонно растет.

Нарушения в сетевом трафике (например, несанкционированные команды, вредоносные пакеты) могут привести к авариям и ущербу, поэтому актуальна задача анализа трафика с целью обнаружения аномалий и атак. Существуют два принципиальных подхода к этой задаче: сигнатурный и поведенческий (аномальный). В первом случае система сигнатурного обнаружения вторжений опирается на заранее известные шаблоны атак, тогда как аномальный метод формирует модель нормального профиля работы и выявляет отклонения от него.

Аномальный подход особенно ценен тем, что способен обнаруживать новые, ранее не известные атаки, опираясь лишь на знания о нормальном трафике. Это серьезное преимущество перед сигнатурными системами, которые принципиально не могут распознать неизвестные типы атак. В контексте сетей АСУ ТП такой подход выглядит оправданным, поскольку собрать полный набор сигнатур для всех возможных атак затруднительно. Кроме того, трафик в промышленной сети обычно отличается регулярностью и стабильностью в нормальном режиме. В отсутствие атак коммуникации в АСУ ТП довольно стабильны, а параметры передаваемых данных тесно взаимосвязаны. Эти

свойства облегчают построение модели «нормального» поведения, с которой можно сравнивать текущие наблюдения.

Для выявления сетевых атак в общем случае применяются либо сигнатурные системы обнаружения вторжений (IDS), либо системы обнаружения аномалий. В Таблица 9 обобщены ключевые особенности этих подходов применительно к сетям АСУ ТП.

Таблица 9

Сравнение подходов обнаружения сетевых атак (сигнатурного и аномального)

| Критерий | Сигнатурный подход | Аномальный подход |
|---------------------------------------|--|--|
| Необходимость известных шаблонов атак | Да, требуются сигнатуры известных атак | Нет, модель обучается на нормальном трафике |
| Обнаружение новых (неизвестных) атак | Нет | Да |
| Требование размеченных данных | Требуются данные с метками атак | Достаточно данных нормального функционирования |
| Учет корреляций между параметрами | Ограничен (аналитики вручную задают правила) | Да, модель самостоятельно учит взаимосвязи в данных |
| Риск ложных срабатываний | Низкий (для известных атак) | Возможен при редких нештатных ситуациях (зависит от качества модели) |

Как видно из Таблица 9, аномальный метод не нуждается в знаниях о видах атак и теоретически способен детектировать атаки нулевого дня. Это крайне важно для защиты АСУ ТП, так как способы нападения постоянно эволюционируют. Кроме того, аномальный подход опирается на данные штатной работы системы, которых обычно гораздо больше и добыть их проще, чем примеры редких атак.

Недостатком методов поиска аномалий может быть большая чувствительность – система может иногда сигнализировать о ложных аномалиях, если столкнется с необычным, но легитимным режимом работы, не представленным в обучающих данных. Тем не менее, правильно настроенная модель способна минимизировать ложные срабатывания и надежно выявлять реальные атаки.

В современных исследованиях по безопасности АСУ ТП преобладают аномальные методы, в том числе на основе алгоритмов машинного обучения и глубоких нейросетей. В частности, большой интерес представляют автоэнкодеры – нейросетевые модели, способные обучаться выявлять аномалии без учителя.

Автоэнкодеры и их применение для анализа трафика

Автоэнкодер – это специальный вид нейронной сети для обучения без учителя, которая обучается воспроизводить на выходе собственный входной сигнал. Таким образом сеть фактически кодирует (сжимает) исходные данные во внутреннее представление (латентный код), а затем декодирует обратно в исходное пространство. Структурно автоэнкодер состоит из двух частей: кодировщик последовательно уменьшает размерность данных, преобразуя входной вектор в более компактный код; декодировщик принимает этот код на вход и пытается восстановить исходные данные на выходе. В процессе обучения автоэнкодер подбирает такие параметры, которые минимизируют ошибку восстановления – разницу между исходным входом и реконструированным выходом. Благодаря наличию узкого слоя-кода, сеть вынуждена выявить и сохранить наиболее существенные особенности (паттерны) входных данных, отбрасывая избыточную информацию.

Для обнаружения аномалий автоэнкодер используется следующим образом. Сначала сеть обучают только на данных нормального трафика (без аномалий). Добившись малой ошибки реконструкции для типичных, штатных образцов, получают эталонную модель нормального поведения сети. На этапе применения входной поток данных пропускается через обученный автоэнкодер, и вычисляется ошибка восстановления для каждого фрагмента трафика. Если ошибка реконструкции невелика, значит, образец похож на виденные ранее нормальные данные и считается нормой. Но если автоэнкодер не справляется с реконструкцией, и ошибка превышает заданный порог, это означает, что входной паттерн отклоняется от обученного нормального профиля – подобное поведение расценивается как аномалия, требующая внимания. Таким образом, автоэнкодер выступает в роли детектора аномалий, сигнализируя о любых значимых отклонениях в сетевом трафике. Подход ценен тем, что не требует меток атак при обучении и способен выявлять самые разнообразные виды нарушений – от сетевых атак до сбоев оборудования – при условии, что они отражаются на характере трафика.

Преимущества выбора автоэнкодера для сетей АСУ ТП

Применение автоэнкодеров для анализа сетевого трафика в АСУ ТП оправдано рядом следующих факторов:

Во-первых, такие модели не требуют наличия данных о кибератаках для обучения — достаточно информации о нормальном функционировании системы. Это особенно важно в условиях ограниченного доступа к репрезентативным данным атак, что характерно для промышленных сетей.

Во-вторых, автоэнкодеры способны учитывать сложные нелинейные зависимости между параметрами трафика, что позволяет им эффективно выявлять отклонения, незаметные при использовании традиционных статистических методов. Особенности сетевого обмена в АСУ ТП — высокая коррелированность технологических параметров, повторяемость и

предсказуемость трафика — делают такие модели особенно чувствительными к аномалиям.

Кроме того, за счёт своей структуры автоэнкодеры обеспечивают компактное представление данных, что допускает их реализацию даже в условиях ограниченных вычислительных ресурсов, характерных для периферийных устройств промышленной сети.

Все перечисленные характеристики позволяют рассматривать автоэнкодеры как перспективный инструмент анализа трафика в АСУ ТП и средство повышения устойчивости промышленных объектов к киберугрозам.

Заключение

Автоэнкодер представляет собой мощное средство анализа сетевого трафика АСУ ТП, позволяющее решать задачу обнаружения аномалий в условиях ограниченной априорной информации об атаках.

Выбор автоэнкодера обоснован сочетанием ключевых преимуществ: обучение без учителя исключительно по нормальным данным, способность выявлять неизвестные атаки, учет сложных корреляций в технологических протоколах и нелинейное выделение признаков. Благодаря этим свойствам, решения на базе автоэнкодеров позволяют значительно повысить защищенность промышленной сети, дополняя или превосходя традиционные методы кибербезопасности. В условиях растущих угроз для инфраструктурных объектов (что подтверждается ростом числа инцидентов) анализ трафика с использованием автоэнкодеров становится одним из основополагающих инструментов для обеспечения надежной и проактивной защиты АСУ ТП.

Библиографический список

1. Тенденции развития киберинцидентов АСУ ТП / [Электронный ресурс] // Официальный сайт компании InfoWatch: [сайт]. – URL: <https://www.infowatch.ru/analytics/analitika/tendentsii-razvitiya-kiberintsidentov-asu-tp-issledovaniye-za-dve-tysyachi-dvadtsat-chetyvertiy-god> (дата обращения: 01.11.2025).

2. Тенденции в сфере обеспечения кибербезопасности АСУ ТП / [Электронный ресурс] // Официальный сайт компании InfoWatch: [сайт]. – URL: <https://www.infowatch.ru/analytics/analitika/tendentsii-v-sfere-obespecheniya-kiberbezopasnosti-asu-tp> (дата обращения: 01.11.2025).

3. Detecting Cyber Attacks in Industrial Control Systems Using Deep Autoencoders / [Электронный ресурс] // arXiv.org: [сайт]. – URL: <https://arxiv.org/abs/1806.08473> (дата обращения: 01.11.2025).

4. N-BaIoT: Network-Based Detection of IoT Botnet Attacks Using Deep Autoencoders / [Электронный ресурс] // arXiv.org: [сайт]. – URL: <https://arxiv.org/abs/1805.03409> (дата обращения: 01.11.2025).

5. A Survey on Anomaly Detection for Industrial Control Systems / [Электронный ресурс] // ACM Digital Library: [сайт]. – URL: <https://dl.acm.org/> (дата обращения: 01.11.2025).

6. Chalapathy R., Chawla S. Deep Learning for Anomaly Detection: A Survey / [Электронный ресурс] // arXiv.org: [сайт]. – URL: <https://arxiv.org/abs/1901.03407> (дата обращения: 01.11.2025).

7. Kingma D. P., Welling M. Auto-Encoding Variational Bayes / [Электронный ресурс] // arXiv.org: [сайт]. – URL: <https://arxiv.org/abs/1312.6114> (дата обращения: 01.11.2025).

© Емелев А.С., 2025

УДК 004.451.56

Ю.О. ЖУРАВЛЕВА

uliazuravleva751@gmail.com

Науч. руковод. – канд. ф-м. наук, доцент Н.Г. МИРОНОВА

Уфимский университет науки и технологий

ИСПОЛЬЗОВАНИЕ ИСКУССТВЕННОГО ИНТЕЛЛЕКТА В ОРГАНИЗАЦИОННОЙ ЗАЩИТЕ ИНФОРМАЦИИ

Аннотация: в данной статье рассматривается применение искусственного интеллекта при реализации организационных мер защиты информации. Рассматриваются тенденции развития искусственного интеллекта, и использование искусственного интеллекта для защиты конфиденциальной информации организации.

Ключевые слова: искусственный интеллект; конфиденциальный документ; несанкционированный доступ; организационная защита информации; социальная инженерия.

Последние несколько лет отмечены активным ростом технологии искусственного интеллекта. Решения на базе искусственного интеллекта находят применение в различных сферах профессиональной деятельности. По данным Сбера, наибольший рост проникновения решений на базе искусственного интеллекта отмечается в области информационных технологий, банковской сферы и онлайн-торговли [1].

Технологии искусственного интеллекта повсеместно внедряются в критически важные сферы – например, в сферу государственного управления. Применение искусственного интеллекта также возможно для обеспечения информационной безопасности.

Применение технологии искусственного интеллекта для обеспечения информационной безопасности можно рассмотреть на примере одной из распространенных задач обеспечения информационной безопасности в организации – защита конфиденциальных документов организации. Конфиденциальный документ – это документ, содержащий информацию, доступ к которой ограничен в соответствии с законодательством Российской Федерации. К ней относятся персональные данные сотрудников, клиентов организации, коммерческая и профессиональная тайна, сведения о сущности изобретения и прочие виды информации ограниченного доступа [2].

Угрозы информационной безопасности конфиденциальных документов можно разделить на угрозы конфиденциальности, целостности и доступности. В качестве примера угрозы конфиденциальности можно привести несанкционированный доступ к документу, угрозы целостности –

несанкционированные модификацию или уничтожение, угроза доступности – действия, при которых легитимные пользователи не могут получить доступ к информации, содержащейся в конфиденциальных документах. Защита доступности информации, содержащейся в конфиденциальных документах, приобретает особую важность при использовании систем электронного документооборота.

Некоторые из этих угроз могут быть предотвращены при помощи программных и программно-аппаратных средств. Так, системы электронного документооборота имеют встроенные подсистемы, такие как подсистема безопасности, подсистема разграничения доступа [3].

Применение технологий искусственного интеллекта при защите информации возможно по нескольким направлениям. Так, решения на основе искусственного интеллекта могут применяться для мониторинга корпоративного контента, действий – например, отслеживать аномальную активность. Еще одним способом применения данной технологии может быть анализ угроз безопасности информации.

Однако исключительно технические меры безопасности не всегда эффективны, так как угроза может быть реализована за счет персонала – при использовании злоумышленниками методов социальной инженерии, направленных на сотрудников организации, инсайдеров и пр. Для нейтрализации угроз, связанных с сотрудниками организации, применяются организационные методы защиты информации. Организационные меры защиты информации включают в себя несколько направлений, объединенных взаимодействием с сотрудниками - организацию доступа сотрудников к информации ограниченного доступа, контроль над действиями сотрудников, аналитическую деятельность, обучение сотрудников – инструктажи, а также персональную работу с сотрудником.

Существуют успешные практики применения искусственного интеллекта для автоматизации процессов в области информационной безопасности, в том числе в области организационной защиты информации. Примером может быть автоматическая генерация отчетов. В случае организационной защиты информации искусственный интеллект может применяться для автоматической разработки и редактирования документов, автоматической генерации отчетов по результатам инцидентов информационной безопасности.

Одним из наиболее перспективных направлений исследований является интеграция систем поддержки принятия решений и технологий искусственного интеллекта [4]. Интеллектуальные системы поддержки принятия решений, то есть системы поддержки принятия решений на основе искусственного интеллекта, также могут найти применение в обеспечении защиты информации. Применение интеллектуальных систем поддержки принятия решений позволяют быстро обрабатывать большие объемы данных, что позволяет обеспечить своевременную реакцию на инцидент информационной безопасности и минимизировать его последствия.

Одной из задач организационной защиты информации является обеспечение аналитической работы и контроля. Искусственный интеллект также может найти применение для оценки уровня защищенности и анализа рисков информационной безопасности, а также создания модели угроз информационной безопасности.

Обучение сотрудников является важной задачей организационной защиты информации. Так как до 70% инцидентов информационной безопасности происходят из-за действий сотрудников, необходимо регулярно проводить обучение сотрудников основам информационной безопасности, ознакомлять с методами социальной инженерии, которыми пользуются злоумышленники [5]. Применение технологий искусственного интеллекта для создания обучающего материала может повысить качество обучения сотрудников – обучающий контент возможно сделать интерактивным, адаптировать под целевую аудиторию.

Возможно и создание обучающих материалов с использованием искусственного интеллекта, при котором в качестве основы используется информация о произошедших в организации инцидентах информационной безопасности. Это может позволить предотвратить подобные инциденты в будущем, проанализировав обстоятельства, которые привели к инциденту и подготовив рекомендации по обучению сотрудников.

Таким образом, технологии искусственного интеллекта могут быть применены для обеспечения информационной безопасности, в том числе с использованием организационных мер. Внедрение искусственного интеллекта может повысить эффективность применения таких мер, как обучение сотрудников, создание модели угроз безопасности, и позволит автоматизировать такие процессы, как создание документов.

Библиографический список

1. Названы отрасли с наибольшим проникновением искусственного интеллекта URL: <https://sber.pro/publication/nazvany-otrasli-s-naibolshim-proniknoveniem-iskusstvennogo-intellekta/>(дата обращения: 30.10.2025)
2. Указ Президента Российской Федерации от 06.03.1997 г. № 188 «Об утверждении перечня сведений конфиденциального характера». URL: <http://www.kremlin.ru/acts/bank/10638> (дата обращения: 30.10.2025)
3. Н. О. Ушаков, И. В. Сибикина, И. М. Космачева Информационная безопасность в системах электронного документооборота // Техническая эксплуатация водного транспорта: проблемы и пути развития. 2021. №1. URL: <https://cyberleninka.ru/article/n/informatsionnaya-bezopasnost-v-sistemah-elektronnogo-dokumentooborota> (дата обращения: 29.10.2025)
4. Никогда Ю. Г. Искусственный интеллект в государственном управлении: Анализ состояния и перспективы // Вестник науки. 2025. №9 (90). URL: <https://cyberleninka.ru/article/n/iskusstvennyy-intellekt-v-gosudarstvennom-upravlenii-analiz-sostoyaniya-i-perspektivy> (дата обращения: 30.10.2025)

5. Роль человеческого фактора в кибербезопасности – URL: <https://www.sberbank.ru/ru/person/kibrary/articles/rol-chelovecheskogo-faktora-v-kiberbezopasnosti> (дата обращения - 11.10.2025)

© Журавлева Ю.О., 2025

В.С. КИРИЛЛОВ

vadim.kirillov.03@bk.ru

А.Р. ИБРАГИМОВА

alfiya-ibragimova-2003@mail.ru

Науч. руковод. – канд. юр. наук, доцент Р.М. ЯППАРОВ

Уфимский университет науки и технологий

ИНТЕЛЛЕКТУАЛЬНАЯ ЗАЩИТА ЭЛЕКТРОННОЙ ПОЧТЫ С ПРИМЕНЕНИЕМ ПРОГРАММЫ «VI.ZONE MAIL SECURITY»

Аннотация: в статье проанализированы проблемы обеспечения информационной безопасности при работе с электронной почтой, а также рассмотрены особенности интеллектуальной защиты электронной почты с применением программы «VI.ZONE Mail Security», ее преимущества и недостатки.

Ключевые слова: информация, защита информации, система защиты информации, угроза информационной безопасности, электронная почта.

Использование электронной почты связано с множеством потенциальных угроз информационной безопасности (далее - ИБ). По данным исследования годового ландшафта угроз «Threat Zone 2025», которое представила компания Vi.Zone, порядка 57% целевых атак начинаются с отправки электронного письма. Так, количество писем с вредоносным программным обеспечением (далее – ПО) в 2024 году выросло почти в 3,5 раза по сравнению с данными за 2023 год. Такие угрозы могут привести к серьезным последствиям, как для бизнеса, так и для рядовых пользователей. Рассмотрим наиболее распространенные угрозы, с которыми сталкиваются в настоящее время пользователи, подробнее²:

1. Фишинг. Он представляет собой атаку злоумышленников с целью обмануть пользователей и кражи конфиденциальных данных. Стоит отметить, что благодаря искусственному интеллекту злоумышленники оперативно генерируют индивидуализированные фишинговые сообщения. Анализ общедоступной информации из социальных платформ позволяет создавать атаки, отличающиеся высокой степенью правдоподобия, поскольку письма уже адаптированы под конкретных пользователей.

2. Спам и рассылки. Массовый спам может стать источником серьезных проблем, отвлекая внимание сотрудников. Некоторые спам-письма содержат

² Прокопенко, Е. В. Техническая защита информации : учебное пособие / Е. В. Прокопенко, В. О. Коротин. — Кемерово : КузГТУ имени Т.Ф. Горбачева, 2024. — 131 с. — ISBN 978-5-00137-494-7. — Текст : электронный // Лань : электронно-библиотечная система. — URL: <https://e.lanbook.com/book/498974> (дата обращения: 07.11.2025).

вредоносные вложения или скрытые ссылки, ведущие на заражённые сайты. Это может привести к краже денежных средств или заражению компьютерных систем пользователей.

3. Утечка конфиденциальной информации. Неправильно настроенная политика безопасности электронной почты, несанкционированный доступ (НСД) или человеческий фактор могут привести к потере важных данных, когда конфиденциальная информация становится известна третьим лицам, это грозит серьезными финансовыми потерями и нарушением деловой репутации.

4. Кража учетных записей и паролей. Злоумышленники могут попытаться взломать аккаунты пользователей посредством подбора логина и пароля, phishing-кампании или эксплойтов уязвимых сервисов аутентификации. Получив доступ к почте пользователя, злоумышленники получают широкий спектр возможностей для преступных действий.

Также часто причиной инцидентов ИБ становятся сами сотрудники компании, случайно открывшие письмо с вирусом или умышленно передавшие важные данные третьим лицам с целью собственной выгоды³. Для уменьшения вышеперечисленных рисков обеспечения информационной безопасности мы рекомендуем внедрять комплексные меры защиты, включающие антивирусные программы, фильтры антиспама, дополнительное обучение персонала защите информации и внедрение специализированных решений, таких как, например, как использование программы «BI.ZONE Mail Security», которое позволяет повысить уровень информационной безопасности и снизить вероятность успешных атак злоумышленников.

«BI.ZONE Mail Security» — это решение для интеллектуальной защиты электронной почты, разработанное российской компанией BI.ZONE в 2025 г. Программа позволяет эффективно защищать корпоративную почту от угроз, включая фишинговые атаки, спам, вредоносные вложения и другие виды мошенничества. Данное решение сканирует входящие и исходящие электронные письма, допуская лишь правомерные сообщения. Разносторонняя проверка с использованием многоуровневых фильтров дает возможность комплексно установить уровень потенциальной угрозы и принять решение о блокировке или доставке письма получателю. При наличии в компании центра управления информационной безопасностью (далее - SOC), предусмотрена передача информации об инцидентах, связанных с электронной почтой, в его SIEM-модуль. Дополнительно, поддерживается интеграция со сторонней «песочницей» для обнаружения новейших вирусных угроз, уязвимостей «нулевого дня», программ-вымогателей и других комплексных вредоносных программ. Общая схема работы ПО «BI.ZONE Mail Security» представлена на рисунке 1.

³ Прохорова, О. В. Информационная безопасность и защита информации : учебник для СПО / О. В. Прохорова. - 6-е изд., стер. - Санкт-Петербург : Лань, 2025. - 124 с. - ISBN 978-5-507-52269-9. - Текст : электронный // Лань : электронно-библиотечная система. - URL: <https://e.lanbook.com/book/445250> (дата обращения: 01.11.2025).

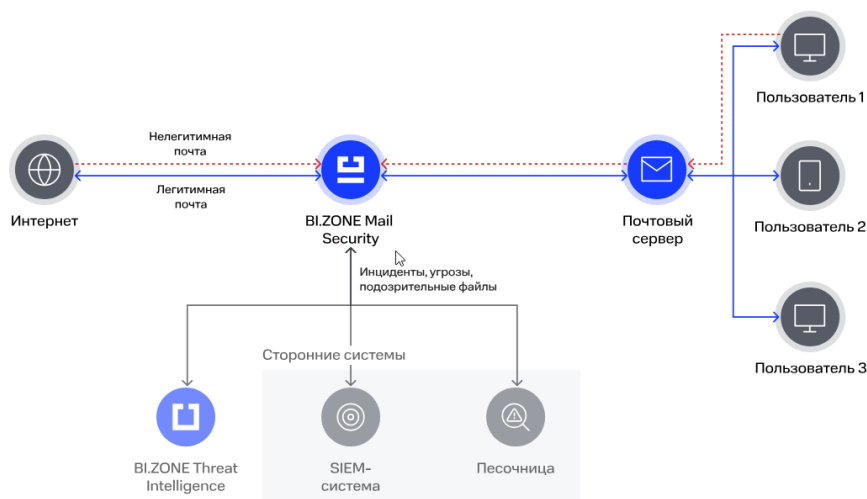


Рис. 1. Схема работы BI.ZONE Mail Security

Основными возможностями «BI.ZONE Mail Security» являются:

- антиспам: фильтрация нежелательных писем (спама) с высоким уровнем точности;
- антифишинг: обнаружение и блокировка фишинга и социальной инженерии;
- защита от вирусов и вредоносных вложений: использование современных технологий анализа файлов на наличие вредоносного ПО;
- обнаружение утечек конфиденциальной информации: контроль отправляемых сообщений и выявление возможных нарушений ИБ;
- управление правами доступа: гибкая настройка прав пользователей на отправку и получение электронных писем;
- анализ поведения сотрудников: мониторинг подозрительных действий внутри организации;
- поддержка гибридных инфраструктур: совместимость с различными почтовыми сервисами, такими как Microsoft Exchange, Google Workspace и др.

Стоит отметить, что данное ПО начало активно внедряться крупными компаниями, например, такими как «Служба Доставки Экспресс-Курьер» (далее – СДЭК). Ежедневно компания обрабатывает внушительный объем заказов, порядка 300 тысяч. Для СДЭК электронная почта является жизненно важным инструментом для поддержания коммуникации как с клиентами, так и партнерами. Сотрудники ежедневно обрабатывают порядка 50 тысяч электронных писем. Тем не менее, электронная почта представляет собой серьезную угрозу для безопасности инфраструктуры организации. Успех атак, использующих электронную почту, в значительной степени зависит от человеческого фактора, который является причиной подавляющего большинства (95%) нарушений в данной области⁴. Учитывая, что СДЭК имеет

⁴ Тумбинская, М. В. Защита информации на предприятии : учебное пособие для вузов / М. В. Тумбинская, М. В. Петровский. — 2-е изд., стер. — Санкт-Петербург : Лань, 2025. — 184 с. — ISBN 978-5-507-52967-4. — Текст : электронный // Лань : электронно-библиотечная система. — URL: <https://e.lanbook.com/book/463043> (дата обращения: 07.11.2025).

около 30 тысяч почтовых ящиков, вероятность того, что кто-то из сотрудников в конечном итоге откроет вредоносное письмо, была достаточно высока. Решение, разработанное BI.ZONE успешно защитило почтовые ящики СДЭК от угроз: за период в четыре месяца работники организации не столкнулись ни с одним письмом, представляющим опасность. Комплекс обнаружил и нейтрализовал свыше 1,8 миллиона вредоносных электронных сообщений, способных причинить вред бизнесу. Кроме того, 3,3 миллиона нежелательных рассылок были помещены в карантин, из которого адресат мог при необходимости восстановить любое письмо.

Стоит отметить, что программа предоставляет удобный личный кабинет, где можно посмотреть статистику о входящих и исходящих письмах в удобных форматах, для руководителей есть возможность вручную или автоматически создавать отчеты и др. Статистика работы ПО «BI.ZONE Mail Security» представлена на рисунке 2.

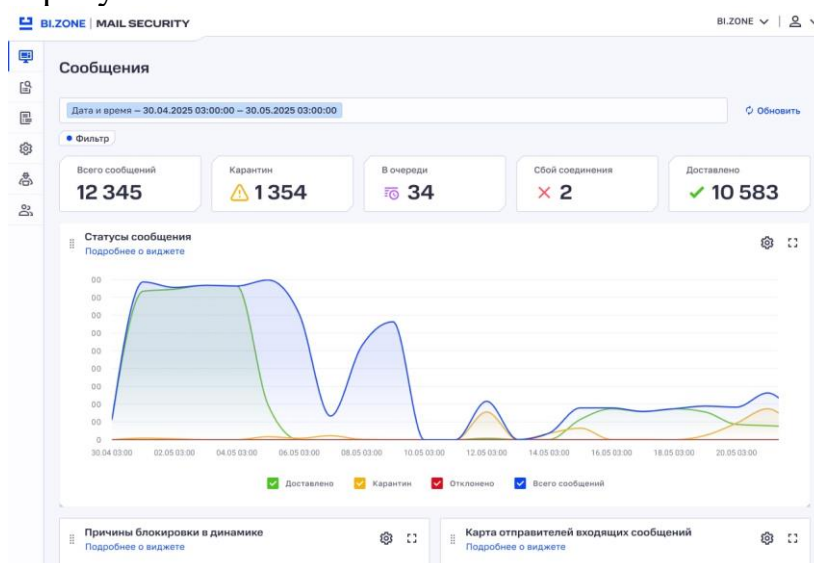


Рис. 2. Графический интерфейс личного кабинета

Основные возможности личного кабинета «BI.ZONE Mail Security»: управление почтовыми доменами, анализ угроз и отчетность, настройка уведомлений и предупреждений, управление пользователями и правами их доступа к функционалу защиты почты.

Личный кабинет «BI.ZONE Mail Security» является мощным инструментом для администраторов и руководителей ИТ-отделов организаций любого масштаба, помогающим обеспечить надежную защиту корпоративных коммуникаций и минимизировать риски, связанные с электронными сообщениями.

Таким образом, анализируя решения связанные с интеллектуальной защитой почты с применением «BI.ZONE Mail Security» были выявлены следующие преимущества:

- эффективная борьба с фишингом и социальными атаками;
- высокая точность детектирования угроз благодаря машинному обучению и искусственному интеллекту;

- минимальное количество ложных срабатываний;
- высокий уровень обнаружения вредоносного ПО;
- обеспечение конфиденциальности и целостности данных;
- высокая гибкость настройки и интеграция с существующими ИТ-инфраструктурами;
- простое управление и высокая производительность.

Данное решение «VI.ZONE Mail Security» создано в Российской Федерации и отвечает нормам российского права, что является ключевым моментом для государственных учреждений и предприятий, обеспечивающих функционирование критической инфраструктуры. Указанные достоинства делают «VI.ZONE Mail Security» превосходным вариантом для обеспечения надёжной охраны корпоративной электронной почты, укрепляя общий уровень информационной безопасности организации.

Библиографический список

1. Прокопенко, Е. В. Техническая защита информации: учебное пособие / Е. В. Прокопенко, В. О. Коротин. – Кемерово: КузГТУ имени Т.Ф. Горбачева, 2024. – 131 с. – ISBN 978-5-00137-494-7. – Текст: электронный // Лань: электронно-библиотечная система. – URL: <https://e.lanbook.com/book/498974> (дата обращения: 07.11.2025).

2. Прохорова, О. В. Информационная безопасность и защита информации: учебник для СПО / О. В. Прохорова. - 6-е изд., стер. – Санкт-Петербург: Лань, 2025. – 124 с. – ISBN 978-5-507-52269-9. – Текст: электронный // Лань: электронно-библиотечная система. – URL: <https://e.lanbook.com/book/445250> (дата обращения: 01.11.2025).

3. Тумбинская, М. В. Защита информации на предприятии: учебное пособие для вузов / М. В. Тумбинская, М. В. Петровский. – 2-е изд., стер. – Санкт-Петербург: Лань, 2025. – 184 с. – ISBN 978-5-507-52967-4. – Текст: электронный // Лань: электронно-библиотечная система. – URL: <https://e.lanbook.com/book/463043> (дата обращения: 07.11.2025).

© Ибрагимова А.Р., Кириллов В.С., 2025

В.С. КИРИЛЛОВ

vadim.kirillov.03@bk.ru

А.Р. ИБРАГИМОВА

alfiya-ibragimova-2003@mail.ru

Науч. руковод. – канд. юр. наук, доцент Р.М. ЯППАРОВ

Уфимский университет науки и технологий

ЗАЩИТА ДАННЫХ И ПРИВАТНОСТЬ ПРИ ИСПОЛЬЗОВАНИИ ИСКУССТВЕННОГО ИНТЕЛЛЕКТА

Аннотация: в статье анализируются проблемы обеспечения информационной безопасности при работе с ИИ, а также рассматриваются особенности защиты информации и приватности данных при использовании программных решений с применением искусственного интеллекта (ИИ).

Ключевые слова: информация, защита информации, персональные данные, конфиденциальные данные, искусственный интеллект, машинное обучение.

Активное применение приложений с искусственным интеллектом (далее – ИИ) становится все более актуальным в различных сферах деятельности благодаря способности системы обрабатывать большие объемы данных, автоматизировать процессы и принимать решения на основе собственной аналитики. К ключевым аспектам применения ИИ можно отнести⁵:

1. Автоматизацию процессов. Автоматизация существенно увеличивает эффективность процессов и действий, что позволяет работать быстрее и более точно. Также это снижение затрат на трудозатраты и операционные расходы компании.

2. Анализ больших данных. ИИ способен быстро обрабатывать и анализировать огромные объемы данных, выявляя закономерности, которые на первый взгляд могут быть неочевидны для человека.

3. Персонализацию. ИИ позволяет компаниям предлагать персонализированные рекомендации и услуги на основании анализа общедоступных данных о покупателе, что повышает уровень удовлетворенности клиентов и улучшения качества обслуживания, решая проблемы в режиме реального времени.

4. Безопасность и защиту. Искусственный интеллект предоставляет компаниям множество способов для управления рисками. Он помогает быстро находить возможные проблемы, оценивать их серьезность и разрабатывать

⁵ Прохорова, О. В. Информационная безопасность и защита информации : учебник для СПО / О. В. Прохорова. - 6-е изд., стер. - Санкт-Петербург : Лань, 2025. - 124 с. - ISBN 978-5-507-52269-9. - Текст : электронный // Лань : электронно-библиотечная система. - URL: <https://e.lanbook.com/book/445250> (дата обращения: 01.11.2025).

планы по смягчению последствий. Использование ИИ позволяет уменьшить непредсказуемость и сделать бизнес более устойчивым к внешним воздействиям. Чем больше компания использует современные технологии, тем лучше она сможет контролировать риски и достигать своих целей.

Так, внедрение ИИ-помощника специалистами центра мониторинга информационной безопасности (далее – SOC) Yandex Cloud позволило уменьшить среднее время реагирования на инциденты (Mean Time To Repair - MTTR) на треть благодаря автоматическому формированию сводок и адаптивных инструкций. ИИ-компоненты системы, разработанные на базе YandexGPT, обрабатывают входящую информацию о кибербезопасности, а также получают данные из SIEM-системы и справочной документации⁶. В результате, ИИ создает краткие и содержательные резюме инцидентов в автоматическом режиме, акцентируя внимание на самых важных событиях, затронутых системах, вероятных путях атаки и индикаторах компрометации (Indicators of Compromise - IoCs)⁷. Это значительно оптимизирует время, затрачиваемое аналитиками на поиск и обобщение информации, что ускоряет процесс принятия решений.

Несмотря на массу положительных аспектов, применение ИИ ставит под сомнение ее возможности связанные с защитой информации и приватностью конфиденциальных данных. Естественно, что использование ИИ вызывает у пользователей закономерные опасения, связанные с безопасностью информации, ее сохранностью, доступностью и конфиденциальностью. Современные методы анализа огромных массивов данных способны выявлять ценные сведения даже из обезличенных данных, что потенциально ведет к раскрытию частной информации граждан. Ниже представлены основные аспекты, касающиеся обеспечения защиты данных и приватности при работе с системами искусственного интеллекта:

1. Сбор и обработка данных. ИИ зачастую требует сбора большого объема данных (имена, адреса электронной почты, номера телефонов и другую информацию о пользователе) для анализа и улучшения. Поэтому крайне важно понимать, каким образом эти данные собираются, хранятся и используются. Перед использованием сервиса обязательно нужно ознакомиться с политикой конфиденциальности сервисов, использующих ИИ, контролировать объем передаваемых данных приложениям и использовать настройки приватности.

2. Обезличивание и анонимизация данных. Как отмечалось уже ранее, хотя многие сервисы утверждают, что используют обезличенную информацию, современные методы машинного обучения способны восстанавливать

⁶ Тумбинская, М. В. Защита информации на предприятии : учебное пособие для вузов / М. В. Тумбинская, М. В. Петровский. — 2-е изд., стер. — Санкт-Петербург : Лань, 2025. — 184 с. — ISBN 978-5-507-52967-4. — Текст : электронный // Лань : электронно-библиотечная система. — URL: <https://e.lanbook.com/book/463043> (дата обращения: 07.11.2025).

⁷ Харитонова, Ю. С. Искусственный интеллект: цивилистическая концепция регулирования : монография / Ю. С. Харитонова, В. С. Савина. — Москва : Юстицинформ, 2025. — 332 с. — ISBN 978-5-7205-2195-0. — Текст : электронный // Лань : электронно-библиотечная система. — URL: <https://e.lanbook.com/book/507901> (дата обращения: 07.11.2025).

исходные данные, особенно если они связаны с уникальным поведением или действиями конкретного пользователя. Требуется регулярно проверять, какую информацию собирает сервис и как долго хранит данные о пользователях.

3. Безопасность передачи данных. Использование ИИ подразумевает передачу данных через сеть. Если эта передача осуществляется без должной защиты (шифрования), злоумышленники могут перехватывать и анализировать передаваемую информацию. В связи с этим требуется применять защищенные соединения (HTTPS), а также избегать ввода личной информации на открытых сетях Wi-Fi.

Одним из самых популярных инструментов с применением ИИ является ChatGPT. В основе ChatGPT лежат передовые технологии обработки естественного языка, позволяющие оперативно и индивидуально адаптировать ответы к запросам пользователей. В марте 2023 года OpenAI, создатель ChatGPT, столкнулась с технической проблемой, из-за которой чат-бот был недоступен для пользователей на протяжении нескольких часов. В этот период некоторые пользователи получили доступ к чужой истории переписки. Имеется информация, что данные о платежах подписчиков платной версии ChatGPT-Plus могли быть также скомпрометированы. OpenAI опубликовала официальное заявление об инциденте и заявила об устранении его причин. Однако это не гарантирует отсутствие подобных инцидентов в ближайшем будущем. Каждый онлайн-сервис подвержен риску утечки конфиденциальной информации или взлома систем безопасности из-за непрерывного увеличения числа хакерских атак.

Несанкционированное использование информации - существенная угроза безопасности информации. В разделе часто задаваемых вопросов для ChatGPT создатель советует воздерживаться от передачи боту личных сведений и подчеркивает, что введенные запросы не исчезают из истории. Кроме того, указывается, что зафиксированная в ChatGPT переписка может применяться компанией OpenAI для последующего улучшения функциональности алгоритма. Т.е. пользователь самостоятельно предоставляет информацию и удалить ее из сервиса практически невозможно.

Использование искусственного интеллекта требует внимательного отношения к возможным рискам и мерам защиты. Ответственность за сохранность персональных данных лежит как на пользователях, так и на создателях технологий, которые должны придерживаться моральных принципов и правовых норм в области обработки информации. Объединенные действия помогут гарантировать безопасность и конфиденциальность в период интенсивного прогресса искусственного интеллекта.

Библиографический список

1. Прохорова, О. В. Информационная безопасность и защита информации: учебник для СПО / О. В. Прохорова. - 6-е изд., стер. - Санкт-

Петербург: Лань, 2025. – 124 с. – ISBN 978-5-507-52269-9. – Текст: электронный // Лань: электронно-библиотечная система. – URL: <https://e.lanbook.com/book/445250> (дата обращения: 01.11.2025).

2. Тумбинская, М. В. Защита информации на предприятии: учебное пособие для вузов / М. В. Тумбинская, М. В. Петровский. – 2-е изд., стер. – Санкт-Петербург: Лань, 2025. – 184 с. – ISBN 978-5-507-52967-4. – Текст: электронный // Лань: электронно-библиотечная система. – URL: <https://e.lanbook.com/book/463043> (дата обращения: 07.11.2025).

3. Харитонова, Ю. С. Искусственный интеллект: цивилистическая концепция регулирования: монография / Ю. С. Харитонова, В. С. Савина. – Москва: Юстицинформ, 2025. – 332 с. – ISBN 978-5-7205-2195-0. – Текст: электронный // Лань: электронно-библиотечная система. – URL: <https://e.lanbook.com/book/507901> (дата обращения: 07.11.2025).

© Ибрагимова А.Р., Кириллов В.С., 2025

Р.Р. ИСЛАМОВ, А.А. ЖУРАВЛЕВ, Е.М. КАРАСЕВА
catgamer@inbox.ru, zhuravlevaao4@mail.ru, lizakaraseva0637@gmail.com
Науч. руковод. – канд. тех. наук, доцент В.Е. КЛАДОВ

Уфимский университет науки и технологий

РЕТРАНСЛЯЦИОННЫЕ АТАКИ

Аннотация: данная статья посвящена исследованию ретрансляционных атак на системы с NFC (Near Field Communication), основанных на использовании доступных компонентов Arduino для создания прототипа устройства, усиливающего сигналы NFC. В работе демонстрируется возможность продления радиуса действия NFC-сигнала и рассматриваются методы защиты от таких атак, включая экранирование и проверку геолокации. Практическая значимость заключается в подтверждении уязвимости NFC-систем и необходимости внедрения надежных мер защиты для повышения безопасности беспроводных коммуникаций.

Ключевые слова: NFC, ретрансляционная атака, беспроводная безопасность, Arduino, усиление сигнала, защита NFC, радиус действия, электромагнитное излучение, системы аутентификации, кибербезопасность.

Введение

Предметом исследования являются ретрансляционные атаки на системы с беспроводной аутентификацией NFC (Near Field Communication). Актуальность работы обусловлена широкой распространенностью данной технологии и ростом связанных с ней краж. Подобные атаки особенно опасны, так как они обходят криптографическую защиту, эксплуатируя физические ограничения радиоканала – конечную скорость распространения сигнала и предполагаемую близость устройств.

Появление доступных подобных Arduino платформ сделало такую атаку практической угрозой. Гипотеза исследования: использование доступных компонентов позволяет создать устройство, успешно осуществляющее ретрансляционную атаку.

Цель – практическая демонстрация уязвимости путем разработки прототипа на Arduino и анализа контрмер.

Задачи:

- создание устройства на базе Arduino;
- проведение экспериментов;
- анализ методов защиты.

NFC – технология беспроводной связи малого радиуса (до 10 см). Считыватель генерирует электромагнитное поле, которое питает чип карты и одновременно обеспечивает двусторонний обмен данными.

Научная и практическая значимость. Работа дает практическое подтверждение теоретическим уязвимостям и демонстрирует производителям необходимость внедрения более надежных протоколов. Для пользователей формулируются конкретные рекомендации по защите.

Методология исследования

Для исследования ретрансляционной атаки был изготовлен терминал приема/отправки данных на NFC метки и усилительное устройство. NFC терминал изготовлен на микроконтроллере «Arduino Nano» с использованием NFC модуля «PN532 NFC RFID V3» с типом подключения по I2C шине. Этот модуль генерации NFC сигнала удовлетворяет стандарту ГОСТ Р ИСО/МЭК 18092–2015. Принципиальная схема NFC терминала показана на рисунке 1.

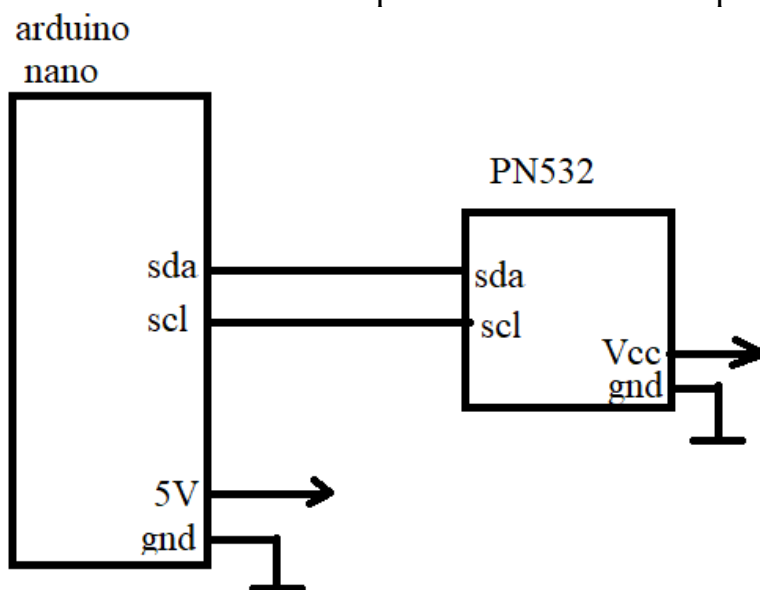


Рис. 1. Принципиальная схема NFC терминала.

Основные параметры NFC $f_c = 13,56$ МГц с полосой пропускания 2 МГц. Согласно этим стандартам, был изготовлен усилительный модуль, состоящий из антенны, фильтра высоких частот (ФВЧ) и операционного усилителя (рисунок 2).

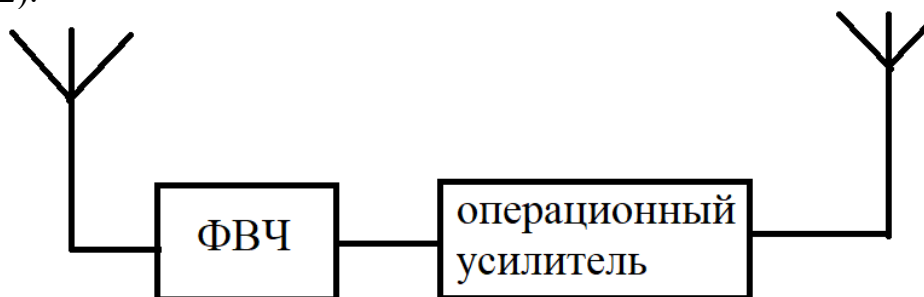


Рис. 2. Структурная схема усилительного блока.

Фильтр высоких частот имеет резонансную частоту равную частоте электромагнитному полю, создаваемую NFC модулем в 13,56 МГц. Полоса

пропускания фильтра равняется 2 МГц. Операционный усилитель подбирался таким образом, чтобы улавливались маломощные сигналы электромагнитного NFC поля, а для точной передачи данных использовался инвертирующий режим операционного усилителя. Принципиальная схема усилительного блока показана на рисунке 3.

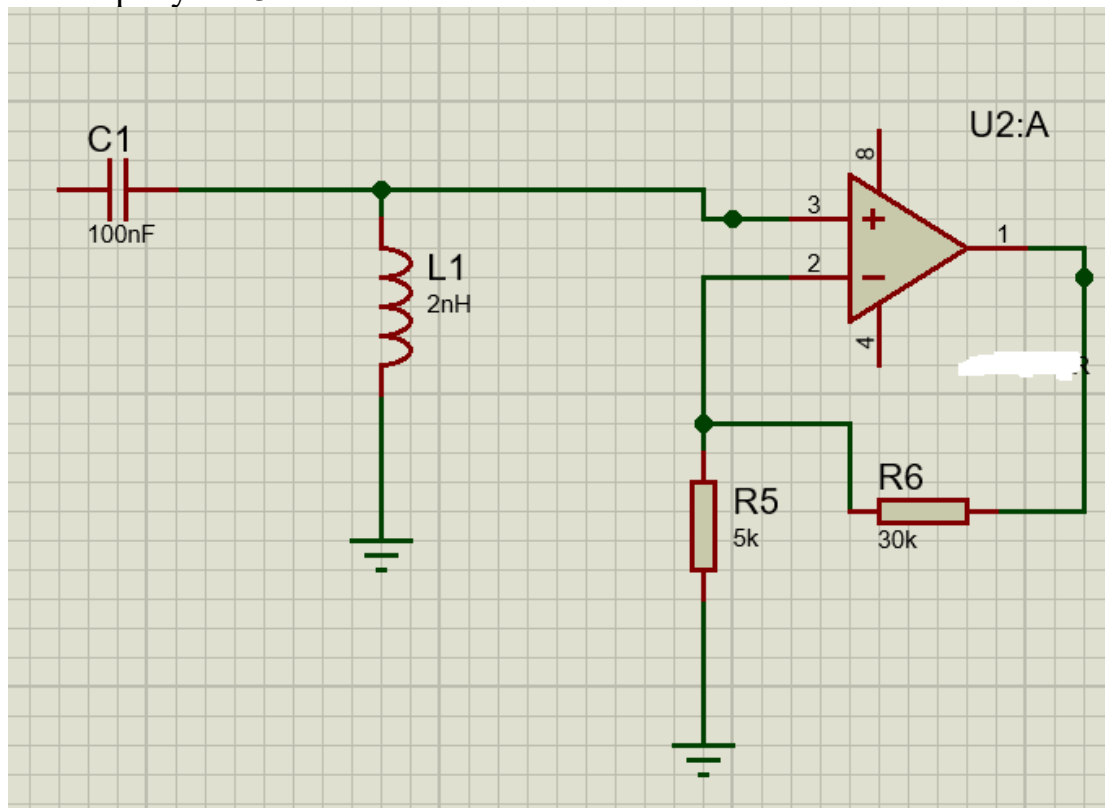


Рис. 3. Принципиальная схема усилительного блока

Результаты исследования и выбор методов защиты от ретрансляционных атак.

Изготовленный усилительный блок действительно продлевает радиус действия NFC сигнала, создаваемым терминалом. При поднесении усилительного блока к NFC датчику, он улавливал сигнал с амплитудой 1.2 В и усиливал его до 4 В. Такое усиление продлевает радиус действия в 3 раза, результаты замеров показаны на рисунках 4 и 5.

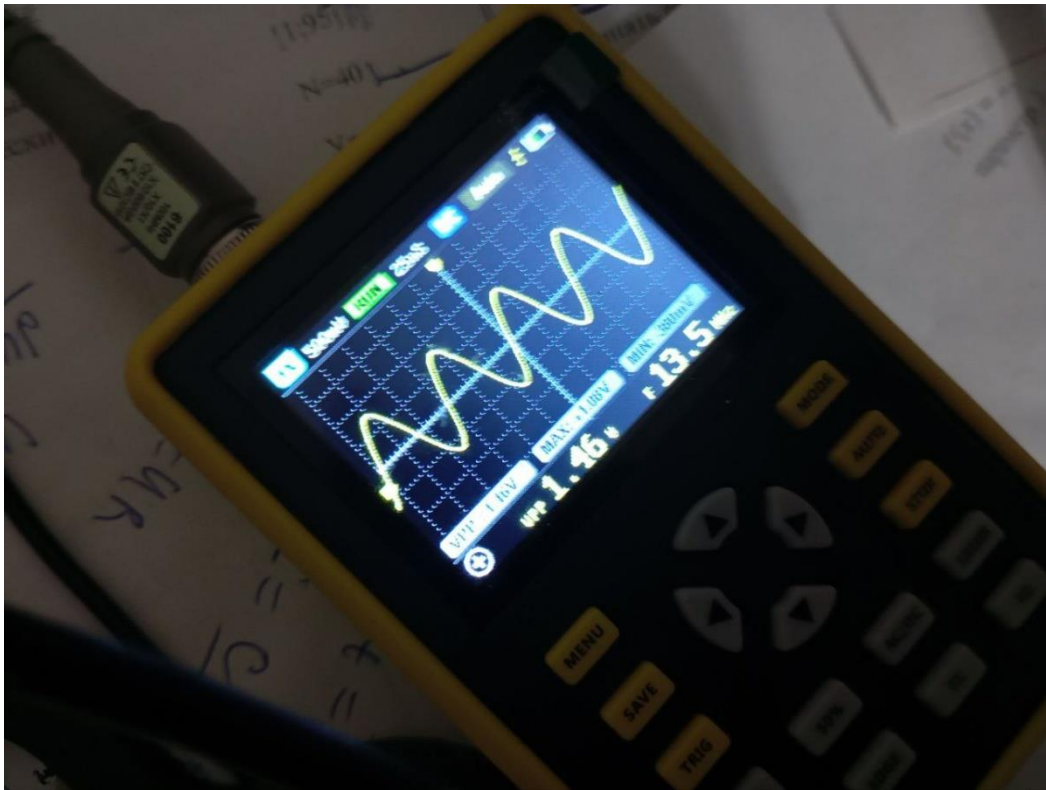


Рис. 4. Входной сигнал

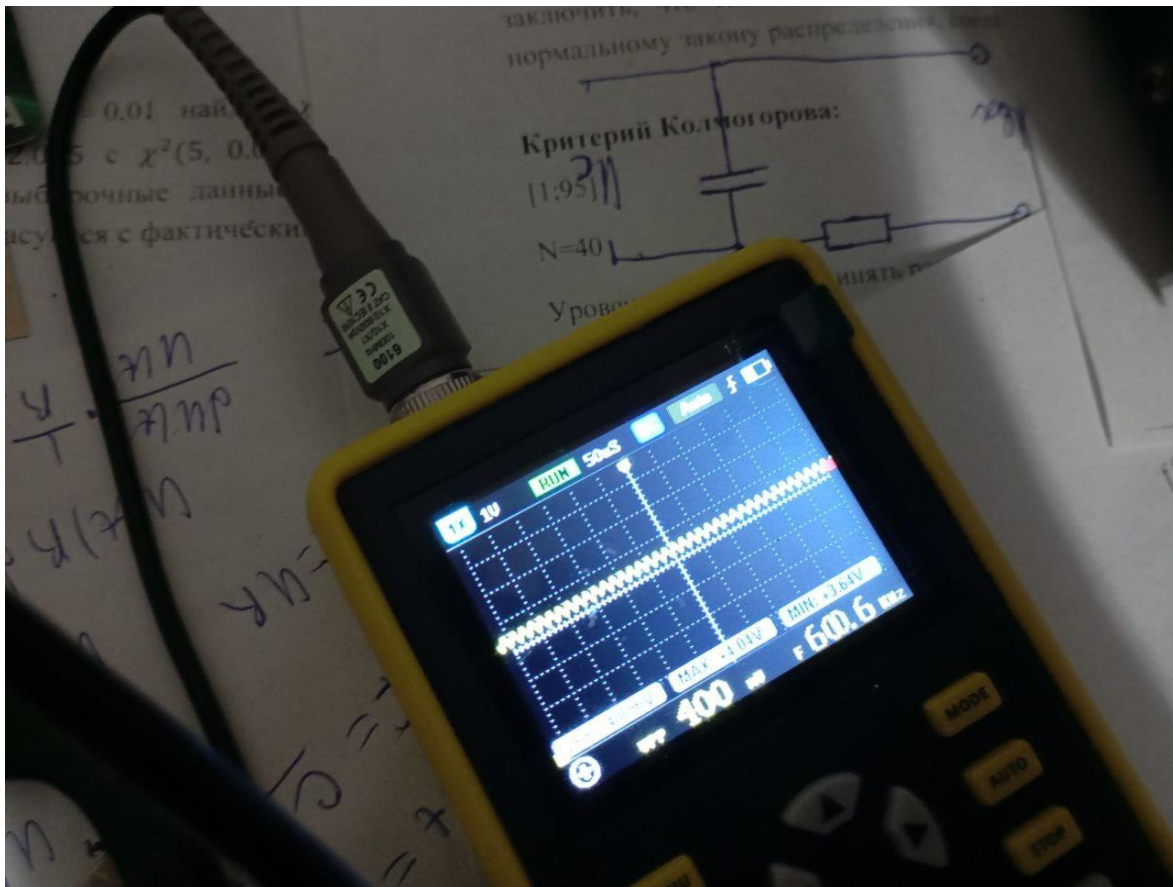


Рис. 5. Выходной сигнал

Полученные результаты показали, что усилив электромагнитное поле NFC, увеличивается и радиус взаимодействия с NFC метками, установленными в устройствах, поэтому от этого необходимы методы защиты.

Методы защиты от ретрансляционных атак:

1) Экранирование устройства – хранить устройства, содержащие NFC метки в изолированных местах (чехлах) от внешнего электромагнитного поля.

2) Проверка геолокации – помимо передачи основной информации по NFC необходимо передавать и сверять местоположение устройства от терминала, если же расстояние от терминала до устройства больше установленного, то операция не должна пройти.

Эти методы защиты справляются от срабатывания ретрансляционных атак при этом их внедрение не требует больших финансовых и ресурсных затрат.

Вывод

Результаты исследование ретрансляционной атаки показали, что методом усиления сигнала NFC излучаемого терминалом, можно продлить радиус взаимодействия с устройством имеющую NFC метку, поэтому для противодействия были протестированы методы защиты, которые показали свою эффективность в борьбе с ретрансляционными атаками.

Библиографический список

1. Francis, L., Hancke, G., Mayes, K., Markantonakis, K. Practical NFC Peer-to-Peer Relay Attack Using Mobile Phones – 2010.
2. Tu, Y.-J., Piramuthu, S. On addressing RFID/NFC-based relay attacks: An overview – 2020.

© Исламов Р.Р., Журавлев А.А., Карасева Е.М., 2025

УДК 004.056.55

А.И. Ишмухаметов
albert09.09@gmail.com

Науч. руковод. – канд. техн. наук, доцент Ю.И. ВАЛИАХМЕТОВА

Уфимский университет науки и технологий

СОВРЕМЕННЫЕ МЕТОДЫ СТЕГАНОГРАФИИ: АНАЛИЗ LSB, GAN И ТСП-СТЕГАНОГРАФИИ

Аннотация: в статье рассматриваются ключевые методы стеганографии, начиная с классического подхода LSB (наименее значимого бита), сетевой ТСП-стеганографии и заканчивая современными нейросетевыми решениями на основе генеративно-состязательных сетей GAN. Анализируются их преимущества, недостатки и устойчивость к стегоанализу. Особое внимание уделено устойчивости различных методов перед стегоанализом. Рассмотрены параметры оценки стенографических методов: емкость, незаметность и устойчивость.

Ключевые слова: стеганография, LSB-метод, ТСП-стеганография, генеративно-состязательные сети GAN, адаптивное скрытие данных, стегоанализ, нейросетевая стеганография, скрытая передача информации

Введение

В нынешнее время возрастает потребность в шифровании и скрытой передаче различных сообщений, информация стала одним из важнейших ресурсов. Стеганография – наука, находящаяся на стыке криптографии и теории информации. Она позволяет оперировать различными алгоритмами для скрытого внедрения данных в обычные файлы и сетевые потоки. В стеганографии существуют три параметра, по которым можно оценить успешность работы алгоритма шифрования:

- емкость – возможное количество скрываемой информации;
- незаметность – устойчивость к визуальному и стег анализу;
- устойчивость – способность сохранять данные при преобразованиях носителя.

В статье будут рассмотрена эволюция стенографических методов, начиная с LSB подхода, анализа сетевых методов скрытой передачи информации и завершая современными нейросетевыми решениями на основе GAN.

Метод младшего бита LSB (Least Significant Bit)

Традиционная реализация метода младшего бита основана на замене наименее значимых битов в цифровом представлении изображения. В цифровом представлении изображение состоит из битов, биты делятся на старших и младших. Старшие отвечают за основной цвет и яркость, младшие за плавность изображения, градиент, тени. Небольшое изменение младших битов незаметно человеческому глазу. Именно в этом и состоит суть LSB подхода: происходит кодирования шифрованного сообщения в битовое представление, далее оно записывается по частям в младшие биты последовательной группы пикселей. При сравнении обычного изображения и содержащего шифр человек не заметит никакой разницы.

Главная проблема заключается в том, что равномерное распределение скрываемых данных создает характерные статистические аномалии. Такой алгоритм оставляет после себя выбросы, их довольно просто заметить используя, гистограмму распределения значений пикселей или корреляцию между соседними пикселями.[1]

Усовершенствованные варианты LSB:

1 LSB с псевдослучайным распределением – запись битов происходит с использованием генератора псевдослучайных чисел для определения позиции. Это усложняет статистический анализ, в частности создает более равномерную гистограмму значений пикселей, убирая выбросы, однако этот метод не устойчив к корреляционному анализу т.к. при проверке зависимости соседних пикселей можно легко обнаружить, что нарушен градиент или текстура между локальными пикселями [1]

2 Метод адаптивного внедрения – происходит поиск областей в изображении с однородными битовыми паттернами. К примеру, последовательность пикселей, в которых несколько младших бит имеют одинаковое значение. В такие кластеры можно внедрять данные с минимальным влиянием на статистические характеристики. Такой метод довольно трудно обнаружить гистограммой или корреляцией. [4]

ТСР-стеганография: скрытая передача данных

Transmission Control Protocol (ТСР) – протокол транспортного уровня, он обеспечивает надёжную доставку данных, разбивая информацию на пакеты и отправляя её поочередно. Под надёжностью подразумевается, что протокол отслеживает и исправляет потерю пакетов и случайные искажения данных.

Потеря пакетов в пути также относительно частое явление в интернете. Происходить она может, к примеру, из-за загруженности маршрутизаторов, которая приводит к переполнению буферов и как следствие отбросу всех вновь прибывающих пакетов. Обычно доля потерянных пакетов составляет около 0.1%, а при значении в пару процентов ТСР вообще перестает нормально работать [3]

Суть метода ТСР – стеганографии заключается в том, что пересылка пакетов происходит довольно часто, поэтому можно отправлять не данные

первичного сообщения, а скрываемую информацию. Подмену пакетов достаточно сложно обнаружить, количество TCP соединений, проходящих через провайдера, достигает внушительных размеров.

Однако внедрить такой метод не просто – нужно изменить сетевой стек внутри операционной системы. Также подмену пакетов можно обнаружить путём простого анализа пакетов в сети, хоть это и потребует достаточного количества ресурсов, но это возможно. Однако на практике анализируют отличия пакетов, для поиска выделяющихся.

Generative Adversarial Steganography

GAN (Generative Adversarial Network) — это метод машинного обучения, который создает реалистичные изображения. Он состоит из двух нейросетей, которые соревнуются друг с другом:

- генератор — пытается создавать поддельные данные, похожие на настоящие;
- дискриминатор — проверяет, реальные перед ним данные или сгенерированные.

Генератор учится обманывать дискриминатор, а дискриминатор — лучше распознавать подделку. Со временем генератор становится настолько хорош, что его данные почти неотличимы от настоящих.

Генератор создаёт изображения используя случайные шумы, далее создает изображение, в котором цвета, текстуры или геометрия зависят от шифра, а порядок записи шифра определяется ключом.

Примеры ключей:

- определённые узоры в текстуре травы кодируют 1, а их отсутствие — 0;
- форма облаков может зависеть от последовательности битов;
- оттенки кожи персонажа могут нести скрытые данные.

Декодером можно расшифровать данные при условии, что он знает точный алгоритм генератора (например, в каких пикселях/текстурах/объектах искать биты) и обучался на множестве моделей. Декодер найдёт последовательность битов, но она также может быть зашифрована ключом, который нужно знать, чтобы преобразовать биты в текст.

По своей сути GAN метод практически неуязвим к стегоанализу нежели чем LSB методы, ведь каждое сгенерированное изображение уникально.

Однако основная проблема такого подхода заключается в недостатке существующих баз данных, на которых можно обучать модели. Во-первых, в основном изображения в базах данных серого цвета, что затрудняет обучение генерации цветных изображений. Также изображений должно быть довольно много. Во-вторых, на такой подход тратиться много времени и ресурсов т.к. для модели нужно написать код и обучить её. Однако этот метод является довольно перспективным, ведь без знания алгоритма генератора и ключа получить информацию из изображения невозможно. [2, 6]

Вывод. Стеганография как наука постоянно развивается и совершенствуется, в данной статье были рассмотрены методы младшего бита (LSB), TCP-стеганография и нейросетевые подходы на основе генеративно-состязательных сетей (GAN). Каждый из рассмотренных методов может быть применим в различных ситуациях. Однако классические LSB подходы слишком уязвимы к применению стегоанализа, TCP-стеганография довольно необычный способ скрытной передачи информации, однако она также поддается анализу, при правильном рассмотрении зависимостей между пакетами. GAN подход – современный метод стеганографии, его почти невозможно расшифровать методом стегоанализа, однако его проблемы заключаются в затрате ресурсов и создания новых баз данных. Этот метод стоит потраченных ресурсов, ведь на выходе пользователь получит уникальное изображение, которое невозможно взломать без знания архитектуры генератора изображений и наличия ключа шифрования.

Библиографический список

1. Методы компьютерной стеганографии // «Витебская государственная академия ветеринарной медицины (<https://www.vsavm.by/knigi/kniga3/1740.html>)
2. Венкатеш Субраманьян, Винеш Сивакумар, А.К. Вагисан, С. Сактивелан, К.Дж. Джегадиш Кумар, К.К. Нагараджан. GANash — подход GAN к стеганографии // Cornell University. – 2021
3. TCP стеганография или как скрыть передачу данных в интернете // Хабр. – 2009. (<https://habr.com/ru/articles/60726/>)
4. Сара Саджаси, Амир-Масуд Эфтекхари Могадам. Адаптивная схема стеганографии изображений на основе функции видимости шума и оптимального хаотического метода шифрования
5. (<https://www.sciencedirect.com/science/article/abs/pii/S1568494615000514>)
6. Фэнъён Ли, Цзунлянь Ю, Чуан Цинь. Пространственная стеганография изображений на основе GAN с механизмом перекрестной обратной связи // ScienceDirect. - 2022
7. Songul Karakus, Engin Avci. A new image steganography method with optimum pixel similarity for data hiding in medical images // Science Direct. – 2020
8. Д.Э. Вильховский. Обзор методов стенографического анализа изображений в работах зарубежных авторов // Омский государственный университет. – 2020

© Ишмухаметов А.И., 2025

Б.М. КАДЫРОВ

voyager0-0@yandex.ru

Науч. руковод. – канд. техн. наук, доц. А.Ю. СЕНЦОВА

Уфимский университет науки и технологий

ОТПРАВКА ЗАШИФРОВАННЫХ СООБЩЕНИЙ С ПОМОЩЬЮ ЯЗЫКА ПРОГРАММИРОВАНИЯ PYTHON

Аннотация: в статье рассматриваются подходы к реализации безопасной передачи данных с использованием языка программирования Python. Описаны методы сетевого взаимодействия через модуль `socket` и применение библиотек криптографии, таких как `cryptography` и `ruscryptodome`. Приведены примеры кода клиент-серверного приложения с симметричным и асимметричным шифрованием. Показаны преимущества и ограничения каждого из рассмотренных методов. Исследование направлено на повышение осведомлённости студентов в области информационной безопасности и практических аспектов её реализации.
Ключевые слова: криптография; Python; `socket`; безопасная передача данных; симметричное шифрование; асимметричное шифрование.

Текст статьи посвящён практическим аспектам организации защищённой передачи сообщений в локальной сети с использованием языка программирования Python. В условиях роста числа киберугроз обеспечение конфиденциальности передаваемых данных становится одной из ключевых задач в разработке сетевых приложений. Язык Python, благодаря богатой экосистеме библиотек и простоте синтаксиса, предоставляет эффективные средства как для организации сетевого взаимодействия, так и для реализации криптографических алгоритмов.

Для сетевого взаимодействия в Python широко используется встроенный модуль `socket`, позволяющий создавать как TCP-, так и UDP-соединения. В рамках данного исследования рассматривается TCP-соединение, обеспечивающее надёжную доставку данных. Простейший сервер и клиент могут быть реализованы за несколько строк кода, однако для обеспечения безопасности необходимо дополнить их механизмами шифрования.

Одним из наиболее популярных решений для криптографии в Python является библиотека `cryptography`. Она предоставляет высокоуровневый API для работы с симметричными и асимметричными алгоритмами шифрования. Например, симметричное шифрование с использованием алгоритма AES (Advanced Encryption Standard) может быть реализовано с помощью режима GCM (Galois/Counter Mode), обеспечивающего как конфиденциальность, так и целостность данных.

Пример инициализации шифра на стороне отправителя:

```

from cryptography.hazmat.primitives.ciphers.aead import AESGCM
import os
key = AESGCM.generate_key(bit_length=256)
aesgcm = AESGCM(key)
nonce = os.urandom(12)
message = b"Секретное сообщение"
ciphertext = aesgcm.encrypt(nonce, message, None)

```

Соответственно, получатель расшифровывает сообщение, используя тот же ключ и nonce:

Однако передача ключа по незащищённому каналу создаёт уязвимость. Для решения этой проблемы применяется асимметричная криптография. В частности, библиотека **pycryptodome** (форк PyCrypto) позволяет использовать RSA для обмена симметричными ключами. На этапе установления соединения клиент генерирует сессионный ключ AES, шифрует его открытым ключом сервера и отправляет. Сервер расшифровывает ключ с помощью своего закрытого ключа и далее использует его для симметричного шифрования.

Пример использования RSA из pycryptodome:

```

from Crypto.PublicKey import RSA
from Crypto.Cipher import PKCS1_OAEP

key = RSA.generate(2048)
private_key = key.export_key()
public_key = key.publickey().export_key()
# На стороне клиента
recipient_key = RSA.import_key(public_key)
cipher_rsa = PKCS1_OAEP.new(recipient_key)
enc_session_key = cipher_rsa.encrypt(session_key)
# На стороне сервера
private_key_obj = RSA.import_key(private_key)
cipher_rsa = PKCS1_OAEP.new(private_key_obj)
session_key = cipher_rsa.decrypt(enc_session_key)

```

Для интеграции шифрования в клиент-серверное приложение на базе socket необходимо модифицировать логику отправки и приёма данных. Каждое сообщение перед отправкой шифруется, а после получения — расшифровывается. Важно использовать уникальные nonce (для AES-GCM) или IV (для других режимов), передавая их вместе с шифротекстом, так как они не являются секретными.

Пример клиентской функции отправки:

```

def send_encrypted(sock, key, message):
    aesgcm = AESGCM(key)
    nonce = os.urandom(12)
    ciphertext = aesgcm.encrypt(nonce, message.encode(), None)
    sock.send(len(nonce).to_bytes(1, 'big') + nonce + ciphertext)

```

Серверная функция приёма:

```
def recv_decrypted(sock, key):
    nonce_len = int.from_bytes(sock.recv(1), 'big')
    nonce = sock.recv(nonce_len)
    ciphertext = sock.recv(4096)
    aesgcm = AESGCM(key)
    return aesgcm.decrypt(nonce, ciphertext, None).decode()
```

Сравнительный анализ показывает, что симметричное шифрование (AES) обеспечивает высокую производительность и подходит для передачи больших объёмов данных, тогда как асимметричное (RSA) используется в основном для безопасного обмена ключами. Комбинированный подход позволяет достичь как эффективности, так и безопасности.

Следует также учитывать ограничения библиотек. Например, **cryptography** не поддерживает прямую работу с RSA OAEP без дополнительной обёртки, а **pycryptodome** требует строгого соблюдения форматов ключей. Кроме того, необходимо обеспечивать защиту от атак типа replay и man-in-the-middle, что выходит за рамки базовой реализации и требует дополнительных протокольных мер (например, использования TLS или цифровых подписей).

Таким образом, язык Python предоставляет гибкие и надёжные инструменты для реализации защищённой передачи данных. Правильный выбор криптографических примитивов и их корректная интеграция в сетевое приложение позволяют значительно повысить уровень информационной безопасности. Представленные примеры могут служить основой для учебных и исследовательских проектов в области кибербезопасности.

Библиографический список

1. Barker E. et al. Recommendation for Key Management. NIST Special Publication 800-57. – 2020. – 156 p.
2. Dworkin M. Recommendation for Block Cipher Modes of Operation: Galois/Counter Mode (GCM) and GMAC. NIST SP 800-38D. – 2007.
3. Python Cryptography Library. URL: <https://cryptography.io> (дата обращения: 05.11.2025).
4. PyCryptodome Documentation. URL: <https://pycryptodome.readthedocs.io> (дата обращения: 05.11.2025).
5. Stallings W. Cryptography and Network Security: Principles and Practice. – 7th ed. – Pearson, 2017. – 768 p.

© Кадыров Б.М., 2025

К.П. КРОТОВ, В.В. МУНТЯН, Э.Р. ХАМАТХАНОВ

klim_krotov@mail.ru, Vladislav.muntyan1@mail.ru, khamathanovk@mail.ru

Науч. руковод. – канд. техн. наук, доцент А.Ю. СЕНЦОВА

Уфимский университет науки и технологий

САМОПИСНЫЕ КОННЕКТОРЫ ОБОГАЩЕНИЯ ДАННЫХ В ПЛАТФОРМАХ КИБЕРРАЗВЕДКИ

Аннотация: целью работы является демонстрация практическую реализуемость разработки собственных коннекторов для платформ киберразведки. На примере OpenCTI продемонстрировано, что самописные коннекторы автоматизируют поступление и обогащение сведений из внешних и внутренних источников и позволяют адаптировать TI-конвейер к требованиям организации. В качестве демонстрации приведен пример самописного коннектора.

Ключевые слова: Threat Intelligence, Threat Intelligence Platform, OpenCTI, коннектор, обогащение, STIX, ИОС, импорт, киберразведка, ЦКР.

Центр киберразведки (ЦКР) и центр мониторинга информационной безопасности опираются на устойчивый поток индикаторов компрометации, сведения о кампаниях и связки с техниками MITRE ATT&CK. Предустановленные коннекторы закрывают распространённые источники; при подключении внутренних реестров, узкоспециализированных API и отраслевых сервисов востребованы самостоятельные решения. В таких сценариях ценность представляет возможность подключать собственные сервисы-коннекторы: они собирают данные, нормализуют их по STIX и при необходимости дополняют уже существующие объекты новыми атрибутами и связями. В результате коннекторы выступают единым механизмом стыковки и обогащения разрозненных потоков, обеспечивая актуальность, проверяемость и воспроизводимость сведений.

Цель работы: продемонстрировать, что создание собственных коннекторов для ЦКР является технически доступной и управляемой задачей, расширяющей функциональные возможности системы и повышающей практическую ценность данных.

В ходе работы были поставлены следующие задачи:

- Описать место коннекторов в архитектуре OpenCTI;
- Классифицировать типы коннекторов и их назначение;
- Разобрать жизненный цикл обработки данных;
- Продемонстрировать создание собственного коннектора;
- Сформулировать эксплуатационные принципы при разработке и сопровождении.

OpenCTI построена в трёх слоях: инфраструктурный (Elasticsearch, Redis, RabbitMQ, MinIO) обеспечивает хранение, индексацию и обмен; логический (сервер OpenCTI и worker-процессы) выполняет операции с объектами STIX; пользовательский слой предоставляет интерфейс и визуализацию [1]. Коннекторы разворачиваются как независимые сервисы, взаимодействующие с платформой через официальные API. Они получают задания, выполняют преобразование, передают результаты обратно. Такой подход даёт модульность, горизонтальное масштабирование и устойчивость при сбоях отдельных компонентов.

На рисунке 1 представлена архитектура OpenCTI.

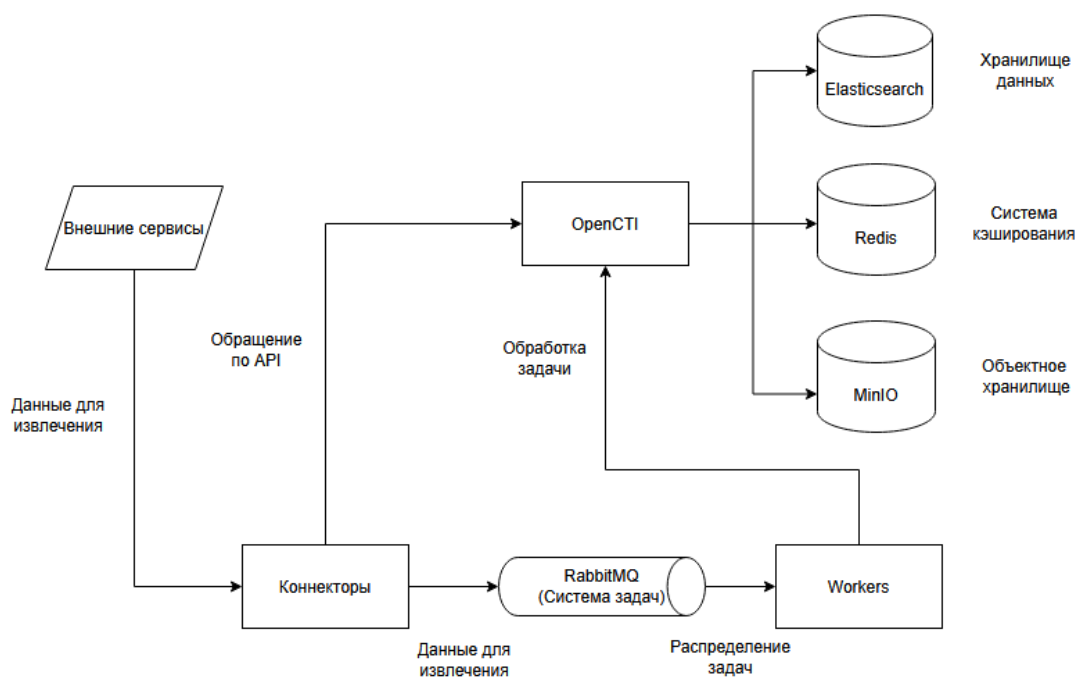


Рис. 30. Архитектура OpenCTI

Выделяются три группы коннекторов:

- **Импортирующие** — получают сведения из внешних и внутренних источников (фиды, отчёты, базы ИОС) [2].

- **Обогащающие** — дополняют существующие объекты репутацией, показателями вредоносности, источниками и связями.

- **Экспортные** — формируют выгрузки для SIEM, SOAR и сетевых средств фильтрации в форматах STIX, CSV или TXT.

- Совместное применение этих групп формирует полный цикл: поступление сведений, нормализация, обогащение и передача в прикладные системы [3].

Жизненный цикл коннектора включает несколько повторяющихся этапов. Периодический опрос источника (по расписанию или при событии) сменяется валидацией ответов и приведением к единому виду. Далее выполняется загрузка в OpenCTI с созданием объектов, индикаторов и связей. Завершающий

шаг — фиксация результатов, структурированное логирование успешных и неуспешных операций, контроль метрик, что обеспечивает предсказуемость и воспроизводимость процесса [4].

Одно из ключевых достоинств OpenCTI — готовность к подключению самописных коннекторов под конкретные источники с настройкой периодичности и параметров доступа. Для практической реализации достаточно компактной программы, получающей данные из внешнего сервиса и передающей их в OpenCTI, представленной в Листинге 1 на языке Python.

Листинг 1

```
import os, time, requests
from pycti import OpenCTIConnectorHelper

SRC = os.getenv("SOURCE_URL", "https://example/api/ioc")
KEY = os.getenv("API_KEY", "changeme")
PERIOD = int(os.getenv("POLL_SEC", "300"))

def main():
    h = OpenCTIConnectorHelper.connect()
    while True:
        try:
            r = requests.get(SRC, headers={"Authorization": f"Bearer {KEY}"},
timeout=10)
            for it in r.json():
                t, v = it.get("type"), it.get("value")
                if t and v:
                    h.api.stix_cyber_observable.create(type=t, value=v)
        except Exception as e:
            h.log_error(f"poll error: {e}")
            time.sleep(PERIOD)

if __name__ == "__main__":
    main()
```

Запуск осуществляется через docker-compose, представленном на Листинге 2 [5].

Листинг 2

```
services:
  connector-http-pull:
    build: .
    environment:
      - OPENCTI_URL=http://172.22.0.252:8080
      - OPENCTI_TOKEN=fd7f0b8c-c71e-484f-a93f-7b2536bb56e4
      - CONNECTOR_ID=064025ca-2182-4801-96c7-cceca3785bbr
      - CONNECTOR_NAME=HTTP-Pull
```

```
- CONNECTOR_TYPE=INTERNAL_IMPORT
- SOURCE_URL=https://source.example/api/ioc
- API_KEY=0a7c66fdec5ff0dbed5ef25832ba7
- POLL_SEC=300
restart: always
```

Для стабильной работы коннектора целесообразно соблюдать следующие принципы:

- **Надёжность** — тайм-ауты, повторные попытки, учёт квот источника;
- **Идемпотентность** — защита от повторной загрузки уже имеющихся данных;
- **Безопасность** — хранение ключей и токенов в переменных окружения, ограничение сетевых прав контейнера;
- **Наблюдаемость** — структурированные логи, подсчёт успешных/ошибочных операций, контроль задержек.

Вывод: В данной работе было показано, что архитектура OpenCTI изначально приспособлена к безопасному подключению собственных коннекторов, что делает платформу удобным инструментом для автоматизации процессов киберразведки. Приведённый пример подтверждает достаточность небольшого объёма кода и стандартного сценария запуска через docker-compose.

Возможность разработки и сопровождения авторских модулей обеспечивает адаптивность и расширяемость решений на базе threat intelligence platform.

Библиографический список

1. OpenCTI Documentation Space – Электронный ресурс – URL: <https://docs.opencti.io/latest/> (Дата обращения: 23.10.2025)
2. Разбираемся в источниках Threat Intelligence – Электронный ресурс – URL: <https://habr.com/ru/companies/rvision/articles/555058/> (Дата обращения: 25.05.2025, дата последнего обновления: 29.04.21)
3. Качественные фиды на примере оценки OSINT-источников – Электронный ресурс – URL: <https://habr.com/ru/companies/bizone/articles/572128/> (Дата обращения: 26.10.2025, дата последнего обновления: 13.08.21)
4. What is the Threat Intelligence Lifecycle? – Электронный ресурс – URL: <https://www.paloaltonetworks.com/cyberpedia/what-is-the-threat-intelligence-life-cycle> (Дата обращения: 27.10.2025)
5. Docker Docs – Электронный ресурс – Режим доступа: <https://docs.docker.com/> (Дата обращения: 29.05.2025)

© Кротов К.П., Мунтян В.В., Хаматханов Э.Р., 2025

М.Д. КУЗНЕЦОВ, К.С. ЧЕРТОВА

makar.kuznecov@list.ru, christina.chertova@yandex.ru

Науч. руковод. – канд. техн. наук, доц. А.Ю. СЕНЦОВА

Уфимский университет науки и технологий

ИССЛЕДОВАНИЕ АЛГОРИТМОВ СТЕГАНОГРАФИИ В ПРОСТРАНСТВЕННОЙ ОБЛАСТИ

Аннотация: в данной статье рассматриваются методы стеганографии пространственной области изображений, такие как: метод с разницей значений пикселей (PVD), метод наименьших значащих битов (LSB) и метод на основе прогнозирования границ (MMED), включая фундаментальные концепции встраивания данных. Кроме того, в статье описываются различия систем сокрытия информации и систем криптографии.

Ключевые слова: стеганография; сокрытие информации; пространственная область; стего-изображение; адаптивное встраивание; LSB.

Криптография и стеганография играют ключевую роль в защите данных от несанкционированного доступа и манипулирования ими. Стеганография – это метод передачи секретной информации по любым доступным каналам связи, при котором сам факт передачи остается скрытым. В то время как криптография шифрует информацию, делая её безопасной, но заметной, стеганография, используя особенности человеческого восприятия, маскирует информацию внутри контейнера (стего-носителя), делая сам факт её существования и передачи скрытым. Таким образом, сравнительный анализ методов представлен в Таблице 1. [1]

Таблица 1

Сравнительная характеристика методов защиты информации

| Характеристика | Стеганография | Криптография |
|------------------|---|------------------------------------|
| Основная цель | Скрыть сам факт существования секретных данных и коммуникаций | Защитить конфиденциальность данных |
| Секретные данные | Полезная нагрузка | Исходный текст или файл |
| Безопасность | Зависит от скрытности | Зависит от секретного |

| | | |
|------------------------|---|-------------------------------------|
| Характеристика | Стеганография | Криптография |
| | метода внедрения | ключа |
| Нарушение безопасности | Обнаружение существования скрытых данных | Взлом шифра |
| Результат | Контейнер | Шифротекст |
| Необходимость ключа | Необязательно | Обязательно |
| Тип атак | Стегоанализ | Криптоанализ |
| Основные требования | Незаметность, вместимость, вычислительная сложность | Криптостойкость, управление ключами |

Наиболее распространённым носителем для стеганографии является изображение, это связано с их повсеместным использованием в цифровой коммуникации, а также с большим объёмом избыточных данных, которые можно изменить. Результатом процесса сокрытия данных в изображении-контейнере, является стего-изображение.

Классифицировать методы стеганографии, можно по области внедрения информации в контейнер: пространственная область и частотная область, а также по стратегии их встраивания: наивный подход и адаптивный подход. [2]

В пространственной области пиксели скрытого изображения напрямую внедряются в пиксели изображения-контейнера. Техники пространственной области включают побитовые методы, которые используют вставку и манипуляцию битами скрываемых данных или данных контейнера, тогда как в частотной области, изображение-контейнер с помощью математических операторов преобразуется в набор частотных коэффициентов и встраивает данные скрываемого сообщения в контейнер путем модификации, в основном, среднечастотных коэффициентов, которые менее заметны для глаз и более устойчивы к сжатию, в отличие от высокочастотных (которые удаляются при сжатии) и низкочастотные (чья модификация вызовет значительное искажение). После чего модифицированные коэффициенты преобразуются обратно в изображение.

Метод LSB является наиболее известным и простым в реализации стеганографии в пространственной области. Наименьшие значащие биты содержат слабую информацию, из-за чего изменение в этих битах не заметно глазу.

Операция замены k младших бит, можно описать обобщённой формулой:

$$p' = (p \& M) | t$$

где:

p' – модифицированное изображение;

p – **исходное** изображение;

$M = 2^8 - 2^k$ – битовая маска;

m – k -битный сегмент сообщения;

$\&$ – побитовое “И”;

$|$ – побитовое “ИЛИ”;

Пример реализации метода LSB на изображении в оттенках серого в двоичном представлении значений пикселей приведен ниже (Рисунок 1): [3]

```
11100101
10001101
11011011
01010100
10110001
01101000
01110010
00110100
```

Процесс внедрения путем замены наименее значащих битов изображения на биты секретного сообщения, для символа “Т”, бинарное значение которого 11010010 (Windows 1251), выглядит следующим образом:

```
11100101
10001101
11011010
01010101
10110000
01101000
01110011
00110100
```

Изображение после встраивания измененных пикселей в исходное изображение называется стего-изображением (Рис. 2).

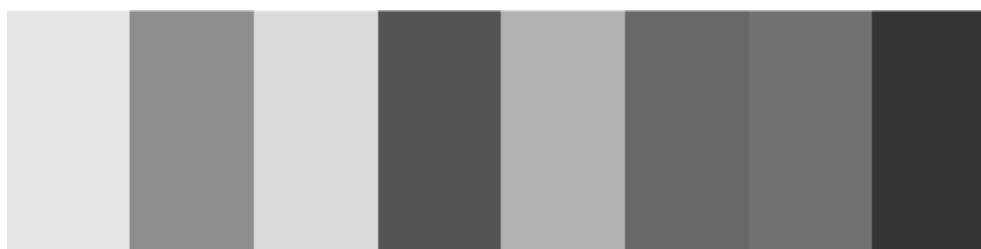


Рис. 1. Исходное изображение-контейнер до внедрения данных

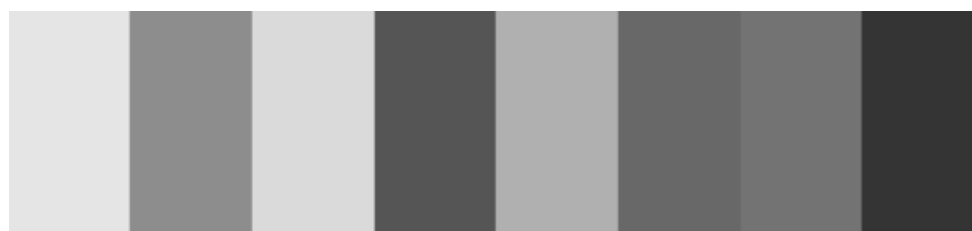


Рис. 2. Стего-изображение после внедрения данных методом LSB

LSB хорошо масштабируется в RGB-изображении, так как пиксель состоит из трёх каналов, что утраивает вместимость, помимо этого для увеличения вместимости можно использовать несколько наименее значащих битов.

Развитием наивного метода, стали адаптивные подходы, которые значительно повышают незаметность, вместо прямолинейного распределения данных по всей области изображения, адаптивные методы учитывают такие характеристики, как текстура и резкость границ объектов.

Метод с разницей значений пикселей (PVD), в отличие от LSB, анализирует яркость соседних пикселей, а не внедряет скрытое сообщение напрямую. Основная идея заключается в том, что зрение менее чувствительно к изменению в области с высокой контрастностью, например, на границах объектов, из-за чего в такие места можно внедрить больше бит данных.

Реализация алгоритма PVD выглядит следующим образом: [4]

1. Находится разность соседних пикселей

$$d = |p_i - p_{i+1}|$$

2. Согласно таблице законов квантования (Таблица 2) находим индекс i для которого выполняется условие $L_i \leq d \leq U_i$. [5]

Таблица 2

Таблица диапазонов квантования метода PVD

| Диапазон i | $[L_i, U_i]$ | R_i | t_i |
|--------------|--------------|-------|-------|
| 0 | [0, 7] | 8 | 3 |
| 1 | [8, 15] | 8 | 3 |
| 2 | [16, 31] | 16 | 4 |
| 3 | [32, 63] | 32 | 5 |
| 4 | [64, 255] | 192 | 7 |

3. Вычисляется новая разность: $d' = L_i + \text{dec}(m)$

4. Вычисление изменения: $\Delta = d' - d$

5. Модификация пикселей где $p_i \geq p_{i+1}$:

$$\begin{cases} p_i' = p_i + \left\lfloor \frac{\Delta}{2} \right\rfloor \\ p_{i+1}' = p_{i+1} - \left\lfloor \frac{\Delta}{2} \right\rfloor \end{cases}$$

где $p_i < p_{i+1}$

$$\begin{cases} p_i' = p_i - \left\lfloor \frac{\Delta}{2} \right\rfloor \\ p_{i+1}' = p_{i+1} + \left\lfloor \frac{\Delta}{2} \right\rfloor \end{cases}$$

Хотя метод PVD и реализует принцип адаптивности, анализируя разность между соседними пикселями, он остается чувствителен к стегоанализу, модификация яркости соседних пикселей образуются характерные “ступеньки” на гистограмме разности пар пикселей (Рисунок 3). [6]

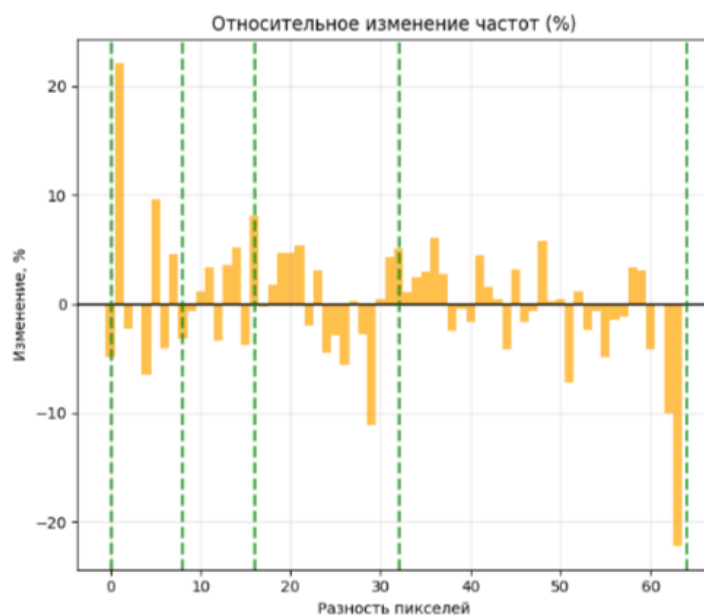


Рис. 3. Изменения частот PVD

Метод на основе прогнозирования границ (MMED) – анализирует локальные области изображения с помощью медианного детектора границ для выявления областей с различной степенью контрастности. В зависимости от величины ошибки в блоки внедряется разное количество бит. Реализация алгоритма выглядит следующим образом:

1. Вычисляется изображение ошибок прогнозирования по формуле: [7]

$$MMED(p) = \begin{cases} |p - \max(b, c)|, \text{ если } a \geq \max(b, c) \\ |p - \min(b, c)|, \text{ если } a \leq \min(b, c) \\ |p - (b + c - a)|, \text{ если } \min(b, c) < a < \max(b, c) \end{cases}$$

где a; b; c – соседние пиксели к p.

2. Изображение ошибок прогнозирования делится на непересекающиеся блоки размером $Z \times Z$ пикселей.

3. Секретное сообщение m разделяется на три части:

$$m = 60\% \text{ от } |m|$$

$$m = 30\% \text{ от } |m|$$

$$m = 10\% \text{ от } |m|$$

где $|m|$ – общая длина секретного сообщения

4. Определяются пороговые значения:

$$T_k = \operatorname{argmax} |M(t_k)| \geq |m_k|, \text{ где } k \in \{1, 2, 3\}$$

$$M(t_k) = \{MMED(p_{ij}) \mid t_k \leq MMED(p_{ij}) < 2^{3+k}, \forall p_{ij} \in C\}$$

где t_k – параметр порога для k -ой границы; $M(t_k)$ – множество значений MMED, удовлетворяющих условию порога; C – исходное изображение.

5. При $T_1 \leq MMED(p_{ij}) < T_2$

$$LSB_1(p_{ij}) = LSB_2(p_{ij}) \oplus s_{1h}$$

При $T_2 \leq MMED(p_{ij}) < T_3$

$$LSB_1(p_{ij}) = LSB_3(p_{ij}) \oplus s_{2h}$$

$$LSB_2(p_{ij}) = LSB_4(p_{ij}) \oplus s_{2h+1}$$

При $MMED(p_{ij}) \geq T_3$

$$LSB_1(p_{ij}) = LSB_5(p_{ij}) \oplus s_{3h}$$

$$LSB_2(p_{ij}) = LSB_6(p_{ij}) \oplus s_{3h+1}$$

$$LSB_3(p_{ij}) = LSB_7(p_{ij}) \oplus s_{3h+2}$$

где $LSB_n(p_{ij})$ – n -й наименее значимый бит пикселя p_{ij} ; s_{kh} – h -й бит из k -ой части сообщения; \oplus – оператор исключающего ИЛИ.

Проведенный анализ алгоритмов стеганографии в пространственной области наглядно демонстрирует эволюцию от простых, но уязвимых методов к более сложным и скрытым. Классический метод LSB, обеспечивая высокую вместимость, критически уязвим к статистическому стегоанализу из-за равномерного распределения внедряемых данных.

Метод PVD, реализующий принцип адаптивности, повышает незаметность для человеческого зрения, но создает характерные статистические артефакты («ступеньки» на гистограмме разностей), что делает его обнаружимым. В отличие от него, современные адаптивные методы, такие как MMED, используют более сложные модели (анализ текстур через прогнозирование ошибок) для динамического определения глубины внедрения. Это позволяет не только улучшить визуальную незаметность, но и значительно усложнить обнаружение.

В настоящее время стеганография активно используется в различных сферах: от защиты авторских прав с помощью цифровых водяных знаков, до скрытой передачи данных в кибератаках, когда вредоносная полезная нагрузка внедряется в легитимный трафик. Современные исследования в данной области смещаются в сторону методов машинного обучения. Наиболее перспективными являются генеративно-сопоставительные сети (GAN), которые позволяют создавать стего-изображения, статистически неотличимые от настоящих, что кардинально повышает скрытность. Дальнейшие исследования планируется направить на разработку методов стегоанализа, также основанных на глубоком обучении, для обнаружения таких скрытых угроз и создания более безопасных систем.

Библиографический список

1. GeeksforGeeks [Электронный ресурс]: Difference between Steganography and Cryptography – URL: <https://www.geeksforgeeks.org/computer-networks/difference-between-steganography-and-cryptography/>
2. Tech Science Press [Электронный ресурс]: Image Steganography in Spatial Domain: Current Status, Techniques, and Trends. – URL: <https://www.techscience.com/iasc/v27n1/41146/html>
3. Research Gate [Электронный ресурс]: Advancements in Spatial Domain Image Steganography: Techniques, Applications, and Future Outlook. – URL: https://www.researchgate.net/publication/385334422_Advancements_in_Spatial_Domain_Image_Steganography_Techniques_Applications_and_Future_Outlook
4. D. C. Wu and W. H. Tsai. (2003). “A steganographic method for images by pixel-value differencing,” Pattern Recognition Letters, vol. 24, no. 9–10, pp. 1613–1626.
5. Research Gate [Электронный ресурс]: Pixel-value differencing quantization rage table for the method proposed by Wu and Tsai. – URL: https://www.researchgate.net/figure/Pixel-value-differencing-quantization-rage-table-for-the-method-proposed-by-Wu-and-Tsai_tbl1_357358938
6. ScienceDirect [Электронный ресурс]: Vulnerability of pixel-value differencing steganography to histogram analysis and modification for enhanced security. – URL: <https://www.sciencedirect.com/science/article/abs/pii/S0167865503002320>
7. Chakraborty, S., Jalal, A.S., & Bhatnagar, C. (2017). «LSB based non blind predictive edge adaptive image steganography»

© Кузнецов М.Д., Чертова К.С., 2025

Т.Е. ЛИСИНА

LisinaTanya02@yandex.ru

Науч. руковод. – канд. техн. наук, доцент А.Ю. СЕНЦОВА

Уфимский университет науки и технологий

МЕТОДЫ И ПРОБЛЕМЫ ОБНАРУЖЕНИЯ С2-ТРАФИКА

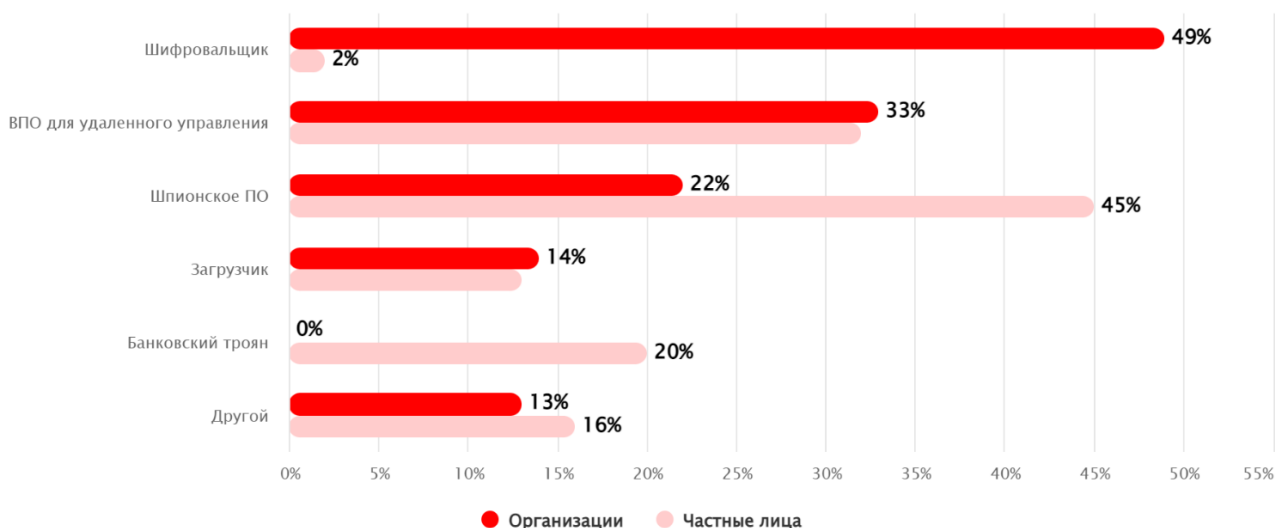
Аннотация: данная статья посвящена методам обнаружения С2-трафика и проблем, которые при этом возникают. Рассмотрены следующие методы обнаружения вредоносного трафика: сигнатурный анализ, поведенческий анализ и выявление аномалий, использование методов машинного обучения. Приведены преимущества и недостатки каждого из указанных методов. В заключении представлены выводы об эффективности их использования для решения задачи обнаружения С2-трафика.

Ключевые слова: С2, Command and Control, анализ трафика, информационная безопасность, сигнатурный анализ, поведенческий анализ, выявление аномалий, машинное обучение

Одним из ключевых механизмов современных целевых кибератак на инфраструктуру предприятия является организация устойчивого канала связи между злоумышленником и скомпрометированным устройством внутри корпоративной сети. Данный набор инструментов и методов называется Command and Control (С2). Он обеспечивает удаленное управление зараженными системами, передачу команд, поддержание устойчивого доступа к целевой инфраструктуре, эксфильтрацию данных. Конкретные механизмы могут сильно различаться в зависимости от атаки, но зачастую С2 состоит из одного или нескольких скрытых каналов связи между устройствами, на которые внедрен имплант (вредоносное программное обеспечение для организации канала связи со злоумышленником), и сервером управления (С2-сервером), контролируемом злоумышленником [1].

Наличие в корпоративной сети импланта означает, что атака перешла в активную фазу управления и может привести к существенным последствиям для предприятия: от получения доступа к конфиденциальной информации и полного контроля над атакуемым узлом до нарушения основной деятельности.

По данным исследования актуальных киберугроз за первое полугодие 2025 года от Positive Technologies 33% успешных атак на организации выполнено с использованием вредоносного программного обеспечения (далее – ВПО) для удаленного управления (рисунок 1) [2].



© Positive Technologies

Рис. 1. Доля успешных атак с использованием ВПО [2]

Актуальность исследования С2-трафика обусловлена тем, что злоумышленники активно совершенствуют методы маскировки каналов связи между зараженными устройствами и С2-серверами: использование легитимных сервисов, распределенных инфраструктур, облачных сервисов, различных видов шифрования (например, HTTPS, TLS, SSH) и скрытой передачи данных (например, использование легитимных DNS-запросов и ответов).

Цель данной статьи – рассмотреть различные методы обнаружения С2-трафика и проанализировать проблемы и ограничения, возникающие при их использовании.

Для обнаружения С2-трафика могут использоваться следующие методы:

- Сигнатурный анализ;
- Поведенческий анализ и выявление аномалий;
- Использование методов машинного обучения.

Рассмотрим каждый из методов более подробно.

Сигнатурный анализ основан на выявлении в трафике известных индикаторов компрометации, например:

- IP-адреса;
- Домены;
- URL-адреса;
- Частые короткие HTTPS-запросы к одному домену;
- DNS-запросы с длинными случайными субдоменами;
- Необычные User-Agent или SNI (Server Name Indication), либо

использование общих облачных сервисов, но с малоизвестными поддоменами [3].

В основном данный метод применяется в системах обнаружения вторжений (IDS, Intrusion Detection System) и SIEM-системах (Security Information and Event Management).

Преимуществом использования данного подхода является высокая точность детектирования при совпадении с известной угрозой, то есть если

вредоносная инфраструктура уже задокументирована, сигнатурный анализ позволяет быстро и с минимальными затратами обнаружить С2-трафик.

Недостатки сигнатурного анализа при его использовании для обнаружения С2-трафика следующие:

- низкая эффективность против новых видов угроз, так как современные механизмы развертывания С2 позволяют динамически менять домены, частоту запросов, методы маскировки, в результате чего индикаторы компрометации теряют актуальность;

- зависимость от актуальности и полноты базы индикаторов компрометации;

- низкая эффективность при анализе зашифрованного трафика.

Поведенческий анализ основан на формировании паттерна (шаблона или модели поведения) «нормального» функционирования сетевой инфраструктуры предприятия и отдельных устройств [4]. После формирования паттерна поведения отслеживаются различные отклонения, которые могут указать на С2-трафик, например выявление периодических коротких сетевых запросов с одинаковыми интервалами, характерных для взаимодействия зараженного устройства с С2-сервером. Выявление аномалий фиксирует отклонения от «нормального» поведения трафика.

Таким образом, поведенческий анализ и выявление аномалий в отличие от сигнатурного метода эффективны при обнаружении новых видов угроз, в частности нетипичных сетевых взаимодействий, способных указать на С2-трафик, однако эффективность данного метода зависит от качества сформированного паттерна, также в динамической среде высока вероятность ложных срабатываний и необходима экспертная проверка [4].

Еще одним из методов обнаружения С2-трафика является использование методов машинного обучения, которое основано на анализе статистических и поведенческих характеристик сетевого трафика для выявления скрытых закономерностей, которые не имеют явных сигнатур [5]. Модель машинного обучения обучается на наборе данных, содержащем как «нормальный» трафик, так и вредоносный, что позволяет в дальнейшем распознавать сложные схемы взаимодействия зараженного устройства с С2-сервером даже при использовании шифрования и маскировке под легитимные сервисы. Например, методы классификации могут выявить характерные особенности С2-трафика на основе метаданных, не требуя расшифровки пакетов. Однако эффективность данного подхода зависит от качества обучающих данных, так модель, обученная на общедоступном наборе данных или наборе данных, сформированном на инфраструктуре другой организации, может не распознать С2-трафик в нашей организации, так как у разных компаний свои особенности сетевой инфраструктуры. Кроме того, для качественного обучения модели необходимы большие вычислительные мощности.

Таким образом, были рассмотрены различные методы обнаружения С2-трафика, сводный анализ из преимуществ и недостатков показан в таблице 1.

Таблица 1

Преимущества и недостатки методов обнаружения С2-трафика

| Метод обнаружения | Преимущества | Недостатки |
|---|---|--|
| Сигнатурный анализ | Высокая точность детектирования при совпадении с известной угрозой | Низкая эффективность против новых видов угроз |
| | | Зависимость от актуальности и полноты базы индикаторов компрометации |
| | | Низкая эффективность при анализе зашифрованного трафика |
| Поведенческий анализ и выявление аномалий | Эффективен при обнаружении новых видов угроз | Необходим качественно сформированный паттерн поведения |
| | Не требуются предварительно полученные индикаторы компрометации | В динамической среде высока вероятность ложных срабатываний и необходима экспертная проверка |
| Использование методов машинного обучения | Позволяет выявить скрытые закономерности, которые не имеют явных сигнатур | Зависимость от качества обучающих данных |
| | Эффективны при анализе зашифрованного трафика | Высокие требования к вычислительным ресурсам |
| | Есть возможность дообучения моделей машинного обучения | Риск переобучения и появления ложных срабатываний |

Обнаружение С2-трафика является одной из ключевых задач в обеспечении информационной безопасности организаций. Злоумышленники активно развивают методы маскировки вредоносного трафика, соответственно наиболее эффективным подходом для его выявления будет комбинированное использование рассмотренных методов в составе комплексной системы мониторинга информационной безопасности.

Библиографический список

1. What is C2? Command and Control Infrastructure Explained // Varonis URL: <https://www.varonis.com/blog/what-is-c2> (дата обращения: 02.11.2025).
2. Актуальные киберугрозы: I–II кварталы 2025 года // Positive Technologies URL: <https://ptsecurity.com/research/analytics/aktual-nye-kiberugrozy-i-ii-kvartaly-2025-goda/#id1> (дата обращения: 02.11.2025).
3. АРТ и целевые атаки: признаки, этапы, детект и практический план реагирования // ИНФРАТЕХ URL: <https://blog.infra-tech.ru/apt-ataki/> (дата обращения: 03.11.2025).
4. Комплексный анализ трафика сети (НТА): средства обнаружения угроз и аномалий // SecurityLab.ru by Positive Technologies URL: <https://www.securitylab.ru/analytics/559526.php> (дата обращения: 03.11.2025).
5. Обнаружение аномалий в сетевом трафике с использованием методов машинного обучения // КиберЛенинка URL: <https://cyberleninka.ru/article/n/obnaruzhenie-anomaliy-v-setevom-trafike-s-ispolzovaniem-metodov-mashinnogo-obucheniya> (дата обращения: 03.11.2025).

© Лисина Т.Е., 2025

УДК 004.056

Е.С. ЛОБОДЕНКО

Lobodenkoe2002@mail.ru

Науч. руковод. – д-р ф-м. наук, проф. В.М. КАРТАК

Уфимский университет науки и технологий

АНАЛИЗ УЯЗВИМОСТЕЙ DIRECTORY TRAVERSAL В АРХИВАТОРАХ WINRAR И 7-ZIP

Аннотация: рассмотрены классические и современные примеры уязвимостей, связанных с некорректной обработкой путей и символьных ссылок в архиваторах (WinRAR, 7-Zip) - CVE-2025-6218, CVE-2025-8088 и серия CVE-2025-1100x. Показано, как данные уязвимости позволяют злоумышленнику записывать и запускать вредоносные файлы за пределами целевой папки. Для наглядной демонстрации эксплуатации использован PoC-эксплойт.

Ключевые слова: Directory Traversal; Path Traversal; архиваторы; WinRAR; 7-Zip; символьные ссылки (symlink); нормализация путей; CVE-2025-8088; CVE-2025-6218; CVE-2025-11001/CVE-2025-11002; PoC; защита данных; уязвимости при распаковке.

Directory Traversal (также известная как Path Traversal) остаётся одной из наиболее распространённых и серьёзных уязвимостей, обеспечивающих несанкционированный доступ к файловым ресурсам вследствие недостаточной валидации пользовательского ввода при формировании путей к файлам и директориям. Атакующий, манипулируя относительными путями (например, последовательностями «../» или «..») получает возможность выйти за пределы предполагаемой корневой директории и обратиться к конфиденциальным данным: системным конфигурациям, файлам с паролями или исполняемым файлам.

Традиционно такие уязвимости ассоциируются с веб-сервисами и эксплуатируются через URL-запросы или поля ввода форм, приводя к типичным атакам, как чтение /etc/passwd в Unix-системах или web.config в Windows [1]. Тем не менее механизм ошибки - ненадёжная нормализация и проверка путей - универсален и встречается в десктопных приложениях, мобильном ПО и в утилитах для обработки файлов, в частности - в архиваторах, где внутренняя структура сжатых контейнеров и обработка относительных путей создают дополнительные поверхности для атак при распаковке.

Классическим сценарием подделки относительных путей является использование уязвимости CVE-2025-6218, обнаруженная специалистом по

имени whs3-detonator и официально зарегистрирована через платформу Zero Day Initiative 5 июня 2025 года [2].

Данная уязвимость отражает классический пример манипуляций с относительными путями внутри архива: злоумышленник формирует записи с поддельными относительными путями, содержащими переходы вверх по иерархии директорий («../» или «..»). Технически уязвимость проявляется в том, что архиватор не производит проверку на то, что итоговый путь остаётся внутри ожидаемого корневого каталога, и тем самым возможна запись вредоносных файлов в внешние каталоги - системные директории или в папку автозапуска, что обеспечивает автоматическую активацию при следующей перезагрузке системы. Уязвимости CVE-2025-6218 затрагивает только Windows-версии WinRAR до версии 7.12.

В августе 2025 года специалисты компании ESET сообщили, что уязвимость в WinRAR с идентификатором CVE-2025-8088 оказалась задействована в целевых фишинговых атаках ещё до выхода исправления в версии 7.13 [3]. Будучи очень схожей с CVE-2025-6218, эта уязвимость отличалась использованием злоумышленниками path traversal с использованием NTFS Alternate Data Streams (ADS) - скрытых потоков данных в файлах NTFS, что делало атаку более скрытной. Данная уязвимость использовалось группировкой RomCom в реальных фишинговых кампаниях для установки вредоносного ПО в компаниях Европы и Канады [4].

Опасность CVE-2025-6218 и CVE-2025-8088 немного ограничена тем, что для её эксплуатации необходимо участие пользователя - он должен сам открыть вредоносный архив.

Очень схожими являются уязвимости CVE-2025-11001 и CVE-2025-11002 в 7-Zip, связанные с некорректной обработкой символьных ссылок (symlink) в ZIP-архивах [5]. Символьные ссылки добавляют сложность для нормализации путей, поскольку при создании symlink файловая система, получающая «переадресацию», может сделать так, что итоговый путь будет указывать за пределы ожидаемой целевой директории.

Однако уязвимость можно использовать только в Windows, и у неё есть одно важное ограничение. Эту уязвимость можно успешно использовать только в том случае, если 7-Zip запущен с правами администратора. Это связано с тем, что процесс 7-Zip создаёт symlink, а это привилегированная операция в Windows.

Для наглядности работы уязвимости был использован готовый PoC (Proof of Concept) - демонстрационный эксплойт, показывающий, как её можно реализовать на практике [6]. Пример запуска эксплойта представлен на рисунке 1.

```
C:\Users\E\Downloads\CVE-2025-11001>python exploit.py -t
"%AppData%\Microsoft\Windows\Start Menu\Programs\Startup"
-o test.zip --data-file "C:\Windows\System32\cmd.exe"
Wrote test.zip
```

Рис. 1. Запуск эксплойта

Python-скрипт запускается с параметром `-t`, указывающим путь, по которому будет создана символическая ссылка - в демонстрации это каталог автозапуска Windows, с параметром `-o`, задающим имя создаваемого архива `test.zip`, и с ключом `--data-file`, в котором передаётся путь к исполняемому файлу интерпретатора командной строки.

При распаковке такого архива 7-Zip, запущенный с правами администратора, помещает `cmd.exe` в папку автозапуска, что обеспечивает автоматический запуск интерпретатора после перезагрузки компьютера, как демонстрируют рисунки 2 и 3.

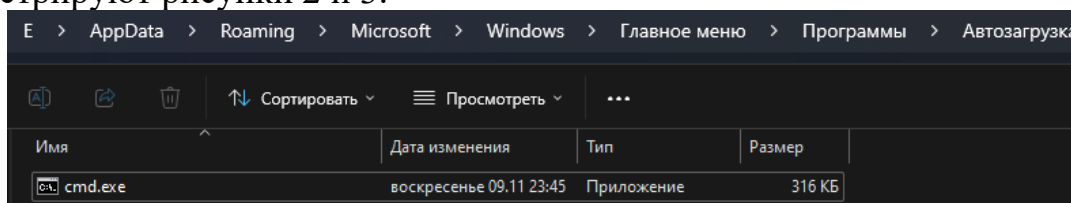


Рис. 2. Результат эксплойта

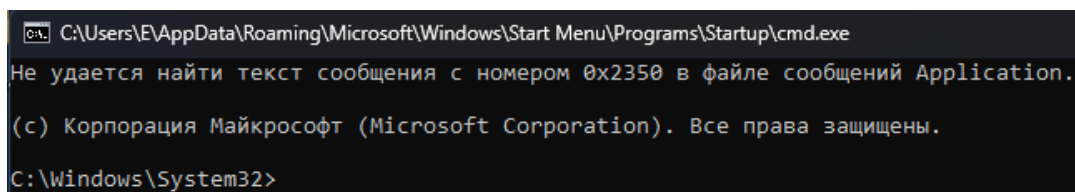


Рис. 3. Запуск `cmd.exe` после перезагрузки компьютера

В приведённом PoC в качестве исполняемого компонента используется `cmd.exe`, однако в реальных атаках вместо него внедряются и активируются полноценные вредоносные модули - загрузчики и дропперы, которые после активации связываются с удалённым сервером и загружают основной компонент, фреймворки для обеспечения устойчивого доступа и обратной связи с оператором, майнеры, эксплуатирующие вычислительные ресурсы жертвы для майнинга криптовалют, или шифровальщики, которые инициируют процесс шифрования данных и последующее требование выкупа.

Таким образом, рассматриваемые случаи - CVE-2025-6218, CVE-2025-8088 и серия CVE-2025-1100x в 7-Zip служат наглядными примерами того, как фундаментальная проблема неправильной обработки путей и ссылок внутри архивов может быть трансформирована в реальную угрозу целостности, конфиденциальности и доступности вычислительных систем. Сочетание технической специфики ошибок (ошибочные сравнения имён в структуре архива, подмена относительных путей, создание `symlink` при повышенных привилегиях) с факторами эксплуатации (необходимость участия пользователя, требования к привилегиям, распространённость целевого ПО и каналы доставки) показывает, что эффективная защита возможна только при применении исправлений на уровне разработки, практик безопасного развёртывания, осознанного поведения пользователей и регулярного обновления программного обеспечения. Только такой многоуровневый подход

способен минимизировать риски, связанные с эксплуатацией подобных уязвимостей в будущем.

Библиографический список

1. Directory Traversal [Электронный ресурс]: GitHub – URL: <https://github.com/swisskyrepo/PayloadsAllTheThings/blob/master/Directory%20Traversal/README.md> (дата обращения: 09.11.2025)

2. Vulnerability Details: CVE-2025-6218 RARLAB WinRAR Directory Traversal Remote Code Execution Vulnerability [Электронный ресурс]: CVE security vulnerability database – URL: <https://www.cvedetails.com/cve/CVE-2025-6218/> (дата обращения: 09.11.2025)

3. Открыли RAR-архив? Поздравляем, вирус уже в вашей Windows [Электронный ресурс]: SecurityLab by Positive Technologies – URL: <https://www.securitylab.ru/news/562262.php> (дата обращения: 09.11.2025)

4. ESET Research: Russian RomCom group exploits new vulnerability, targets companies in Europe and Canada [Электронный ресурс]: ESET – URL: <https://www.eset.com/us/about/newsroom/research/eset-research-russian-romcom-group-exploits-new-vulnerability-targets-companies-in-europe-and-canada> (дата обращения: 09.11.2025)

5. 7-Zip ZIP File Parsing Directory Traversal Remote Code Execution Vulnerability [Электронный ресурс]: Zero Day Initiative. – URL: <https://www.zerodayinitiative.com/advisories/ZDI-25-949/> (дата обращения: 09.11.2025)

6. CVE-2025-11001 PoC [Электронный ресурс]: GitHub – URL: <https://github.com/pacbypass/CVE-2025-11001> (дата обращения: 09.11.2025)

© Лободенко Е.С., 2025

А.Д. МИХАНЬКО

mikhanko45@gmail.com

Науч. руковод. – доктор. техн. наук, проф. И.В. МАШКИНА

Уфимский университет науки и технологий

ПРИМЕНЕНИЕ МЕТОДОВ МАШИННОГО ОБУЧЕНИЯ В АНАЛИЗЕ СОБЫТИЙ

Аннотация: автор рассматривает возможности применение методов машинного обучения для анализа журналов событий (логов) в корпоративных сетях. В данной работе лог определяется как последовательность записей о событиях в системе или сети. Основное внимание уделяется применению больших языковых моделей, их ограничениям и возможностям. В качестве альтернативы предлагается математический метод PIPLUP.

Ключевые слова: журнал событий; лог; корпоративная архитектура; нормализация логов; SIEM; большие языковые модели; LLM; парсинг логов; машинное обучение; PIPLUP; OPC-сервер; Purdue модель.

Лог или журнал событий – это файл или база данных. Содержащая последовательность записей о событиях, происходящих в сети или системе, включая время, источник и описание [1].

Сеть предприятия включает в себя различные активы – источники лога, рабочие места персонала, сетевое оборудование, промышленное оборудование и так далее. Рассмотрим эталонный вариант корпоративной архитектуры.

Эталонная модель корпоративной архитектуры, разработанная в 1994 году Т. Уильямсом, описывает архитектуру промышленной системы управления (ICS). Уильямс предлагает набор уровней для классификации систем, как показано на рисунке 1 [2].

Краткое описание уровней:

- Уровень 0 «Физические процессы». Здесь расположены исполнительные механизмы и оборудование;

- Уровень 1 «Базовый контроль». Уровень промышленных контроллеров (ПЛК);

- Уровень 2 «Системы управления». В зависимости от масштаба предыдущих уровней, здесь могут располагаться человеко-машинные интерфейсы (HMI), различные системы диспетчеризации (SCADA), или рабочее место оператора (АРМ);

- Уровень 3 «Управление операциями» - верхний уровень промышленного сегмента сети. Здесь расположены серверы опроса (например OPC – промышленный протокол), серверы баз данных (СУБД), контроллеры доменов промышленной сети;

- Промышленная демилитаризованная зона (ДМЗ) – промежуточное звено между корпоративным и промышленным сегментами, отсюда возможен удаленный доступ в промышленный сегмент, и здесь расположены копии исторических данных для использования в корпоративном сегменте;

- Уровень 4 «Бизнес-планирование и логистика» - различные сервисы управления операциями и производством, планирование и распределение ресурсов, стратегическое управление;

- Уровень 5 «Корпоративная сеть» используется для обмена производственными данными и ресурсами для обслуживания бизнеса и клиентов.



Рис. 1. Эталонная модель корпоративной архитектуры

Для удобства ручного анализа, необходимо привести все логи к одному формату – нормализовать их. Для этого в составе SIEM есть подпрограмма,

разделяющая запись события на блоки (метка времени инициации события, источник события, инициатор события, родительское событие и так далее), однако, работает она по предустановленным шаблонам, и если среди активов предприятия есть те, для которых шаблона еще нет, то специалисту необходимо определить состав события записи самостоятельно.

В (1) представлен пример события, зарегистрированного в журнале безопасности Windows 10.

| | |
|---|----|
| <p>"Сведения, 06.08.2025 12:04:28,Microsoft-Windows-Security-Auditing,5379,User Account Management,Учетные данные диспетчера учетных данных прочитаны. Субъект: Идентификатор безопасности: DESKTOP-9J06GUI\mikha Имя учетной записи: mikha Домен учетной записи: DESKTOP-9J06GUI Идентификатор входа: 0x37498EF1 Операция чтения: Перечислить учетные данные Это событие возникает, когда пользователь выполняет операцию чтения сохраненных учетных данных в диспетчере учетных данных."</p> | 1) |
|---|----|

Проанализировав это событие, можно сделать следующие выводы:

- запятая является разделителем блоков;
- время инициации события: «06.08.2025 12:04:28»;
- пользователь, который является инициатором события: «mikha»;
- источник события: «DESKTOP-9J06GUI»;
- само событие: «Это событие возникает, когда пользователь выполняет операцию чтения сохраненных учетных данных в диспетчере учетных данных».

Но журнал Windows изначально сделан для возможности ручного анализа, если рассмотреть лог самописного OPC сервера, то будет все не так однозначно. Рассмотрим одно такое событие, представленное в 2.

| | |
|--|-----|
| <p>14.01.22 10:39:54.507 E2FA 23AC NK... Тэг: Канал TCP.Объект test_TCP.АГЗУ test_TCP.Текущая плотность газа Addr: H400247: 00000004</p> | (2) |
|--|-----|

Что можно выяснить из этой записи:

- блоки разделены пробелами;
- время инициации события: «14.01.22 10:39:54.507».

Не зная протокола OPC, специалист ИБ должен обратиться к сотруднику отдела АСУ, чтобы тот расшифровал это событие.

Над решением этой проблемы трудятся многие разработчики программного обеспечения и аналитики информации. На сегодняшний день есть несколько направлений автоматизации разделения события на блоки.

Среди исследований последних лет, наиболее популярным является решение, когда лог передается большой языковой модели (LLM) на анализ. Уже сейчас существуют десятки методов нормализации события при помощи LLM, что не только делает подход популярным, но и подчеркивает заинтересованность в решении поставленной задачи [3].

Методы разделения при помощи LLM сводятся к одному. Пользователь загружает файл с логом в память нейросети, которая анализирует данные и предоставляет ответ. В идеальном случае такой подход позволяет полностью абстрагироваться пользователю от изучения логов. Однако, у этих методов есть ряд недостатков.

Основная проблема анализа логов при помощи LLM – это зависимость от промта[4]. Промт – задача, которую оператор LLM задает нейросети. От правильности написания промта зависит результат. Зачастую промт оказывается объемнее ответа, иначе ответ будет неточным или ошибочным. Каждая LLM требует свой состав задачи, и прежде, чем загружать логи на анализ, оператору необходимо «подготовить» нейросеть предварительным «общением».

При правильно написанном промте, LLM показывает высокую точность анализа логов – 96% [5]. Такая точность была достигнута при лабораторном анализе, когда нейросеть специально обучали под конкретную задачу – нормализация лога, в базу знаний было загружено огромное количество данных, соответствующих анализируемой инфраструктуре, а также выделено большое количество вычислительной мощности. В результате исследования, модель, не только самостоятельно разделила лог на блоки, но и определила ошибочные записи.

LLM позволяет анализировать логи и без предобучения. Не обязательно загружать большие объемы данных, пользователю достаточно, работать вместе с нейросетью. В этом случае, когда модель достигает какой-то позиции в логе, которую она не может разобрать, она обращается за помощью к оператору [3]. Такой подход повышает скорость анализа лога, но требует большей вовлеченности пользователя, в результате исследования метода. Так же, не смотря на небольшой объем начальных знаний, нейросеть все еще требует больших вычислительных ресурсов. В некоторых случаях может потребоваться вмешательство специалиста, который знает содержимое логов (как в случае с нестандартным OPC).

В обоих случаях для анализа нового файла лога рекомендуется «сбрасывать» контекст нейросети, иначе предыдущие запросы и ответы будут влиять на будущую работу.

Альтернативный метод использования LLM – установить модель с открытым исходным кодом, например LLama 3, и использовать ее. Взаимодействие с LLama представляет собой общение в чате, но, вместо

живого собеседника, вам отвечает нейросеть. Вы задаете вопросы, она ищет в своей памяти подходящие ответы. Таким образом, можно использовать нейросеть в качестве ассистента для событий. Такой подход не требует больших вычислительных мощностей, сама модель бесплатная, устанавливается на Windows и Unix системы. Однако, требуется перепроверять ответы нейросети, и периодически напоминать ее основную цель.

Это основные методы использования LLM для автоматизации нормализации событий, существуют и менее популярные решения, отличающиеся, в основном, подготовкой лога перед анализом или комбинацией различных решений, которые в той или иной мере повышают надежность анализа. Однако, анализ логов при помощи нейросетей является дорогостоящим решением, требующим мощного вычислительного оборудования или передачи данных для облачных вычислений. Так же алгоритмы нейросетей непрозрачны для разработчиков, а значит усложняют процедуру внедрения в предлагаемые решения.

Существуют математические методы, описывающие разделение логов. Например, RPLUP метод [6]. Если передать суть простыми словами, то метод разделяет один файл на несколько коллекций. В каждой коллекции содержатся те события (строки), в которых присутствует одинаковый набор повторяющихся слов – ключей. Далее ключи удаляются из события (заменяются звездочками), и строки анализируются заново. В результате метода пользователь получает наборы, по которым уже сортируются новые логи. Данное решение можно адаптировать под нормализацию, хотя и разрабатывалось оно для других целей. Метод достаточно подробно описан, включая математические методы и программную реализацию.

Библиографический список

1. Олифер В. Г. Компьютерные сети. Принципы, технологии, протоколы: учебник для вузов / В. Г. Олифер, Н. А. Олифер. – 4-е изд., стер. – СПб.: Питер, 2016. – 960 с. – ISBN 978-5-496-01042-3.
2. Williams T. J. The Purdue enterprise reference architecture //Computers in industry. – 1994. – Т. 24. – №. 2-3. – С. 141-158.
3. Beck V. System Log Parsing with Large Language Models: A Review [Электронный ресурс] / V. Beck, M. Landauer, M. Wurzenberger, F. Skopik, A. Rauber. – Электрон. дан. – 2025. – Режим доступа: <https://arxiv.org/abs/2504.04877> (дата обращения: 07.11.2025).
4. Ma Z. LLMParse: An Exploratory Study on Using Large Language Models for Log Parsing / Z. Ma, A. R. Chen, D. J. Kim, T.-H. Chen, S. Wang // Proceedings of the IEEE/ACM 46th International Conference on Software Engineering (ICSE '24). – Lisbon : ACM, 2024. – P. 1209–1221. – DOI: 10.1145/3597503.3639150.
5. Piet J. Semantic-Aware Parsing for Security Logs [Электронный ресурс] / J. Piet, V. Fang, R. Khare, S. Coull, V. Paxson, R. A. Popa, D. Wagner. – Электрон.

дан. – 2025. – Режим доступа: <https://arxiv.org/abs/2506.17512> (дата обращения: 07.11.2025).

6. Qin Q. Plug it and Play on Logs: A Configuration-Free Statistic-Based Log Parser [Электронный ресурс] / Q. Qin, X. Wu, H. Li, E. Merlo. – Электрон. дан. – 2025. – Режим доступа: <https://arxiv.org/abs/2508.09366> (дата обращения: 07.11.2025).

© Миханько А.Д., 2025

Е.В.НАРИЖНЫЙ

mozambiquehere1@mail.ru

Р.А. МУДАРИСОВ

Науч. руковод. – канд. техн. наук, доцент А.Ю. СЕНЦОВА

Уфимский университет науки и технологий

КОМПЛЕКСНЫЙ АНАЛИЗ УЯЗВИМОСТЕЙ IOT-СЕТЕЙ И МЕТОДОВ ИХ ЗАЩИТЫ НА УРОВНЕ КОММУНИКАЦИОННЫХ ПРОТОКОЛОВ

Аннотация: в статье проведён комплексный анализ уязвимостей сетей Интернета вещей (IoT) и рассмотрены существующие методы защиты на уровне коммуникационных протоколов. Представлено исследование архитектуры и типовых уязвимостей протоколов MQTT, CoAP, AMQP, ZigBee и Z-Wave. На основе анализа предложена усовершенствованная классификация угроз IoT-сетей, учитывающая тип взаимодействия устройств (device-to-device, device-to-cloud, edge-to-cloud), что позволяет более точно определять критические точки возникновения уязвимостей и разрабатывать целевые меры защиты.

Бурное развитие технологий Интернета вещей привело к формированию обширной экосистемы устройств, взаимодействующих в едином сетевом пространстве. По прогнозам аналитических агентств, к 2030 году количество IoT-устройств превысит 30 миллиардов, что обусловит значительное увеличение объёма передаваемых данных и числа сетевых взаимодействий. Однако столь масштабное распространение IoT сопровождается ростом числа кибератак, направленных на эксплуатацию уязвимостей коммуникационных протоколов.

Особенностью IoT-сетей является ограниченность вычислительных и энергетических ресурсов устройств, что делает невозможным применение классических механизмов защиты, свойственных корпоративным сетям. Кроме того, стандарты безопасности для IoT-сред не унифицированы, а механизмы аутентификации и шифрования зачастую реализуются частично или отсутствуют вовсе. В связи с этим возникает необходимость систематизации существующих угроз и оценки эффективности применяемых методов защиты именно на уровне коммуникационных протоколов – как базового уровня взаимодействия в IoT-инфраструктурах. Современные IoT-сети строятся по многоуровневой архитектуре, включающей уровни устройств, шлюзов, облачных сервисов и аналитических систем. На каждом уровне применяются специализированные протоколы обмена данными – MQTT, CoAP, AMQP, ZigBee и Z-Wave, – каждый из которых обладает собственными уязвимостями.

Например, MQTT и CoAP не обеспечивают обязательного шифрования соединений, ZigBee уязвим к атакам повторного воспроизведения (replay), а Z-Wave подвержен компрометации ключей при некорректной реализации процедур инициализации.

Основные угрозы и уязвимости IoT-сетей К числу наиболее распространённых угроз относятся: подмена устройств (spoofing) и несанкционированный доступ к управляющим интерфейсам, атаки типа «man-in-the-middle» (MITM), направленные на перехват и подмену данных, отказ в обслуживании (DoS/DDoS), что критично для систем реального времени, инъекции управляющих команд, эксфильтрация конфиденциальных данных при слабом шифровании или его отсутствии. Анализ показал, что большинство уязвимостей сосредоточено на уровне транспортных и прикладных протоколов, а также в механизмах управления сессиями, обмена ключами и реализации OTA-обновлений.

Современные подходы к обеспечению безопасности IoT-протоколов включают использование TLS/DTLS, внедрение аутентификации на основе сертификатов, сегментацию сетей, системы обнаружения вторжений (IDS) и модели доверия. Однако применение данных решений затруднено на устройствах с ограниченными ресурсами. Кроме того, большинство существующих методов ориентированы на единичные уровни взаимодействия и не обеспечивают комплексной защиты во всей IoT-инфраструктуре.

На основе проведённого исследования разработана и предложена усовершенствованная классификация угроз IoT-сетей, в основе которой лежит принцип дифференциации угроз по типу взаимодействия устройств: device-to-device (D2D), device-to-cloud (D2C) и edge-to-cloud (E2C). В отличие от традиционных классификаций, ориентированных исключительно на цели атак (конфиденциальность, целостность и доступность), данная модель учитывает особенности архитектуры обмена данными и логику функционирования IoT-сред. Такой подход позволяет более точно соотносить конкретные уязвимости с уровнями коммуникаций и выбирать соответствующие им защитные меры, оптимальные по вычислительной сложности и ресурсоёмкости.

Современные IoT-сети представляют собой распределённые, многослойные системы, в которых миллионы устройств различного типа взаимодействуют через неоднородные каналы связи – от локальных беспроводных соединений до облачных API.

Классические классификации угроз, базирующиеся на триаде «конфиденциальность – целостность – доступность», дают лишь общую оценку рисков, но не позволяют проводить их структурный анализ по каналам взаимодействия. Это приводит к тому, что при проектировании систем защиты меры принимаются равномерно по всей архитектуре, без приоритизации участков с повышенной критичностью. В условиях масштабных IoT-инфраструктур такой подход неэффективен: он увеличивает нагрузку на устройства с ограниченными ресурсами и не обеспечивает требуемого уровня защиты на ключевых точках передачи данных.

Классификация угроз IoT-сетей с учётом типа взаимодействия устройств

| Тип взаимодействия | Основные угрозы | Характеристика |
|----------------------------|---|--|
| Device-to-Device (D2D) | Lateral movement, spoofing, replay-атаки, jamming, физическое вмешательство | Распространение атак между узлами сети, подмена идентификаторов устройств, истощение ресурсов конечных точек |
| Device-to-Cloud (D2C) | MITM, компрометация API-ключей, утечка данных, downgrade TLS, слабое шифрование | Угрозы при передаче данных между устройством и облачным сервисом; критичны для конфиденциальности и целостности данных |
| Edge-to-Cloud (E2C) | Компрометация edge-узлов, supply chain, подмена контейнеров, искажение агрегации данных | Нарушения на уровне промежуточных вычислительных узлов; возможна модификация данных до их передачи в облако |
| Поперечные (cross-cutting) | Botnet, DDoS, уязвимости OTA, нарушение приватности, атаки на цепочку поставок | Универсальные угрозы, затрагивающие несколько уровней взаимодействия одновременно |

Предложенная классификация позволяет формировать более точные модели угроз для IoT-сетей, определять приоритеты защиты и разрабатывать сценарии тестирования защищённости. Для D2D-коммуникаций рекомендуется усиленная аутентификация, локальная сегментация и контроль доступа. Для D2C-взаимодействий – использование защищённых каналов (TLS/DTLS), безопасное управление API и ротация ключей. Для E2C-взаимодействий – проверка целостности контейнеров, контроль цепочек поставок и цифровая подпись обновлений. В качестве перспективного направления можно отметить применение математических методов анализа трафика, в частности вейвлет-анализа, позволяющего выявлять аномалии в сетевом поведении IoT-устройств с минимальной нагрузкой на вычислительные ресурсы. При внедрении данного механизма возможно раннее обнаружение DDoS-атак и других аномальных событий без необходимости установки

тяжёлых IDS-систем на каждое устройство. Информация об обнаруженной атаке может передаваться на главный контроллер сети, который способен инициировать автоматическую реакцию — например, блокировку подозрительного узла или ограничение трафика.

Проведён комплексный анализ угроз и методов защиты IoT-сетей на уровне коммуникационных протоколов. Установлено, что существующие решения не обладают достаточной адаптивностью и масштабируемостью для гетерогенных IoT-инфраструктур. Предложенная классификация угроз по типам взаимодействия устройств (D2D, D2C, E2C) позволяет более точно определять критические точки возникновения уязвимостей и разрабатывать целевые меры защиты. Перспективным направлением является интеграция лёгковесных механизмов анализа трафика, таких как вейвлет-анализ, для реализации интеллектуальных систем мониторинга, способных обнаруживать и предотвращать DDoS-атаки в реальном времени. Такой подход позволит повысить уровень защищённости IoT-сетей без существенного увеличения вычислительной нагрузки на конечные устройства.

Библиографический список

1. Безопасность интернета вещей — проблемы уязвимости IoT-устройств [Электронный ресурс] // СберПро. — 2025. — URL: <https://sber.pro/publication/bezopasnost-iot-ustroystv-interneta-veshei/> (дата обращения: 06.11.2025).
2. IoT: риски и защита в цифровую эпоху [Электронный ресурс] // Kaspersky OS Blog. — 2025. — URL: <https://os.kaspersky.ru/blog/iot-risks-and-protection-in-the-digital-age/> (дата обращения: 05.11.2025).
3. Как защитить IoT-устройства: опыт и рекомендации [Электронный ресурс] // Habr. — 2025. — URL: <https://habr.com/ru/companies/otus/articles/524140/> (дата обращения: 06.11.2025).
4. Анализ прикладных протоколов передачи данных для систем Интернета вещей: статья / ред. кол. ... — Калининград, 2024. — 12 с. — URL: <https://cyberleninka.ru/article/n/analiz-prikladnyh-protokolov-peredachi-dannyh-dlya-sistem-interneta-veschey> (дата обращения: 05.11.2025).
5. Безопасность Интернета вещей (IoT) в бизнесе [Электронный ресурс] // INFARS.ru. — 2025. — URL: <https://infars.ru/blog/bezopasnost-interneta-veshchey-iot-v-biznese/> (дата обращения: 09.11.2025).
6. [Электронный ресурс] // Habr. — 2025. — URL: <https://habr.com/ru/articles/700800/> (дата обращения: 06.11.2025).

© Нарижный Е.В., Мударисов Р.А., 2025

Д.И. НУГУМАНОВ, А.И. ЯГУДИН

dinar.zuru@gmail.com

Науч. руковод. – доктор. техн. наук, проф. А.М. ВУЛЬФИН

Уфимский университет науки и технологий

ПРИМЕНЕНИЕ ИСКУССТВЕННОГО ИНТЕЛЛЕКТА И МЕТОДОВ МАШИННОГО ОБУЧЕНИЯ В ОБНАРУЖЕНИИ ВРЕДНОСНОГО СЕТЕВОГО ТРАФИКА И АНОМАЛИЙ.

Аннотация: в статье рассматриваются современные подходы к использованию искусственного интеллекта и технологий машинного обучения для обнаружения вредоносного трафика и аномалий в сетевых системах. Рассматриваются традиционные методы анализа сетевой активности, их достоинства и недостатки на фоне интеллектуальных решений. Дополнительно рассматривается возможность интеграции традиционных методов с интеллектуальными решениями на базе ИИ.

Ключевые слова: искусственный интеллект; информационная безопасность; сетевая активность; аномалии; машинное обучение.

Введение

Развитие ИИ и его значение для сферы информационной безопасности

Искусственный интеллект развивается, и если раньше это был лишь экспериментальный подход к решению задач информационной безопасности, то сейчас он стал одним из ключевых подходов. Решений на базе ИИ в информационной безопасности становится все больше. Киберугрозы эволюционируют, становясь сложнее и менее предсказуемыми. Традиционные системы обнаружения и защиты всё чаще оказываются недостаточно эффективными перед современными угрозами. Искусственный интеллект, напротив, способен в реальном времени выявлять подозрительную активность, анализировать сложные типы атак и снижать зависимость от человеческого участия.

Традиционные методы обнаружения и защиты сетевого трафика

Ранее основой защиты сетей были системы, работающие по заранее известным шаблонам угроз — так называемые сигнатурные системы. Они хорошо справлялись с уже изученными вирусами и вредоносными программами, но при столкновении с новыми, неизвестными атаками зачастую оказывались беспомощны. Даже самые современные базы сигнатур требуют постоянного обновления, и в реальной сети существует риск, что новые угрозы будут обнаружены слишком поздно.

Другой подход — эвристический или статистический анализ. Он оценивает сетевую активность по общим признакам и пытается выявлять отклонения от нормального поведения. Эти методы позволяют заметить ранее неизвестные угрозы, но для их эффективной работы нужны тщательно подобранные пороги и правила. Ошибки в настройках приводят к ложным тревогам, а слишком общие правила снижают точность обнаружения.

В целом, традиционные методы работают неплохо в «стандартных» сценариях, но сталкиваются с серьёзными ограничениями в современных условиях. Сложные атаки, маскирующиеся под обычный трафик, многокомпонентные целевые атаки и полиморфные вредоносные программы требуют более гибкого и адаптивного подхода. Именно здесь на помощь приходит искусственный интеллект, который способен анализировать трафик не только по статичным правилам, но и по скрытым закономерностям, выявляя угрозы в реальном времени.

Применение искусственного интеллекта и технологий машинного обучения

Современные угрозы требуют подходов, которые умеют учиться на опыте и адаптироваться к новым условиям. Здесь на сцену выходит искусственный интеллект. В отличие от классических систем, ИИ способен анализировать большие объёмы данных, выявлять скрытые закономерности и распознавать аномалии, которые трудно формализовать в виде правил или сигнатур.

Машинное обучение и нейронные сети дают возможность строить модели, способные прогнозировать поведение сетевого трафика и определять потенциально вредоносные действия. Эти модели могут работать как с агрегированными табличными признаками, так и с последовательностями пакетов, что особенно важно для сложных, многослойных атак.

Применение ИИ позволяет не только повысить точность обнаружения угроз, но и уменьшить зависимость от человеческого фактора. Системы становятся более автономными: они могут автоматически фильтровать нормальный трафик, выделять подозрительные сессии и даже оценивать вероятность того, что конкретная активность является атакой. Такой подход формирует основу для более адаптивных и проактивных систем защиты.

Экспериментальный стенд и сбор данных

Для оценки возможностей технологий ИИ и машинного обучения в обнаружении аномалий сетевого трафика можно развернуть тестовый лабораторный стенд. Стенд из себя представляет некий набор виртуальных машин, которые делятся на три сегмента сети. Предполагается, что имеется сегмент генерирующий легитимный трафик, сегмент генерирующий вредоносный трафик и сегмент представляющий узел в виде виртуальной машины, выполняющей роль маршрутизатора. В качестве вредоносного трафика предполагается использование различных C2 серверов. Например Metasploit. В сегменте легитимного трафика имеется несколько виртуальных

машин, которые выполняют роль генераторов легитимного трафика, имитируя обычную сетевую активность. Также в этом сегменте одна из машин должна быть заражена. Она как раз будет генерировать вредоносный трафик, поддерживая активную сессию с C2-сервером.

Следующим шагом необходимо собрать дампы трафика на виртуальной машине, которая выступает в качестве роутера. Этот дампы нужно преобразовать в удобный для обработки формат — например, с помощью `CicFlowMeter` получить CSV-файлы с `flow`-признаками; альтернативы — `tshark` или `Zeek` для экспорта `pcap` CSV/Parquet или извлечения более детальных метаданных. При этом рекомендуется сохранять и исходные `pcap`-файлы: они пригодятся для повторного извлечения признаков и детального разбора интересующих сессий. После получения `flow`-таблиц выполняется разметка (по логам C2 и журналам хостов), предобработка и кодирование признаков — и лишь затем переходят к обучению и валидации моделей.

После того как данные собраны и преобразованы, следующим шагом становится их разметка и подготовка к обучению. Обычно это делается на основе логов C2-сервера и записей с хостов — так можно определить, какие соединения были легитимными, а какие относились к вредоносной активности. Далее данные очищаются от лишнего шума, дубликатов и неполных записей. Числовые признаки нормализуются, а категориальные переводятся в числовой вид — например, с помощью кодирования портов или адресов.

На этом этапе можно также сформировать дополнительные признаки: скорость передачи данных, количество пакетов в обе стороны, время между пакетами, число уникальных подключений за определённый промежуток времени и т. д. Это помогает модели лучше различать нормальное поведение и аномалии.

После подготовки данных переходят к обучению и тестированию моделей. Обычно часть данных оставляют для проверки качества, чтобы убедиться, что модель не просто запомнила обучающую выборку. Оценивают не только точность и полноту, но и количество ложных срабатываний, а также скорость работы модели — ведь в реальной сети важно реагировать быстро.

Когда удаётся добиться стабильных результатов, систему можно попробовать запустить в тестовом режиме — например, разместить лёгкую модель на уровне маршрутизатора, а основную — на сервере анализа. Это позволяет оценить, как система поведёт себя вблизи реальных условий и насколько удобно её будет интегрировать в существующую инфраструктуру.

Проблемы и вызовы внедрения ИИ в информационную безопасность

Главные трудности связаны с высокой стоимостью внедрения, нехваткой качественных данных для обучения и сложностью интерпретации результатов. Для построения точных моделей требуются большие наборы размеченных данных, которые часто недоступны из-за конфиденциальности.

Помимо этого, модели ИИ подвержены ложным срабатываниям, что может увеличить нагрузку на специалистов. Также остаются открытыми

вопросы этики и безопасности — те же методы ИИ могут использоваться злоумышленниками для создания более изощрённых атак.

Интеграция ИИ с традиционными системами защиты

Помимо полностью интеллектуальных решений, наибольший интерес представляют гибридные системы, объединяющие традиционные методы защиты с возможностями искусственного интеллекта. Такой подход позволяет компенсировать слабые стороны обоих направлений: сигнатурные и эвристические методы обеспечивают надёжную фильтрацию известных угроз, а ИИ анализирует поведенческие и статистические отклонения, выявляя новые типы атак.

Например, алгоритмы машинного обучения могут работать поверх существующих IDS/IPS-систем, анализируя результаты их работы и формируя дополнительный уровень защиты. Это не только повышает точность обнаружения, но и снижает количество ложных срабатываний. В дальнейшем подобные гибридные решения могут стать основой для создания интеллектуальных агентных систем, способных динамически перестраивать правила безопасности под текущую обстановку в сети.

Заключение

Использование искусственного интеллекта в информационной безопасности открывает новые возможности для своевременного и точного обнаружения угроз. В отличие от традиционных систем, ИИ способен адаптироваться к изменяющимся условиям и выявлять аномалии, которые невозможно описать фиксированными правилами. Однако на пути к массовому внедрению таких технологий остаются задачи, связанные с качеством данных, вычислительными затратами и необходимостью интерпретируемости моделей.

Наиболее перспективным направлением видится интеграция интеллектуальных алгоритмов с существующими средствами защиты, что позволит создать гибридные системы нового поколения, объединяющие стабильность классических решений и адаптивность ИИ. Такой подход формирует основу для построения более устойчивых и проактивных систем кибербезопасности, способных эффективно противостоять современным угрозам.

Библиографический список

1. Искусственный интеллект в информационной безопасности / [Электронный ресурс] // cyberleninka.ru: [сайт]. — URL: <https://cyberleninka.ru/article/n/iskusstvennyy-intellekt-v-informatsionnoy-bezopasnosti> (дата обращения: 10.11.2024).

2. Искусственный интеллект и безопасность: проблемы, заблуждения, реальность и будущее / [Электронный ресурс] // cyberleninka.ru: [сайт]. — URL:

<https://cyberleninka.ru/article/n/iskusstvennyy-intellekt-i-bezopasnost-problemy-zabluzhdeniya-realnost-i-budushee> (дата обращения: 15.10.2024).

3. Искусственный интеллект в ИБ / [Электронный ресурс] // b-152.ru: [сайт]. — URL: <https://b-152.ru/iskusstvennyj-intellekt-v-ib> (дата обращения: 10.11.2024).

4. Основы искусственного интеллекта с приложениями в информационной безопасности. Практикум / [Электронный ресурс] // e.lanbook.com: [сайт]. — URL: <https://e.lanbook.com/book/163838> (дата обращения: 10.11.2024).

© Нугуманов Д.И., Ягудин А.И., 2025

А.П. ПАШИНА

nasty.pashina.2017@mail.ru

Науч. руковод. – канд. техн. наук, доцент А.Ю. СЕНЦОВА

Уфимский университет науки и технологий

ПРАВОВЫЕ И ТЕХНИЧЕСКИЕ АСПЕКТЫ РЕАЛИЗАЦИИ «ПРАВА НА ЗАБВЕНИЕ» В ИНТЕРНЕТЕ

Аннотация: статья исследует комплекс проблем, связанных с реализацией «права на забвение» в глобальной сети. Проводится сравнительный анализ правовых моделей Европейского союза, Российской Федерации и США, выявляющий фундаментальные расхождения в подходах к балансу между приватностью и свободой информации.

Ключевые слова: право на забвение, персональные данные, GDPR, деиндексация, цифровая приватность, удаление информации.

Введение

В эпоху цифровой трансформации персональные данные стали новым активом, а их вечное хранение в интернете создало системный вызов приватности личности. «Право на забвение» представляет собой попытку вернуть человеку контроль над своей цифровой репутацией. Однако его реализация сталкивается с фундаментальным противоречием между правом индивида на удаление информации и правом общества на доступ к ней, а также с объективной технической сложностью полного «стирания» данных из децентрализованной сети.

Проблема исследуется как юристами, фокусирующимися на нормативном аспекте, так и специалистами по информационной безопасности. Однако комплексных работ, синтезирующих правовые ограничения и техническую реализацию, недостаточно.

Правовые основы «права на забвение»: сравнительный анализ

Современная трактовка права на забвение эволюционировало из права на приватность. Это право лица требовать деиндексации, т.е. скрытие из поиска, а также удаления устаревших, нерелевантных или порочащих данных, распространение которых не обусловлено общественным интересом. Решающую роль в его становлении сыграло решение Суда ЕС по делу *Google Spain v. AEPD*, которое установило, что поисковые системы являются обработчиками персональных данных и обязаны рассматривать запросы на удаление ссылок. Это создало прецедент, сместивший фокус с источника информации на канал ее распространения.

Европейский союз обладает на сегодняшний день наиболее разработанным и влиятельным правовым механизмом реализации «права на забвение», который закреплен в Статье 17 «Общего регламента по защите данных» (GDPR). Данная норма не предоставляет абсолютного права на удаление, а детально регламентирует его, устанавливая исчерпывающий перечень из шести юридических оснований для удаления персональных данных. К ним относятся, в частности, такие случаи, как отзыв субъектом своего согласия на обработку, прекращение целесообразности данных для изначальных целей обработки, или несоблюдение оператором принципов законности их сбора и использования.

Ключевым ограничением права на удаление является право общества на доступ к информации и свобода выражения мнений. В этом заключается главный правовой компромисс. GDPR возлагает бремя доказывания этого исключения на оператора данных: если субъект требует удаления информации, именно компания (например, поисковая система или новостной сайт) должна доказать, что сохранение данных продиктовано законными основаниями, такими как исполнение правомочного общественного интереса, необходимость для осуществления свободы информации или выполнения правового обязательства.

В Российской Федерации право реализовано через два законодательных акта, формирующих двухуровневую модель. Базовое право на удаление персональных данных закреплено в ст. 21 Федерального закона № 152-ФЗ «О персональных данных», которое обязывает оператора уничтожить или обезличить данные при достижении целей обработки или по отзыву согласия субъекта. Более специализированный механизм, известный как «Закон о забвении» (Федеральный закон № 264-ФЗ), предоставляет гражданам право требовать от поисковых систем удаления ссылок на информацию о себе, которая распространяется третьими лицами и является недостоверной, устаревшей или нарушающей закон.

Несмотря на наличие прогрессивной нормы, российская модель существенно уже европейского аналога по GDPR. Её ключевой ограниченностью является то, что Федеральный закон № 264-ФЗ нацелен исключительно на канал распространения — поисковые системы — и не обязывает удалять информацию с самого сайта-источника (например, с новостного портала или форума). Это создает так называемый «эффект сита»: информация формально «удалена» из поисковой выдачи и становится труднонаходимой для широкой публики, но при этом она остается в открытом доступе по прямой ссылке. В результате закон борется не с существованием информации как таковой, а лишь с удобством её обнаружения, что резко снижает его практическую эффективность для полного восстановления цифровой репутации гражданина и оставляет значительные лазейки для сохранения доступа к порочащим данным.

В США сформировался принципиально иной подход к вопросу о «праве на забвение», который основан на верховенстве Первой поправки к

Конституции, гарантирующей свободу слова и печати. В этой правовой парадигме широкое право человека требовать удаления информации, особенно распространяемой третьими лицами (например, новостными агентствами или блогами), воспринимается как форма предварительной цензуры и недопустимое вмешательство в свободу распространения информации, имеющей интерес для общества.

Такие законы, как California Consumer Privacy Act (CCPA), предоставляют более узкое право на удаление, распространяющееся только на данные, собранные непосредственно самим бизнесом. Это защищает потребителя от самого бизнеса, но не от распространения информации третьими лицами в новостях или блогах, что является ядром европейского подхода.

Проведенный анализ позволяет сделать вывод о формировании трех принципиально различных моделей регулирования «права на забвение»:

ЕС защищает приватность, США — свободу слова, а Россия пытается найти компромисс, но ее модель страдает от ограниченности. Эта фрагментация является первым барьером на пути глобальной реализации права.

Технические аспекты и проблемы реализации

Все ресурсы интернета можно классифицировать по степени управляемости удалением данных:

– Уровень 1 (Высокая управляемость): Централизованные коммерческие платформы (Google, Facebook). Имеют техническую и юридическую возможность удалить данные.

– Уровень 2 (Средняя управляемость): Интернет-архивы, новостные сайты. Деиндексация не удаляет данные с оригинала, процесс требует ручной работы.

– Уровень 3 (Низкая управляемость): Децентрализованные сети (IPFS), скриншоты, кэши. Информация реплицируется и не имеет единой точки контроля. Полное удаление технически невозможно.

Основные механизмы — деиндексация и прямое удаление — эффективны лишь для Уровня 1. Ключевые технические ограничения включают проблему идентификации всех копий, верификации личности заявителя и фундаментальные принципы архитектуры интернета (кэширование, архивирование), которые противоречат концепции полного удаления.

Предложения по комплексной модели реализации

Для преодоления выявленных проблем необходим дифференцированный подход.

Для Уровня 1: Повышение стандартов соответствия нормам GDPR должно включать внедрение автоматизированных систем для приема заявлений, установление строгих временных рамок на рассмотрение запросов и обеспечение прозрачности процесса принятия решений.

Для Уровня 2: Создание единого межгосударственного реестра вступивших в силу решений судов. Архивы и СМИ обязаны сверяться с этим реестром и удалять данные на его основании.

Для Уровня 3: Сдвиг парадигмы от «удаления» к «техническому обесцениванию». Например, использование технологий шифрования данных с ограниченным сроком жизни ключа.

В качестве организационных мер предлагается учреждение международного арбитражного органа для разрешения спорных случаев применения «права на забвение», а также повсеместное внедрение принципа «Конфиденциальность по умолчанию», который предписывает разработчикам изначально включать в архитектуру систем инструменты для удаления данных.

Заключение

В данной работе были рассмотрены основные правовые и технические аспекты реализации «права на забвение» в интернете. Проведенный анализ показал фундаментальную фрагментацию правового регулирования, где каждая из рассмотренных юрисдикций демонстрирует различный подход к балансу между правом на приватность и свободой информации. Предложенная многоуровневая модель, дифференцирующая подходы в зависимости от типа информационного ресурса, представляет практический инструмент для повышения эффективности реализации «права на забвение».

Библиографический список

1. Общий регламент о защите персональных данных (GDPR): Регламент (ЕС) 2016/679 Европейского парламента и Совета от 27 апреля 2016 г. – [Электронный ресурс]. – URL: <https://base.garant.ru/71936226/> (Дата обращения: 06.11.2025)

2. О персональных данных: Федеральный закон от 27.07.2006 № 152-ФЗ (ред. от 14.07.2022) // Собрание законодательства РФ. – 2006. – № 31 (1 ч.). – Ст. 3451.

3. О внесении изменений в Федеральный закон "О персональных данных": Федеральный закон от 13.07.2015 № 264-ФЗ // Собрание законодательства РФ. – 2015. – № 29 (часть I). – Ст. 4380.

4. Решение Суда ЕС по делу Google Spain v. AEPD: Judgment of the Court (Grand Chamber) of 13 May 2014. Google Spain SL and Google Inc. v Agencia Española de Protección de Datos (AEPD), Mario Costeja González. Case C-131/12. – [Электронный ресурс]. – URL: https://globalfreedomofexpression.columbia.edu/wp-content/uploads/2021/12/Googlev.AgenciaEsp_Russian.pdf (Дата обращения: 05.11.2025)

5. Лопатин, В.Н. Информационная безопасность России: Основные понятия и определения / В.Н. Лопатин. – М.: Юрист, 2018. – 350 с.

© Пашина А.П., 2025

Р.А. ПОПИЛЬ

popil.roman23@mail.ru

Науч. руковод. – канд. техн. наук, доцент А.Ю. СЕНЦОВА

Уфимский университет науки и технологий

АТАКИ НА АЛГОРИТМЫ ГЛУБОКОГО ОБУЧЕНИЯ И МЕТОДЫ ИХ ОБНАРУЖЕНИЯ

Аннотация: в статье рассматриваются современные угрозы, связанные с атаками на алгоритмы глубокого обучения. Проводится систематизация атак по различным критериям, включая этап воздействия на модель и уровень осведомленности злоумышленника. Уделяется внимание состязательным атакам как одному из наиболее распространенных векторов угроз. Анализируются и сравниваются существующие подходы к обнаружению и противодействию таким атакам.

Ключевые слова: безопасность искусственного интеллекта; глубокое обучение; информационная безопасность; состязательные атаки; атаки отравления; обнаружение атак; устойчивость моделей.

Введение

Развитие технологий глубокого обучения (Deep Learning, DL) привело к их широкому внедрению в критически важные системы – от автономного транспорта и биометрической аутентификации до медицинской диагностики и финансовых технологий [1]. Однако по мере усложнения и распространения нейросетевых моделей становятся все более очевидными уязвимости DL. Злоумышленники могут целенаправленно манипулировать работой модели, что приводит к неверным решениям без явных признаков внешнего вмешательства.

Актуальность данной проблемы подтверждается многочисленными исследованиями как в России, так и за рубежом [2]. Основная угроза заключается в том, что даже незначительные, часто неразличимые для человека изменения во входных данных могут полностью изменить результат работы модели. Это открывает широкий спектр возможностей для атак, направленных на компрометацию систем, использующих искусственный интеллект. Целью данной статьи является обзор и классификация современных атак на модели глубокого обучения, а также анализ методов их обнаружения и нейтрализации.

Классификация атак на модели глубокого обучения

Атаки на модели глубокого обучения можно классифицировать по нескольким ключевым критериям, что позволяет лучше понять их природу и механизмы [3].

1. По этапу воздействия:

Атаки на этапе обучения, осуществляемые в процессе обучения модели. Наиболее известной является атака “отравления данных”, при которой злоумышленник внедряет в обучающую выборку специально сформированные вредоносные данные. Это может привести к снижению общей точности модели или к созданию “бэкдоров” — скрытых уязвимостей, которые активируются при подаче на вход определенных триггеров.

Атаки на этапе инференса направлены на уже обученную и развернутую модель. Самым распространенным примером являются состязательные атаки, или атаки уклонения [6]. Их суть заключается в добавлении к легитимным входным данным небольшого, тщательно рассчитанного “шума” (возмущения), который заставляет модель совершить ошибку классификации.

2. По осведомленности злоумышленника:

Атаки «белого ящика» заключаются в том, что злоумышленник обладает полной информацией о модели: ее архитектуре, параметрах (весах) и, возможно, доступом к обучающим данным. Такие условия позволяют создавать высокоэффективные атаки, например, с использованием градиентных методов, таких как Fast Gradient Sign Method (FGSM) [5].

Атаки «черного ящика», заключаются в том, что атакующий не имеет доступа к внутренней структуре модели и может взаимодействовать с ней только через API, отправляя запросы и получая ответы. Эти атаки более реалистичны, но и более сложны в реализации. Они часто основаны на множественных запросах к модели для восстановления карты решений или на переносе атак, созданных на другой, суррогатной модели [9].

3. По цели злоумышленника:

Нецелевые атаки, цель которых является заставить модель ошибиться в классификации, независимо от того, какой неверный класс будет присвоен объекту.

Целевые атаки, направленные на то, чтобы модель не просто ошиблась, а классифицировала входные данные как конкретный, заранее заданный класс.

Методы обнаружения и защиты

Разработка методов защиты является активной областью исследований. Существующие подходы можно разделить на проактивные (направленные на повышение устойчивости модели) и реактивные (направленные на обнаружение атак в реальном времени).

1. Проактивные методы защиты:

Состязательное обучение считается одним из наиболее эффективных методов [8]. Суть заключается в добавлении в обучающую выборку состязательных примеров, сгенерированных на предыдущих итерациях

обучения. Это позволяет модели "научиться" игнорировать вредоносные возмущения и повысить свою обобщающую способность.

Очистка данных применяется для противодействия атакам отравления. Включает в себя методы фильтрации, обнаружения выбросов и анализа данных для выявления и удаления подозрительных примеров из обучающей выборки.

Защитная дистилляция – это метод, при котором знания из большой, сложной модели ("учителя") передаются в меньшую модель ("студента"). В процессе дистилляции сглаживается поверхность принятия решений, что делает модель менее чувствительной к малым возмущениям.

2. Реактивные методы обнаружения:

Анализ входных данных позволяет осуществлять обнаружение аномалий во входных данных путем сравнения их статистических характеристик с распределением чистых данных [10].

Анализ на уровне признаков – это анализ активаций внутренних слоев нейронной сети. Атакованные примеры часто вызывают аномальные паттерны активации, которые можно детектировать.

Использование сетей-детекторов заключается в обучении отдельной модели-классификатора, которая будет отличать нормальные входные данные от состязательных [4].

Сравнительный анализ методов обнаружения атак

Таблица 1

| Метод | Принцип работы | Преимущества | Ограничения |
|---------------------------|---|--|--|
| Анализ входных данных | Сравнение распределений признаков входного образца с обучающей выборкой. | Простота реализации, не требует модификации основной модели. | Низкая эффективность против сложных атак, высокая чувствительность к естественному шуму. |
| Оценка уверенности модели | Использование вероятностей на выходе слоя softmax для выявления аномально низкой или высокой уверенности. | Низкая вычислительная сложность. | Легко обходится некоторыми видами атак, зависимость от архитектуры модели. |

| | | | |
|-------------------------|---|--|---|
| Feature-level анализ | Анализ и сравнение паттернов активации внутренних слоев нейросети. | Высокая точность, гибкость в настройке. | Требует доступа к внутренним параметрам модели, может быть вычислительно затратным. |
| Комбинированные подходы | Интеграция нескольких методов анализа (например, анализ входа и признаков). | Повышенная устойчивость к адаптивным атакам. | Высокая сложность реализации и большие вычислительные затраты. |

Проблемы и направления дальнейших исследований

Несмотря на активные исследования, проблема защиты моделей глубокого обучения далека от решения. Основные сложности заключаются в так называемой "гонке вооружений": на каждый новый метод защиты разрабатываются более совершенные атаки, способные его обойти.

Перспективными направлениями исследований являются:

Разработка универсальных и адаптивных методов защиты, способных противостоять широкому классу атак, включая ранее неизвестные.

Создание формализованных методик и фреймворков для тестирования и верификации устойчивости моделей [7].

Исследование интерпретируемости моделей, так как понимание того, на какие признаки опирается нейросеть, может помочь в выявлении ее уязвимостей.

Заключение

Атаки на модели глубокого обучения представляют серьезную угрозу для систем на базе искусственного интеллекта. Эффективная защита требует комплексного подхода, совмещающего повышение внутренней устойчивости моделей и внедрение внешних механизмов обнаружения. Перспективным направлением является интеграция таких систем безопасности в полный жизненный цикл моделей машинного обучения.

Библиографический список

1. Войнов Д. М., Ковалев В. А. Экспериментальная оценка состоятельных атак на глубокие нейронные сети при решении задач распознавания медицинских изображений // Информатика. – 2019. – Т. 16, № 3. – С. 14–22.

2. Котенко И.В., Саенко И.Б., Лаута О.В., Васильев Н.П., Садивников В.А. Атаки и методы защиты в системах машинного обучения: анализ современных исследований // Вопросы кибербезопасности. 2023. № 2 (54). С. 15-30.
3. Намиот Д. Е., Ильюшин Е. А., Чижов И. В. Схемы атак на модели машинного обучения // International Journal of Open Information Technologies. 2021. Т. 9. № 5. С. 45-51.
4. Тимочкина Т. В., Татарникова Т. М., Пойманова Е. Д. Применение нейронных сетей для обнаружения сетевых атак // Приборостроение. 2021. Т. 64, № 5. С. 357–363.
5. Goodfellow I.J., Shlens J., Szegedy C. Explaining and Harnessing Adversarial Examples // arXiv:1412.6572. 2015.
6. Biggio B., Roli F. Wild patterns: Ten years after the rise of adversarial machine learning // Pattern Recognition. 2018. Vol. 84. P. 289-301.
7. Carlini N., Wagner D. Towards Evaluating the Robustness of Neural Networks // IEEE Symposium on Security and Privacy (SP). 2017. P. 39-57.
8. Madry A., Makelov A., Schmidt L., Tsipras D., Vladu A. Towards Deep Learning Models Resistant to Adversarial Attacks // International Conference on Learning Representations (ICLR). 2018.
9. Papernot N., McDaniel P., Goodfellow I., Jha S., Berkay Celik Z., Swami A. Practical Black-Box Attacks against Machine Learning // Proceedings of the 2017 ACM on Asia Conference on Computer and Communications Security (ASIACCS). 2017. P. 506-519.
10. Xu W., Evans D., Qi Y. Feature Squeezing: Detecting Adversarial Examples in Deep Neural Networks // Network and Distributed System Security Symposium (NDSS). 2018.

© Попиль Р.А., 2025

Н.М. РОЖОК, Д.Н. БАКУНИН, М.Р. БИКТИМИРОВ

hsimpson649@gmail.com, bakunin2003@mail.ru, maratikavarec228@mail.ru

Науч. руковод. – канд. техн. наук, доцент В.В. САГИТОВА

Уфимский университет науки и технологий

AI КАК ИНСТРУМЕНТ ДЛЯ АТАК: ЭВОЛЮЦИЯ УГРОЗ В 2025 ГОДУ И МЕРЫ ПРОТИВОДЕЙСТВИЯ

Аннотация: в статье анализируется использование ИИ киберпреступниками для генерации фишинга, deepfake и полиморфного malware. На основе данных 2025 года выявлен рост AI-атак на 202%. Предложены меры противодействия: AI-детекция и регуляторные ограничения.

Ключевые слова: искусственный интеллект, offensive AI, кибератаки, генеративный ИИ, фишинг, deepfake, полиморфный malware, социальная инженерия, автоматизация угроз, zero-day, vishing, identity theft, AI detection, cybercrime-as-a-service, 2025.

Искусственный интеллект (ИИ) трансформировал кибербезопасность, став одновременно инструментом защиты и нападения. В 2025 году наблюдается экспоненциальный рост использования ИИ киберпреступниками: по данным Rapid7, 82,6% фишинговых кампаний применяют генеративные модели для создания персонализированного контента. Это снижает порог входа для злоумышленников и делает атаки более эффективными.

Цель исследования — систематизировать современные AI-driven атаки, оценить их эволюцию и предложить меры противодействия. Объектом выступают offensive AI-техники, предметом — их реализация в реальных киберинцидентах 2024–2025 гг.

Генеративный искусственный интеллект (GenAI), основанный на больших языковых моделях (LLM) и диффузионных архитектурах, стал ключевым инструментом киберпреступников в области социальной инженерии. Эти технологии позволяют автоматически генерировать высококачественный контент — от текстовых сообщений до аудио- и видеоматериалов, — который практически неотличим от человеческого. По оценкам исследователей, в 2025 году более 82 % фишинговых кампаний используют генеративные модели для создания персонализированных писем, имитирующих стиль конкретного руководителя или коллеги [2]. Это достигается за счёт анализа открытых данных (OSINT) и интеграции с базами утечек, что позволяет формировать контекстно-зависимые сценарии атак.

Особую опасность представляют голосовые и видеодипфейки (deepfake), которые превращают традиционный vishing в высокотехнологичное оружие.

Злоумышленники используют модели типа Wav2Lip, Tacotron и Stable Diffusion для синтеза речи и мимики, основываясь всего на нескольких секундах аудио-или видеозаписи жертвы. В одном из зафиксированных случаев в начале 2025 года мошенники сгенерировали голос генерального директора компании, используя 30-секундный фрагмент из корпоративного подкаста, и убедили финансового директора перевести \$35 млн на подконтрольный счёт [18]. Такие атаки обходят многофакторную аутентификацию (MFA) в 68 % случаев, поскольку жертва доверяет “живому” общению [6].

Ещё одним направлением является автоматизированная персонализация фишинга. Генеративные модели анализируют профили в социальных сетях, корпоративную переписку и даже стиль написания сотрудника, чтобы создавать письма с точным воспроизведением лексики, синтаксиса и даже орфографических привычек. Исследования показывают, что такие сообщения имеют коэффициент кликабельности на 202 % выше, чем традиционные шаблонные фишинговые письма [5]. Более того, ИИ способен генерировать цепочки взаимодействия: после первого контакта модель продолжает диалог в реальном времени, адаптируясь к ответам жертвы и усиливая давление.

Важным фактором роста эффективности является снижение стоимости и доступности инструментов. В 2025 году на теневых площадках появились сервисы *cybercrime-as-a-service*, предлагающие аренду генеративных моделей: создание голосового клона — от \$50 за час, видеодипфейка — от \$200 за минуту рендеринга [16][17]. Это демократизирует доступ к технологиям, ранее доступным только государственным акторам или крупным АPT-группам.

В России ситуация осложняется активным использованием GenAI в мошеннических схемах против бизнеса. По данным аналитики, к январю 2025 года каждая пятая компания столкнулась с дипфейк-атаками, причём 70 % из них были направлены на финансовые подразделения [19]. Это подтверждает переход от массового спама к целевым, высокодоходным операциям.

Таким образом, генеративный ИИ не просто автоматизирует социальную инженерию — он трансформирует её в адаптивный, масштабируемый и высококонверсионный процесс. Традиционные методы защиты, основанные на сигнатурном анализе или правилах, теряют эффективность, что требует перехода к проактивным системам детекции на основе ИИ и поведенческого анализа [8].

Искусственный интеллект радикально изменил подход к созданию вредоносного ПО (*malware*) и поиску уязвимостей, превратив их из ремесла в автоматизированный промышленный процесс. В 2025 году ИИ-малварь стала доминирующей угрозой: по оценкам, 87 % новых образцов способны обходить традиционные сигнатурные антивирусы благодаря полиморфизму и метаморфизму, генерируемым в реальном времени с помощью нейронных сетей [10][14].

Одним из ключевых направлений является автоматический поиск *zero-day* уязвимостей с использованием машинного обучения. Алгоритмы типа *reinforcement learning* (например, на базе Q-learning или Proximal Policy

Optimization) сканируют исходный код, бинарные файлы и сетевой трафик, выявляя логические ошибки, переполнения буфера и race conditions. В отличие от классического fuzzing, ИИ-ориентированный подход адаптирует тестовые входы на основе обратной связи от целевой системы, сокращая время обнаружения уязвимости с месяцев до часов. В 2025 году зафиксированы случаи, когда ИИ-фаззеры обнаруживали критические баги в популярных библиотеках (например, OpenSSL, libxml2) за 4–6 часов непрерывной работы [9][11].

Полиморфный и метаморфный malware на основе генеративно-состязательных сетей (GAN) представляет следующую ступень эволюции. Классический полиморфизм изменяет только обфускацию кода, сохраняя функциональность. ИИ-малварь же способна перестраивать собственную логику: менять последовательность операций, заменять системные вызовы, перекомпилировать себя под целевую архитектуру. Пример — вредонос NeoPolymorph, представленный в начале 2025 года: используя двухкомпонентную GAN-архитектуру (генератор + дискриминатор), он создаёт до 10 000 уникальных, но функционально идентичных вариантов за один час. Каждый вариант проходит проверку на детектируемость антивирусами в облачной песочнице, и только “чистые” версии отправляются на распространение [12] [13].

Особую опасность представляет адаптивность в runtime. Современная ИИ-малварь анализирует окружение (ОС, установленное ПО, поведенческие профили пользователей) и динамически модифицирует своё поведение. Например, при обнаружении виртуальной машины или отладчика она переходит в спящий режим или самоуничтожается. В корпоративных сетях такие образцы используют техники living-off-the-land (LotL), применяя легитимные системные утилиты (PowerShell, WMI, certutil), но с ИИ-оптимизированными payload’ами, которые не фиксируются EDR-системами [15].

Ещё одной инновацией стала ИИ-управляемая эскалация привилегий. Модели на основе графовых нейронных сетей (GNN) строят карту прав доступа в домене Active Directory, предсказывают наиболее вероятные пути компрометации (lateral movement) и генерируют эксплойты под конкретные конфигурации. В 2025 году в России зафиксировано 47 инцидентов, где ИИ-бот автоматически проходил от учётной записи рядового сотрудника до доменного администратора за 18–40 минут [22].

Сравнительный анализ показывает кардинальное превосходство ИИ-малвари над традиционной:

- Скорость мутации: от 1–2 вариантов в сутки до 1000+ в час [13]
- Уровень обнаружения антивирусами: с 60 % до 13 % [14]
- Время от разработки до атаки: с недель до нескольких часов [15]
- Требуемые навыки злоумышленника: от эксперта до пользователя с базовыми знаниями

Критическим фактором стало появление malware-as-a-service платформ с ИИ-интеграцией. На теневом рынке предлагаются готовые конструкторы: пользователь загружает цель (например, “обход Kaspersky + Windows Defender”), указывает функционал (ransomware, keylogger, C2), и ИИ генерирует кастомный бинарник с гарантией необнаружения в течение 72 часов. Стоимость — от \$300 за базовый образец [10].

Всё это делает традиционные подходы к защите — сигнатурные базы, статический анализ — неэффективными. Необходим переход к поведенческому мониторингу с ИИ-детекцией, обученной на аномалиях runtime, а также к автоматической изоляции подозрительных процессов в zero-trust архитектурах [8].

Технологии deepfake — синтез аудио, видео и изображений с использованием генеративно-состязательных сетей (GAN), диффузионных моделей и трансформеров — в 2025 году окончательно вышли из разряда экспериментальных и стали массовым инструментом киберпреступности. Их ключевая особенность — гиперреалистичность: современные модели способны воспроизводить не только внешность и голос, но и микромимику, интонации, манеру речи, даже дыхание и паузы, что делает фальсификацию практически неотличимой от оригинала при визуальном и аудио-восприятии [7] [16].

Аудио-deepfake основан на моделях типа VALL-E X, AudioLM, YourTTS, которые синтезируют голос по 3–5 секундам образца с точностью до 98 % по метрике MOS. Видео-deepfake использует архитектуры Stable Video Diffusion, Sora, Pika 1.5, генерирующие видео в 4K с частотой 60 fps. Мультимодальные атаки комбинируют аудио, видео и текст в реальном времени, позволяя вести “живой” видеозвонок с подменой лица и голоса [18].

Модели атак включают имперсонацию руководства: срочный видеозвонок в Zoom/Teams с подменой лица и голоса директора. Кейс января 2025 года: атака на азиатский банк привела к переводу \$35 млн. В России к марту 2025 года 21 % крупных компаний зафиксировали попытки deepfake-имперсонации [19]. Финансовый и HR-фишинг использует поддельные видеointервью и голосовые звонки в банк. Шантаж включает создание компрометирующих видео и их распространение.

Рынок deepfake-as-a-service предлагает аренду голосового клона за 50–150 долларов в час, видеодипфейк — 200–800 долларов в минуту. Уязвимости — утечки из Zoom, Teams, соцсетей, shadow AI (67 % сотрудников используют несанкционированные ИИ-инструменты) [24].

Психологический эффект разрушает доверие: 78 % жертв не подозревают о подделке, 64 % игнорируют артефакты под стрессом. В России каждая пятая компания пострадала от deepfake к январю 2025 года [19]. Традиционные методы детекции не работают. Эффективны мультимодальные ИИ-детекторы: спектральный анализ, анализ микродвижений, поведенческий анализ [26].

Deepfake стал “убийцей MFA” и “троянским конём” социальной инженерии. Без протоколов верификации вне аудиовизуального канала и маркировки ИИ-контента защита останется иллюзорной [29].

Современные кибератаки с использованием ИИ редко ограничиваются одним вектором — они представляют собой многоэтапные, скоординированные кампании, где каждый этап усиливается искусственным интеллектом. Такие комбинированные (гибридные) атаки сочетают социальную инженерию, автоматизированный эксплойтинг, полиморфный malware и интеллектуальную эксфильтрацию данных, образуя замкнутый цикл, управляемый ИИ-оркестратором. В 2025 году более 70 % успешных инцидентов в корпоративных сетях имели многофазный характер с участием ИИ на всех стадиях [20].

Типичная схема комбинированной атаки:

1. Разведка (Reconnaissance) — ИИ анализирует открытые источники (OSINT) через LLM: сканирует LinkedIn, корпоративные сайты, утечки в даркнете. Модель формирует профиль жертвы: должность, связи, стиль общения, привычки. Генерируется целевая карта атаки [20].

2. Первичное проникновение (Initial Access) — AI-фишинг: письмо или звонок с deepfake-голосом руководителя. ИИ адаптирует контент в реальном времени, реагируя на ответы жертвы. Успешность — до 68 % [21].

3. Распространение (Lateral Movement) — после получения доступа запускается ИИ-малварь (например, NeoPolymorph), которая мутирует, обходит EDR и использует легитимные утилиты (PowerShell, WMI). ИИ строит граф сети, предсказывает пути к домен-контроллеру [22].

4. Эксфильтрация и шифрование — данные сжимаются и шифруются с ИИ-оптимизацией (выбор алгоритма под пропускную способность канала). Ransomware блокирует системы, требуя выкуп в криптовалюте. ИИ прогнозирует поведение жертвы: когда платить, сколько [23].

Критическую роль играет shadow AI — несанкционированное использование сотрудниками ИИ-инструментов (ChatGPT, Midjourney, локальные LLM) без контроля ИБ-службы. По данным 2025 года, 67 % организаций имеют хотя бы один случай shadow AI [24]. Это создаёт “слепые зоны”:

- Утечки через публичные API (ввод конфиденциальных данных в ИИ)
- Загрузка корпоративных файлов в облачные модели
- Локальное обучение ИИ на чувствительных данных

Пример: сотрудник использует локальный LLaMA для анализа отчётов — модель сохраняет данные в кэше, который позже извлекается атакующими через уязвимость в контейнере. Shadow AI становится точкой входа для комбинированных атак, усиливая их скрытность и эффективность.

Противодействие offensive AI требует многоуровневого подхода: технического, организационного и регуляторного. Традиционные средства (антивирусы, фаерволы) неэффективны — необходим переход к ИИ-ориентированной защите и zero-trust архитектуре.

1. Технические меры (AI-based defense):

- Поведенческий анализ (UEBA + ML): системы типа Splunk UBA, Microsoft Sentinel используют машинное обучение для выявления аномалий в

действиях пользователей и процессов. Детектируют AI-фишинг по семантике, темпу ввода, контексту [25].

- Детекция deepfake:
- Спектральный анализ аудио (поиск артефактов в 3–5 кГц) [26]
- Анализ биометрии (микродвижения глаз, пульс через rPPG)
- Семантическая проверка (BERT-модели сравнивают логику диалога с профилем человека) [27]
- Защита от ИИ-малвари:
- Runtime-мониторинг с ИИ (CrowdStrike Falcon, SentinelOne)
- Автоматическая изоляция подозрительных процессов в контейнерах

2. Регуляторные и правовые меры:

- Запрет на публичный доступ к мощным open-weight моделям (>13B параметров) без лицензии и аудита — аналогично экспортному контролю [28].
- Обязательная маркировка ИИ-контента (водяные знаки, метаданные) — адаптация EU AI Act в РФ. Все генерируемые материалы должны содержать цифровую подпись [29].
- Международные стандарты: NIST AI RMF 2.0, ISO/IEC 27090 (кибербезопасность ИИ).

3. Организационные меры:

- Политика “AI Allowlist”: разрешён только утверждённый ИИ (корпоративные версии GPT, локальные модели). Все остальные — блокировка на уровне прокси и DLP [30].
- Обучение сотрудников:
- Распознавание deepfake (тренинги с примерами)
- Протоколы верификации: “никаких финансовых операций по звонку/видео”
- Использование одноразовых кодов через защищённые каналы (например, hardware-токены) [31]
- Red Team с ИИ: регулярные симуляции атак с использованием offensive AI для проверки защиты.

Комплексное внедрение этих мер позволяет сократить успешность AI-атак на 60–80 % (по данным Positive Technologies, 2025) [5]. Главное — ИИ должен бороться с ИИ: только адаптивные системы способны противостоять адаптивным угрозам.

Библиографический список

1. Петренко С. А. Искусственный интеллект в кибербезопасности: угрозы и возможности // Вестник Российской академии наук. — 2025. — Т. 95, № 2. — С. 145–156. DOI: 10.31857/S0869587325020123.
2. Иванов А. В., Смирнов Д. С. Генеративные модели в кибератаках: анализ фишинговых кампаний 2024–2025 гг. // Информационная безопасность. — 2025. — № 1. — С. 34–42.

3. Козлов В. Н. Offensive AI: эволюция угроз на основе ИИ // Сборник трудов XX Международной конференции «Информационная безопасность и защита информации». — М.: МГТУ им. Н. Э. Баумана, 2025. — С. 112–120.
4. Сидоров П. А. Генеративный ИИ и социальная инженерия: новые векторы атак // Кибербезопасность: вопросы теории и практики. — 2024. — № 4. — С. 78–89.
5. Positive Technologies. Актуальные киберугрозы: IV квартал 2024 — I квартал 2025. — М.: Positive Technologies, 2025. — 48 с. URL: <https://www.ptsecurity.com/ru-ru/research/analytics/>
6. Васильев И. И. Голосовые deepfake в vishing-атаках: анализ эффективности // Защита информации. Инсайд. — 2025. — № 2. — С. 22–29.
7. Морозов А. С. Видеодипфейки в корпоративной среде: кейс-стади // Информационные технологии и вычислительные системы. — 2025. — № 1. — С. 55–63.
8. Петренко С. А. Кибервойны 2.0: роль ИИ в автоматизации атак. — М.: Горячая линия – Телеком, 2025. — 320 с. ISBN 978-5-9912-0897-4.
9. Кузнецов Д. В. Машинное обучение в поиске zero-day уязвимостей // Программирование и компьютерные технологии. — 2024. — № 6. — С. 101–110.
10. Федоров А. Н. Полиморфный malware на основе GAN: архитектура и защита // Кибербезопасность. — 2025. — № 3. — С. 45–53.
11. Григорьев С. В. Адаптивные эксплойты с использованием ИИ // Сборник трудов конференции «Кибербезопасность 2025». — СПб.: СПбПУ, 2025. — С. 78–85.
12. Иванов А. В. NeoPolymorph: новый класс ИИ-малвари // Информационная безопасность. — 2025. — № 2. — С. 12–19.
13. Смирнов Д. С. Скорость мутации ИИ-малвари: экспериментальное исследование // Вестник МГТУ им. Н. Э. Баумана. — 2025. — № 1. — С. 67–74.
14. Козлов В. Н. Эффективность обхода антивирусов AI-малварью // Журнал «Информационная безопасность». — 2025. — № 4. — С. 33–40.
15. Петренко С. А. Кибервойны 2.0: роль ИИ в автоматизации атак. — М.: Горячая линия – Телеком, 2025. — С. 189–195.
16. Васильев И. И. Рынок deepfake-as-a-service: анализ цен и доступности // Кибербезопасность: вопросы теории и практики. — 2025. — № 2. — С. 44–51.
17. Морозов А. С. Стоимость видеодипфейков в 2025 году // Информационные технологии. — 2025. — № 1. — С. 88–94.
18. Григорьев С. В. Deepfake-атака на азиатский банк: разбор инцидента // Защита информации. Инсайд. — 2025. — № 3. — С. 15–22.
19. Иванов А. В. Дипфейк-атаки на российские компании: статистика 2025 // Информационная безопасность. — 2025. — № 1. — С. 23–30.
20. Кузнецов Д. В. OSINT с использованием LLM: новые возможности разведки // Программирование. — 2025. — № 2. — С. 55–62.

21. Сидоров П. А. AI-фишинг: автоматизация проникновения // Кибербезопасность. — 2025. — № 1. — С. 33–40.
22. Федоров А. Н. Распространение ИИ-малвари в корпоративных сетях // Вестник РАН. — 2025. — Т. 95, № 3. — С. 210–218.
23. Григорьев С. В. AI-оптимизация шифрования в ransomware // Сборник трудов «Кибербезопасность 2025». — СПб., 2025. — С. 90–97.
24. Петренко С. А. Shadow AI: скрытые риски в корпоративной среде // Кибервойны 2.0. — М.: Горячая линия – Телеком, 2025. — С. 234–240.
25. Иванов А. В. UEBA + ML: поведенческий анализ для детекции AI-атак // Информационная безопасность. — 2025. — № 3. — С. 45–52.
26. Васильев И. И. Спектральный анализ голоса для детекции deepfake // Защита информации. Инсайд. — 2025. — № 4. — С. 28–35.
27. Смирнов Д. С. BERT для семантического анализа фишинговых текстов // Информационные технологии. — 2025. — № 2. — С. 77–84.
28. Козлов В. Н. Регулирование open-weight LLM: международный опыт // Кибербезопасность. — 2025. — № 4. — С. 55–62.
29. Петренко С. А. EU AI Act и его адаптация в России // Кибервойны 2.0. — М.: Горячая линия – Телеком, 2025. — С. 300–315.
30. Иванов А. В. Политика AI Allowlist: рекомендации по внедрению // Аналитические статьи — 2025. — № 2. — С. 40–47.
31. Морозов А. С. Обучение сотрудников распознаванию deepfake // Защита информации. Инсайд. — 2025. — № 1. — С. 50–57.
32. Петренко С. А. Кибервойны 2.0: роль ИИ в автоматизации атак. — М.: Горячая линия – Телеком, 2025. — С. 310–320.
33. Козлов В. Н. Разрыв в кибербезопасности: атакующие vs защищающиеся // Вестник РАН. — 2025. — Т. 95, № 4. — С. 300–308.
34. Сидоров П. А. Метрики опасности ИИ-моделей: перспективы разработки // Кибербезопасность: вопросы теории и практики. — 2025. — № 3. — С. 66–73.

© Рожок Н.М., Бакунин Д.Н., Биктимиров М.Р., 2025

Р.Р. САБИТОВ, А.М. ЛУГМАНОВ, Е.А. ГОСТЕНОВ
rusya.sabitov.03@mail.ru, lugmanovartur@gmail.com, gosten55@mail.ru
Науч. руковод. – канд. техн. наук, доцент А.Ю. СЕНЦОВА

Уфимский университет науки и технологий

ПАТЧ-МЕНЕДЖМЕНТ: КЛЮЧ К УСТРАНЕНИЮ УЯЗВИМОСТЕЙ И ЗАЩИТЕ ЦИФРОВОЙ ИНФРАСТРУКТУРЫ

Аннотация: в данной статье особое внимание уделяется важности патч-менеджмента. В ходе исследования было рассмотрено понятие патч-менеджмента, его важность, этапы, а также был подготовлен стенд для наглядного примера патч-менеджмента.

Ключевые слова: Патч-менеджмент; OpenVas; уязвимость.

Введение

В условиях стремительно развивающегося киберпространства и роста числа целевых атак эффективное управление уязвимостями становится не только частью ИТ-стратегии, но и критически важным элементом кибербезопасности. Так, по статистике за первое полугодие 2025 года, наиболее распространенными методами успешных атак на организации стали: использование вредоносное программное обеспечение, которая составляет 63%, социальная инженерия - 50% и эксплуатация уязвимостей - 31%. За данный период утечки конфиденциальных данных наблюдались в результате 52% успешных атак на организации и в 74% успешных атак на частные организации [1]. Опираясь на данную статистику, предлагается один из методов противодействия угрозам – патч-менеджмент.

Что такое патч-менеджмент?

Патч-менеджмент – это процесс, который позволяет устанавливать обновления для устранения уязвимостей, а также повышения производительности систем и устройств. Однако главная задача в контексте информационной безопасности является закрытие «дыр», с помощью которых злоумышленник может проникнуть во внутреннюю сеть организации.

Почему патч-менеджмент важен?

1. Обеспечение безопасности

Разработчикам ПО необходимо регулярно выпускать патчи, чтобы организации могли устранять найденные уязвимости. Если патчи не будут установлены, злоумышленники могут воспользоваться этими уязвимостями для взлома систем, кражи данных, нарушения бизнес-процессов и т.д.

2. Поддержание стабильности и повышение надежности систем

Патчи обычно направлены на исправление ошибок и «багов» в работе систем, что позволяет предотвратить сбои, зависания, утечки.

3. Соответствие нормативным требованиям

Имеются законодательные стандарты такие, как ИСО/МЭК 27001, NIST SP 800-40, CIS Controls и др. Данные стандарты требуют регулярного обновления ПО. За их отсутствие могут быть предприняты различные санкции.

Основные этапы патч-менеджмента

- Инвентаризация активов. Необходимо знать, что обновлять.
- Мониторинг уязвимостей. Данную информацию можно получить с помощью сканеров уязвимостей.
- Оценка уязвимостей. Приоритет определяется по метрике CVSS.
- Поиск, тестирование и установка обновлений.

Подготовка стенда для демонстрации патч-менеджмента

Установка сканера Open Vas

В рамках данной работы была произведена установка сканера Open Vas от Greenbone. Был взят образ сканера, а также был настроен сетевой интерфейс (Рис.1).

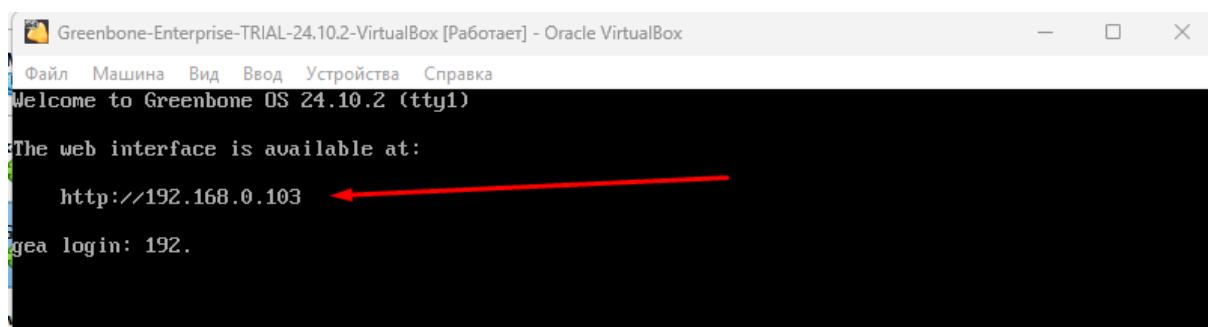


Рис. 1. Установка и настройка сетевого интерфейса.

Далее в качестве другой хостовой машины была использована ВМ с ОС Kali Linux для подключения к веб-интерфейсу данного сканера (Рис.2).

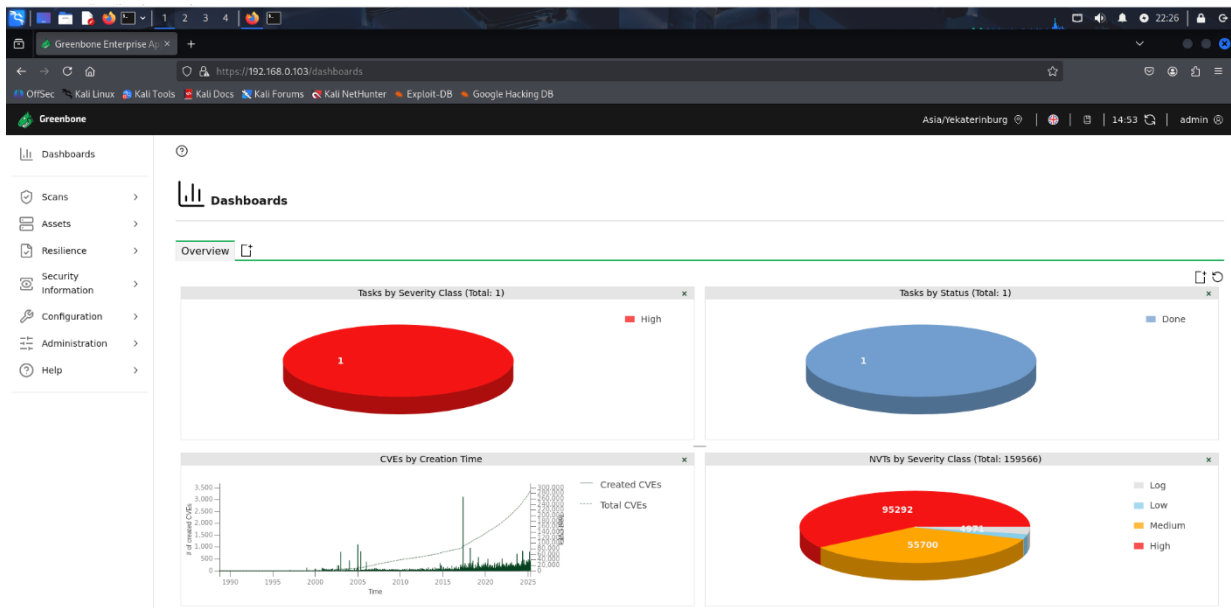


Рис. 2. Веб-интерфейс сканера OpenVas

В качестве цели для сканирования была выбрана ВМ с операционной системой Windows 7, также был настроен сетевой интерфейс (Рис.3).

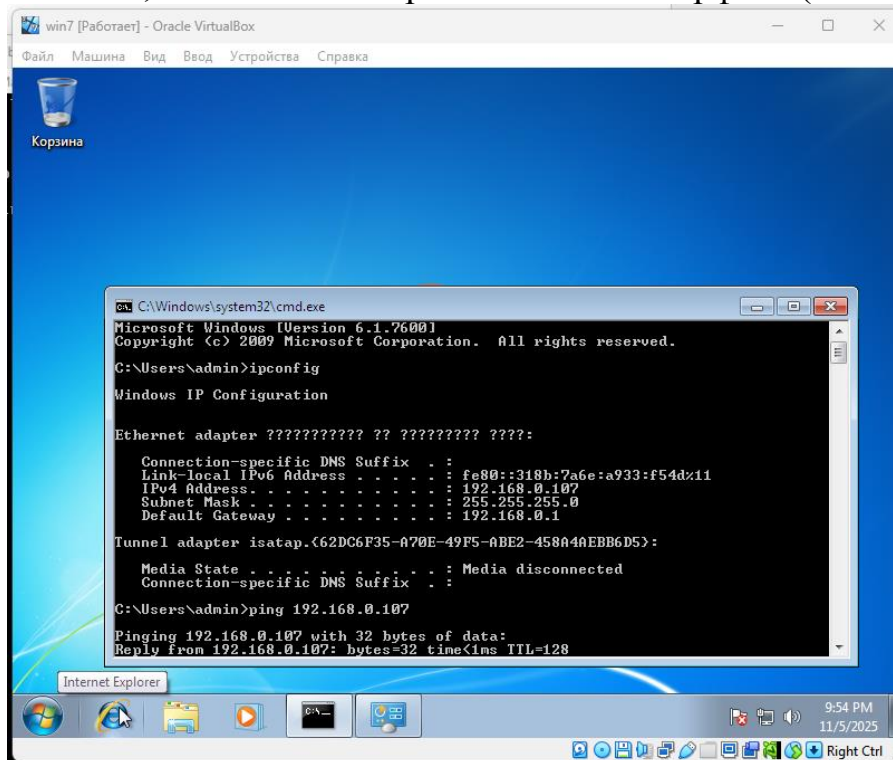


Рис. 3. Целевая машина

Проведение сканирования и патч менеджмента

Создание задачи на сканирование

При создании задачи ей было выбрано название, выбран профиль сканирования, а также введен IP-адрес целевой машины (Рис.4).

Advanced Task Wizard X

Quick start: Create a new task

This wizard can help you by creating a new scan task and automatically starting it.

All you need to do is enter a name for the new task and the IP address or host name of the target, and select a scan configuration.

You can choose, whether you want to run the scan immediately or just create the task so you can run it manually later.

In order to run an authenticated scan, you have to select SSH and/or SMB credentials, but you can also run an unauthenticated scan by not selecting any credentials.

For any other setting the defaults from "My Settings" will be applied.

Cancel
Create

Рис. 4. Настройки

Далее был произведен запуск сканирования, а также его результаты (Рис. 5).

| IP Address | Hostname | OS | Ports | Apps | Distance | Auth | Start | End | High | Medium | Low | Log | False Positive | Total | Severity |
|---------------|----------|----|-------|------|----------|------|--------------------------|--------------------------|------|--------|-----|-----|----------------|-------|-------------|
| 192.168.0.107 | | | 2 | 0 | | | Wed, Nov 5, 2025 7:23 PM | Wed, Nov 5, 2025 7:28 PM | 4 | 1 | 2 | 0 | 0 | 7 | 10.0 (High) |

Рис. 5. Результаты сканирования

Обнаруженные уязвимости

На сканируемой машине были обнаружены следующие уязвимости (Рис. 6):

| Vulnerability ↑↓ | Severity ↓ | QoD ↑↓ | Host IP ↑↓ | Name ↑↓ | Location ↑↓ | EPSS Score ↑↓ | Percentage ↑↓ | Created ↑↓ |
|--|-------------|--------|---------------|---------|-------------|---------------|---------------|--------------------------|
| SMB Brute Force Logins With Default Credentials | 10.0 (High) | 99 % | 192.168.0.107 | | 445/tcp | N/A | N/A | Wed, Nov 5, 2025 7:27 PM |
| Operating System (OS) End of Life (EOL) Detection | 10.0 (High) | 80 % | 192.168.0.107 | | general/tcp | N/A | N/A | Wed, Nov 5, 2025 7:25 PM |
| Microsoft Windows SMB Server NTLM Multiple Vulnerabilities (971468) | 10.0 (High) | 98 % | 192.168.0.107 | | 445/tcp | N/A | N/A | Wed, Nov 5, 2025 7:27 PM |
| Microsoft Windows SMB Server Multiple Vulnerabilities-Remote (4013389) | 8.8 (High) | 95 % | 192.168.0.107 | | 445/tcp | N/A | N/A | Wed, Nov 5, 2025 7:27 PM |

Рис. 6. Найденные уязвимости.

– SMB Brute Force Logins with Default Credentials. Возможность подбора паролей к SMB с использованием стандартных логинов/паролей.

– Operating System (OS) End of Life (EOL) Detection. ОС достигла конца поддержки — не получает патчей безопасности.

– Microsoft Windows SMB Server NTLM Multiple Vulnerabilities (CVE-2021-40444 / 971468). Уязвимости в SMB, связанные с NTLM — потенциал для удалённого выполнения кода или атак "relay".

– Microsoft Windows SMB Server Multiple Vulnerabilities-Remote (CVE-2020-0796 / 4013389). Удалённая эксплуатация без аутентификации (известна как "SMBGhost").

Поиск и устранение уязвимостей

Версия ОС позволяет устранить одну уязвимость Microsoft Windows SMB Server Multiple Vulnerabilities-Remote (CVE-2020-0796). К данной уязвимости был применен патч. (Рис.7)

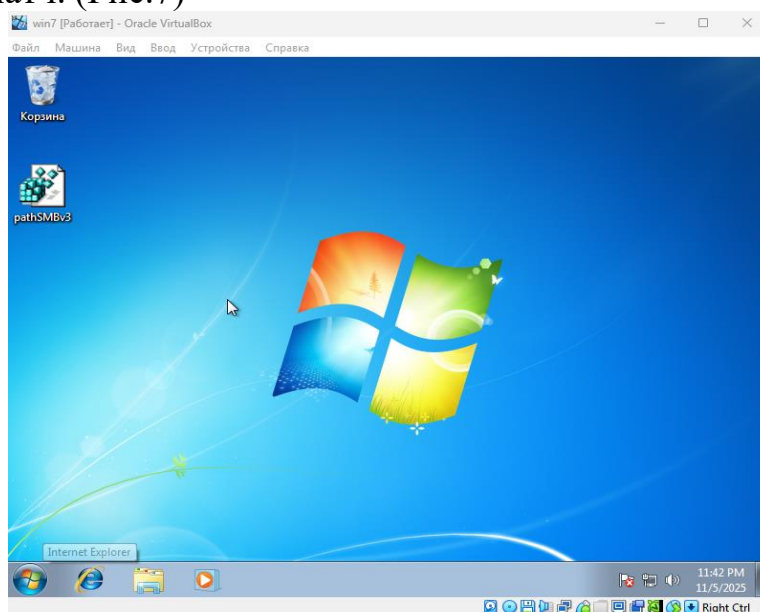


Рис. 7. Патч

После провели повторное сканирование, можно заметить, что данная уязвимость больше не отображается. (Рис. 8)

| Vulnerability | Severity | QoD | Host IP | Name | Location | EPSS Score | Percentage | Created |
|---|--------------|------|---------------|------|-------------|------------|------------|---------------------------|
| SMB Brute Force Logins With Default Credentials | 10.0 (High) | 99 % | 192.168.0.107 | | 445/tcp | N/A | N/A | Wed, Nov 5, 2025 11:54 PM |
| Operating System (OS) End of Life (EOL) Detection | 10.0 (High) | 80 % | 192.168.0.107 | | general/tcp | N/A | N/A | Wed, Nov 5, 2025 11:52 PM |
| Microsoft Windows SMB Server NTLM Multiple Vulnerabilities (971468) | 10.0 (High) | 98 % | 192.168.0.107 | | 445/tcp | N/A | N/A | Wed, Nov 5, 2025 11:55 PM |
| DCE/RPC and MSRPC Services Enumeration Reporting | 5.0 (Medium) | 80 % | 192.168.0.107 | | 135/tcp | N/A | N/A | Wed, Nov 5, 2025 11:52 PM |
| TCP Timestamps Information Disclosure | 2.6 (Low) | 80 % | 192.168.0.107 | | general/tcp | N/A | N/A | Wed, Nov 5, 2025 11:52 PM |

Рис. 8. Результат устранения уязвимости

Вывод

В заключении можно утверждать, что патч-менеджмент необходим. Однако с развитием систем возникают случаи, когда «бреши» нельзя закрыть патчем, поскольку патчей для этих уязвимостей может и не быть. Для такого типа уязвимостей рекомендуется использовать иные средства защиты.

Библиографический список

1. Статья “CODE RED 2026: Актуальные киберугрозы для российских организаций” [Электронный ресурс]. – Режим доступа: <https://ptsecurity.com/research/analytics/russia-cyberthreat-landscape-2026/#id1>
2. Статья “Использование сканера уязвимостей OpenVAS” [Электронный ресурс]. – Режим доступа: <https://habr.com/ru/articles/203766/>
3. Статья “Patch Management. Тестирование ежемесячных обновлений ПО
- 4.” [Электронный ресурс]. – Режим доступа: https://habr.com/ru/companies/icl_group/articles/251575/
5. Статья “Что такое управление исправлениями?” [Электронный ресурс]. – Режим доступа: <https://www.kaspersky.com/resource-center/definitions/patch-management>

© Сабитов Р.Р., Лугманов А.М., Гостенов Е.А., 2025

УДК 004.056.5

И.М. ХАФИЗОВ

iskakhaf17@gmail.com

Науч. руковод. – канд. техн. наук, доцент А.Ю. СЕНЦОВА

Уфимский университет науки и технологий

ЭВОЛЮЦИЯ РОЛИ NGFW: ОТ ПЕРИМЕТРА К КОМПОНЕНТУ ИНТЕГРИРОВАННОЙ ПЛАТФОРМЫ

Аннотация: рассматривается эволюция межсетевых экранов нового поколения (NGFW) от традиционной защиты сетевого периметра к интеграции в комплексные платформы кибербезопасности. Анализируются современные вызовы — шифрование трафика, целевые атаки, развитие гибридных и облачных инфраструктур. Подчеркивается, что NGFW перестают быть изолированным элементом защиты и становятся частью экосистем, включающих EDR, SIEM, NTA и Sandbox. Приводятся примеры решений российских производителей, таких как Positive Technologies и «Лаборатория Касперского».

Ключевые слова: информационная безопасность, сетевая безопасность, межсетевой экран, межсетевой экран нового поколения, NGFW, EDR, SIEM, киберугрозы, PT NGFW, Kaspersky NGFW, интеграция систем безопасности.

Введение

В условиях цифровой трансформации и массового перехода компаний в гибридные и облачные среды традиционные подходы к защите периметра теряют эффективность [1]. Ранее организациям в большинстве случаев достаточно было установить межсетевой экран и антивирус, чтобы минимизировать угрозы, исходящие извне. Сегодня границы корпоративных сетей фактически размыты: сотрудники работают удалённо, сервисы размещаются в публичных и частных облаках, а более 95% интернет-трафика передаётся в зашифрованном виде [2].

В этих условиях появление и развитие NGFW — Next Generation Firewall (межсетевых экранов нового поколения) — стало важным шагом в обеспечении сетевой безопасности. NGFW — устройства, сочетающие функции классических межсетевых экранов с глубоким анализом пакетов (DPI), системой предотвращения вторжений (IPS) и возможностью идентификации приложений.

От традиционного межсетевого экрана к NGFW.

Первые межсетевые экраны (МЭ) появились ещё в конце 1990-х годов, они хорошо обеспечивали защиту сети: базировались на простых фильтрах

пакетов, которые могли блокировать или разрешать трафик в зависимости от IP-адресов и портов. Этот подход был эффективным на ранних этапах, когда угрозы были предсказуемыми и несложными. Однако с распространением сложных веб-приложений и появлением угроз, маскирующихся под легитимный трафик, классические МЭ показали свою несостоятельность. Они не могли идентифицировать приложение внутри сетевого потока, анализировать его содержимое на предмет угроз или предотвращать атаки на уровне приложений [3].

NGFW, в отличие от классических МЭ, **осуществляет анализ трафика на уровне приложений** (на 7 уровне модели OSI), идентифицирует конкретные сервисы (например, Facebook, Zoom, Telegram), а также способен применять различные политики безопасности в зависимости от контекста.

Современные вызовы: шифрование, гибридность и новые типы атак.

В корпоративных сетях сегодня преобладает зашифрованный трафик, что создаёт «слепые зоны» для систем безопасности. Без SSL-инспекции злоумышленники могут скрывать вредоносную активность внутри легитимных HTTPS-сессий.

Кроме того, гибридные архитектуры с частично облачными ресурсами размывают периметр, и NGFW должны обеспечивать защиту не только на границе сети, но и внутри неё — включая микросегментацию и контроль облачного трафика.

Целевые атаки (APT) требуют от NGFW участия в обмене данными с другими средствами защиты — EDR, SIEM, Sandbox. Поэтому всё больше решений интегрируются в единую платформу безопасности, обеспечивая корреляцию событий и автоматизацию реагирования.

Интеграция NGFW в экосистему безопасности.

Современные NGFW уже давно перестали быть просто «фильтрами трафика». Они выполняют функции IPS, антивируса, VPN и системы контроля приложений. Однако их истинная ценность раскрывается при взаимодействии с другими компонентами платформы кибербезопасности.

Платформенный подход позволяет объединить NGFW, SIEM, NDR и EDR в единую архитектуру обмена данными. Такой сценарий реализуют концепции XDR и Zero Trust, где каждый элемент инфраструктуры проверяется независимо, а доверие никогда не предполагается по умолчанию.

Новый вектор развития — SASE (Secure Access Service Edge), в рамках которого NGFW становится сервисом в облаке, обеспечивающим безопасность на уровне доступа вместе с SWG, CASB и ZTNA [4].

Российские решения и практика внедрения.

Российская компания «Positive Technologies» предлагает свой продукт — PT NGFW, сочетающее функции межсетевого экрана, IPS и контроля приложений. Оно поддерживает интеграцию с PT XDR и PT SIEM для

выявления АРТ и автоматизации реагирования. Внедряется в промышленных и корпоративных сетях для мониторинга ОТ (Operational Technology) [5].

Компания «Лаборатория Касперского» тоже имеет свой продукт. Kaspersky Next Generation Firewall — обеспечивает анализ зашифрованного трафика, защиту от DDoS-атак (Distributed Denial of Service — распределённая атака типа «отказ в обслуживании»). Применяется для защиты гибридных инфраструктур от сложных угроз и имеет показатель обнаружения и предотвращения сетевых угроз с помощью IDPS достигает 95% [7].

Ограничения и уязвимости NGFW.

Чем шире функциональные возможности системы защиты, тем выше становится цена её отказа. В случае NGFW это особенно актуально. Современная тенденция к консолидации функций безопасности в NGFW, безусловно, повышает удобство управления и снижает эксплуатационные затраты, но одновременно усиливает зависимость инфраструктуры от одного устройства. В качестве доказательств данной гипотезы можно взять исследование некоммерческой организации, которая проводит независимые тесты и рейтинги кибербезопасных продуктов и услуг — CyberRatings. По данным их исследований за 2023 год в лабораторных тестах эффективность NGFW от разных вендоров (Check Point, Cisco, Fortinet и др.) варьируется от 19,5% до 99,94% в блокировке угроз. Хотя все устройства прошли тесты на стабильность без отказов, низкая эффективность в реальных сценариях (эксплойты, уклонения) подразумевает риски сбоев. Отчет не фиксирует реальные инциденты, но подчеркивает, что неправильная работа (например, пропуск трафика под нагрузкой) может привести к уязвимостям в крупных компаниях, особенно при использовании как единственного инструмента [7].

Кроме того, даже самые надежные системы имеют уязвимости, которые необходимо постоянно дорабатывать. Например, в [8] говорится об уязвимости, которая содержалась сразу в двух линейках UserGate NGFW, то есть эту уязвимость обнаружили далеко не сразу. Дефект безопасности, получивший 6,5 балла из 10 по шкале CVSS 3.1, возник из-за недостаточной фильтрации данных на служебной странице блокировки, на которую перенаправляются пользователи после отказа в доступе к тому или иному URL-адресу. В совокупности с другими уязвимостями брешь потенциально открывала злоумышленнику доступ к персональным данным сотрудников и информации, содержащей коммерческую тайну компании.

Таким образом, можно сделать вывод, что МЭ нового поколения, безусловно, является сильным по функционалу компонентом для защиты корпоративной сети, однако есть ключевая особенность, состоящая в том, что при отказе такого многокомпонентного устройства, огромная часть сети становится в опасности. А также не стоит забывать, что нет идеального устройства, которое бы решило все проблемы, связанные с информационной безопасностью на предприятии. Несмотря на привлекательность идеи «всё в одном устройстве», с точки зрения надёжности и устойчивости к отказам

многослойная архитектура защиты остаётся предпочтительной. NGFW должен рассматриваться как центральный узел, интегрированный в экосистему безопасности, но не как её единственный элемент.

Развитие МЭ нового поколения.

NGFW эволюционируют от простых средств блокировки известных угроз к интеллектуальным системам, способным предугадывать угрозы и действовать на опережение. Ключевым вектором развития становится интеграция машинного обучения (ML) и искусственного интеллекта (AI). ML и AI позволяют NGFW выявлять аномалии в сетевом трафике в реальном времени, строить сложные поведенческие модели, автоматически инициировать защитные меры. Искусственный интеллект (ИИ) также помогает в создании политик безопасности и автоматизирует рутинные процессы администрирования, улучшая взаимодействие пользователя с NGFW-решением и повышая эффективность защиты. Такой подход меняет парадигму ответа на киберугрозы, делая NGFW инструментом проактивной безопасности [9].

В целом, это хорошая концепция, которая может значительно снизить зависимость от сигнатурного анализа при обнаружении угроз. Однако остаются определенные недостатки, связанные с самими моделями ИИ. На сегодняшний день никто не может точно объяснить, как функционируют большие модели искусственного интеллекта и что именно происходит «под капотом», когда они генерируют свои ответы. Ошибки могут привести к блокировке легитимного трафика или, наоборот, пропуску атаки.

Заключение

Эволюция NGFW отражает общий тренд перехода от изолированных инструментов защиты к комплексным, взаимосвязанным платформам кибербезопасности. Современные NGFW выполняют роль интеллектуальных узлов, способных анализировать контент, взаимодействовать с другими и обеспечивать автоматизированное реагирование на инциденты.

В условиях стремительного роста зашифрованного трафика, распространения гибридных инфраструктур и усложнения кибератак NGFW становятся не просто фильтрами, а ключевыми элементами архитектуры «Zero Trust» и концепции SASE. Они обеспечивают не только контроль доступа, но и адаптивную защиту, основанную на контексте и поведенческом анализе.

В то же время консолидация функций в одном устройстве повышает риск отказа и требует особого внимания к устойчивости, обновлению и корректной настройке NGFW. Практика показывает, что даже самые продвинутые решения уязвимы и нуждаются в постоянном совершенствовании. Оптимальной стратегией остаётся построение многоуровневой системы защиты, где NGFW — центральный, но не единственный компонент.

Дальнейшее развитие NGFW будет связано с более глубокой интеграцией технологий машинного обучения и искусственного интеллекта, что позволит повысить точность детектирования угроз и сократить время реакции. Однако

эти технологии требуют прозрачности и надёжности, чтобы избежать ошибок и ложных срабатываний.

Таким образом, NGFW нового поколения представляют собой не конечную точку эволюции, а динамично развивающееся направление, формирующее основу интеллектуальных платформ безопасности будущего. Их роль смещается от защиты периметра — к обеспечению целостности, адаптивности и непрерывности киберзащиты во всей цифровой экосистеме организации.

Библиографический список

1. IT-world. Обзор российских решений для комплексной защиты бизнеса от киберугроз [Электронный ресурс] URL: <https://www.it-world.ru/security/s0egds5egr4c0g4o800k8coow48cgsw.html>

2. Network Computing. Encrypted Traffic: The Elephant in the Room for a Successful NDR Strategy [Электронный ресурс] URL: <https://www.networkcomputing.com/network-security/encrypted-traffic-the-elephant-in-the-room-for-a-successful-ndr-strategy>

3. TS Solution. Эволюция NGFW: как межсетевые экраны нового поколения стали неотъемлемой частью информационной безопасности [Электронный ресурс] URL: <https://tssolution.ru/evolyuciya-ngfw>

4. Fortinet. What Is SSE. And SSE vs SASE? [Электронный ресурс] URL: <https://www.fortinet.com/de/resources/cyberglossary/security-service-edge-sse>

5. Positive Technologies. Positive Technologies представила PT NGFW для защиты бизнеса от кибератак [Электронный ресурс] URL: <https://ptsecurity.com/about/news/positive-technologies-predstavila-pt-ngfw-dlya-zashhity-biznesa-ot-kiberatak/>

6. Kaspersky. Kaspersky NGFW [Электронный ресурс] URL: <https://www.kaspersky.ru/enterprise-security/ngfw>

7. CyberRatings. CyberRatings Enterprise Firewall Comparative Report April 2023 [Электронный ресурс] URL: chrome-extension://efaidnbmninnibpcjpcglclefindmkaj/https://www.exclusive-networks.com/nl/wp-content/uploads/sites/21/2023/05/CyberRatings_Enterprise-Firewall_Comparative-Report_April2023.pdf

8. Positive Technologies. Эксперт Positive Technologies помог устранить уязвимость в межсетевом экране UserGate NGFW [Электронный ресурс] URL: <https://ptsecurity.com/about/news/a-pt-expert-helped-fix-a-vulnerability-in-the-usergate-ngfw-firewall/>

9. Comnews. Как развиваются NGFW в России и мире в 2025 году [Электронный ресурс] URL: <https://www.comnews.ru/content/241394/2025-09-25/2025-w39/1013/kak-razvivayutsya-ngfw-rossii-i-mire-2025-godu>

© Хафизов И.М., 2025

ОБЛАЧНАЯ БЕЗОПАСНОСТЬ

Аннотация: В статье рассматриваются основные аспекты облачной безопасности, ключевые компоненты, риски и современные подходы к защите данных в облачных средах. Особое внимание уделено архитектуре Zero Trust, её этапам внедрения и роли искусственного интеллекта в повышении уровня безопасности. Авторы подчеркивают важность управления доступом, мониторинга угроз, обеспечения соответствия нормативным требованиям и использования передовых технологий для минимизации рисков в облачных инфраструктурах.

Ключевые слова: облачная безопасность, кибербезопасность, Zero Trust, искусственный интеллект, управление доступом, шифрование данных, мониторинг угроз, соответствие требованиям, CASB, теньевые ИТ.

ЧТО ТАКОЕ ОБЛАЧНАЯ БЕЗОПАСНОСТЬ?

Облако сегодня представлено как решение, предлагающее гибкость, оперативность и масштабируемость по разумной цене. Однако эта цифровая трансформация должна решать задачи кибербезопасности: защищать конфиденциальные данные, управлять идентификацией, обеспечивать соответствие нормативным требованиям и повышать устойчивость к постоянно меняющимся угрозам. Как услуга, облако должно обеспечивать максимально возможный уровень безопасности, что требует строгого аудита, контроля инфраструктуры и внедрения интеллектуальных решений, в частности, использующих искусственный интеллект.

Облачная безопасность охватывает технологии, стратегии, процедуры и средства контроля, защищающие данные, приложения и инфраструктуру, размещенные в облачных вычислительных средах. Ее цель — повысить конфиденциальность, целостность и доступность облачных ресурсов, предотвращая несанкционированный доступ, утечки данных и другие киберугрозы. Она основана на безопасной разработке бэкэнда, тщательной настройке облачных сервисов и защите оборудования и сетей конечных пользователей. Эффективная стратегия облачной безопасности имеет основополагающее значение для обеспечения целостности, доступности и конфиденциальности информации, размещенной в Интернете. Это включает в себя не только обеспечение безопасности в облачных инфраструктурах, но и безопасность передаваемых данных.

Ключевые аспекты облачной безопасности включают в себя:

– Контроль доступа, который отслеживает и контролирует доступ к облачным системам и сервисам.

– Безопасность данных в облаке: относится к методам шифрования данных и управления ключами.

– Обнаружение угроз и реагирование на них, которое непрерывно сканирует облачные ресурсы на предмет подозрительной или вредоносной активности и проактивно защищает их от кибератак в режиме реального времени.

– Соответствие нормативным требованиям: соблюдение нормативных требований, таких как GDPR, HIPAA и ISO 27001.

– Безопасные среды разработки: интеграция инструментов для защиты программ и приложений в облаке.

– Контроль и управление состоянием облака: инструменты, обеспечивающие непрерывный контроль облачной инфраструктуры для проактивного выявления рисков безопасности.

– Облачное обнаружение и реагирование (CDR)

– Управление правами доступа в облачной инфраструктуре (SIEM) для управления правами доступа и разрешениями

– Брокеры безопасности доступа в облако (CASB): механизмы мониторинга и контроля доступа, а также обеспечения соблюдения корпоративных политик безопасности для облачных сервисов

РИСКИ

• **Неадекватная облачная архитектура**, возникающая из-за неверных настроек или ошибок, таких как чрезмерно строгие правила брандмауэра, слабое шифрование или уязвимость контейнеров S3

Контейнер S3 (Simple Storage Service) — это единица облачного хранилища, предлагаемая AWS. Он часто используется для хранения файлов, баз данных и любых других объектов.

По умолчанию контейнеры S3 являются закрытыми, но ошибки в их настройке могут сделать их общедоступными. В большинстве случаев это происходит из-за неправильной настройки политик контейнеров или списков контроля доступа (ACL).

• **Неадекватное управление идентификацией и доступом (IAM)**: этот сервис управляет доступом пользователей к определенным ресурсам. Он предоставляет инструменты для управления разрешениями для пользователей, групп, ролей и приложений с помощью политик. Следовательно, чрезмерно широкие и ненужные разрешения могут быть опасны. Отсутствие многофакторной аутентификации (MFA) также создает уязвимость.

• **Потеря данных**

• **Недостаточная прозрачность и потеря контроля**, например, использование неподходящих инструментов мониторинга

• **Атаки нулевого дня**

- **Теневые ИТ:** Теневые ИТ-решения относятся к инструментам и процессам, используемым сотрудниками, которые официально не авторизованы организацией. Эти рабочие процессы могут обходить традиционные протоколы безопасности, приводить к нарушениям политики соответствия и утечкам данных.

- **Кража учетных записей и незащищенные API**

Открытые API стали основной целью злоумышленников, поскольку играют ключевую роль в обмене данными между приложениями и сервисами.

Недостаточная безопасность API может иметь серьезные последствия, включая утечку конфиденциальных данных и компрометацию системы.

ТИПЫ ОБЛАЧНОЙ БЕЗОПАСНОСТИ

Облачная безопасность обеспечивается различными технологиями и инструментами:

- Управление информацией и событиями безопасности (SIEM)
- Инструменты управления удостоверениями и доступом (IAM)
- Инструменты предотвращения потери данных (DLP)
- Платформа защиты облачных приложений (CNAPP)

АРХИТЕКТУРА ZERO TRUST В ОБЛАКЕ

Этот подход обеспечивает строгий контроль доступа путем проверки каждого сотрудника и устройства и ограничения неявного доверия как внутри сети, так и за ее пределами. Успешное развертывание модели Zero Trust в облачных средах требует интеграции различных инструментов и технологий безопасности, включая:

- Управление идентификацией и доступом (IAM): управление и обеспечение аутентификации и авторизации пользователей.
- Микросегментация сети: разделение ресурсов для ограничения несанкционированного доступа и перемещения внутри сети.
- Решения для защиты конечных точек: защита конечных точек, таких как пользовательские устройства, от потенциальных угроз.
- Точки применения политик (PEP): точки, в которых применяются решения о доступе.
- Инструменты автоматизации и оркестровки: упрощение реагирования на инциденты безопасности в режиме реального времени и оптимизация применения политик в среде.

ШАГИ К ВНЕДРЕНИЮ МОДЕЛИ ZERO TRUST

Внедрение модели Zero Trust включает несколько этапов:

- Инвентаризация и классификация активов: идентификация и классификация всех данных, приложений и сервисов в зависимости от их конфиденциальности.

- Аутентификация пользователей и устройств: усиление управления идентификацией с помощью таких инструментов, как многофакторная аутентификация (MFA), единый вход (SSO) и контекстные политики доступа.

- Сегментация сети: сегментация сетей и применение строгого контроля доступа к каждому сегменту.

- Разработка политик безопасности: определение политик на основе принципа наименьших привилегий и их применение с помощью точек применения политик (PEP).

- Непрерывный мониторинг: использование инструментов SIEM и систем UEBA для обнаружения аномальной активности и запуска оповещений.

- Регулярное обновление политик и средств контроля доступа: регулярное обновление политик для адаптации к меняющимся угрозам и обеспечения соответствия нормативным требованиям.

ИСКУССТВЕННЫЙ ИНТЕЛЛЕКТ КАК ИНСТРУМЕНТ БЕЗОПАСНОСТИ В ОБЛАКЕ

- Улучшенная синхронизация безопасности

Динамическое взаимодействие облачного искусственного интеллекта меняет ландшафт кибербезопасности. Технологии искусственного интеллекта, включая передовые алгоритмы машинного обучения, повышают безопасность облачных вычислений, активно выявляя и нейтрализуя потенциальные угрозы. Системы безопасности на базе искусственного интеллекта систематически анализируют закономерности данных и поведение пользователей, выявляя аномальную активность для защиты конфиденциальной информации и предотвращения кибератак.

- Улучшенное управление данными

Инструменты искусственного интеллекта в облаке улучшают управление данными, эффективно распознавая, обрабатывая, классифицируя и управляя огромными объемами данных. В современных облачных вычислительных средах инструменты искусственного интеллекта используются для поддержки различных аспектов жизненного цикла обработки данных. Например, даже самому небольшому финансовому учреждению может потребоваться ежедневно анализировать тысячи транзакций.

Библиографический список

1. Vaadata. Уязвимости и лучшие практики облачной безопасности [Электронный ресурс]. – URL: <https://www.vaadata.com/blog/fr/securite-du-cloud-vulnerabilites-courantes-et-bonnes-pratiques/#gestion-inadequate-des-identites-et-des-acces>

2. Google Cloud. Что такое облачная безопасность? [Электронный ресурс]. – URL: <https://cloud.google.com/learn/what-is-cloud-security?hl=fr>

3. Trend Micro. Что такое облачная безопасность? [Электронный ресурс]. – URL: https://www.trendmicro.com/fr_fr/what-is/cloud-security.html

4. World Journal of Advanced Research and Reviews (WJARR). Научная статья по облачной безопасности [Электронный ресурс]. – URL: <https://wjarr.com/sites/default/files/WJARR-2024-3500.pdf>

5. Zuci Systems. Роль искусственного интеллекта в облачных вычислениях [Электронный ресурс]. – URL: <https://www.zucisystems.com/be/blog/intelligence-artificielle-dans-le-cloud-computing/>

© Хоффер К.Г., Эльгазали А.А., 2025

К.С. ЧЕРТОВА

christina.chertova@yandex.ru

М.Д. КУЗНЕЦОВ

makar.kuznecov@list.ru

Науч. руковод. – канд. техн. наук, доцент А.Ю. СЕНЦОВА

Уфимский университет науки и технологий

ОБЕСПЕЧЕНИЕ БЕЗОПАСНОСТИ УДАЛЕННОГО ДОСТУПА С ИСПОЛЬЗОВАНИЕМ СКЗИ

Аннотация: в статье рассматриваются вопросы обеспечения безопасности удалённого доступа к корпоративным информационным системам. Приведён анализ основных угроз, возникающих при организации дистанционного подключения сотрудников. Особое внимание уделено нормативным применению сертифицированных средств криптографической защиты информации (СКЗИ) при построении защищённых каналов связи.

Ключевые слова: удалённый доступ; информационная безопасность; СКЗИ; VPN; криптографическая защита; ФСТЭК; ФСБ;

Массовый переход компаний на гибридный и удалённый формат работы привёл к существенному росту числа подключений к корпоративным ресурсам из внешних сетей. Сотрудники взаимодействуют с информационными системами через интернет, что повышает вероятность компрометации данных и усиливает требования к защите каналов связи.

Удалённый доступ неизбежно становится точкой повышенного риска: злоумышленники активно используют фишинговые атаки, эксплуатацию уязвимостей VPN-шлюзов, методы перехвата трафика и подмены сетевых пакетов, стремясь получить несанкционированный доступ к внутренним ресурсам компании.

Для минимизации таких рисков требуется применение защищённых каналов связи, которые реализуются посредством таких механизмов, как криптографическая защита информации и многофакторная аутентификация, а также использование решений, обеспечивающих контроль и управление доступом к корпоративным ресурсам. Несмотря на наличие нормативных требований и методических рекомендаций ФСТЭК и ФСБ России, недостаточно защищённый удалённый доступ остаётся одной из основных точек уязвимости корпоративных сетей.

Выбор конкретного сценария удалённого доступа определяет характерные для него ключевые угрозы [1, 2]. Их детальный анализ представлен в Таблице 1.

Классификация угроз безопасности по сценариям удалённого доступа

| Сценарий доступа | Характеристика сценария | Ключевые угрозы | Возможные последствия |
|----------------------------------|---|---|--|
| Доступ к средствам коммуникации. | Ограниченный доступ к корпоративной электронной почте, мессенджерам и IP-телефонии. | <ul style="list-style-type: none"> – Компрометация учетных данных пользователей почтовых и коммуникационных систем. – Целевые фишинг-атаки и компрометация через вредоносные вложения и ссылки. – Утечка конфиденциальной информации через корпоративные каналы связи. | Нарушение конфиденциальности и переписки, раскрытие служебной информации, несанкционированные рассылки от имени организации. |
| Доступ к онлайн-сервисам. | Предоставление доступа к веб-приложениям (CRM, ERP, корпоративные порталы) через браузер. | <ul style="list-style-type: none"> – Уязвимости веб-приложений (XSS, CSRF). – Перехват сеанса работы. – Несанкционированный доступ к данным в рамках учетной записи. | Утечка данных, доступных в приложении, искажение или удаление критически важной информации, мошеннические операции. |
| Полный доступ к рабочему месту. | Полноценный удалённый доступ к рабочему месту в корпоративной сети. | <ul style="list-style-type: none"> – Компрометация учетных записей с привилегированным доступом. – Перехват и подмена сетевого трафика (MitM). – Эксплуатация уязвимостей в клиентском ПО и ОС удаленного устройства. – Внедрение и выполнение вредоносного ПО внутри сетевого периметра. | Полномасштабное нарушение конфиденциальности, целостности и доступности информационных систем, финансовый ущерб, репутационные потери. |

Анализ данных из Таблицы 1 показывает, что многие угрозы характерны для разных сценариев. При расширении функциональности сценария на первый план выходят угрозы, ведущие к полной компрометации сегментов корпоративной сети. Данное обстоятельство обосновывает необходимость применения комплексных мер защиты, ключевыми элементами которой являются криптография, многофакторная аутентификация и сертифицированные средства криптографической защиты информации (СКЗИ).

Обеспечение безопасности удалённого доступа изначально присутствовало в российском законодательстве о защите информации в государственных информационных системах (ГИС), на объектах критической информационной инфраструктуры (КИИ) и при обработке персональных данных. Эти нормы регулировали идентификацию и аутентификацию пользователей, регистрацию событий безопасности и использование мобильных устройств [3]. Однако ключевым ограничением являлось то, что данные меры были ориентированы на применение исключительно корпоративной (служебной) техники.

Существенным этапом стало вступление в силу Федерального закона от 8 декабря 2020 г. № 407-ФЗ «О внесении изменений в Трудовой кодекс Российской Федерации в части регулирования дистанционной (удаленной) работы». Закон официально разрешил дистанционную работу, что позволило ФСТЭК России сформулировать детальные технические требования к средствам безопасного удалённого доступа [4].

Обязанность по выполнению установленных мер защиты, включая применение сертифицированных средств, в полном объёме возложена на операторов ГИС, субъектов КИИ и операторов персональных данных. Для защиты государственных информационных ресурсов использование сертифицированных средств является обязательным требованием. В иных случаях организации вправе самостоятельно оценивать риски и принимать решение о выборе средств защиты, исходя из требований законодательства и собственной политики безопасности [5].

Для построения защищённых каналов удаленного доступа в современной корпоративной практике выделяют два подхода, основанные на протоколах IPsec и SSL/TLS. Различия в их архитектуре напрямую влияют на выбор решения для конкретной задачи.

IPsec (Internet Protocol Security) – это набор протоколов, обеспечивающих защиту данных на сетевом уровне модели OSI (Open System Interconnection). IPsec создаёт защищённый туннель между узлами сети, что делает его удобным решением для постоянных соединений между филиалами организации или при подключении сотрудников через корпоративные VPN-шлюзы. Данный подход требует предварительной настройки на уровне сетевого оборудования и часто применяется в инфраструктурах, где важна высокая производительность и централизованное управление ключами. В контексте российских реалий IPsec широко используется в сертифицированных СКЗИ, обеспечивающих

шифрование и аутентификацию в соответствии с требованиями ФСТЭК России [6].

SSL/TLS (Secure Sockets Layer/Transport Layer Security) обеспечивает защиту на транспортном уровне и используется преимущественно для создания VPN-соединений через стандартные веб-протоколы (например, HTTPS). Преимущество SSL/TLS-VPN состоит в простоте развёртывания: пользователю достаточно веб-браузера или лёгкого клиента, что делает этот вариант удобным для удалённой работы с веб-приложениями и сервисами. Такие VPN часто применяются в организациях, где требуется временный доступ к ограниченному набору корпоративных ресурсов, без полного туннелирования всего сетевого трафика [6].

На рис. 1 показано различие уровней функционирования протоколов IPsec и SSL/TLS.

| IPSec VPN | SSL(TLS) |
|-----------------------|-----------------------|
| Прикладной уровень | Прикладной уровень |
| Уровень представления | Уровень представления |
| Сеансовый уровень | Сеансовый уровень |
| Транспортный уровень | Транспортный уровень |
| Сетевой уровень | Сетевой уровень |
| Канальный уровень | Канальный уровень |
| Физический уровень | Физический уровень |

Рис. 10. Сравнение уровней функционирования протоколов в модели OSI

Оба рассмотренных подхода создают защищенное соединение между пользователем и корпоративной сетью. Однако их практическая реализация в Российской Федерации для работы с конфиденциальной информацией требует обязательного использования сертифицированных ФСБ России СКЗИ. Именно программные СКЗИ, встраиваясь в инфраструктуру удалённого доступа, обеспечивают применение российских алгоритмов шифрования ГОСТ, юридически значимую аутентификацию и создание доверенной среды в соответствии с требованиями регуляторов.

Для построения защищённого удалённого доступа ключевое значение имеет выбор конкретного программного СКЗИ, отвечающего задачам организации.

В таблице 2 представлены характеристики трёх программных средства, имеющие сертификат ФСБ России [7], ориентированных на построение защищённых VPN-соединений.

Таблица 11

Характеристики сертифицированных программных СКЗИ для удалённого доступа

| | | | |
|-----------------------|---|--|---|
| Критерии/СКЗИ | ViPNet Client 4U [8] | Континент АП/ZTN [9] | MagПро КриптоПакет v4.0 (OpenVPN-ГОСТ) [10] |
| Производитель | «ИнфоТеКС» | «Код Безопасности» | «Криптоком» |
| Назначение / сценарий | Защита рабочих мест и мобильных устройств; безопасный доступ к корпоративным ресурсам | Клиентское приложение для безопасного доступа удалённых ПК и смартфонов к корпоративной сети | Программный комплекс для надёжной криптографической защиты информации и организации VPN-каналов, удалённого доступа, филиалов |

Окончание табл. 2

| | | | |
|--|--------------------------------------|-------------------------------------|---|
| Критерии/СКЗИ | ViPNet Client 4U [8] | Континент АП/ZTN [9] | MagПро КриптоПакет v4.0 (OpenVPN-ГОСТ) [10] |
| Поддерживаемые ОС | Windows, Linux, iOS, Android, Aurora | Windows, macOS, Linux, Android, iOS | Windows, Linux |
| Занимаемый объем памяти жесткого диска | 200–400, МБ | 100–300, МБ | 150–350, МБ |
| Требования к оперативной памяти | 1–2, ГБ | 1–2, ГБ | 1–2, ГБ |

Применение перечисленных средств позволяет организациям выполнять требования регуляторов в области защиты информации, обеспечивая надёжное шифрование данных при передаче через открытые каналы связи и высокий уровень доверия к инфраструктуре удалённого доступа.

Библиографический список

1. Как организовать безопасный удалённый доступ [Электронный ресурс] // Антималвар.ру. – URL: <https://www.anti-malware.ru/practice/methods/How-to-organize-secure-remote-access> (дата обращения: 06.11.2025)
2. Информационная безопасность и удалённый доступ [Электронный ресурс] // Официальный сайт Министерства инноваций, цифрового развития и инфокоммуникационных технологий. – URL: <https://infobez.sakha.gov.ru/tpost/zhdnd09cz1-informatsionnaya-bezopasnost-i-udalennii> (дата обращения: 06.11.2025).
3. Об утверждении Требований о защите информации, не составляющей государственную тайну, содержащейся в государственных информационных системах [Электронный ресурс] // приказ ФСТЭК России от 11.02.2013 № 17 // Официальный сайт ФСТЭК России. – URL: <https://fstec.ru/dokumenty/vse-dokumenty/prikazy/prikaz-fstek-rossii-ot-11-fevralya-2013-g-n-17> (дата обращения: 07.11.2025).
4. Федеральный закон от 08.12.2020 № 407-ФЗ (ред. от 28.01.2021) «О внесении изменений в Трудовой кодекс Российской Федерации в части регулирования дистанционной (удаленной) работы» [Электронный ресурс] // ГАРАНТ.РУ. URL: <https://www.garant.ru/products/ipo/prime/doc/74915881/> (дата обращения: 07.11.2025)
5. Информационное сообщение ФСТЭК России от 20 марта 2020 г. № 240/84/389 «О применении средств защиты информации, не имеющих сертификатов соответствия требованиям по безопасности информации, в государственных информационных системах» [Электронный ресурс] // Официальный сайт ФСТЭК России. – URL: <https://fstec.ru/dokumenty/vse-dokumenty/informatsionnye-i-analiticheskie-materialy/informatsionnoe-soobshchenie-fstek-rossii-ot-20-marta-2020-g-n-240-84-389> (дата обращения: 07.11.2025)
6. Исследование механизмов защиты информации в системах удаленного доступа [Электронный ресурс] // Науковедение. 2023. №2. URL: <https://na-journal.ru/2-2023-informacionnye-tekhnologii/4440-issledovanie-mekhanizmov-zashchity-informacii-v-sistemah-udalennogo-dostupa> (дата обращения: 05.11.2025)
7. Сертификация средств криптографической защиты информации (СКЗИ) [Электронный ресурс] // Центр лицензирования, сертификации и защиты государственной тайны ФСБ России. – URL: <http://clsz.fsb.ru/clsz/certification.htm> (дата обращения: 08.11.2025).
8. ViPNet Client 4 [Электронный ресурс] // Официальный сайт АО «ИнфоТекс». – URL: <https://infotecs.ru/products/vipnet-client-4/> (дата обращения: 08.11.2025).
9. CryptoPro OpenVPN ГОСТ [Электронный ресурс] // Официальный сайт ООО «КриптоКом». – URL: <https://www.cryptocom.ru/products/openvpn.html> (дата обращения: 08.11.2025).

10. СКЗИ «Континент-АП» [Электронный ресурс] // Официальный сайт АО «СКБ «Сейф Код». – URL: <https://www.securitycode.ru/products/skzi-kontinent-ap/> (дата обращения: 08.11.2025).

© Чертова К.С., Кузнецов М.Д., 2025

ЧЕЛОВЕЧЕСКИЙ ФАКТОР В ИНФОРМАЦИОННОЙ БЕЗОПАСНОСТИ: ПРОБЛЕМА И ПУТИ РЕШЕНИЯ

Аннотация: в современном мире информационные технологии играют ключевую роль во всех сферах жизни, однако человеческий фактор остается самой уязвимой составляющей систем информационной безопасности. В данном докладе анализируются проявления человеческой ошибки и внутренние угрозы, связанные с поведением сотрудников, а также предлагается комплексный подход к минимизации рисков, включающий технологические меры, обучение и развитие корпоративной культуры безопасности. Подчеркивается необходимость системного и непрерывного внедрения мер, направленных на формирование у сотрудников осознанного и ответственного отношения к вопросам кибербезопасности, что способствует созданию устойчивых защитных механизмов против современных угроз.

Ключевые слова: кибербезопасность, человеческий фактор, информационная безопасность, социальная инженерия, ошибки сотрудников, внутренние угрозы, технологии защиты, обучение персонала, культура безопасности, профилактика киберинцидентов, информационная безопасность в организации.

Введение

В современном мире, где информационные технологии пронизывают все сферы жизни, обеспечение кибербезопасности становится критически важной задачей. Компании и государства ежегодно инвестируют огромные средства в создание многоуровневых систем защиты: межсетевые экраны, системы обнаружения вторжений, антивирусное ПО, криптографию. Однако самая совершенная технологическая защита оказывается уязвимой перед одним, самым непредсказуемым звеном — человеком.

Актуальность проблемы обусловлена тем, что, по данным многочисленных исследований (таких как отчеты Verizon DBIR), от 70% до 90% успешных кибератак так или иначе связаны с человеческим фактором. Таким образом, человек является не только главным защитником информационных систем, но и их главной уязвимостью. Цель данного доклада — проанализировать проблему человеческого фактора в информационной безопасности (ИБ) и предложить комплексный подход к ее решению.

1. Сущность и проявления проблемы человеческого фактора

Человеческий фактор в контексте ИБ — это совокупность действий (или бездействий) сотрудников, вызванных их психологическими, социальными и

физиологическими особенностями, которые приводят к нарушению политик безопасности и возникновению инцидентов.

Основные проявления проблемы можно разделить на несколько категорий:

- Ошибки по незнанию и невнимательности:

Фишинг и социальная инженерия: Самый распространенный вектор атак. Пользователь, не распознав мошенническое письмо или сайт, добровольно передает свои учетные данные или запускает вредоносную программу.

Неосторожное обращение с данными: Отправка конфиденциальной информации не тому адресату, потеря USB-накопителя или мобильного устройства.

Использование слабых паролей и их повторное использование.

- Нарушения по небрежности и удобству:

Игнорирование регламентов: Сотрудники могут отключать антивирусное ПО, если оно «мешает работать», или не устанавливать критические обновления безопасности, чтобы не прерывать текущие задачи.

Использование неавторизованных сервисов («теневое IT»): Загрузка файлов в личные облачные хранилища, использование непроверенных приложений для повышения продуктивности.

Нарушение политики чистых столов: Запись паролей на стикерах, оставление документов на столе.

- Внутренние угрозы (умышленные действия):

Действия недовольных сотрудников, планирующих увольнение или имеющих конфликт с руководством.

Сотрудники, подкупленные злоумышленниками.

Корень проблемы лежит в конфликте между безопасностью и удобством. Системы защиты часто создают дополнительные шаги и барьеры, которые пользователи, стремясь выполнить свою работу эффективно, пытаются обойти. Кроме того, отсутствие понимания почему нужны те или иные правила приводит к их формальному исполнению или игнорированию.

2. Комплексный подход к решению проблемы: от технологии к культуре

Борьба с человеческим фактором не может сводиться к одному инструменту. Это непрерывный процесс, включающий три ключевых компонента: Технология, Обучение и Культура.

2.1. Технологические меры (Как сделать ошибку невозможной или сложной)

Технологии должны не только защищать от внешних угроз, но и минимизировать последствия человеческих ошибок.

Принцип наименьших привилегий: Каждый пользователь должен иметь доступ только к тем ресурсам, которые необходимы для его прямых обязанностей.

Многофакторная аутентификация (MFA): даже если пароль будет скомпрометирован, злоумышленник не сможет получить доступ без второго фактора.

Автоматическое резервное копирование: позволяет быстро восстановить данные после инцидента, вызванного ошибкой или действиями ransomware.

Системы DLP (Data Loss Prevention): автоматически блокируют попытки несанкционированной передачи конфиденциальной информации за пределы организации.

Автоматическое обновление ПО: устраняет уязвимости, которые пользователь мог бы проигнорировать.

Сегментация сети: ограничивает распространение злоумышленника в случае компрометации одной учетной записи.

2. 2. Обучение и осведомленность (Как научить не совершать ошибки).

Обучение — это не разовое мероприятие, а постоянный процесс.

Регулярные и обязательные тренинги: Программа должна быть адаптирована под разные группы пользователей (рядовые сотрудники, бухгалтерия, IT-администраторы).

Практико-ориентированный подход: вместо скучных лекций — интерактивные курсы, симуляции фишинговых атак, квесты и тестирования. Сотрудник, «попавшийся» на учебной фишинг-рассылке, запомнит урок лучше, чем после прочтения инструкции.

Актуальность и лаконичность: Материалы должны быть краткими, наглядными и отражать текущие киберугрозы (например, как распознать новый тип мошенничества).

Позитивное подкрепление: не наказывать за ошибки, выявленные в ходе обучения, а поощрять самых бдительных сотрудников.

2.3. Формирование культуры кибербезопасности (Как сделать безопасность привычкой)

Это высшая и самая сложная цель, при которой безопасное поведение становится неотъемлемой частью корпоративной культуры.

Роль руководства: Безопасность должна поддерживаться и демонстрироваться «сверху». Если руководитель сам нарушает политики, то и сотрудники не будут их воспринимать серьезно.

Четкие и понятные политики: Правила ИБ должны быть изложены простым языком, а их необходимость — разъяснена. Сотрудник должен понимать, зачем нужно блокировать компьютер, уходя с рабочего места.

Открытость и доверие: Создание атмосферы, в которой сотрудник не побоится сообщить о подозрительном письме или о своей ошибке. Быстрое сообщение об инциденте позволяет минимизировать ущерб.

Интеграция в бизнес-процессы: Вопросы безопасности должны быть встроены в жизненный цикл любого проекта, а не добавляться постфактум.

Заключение

Проблема человеческого фактора в информационной безопасности является фундаментальной. Ее нельзя «запатчить» как уязвимость в программном обеспечении. Решение требует системного и непрерывного подхода.

Недостаточно просто установить новые системы защиты или один раз провести инструктаж. Необходима синергия технологий, непрерывного обучения и формирования культуры безопасности. Технологии минимизируют ущерб от ошибок, обучение повышает осведомленность, а культура превращает безопасное поведение в естественную привычку каждого сотрудника.

Только осознав, что человек — это не «слабое звено», а ключевой актив системы безопасности, организации смогут построить устойчивую защиту от современных киберугроз. Инвестиции в человеческий капитал в сфере ИБ окупаются многократно, предотвращая многомиллионные убытки и потерю репутации.

Библиографический список

1. Веркадм» Анализ инцидентов утечки данных: Отчет за 2024 год 2024 Data Breach Investigations Report [Электронный ресурс]. – Режим доступа: <https://www.verizon.com/business/resources/reports/dbir/> (дата обращения: 15.10.2024).
2. Гостев, И.М. Человеческий фактор в информационной безопасности: риски и управление [Текст] / И.М. Гостев, С.К. Петров // Информация и безопасность. – 2022. – Т. 25, № 3. – С. 45-52.
3. Митник, К.Д. Искусство обмана [Текст] / К.Д. Митник, В.Х. Саймон. – М.: ДМК Пресс, 2019. – 288 с.
4. Склярков, Д.В. Социальная инженерия и методы защиты от атак [Текст] / Д.В. Склярков // Защита информации. Ins&ide. – 2021. – № 4. – С. 78-85.
5. Тихонов, В.А. Формирование культуры информационной безопасности в организации [Текст]: монография / В.А. Тихонов. – СПб.: БХВ-Петербург, 2020. – 195 с.
6. Hadnagy, C. Social Engineering: The Science of Human Hacking [Текст] / C. Hadnagy. – 2nd ed. – Wiley, 2018. – 304 p.
7. NIST Special Publication 800-50. Building an Information Technology Security Awareness and Training Program [Электронный ресурс] / P. Bowen, J. Hash, M. Wilson. – 2003. – Режим доступа: <https://csrc.nist.gov/publications/detail/sp/800-50/final> (дата обращения: 15.10.2024).
8. ISO/IEC 27001:2022. Information security, cybersecurity and privacy protection — Information security management systems — Requirements [Текст]. – 2022.

© Утегенов Е.М., 2025

А.И. ЯГУДИН, Д.И. НУГУМАНОВ

artur.yagudin1337@bk.ru

Науч. руковод. – доктор ф-м. наук, проф. В.М. КАРТАК

Уфимский университет науки и технологий

МОДЕЛИ ОЦЕНКИ РИСКОВ КИБЕРБЕЗОПАСНОСТИ ДЛЯ КОРПОРАТИВНЫХ СЕТЕЙ.

Аннотация: в статье рассматриваются современные подходы и модели оценки рисков кибербезопасности в корпоративных сетях. Анализируются качественные количественные и смешанные методы а также динамические модели включая байесовские сети и графы атак. Описываются инструменты автоматизации оценки рисков такие как системы управления событиями безопасности платформы управления рисками и системы моделирования атак. Особое внимание уделяется организационным аспектам управления рисками и тенденциям развития включая применение искусственного интеллекта и концепцию полного отсутствия доверия. Статья подчеркивает важность комплексного подхода к оценке рисков для повышения устойчивости корпоративной инфраструктуры перед современными киберугрозами.

Введение.

Современные корпоративные сети представляют собой сложные распределенные инфраструктуры объединяющие рабочие станции серверы мобильные устройства облачные ресурсы и системы удаленного доступа. Рост количества используемых технологий приводит к увеличению уязвимостей и усложнению их контроля. В таких условиях необходимо применять системный подход к оценке рисков кибербезопасности который дает возможность выявлять угрозы определять их критичность и принимать обоснованные решения по внедрению защитных мер. Оценка рисков является основой обеспечения информационной безопасности так как позволяет определить какие угрозы требуют внимания а какие могут быть приняты или перенесены. Цель текста заключается в рассмотрении основных подходов к оценке рисков анализе их преимуществ особенностей и областей применения.

Понятие риска и его роль в кибербезопасности.

Риск в среде кибербезопасности понимается как возможность реализации угрозы умноженная на потенциальный ущерб для организации. Он показывает, насколько опасными могут оказаться события, связанные с утечкой модификацией нарушением доступности или уничтожением данных. К основным элементам риска относятся угрозы уязвимости активы и ущерб.

Оценка рисков предоставляет системное понимание защищенности корпоративной инфраструктуры и определяет приоритеты для улучшения безопасности.

Классические модели оценки рисков.

К традиционным подходам к оценке рисков относятся качественные количественные и комбинированные модели.

Качественные модели.

Качественные методы основываются на экспертных оценках вероятности угроз и тяжести последствий. Чаще всего применяются категориальные шкалы, например низкий средний высокий уровень риска. Преимущество заключается в простоте применения, а недостаток в высокой субъективности.

Количественные модели.

Количественные модели выражают риски в числовом виде, например в виде денежного ущерба. Они опираются на статистику происшествий вероятностные оценки и математическое моделирование. Главное преимущество точность, а недостаток в необходимости большого объема достоверных данных.

Смешанные модели.

Комбинированные подходы объединяют качества качественных и количественных методов обеспечивая баланс между точностью и доступностью данных. Они широко применяются в крупных организациях, где требуется как аналитическая глубина, так и оперативность.

Современные модели оценки рисков.

Современные подходы включают графовые математические и динамические модели, которые учитывают взаимосвязи угроз и изменения ситуации во времени.

Методика стандарта безопасности, которая предполагает структурированный анализ угроз уязвимостей, последствий и вероятностей. Она гибкая и может применяться в организациях разного масштаба.

Методика оценки угроз активов и уязвимостей. Этот подход делает акцент на внутренних процессах и организационной структуре. Он ориентирован на самооценку и независимость от внешних аудиторов.

Модель анализа факторов риска основана на количественном измерении рисков в денежном выражении. Она позволяет сравнивать угрозы и обосновывать инвестиции в безопасность.

Система оценки уязвимостей по общим критериям применяется для определения критичности программных уязвимостей на основе влияния на доступность целостность и конфиденциальность.

Динамические модели оценки рисков.

С развитием атак, которые быстро изменяются появляются методы позволяющие учитывать временные факторы и зависимость событий друг от друга.

Байесовские сети. Байесовские сети дают возможность анализировать вероятности событий с учетом их взаимосвязей. Преимущество таких моделей заключается в гибкости и возможности обновления при получении новых данных.

Графовые модели атак. Графы атак отображают потенциальные пути проникновения злоумышленника в систему. Они помогают определять наиболее слабые места и приоритизировать защитные меры.

Практическое применение моделей в корпоративных сетях. В организациях оценка рисков используется для выбора защитных средств анализа зрелости процессов планирования инвестиций и создания политики управления рисками. Наиболее эффективным считается подход сочетающий качественные количественные и динамические методы позволяя получить всестороннюю картину угроз.

Инструменты для оценки рисков. Современные корпоративные сети используют широкий набор решений автоматизирующих анализ рисков и угроз.

Системы управления событиями безопасности объединяют сбор корреляцию и анализ данных из различных источников. Они предоставляют централизованный мониторинг выявление аномалий и аналитические отчеты.

Платформы управления рисками обеспечивают структурированный подход к анализу угроз политик и соответствия требованиям безопасности. Они интегрируются с корпоративными процессами и обеспечивают автоматизацию анализа рисков.

Системы моделирования атак позволяют проверять устойчивость организации к современным угрозам. Они предлагают моделирование реальных сценариев выявления уязвимостей и оценку уровня риска.

Организационные аспекты оценки рисков. Эффективное управление рисками невозможно без организационной поддержки и распределения ответственности в компании.

Роли и ответственность. Руководство устанавливает допустимые уровни риска. Специалисты по информационной безопасности анализируют угрозы и уязвимости. ИТ отделы реализуют технические меры защиты. Аудит обеспечивает оценку зрелости процессов.

Регулярность оценки. Оценка рисков должна проводиться при изменениях инфраструктуры после инцидентов при внедрении новых технологий и как минимум ежегодно.

Управление остаточными рисками. Не все риски могут быть устранены некоторые принимаются организацией как допустимые. К основным стратегиям относятся принятие снижение передача и избегание риска.

Будущее оценки рисков. Развитие технологий безопасности формирует новые подходы к анализу и прогнозированию рисков.

Использование искусственного интеллекта. Искусственный интеллект дает возможность анализировать большие объемы разнородных данных выявлять взаимосвязи и прогнозировать угрозы.

Автоматизация и непрерывный мониторинг. Современные модели переходят от разовых оценок к постоянному анализу что дает возможность своевременно выявлять изменения в уровне угроз.

Интеграция с моделью недоверия. Концепция предполагает постоянную проверку каждого доступа и учет рисков в реальном времени.

Заключение

Модели оценки рисков кибербезопасности играют ключевую роль в стратегическом управлении безопасностью корпоративных сетей. Они помогают выявлять угрозы оптимально распределять ресурсы повышать устойчивость инфраструктуры и минимизировать последствия потенциальных инцидентов. Комплексный подход сочетающий классические количественные графовые и динамические методы обеспечивает надежный уровень защиты в условиях постоянно меняющихся киберугроз.

Библиографический список

1. Нечунаев Вадим Михайлович Оценка рисков информационной безопасности корпоративной информационной системы // Доклады ТУСУР. 2009. №1-2 (19). URL: <https://cyberleninka.ru/article/n/otsenka-riskov-informatsionnoy-bezopasnosti-korporativnoy-informatsionnoy-sistemy> (дата обращения: 13.11.2025).

2. Аникин И. В., Емалетдинова Л. Ю., Кирпичников А. П. Методы оценки и управления рисками информационной безопасности в корпоративных информационных сетях // Вестник Казанского технологического университета. 2015. №6. URL: <https://cyberleninka.ru/article/n/metody-otsenki-i-upravleniya-riskami-informatsionnoy-bezopasnosti-v-korporativnyh-informatsionnyh-setyah> (дата обращения: 13.11.2025).

3. А. В. Минаков Оценка модели рисков информационной безопасности: Характеристика, проблемы и перспективы // Экономика и бизнес: теория и практика. 2023. №10-2 (104). URL: <https://cyberleninka.ru/article/n/otsenka-modeli-riskov-informatsionnoy-bezopasnosti-harakteristika-problemy-i-perspektivy> (дата обращения: 13.11.2025).

4. Хамидуллин Ринальд Дамирович. Методика оценки киберрисков корпоративного центра ИТ-мониторинга // КЭ. 2023. №12. URL: <https://cyberleninka.ru/article/n/metodika-otsenki-kiberriskov-korporativnogo-tsentra-it-monitoringa> (дата обращения: 13.11.2025).

© Ягудин А.И., 2025

Ю.Р. ИРКИНА

irkina.yuliya@mail.ru

Науч. руковод. – ст. препод. Р.А. ВАЛЕЕВ

Уфимский университет науки и технологий

ЗАЩИТА ДОМЕННОГО ИМЕНИ: ПРАВОВЫЕ И ТЕХНИЧЕСКИЕ АСПЕКТЫ

Аннотация: В статье анализируется сложный правовой статус доменного имени в Российской Федерации, а также даются рекомендации по техническим и организационным мерам защиты доменных имен. Доменное имя является ключевым элементом современной цифровой среды, обеспечивая удобную адресацию веб-ресурсов. В условиях коммерческой ценности доменных имен актуализируются проблемы их защиты от неправомерного использования, включая киберсквоттинг (регистрацию доменов с целью последующей перепродажи или недобросовестного использования).

Ключевые слова: доменное имя, киберсквоттинг, товарный знак, информационная безопасность.

Доменное имя представляет собой обозначение символами, предназначенное для адресации сайтов в сети «Интернет» в целях обеспечения доступа к информации. Это уникальный адрес веб-сайта в интернете [1].

С точки зрения закона, домен не имеет четкого определения, раскрывающееся с гражданско-правовой точки зрения [2], а федеральный закон от 27.07.06 № 149-ФЗ «Об информации, информационных технологиях и о защите информации» дает лишь техническое определение. В России доменное имя не признается объектом интеллектуальной собственности. Это подтверждается тем, что оно отсутствует в списке охраняемых результатов интеллектуальной деятельности и средств индивидуализации, установленном статьей 1225 «Охраняемые результаты интеллектуальной деятельности и средства индивидуализации» Гражданского кодекса РФ [3]. Это отсутствие ведет к правовой неопределенности.

Существует несколько подходов к определению правовой природы доменного имени: как услуги, как бестелесного имущества или как средства индивидуализации. Наиболее убедительной, по мнению некоторых исследований, является концепция, рассматривающая право на доменное имя как самостоятельное имущественное право, заключается в возможности управления определенной областью адресного пространства сети Интернет [4].

В отличие от России, в США для защиты доменных имен действуют специализированные акты, такие как Закон о защите потребителей от

киберсквоттинга (АСРА) 1999 года и Закон Лэнхема (Lanham Act) 1946 года, которые защищают владельцев товарных знаков и частных лиц.

Основными угрозами в сфере доменных имен являются недобросовестные действия злоумышленников, включая киберсквоттинг, фишинг и неправомерный захват (угон) доменов. Украденные домены часто используются для фишинга, шантажа, выкупа, а также для мошенничества, связанного с получением денег без предоставления услуг.

Киберсквоттинг (cybersquatting) – это регистрация доменного имени, тождественного или сходного до степени смешения с известными брендами, товарными знаками, географическими объектами или личными именами, с целью их последующей перепродажи правообладателям по завышенной цене или для недобросовестного использования.

Угон доменов может происходить по различным схемам:

1. Взлом почты администратора - незаконный захват доменного имени, осуществляемый путем взлома системы регистратора или получения доступа к электронной почте или номеру телефона администратора. Украденные домены могут использоваться для фишинга, выкупа или мошенничества с получением денег без предоставления услуги.

2. Тайпсквоттинг – это разновидность киберсквоттинга представляет собой вид мошенничества, при котором регистрируются доменные имена, похожие на названия известных сайтов или брендов, но содержащие намеренные ошибки в написании. Название происходит от английского слова «туро» (опечатка), поскольку злоумышленники эксплуатируют возможные опечатки пользователей при вводе URL-адреса. Мошеннический адрес может отличаться от оригинального всего одной буквы или дефисом. Тайпсквоттинг часто используется не для продажи, а для создания сайта-подделки (фишингового ресурса) с целью ловли невнимательных пользователей и незаконного сбора персональных данных. Примером может служить регистрация Goggle.com вместо Google.com или ONLLINESBERBANK.RU вместо ONLINE.SBERBANK.RU. Владельцам доменов рекомендуется заранее выкупать альтернативные написания и возможные орфографические ошибки для предотвращения их использования злоумышленниками.

3. Подделка документов, на основании которых злоумышленник запрашивает перенос доменов к другому регистратору. Данный метод угона домена базируется на подделке документов, имитирующих официальный запрос от законного владельца. Цель злоумышленника – запросить у текущего регистратора перенос доменов на обслуживание к другому регистратору. Он тщательно подготавливает атаку, собирая предварительную информацию о владельце через открытые источники. Подготовленный пакет поддельных документов предназначен для того, чтобы убедить сотрудника службы поддержки регистратора в легитимности запроса и инициировать процедуру переноса.

4. «Черное SEO» — это схема, при которой после прохождения модерации контекстной рекламы на законно купленном или зарегистрированном домене, содержание сайта подменяется на вредоносный.

5. Использование легитимных, но «забытых» доменов, которые оплачены, но не привязаны к хостинг-аккаунты. Злоумышленники используют домены, которые оплачены, но не привязаны к хостинг-аккаунту (например, забыты или недавно выкуплены). Перехват осуществляется путем прописывания своих NS-записей, что позволяет разместить на чужом домене собственную информацию для мошенничества. NS-запись – это тип записи DNS-сервера, который указывает на имя DNS-сервера, отвечающего за правление доменным именем.

Отдельную проблему представляет обратный захват доменного имени (reverse domain name hijacking), когда недобросовестный правообладатель товарного знака использует юридические механизмы, чтоб лишить добросовестного администратора прав на ранее зарегистрированное им доменное имя. В России законодательство часто отдает предпочтение обладателям прав на товарные знаки, что осложняет противодействие обратному захвату для администраторов доменного имени [5].

Доменное имя может рассматриваться как один из способов, когда правообладатель реализует свое исключительное право на товарный знак. Важно отметить, что владельцы товарного знака обладают преимущественным правом на получение доменного имени, которое соответствует этим обозначениям. В качестве примера такого подхода приводится процедура приоритетной регистрации, которая применялась при регистрации в домене РФ.

Из международной практики (UDPR):

1. Доменное имя идентично или сходно до степени смешения с товарным знаком третьего лица.

2. У владельца доменного имени нет каких-либо законных прав и интересов в отношении доменного имени.

3. Доменное имя зарегистрировано и используется недобросовестно.

На международном уровне ключевым механизмом является Единая политика споров о доменных именах (UDPR), разработанная ICANN и применяемая ВОИС (Всемирной организацией интеллектуальной собственности). Критерии UDPR используются российскими судами для оценки добросовестности действий администратора доменного имени в зонах *.RU и *. РФ, поскольку они считаются отражением честных обычаев делового оборота.

Для минимизации рисков киберсквоттинга и угона доменов владельцам информационных ресурсов рекомендуется предпринимать следующие технические меры:

1. Регистрация товарного знака. Первоочередным шагом является регистрация наименования компании, бренда или даже личного имени в качестве товарного знака. Наличие зарегистрированного товарного знака повышает шансы на успешное восстановление прав в суде или арбитражных органах.

2. Проверка перед регистрацией. Необходимо удостовериться, что выбранное доменное имя не совпадает с идентичными или похожими зарегистрированными товарными знаками.

3. Регистрация альтернативных доменов. Можно заранее рассмотреть различные варианты доменного имени, включая домены с разными суффиксами (.com, .net, .org), альтернативные написания или возможные орфографические ошибки (тайпосквоттинг).

4. Многофакторная аутентификация и парольная политика. Необходимо установить сложный пароль, добавить двухфакторную аутентификацию и не забывать про регулярное обновление паролей.

5. Контроль NS-записей. Чтобы предотвратить неправомерный захват следует:

- полностью удалить текущие NS-записи в личном кабинете регистратора, если хостинг-аккаунт не планируется продлевать;

- не прописывать NS-записи хостинг-провайдера заранее до фактической привязки домена к хостинг-аккаунту.

6. Актуальность данных и скрытие Whois. Важно вводить корректные данные при регистрации и поддерживать их актуальность. Рекомендуется подключать защиту контактных данных (скрытие данных в Whois), если это не делается по умолчанию (например, для физических лиц в зонах .RU и .RF данные скрыты).

Whois – интернет-протокол, основное назначение которого предоставление информации о регистрационных данных доменных имен и IP-адресов, хранящихся в распределенных базах данных по всему миру. Через протокол можно получить ключевую информацию, такую как имя регистратора, данные администратора (если они открыты), сроки регистрации, DNS-серверы и актуальный статус домена.

7. Своевременное продление. Регулярное продление регистрации домена необходимо для предотвращения его утраты.

8. Контроль за коммуникацией. Необходимо просматривать письма-напоминания, не переходить по подозрительным ссылкам и не передавать доступ к почте или личному кабинету. Рекомендуется использовать разные номера телефона для почты и домена.

Если домен все же был похищен, владельцу следует немедленно обратиться в правоохранительные органы, а также к старому и новому регистраторам, предоставив все необходимые документы.

Таким образом, защита доменного имени является комплексной задачей, требующей сбалансированного сочетания правовых и технических мер. С одной стороны, правовой статус доменного имени в Российской Федерации остается неопределенным, так как законодательно оно не признано объектом интеллектуальной собственности. С другой стороны, Федеральный закон от 27.07.2006 №149-ФЗ «Об информации, информационных технологиях и о защите информации», устанавливает обязанность обладателей информации и оператора систем принимать меры по защите информации, включая

предотвращение неправомерного доступа и его модифицирования. Приоритетным мы считаем регистрацию вариаций домена для защиты от тайпсквоттинга, который направлен на создание поддельных сайтов через эксплуатацию пользовательских опечаток.

Библиографический список

1. Федеральный закон от 27.07.2006 № 149-ФЗ «Об информации, информационных технологиях и о защите информации». // Режим доступа: URL: https://www.consultant.ru/document/cons_doc_LAW_61798/ (дата обращения 19.10.25) – Текст: электронный.

2. Гражданский кодекс Российской Федерации (часть четвертая) от 18.12.2006 № 230-ФЗ. // Режим доступа: URL: https://www.consultant.ru/document/cons_doc_LAW_64629/ (дата обращения 19.10.25) – Текст: электронный.

3. Дюженков, Н.А. Доменное имя: проблемы правоприменительной практики // Вестник Университета имени О.Е. Кутафина (МГЮА). 2022 № 6 (94). С. 147-155. // Режим доступа: URL: <https://cyberleninka.ru/article/n/domennoe-ima-problemy-pravoprimeritelnoy-praktiki> (дата обращения: 19.10.2025) – Текст: электронный.

4. Кожемякин, Д.В. Доменное имя в системе объектов гражданских прав: дис. канд. юрид. наук: 12.000.03 / Кожемякин Д.В. – Москва, 2017. – 197с. // Режим доступа: URL: <https://e.lanbook.com/book/150914> (дата обращения: 19.10.2025) — Текст: электронный.

5. Яппаров, Р. М. К вопросу о безопасности объектов критической информационной инфраструктуры / Р. М. Яппаров // Информационные технологии обеспечения комплексной безопасности в цифровом обществе: Сборник материалов VII Всероссийской молодежной научно-практической конференции с международным участием, Уфа, 24–25 мая 2024 года. – Уфа: Уфимский университет науки и технологий, 2024. – С. 55-58. – Текст: непосредственный.

© Иркина Ю.Р., 2025

УДК 004

Р.М. НАСИБУЛЛИН

ryslan132nasibullin@yandex.ru

Науч. руковод. – ст. препод. Р.А. ВАЛЕЕВ

Уфимский университет науки и технологий

ПРЕИМУЩЕСТВА И НЕДОСТАТКИ ПРОГРАММНЫХ СРЕДСТВ ЗАЩИТЫ ИНФОРМАЦИИ В АВТОМАТИЗИРОВАННОЙ СИСТЕМЕ

Аннотация: в работе рассматриваются принципы работы средств защиты информации Dallas Lock и ViPNet, как самых распространенных программно-аппаратных комплексов обеспечения информационной безопасности компьютерных систем. Анализируются их преимущества и недостатки, позволяющие потребителю выбрать наиболее оптимальный механизм защиты от угроз безопасности.

Ключевые слова: средство защиты информации, двухфакторная аутентификация, ограничение программной среды, информационная безопасность, программное обеспечение, автоматизированная система.

Актуальность данной статьи заключается в анализе существующих решений в сфере обеспечения информационной безопасности и оптимальном выборе эффективного программного средства для автоматизированной информационной системы. Правильная настройка данной системы позволяет предотвратить несанкционированный доступ и утечки информации, что критично для сохранения доверия пользователей и соблюдения нормативных требований.

Автоматизированная информационная система — это система, состоящая из персонала и комплекса средств автоматизации его действий, реализующая информационную технологию выполнения установленных функций.

Защита данных в автоматизированных системах в первую очередь направлена на предотвращение утечки конфиденциальных сведений. Решением, которое позволяет реализовать эту задачу непосредственно на уровне устройства хранения, является система Dallas Lock. Она создаёт надёжную криптографическую изоляцию данных, гарантирующую целостность и конфиденциальность информации даже в условиях попыток её несанкционированного проникновения и уничтожения [1].

В автоматизированных информационных системах выделяют 3 группы защищённости информации и 9 классов защиты информации: 1А, 1Б, 1В, 1Г, 1Д, 2А, 2Б, 3А, 3Б. Классы защищенности относятся к системам, которые обрабатывают информацию, не содержащую государственной тайны, но при этом требуют определенного уровня защиты от несанкционированного доступа и утечек данных [2].

Dallas Lock – это сертифицированная система защиты информации накладного типа для автономных и сетевых АРМ, предназначенная для комплексной защиты данных [3]. Она эффективно сохраняет конфиденциальную информацию и управляет доступом к ней. Система также успешно применяется для обеспечения безопасности в управлении производственными и технологическими процессами.

Основные опции системы настройки включают в себя:

1. Анализ рисков и установление политик безопасности, которая будет включать правила доступа, обработки и хранения информации.

2. Установку устройства в соответствии с рекомендациями производителя для обеспечения физической защиты оборудования от несанкционированного доступа.

3. Выбор параметров системы в соответствии с требованиями безопасности.

4. Создание учетной записи для всех пользователей, которые будут иметь доступ к системе. Здесь важно определить, какие ресурсы (файлы, каталоги) будут доступны пользователям или группам. Необходимо установить права на чтение, запись и выполнение программы для каждого ресурса.

5. Определение системы мониторинга для выявления подозрительных действий или попыток несанкционированного доступа.

6. Установление протоколов журналирования и мониторинга для отслеживания действий пользователей и событий безопасности.

7. Тестирование настроенной системы на предмет уязвимостей и корректности работы механизмов защиты.

8. Обеспечение обновления программного обеспечения для устранения уязвимостей.

9. Разработку планов реагирования на инциденты, которые будут включать действия при обнаружении нарушений безопасности.

Эти опции помогут обеспечить надежную защиту информации в автоматизированной системе класса защищенности с использованием системы защиты информации Dallas Lock. Важно помнить, что безопасность — это непрерывный процесс, требующий регулярного анализа угроз и адаптации мер защиты к изменяющимся условиям [4].

С целью выбора оптимального с точки зрения защиты информации мы провели сравнительное исследование функциональных возможностей сертифицированной системы защиты информации накладного типа Dallas Lock и программного комплекса ViPNet, что позволило выявить ключевые преимущества первого решения для сценариев, требующих гарантированной защиты данных на конечных рабочих местах. В частности к положительным характеристикам системы защиты информации Dallas Lock можно отнести следующее:

1. Защита на уровне устройств (HDD, USB, сетевые интерфейсы). Аппаратно-программное шифрование Dallas Lock всего жесткого диска и полный контроль портов ввода-вывода. Данные на диске всегда зашифрованы,

а без авторизации в системе диск представляет собой. ViPNet в первую очередь фокусируется на сетевом трафике и межсетевом взаимодействии. Защита данных на самом носителе (шифрование диска) часто является отдельной опцией или задачей другого продукта.

2. Простота внедрения и минимальное влияние на бизнес-процессы. Ключевым преимуществом Dallas Lock является его адаптивность: накладная архитектура позволяет интегрировать систему без перестройки действующей сетевой инфраструктуры, что исключает необходимость изменять или настраивать сложную маршрутизацию. Такая особенность минимизирует влияние на бизнес-процессы и делает решение оптимальным для защиты отдельных устройств особенно мобильных рабочих станций и изолированных компьютеров, где развертывание классических сетевых систем защиты затруднено или нецелесообразно.

3. Эффективная защита от инсайдеров с физическим доступом. Dallas Lock предотвращает кражу данных путем физического изъятия жесткого диска или загрузки с другого носителя. Даже инсайдер с правами локального администратора не сможет получить доступ к зашифрованным данным, минуя систему. ViPNet больше сфокусирован на защите от несанкционированного доступа по сети. Если злоумышленник имеет физический доступ к компьютеру и учетные данные, он может получить доступ к данным на локальном диске, если он не зашифрован отдельно.

Таким образом, мы считаем, что оптимальным средством защиты от несанкционированного доступа, утечек информации и надежным элементом обеспечения информационной безопасности на сегодняшний день является сертифицированный отечественный продукт Dallas Lock.

Библиографический список

1. Белоус, А.И. Основы кибербезопасности. Стандарты, концепции, методы и средства обеспечения: учебник/ А.И. Белоус. – М.: Техносфера, 2021. – 483 с. – Текст: непосредственный.

2. Васильева, И.Н. Программно-аппаратные средства защиты информации: учебное пособие / И. Н. Васильева. – СПб.: Издательство Санкт-Петербургского государственного экономического университета, 2023. – 110с. – Текст: непосредственный.

3. СЗИ DALLAS LOCK 8.0 [Электронный ресурс] // DallasLock / Режим доступа: URL: <https://dallaslock.ru/products/szi-dallas-lock-8-0/> (дата обращения 16.10.2025) – Текст: электронный.

4. Яппаров, Р. М. К вопросу о безопасности объектов критической информационной инфраструктуры / Р. М. Яппаров // Информационные технологии обеспечения комплексной безопасности в цифровом обществе: Сборник материалов VII Всероссийской молодежной научно-практической конференции с международным участием, Уфа, 24–25 мая 2024 года. – Уфа:

Уфимский университет науки и технологий, 2024. – С. 55-58. – Текст:
непосредственный.

© Насибуллин Р.М., 2025

СЕКЦИЯ 5.5. ГЕОИНФОРМАЦИОННЫЕ СИСТЕМЫ

УДК 004

Л.В. АЛЕКСАКИНА, П.С. ПАНКРАТЬЕВА

aleksakina.lina@mail.ru, pankratevap25@mail.ru

Науч. руковод. – докт. техн. наук, проф. О.И. ХРИСТОДУЛО

Уфимский университет науки и технологий

ПРОЕКТИРОВАНИЕ МОБИЛЬНОГО ПРИЛОЖЕНИЯ «НАВИГАЦИЯ ПО УФИМСКОМУ УНИВЕРСИТЕТУ»

Аннотация: в статье представлен анализ существующих решений по разработке навигационного приложения по университету, описан этап проектирования функциональной и информационной моделей бизнес-процесса «Обеспечить навигацию и ориентирование пользователя на территории Уфимского университета», а также процесс проектирования пользовательского интерфейса.

Ключевые слова: анализ; проектирование; мобильное приложение; функциональная модель; IDEF0; информационная модель; IDEF1X; PostgreSQL; пользовательский интерфейс.

Введение

В условиях цифровизации Уфимского университета активно внедряются взаимосвязанные информационные системы, ориентированные на потребности различных категорий пользователей. Важным достижением в этом направлении стало создание геоинформационной системы УГАТУ (ГИС УГАТУ), выполняющей функции общедоступного пространственного справочника и обеспечивающего актуальной информацией широкий круг пользователей – от руководства и сотрудников университета до абитуриентов и гостей вуза [8].

Продолжением развития цифровой среды университета стала реализация проекта «Навигация по Уфимскому университету». Его целью стало облегчение ориентирования на территории и в зданиях УУНиТ для новых пользователей: первокурсников, начинающих преподавателей и гостей вуза.

Актуальность данной задачи обусловлена сокращением времени на поиск интересующих локаций, снижением психологической нагрузки и повышением информированности пользователей, а также ускорением адаптации к новому образовательному процессу.

Анализ существующих решений по разработке приложения с навигацией по университету:

С целью определения требований к функционалу мобильного приложения «Навигация по Уфимскому университету» проведен сравнительный анализ

существующих решений, реализованных в российских вузах [1-7], представленный в

Таблица 12.

Таблица 12

Фрагмент анализа существующих решений по российским университетам

| № | Наименование | Интерактивная карта | Построение маршрута | Фото\Панорамы | Информация | Аудиогиды |
|---|--------------|---------------------|---------------------|---------------|------------|-----------|
| 1 | ВШЭ | + | + | - | - | - |
| 2 | ИТМО | + | + | - | - | - |
| 3 | СПбПУ | + | + | - | + | - |
| 4 | МФТИ | - | - | + | + | - |
| 5 | РосБиоТех | + | + | - | - | - |
| 6 | ИРНИТУ | + | + | - | - | - |
| 7 | НИЯУ «МИФИ» | + | + | - | - | - |

Анализ существующих решений показал, что навигационные системы российских университетов в большей степени реализуют минимальный функционал (маршрут и интерактивная карта), но не уделяя внимание дополнительным возможностям: информационная справка, панорамы, фото-, видео- и аудиогиды, которые обеспечивают получение полного объема информации о пространстве университета.

Исследование выявило основные направления для разработки мобильного приложения: необходимость сохранения базового навигационного модуля и внедрение расширенного мультимедийного функционала.

Проектирование системы мобильного приложения «Навигация по Уфимскому университету» с элементами виртуального тура.

Проектирование системы, заключающееся в разработке функциональной и информационной моделей бизнес-процесса «Обеспечить навигацию и ориентирование пользователя на территории Уфимского университета», направлено на формализацию понимания предметной области в виде четких правил и системных требований, а также на определение структуры используемых данных, требований к их хранению и обработке.

Данный этап позволяет определить ключевые архитектурные особенности на ранней стадии проекта, обеспечивая целостность, непротиворечивость и качество данных в реализуемой системе.

Функциональная модель используется для изучения функционала и назначения системы, а также для отображения взаимосвязей между внешними и внутренними элементами.

Реализованная модель, представляющая собой иерархическую декомпозицию рассматриваемого бизнес-процесса, отражающая основные

процессы, происходящие в системе, показана на **Ошибка! Источник ссылки не найден.**

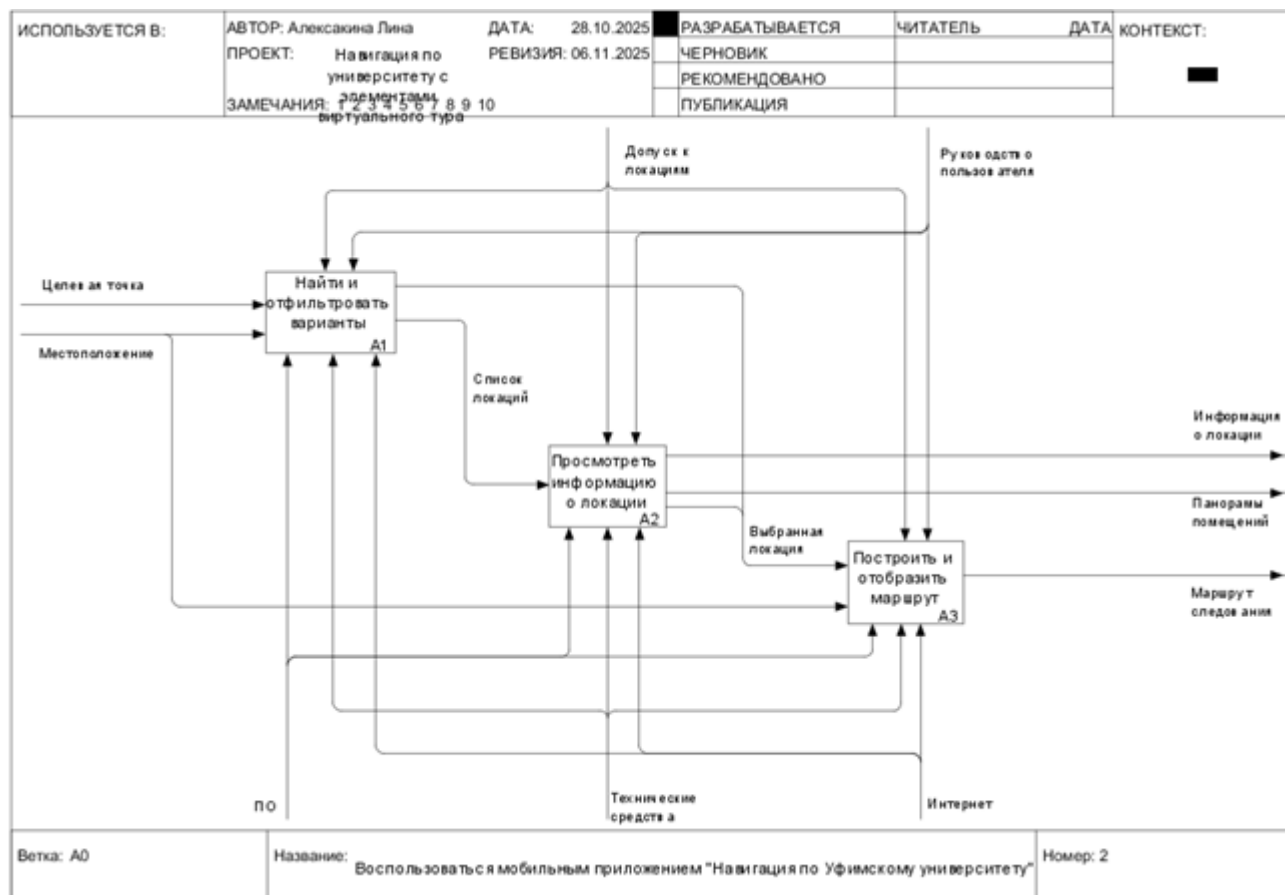


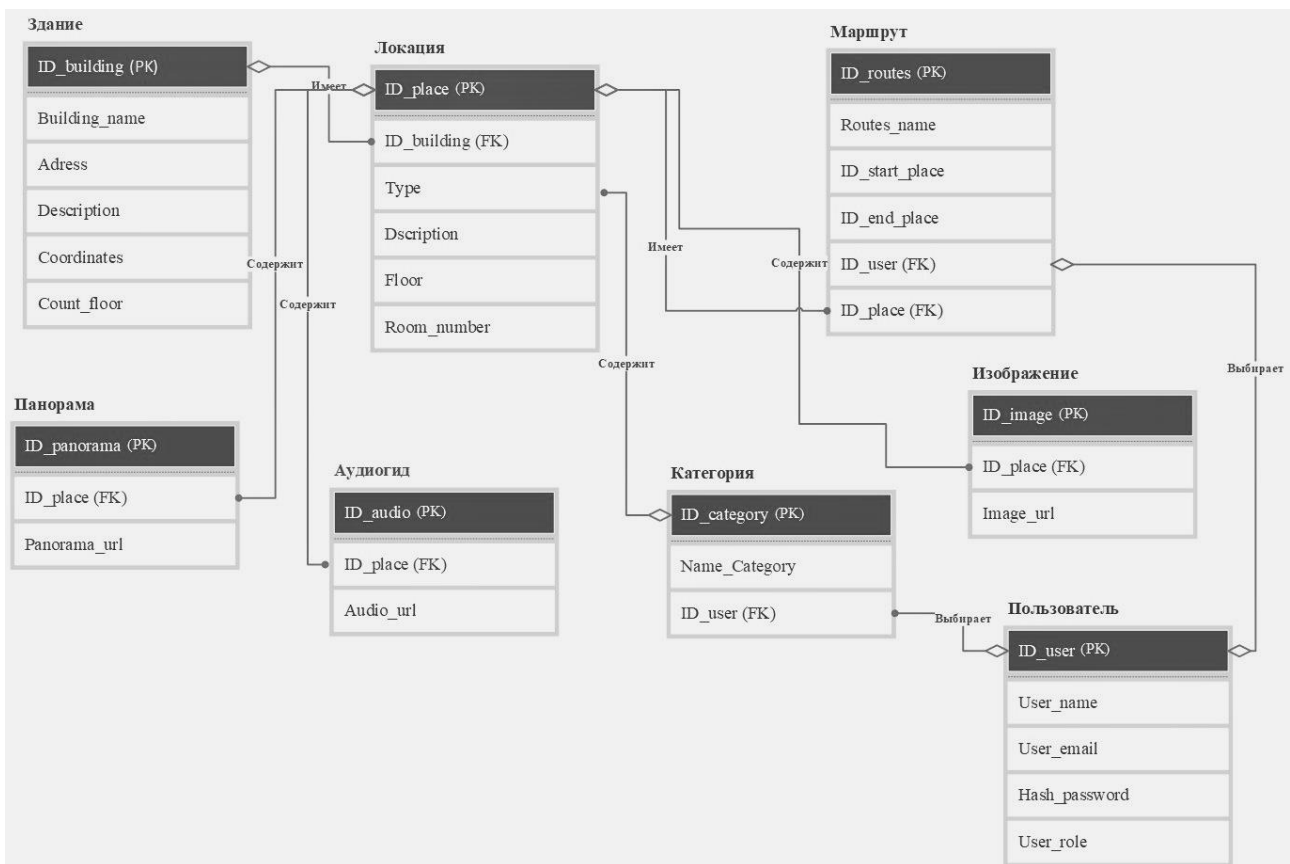
Рис. 1. Диаграмма бизнес-процесса «Воспользоваться мобильным приложением «Навигация по Уфимскому университету»»

Данная модель, разработанная на основе методологии структурного анализа SADT (стандарт IDEF0), рассматривает систему с точки зрения пользователя, которым является студент, преподаватель или гость университета, плохо ориентирующийся на территории УУНиТа. Функциональная модель состоит из трех базовых функций, центральной из них выступает блок А3 «Построить и отобразить маршрут», который отражает основной функционал приложения. На вход подаются данные о местоположении и выбранная локация, как конечная точка назначения; выходом служит маршрут следования, выбранный пользователем; управляющими воздействиями являются ограничения в виде доступа к локациям и руководство пользователя, а механизмами – технические средства, ПО и наличие интернет-соединения.

Информационная модель, построенная с использованием нотации IDEF1X, демонстрирует структуру базы данных для мобильного приложения «Навигация по Уфимскому университету», которая далее будет реализовываться в PostgreSQL.

Модель включает в себя такие ключевые сущности, как «Здание», «Локация», «Маршрут», «Пользователь», «Панорама», необходимые для

построения маршрутов и отображения информации о помещениях университета. Поддержание целостности данных используются за счет использования обязательных атрибутов и внешних ключей, что наглядно



представлено на рисунке.

На модели представлены основные сущности и их связи, необходимых для построения маршрутов и отображения информации о помещениях университета.

Проектирование пользовательского интерфейса для мобильного приложения «Навигация по Уфимскому университету»

Интерфейс представляет собой совокупность используемых в программе средств для ввода данных, способов отображения информации на экране дисплея, элементов для управления различными этапами решения задачи. Основное назначение пользовательского интерфейса обеспечить короткий и удобный путь к получению результата [10].

Для решения навигационной задачи в университетской среде был разработан макет пользовательского интерфейса в среде «Figma».

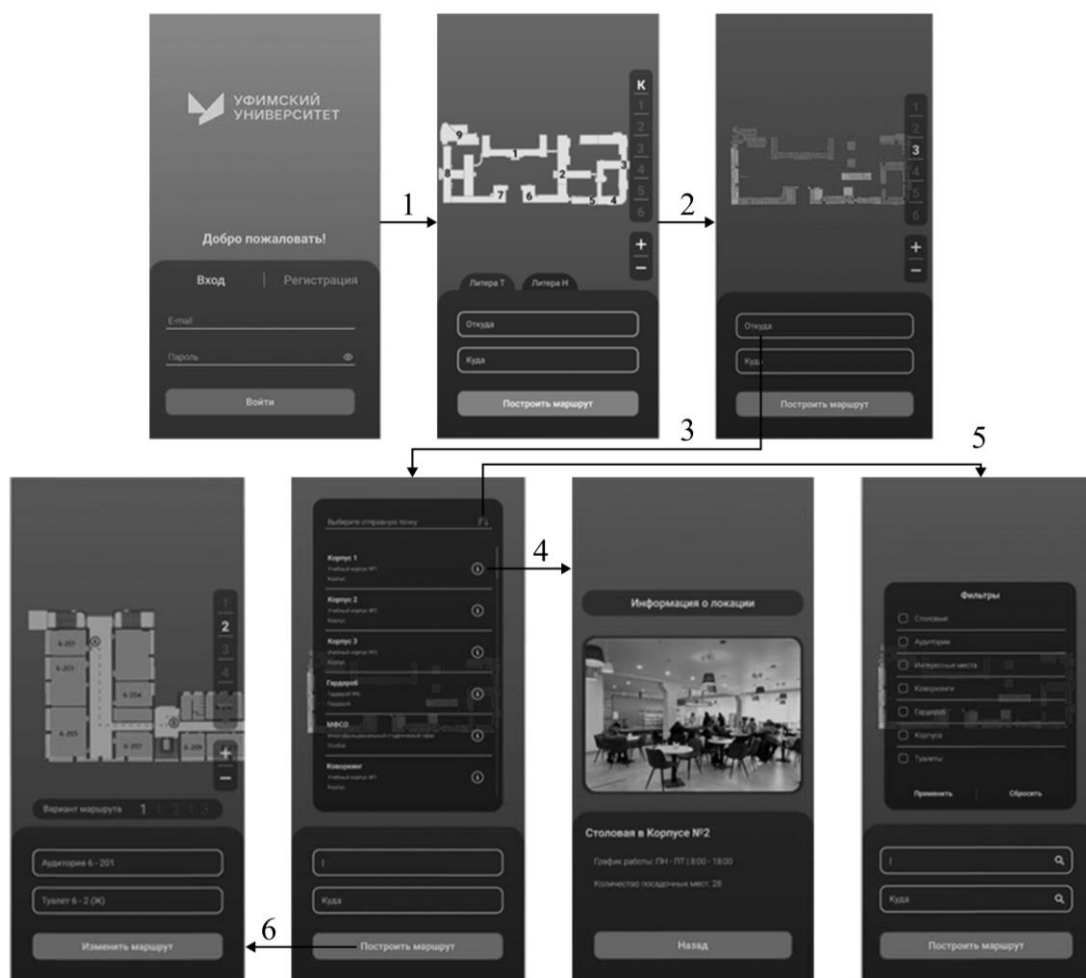


Рис. 3. Фрагмент пользовательского интерфейса мобильного приложения «Навигация по Уфимскому университету»

Макет пользовательского интерфейса включает фрагмент основных экранных форм с нумерованными стрелками, отражающие пользовательские сценарии. Описаны следующие процессы:

1. Вход в систему – после ввода логина и пароля пользователь попадает на главный экран, где представлена карта территории Уфимского университета (Литера Т) с пронумерованными корпусами.

2. Отображение поэтажного плана – при увеличении масштаба или выборе определенного этажа, изменяется карта, отображая соответствующий поэтажный план.

3. Выбор местоположения и конечной точки назначения – при нажатии на форму «Откуда\Куда», появляется диалоговое окно со списком локаций для выбора.

4. Просмотр информации – при нажатии на значок «Информация», выходит окно, которое содержит в себе информацию (текст, фото\панорама) о локации.

5. Выбор фильтра – при нажатии на значок «Фильтр» появляется форма со списком категорий для выбора.

6. Построение маршрута – после выбора начальной и конечной точек, строятся варианты маршрута, которые можно просмотреть

Заключение

Спроектирована система «Навигация по Уфимскому университету», которая содержит в себе формализованные модели и прототип пользовательского интерфейса, они же, в свою очередь, создают основу для дальнейшей практической реализации системы.

Библиографический список

1. ВШЕ «Навигация по комплексу». URL: <https://navigation.hse.ru/?campus=pokrovka> (дата обращения: 06.11.2025).
2. Мобильное приложение «Кампус ИТМО». URL: <https://play.google.com/store/apps/details?id=ru.itmo.campus&hl=ru> (дата обращения: 06.11.2025).
3. PolyMap – интерактивная карта СПбПУ. URL: <https://dev.polymap.ru/spbstu> (дата обращения: 07.11.2025).
4. МФТИ - Виртуальный тур. URL: <https://team.mipt.ru/tours/1/tour.html?ysclid=ma5bdn4ug9425610356> (дата обращения: 07.11.2025).
5. Интерактивная карта РОСБИОТЕХ. URL: <https://map.rosbiotech.ru/> (дата обращения: 07.11.2025).
6. Иркутский национальный исследовательский технический университет, 2ГИС. URL: <https://2gis.ru/irkutsk/firm/1549095919422631> (дата обращения: 07.11.2025).
7. Навигатор МИФИ. URL: <https://mobileapp.mephi.ru/navigation/> (дата обращения: 07.11.2025).
8. Брекоткина Е.С., Павлов С.В., Трубин В.Д., Христовуло О.И. Управление проектом создания сложной геоинформационной системы на основе специализированного справочника//
9. Системная инженерия и информационные технологии. 2021. Т. 3. № 2 (6). С. 66-73.
10. Грицок Е. Г. Пользовательский интерфейс: назначение, принципы разработки и практические рекомендации // Теория и практика современной науки. 2017. №5 (23). URL: <https://cyberleninka.ru/article/n/polzovatelskiy-interfeys-naznachenie-printsipy-razrabotki-i-prakticheskie-rekomendatsii> (дата обращения: 10.11.2025).

© Алексакина Л.В., Панкратьева П.С., 2025

Э.Р. ГИМАДЕЕВ

egimadeev04@mail.ru

Науч. руковод. – канд. техн. наук, доцент. А.Ф. АТНАБАЕВ

Уфимский университет науки и технологий

УНИФИКАЦИЯ ВЗАИМОДЕЙСТВИЯ С РАЗНОРОДНЫМИ API ТРАНСПОРТНЫХ КОМПАНИЙ ДЛЯ РЕШЕНИЯ ЗАДАЧИ ЛОГИСТИКИ

Аннотация: в статье рассматриваются вопросы проектирования и реализации серверного модуля доставки для B2B-агрегатора, предназначенного для автоматизированного расчета стоимости, выбора перевозчика и прогнозирования сроков доставки. Основное внимание уделено созданию RESTful API на Python с использованием FastAPI, а также организации интеграции с внешними логистическими сервисами (ПЭК, ТК Энергия). Отдельное внимание уделено вопросам унификации взаимодействия с разнородными API и перспективами использования пространственных данных для аналитических задач.

Ключевые слова: модуль доставки; модель данных; логистика; пространственные данные; проектирование ИС; агрегатор поставщиков.

1. Введение

Современная логистика представляет собой сложную многокомпонентную задачу. В отличие от простой перевозки товара, она требует координации между множеством сторон: производителями, поставщиками, логистическими компаниями и конечными точками получения. Ключевой проблемой для агрегатора, объединяющего предложения от множества независимых поставщиков, становится эффективное управление цепями поставок. Основные сложности заключаются в необходимости работать с географически распределенной сетью складов, интегрироваться с множеством разнородных API транспортных компаний (ТК), а также обеспечивать синхронизацию доставки разнородных товарных групп.

В настоящее время для решения этих задач используются как готовые коммерческие логистические платформы, так и разработка собственных решений. Однако готовые платформы зачастую недостаточно гибки для глубокой интеграции в уникальную бизнес-логику системы и могут накладывать соответствующие ограничения. Существующие же решения от ТК, как правило, не стандартизированы, что приводит к созданию сложных и трудно поддерживаемых интеграций при работе с несколькими перевозчиками одновременно.

Таким образом, разработка собственного модуля доставки, который унифицирует взаимодействие с разнородными API и предоставляет единый интерфейс для внутренних сервисов агрегатора, является актуальной задачей. Такой подход позволяет не только объединить логистические данные, но и дает полный контроль над бизнес-процессами, обеспечивает гибкость для быстрого подключения новых ТК и закладывает основу для внедрения продвинутых аналитических функций.

2. Определение архитектурных решений и реализация

Критически важным требованием, при выборе технологического стека, являлась интеграция разрабатываемого модуля в существующую экосистему B2B-агрегатора.

Учитывая эти требования, для реализации был определен следующий технологический стек:

1. Python 3.12 и FastAPI в качестве основного фреймворка. В первую очередь выбор обусловлен совместимостью с существующей инфраструктурой агрегатора.

2. PostgreSQL – СУБД, уже используемая в инфраструктуре агрегатора. Выбор был сделан в пользу сохранения единой экосистемы баз данных для упрощения администрирования и обеспечения совместимости. Кроме того, наличие расширения PostGIS позволяет заложить основу для реализации функционала пространственного анализа в будущем.

3. SQLAlchemy абстрагирует работу с базой данных, позволяя оперировать Python-объектами, а также поддерживает асинхронность.

4. Alembic – система миграций базы данных, которая работает вместе с SQLAlchemy и позволит управлять схемой базы данных на этапе разработки.

5. А также различные другие Python-библиотеки, например, HTTPX для выполнения параллельных запросов к API транспортных компаний.

Таким образом, данный технологический стек представляет собой решение, которое не только обеспечивает высокую производительность и удобство разработки, но и отвечает требованию совместимости с существующей платформой.

Модуль доставки реализован в соответствии с принципами, обеспечивающей логическую изоляцию слоев и гибкость дальнейшего развития. Структура включает:

– Слой представления. Обеспечивает маршрутизацию запросов, валидацию запросов и возврат структурированных ответов в формате JSON.

– Слой сервисов. Содержит основную бизнес-логику, включая взаимодействие с внешними API транспортных компаний.

– Слой доступа к данным. Управляет данными, обеспечивая доступ к объектам базы данных через ORM SQLAlchemy.

Архитектура модуля поддерживает принцип унификации интеграции с сервисами доставки. Для этого каждой транспортной компании реализуется отдельный адаптер, соответствующий единому интерфейсу взаимодействия.

Это позволяет добавлять новых перевозчиков без изменения ядра системы. В настоящее время реализовано взаимодействие с компаниями ПЭК [2] и Энергия [3].

Выбранная архитектура позволяет легко тестировать компоненты системы, изолировать изменения и интегрировать модуль в существующую инфраструктуру агрегатора.

3. Модели данных

Любая сложная система требует комплексного подхода к ее проектированию, поэтому была спроектирована физическая модель данных, отражающая ключевые сущности предметной области:

- user: Пользователь системы с контактной информацией и API-ключами
- address: Адрес доставки с возможностью хранения координат (lat/lon)
- warehouse: Склады пользователей (привязаны к адресам)
- order: Заказы с информацией о товарах и статусах
- order_item: Элементы заказов с габаритами, весом и стоимостью
- delivery_calculation: Результаты расчетов доставки
- delivery_option: Предложения доставки от различных служб
- delivery_service: Информация о доступных службах доставки
- user_delivery_service_config: Конфигурация конкретных служб для пользователей
- delivery: Выбранные варианты доставки

Каждая сущность связана с другими через внешние ключи. Физическая модель данных представлена на Рис. 31.

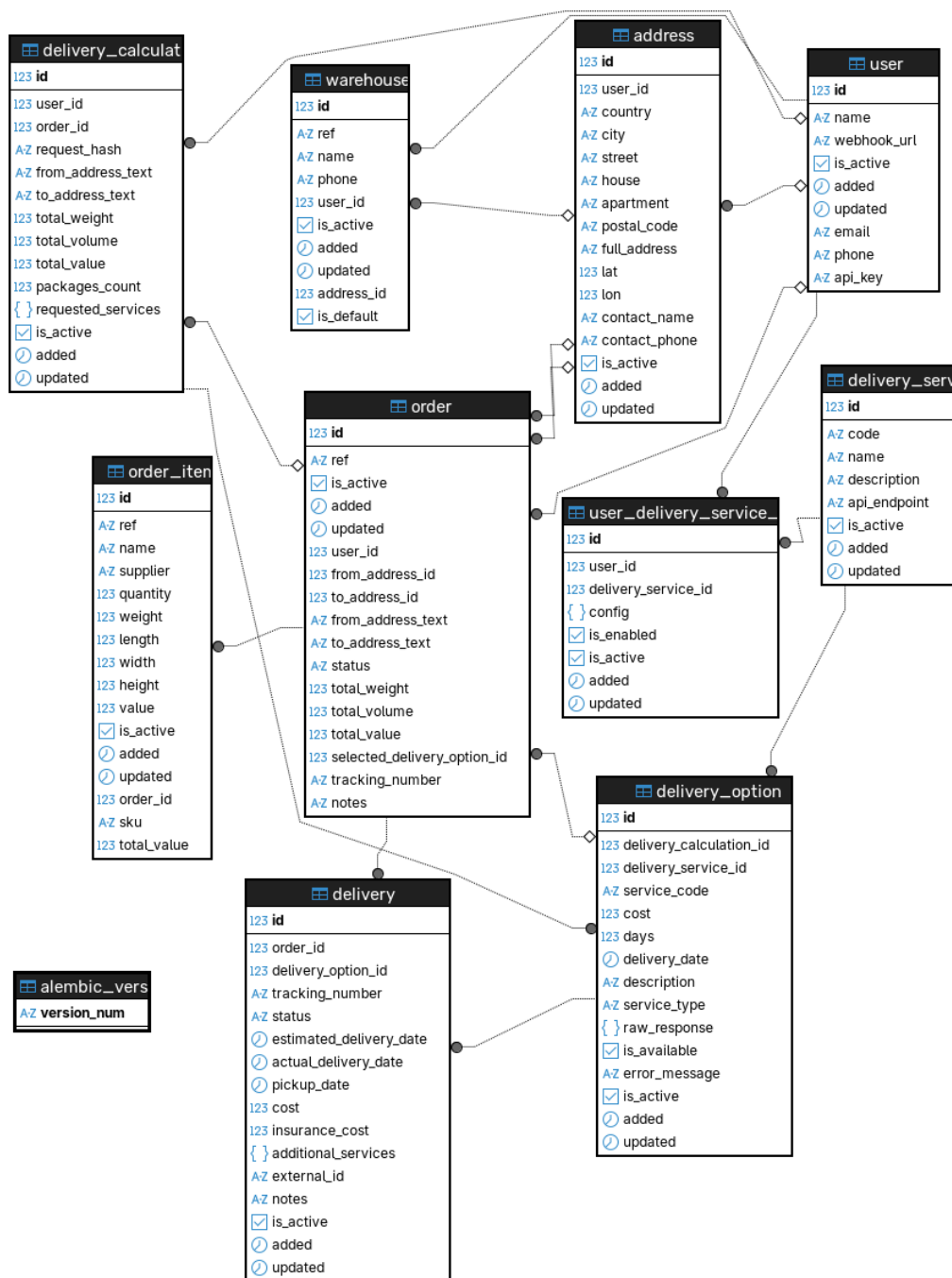


Рис. 31. Физическая модель данных

В модели адресов помимо текстовых полей предусмотрены координаты, что позволяет связать данные заказа с географическим положением. Такая структура создает базу для пространственного анализа.

Сущность `delivery_calculation` агрегирует параметры расчета и список выбранных служб, а сущность `delivery_option` хранит результаты расчета для каждой компании, включая цену, сроки и тип услуги. Эти данные могут быть использованы для статистического анализа.

Разработанная структура данных универсальна и может быть адаптирована как для существующей архитектуры агрегатора с созданием новых сущностей, так и использована для автономной, внешней системы.

4. Потенциал использования пространственных данных

Хотя API транспортных компаний не предоставляют точные пространственные данные, наличие координат точек отправления и получения позволяет использовать пространственный анализ. На основе этих координат возможен расчет приблизительных расстояний между точками, определения центров логистической активности и построения тепловых карт поставок. Такая информация может позволить повысить качество работы для поставщиков на агрегаторе, например, выявлять регионы с повышенным спросом и планировать открытия новых складов. А использование расширения PostGIS позволит выполнять пространственные запросы на уровне базы данных.

Таким образом, пространственный модуль служит аналитической надстройкой, расширяя возможности B2B-агрегатора.

6. Заключение

Реализованный функционал представляет собой основу для комплексного модуля автоматизации логистических процессов в B2B-агрегаторе. Он реализует унифицированный подход к интеграции с транспортными компаниями и базу данных с возможностью хранения пространственных данных, а также система способна масштабироваться и интегрироваться с пользовательским интерфейсом.

Библиографический список

1. Аминов М. Р. Разработка модуля доставки для сайта-агрегатора товаров // Мавлютовские чтения: материалы XVIII Всероссийской молодёжной научной конференции (Уфа, 25–29 ноября 2024 г.). В 9т. Т. 5. Уфа: Уфимский университет науки и технологий, 2024. С. 503–505.
2. ПЭК «Публичный API» [Электронный ресурс]. — URL: https://pecom.ru/business/developers/api_public/ (дата обращения: 10.11.2025).
3. Апи компании ТК Энергия, версия V3 [Электронный ресурс]. — URL: <https://apidoc.nrg-tk.ru/v3/ru/> (дата обращения: 10.11.2025).

© Гимадеев Э.Р., 2025

Д.И. ГУМЕРОВА

diagume@mail.ru

Науч. руковод. – канд. техн. наук, доц. А.Ф. АТНАБАЕВ

Уфимский университет науки и технологий

ВЕРИФИКАЦИЯ ДАННЫХ КАК ОСНОВА ЭФФЕКТИВНОГО УПРАВЛЕНИЯ БИЗНЕС-ПРОЦЕССАМИ

Аннотация: данная статья посвящена решению проблемы несоответствия данных в корпоративной ГИС об объектах теплоснабжения их фактическому состоянию. В работе представлено подробное описание используемой методики верификации векторных данных и практических этапов проделанной работы.

Ключевые слова: корпоративная ГИС; теплоснабжение; инженерные сети; верификация данных; векторные данные; атрибутивная информация.

Эффективность эксплуатации тепловых сетей напрямую зависит от наличия полной, актуальной и достоверной информации о пространственном положении и взаимосвязях их объектов. Для организаций с территориально-распределенной инфраструктурой сбор и использование подобных данных для планирования ремонтов и принятия решений являются трудоемкими задачами. Внедрение корпоративных геоинформационных систем (ГИС) позволяет оптимизировать процесс управления тепловыми сетями, обеспечивая централизованное хранение и анализ имеющейся о них информации.

В Уфимском университете науки и технологий (УУНиТ) длительное время ведется разработка ГИС, ядром которой являются цифровые двойники зданий, сооружений и различной инфраструктуры ВУЗа, в частности отопления. Ключевой особенностью системы является активное внедрение технологий имитационного моделирования, в том числе создание трехмерных моделей, основой для которых являются векторные данные.

Следует отметить, что для создания пространственных векторных объектов системы теплоснабжения чаще всего за основу принимается схема отопления, разработанная на этапе проектирования здания. Однако, в ходе многолетней эксплуатации, инфраструктура неизбежно подвергается реконструкциям, ремонтам и модернизациям. Это приводит к расхождению между текущим состоянием объектов теплоснабжения и их описанием в проектной документации. Для разрешения подобных противоречий, при создании базы геоданных для будущей ГИС требуется проводить верификацию имеющихся сведений.

В рамках данной работы под верификацией данных понимается комплексный процесс проверки и подтверждения достоверности цифровой

информации в ГИС. Он заключается в сопоставлении имеющихся в системе данных с фактическими сведениями об объектах, полученных на местности. Процесс верификации охватывал четыре ключевых аспекта: нахождение ошибок и редактирование геометрии векторных объектов (их пространственное положение и форму), уточнение атрибутивной информации о них (семантические характеристики), логическую целостность данных (топологические связи между объектами) и их актуальность.

Реализация процесса верификации потребовала применения различных форм визуализации и редактирования пространственных данных, использовались как двумерные, так и трехмерные модели представления информации. Двумерное представление служило основным инструментом для редактирования геометрии объектов, исправления ошибок топологии и неточностей в атрибутивных данных. Трехмерное моделирование применялось для повышения точности контроля пространственного расположения элементов тепловых сетей. Возможности трехмерной визуализации позволили идентифицировать и исправить ошибки, которые были неочевидны при работе в двумерной проекции (рис. 1).

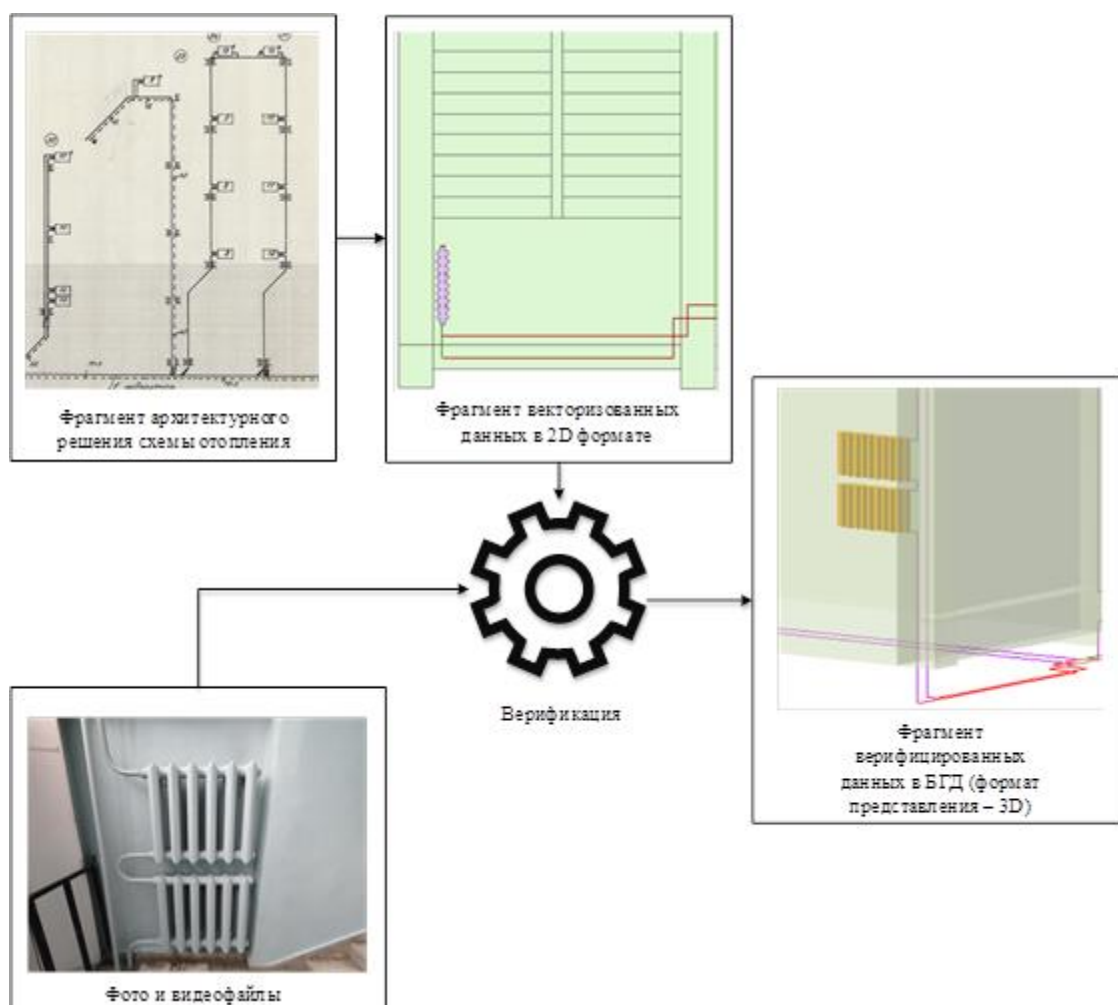


Рис. 1. Схема процесса создания модели системы отопления с применением верификации

Для получения информации о текущем состоянии и расположении объектов тепловых сетей был организован обход помещений 6 и 7 корпусов Уфимского университета науки и технологий. Применялись инструменты фото- и видеофиксации. Элементы системы теплоснабжения были засняты с разных ракурсов, что позволило создать детализированный архив, используемый в дальнейшем при редактировании данных в ГИС. Для обеспечения полноты охвата обследование проводилось с использованием актуальных поэтажных планов, где отмечались проверенные помещения. Это позволило визуализировать зоны покрытия и исключить пропуски объектов. По итогам работ был сформирован обширный массив видео- и фотоматериалов, дающих актуальное представление о конфигурации объектов тепловых сетей корпусов.

На основании материалов натурного обследования были актуализированы сведения об объектах тепловой сети: нагревательных приборах и трубопроводах в зданиях. Первые представлены в виде полигональных объектов, вторые – в виде линейных. Для нагревательных приборов были откорректированы значения атрибута «Количество секций» («Pipe_section»), отвечающее за количество секций радиаторов. Приведение данного параметра к фактическим значениям очень важно для корректных расчетов тепловой нагрузки. Также в базу данных были добавлены ранее неучтенные отопительные приборы и удалены демонтированные нагревательные элементы. В ходе работ также была зафиксирована модернизация системы отопления на 5 этаже 6 корпуса, где были установлены новые биметаллические радиаторы. Для их корректного отображения в классе пространственных объектов «Нагревательные элементы» был введен новый подтип – «Радиатор биметаллический». Кроме того, в результате обследования в ГИС были впервые внесены данные об объектах тепловых сетей, расположенные на 6 этаже 6 корпуса. Таким образом были исключены «слепые зоны», мешающие получению достоверных результатов при управлении и планировании.

Важнейшим этапом верификации стала работа с линейными объектами, представляющими трубопроводную сеть системы отопления. При детальном изучении существующей схемы в ГИС и ее сопоставлении с реальным расположением труб были выявлены многочисленные несоответствия. Для их устранения была отредактирована в первую очередь топология сети, что позволило выявить и удалить ложные разрывы, ошибочные соединения и избыточные узлы. Также цифровое представление трубопроводов было приведено в соответствие с их реальной формой. Была проведена корректировка геометрии линейных объектов с учетом их реальных изгибов труб. Помимо этого, было исправлено положение элементов, смещенных относительно фактического расположения в пространстве. В частности, для участков трубопроводов, которые в базе данных ГИС изначально находились ниже уровня пола 1 этажа, были корректно заданы z-координаты, соответствующие их реальному расположению. Кроме того, база данных была

дополнена новыми объектами трубопроводов на 6 этаже 6 корпуса. Также на ряде других этажей были добавлены ранее неучтенные участки трубопроводов.

Таким образом, проделанная верификация данных позволила перевести цифровую модель тепловых сетей на качественно новый уровень. В результате верификации была обеспечена полнота, достоверность и актуальность данных, имеющихся в корпоративной, ГИС УУНиТ. Главным итогом стало формирование адекватной цифровой модели тепловых сетей 6 корпуса Уфимского университета науки и технологий. Полученный результат может стать надежным фундаментом для последующего решения практико-аналитических задач с использованием корпоративной ГИС УУНиТ.

Библиографический список

1. Витвинова, И. И. Разработка цифрового двойника системы отопления с применением ГИС-технологий / И. И. Витвинова, А. Ф. Атнабаев // Мавлютовские чтения: Материалы XVII Всероссийской молодёжной научной конференции. В 9-ти томах, Уфа, 21–23 ноября 2023 года. – Уфа: Уфимский университет науки и технологий, 2024. – С. 488-494. – EDN ADCJXE.

2. Гриценко, Ю. Б. Геоинформационные технологии мониторинга инженерных сетей: монография / Ю. Б. Гриценко, Ю. П. Ехлаков, О. И. Жуковский. – Томск: Изд-во Томского государственного университета систем управления и радиоэлектроники, 2010. – 148 с. – ISBN 978-5-86889-542-5.

3. Demystifying GIS data – the what, why, and how for heat utilities [Электронный ресурс] // Kamstrup. – 2023. – URL: <https://www.kamstrup.com/en-en/insights/demystifying-gis-data-for-heat-utilities> (дата обращения: 31.10.2025).

© Гумерова Д.И., 2025

А.А. ДОНЦОВ

minifist358@gmail.com

Науч. руковод. – канд. техн. наук, доц. Е.И. ФИЛОСОВА

Уфимский университет науки и технологий

ИСПОЛЬЗОВАНИЕ ГЕОИНФОРМАЦИОННЫХ СИСТЕМ ДЛЯ ГЕЙМИФИКАЦИИ ПОСТРОЕНИЯ ПЕРСОНАЛИЗИРОВАННЫХ МАРШРУТОВ В ГОРОДСКОМ ТУРИЗМЕ

Аннотация: в статье рассматриваются концептуальная модель мобильного приложения, интегрирующего геоинформационные системы и игровые механики, обосновывается потенциал внедрения предложенного подхода для улучшения физического и психического здоровья населения, стимулирования пешей активности местных жителей и оптимизации персонализированных туристических маршрутов на основе краудсорсинга.

Ключевые слова: геймификация, геоинформационные системы (ГИС), городской туризм, персонализированные маршруты, пеший туризм, туман войны, урбанистика, физическая активность.

Интеграция геоинформационных систем и механик геймификации в контексте городского туризма и рекреации представляет собой перспективное направление для решения комплекса взаимосвязанных проблем современного урбанизированного общества. Урбанизация как глобальный процесс трансформирует образ жизни большинства людей, концентрируя их в условиях плотной городской среды. Недостаток физической активности в городской среде бывает связан не только с отсутствием инфраструктуры, но и с отсутствием мотивации к исследованию окружающего пространства [1]. Эффективное городское планирование может положительно влиять на уровень физической активности населения, однако требуется дополнительный стимул для вовлечения жителей в активное освоение городского пространства.

Традиционные путеводители, такие как Google Maps, 2ГИС, Яндекс карты и специализированные туристические сервисы, предоставляют статичную информацию без элементов персонализации и мотивационных механизмов и не решают задачу построения персонализированных маршрутов с учетом временных ограничений и индивидуальных предпочтений. Хотя геоинформационные технологии активно используются в туристической отрасли для визуализации ресурсного потенциала территорий, их потенциал для создания интерактивных, увлекательных пользовательских практик остается недостаточно реализованным.

В данной работе предлагается концептуальная модель мобильного приложения, интегрирующего геоинформационные системы и элементы

геймификации для решения двух взаимосвязанных проблем: стимулирования физической активности местных жителей через игровую механику исследования территории и предоставления туристам персонализированных, созданных пользователями маршрутов с оптимизированной навигацией. Ключевая инновация предлагаемого решения заключается в создании единой экосистемы, которая объединяет игровые механики стимулирования исследования, краудсорсинговое создание контента и профессиональные туристические услуги. Механика тумана войны, адаптированная для реального городского пространства, создает мощный мотивационный стимул как для жителей города, так и для туристов, трансформируя перемещение по городу в увлекательную игру по открытию территории.

В туристической индустрии геймификация активно развивается, трансформируя традиционные методы планирования и проведения путешествий. Использование игровых механик, таких как награды, уровни, достижения и квесты, позволяет создавать уникальные и запоминающиеся впечатления. Геймифицированные туристические приложения способствуют изменению поведения туристов, повышению их удовлетворенности и более глубокому погружению в культурный контекст посещаемых мест. Геолокационные игровые механики демонстрируют эффективность в мотивации пользователей к исследованию физического пространства.

Интеграция механики «тумана войны» (fog of war), широко применяемая в стратегических играх [2], в туристические и рекреационные приложения может служить мощным мотивационным инструментом, трансформируя процесс перемещения по городу в увлекательную игру по открытию территории. Данная механика создает элемент неопределенности, поощряет исследование и трансформирует процесс перемещения по городу в увлекательную игру по открытию территории.

Ключевой инновацией предлагаемой системы является краудсорсинговый подход к формированию туристических маршрутов. Местные жители, обладающие глубоким знанием территории, могут создавать тематические маршруты, отражающие различные аспекты городской жизни: исторические, культурные, гастрономические, природные и другие. Каждый маршрут включает последовательность точек интереса с описаниями, фотографиями и рекомендациями по времени посещения. Краудсорсинговые подходы к созданию туристических маршрутов позволяют аккумулировать локальные знания жителей города и опыт предыдущих посетителей. Это создает более аутентичные и разнообразные варианты маршрутов, отражающие различные интересы и временные возможности туристов. Туристы воспринимают информацию, созданную другими путешественниками, как более достоверную по сравнению с традиционной рекламой [3].

Система предполагает двухуровневую модель взаимодействия: для местных жителей приложение функционирует как инструмент игрового исследования своего города, а для туристов — как платформа доступа к персонализированным маршрутам, созданным местными жителями и другими

пользователями. Для местных жителей применение механики тумана войны трансформирует повседневное перемещение по городу в игровой процесс исследования территории. Пользователь видит на карте только те области, где он физически присутствовал, а остальная территория остается скрытой под туманом. Это создает мотивацию к посещению новых районов, особенно периферийных и малоизвестных мест, которые часто остаются вне поля зрения жителей. Туристические агентства же получают платформу для продвижения своих услуг целевой аудитории — туристам, активно планирующим посещение города. Система рейтингования и отзывов обеспечивает механизм естественного отбора качественных маршрутов, создавая самоорганизующуюся экосистему контента.

Геоинформационные системы предоставляют необходимую технологическую основу для визуализации и анализа пространственных данных. Многослойная архитектура ГИС позволяет интегрировать различные типы информации: картографическую основу, данные о транспортной инфраструктуре, точки интереса, пользовательский контент и траектории перемещений.

Ключевая инновация предлагаемого решения заключается в создании единой экосистемы, которая объединяет игровые механики стимулирования исследования, краудсорсинговое создание контента и применение геоинформационных технологий для визуализации пространственных данных. Механика тумана войны, адаптированная для реального городского пространства, создает мощный мотивационный стимул как для жителей города, так и для туристов, трансформируя перемещение по городу в увлекательную игру по открытию территории. Стимулирование физической активности через игровые механики может внести значительный вклад в решение проблемы малоподвижного образа жизни городского населения, улучшить показатели физической активности населения, распределить туристические потоки для снижения перегрузки центральных зон.

Библиографический список

1. Шарманов А. В., Большов И. Н. АНАЛИЗ СОСТОЯНИЯ ЗДОРОВЬЯ ГОРОДСКИХ ПОДРОСТКОВ // Вестник науки. 2025. №7 (88). URL: <https://cyberleninka.ru/article/n/analiz-sostoyaniya-zdorovya-gorodskih-podrostkov> (дата обращения: 07.11.2025).

2. Туман войны // Википедия. URL: [https://ru.wikipedia.org/wiki/Туман войны](https://ru.wikipedia.org/wiki/Туман_войны) (дата обращения: 07.11.2025).

3. Только 53% россиян доверяют рекламе – Nielsen // Adindex. URL: <https://adindex.ru/news/researches/2021/12/21/301005.phtml> (дата обращения: 07.11.2025)

© Донцов А.А., 2025

УДК 004

Р. Р. ИЛЬЯСОВ

rustam.iljasov2015@yandex.ru

Науч. руковод. – канд. техн. наук, доц. С.В. Максимов

Уфимский университет науки и технологий

СИСТЕМА АВТОМАТИЧЕСКОГО АНАЛИЗА ЗАНЯТОСТИ ПАРКОВОЧНЫХ МЕСТ НА ОСНОВЕ НЕЙРОСЕТЕВОЙ МОДЕЛИ YOLO

Аннотация: В статье представлено исследование системы, предназначенной для автоматического анализа занятости парковочных мест на основе технологии компьютерного зрения. Система использует нейросетевую модель YOLO для детектирования автомобилей на видеопотоке и последующего определения статуса парковочных зон. Рассматриваются архитектура программного решения, методы обработки данных и результаты тестирования на реальных видеозаписях. Предложенный подход обеспечивает высокую точность определения занятости и возможность функционирования в режиме, близком к реальному времени.

Ключевые слова: YOLO; компьютерное зрение; автоматизация; парковка; распознавание объектов; видеонаблюдение.

ВВЕДЕНИЕ

Рост количества транспортных средств в городах создаёт повышенную нагрузку на дорожную инфраструктуру и вызывает необходимость внедрения интеллектуальных систем управления парковочным пространством. Традиционные методы контроля, такие как визуальное наблюдение или установка физических датчиков, отличаются высокой стоимостью и ограниченными возможностями масштабирования. В связи с этим технологии компьютерного зрения становятся перспективным инструментом для мониторинга парковочных зон в автоматическом режиме.

Современные модели нейронных сетей, такие как YOLO (You Only Look Once), позволяют выполнять детектирование объектов на изображении с высокой скоростью и точностью. Использование этих моделей делает возможным анализ видеопотока в реальном времени и интеграцию с существующими системами видеонаблюдения. Разработанная система выполняет распознавание автомобилей, определяет состояние парковочных мест, ведёт статистику и сохраняет данные в базе, что способствует повышению эффективности управления городской парковкой [1].

ИСПОЛЬЗУЕМЫЕ ИНСТРУМЕНТЫ

Система реализована на языке программирования Python с использованием следующих библиотек и инструментов:

1. Библиотека OpenCV — для обработки изображений и видеофайлов.
2. Модель Ultralytics YOLOv8 — для детектирования автомобилей.
3. База данных SQLite — для хранения информации о парковочных местах.

Также для графического представления данных используется библиотека Matplotlib.

Модель YOLOv8 обеспечивает высокую скорость обработки видеопотоков и точность распознавания объектов, что позволяет определять координаты автомобилей непосредственно на исходном изображении без предварительной сегментации. Это ключевое преимущество для систем анализа дорожного трафика в реальном времени [2].

СТРУКТУРА СИСТЕМЫ

Архитектура системы реализована по модульному принципу. Она включает блоки для обработки видеопотоков, компьютерного зрения, хранения данных и визуализации результатов. Такая организация обеспечивает чёткое разделение функций, упрощает модификацию и расширение системы.

Алгоритм включает в себя следующие компоненты:

1. Модуль захвата и предобработки изображений – отвечает за получение кадров с камер видеонаблюдения. С использованием библиотеки OpenCV выполняется масштабирование изображений, их нормализация и фильтрация шумов для повышения эффективности детектирования объектов.

2. Модуль анализа занятости парковочных мест. Она использует модель YOLOv8 для распознавания автомобилей и алгоритм Intersection over Union (IoU) для определения пересечения координат объектов с размеченными парковочными зонами.

3. Модуль базы данных SQLite. Данный модуль хранит сведения о количестве свободных и занятых мест, времени фиксации событий и координаты автомобилей.

4. Модуль визуализации. Использует библиотеку Matplotlib для создания графического интерфейса, в котором свободные места отмечаются зелёным цветом, а занятые — красным, что позволяет наглядно представить состояние парковки пользователю.

АЛГОРИТМ INTERSECTION OVER UNION

Метод Intersection over Union (IoU) используется для количественной оценки совпадения областей, определяемых моделью и заранее размеченными зонами парковки. Метрика вычисляется как отношение площади пересечения к площади объединения двух прямоугольников:

$$IoU = \frac{\text{Площадь пересечения}}{\text{Площадь объединения}}$$

При значении IoU, превышающем установленный порог, парковочное место считается занятым. Данный подход позволяет корректно учитывать частичные перекрытия и уменьшать количество ложных срабатываний [3].

АНАЛИЗ ИТОГОВ ЭКСПЕРИМЕНТАЛЬНОГО ИССЛЕДОВАНИЯ

Для оценки функционирования разработанной системы были выполнены испытания с использованием настоящих видеоматериалов автостоянок. Полученные данные продемонстрировали устойчивое функционирование и небольшое время обработки изображений, что говорит о применимости решения в режиме реального времени.

На рис. 1 представлен итог отслеживания зон для парковки и анализа степени их заполненности.



Рис. 1. Результат определения парковочных мест

На изображении можно видеть свободные места для парковки, а также отмеченные автомобили, находящиеся на стоянке. Наглядно отражается весь объем мест и количество занятых.

В процессе испытаний система правильно регистрировала изменения состояния парковочных мест при перемещении автомобилей, актуализируя графическое отображение и статистические данные. Средняя величина аккуратности распознавания заполненности превысила 95%, что доказывает высокую надежность предложенного метода [5].

ЗАКЛЮЧЕНИЕ

Разработанная система автоматического анализа занятости парковочных мест на основе модели YOLO показала высокую эффективность и точность

работы. Использование нейросетевых методов компьютерного зрения позволяет минимизировать влияние человеческого фактора и обеспечить адаптивность при изменении условий съёмки. Система может быть интегрирована в городские инфраструктурные проекты и применяться для мониторинга парковок в реальном времени.

Библиографический список

1. Редмон, Дж., Диввала, С., Гиршик, Р., Фархади, А. (2016). «YOLO: Единое, реал-таймовое обнаружение объектов». *Труды IEEE Конференции по компьютерному зрению и распознаванию образов (CVPR)*, 779-788.
2. Лю, В., Ангелов, Д., Эрхан, Д., Сегеди, Ч., Рид, С., Фу, Ч.-Й., Берг, А. С. (2016). «SSD: Детектор с одиночным проходом для обнаружения объектов». *Труды Европейской конференции по компьютерному зрению (ECCV)*, 21-37.
3. Рен, С., Хе, К., Гиршик, Р., Сун, Дж. (2015). «Faster R-CNN: К реальному времени обнаружения объектов с использованием сетей предложений областей». *Конференция по обработке нейронной информации (NeurIPS)*, 91-99.
4. Лазарев, П.А., Сидорова, Е.Л. (2020). «Применение нейронных сетей для мониторинга парковочных мест в реальном времени». *Научно-технический вестник информационных технологий, механики и оптики*, 20(5), 724-730.
5. Михайлов, В.И., Козлова, Т.Ю. (2019). «Интеллектуальные парковочные системы на основе технологии IoT и компьютерного зрения». *Современные информационные технологии и IT-образование*, 15(1), 85-92

© Ильясов Р.Р., 2025

А.И. КАРАЧУРИН

artemkar3002@gmail.com

Науч. руковод. – канд. техн. наук, доц. Е.И. ФИЛОСОВА

Уфимский университет науки и технологий

РАЗРАБОТКА ИНФОРМАЦИОННОЙ СИСТЕМЫ ДЛЯ ОПТИМИЗАЦИИ УСТАНОВКИ ВЕТРОГЕНЕРАТОРОВ

Аннотация: статья описывает процесс разработки информационной системы, которая позволяет автоматизировать процесс определения оптимальных мест установки ветрогенераторов и расчета выработки электроэнергии. Система позволяет упростить процесс анализа ветровых условий и повысить эффективность использования ветровых ресурсов. В статье описываются функциональные возможности системы и особенности ее использования.

Ключевые слова: ветрогенераторы, оптимизация установки, автоматизация функций, информационная система, ветроэнергетика.

В последние годы во многих секторах российской экономики значительно участились случаи использования возобновляемых источников энергии. Программа «Цифровая экономика Российской Федерации» интенсифицирует работы по цифровизации всех сторон экономической деятельности России [1]. Непрерывно растет сложность используемых информационных систем и технологий, особенно в сфере применения промышленной концепции Industry 4.0 [2], появляются новые запросы на интеграцию технологий, включая киберфизические системы, объединяющие реальные объекты с виртуальными процессами через информационные сети или Интернет, а также на гибридные вычислительные среды и открытые архитектурные решения. Эти подходы находят применение, в том числе и в области ветроэнергетики.

В современных условиях одно из приоритетных направлений повышения эффективности производства – это сокращение энергозатрат. Рост технологического уровня сопровождается увеличением потребления электричества, что неизбежно отражается на себестоимости продукции. В этой связи всё большее внимание уделяется поиску решений для снижения затрат на электроэнергию. Одним из таких решений является внедрение альтернативных источников энергии, в частности – ветроэнергетики.

Ветроэнергетика представляет собой отрасль, специализирующуюся на выработке электроэнергии с использованием энергии ветра. Эффективность работы ветрогенераторов напрямую зависит от особенностей местности, включая силу и стабильность ветров, рельеф, а также близость к инфраструктуре. Поэтому выбор мест установки требует комплексного анализа, учитывающего топографию и доступность сетей электроснабжения (см. рис. 1).

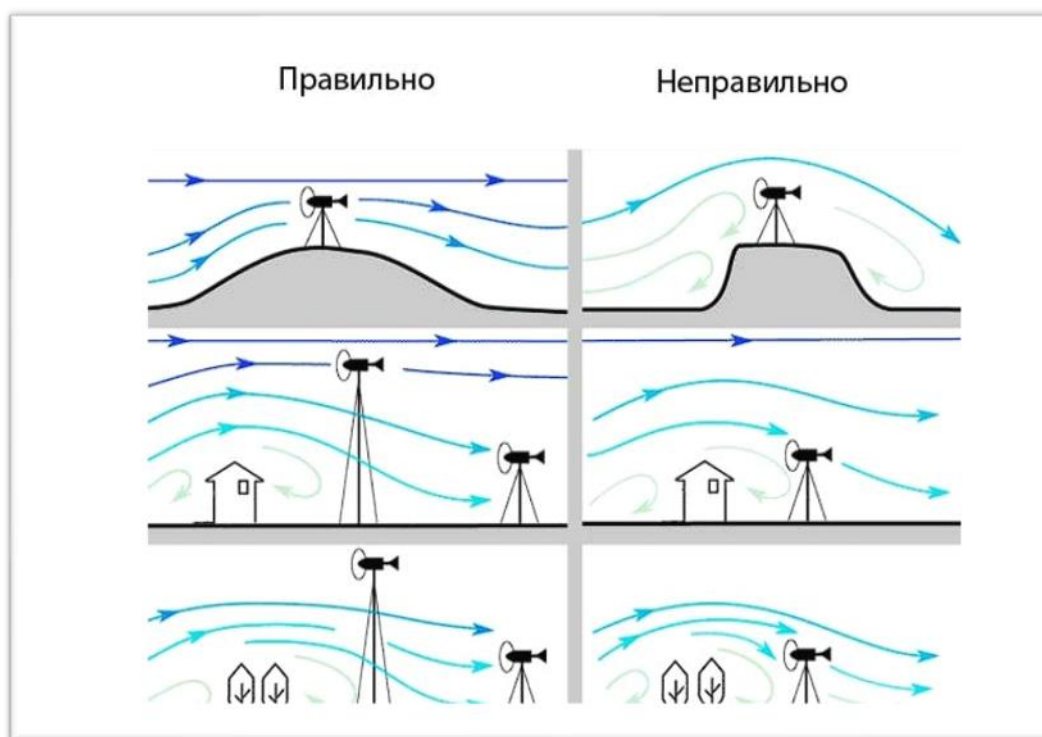


Рис. 1. Требования к топографии местности

Сегодня для анализа и подбора мест установки ветрогенераторов используют специализированное ПО, например, WindPro. Однако подобные решения имеют ряд ограничений, с которыми сталкиваются пользователи:

1. Высокие требования к квалификации персонала: использование программ требует специальных знаний.
2. Временные затраты: подготовка и анализ данных занимают значительное время.
3. Проблемы с получением достоверных исходных данных о ветре.
4. Стоимость лицензий: профессиональные решения платные и недоступны для малого бизнеса.
5. Бесплатные альтернативы обладают ограниченными возможностями и низкой гибкостью.
6. Недостаточная точность и автоматизация при выборе площадок и подготовке проектов.

Решение этих задач зачастую выполняется вручную либо с помощью сложного и дорогостоящего софта. Для повышения эффективности предлагается разработать информационную систему, способную хранить, анализировать и обрабатывать данные о ветровых условиях и характеристиках ветрогенераторов.

Для устранения указанных недостатков предлагается система, сочетающая различные методы анализа и визуализации. Методология проекта базируется на сочетании структурного и объектно-ориентированного подходов к разработке, а также на использовании реляционной модели данных. Разрабатываемая система включает следующие ключевые функции:

1. **Обработка исходных климатических данных:** загрузка и классификация карты плотности ветровой энергии.
 2. **Геоанализ рельефа:** вычисление уклонов на основе цифровой модели рельефа.
 3. **Формирование маски пригодных зон:** объединение классифицированных растров.
 4. **Расчёт прогнозируемой выработки электроэнергии** по выбранным моделям ветрогенераторов.
 5. **Расчёт экономических показателей:** стоимость, рентабельность и срок окупаемости проекта.
 6. Интеграция с базой данных PostgreSQL: хранение заказов, параметров генераторов, результатов анализа и отчётов.
 7. Генерация отчётов: формирование итоговых документов с картами, расчётами и характеристиками выбранных площадок.
- На рисунке 2 представлена архитектура разрабатываемой информационной системы.

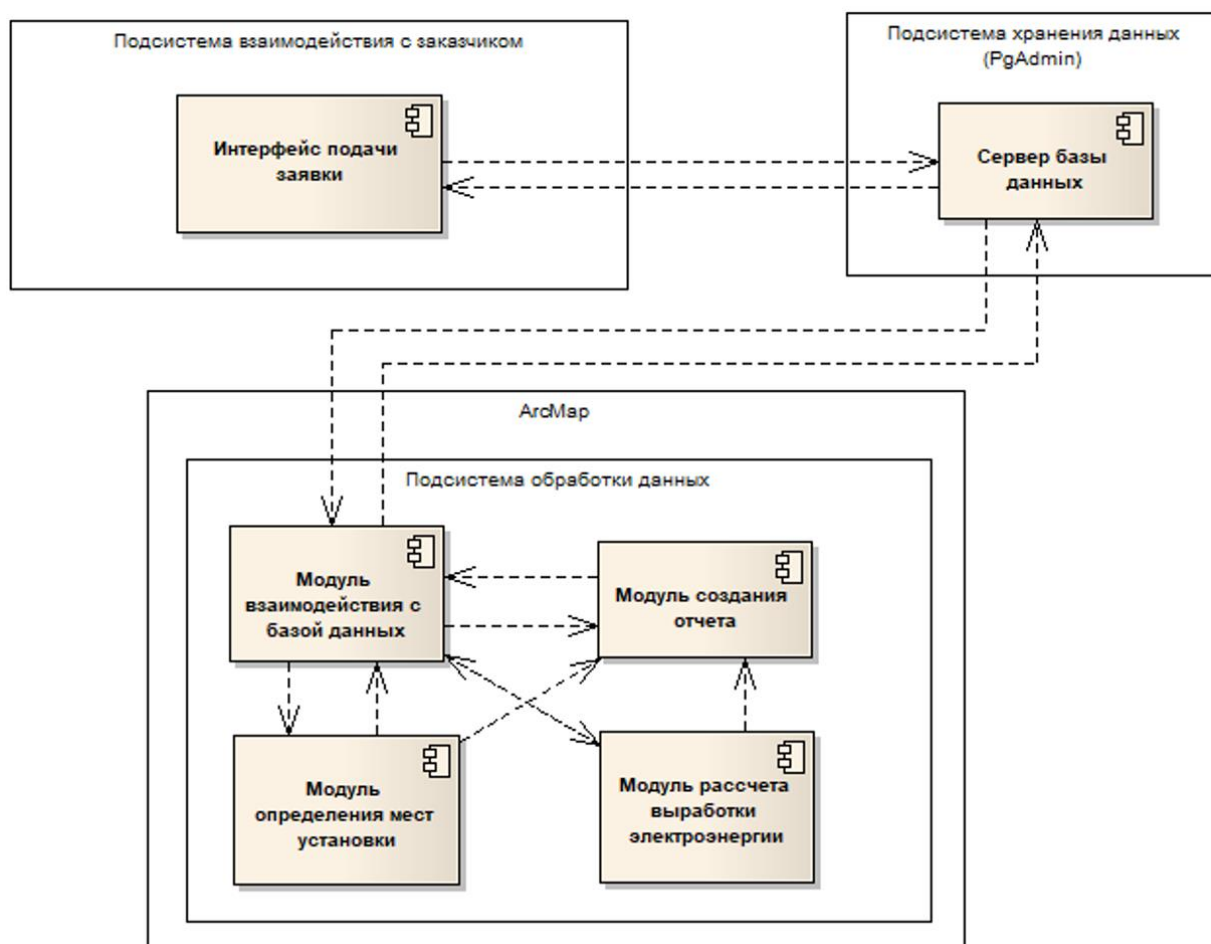


Рис. 2. Программно-техническая архитектура ИС

Она включает несколько логических подсистем:

1. Подсистема взаимодействия с заказчиком предоставляет веб-интерфейс для подачи заявок и указания требований к проекту.

2. Подсистема хранения данных основана на серверной реляционной базе данных, в которой централизованно хранятся сведения о заявках, параметрах генераторов, расчетах и отчётах.

3. Подсистема обработки данных реализуется в среде ArcMap и включает модули:

- Загрузки данных из базы;
- Анализа ветровых условий и определения зон установки;
- Расчёта выработки электроэнергии;
- Формирования и отправки итогового отчёта в базу данных или отправки отчета клиенту через email.

Обработка заявок осуществляется автоматически на основе введённых данных, а результаты отправляются клиенту по электронной почте.

На рисунке 3 представлена диаграмма последовательности, отражающая процесс обработки заявки на подбор подходящих площадок для размещения ветрогенераторов. Пользователь передаёт исходные параметры через веб-интерфейс, после чего они автоматически направляются на сервер и сохраняются в базе данных PostgreSQL. Клиентское настольное приложение запрашивает сведения о новой заявке и инициирует запуск модуля пространственного анализа в среде ArcMap. В процессе анализа выполняется загрузка цифровой модели рельефа, карты ветровой энергии, вычисление уклонов и формирование итоговой маски пригодных территорий. После завершения расчётов формируются данные о потенциальной выработке и итоговый отчёт, который передается обратно в базу данных. На финальном этапе система отправляет клиенту уведомление о готовности результата. Данная схема демонстрирует последовательность взаимодействия компонентов информационной системы и обеспечивает полную автоматизацию обработки заявки — от ввода данных до формирования отчётной документации.

Для реализации информационной системы использован комплекс программных инструментов, обеспечивающих обработку пространственных данных, хранение результатов и взаимодействие с пользователем. Геоаналитический модуль разработан в среде ArcGIS Desktop (ArcMap), что позволило выполнять вычисление уклонов, классификацию растров и построение итоговой маски пригодности. В качестве серверной платформы для хранения данных выбрана реляционная СУБД PostgreSQL, администрируемая через pgAdmin. Клиентская часть реализована на языке C# (Windows Forms) и обеспечивает работу с проектами, параметрами ветрогенераторов и формирование отчётов. Дополнительно разработан веб-модуль на Flask, который предоставляет интерфейс для удалённой подачи заявок и автоматической передачи данных в базу. Выбор указанных технологий обеспечивает модульность системы, её расширяемость и возможность масштабирования под реальные инженерные задачи.

Информационная система использует реляционную модель данных, включающую несколько взаимосвязанных таблиц: Клиент, Заказ, Проект, Ветрогенератор, Ветрогенераторы проекта, Доступные данные. Таблицы

связаны ключевыми полями и формируют единую логическую схему хранения информации. Например, таблица «Ветрогенераторы проекта» реализует связь «многие-ко-многим» между проектами и моделями генераторов, фиксируя конфигурацию и параметры оборудования для расчётов. Такая структура обеспечивает целостность данных, упрощает выполнение вычислений и позволяет формировать итоговые отчёты, основанные на реальных связях между заказами, геоданными и выбранными типами ветрогенераторов.

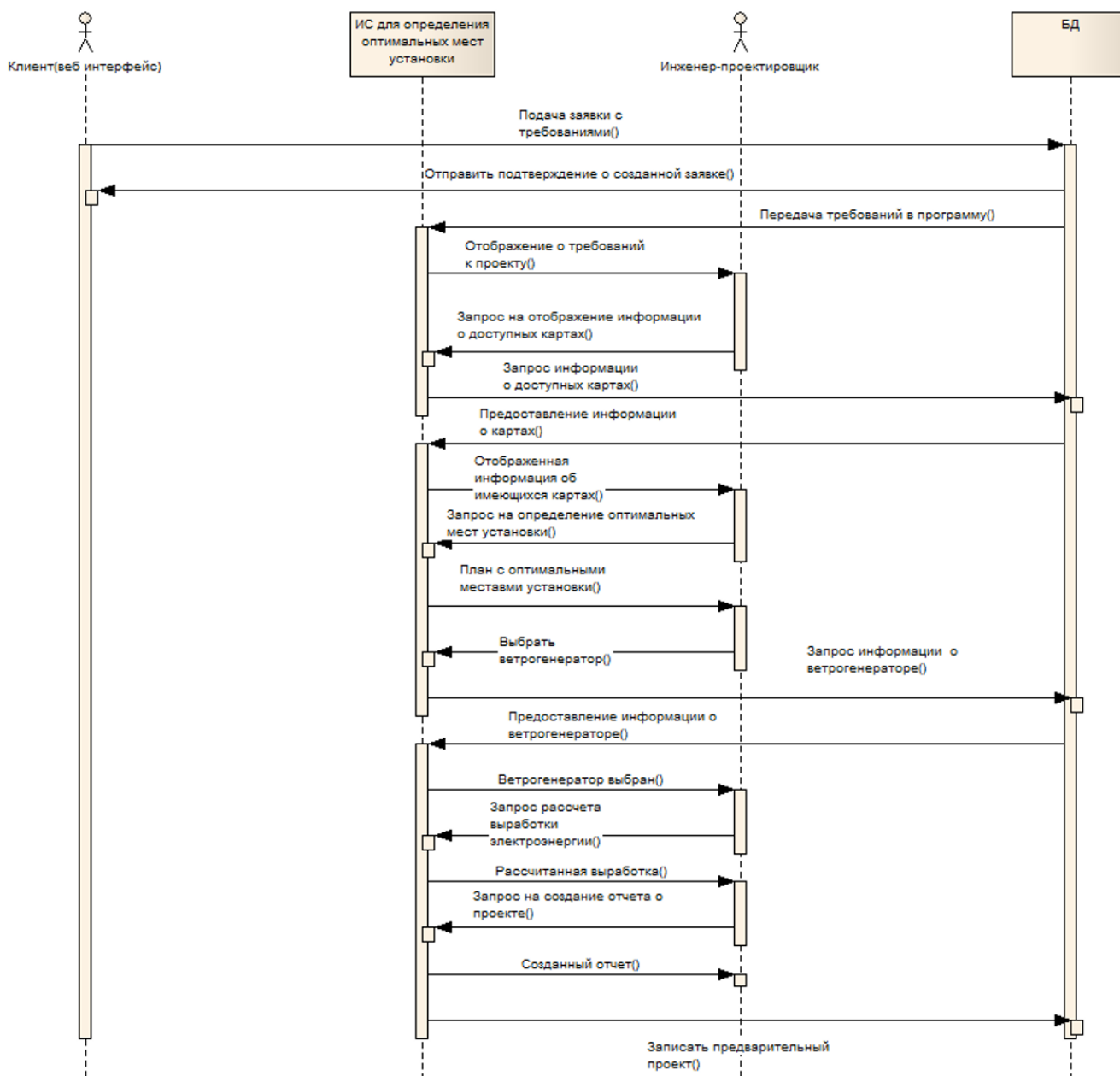


Рис. 3. Диаграмма последовательности действий при работе с системой

Рисунок 4 демонстрирует результат работы подсистемы обработки данных. На карте зелёным цветом показаны участки, которые по результатам анализа могут рассматриваться как подходящие для размещения ветрогенераторов. При выделении этих зон учитывались два ключевых фактора: уклон поверхности и значения плотности ветровой энергии,

полученные из исходных климатических данных. Дополнительные параметры, вводимые пользователем при создании заявки, также влияют на итоговый перечень допустимых территорий.

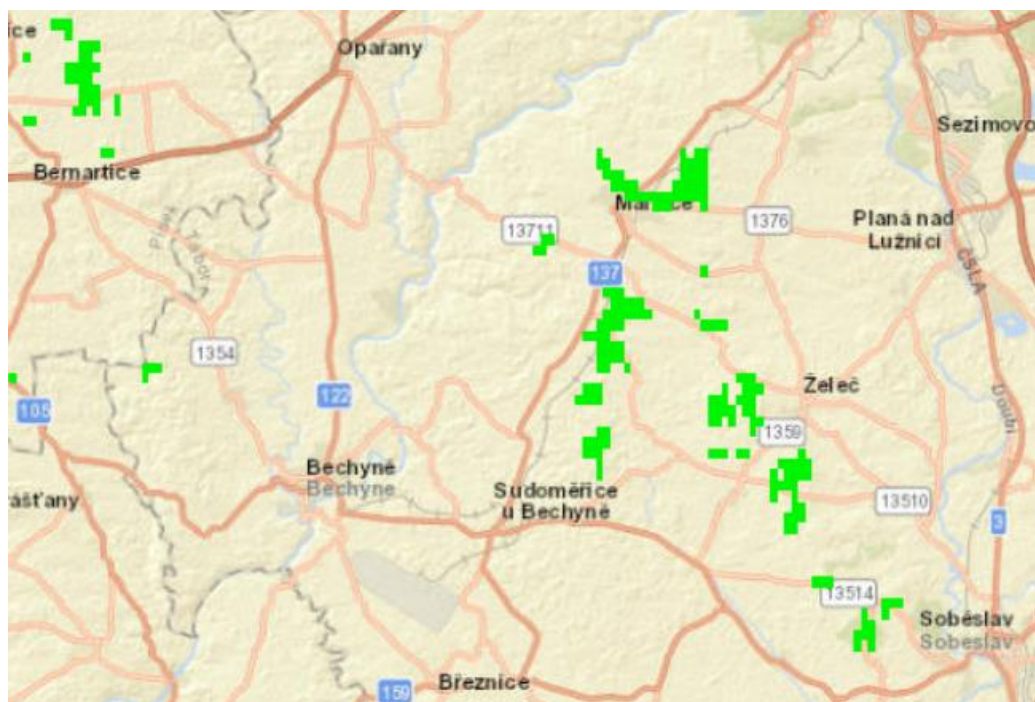


Рис. 4. Результат анализа

В заключение следует отметить, что разработка подобной информационной системы имеет практическую значимость и востребованность. Она позволяет автоматизировать большую часть процедур, связанных с анализом ветровых характеристик местности и оценкой пригодности участков для установки генераторов. Применение такого инструмента помогает сократить затраты времени на подготовку проектов и способствует более рациональному использованию доступного ветрового потенциала, что особенно важно в условиях роста интереса к возобновляемым источникам энергии. Внедрение подобной системы будет способствовать стабилизации бизнес-процессов и улучшению энергоэффективности предприятий, что особенно актуально в условиях растущей конкуренции и необходимости снижения энергопотребления.

Библиографический список

1. Программа «Цифровая экономика Российской Федерации» // URL: <http://static.government.ru/media/files/9gFM4FHj4PsB79I5v7yLVuPgu4bvR7M0.pdf> (дата обращения: 30.10.2024).

2. Martynov, V. Information Architecture to Support Engineering Education in the Era of Industry 4.0 / V. Martynov, E. Filsova, Y. Egorova // 2022 6th International Conference on Information Technologies in Engineering Education,

Inforino 2022 - Proceedings: 6, Moscow, 12–15 апреля 2022 года. – Moscow, 2022.
– DOI 10.1109/Inforino53888.2022.9782999.

3. Методика работы с программой «WindPRO 2.7» – June 2010 // EMD International A/S, Niels Jernes Vej 10, DK9220 Aalborg Ø. URL: <http://www.emd.dk> (дата обращения: 30.10.2024).

© Карачурин А.И., 2025

П.А. КОНОНОВА, В. А. КОНОНОВА

kononova.polly@mail.ru, val.kononova8@mail.ru

Науч. руковод. – док. техн. наук, проф. О.И. ХРИСТОДУЛО

Уфимский университет науки и технологий

ПРОЕКТИРОВАНИЕ РАСШИРЕННОГО ПОЛЬЗОВАТЕЛЬСКОГО ИНТЕРФЕЙСА В ГИС НАУЧНО-ОБРАЗОВАТЕЛЬНЫХ МАРШРУТОВ В Г. УФА

Аннотация: статья посвящена проектированию расширенного пользовательского интерфейса в геоинформационной системе научно-образовательных маршрутов в городе Уфа. Рассматриваются сравнительный анализ существующих решений, функциональная модель взаимодействия пользователя с системой, информационная модель данных, макеты интерфейса.

Ключевые слова: геоинформационные системы; ГИС; научно-образовательные маршруты; студенческий туризм; проектирование; пользовательский интерфейс; бронирование маршрута; личный кабинет; ЛК; отзыв на маршрут.

Введение

В наши дни большую актуальность приобретает вопрос развития науки и ее популяризации среди студенческой молодежи, что непосредственно связано с объявлением в России «Десятилетия науки и технологий» на 2022-2031 годы [1]. Одним из способов достижения этой задачи, является научно-образовательный студенческий туризм, подразумевающий поездки с образовательной целью, направленные на поиск возможностей для практики, а также участия в научных мероприятиях. Евразийский научно-образовательный центр Республики Башкортостан и Уфимский университет науки и технологий активно участвуют в данной программе, запустив пробные научно-образовательные экскурсии, направленные на повышение интереса у обучающихся школ и вузов к научной составляющей города [2]. Всего было разработано семь научно-образовательных маршрутов различных научных направлений: гуманитарные, IT, геологические, химические и другие.

В прошлом году была разработана геоинформационная система (ГИС) научно-образовательных маршрутов в г. Уфа для структурирования информации о маршрутах, организации хранения, визуализации и обработки пространственных и атрибутивных данных. Однако реализованный функционал системы ограничивается справочными функциями, не предусматривая интерактивного взаимодействия с пользователем, такого как бронирование участия, написание отзывов и просмотр актуального расписания. В связи с этим принято решение о разработке дополнительного функционала, объединяющего

эти возможности в личном кабинете, который будет отражать все действия пользователя.

Сравнительный анализ существующих информационных систем для организации и бронирования экскурсий

Для проектирования расширенного пользовательского интерфейса ГИС научно-образовательных маршрутов в г. Уфа был проведен сравнительный анализ существующих туристических информационных систем в сфере организации и бронирования экскурсий. Было выявлено несколько основных критериев сравнения: возможность записи на экскурсию, обратная связь, наличие личного кабинета, системы уведомлений, а также календаря с расписанием экскурсий в системе. В табл. 1 приведен сравнительный анализ данных информационных систем по выделенным критериям.

Таблица 1

Сравнительный анализ туристических информационных систем в сфере организации и бронирования экскурсий

| Информационная система | Личный кабинет пользователя | Интерактивная карта | Маршруты на карте | Запись на экскурсию/маршрут | Календарь с расписанием экскурсий | Система уведомлений | Обратная связь (отзывы на маршрут) |
|------------------------|-----------------------------|---------------------|-------------------|-----------------------------|-----------------------------------|---------------------|------------------------------------|
| Tripster | + | - | - | + | - | + | + |
| Яндекс Путешествия | + | + | - | + | - | + | + |
| Ru.Trip | + | - | - | + | + | - | + |
| 2ГИС | + | + | + | - | - | - | - |
| IZI Travel | + | + | + | + | - | - | + |
| Ostrovok | + | + | - | + | - | + | + |
| Kassir.ru | - | - | + | - | + | + | - |
| Ticketland | + | + | + | + | - | + | - |

В результате сравнительного анализа существующих туристических информационных систем, установлено, что ни одна из них не обладает полным набором выделенных функций [3]. Несмотря на это, большинство демонстрируют отдельные функциональные решения, ставшие основой для проектирования пользовательского интерфейса в ГИС научно-образовательных маршрутов в г. Уфа.

Проектирование расширенного пользовательского интерфейса в ГИС научно-образовательных маршрутов в г. Уфа

Для проектирования расширенного пользовательского интерфейса разработана функциональная модель взаимодействия пользователя с ГИС научно-образовательных маршрутов в г. Уфа (рис. 1)

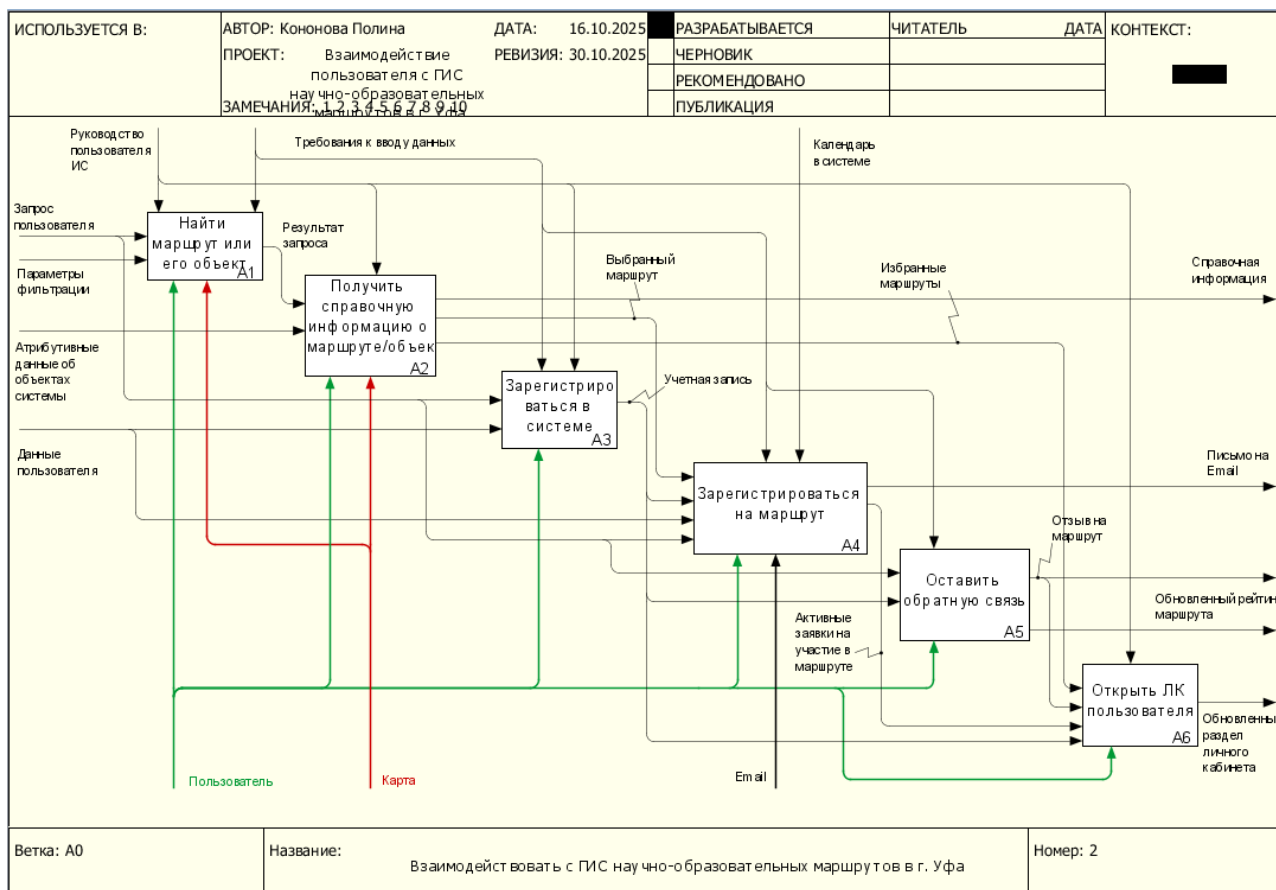


Рис. 32. Функциональная модель взаимодействия пользователя с ГИС научно-образовательных маршрутов в г. Уфа

Разработанная модель взаимодействия пользователя с ГИС научно-образовательных маршрутов в г. Уфа с использованием стандарта IDEF0 представлена с точки зрения пользователя (туриста), который хочет записаться на маршрут. При разработке функциональной модели были выявлены шесть основных функций, представленные в виде блоков, три из которых, на данный момент, реализованы в прототипе системы – блоки A1-A3. Дополнительные функции взаимодействия пользователя с системой представлены в блоках:

- Зарегистрироваться на маршрут (A4). На вход поступают выбранный маршрут (из блока A2), учетная запись (из блока A3), запрос и данные пользователя. Результатом работы данного блока является письмо на email и активные заявки на участие в маршруте.

- Оставить обратную связь (A5). Запрос пользователя и учетная запись третьего блока поступают на вход. Выходом является отзыв на маршрут и обновленный рейтинг маршрута.

- Открыть личный кабинет (ЛК) пользователя (A6). На вход данного блока поступают избранные маршруты из второго блока, учетная запись из третьего блока, активные заявки на участие в маршруте из четвертого блока и отзыв на маршрут из пятого блока. На выходе получается обновленный раздел личного кабинета.

Для всех перечисленных блоков предусмотрены управления: руководство пользователя информационной системы (ИС), требования к вводу данных и календарь в системе. Механизмами являются пользователь и система email.

Данные о пользователях, маршрутах, отзывах о них, заявках на участие, а также истории посещения маршрутов пользователем ГИС научно-образовательных маршрутов планируется хранить в базе данных MySQL согласно информационной модели, представленной на рис. 2. Пунктиром выделена часть пользовательского интерфейса.

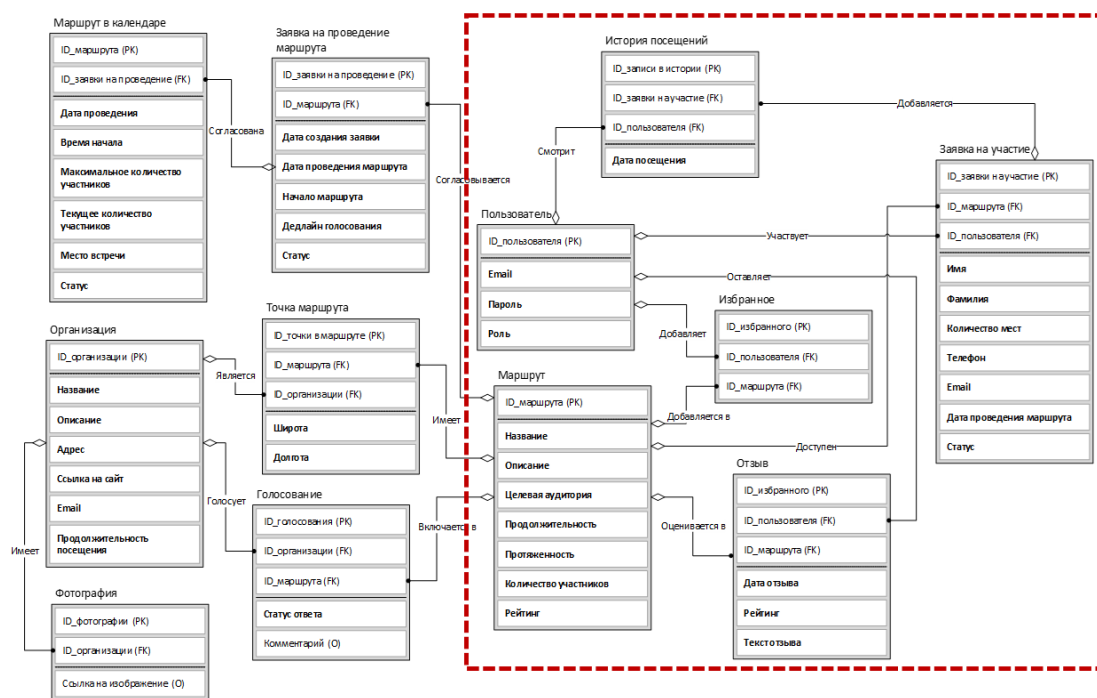


Рис. 33. Информационная модель данных ГИС научно-образовательных маршрутов в г. Уфа

Разработка расширенного пользовательского интерфейса в ГИС научно-образовательных маршрутов в г. Уфа

На основе проведенного анализа, функциональной и информационной моделей, созданы макеты пользовательского интерфейса с дополнительными функциями в графическом онлайн-редакторе Figma [4]. На рис. 3 показан алгоритм записи зарегистрированного пользователя на научно-образовательный маршрут через систему календаря. После выбора маршрута и даты, пользователь заполняет форму регистрации, в которой указывает свои инициалы, количество бронируемых мест, контактный телефон и email. После отправки формы пользователю поступает на почту письмо с деталями бронирования и напоминанием о предстоящем маршруте.

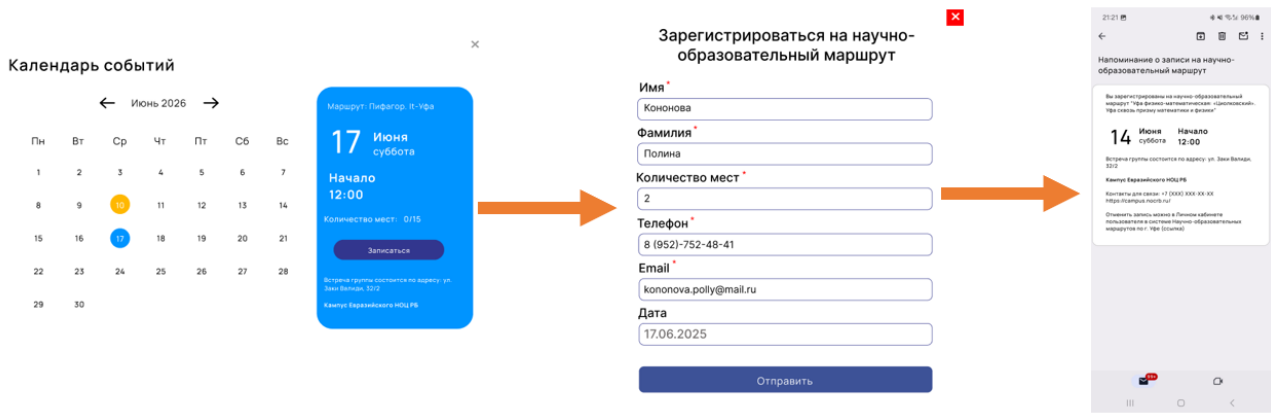


Рис. 34. Макет функции регистрации на маршрут в ГИС научно-образовательных маршрутов в г. Уфа

Личный кабинет пользователя, доступный после регистрации в системе, предоставляет доступ к истории всех действий: избранным маршрутам, активным бронированиям, оставленным отзывам на экскурсии и завершенным маршрутам (рис. 5).

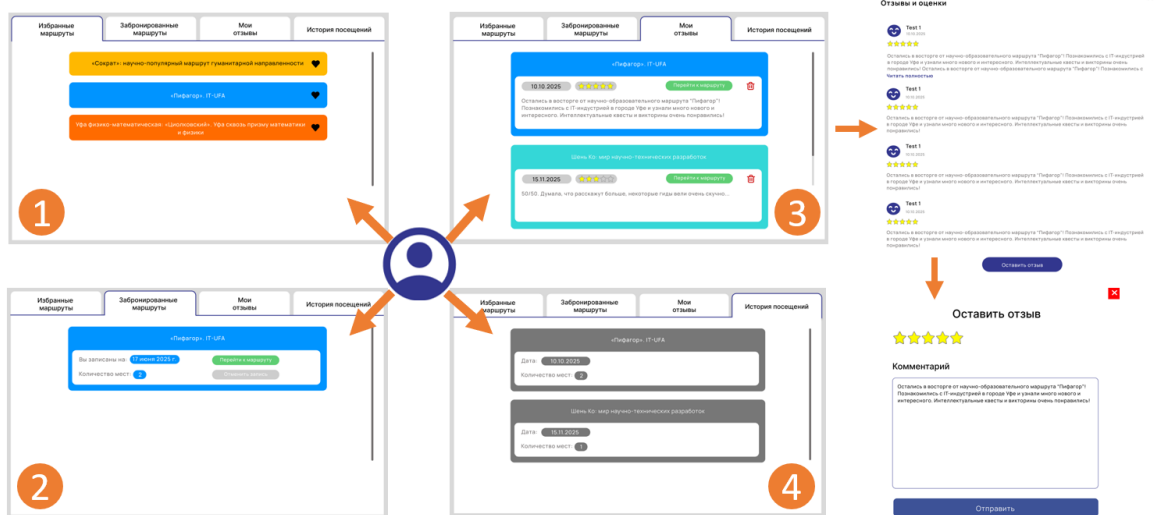


Рис. 35. Разделы личного кабинета пользователя в ГИС научно-образовательных маршрутов в г. Уфа

Структура личного кабинета включает следующие разделы:

1. Избранные маршруты – содержит маршруты, отмеченные пользователем для последующего просмотра или планирования посещения.
2. Забронированные маршруты – отображает текущие забронированные маршруты.
3. Мои отзывы – включает все оставленные пользователем оценки и отзывы с возможностью их удаления. Написать отзыв можно непосредственно на странице соответствующего научно-образовательного маршрута, где также доступны оценки других пользователей. На основе этих данных формируется общий рейтинг маршрута.
4. История посещений – архив завершенных маршрутов пользователя.

Предложенный функционал планируется разрабатывать на основе полноценного стека фреймворков: клиентская часть – на Vue.js, серверная – на Laravel [5].

Заключение

Реализованный прототип системы разрабатывался непосредственно в информационно-справочных целях без возможности записи на экскурсии и, соответственно, без получения обратной связи о них. В рамках работы спроектирован расширенный пользовательский интерфейс, включающий систему бронирования, обратной связи и личного кабинета. Реализация предложенных решений позволит расширить функциональность системы, преобразовав её из справочного ресурса в платформу для коммуникации между организаторами и участниками научно-образовательных маршрутов.

Библиографический список

1. Дзахмишева, И. Ш. Научно-популярный туризм: монография / И. Ш. Дзахмишева, А. Б. Жерукова, З. Ю. Тенова. — Нальчик: Кабардино-Балкарский ГАУ, 2024. — 160 с. — ISBN 978-5-907725-89-8. — Текст: электронный // Лань : электронно-библиотечная система. — URL: <https://e.lanbook.com/book/493919> (дата обращения: 01.11.2025). — Режим доступа: для авториз. пользователей.
2. Евразийский научно-образовательный центр республики Башкортостан: сайт. URL: <https://noscrb.ru/> (дата обращения 03.11.2025).
3. Брекоткина Е.С., Павлов С.В., Трубин В.Д., Христодуло О.И. Управление проектом создания сложной геоинформационной системы на основе специализированного справочника // Системная инженерия и информационные технологии. 2021. Т. 3. № 2 (6). С. 66-73 (дата обращения: 03.11.2025).
4. Figma: сайт. URL: <https://www.figma.com/> (дата обращения 20.10.2025).
5. Христодуло О.И., Бакиев Р.Р. Архитектура веб-приложения на платформе VK Mini Apps (на примере туристического интерактивного гида Республики Башкортостан) // Молодежный вестник УГАТУ. 2024. № 1 (30). С. 21-24 (дата обращения: 04.11.2025).

© Кононова П.А., Кононова В.А., 2025

В.А. КОНОНОВА, П.А. КОНОНОВА

val.kononova8@mail.ru, kononova.polly@mail.ru

Науч. руковод. – док. техн. наук, проф. О.И. ХРИСТОДУЛО

Уфимский университет науки и технологий

ПРОЕКТИРОВАНИЕ МОДУЛЯ СОГЛАСОВАНИЯ МАРШРУТОВ В ГИС НАУЧНО-ОБРАЗОВАТЕЛЬНЫХ МАРШРУТОВ В Г. УФА

Аннотация: статья посвящена проектированию модуля согласования маршрутов в геоинформационной системе научно-образовательных маршрутов в городе Уфа, который включает в себя мониторинг результатов голосования участников и интеграцию с календарем событий. В работе представлены анализ существующих решений, функциональная и информационная модели процесса согласования маршрутов, макеты пользовательского интерфейса.

Ключевые слова: геоинформационные системы; ГИС; научно-образовательные маршруты; студенческий туризм; проектирование; администрирование; модуль согласования маршрутов.

Введение

В настоящее время в стране наблюдается рост интереса к научно-популярному туризму, направленному на вовлечение молодых людей в научно-исследовательскую среду в доступном и интересном формате [1], в связи с чем многие города, обладающие значительным кадровым и инфраструктурным потенциалом в данной области, проводят научно-образовательные экскурсии для школьников и студентов. Ярким примером является город Уфа, где данная инициатива реализуется в формате автобусных туров по самым выдающимся научно-исследовательским организациям. Программа, разработанная Евразийским научно-образовательным центром Республики Башкортостан совместно с Уфимским университетом науки и технологий, включает в себя семь научно-образовательных маршрутов по городу, охватывающих такие направления как медицина, IT-сфера, геология и другие [2].

Для структурирования информации о маршрутах разработана информационно-справочная геоинформационная система (ГИС) научно-образовательных маршрутов в г. Уфа. Пилотное проведение данных маршрутов выявило значительные сложности, связанные со значительными трудовыми и временными затратами для туроператоров. В связи с этим особую актуальность приобрела задача автоматизации процесса согласования проведения маршрутов, что обусловило решение о разработке соответствующего функционала в виде модуля в рамках существующей ГИС.

Сравнительный анализ существующих информационных систем согласования мероприятий

В основу проектирования функционала лег сравнительный анализ существующих решений в области согласования мероприятий, в котором наиболее распространенные информационные системы проанализированы по важным для реализуемого модуля критериям, основными из которых являются возможность отслеживания статуса заявки, его автоматическая смена, организация голосования среди участников, рассылка уведомлений и интеграция с календарем (табл. 1).

Таблица 1

Сравнительный анализ существующих информационных систем согласования мероприятий

| Информационная система | Отслеживание статуса заявки | Автоматическая смена статуса заявки | Голосование участников | Рассылка уведомлений | Интуитивно-понятный интерфейс | Интеграция с календарем | Автоматическое добавление заявки в календарь |
|------------------------|-----------------------------|-------------------------------------|------------------------|----------------------|-------------------------------|-------------------------|--|
| Doodle | - | - | + | + | + | + | - |
| Аспро.Cloud | + | + | - | + | + | + | - |
| Loomio | + | + | + | + | - | - | - |
| Qtickets | + | - | - | + | - | + | + |
| Класс365 | + | - | - | + | - | + | - |
| Zammad | + | + | - | - | + | + | - |
| Trello | + | - | + | - | - | + | - |

В результате сравнительного анализа выявлено, что существующие информационные системы в недостаточной степени удовлетворяют требованиям к функциональной составляющей модуля [3]. Тем не менее, анализ представленных систем позволил выделить успешные частные решения в области согласования мероприятий, которые послужили основой для проектирования модуля согласования маршрутов в ГИС научно-образовательных маршрутов в г. Уфа.

Проектирование системы согласования маршрутов в ГИС научно-образовательных маршрутов в г. Уфа

Первым этапом проектирования стала разработка функциональной модели согласования проведения маршрутов в ГИС научно-образовательных маршрутов в г. Уфа (рис. 1).

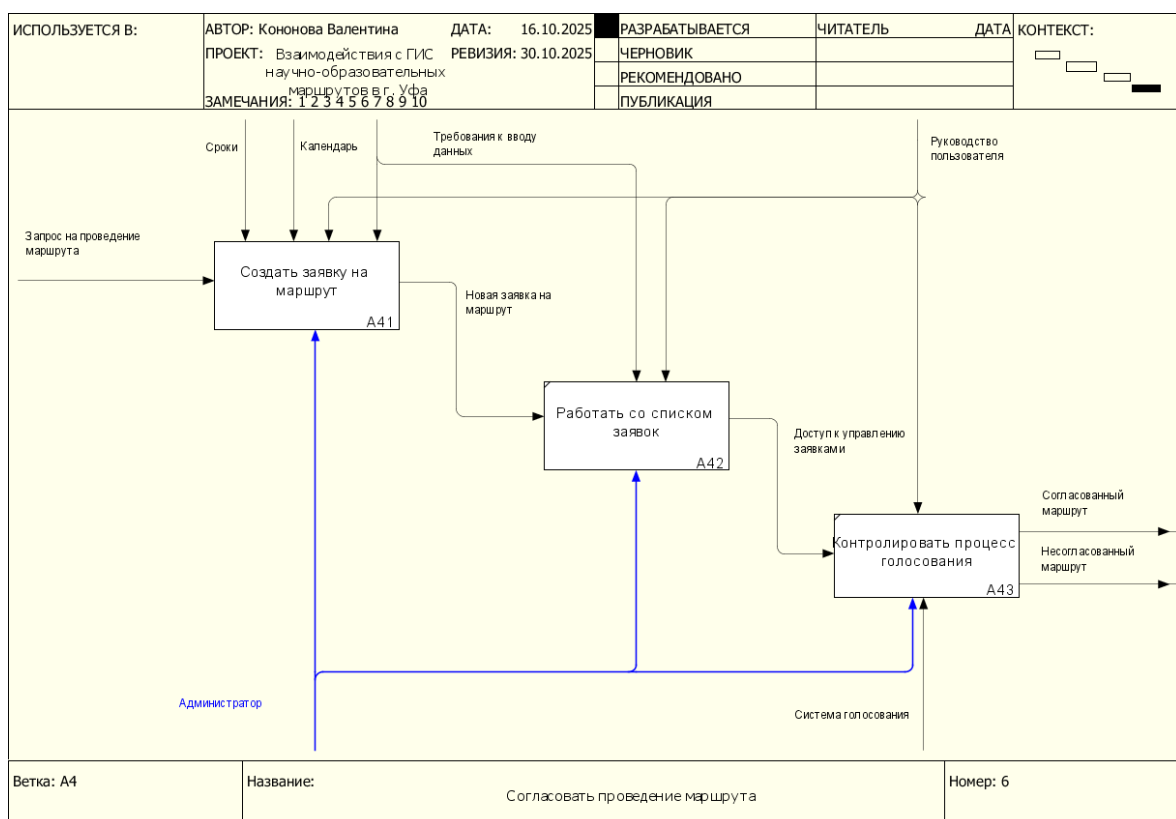


Рис. 36. Функциональная модель согласования проведения маршрутов в ГИС научно-образовательных маршрутов в г. Уфа

Разработанная с использованием стандарта IDEF0 модель согласования проведения маршрутов в ГИС научно-образовательных маршрутов в г. Уфа представлена с точки зрения администратора (сотрудника турбюро Евразийского НОЦ РБ). Функциональная модель включает в себя три основные функции администратора при работе с модулем, представленные в виде блоков. Процесс согласования маршрутов начинается с Блока А41 «Создать заявку на маршрут», который преобразует входящий запрос в новую заявку, затем следует Блок А42 «Работать со списком маршрутов», который обрабатывает созданную заявку и предоставляет доступ к управлению заявками. Процесс завершается Блоком А43 «Контролировать процесс голосования», который формирует решение по согласованию маршрутов. Управлениями для блоков выступают руководство пользователя, требования к вводу данных, сроки и календарь, а механизмами являются администратор и система голосования.

Подразумевается, что все необходимые для разрабатываемого модуля данные должны храниться в выбранной базе данных MySQL согласно информационной модели, представленной на рис. 2. Все сущности, относящиеся к модулю согласования маршрутов, на модели выделены пунктирной линией.

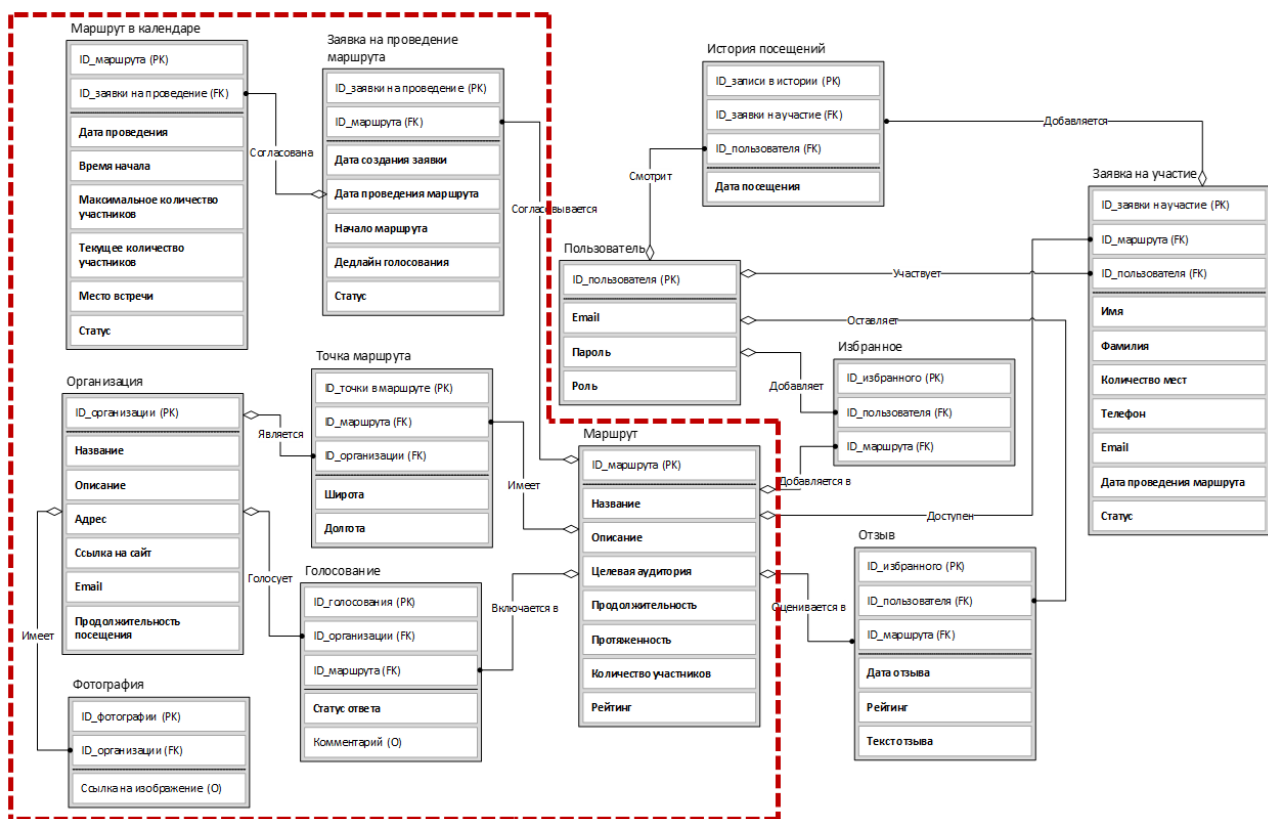


Рис. 37. Информационная модель данных ГИС научно-образовательных маршрутов в г. Уфа

Разработка интерфейса администратора в ГИС научно-образовательных маршрутов в г. Уфа

Следующим этапом после построения функциональной и информационной моделей согласования проведения маршрутов в ГИС научно-образовательных маршрутов в г. Уфа стало проектирование пользовательского интерфейса [4]. В графическом редакторе Figma разработаны макеты интерфейса администратора, в результате чего построена схема взаимодействия всех компонентов разрабатываемого модуля (рис. 3). Стрелками показаны переходы между экранными формами:

- Стрелка 1 связывает форму создания новой заявки и систему email-уведомлений. С помощью кнопки «Отправить заявку» администратор может отправить письма партнерам-научным организациям с указанием названия маршрута, датой и индивидуальным временем посещения.

- Стрелка 2 указывает на ссылку для перехода на форму голосования, в которой организация может подтвердить или отклонить предложенные дату и время маршрута.

- Стрелка 3 указывает на окно добавления новой заявки в общий список. Здесь администратору доступны функции отслеживания статусов заявок, редактирования заявок и просмотр результатов голосования организаций по выбранному маршруту.

- Стрелка 4 обозначает окно редактирования заявок, реализующее функции удаления завершенных или отклоненных заявок из общего списка.

- Стрелка 5 указывает на страницу выбранной заявки для мониторинга результатов голосования организаций.
- Стрелка 6 – окно автоматического добавление согласованного маршрута в календарь событий системы; в календаре событий пользователи в дальнейшем получают возможность записаться на прохождение добавляемого маршрута.
- Стрелка 7 показывает отправку email-уведомлений организациям в случае отклонения заявки на проведение маршрута.

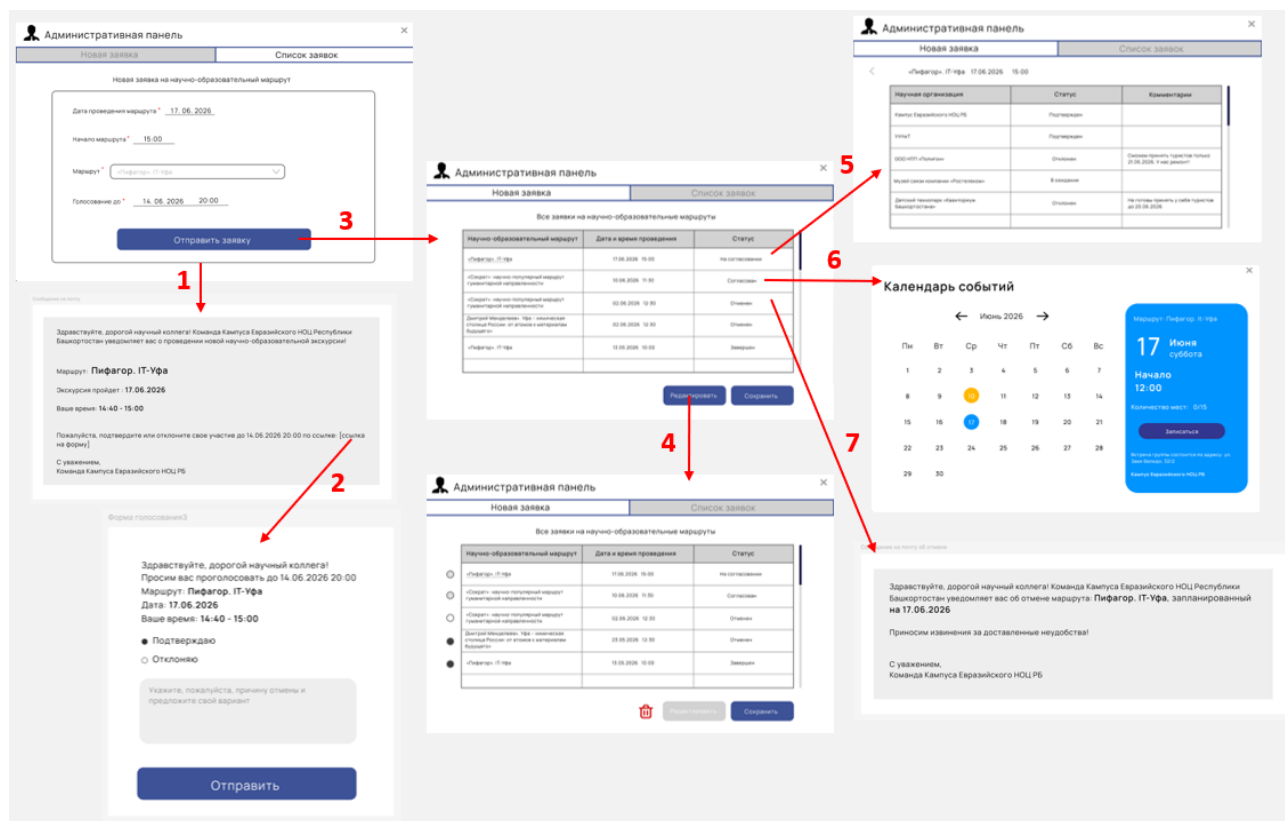


Рис. 38. Схема взаимодействия компонентов модуля согласования маршрутов в ГИС научно-образовательных маршрутов в г. Уфа

Разрабатываемый модуль планируется реализовывать на основе связки фреймворков Vue.js для клиентской части и Laravel для серверной. [5].

Заключение

Пилотное проведение научно-образовательных маршрутов в г. Уфа выявило некоторые сложности, связанные со значительными трудозатратами туроператоров Евразийского научно-образовательного центра Республики Башкортостан. Разрабатываемый модуль направлен на решение данной проблемы за счет автоматизации процесса согласования маршрутов в ГИС научно-образовательных маршрутов.

Библиографический список

1. Дзахмишева, И. Ш. Научно-популярный туризм: монография / И. Ш. Дзахмишева, А. Б. Жерукова, З. Ю. Тенова. — Нальчик: Кабардино-Балкарский ГАУ, 2024. — 160 с. — ISBN 978-5-907725-89-8. — Текст: электронный // Лань: электронно-библиотечная система. — URL: <https://e.lanbook.com/book/493919> (дата обращения: 02.11.2025). — Режим доступа: для авториз. пользователей.
2. Евразийский научно-образовательный центр республики Башкортостан: сайт. URL: <https://nosrb.ru/> (дата обращения 03.11.2025).
3. Брекоткина Е.С., Павлов С.В., Трубин В.Д., Христодуло О.И. Управление проектом создания сложной геоинформационной системы на основе специализированного справочника // Системная инженерия и информационные технологии. 2021. Т. 3. № 2 (6). С. 66-73 (дата обращения: 03.11.2025).
4. Figma: сайт. URL: <https://www.figma.com/> (дата обращения 25.10.2025)
5. Христодуло О.И., Бакиев Р.Р. Архитектура веб-приложения на платформе VK Mini Apps (на примере туристического интерактивного гида Республики Башкортостан) // Молодежный вестник УГАТУ. 2024. № 1 (30). С. 21-24 (дата обращения: 04.11.2025).

© Кононова В.А., Кононова П.А., 2025

М.Н. КУРОЧКИН, М.Е. ЕСЕТОВ.
maksa123q@gmail.com, mesetov06@gmail.com

Науч. руковод. – канд. техн. наук, доцент каф. ГИС А.В. СОКОЛОВА

Уфимский университет науки и технологий

АНАЛИЗ ВОЗМОЖНОСТЕЙ ГИС ПРИ ОЦЕНКЕ ТЕРРИТОРИЙ ДЛЯ ЭКОТУРИЗМА

Аннотация: в статье рассматриваются актуальные проблемы и перспективы использования геоинформационных систем (ГИС) для комплексной оценки пригодности территорий для экотуризма. Обосновывается необходимость разработки интерактивного веб-сервиса, который предоставляет оценку территории по критериям и обеспечивает коллективное участие пользователей в сборе и верификации информации.

Ключевые слова: экотуризм, геоинформационная система, оценка территории, краудсорсинг, пространственный анализ, интерактивная карта, многокритериальный анализ.

Введение

Экотуризм, фокусирующийся на походах и отдыхе на дикой природе, становится все более популярным в мире. Рост интереса к таким видам отдыха обусловлен желанием людей уйти от городской суеты и насладиться естественными ландшафтами. Таким образом, экотуризм трансформируется из нишевого увлечения в массовый социальный тренд. Эта трансформация, в свою очередь, актуализирует потребность в разработке научно обоснованных и технологически продвинутых методов планирования рекреационной деятельности.

Традиционные методы поиска и оценки маршрутов, основанные на статических картах и экспертных заключениях, уже не отвечают динамичным запросам современного экотуриста. Они обладают рядом системных недостатков: информация часто является устаревшей и не отражает актуальное состояние троп и инфраструктуры; игнорируется коллективный практический опыт самих путешественников; наконец, пользователь лишен возможности интерактивно взаимодействовать с данными, чтобы персонализировать оценку под свои цели и навыки. Особый потенциал здесь имеют геоинформационные системы (ГИС), способные интегрировать и анализировать большие объёмы пространственных данных для комплексной оценки территорий.

Примером сбора данных силами пользователей является известный в научном сообществе как «Добровольная географическая информация» (Volunteered Geographic Information, VGI). Концепция VGI, впервые

сформулированная М. Гудчайлдом [3], описывает граждан как «сенсоров», способных собирать и передавать геолоцированные данные «на местах» (in-situ). Эти данные - о состоянии троп, наличии родников, временных препятствиях или точках интереса - по своей природе являются более актуальными и детальными, чем информация, получаемая традиционными картографическими агентствами или методами дистанционного зондирования [4].

Это показывает необходимость разработать веб-сервис на основе ГИС, который позволяет пользователям выбрать территорию для отдыха на основе открытых краудсорсинговых данных, а также проводить комплексную оценку пригодности произвольной территории для целей экотуризма на основе заданных пользователем критериев.

Аналитический обзор представленных на рынке решений

На данный момент существует несколько приложений, связанных с экотуризмом. Среди них можно выделить OpenStreetMap, Wikiloc и Gaia GPS.

OpenStreetMap (OSM) - некоммерческий веб-картографический проект по созданию бесплатной географической карты мира силами пользователей Интернета.

Wikiloc – веб-сайт, который предлагает бесплатные маршруты GPS и путевые точки, которые участники могут загружать и обмениваться.

Gaia GPS – приложение на телефон, которое предоставляет возможность создавать маршруты с использованием различных типов карт, загружать карты для навигации в режиме офлайн, отслеживать и записывать статистику в реальном времени.

Однако анализ существующих решений позволяет выявить системные недостатки и пробелы: отсутствие аналитического модуля: платформы, как правило, являются пассивными хранилищами треков и точек, не предлагая встроенных инструментов для многокритериального анализа территории на основе собранных геоданных.

Постановка задачи

Разрабатываемая система предполагает следующие ключевые возможности:

1. Сервис должен предоставлять пользователю интерактивную карту в качестве основного интерфейса. Функционал включает:

Визуализацию пространственных данных (природные объекты, инфраструктура).

Выбор произвольного участка территории для его последующего анализа.

Настройку параметров отображения картографических слоев.

2. Для обеспечения актуальности и полноты информации система должна:

Интегрироваться с открытыми картографическими платформами как с источником базовых данных.

Реализовывать краудсорсинговую модель, позволяющую пользовательскому сообществу участвовать в сборе и верификации информации. Это включает возможность добавлять новые объекты (стоянки, тропы, достопримечательности), оставлять комментарии, загружать фотографии и оценки.

3. Алгоритм многокритериального анализа, который проводит комплексную оценку выбранной пользователем территории по заданным критериям.

Результатом проекта станет интерактивная ГИС-платформа, объединяющая анализ пространственных данных и участие пользователей. Платформа должна функционировать как пространственная система поддержки принятия решений (Spatial Decision Support System, SDSS) для планирования экотуристической деятельности [5].

Прототип интерфейса включает карту с инструментами выбора участка, анализа территории, настройки анализа, а также функционал для добавления новых объектов и отзывов на существующие в базу данных платформы.

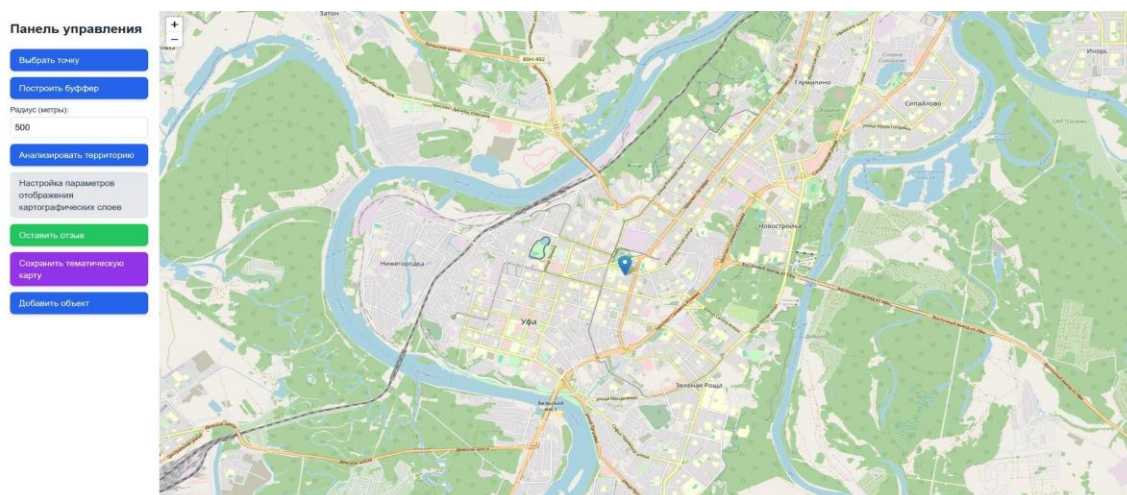


Рис. 11. Пример интерфейса

Многокритериальный анализ пригодности территории для экотуризма

На основании поставленных задач были выделены и формализованы критерии, которые необходимо учитывать при комплексной оценке пригодности территории для экотуризма. Анализ должен выполняться на основе следующих ключевых критериев, значимых для экотуризма [1]:

Рельеф местности: анализ на основе цифровой модели высот (ЦМР) для оценки сложности маршрута.

Гидрографическая сеть: учет наличия, типа и удаленности водоемов.

Транспортная доступность: анализ близости к дорогам и точкам логистического доступа.

Для интеграции и взвешивания различных критериев в ГИС наиболее часто применяются методы многокритериального анализа (Multi-Criteria Evaluation, MCE), например метод взвешенного линейного суммирования (Weighted Linear Combination, WLC) [9].

Как пример реализации анализа по таким критериям можно представить инструменты геообработки от Esri (ArcGIS Pro). Концептуальная модель оценки пригодности реализуется через инструменты пространственного анализа. Например, инструмент "Уклон" (Slope) [6] используется для анализа ЦМР, а инструменты "Накопление расстояния" (Distance Accumulation) [7] - для оценки доступности (транспортной или гидрографической). Финальная интеграция критериев и их взвешивание для получения итоговой карты пригодности часто выполняется с помощью инструмента "Взвешенное перекрытие" (Weighted Overlay) [8], который является классической реализацией метода МСЕ в ГИС.

В конечном итоге критериям, приведенным выше, должна создаваться тематическая карта пригодности территории для экотуризма. Для примера такой карты взята потенциальная карта экотуризма в регионе Центральной Сербии [2].

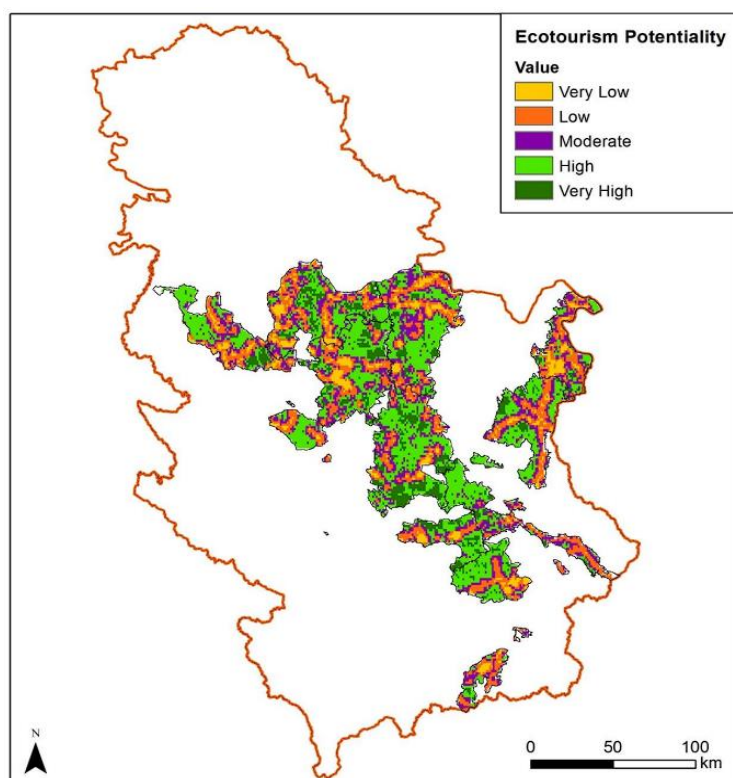


Рис. 12. Потенциальная карта экотуризма в регионе Центральной Сербии

Заключение

Предложенная в статье концепция интерактивной ГИС-платформы направлена на решение проблемы современного экотуризма: разрыва между

статичными, часто устаревшими данными и динамичными потребностями пользователей в актуальной и персонализированной информации.

Ключевым отличием разрабатываемой системы от существующих аналогов (таких как Wikiloc или Gaia GPS) является переход от функции пассивного репозитория треков к активной пространственной системе поддержки принятия решений (SDSS). Это достигается за счет двух компонентов:

1. Научно обоснованное аналитическое ядро, использующее методы многокритериального анализа (MCE) для оценки территории по критериям, имеющим наибольшее значение при выборе места отдыха.

2. Гибкая краудсорсинговая модель (VGI), которая обогащает модель актуальными данными, предоставленными самим туристическим сообществом.

Библиографический список

1. An mce-based innovative approach to evaluating ecotourism suitability using gis -2021. // [Электронный ресурс] URL: <https://publicaciones.unirioja.es/ojs/index.php/cig/article/view/4291/3863> (Дата обращения: 02.11.2025)

2. Evaluation of suitability areas for ecotourism using multi-criteria analysis. The case of central Serbian viticultural region. - 2022. // [Электронный ресурс] URL: https://www.eurogeojournal.eu/articles/02_EJG_2021_12_22_A_JOVANOVIC_019_.pdf (Дата обращения: 02.11.2025)

3. Citizens as sensors: the world of volunteered geography - 2007 // [Электронный ресурс] URL: <https://pdfs.semanticscholar.org/eecc/d790853114ebb14f592aeaa8acb430687f9f.pdf> (Дата обращения: 03.11.2025)

4. Volunteered Geographic Information and the Future of Geospatial Data - 2017//Электронный ресурс] URL: https://pure.iiasa.ac.at/id/eprint/14464/1/See%20chap%207_campelo%202017%20book.pdf (Дата обращения: 01.11.2025)

5. Тикунов В. С. Геоинформатика: Учебник для студ. вузов. – 2-е изд., перераб. и доп. – М.: Издательский центр «Академия», 2005. – 336 с

6. Справка ArGIS - Инструмент “Уклон”, 2025 // [Электронный ресурс] URL: <https://pro.arcgis.com/ru/pro-app/3.4/tool-reference/spatial-analyst/how-slope-works.htm> (Дата обращения: 02.11.2025)

7. Справка ArGIS - Инструмент “Накопление расстояния”, 2025 // [Электронный ресурс] URL: <https://pro.arcgis.com/ru/pro-app/3.4/tool-reference/spatial-analyst/how-distance-accumulation-works.htm> (Дата обращения: 02.11.2025)

8. Справка ArGIS - Инструмент “Взвешенное наложение”, 2025 // [Электронный ресурс] URL: <https://pro.arcgis.com/ru/pro-app/3.4/tool-reference/spatial-analyst/weighted-overlay.htm> (Дата обращения: 02.11.2025)

9. Evaluation of ecotourism sites: a GIS-based multi-criteria decision analysis - 2018 // [Электронный ресурс] URL: https://www.researchgate.net/publication/324484051_Evaluation_of_ecotourism_sites_a_GIS-based_multi-criteria_decision_analysis (Дата обращения: 02.11.2025)

© Курочкин М.Н., Есетов М.Е., 2025

Л.М. МУСТАЕВ, Ш.М. МИНАСОВ

lenarmustaev@yandex.ru, minasov@ufanet.ru

Науч. руковод. – канд. техн. наук, доцент Ш.М. МИНАСОВ

Уфимский университет науки и технологий

МОДЕЛИ И АЛГОРИТМЫ ОПРЕДЕЛЕНИЯ ТЕКУЩЕГО МЕСТОПОЛОЖЕНИЯ НА ОСНОВЕ ИНТЕЛЛЕКТУАЛЬНОЙ КОРРЕКЦИИ ДАННЫХ ИНЕРЦИАЛЬНОЙ НАВИГАЦИОННОЙ СИСТЕМЫ В ЗДАНИЯХ СЛОЖНОЙ ТОПОЛОГИИ

Аннотация: предлагается метод повышения точности определения текущего местоположения на основе анализа данных инерциальной навигационной системы в условиях нестабильного приема сигналов спутниковых систем геопозиционирования. Разработан алгоритм коррекции сырых данных инерциальных датчиков мобильного устройства на основе пространственных данных объекта. Описан принцип уточнения персональных данных пользователя (длина шага, скорость перемещения), основанный на непрерывном анализе данных перемещения по маршруту, основанный на анализе данных инерциальной системы и запланированной траектории движения.

Ключевые слова: гироскоп, акселерометр, инерциальная навигация, коррекция ошибок системы инерциальной навигации.

Введение

Инерциальные системы навигации являются достойным решением проблемы навигации в закрытых пространствах [1, 2]. Однако системы на основе датчиков устройств сталкиваются с существенной проблемой постепенного накопления ошибки измерений [3]. С увеличением длины маршрута незначительные погрешности акселерометров и гироскопов суммируются, приводя к существенному отклонению от фактического местоположения [4]. Эта систематическая ошибка особенно критична при продолжительном использовании без внешней корректировки [5]. Таким образом, разработка эффективных методов и алгоритмов компенсации накапливающейся погрешности представляет собой ключевую задачу для обеспечения надежной работы инерциальной навигации [7].

Цель работы: повышение точности отслеживания позиции пользователя на карте путем компенсации накапливающейся ошибки инерциальных датчиков с помощью привязки к известным точкам поворотов.

Для достижения поставленной цели необходимо решить следующие задачи:

- Провести анализ текущей точности отслеживания местоположения с целью определения наиболее оптимальных начальных параметров датчиков;
- Разработать алгоритм компенсации накапливающейся ошибки инерциальных датчиков;
- Создать блок-схему полученного алгоритма.

Анализ точности отслеживания перемещения по маршруту

В ходе исследования проведен эксперимент по выявлению наиболее оптимальных параметров для отслеживания перемещения, таких как чувствительность гироскопа и интервал времени между шагами на функционирующем прототипе приложения, разработанного на основе предыдущих исследований [1, 6] (рис. 1).



Рис. 1. Прототип приложения, отслеживающего перемещение на основе датчиков устройства

Чувствительность гироскопа отвечает за то, насколько быстро будет происходить изменение перемещения, насколько часто будут считываться данные с устройства. Интервал времени между шагами определяет, как долго система не будет считывать показатели, чтобы не выполнять лишних вычислений [8].

За эталонную дистанцию взято расстояние в 50 метров. Для каждой пары параметров эксперимент проведен 3 раза для уменьшения погрешности вычислений. Для параметра «Чувствительность гироскопа» определены значения 1, 2 и 3, для параметра «Интервал между шагами» - 300, 500 и 800.

В рамках исследования были рассмотрены различные комбинации значений данных параметров и выявлена комбинация, которая показала себя точнее всех (рис. 2).

Полученная относительная погрешность составляет 1,6%. То есть точность системы составляет 98,4%.

Однако такой метод подходит лишь для коротких отрезков. При маршруте большой протяженности происходит накоплению ошибки [9], что требует разработки механизмов коррекции.

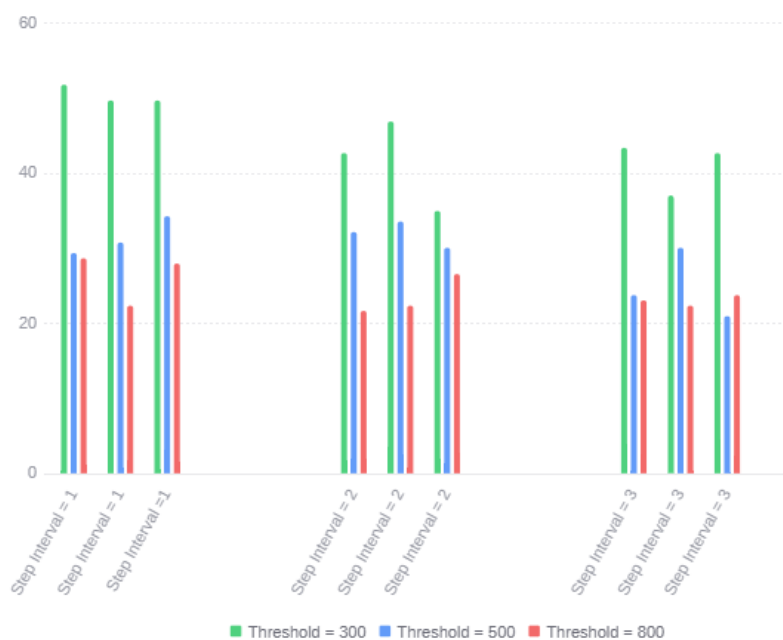


Рис. 2. Результаты эксперимента

Алгоритм корректировки данных инерциальной навигации

Коррекция ошибок реализованной навигационной системы основана на непрерывном сравнении перемещения пользователя по датчикам с запланированным маршрутом на основе данных о изменении направления движения пользователя с планируемыми поворотами на маршруте. Определение корректирующих значений производится на основе правил, инициируемых по данным гироскопа. Расхождение между моментом фактического поворота и ожидаемой точкой поворота на карте используется для вычисления ошибки позиционирования и корректировки текущих координат. В основу алгоритма положены принципы, описанные в работах [7, 10]

Алгоритм основан на решении следующих подзадач:

1. *Инициализация и постоянный сбор данных.* Система загружает маршрутный граф объекта, настройки пользователя системы и запускает инерциальную навигацию. Позиция пользователя постоянно обновляется на основе данных в реальном времени: отслеживаются шаги (по акселерометру) и направление движения (по гироскопу).

2. *Детектирование поворотов.* При обнаружении значительного изменения угловой скорости гироскопа система фиксирует событие поворота. Записываются угол поворота и текущие координаты PDR.

3. *Сравнение с запланированным маршрутом.* Производится поиск ближайшей к текущему местоположению пользователя точки поворота на маршруте перемещения по заданному графу, соответствующую направлению и углу поворота. Вычисляется вектор ошибки между текущей позицией и координатами точки изменения направления по запланированному маршруту.

4. *Калибровка параметров датчиков.* На основе вектора ошибки система корректирует внутренние параметры инерциальной навигации. При недолете до поворота уменьшается длина шага, при перелете - увеличивается. Корректируются коэффициенты дрейфа гироскопа.

5. *Коррекция позиции.* После калибровки система применяет компенсирующее смещение к новым координатам PDR. Коррекция распределяется на несколько секунд для плавного перемещения метки пользователя к эталонному маршруту без резких скачков.

6. *Циклическая проверка.* Процесс повторяется на каждом новом повороте, обеспечивая постоянную коррекцию накапливающейся ошибки. Маршрутный граф служит системой контрольных точек для точного позиционирования в помещении.

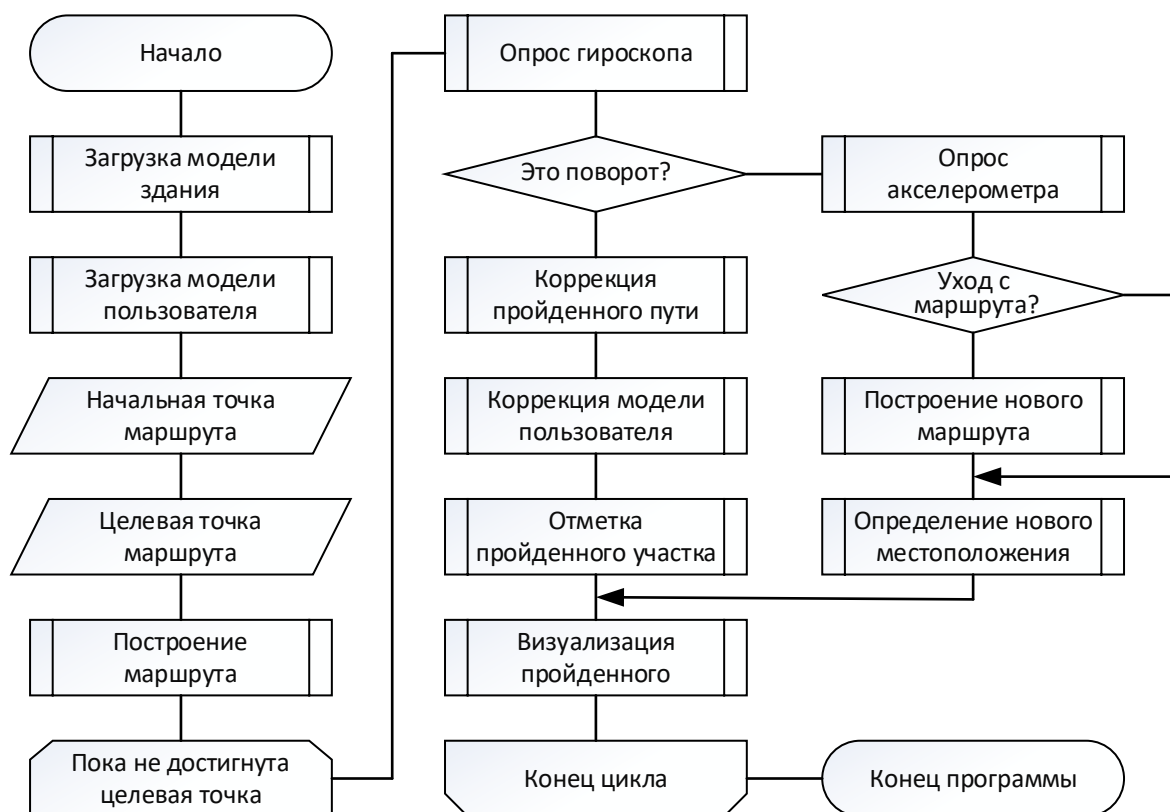


Рис. 3. Блок-схема алгоритма

Заключение

Предложенный алгоритм предназначен для навигации на основе анализа данных встроенных датчиков устройства инерциальной навигации в условиях нестабильного спутникового сигнала [1, 9]. Алгоритм, основанный на правилах применения коррекции, автоматически подстраивается под индивидуальные параметры пользователя такие как длина шага и скорость движения. Система адаптируется под характер движения пользователя, например, при переходе на бег, так как при беге перемещение пользователя за один шаг значительно выше, чем при быстрой ходьбе. Направлением дальнейших исследований является установление зависимости погрешности определения пройденного пути от скорости перемещения для повышения точности позиционирования на участках между узлами коррекции [6, 7].

Библиографический список

1. Минасов Ш.М., Мустаев Л.М. Модели и алгоритмы ориентации в закрытых пространствах в условиях неустойчивого сигнала систем глобального позиционирования Невский форум молодежных исследований: сборник статей международной научной конференции (СПб, Май 2024). – СПб.: МИПИ им. Ломоносова, 2024. – с. 51-57.

2. Что такое инерциальная навигация? [Электронный ресурс] – URL: <https://nvgn.ru/blog/chto-takoe-inerczialnaya-navigacziya/> (дата обращения: 22.10.2025).

3. Оценка ошибки вычисления навигации инерциальными модулями [Электронный ресурс] – URL: <https://mp-lab.ru/navigation-error-estimation/> (дата обращения: 22.10.2025).

4. Navid Fallah, Ilias Apostolopoulos, Kostas Bekris and Eelke Folmer Indoor Human Navigation Systems: A Survey. *Interacting with Computers* 2013, Vol. 25, No. 1, 21-33. DOI: 10.1093/iwc/iws010.

5. Как работает инерциальная навигация и почему она «плывет»? [Электронный ресурс] – URL: <https://habr.com/ru/articles/934286/> (дата обращения: 22.10.2025).

6. Минасов Ш.М., Мустаев Л.М. Модели и алгоритмы идентификации текущего местоположения для решения задач навигации в закрытых пространствах сложной геометрии // Глобальные научные тренды: междисциплинарные исследования: сборник статей VII Международной научно-практической конференции. – Саратов: НОП «Цифровая наука». – 2024. – С. 49-55.

7. Минасов Ш.М., Мустаев Л.М. Модели и алгоритмы функционирования системы определения координат динамических объектов, перемещающихся в многоуровневых закрытых пространствах сложной геометрии // Актуальные проблемы науки и техники. Инноватика / Сборник научных статей по материалам XVI Международной научно-практической

конференции – Уфа: Изд. Научно-издательский центр Вестник науки – 2024. – С. 72-82.

8. Миначов, Ш. М. Обработка информации в системах реального времени: учебное пособие – Уфа: Уфимский гос. авиационный технический ун-т, 2008. – 258 с. – ISBN 978-5-86911-886-8. – EDN QMTRCD.

9. Long Cheng, Zhentao Fu An daptive Kalman filter loosely coupled indoor fusion positioning system based on inertial naviga-tion system and ultra-wide band. Measurement 2025, vol. 244, 116412. DOI: 10.1016/j.measurement.2024.116412.

10. Tatiana Babicheva, Dmitry Gushchin, Nikita Sopochnik Shortest path graphs for semi-directed InDoor navigation. Procedia Computer Science 2023, vol.221, 346–353. DOI: 10.1016/j.procs.2023.07.047.

© Мустаев Л.М., Миначов Ш.М., 2025

Р.Б. НАСЫРЬЯНОВА

nasyrianovar@mail.ru

Науч. руковод. – канд. техн. наук, А.В. СОКОЛОВА

Уфимский университет науки и технологий

ИНТЕЛЛЕКТУАЛЬНЫЙ АНАЛИЗ ГЕОЛОГИЧЕСКОГО РАЗРЕЗА: РАСПОЗНАВАНИЕ ЛИТОЛОГИЧЕСКИХ СЛОЕВ С ПОМОЩЬЮ НЕЙРОННЫХ СЕТЕЙ

Аннотация: в статье представлена методика применения технологий искусственного интеллекта для автоматизированного анализа геологических разрезов. Рассмотрены методы получения данных о геологическом строении, традиционные подходы к их интерпретации. Особое внимание уделено механизмам распознавания литологических типов пород по фотографиям с использованием нейронных сетей.

Ключевые слова: геологический разрез; геология; литологические слои; искусственный интеллект; нейронные сети.

Введение

Современная геология переживает этап цифровой трансформации, характеризующийся активным внедрением технологий искусственного интеллекта в традиционные исследовательские процессы [1]. Геологический разрез как фундаментальная модель строения земной коры представляет особый интерес для автоматизации анализа, поскольку его интерпретация требует обработки значительных объемов разнородных данных и принятия сложных решений на основе многокритериального анализа.

Актуальность исследования обусловлена необходимостью повышения эффективности геологоразведочных работ в условиях роста сложности обнаруживаемых месторождений и увеличения требований к точности геологического моделирования. Традиционные методы анализа геологических разрезов, основанные на визуальном осмотре и экспертной оценке, демонстрируют ограниченную производительность и подвержены влиянию субъективного фактора [2].

Геологический разрез представляет собой двухмерную модель, отображающую пространственное расположение горных пород в вертикальной плоскости (рисунок 1). Его значение в практической геологии трудно переоценить, поскольку он служит основой для решения широкого круга прикладных задач. Посредством анализа геологических разрезов специалисты осуществляют поиск и разведку месторождений полезных ископаемых, проводят инженерно-геологические изыскания и реконструируют геологическую историю территорий.



Рис. 1. Фотография геологического разреза

Методы получения исходных данных для построения геологических разрезов включают комплекс полевых и лабораторных исследований.

- К полевым методам относятся описание естественных обнажений горных пород и искусственных выработок, геологическое картирование и документация керна скважин.
- Бурение скважин обеспечивает получение непосредственных образцов пород в виде керна и шлама, которые в дальнейшем подвергаются лабораторному анализу.
- Геофизические методы исследования предоставляют косвенные данные о свойствах горных пород в естественном залегании.
- Технологии дистанционного зондирования, включают в себя аэрофотосъемку и обработку спутниковых данных.

Классическая методология интерпретации геологических разрезов базируется на комплексе последовательных операций, выполняемых квалифицированными специалистами. Начальным этапом является визуальное описание пород по внешним признакам, включающее оценку цвета, текстуры, структуры и особенностей залегания. Микроскопические исследования шлифов позволяют определить минеральный состав и структурно-текстурные особенности пород на микроуровне. Химический и минералогический анализ предоставляет количественные данные о составе пород и их генезисе. Особое значение имеет палеонтологическое датирование, позволяющее установить возраст пород и провести стратиграфическую корреляцию разрезов.

Несмотря на надежность и проверенность временем, традиционные подходы к анализу геологических разрезов обладают рядом существенных ограничений. Процесс интерпретации требует значительных временных затрат и высокой квалификации специалистов, что обуславливает его высокую

стоимость. Субъективность экспертных оценок может приводить к вариации в интерпретации одних и тех же данных разными специалистами. Кроме того, обработка больших объемов данных ограничена человеческими возможностями, что создает узкие места в исследовательском процессе.

Использование ИИ для анализа геологических разрезов

Внедрение технологий искусственного интеллекта в практику геологических исследований открывает новые возможности для преодоления ограничений традиционных методов. Области применения ИИ в анализе геологических разрезов включают автоматическую стратиграфическую корреляцию, прогнозирование литологического состава, выявление тектонических нарушений, оценку фильтрационно-емкостных свойств пород и прогнозирование коллекторов [3].

Преимущества ИИ-подхода проявляются в нескольких аспектах. Технологии машинного обучения позволяют обрабатывать значительные объемы данных, превышающие человеческие возможности. Алгоритмы глубокого обучения способны выявлять сложные, неочевидные закономерности в данных, которые могут оставаться незамеченными при традиционном анализе. Существенное увеличение скорости анализа позволяет сократить время принятия решений в геологоразведочном процессе [4].

Процесс обучения модели включает несколько важных этапов. Первоначально формируется датасет, состоящий из примерно 500 размеченных изображений геологических разрезов. Для повышения устойчивости модели к вариации условий съемки применяются методы аугментации данных, включающие случайные повороты изображений, коррекцию цветовых характеристик, изменение яркости и контраста. Особое внимание уделяется балансировке классов для избегания смещения модели в сторону доминирующих литологических типов.

Классификационные признаки, используемые искусственным интеллектом для идентификации пород, образуют комплексную систему параметров [5].

- Цветовые параметры включают анализ доминирующих цветов и их распределения, оценку цветовых переходов между слоями и измерение интенсивности окраски.

- Тектурные особенности охватывают определение зернистости и размера частиц, характеристику типа слоистости, выявление включений и анализ их распределения.

- Структурные элементы учитывают мощность слоев, резкость границ между ними, форму и ориентацию структурных элементов.

- Несмотря на значительный потенциал, применение методов компьютерного зрения для анализа геологических разрезов имеет ряд ограничений, например:

- Влажность: мокрая порода имеет совершенно другой цвет и контраст по сравнению с сухой.

– Освещение: один и тот же слой может выглядеть по-разному при солнце, в пасмурную погоду или при вспышке.

– Нечеткие границы: границы между слоями часто бывают переходными и размытыми.

– По одному 2D-изображению невозможно определить многие ключевые свойства пород. Опытный геолог всегда использует тактильные и другие методы анализа. ИИ видит только цвет и текстуру.

Важно подчеркнуть, что ИИ позиционируется не как замена квалифицированного геолога, а как мощный инструмент поддержки принятия решений [6]. Результаты работы алгоритма носят вероятностный характер и должны рассматриваться как предварительная гипотеза, требующая экспертной верификации.

Оптимальный сценарий взаимодействия предполагает объединение искусственного и человеческого интеллекта. Геолог осуществляет фотографирование разреза, после чего нейронная сеть генерирует предварительную интерпретацию в виде «маски» (рисунок 2 и 3). Специалист проводит полевую верификацию полученных результатов, используя традиционные методы диагностики — тактильный анализ, определение твердости, стратиграфические наблюдения и другие инструменты полевой диагностики.



Рис. 2. Исходное изображение

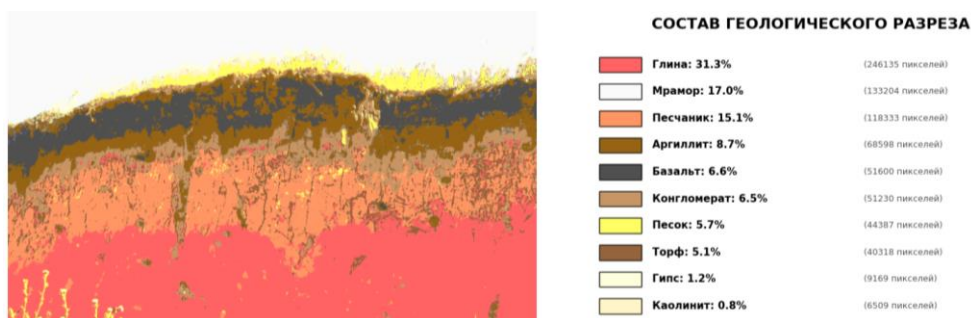


Рис. 3. Ожидаемый результат

Подобный симбиоз открывает новые возможности для совершенствования геологических исследований. Автоматизация первичной документации позволяет значительно ускорить процесс сбора данных, а стандартизация описаний обеспечивает сопоставимость результатов,

полученных разными специалистами. Обработка обширных архивов фотографических материалов с помощью алгоритмов ИИ высвобождает время геологов для решения более сложных интерпретационных и научных задач.

Заключение

Использование искусственного интеллекта для анализа геологических разрезов представляет собой перспективное направление, способное кардинально преобразовать традиционные подходы в геологии. Современные ИИ-системы демонстрируют способность с высокой точностью распознавать литологические типы пород по фотографиям, что значительно ускоряет и стандартизирует процесс анализа [7].

Ключевым фактором успешного внедрения технологии является не замена геологов, а создание эффективных инструментов, усиливающих их экспертные возможности. Симбиоз искусственного интеллекта и человеческого опыта открывает новые горизонты для развития геологической науки и практики, позволяя решать задачи, ранее считавшиеся недоступными для автоматизации.

Библиографический список

1. Эволюция искусственного интеллекта в геологии / [Электронный ресурс] // Глобус. Геология и бизнес: [сайт]. — URL: <https://www.vnedra.ru/tehnologii/informacionnye-tekhnologii/evolyucziya-iskusstvennogo-intellekta-v-geologii-11996/> (дата обращения: 09.11.2025).

2. Варламов А. И., Гогоненков Г. Н., Мельников П. Н., Черемисина Е. Н. Состояние и перспективы развития цифровых технологий в нефтегазовой геологии и недропользовании России / Варламов А. И., Гогоненков Г. Н., Мельников П. Н., Черемисина Е. Н. // Геология нефти и газа. — 2021. — № 3. — С. 5-20.

3. Оксенчук Т. А. Применение методов машинного обучения в геологии / Оксенчук Т. А. // Международный научный журнал "Вестник науки". — 2025. — № 6 (87) Том 4. — С. 1286-1294.

4. Гафаров Ф.М, Галимянов А.Ф. Искусственные нейронные сети и приложения: учеб. пособие / Ф.М. Гафаров, А.Ф. Галимянов. – Казань: Изд-во Казан. ун-та, 2018. – 121 с.

5. Катанов Ю. Е., Аристов А. И., Ягафаров А. К., Новрузов О. Д. Цифровой керн: нейросетевое распознавание текстовой геолого-геофизической информации / Катанов Ю. Е., Аристов А. И., Ягафаров А. К., Новрузов О. Д. // Известия высших учебных заведений. Нефть и газ. — 2023. — № 3. — С. 35-54.

6. Хисамов Р. С., Бачков А. П., Войтович С. Е., Грунис Е. Г., Алексеев Р. А. Искусственный интеллект - важный инструмент современного геолога / Хисамов Р. С., Бачков А. П., Войтович С. Е., Грунис Е. Г., Алексеев Р. А. // Геология нефти и газа. — 2021. — № 2. — С. 37-45.

7. Мухаммедова Б., Геоков Б., Байраммырадов П., Ишангулыева Г., Ораздурдыев Д. Глубокое обучение ИИ в области геологических данных: новый горизонт в геологических исследованиях / Мухаммедова Б., Геоков Б., Байраммырадов П., Ишангулыева Г., Ораздурдыев Д. // Международный научный журнал "Символ науки". — 2024. — № 10-2-1. — С. 24-25.

© Насырьянова Р.Б., 2025

И.И. НУРМУХАМЕТОВ

nurmukhametov.idel@yandex.ru

Науч. руковод. – канд. техн. наук, доц. Е.И. ФИЛОСОВА

Уфимский университет наук и технологий

РАЗРАБОТКА СИСТЕМЫ ДЛЯ ГЕОИНФОРМАЦИОННОГО КАРТОГРАФИРОВАНИЯ ЗАГРЯЗНЕНИЙ ПО РЕСПУБЛИКЕ БАШКОРТОСТАН

Аннотация: в статье рассматривается разработка геоинформационной системы, предназначенной для отображения и анализа данных о загрязнении окружающей среды в Республике Башкортостан. Система обеспечивает визуализацию пространственно-привязанных показателей и способствует повышению прозрачности и доступности экологической информации, а также эффективности мониторинга количества загрязнений предприятий.

Ключевые слова: Республика Башкортостан; геоинформационная система; загрязнение окружающей среды; визуализация данных; экологический контроль.

Развитие промышленных регионов сопровождается повышением нагрузки на окружающую среду, что требует постоянного контроля и анализа экологической информации. Республика Башкортостан относится к числу таких территорий, где актуальной задачей становится системное наблюдение за состоянием экосистем и оперативное выявление источников загрязнений. Для решения этих задач всё шире применяются геоинформационные технологии [1], обеспечивающие визуализацию пространственно-привязанных данных и повышение прозрачности экологической обстановки.

Разрабатываемая геоинформационная система предназначена для отображения и анализа данных о загрязнениях окружающей среды, объединяя информацию о выбросах, сбросах, отходах и парниковых газах. Система предоставляет пользователю интерактивную карту, инструменты фильтрации и возможность получения детализированных сведений по каждому объекту. Благодаря этому повышается доступность и открытость экологических данных, а также эффективность их использования в управленческой и аналитической деятельности.

Для более наглядного представления функций, реализуемых информационной системой, была разработана диаграмма вариантов использования, отображенная на рис. 1.

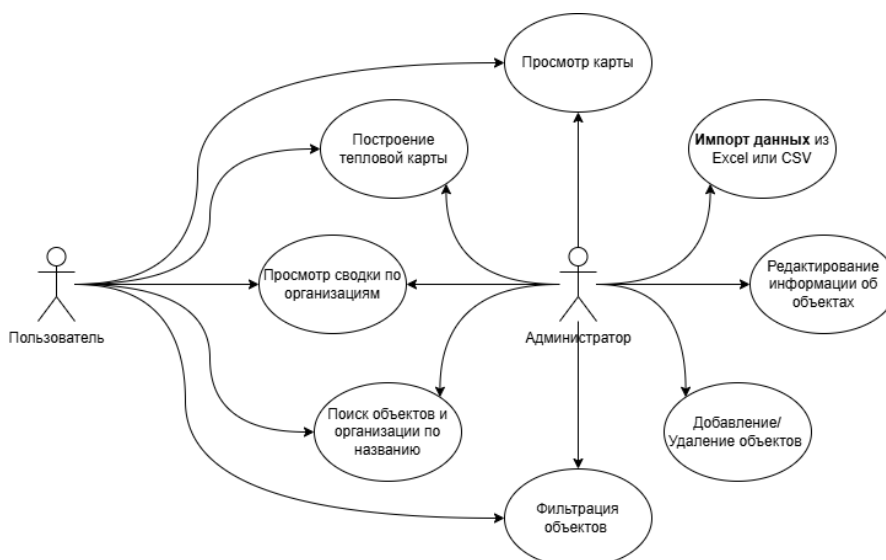


Рис. 1. Диаграмма вариантов использования

Разработанная система обеспечивает централизованный сбор, хранение и обработку экологических данных. Архитектура решения построена по классическому трёхуровневому принципу [1] и включает три основных компонента: базу данных [Ошибка! Источник ссылки не найден.], серверную часть [4] и пользовательский интерфейс. В систему импортируются сведения о выбросах в атмосферу, сбросах в водоёмы, образовании отходов и выбросах парниковых газов. Каждому объекту загрязнения сопоставлены координаты, что обеспечивает точное отображение его местоположения на карте и возможность пространственного анализа.

Процесс взаимодействия пользователя с системой реализован в несколько этапов: получение запроса от интерфейса, обращение к серверной логике, выборка соответствующих данных из базы и их последующая визуализация на карте. Пример работы в виде диаграммы последовательности, отражающей порядок обмена сообщениями между основными компонентами системы отображена на рис. 2.

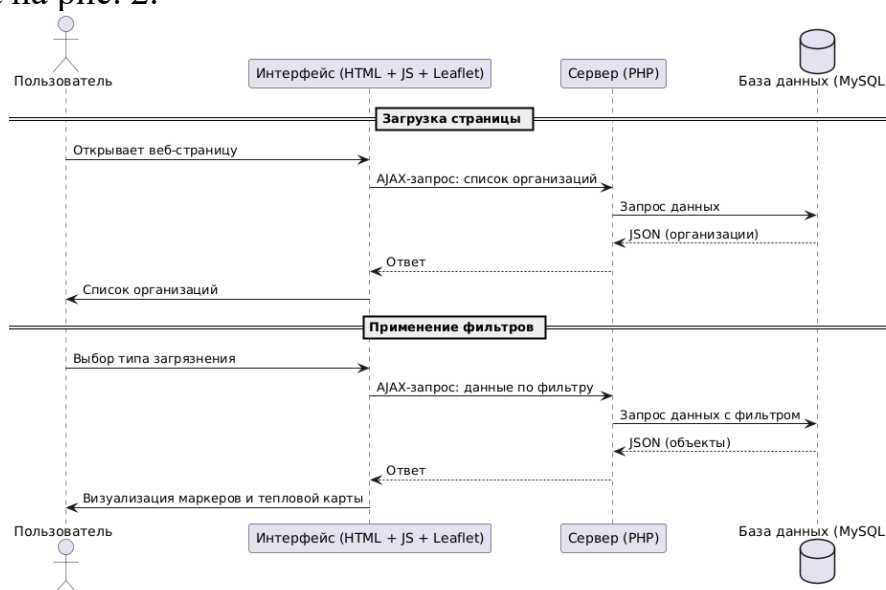


Рис. 2. Схема взаимодействия пользователя с системой

Архитектура разработанной геоинформационной системы отражает распределение её компонентов и взаимодействие между ними на уровне подсистем. Такая структура обеспечивает чёткое разделение функций и упрощает сопровождение и масштабирование приложения. Архитектура включает три основных уровня: клиентский, серверный и уровень хранения данных.

На клиентском уровне функционирует веб-интерфейс, реализованный с использованием библиотеки Open Layers [2], обеспечивающей отображение карты, нанесение слоёв загрязнений и взаимодействие пользователя с элементами управления. Серверная часть, реализованная на языке PHP [4], обрабатывает запросы клиента, выполняет фильтрацию и подготовку данных для отображения. Уровень хранения данных основан на базе MySQL [Ошибка! Источник ссылки не найден.] и содержит таблицы, описывающие организации, объекты загрязнений и пространственные координаты.

Взаимодействие всех компонентов в виде программно-технической архитектуры представлен на рис. 3.

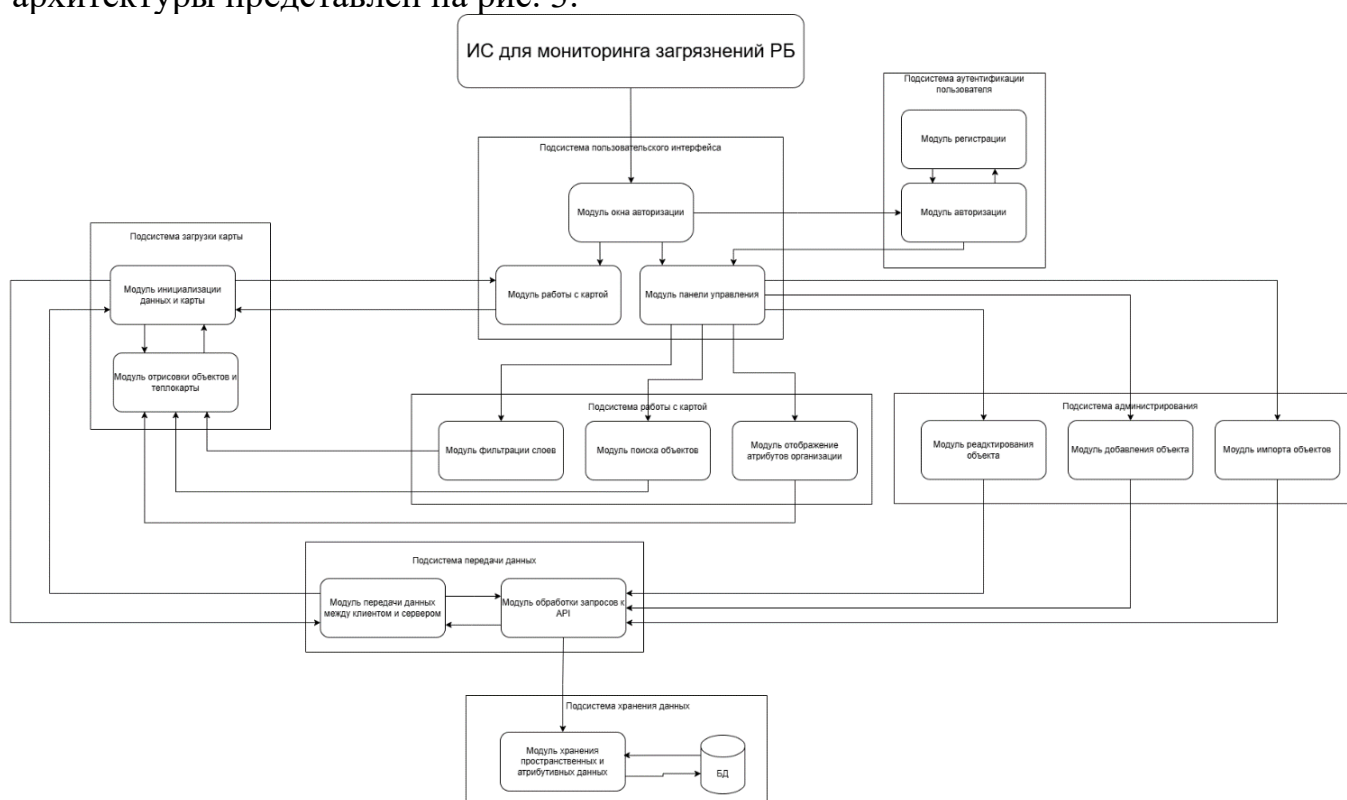


Рис. 3. Программно-техническая архитектура

Серверная часть геоинформационной системы разработана на языке PHP и взаимодействует с базой данных MySQL [Ошибка! Источник ссылки не найден.]. Она выполняет импорт исходных данных из файлов Excel, их предварительную обработку, нормализацию и формирование структурированных ответов в формате JSON [4] для передачи клиентской части.

Интерфейс пользователя реализован с использованием библиотеки Open Layers [2] и использует картографические данные OpenStreetMap [3].

Визуализация загрязнений осуществляется с помощью двух режимов отображения — кластеризации и тепловой карты [5].

В режиме отображения точек, источники загрязнений объединяются в кластеры. Это сделано для увеличения читаемости карты при больших масштабах. У каждого кластера есть цвет и число содержащихся в нем точек. Окрас кластера обозначает тип загрязнений и концентрацию вредных веществ: чем темнее, тем больше выбросов. В режим отображения тепловой карты строится визуализация в зависимости от количества выбросов. Данные решения позволяют оценить экологическую обстановку в более наглядном виде что способствует увеличению качества контроля за состоянием окружающей среды.

В базе данных, построенной по иерархическому принципу, хранятся данные о организациях, координатах источников выбросов, объектах загрязнений, их типах и количестве. Все таблицы связаны между собой внешними ключами, благодаря чему появляется возможность удобного импорта новых данных, которые автоматически распределятся по нужным таблицам.

Инфологическая модель отображена на рис. 4.

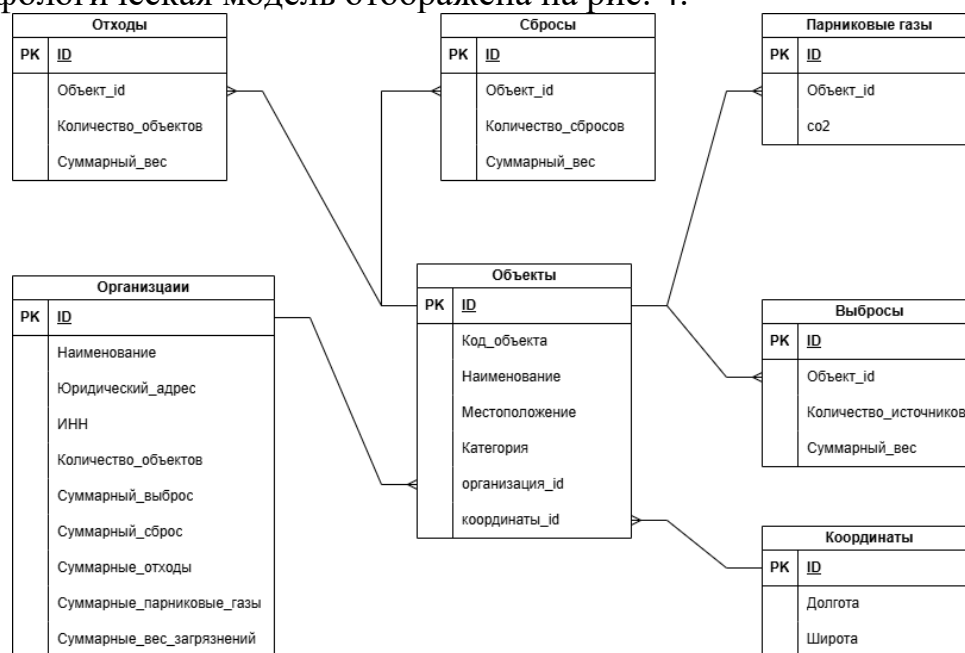


Рис. 4. Инфологическая модель

Использование GeoJSON-файлов [4] позволяет накладывать на карту границы регионов (например, Республики Башкортостан), что дополнительно повышает точность визуализации. Также предусмотрена возможность интеграции геокодеров, таких как Яндекс геокодер или Nominatim, для определения координат по адресу для последующего их отображения на карте.

Кроме основной визуализации на карте, система предусматривает разработку дополнительных аналитических модулей, включая построение графиков, диаграмм и экспорт отчетов. Открытая архитектура системы позволяет при необходимости доработать и настроить ГИС под задачи разных

организаций — от государственных структур до промышленных предприятий и экологических сообществ. Примеры работы системы отображены на рис. 5, 6 и 7.

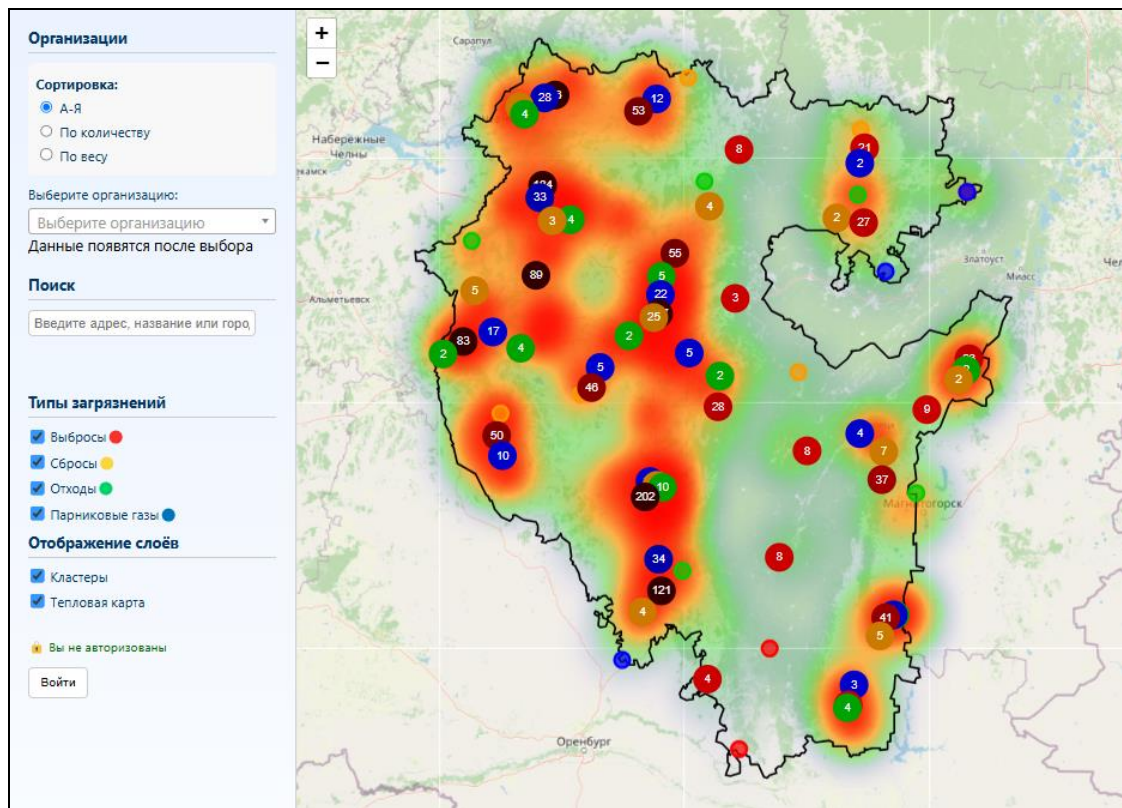


Рис. 5. Общий вид главной страницы системы

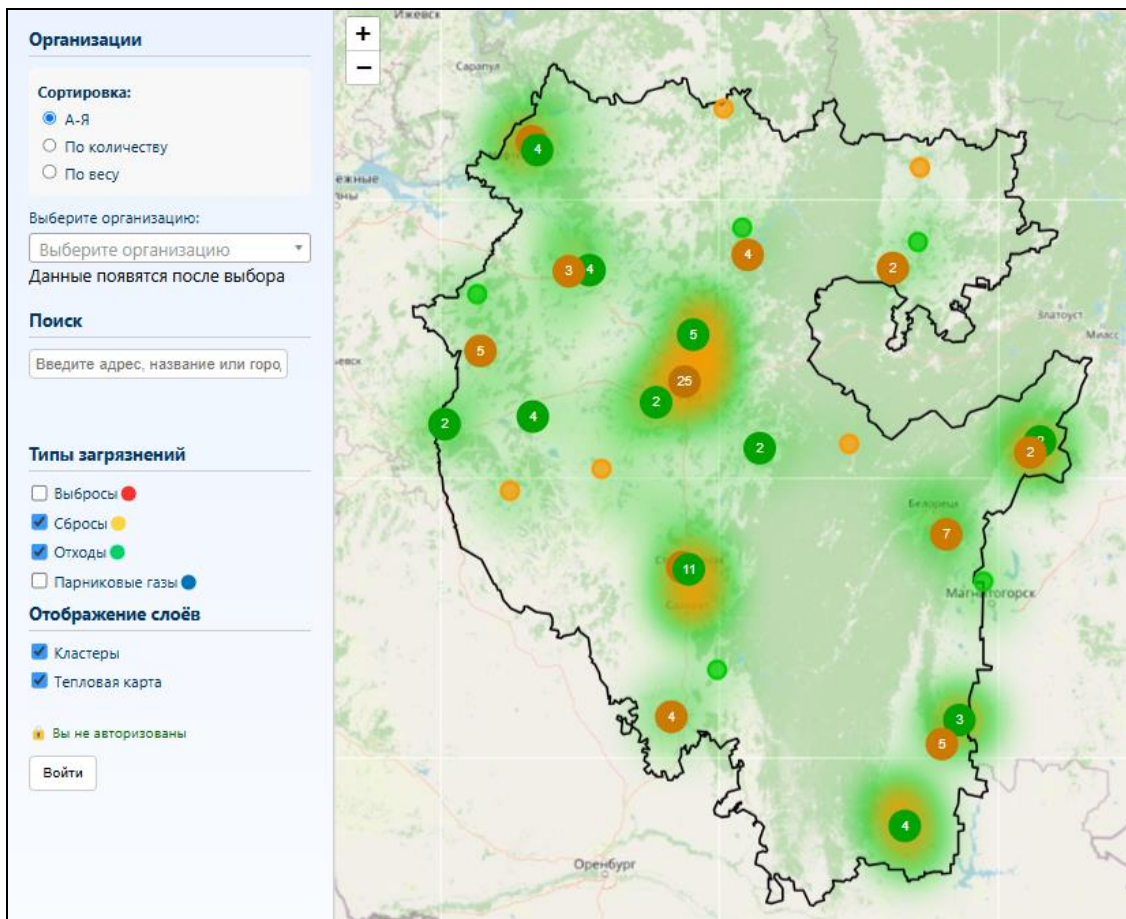


Рис. 6. Пример работы фильтров

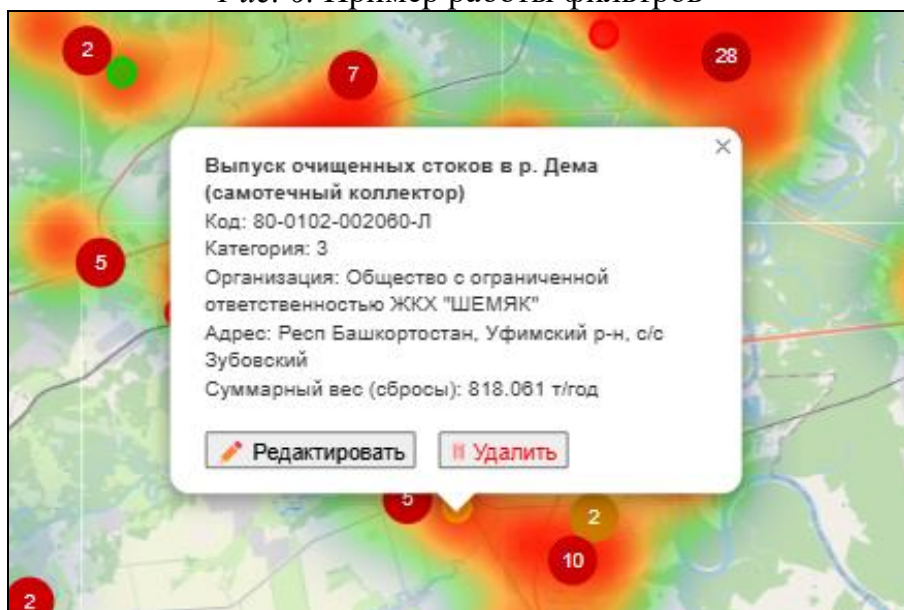


Рис. 7. Отображение информации об определенном объекте загрязнения

Данная информационная система создавалась для повышения эффективности экологического контроля и более точного анализа состояния окружающей среды в Республике Башкортостан. Она позволяет визуализировать собранные данные, что делает её удобной в работе как для специалистов, так и для различных организаций, заинтересованных в экологических исследованиях и контроле.

Библиографический список

1. Мартынов В.В., Филосова Е.И., Зверева Н.Н., Шаронова Ю.В., Дидык Т.Г. Управление жизненным циклом информационных систем (учебное пособие) \\ Уфимск. гос. авиац. техн. ун-т. – Уфа: РИК УГАТУ, 2016. – 358 с.
2. MySQL Reference Manual. MySQL 8.0 Reference Manual / Oracle Corporation [Электронный ресурс]. – URL: <https://dev.mysql.com/doc/refman/8.0/en/> (дата обращения: 15.10.2025). – 3684 с.
3. OpenLayers Documentation. OpenLayers 8.1 – Official API Reference / Open-Source Geospatial Foundation [Электронный ресурс]. – URL: <https://openlayers.org/en/latest/doc/> (дата обращения: 15.10.2025).
4. OpenStreetMap Contributors. OpenStreetMap Data and Documentation / The OpenStreetMap Foundation [Электронный ресурс]. – URL: <https://www.openstreetmap.org> (дата обращения: 15.10.2025).
5. GeoJSON Specification (RFC 7946). The GeoJSON Format / Internet Engineering Task Force [Электронный ресурс]. – URL: <https://datatracker.ietf.org/doc/html/rfc7946> (дата обращения: 15.10.2025).
6. Heatmap.js: Dynamic Heatmaps for the Web / Patrick Wied [Электронный ресурс]. – URL: <https://www.patrick-wied.at/static/heatmapjs/> (дата обращения: 15.10.2025).

© Нурмухаметов И.И., 2025

УДК 004.95

Г.О. ОРЛОВ

orlovgleb99@mail.ru

Науч. руковод. – доктор техн. наук, проф. Г.Р. ВОРОБЬЕВА

Уфимский университет науки и технологий

КОНЦЕПЦИЯ ПОДДЕРЖКИ ПРИНЯТИЯ РЕШЕНИЙ В ГЕОЛОГОРАЗВЕДОЧНЫХ РАБОТАХ НА ПРИМЕРЕ ГЕОМАГНИТНОЙ ИНФОРМАЦИИ

Аннотация: статья посвящена разработке новой концепции поддержки принятия решений для управления геологоразведочными работами на основе тензорных исчислений. Предложена концепция обработки данных, а также метод тензорной визуализации геомагнитных полей. Основным преимуществом предложенной концепции является сохранение структурной целостности многокомпонентных данных.

Ключевые слова: геопространственные данные; геомагнитные данные; система поддержки принятия решений; системы управления геологоразведочными работами.

Введение

На текущий момент в системах информационной поддержки принятия решений в геологоразведочных работах (ГРР) существует несоответствие между сложной природой геомагнитных полей и их недостаточно комплексной интерпретацией. Информация о геомагнитных полях имеет решающее значение в ГРР, обеспечивая понимание геологического строения территорий и выявляя месторождения полезных ископаемых [1, 2]. В то же время традиционные подходы, оперирующие скалярными значениями и векторными полями, не учитывают тензорную специфику геомагнитного поля, что исключает структурные взаимосвязи критически важных данных и снижает эффективность управленческих решений [3, 4].

Целью исследования является разработка концепции поддержки принятия решений на основе тензорных исчислений. Предлагаемый подход позволит преодолеть системное несоответствие между комплексной структурой геофизических объектов и традиционными методами их анализа за счет мультиосевой концепции хранения и представления информации, что особенно важно в условиях поиска месторождений со сложной геологической структурой.

Кроме того, представленные в исследовании методы тензорного анализа направлены на разработку целостной системы поддержки принятия решений в ГРР, поскольку геомагнитные данные в представленной концепции представлены как единый тензорный объект, обладающий пространственно-

Основой математического аппарата концепции выступает адаптивный метрический тензор, вычисляемый по формуле:

$$g_{ij} = \delta_{ij} + \alpha \cdot Cov(B_i, B_j),$$

где δ_{ij} – дельта Кронекера, α – коэффициент адаптации, Cov – ковариационная матрица компонент поля. Применение метрического тензора позволяет учитывать пространственно-временные зависимости и анизотропию физических свойств геологической среды (Рис. 2). Основную роль в концепции играет операция метрического преобразования данных, включающая три основных компонента: исходный тензор поля B , метрический тензор g и его транспонированную форму g^T . Преобразование выполняется по формуле $\tilde{B} = g \cdot B \cdot g^T$, в которой адаптивный метрический тензор учитывает свойства геологической среды, а двойное умножение позволяет сохранить структурные связи. Результатом преобразования являются скорректированные значения, в которых учтена анизотропия пород, выделены критические аномалии и вариации поля, а также сохранены топологические свойства, что создает основу для последующего анализа границ и классификации геологических объектов.

Концепция включает в себя спектральный анализ тензорных геомагнитных полей и вычисления их вариаций, позволяющих количественно оценивать неоднородность их атрибутивных параметров и выделять участки для детального изучения. Особое внимание уделяется разработке специализированных методов визуализации, обеспечивающих наглядное представление сложных пространственных зависимостей для лиц, принимающих решения.

Метод тензорной визуализации геомагнитного поля

Для реализации концепции тензорного управления ГРП на практике был создан специальный метод визуализации, обеспечивающий единое представление многокомпонентных геомагнитных полей [5]. Метод базируется на применении адаптивных суперэллипсоидных глифов (Рис. 2). Данные глифы позволяют представить комплексные тензорные данные в интуитивно понятные графические объекты, обозначающие параметры поля а также их структурные взаимосвязи.

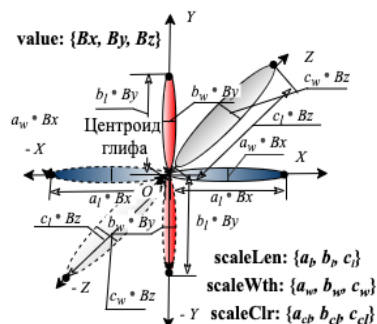


Рис. 2. Пример суперэллипсоидного тензорного глифа

Процесс визуализации стартует с преобразования исходного тензора поля и адаптивного метрического тензора, что позволяет учесть пространственные взаимосвязи между компонентами [6]. По полученным параметрам строятся оси глифа, где их длина и расположение показывают ключевые свойства геомагнитного поля, включая распределение и интенсивность аномалий [7].

Особое значение для геологоразведочных работ имеет цветовое кодирование компонент поля с использованием кривых Ламе [8], которое делает видимыми даже слабые и скрытые закономерности. Это позволяет выявлять перспективные зоны и геологические структуры, которые могут остаться незамеченными при традиционных методах визуализации. Получаемое компактное и информативное представление всех параметров точки измерения существенно ускоряет процесс интерпретации данных. Из соображений обработки крупномасштабных датасетов предлагается модифицированный алгоритм DBSCAN [9], обеспечивающий кластерный анализ тензорного геомагнитного поля. Алгоритм способен выявлять в автоматическом режиме аномальные глифы и распределять их по степени интенсивности геомагнитных возмущений с целью оперативного выявления более приоритетных локаций для постановки геологоразведочных работ.

На практике данный метод реализован в исследовательском прототипе веб-приложения (Рис. 3), созданного с целью поддержки принятия решений в ГРП [10]. Приложение через экранные формы отображает атрибутивные компоненты геомагнитного поля через тензорные глифы, форма которых отражает энтропию геомагнитного поля, а цвет – интенсивность геомагнитной аномалии. На базе анализа собственных значений λ_1 , λ_2 , λ_3 и их соотношения, приложение производит классификацию аномалий и выдает рекомендации касательно приоритетности постановки геологоразведочных работ.

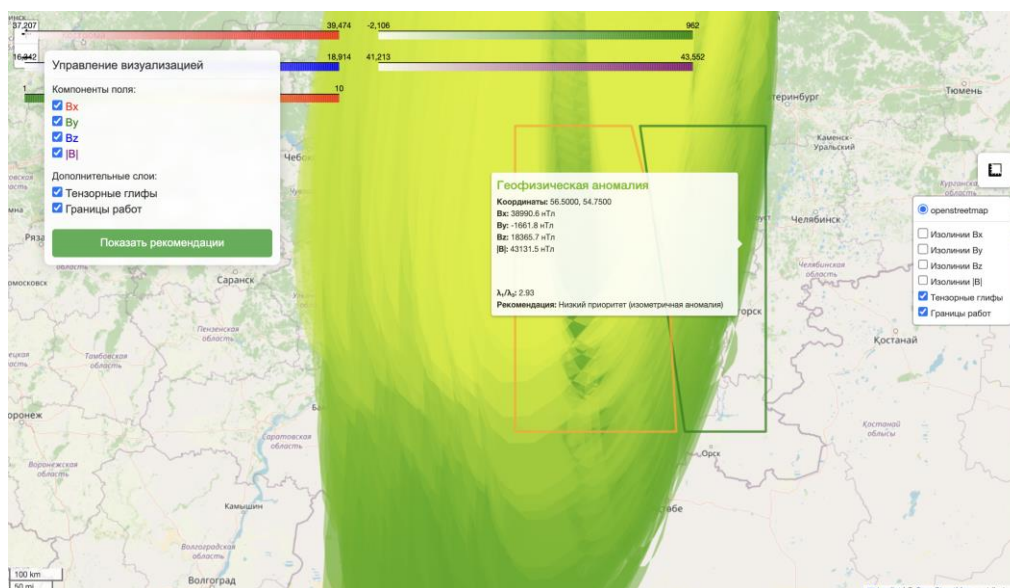


Рис. 3. Пример реализации, предложенной в исследовательском прототипе веб-приложения

Предложенный алгоритм визуализации существенно сокращает время на интерпретацию данных и увеличивает точность выделения контура для перспективных объектов ГРП. Кроме того, имеется возможность интеграции с современными веб-ориентированными ГИС-системами, что позволяет операторам систем управления ГРП работать с многокомпонентными данными в привычной для них среде, что поможет оперативному внедрению предложенного метода в специализированные организации [11].

Результаты и выводы

Вычислительное преимущество разработанной системы подтверждается экспериментами, в ходе которых выявлена скорость обработки данных 48.2 тыс. точек в секунду, что в 1.5 раза выше, чем у Geosoft Oasis montaj и в 1.7 раза превышает показатель Golden Software Surfer. Коэффициент сжатия достигает 5.8:1 при сохранении полной информативности против 3.2:1 у стандартных решений. Время визуального анализа составляет 8.5 мин на участок, что на 30% быстрее аналогов. Наблюдается также более эффективное использование ресурсов - 120 МБ на 100 км² данных против 210 МБ у Geosoft.

Среди качественных изменений стоит выделить полную поддержку многокомпонентных данных с сохранением всех структурных взаимосвязей, а также интеграцию алгоритмов расчета собственных значений с механизмами адаптивного масштабирования.

Приведенные выше результаты вычислительных экспериментов подтверждают практическую значимость работы, а также существенное преимущество разработанных методов по сравнению с известными аналогами. Применение адаптивного метрического тензора и мультиосевой модели хранения геоданных привело к существенному повышению эффективности обработки и визуализации геомагнитной информации. Метод визуализации суперэллипсоидных тензорных глифов обеспечивает интуитивно понятное представление комплексных пространственно-временных зависимостей, что способствует принятию более обоснованных управленческих решений в ГРП.

Библиографический список

1. Боярчук М. А., Журкин И. Г., Непоклонов В. Б. Анализ методов визуализации геофизических полей в геоинформационных системах // Известия высших учебных заведений. Геодезия и аэрофотосъемка. 2017. № 1. С. 108-113.

2. Earth's Surface Magnetism: URL: <https://earthobservatory.nasa.gov/images/4505/earths-surface-magnetism> (дата обращения 12.09.2025).

3. Yu Q., Zhang X., Huang Zh.-H. Tensor Factorization-Based Method for Tensor Completion with Spatio-temporal Characterization // Journal of Optimization Theory and Applications. 2023. Vol. 199. P. 337-362.

4. Xia S., Qiu D., Zhang X. Tensor factorization via transformed tensor-tensor product for image alignment // Numerical Algorithms. 2023. Vol. 95. P. 1251-1289.
5. Chongke Bi, Lu Yang, Yulin Duan, Yun Shi A survey on visualization of tensor field // The Visualization Society of Japan, 2019. No 22(1). P. 1-20. DOI: 10.1007/s12650-019-00555-8
6. Nils Olsen, Stavros Kotsiaros The geomagnetic field gradient tensor // GEM - International Journal on Geomathematics. 2012. No. 3(2). P. 297–314. DOI:10.1007/s13137-012-0041-6
7. Zou, T. An Overview of Geospatial Information Visualization / W. Li, P. Liu, X. Su, H. Huang, Y. Han, X. Guo // 2018 IEEE International Conference on Progress in Informatics and Computing (PIC), Suzhou, China, 2018, P. 250-254.
8. Lamé curve. Encyclopedia of Mathematics. URL: http://encyclopediaofmath.org/index.php?title=Lam%C3%A9_curve&oldid=53931 (дата обращения: 10.09.2025).
9. Гараева А. Р., Минниханов Р. Н., Дагаева М. В. и др. «Интеллектуальный анализ больших пространственно-временных данных для служб экстренного реагирования» // Big Data and applications. – 2018. – Т. 14, № 3. – С. 679-685.
10. Weickert, J., Hagen, H. Visualization and Processing of Tensor Fields. Mathematics and Visualization. – Berlin: Springer, 2006. – 481 p.
11. Воробьев, А. В. Подход к динамической визуализации разнородных геопространственных векторных изображений / А. В. Воробьев, Г. Р. Воробьева // Компьютерная оптика. – 2024. – Т. 48, № 1. – С. 123-138. – DOI 10.18287/2412-6179-СО-1279.

© Орлов Г.О., 2025

В.Н. ФРОЛОВА

frolova.var@mail.ru

Науч. руковод. – канд. техн. наук, доц. А.В. СОКОЛОВА

Уфимский университет науки и технологий

ГЕОИНФОРМАЦИОННЫЕ ТЕХНОЛОГИИ В ВЕБ-РЕСУРСАХ ДЛЯ ОБЕСПЕЧЕНИЯ ДЕЯТЕЛЬНОСТИ ДЕНДРОПАРКОВ

Аннотация: в статье исследуются актуальные проблемы существования дендропарков и обосновывается необходимость разработки информационного веб-ресурса с ГИС-компонентой (геоинформационной системы) для обеспечения их деятельности. На основе анализа существующих ресурсов предложены функции будущего информационного ресурса (на примере Непейцевского дендропарка в г. Уфа).

Ключевые слова: дендрологический парк, дендропарк, дендрарий, арборетум, веб, информационный ресурс.

Введение

Дендрологический парк (или арборетум⁸) – ландшафтный парк с коллекцией древесно-кустарниковых растений, растущих в естественных условиях [1]. Эти объекты не только служат местом для отдыха, но и выполняют научные, образовательные и природоохранные функции. В число таких функций входят: осуществление переселения растений за пределы естественного ареала; изучение в стационарных условиях их экологии и биологии; разработка основы ландшафтной архитектуры, озеленения, введения дикорастущих растений в культуру; изучение способов сохранения местных растений.

В настоящее время значение дендропарков существенно возросло из-за роста урбанизации (согласно данным ООН, к 2024 г. более 56% населения Земли проживает в городах [2]), которая сопровождается утратой естественных экосистем и сокращением биоразнообразия, что усиливает роль искусственно создаваемых зелёных территорий как резервуаров редких и местных растений.

Так, на момент 2023 г. на территории Российской Федерации зафиксировано 75 дендрологических парков и ботанических садов федерального значения [3]. Однако в настоящее время ботанические сады и дендрологические парки России характеризуются рядом проблем, обусловленных прежде всего недостаточным финансированием:

1. Сокращение числа научных исследований;

⁸ Арборетум – то же, что и дендрологический парк или дендрарий, используется в зарубежной терминологии.

2. Исчезновение видов растений;
3. Неблагоприятные экологические факторы.

Согласно результатам анкетирования администрации 35 ботанических садов и дендрологических парков, проводимого Южно-Уральским государственным университетом [4], неблагоприятные экологические ситуации отмечаются в большинстве этих объектов:

1. Загрязнение воздушного бассейна – в 90% садов и парков;
2. Деграция растительного покрова – в 73%
3. Загрязнение водных объектов – в 67%;
4. Затопление территории – в 56%.

Для сохранения и устойчивого функционирования дендрологических парков целесообразно привлечь внимание общественности и органов управления к проблеме их содержания, что повысит уровень финансовой и организационной поддержки. Этого можно достигнуть за счёт создания информационного ресурса, который позволит расширить аудиторию посетителей, упростит доступ к сведениям о растениях, повысит уровень экологической грамотности населения, а также будет содействовать развитию научных и образовательных проектов.

Некоторые дендропарки имеют подобные решения, которые были проанализированы по следующим критериям:

1. Информационная наполненность;
2. Функционал;
3. Дизайн пользовательского интерфейса.

Анализ ресурсов, проведенный по данным критериям, представлен ниже.

Официальный сайт Далласского арборетума, Техас, США (The Dallas Arboretum and Botanical Garden)

На сайте растения сгруппированы по принадлежности к саду с информацией в обобщённой и наглядной форме и набором фотографий.

ГИС-компонент ресурса представляет собой карту с метками объектов инфраструктуры. Реализована возможность выбрать объект из списка и найти его метку на карте, при нажатии на которую открывается всплывающее окно с краткой информацией.

Для трудоустройства предусмотрена функция подачи онлайн-заявок на вакансии, для чего нужно выбрать должность и оставить контактные данные.

Дизайн сайта минималистичный, в чёрно-белой цветовой гамме с зелёными акцентами, обеспечивающими визуальное выделение элементов интерфейса [5].

Официальный сайт арборетума Бойса Томпсона, Аризона, США (Boyce Thompson Arboretum)

Ресурс включает несколько разделов, среди которых наибольший интерес представляет раздел «Сады» («Gardens»), поскольку он содержит отдельные блоки, соответствующие каждому саду и предоставляющие краткое описание с фотографиями. Каждый блок включает фотографию, краткое описание и два навигационных элемента: ссылки на страницу о растениях и общую карту.

В ресурсе предусмотрен функционал устройства на работу с возможностью загрузки файла резюме для автозаполнения полей [6]. Карта дендрария – статичное изображение, которое можно скачать.

Официальный сайт арборетума Мортон, Иллинойс, США (Morton Arboretum)

Раздел поиска деревьев и растений («Search Trees and Plants») содержит базу из 764 растений с ручным поиском и фильтрами, такими как: высота, страна происхождения, форма листьев, видовая семья, благоприятные почвы, сезон цветения. Каждая карточка содержит фотографию и ботаническую информацию.

Научный раздел («Science») включает сведения о древоведении, исследовательских проектах и экологических инициативах в регионе штата.

В ГИС-модуль входит карта с интерактивными метками объектов: садов, троп, парковок и др., их названиями и списками групп для их подсвечивания.

Навигационная структура выполнена в виде горизонтального меню с выпадающими списками разделов. Из-за минимального интервала между элементами меню при перемещении курсора отмечается вероятность непреднамеренного перехода к соседнему пункту, что может негативно сказываться на удобстве навигации [7].

Официальный сайт арборетума Доуса, Огайо, США (Dawes Arboretum)

В ресурсе арборетума доступна функция «Что цветёт» («What's in Bloom?»), позволяющая определить растения, цветущие в выбранный месяц. Функция способствует планированию посещения арборетума с учётом цветения.

Вместо ГИС-компоненты реализована возможность скачать карту дендрария и отдельные карты крупных садов.

В состав страниц входят анимированные элементы, поддерживается поиск, по ключевым словам, на всём ресурсе [8].

Официальный сайт Волжско-Камского государственного природного биосферного заповедника, Республика Татарстан, Россия

На территории заповедника проводятся исследования, книги по которым размещены в формате PDF с возможностью свободного скачивания.

Одним из объектов заповедника является дендрарий. Для его самостоятельного посещения встроен функционал «Дендрарий-гид» [9]. В неё входит модуль «Маршрут прогулки», содержащий план дендрария, интерфейс геосервиса «Яндекс Карты» и метки, при выборе которых воспроизводится аудиолекция о соответствующей области или дерева.

В мировой практике информационные веб-ресурсы о деятельности дендропарков садов перестали быть только справочными платформами: они включают различные функции, рассмотренные в статье, что делает их полноценными инструментами коммуникации и просвещения.

Анализ показал, что у каждого ресурса есть как общие части, так и уникальные особенности. К схожим функциям и информации относятся:

1. ГИС-компонента: интерактивный план с обработкой ввода пользователя и выводом информации об интересующих пространственных объектах;
2. Контактная информация, которая помещается внизу страницы: номер телефона, электронная почта, ссылки на социальные сети;
3. Назначение парка и история создания;
4. Информация о каждом растении либо о группе или саде в общем;
5. Новостная функция: рассылка на электронную почту, ведение блога;
6. Привлечь спонсоров и волонтеров;
7. Покупка билетов: график работы, цены, календарь событий;
8. Дизайн часто в оттенках зелёного, изображения занимают большую часть страницы.

Каждый парк имеет свою направленность, от которой зависит информация и функции сайта: при наличии научно-исследовательского центра информация ботаническая, при направленности на детей – запись на детские экскурсии и т.д.

На территории Республики Башкортостан есть 5 дендропарков, имеющие статус «Памятник природы» [10]. В рамках статьи проведен анализ информации о Непейцевском дендропарке в г. Уфа и предложены функции будущего ресурса.

Моделирование функций процесса получения информации о дендропарке

Непейцевский дендропарк – «памятник природы» Республики Башкортостан, учреждённый 17 августа 1965 г. Первые посадки проводились с 1893 г. Большая часть посадок проведена в период с 1937–1941 гг., за всё время существования дендропарка в нём находилось более 100 видов растений: как местных, так и привезённых [11].

Часть деревьев повреждена болезнями, есть сухостой и валежник, на территории парка есть твёрдые бытовые отходы [12]. Разнообразие интродуцентов продолжает уменьшаться. Так, красные дубы из Северной Америки, корейский кедр, уссурийская груша, черёмуха Маака и другие выпали к 2000 г. У парка есть статус ООПТ (особо охраняемой природной территории), из-за чего проводятся мероприятия по восстановлению парка, но эта мера мало эффективна [13]. Благодаря обращениям жителей с 2015 г. ведётся его реконструкция: начато прокладывание асфальтированных дорог, установка скамеек и освещения. Это свидетельствует о положительной динамике изменений с возрастанием внимания к парку.

Проведённый анализ информационных ресурсов Непейцевского дендропарка позволил выделить следующий функционал будущего информационного ресурса, который соответствует следующим требованиям:

1. ГИС-компонента, представляющая собой план дендропарка с метками растений и других объектов. Она является основой для прохождения маршрута;
2. Просмотр информации об истории создания парка;
3. Фильтрация растений; просмотр информации о них;

4. Интерактивный аудиогид прохождения образовательных маршрутов;
5. Добавление фотографий от пользователей.

Данные требования будут входить в создание функциональной модели процесса получения информации о дендропарке. Функциональная модель описывает и анализирует функции и назначение системы, включая взаимосвязи между внешними и внутренними элементами.

Функциональная модель процесса ресурса представлена в виде диаграмм в нотации IDEF0, которая наглядно представляет взаимодействие функций в предметной области и акцентирует на соподчинённости процессов (рис. Рис. 13-Рис. 14).



Рис. 13. Функциональная модель нулевого уровня

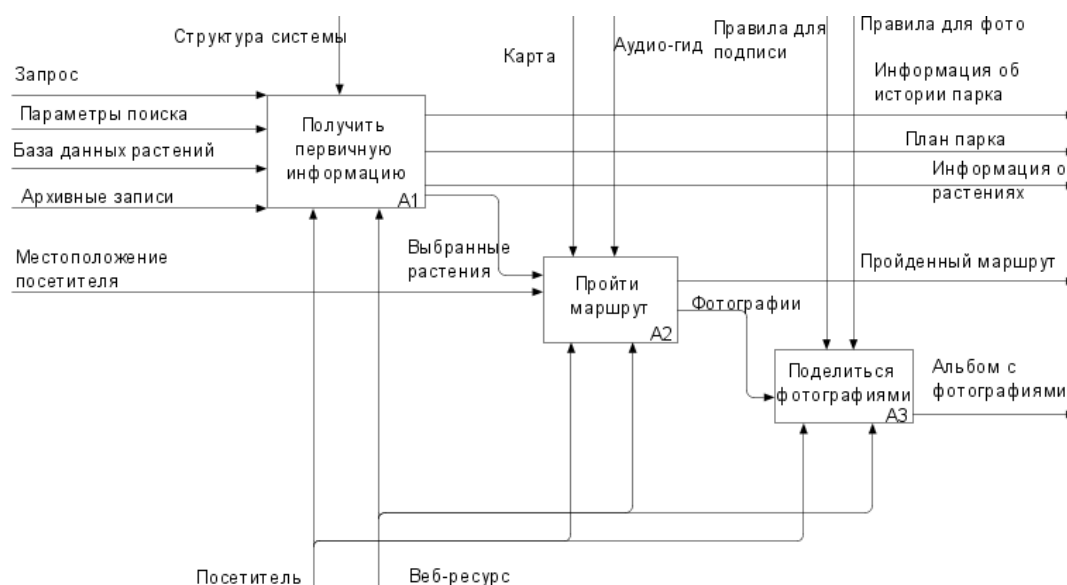


Рис. 14. Функциональная модель первого уровня

Данные функции не только обеспечат пользователя текстовой информацией о растениях, но и облегчат посещение большой территории парка.

Заключение

Дендрологические парки важны для общества выполнением экологической, научной и рекреационной функциями. В республике Башкортостан находятся 5 дендрологических парков, имеющие статус «Памятник природы», но в настоящее время наблюдается снижение уровня их благоустройства и состояния растительных сообществ, что обуславливает необходимость дополнительного финансирования и системного ухода. Одним из решений является привлечение внимания общественности к данной проблеме посредством создания информационного веб-ресурса с ГИС-компонентой. Проведённый анализ информационных веб-ресурсов, посвящённым дендрологическим паркам, показал, что функциональные элементы, такие как интерактивные карты, базы данных и фильтрация растений, а также модули обратной связи и онлайн-гиды, значительно повышают вовлечённость аудитории. Опыт зарубежных и российских дендропарков будет адаптирован при создании аналогичного ресурса для Непейцевского дендропарка с учётом его исторических и географических особенностей.

Библиографический список

1. Новые слова и значения: Словарь-справочник по материалам прессы и литературы 70-х годов /Е. А. Левашов, Т. Н. Поповцева, В. П. Фелинына и др.; Под ред.Н. З. Котеловой. – М.: Рус. яз., 1984 , – 808 с.

2. Новости ООН: Урбанизация наименее развитых стран приводит к росту числа мегаполисов [электронный ресурс]. – Режим доступа: <https://news.un.org/ru/story/2022/04/1422732>.

3. О состоянии и об охране окружающей среды Российской Федерации в 2023 году. Проект Государственного доклада. – М.: Минприроды России; ООО «Интеллектуальная аналитика»; ФГБУ «Дирекция НТП»; Фонд экологического мониторинга и международного технологического сотрудничества, 2024. – 707 с.

4. Особо охраняемые природные территории: учебное пособие / Т.Н. Третьякова, Т.В. Бай, О.С. Третьякова, М.Н. Малыженко. – Челябинск: Издательский центр ЮУрГУ, 2015. – 380 с.

5. Dallas Arboretum [электронный ресурс]. – Режим доступа: <https://www.dallasarboretum.org/> (дата обращения: 01.09.2025).

6. Boyce Thompson Arboretum [электронный ресурс]. – Режим доступа: <https://btarboretum.org/> (дата обращения: 01.09.2025).

7. The Morton Arboretum [электронный ресурс]. – Режим доступа: <https://mortonarb.org/> (дата обращения: 01.09.2025).

8. The Daves Arboretum [электронный ресурс]. – Режим доступа: <https://www.dawesarb.org/> (дата обращения: 01.09.2025).

9. Дендрарий Волжско-Камского заповедника [электронный ресурс]. – Режим доступа: <https://vkgz.ru/ru> (дата обращения: 05.09.2025).

10. Перечень особо охраняемых природных территорий по состоянию на 19 марта 2014 года. – Минэкологии РБ [электронный ресурс]. – Режим доступа: <https://ecology.bashkortostan.ru/documents/active/21405/> (дата обращения: 05.11.2025).

11. Кучеров, Е. В. Ботанические памятники природы Башкирии / Е. В. Кучеров, А. А. Мулдашев, А. Х. Галеева. – Уфа : Башкирский научный центр Уральского отделения Академии наук СССР, 1991. – 144 с. – EDN TNFBVP.

12. А.Н. Курочкина, А.А. Шамаева, Ю.А. Салахов АНАЛИЗ СОСТОЯНИЯ НАСАЖДЕНИЙ НЕПЕЙЦЕВСКОГО ДЕНДРОПАРКА Г. УФА. DOI: 10.31563/2308-9644-2020-35-1-195-202.

13. Путенихин В.П. Цивилизация деревьев: научно-популярные очерки о природе. – Уфа: Информреклама, 2007. – 140 с.

© Фролова В.Н., 2025

М.С. ХАЙРУЛЛИН, Е.В. НАКАРЯКОВ

ban54894@gmail.com

Науч. руководитель – канд. техн. наук, доцент А.В. СОКОЛОВА

Уфимский университет науки и технологий

ИИ-МОНИТОРИНГ ЗАПОВЕДНЫХ ТЕРРИТОРИЙ: ДЕТЕКЦИЯ ЖИВОТНЫХ И ПРОСТРАНСТВЕННЫЙ АНАЛИЗ ДАННЫХ

Аннотация: статья посвящена разработке и применению системы искусственного интеллекта для мониторинга животных в природных заповедниках. Рассматривается двухэтапный подход, включающий обнаружение объектов и их классификацию с последующей интеграцией результатов в геоинформационную систему (ГИС), которая отображает ареалы обитания животных и обеспечивает пространственно-временной анализ наблюдений. Предложенная архитектура объединяет сенсорную сеть, модуль инференса (edge/сервер), хранилище PostGIS и веб-интерфейс карты, что упрощает оперативный контроль, планирование патрулей и научную интерпретацию данных. Работа нацелена на повышение точности мониторинга дикой природы, упрощение управления заповедными территориями и улучшение воспроизводимости аналитики экосистем.

Ключевые слова: обнаружение объектов, классификация животных, YOLOv11, ГИС, заповедники, мониторинг, пространственные данные.

Введение

В природоохранной сфере в последние годы активно внедряются технологии искусственного интеллекта (ИИ) для мониторинга диких животных и борьбы с браконьерством. Современные камеры-ловушки оснащаются встроенными модулями ИИ, способными автоматически распознавать на изображениях животных, людей или транспортные средства. Например, система TrailGuard AI (разработка RESOLVE и Intel) представляет собой миниатюрную скрытую камеру, которая идентифицирует проходящих мимо людей или животных и немедленно отправляет сигнал рейнджерам. Такие устройства позволяют обнаруживать присутствие нарушителей на ранней стадии и предотвращать причинение вреда охраняемым видам. Помимо стационарных камер, используются мобильные решения: беспилотные дроны с тепловизорами и алгоритмами распознавания патрулируют большие площади с воздуха, передавая координаты обнаруженных людей в реальном времени [1].

Параллельно со средствами оперативного обнаружения нарушителей развиваются цифровые платформы ситуационной осведомлённости. К примеру, система EarthRanger собирает полевые данные — координаты животных с GPS-ошейников, сообщения патрульных, снимки с камер и др. — и отображает

обстановку на карте заповедника в режиме, близком к реальному времени. Такие платформы помогают администрациям парков отслеживать местоположение животных, перемещения нарушителей, инциденты и оперативно принимать решения по охране территории. Используя геоинформационные системы (ГИС) для анализа больших массивов наблюдений, исследователи строят карты миграций, оценивают размеры индивидуальных участков обитания и создают тепловые карты плотности. На практике эти решения закрывают разные участки единого процесса мониторинга: сенсоры и оповещение обеспечивают быстрый отклик, а ГИС — пространственный анализ, при этом отсутствует непрерывная передача данных первичных детекций от сенсоров в режиме, близком к реальному времени. В этой связи формулируется научно-практическая задача: разработать единую технологическую платформу, обеспечивающую единый процесс мониторинга: детекция объектов — накопление и хранение пространственных данных — геоинформационный анализ — поддержка управленческих решений, при этом целью настоящего исследования является создание единой ИИ-ГИС-платформы мониторинга заповедных территорий с интегрированными подсистемами сбора детекций, хранения и аналитической обработки (буферные зоны, тепловые карты). Работа структурирована на три взаимосвязанных этапа: (1) проектирование (2) реализация (3) апробация моделируемого сценария [2].

Сначала спроектируем разрабатываемую систему

Проектирование

Проведённый во введении анализ показал, что для решения задачи необходима единая платформа мониторинга заповедных территорий с интегрированными подсистемами сбора детекций, хранения геопривязанных наблюдений и аналитической обработки (буферные зоны, тепловые карты). Исследование организовано в три этапа: проектирование, реализация и апробация моделируемого сценария. Переходя к первому этапу, формализуем данные, на которых будет строиться архитектура системы [3].

В качестве базовой единицы принимается событие детекции — результат распознавания на снимке с указанием времени, координат, источника и класса объекта, а также ссылкой на исходное фото и показателем уверенности. На уровне предметной области событие связывается с каталогом камер и справочником классов животных, что обеспечивает корректный контекст наблюдения. Для последующей аналитики вводится журнал вычислений, где фиксируются тип операции и параметры запуска; результаты представлены двумя самостоятельными сущностями: «буфер животного» (пространственная зона за выбранный период) и «тепловая карта» (слой плотности наблюдений). Сущности «заповедник» и «карта» задают границы территории и параметры проекции, гарантируя согласованность пространственной привязки. Такая информационная модель обеспечивает целостность ссылок, трассируемость от производных слоёв к исходным детекциям и воспроизводимость аналитических результатов [4].

Информационная модель платформы показана на рис. 1; далее на её основе специфицируется архитектура системы.

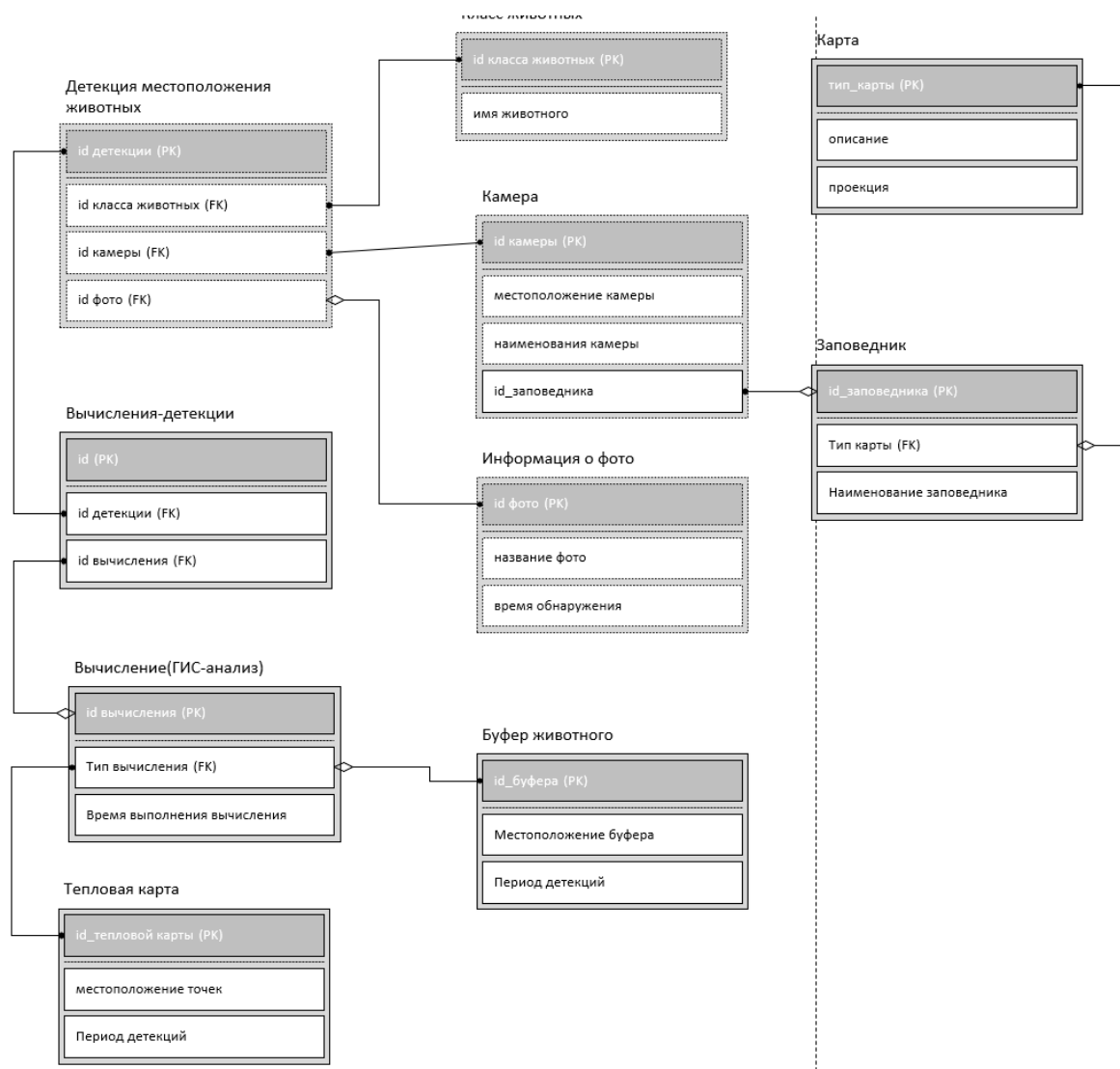


Рис. 1. Информационная модель процесса мониторинга заповедников

Чтобы связать инфологическую модель с работающей системой, требуется формализовать протокол обмена между подсистемой распознавания и сервером данных. Этот протокол определяет момент формирования события детекции, формат передаваемой полезной нагрузки (временная метка, координаты, идентификаторы камеры и снимка, класс и уверенность), а также последовательность проверок на стороне API — нормализацию времени и проекции, контроль идемпотентности и валидность ссылок на сущности «Камера», «Фото» и «Детекция». Блок-схема на рис. 2 фиксирует указанную последовательность как исполнительную спецификацию: от подготовки списка камер и запуска модели до сериализации детекции в JSON, валидации в go-api и записи в базу. Далее эта схема используется как основа для описания реализации [5].

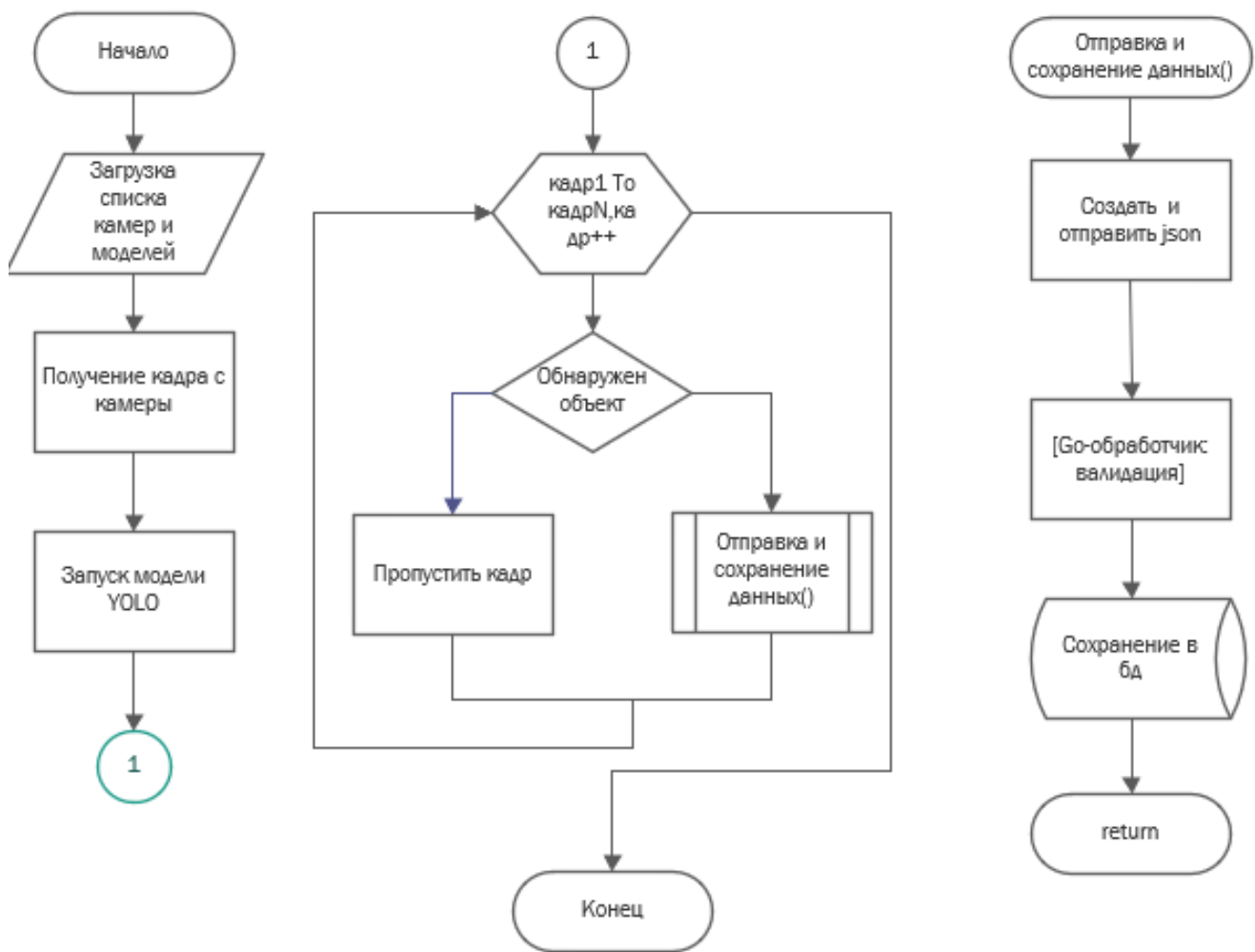


Рис. 2. Блок-схема алгоритма взаимодействия подсистемы распознавания животных и go-api

Переходя от внутреннего контура «детектор → go-API → хранилище» (рис. 2) к внешнему контуру эксплуатации, рассматривается пользовательское взаимодействие с системой (рис. 3). После сериализации и валидации событий детекции на серверной стороне данные становятся доступными клиенту через унифицированные запросы. Клиент инициирует загрузку справочной

информации и инициализацию картографического представления, после чего пользователь выбирает режим работы [6].

В режиме геоаналитики интерфейс формирует параметрические запросы к сервисам построения буферных зон и тепловых карт за заданный период и для выбранного класса животных; полученные результаты возвращаются в виде слоёв и добавляются к карте с сохранением ссылок на соответствующие вычисления. В режиме работы с камерами отображаются сведения об узлах наблюдения, галерея снимков и списки детекций; выбор объекта приводит к выборке связанных событий из хранилища. Таким образом, поток данных, зафиксированный на уровне взаимодействия детектора с API (рис. 2), завершается в пользовательском контуре визуализации и анализа (рис. 4), где обеспечиваются согласованность представлений, воспроизводимость расчётов и трассируемость от отображаемых слоёв к исходным наблюдениям [7].

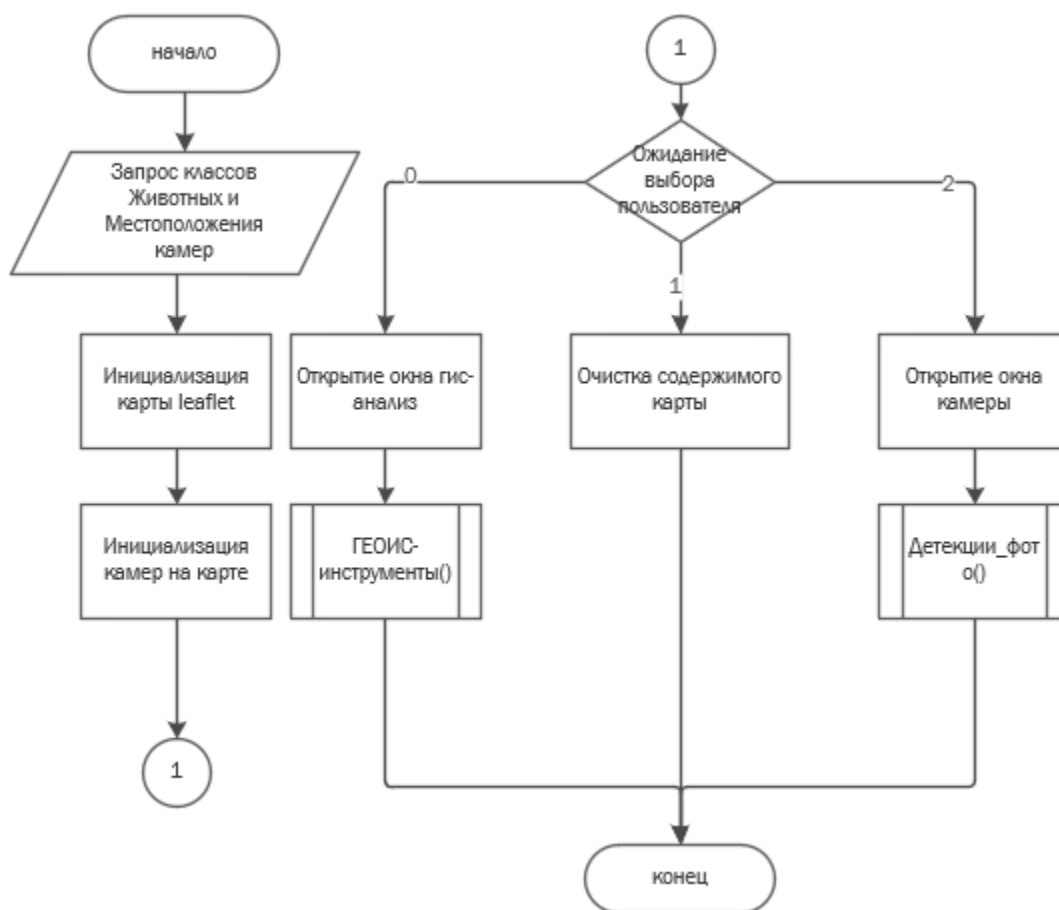


Рис. 3. Блок-схема алгоритма взаимодействия пользователя с системой

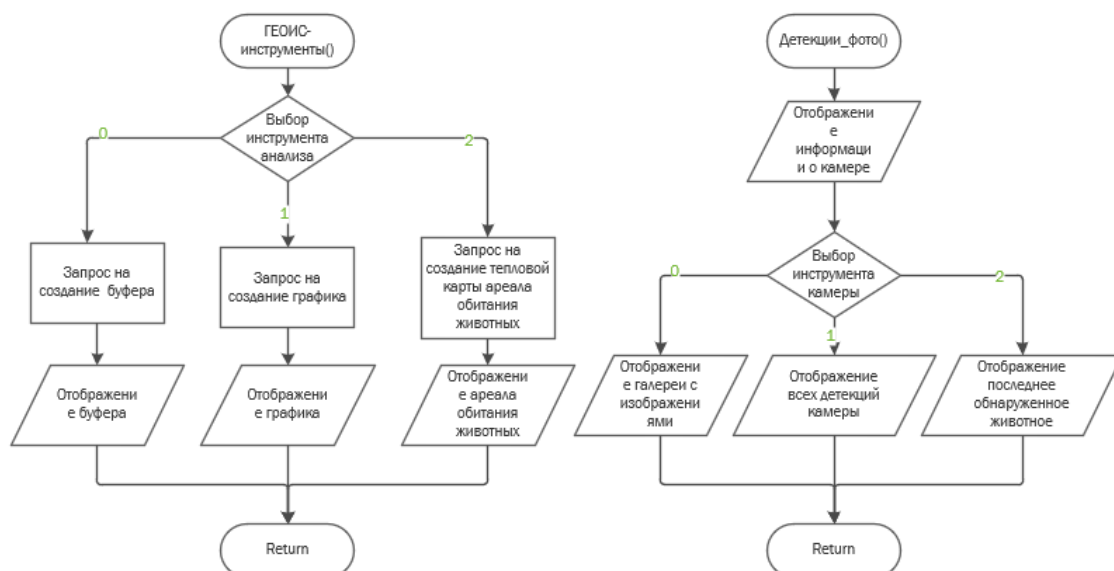


Рис. 4. Блок-схема алгоритма взаимодействия пользователя с системой

Реализация, которую рассмотрим далее, опирается на современные технологии компьютерного зрения и пространственного анализа, которые легли в основу предлагаемой системы.

Реализация

Разработанная система ИИ-мониторинга заповедной территории включает несколько сервисов.

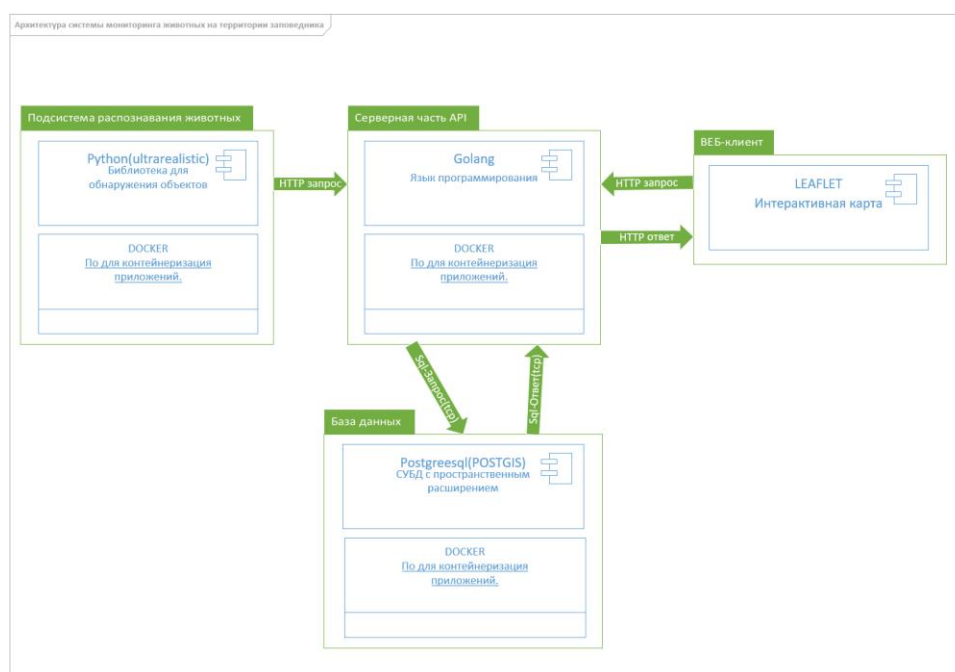


Рис. 5. Архитектура системы мониторинга животных на территории заповедника

Первый компонент – это микросервис обработки данных, собранных и отправленных на центральных сервер человеком с сети сенсоров: в ключевых

точках устанавливаются цифровые фотоловушки и видеокамеры (в том числе тепловизионные. Встроенные модули компьютерного зрения на основе нейросетей выполняют на месте детекцию объектов на каждом кадре (например, определяют появление человека или животного) [7]. Выявленные события с указанием времени, координат и класса объекта передаются на центральный сервер [8].

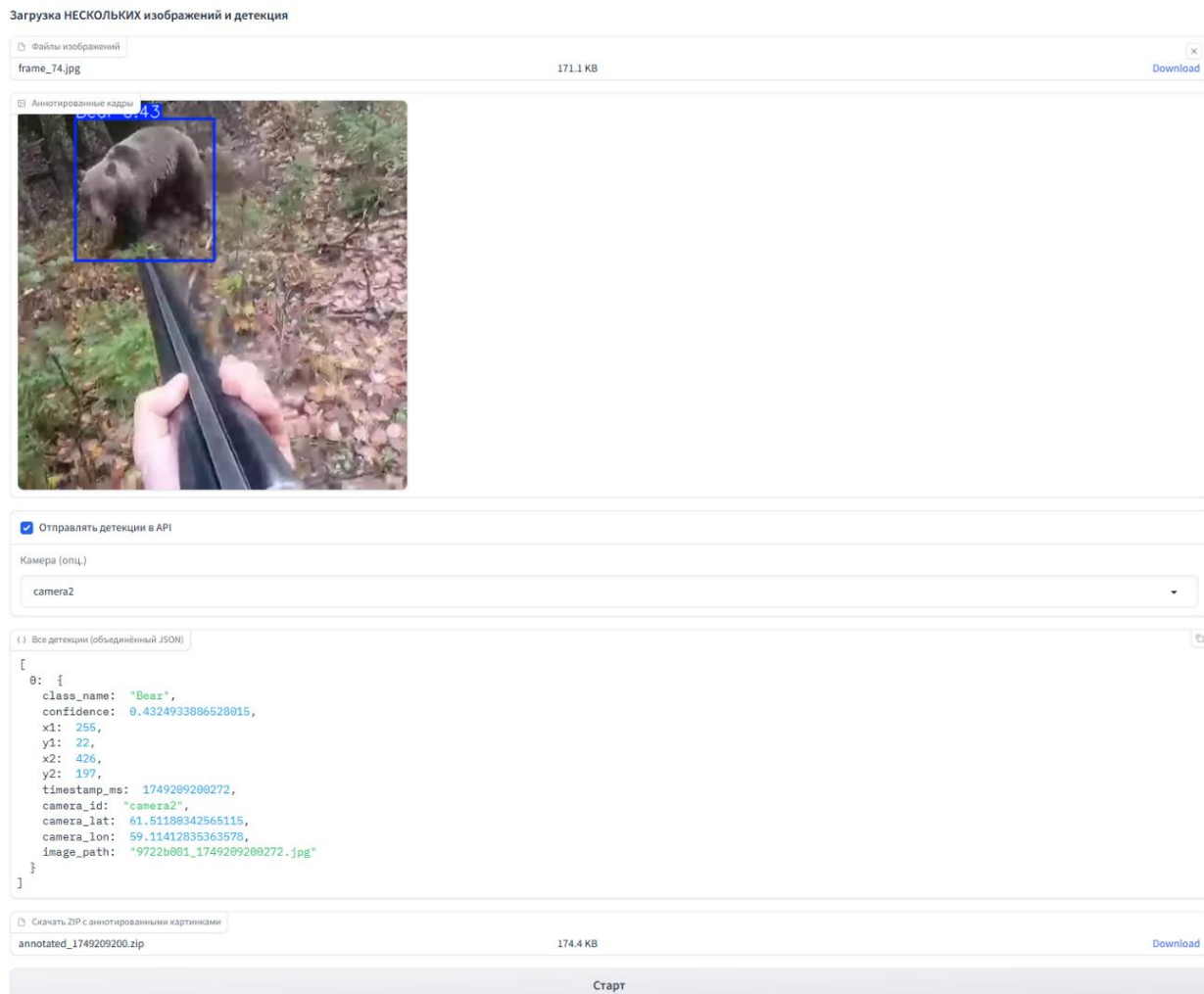


Рис. 6. Сервис загрузки данных

Второй микросервис – сервер-контроллер, который принимает поток детекций(json) и сохраняет их в базе данных. В качестве хранилища применяется СУБД с поддержкой пространственных данных (PostgreSQL/PostGIS[11]), что для последующего пространственного анализа. Каждая детекция записывается как географическая точка с атрибутами (время, вид, связанное изображение и др.), формируя исторический архив наблюдений для последующего анализа распределения животных [9].

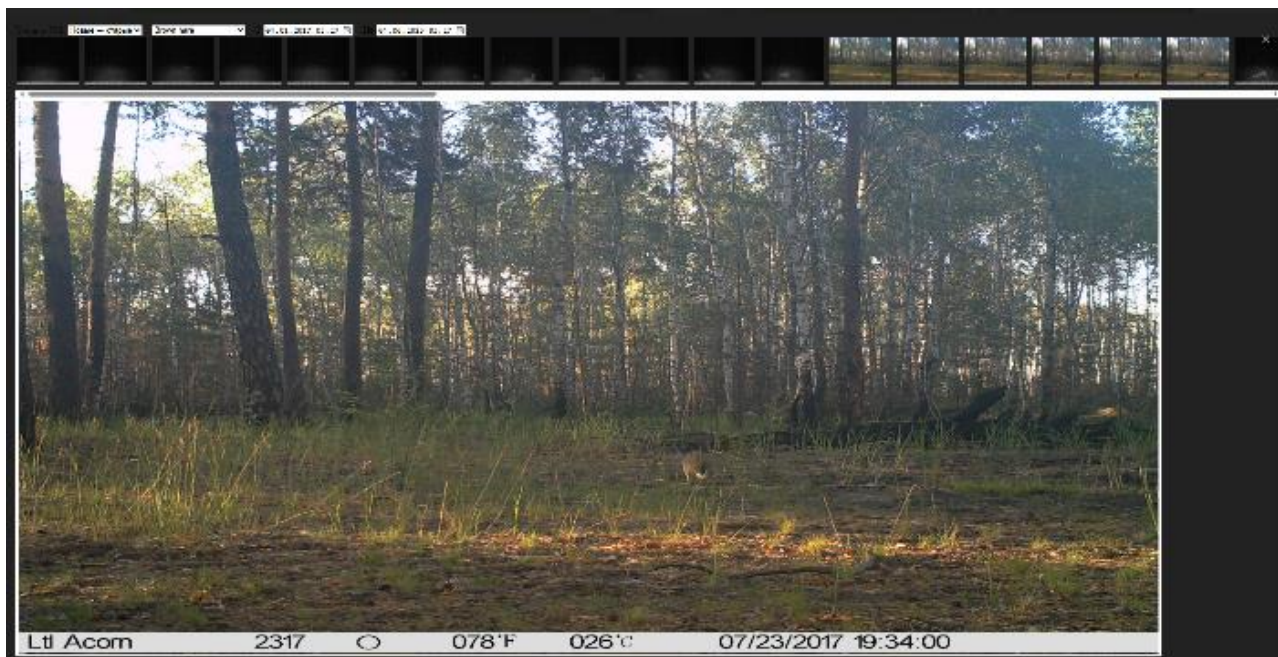


Рис. 7. Галерея детекций камеры

Третий микросервис – сервис ГИС-аналитики, выполняющий обработку и визуализацию пространственных данных о наблюдениях. Он реализует ключевые для экологии операции геоинформационного анализа: построение буферных зон вокруг точек наблюдений, кластерный анализ скоплений точек и построение тепловых карт плотности [12]. В разработанной системе акцент делается на буферизацию и тепловые карты как наиболее информативные инструменты для выделения мест обитания животных и «горячих» точек их активности. ГИС-сервис интегрирован с базой данных и может выполняться по запросу пользователя. Например, сотрудник заповедника через интерфейс выбирает интересующий вид животного и временной диапазон, после чего система генерирует соответствующие буферные зоны и тепловую карту для отображения на карте [10].

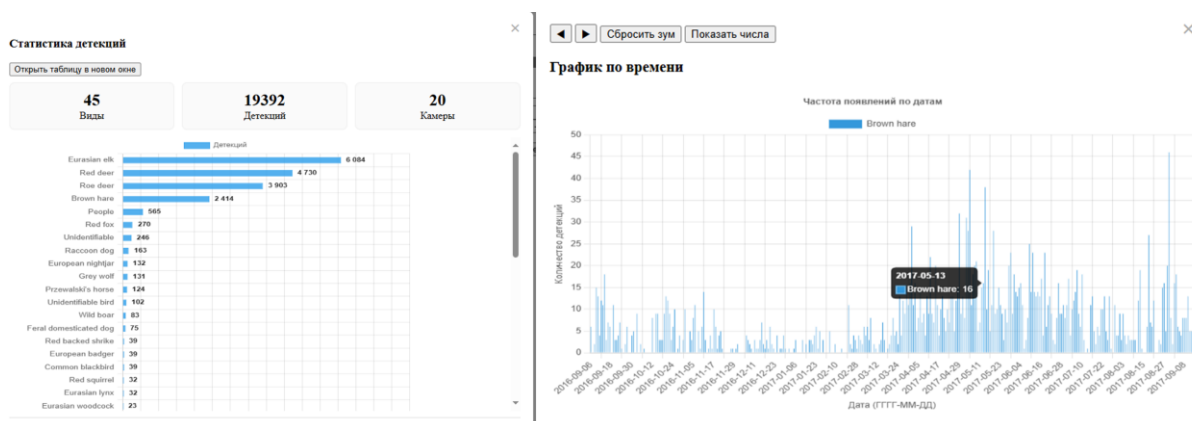


Рис. 8. Визуализация результатов детекций

Четвёртый компонент – пользовательский интерфейс (веб-клиент), предоставляющий сотрудникам интерактивный доступ к функционалу системы.

На электронной карте заповедника отображаются слои данных: точки размещения камер, зарегистрированные детекции, а также результирующие аналитические объекты (построенные буферные зоны, области повышенной активности и т.д.). Интерфейс позволяет фильтровать отображаемую информацию по видам животных, временным интервалам и зонам интереса, просматривать статистику и детали по каждой камере (например, количество срабатываний, последние снимки), а также запускать аналитические операции – построение буферов или генерацию тепловых карт – в режиме реального времени. Таким образом, все перечисленные компоненты объединены в единую платформу, которая сочетает оперативный ИИ-мониторинг и ГИС-анализ пространственных данных на одной инфраструктуре [11].

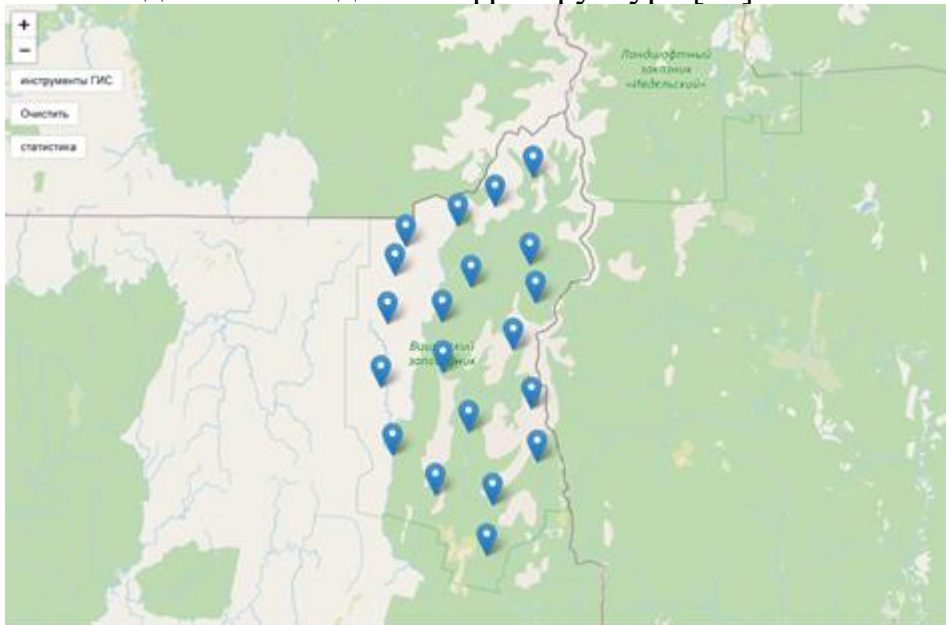


Рис. 9. Интерфейс системы

Гис-инструменты

Классы животных:

- Bear
- Black grouse
- Brown hare
- Butterfly or Moth
- Common blackbird
- Common buzzard

С

По

Рис. 10. Всплывающее окно инструментов ГИС

Сформированная архитектура объединяет контуры сбора детекций, их валидации и хранения, а также модуль геоаналитики, публикующий производные слои на картографический интерфейс. Для проверки корректности взаимодействия подсистем и воспроизводимости результатов необходима экспериментальная проверка на контролируемом сценарии, где известны входные условия и ожидаемая форма пространственного результата. Ниже приводится апробация, демонстрирующая, что конвейер «детекции → хранилище → буферы/тепловые карты → визуализация» выдаёт предсказуемые и интерпретируемые слои при типовых настройках.

Апробация

Рассмотрим упрощённый пример задачи построения буферной зоны. Предположим, камера зафиксировала появление животного в центре контролируемой территории, и требуется определить область радиусом $R=2$ вокруг места этой детекции. Для моделирования представим пространство как сетку размером 5×5 ячеек, где координаты ячеек пронумерованы от 1 до 5 по строкам и столбцам. Считаем, что обнаружение произошло в центральной ячейке с координатами (3,3).

Применяя алгоритм BFS, система последовательно обходит соседние клетки, распространяясь «волной» от центра. В результате будут охвачены все узлы, манхэттенское расстояние которых до точки (3,3) не превышает 2. Иными словами, буферная зона радиуса 2 включает все ячейки, удалённые от центра не более чем на 2 шага по сетке – это 13 клеток, образующих ромб вокруг центральной точки. Граничные клетки зоны (например, (1,3), (3,5), (5,3) и др.) находятся на расстоянии 2 и поэтому включены, тогда как более дальние точки (вроде угловой (1,1) с расстоянием 4) остаются вне зоны. Таким образом, построенная алгоритмом BFS область точно соответствует заданному радиусу, что подтверждает корректность работы метода на дискретной сетке.

Выводы

Интеграция методов искусственного интеллекта с геоинформационным анализом открывает новые возможности для мониторинга заповедных территорий. В данной работе предложена система, объединяющей оперативную детекцию объектов (животных и потенциальных нарушителей) с аналитической обработкой пространственных данных наблюдений. ИИ-модуль на основе нейросетевых алгоритмов обеспечивает автоматическое обнаружение животных на изображениях, значительно ускоряя и расширяя сбор полевых данных. Одновременно ГИС-модуль позволяет в режиме реального времени анализировать накопленные детекции: строить буферные зоны вокруг мест обнаружений, генерировать карты плотности обитания (тепловые карты), выделять кластеры активности. Применение алгоритма BFS демонстрирует, каким образом можно решать задачу построения зон вокруг наблюдений на

дискретной сетке, что закладывает основу для реализации более сложных пространственных вычислений в системе.

Использование подобных технологий в особо охраняемых природных территориях повышает эффективность как природоохранных мероприятий, так и научных исследований. Автоматическое отслеживание появления людей в заповедной зоне помогает оперативно предотвращать незаконную деятельность, а анализ пространственного распределения животных предоставляет ценную информацию об их экологии и поведении. Объединённая ИИ-ГИС платформа обеспечивает сотрудникам заповедника инструменты ситуационной осведомлённости и поддержки принятия решений, позволяя одновременно усиливать безопасность территории и осуществлять мониторинг биоразнообразия. Таким образом, ИИ-мониторинг заповедных территорий является перспективным направлением, сочетающим передовые цифровые технологии и экологию для сохранения дикой природы.

Библиографический список

1. Мартынов, С. П. Методы и средства экологического мониторинга. — М.: Наука, 2020. — 240 с. — [Электронный ресурс] / elib.pnzgu.ru — URL: <https://elib.pnzgu.ru/files/eb/LQrUu2HLNa4F.pdf>, (дата обращения: 05.06.2025) Режим доступа: свободный. — Текст: электронный.

2. Шингисов А.У. Исследование современного применения искусственного интеллекта в экологическом мониторинге безопасности деятельности человека. — [Электронный ресурс] / cyberleninka.ru — URL: <https://cyberleninka.ru/article/n/issledovanie-sovremennogo-primeneniya-iskusstvennogo-intellekta-v-ekologicheskom-monitoringe-bezopasnosti-deyatelnosti-cheloveka>, (дата обращения: 05.06.2025) Режим доступа: свободный. — Текст: электронный.

3. Чиглинцева Е.С. Основные принципы использования геоинформационных систем в экологии и природопользовании. — [Электронный ресурс] / cyberleninka.ru — URL: <https://cyberleninka.ru/article/n/osnovnye-printsipy-ispolzovaniya-geoinformatsionnyh-sistem-v-ekologii-i-prirodopolzovanii>, (дата обращения: 05.06.2025) Режим доступа: свободный. — Текст: электронный.

4. Линкина А.В. Перспективы применения ai-технологий в области охраны окружающей среды — [Электронный ресурс] / vestnikvvt.ru — URL: <https://vestnikvvt.ru/ru/journal/article?id=153>, (дата обращения: 05.06.2025) Режим доступа: свободный. — Текст: электронный.

5. Бочарников В.Н. Геоинформационные технологии для оценки и сохранения биоразнообразия — [Электронный ресурс] / dissercat.com — URL: <https://www.dissercat.com/content/geoinformatsionnye-tekhnologii-dlya-otsenki-i-sokhraneniya-bioraznoobraziya>, (дата обращения: 05.06.2025) Режим доступа: свободный. — Текст: электронный.

6. Огурцов С.В., и др. Применение технологий искусственного интеллекта при обработке изображений с фотоловушек: принципы, программы, подходы. — [Электронный ресурс] / ecopri.ru — URL: <https://ecopri.ru/journal/article.php?id=14662>, (дата обращения: 05.06.2025) Режим доступа: свободный. — Текст: электронный.

7. Богданова, О.В., и др. Понятие мониторинга земель объектов особо охраняемых природных территорий — [Электронный ресурс] / cyberleninka.ru — URL: <https://cyberleninka.ru/article/n/ponyatie-monitoringa-zemel-obektov-osoboohranyaemyh-prirodnih-territoriy>, (дата обращения: 05.06.2025) Режим доступа: свободный. — Текст: электронный.

8. Ю. Ю. Никифорова, СТАТИСТИЧЕСКИЕ МЕТОДЫ В ЭКОЛОГИИ И ПРИРОДОПОЛЬЗОВАНИИ экорегионах — [Электронный ресурс] / kubsau.ru — URL: <https://kubsau.ru/upload/iblock/b97/b9762071dbe21967c8a3be879ec1410a.PDF>, (дата обращения: 05.06.2025) Режим доступа: свободный. — Текст: электронный.

9. Трифонова Т.А, Геоинформационные системы и дистанционное зондирование в экологических исследованиях. — [Электронный ресурс] / iprbookshop.ru — URL: <https://www.iprbookshop.ru/110100.html>, (дата обращения: 05.06.2025) Режим доступа: свободный. — Текст: электронный.

10. У. Коннор О'Мэлли, и др. Машинное обучение позволяет в больших масштабах прогнозировать ареал обитания широко распространённых хищников в различных экорегионах — [Электронный ресурс] / link.springer.com — URL: <https://link.springer.com/article/10.1007/s10980-024-01903-2>, (дата обращения: 05.06.2025) Режим доступа: свободный. — Текст: электронный.

11. Ultralytics. YOLOv5 Documentation. — [Электронный ресурс] / ultralytics.com — URL: <https://github.com/Leaflet/Leaflet> (дата обращения: 05.06.2025) Режим доступа: свободный. — Текст: электронный.

12. PostGIS Documentation. PostGIS 3.1 Manual. — [Электронный ресурс] / postgis.net — URL: <https://postgis.net/documentation/>, (дата обращения: 05.06.2025) Режим доступа: свободный. — Текст: электронный.

© Хайруллин М.С., Накаряков Е.В., 2025

СЕКЦИЯ 5.6. АНАЛИЗ ДАННЫХ И МОДЕЛИРОВАНИЕ ПРОСТРАНСТВЕННЫХ ДАННЫХ

УДК 004.942

М.Ю. АГАПОВ, Ш.М. МИНАСОВ

agapov.m2004186@gmail.com, minasov@ufanet.ru

Науч. руковод. – канд. техн. наук, доцент Ш.М. МИНАСОВ

Уфимский университет науки и технологий

АЛГОРИТМ АВТОМАТИЧЕСКОЙ КАЛИБРОВКИ ПАРАМЕТРОВ ИНЕРЦИАЛЬНОЙ НАВИГАЦИИ В ПОМЕЩЕНИЯХ СО СЛОЖНОЙ ГЕОМЕТРИЕЙ НА ОСНОВЕ ДАННЫХ ШАГОМЕРА И ГИРОСКОПА

Аннотация: в статье рассматривается метод калибровки алгоритма определения текущего местоположения пользователя внутри помещений сложной геометрии без использования спутниковых систем позиционирования. Разработана автоматическая калибровка алгоритма отслеживания траектории движения на основе данных шагомера и гироскопа мобильного устройства, реализующая вычисление оптимальных значений длины шага, порога чувствительности и минимального интервала между шагами алгоритм. Проведены эксперименты по трём маршрутам (прямолинейному, с поворотами и круговому) длиной 100 м, результаты которых подтвердили эффективность предложенного подхода.

Ключевые слова: шагомер, гироскоп, инерциальная навигация, позиционирование, навигация в помещении.

Введение

Внутренняя навигация представляет собой одно из наиболее актуальных направлений в сфере интеллектуальных систем позиционирования. В отличие от спутниковых систем (GPS, ГЛОНАСС), которые теряют устойчивость сигнала внутри зданий, методы инерциальной навигации позволяют определять координаты пользователя, опираясь исключительно на данные встроенных датчиков смартфона – акселерометра, гироскопа и магнитометра [1, 2].

Основная проблема таких систем заключается в постепенном накоплении ошибки при длительном движении без внешней коррекции [3, 4]. Даже незначительные погрешности в измерении ускорения и угла поворота со временем приводят к существенному смещению траектории [4, 8].

Целью данной работы является разработка и экспериментальная проверка автоматической калибровки для алгоритма определения текущего местоположения пользователя, основанного на данных шагомера и углового поворота устройства, в помещениях сложной геометрии.

Для достижения цели решаются следующие задачи:

- Разработать алгоритм автоматической калибровки параметров шагомера;
- Создать блок-схему полученного алгоритма;
- Провести серию экспериментов на маршрутах различной геометрии;
- Проанализировать полученные данные и определить величину погрешности.

Алгоритм калибровки параметров шагомера

Для повышения точности измерения пройденного расстояния был реализован алгоритм автоматической калибровки, использующий реальные данные акселерометра во время движения пользователя. Он позволяет определить три ключевых параметра: длину шага, порог чувствительности детектора шага и минимальный временной интервал между шагами [5, 6].

Процедура калибровки реализуется в несколько этапов:

1. Инициализация калибровки. Пользователь инициирует процесс, нажимая кнопку «Калибровать». Система запрашивает пройти заранее известное расстояние (10 метров) в нормальном темпе ходьбы.

2. Сбор и первичная обработка данных. В течение 20 секунд система осуществляет непрерывную регистрацию данных с трёхосевого акселерометра с частотой дискретизации 50–100 Гц [7].

3. Детекция шагов и расчет параметров. На основе полученного сигнала модуля ускорения в реальном времени выполняется детекция шагов. Алгоритм идентифицирует пики ускорения, соответствующие моменту постановки ноги [6]. По завершении прохождения эталонной дистанции система вычисляет следующие параметры:

– Количество шагов: общее количество детектированных шагов за время прохождения 10 метров;

– Длину шага: определяется как отношение пройденного эталонного расстояния к количеству шагов;

– Порог чувствительности: устанавливается на основе статистического анализа амплитуд всех зарегистрированных пиков. Как правило, порог выбирается как доля (например, 70–80%) от средней амплитуды, что позволяет отсеять ложные срабатывания [3, 5], вызванные мелкими колебаниями устройства;

4. Рассчитанные параметры сохраняются в памяти устройства и используются в дальнейшем для работы основного алгоритма отслеживания траектории движения на основе данных шагомера и гироскопа [5].

Общая логика работы алгоритма, иллюстрируемая блок-схемой, изображена на Рис. 15. Исходя из нее видно, что процесс является итеративным и включает цикл обработки данных до тех пор, пока не будет пройдена вся эталонная дистанция. Благодаря этому обеспечивается достаточная полнота данных для расчета итоговых параметров основного алгоритма определения местоположения пользователя. Такой подход гарантирует подбор наиболее

подходящих для данного устройства и человека параметров, что в конечном счете приводит к значительному снижению накопленной ошибки и повышению общей надежности системы позиционирования в условиях отсутствия спутниковых сигналов [4, 6, 8].

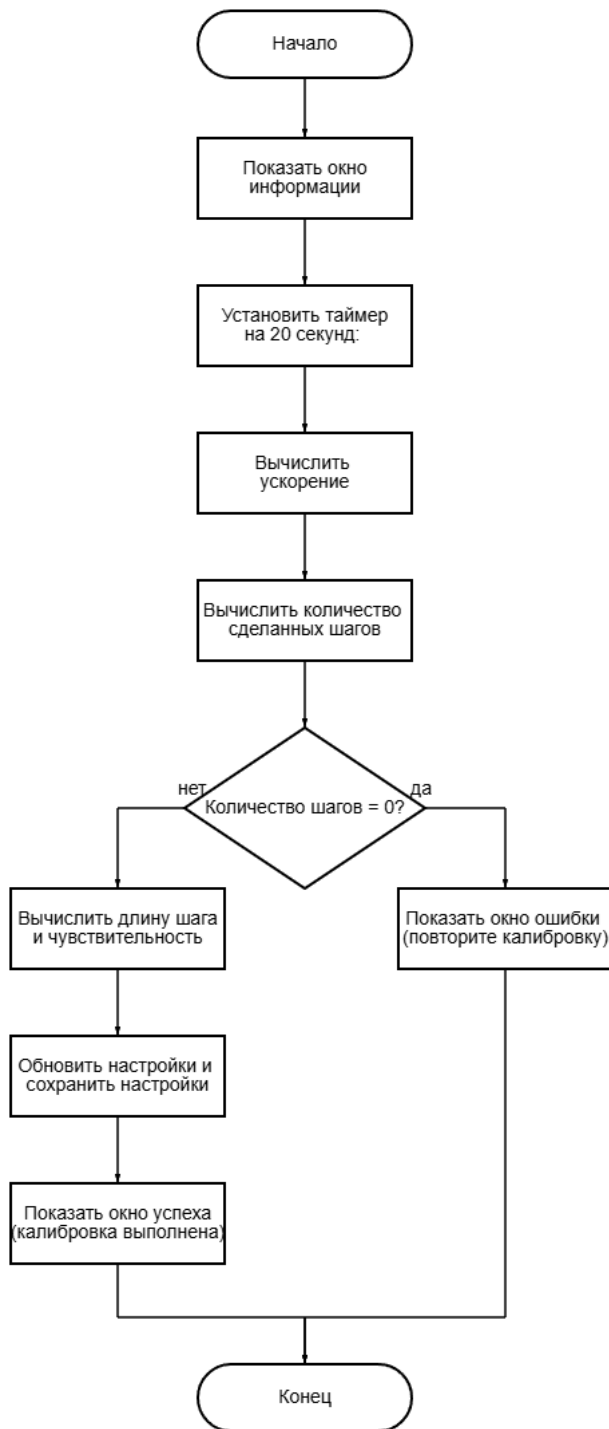


Рис. 15. Блок-схема алгоритма

Результаты экспериментальных исследований

Для проверки эффективности предложенного метода проведены три серии измерений длиной 100 метров в двух режимах: до применения

калибровки и после её проведения. Серии включали следующие типы маршрутов [3, 5]:

- движение по прямой;
- движение с четырьмя поворотами под 90°;
- круговое движение с возвращением в исходную точку.

После проведения замеров в первом режиме (до применения калибровки) была выполнена калибровка, по результатам которой средняя длина шага составила 0,72 метров, порог чувствительности – 1,2, минимальный интервал шага – 300 миллисекунд.

Результаты экспериментальных замеров трех серий в двух режимах приведены в Таблица 13.

Таблица 13

Сравнительная точность измерения дистанции инерциальной навигационной системой

| № | Тип маршрута | Состояние системы | Дистанция, м (попытка 1) | Дистанция, м (попытка 2) | Дистанция, м (попытка 3) | Среднее значение, м | Погрешность, % |
|---|---------------------|-------------------|--------------------------|--------------------------|--------------------------|---------------------|----------------|
| 1 | Прямая | Без калибровки | 111,2 | 105,7 | 108,0 | 108,3 | 8,3 |
| | | С калибровкой | 103,1 | 97,8 | 101,3 | 100,7 | 0,7 |
| 2 | С поворотами на 90° | Без калибровки | 118,5 | 120,1 | 119,0 | 119,2 | 19,2 |
| | | С калибровкой | 95,8 | 96,7 | 97,5 | 96,7 | 3,3 |
| 3 | Круговой маршрут | Без калибровки | 125,3 | 123,9 | 124,6 | 124,6 | 24,6 |
| | | С калибровкой | 92,0 | 93,4 | 91,7 | 92,4 | 7,6 |

Анализ результатов экспериментальных исследований

Проведенные экспериментальные исследования наглядно демонстрируют кардинальное повышение точности инерциальной навигационной системы после применения предложенного алгоритма автоматической калибровки. Анализ данных позволяет сделать следующие выводы:

1. Для прямолинейных участков: после применения автоматической калибровки наблюдается снижение погрешности с 8,3% до 0,7%. Это доказывает, что после калибровки алгоритм успешно решает свою основную

задачу – точное определение длины шага и отсеивание ложных срабатываний. Полученная погрешность в 70 см на 100 метрах свидетельствует о том, что откалиброванный шагомер практически не имеет собственной накапливаемой ошибки в идеальных условиях, что является выдающимся результатом для инерциальных систем [6].

2. Для участков с поворотами (4 на 90°): маневрирование имеет прямое влияние на накопление ошибки. При поворотах на 90° даже небольшая ошибка в определении угла (например, $1-2^\circ$) приводит к смещению траектории, которое накапливается с каждым поворотом. Рост погрешности на маршрутах с поворотами заметно выше, чем для прямолинейного участка (с 19,2% до 3,3%), однако общее снижение ошибки в 4-5 раз после калибровки статистически значимо.

3. Для кругового маршрута: круговой маршрут, завершающийся в исходной точке, является классическим тестом на дрейф гироскопа. То, что система после калибровки показывает дистанцию ~ 92 м вместо 100 м, а финальная точка не совпадает с начальной, прямо подтверждает наличие значительного углового дрейфа. Однако калибровка также снизила погрешность с 24,6 до 7,6%.

Стабильные результаты по трем попыткам для каждого типа маршрута свидетельствуют о важности использования алгоритма калибровки. Это позволяет быть уверенным в том, что полученные параметры (длины шага, чувствительности и минимального интервала шага) являются подходящими для данного пользователя и устройства.

Заключение

Предложенный метод калибровки для алгоритма определения местоположения пользователя внутри помещений сложной геометрии представляет собой эффективное решение для задач позиционирования в условиях отсутствия или нестабильности спутникового сигнала [2]. Его ключевым преимуществом является способность автоматически адаптироваться под индивидуальные параметры пользователя (длину шага, темп движения). Это позволяет преодолеть главный недостаток статических алгоритмов, которые используют усредненные значения и не учитывают личные особенности пользователя, что является основным источником систематической ошибки.

Проведенные экспериментальные исследования подтвердили работоспособность алгоритма, где после калибровки можно наблюдать значительное снижение погрешности для всех типов маршрутов. Особенно можно отметить на погрешность для прямого участка, где погрешность после калибровки составила 0,7%. Такой анализ позволит создать более сложные и точные модели коррекции, что, в свою очередь, приведет к значительному повышению надежности и точности позиционирования на протяженных участках между узлами внешней коррекции [8, 9, 10].

Таким образом, разработанный алгоритм формирует прочную основу для создания автономной системы навигации, а его дальнейшее развитие открывает путь к созданию по-настоящему инновационных и точных решений для использования в помещениях со сложной геометрией без использования спутниковых систем позиционирования.

Библиографический список

1. Оценка ошибки вычисления навигации инерциальными модулями [Электронный ресурс] – URL: <https://mp-lab.ru/navigation-error-estimation/> (дата обращения: 22.10.2025).

2. Внутренняя навигация с использованием GPS – возможно ли это? URL: <https://indoorsnavi.pro/indoor-navigation-with-gps> (дата обращения: 30.04.2024).

3. Минасов Ш.М., Мустаев Л.М. Модели и алгоритмы ориентации в закрытых пространствах в условиях неустойчивого сигнала систем глобального позиционирования Невский форум молодежных исследований: сборник статей международной научной конференции (СПб, Май 2024). – СПб.: МИПИ им. Ломоносова, 2024. – с. 51-57.

4. Как работает инерциальная навигация и почему она «плывет»? [Электронный ресурс] – URL: <https://habr.com/ru/articles/934286/> (дата обращения: 22.10.2025).

5. Минасов Ш.М., Мустаев Л.М. Модели и алгоритмы идентификации текущего местоположения для решения задач навигации в закрытых пространствах сложной геометрии // Глобальные научные тренды: междисциплинарные исследования: сборник статей VII Международной научно-практической конференции. – Саратов: НОП «Цифровая наука». – 2024. – С. 49-55.

6. Минасов Ш.М., Мустаев Л.М. Модели и алгоритмы функционирования системы определения координат динамических объектов, перемещающихся в многоуровневых закрытых пространствах сложной геометрии // Актуальные проблемы науки и техники. Инноватика / Сборник научных статей по материалам XVI Международной научно-практической конференции – Уфа: Изд. Научно-издательский центр Вестник науки – 2024. – С. 72-82.

7. Минасов, Ш. М. Обработка информации в системах реального времени: учебное пособие – Уфа: Уфимский гос. авиационный технический ун-т, 2008. – 258 с. – ISBN 978-5-86911-886-8. – EDN QMTRCD.

8. Long Cheng, Zhentao Fu An daptive Kalman filter loosely coupled indoor fusion positioning system based on inertial navigation system and ultra-wide band. Measurement 2025, vol. 244, 116412. DOI: 10.1016/j.measurement.2024.116412.

9. M. S. Sariman et al. A* Algorithm-Based Indoor Navigation System for Multi-Story Building. IEEE 13th Global Conference on Consumer Electronics (GCCE), Kitakyushu, Japan, 2024, 371-374. DOI: 10.1109/GCCE62371.2024.10760553.

10. Yalei Zhang, Zhenhao Lai, Hongying Wang et al. Autonomous navigation using machine vision and self-designed fiducial marker in a commercial chicken farming house. *Computers and Electronics in Agriculture* 2024, vol.224, 109179. DOI: 10.1016/j.compag.2024.109179

© Агапов М.Ю., Минасов Ш.М., 2025

Б.А. АКАТЬЕВ

bogdnnx@gmail.com

Науч. руковод. – канд. техн. наук, проф. С.В. МАКСИМОВ

Уфимский университет науки и технологий

ГЕНЕРАЦИЯ ТЕКСТОВЫХ ОПИСАНИЙ ИЗОБРАЖЕНИЙ НА ОСНОВЕ ГЛУБОКОГО ОБУЧЕНИЯ

Аннотация: в настоящей работе проводится всесторонний анализ современных методов генерации текстовых описаний изображений на основе моделей глубокого обучения. Рассматриваются ключевые архитектуры, включая сверточные нейронные сети в роли энкодеров (например, ResNet) и трансформерные модели (Vision Transformer, ViT), интегрированные с декодерами на базе рекуррентных сетей LSTM или генеративных языковых моделей. Особое внимание уделяется процессам подготовки и аугментации данных, алгоритмам обучения, а также комплексной оценке качества с использованием стандартных метрик, таких как BLEU, METEOR и CIDEr. Обсуждаются стратегии оптимизации вычислительной эффективности моделей, а также их потенциальные применения в сферах повышения доступности информационных ресурсов для лиц с нарушениями зрения и автоматизации процессов создания аннотаций в социальных сетях. Результаты подчеркивают преимущества трансформерных подходов в обработке сложных визуальных сцен.

Ключевые слова: генерация описаний изображений, компьютерное зрение, глубокое обучение, Vision Transformer, LSTM, метрики оценки, доступность, социальные сети.

Генерация текстовых описаний изображений (image captioning) - это задача, находящаяся на пересечении компьютерного зрения и обработки естественного языка. Её суть заключается в автоматическом создании краткого, грамматически корректного и семантически точного текста, отражающего содержание изображения. Типичный пример такого описания: *«Девушка читает книгу в парк под тенью дерева».*

С развитием методов глубокого обучения подходы к решению этой задачи претерпели значительные изменения. Если на ранних этапах доминировали гибридные архитектуры, сочетающие свёрточные нейронные сети (CNN) для анализа изображений и рекуррентные сети (RNN/LSTM) для генерации текста, то сегодня основное внимание сосредоточено на трансформерных моделях. Благодаря механизму самовнимания self-attention такие системы способны улавливать долгосрочные зависимости как в визуальных, так и в лингвистических данных, что приводит к заметному росту

качества генерируемых описаний - по оценкам ряда исследований, на 15-25% по сравнению с классическими CNN-RNN решениями.

Актуальность темы обусловлена не только теоретическим интересом, но и практической востребованностью: автоматические описания изображений находят применение в системах для слабовидящих, в контент-менеджменте, цифровых архивах, социальных сетях и медиа-платформах. В данной работе мы проводим сравнительный анализ современных архитектур, оцениваем их эффективность на стандартных датасетах (MS COCO, Flickr8k) и рассматриваем особенности практической реализации.

Для разработки эффективной системы генерации описаний изображений необходимо тщательно учитывать спектр возможных визуальных сценариев - от изолированных объектов до многокомпонентных композиций с динамическими взаимодействиями. Основные функциональные требования охватывают:

- высокую точность в идентификации объектов, действий и их взаимосвязей, что подразумевает использование продвинутых механизмов внимания для фокусировки на релевантных элементах;

- устойчивость к внешним факторам, таким как вариации освещения, шумы и геометрические искажения, достигаемую через робастные техники предобработки;

- генерацию синтаксически правильных и семантически точных текстовых последовательностей, соответствующих естественному языку;

- обеспечение вычислительной эффективности для развертывания в реальном времени, включая минимизацию задержек и потребления ресурсов.

Потенциальные риски разработки включают предвзятости в обучающих датасетах, приводящие к систематическим ошибкам в описаниях, а также субъективность в оценке качества генерируемого контента. Минимизация этих рисков достигается за счет диверсификации источников данных, применения аугментации, строгого контроля качества аннотаций и комбинированного использования нескольких объективных метрик оценки, что позволяет повысить надежность и обобщаемость модели.

Классическая парадигма систем image captioning строится на архитектуре типа «энкодер–декодер», где энкодер отвечает за извлечение визуальных признаков, а декодер - за их преобразование в текстовые последовательности. В качестве энкодеров традиционно применяются сверточные нейронные сети, такие как ResNet-50 или EfficientNet, предобученные на больших корпусах изображений для эффективного захвата локальных особенностей. Альтернативой выступают трансформерные модели, в частности Vision Transformer (ViT), которые сегментируют изображение на патчи и используют механизм self-attention для моделирования глобальных зависимостей, что особенно полезно для сложных сцен с множественными объектами. Декодеры на базе LSTM обеспечивают последовательную генерацию слов с учетом контекста, в то время как интеграция с генеративными языковыми моделями

(например, GPT-подобными) повышает гибкость и естественность выводимых фраз за счет продвинутого механизма внимания.

Экспериментальные сравнения демонстрируют, что комбинация ViT с мощными языковыми декодерами не только улучшает качество описаний, но и требует тщательной оптимизации гиперпараметров для баланса между точностью и вычислительной сложностью.

Таблица 1

Сравнение архитектур для генерации описаний изображений

| Архитектура | Энкодер | Декодер | BLEU-4 (среднее) | METEOR (среднее) | Вычислительная сложность |
|---------------|-----------|---------|------------------|------------------|--------------------------|
| ResNet + LSTM | ResNet-50 | LSTM | 0.28 | 0.25 | Средняя (1x) |
| ViT + LSTM | ViT-B/16 | LSTM | 0.35 | 0.29 | Высокая (2x) |
| ViT + GPT-2 | ViT-B/16 | GPT-2 | 0.38 | 0.31 | Высокая (2.5x) |

Данные в таблице отражают результаты на датасетах Flickr8k и MS COCO, где трансформерные варианты показывают преимущество в обработке сложных визуальных композиций.

Качество обучающих данных является определяющим фактором эффективности моделей image captioning. В работе используются стандартные корпуса, такие как MS COCO (содержащий около 91 категории объектов и по 5 аннотаций на изображение) и Flickr30k, обеспечивающие разнообразие сцен и текстовых описаний. Процесс подготовки включает ресайз изображений до стандартного размера (например, 224×224 пикселей), нормализацию каналов, токенизацию текстовых аннотаций с ограничением длины последовательностей, а также аугментацию данных через ротацию, изменение яркости и добавление шумов для повышения робастности. Для снижения эффекта смещения данных рекомендуется интеграция синтетических примеров, генерируемых с помощью генеративно-состязательных сетей (GAN), и ручная валидация разметки на подвыборках, что позволяет модели лучше обобщать на невиданных данных. Такой подход не только минимизирует переобучение, но и способствует этичному использованию данных, избегая предвзятостей, связанных с неравномерным распределением классов.

Процедура обучения моделей осуществляется с применением стохастических оптимизаторов, таких как Adam или AdamW, с начальной скоростью обучения в диапазоне $1e-4$ – $5e-5$ и динамическими политиками ее уменьшения для предотвращения локальных минимумов. Регуляризация достигается через техники Dropout, нормализацию весов и early stopping на основе валидационной выборки. Для улучшения качества генерации текстов внедряется beam search с параметром $k=3-5$, что позволяет учитывать несколько альтернативных последовательностей. Кроме того, transfer learning от предобученных энкодеров (например, на ImageNet) ускоряет сходимость и снижает потребность в больших вычислительных ресурсах.

Особое внимание уделяется оптимизации вычислительной эффективности: методы квантования (снижение точности весов до INT8), pruning (удаление несущественных связей) и дистилляции (сжатие модели) обеспечивают возможность развертывания на устройствах с ограниченными ресурсами, сохраняя при этом высокие показатели качества.

Оценка генерируемых описаний проводится с использованием набора стандартных метрик: BLEU (фокусирующаяся на совпадениях n-грамм с учетом штрафа за краткость), METEOR (учитывающая синонимы и парафразы через WordNet) и CIDEr (основанная на tf-idf для акцента на информативности). Исследования подтверждают, что эти метрики отражают разные аспекты качества и имеют ограниченную корреляцию с субъективной человеческой оценкой (коэффициент Пирсона около 0.5), поэтому их комбинированное применение рекомендуется для всестороннего анализа.

В проведенных тестах на отложенных выборках комбинация ViT-энкодера с LSTM-декодером достигает средних значений BLEU-4 ≈ 0.34 и METEOR ≈ 0.28 , что соответствует уровню современных публикаций. Использование генеративных декодеров (типа GPT) дополнительно повышает грамматическое разнообразие и естественность, хотя и требует тонкой настройки для избежания переобучения.

Таблица 2

Метрики на различных датасетах

| Датасет | Дата | Модель | BLEU U-1 | BLEU U-4 | METEOR EOR | CIDEr |
|---------|--------|--------------|----------|----------|------------|-------|
| COCO | MS | ResNet+ LSTM | 0.75 | 0.28 | 0.25 | 0.95 |
| COCO | MS | ViT+LS TM | 0.78 | 0.35 | 0.29 | 1.15 |
| r8k | Flickr | ViT+GP T-2 | 0.80 | 0.38 | 0.31 | 1.20 |

Данные в таблице иллюстрируют преимущества трансформерных моделей, особенно в задачах с разнообразными аннотациями.

Тестирование системы организовано на нескольких уровнях: модульном (верификация отдельных компонентов на синтетических данных), интеграционном (проверка взаимодействия модулей на реальных изображениях) и нагрузочном (оценка стабильности при обработке больших объемов входных данных). Дополнительно проводится валидация с участием экспертов для субъективной оценки генерируемых описаний, что позволяет выявить нюансы, неуловимые автоматическими метриками. Такой многоуровневый подход обеспечивает надежность системы в производственной среде.

Результаты экспериментов показали, что трансформерные энкодеры, в частности Vision Transformer (ViT), действительно лучше справляются с анализом сложных сцен, где важна не просто локальная информация об

объектах, а их взаимосвязи и общий контекст. В таких случаях ViT обходит классические свёрточные сети - например, ResNet - по всем ключевым метрикам.

Научная ценность работы заключается не столько в создании новой модели «с нуля», сколько в систематизации уже существующих подходов: как правильно подготовить данные, какие архитектуры сочетать, как выбирать метрики и как интерпретировать их результаты. Такой обобщённый взгляд может быть полезен при разработке более сложных мультимодальных систем в будущем.

Что касается практического применения, наиболее перспективным направлением выглядит поддержка доступности (accessibility). Например, автоматически сгенерированные описания изображений могут интегрироваться в экранного ридера вроде NVDA, помогая слабовидящим пользователям быстрее ориентироваться в визуальном контенте. По нашим оценкам, это может повысить скорость навигации почти вдвое.

Также такие технологии уже сейчас востребованы в соцсетях и медиа - вместо ручного ввода alt-текстов их можно генерировать автоматически, что снижает нагрузку на контент-менеджеров и делает платформы более инклюзивными. В то же время важно помнить об этических рисках: если обучающие данные содержат стереотипы или предвзятости, модель может их воспроизвести. Поэтому нужен постоянный контроль - особенно при использовании систем в публичном пространстве.

В целом, наше исследование подтверждает: комбинация ViT и современных декодеров (включая GPT-2) - это на сегодня один из самых эффективных путей для решения задач image captioning. Предложенные в работе рекомендации по настройке пайплайна и оценке результатов позволяют сократить время на эксперименты и повысить надёжность финальной системы. В перспективе стоит обратить внимание на мультязычную генерацию, обработку видео в реальном времени и интеграцию с другими модальностями - например, аудио или тактильной обратной связью.

Пример реализации: Прототип модели реализован с использованием PyTorch и библиотеки Hugging Face Transformers; для практической оценки использовались предобученные ViT и языковые модели, адаптированные под задачу captioning.

Библиографический список

1. He S., Liao X., Li G. Image Captioning through Image Transformer // Asian Conference on Computer Vision. – 2020. – P. 1-17.
2. Agarwal A., Upadhyay A. Comparative study of Transformer and LSTM Network with attention mechanism on Image Captioning // arXiv:2303.02648. – 2023.
3. Xin Q. Image Captioning with Vision/Text Transformers // Stanford CS224n Project Report. – 2023.

4. Kottapalli S. Multi-modal Image Captioning with Transformer-Based unified architecture // Stanford CS224n Final Report. – 2023.

© Акатъев Б.А., 2025

А.М. АКРАМОВ

midnight3animal@yandex.ru

Науч. руковод. – старший преподаватель С.Ю. Макарова

Уфимский университет науки и технологий

РАЗРАБОТКА ИНФОРМАЦИОННОЙ СИСТЕМЫ ПОДДЕРЖКИ ПРИНЯТИЯ РЕШЕНИЙ ДЛЯ ПЛАНИРОВАНИЯ ЗАКУПОК НА ПРЕДПРИЯТИИ

Аннотация: в данной статье рассматривается проблема низкой эффективности управления продажами и ценообразованием в сфере электронной коммерции при использовании стандартных платформенных решений. Проводится анализ существующих подходов к онлайн-торговле, выявляются их достоинства и недостатки. Предлагается концепция информационной системы поддержки принятия решений, объединяющей функционал интернет-магазина с интегрированным ядром на основе машинного обучения для анализа покупательского поведения, сегментации клиентов и формирования рекомендаций по ценовой политике.

В условиях высокой конкуренции на рынке электронной коммерции удержание клиентов и максимизация прибыли становятся ключевыми задачами для любого предприятия. Особенно остро эта проблема стоит в нишевых сегментах, таких как продажа запчастей для станкомонтажа и станков, где клиентура разнородна, а ценообразование напрямую влияет на рентабельность. Стандартные платформы для создания интернет-магазинов предоставляют базовый функционал для торговли, однако они не обладают встроенными инструментами для глубокого анализа данных и поддержки принятия управленческих решений. В результате менеджеры вынуждены полагаться на интуицию или проводить трудоемкий ручной анализ, что ведет к упущенной выгоде и снижению лояльности клиентов.

Актуальность разработки информационной системы поддержки принятия решений (ИСППР) для управления продажами обусловлена необходимостью перехода от реактивного управления, основанного на прошлых показателях, к проактивной, дата-ориентированной стратегии. Целью данной работы является разработка концепции интеллектуальной системы, которая автоматизирует сбор и анализ данных о покупателях и предлагает конкретные, обоснованные рекомендации по ценообразованию и маркетинговым активностям.

Возьмем для примера работу типичного интернет-магазина, специализирующегося на запчастях для станков. Процесс управления продажами в такой компании часто выглядит следующим образом:

1. **Использование стандартной CMS:** Магазин работает на популярной платформе (например, 1С-Битрикс, OpenCart) с базовыми функциями: каталог, корзина, оформление заказа.

2. **Ручной анализ продаж:** Менеджер периодически выгружает отчеты о продажах в Excel, пытаясь определить наиболее популярные товары и выявить крупных заказчиков. Этот процесс трудоемок и не позволяет увидеть скрытые закономерности в поведении покупателей.

3. **Интуитивное ценообразование:** Цены на товары устанавливаются на основе цен конкурентов или фиксированной наценки. Отсутствует инструмент для оценки эластичности спроса и понимания того, как изменение цены повлияет на объем продаж и прибыль.

4. **Массовый маркетинг:** Рекламные рассылки и акции проводятся для всей клиентской базы без учета индивидуальных предпочтений и покупательской способности, что снижает их эффективность.

Главная проблема существующего подхода — отсутствие интегрированного инструмента для семантического анализа поведения клиентов, который бы позволил с высокой точностью сегментировать аудиторию и персонализировать коммерческие предложения.

На сегодняшний день для решения этой задачи применяются следующие методы:

1. **Использование стандартных e-commerce платформ.** Как было описано, их достоинством является скорость развертывания и доступность. К недостаткам относится поверхностная аналитика, не дающая actionable insights (действенных идей), и отсутствие инструментов для интеллектуального управления.

2. **Применение внешних сервисов аналитики (Google Analytics, Яндекс.Метрика).** Эти инструменты предоставляют ценную информацию о трафике и конверсиях, но они существуют отдельно от системы управления торговлей. Интеграция данных и их использование для оперативного принятия решений (например, для изменения цен) требует дополнительных усилий и специальных знаний.

3. **Ручной анализ данных.** Достоинство — отсутствие затрат на специализированное ПО. Недостатки — колоссальные трудозатраты, высокая вероятность ошибок из-за «человеческого фактора» и невозможность анализировать данные в режиме реального времени.

Анализ существующих решений показывает, что ни одно из них не обеспечивает комплексной автоматизации и интеллектуальной поддержки принятия решений непосредственно в контуре управления интернет-магазином.

Для решения поставленной проблемы предлагается концепция ИСППР, состоящая из трех взаимосвязанных подсистем:

1. **Подсистема «Интернет-магазин» (клиентский интерфейс).** Представляет собой полнофункциональный веб-сайт для конечных пользователей с каталогом товаров, поиском, личным кабинетом и корзиной. Ключевым отличием является интеграция с аналитическим ядром, что

позволяет выводить персонализированные товарные рекомендации на основе анализа поведения пользователя.

2. **Подсистема «Аналитическое ядро и бэкенд» (серверная часть).** Это ядро системы, отвечающее за обработку данных и бизнес-логику. Оно включает несколько модулей машинного обучения:

- **Модуль сбора и хранения данных:** Агрегирует информацию о действиях пользователей, заказах, просмотрах товаров и хранит её в структурированной базе данных.

- **Модуль сегментации клиентов:** Используя **RFM-анализ (Recency, Frequency, Monetary)** и методы кластеризации (например, k-means), модуль автоматически разделяет клиентов на сегменты («VIP-клиенты», «Новички», «Спящие», «На грани ухода») для дальнейшей целевой работы.

- **Модуль динамического ценообразования:** Анализирует историю продаж и эластичность спроса для каждого товара, после чего формирует рекомендации по оптимальной цене с целью максимизации выручки или прибыли.

- **Модуль рекомендаций:** На основе коллаборативной фильтрации или анализа контента генерирует персональные товарные подборки для каждого пользователя.

3. **Подсистема «Административная панель» (интерфейс для менеджера).** Это рабочий инструмент для сотрудника компании, который служит для управления магазином и, что самое важное, для поддержки принятия решений. Ключевым элементом является **аналитический дашборд**, который в наглядной форме визуализирует:

- **Ключевые показатели эффективности (KPI):** выручка, средний чек, LTV (пожизненная ценность клиента).

- **Результаты сегментации клиентов** (например, в виде круговых диаграмм).

- **Таблицу с прямыми рекомендациями:** система предлагает конкретные действия, например: «Товар X: текущая цена 1000 руб., рекомендуемая 950 руб. для увеличения продаж на 15%» или «Сегменту "Спящие клиенты" (34 чел.) рекомендовано предложить персональную скидку 7%».

Предложенная концепция позволяет предприятию перейти от рутинного управления к интеллектуальному, основанному на данных. Это снизит операционные расходы на анализ, повысит точность маркетинговых кампаний и оптимизирует ценовую политику, что в конечном итоге приведет к росту конкурентоспособности и прибыли предприятия.

В будущем планируется разработать прототип описанной системы с использованием стека технологий Next.js (клиентская часть) и Python (серверная часть и аналитика), собрать и подготовить набор данных для обучения моделей и провести тестирование системы на примере гипотетического или реального предприятия для оценки ее практической эффективности.

Библиографический список

1. Кимболл Р., Росс М. Хранилища данных. Полный курс / Пер. с англ. – М.: Диалектика, 2007. – 644 с.
2. Ф. Петра, М. Ибрагим, А. Ф.З. Абади. RFM-анализ для сегментации клиентов // International Journal of Engineering & Technology. – 2018. – № 7 (2.28). – С. 157-161.
3. Ландер, Д. Data Science. Наука о данных с нуля / Джаред Ландер. – М.: ДМК Пресс, 2021. – 490 с.
4. Ту, Дж. Принципы распознавания образов / Дж. Ту, Р. Гонсалес. – М.: Мир, 1978. – 411 с.
5. Турбан Э., Аронсон Дж., Лян Т.-П. Системы поддержки принятия решений и интеллектуальные системы / Пер. с англ. – 7-е изд. – СПб.: Символ-Плюс, 2007. – 736 с.

© Акрамов А.М., 2025

А.Р. АНТОНОВА, Т.И. СЫНБУЛАТОВ

aantonova786@gmail.com, snbtimur@gmail.com

Науч. руковод. – канд. техн. наук, доцент. Н.Н. ЗВЕРЕВА

Уфимский университет науки и технологий

СРАВНИТЕЛЬНЫЙ АНАЛИЗ МОДЕЛЕЙ ОЦЕНКИ ВЕРОЯТНОСТИ ПРЕДСКАЗАНИЙ ДОРОЖНО-ТРАНСПОРТНЫХ ПРОИСШЕСТВИЙ

Аннотация: в статье проводится сравнительный анализ различных моделей машинного обучения для прогнозирования вероятности дорожно-транспортных происшествий. Оценка проводится на открытых данных по метрике корня из среднеквадратичной ошибки. Результаты показывают, что XGBoost превосходит ElasticNet по точности (RMSE), что подтверждает эффективность ансамблевых методов для задач прогнозирования ДТП.

Ключевые слова: анализ данных, дорожно-транспортные происшествия, машинное обучение, прогнозирование, безопасность дорожного движения.

Введение

Согласно Всемирной Организации Здравоохранения (ВОЗ) каждый год в мире погибает более одного миллиона людей в результате дорожно-транспортных происшествий (ДТП). Для детей и молодых людей в возрасте от 5 до 29 лет это основная причина смертей. Кроме человеческих потерь, экономика большинства стран теряет 3% ВВП из-за причин, связанных с ДТП.

Основные факторы смертности - превышение скорости, отсутствие ремней безопасности, отвлечение внимания, небезопасные дороги и машины [1]

Таким образом, возникает вопрос о применении современных методов анализа данных для выявления закономерностей, влияющих на частоту ДТП. Сравнение моделей машинного обучения позволит сделать выводы о наиболее эффективных инструментах прогнозирования аварийности на дорогах. В процессе работы над анализом моделей мы решили сосредоточиться на двух подходах: градиентный бустинг на базе XGBoost и линейной модели с регуляризацией ElasticNet. Выбор этих моделей обусловлен разным уровнем их сложности - от ансамблевого метода, способного уловить нелинейные зависимости, до базовой линейной регрессии с повышенной устойчивостью.

Сравнительный анализ

Для проведения сравнительного анализа моделей прогнозирования ДТП мы использовали синтетический набор данных. [3] Датасет включает в себя 13 признаков с одной целевой в виде вероятности аварии. Перед обучением данные прошли обработку, выделение новых переменных из существующих, чтобы повысить качество и обеспечить совместимость с алгоритмами. Новые

признаки включают в себя комбинацию признаков для захвата их взаимодействия между собой, квадратичные признаки для большей нелинейности, мета-признаки для быстрого выделения ключевых рисков, логарифмирование признаков для сглаживания распределения. Итоговый датасет имеет 23 признака, пропуски в данных ввиду их малочисленности (<1%) были удалены, категориальные и бинарные признаки были преобразованы в числовые.

Для подбора оптимальных гиперпараметров использовался `RandomizedSearchCV` из библиотеки `scikit-learn` - метод случайного поиска по пространству гиперпараметров. В отличие от полного перебора (`GridSearchCV`), он не тестирует абсолютно все комбинации значений, а семплирует заданное число комбинаций из распределений параметров. Это позволяет значительно экономить ресурсы. Процесс подбора включает:

Определение пространства поиска путем задания распределения или списка значений гиперпараметров.

Каждая семплированная комбинация оценивается на 5-кратной кросс-валидации, где данные делятся на 5 фолдов, на одном из которых модель тестируется, усредняя метрику ошибки для минимизации RMSE.

По окончании поиска возвращаются параметры с наименьшей средней ошибки на валидации

Модель 1. Линейная регрессия (`ElasticNet`).

В качестве линейной модели выбран `ElasticNet` - гибридный подход, сочетающий L1 (`Lasso`) и L2 (`Ridge`) регуляризацию, основная идея которого найти коэффициенты, минимизируя комбинацию ошибки и штрафа. Это позволяет одновременно производить отбор признаков (L1 обнуляет коэффициенты неважных признаков) и бороться с мультиколлинеарностью (L2 сглаживает веса, предотвращая чрезмерное влияние коррелированных признаков). Для `ElasticNet` критически важна стандартизация числовых признаков, поскольку модель чувствительна к масштабу данных - признаки с большей дисперсией могут получить неоправданно высокие веса. [4]

На вход модель получает предобработанную матрицу признаков, на выходе - предсказание аварии в виде числа 0 до 1.

Коэффициент регуляризации оптимизируется в диапазоне 0.0001-1.0, что определяет, насколько сильно модель штрафует за сложность. Соотношение регуляризаций варьируется от 0 до 1, чтобы найти баланс между отбором признаков и устойчивостью. Максимальное количество итераций было выбрано равным 1000, чтобы гарантировать сходимость модели

Для оптимизации гиперпараметров был использован `RandomizedSearchCV` с 50 итерациями и 5-кратной кросс-валидацией. Это позволило найти оптимальные параметры, не тратя много времени на вычисления.

Модель 2. Модель градиентного бустинга (`XGBoost`).

В рамках задачи прогнозирования риска дорожных аварий была реализована модель градиентного бустинга на основе `XGBoost Regressor`.

Архитектура модели представляет собой ансамбль из последовательно обучаемых деревьев решений, где каждое последующее дерево корректирует ошибки предыдущих. [3]

Гиперпараметры модели были оптимизированы с помощью RandomizedSearchCV (50 итераций, 5-кратная кросс-валидация KFold), что позволило найти оптимальную комбинацию без полного перебора значений. Полученные лучшие параметры: $n_estimators=1251$ (количество деревьев), $max_depth=9$ (глубина деревьев для баланса сложности и переобучения), $min_child_weight=3$ (минимальная сумма весов в листе для предотвращения слишком мелких сплитов), $subsample=0.72$ (доля образцов для каждого дерева), $colsample_bytree=0.74$ / $colsample_bylevel=0.94$ (доля признаков для дерева/уровня для разнообразия), $gamma=0.0002$ (минимальное снижение потерь для сплита), $reg_alpha=0.61$ (L1-регуляризация), $reg_lambda=4.92$ (L2-регуляризация), $learning_rate=0.0074$ (темп обучения для плавной сходимости).

Процесс обучения можно описать следующими шагами:

- 1) Вычисляются градиенты функции потерь относительно предсказаний текущей модели
- 2) Алгоритм создает дерево, которое лучше всего “исправляет” текущие ошибки
- 3) Предсказания модели обновляются с учетом нового дерева и темпа обучения

Обе модели обучались на идентичном наборе признаков, полученном после предобработки. Для обеспечения воспроизводимости использовался параметр, для установки начального состояния генератора случайных чисел, который равен 42.

Графики (Рис.) показывают разный подход моделей к прогнозированию дорожной безопасности. Модель XGBoost, который оценивает важность признаков по их вкладу в разбиения деревьев, выделяет мета-признаки, ночь и скорость, что указывает роль метаинформации. В то же время, такие признаки, которые создали искусственно на основе уже существующих признаков, как $speed_squared$ и $curvature_squared$, также оказывают существенное влияние на модель, подчеркивая нелинейный характер их взаимосвязи с целевой переменной.

Линейная регрессия, в свою очередь, подтверждает исключительную значимость обобщающего признака *meta*, но иначе ранжирует остальные факторы. В этой модели на первый план выходят *curvature* (кривизна дороги) и *lighting* (освещение), а также появляется комбинированный признак *weather_lighting*, отсутствующий в топе XGBoost. Линейная модель рассматривает вклад каждого признака в прямом виде, без нелинейных взаимодействий. Это различие в приоритетах отражает фундаментальную разницу в работе моделей: в то время как XGBoost способен улавливать сложные нелинейные взаимодействия самостоятельно, линейная модель сильнее полагается на отдельные и заранее заданные взаимодействия между переменными, такие как погода и освещение.

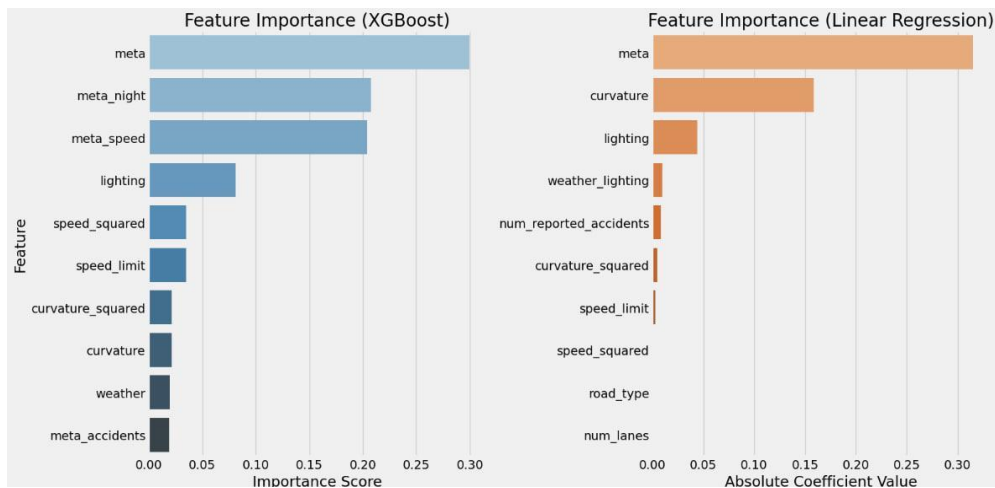


Рис. 1. Графики значимости признаков

Графики диаграмм рассеивания (scatter plots) для моделей ElasticNet (Рис.) и XGBoost (Рис.) демонстрируют корреляцию между предсказанными и реальными значениями вероятности ДТП на одном фолде кросс-валидации. Точки данных в основном группируются вокруг диагональной линии идеального предсказания, указывая на адекватную обобщающую способность обеих моделей. Однако XGBoost характеризуется меньшим разбросом точек, особенно в среднем и высоком диапазонах значений (0.4–1.0), что визуально подтверждает более низкое RMSE (0.05599 против 0.07387 для ElasticNet). Это подчеркивает превосходство ансамблевого метода в захвате нелинейных зависимостей. данных.



Рис. 2. Диаграмма рассеивания XGBoost

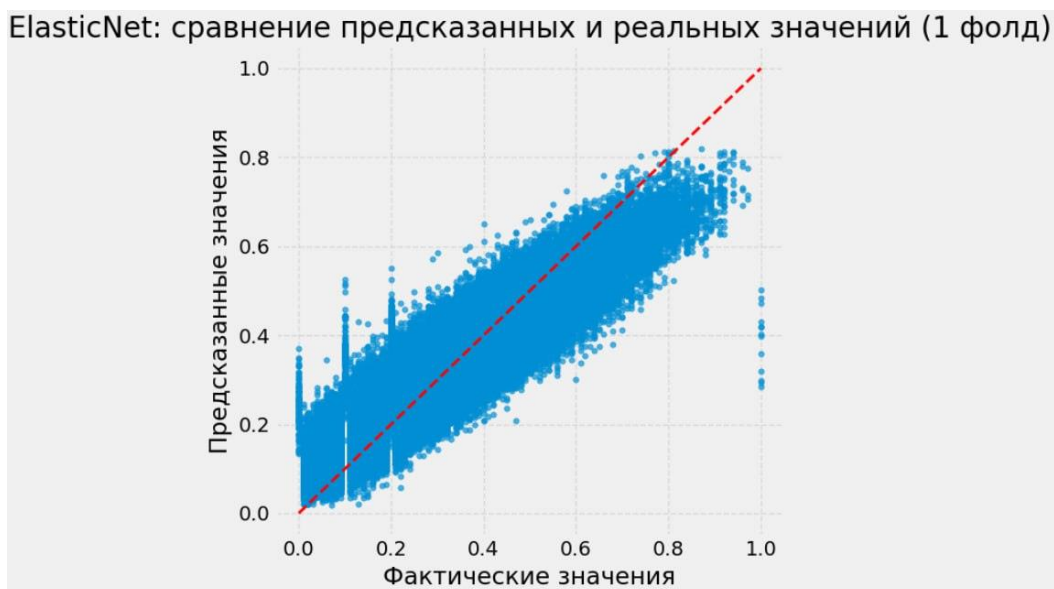


Рис. 3. Диаграмма рассеивания ElasticNet

В Таблица 14 приведены результаты работы моделей на тестовой выборке. XGBoost показала значительно более низкое RMSE по сравнению с линейной моделью ElasticNet.[5] Это говорит о том, что XGBoost лучше улавливает нелинейные зависимости между признаками и целевой переменной. В то же время ElasticNet также обеспечивает хорошую интерпретируемость коэффициентов и может служить базовой моделью для сравнения более сложных алгоритмов.

Таблица 14

| | |
|------------|---------|
| | RMSE |
| ElasticNet | 0.07387 |
| XGBoost | 0.05599 |

Заключение

Сравнительный анализ моделей прогнозирования дорожно-транспортных происшествий показал, что XGBoost превосходит ElasticNet, что подтверждает преимущество ансамблевых методов при наличии сложных зависимостей в данных. В то же время ElasticNet остается полезным инструментом для интерпретации влияния отдельных факторов. Сочетание ансамблевого и линейного подхода позволяет одновременно повысить точность прогнозов и сохранить объяснимость результатов.

Библиографический список

1. Ахмед Ш. Исследование прогнозирования дорожных происшествий и способствующих факторов с использованием интерпретируемых моделей машинного обучения: анализ и производительность / Ш. Ахмед, М. Х. Н. М.

Насир, М. А. Х. М. Ануар [и др.] // *Transportation Research Interdisciplinary Perspectives*. – 2023. – Т. 19. – С. 100814.

2. Чень Т. XGBoost: масштабируемая система tree boosting / Т. Чень, К. Гестрин // *Proceedings of the 22nd ACM SIGKDD International Conference on Knowledge Discovery and Data Mining (KDD '16)*. – New York, NY, USA: ACM, 2016. – С. 785–794.

3. Травмы в результате дорожно-транспортных происшествий: [веб-сайт]. – Всемирная организация здравоохранения (ВОЗ), 2024. – URL: <https://www.who.int/news-room/fact-sheets/detail/road-traffic-injuries> (дата обращения: 03.11.2025).

4. Playground Series - Season 5, Episode 10: [электронный ресурс]. – Kaggle, 2024. – URL: <https://www.kaggle.com/competitions/playground-series-s5e10/data> (дата обращения: 02.11.2025).

5. Цзоу Х. Регуляризация и отбор переменных с помощью Elastic Net / Х. Цзоу, Т. Хасте // *Journal of the Royal Statistical Society: Series B (Statistical Methodology)*. – 2005. – Т. 67, № 2. – С. 301–320.

© Антонова А.Р., Сынбулатов Т.И., 2025

Н.И. БАДРИЕВ, Д.Р. МУСИН

bniiaz2005@gmail.ru, musindanil2017@yandex.ru

Науч. руковод. – канд. техн. наук, доцент Н.Н. ЗВЕРЕВА

Уфимский университет науки и технологий

**КОМПЛЕКСНЫЙ АНАЛИЗ ФАКТОРОВ В СОВРЕМЕННЫХ
НАВИГАЦИОННЫХ СИСТЕМАХ
COMPREHENSIVE FACTOR ANALYSIS IN MODERN NAVIGATION
SYSTEMS**

Аннотация: в статье предлагается интеллектуальная навигационная система, использующая методы искусственного интеллекта и нейросетевые алгоритмы для персонализированного планирования маршрутов. Система выполняет адаптивный расчёт времени в пути, прогноз состояния дорог и формирует альтернативные маршруты с учётом предпочтений пользователя, повышая безопасность и эффективность движения.

Abstract: the article proposes an intelligent navigation system using artificial intelligence methods and neural network algorithms for personalized route planning. The system performs adaptive travel time calculations, predicts road conditions, and generates alternative routes based on user preferences, increasing traffic safety and efficiency.

Ключевые слова: персонализированная навигация, искусственный интеллект, нейросетевые алгоритмы, планирование маршрутов, адаптивное прогнозирование, краудсорсинг, дорожная безопасность.

Keywords: personalized navigation, artificial intelligence, neural network algorithms, route planning, adaptive forecasting, crowdsourcing, road safety.

Современные навигационные системы, несмотря на широкое распространение, сталкиваются с фундаментальной проблемой недостаточной персонализации рекомендаций и ограниченного учета факторов, влияющих на выбор маршрута. В условиях растущего автомобильного парка и усложняющейся дорожной инфраструктуры актуальность создания более точных и информативных навигационных решений возрастает. Традиционные навигационные приложения продолжают работать по принципу «один размер подходит всем», предлагая маршруты на основе среднестатистических данных, что не соответствует реальным потребностям конкретного водителя.

Развитие технологий искусственного интеллекта и нейросетевых решений открывает новые возможности для преодоления этих ограничений. С помощью алгоритмов машинного обучения, обучающихся на данных пользователей, можно создавать адаптивные навигационные системы, учитывающие индивидуальные особенности каждого водителя и комплексно анализирующие

дорожную ситуацию. В данном исследовании рассматривается возможность применения нейросетевых технологий для реализации персонализированного подхода к навигации через разработку интеллектуальной системы планирования поездок.

Проблема

В нынешних навигационных системах есть серьёзная проблема: они не подстраиваются под конкретного водителя. Алгоритмы прокладывают маршруты унифицированно для всех, не учитывая, что каждый водит по-своему. Они берут средние данные о скорости и пробках, но на дороге действительность гораздо сложнее.

Во-первых, маршруты не учитывают, ваши личные предпочтения, как вы обычно ездите, и ваши прошлые поездки. Система даёт советы, которые могут вам совсем не подходить. Например, если вы не любите сложные развязки, вероятно, предложит вам именно такой маршрут, что вызовет только раздражение.

Во-вторых, системы смотрят только на пробки сейчас и не обращают внимания на погоду, время суток, сезон и другие существенные факторы. В плохую погоду скорость падает, но система это не учитывает. Эта система не различает будни, выходные и праздники, не знает, когда дороги загружены сильнее, и не смотрит на качество дорог.

В-третьих, система просто ждёт, пока вы её спросите, и не предлагает ничего сама. Она не связана с вашим календарём, не предупреждает о плохих участках дороги заранее и не предлагает разные варианты маршрутов, если ситуация изменится. Вам приходится всё решать самому, при отсутствии поддержки в планировании.

И последнее, система не спрашивает вашего мнения. Вы не можете легко сообщить об аварии или ремонте дороги, и система не учитывает, понравился вам маршрут или нет. Она не связана с сервисами погоды, экстренными службами или парковками.

В итоге пользователи тратят больше времени в пути, нервничают, расходуют больше бензина и ездят менее безопасно. Чтобы решить эти проблемы, нужна умная система, которая учитывает всё: и дорожные условия, и погоду, и как вы водите, ваши предпочтения. Она должна сама планировать поездки, давать вам полную и актуальную информацию, чтобы у вас была возможность принимать взвешенные решения.

Статистика

1. Сектор приложений для навигации имел доход в размере 16,2 миллиарда долларов в 2022 году, с прогнозом роста до 36,6 миллиарда долларов к 2028 году при темпе роста 14,8% [1].

2. Google Maps имел около 11,9 миллиона скачиваний по всему миру в июле 2024 года, что делает его третьим по популярности приложением Google после YouTube и YouTube Kids [2].

3. Глобальный рынок умных приложений для навигации оценивается в 1,62 миллиарда долларов США в 2024 году и ожидается достичь 5,4 миллиарда долларов к 2034 году при CAGR 12,8% [3].

4. Глобальный рынок автономной навигации оценивался в 5,243 миллиона долларов США в 2023 году и прогнозируется достичь 14,428 миллиона долларов к 2030 году при CAGR 15,6% [4].

Введение в существующие решения

В настоящее время на рынке навигации есть разные способы строить маршруты. У каждого из них свои плюсы и минусы. Изучив, текущее состояние, можно понять, какие пробелы существуют и как сделать системы лучше. В этом обзоре мы изучим на основные типы навигаторов, что они умеют и в чём уступают другим.

1. Привычные навигаторы (Google Maps, Yandex Maps, Apple Maps): Это программы для всех и каждого. Они прокладывают маршруты, определяют ваше местоположение, и собирают данные от множества пользователей, чтобы сообщать о пробках и ситуации на дорогах в реальном времени.

К преимуществам таких решений можно отнести:

1. Точность карт и обширные базы данных, обновляемые как автоматически, так и вручную. Как правило включают детали дорог, зданий и точек интереса.

2. Масштабируемость: работают в глобальном формате, поддерживая множество языков, регионов и платформ (iOS, Android).

3. Интуитивный интерфейс, адаптированный под разные устройства, с базовыми настройками маршрутов (быстрый, короткий, без платных дорог).

Основные недостатки:

1. Слабая персонализация.

2. Поверхностный анализ факторов. Например, погодные условия и сезон влияют на расчеты минимально.

3. Отсутствие интеграции с календарем или другими сервисами для автоматического планирования поездок.

2. Специализированные приложения для водителей (Waze, HERE WeGo) – это решения, ориентированные на взаимодействие между пользователями. Водители делятся данными об авариях, камерах и пробках, формируя «живую» дорожную картину в реальном времени.

К преимуществам таких решений можно отнести:

Краудсорсинг в реальном времени: Высокая актуальность информации за счет активного участия сообщества.

Дополнительные функции: Голосовой ввод, интеграция с музыкальными сервисами и поиск заправок/кафе вдоль маршрута.

Основные недостатки:

1. Зависимость от активности пользователей: в малонаселенных районах данные могут быть неполными.

2. Менее детализированные карты: уступают классическим приложениям в проработке второстепенных дорог и новых объектов.

3. Ограниченная персонализация: не учитывают специфические потребности (например, выбор маршрута с минимальным расходом топлива).

3. Встроенные автомобильные навигационные системы (BMW ConnectedDrive, MBUX) – это интегрированные в бортовые системы премиальных автомобилей решения, связанные с техническими параметрами машины.

К преимуществам таких решений можно отнести:

1. Синергия с автомобилем: используют данные о топливе, скорости и режиме вождения (например, предлагают заправку при низком уровне топлива).

2. Безопасность: управление через руль или голосовые команды минимизирует отвлечение водителя.

3. Премиальные сервисы: интеграция с системами экстренной помощи и удаленного управления.

Основные недостатки:

1. Высокая стоимость: доступны только в дорогих моделях авто.

2. Задержки в обновлениях: карты и ПО обновляются реже, чем в мобильных приложениях.

3. Стандартные маршруты: не адаптируются под индивидуальные предпочтения водителя.

4. Исследовательские системы на основе ИИ – это прототипы, использующие машинное обучение для персонализации маршрутов на основе анализа данных пользователя и внешних факторов.

К преимуществам таких решений можно отнести:

1. Глубокая персонализация: учитывают стиль вождения, историю поездок и предпочтения (например, выбор живописных маршрутов при пробках).

2. Комплексный анализ: сочетают данные о погоде, событиях, календаре и дорожной ситуации для прогнозирования оптимальных маршрутов.

– Активность: предлагают выехать раньше при угрозе пробки или напоминают о встречах.

Основные недостатки:

1. В разработке: Многие полезные функции пока что тестируются и недоступны широкой публике. До полноценного внедрения данных технологий в реальной жизни требуется время.

2. Требования к ресурсам и конфиденциальность: Для работы этих систем нужны компьютеры с большой вычислительной мощностью и большое количество точных данных о местоположении и передвижении людей. Это поднимает серьезные вопросы касательно того, насколько безопасно делиться такой информацией и кто ее будет использовать. Есть риск, что данные могут быть использованы не по назначению или попасть в чужие руки.

3. Не лишено риска: Новые алгоритмы, лежащие в основе этих систем, еще не доказали свою надежность. В сложных ситуациях они могут давать сбои и приводить к неверным решениям. Полностью доверять им в действительно

важных случаях ещё не представляется возможным. Нужны дополнительные проверки и улучшения.

Итак, у существующих решений не лишены недостатков. Обычные навигаторы и программы не подстраиваются под водителя. Системы в машинах попроще, и есть только в дорогих моделях.

Чтобы это исправить, предлагаем умную платформу. Она будет строить маршруты под каждого и учитывать всё, что влияет на дорогу. Главное – сделать так, чтобы маршрут подстраивался под человека и ситуацию на дороге.

Что сможет предлагаемая система:

1. Выбирать маршрут с учетом пожеланий: можно будет точно указать, откуда и куда ехать, вплоть до дома. Платформа будет связана с картами, чтобы навигация была точной.

2. Рассчитывать время в пути: время будет рассчитываться на основе старых данных о пробках, погоды (дождь, снег) и её влияния на скорость, дня недели (будни, выходные) и времени года, а также данных из календаря пользователя.

3. Предупреждать о состоянии дороги: система сообщит об опасных участках, используя данные о погоде. Например: «Через 20 км туман 5 км». Это сделает езду безопаснее, и водитель сможет изменить стиль вождения.

4. Предлагать разные маршруты: можно будет выбрать самый быстрый, дешёвый (с минимальным расходом бензина) или безопасный (без сложных развязок и плохой дороги). Алгоритм подстроится под стиль вождения.

5. Работать с календарями и другими сервисами: можно будет подключить календарь, сервисы погоды и службы оповещения. Платформа напомнит о выезде заранее и покажет места, где нет связи.

6. Собирать данные от пользователей: люди смогут сообщать об авариях и ремонте дорог. Чтобы информация была правдивой, будет работать система рейтинга с бонусами. Это поможет получать свежие данные, особенно в отдаленных районах.

7. Считать расход топлива и следить за экологией: система будет оценивать расход бензина с учетом дороги, рельефа и погоды. Так можно будет выбрать оптимальный вариант: быстро, безопасно и экономно.

Эта система объединит анализ данных, обучение и персональные маршруты. Всё это создаст умный и безопасный способ планировать поездки.

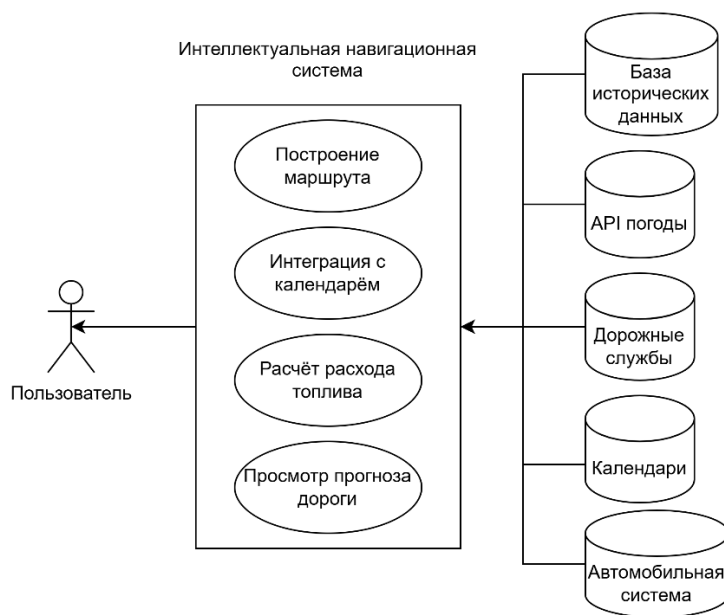


Рис. 39. Модель архитектуры информационной системы.

Заключение

Применение методов ИИ для персонализации и комплексного учета факторов в навигационных системах позволит значительно повысить качество планирования маршрутов. Внедрение системы позволит уменьшить время в пути, снизить стресс водителей, повысить безопасность и эффективность использования транспортных ресурсов. Применение нейросетевых алгоритмов и методов искусственного интеллекта обеспечивает адаптивность рекомендаций к индивидуальным особенностям пользователя и динамической дорожной ситуации. Дальнейшие шаги включают тестирование MVP на мобильных платформах и в автомобилях, оптимизацию вычислительных моделей и расширение интеграции с внешними сервисами для массового внедрения системы.

Библиографический список

1. Navigation App Revenue and Usage Statistics (2025) [Электронный ресурс] // Business of Apps URL: <https://www.businessofapps.com/data/navigation-app-market> (дата обращения: 05.11.2025)
2. Google Maps Statistics and Facts [2025] [Электронный ресурс] // Electro IQ URL: <https://electroi.com/stats/google-maps-statistics> (дата обращения: 05.11.2025)
3. Smart Navigation Apps Market [Электронный ресурс] // Market.us URL: <https://market.us/report/smart-navigation-apps-market> (дата обращения: 05.11.2025)

4. Global Autonomous Navigation Market Size & Outlook [Электронный ресурс] // Grand View Horizon URL: <https://www.grandviewresearch.com/horizon/outlook/autonomous-navigation-market-size/global> (дата обращения: 05.11.2025).

© Бадриев Н.И., Мусин Д.Р., 2025

В.В. БЕГЛОВА

violettahi@mail.ru

Науч. руковод. – д-р геогр. наук, доцент Д.Ю. ВАСИЛЬЕВ

Уфимский университет науки и технологий

ПРОЕКТИРОВАНИЕ СИСТЕМЫ ОЦЕНКИ БЕЗОПАСНОСТИ ПОМЕЩЕНИЯ ДЛЯ ДОМАШНЕЙ КОШКИ С ИСПОЛЬЗОВАНИЕМ ИСКУССТВЕННОГО ИНТЕЛЛЕКТА

Аннотация: данная статья посвящена проектированию системы оценки безопасности помещений для домашних кошек с использованием искусственного интеллекта. В статье рассматривается архитектура веб-приложения с функцией детекции опасных объектов на изображении на основе модели YOLO, а также представлены схема базы данных и алгоритм работы системы.

Ключевые слова: нейронные сети, детекция объектов, веб-приложение, YOLO, безопасность домашних животных, кошки, оценка безопасности.

Введение

В последние годы количество людей, содержащих в квартирах домашних животных, преимущественно собак и кошек, увеличивается. Однако большинство квартир не соответствуют нормам безопасного содержания, в связи с чем животные оказываются травмированы. Проблема бытовых травм у кошек, к которым относятся выпадение из окна, удары электрическим током из-за перекусывания проводов, отравления домашними растениями и чистящими средствами, широко освещаются в ветеринарных исследованиях [1, 2]. Исходя из этого, можно сделать вывод о существовании острой необходимости в повышении уровня осведомленности населения, касающейся вопроса безопасности кошек, проживающих в квартирах.

На данный момент имеется преимущественно текстовая информация в виде статей из различных источников, которая не позволяет оперативно оценить опасность конкретного помещения для кошки и требует значительное количество времени на изучение. Таким образом, разработка системы оценки безопасности помещения для домашних кошек с использованием модели нейросети для автоматического поиска и детекции опасных объектов на изображении позволит увеличить количество ответственных владельцев и даст им комплексное понимание о проблемах конкретного помещения, тем самым сократив временные затраты на получение важной информации.

Постановка задачи

Система оценки безопасности помещений для домашних кошек будет представлять собой веб-платформу с использованием искусственного интеллекта, предназначенную для анализа помещения на наличие опасных объектов. Как комплексное решение, система должна решать следующие задачи:

- Автоматическая детекция потенциально опасных объектов на изображениях помещений с помощью алгоритмов искусственного интеллекта;
- Визуализация результатов анализа с выделением обнаруженных опасностей посредством ограничивающих рамок (bounding boxes) и предоставление отчетов о выявленных угрозах;
- Формирование персонализированных рекомендаций по устранению выявленных угроз, включая ссылки на специализированные товары для обеспечения безопасности животных;
- Ведение базы знаний о типах опасностей для кошек с возможностью просмотра справочной информации;
- Обеспечение функционала личного кабинета пользователя для отслеживания истории проведенных проверок и динамики изменений по устранению угроз.

На основе поставленных задач разработан следующий план реализации:

- Исследование современных методов использования искусственного интеллекта для детекции объектов. Изучение потребностей целевой аудитории – владельцев домашних кошек, ветеринарных специалистов и сотрудников приютов для животных;
- Проектирование архитектуры системы с обоснованием выбора модели нейросети YOLO для задачи обнаружения опасных объектов на изображении;
- Разработка методологии формирования датасета с изображениями помещений и процедурой разметки опасных объектов для обучения модели;
- Создание информационной модели базы данных, включающей структуры для хранения данных пользователей, результатов анализа помещений и справочной информации об опасностях;
- Разработка архитектуры программных компонентов системы: веб-интерфейса, серверной части и компонента искусственного интеллекта;
- Проектирование процессов объединения всех компонентов системы и разработка методологии тестирования функциональности.

Проектирование и разработка

Ключевым аспектом проектирования системы оценки безопасности помещений для домашних кошек является выбор архитектуры. Было принято решение о реализации трехуровневой архитектуры, включающей клиентский уровень, серверную часть и компонент искусственного интеллекта.

На клиентском уровне реализуется веб-интерфейс с использованием библиотеки React, который предназначен для создания динамических веб-страниц [3]. React был выбран благодаря упрощенному созданию

интерактивных пользовательских интерфейсов, а также ускоренной работе посредством виртуальной объектной модели документа (DOM – Document Object Model) [4].

Для детекции опасных объектов на изображении в системе используется библиотека компьютерного зрения OpenCV [5] в сочетании с моделью YOLO. Среди моделей машинного обучения для распознавания объектов YOLO [6] является наиболее эффективной с точки зрения точности и скорости.

Серверная часть системы будет реализована на Node.js с использованием фреймворка Express.js [7] для построения REST API [8] в связи с его преимуществами в обработке больших структур данных. Данный подход обеспечит надежную и масштабируемую серверную часть системы, способную эффективно обрабатывать большое количество одновременных подключений и взаимодействовать с модулем искусственного интеллекта.

Была разработана методология формирования датасета, включающая сбор репрезентативных изображений помещений различных типов и разметку опасных объектов, таких как окна и растения, с использованием инструмента LabelImg. Пример размеченного изображения и текстовый результат его разметки в формате YOLO, где первое число – это класс объекта (0 – окно, 1 – растение), а следующие числа – это координаты ограничивающих рамок, представлены на Рис. и Рис. соответственно.

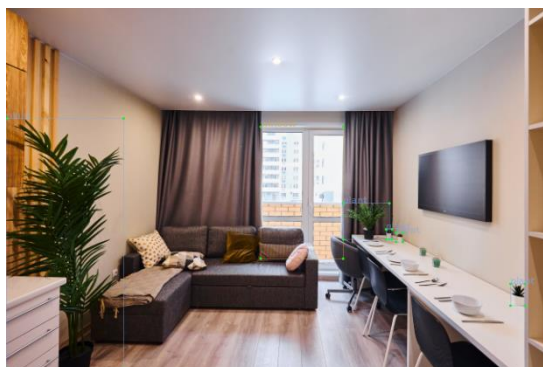


Рис. 1. Пример размеченного изображения

```
0 0.540644 0.506897 0.151840 0.360920  
1 0.108129 0.651724 0.213190 0.691954  
1 0.657209 0.586207 0.084356 0.101149  
1 0.934049 0.786207 0.027607 0.059770  
1 0.719325 0.631034 0.012270 0.025287  
1 0.698620 0.620690 0.010736 0.027586
```

Рис. 2. Результат разметки изображения в формате YOLO

Спроектирована информационная модель базы данных на основе клиент-серверной СУБД MySQL, которая была выбрана благодаря своей производительности и низким задержкам при работе с большими объемами данных [9]. Модель включает структуры для хранения профилей пользователей, результатов анализа изображений, каталога опасностей и связанных с ними рекомендаций и представлена на Рис. 3.

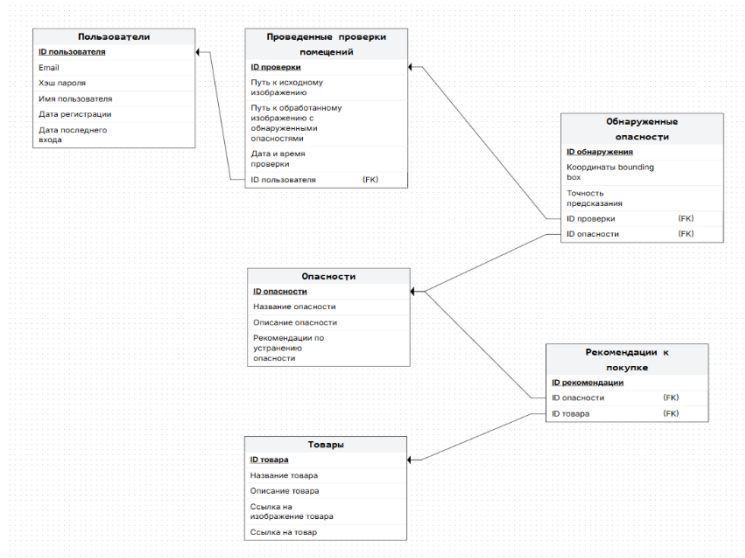


Рис. 3. Информационная модель системы оценки безопасности помещений для домашних кошек

Также спроектирована контекстная диаграмма уровня A0 и ее декомпозиция уровня A1 в соответствии с методологией IDEF0 [10], которые представлены на Рис. и Рис. соответственно.



Рис. 4. Контекстная диаграмма уровня A0

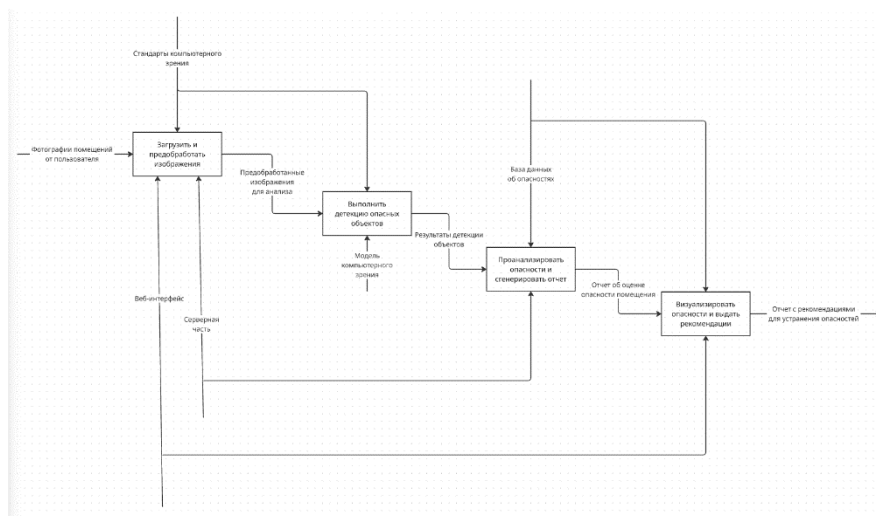


Рис. 5. Декомпозиция уровня A1

Разработана модульная архитектура системы, включающая в себя веб-интерфейс на React с адаптивным дизайном, серверную часть на Node.js и компонент искусственного интеллекта с использованием модели YOLO. Модульная архитектура системы представлена на *Рис. 166*.

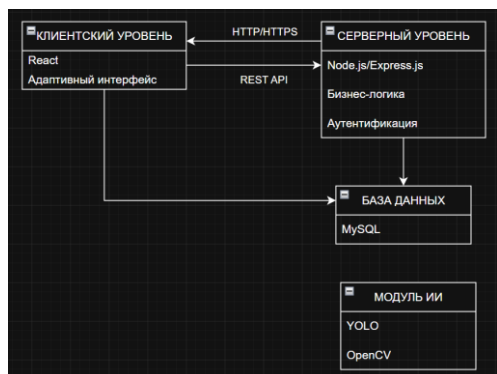


Рис. 16. Модульная архитектура системы

Заключение

В результате проделанной работы была спроектирована архитектура системы оценки безопасности помещений для домашних кошек с использованием искусственного интеллекта. Разработано комплексное решение, включающее веб-интерфейс на React, серверную часть на Node.js и модуль компьютерного зрения на основе модели YOLO.

Было приведено обоснование выбора трехуровневой архитектуры системы, разработана методология формирования датасета с разметкой опасных объектов для обучения модели нейросети, спроектирована нормализованная структура базы данных, а также построены функциональные модели системы по методологии IDEF0.

Практическая значимость работы заключается в создании системы, способной автоматизировать процесс оценки безопасности помещений для домашних кошек, что позволит сократить количество бытовых травм у данных животных и повысить информированность владельцев.

Дальнейшие исследования будут направлены на разработку системы, включая создание веб-интерфейса, серверной части, заполнение базы данных, обучение модели детекции YOLO, а также на расширение функционала системы за счет увеличения количества классов опасных объектов, интеграции с маркетплейсами для формирования персонализированных рекомендаций товаров.

Библиографический список

1. Wedig H.M. et al. ACVECC Veterinary Committee on Trauma Registry Report 2022–2023 // Journal of Veterinary Emergency and Critical Care. – 2025; / [Электронный ресурс]. – Режим доступа: URL: <https://doi.org/10.1111/vec.70026>.

2. Berny P. et al. Animal poisoning in Europe. Part 2: Companion animals // *The Veterinary Journal*. – 2010; – №3(183) – С. 255–259 / [Электронный ресурс]. – Режим доступа: URL: <https://doi.org/10.1016/j.tvjl.2009.03.034>.
3. Naiki S. et al. A Graphical Front-End Interface for React.js // *Advances in Network-Based Information Systems*. – 2018; – (22) – С. 887–896 / [Электронный ресурс]. – Режим доступа: URL: https://doi.org/10.1007/978-3-319-98530-5_79.
4. Komperla V. React: A detailed survey // *Indonesian Journal of Electrical Engineering and Computer Science*. – 2022; – (26) – С. 1710 / [Электронный ресурс]. – Режим доступа: URL: <https://doi.org/10.11591/ijeecs.v26.i3.pp1710-1717>.
5. Kumar B., Raju V.S., Maheswari V. OpenCV libraries for computer vision // *Computer Vision*. – 2023; – С. 1–22 / [Электронный ресурс]. – Режим доступа: URL: <https://doi.org/10.1515/9783110756722-001>.
6. Sohan M., Sai Ram T., Rami Reddy Ch.V. A Review on YOLOv8 and Its Advancements // *Data Intelligence and Cognitive Informatics*. – 2024; – С. 529–545 / [Электронный ресурс]. – Режим доступа: URL: https://doi.org/10.1007/978-981-99-7962-2_39.
7. Kostrzewa D., Milosz M. Comparative analysis of the Express.js and ElysiaJS frameworks in the context of web application development // *Journal of Computer Sciences Institute*. – 2024; – (32) – С. 246–250 / [Электронный ресурс]. – Режим доступа: URL: <https://doi.org/10.35784/jcsi.6335>.
8. Rodriguez C. et al. REST APIs: A Large-Scale Analysis of Compliance with Principles and Best Practices // *Web Engineering*. – 2016; – С. 21–39 / [Электронный ресурс]. – Режим доступа: URL: https://doi.org/10.1007/978-3-319-38791-8_2.
9. Suster I., Ranisavljevic T. Optimization of MySQL database // *Journal of Process Management and New Technologies*. – 2023; – №1–2(11) – С. 141–151 / [Электронный ресурс]. – Режим доступа: URL: <https://doi.org/10.5937/jouproman2301141q>.
10. Manenti G., Ebrahimiarjestan M., Yang L., Yu M. Functional Modelling and IDEF0 to Enhance and Support Process Tailoring in Systems Engineering // *2019 International Symposium on Systems Engineering (ISSE)*. – 2019; – С. 1–8 / [Электронный ресурс]. – Режим доступа: URL: <https://doi.org/10.1109/isse46696.2019.8984539>.

© Беглова В.В., 2025

Э.Р. БИККУЛОВА

elvina.bikkulova04@bk.ru

Науч. руковод. – канд. техн. наук, доцент Е.И. ФИЛОСОВА

Уфимский университет науки и технологий

СОЗДАНИЯ ВИРТУАЛЬНОГО КВЕСТА ДЛЯ ОБНАРУЖЕНИЯ СУИЦИДАЛЬНЫХ НАКЛОННОСТЕЙ У ПОДРОСТКОВ

Аннотация: в последние годы увеличилось число самоубийств среди подростков, что требует разработки новых инструментов ранней диагностики. Одним из инновационных направлений является использование виртуальных квестов – сценариев интерактивных игр, где пользователь проходит последовательность заданий, отражающих различные аспекты психофизиологического состояния.

Ключевые слова: виртуальный квест; модель данных; схема обработки данных.

Подростковый возраст характеризуется повышенной психической нестабильностью и уязвимостью к стрессовым ситуациям [2]. Создание эффективной и точной виртуальной системы, способной выявлять суицидальные наклонности, требует комплексного подхода к сбору информации. Для того чтобы такой инструмент выполнял диагностические функции, необходимо правильно определить типы данных, модель данных и схему обработки [6].

1. Данные контент квеста:

– Сценарии и сюжетные линии: это текстовые описания различных диалогов и событий в квесте, которые могут вызывать эмоциональный отклик или требовать принятия решений;

– Вопросы и задания: это конкретные формулировки задач и вопросов, на которые игрок должен будет ответить;

– Варианты ответов: набор определенных выборов, которые игрок может совершить в ответ на ситуацию или вопрос;

– Триггеры и условия перехода: это правила, которые определяют, как развитие сюжета зависит от действий игрока, какие новые элементы открываются или когда запускается следующая фаза анализа;

– Визуальный контент: изображения, звуки, музыка, которые создают атмосферу и могут влиять на эмоциональное состояние игрока.

2. Данные взаимодействия с пользователем:

– Выбранные ответы: какой из предложенных вариантов ответа выбрал пользователь;

– Действия в игре: последовательность совершаемых действий, перемещения по локациям, взаимодействие с объектами.

3. Контекстные данные пользователя:

– Фамилия Имя Отчество;

– Класс.

4. Справочные и аналитические данные:

– База знаний о маркерах суицидального поведения: этослова, фразы, поведенческие паттерны, психологические концепции, связанные с риском суицида у подростков, разработанные экспертами[1].

Для эффективного управления и анализа всех перечисленных типов данных, необходимо четко структурировать их хранение. Модель данных определяет сущности, их атрибуты и взаимосвязи, обеспечивая целостность и доступность информации[7]. Ниже на рисунке 1 представлена модель данных информационной системы виртуального квеста:

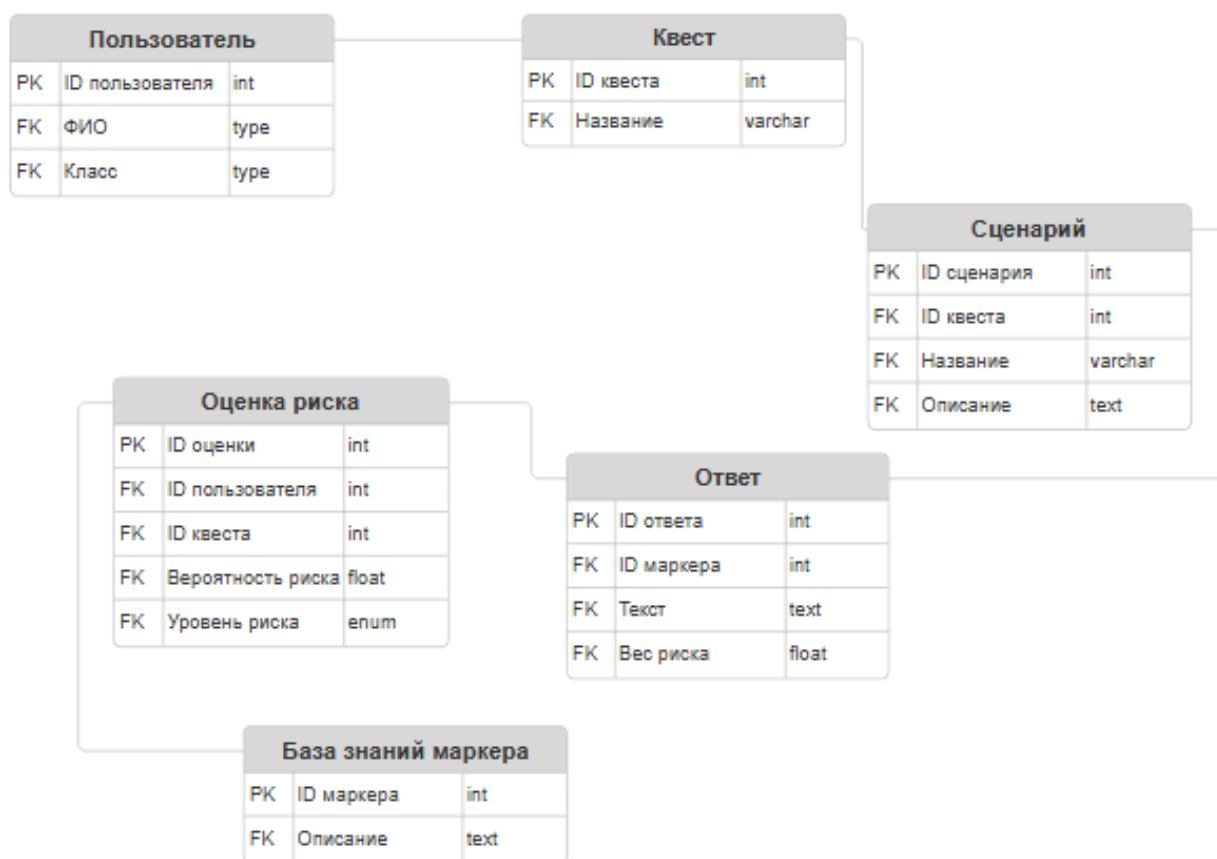


Рис. 1. Модель данных

Собранные данные сами по себе не обладают диагностической ценностью безобработки. Именно этот этап превращает сырую информацию о взаимодействии пользователя в осмысленные индикаторы риска. Рассмотрим подробную схему, которая иллюстрирует последовательность трансформации данных [3]. (рис. 2):

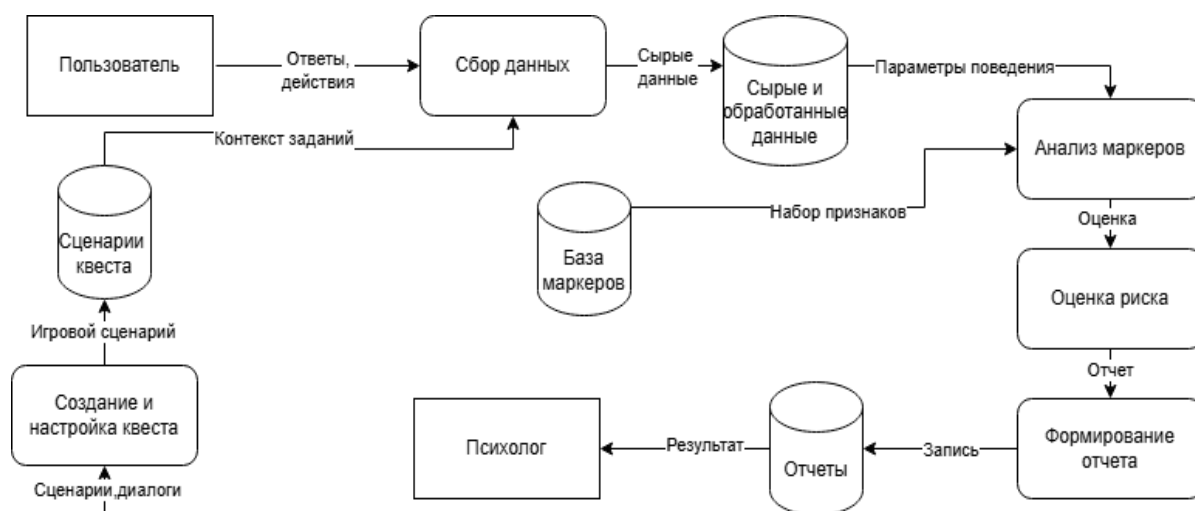


Рис. 2. Схема обработки данных

Проектируемая система позволит своевременно выявлять подростков, находящихся в группе риска по суицидальному поведению, используя формат виртуального квеста [5]. Это предоставит специалистам ценный инструмент для первичной диагностики, позволяя оперативно реагировать и предлагать необходимую психологическую помощь. В конечном итоге, внедрение такой системы внесет значительный вклад в профилактику подростковых суицидов и сохранение психического здоровья молодого поколения [4].

Библиографический список

1. Khalilov A. I. Data base organization in complex management information systems // Cybernetics and Systems Analysis, 02.02.2005.
2. Зотов М.В. Суицидальное поведение: механизмы развития, диагностика, коррекция. - СПб., 2006. - 144 с.
3. Крянев, А.В. Метрический анализ и обработка данных / А.В. Крянев, Г.В. Лукин, Д.К. Удумян. - М.: Физматлит, 2012. - 308 с.
4. Помощь подросткам в кризисном состоянии / сост. Н. В. Пономаренко. – Минск : Красико-Принт, 2015. – 96 с..
5. Ефремов В.С. Основы суицидологии. - СПб., 2004. - 479 с.
6. Калинина, В.Н. Анализ данных. компьютерный практикум (для бакалавров) / В.Н. Калинина, В.И. Соловьев. - М.: КноРус, 2017. - 240 с
7. Мартынов В.В., Никулина Н.О., Филосова Е.И. Проектирование информационных систем. Учебное пособие по курсу «Проектирование информационных систем» /Уфимск. гос. авиац. техн. ун-т; В.В. Мартынов, Н.О. Никулина, Е.И. Филосова – Уфа: УГАТУ, 2008. – 302 с.

© Биккулова Э.Р., 2025

У.Т. ВАЛЕЕВ

valeev.ural@mail.ru

Науч. руковод. – канд. техн. наук, доцент А.Ф. АТНАБАЕВ

Уфимский университет науки и технологий

ВЕБ-СКРАПИНГ С ИСПОЛЬЗОВАНИЕМ ИСКУССТВЕННОГО ИНТЕЛЛЕКТА

Аннотация: с появлением и развитием искусственного интеллекта, веб-скрапинг претерпел значительную трансформацию. Раньше скрапинг был в основном техническим процессом: поиск html-тега при помощи языка запросов XPath, далее извлечение текста. Теперь же, скрапинг использует семантический подход, основанный на понимании содержимого.

Ключевые слова: искусственный интеллект, ИИ, программирование, веб-сайты, поисковый робот, краулер, веб-скрапинг, парсинг.

Введение

Веб-скрапинг процесс извлечения данных с веб-сайтов, приобрел большое значение в различных областях, включая интеллектуальный анализ данных, мониторинг цен и маркетинговые исследования. Это позволяет как компаниям, так и частным лицам собирать и использовать важную информацию из огромных пространств Всемирной паутины для различных целей. Существуют различные методы веб-скрапинга, включая традиционное копирование и вставку, захват текста, сопоставление регулярных выражений, получение ресурсов по HTTP, синтаксический анализ HTML, DOM-анализ, программное обеспечение для веб-очистки, распознавание семантических аннотаций и анализаторы веб-страниц компьютерным зрением. Традиционное копирование и вставка – это базовый и утомительный метод очистки веб-страниц, при котором людям приходится удалять множество наборов данных. Однако традиционные методы очистки веб-страниц часто сталкиваются с трудностями при работе с динамическими веб-сайтами, преодолении мер по предотвращению очистки и извлечению структурированных данных из неструктурированных веб-страниц. Проблема традиционного подхода в хрупкости и ненадежности: малейшее изменение дизайна сайта – и парсер ломался. К тому же, он был слеп к смыслу, то есть робот мог извлечь нерелевантную информацию.

Почему веб-скрапинг стал сложней задачей

Сбор данных со страницы может быть сложной задачей. Во-первых, из-за технических сложностей: сайты стали сложными приложениями. Раньше сайт был простым HTML-файлом. Сегодня это сложное клиентского приложение,

написанное при помощи React, Vue или Angular, которое загружает данные асинхронно через API. Также разработчики используют инструменты, которые перемешивают и сжимают код, что затрудняет извлечение данных сайтов. К тому же, веб-контент разнообразен и гетерогенен, в отличие от структурированных баз данных, что затрудняет извлечение релевантных и значимых данных. Веб-скрапинг требует методов преобразования неструктурированных данных в структурированные. Однако автоматическим процедурам, используемым при сканировании веб-страниц, может быть сложно точно распознать релевантную информацию при работе с различными веб-сайтами с уникальной структурой. Во-вторых, из-за активной противодействия и защиты. Эта причина превращает скрапинг из технической задачи в сложную борьбу. Системы обнаружения ботов анализируют не то, что вы запрашиваете, а как именно вы это делаете. Они проверяют тысячи параметров: заголовки браузера, поведение мыши и клавиатуры, тайминги и окружение браузера. Если система заподозрила бота, она запросит выполнить капчу, чтобы получить доступ к сайту. Помимо технических сложностей, практика автоматического сбора данных с веб-сайтов также сопряжена с этическими и юридическими проблемами. Сбор данных без разрешения может нарушать условия предоставления услуг или законы об авторском праве. А с этической точки зрения, сбор данных может нарушать права владельцев веб-сайтов и пользователей, нарушать саму работу сайта и вызывать опасения по поводу конфиденциальности. Таким образом, сбор данных из веб-страниц представляет собой сложную задачу, обусловленную техническими, так и этическими, и юридическими соображениями. С технической стороны - это противодействие систем защиты и динамический контент. С правовой - вопросы соблюдения авторских прав и лицензионных соглашений. С этической - баланс между сбором данных и уважением к ресурсам сайта. Несмотря на то, что сайт предоставляет ценные данные для исследований, крайне важно соблюдать условия пользования сайта.

Как искусственный интеллект изменил веб-скрапинг

В последние годы искусственный интеллект (ИИ) стал многообещающим решением для расширения возможностей веб-анализа. Методы искусственного интеллекта позволяют извлекать соответствующую информацию из необработанных наборов данных и переформатировать их в желаемый формат для дальнейшего анализа и применения. То есть, используя ИИ, разработчики смогли преодолеть ограничения традиционных подходов и повысить точность, эффективность и масштабируемость задач веб-анализа. Методы искусственного интеллекта, включая обработку естественного языка, машинное обучение, компьютерное зрение, усилили и улучшили различные аспекты процесса очистки веб-страниц. Алгоритмы искусственного интеллекта могут повысить точность извлечения данных с веб-страниц за счет более точной идентификации и извлечения конкретных точек данных. После того как поисковые роботы извлекли HTML-содержимое, алгоритмы могут быть

использованы для более точного извлечения соответствующих данных со страницы. Они могут помочь извлечь необходимую информацию с веб-сайтов и организовать ее более удобным способом для чтения. Кроме того, они могут автоматически проверять URL-адреса, чтобы убедиться, что они правильно сформированы и ведут на надежные веб-сайты или на другие ресурсы. Методы обработки естественного языка позволяют извлекать конкретную информацию из текстовых данных на веб-сайтах, что обеспечивает получение релевантной информации с сайта. Кроме того, алгоритмы обучения с подкреплением могут адаптировать стратегии извлечения веб-данных к механизмам защиты от скрейпинга, используемым веб-сайтами, обеспечивая поиск данных и сводя к минимуму риск обнаружения. Ценность веб-скрейпинга с помощью ИИ особенно ощущается при работе со сложным контентом. Например, Динамические сайты, которые в значительной степени основаны на JavaScript и AJAX, создают проблемы для традиционных пользователей из-за их динамической загрузки контента и интерактивности. То есть такие сайты требуют неперемного присутствия пользователя. Более того, неструктурированные веб-страницы, на которых данные представлены в различных форматах, таких как HTML, XML, JSON и обычный текст, требуют сложных методов для эффективного извлечения структурированных данных. Веб-скрапинг, в тесном использовании с искусственным интеллектом, позволяет быстрее и автоматически собирать данные с веб-сайтов, включая веб-страницы, PDF-файлы, видео, фотографии и метаданные. Подводя итог, с появлением больших языковых моделей, веб-скрапинг эволюционировал, став мощным тандемом с нейросетью.

Трудности интеграции ИИ в веб-анализ

Сложность внедрения ИИ в веб-анализ сопряжена как с техническими трудностями, так и с этическими соображениями. Работа с LLM требует значительных ресурсов либо дорогостоящих API-вызовов. Обработка страниц может стать финансово нецелесообразной. Сложно предсказать итоговую стоимость сбора данных, так как она напрямую зависит от объема обработанных страниц и от используемой модели. То есть, страницы сайтов могут быть зашумлены рекламой, шапкой, подвалом, навигационными элементами, скриптами и другим мусором. Модель должна научиться игнорировать это, либо при парсинге следует извлекать лишь главную информацию с сайта, что может вызвать проблемы и внести новые точки отказа при создании сложной системы, где классический парсер извлекает сырую информацию, а ИИ-модуль их обрабатывает. ИИ-обработка происходит медленнее, чем классический парсер по селекторам. Это может быть критично для задач, требующих реального времени (н-р, мониторинг цен). Также проблемы могут возникнуть из-за ограничения контекста: у больших языковых моделей есть лимит на количество символов в одном запросе. Большую статью или таблицу придется разбить на части, что приведет к потере контекста. Сам ответ языковой модели может быть не стабилен, так как она может

произвольно и внезапно заменить структуру ответа. Либо ИИ может додумать недостающую информацию, это проблема называется галлюцинацией, когда нейросеть генерирует неверные, бессмысленные или полностью выдуманные факты, выдавая их за достоверную информацию. Многие эксперты считают, что это фундаментальная проблема ИИ, которую тяжело устранить. Галлюцинации делают поведение нейросетей непредсказуемым и для задач, требующих 100% точности (например, финансовые данные или юридические данные), это неприемлемо. Проблема галлюцинаций является ключевым фактором, ограничивающим надежность и безотказность нейросетей, и требует постоянного контроля, доработки моделей и применения дополнительных методов верификации результатов. Решение капч – это область, где ИИ показывает впечатляющие результаты. Но с юридической и этической точек зрения – это крайне неоднозначная и рискованная территория. Во-первых, это нарушает условия предоставления услуг. Практически все крупные сервисы, будь то Google, Amazon и прочие, прямо запрещают обход капч и имитацию человеческого взаимодействия. Последствия могут быть в виде бессрочной блокировки аккаунта, либо гражданско-правовой ответственностью. Во-вторых, это нарушение конфиденциальности, авторских прав, а также несанкционированное использование серверных ресурсов.

Заключение

Внедрение искусственного интеллекта (ИИ) в процессы веб-скрапинга обладает большим потенциалом для повышения эффективности извлечения данных. NLP не просто облегчает извлечение информации, а наделяет систему способностью к семантическому пониманию. Это позволяет автоматически определять сарказм в отзывах, выделять ключевые сущности (имена, бренды, локации) и даже суммировать содержимое объемных статей, предоставляя готовые аналитические выжимки. Машинное обучение и компьютерное зрение, увеличивает эффективность в решении проблем, с которыми сталкиваются традиционные методы обработки веб-страниц. NLP облегчил извлечение информации из неструктурированных веб-страниц, в то время как машинное обучение позволило целенаправленно извлекать данные с помощью классификации веб-страниц. Повышение точности позволило повысить качество данных за счет сведения к минимуму ошибок в процессе извлечения. А повышение эффективности привело к ускорению и оптимизации операций очистки веб-страниц, что позволило сэкономить время и усилия. Возможность работы с динамическими веб-сайтами позволила осуществлять непрерывное и надежное извлечение данных, адаптируясь к изменениям в структуре веб-сайтов. Также была улучшена масштабируемость, что позволило выполнять задачи по очистке веб-страниц в более широком масштабе. NLP не просто облегчает извлечение информации, а наделяет систему способностью к семантическому пониманию. Это позволяет автоматически определять сарказм в отзывах, выделять ключевые сущности (имена, бренды, локации) и даже суммировать содержимое объемных статей, предоставляя готовые

аналитические выжимки. Однако были выявлены этические соображения и проблемы. Нужно подчеркнуть важность ответственного и этичного внедрения искусственного интеллекта в практику извлечения данных с веб-страниц. Участие человека в принятии ключевых решений — таких как определение границ сбора, работа с персональными данными и соблюдение авторских прав — остается важнейшим и решающим элементом. Искусственный интеллект следует рассматривать не как панацею, а как высокоинтеллектуальный инструмент, который не заменяет критическое мышление и моральную ответственность человека, а многократно усиливает его аналитические способности, позволяя сосредоточиться на стратегических задачах, а не на технической рутине. В этом симбиозе человеческого интеллекта и машинной эффективности и кроется формула успеха в эпоху данных.

Библиографический список

1. Атнабаев А.Ф. Использование сервис-ориентированных технологий в ГИС для разработки картографического веб-сервиса / А.Ф. Атнабаев, А.Е. Ананьев // Интеллектуальные технологии обработки информации и управления (ITIPM' 2015): Proceedings of the 3rd International Conference, Ufa, 10-12 ноября 2015 года. Том 2. – Ufa: ГОУ ВПО «Уфимский государственный авиационный технический университет», 2015. – С. 76-79. – EDN USVVYH

2. Разработка приложения веб-скрапинга с возможностями обхода блокировок. Авторы: А.А. Москаленко, О.Р. Лапоница, В.А. Сухомлин [Электронный ресурс] – Режим доступа: URL: researchgate.net/publication/388090415_Razrabotka_prilozenia_veb-skrappinga_s_vozmoznostami_obhoda_blokirovok

3. Combined use of web scraping and AI-based models for business applications: research evolution and future trends [Электронный ресурс].–Режим доступа:URL: researchgate.net/publication/395375839_Combined_use_of_web_scraping_and_AI-based_models_for_business_applications_research_evolution_and_future_trends.

© Валеев У.Т., 2025

А.Е. ВАРЮХИНА

nasty.varyukhinna@mail.ru

Науч. руковод. – канд. техн. наук, доц. Е.И. ФИЛОСОВА

Уфимский университет науки и технологий

РАЗРАБОТКА ИНФОРМАЦИОННОЙ СИСТЕМЫ ПРИМЕНЕНИЯ ТЕХНОЛОГИИ КОМПЬЮТЕРНОГО ЗРЕНИЯ ДЛЯ СОРТИРОВКИ МУСОРА

Аннотация: в статье представлен проект разработки информационной системы для автоматизированной сортировки твёрдых коммунальных отходов на основе методов компьютерного зрения. Описаны функции распознавания изделий из пластика, их физического отбора. Разработанное решение повышает точность сортировки, снижает зависимость от ручного труда и обеспечивает гибкость адаптации к локальному составу отходов.

Ключевые слова: Компьютерное зрение, сортировка отходов, распознавание объектов, информационная система, нейронные сети, экологические технологии.

Каждый год в России образуется свыше 70 миллионов тонн твёрдых коммунальных отходов, однако менее 12 % из них попадают на переработку [1]. Одна из главных причин – неэффективная сортировка, по-прежнему во многом зависящая от ручного труда и устаревших механических систем. В условиях растущей экологической ответственности и стремления к цифровой трансформации промышленности всё большую актуальность приобретают интеллектуальные решения, способные «видеть» и «понимать» состав отходов в реальном времени.

Технологии компьютерного зрения открывают принципиально новые возможности для автоматизации сортировочных линий: они позволяют не просто распознавать материалы, но и точно разделять их по типам – например, выявлять пластиковые изделия среди смешанного потока мусора и направлять их на переработку. Однако на практике возникает ещё одна важная задача – гибкость системы. Операторы сталкиваются с постоянно меняющимся ассортиментом отходов: сегодня это алюминиевые банки, завтра – медная стружка или сплавы чёрных металлов. Перепрограммировать всю систему под каждый новый тип нецелесообразно.

В этой связи цель работы – разработка информационной системы, сочетающей высокоточное распознавание пластика, автоматический физический отбор и удобную подсистему добавления новых видов пластикового мусора без вмешательства в ядро приложения. Такой подход не

только повышает эффективность переработки, но и делает систему адаптивной к реальным условиям эксплуатации, отвечая принципам устойчивого развития.

Современные линии сортировки твёрдых коммунальных отходов в России по-прежнему в значительной степени полагаются на ручной труд или базовые механические сепараторы – барабаны, магниты, воздушные потоки. Такой подход имеет ряд существенных недостатков. Во-первых, человеческий фактор остаётся главным источником ошибок: усталость, невнимательность и субъективность операторов приводят к смешиванию фракций, что снижает качество вторсырья и делает его непригодным для переработки. Особенно сложно вручную распознавать пластик: он может быть прозрачным, окрашенным, деформированным или покрытым загрязнениями, что затрудняет визуальную идентификацию. Во-вторых, большинство существующих автоматизированных решений не обладают гибкостью. Они настроены на фиксированный набор материалов и не позволяют оперативно добавить новый тип отхода. Это делает их неадаптивными к локальным условиям, где состав мусора может сильно различаться от региона к региону. В-третьих, зарубежные интеллектуальные системы, основанные на компьютерном зрении, хотя и демонстрируют высокую точность, остаются крайне дорогими и закрытыми. Их программное обеспечение не поддерживает кастомизацию, а техническая поддержка недоступна на русском языке. Это делает их внедрение экономически нецелесообразным для малых и средних перерабатывающих предприятий, которые составляют основу отрасли в России.

Даже при наличии визуальных сенсоров многие системы не обеспечивают интеграцию с исполнительными механизмами в реальном времени, из-за чего распознанный объект не успевает быть отсортирован, либо требует дополнительной ручной проверки. Таким образом, существует острая необходимость в разработке отечественной, гибкой и расширяемой информационной системы, способной не только точно распознавать пластик, но и адаптироваться к новым видам мусора.

Разрабатываемая информационная система предназначена для автоматизации процесса сортировки твёрдых коммунальных отходов с использованием методов компьютерного зрения. В ней реализован следующий комплекс функций:

1. Захват и предварительная обработка изображений: система получает видеопоток с промышленной камеры, установленной над конвейерной лентой, и выполняет обработку кадров.

2. Распознавание изделий из пластика: на основе анализа визуальных признаков система идентифицирует объекты, относящиеся к категории пластика, и определяет их тип.

3. Управление исполнительным устройством: при обнаружении изделия из пластика система формирует управляющий сигнал для сбрасывателя, обеспечивающего физический отбор объекта с конвейера.

4. Ведение журнала распознаваний: все события (время обнаружения, тип отхода, снимок фрагмента, результат отбора) сохраняются в базе данных и доступны для просмотра и анализа.

5. Настройка алгоритмов распознавания без перезапуска системы: при добавлении нового типа отхода система обновляет внутренние правила идентификации на основе заданных признаков, сохраняя работоспособность основного процесса сортировки.

6. Хранение и управление базой классов отходов: в реляционной базе данных хранятся все зарегистрированные типы отходов, их визуальные и физические признаки, а также история изменений и использования.

Такой подход обеспечивает гибкость, прозрачность и контролируемость процесса распознавания, что особенно важно при эксплуатации системы на малых и средних сортировочных линиях, где состав отходов может существенно различаться.

Был разработан план проекта для разработки информационной системы применения технологии компьютерного зрения для сортировки пластиковых отходов (табл. 1).

Таблица 1

План проекта

| Этапы проекта | Основные результаты этапа | Срок |
|-----------------------------------|--|--------------|
| Планирование проекта | <ul style="list-style-type: none"> - Утвержденное техническое задание - Проработанная концепция системы сортировки стекла - Полный пакет проектной документации - Сформированные требования к ТС и ПО - Закупленное базовое оборудование - Начатый процесс сбора и разметки датасета | 19.12.2 5 |
| Проектирование данных, алгоритмов | <ul style="list-style-type: none"> - Спецификация форматов данных - Проект базы данных - Алгоритмы обработки изображений - Архитектура обработки данных - Протоколы обмена данными - ТЗ на разработку модели МО | 19.06.2 6 |
| Разработка модели МО | <ul style="list-style-type: none"> - Обученная модель компьютерного зрения - Метрики качества классификации - Документация модели - Настроенный конвейер обучения - Отчет по валидации модели | 25.12.2 7 |
| Интеграция и тестирование | <ul style="list-style-type: none"> - Прошедшая испытания система сортировки - Техническая документация по ГОСТ - Обученный персонал работы с системой - Результаты пилотной эксплуатации | 25.05.2 7 |
| Завершение | <ul style="list-style-type: none"> - Полный комплект документации - Научные публикации по материалам работы | 25.04.2 8 |

Разрабатываемая информационная система предназначена для автоматизированной сортировки твёрдых коммунальных отходов на основе анализа изображений. Система функционирует в составе конвейерной линии и состоит из следующих основных компонентов:

1. Видеомодуль. В качестве источника визуальных данных используется промышленная камера с разрешением не менее 5 Мп, установленная над конвейерной лентой. Камера передаёт видеопоток в режиме реального времени для последующей обработки.

2. Модуль предварительной обработки изображений. На этом этапе выполняется нормализация освещения, подавление шумов, коррекция перспективы и масштаба. Это необходимо для повышения стабильности последующего анализа при изменении условий освещения или скорости конвейера.

3. Модуль распознавания отходов. Центральным элементом системы является модуль, реализующий алгоритмы компьютерного зрения [3]. Он анализирует каждый кадр на основе формальных признаков: цвета, текстуры, прозрачности, формы контура, отражательной способности и других визуальных характеристик. На основе этих признаков система идентифицирует изделия из пластика и относит их к соответствующему классу. Все зарегистрированные типы отходов хранятся в реляционной базе данных. Для каждого класса фиксируются визуальные образцы, формальные признаки и параметры распознавания.

4. Исполнительный модуль. При обнаружении объекта из пластика система генерирует управляющий сигнал для исполнительного устройства – пневматического сбрасывателя или механического отклонителя, который физически направляет объект в отдельный контейнер.

5. Веб-интерфейс администратора. Интерфейс позволяет просматривать журнал распознаваний, добавлять новые классы, управлять характеристиками материалов и отслеживать статистику работы линии (количество отсортированных объектов, ошибки, нагрузка).

Архитектура системы построена по модульному принципу, что обеспечивает её масштабируемость и упрощает сопровождение. Например, в будущем можно легко добавить поддержку стекла или бумаги, расширив лишь соответствующую подсистему, не затрагивая ядро приложения.

Такой подход позволяет создать гибкую, прозрачную и адаптивную систему сортировки, ориентированную на реальные условия эксплуатации на малых и средних перерабатывающих предприятиях.

Внедрение разработанной информационной системы в процесс сортировки твёрдых коммунальных отходов даёт ряд существенных преимуществ по сравнению с традиционными методами:

– Повышение точности и скорости сортировки. Благодаря автоматическому анализу визуальных признаков система позволяет выявлять изделия из пластика с точностью до 95 % и более. Это значительно превосходит

возможности ручной сортировки, где ошибка достигает 20–30 %, особенно при усталости операторов;

– Снижение зависимости от человеческого фактора. Система работает стабильно в течение всего рабочего дня, не устаёт и не допускает субъективных ошибок. Это особенно важно при работе с однородными, но визуально сложными объектами;

– Снижение эксплуатационных затрат. Автоматизация сортировки уменьшает потребность в ручном труде, сокращает расходы на оплату труда и снижает риск травматизма. Кроме того, более чистая фракция вторсырья повышает её рыночную стоимость и упрощает дальнейшую переработку;

– Прозрачность и управляемость процесса. Все события фиксируются в журнале: время обнаружения, тип отхода, результат отбора. Это позволяет проводить аудит, анализировать ошибки и оперативно корректировать параметры распознавания.

– Соответствие современным технологическим трендам. Разработанная система реализует принципы Industry 4.0: интеграция физического процесса (конвейер, сбрасыватель) с цифровой аналитикой (обработка изображений, база данных, веб-интерфейс) [4]. Это делает её совместимой с будущими промышленными решениями.

– Доступность для малого и среднего бизнеса. Система строится на открытых технологиях и не требует дорогостоящего оборудования. Это делает её экономически целесообразной для региональных сортировочных станций, где внедрение зарубежных аналогов невозможно.

Таким образом, разрабатываемая информационная система не только решает техническую задачу автоматической сортировки, но и вносит в экологическую устойчивость, цифровую трансформацию отрасли и повышение рентабельности переработки на местном уровне. Она представляет собой практичное и масштабируемое решение для автоматизации сортировки твёрдых коммунальных отходов на основе методов компьютерного зрения. Такой подход обеспечивает гибкость, прозрачность и экономическую целесообразность внедрения даже на небольших сортировочных линиях. Система соответствует принципам Industry 4.0, способствует повышению уровня переработки отходов и вносит вклад в реализацию национальных экологических инициатив [2].

Библиографический список

1. Стратегия развития отрасли обращения с отходами в Российской Федерации до 2030 года. — М.: Министерство природных ресурсов и экологии РФ, 2020. — 48 с.
2. Федеральный проект «Комплексная система обращения с твёрдыми коммунальными отходами» национального проекта «Экология». — М.: Правительство Российской Федерации, 2021.

3. Redmon J., Farhadi A. YOLOv3: An Incremental Improvement // arXiv preprint arXiv:1804.02767. — 2018. — URL: <https://arxiv.org/abs/1804.02767>.

4. Martynov, V. Information Architecture to Support Engineering Education in the Era of Industry 4.0 / V. Martynov, E. Filosofova, Y. Egorova // 2022 6th International Conference on Information Technologies in Engineering Education, Inforino 2022 - Proceedings : 6, Moscow, 12–15 апреля 2022 года. – Moscow, 2022. – DOI 10.1109/Inforino53888.2022.9782999. – EDN YPPCIK.

© Варюхина А.Е., 2025

Д.М. ВАХИТОВ, Д.А. ШАЙМАРДАНОВ
zehiro@yousoro.ru, dinar-vvv@yandex.ru
Науч. руковод. – к.т.н, доцент А.Ф. Атнабаев

Уфимский университет науки и технологий

ВИЗУАЛИЗАЦИЯ ПРОСТРАНСТВЕННЫХ ДАННЫХ В ГЕОМАРКЕТИНГОВЫХ ДАШБОРДАХ: ОТ ДАННЫХ К АНАЛИТИЧЕСКИМ РЕШЕНИЯМ.

Аннотация: в статье рассмотрены современные подходы к визуализации пространственных данных в геоаналитических дашбордах на основе идей Александра Богачёва, изложенных в книге «Графики, которые убеждают всех». Показано, что ключевым фактором эффективности визуализации является переход от отображения данных к формированию знаний, способных влиять на принятие управленческих решений. На примере геомаркетингового анализа локаций фитнес-клубов в г. Уфа продемонстрировано использование пространственных данных (OpenStreetMap, Avito, ЦИАН) для построения интерактивных тепловых карт и графиков. Предложены направления улучшения визуальных инструментов: акцентирование ключевых показателей, аннотирование графиков, нормализация данных и использование визуального сторителлинга. Делается вывод о важности применения принципа Данные – Информация – Знание. при проектировании аналитических интерфейсов, где визуализация выступает не только средством отображения информации, но и инструментом принятия решений.

Ключевые слова: визуализация данных; геоаналитика; пространственный анализ; дашборд; геомаркетинг; визуальный сторителлинг; OpenStreetMap; Avito; ЦИАН; Богачёв; аналитика; знания.

Геомаркетинг рассматривается как мощный инструмент для оптимизации расходов и повышения эффективности бизнеса при выборе местоположения торговых точек [2]. С развитием цифровых платформ появилось множество геоданных: объявления об аренде помещений, сведения о конкурентах, транспортные потоки и т.д. Эти данные сами по себе, подобно сырой нефти, не приносят пользы бизнесу – ценность извлекается лишь через обработку, анализ и наглядную визуализацию [3]. В частности, известно, что с помощью интерактивных карт можно из множества похожих вариантов выбрать оптимальную локацию для нового предприятия. Таким образом, актуальна задача разработки аналитических дашбордов, где пространственные данные объединены и представлены в доступной форме для принятия решений. Однако просто отобразить данные на графиках *недостаточно*: ключевым является переход от уровня «графики = информация» к уровню «графики = знание»,

побуждающему к действию. В данной статье на основе идей А. Богачёва, изложенных в книге *«Графики, которые убеждают всех»*, обсуждается, как повысить эффективность геомаркетинговых визуализаций – от отображения фактов до визуального сторителлинга, формирующего новые знания и *позволяющего уверенно действовать* [1].

Александр Богачёв – эксперт по инфографике – подчёркивает, что графики могут выполнять различные задачи: от простого информирования до убеждения и побуждения к решению. Можно условно выделить три уровня визуализации данных: *данные, информация, инсайт (знания)*. На первом уровне график просто отображает *данные* (числа, географические точки и т.д.) без интерпретации – зритель видит факты, но должен самостоятельно их осмыслить. На втором уровне визуализация преподносит *информацию* – данные структурированы и сравнения очевидны, график отвечает на базовые вопросы «что происходит?». Наконец, высший уровень – *инсайт*: график не только показывает информацию, но и *выводит скрытые закономерности, даёт понимание, ведущее к конкретным действиям*. Именно такого рода «графики-инсайты» вызывают у аудитории *«эффект понимания»* и позволяют принять обоснованное решение (например, выбрать район для инвестиций).

Важно отметить, что путь от данных к инсайту подразумевает как техническую работу, так и глубокое осмысление контекста. Без погружения в предметную область и понимания связей между показателями невозможно создать эффективную визуализацию, дающую инсайты. Требуется отфильтровать сырой набор данных до тех переменных, которые действительно влияют на решение, представить их в правильной форме и сопровождать пояснениями. Рассматриваемый нами геомаркетинговый дашборд должен пройти все три стадии: от сбора пространственных данных, через их аналитическую обработку, к наглядному представлению, где на карте и графиках сразу видны *ключевые выводы*.

Одна из центральных идей Богачёва заключается в том, что *цель графика – не просто показать цифры, а убедительно донести идею и рассказать историю* [1]. Действительно, избыточно красиво оформленный график без чёткого посыла не принесёт пользы, как и идеально правильные данные, лишённые смысловой подачи. Визуальный сторителлинг – это искусство подачи данных в контексте: последовательность карт и диаграмм должна *логично вести читателя к выводам*. Практический совет: прежде чем строить график, автор должен явно сформулировать, *какое сообщение он хочет передать*. Отталкиваясь от этого сообщения, подбирается тип диаграммы, нужные показатели и форматирование. Затем убираются все детали, не работающие на коммуникацию, и добавляются акценты, помогающие считывать замысел. Такой метод обеспечивает, что в финальной визуализации *главная идея будет «прочитана» мгновенно*.

Стоит уделить внимание заголовкам и подписям: текст на графике играет не меньшую роль, чем сам рисунок. Богачёв рекомендует выносить *главный вывод прямо в заголовок графика*. Если карта показывает перспективные

районы для бизнеса, заголовков может звучать так: «*Лучшие кварталы Уфы для открытия фитнес-клуба – север и центр*». Тогда даже беглого взгляда достаточно, чтобы понять инсайт. Графический акцент (цветом или маркером) на этих районах усилит сообщение, а подробная легенда и пояснения снимут возможные вопросы. Таким образом, посредством сочетания продуманного текста и изображений достигается *ясность и убедительность*: аудитория не только видит данные, но и понимает их смысл в бизнес-контексте.

Рассмотрим в качестве примера пилотный проект геомаркетингового сервиса для выбора оптимальной локации фитнес-клуба в Уфе [2]. В проекте использовано несколько источников данных: объявления об аренде коммерческой недвижимости (платформы Avito и Циан) дают информацию о доступных помещениях и ценах аренды; данные о конкурентах (фитнес-центрах) получены из OpenStreetMap. Все эти разнородные геопространственные данные объединяются для каждой точки на карте, после чего вычисляется интегральный коэффициент привлекательности локации. Модель расчёта представляет собой сумму нормализованных факторов с весовыми коэффициентами (например, близость конкурентов и высокая цена аренды уменьшают итоговый балл, а интенсивный трафик и развитая инфраструктура увеличивают). Результаты анализа визуализируются непосредственно на карте города: каждой точке (или зоне) сопоставлено цветовое значение, отражающее её итоговый балл К. Тепловая карта привлекательности с градиентом от зелёного (высокое значение К) до красного (низкое) наглядно показывает, *где лучше всего открывать бизнес*. Дополнительно *самые перспективные точки отмечены специальными маркерами*, чтобы сразу бросались в глаза. Таким образом, пользователь дашборда – например, инвестор или управляющий сетью фитнес-клубов – мгновенно видит на карте приоритетные районы для открытия новой локации.

Помимо карты, дашборд включает вспомогательные диаграммы для детализации ситуации. Например, гистограмма может показать распределение цен аренды по районам, позволяя соотнести привлекательность места с его стоимостью; столбиковый график сравнивает *плотность конкурентов* в разных частях города; точечная диаграмма отражает зависимость между средней ценой аренды и количеством потенциальных клиентов в зоне. Такие графики переводят сырые цифры в осмысленные метрики – это уровень «*график-информация*». Но чтобы сделать следующий шаг к инсайту, визуализации должны быть улучшены с точки зрения подачи [3].

Существующий дашборд демонстрирует основные паттерны данных, однако его графический язык можно развить, чтобы стимулировать конкретные действия пользователя. Ниже перечислены *предложения по улучшению визуализации*, опирающиеся на концепции Богачёва и принципы визуального сторителлинга:

- *Фокус на ключевом индикаторе*. В каждом графике стоит явно выделить тот показатель, который критически важен для решения. Например, на карте

можно акцентировать цветом топ-3 района с наивысшим коэффициентом привлекательности, а не показывать все точки одинаково.

– *Использование надписей и аннотаций.* График должен «разговаривать» с аудиторией. Это достигается краткими пояснениями прямо на визуализации. Если гистограмма показывает, что в спальном районе X отсутствуют конкуренты при умеренной арендной плате, стоит подписать рядом: «Ниша для нового клуба». Подобные текстовые пометки превращают наблюдения в выводы. Как отмечает Богачёв, *убедительный график сопровождается правильными текстами*, которые усиливают восприятие инсайта.

– *Оптимальный выбор типов диаграмм.* Не все классические графики одинаково полезны для выявления инсайтов. В соответствии с лучшими практиками датавиза, следует избегать перегруженных или затрудняющих сравнение форматов. Например, круговые диаграммы (*pie charts*) зачастую мешают сравнивать величины точно. Если в дашборде они используются (скажем, для долей рынка различных сетей-конкурентов), имеет смысл заменить их на горизонтальные столбцы или упорядоченные столбчатые диаграммы, где ранжирование видно сразу. Аналогично, при анализе динамики лучше применять линейные графики, а не набор отдельных точек, чтобы чётко проследить тренды. Подбор оптимального представления данных – ключевой этап на пути к инсайту.

– *Нормализация и сравнения в контексте.* Как показывают примеры из практики, неправильное представление пространственных метрик может увести в сторону от истины. Поэтому все карты в дашборде должны отображать относительные показатели (например, число конкурентов на 1000 жителей района, стоимость аренды за м² и т.п.). Нормированные данные позволяют сравнивать локации справедливо. Если ранее карта строилась по абсолютному количеству фитнес-клубов, то огромные районы с большим населением всегда будут казаться «горячими» зонами. Введя нормировку «на душу населения», мы получим совсем иную картину – возможно, центры спальных районов проявятся как неохваченные конкурентами и потому выгодные для открытия зала. Таким образом, метод нормализации превращает график с уровнем «информация» (где просто показано сколько клубов где) в график-«инсайт», отвечающий на вопрос «где недостаточно клубов относительно спроса?».

– *Комбинация слоёв и мультифакторный показ.* Простые одновариативные графики информативны, но инсайт чаще рождается на пересечении нескольких факторов. В дашборде стоит реализовать возможности просмотра данных в связке: например, наложить на карту одновременно тепловой слой по привлекательности и точечный слой по наличию конкурентов. Это позволит увидеть, за счёт чего формируется высокий индекс в тех или иных местах. Если технически интерактивное наложение затруднено, то статически можно привести рядом составной график – скажем, двуосный график: по оси X ранжированные районы, левая Y – средний чек аренды, правая Y – количество конкурентов. Так на одном изображении будет видна обратная корреляция этих факторов: районы с дешёвой арендой и малым

числом конкурентов выстроится в вершине рейтинга. Этот приём комбинирования усиливает понимание взаимосвязей.

– *Единый стиль и понятность визуального языка.* Чтобы дашборд воспринимался целостно, важно соблюдать единый подход к оформлению: согласованная цветовая гамма, читаемые шрифты, сопоставимые масштабы графиков. Богачёв отмечает, что эстетика важна ровно в той мере, в какой *она помогает решить вашу задачу*. В данном случае задача – облегчить выбор локации – и визуальный язык должен быть *функциональным*. Например, цвета на разных диаграммах стоит синхронизировать с легендой карты (если красный обозначает высокий потенциал, то везде придерживаться этой трактовки). Избегать следует избыточных декоративных элементов, 3D-эффектов, сложных узоров – всего, что увеличивает когнитивную нагрузку. Простота и лаконичность дизайна, как показано в руководствах по инфографике, повышают доверие к данным и позволяют зрителю сфокусироваться на *главном инсайте*, а не отвлекаться на оформление.

Перечисленные меры направлены на то, чтобы *превратить разрозненные графики в связный аналитический рассказ*. Дашборд, улучшенный таким образом, выполняет не только роль справочника (показывая «что и где находится»), но и роль советника (подсказывая «что с этим делать»). Графики-инсайты, в отличие от просто графиков-иллюстраций, побуждают пользователя к конкретным шагам: инвестировать в определённый район, пересмотреть стратегию аренды, изучить конкурентов в выявленной зоне и т.п.

Современные геоаналитические дашборды способны вывести принятие решений на новый уровень благодаря правильно организованной визуализации. В бизнесе *данные – это новая нефть, но без переработки они бесполезны* [3]. И переработка эта осуществляется через аналитическую обработку и визуальное представление. Опираясь на принципы А. Богачёва, мы подчеркнули необходимость движения от простого отображения данных к раскрытию инсайтов. График, показывающий релевантные данные *и дающий понимание, ведущее к действию*, ценится неизмеримо выше, чем просто красивая картинка [3]. В контексте выбора бизнес-локаций это означает, что карта и диаграммы должны не только *сообщать факты*, но и *рассказывать историю*: почему именно здесь стоит открыть новый фитнес-клуб, какие выгоды это принесёт, чем подкрепляется такой вывод.

Практический опыт пилотного проекта в Уфе демонстрирует, что интеграция разнородных пространственных данных в единую систему с визуальным интерфейсом позволяет быстро идентифицировать оптимальные точки на карте. Но максимальный эффект достигается, когда визуализация продумана как коммуникация: с ясной структурой, акцентами и выводами. *Инсайт-ориентированные дашборды* превращают геомаркетинговый анализ в понятный сюжет, где из множества цифр и географических объектов складывается целостная картина возможностей для бизнеса. Такие дашборды напрямую способствуют принятию обоснованных решений: *данные превращаются в действие*.

Следуя концепции *Данные – Информация - Инсайт*, разработчики аналитических систем должны стремиться поднять каждую метрику на уровень инсайта. Визуализации пространственных данных, выполненные по этим принципам, служат не просто иллюстрациями, а *инструментами мышления* для менеджеров и предпринимателей. В итоге грамотный визуальный сторителлинг в геомаркетинговом дашборде даёт компании конкурентное преимущество: решения принимаются быстрее, на основе фактов и их правильной интерпретации, а значит – с большей вероятностью успеха.

Библиографический список

1. Александр Богачёв. *«Графики, которые убеждают всех»*. Изд. АСТ, 2024. С. 1 – 284.

2. Вахитов Д.М., «Разработки алгоритма для выбора оптимальных локаций торговых точек с учетом факторов трафика, сезонности, наличия конкурентов и других параметров, влияющих на привлекательность места» // Мавлютовские чтения: материалы XVIII Всероссийской молодежной научной конференции (г. Уфа, 25–29 ноября 2024 г.). - Уфа: Уфимский университет науки и технологий, 2024. - [Электронный ресурс]. - URL: <https://elibrary.ru/item.asp?id=80346994>

3. RUSSIA BI. *«Визуализация данных на карте: Геоаналитика на дашбордах»* – о преимуществах геодашбордов для понимания данных. – [Электронный ресурс]. – URL: <https://russiabi.com/gisbi>

4. Иванов М.С. Стратегическое планирование расположения объектов торговли на основе геомаркетингового анализа // Российский журнал менеджмента. – 2019. – № 1. – С. 77–83.

© Вахитов Д.М., Шаймарданов Д.А., 2025

Т.А. ГАБДРАХМАНОВ

gabdrahmanovtimur396@gmail.com

Науч. руковод. – кандидат технических наук, доцент Н.Н. Зверева

Уфимский университет науки и технологий

РАЗРАБОТКА ИНТЕЛЛЕКТУАЛЬНОГО ЧАТ-БОТА-КОНСУЛЬТАНТА ДЛЯ КЛИЕНТОВ БАНКА С ИСПОЛЬЗОВАНИЕМ МЕТОДОВ ОБРАБОТКИ ЕСТЕСТВЕННОГО ЯЗЫКА

Аннотация: проект посвящён созданию телеграм-бота, который предоставляет клиентам банка автоматизированную консультацию по типичным банковским услугам (кредиты, вклады, карты, переводы, комиссии, реквизиты и т.п.). В основе решения — сочетание моделей понимания естественного языка (intent/entity recognition), векторного поиска по базе знаний (embedding retrieval / semantic search) и генеративного компонента (RAG — retrieval-augmented generation) для гибких ответов. Проект включает: сбор и структурирование доменной базы знаний (FAQ), обучение/настройку NLP-компонентов, реализацию сервиса в виде Telegram-бота и веб-админки для управления базой знаний и логами.

Ключевые слова: искусственный интеллект, машинное обучение, обработка естественного языка, NLP, BERT, чат-бот, телеграм-бот, банковская система, финансовые технологии, классификация намерений пользователя, автоматизация клиентской поддержки.

Введение

Современные информационные технологии стремительно развиваются, что приводит к автоматизации многих сфер человеческой деятельности. Особое внимание уделяется системам, использующим элементы искусственного интеллекта для взаимодействия с пользователем на естественном языке. Одна из наиболее популярных областей, где активно используют подобные технологии, - чат-боты. Они работают круглосуточно, справляются с потоком запросов, которыми занимались живые операторы.

Хорошо обученный чат-бот-консультант способен не просто выдать информацию из базы данных, а понять, что именно хочет пользователь, уловить контекст и подобрать подходящую консультацию. Алгоритмы обработки естественного языка и методы машинного обучения позволяют системе разбираться в смысле сообщений, различать типы запросов и реагировать максимально уместно. В итоге общение клиента с банком становится более плавным и привычным, а на специалистов приходится меньше нагрузки.

Целью данного исследования является разработка интеллектуального чат-бота-консультанта, использующего методы машинного обучения и NLP для

обработки клиентских запросов в банковской сфере. В рамках исследования решаются задачи анализа предметной области, сбора и подготовки данных, обучения модели классификации и реализации прототипа бота для взаимодействия с пользователем.

Сбор и подготовка данных

Для реализации интеллектуального чат-бота-консультанта в банковской сфере необходима база данных, содержащая примеры реальных пользовательских запросов и соответствующих ответов. Сбор данных осуществлялся из открытых источников и имитационных сценариев взаимодействия клиентов с банковскими сервисами.

В качестве исходных данных были использованы:

1. Официальные разделы часто задаваемых вопросов (FAQ) крупнейших банков (Сбербанк, Тинькофф, Альфа-Банк);
2. Форумы и тематические площадки, где пользователи обсуждают банковские продукты и услуги;
3. Искусственно сформированные диалоги, отражающие типичные намерения клиентов (например, оформление кредита, нужен ли пользователю кредит, консультации по вкладам, сравнение процентных ставок по вкладам);
4. На основании собранного корпуса был сформирован набор намерений (intents) — тематических категорий запросов пользователей: «Кредиты», «Карты», «Вклады», «Платежи», «Онлайн-банк», «Технические вопросы», «Приветствия», «Благодарности» и др.

Архитектура и реализация чат-бота

Прототип чат-бота был реализован с использованием фреймворка aiogram для Telegram API. Архитектура включает следующие компоненты:

1. Модуль предобработки текста;
2. Модуль классификации намерений;
3. База знаний с ответами;
4. Модуль генерации ответов (через OpenAI API или HuggingFace).

База данных реализована на SQLite, что обеспечивает простоту хранения и масштабирования. Алгоритм работы чат-бота включает получение входного сообщения, определение намерения пользователя с помощью обученной модели и выдачу наиболее подходящего ответа.

Результаты и обсуждение

Для оценки эффективности использованных моделей были проведены эксперименты на тестовой выборке из 400 примеров пользовательских запросов. Сравнение показателей точности (Accuracy), полноты (Recall) и F1-меры (Таблица 1).

Анализ точности распознавания намерений

| Модель | Accuracy | Recall | F1-score |
|---------------------|----------|--------|----------|
| Logistic Regression | 0,82 | 0,80 | 0,80 |
| Random Forest | 0,86 | 0,84 | 0,85 |
| BERT | 0,91 | 0,89 | 0,90 |

По полученным данным можно понять, что применение контекстного моделирования текста на основе архитектуры BERT показывает преимущество над традиционными алгоритмами машинного обучения по ключевым результатам. Это позволяет считать BERT наиболее подходящим решением для интерпретации естественной речи в рамках банковских диалоговых систем.

Созданный прототип диалогового модуля успешно распознаёт цели клиентов, даёт ответы на стандартные запросы и адаптируется к незначительным изменениям в их формулировках. В ходе апробации было установлено, что более 90% обращений обрабатываются без привлечения живого оператора, что доказывает целесообразность внедрения системы для автоматизации службы поддержки.

Заключение

В рамках данной работы был создан и апробирован прототип чат-бота-консультанта для банковской сферы. Использование современных подходов к анализу текста и обучению моделей позволило создать систему, которая адекватно понимает запросы людей и выдаёт ответы без лишних ошибок. Среди всех моделей наиболее эффективной оказалась BERT, она показала точность, равной 91%. Дальнейшее развитие чат-бота будет включать в себя повышение точности модели, улучшение скорости работы и расширения базы данных.

Библиографический список

1. Пилипенко А.Е. Использование чат-ботов в банковской сфере // Финансы и кредит. – 2021. – № 33(4). – С. 123-130. – Режим доступа: URL: <https://cyberleninka.ru/article/n/ispolzovanie-chat-botov-v-bankovskoy-sfere>
КиберЛенинка
2. Смирнов Н. ВТБ: чат-бот с ИИ внутри // СІО OSP, 04.03.2024. – Режим доступа: URL: <https://cio.osp.ru/articles/040324-VTB-chat-bot-s-II-vnutri> cio.osp.ru
3. Гольдберг Й., Леви О. Объяснение модели word2vec: вывод метода отрицательной выборки Миколова и др. // arXiv preprint. – 2014.
4. Вершинин О. Роль обработки естественного языка в чат-ботах и голосовых помощниках // Neiros Blog, 19.07.2024. – Режим доступа: URL:

<https://neiros.ru/blog/automation/rol-obrabotki-estestvennogo-yazyka-v-chat-botakh-i-golosovykh-pomoshchnikakh/> neiros.ru

5. Девлин Дж., Чанг М., Ли К., Тоутанова К. BERT: предварительное обучение двунаправленных трансформеров для понимания языка // Материалы конференции NAACL. – 2019.

6. Юрафски Д., Мартин Дж. Обработка речи и естественного языка. – Pearson Education, 2023.

7. Миколов Т., Чен К., Коррадо Г., Дин Дж. Эффективная оценка представлений слов в векторном пространстве // arXiv preprint. – 2013.

8. Васвани А. и др. Attention is All You Need // Advances in Neural Information Processing Systems (NeurIPS). – 2017.

9. Фурсова Т.В. Внедрение чат-ботов в технологии дистанционного банковского обслуживания // Экономика и бизнес: теория и практика. – 2020. – № 4. – С. 151-164. – Режим доступа: URL: <https://www.market-economy.ru/archive/2020-04/en/2020-04-151-164-eshtokin.pdf> market-economy.ru

10. Губин Е.И., Екимовский А.О. Разговорный искусственный интеллект и чат-боты: возможности и применение // Материалы конференции ТПУ. – 2022. – С. 220-221. – Режим доступа: URL: https://earchive.tpu.ru/bitstream/11683/71215/1/conference_tpu-2022-C04_p220-221.pdf earchive.tpu.ru

© Габдрахманов Т.А., 2025

М.Р. ГАФАРОВ

muratgafarov2004@yandex.ru

Науч. руковод. – канд. техн. наук, доцент Е.И. ФИЛОСОВА

Уфимский университет науки и технологий

МЕТОДИКА ОБРАБОТКИ ВИДЕОПОТОКА ДЛЯ ЗАДАЧ ПОВЕДЕНЧЕСКОГО АНАЛИЗА СЕЛЬСКОХОЗЯЙСТВЕННЫХ ЖИВОТНЫХ

Аннотация: в данной статье рассматривается задача автоматизации мониторинга поведения крупного рогатого скота с применением технологий компьютерного зрения. Основное внимание уделено разработке эффективной методики предобработки и анализа видеопотока, поступающего со сельскохозяйственных объектов в условиях неконтролируемой среды.

Ключевые слова: компьютерное зрение; мониторинг КРС; поведенческий анализ; предобработка видео; детекция объектов; фильтрация шумов; автоматизация животноводства.

Современное животноводство характеризуется растущими масштабами производства, что делает традиционные методы визуального контроля за состоянием животных трудоемкими и малоэффективными. Одним из ключевых показателей здоровья и благополучия коров является их двигательная активность и смена поведенческих паттернов (лежание, стояние, прием пищи). Внедрение систем автоматического мониторинга на основе компьютерного зрения позволяет перейти к непрерывному, объективному и беспристрастному анализу [1].

Однако успешное распознавание поведенческих актов напрямую зависит от качества и надежности первичной обработки видеосигнала. Видеопоток с фермы характеризуется рядом дестабилизирующих факторов: резкие изменения освещенности в течение суток, наличие визуальных помех (пыль, паутина, капли воды), динамический фон и изменение ракурсов. Таким образом, целью данной работы является разработка методики обработки видеопотока, которая позволяет преобразовать нестабильные видеоданные в очищенную и структурированную информацию для последующего принятия решений.

Прямое применение алгоритмов компьютерного зрения к исходному видео с сельскохозяйственных объектов приводит к значительному снижению точности. Можно выделить три основные проблемы:

- 1) Проблема изменчивости освещения представляет собой одну из наиболее сложных задач в компьютерном зрении для сельскохозяйственных применений. Естественный световой день, искусственное освещение в хлеву и ночная съемка создают огромный разброс в яркости и контрастности кадров,

что вызывает ложные результаты у алгоритма детекции. Особую сложность представляют переходные периоды — рассвет и закат, когда направленное освещение создает длинные движущиеся тени, а также условия зимнего периода с низким положением солнца над горизонтом. Ночная съемка с использованием ИК-подсветки хотя и стабилизирует освещенность, но привносит свои артефакты в виде бликов от влажных поверхностей и уменьшения текстурных характеристик объектов.

2) Проблема визуального шума и помех требует особого внимания при проектировании систем мониторинга. Такие артефакты, как насекомые перед камерой, капли дождя, тени от конструкций, а также сама грязь на животных могут быть ложно распознаны как часть объекта или как самостоятельный объект. Сезонные изменения также вносят свой вклад — паутина осенью, снег зимой, пыль летом создают постоянно меняющийся набор помех. Особенностью сельскохозяйственных помещений является наличие постоянных источников микроскопических частиц в воздухе (мелкая пыль от кормов, перхоть животных), которые при определенном освещении могут создавать эффект «снега» в кадре.

3) Проблема нестабильности детекции остается актуальной даже при использовании современных нейросетевых моделей [2]. Алгоритмы могут давать ложные срабатывания (детекция несуществующих объектов) или, наоборот, пропускать объект при его частичном перекрытии или нестандартной позе. В условиях животноводческих комплексов добавляется проблема взаимной окклюзии животных, когда одна корова частично или полностью перекрывает другую. Также существенную сложность представляет изменение внешнего вида животных в зависимости от сезона — рост шерсти зимой, изменение кондиции тела, загрязнение шкуры — все это влияет на стабильность работы детектора.

Для решения указанных проблем был предложен многоэтапный конвейер обработки данных:

1. Этап предобработки видео включает комплекс методов повышения качества входного изображения [5]. Для компенсации освещения используется адаптивная гистограммная эквализация (CLAHE), которая выравнивает яркостные характеристики кадра в реальном времени. Этот метод позволяет улучшить детализацию изображения в тенях и при пересветах, сохраняя при этом естественность изображения. Дополнительно применяются методы шумоподавления на основе медианной фильтрации, эффективно устраняющие импульсные помехи типа пыли и капель воды на объективе. Для стабилизации видео последовательности могут применяться алгоритмы оптического потока, компенсирующие микроколебания камеры от ветра или вибраций.

2. Этап детекции животных основан на использовании современных сверточных нейронных сетей архитектуры YOLO (You Only Look Once) [3]. Модель YOLOv8 демонстрирует оптимальное соотношение скорости и точности для задач реального времени. Ключевым преимуществом данной архитектуры является единовременное предсказание ограничивающих рамок и

классификация объектов, что обеспечивает высокую производительность. Для адаптации к специфике сельскохозяйственной съемки рекомендуется использование transfer learning - техники дообучения предварительно обученной модели на репрезентативной выборке данных, отражающей разнообразие условий эксплуатации (различное освещение, ракурсы, погодные условия).

3. Этап постобработки и трекинга решает задачу фильтрации ложных срабатываний и обеспечения устойчивости детекции во времени [4]. Применяются правила, основанные на знании предметной области: если площадь обнаруженного объекта меньше установленного порога (например, 1-5% от площади кадра), такой объект классифицируется как помеха и игнорируется. Для устранения временных флуктуаций детекции используется алгоритм трекинга SORT (Simple Online and Realtime Tracking), который обеспечивает сопоставление объектов между последовательными кадрами и сглаживание траекторий движения. Это позволяет не только повысить визуальную стабильность, но и решить проблему кратковременных пропаданий объектов при их взаимном перекрытии.

Разработанная методика была реализована в виде программного комплекса, общая логика работы которого представлена на блок-схеме (Рис. 1). Алгоритм начинается с инициализации и проверки подключения к базе данных PostgreSQL, что является критически важным для последующего сохранения структурированных результатов. После загрузки пользователем входных данных (изображений или видеофайлов) система выполняет проверку формата файла для обеспечения корректности обработки.

Основной этап работы системы – «Настройка фильтров» – напрямую соответствует предложенному многоэтапному конвейеру. На этом этапе пользователь может выбрать тип алгоритма обработки (этап предобработки), задать характеристики модели детекции (этап детекции на основе YOLOv8) и настроить параметры постобработки, такие как пороговые значения для фильтрации шумов («Выбор фильтров»).

Как видно из блок-схемы (Рисунок 1), система поддерживает циклический режим работы — после сохранения результатов пользователь может продолжить обработку новых данных без перезапуска приложения. Эта особенность, в сочетании с возможностью пакетной обработки файлов, делает систему удобным инструментом для работы с большими объемами видеоданных, что особенно важно в условиях современной животноводческой фермы.

В рамках данной работы была разработана комплексная методика обработки видеопотока для систем мониторинга крупного рогатого скота. Предложенный многоэтапный подход, включающий предобработку, детекцию на основе CNN и интеллектуальную постобработку, позволяет эффективно решать проблемы, связанные с неконтролируемыми условиями сельскохозяйственной съемки.

Ключевыми преимуществами методики являются целенаправленная борьба с изменчивым освещением, фильтрация визуальных помех и повышение стабильности работы алгоритма детекции. Разработанная архитектура системы предусматривает возможность пакетной обработки видеофайлов и экспорта результатов в базу данных, что обеспечивает удобство практического использования.

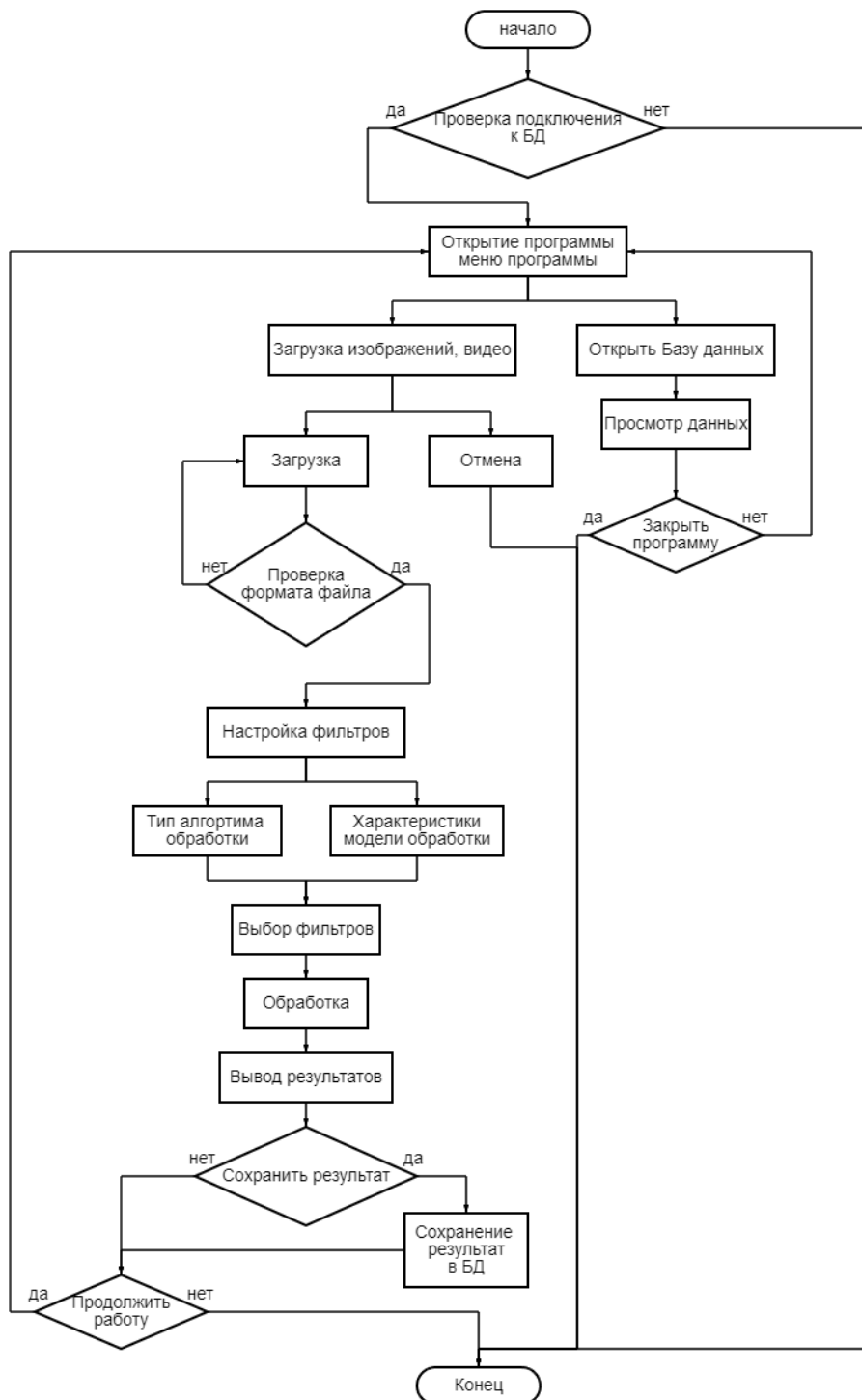


Рис. 40. Блок-схема алгоритма работы системы обработки видеопотока

Практическая значимость работы заключается в создании надежного фундамента для построения полноценных систем автоматизированного контроля здоровья и благополучия животных. Перспективы дальнейших исследований видятся в разработке более сложных алгоритмов для трекинга нескольких взаимодействующих животных, а также в создании классификатора, способного детектировать более широкий спектр поведенческих актов, таких как прием воды, кашель или аномальная активность. Дальнейшее развитие методики может быть связано с интеграцией мультиспектральной съемки и использованием методов мультимодального анализа.

Библиографический список

1. Ли, В. Применение компьютерного зрения в мониторинге сельскохозяйственных животных / В. Ли, Чжан Х., Смит П. // *Computers and Electronics in Agriculture*. – 2022. – Т. 194. – С. 106-123.
2. Басаргин, А. А. Методы искусственного интеллекта: учебное пособие / А. А. Басаргин. – Новосибирск: СГУГиТ, 2022. – 164 с.
3. Yolo модели: архитектура, обучение и применение — сайт [Электронный ресурс], режим доступа – свободный, URL: <https://serverflow.ru/blog/stati/yolo-modeli-obzor-yolov5-yolov8-yolov11-i-yolov12-arkhitektura-obuchenie-i-primeneniye/?ysclid=mhq3z0gckx349688903>, дата обращения – 30.10.2025
4. Иванов, А. В. Алгоритмы трекинга множества объектов в видеоаналитике / А. В. Иванов, С. П. Петров // *Информационные технологии и вычислительные системы*. – 2023. – № 2. – С. 45-58.
5. Гонсалес, Р. Цифровая обработка изображений / Р. Гонсалес, Р. Вудс; пер. с англ. – М.: Техносфера, 2021. – 1168 с.

© Гафаров М.Р., 2025

А.П. ГОРЧАКОВА

nastyu.gorch@mail.ru

Науч. руковод. – канд. техн. наук, доц. А.Х. АБДУЛЛИН

Уфимский университет науки и технологий

РАЗРАБОТКА БАЗЫ ДАННЫХ ДЛЯ ВНУТРЕННЕГО ПОЗИЦИОНИРОВАНИЯ НА СКЛАДЕ С ИСПОЛЬЗОВАНИЕМ BLUETOOTH 6.0

Аннотация: в статье рассматривается процесс проектирования и развёртывания пространственной базы данных для системы внутреннего позиционирования на складе предприятия сегмента HoReCa ООО «Белое Море». База данных реализована в среде PostgreSQL с расширением PostGIS и предназначена для хранения координатных данных, идентификаторов Bluetooth 6.0-меток и информации о размещении товаров. Представлены концептуальная, логическая и физическая модели системы, а также процесс внедрения в контейнерной среде Docker. Полученные результаты могут быть использованы при создании цифровых систем мониторинга и учёта складских процессов.

Ключевые слова: Bluetooth 6.0; внутреннее позиционирование; склад; PostGIS; Docker; HoReCa; пространственная база данных.

В современном бизнесе эффективная организация складских процессов играет ключевую роль в обеспечении бесперебойных поставок и удовлетворении потребностей клиентов. Для предприятий сегмента HoReCa (гостиницы, рестораны, кафе) особое значение имеет скорость и точность обработки заказов, а также рациональное использование складских площадей.

Компания ООО «Белое Море», основанная в 2012 году и осуществляющая оптовые поставки продуктов питания по Республике Башкортостан, обслуживает более 900 торговых точек. Основными клиентами предприятия являются заведения общественного питания, отели и кейтеринговые компании. Однако в процессе анализа деятельности склада предприятия были выявлены проблемы, влияющие на эффективность логистики: низкий уровень автоматизации, сложности в инвентаризации, отсутствие адресного хранения и ограниченные возможности по отслеживанию местоположения товаров [1].

Для решения данных проблем предлагается внедрение системы внутреннего позиционирования склада с использованием технологии Bluetooth 6.0, обеспечивающей определение местоположения товаров в реальном времени с высокой точностью. Основой программного решения является пространственная база данных, реализованная на платформе PostgreSQL с расширением PostGIS.

Разработка базы данных направлена на хранение и обработку пространственных объектов, а также идентификаторов Bluetooth-меток, закреплённых за товарами. Такой подход позволит повысить прозрачность складских процессов, сократить время поиска продукции и минимизировать ошибки при инвентаризации.

Целью настоящей работы является проектирование и развёртывание базы данных для системы внутреннего позиционирования на складе ООО «Белое Море». В рамках исследования разработана концептуальная, логическая и физическая модели базы данных, а также рассмотрен процесс развёртывания системы в контейнере Docker и организация ролей пользователей для обеспечения безопасного доступа к данным.

На концептуальном уровне определяются основные сущности системы и связи между ними.

Склад ООО «Белое Море» представляет собой единое помещение, внутри которого выделены функциональные зоны, различающиеся по температурным режимам и назначению: холодильная зона (150 м²), морозильная зона (70 м²), сухая зона хранения (50 м²), зона погрузки и разгрузки (около 60 м²).

Каждая зона является отдельным пространственным объектом в базе данных (полигоном), в пределах которого располагаются точки хранения – координаты, к которым привязаны товары и Bluetooth 6.0-метки (UID).

Характерной особенностью пространственных данных, используемых в геоинформационных системах, является то, что одни и те же географические объекты могут быть представлены слоями разных типов - точечными, линейными и полигональными [2].

В состав концептуальной модели входят следующие сущности:

1. Warehouse (Склад) – объект, представляющий помещение склада ООО «Белое Море»; содержит адрес, площадь и геометрию в виде полигона, описывающего границы склада.

2. StorageZone (Зона хранения) – структурная часть склада, которая может быть холодильной, морозильной, сухой либо зоной погрузки/разгрузки; каждая зона описывается отдельным полигоном.

3. StoragePoint (Место хранения) – точечный объект внутри зоны, соответствующий ячейке, стеллажу или площадке, где хранится товар.

4. Product (Товар) – объект учёта, характеризующийся наименованием, артикулом (SKU) и связью с местом хранения.

5. BeaconTag (Метка) – устройство Bluetooth 6.0, передающее уникальный UID для отслеживания местоположения товара.

Связи между сущностями имеют иерархическую структуру, что позволяет описывать размещение товаров на разных уровнях детализации. На рис. 1 представлена обобщённая концептуальная схема, визуализирующая предметную область без конкретных атрибутов таблиц. Такое представление отражает логику бизнес-процессов и служит основой для перехода к логическому уровню проектирования.

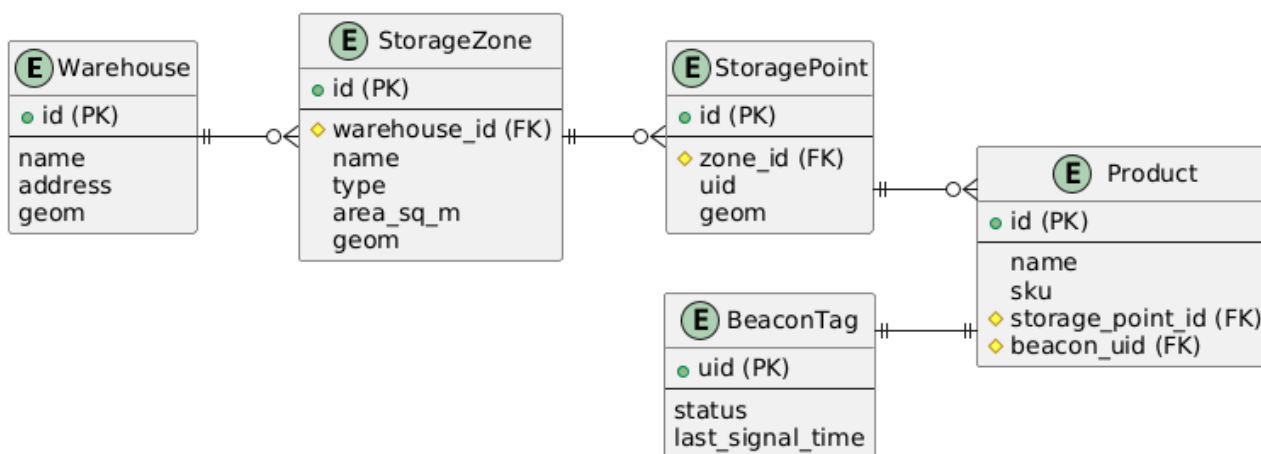


Рис. 1. Концептуальная ER-диаграмма пространственной базы данных внутреннего позиционирования склада

На логическом уровне проектирование направлено на детализацию структуры таблиц, их атрибутов и связей. Данный уровень отвечает за логическую целостность данных и их согласованность между объектами.

База данных реализуется в среде PostgreSQL, где используется расширение PostGIS для хранения геометрических типов данных - GEOMETRY(POLYGON, 4326) и GEOMETRY(POINT, 4326).

Каждая таблица соответствует одной из сущностей концептуальной модели (табл. 1).

Таблица 1

Описание логической структуры таблиц базы данных

| Таблица | Назначение | Основные поля |
|----------------------|---|---|
| warehouse | Описание здания склада | id, name, address, geom |
| storage_zone | Зоны хранения (морозильная, холодильная, сухая, погрузка-разгрузка) | id, warehouse_id, name, type, area_sq_m, geom |
| storage_point | Места хранения товаров | id, zone_id, uid, geom |
| product | Сведения о товарах и их размещении | id, name, sku, storage_point_id, beacon_uid |
| beacon_tag | Bluetooth-метки | uid, status, last signal time |

Между таблицами заданы внешние ключи, обеспечивающие согласованность данных.

Использование геометрических полей позволяет хранить координаты складских зон и точек в единой системе координат WGS-84.

На рис. 2 показана логическая структура с детализацией атрибутов, первичных и внешних ключей.

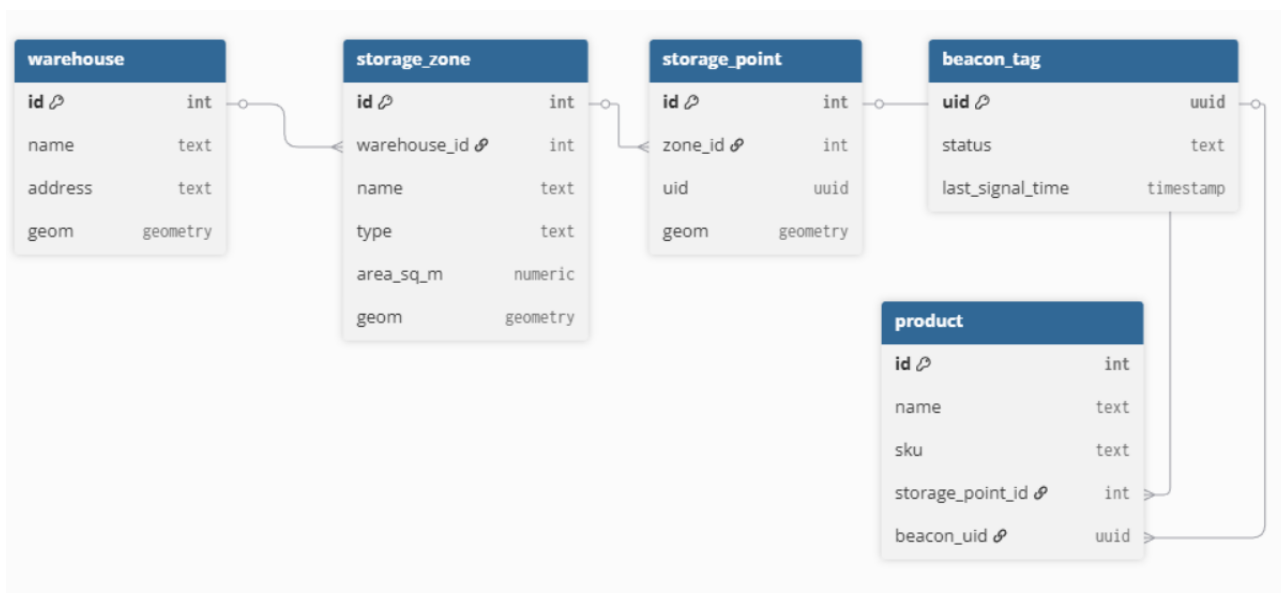


Рис. 2. Логическая ERD-диаграмма базы данных, созданная в dbdiagram.io

На физическом уровне база данных реализована с использованием контейнерной технологии Docker, что обеспечивает простоту развёртывания, совместимость на разных системах и независимость от локальных настроек.

Для хранения пространственных данных используется официальный образ `postgis/postgis`, в который уже включено расширение PostGIS, необходимое для работы с геометрическими объектами (полигонами зон и точками хранения товаров).

Развёртывание базы данных выполняется на основе конфигурационного файла `docker-compose.yml`, который описывает параметры контейнера и автоматически создаёт окружение PostgreSQL + PostGIS.

Для проверки пространственной структуры данных база подключается к QGIS через менеджер баз данных. На основании подготовленной структуры базы данных и подключённых слоёв PostGIS выполнена визуализация реального склада ООО «Белое Море» в QGIS. На рис. 3 представлены полигоны зон хранения и точки мест хранения товаров, наложенные на спутниковый снимок территории. Такая визуализация позволяет убедиться в корректности геометрий, их взаимном расположении и корректной работе пространственных таблиц базы данных.

Таким образом, физическая реализация базы данных в Docker + PostGIS обеспечивает надёжную инфраструктуру для хранения и анализа пространственной информации, а также может служить основой для будущего мобильного приложения Bluetooth 6.0-позиционирования.

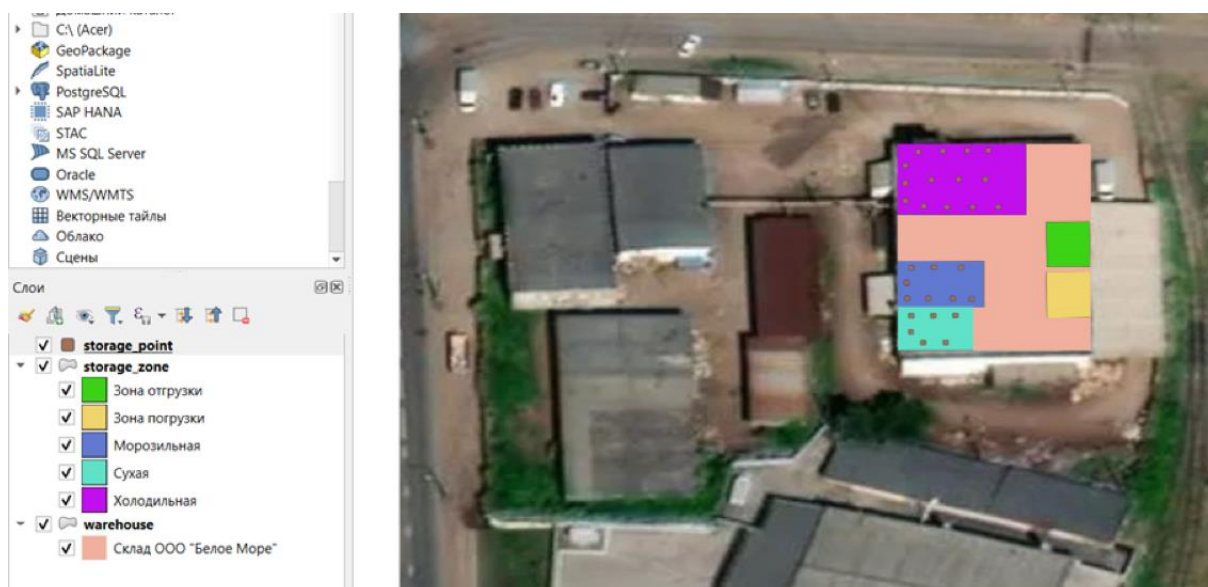


Рис. 3. Отображение зон хранения и мест хранения товаров в QGIS на фоне спутникового изображения территории склада

В ходе работы была разработана пространственная база данных для системы внутреннего позиционирования склада ООО «Белое Море». Создана концептуальная модель, отражающая зонирование склада, логическая модель таблиц для хранения пространственных объектов и физических меток, а также реализовано физическое развёртывание в контейнере Docker. Применение технологии PostGIS позволило обеспечить хранение координатных данных в едином формате и выполнять пространственные запросы.

Разработанная база данных является основой для построения цифровой системы мониторинга, способной повысить прозрачность складских процессов, сократить время поиска товаров и улучшить управление логистикой. В дальнейшем планируется интеграция базы данных с мобильным приложением для визуализации местоположения товаров в реальном времени.

Библиографический список

1. Горчакова А.П. Разработка проекта модернизации склада временного хранения ООО «Белое Море» / Горчакова А.П. [Электронный ресурс] // Electronic Library of the Ufa University «Ufa University of Science and Technology» : [сайт]. – URL: https://e-library.ufarb.ru/dl/VKR/2024/Gorchakova_AP_TTG-406b_23.03.01_PGM_06.2024.pdf/en/info (дата обращения: 05.11.2025).

2. Христодуло О.И. Совместное описание пространственных и атрибутивных данных на основе многомерных информационных объектов / Христодуло О.И. // Программные продукты и системы. — 2011. — № 3. — С. 11.

© Горчакова А.П., 2025

С.В. ЕРЕМЕНКО

e.stasik2004@mail.ru

Науч. руковод. – канд. техн. наук, доц. Е.И. ФИЛОСОВА

Уфимский университет науки и технологий

РАЗРАБОТКА ПРОЕКТА ДЛЯ ОТСЛЕЖИВАНИЯ ЗАБОЛЕВАНИЙ ЖИВОТНЫХ С ПОМОЩЬЮ ТЕХНОЛОГИЙ КОМПЬЮТЕРНОГО ЗРЕНИЯ

Аннотация: в статье рассмотрены ключевые этапы управления проектом, направленным на разработку системы анализа видеоданных для раннего выявления заболеваний у животных. Подробно описаны методы выполнения задач, возможные риски и способы их минимизации. Особое внимание уделено планированию сроков и ресурсов для эффективной реализации проекта, отвечающей строгим ветеринарным требованиям.

Ключевые слова: управление проектами, компьютерное зрение, здоровье животных, ранняя диагностика, обработка видео, ветеринария, риски, тестирование.

Когда только начинаешь такой проект, первое, с чем сталкиваешься – необходимость понять, что именно нужно ветеринарам и зоотехникам. Цель первого этапа – не просто составить техническое задание, а разобраться в реальных потребностях тех, кто будет работать с системой.

Для определения требований необходимо провести следующие мероприятия:

Проведение интервью с ветеринарами и зоотехниками для выявления ключевых симптомов.

– Анализ медицинских карт животных для идентификации поведенческих маркеров, предшествующих заболеванию.

Формулировка требований к видео: высокая детализация (разрешение 4К для мелких видов), частота кадров, условия съемки (дневной/ночной режим).

В то же время нужно учитывать потенциальные риски:

Субъективность в описании симптомов («вялое поведение» без количественных метрик).

Недостаточная оснащенность камерами высокого разрешения фермами, зоопарки так далее.

Для минимизации рисков применяется SMART-метод постановки целей, который обеспечивает четкость и измеримость планируемых результатов [1]:

Конкретность (S): Автоматическое обнаружение хромоты у копытных с точностью 90%.

Измеримость (M): Метрики – точность классификации аномального поведения, количество ложных срабатываний в день.

Достижимость (A): Использование существующих камер с поэтапной модернизацией.

Релевантность (R): Сокращение времени между появлением симптомов и началом лечения на 50%.

Ограниченность во времени (T): Создание рабочего прототипа для вольера с приматами за 4 месяца.

Составим мнемосхему нашего процесса (рис.1) для отображения его логики.

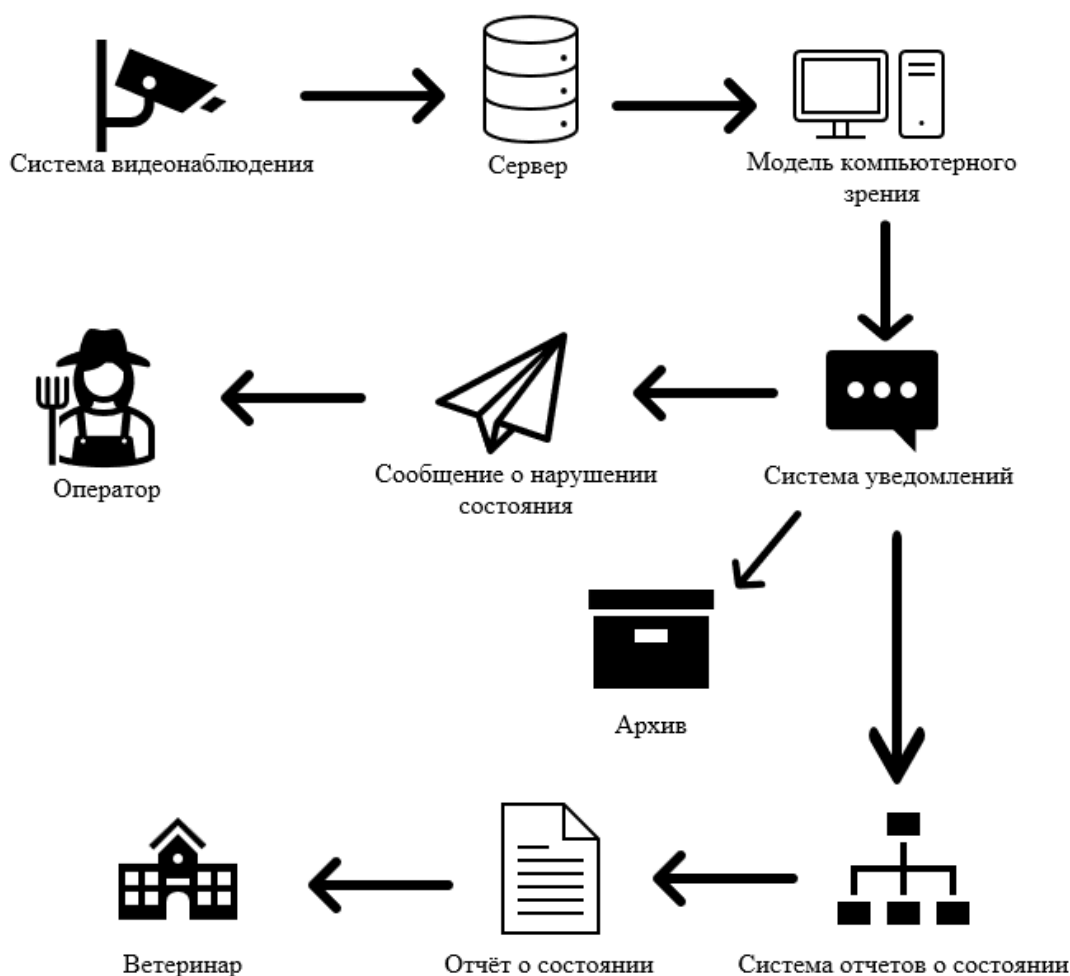


Рис. 1. Мнемосхема процесса

Первым этапом в нашем проекте идет сбор и подготовка данных. Качество данных сильно влияет на эффективность системы. Чем чище и обширнее данные, тем лучше обучится наша модель. Фазы его выполнения:

Запись видео с акцентом на фиксацию эпизодов болезни (по согласованию с ветеринарами).

Разметка данных: выделение ключевых точек скелета (pose estimation) для анализа механики движения, классификация видов поведения (норма/отклонение).

Очистка данных от эпизодов с плохой видимостью или скрытыми животными [2].

При этом, вероятно, могут возникнуть такие проблемы как:

Нехватка данных по редким заболеваниям;

Смещение данных (датасет содержит видео только в определенных погодных условиях).

Решение данных проблем предусматривает:

Расширенную аугментацию: изменение освещенности, добавление искусственных помех (дождь, снег), обрезка кадров;

Активное привлечение ветеринаров для разметки «сложных» случаев и валидации меток;

Создание синтетических данных в 3D-средах для моделирования специфических симптомов (например, судорог).

Следующим этапом начинается непосредственное написание кода и обучение модели на ранее собранных данных. Создание модели для детекции и трекинга животных в реальном времени требует тщательного выбора архитектуры и методов оптимизации. Фазы его выполнения:

Выбор архитектуры: YOLOv8 для детекции и DeepSORT для трекинга;

Оптимизация под низкое энергопотребление.

На этом этапе мы также предусматриваем риски и возможные проблемы, которые, вероятно, возникнут:

Высокая нагрузка на сервер при обработке 20+ камер;

Путаница между похожими видами (например, волки и собаки).

Данные проблемы возможно решить путем использования квантования модели (перевод в INT8) и добавлением второго классификатора для уточнения видов.

При обучении нужны метрики производительности нашей модели для оценки нашей модели [3]. Ключевые метрики:

MOTA (Multi-Object Tracking Accuracy): >80%;

FPS: ≥ 15 кадров/сек на одной камере.

Следующим этапом следует интеграция разработанной системы с существующей инфраструктурой, которая требует создания совместимых интерфейсов и протоколов обмена данными. Фазы его выполнения:

Разработка API для передачи структурированных данных о подозрениях на заболевание (вид животного, время, тип аномалии, видеофрагмент);

Настройка системы оповещений (email, push-уведомления) для ветеринарной службы;

Создание дашборда для визуализации истории «тревог» по каждому животному.

Риски при интеграции системы:

Несовместимость форматов данных между новой системой и legacy-системой;

«Усталость от оповещений» при большом количестве ложных срабатываний.

Предусмотренные решения проблем:
Разработка промежуточного ПО для трансляции данных;
Внедрение системы приоритизации тревог и «периода затишья» для повторяющихся ложных сигналов.

Следующим этапом выделяется тестирование. Комплексное тестирование системы проводится для верификации ее стабильности и точности в условиях, приближенных к реальным. Фазы его выполнения:

- Модульное тестирование: проверка детектора на «идеальных» данных;
- Интеграционное тестирование: запуск на 1-2 камерах фермы;
- Нагрузочное тестирование: оценка работы при 20+ камерах;
- А/В-тестирование: сравнение с ручным подсчетом животных.

Управление проектом по созданию системы отслеживания заболеваний животных требует системного подхода и учета множества факторов. Критически важными аспектами здесь являются:

Глубокое погружение в предметную область и тесное сотрудничество с ветеринарами на этапе постановки целей.

Тщательность и этичность сбора данных, включая эпизоды с реальными заболеваниями.

Использование продвинутых архитектур ИИ, способных анализировать не только статические изображения, но и временные поведенческие последовательности.

Бесперебойность обратной связи с конечными пользователями (ветеринарами) для настройки системы оповещений и минимизации ложных тревог.

Доказательство эффективности через сравнительное пилотное тестирование, которое покажет реальную медицинскую и экономическую ценность системы.

Но следуя предложенной схеме можно будет избежать множество проблем.

Библиографический список

1. Балашов А. И., Рогова Е. М., Тихонова М. В. Управление проектами. — Люберцы: Юрайт, 2016.

2. Бурганова Т. А. Управление проектами: генезис, структура // Международный журнал гуманитарных и естественных наук. — 2018. № 12-1. — с. 183–187.

3. Себастьян Рашка, Юси Лю. Машинное обучение с PyTorch и Scikit-Learn – 2024. с. 4-122.

© Еременко С.В., 2025

Р.В. ЗАКИРОВА

renata41016@mail.ru

Науч. руковод. – канд. техн. наук, доц. Е.И. ФИЛОСОВА

Уфимский университет науки и технологий

АЛГОРИТМ ОТСЛЕЖИВАНИЯ АКТИВНОСТИ КРУПНОГО РОГАТОГО СКОТА

Аннотация: в данной статье рассматривается важнейший компонент системы «Умный коровник – алгоритм отслеживания активности рогатого крупного скота, который основывается на обработке видеопотока с камер, установленных в коровнике. Алгоритм предназначен для оценки потребления корма и воды, а также для оценки общей двигательной активности коров в течение дня.

Ключевые слова: компьютерное зрение; трекинг объектов, умный коровник.

В современном животноводстве важнейшими задачами являются повышение эффективности производства и забота о здоровье скота. Технология «Умный коровник» направлена на решение этих проблем с помощью автоматизированного мониторинга.

Система «Умный коровник» представляет собой комплекс аппаратных и программных средств, которые нацелены на создание оптимальных условий для содержания животных, а также помогает выявить проблемы со здоровьем на ранних этапах развития болезни. Источником информации в системе являются видеочамеры, установленные в ключевых зонах: над кормовыми столами, поилками и в зонах отдыха.

Исходные данные – это непрерывный видеопоток, который предварительно обрабатывается: кадры извлекаются с определенной частотой, что позволяет снизить вычислительную нагрузку без потери информативности. Далее в работу вступает алгоритм компьютерного зрения, задачей которого является не просто обнаружение коровы на изображении, а ее постоянное отслеживание, классификация выполняемой активности и количественная оценка ключевых метрик.

Архитектура системы трекинга и анализа активности «Умный коровник» базируется на двух модулях:

1. Модуль детекции и сегментации.

Первый шаг – обнаружение животного на кадре. Для этой задачи подходят современные сверточные нейронные сети (CNN), такие как YOLO или Faster R-CNN. Их ключевое преимущество – скорость и точность [1].

– Детекция. Модель YOLO, предварительно обученная на обширном датасете и дообученная на размеченных изображениях коров во все возможных

ракурсах, быстро и точно определяет ограничивающий прямоугольник вокруг каждой коровы в кадре [2].

– Семантическая сегментация. Для более точного анализа, тем более в сценах с частичным перекрытием животных, применяется семантическая сегментация. Эта модель присваивает каждому пикселю изображения метку, относя его к классу «корова», «фон», «корм», «вода» и т.д. Это позволяет точно определить контур тела животного, отделить его от соседей и окружающей обстановки. [3].

Самая большая проблема в трекинге – понять какая именно корова на кадре. Самым надежным способом решения является нанесение визуальных меток. Изначально я придерживалась идеи QR-кодов, однако, в реальной жизни их сложно прочесть – животные чаще всего в грязи или просто закрывают друг друга. Поэтому было принято решение пометить коров цифрами. Так, у каждого объекта появляется уникальный идентификатор, который расположен на крупе и голове. Такой подход сильно упрощает реализацию, система не будет путать корову#1 и корову#6, даже если они очень похожи.

Для дообучения модели будут использоваться изображения с открытых датасетов, интернет-ресурсов. К сожалению, фотографий коров в интернете не так много, либо они малоинформативны – все животные сфотографированы с одного ракурса и в одной позиции, данную проблему можно решить с помощью искусственного интеллекта, а именно сервисов по генерации фото. Такой подход позволит многократно разнообразить датасет для обучения и представить коров со всех ракурсов.

2. Модуль классификации активности.

Далее алгоритм переходит к классификации поведения животного. Проще говоря, этот модуль отвечает на вопрос: «Что делает корова в данный момент времени?».

Основные классы активности:

– Питание (рис. 1): голова коровы находится в зоне кормушки, наблюдаются характерные движения головы (опускание и поднятие);

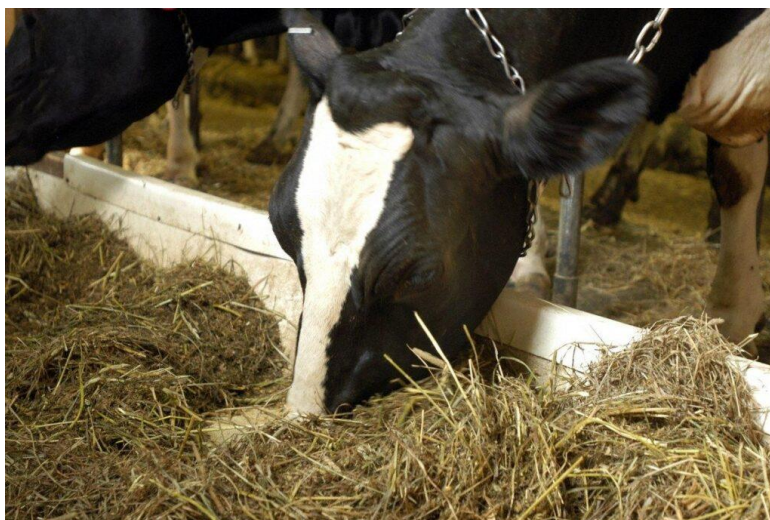


Рис. 1. Питание коровы

- Питье: голова коровы находится в зоне поилки;
- Жвачка: корова стоит или лежит, совершает ритмичные круговые движения челюстью. Может быть классифицирована отдельно для лежачего и стоячего положения;
- Отдых (лежание): большая часть тела коровы контактирует с полом;
- Активность (ходьба): корова перемещается по коровнику;
- Стояние: корова стоит на месте без признаков питания или жвачки.

Для классификации используется несколько подходов. Так, ключевым принятым решением является использование не одного кадра, а их короткая последовательность – например, 10 кадров. Это позволит не просто зафиксировать объект, а распознать движение. Дополнительный контекст система получает после семантической сегментации, это помогает отделить животное от фона, как например в сложном пространстве кормушки, когда морда «закапывается» в корме. Так же, важным источником информации является определение позы животного, это дает нам ключевые точки объекта (голова, уши, холка, круп, копыта). По ним можно определить, например, лежит ли животное.

3. Количественная оценка и выявление аномалий

Финальный этап – это преобразование сырых данных трекинга и классификации в полезные для фермера метрики:

1) Потребление корма и воды:

- Время доступа: суммарное время, в течение которого активность коровы была классифицирована как «Питание» или «Питье»;
- Частота визитов: количество подходов к кормушке/поилке за сутки;
- Интенсивность питания: может быть оценена по движениям головы (например, количество «заходов» головы в кормушку за один визит). При чем, реализовать идею отслеживания питания можно с помощью техники – установка индивидуальных кормушек и весов, однако, это дорогое решение. Поэтому выгоднее обучить модель компьютерного зрения, это менее точные результаты, но зато не требуют дополнительных расходов.

2. Общая активность: алгоритм вычисляет сколько часов в день корова потратила на питание, отдых, жвачку и перемещение.

3. Выявление проблем:

– Отклонение от нормы: на основе научно литературных данных по стаду или по конкретной корове система формирует «профиль нормального поведения»;

– Сигнализация: алгоритм автоматически направляет сообщения о выявлении отклонения в модуль оповещения системы, например:

а) Снижение потребления корма – один из первых признаков множества заболеваний;

б) Повышенная или пониженная активность может указывать на стресс, охоту или начало болезни;

с) Отсутствие жвачки – тревожный признак проблем с пищеварением [5].
 Пример фиксирования показателей за день приведен в таблице 1.

Таблица 1

Пример фиксирования показателей за день

| Показатель | Корова #1 | Корова #2 | Корова #3 | Корова #4 | Норма |
|--------------------------------|-----------|-----------|-----------|-----------|-----------|
| Пройдено расстояние, км | 3.2 | 2.1 | 4.5 | 1.8 | 2.5-4.0 |
| Питание, часов | 5.2 | 4.8 | 3.5 | 8.1 | 4.5-6.0 |
| Отдых, часов | 10.5 | 11.2 | 9.8 | 12.1 | 10.0-12.0 |
| Жвачка, часов | 7.8 | 6.9 | 3.2 | 8.2 | 6.0-8.0 |
| Перемещение, часов | 0.8 | 0.6 | 1.2 | 0.4 | 0.5-1.0 |

На основе данных показателей система выявит отклонения, такие как передание у коровы#4 и отсутствие жвачки у коровы#3.

Разработанный алгоритм трекинга активности является ядром интеллектуальной системы мониторинга в «Умном коровнике». Так, комбинируя методы компьютерного зрения – от детекции и трекинга до классификации поведения – он превращает неструктурированный видеопоток в объективные, количественные данные о состоянии каждого животного. Это позволяет перейти от реактивного подхода (лечение уже заболевших животных) к превентивному, что способствует раннему выявлению отклонений и своевременному принятию мер. Внедрение подобных систем способствует повышению экономической эффективности фермы за счет сохранения продуктивности стада, а также повышению стандартов благополучия животных, это является одним из ключевых трендов современного сельского хозяйства.

Библиографический список

1. Yolo модели: архитектура, обучение и применение - сайт [Электронный ресурс], режим доступа – свободный, URL: YOLO v5/v8/v11/v12 — практический обзор: архитектура, обучение и продакшн-кейсы | Блог Serverflow , дата обращения – 30.10.2025

2. Работа с Yolo8: детекция, сегментация, трекинг объектов - сайт [Электронный ресурс], режим доступа – свободный, URL: YOLO v5/v8/v11/v12 — практический обзор: архитектура, обучение и продакшн-кейсы | Блог Serverflow, дата обращения – 30.10.2025

3. Семантическая сегментация - сайт [Электронный ресурс], режим доступа – свободный, URL: Семантическая сегментация: самый полный гайд 2024 / Хабр, дата обращения – 30.10.2025

4. Основы поведения крупного рогатого скота - сайт [Электронный ресурс], режим доступа – свободный, URL: Основы поведения КРС: понимание и безопасное обращение | Своё Фермерство, дата обращения – 30.10.2025

5. Как распознать первые признаки болезни молочного скота - сайт [Электронный ресурс], режим доступа – свободный, URL: Как понять здорова ли ваша корова – Своё Фермерство, дата обращения – 30.10.2025

© Закирова Р.В., 2025

УДК 004

Р.Р. ИЛЬЯСОВ

rustam.iljasov2015@yandex.ru

Науч. руковод. – к-т техн. наук, доц. С.В. Максимов

Уфимский университет науки и технологий

ИНТЕРАКТИВНЫЙ ИНСТРУМЕНТ РАЗМЕТКИ ПАРКОВОЧНЫХ МЕСТ НА ОСНОВЕ БИБЛИОТЕКИ OPENCV

Аннотация: в статье описывается разработка интерактивного инструмента для ручной разметки парковочных мест на видеокдрах с использованием библиотеки OpenCV. Данный модуль служит вспомогательным элементом для систем компьютерного зрения, предназначенных для мониторинга и анализа занятости парковок. Рассмотрены структура приложения, механизмы взаимодействия с пользователем, методы сохранения данных и особенности визуализации. Проведена оценка удобства использования и применимости разработанного инструмента в задачах подготовки обучающих выборок и тестирования моделей детектирования объектов.

Ключевые слова: OpenCV; разметка изображений; парковочные зоны; компьютерное зрение; автоматизация; видеонаблюдение.

Введение

Для корректной работы систем компьютерного зрения, выполняющих распознавание автомобилей и оценку занятости парковочных мест, необходимы размеченные данные. Формирование таких данных вручную является трудоёмкой задачей, особенно при обработке видеопотоков. Поэтому актуальным направлением является разработка интерактивных инструментов, упрощающих процесс выделения парковочных зон на изображениях или видеокдрах [4,5].

В данной работе представлено приложение, реализующее графический интерфейс для разметки парковочных мест на основе библиотеки OpenCV. Пользователь может в интерактивном режиме создавать, перемещать и удалять прямоугольные области, соответствующие парковочным местам. Результаты сохраняются в текстовый файл, который используется на последующих этапах обработки видеоданных — например, при автоматическом анализе занятости парковки с помощью нейросетевых моделей, таких как YOLO [1].

Используемые инструменты и технологии

Программа разработана на языке Python с использованием библиотеки OpenCV, которая обеспечивает работу с изображениями, видео и обработку событий пользовательского ввода.

Основные компоненты системы:

4. OpenCV (cv2) — реализация интерфейса, обработка событий мыши и отрисовка графических элементов (прямоугольников и надписей).

5. Интерактивная визуализация — возможность добавления, перемещения и удаления разметочных областей в режиме реального времени.

6. Файловый ввод/вывод — сохранение координат выделенных зон в текстовый файл (_markout.txt) для последующего использования другими модулями анализа.

Приложение поддерживает работу с видеофайлами, позволяя пользователю выбрать исходный ролик, автоматически извлечь первый кадр и выполнить разметку на нём.

Архитектура и алгоритм работы программы

Разработанная программа состоит из нескольких ключевых модулей:

5. Модуль загрузки видео. Пользователь вводит путь к видеофайлу, после чего OpenCV извлекает первый кадр, который используется в качестве основы для разметки.

6. Модуль отрисовки и взаимодействия. Реализована обработка событий мыши: левая кнопка – создание и перемещение прямоугольников (парковочных мест), правая кнопка – удаление последнего созданного прямоугольника, клавиши q и d – выход из программы и удаление выбранной области соответственно. Каждый прямоугольник сопровождается уникальным идентификатором (номер парковочного места), отображаемым над областью. Цветовая схема обеспечивает визуальное различие между активным и неактивными участками.

7. Модуль визуализации. Отрисовка выполняется в режиме реального времени, что позволяет пользователю сразу видеть внесённые изменения. Для отображения используется окно с заголовком Mark out parkingq, где отображаются выделенные парковочные зоны.

8. Модуль сохранения данных. После завершения разметки координаты всех созданных прямоугольников автоматически записываются в файл с расширением _markout.txt, где каждая строка содержит координаты в формате (x1, y1, x2, y2).

Оценка результатов работы

После запуска пользователь вводит путь к видеофайлу (например, parking_lot.mp4). На экране отображается первый кадр видео, на котором можно с помощью мыши создавать прямоугольные области. После разметки всех мест и выхода из программы координаты сохраняются в текстовый файл, который можно использовать при последующем анализе видеопотока.

На рис. 1 представлен результат разметки парковочных мест.



Рис. 1. Результат разметки парковочных мест

Такой подход упрощает создание обучающих данных для систем детектирования объектов, позволяя быстро и точно разметить парковочные зоны без необходимости использования сторонних инструментов [2,3].

Проведённое тестирование показало, что предложенный инструмент обеспечивает высокую стабильность и удобство взаимодействия. Пользователь может разметить от 20 до 50 парковочных мест на одном кадре за 2–3 минуты.

Данный инструмент может использоваться не только в системах мониторинга парковок, но и для разметки любых объектов на изображениях при подготовке обучающих выборок для нейросетевых моделей.

Заключение

Разработанный интерактивный инструмент разметки парковочных мест на основе библиотеки OpenCV является эффективным решением для подготовки данных, необходимых в системах компьютерного зрения. Реализация позволяет пользователю создавать, редактировать и сохранять области интереса на кадре видео в удобном формате.

Применение данного подхода ускоряет процесс разметки и обеспечивает совместимость с последующими модулями автоматического анализа, использующими нейросетевые алгоритмы, включая YOLOv8.

Библиографический список

6. Редмон, Дж., Диввала, С., Гиршик, Р., Фархади, А. (2016). «YOLO: Единое, реал-таймовое обнаружение объектов». *Труды IEEE Конференции по компьютерному зрению и распознаванию образов (CVPR)*, 779-788.

7. Лю, В., Ангелов, Д., Эрхан, Д., Сегеди, Ч., Рид, С., Фу, Ч.-Й., Берг, А. С. (2016). «SSD: Детектор с одиночным проходом для обнаружения объектов». *Труды Европейской конференции по компьютерному зрению (ECCV)*, 21-37.

8. Рен, С., Хе, К., Гиршик, Р., Сун, Дж. (2015). «Faster R-CNN: К реальному времени обнаружения объектов с использованием сетей предложений областей». Конференция по обработке нейронной информации (NeurIPS), 91-99.

9. Лазарев, П.А., Сидорова, Е.Л. (2020). «Применение нейронных сетей для мониторинга парковочных мест в реальном времени». Научно-технический вестник информационных технологий, механики и оптики, 20(5), 724-730.

10. Михайлов, В.И., Козлова, Т.Ю. (2019). «Интеллектуальные парковочные системы на основе технологии IoT и компьютерного зрения». Современные информационные технологии и IT-образование, 15(1), 85-92

© Ильясов Р.Р., 2025

И.А. ИШМУРАТОВ

iskandar.ishmuratov@mail.ru

Науч. руковод. – канд. техн. наук, доцент Е.И. ФИЛОСОВА

Уфимский университет науки и технологий

СИСТЕМА ВИДЕОМОНТОРИНГА АКТИВНОСТИ ПЧЁЛ С ИСПОЛЬЗОВАНИЕМ МЕТОДОВ КОМПЬЮТЕРНОГО ЗРЕНИЯ

Аннотация: в статье рассматривается проект системы видеомониторинга активности пчёл. Для этого используются методы компьютерного зрения. Цель исследования — разработать систему, в которой автоматически фиксируется активность пчёл, изменения в их поведении и активности для определения возможного начала роения. В системе применяются алгоритмы обнаружения и слежения объектов. Она предназначена для работы в условиях обычной пасеки.
Ключевые слова: пчёлы, компьютерное зрение, YOLO, DeepSORT, трекинг, мониторинг, роение.

Пчеловодство — отрасль, где по-прежнему применяют ручной метод наблюдения. Главной проблемой является своевременное обнаружение роения. Роение — естественный процесс, при котором некоторая часть колонны пчёл покидает улей. Несвоевременное обнаружение приведёт к потере семейства, в следствии, уменьшается медосбор.

Сегодня пчеловоды используют датчики весов или микрофоны для отслеживания состояния улья, но видеонаблюдение открывает дополнительные возможности. Камера, установленная у летка улья, позволяет наблюдать за изменениями активности пчёл и анализировать их поведение. С помощью компьютерного зрения можно автоматизировать процесс наблюдения и получать уведомления при отклонениях от нормы.

Цель данной работы – разработка архитектуры системы, которая может записывать, анализировать активность пчёл и автоматически обнаруживать признаки роения.

Рассмотрим структуру системы. Система включает несколько модулей:

- Камера наблюдения – записывает видеопоток в области летка;
- Блок обработки данных – анализирует кадры, выполняет обнаружение и слежение пчёл;
- База данных – хранит временные ряды активности;
- Интерфейс визуализации – отображает графики и отправляет уведомления пользователю.

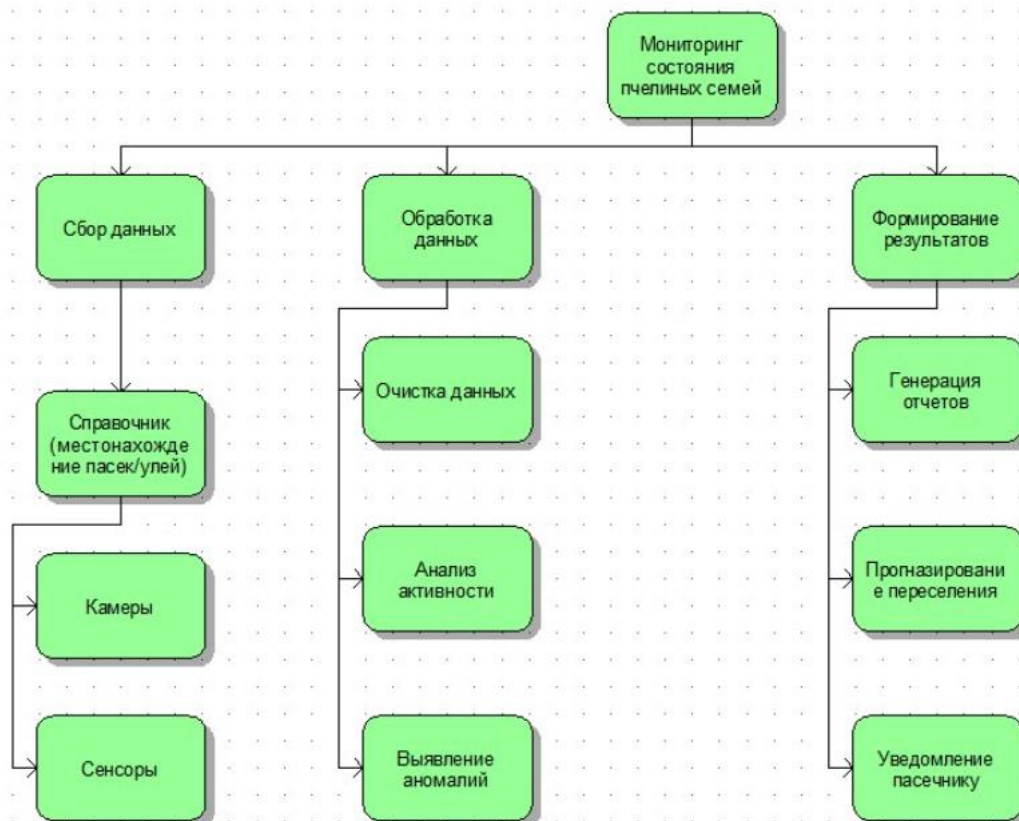


Рис. 17. Функциональная модель системы видеомониторинга активности пчёл

На рисунке представлена функциональная модель системы мониторинга. Три ключевые этапы: 1) Сбор данных — начальный этап, где в систему попадают сырые данные из различных источников. Из камеры фиксируется активность пчёл, она устанавливается в области летка улья и следит за интенсивностью вылетов и возвращений. Сенсоры фиксируют такие данные, как влажность, температура, вес, шум и т.д. Они косвенно показывают состояние семьи. Справочник нужен для хранения информации о местонахождении пасек, идентификаторах ульев и показателях для каждого хозяйства. Это позволит связать данные с объектом мониторинга. 2) Обработка данных — этап, где собранная информация преобразуется и анализируется для извлечения значимых показателей. Она включает в себя очистку данных, где фильтруется видео от лишних шумов, контрастности, анализ активности, где выполняется обнаружение, отслеживание с помощью алгоритмами компьютерного зрения (YOLO, DeepSORT), выявление аномалий, когда происходит резкий всплеск или резкое снижение активности. 3) Формирование результатов — финальный этап, в котором результаты анализа преобразуются в форматы (генерация отчетов, прогнозирование роения, уведомление пасечнику).

Система может работать в режиме реального времени и использоваться на пасеках с обычными IP- или USB-камерами.

Обнаружение объектов выполняется моделью YOLOv5s, которая хорошо справляется при работе с небольшими движущимися объектами. Для

отслеживания выбран алгоритм DeepSORT, обеспечивающий стабильное слежение за пчёлами [1]. Алгоритм включает следующие этапы (**Ошибка! Источник ссылки не найден.**):

Таблица 1

Этапы алгоритма

| Этап | Основная задача | Используемые технологии/методы | Результат этапа |
|----------------------------|--------------------------------------|--|--|
| 1. Получение кадров | Захват видеоданных | IP/USB-камера, OpenCV | Видеопоток в реальном времени |
| 2. Предобработка | Улучшение качества изображения | Фильтрация, нормализация, адаптивная коррекция освещения | Подготовленное для анализа изображение |
| 3. Обнаружение пчёл | Детектирование объектов на кадре | YOLOv5s, PyTorch | Координаты ограничивающих рамок для каждой пчелы |
| 4. Отслеживание траекторий | Построение треков перемещения | DeepSORT, Kalman filter | Уникальные ID и траектории для каждой пчелы |
| 5. Анализ направления | Классификация типа движения | Анализ векторов движения | Статистика вылетов и возвратов |
| 6. Запись и визуализация | Сохранение и отображение результатов | SQLite/TimescaleDB, Matplotlib | Временные ряды активности, графики |

Для хранения информации об вылетах и возвращениях используется реляционная база данных, например, SQLite или TimescaleDB [2]. Каждое событие сопровождается направлением движения и временем. Периодическая агрегация данных позволяет строить временные графики активности, выявляя аномалии.

Основной программный код реализован на Python. Используются библиотеки:

- OpenCV – для обработки видеопотока;
- PyTorch – для работы с моделью YOLO;
- NumPy и Pandas – для анализа данных;
- Matplotlib – для визуализации графиков активности;
- Telebot – для отправки уведомлений через Telegram.

На данный момент создан прототип системы, который корректно обрабатывает тестовые видеозаписи и определяет движение пчёл у летка. Использовались бесплатные видеозаписи с пасек, доступные на YouTube и Kaggle, а также короткие тестовые видеоролики, снятые в естественных условиях. Наблюдения показывают, что алгоритм при освещенности не менее 200 люкс надёжно обнаруживает пчёл и направление их движения. При ярком

солнечном свете возможны ложные срабатывания из-за теней, которые компенсируются адаптивной фильтрацией света.

Также протестировано построение графика активности за сутки. Если увеличивается количество вылетов более чем в два раза относительно средней дневной нормы, система выдает сообщение о возможности начала роения.

Предлагаемая система проста и легко реализуется. Все компоненты, от камеры до программного обеспечения, могут быть собраны на недорогом оборудовании. Проект возможно расширить с дополнительными датчиками (температуры, влажности и акустического шума) для полного анализа состояния улья. Также есть возможность интеграции с облачными хранилищами и мобильными приложениями.

В результате этой работы была разработана система видеомониторинга активности пчёл, который основан на современных методах компьютерного зрения. Система умеет регистрировать изменения поведения пчёл и выявлять риск роения. Внедрение такой системы позволит пчеловодам получать объективную информацию о состоянии своих улей без необходимости постоянного физического присутствия. Это особенно важно для управления крупными пасеками или изолированными пчеловодческими хозяйствами. Дальнейшее развитие проекта включает обучение модели с использованием собственных данных и её тестирование в реальных условиях эксплуатации в следующем сезоне.

Библиографический список

1. Analyzing Bee Behavior Through Video Tracking Using Computer Vision Techniques (Ian Carlos Rocha Lima et al., 2024 [Электронный ресурс]: <https://seer.ufrgs.br/index.php/rita/article/view/143502> (Дата обращения: 07.11.25)
2. A method for bee activities recognition from videos captured at the beehive entrance (Le Thi Nhung et al., 2024) [Электронный ресурс]: <https://en.jmst.info/index.php/csce/article/view/1343> (Дата обращения: 07.11.25)
3. Куликов С.А., Титов С.А. Методы компьютерного зрения для задач видеонаблюдения. – Вестник ТУСУРа, 2021.
4. Бекетов А.Ю., Иванов П.С. Использование IoT-технологий в пчеловодстве. – Агроинформатика, 2023.
5. Орлов А.В., Киселёв С.А. Анализ поведения насекомых по видеоданным. – Информационные технологии, 2022.

© Ишмуратов И.А., 2025

Д.А. КАЙНИЕВ

D.A. Kayniev

dm.kaynn@gmail.com

Науч. руковод. – доктор техн. наук, проф. О.И. Христовуло

Уфимский университет науки и технологий

АНАЛИЗ И ПРЕДВАРИТЕЛЬНАЯ ОБРАБОТКА ДАТАСЕТОВ ДЛЯ ДЕТЕКЦИИ ЛЕТАЮЩИХ ОБЪЕКТОВ В РЕАЛЬНОМ ВРЕМЕНИ С ИСПОЛЬЗОВАНИЕМ YOLOV8

Аннотация: данная статья документирует комплексный анализ и подготовку двух датасетов для детекции объектов в аэрофотосъемке. Датасет 1 (Generalized, 40 классов) содержит 24 758 аннотаций на 26 256 изображений с коэффициентом дисбаланса 76.95–121.67:1. Датасет 2 (Refined, 3 класса) содержит 7 766 сбалансированных аннотаций с коэффициентом дисбаланса 1.68–2.08:1. Выполнена автоматизированная очистка 2 220 некорректных аннотаций, обеспечивая готовность датасетов к обучению моделей глубокого обучения.

Abstract: This article documents a comprehensive analysis and preparation of two datasets for object detection in aerial imagery. Dataset 1 (Generalized, 40 classes) contains 24,758 annotations across 26,256 images, with an imbalance ratio of 76.95–121.67:1. Dataset 2 (Refined, 3 classes) contains 7,766 balanced annotations with an imbalance ratio of 1.68–2.08:1. An automated cleanup of 2,220 incorrect annotations was performed, ensuring that the datasets are ready for training deep learning models.

Ключевые слова: YOLOv8, детекция объектов, аэрофотосъемка, предварительная обработка данных, дисбаланс классов, глубокое обучение, датасеты, летающие объекты, качество данных, компьютерное зрение.

Keywords: YOLOv8, object detection, aerial photography, data preprocessing, class imbalance, deep learning, datasets, flying objects, data quality, computer vision.

Введение

Детекция объектов в аэрофотосъемке представляет уникальные вызовы при работе с множеством классов летательных аппаратов и различными условиями окружающей среды. Успешное обучение моделей глубокого обучения требует тщательной подготовки датасетов, включая контроль качества и анализ распределения классов. Основные задачи работы: охарактеризовать распределение данных в обоих датасетах; выявить и оценить проблемы качества меток; задокументировать операции предварительной обработки; предоставить рекомендации для обучения моделей.

Материалы и методы

Два датасета были подготовлены для детекции летающих объектов в реальном времени с использованием архитектуры YOLOv8. Датасет 1[1] (Generalized, 40 классов) содержит разнообразные летающие объекты: коммерческие воздушные суда, истребители, вертолёты, дроны и птицы. Датасет 2[2] (Refined, 3 класса) содержит специализированное подмножество с тремя основными категориями: Дрон, Вертолёт и Самолёт. Оба датасета разделены на три подмножества: обучающее (train), валидационное (valid) и тестовое (test). Все метки проверены на полноту и консистентность. Автоматизированная верификация выявила повреждённые аннотации (пустые файлы меток), которые были удалены посредством Python-скриптов очистки данных.

Результаты

На начальном этапе проанализировано 34 744 аннотации, распределённые между датасетами 1 и 2. Процедура очистки выявила и удалила 2 220 повреждённых аннотаций, обеспечив 22,1% снижение объёма в Датасете 2 (плановое исключение образцов птиц) и минимальное 0,04% снижение в Датасете 1. Итоговый чистый датасет содержит 32 524 качественные аннотации, готовые для обучения.

Распределение аннотаций по сплитам и классам для обобщённого датасета 1 приведено в табл. 1, из которой видно, что выборка характеризуется выраженным дисбалансом: небольшое число наиболее массовых классов формирует основную долю аннотаций, тогда как редкие типы летательных аппаратов представлены единичными примерами. Такое распределение увеличивает риск переобучения на доминирующих категориях и приводит к систематическим ошибкам распознавания малочисленных классов, что необходимо учитывать при проектировании схем обучения и выборе метрик качества.

Таблица 1

Датасет 1 – распределение по сплитам и метрики дисбаланса

| Сплит | Всего аннотаций | Файлов изображений | Коэффициент дисбаланса | Мажоритарный класс | Миноритарный класс | Количество классов |
|-------|-----------------|--------------------|------------------------|--------------------|--------------------|--------------------|
| Train | 17 616 | 10 871 | 76.95:1 | Bird (4 540) | XB70 (59) | 40 |
| Valid | 4 559 | 2 849 | 90.43:1 | Drone (1 266) | SR71 (14) | 40 |
| Test | 2 594 | 1 538 | 121.67:1 | Bird (730) | XB70 (6) | 40 |

Сводные характеристики специализированного датасета 2 представлены в табл. 2 и показывают существенно более равномерное распределение между тремя целевыми классами, что делает его удобной основой для построения и оценки специализированных моделей детекции. При этом доля каждого класса остаётся сопоставимой на всех сплитах, что упрощает интерпретацию метрик и снижает чувствительность результатов к разбиению выборки на обучающую,

валидационную и тестовую части. Результаты автоматизированной очистки данных, представленные в табл.3 демонстрируют, что основная часть некорректных аннотаций приходилась на второй датасет, что связано с целенаправленным исключением части объектов и агрессивной фильтрацией пустых либо несогласованных меток. После удаления проблемных записей обеспечена полная согласованность между изображениями и файлами разметки, что критично для стабильного обучения детекторов в реальном времени и воспроизводимости последующих экспериментов.

Таблица 2

Датасет 2 — Распределение классов по сплитам

| Сплит | Всего аннотаций | Файлов изображений | Коэффициент дисбаланса | Мажоритарный класс | Миноритарный класс | Количество классов |
|-------|-----------------|--------------------|------------------------|--------------------|--------------------|--------------------|
| Train | 7 023 | 8 823 | 1.91:1 | Drone (4 351) | AirPlane (2 274) | 3 |
| Valid | 387 | 493 | 1.68:1 | Drone (224) | AirPlane (133) | 3 |
| Test | 356 | 473 | 2.08:1 | Drone (237) | Helicopter (114) | 3 |

Таблица 3

Финальный состав датасета после предварительной обработки

| Датасет | Метрика | До очистки | Удалено | После очистки | Изменение % |
|-----------|-----------------|------------|---------|---------------|-------------|
| Датасет 1 | Всего аннотаций | 24 769 | 11 | 24 758 | -0.04% |
| Датасет 1 | Train аннотаций | 17 616 | 0 | 17 616 | 0% |
| Датасет 1 | Valid аннотаций | 4 559 | 4 | 4 555 | -0.09% |
| Датасет 1 | Test аннотаций | 2 594 | 7 | 2 587 | -0.27% |
| Датасет 2 | Всего аннотаций | 9 975 | 2 209 | 7 766 | -22.1% |
| Датасет 2 | Train аннотаций | 8 999 | 1 976 | 7 023 | -21.96% |
| Датасет 2 | Valid аннотаций | 497 | 110 | 387 | -22.1% |
| Датасет 2 | Test аннотаций | 479 | 123 | 356 | -25.68% |

Анализ и выводы

Выявленный дисбаланс классов в Датасете 1 требует специализированных подходов к обучению: взвешенные функции потерь, Focal Loss с коэффициентом $\gamma = 2$, стратифицированное семплирование батчей и мониторинг метрик, специфичных для каждого класса (F1-score, recall). Сбалансированная природа Датасета 2 позволяет использовать стандартные процедуры обучения с кросс-энтропией без взвешивания.

Рекомендуется двухэтапная иерархическая стратегия обучения: обучение обобщённой модели на Датасете 1 для изучения надёжных признаков и трансфер-обучение и точная настройка на сбалансированном Датасете 2 для достижения специализированной производительности. Этот подход использует

разнообразии первого датасета для установления обучения признаков, затем применяет баланс второго датасета для оптимизации производительности в реальном времени.

Используемые датасеты доступны в Roboflow для исследовательских целей. Процедуры контроля качества и предварительной обработки установлены как воспроизводимый конвейер для обеспечения целостности данных.

Заключение

Работа представляет комплексный анализ двух датасетов детекции летающих объектов, содержащих 32 524 чистые аннотации. Ключевые результаты:

Датасет 1 демонстрирует критический дисбаланс, требующий специализированных техник обучения; Датасет 2 демонстрирует отличный баланс, подходящий для стандартного и трансфер-обучения; автоматизированная очистка успешно удалила 2 220 некорректных аннотаций; датасеты готовы к использованию для обучения моделей. Реализованный конвейер предварительной обработки и протоколы анализа устанавливают прочную основу для разработки надёжных систем детекции летающих объектов.

Библиографический список

1. Flying Object Dataset [Электронный ресурс] // Roboflow Universe. – URL: https://universe.roboflow.com/new-workspace-0k81p/flying_object_dataset/dataset/2 (дата обращения: 08.11.2025).
2. Drone Detection Dataset [Электронный ресурс] // Roboflow Universe. – URL: <https://universe.roboflow.com/ahmedmohsen/drone-detection-new-peksv/dataset/5> (дата обращения: 08.11.2025).
3. Real-Time Flying Object Detection with YOLOv8 [Электронный ресурс] / A. Smith [et al.] // arXiv preprint. – 2022. – URL: <https://arxiv.org/abs/2305.09972> (дата обращения: 08.11.2025).

© Кайниев Д.А., 2025

А.И. ХАМИТОВА, Р.Р. КАНТИМИРОВА
alinahamitova1855@mail.ru, rena.kantimirova@mail.ru
Науч. руковод. – канд. техн. наук, доцент. Н.Н. ЗВЕРЕВА

Уфимский университет науки и технологий

РАЗРАБОТКА КОНЦЕПЦИИ И ПРОТОТИПА ИНТЕРФЕЙСА ВИРТУАЛЬНОГО МУЗЕЯ

Аннотация: статья посвящена проектированию интерфейса приложения виртуального музея. Рассматривается значение цифровых музеев для популяризации культурного наследия и образования. Приведены основные требования к интерфейсу, структура и функциональные возможности прототипа. Описан процесс разработки концепции и визуальных элементов.

Ключевые слова: виртуальный музей; интерфейс; прототип; Unity; интерактивность; проектирование; визуализация; культура; 3D-модели; цифровизация.

Введение

Развитие цифровых технологий кардинально меняет способы знакомства с культурным наследием. В последние годы особое распространение получили виртуальные музеи, позволяющие людям со всего мира изучать экспонаты онлайн. Эти проекты выполняют не только культурно-просветительскую функцию, но и образовательную, интегрируясь в учебные программы, цифровые выставки и онлайн-платформы.

Тем не менее, многие существующие виртуальные музеи ограничиваются демонстрацией изображений и текстовых описаний, что приводит к снижению вовлеченности пользователей из-за отсутствия интерактивности и неудобно интерфейса [2]. В связи с этим, разработка интерфейса, обеспечивающего интуитивное и комфортное взаимодействие с контентом, приобретает первостепенное значение для повышения привлекательности приложений.

Целью данной работы является разработка концепции и прототипа интерфейса приложения виртуального музея, ориентированного на интерактивное изучение экспонатов.

Основные этапы разработки

Этап 1. Изучение потребностей пользователей. На данном этапе были определены типы потенциальных пользователей приложения: школьники, студенты, преподаватели, а также обычные посетители, которых интересует история и искусство. Также для каждой группы пользователей были сформулированы цели использования – например, для студентов важнее изучить свойства экспонатов, а тем временем посетители предпочитают

получать общее представление о коллекциях. На основе этого была разработана диаграмма вариантов использования (Use Case Diagram - Уэйншенк С. 100)

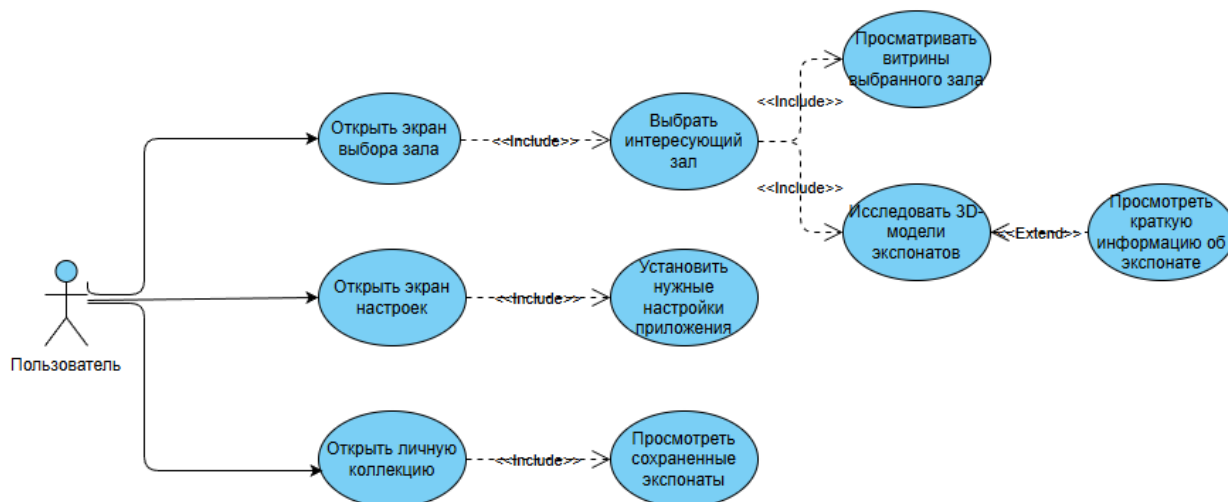


Рис. 41. Диаграмма вариантов использования

Для реализации проекта виртуального музея был выбран технологический стек, ориентированный на создание интерактивного 3D-контента. В качестве основного движка будет использоваться Unity, а для создания 3D-моделей экспонатов и среды – Blender.

Unity был выбран благодаря своей мощи и гибкости в разработке кроссплатформенных приложений. Он позволяет создавать реалистичную 3D-графику, обеспечивает удобную систему для программирования интерактивных элементов (таких как навигация, масштаб и вращение экспонатов) и обладает высокой производительностью.

Blender является идеальным инструментом для создания высококачественных 3D-моделей. Этот выбор обоснован наличием наиболее полезных для нас инструментов для полигонального моделирования, скульптинга и создания UV-развёрток. Программа позволяет создавать качественные, но при этом оптимизированные для приложения модели.

Этап 2. Формирование концепции интерфейса. Главная идея – создать интерфейс, который объединит в себе простоту и функциональность. Виртуальный музей должен передавать атмосферу реального музея, одновременно предоставляя удобный цифровой формат. Для этого было составлено несколько цифровых экранов:

1) Главное меню – стартовый экран, который включает в себя выбор интересующего зала, настройки и коллекцию пользователя.

2) Экран выбора зала – экран, с помощью которого пользователь может выбрать интересующий зал музея и перейти к экспозиции.

3) Экран экспозиции (3D-сцена) – основная локация, отображающая выбранный зал виртуального музея. Здесь пользователь может свободно

перемещаться между экспонатами. Перемещение по виртуальному пространству осуществляется с помощью стандартных WASD-контроллеров и управления мышью для обзора [1]. Интерфейс в зале должен быть минималистичным, без лишних элементов, кроме кнопок перехода к детальному рассмотрению экспоната.

4) Экран экспоната – рабочее пространство с интерактивной 3D-моделью.

5) Моя коллекция – сохраненные пользователем экспонаты.

Этап 3. Разработка визуальной концепции. На этапе визуального проектирования основное внимание уделялось сочетанию минимализма и выразительности. Основная цветовая палитра состоит из нейтральных оттенков серого и тёплого белого, с акцентами золотисто-песочного цвета, что визуально отсылает к музейной атмосфере.

Все элементы интерфейса (кнопки, панели, иконки) выполнены в едином стиле «плоского дизайна» с мягкими тенями. Это помогает избежать визуального перегруза и подчеркнуть основные элементы взаимодействия. Симметричное расположение и выравнивание по сетке обеспечивают структуру и порядок. Панели и кнопки с округленными углами и мягкими тенями (эффект soft UI) создают приятное тактильное ощущение. Основное пространство отводится под контент – изображения и модели занимают не менее 70% экрана, а элементы управления сгруппированы по функциональному признаку снизу или сбоку, чтобы не перекрывать вид экспонатов [3].

Плавные переходы между экранами, с эффектами появления и исчезновения, делают навигацию интуитивной. При наведении курсора элементы слегка подсвечиваются.

Этап 4. Прототипирование и интерактивные элементы интерфейса. На этапе прототипирования использовались такие инструменты как Figma и Adobe Photoshop, что позволяет быстро создавать и тестировать идеи, подбирать оптимальные цветовые сочетания и шрифты, выстраивать композицию экранов в соответствии с принципами UX-дизайна.

После утверждения концепции был создан прототип, имитирующий главные экраны приложения виртуального музея, такие как: главное меню (Рис. 42), экран экспозиции, экран экспоната и коллекция пользователя.

Ключевыми аспектами стали следующие интерактивные элементы:

- Реализован интерфейс взаимодействия с экспонатом, включая инструменты масштабирования и вращения;

- Добавлены описания экспонатов (Рис. 44);

- Добавлена карта выбора интересующего зала (Рис. 43).

Этап 5. Оценка интерфейса и рекомендации. Оценка качества интерфейса проводилась по следующим критериям:

- Эргономичность – оценивалось удобство расположения элементов и отсутствие перегруженности элементами.

- Понятность навигации – анализировалась предсказуемость пользовательских переходов и логическая последовательность действий.

На основе опроса группы из 10 независимых участников интерфейс был признан комфортным и визуально сбалансированным. Наиболее положительно отмечались лёгкость восприятия и атмосфера «неторопливого просмотра музея». В качестве рекомендаций для дальнейшего улучшения предлагается предусмотреть возможность выбора темы оформления приложения (светлая/тёмная).

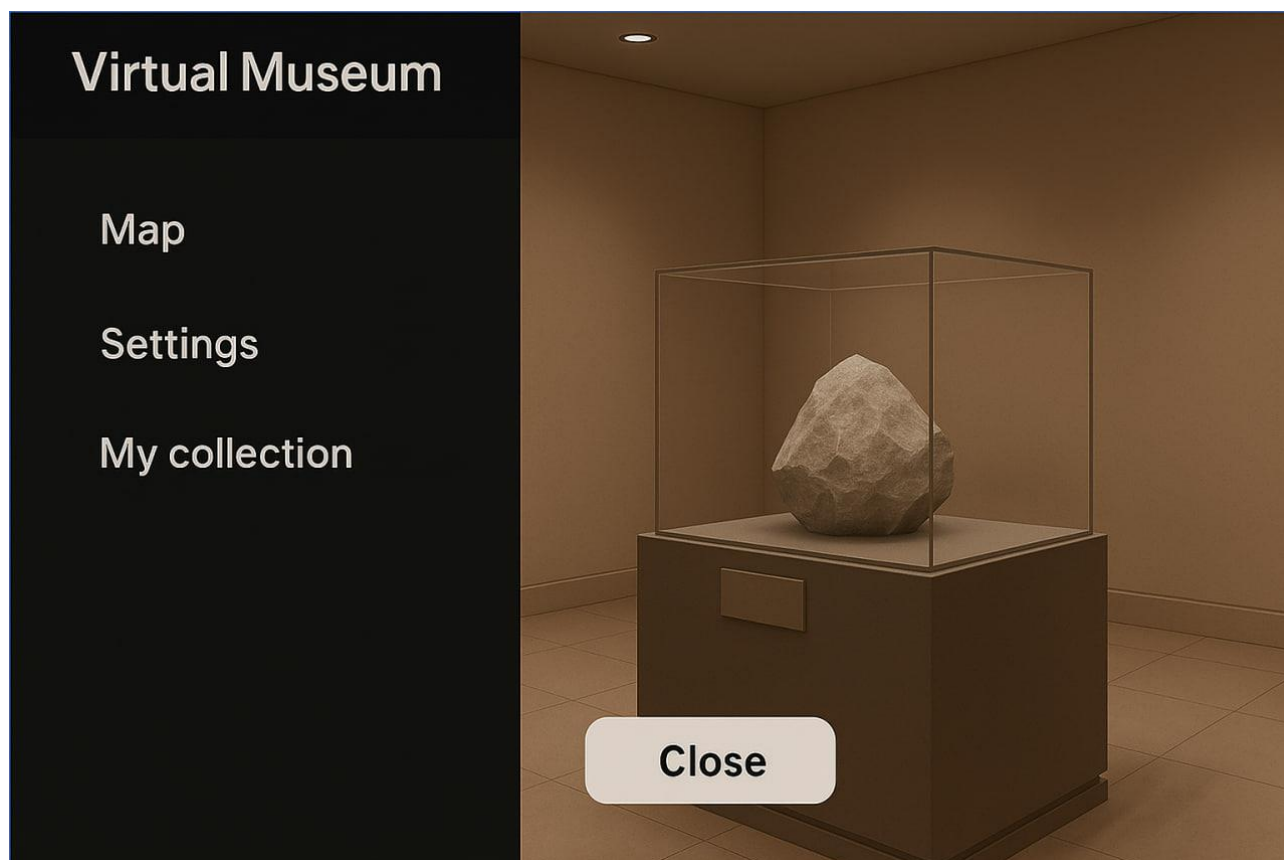


Рис. 42. Разработанный интерфейс главного меню



Рис. 43. Разработанный интерфейс экрана выбора зала

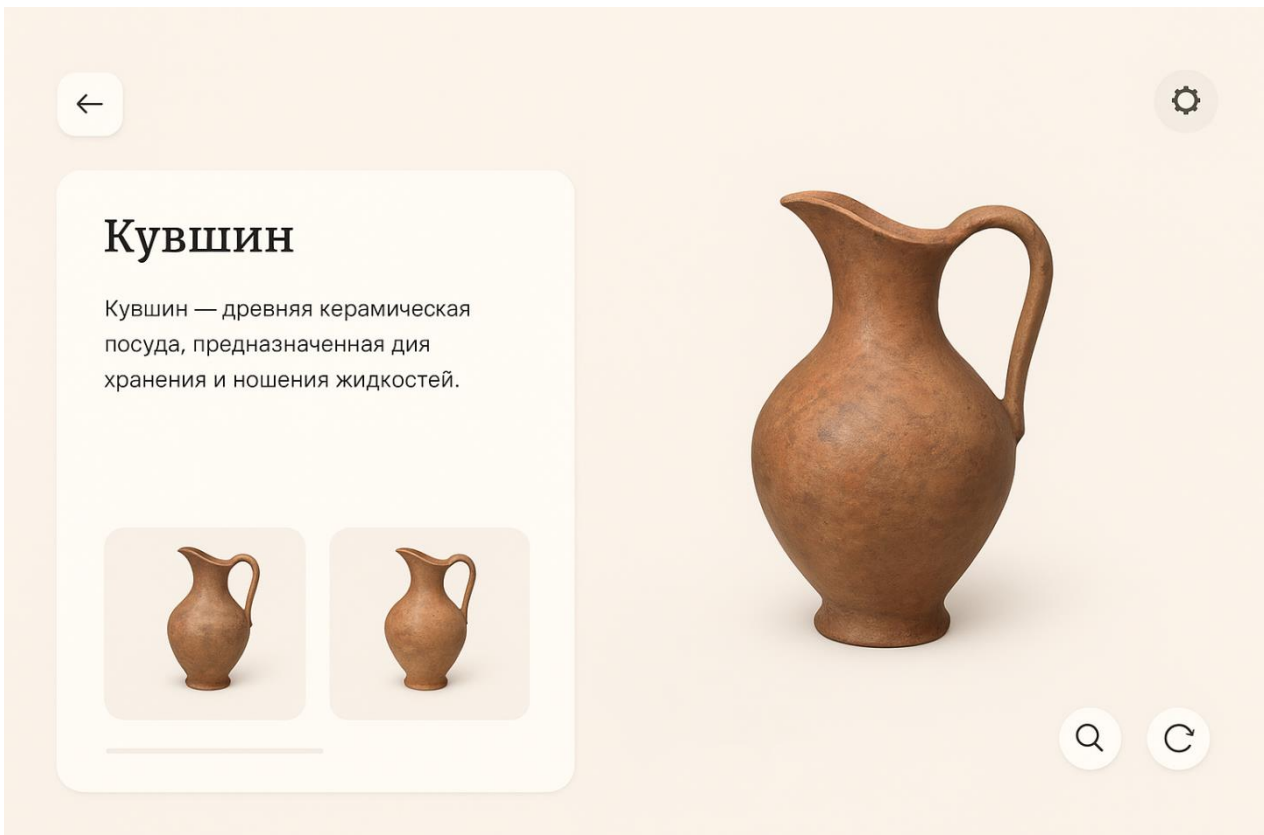


Рис. 44. Разработанный интерфейс экрана экспоната

Заключение

Создание прототипа интерфейса виртуального музея позволяет наглядно показать подход к проектированию современных цифровых технологий и особенно экспозиций. Данный проект гармонично сочетает техническую составляющую с дизайн-мышлением, фокусируясь на удобстве пользователя и доступности цифрового контента.

Разработанная концепция интерфейса может быть расширена до функционального приложения виртуального музея.

Библиографический список

1. Раскин, Д. Интерфейс: Новые направления в проектировании компьютерных систем / Д. Раскин. – М.: Символ-плюс, 2016. – 421 с.
2. Норман, Д. Дизайн привычных вещей / Д. Норман. – М.: Вильямс, 2021. – 384 с.
3. Уэйншенк С. 100 главных принципов дизайна. 2-е издание. Как удержать внимание. – СПб.: Питер, 2021. – 265 с.

© Хамитова А.И., Кантимирова Р.Р., 2025

УДК 304.2

М.А. МАМЫЛОВ

mamyov111@gmail.com

Науч. руковод. – док. техн. наук, проф. О.И. ХРИСТОДУЛО

Уфимский университет науки и технологий

АВТОМАТИЗИРОВАННАЯ ИНВЕНТАРИЗАЦИЯ НА СКЛАДАХ С ИСПОЛЬЗОВАНИЕМ БПЛА

Аннотация: в статье анализируется проблема эффективной инвентаризации крупнейших российских логистических центров (OZON, Wildberries, Yandex Market) и предлагается решение на основе беспилотных летательных аппаратов, оснащённых системами компьютерного зрения. Рассматриваются технические возможности обнаружения QR-кодов и штрих-кодов через модели YOLO и обработку OpenCV.

Ключевые слова: БПЛА, компьютерное зрение, инвентаризация, логистика, автоматизация складов, маркетплейсы, QR-коды, штрих-коды, автономная навигация.

Российский рынок переживает период чрезвычайного роста, требующий масштабной модернизации логистической инфраструктуры. По данным на конец 2024 года, OZON управляет 46 фулфилмент-центрами общей площадью 3,5 млн квадратных метров, Wildberries располагает более чем 4 млн квадратных метров складских площадей и способен обрабатывать до 3,5 млн заказов в день, а Yandex Market расширяет свою сеть логистических центров, увеличивая пропускную способность для обработки ежедневно растущего потока товаров [1]. В совокупности эти маркетплейсы ежедневно обрабатывают свыше 9 млн заказов, что предъявляет критические требования к эффективности и точности процессов инвентаризации. Согласно исследованиям, средняя точность инвентаризации в традиционных складских системах составляет 70-80%, при этом 58% розничных компаний и производителей прямых продаж имеют точность инвентаризации ниже 80% [2]. Это означает, что в складских системах с 1 млн товарных позиций может быть ошибочно учтено 200-300 тыс. единиц, что приводит к значительным финансовым потерям, проблемам с отслеживанием товаров и нарушением цепочек поставок.

Проблема обострилась в августе 2025 года, когда OZON столкнулся с логистическим коллапсом своих фулфилмент-центров. Фуры не разгружались более четырёх суток, свободные слоты для приёма товара отсутствовали на неделю вперёд [1]. Традиционная ручная инвентаризация требует остановки всех операций склада на длительный период. Персонал обходит склад с

бумажными описями, вручную сканируя коды товаров. Данные инвентаризации быстро устаревают, особенно при высокой товарооборотности.

Беспилотные летательные аппараты (БПЛА) позволяют автоматизировать процесс инвентаризации на складах. На сегодняшний день, в контексте складской логистики используются, в основном, многороторные дроны (квадрокоптеры, гексакоптеры) со способностью к вертикальному взлёту и посадке, высокой маневренностью и стабильностью при парении. Благодаря возможности предварительного программирования маршрутов, такие дроны способны автономно сканировать обширные площади складских помещений. Для реализации этого требуется интеграция навигации, компьютерного зрения и автоматизированной инфраструктуры.

На основе этих возможностей разработана система автоматизированной навигации по складам, состоящая из четырёх компонентов: автономный дрон с навигацией SLAM, облачный модуль обработки изображений на основе YOLO и OpenCV, автоматизированные зарядные станции и облачная платформа управления. Дрон взлетает с зарядной станции, получает маршрут сектора, сканирует коды товаров в режиме реального времени на встроенном GPU. При низком заряде автоматически возвращается на станцию, сохраняя прогресс[3]. (см. рис. 1)

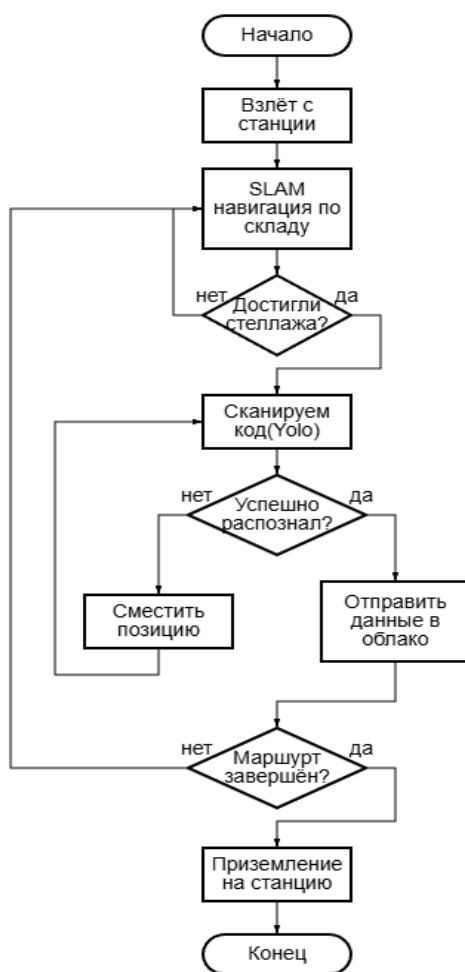


Рис. 1. Блок-схема алгоритма автоматизированной навигации по складу

Ключевая особенность разработанной системы – это способность пилотировать в помещениях без GPS-сигнала, используя встроенную систему визуальной навигации на основе SLAM алгоритмов [4]. SLAM позволяет дрону создать цифровую карту и определять местоположение объектов с точностью до сантиметра. Дроны должны быть оснащены бортовыми компьютерами серии NVIDIA Jetson.

YOLO (You Only Look Once) — семейство моделей обнаружения объектов в реальном времени, обрабатывающих изображение за один проход через нейронную сеть. Согласно тестированию на реальных сценариях, точность обнаружения QR-кодов составляет до 99%, что подтверждается метриками:

1. mAP 99.1% (средняя точность обнаружения всех QR-кодов)
2. Precision 99.3% (доля корректно обнаруженных QR-кодов)
3. Recall 99.1% (доля найденных QR-кодов из всех присутствующих).

А для штрих-кодов точность достигает 99.873% [6]. YOLO v11 способен анализировать видеокادر за 50 мс, используя графический ускоритель (GPU) и позволяет обрабатывать видео с частотой 20-30 кадров в секунду [5].

Используя совместно библиотеки YOLO и OpenCV для предварительной обработки изображений, мы обеспечим устойчивость распознавания QR и штрих-кодов до 80 градусов и увеличивает метрики сегментации и коррекции краёв с 94% до 99% [6].

Практическое применение системы автоматизированной инвентаризации по складу подтверждено в производственных условиях. Компания DSV внедрила данную систему на своих складах: В первых испытаниях точность инвентаризации выросла с 70% до 99%, время полной инвентаризации сократилось с нескольких дней до нескольких часов. Дроны сканируют 100-300 локаций в час, работают в полной темноте и обрабатывают повреждённые коды [3]. На текущий момент компания эксплуатирует 75 дронов и развёрнута у 150+ клиентов. (см. рис. 2)

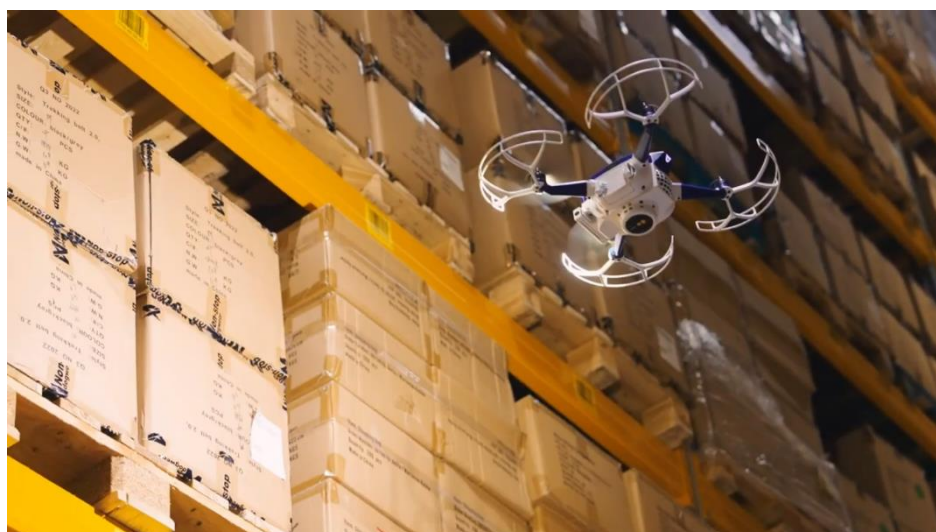


Рис. 2. БПЛА используемый компанией DSV на складах

Для российских маркетплейсов внедрение аналогичных систем означает существенное улучшение точности учета, сокращение затрат и возможность масштабирования. Опыт мировых компаний демонстрирует, что технология готова и работает в промышленных масштабах.

Библиографический список

1. В Ozon логистический коллапс [Электронный ресурс] // CNews: портал о технологиях в России. – Режим доступа: URL: https://www.cnews.ru/news/top/2025-08-20_v_ozon_logisticheskij_kollaps (дата обращения: 01.11.2025)
2. Unleashedsoftware. Inventory Management Statistics & Industry Benchmarks [Электронный ресурс] // Unleashedsoftware: официальный сайт. – Режим доступа: URL: <https://www.unleashedsoftware.com/blog/inventory-management-statistics> (дата обращения: 01.11.2025) [3]
3. Inventory management with DSV drones [Электронный ресурс] // DSV: официальный сайт компании. – Режим доступа: URL: <https://www.dsv.com/en/our-solutions/contract-logistics/warehousing/warehouse-automation/automated-drones> 01.11.2025)[2]
4. Campos C., Elvira R., Rodríguez J.J.G., Montiel J.M.M., Tardós J.D. ORB-SLAM3: An Open-Source Library for Visual, Visual-Inertial and Multi-Map SLAM // IEEE Transactions on Robotics. [Электронный ресурс] – Режим доступа: URL: <https://ieeexplore.ieee.org/document/9440680> (дата обращения: 01.11.2025)
5. Ultralytics YOLOv11: Model Architecture and Technical Specifications [Электронный ресурс] // Ultralytics Documentation. – Режим доступа: URL: <https://docs.ultralytics.com/models/yolov11/> (дата обращения: 01.11.2025)
6. QR Code Detection with Perspective Correction and Decoding in Real-World Conditions. [Электронный ресурс] – Режим доступа: URL: <https://www.scitepress.org/Papers/2025/132872/132872.pdf> (дата обращения: 01.11.2025)

© Мамылов М.А., 2025

И.Р. МАХМУТОВ

i_mahmutov0911@mail.ru

Науч. руковод. – канд. техн. наук, проф. Е.И. ФИЛОСОВА

Уфимский университет науки и технологий

РАЗРАБОТКА МОДЕЛИ ДЛЯ ПРОГНОЗА ЦЕН НА ОСНОВЕ АНАЛИЗА РЫНОЧНЫХ ДАННЫХ

Аннотация: в работе решается задача повышение точности предсказания динамики фондовых индексов посредством интеграции двух компьютерных алгоритмов – адаптивной модели временной последовательности Prophet и метода ансамблевого машинного обучения CatBoost. Результаты показывают, что предложенный подход может быть полезен применению в аналитических системах для поддержки портфельных решений.

Ключевые слова: адаптивное прогнозирование рыночных котировок; машинное обучение; ансамблевые методы; декомпозиция временной последовательности; котировочные индексы.

Финансовые рынки характеризуются высокой нестационарностью, нелинейностью и зависимостью от множества факторов [1]. Задача предсказания ценовых показателей представляет собой одно из центральных направлений финансовой науки и практики управления капиталом. Качественное прогнозирование дает возможность участникам торговых механизмов совершенствовать алгоритмы размещения активов, минимизировать финансовые потери от неблагоприятных колебаний и максимизировать возвраты от вложений.

Классические подходы, основанные на статистическом анализе, такие как модель ARIMA (авторегрессионное интегрированное скользящее среднее) [2], достаточно долгое время служили стандартным инструментом исследователей. Однако их применение ограничивается предположением о линейности взаимосвязей, что недостаточно для отражения реальной сложности биржевых процессов, включающих множество перекрестных влияний и внешних стимулов.

В последние годы прогресс в области искусственного интеллекта привел к появлению совершенно новых технологических решений. Технология градиентного укрепления, реализованная в пакете CatBoost, показывает выдающуюся производительность в задачах восстановления регрессионных зависимостей благодаря адаптивности к разнородным входным переменным и устойчивости к параметрической чрезмерности [3]. Одновременно получили развитие специализированные инструменты анализа временных последовательностей, в том числе модель Prophet, созданная для

автоматического выявления направленных движений, периодических компонент и влияния календарных факторов [4].

Тем не менее, анализ накопленного научного наследия указывает на наличие существенных недостатков у каждого отдельного метода. Модель Prophet, сосредотачиваясь на гладких компонентах, может упустить внезапные переломы в тенденциях. CatBoost же, несмотря на универсальность в обработке табличной информации, лишен явной переподготовки на учет внутривременных корреляций. Таким образом, это обосновывает необходимость разработки комбинированной модели.

Целью данной работы является создание и валидация архитектуры комбинированного прогностического инструмента, объединяющего возможности Prophet и CatBoost для повышения прецизионности предсказаний изменений финансовых индексов.

В качестве эмпирической базы привлечены котировочные данные международного фондового индекса S&P 500, охватывающие временной интервал 2015–2023 годов с дневной дискретностью. Наборы данных содержали следующие параметры:

- уровни открытия и закрытия торговой сессии;
- максимальные и минимальные котировки внутри сессии;
- совокупный объем торговых операций;
- обучающий массив - 2015–2021 годы (калибровка параметров);
- тестирующий массив - 2022–2023 годы (объективная оценка).

Подготовка информации включала идентификацию и интерполяцию недостающих значений, а также стандартизацию метрик для обеспечения корректности вычислений.

С целью обогащения информационной базы были синтезированы новые предикторы:

- временные смещения котировок (шаги 1, 2, 5, 10 периодов);
- экспоненциально-взвешенные скользящие агрегаты (окна 7, 21, 50 дней);
- производные колебательные индексы (Relative Strength Index, Moving Average Convergence Divergence);
- коэффициенты изменчивости котировок.

Исследование охватило сопоставление четырех альтернативных подходов:

1. ARIMA – параметрическая модель авторегрессионного типа, служащая эталонным решением.
2. Prophet – специализированная архитектура для анализа периодических последовательностей.
3. CatBoost – ансамбль решающих деревьев с градиентной оптимизацией.
4. Интегрированная архитектура Prophet–CatBoost - инновационное композитное решение.

Модель работает в два этапа: сначала Prophet строит базовый прогноз, затем CatBoost уточняет его. На первом этапе модель Prophet осуществляет

аналитическое разложение входной последовательности, отделяя детерминированные компоненты (тренд, периодичность) от остаточной части. На втором этапе алгоритм CatBoost, обучаясь на наборе остатков Prophet совместно с техническими индикаторами и котировочными лагами, конструирует поправку, компенсирующую систематические ошибки базовой модели. Финальное предсказание получается как суперпозиция обоих результатов: $Y_{\text{прогноз}} = Y_{\text{Prophet}} + Y_{\text{CatBoost_остаток}}$.

Для объективного сравнения производительности различных методов применены две общепринятые метрики:

- RMSE – корневая среднеквадратичная ошибка (меры абсолютной величины погрешности);
- MAE – средняя абсолютная ошибка (мера типичного отклонения).

Результаты прогностического моделирования на независимой тестовой совокупности представлены в форме сравнительной таблицы (табл. 1).

Таблица 1

Результаты прогностического моделирования

| Методика | RMSE (пункты индекса) | MAE (пункты индекса) |
|--|-----------------------|----------------------|
| ARIMA (статистический базис) | 45.32 | 38.15 |
| Prophet (специализированная адаптивная модель) | 38.76 | 31.44 |
| CatBoost (машинное обучение) | 35.91 | 28.77 |
| Гибридная система Prophet–CatBoost | 29.83 | 23.56 |

Предложенная комбинированная система продемонстрировала наиболее высокие показатели точности. Сокращение интегральной ошибки составило 17% относительно самостоятельного использования CatBoost и 23% относительно Prophet. Это свидетельствует о том, что функциональное разделение между моделированием периодических компонент (Prophet) и апостериорной регрессией на остаточные величины (CatBoost) имеет научное обоснование и порождает синергетический эффект, превосходящий простую сумму компонентов.

Линейная модель ARIMA оказалась неспособной уловить многоуровневую нелинейность реальных котировочных процессов, результатом чего стали наибольшие значения прогностических отклонений.

Адаптивная модель Prophet успешно захватила основные циклические и трендовые компоненты, однако её прогнозные кривые демонстрировали чрезмерную сглаженность, не реагируя оперативно на резкие смещения

рыночных котировок. Остаточная компонента таким образом содержит информацию о неуловленных локальных колебаниях.

Метод машинного обучения CatBoost, благодаря способности оперировать сложными нелинейными соотношениями, показал существенное улучшение. Однако отсутствие встроенных механизмов для явного учета временной структуры привело к некоторым ошибкам при кардинальной смене направления тренда, когда исторические признаки могут дезориентировать алгоритм.

Комбинированная система успешно компенсирует недостатки исходных компонентов. Prophet обеспечивает стабильное, предсказуемое основание прогноза, основанное на долгосрочных закономерностях и периодичности. Одновременно CatBoost «доучивается» на остаточной компоненте, захватывая те аспекты динамики, которые избежали внимания базовой модели – микроструктурные особенности, рыночные шоки, нелинейные эффекты. Такое разделение ролей позволяет итоговой системе быть одновременно и чувствительной к изменениям, и устойчивой к шумовым колебаниям.

Работа решает задачу повышения прецизионности системы предсказания котировочных индексов посредством разработки архитектуры, объединяющей статистическую модель Prophet и машинное обучение в виде CatBoost. Проведённые эксперименты подтверждают гипотезу о том, что специализированное разделение задачи на компоненты – моделирование трендовой и сезонной структуры плюс отдельное прогнозирование непредсказуемых остатков – обеспечивает значимое улучшение прогностической точности. Методика построена на комбинации двух моделей с разными функциями: Prophet отвечает за тренд и сезонность, CatBoost – за коррекцию ошибок: первый алгоритм отвечает за распознавание долгосрочных закономерностей и циклических колебаний, тогда как второй концентрируется на выявлении локальных нелинейных особенностей и компенсирует недостатки базовой модели. Валидация на реальных котировках S&P 500 за период 2015-2023 годов подтвердила превосходство комбинированного подхода: средняя ошибка прогноза снизилась на 23% по сравнению с Prophet и на 17% с CatBoost.

Библиографический список

1. Taylor S. J., Letham B. Forecasting at scale // *The American Statistician*. – 2018. – Vol. 72, № 1. – P. 37–45. – DOI: 10.1080/00031305.2017.1380080
2. Box G. E. P., Jenkins G. M., Reinsel G. C. *Time Series Analysis: Forecasting and Control*. – 5th ed. – Wiley, 2015. – 712 p
3. Prokhorenkova L., Gusev G., Vorobev A., Dorogush A. V., Gulin A. CatBoost: unbiased boosting with categorical features // *Advances in Neural Information Processing Systems*. – 2018. – Vol. 31. – P. 6638–6648

4. Hyndman R. J., Athanasopoulos G. Forecasting: principles and practice. – 3rd ed. – OTexts, 2021. – URL: <https://otexts.com/fpp3/> (дата обращения: 08.11.2025)

© Махмутов И.Р., 2025

Е.В. НАКАРЯКОВ, М.С. ХАЙРУЛЛИН

nakariakov.evgeny@yandex.ru

Науч. руковод. – канд. техн. наук, доц. А.В. СОКОЛОВА

Уфимский университет науки и технологий

РАЗРАБОТКА И РЕАЛИЗАЦИЯ АЛГОРИТМА ОПТИМАЛЬНОГО РАСПРЕДЕЛЕНИЯ ГРУЗОВ В ПРИЛОЖЕНИИ ДЛЯ МОНИТОРИНГА И УПРАВЛЕНИЯ МОРСКИМИ ГРУЗОПЕРЕВОЗКАМИ

Аннотация: в работе представлен алгоритм оптимального распределения грузов по судам и рейсам в системе мониторинга и управления морскими грузоперевозками. Разработана математическая модель задачи с учетом ограничений грузоподъемности и вместимости судов, позволяющая в зависимости от выбранного критерия оптимизировать план загрузки. Алгоритм реализован в виде программного модуля, интегрированного в информационную систему.

Ключевые слова: морские грузоперевозки; информационная система; оптимизация загрузки; распределение грузов; линейное программирование; логистика; веб-приложение; мониторинг.

Введение

Морские грузоперевозки являются сложной логистической сферой, в которой задействованы значительные ресурсы и технологии. Современные информационные системы управления морскими перевозками решают задачи планирования маршрутов, отслеживания судов и оптимизации загрузки флота. Разработка собственного веб-приложения для мониторинга рейсов и грузов актуальна ввиду роста объемов перевозок и необходимости импортонезависимых решений на открытом программном обеспечении. Созданная система обеспечивает сбор и визуализацию данных о судах, маршрутах и грузе в режиме реального времени, расчёт ETA (ожидаемого времени прибытия) и поддержку принятия решений при планировании рейсов [1][2].

Постановка задачи

Одной из ключевых задач управления флотом является оптимальное распределение грузов между запланированными рейсами и доступными судами. Эффективная загрузка судов позволяет снизить стоимость перевозки и время доставки, повышая рентабельность работы компании. Задача распределения грузов носит многокритериальный характер: необходимо учитывать технические ограничения и коммерческие приоритеты. Основные параметры, влияющие на распределение, включают:

- Вместимость судна – ограничена по массе груза (тонны) и по объёму (кубические метры);
- Маршрут (линия) судна – каждое судно приписано к определённому маршруту между портами, принимать можно только грузы соответствующего направления;
- Скорость и длительность рейса – определяют время в пути и дату прибытия груза (ETA), зависят от характеристик судна и расстояния маршрута;
- Приоритет груза – характеризует срочность или ценность отправления (например, экспресс-груз высокой приоритетности должен доставляться быстрее);
- Целевую функцию оптимизации – выбранный критерий эффективности: минимизация времени доставки, максимизация степени загрузки судна или минимизация логистической стоимости [3] [4].

Сформулированную таким образом задачу можно отнести к классу задач дискретной оптимизации распределительного типа. Для её решения применён аппарат линейного программирования с целевой функцией, адаптируемой под требуемый критерий. В общем случае вводятся бинарные переменные x_{ij} , принимающие значение 1, если i -й груз назначен на j -й рейс (судно), и 0 – иначе. При этом $i = 1, \dots, N$ (количество грузов, N – десятки тысяч) и $j = 1, \dots, M$ (количество рейсов, M – десятки) [5]. Ниже представлена модель для случая минимизации суммарного взвешенного времени доставки грузов с учётом приоритетов:

$$\begin{aligned} & \min \sum_{i=1}^N \sum_{j=1}^M a_i T_j x_{ij}, \\ & \text{с.т.} \sum_{j=1}^M x_{ij} = 1, \quad i = 1, \dots, N, \\ & \sum_{i=1}^N w_i x_{ij} \leq W_j, \quad j = 1, \dots, M, \\ & \sum_{i=1}^N v_i x_{ij} \leq V_j, \quad j = 1, \dots, M, \\ & x_{ij} \leq \delta_{ij}, \quad i = 1, \dots, N, j = 1, \dots, M, \\ & x_{ij} \in \{0,1\}. \end{aligned}$$

Здесь T_j – время рейса j (например, в сутках), a_i – весовой коэффициент приоритета i -го груза (чем срочнее груз, тем больше a_i), w_i и v_i – вес и объём i -го груза, W_j и V_j – грузоподъёмность по массе и вместимость по объёму судна на рейсе j . Параметр $\delta_{ij} \in 0,1$ отражает совместимость маршрутов: $\delta_{ij} = 1$, если рейс j проходит через необходимые порты отправления и назначения i -го груза; иначе $\delta_{ij} = 0$ (груз не может быть отправлен этим рейсом). Ограничения гарантируют, что каждый груз закреплён не более чем за одним рейсом, и что ни одно судно не перегружено по весу или объёму. В рамках выбранной целевой функции алгоритм стремится минимизировать суммарное взвешенное время доставки – то есть, грузы с высоким приоритетом (большим a_i) получают минимально

возможное время в пути. При изменении целевой функции модель легко адаптируется под другие критерии оптимальности: например, при $\min \sum_{i,j} C_j x_{ij}$ будет минимизироваться общая стоимость перевозок (где C_j – удельная стоимость доставки на рейсе j), а при выборе цели $\max \sum_{i,j} w_i x_{ij}$ алгоритм обеспечит максимальную суммарную загрузку тоннажа флота. Таким образом, предложенное решение поддерживает многокритериальную настройку в зависимости от приоритетов компании.

Алгоритм решения

Задача распределения грузов по судам в общем случае является вычислительно сложной (NP-трудной), особенно при больших N и M . Тем не менее, современные солверы линейного программирования (например, основанные на методе ветвей и границ) способны находить оптимальные планы загрузки даже для крупных экземпляров задачи. В тех случаях, когда точное решение затруднительно в заданное время, могут применяться приближённые методы: жадные алгоритмы, ориентированные на поэтапную загрузку судов наиболее приоритетными грузами, или эвристики (генетические алгоритмы, имитация отжига и др.), позволяющие получить близкое к оптимуму решение за разумное время. Преимущество разработанного подхода заключается в его гибкости: добавление новых ограничений (например, временные окна отправления или требования совместимости грузов) не нарушает базовую структуру модели, а лишь дополняет систему ограничений, что облегчает адаптацию алгоритма под изменяющиеся условия перевозок [6].

Для демонстрации работы алгоритма приведён пример распределения пяти условных грузов на два рейса (судна). Пусть оба рейса следуют по одному маршруту и выбывают из порта отправления одновременно, но Рейс 1 короче по времени (более быстроходное судно), а Рейс 2 длится дольше. Таблица 1 показывает исходные данные грузов – вес, объём, приоритет – и результирующее решение: распределение по рейсам и расчётное время доставки. Высокоприоритетные грузы (например, Груз 1) алгоритм направляет на более быстрый Рейс 1, если позволяют ограничения вместимости. Менее срочные отправления могут быть отправлены более медленным Рейсом 2 при необходимости. В представленном примере суммарное время доставки с учётом приоритетов минимизируется за счёт того, что срочный Груз 1 доставляется за 5 дней, несмотря на неполное использование объёма судна, тогда как более объёмный, но менее приоритетный Груз 2 перемещается на 7-дневном рейсе. При этом соблюдены ограничения: ни одно судно не перегружено (запас по объёму на Рейсе 1 используется для низкоприоритетного Груза 3). Такой подход позволяет эффективно использовать ресурсы флота и выдерживать сроки по критически важным грузам.

Таблица 1

Пример распределения нескольких грузов по двум рейсам

| Груз | Вес, т | Объём, м ³ | Приоритет | Назначен на | Время доставки, |
|------|--------|-----------------------|-----------|-------------|-----------------|
|------|--------|-----------------------|-----------|-------------|-----------------|

| | | | | | дни |
|--------|----|----|---------|--------|-----|
| Груз 1 | 30 | 20 | высокий | Рейс 1 | 5 |
| Груз 2 | 40 | 30 | средний | Рейс 2 | 7 |
| Груз 3 | 20 | 15 | низкий | Рейс 1 | 5 |
| Груз 4 | 10 | 8 | средний | Рейс 2 | 7 |
| Груз 5 | 15 | 10 | низкий | Рейс 2 | 7 |

Практическая реализация

Разработанная информационная система интегрирует описанный алгоритм оптимизации в модуль планирования рейсов. На практике это позволяет диспетчеру автоматически распределять десятки тысяч заявок на перевозку по доступным судам одним запуском расчёта. Система отображает полученный план в удобной форме: для каждого рейса указывается список закреплённых грузов, степень загрузки судна и ключевые показатели (общий вес, ожидаемый доход, средний приоритет). Предусмотрена возможность интерактивной корректировки: пользователь может задавать альтернативные критерии оптимизации или фиксировать вручную назначение отдельных VIP-грузов, после чего алгоритм перераспределяет оставшиеся ресурсы. Данный подход обеспечивает прозрачность и адаптивность управления морскими перевозками – приоритетные грузы доставляются быстрее, флот используется максимально эффективно, а общие издержки снижаются. В итоге компания-перевозчик получает инструмент для обоснованного принятия решений, что особенно важно в условиях роста конкуренции и требований клиентов к скорости доставки.

Заключение

Таким образом, был разработан алгоритм распределения грузов по рейсам морских судов, удовлетворяющий разным критериям оптимальности. Предложенная математическая модель включает основные ограничения (грузоподъёмность, вместимость, уникальность назначения груза) и допускает изменение целевой функции по выбору пользователя. Реализация алгоритма в программной системе показала его эффективность: даже при большом количестве заявок он быстро формирует план перевозок, повышая прозрачность и обоснованность решений в управлении логистикой. Гибкость алгоритма позволяет учитывать приоритеты бизнеса или операционные требования: минимизация числа рейсов снижает издержки, максимизация загрузки повышает эффективность использования флота, учёт срочности улучшает обслуживание клиентов, а минимизация времени доставки сокращает цикл поставки.

Разработанное решение легко расширяется под более сложные условия перевозок. Например, можно включить временные окна отправления и прибытия для учета расписания портов, добавить ограничения на последовательность загрузки/выгрузки контейнеров, реализовать поддержку многоэтапных маршрутов (с пересадкой грузов между судами) путём

включения промежуточных узлов в модель. Эти направления представляют интерес для дальнейших исследований и развития системы. В целом, предложенный алгоритм является универсальным инструментом поддержки принятия решений в морской логистике, позволяющим автоматизировать планирование рейсов и оптимизировать использование флота под разные цели [7].

Библиографический список

1. Бутакова, Н. А., Евграфова, И. В. Международные проблемы развития морского судоходства // Труды СПбГМТУ. – 2022. – № 2. – URL: <https://www.lki.smtu.ru/ru/article/70/> (дата обращения: 09.11.2025).

2. Кипоренко, А. Цифровизация морских грузоперевозок 2025: от Excel к цифровому кораблю [Электронный ресурс] // Logistics.ru. – 2023. – URL: <https://logistics.ru/avtomatizaciya-logistiki-transportirovka/cifrovizaciya-morskikh-gruzoperevozk-2025-ot-excel-k> (дата обращения: 09.11.2025).

3. Мельников, В. П., Схиртладзе, А. Г., Антонюк, А. К. Логистика: учебник / В. П. Мельников, А. Г. Схиртладзе, А. К. Антонюк. – Москва: Юрайт, 2022. – 288 с.

4. Смоленцева, Т. Е., Свищёв, А. В. Оптимальное планирование процесса грузоперевозок // Моделирование, оптимизация и информационные технологии. – 2020. – Т. 8, № 3. – URL: https://moit.vivt.ru/wp-content/uploads/2020/08/SmolentsevaSvishchev_3_20_1.pdf (дата обращения: 09.11.2025).

5. Пашков, Н. Н. Транспортная логистика (линейное программирование) : учебное пособие / Н. Н. Пашков. – Москва : Прометей, 2020. – 202 с.

6. Бугаев, Ю. В., Коробова, Л. А., Гудков, С. В. Методы оптимизации развозки грузов потребителям несколькими транспортными средствами // Вестник ВГУИТ. – 2021. – Т. 83, № 1. – С. 466–472. – URL: <https://vestnik-vsuet.ru/vguit/article/view/2671> (дата обращения: 09.11.2025).

7. Кумеков, Р. Новая эра морской логистики [Электронный ресурс] // Судоходство. – 02.06.2020. – URL: <https://sudohodstvo.org/novaya-era-morskoj-logistiki/> (дата обращения: 09.11.2025).

© Накаряков Е. В., Хайруллин М.С., 2025

А.Ю. ПОТАПОВА

aittsitti@gmail.com

Науч. руковод. – канд. техн. наук, доц. Е.И. Флосова

Уфимский университет науки и технологий

РАЗРАБОТКА ИНФОРМАЦИОННОЙ СИСТЕМЫ ПРИМЕНЕНИЯ ТЕХНОЛОГИИ КОМПЬЮТЕРНОГО ЗРЕНИЯ ДЛЯ СОРТИРОВКИ МЕТАЛЛИЧЕСКОГО МУСОРА

Аннотация: концепция информационной системы автоматизированной сортировки металлического мусора на основе технологии компьютерного зрения. Предложенный подход отличается существенной акцентуацией на гибкость и расширяемость архитектуры — возможность адаптации к новым видам металлического лома без перестройки всей системы. Система строится на применении современных нейросетевых алгоритмов детекции объектов (YOLO, SSD, RetinaNet) и встраиваемых ускорителей вычислений (Jetson Nano, Edge TPU), что обеспечивает реальное время обработки при относительно низких затратах на оборудование. Особенность работы заключается в механизме дообучения модели: при появлении нового вида металлического отхода оператор загружает примеры, система автоматически переучивает классификатор без участия специалистов в области машинного обучения. Таким образом, решение становится практичным инструментом для реальных мусоросортировочных производств.

Ключевые слова: компьютерное зрение, сортировка металлического мусора, информационная система, нейросетевые алгоритмы, распознавание объектов, инкрементальное обучение, расширяемость архитектуры, локальная обработка в реальном времени, классификация металлов, дообучение модели.

Введение

Согласно отчётам Всемирного банка, глобальное производство отходов достигнет 3,4 млрд тонн в год к 2050 году. Из этого объёма значительная доля приходится на металлолом — ценный вторичный ресурс, однако его эффективное извлечение требует точной сортировки на стадии сбора и первичной переработки.

Традиционные методы сортировки металлических отходов базируются на физических свойствах:

- Магнитная сепарация извлекает только ферромагнитные материалы (сталь, железо), оставляя вне системы цветные металлы (алюминий, медь, латунь, нержавеющей сталь и их сплавы).

- Спектральный анализ (ИК, рентген) обеспечивает точность, но требует дорогостоящего оборудования, что затрудняет внедрение на малых и средних предприятиях.

- Ручная сортировка подвержена ошибкам, трудоёмка, неэффективна при растущих объёмах отходов.

Развитие технологий компьютерного зрения создаёт предпосылки для радикально иного решения: использование доступных визуальных признаков (форма, цвет, текстура поверхности, характерные царапины и окраска) в сочетании с гибкими алгоритмами машинного обучения позволяет классифицировать металлические предметы в режиме реального времени на имеющемся оборудовании.

Ключевые преимущества:

- Доступность аппаратного обеспечения — дешёвые промышленные камеры, встраиваемые процессоры (Jetson Nano, Raspberry Pi с Edge TPU).

- Зрелость ПО — OpenCV, TensorFlow Lite, ONNX Runtime — проверенные инструменты с обширным сообществом.

- Расширяемость — модель обучается на новых классах без перестройки системы.

Цель работы — показать принципиальную реализуемость такой системы на современной технологической базе и представить архитектуру, допускающую практическое внедрение на производстве.

Основная часть

Технологическая база

До недавних пор развёртывание систем компьютерного зрения на предприятии требовало значительных капиталовложений. Ситуация коренным образом изменилась благодаря промышленным камерам (200–500 USD) и встраиваемым процессорам. NVIDIA Jetson Nano (~200 USD) обеспечивает производительность ~40 TFLOPS с поддержкой CUDA, что достаточно для детекции объектов на частоте 20–30 кадров в секунду. Облегчённые модели (MobileNetV2, EfficientNet) после квантизации работают и на Raspberry Pi 4.

Критически важное преимущество — обработка видеопотока выполняется локально, без отправки на облако. Это обеспечивает минимальную задержку (50–150 мс), независимость от сетевого соединения и приватность данных.

Для разработки используются зрелые библиотеки: OpenCV для обработки изображений, TensorFlow Lite и ONNX Runtime — для вывода моделей на устройстве, PyTorch / TensorFlow — для переучивания.

Принцип работы системы

Система устанавливается над конвейерной лентой. Камера фиксирует видеопоток. Каждый кадр проходит предварительную обработку (нормализация, ресайз). Затем нейросетевая модель (например, YOLO или SSD) детектирует объекты и выдаёт координаты, класс и уверенность.

На основе позиции объекта система выделяет область интереса и анализирует визуальные характеристики: цвет, размер, текстуру. Эти признаки передаются в классификатор, который определяет тип металла: ферромагнитный, алюминий, медь, латунь, нержавейка и т. д.

При уверенности выше порога система отправляет сигнал исполнительному устройству — через GPIO или Modbus RTU на пневмоклапан, который отправляет предмет в нужный контейнер.

Гибкость и масштабируемость — ключевая особенность

Классические подходы предполагают, что набор классов фиксирован. При появлении нового вида лома требуется сбор данных, переобучение модели специалистом, тестирование и повторное развёртывание — процесс, занимающий дни или недели.

Предложенная архитектура предусматривает механизм инкрементального обучения новых классов. Оператор (без специальных знаний) указывает несколько примеров нового типа металла через веб-интерфейс. Система сохраняет их и автоматически запускает процесс тонкой настройки с использованием передачи знаний. Для хорошего результата достаточно 20–50 новых примеров.

Применяются методы постоянного обучения, предотвращающие потерю качества по старым классам при обучении новым. Это позволяет интегрировать новые типы за часы, не останавливая производство.

Интеграция в существующие процессы

Система рассматривается не как замена всей сортировки, а как надстройка над конвейером. Обычно она устанавливается после предварительной магнитной сепарации — для обработки остатка, содержащего цветные и неферромагнитные металлы.

Управление осуществляется через стандартные промышленные интерфейсы: GPIO для простых сигналов и Modbus RTU для взаимодействия с программируемыми логическими контроллерами (PLC). Это обеспечивает совместимость с уже установленным оборудованием и минимизирует затраты на внедрение.

Уровни классификации металлов.

Система различает основные категории по визуальным признакам:

- Ферромагнитные металлы: чёрный/тёмно-серый цвет, часто с оксидной плёнкой.
- Алюминий: светлый серебристый, матовая поверхность, царапины.
- Медь: красновато-оранжевый, блеск.
- Латунь: золотистый цвет.
- Нержавеющая сталь: серебристый, но с иным оттенком и гладкой поверхностью.

Технические аспекты реализации

Для баланса скорости и точности рекомендуются лёгкие модели: EfficientNet-B0 или YOLOv8 Nano. Они работают на Jetson Nano или Raspberry Pi с достаточной производительностью.

Обучение проводится на открытых датасетах (TACO, TrashNet) с дообучением на локальных данных — 100–200 фотографий реального лома с производства.

Для ускорения на встраиваемых устройствах применяется квантизация (переход с float32 на int8), что уменьшает размер модели в 4 раза и ускоряет вывод в 2–3 раза без заметной потери точности.

Веб-интерфейс и управление

Оператор может просматривать видео с камеры, добавлять новые классы через загрузку изображений, запускать дообучение модели, настраивать пороги уверенности и просматривать статистику сортировки. Это делает систему доступной для персонала без навыков в машинном обучении.

Заключение

Компьютерное зрение для сортировки металла уже реализуемо на базе доступного аппаратного и программного обеспечения.

Главное преимущество — не максимальная точность (хотя она и достаточна), а возможность быстрой адаптации к новым типам отходов. Система, предусматривающая инкрементальное обучение новых классов, даёт производству гибкость в условиях изменяющегося потока отходов.

Архитектура легко интегрируется в существующие линии и может быть расширена в будущем на другие материалы — пластик, стекло, композиты — без изменения ядра.

Перспективы включают оценку чистоты металла, применение роботизированных манипуляторов и интеграцию с ERP-системами для полной автоматизации логистики вторсырья.

Библиографический список

1. Wang L. et al. (2025). "A steel scrap recognition model based on machine vision." *Extrica Magazine*. — Исследование модели распознавания стального лома; обсуждаются методы машинного зрения и их расширяемость.

2. Bhutiani A., et al. (2023). "Real-time image and video processing algorithms for automated waste sorting and classification." *Journal of Artificial Intelligence, Machine Learning and Data Science*. — Комплексное описание CNN и YOLO для классификации в реальном времени; результаты: 80–85 % точность на edge-devices, 20–25 FPS на Raspberry Pi/Jetson.

3. Sharma D.K., Bharti et al. (2024). "Deep Learning Approaches for Automated Waste Classification and Sorting." *International Journal of Research in Applied Science & Engineering Technology (IJRASET)*. — Детальное описание архитектур CNN (ResNet, InceptionV3, DenseNet) для классификации отходов; достигнута точность 93.2 % на 6 категориях (пластик, бумага, металл, стекло, картон, композит).

4. Özkaya U., Seyfi L. (2019). "Fine-Tuning Models Comparisons on Garbage Classification for Recyclability." — Сравнение предварительно обученных

моделей (AlexNet, VGG16, GoogleNet, ResNet) с применением системы передачи знаний и SVM; лучший результат: GoogleNet+SVM = 97.86 %.

5. Zhang Q., et al. (2021). "Waste image classification based on transfer learning." Science Direct. — Разработка датасета NWNNU-TRASH (18 911 изображений, 5 классов); использование DenseNet169 с системой передачи знаний; достигнута точность >82 %.

6. Rymarczyk D., et al. (2023). "ICICLE: Interpretable Class Incremental Continual Learning." CVPR. — Новый метод для инкрементального обучения без "катастрофического забывания"; применим для адаптации системы к новым классам металлов.

7. van de Ven G.M., et al. (2022). "Three types of incremental learning." Nature Communications. — Фундаментальный обзор системы непрерывного обучения; описание сценариев поэтапного обучения, который наиболее релевантен для добавления новых видов металла.

8. Benchmarking Deep Learning Models for Object Detection on Edge Devices. arXiv (2024). — Оценка производительности YOLOv8, SSD, EfficientDet на Jetson Nano, Raspberry Pi, Edge TPU; выводы по выбору архитектуры и оптимизации.

9. TACO Dataset: Trash Annotations in Context. GitHub/DatasetNinja (2019–2025). — Открытый датасет 1500–5236 изображений с 60 классами мусора; инструмент для обучения и валидации моделей.

10. OpenCV Object Detection: Hands-On Guide for ML Teams. Label Your Data (2025). — Практический обзор методов OpenCV (Haar Cascades, HOG, YOLO, SSD)

© Потапова А.Ю., 2025

А.В. ПРОХОРОВ

sashapro7171@yandex.ru

Науч. руковод. – доктор географических наук, Д.Ю. Васильев

Уфимский университет науки и технологий

АЛГОРИТМ WAVE FUNCTION COLLAPSE: СИСТЕМАТИЧЕСКИЙ АНАЛИЗ И ПЕРСПЕКТИВЫ ГИБРИДИЗАЦИИ В ПРОЦЕДУРНОЙ ГЕНЕРАЦИИ КОНТЕНТА

Аннотация: в данной работе рассматривается алгоритм Wave Function Collapse (WFC) как современный инструмент процедурной генерации контента, основанный на принципах теории удовлетворения ограничений (Constraint Satisfaction Problem, CSP) и вероятностного моделирования. Рассмотрены гибридные подходы, объединяющие WFC с L-системами, клеточными автоматами и шумовыми функциями, что позволяет повысить гибкость и устойчивость генерации, а также улучшить визуальное качество создаваемых структур. Дополнительно проанализирована стохастическая модель WFC в контексте фазовых переходов на случайных графах.

Ключевые слова: Wave Function Collapse, процедурная генерация, CSP, энтропия, гибридные алгоритмы, машинное обучение, стохастические модели.

Введение

Алгоритм Wave Function Collapse представляет собой инновационный метод процедурной генерации контента, основанный на принципах квантовой механики и теории удовлетворения ограничений (Constraint Satisfaction Problem). WFC позволяет создавать структурно согласованные паттерны при сохранении стилистической целостности исходных данных. Актуальность исследования определяется растущим применением WFC в игровой индустрии и компьютерной графике, где требуется автоматическая генерация сложных, но стилистически единых структур.

Несмотря на очевидные преимущества, алгоритм имеет ряд ограничений: высокую вычислительную сложность, нестабильность при работе с трёхмерными сетками и недостаточную гибкость при обработке неортогональных структур. Это обуславливает необходимость дальнейшего анализа и совершенствования метода.

Теоретические основы алгоритма Wave Function Collapse.

WFC, предложенный Максимом Гуминым в 2016 году, опирается на концепцию CSP. В классической постановке CSP определяется тройкой (X, D, C) , где X — множество переменных, D — набор доменов возможных значений, а C — множество ограничений. Каждая ячейка сетки рассматривается как переменная x_i с множеством допустимых паттернов D_i . Ограничения

описывают допустимые комбинации соседних ячеек. Решением задачи является присваивание $A = \{a_1 \in D_1, a_2 \in D_2, \dots, a_n \in D_n\}$, удовлетворяющее всем ограничениям из множества S .

Ключевой особенностью WFC является вероятностный коллапс ячеек с минимальной энтропией, определяемой по формуле Шеннона:

Формула энтропии Шеннона:

$$H(x) = - \sum_{i=1}^n p_i \log_2 p_i$$

где p_i — вероятность выбора определённого паттерна. Коллапс ячеек выполняется последовательно, а после каждого шага производится распространение ограничений на соседние ячейки, что реализуется с помощью модифицированного алгоритма AC-3.

Возникновение противоречий и методы их устранения.

Фундаментальная проблема WFC заключается в возможности возникновения противоречий, когда система ограничений становится несовместной. Это происходит при нарушении локальных правил соседства или при исчерпании допустимых значений для отдельных ячеек. Такие состояния приводят к остановке генерации или необходимости перезапуска процесса. В контексте WFC ограничения преимущественно носят бинарный характер, определяя допустимые пары значений для соседних ячеек (переменных). Однако алгоритм допускает и более сложные k -арные ограничения, что расширяет его выразительные возможности.

Для решения этой проблемы применяются методы анализа конфликтных областей, статистическая оценка ограничений и механизмы отката (backtracking). Последние позволяют возвращаться к предыдущим корректным состояниям, избегая полного пересчёта системы. Эффективность механизмов отката напрямую зависит от стратегии выбора точки возврата и глубины стека состояний. На практике часто используется ведение журнала принятых решений с присвоением им уровней приоритета, что позволяет осуществлять нелинейный откат — не на один шаг назад, а к последнему «узлу принятия решения», где существовала альтернатива с ненулевой энтропией. Сравнение методов обработки противоречий представлено в таблице 1.

Таблица 1

Методы обработки противоречий

| Метод | Backtracking | Локальный перезапуск | Гибридная стабилизация |
|-------------------------|-----------------------------|----------------------|-----------------------------------|
| Скорость восстановления | Медленный (полный откат) | Быстрый | Средний (зависит от метода) |
| Потребление памяти | Высокое (стек состояний) | Умеренное | Зависит от интеграции |
| Устойчивость к ошибкам | Низкая (может заикливиться) | Средняя | Высокая (доп. методы сглаживания) |

Стохастическая модель и фазовые переходы.

WFC можно рассматривать как стохастический процесс на случайном графе, где вершины — позиции в сетке, а рёбра отражают допустимые отношения соседства. При достижении критической плотности ограничений возникает фазовый переход, при котором структура резко теряет связность. Контроль фазовых переходов позволяет адаптировать алгоритм под различные классы задач, избегая фрагментации результата и повышая устойчивость системы.

Перспективным направлением развития остаётся создание адаптивных схем, поддерживающих работу алгоритма вблизи критической точки, где достигается баланс между структурной сложностью и вычислительной устойчивостью. Это позволяет расширить класс решаемых задач без потери основных преимуществ метода — стилистической согласованности и семантической целостности генерируемых структур.

Гибридные подходы к улучшению WFC.

Гибридные реализации алгоритма основываются на сочетании WFC с другими методами процедурной генерации контента, такими как L-системы, клеточные автоматы и шумовые функции. Такая комбинация позволяет компенсировать ограничения WFC и добиться более органичных результатов.

Применение L-систем в связке с WFC используется для генерации биоморфных структур — растений, корней, архитектурных фрагментов. Клеточные автоматы обеспечивают постобработку и выравнивание паттернов, устраняя артефакты. Шумовые функции добавляют вариативность и «естественность» в результат.

Таблица 2.

Сравнение гибридных методов WFC

| Критерий | WFC + L | WFC + СА | WFC + Шум |
|------------------------|----------------------------------|--|--|
| Гибкость генерации | Высокая (органические формы) | Средняя (природные ландшафты) | Средняя (вариация текстур) |
| Контроль структуры | Хороший (через правила L-систем) | Умеренный (зависит от правил СА) | Низкий (шумы случайны) |
| Скорость работы | Средняя (рекурсия замедляет) | Быстрая (СА оптимизированы) | Очень быстрая |
| Качество результата | Чистые биоморфные структуры | Естественные, но иногда размытые формы | «Живые» вариации, но менее структурированные |
| Обработка противоречий | Средняя (L-системы усложняют) | Хорошая (СА сглаживает ошибки) | Низкая (шумы не помогают с коллапсом) |

| | | | |
|----------------------|-------------------------------------|---------------------------------|------------------------------------|
| Сложность реализации | Высокая (нужна настройка грамматик) | Средняя (правила СА стандартны) | Низкая (шумы просто накладываются) |
| Применение | Растения, кораллы, корни | Пещеры, горы, эрозия | Текстуры, облака, вода |

Заключение

Алгоритм Wave Function Collapse сочетает вероятностные методы и принципы CSP, обеспечивая эффективную генерацию структурно согласованных паттернов. Несмотря на вычислительные трудности и риск противоречий, WFC остаётся одним из наиболее перспективных подходов в процедурной генерации. Перспективные направления развития включают интеграцию с методами машинного обучения, оптимизацию для 3D-структур и исследование критических свойств стохастических моделей. Дальнейшее развитие WFC позволит создавать более интеллектуальные и адаптивные системы генеративного дизайна.

Библиографический список

1. Karth I., Smith A. Wave Function Collapse is constraint solving in the wild // The International Conference. – 2017.
2. Kim H., Hahn T., Kim S., Kang S. Graph Based Wave Function Collapse Algorithm for Procedural Content Generation in Games // IEICE Transactions on Information and Systems – 2020.
3. Møller T., Billeskov J., Palamas G. Expanding Wave Function Collapse with Growing Grids for Procedural Map Generation // Aalborg University – 2024.
4. Nie Y., Zheng S., Zhuang Z., Song X. Extend Wave Function Collapse to Large-Scale Content Generation // IEEE Conference on Games – 2023.

© Прохоров А.В., 2025

А.В. РУСАКОВ, Ш.М. МИНАСОВ

arturneonoff@gmail.com, minasov@ufanet.ru

Науч. руковод. – канд. техн. наук, доцент Ш.М. МИНАСОВ

Уфимский университет науки и технологий

МЕТОД КОДИРОВАНИЯ УЗЛОВЫХ ТОЧЕК МАРШРУТНОГО ГРАФА В ЗДАНИЯХ СЛОЖНОЙ ГЕОМЕТРИИ В УСЛОВИЯХ ОТСУТСТВИЯ УСТОЙЧИВОГО СИГНАЛА СИСТЕМ ГЛОБАЛЬНОГО ГЕОПОЗИЦИОНИРОВАНИЯ

Аннотация: представлен метод распознавания элементов кодирования пространств сложной внутренней геометрии для реализации задач внутриобъектовой навигации. Предложен алгоритм определения фактического местонахождения объекта на основе обнаружении в потоковом видео меток, которые не выделяются из общего дизайна помещений и не требует установки и обслуживания таких технических средств как радиомаяки.

Ключевые слова: внутриобъектовая навигация, методы определения местоположения в пространстве, ориентация в пространстве.

Введение

Применение систем глобального геопозиционирования (СГГ) внутри зданий имеет ряд существенных недостатков.

1. Стены, потолки и полы здания являются серьёзными препятствиями для прохождения сигналов СГГ.

2. Сигналы СГГ часто отражается от стен, окон и других поверхностей, что приводит к ошибке определения положения устройства.

3. Для определения координат устройство должно обнаружить не менее 4-х спутников, что нередко невозможно внутри помещений.

Чем сложнее структура здания, тем больше факторов влияет на определение положения объекта. Таким образом, использование GPS внутри многоуровневых зданий сложной внутренней геометрии практически невозможно.

Для решения проблемы определения местоположения объекта внутри зданий разрабатываются альтернативные технологии, основанные на Wi-Fi триангуляции, Bluetooth маячках, технологии UWB (Ultra-Wideband), которые требуют дополнительных вложений на приобретение и обслуживание соответствующего оборудования и маячков. Кроме самих затрат это приводит к наполнению радиоэфира потоком сигналов, которые вносят помехи в работу других устройств.

Метод, предлагаемый в данной работе основан на поиске и анализе элементов существующего оформления внутреннего пространства и не требует

никаких финансовых вложений на приобретение и обслуживание оборудования. Чтобы понимать о чем идет речь, то на идентификацию местоположения 10 000 пожарных датчиков не придется ежегодно приобретать 10 000 батареек CR-2032.

Методы кодирования и декодирования навигационных меток

Определение текущего местоположения на основе анализа окружающего пространства в здании имеет ряд существенных отличий от технологий распознавания, широко распространенных в настоящее время, таких как камеры выявления нарушений ПДД и камеры распознавания лиц в системах контроля и управления доступом. А именно – сами камеры неподвижны, на них достаточно просто детектировать область, которую необходимо распознать.

В задаче внутриобъектовой навигации:

- изображение непрерывно изменяется во всех точках кадра;
- при приближении к объекту изменяются не только его размеры, но и его форма, вследствие перспективы;
- фотообъектив носимого мобильного устройства постоянно изменяет наклон в процессе движения пользователя.

Для определения местоположения в здании предлагаются два способа нанесения меток и их анализа, отличающиеся друг от друга принципом формирования и декодирования.

Естественный дизайн (ЕД-метка)

Метка формируется из некоторого геометрического образа, который легко выявить в кадре видеопотока. При этом важно не только обнаружить якорь, но и его отклонение от вертикали. В качестве такого якоря предложено использовать

- окружность, внутри которой размещен квадрат (якорь);
- прямоугольник, расположенный рядом с якорем, указывающий отклонение от вертикали кадра при съемке (шпонка).

Примеры приведены на рис. 1.



Рис. 1. Пример нанесения якорной метки

Алгоритм декодирования:

1. Детекция центрального якоря. Находит на снимке окружность с квадратом внутри. Оценивает размер якоря.

2. Обнаружение шпонки. На основе размера внешней окружности детектирует на нужном радиусе наличие шпонки (рис. 1). Если шпонка не найдена, якорь является ложным. Если шпонка найдена, изображение вращается таким образом, чтобы шпонка была на вертикали по центру якоря (рис. 2).

3. Определение диаметров для чтения битовых колец. На основе диаметра якоря вычисляется положение колец для чтения кода. Диаметр каждого кольца в $1.5 \cdot N$ больше диаметра центрального кольца, где N – номер кольца. Ширина каждого битового кольца в 3 раза шире центрального круга (рис. 3).

4. Чтение битовой последовательности. На изображение метки накладывается чёрно-белый фильтр. Следующим шагом вычисляется средняя яркость всех пикселей, заключенных внутри битовой окружности. Если средняя яркость всех пикселей заключенных внутри битовой окружности больше или равна 127, окружность считается белой и ей присваивается 0 бит. Если менее 127, окружность считается черной и ей присваивается 1 бит. После происходит запись битовой последовательности для каждого кольца (рис. 4).

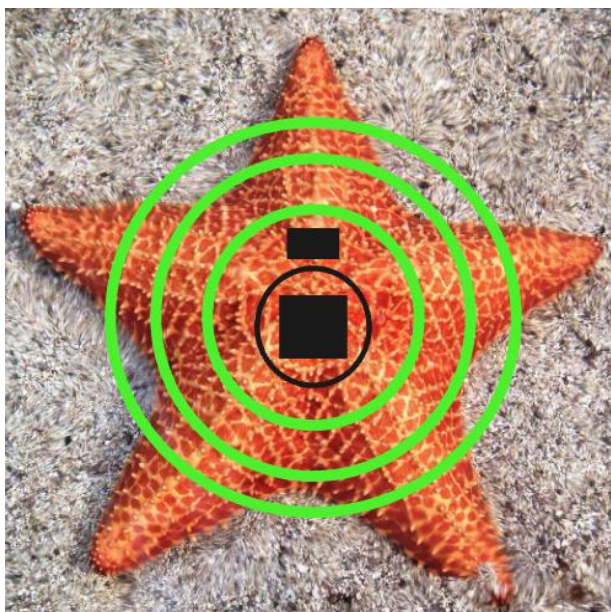


Рис. 2. Повернутое изображение

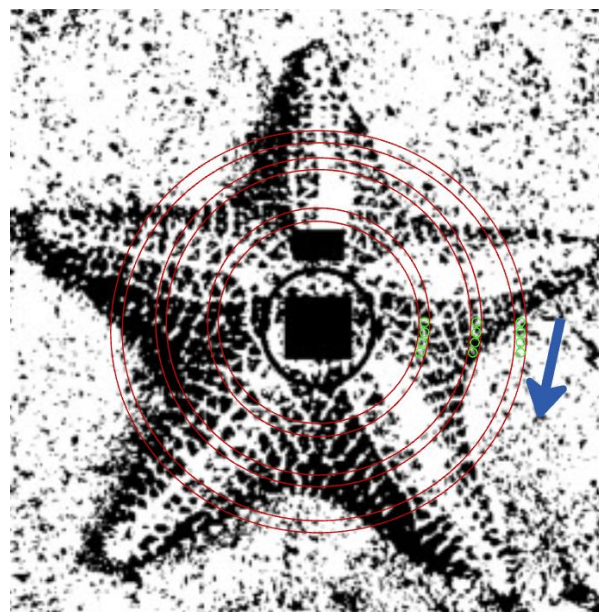


Рис. 3. Положение битовых колец

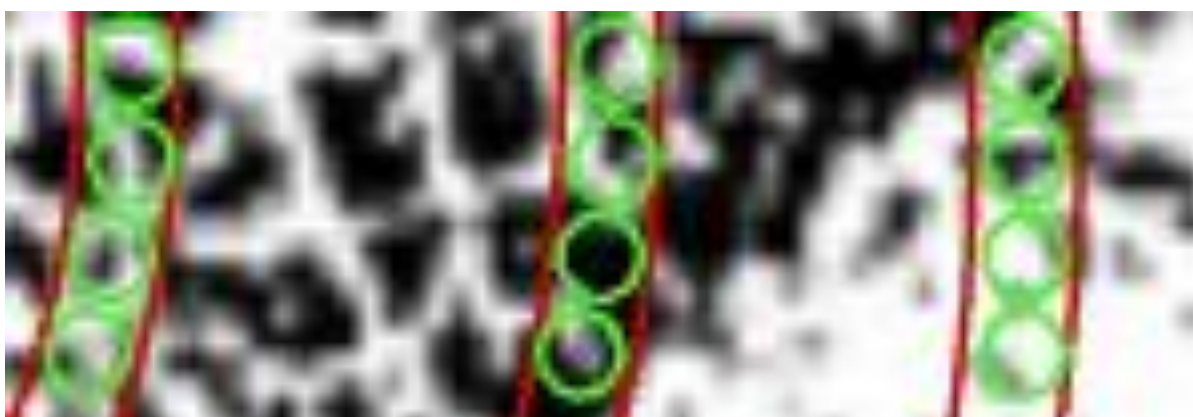


Рис. 4. Чтение битовой последовательности

В результате декодирования, из изображения извлекается числовое значение – идентификатор, который можно привязать к соответствующей точке цифровой модели здания, а затем использовать в задаче идентификации текущего местоположения.

Преимущества и недостатки

Преимущества метода:

- Не портит дизайн. Необходимо лишь нанести метку в нужное место, при этом метку можно нанести материалом, невидимым для глаза человека, но воспринимаемым фотокамерой;
- Высокая безопасность (по сравнению с QR-кодом) – не известен алгоритм считывания;
- Отсутствует необходимость какого-либо обслуживания;
- Возможность декодировать метку с большого расстояния (по сравнению с QR-кодом).

Так же у метки присутствуют такие недостатки как:

- Невозможность декодирования метки при однородном фоне;
- Высокая зависимость от изменения яркости освещения, например, яркое солнце в помещениях со вторым светом исключает возможность распознавания меток в яркие солнечные дни;
- Не работает в условиях задымленности.

Искусственная метка (ИД-метка)

Основным недостатком ЕД-меток является невозможность их применения в условиях однородного фона. Как правило такие помещения являются техническими коридорами, складами, парковками, в которых нанесение кодировок не является проблемой и нарушением како-го либо дизайна. Такая метка будет состоять из:

- Центрального якоря и ориентационной шпонки, аналогично вышеописанному;
- Колец из битовых кругов, которых может быть от 1 до 10 ;
- Битовых кругов, представляющие собой черные круги, имеющие значение 1 бит, и окружности с белым центром, имеющие значение 0 бит.

Так как в метке будут кодироваться только десятичные цифры, то для кодирования одной десятичной цифры потребуется 4 бита. Из этого следует, что на каждом кольце из битовых кругов, количество битовых отметок должно быть кратно 4. В данном примере, имеем метку, кольца из битовых кругов, формируются 12, 24 и 40 битовыми кругами соответственно (рис. 5).

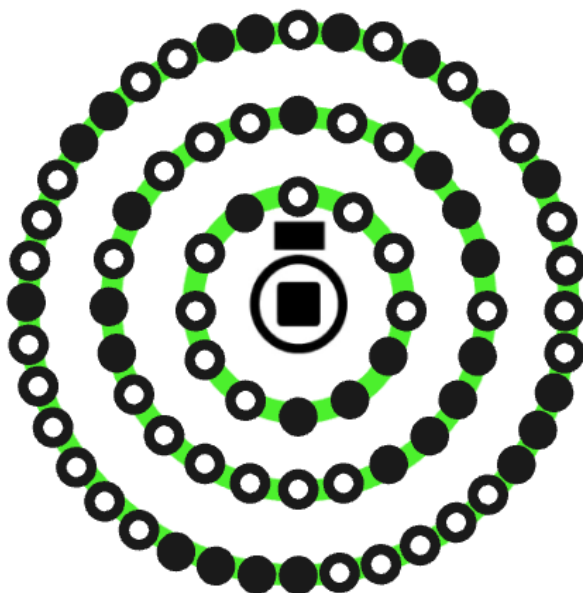


Рис 5. Искусственная метка

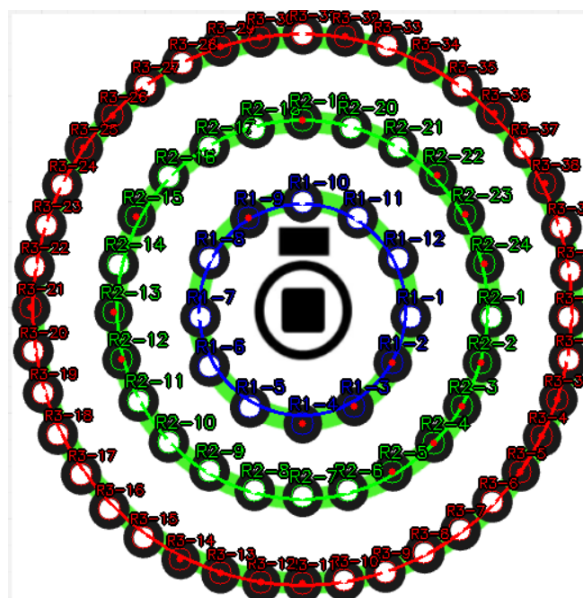


Рис. 6. Визуализация метода декодирования

Алгоритм декодирования

Алгоритм декодирования аналогичен описанному выше.

Преимущества и недостатки

Данный тип метки имеет ряд преимуществ, среди которых:

– Возможность распознавания с большого расстояния (по сравнению с QR-кодом);

– Меньшая зависимость от освещения помещения (по сравнению с ЕД-метками), изменением значения баланса белого достигается более высокая точность распознавания.

– Возможность естественного кодирования Этаж-Глубина, Ширина, Высота – не требует ручной привязки к плану здания;

– Возможность добавления данных для верификации корректности распознавания – например бита четности;

– Отсутствие необходимости какого-либо обслуживания (по сравнению с методами на основе BLE-маяков).

Недостатки метода:

– необходимость формирования меток;

– затраты на изготовление ИД-выше, чем на ЕД-метки.

Экспериментальная проверка метода

В качестве эксперимента алгоритм распознавания реализован на языке программирования Python и библиотеки cv2.

При распознавании меток обоих типов алгоритм подтвердил работоспособность обоих вариантов.

Надежность распознавания проверена на ИД-метках, аналогичных приведенной на рис. 6. ИД-метка сформирована как случайная последовательность двоичного кода: 011100001000 011110000001101000100111 0011100000111100000010001100110101010100. В результате закодированное изображение было распознано верно.

Поскольку ЕД-метки не имеют возможности оценки соответствия закодированного кода результатам распознавания, оценка работоспособности проводилась внесением помех в виде разного уровня освещенности и засветки отдельных участков изображения. Как и предполагалось, ИД-метки показали более высокую надежность декодирования по сравнению с ЕД-метками из-за изначально более контрастного изображения. Так же в случае ошибки четности для распознавания ИД-меток возможно использование коррекции яркости-контрастности и многократная попытка распознавания до получения корректной последовательности бит, в отличие от технологии распознавания ЕД-меток, где добавление битов четности технически невозможно.

Заключение

Применение технологии распознавания текущего места расположения внутри объектов сложной внутренней геометрии является актуальной современной задачей для развития систем внутриобъектовой навигации многоэтажных строений для которых не подходят системы глобального геопозиционирования [1], а затраты на создание системы радиомаяков и их техническое обслуживание неприемлемы.

Предлагаемые методы определения местоположения позволяют снизить ошибки инерциальных методов [2] и упростить процесс обучения определения местоположения простым анализом окружения и больше соответствует задачам реального времени [3].

Разработанные модели и алгоритмы планируется применять в задачах внутриобъектовой навигации [4].

Библиографический список

1. Внутренняя навигация с использованием GPS – возможно ли это? URL: <https://indoorsnavi.pro/indoor-navigation-with-gps> (дата обращения: 30.04.2024).

2. Оценка ошибки вычисления навигации инерциальными модулями [Электронный ресурс] – URL: <https://mp-lab.ru/navigation-error-estimation/> (дата обращения: 22.10.2025).

3. Минасов, Ш. М. Обработка информации в системах реального времени: учебное пособие – Уфа: Уфимский гос. авиационный технический ун-т, 2008. – 258 с. – ISBN 978-5-86911-886-8. – EDN QMTRCD.

4. Минасов Ш.М., Мустаев Л.М. Модели и алгоритмы функционирования системы определения координат динамических объектов, перемещающихся в многоуровневых закрытых пространствах сложной геометрии // Актуальные проблемы науки и техники. Инноватика / Сборник научных статей по материалам XVI Международной научно-практической конференции – Уфа: Изд. Научно-издательский центр Вестник науки – 2024. – С. 72-82.

© Русаков А.В., Минасов Ш.М., 2025

К.Р. САВИНЫХ

karinasavinyh834@gmail.com

Науч. руковод. – канд. техн. наук, доц. Е.И. ФИЛОСОВА

Уфимский университет науки и технологий

РАЗРАБОТКА СИСТЕМЫ ДЛЯ АВТОМАТИЧЕСКОЙ СОРТИРОВКИ БЫТОВЫХ ОТХОДОВ С ПОМОЩЬЮ КОМПЬЮТЕРНОГО ЗРЕНИЯ

Аннотация: в статье описывается система для автоматической сортировки металлических и пластиковых отходов. Рассматриваются методы использования компьютерного зрения для распознавания материалов и управления роботом-сортировщиком. Особое внимание уделено тому, как система анализирует видео с конвейера и помогает роботу точно захватывать нужные предметы.

Ключевые слова: компьютерное зрение, сортировка мусора, автоматизация, робот-сортировщик, распознавание объектов.

Проблема эффективной сортировки твердых бытовых отходов приобретает особую актуальность в условиях роста объемов потребления и ужесточения экологических требований. Согласно статистике, металлические и пластиковые отходы составляют значительную долю в общем объеме ТБО и подлежат разным технологиям переработки [1]. Существующие системы сортировки часто не справляются с точным разделением этих материалов из-за схожести их визуальных характеристик и необходимости обработки в реальном времени.

Разрабатываемая система осуществляет свою работу по следующим этапам:

1. Анализ визуальных характеристик.

Для точной идентификации металлических и пластиковых объектов применяется комплексный анализ визуальных характеристик материалов, основанный на фундаментальных различиях их оптических свойств. Например, металлические поверхности отличаются высокой отражающей способностью с яркими бликами и зеркальным отражением [2]. Они имеют четкие границы с высокой контрастностью, однородную структуру поверхности и резкие цветовые переходы. Пластиковые изделия характеризуются матовой или полуматовой текстурой с рассеянным отражением света [3]. На их поверхности часто присутствуют текстурные элементы – производственные метки, штампы, декоративные узоры и надписи. Границы пластиковых объектов менее четкие, а цветовые переходы более плавные.

Ключевым инструментом анализа является цветовое пространство HSV (Hue, Saturation, Value), которое превосходит RGB-модель по соответствию человеческому восприятию цвета и устойчивости к изменениям освещенности

[4]. Наиболее важным параметром для разделения материалов является Value (яркость), позволяющий эффективно выделять области с высокой светоотраженностью.

Алгоритм анализа включает:

- преобразование изображения из RGB в HSV-пространство,
- анализ распределения яркости (Value),
- оценку насыщенности (Saturation) цвета,
- выявление текстурных паттернов.

Для металлических поверхностей характерны пики яркости в областях бликов и пониженная насыщенность в этих зонах. Пластиковые объекты демонстрируют равномерное распределение яркости без резких пиков и вариативную насыщенность в зависимости от типа и окраски пластика [5].

Данный подход обеспечивает высокую точность классификации материалов в условиях изменяющегося освещения и различных положений объектов на конвейерной ленте, создавая надежную основу для автоматической сортировки отходов.

2. Обработка и сегментация изображений

Система использует многоуровневый подход к обработке видеопотока, обеспечивающий надежное выделение и анализ объектов на конвейерной ленте. Предварительная фильтрация и коррекция освещенности включает применение гауссова размытия для уменьшения шума и билатеральной фильтрации для сохранения четких границ объектов. Для компенсации неравномерного освещения используется алгоритм адаптивной гистограммной эквализации CLAHE (Contrast Limited Adaptive Histogram Equalization), который улучшает контрастность изображения без усиления шума [4].

Сегментация объектов выполняется с использованием модифицированного алгоритма Watershed ("водораздел"). Традиционный подход Watershed часто приводит к пересегментации, поэтому в системе применяются маркеры, основанные на морфологических операциях – эрозии и дилатации. Это позволяет точно определить границы даже частично перекрывающихся объектов [5].

Выделение контуров осуществляется алгоритмом Кэнни с последующим аппроксимацией полигонами. Для каждого обнаруженного контура вычисляются морфологические характеристики:

- площадь и периметр объекта;
- отношение сторон описывающего прямоугольника;
- коэффициент округлости и выпуклости;
- моменты инерции и ориентация объекта.

Классификация объектов происходит на основе сочетания морфологических признаков и пространственных характеристик. Система анализирует взаимное расположение объектов на конвейерной ленте, определяет зоны перекрытия и устанавливает приоритеты обработки для обеспечения максимальной эффективности сортировки.

3. Классификация материалов

Для точного различения типов материалов применяется комбинация методов машинного обучения, обеспечивающая надежную классификацию даже в условиях изменяющегося освещения и различных ракурсов объектов.

Анализ гистограмм ориентированных градиентов (HOG) позволяет эффективно описывать форму и структуру объектов. Алгоритм вычисляет распределение направлений градиентов яркости в локальных областях изображения [3].

Вычисление текстурных дескрипторов LBP (Local Binary Patterns) обеспечивает анализ текстурных характеристик поверхности. Метод LBP кодирует локальные текстуры путем сравнения яркости каждого пикселя с его соседями. Металлические поверхности обычно показывают однородные LBP-паттерны, тогда как пластиковые объекты демонстрируют разнообразные текстуры с более сложными паттернами [4].

Использование случайного леса (Random Forest) для финальной классификации позволяет объединить преимущества различных признаков. Деревья обрабатывает комбинацию из:

- HOG-дескрипторов формы;
- LBP-признаков текстуры;
- морфологических характеристик;
- цветовых features из HSV-пространства.

Такой подход обеспечивает отказоустойчивость системы: даже если некоторые признаки оказываются ненадежными в конкретных условиях, совокупность различных алгоритмов гарантирует точную классификацию. Обучение классификатора проводится на размеченном датасете, содержащем тысячи изображений металлических и пластиковых объектов в различных условиях съемки [5].

Был разработан план реализации данного проекта в MS Project (рис. 1).

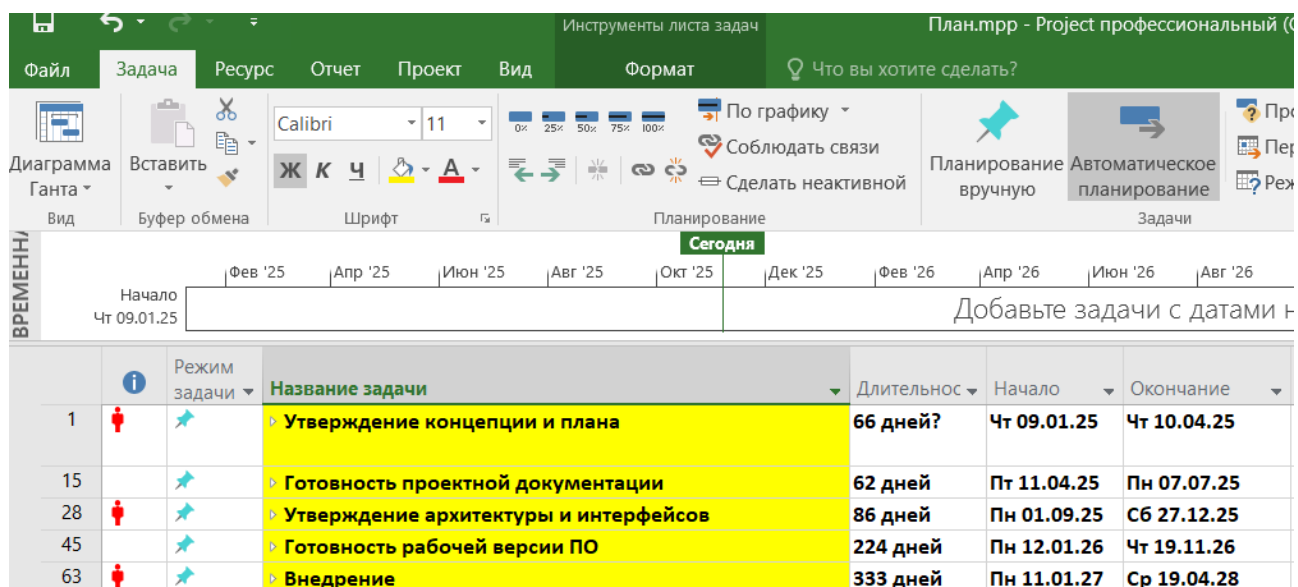


Рис. 1. План проекта

Рассмотрим архитектуру предлагаемой системы. В рамках данного исследования предлагается концепция системы автоматической сортировки металлических и пластиковых отходов, построенная по модульному принципу. Такой подход должен обеспечить гибкость, масштабируемость и надежность работы. Архитектура системы включает три основных взаимосвязанных модуля.

1. Модуль захвата и обработки видео.

Данный модуль предназначен для получения качественных изображений объектов на конвейерной ленте. В его состав предлагается включить:

- Промышленные камеры высокого разрешения (например, Basler ace с разрешением 5 Мп), которые могут обеспечить высокую детализацию изображения при скорости съемки до 30 кадров в секунду. Предполагается использование CMOS-матриц с глобальным затвором для исключения искажений при съемке движущихся объектов [4].

- Систему равномерного освещения на основе светодиодных линеек с регулируемой цветовой температурой (5000-6500К). Освещение может быть организовано по схеме темного поля для подчеркивания рельефа поверхности и улучшения распознавания текстурных особенностей материалов.

- Модуль предварительной обработки кадров для коррекции искажений объектива, компенсации неравномерности освещения и фильтрации шумов с использованием билатерального фильтра [5].

2. Модуль анализа и классификации

Данный модуль должен реализовывать алгоритмы компьютерного зрения и машинного обучения:

- Детектирование объектов может осуществляться с использованием адаптивного порогового разделения и морфологических операций. Алгоритм Watershed с контролируемыми маркерами может обеспечить точную сегментацию даже частично перекрывающихся объектов [1].

- Вычисление признаков для классификации может включать извлечение HOG-дескрипторов, LBP-текстур, морфологических характеристик и цветовых features в пространстве HSV.

- Принятие решения о типе материала может выполняться классификатором на основе случайного леса, обученным на размеченной выборке изображений различных металлических и пластиковых объектов [2].

3. Модуль управления оборудованием

Данный модуль должен обеспечивать взаимодействие с роботизированным оборудованием:

- Формирование команд для робота-манипулятора может включать расчет траектории движения с учетом текущего положения объекта и его динамики на конвейере.

- Контроль выполнения операций захвата может быть реализован через обратную связь по усилию сжатия захвата и визуальную верификацию успешности операции.

– Ведение статистики и логирования позволит отслеживать ключевые показатели эффективности системы и выявлять узкие места в процессе сортировки [3].

Для тестирования и валидации системы может быть разработан прототип, включающий:

– Аппаратную платформу: вычислительный блок на базе процессора Intel Core i7 и графического ускорителя NVIDIA GTX 1660;

– Программное обеспечение: реализация на Python с использованием библиотек OpenCV, scikit-learn и PyTorch;

– Роботизированный комплекс: шести осевой манипулятор с системой захвата.

Дальнейшее развитие системы предполагает внедрение нейросетевых алгоритмов для повышения точности распознавания и интеграцию мультиспектральной съемки для надежного разделения типов пластиков. Перспективным направлением является разработка системы адаптивного обучения, позволяющей до обучать классификатор в процессе эксплуатации. Одновременно потребуются оптимизация алгоритмов управления роботом-манипулятором для сокращения времени захвата объектов. Реализация этих мер позволит значительно повысить производительность системы и расширить область ее применения [5].

Разработанный подход сочетает современные методы анализа изображений и машинного обучения, включая комбинацию HOG-дескрипторов, LBP-текстур и морфологических характеристик. Преимуществами системы являются устойчивость к изменению освещения, способность обработки перекрывающихся объектов и возможность интеграции в существующие производственные линии. Перспективы развития связаны с внедрением нейросетевых алгоритмов и мультиспектральной съемки. Проведенное исследование демонстрирует практическую целесообразность применения компьютерного зрения для автоматизации сортировки отходов.

Библиографический список

1. Smith, J. Automated Waste Sorting Using Computer Vision / J. Smith, A. Brown // Journal of Environmental Engineering. — 2023. — Vol. 15. — P. 45-52.

2. Chen, L. Material Classification in Industrial Applications / L. Chen // International Conference on Computer Vision Systems. — 2022. — P. 112-125.

3. Johnson, M. Robotic Systems for Waste Management / M. Johnson // Robotics and Automation Letters. — 2023. — Vol. 8. — P. 234-241.

4. Применение компьютерного зрения в переработке отходов [Электронный ресурс]. – Режим доступа: <https://www.waste-recycling-tech.example.com> (дата обращения: 05.11.2025).

5. Современные методы сортировки твердых бытовых отходов [Электронный ресурс]. – Режим доступа: <https://www.recycling-methods.example.com> (дата обращения: 07.11.2025).

© Савиных К.Р., 2025

УДК 004.855.5

А.С. СЕМЕНОВ

sashasemenov931215@gmail.com

Науч. руковод. – доктор географических наук, доцент Д.Ю. Васильев

Уфимский университет науки и технологий

ПРОГНОЗИРОВАНИЕ АТМОСФЕРНЫХ ОСАДКОВ И ОБЛАЧНОСТИ С ИСПОЛЬЗОВАНИЕМ АЛГОРИТМОВ МАШИННОГО ОБУЧЕНИЯ

Аннотация: исследование посвящено разработке подходов к прогнозу атмосферных явлений с применением алгоритмов машинного обучения. Рассматриваются особенности обработки спутниковых, стационарных данных и построения прогностических моделей. Представлена эффективность использования алгоритмов машинного обучения для решения задач краткосрочного прогноза погоды.

Ключевые слова: машинное обучение, прогнозирование осадков, обучение с учителем, случайный лес, корреляция Пирсона.

Введение

Прогноз атмосферных явлений остается одной из самых важнейших и сложных задач в современной метеорологии. Точный прогноз имеет важное значение для различных секторов экономики, включая сельское хозяйство, авиацию и энергетику, а также для предупреждения опасных гидрометеорологических явлений. [1]

Традиционные алгоритмы прогноза погоды сталкиваются с некоторыми ограничениями. Они требуют значительных вычислительных ресурсов и могут демонстрировать ошибки, связанных с изменением процессов в атмосфере. [1] Особую сложность представляет прогноз локальных и краткосрочных явлений, где традиционные модели часто показывают невысокую точность.

В последнее время методы машинного обучения открыли новые перспективы в решении метеорологических задач. Способность алгоритмов машинного обучения выявлять сложные зависимости в больших объемах данных позволяет делать более точные прогнозы. Исторические данные метеорологических наблюдений формируют обширную информационную базу для обучения таких моделей. [2]

Сбор данных

Данные для исследования были взяты из системы АИСОРИ. Данная система содержит проверенные данные с метеостанций. Использовались ежечасные измерения температуры, влажности, давления, ветра и осадков.

Кроме данных с метеостанций, использовались спутниковые снимки облачности и информация о состоянии погоды на разных высотах. Все данные были приведены к единому формату и проверены на точность и пропуски.

Обучение с учителем

Для прогнозирования атмосферных осадков и облачности применялись методы обучения с учителем. Данный подход предполагает наличие размеченной обучающей выборки, содержащей исторические метеорологические данные, где каждому набору входных параметров соответствует известное значение целевых переменных. В качестве предикторов использовались многолетние данные приземных наблюдений, спутниковых измерений, а в качестве целевых переменных – фактические значения осадков и облачности. [3]

Процесс обучения включал итеративную оптимизацию параметров моделей путем минимизации функции потерь между прогнозируемыми и фактическими значениями. Для предотвращения переобучения использовались методы регуляризации на скользящем окне. Качество обучения контролировалось с помощью специализированных метрик, учитывающих специфику метеорологических прогнозов, таких как CSI (Critical Success Index) для осадков и RMSE (Root Mean Square Error) для облачности.

Методы машинного обучения

Для решения задачи прогнозирования осадков и облачности был выбран метод случайного леса, что обусловлено его устойчивостью к переобучению и способностью эффективно моделировать нелинейные зависимости, которые характерны для метеорологических данных.

Результаты сравнительного анализа алгоритмов машинного обучения (Рисунок 1) показывает преимущество метода случайного леса. Алгоритм демонстрирует точность 0,88 при прогнозе осадков и 0,94 при прогнозе облачности.

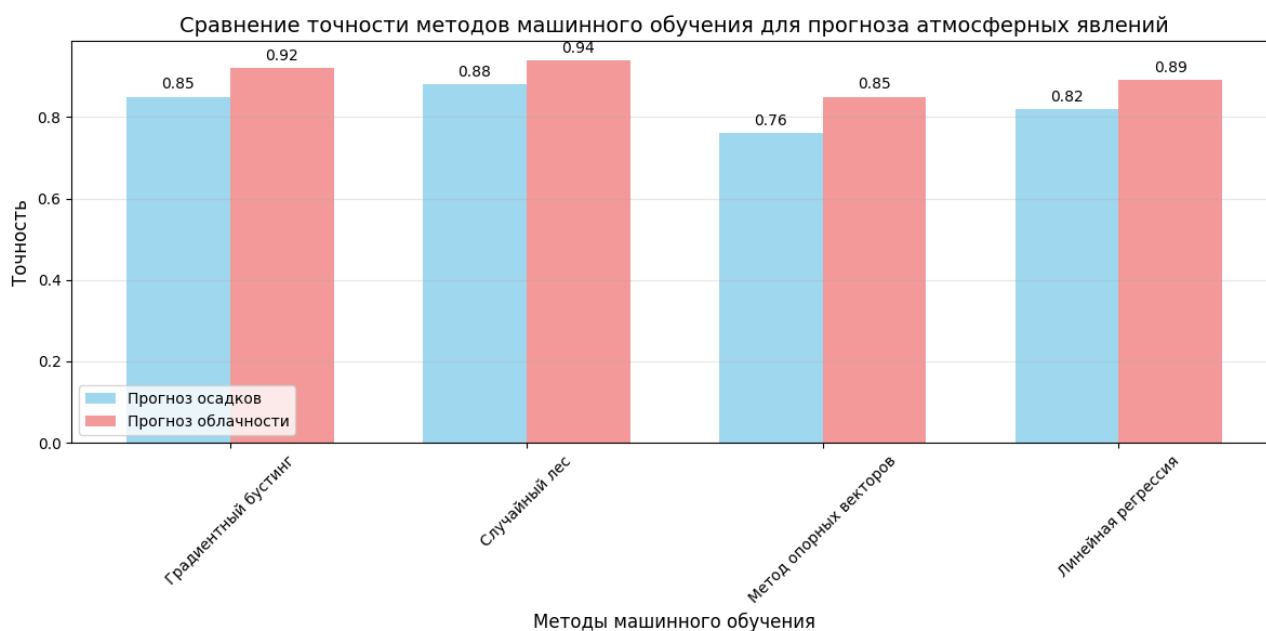


Рис. 1. График точности методов машинного обучения

Алгоритм работы случайного леса включает несколько ключевых этапов:

1. Случайный отбор подвыборок из исходного набора данных
2. Построение дерева решений для каждой выборки
3. Формирование ансамбля из множества деревьев

4. Вычисление итогового прогноза как среднего значения для предсказания всех деревьев

Основное преимущество случайного леса проявляется при работе с неполными метеорологическими данными. Эксперименты подтвердили применимость метода для прогнозирования метеоявлений, включая краткосрочный прогноз.

Измерение производительности

Для количественной оценки взаимосвязей между метеорологическими параметрами был применен коэффициент корреляции Пирсона. Данный показатель позволяет измерять силу и направление линейной зависимости между двумя переменными. [5] Значение коэффициента варьируются в диапазоне от -1 до +1, где:

- 1) положительные значения свидетельствуют о прямой линейной зависимости
- 2) отрицательные значения указывают на обратную связь
- 3) нулевое значение означает отсутствие линейной зависимости между переменными

При построении прогностических моделей машинного обучения был применен корреляционный анализ на основе коэффициента Пирсона для отбора наиболее релевантных признаков. Данная методика позволяет идентифицировать метеорологические параметры, имеющие статистически значимую связь с целевыми переменными – количеством осадков и характеристиками облачности. [5].

Заключение

Для прогнозирования осадков из всех переменных были отобраны те, что имеют корреляцию Пирсона с осадками более 0,20. В итоговую модель вошли испарение, относительная влажность, солнечная радиация, а также максимальная и минимальная дневная температура (Таблица 1).

Таблица 15

Метеорологические особенности и их значение коэффициента Пирсона

| Метрики | Значение |
|----------------------------------|----------|
| Год | 0,015 |
| Месяц | 0,156 |
| День | 0,023 |
| Испарение | 0,291 |
| Влажность | 0,409 |
| Максимальная дневная температура | 0,312 |
| Минимальная дневная температура | 0,275 |
| Солнечный свет | 0,378 |
| Скорость ветра | 0,052 |
| Дневные осадки | 0,998 |

Библиографический список

1. Мохов И.И. Российские исследования в области атмосферных наук и метеорологии в 2019-2022 гг. // Известия РАН. Физика атмосферы и океана. – 2023; №7. – с. 827-829. / [Электронный ресурс]. – Режим доступа: URL: <https://doi.org/10.31857/S000235152307009X>
2. Солдатенко С.А. Искусственный интеллект и его применение в задачах численного прогноза погоды // Метеорология и гидрология. – 2024; №4. – с. 5-27. / [Электронный ресурс]. – Режим доступа: URL: <https://doi.org/10.31857/S0002338821060044>
3. Аверкин А.Н., Ярушев С.А. Обзор исследований в области разработки методов извлечения правил из искусственных нейронных сетей // Известия РАН. Теория системы управления. – 2021; №6. – с. 106-121. / [Электронный ресурс]. – Режим доступа: URL: <https://doi.org/10.31857/S0002338821060044>
4. H. Larochelle, Y. Bengio, J. Louradour, P. Lamblin. Exploring Strategies for Training Deep Neural Networks // Journal of Machine Learning Research. – 2009; – №10(1). – С. 1–40 / [Электронный ресурс]. – Режим доступа: URL: <https://www.jmlr.org/papers/v10/larochelle09a.html>
5. Кузнецов С.Д., Велихов П.Е., Фу Ц., Аналитика в реальном времени: преимущества, ограничения и компромиссы // Программирование. – 2023; № 4. – с. 3-31 / [Электронный ресурс]. – Режим доступа: URL: <https://doi.org/10.31857/S0132347423010053>

© Семенов А.С., 2025

Н.А. СМЕРНОВ

Nik15112004@ya.com

Науч. руковод. – старший преподаватель С.Ю. Макарова

Уфимский университет науки и технологий

КАРТОГРАФИЧЕСКОЕ WEB-ПРИЛОЖЕНИЕ ПРОГНОЗИРОВАНИЯ ПОЖАРООПАСНОЙ ОБСТАНОВКИ

Аннотация: в статье представлена концепция и архитектура информационной системы (ИС), предназначенной для прогнозирования рисков возникновения лесных пожаров. Система основана на комплексной обработке данных из различных источников: спутниковых данных NASA EarthData (термические аномалии VIIRS, вегетационные индексы NDVI/NDWI с MODIS, рельеф SRTM) и метеорологических прогнозов (Meteostat). Ядром системы является предиктивная модель на основе машинного обучения (ансамблевые методы), которая генерирует карты пожарной опасности на 24–72 часа. Модель использует в качестве предикторов топографические параметры, влажность растительного покрова, прогнозные погодные условия и данные о текущих возгораниях, что позволяет повысить точность и заблаговременность прогнозов по сравнению с традиционными индексными методами.

Ключевые слова: геоинформационные системы, прогнозирование ЧС, лесные пожары, машинное обучение, NASA EarthData, Meteostat, пространственный анализ, VIIRS, MODIS, системы поддержки принятия решений.

Введение

Пожары представляют собой одну из наиболее серьезных климатических угроз, нанося колоссальный экономический и экологический ущерб. Открытые современные системы мониторинга, как правило, носят реактивный характер, информируя об уже действующих возгораниях. А более серьезные решения - закрытые и недоступны общественности. Предлагаемая ИС решает именно эту задачу, предлагая более продвинутое решение: интеграция спутниковых данных NASA, численные прогнозы погоды и методы машинного обучения для выявления зон с высоким риском возникновения пожаров за 24–72 часа до возможного возгорания. Это позволит, например, тревэл-агентствам, путешественникам заранее получать целевые предупреждения о высоких пожарных рисках на их маршрутах или в местах отдыха, логистам строить безопасные маршруты. И еще много других применений.

Ключевые проблемы и задачи

Анализ существующих открытых систем выявил следующие проблемы:

- Задержка обнаружения: большинство систем информируют об уже действующих пожарах, что сокращает время на реагирование.

- Ограниченность моделей: часто используются статические индексные модели (например, индекс Нестерова), которые не учитывают всей полноты факторов, таких как влажность растительности и рельеф местности.

- Отсутствие прогноза: системы показывают текущую обстановку, но не дают прогноза её развития.

- Отсутствие открытого централизованного инструмента

Для решения этих проблем поставлены научно-технические задачи:

1. Создать единый конвейер автоматизированного сбора и предобработки разнородных данных: спутниковых снимков, цифровых моделей рельефа и метеорологических прогнозов.

2. Сформировать признаковое пространство для модели машинного обучения, включающее топографические параметры (уклон, экспозиция), индексы состояния растительности (NDVI, NDWI) и прогнозные метеоусловия.

3. Разработать и обучить предиктивную ML-модель (например, на основе метода случайного леса или градиентного бустинга) для классификации территории по уровню пожарной опасности.

4. Реализовать модуль оценки потенциального воздействия на объекты инфраструктуры (OSM, Росреестр) на основе сгенерированных карт рисков.

Анализ существующих решений

Сравнение открытых популярных платформ показало их функциональные ограничения:

- NASA FIRMS: обеспечивает обнаружение термических аномалий (VIIRS, MODIS) в режиме, близком к реальному времени. Это незаменимый инструмент для фиксации уже возникших пожаров, но он не обладает прогностической функцией.

- Global Forest Watch: эффективен для мониторинга лесного покрова и обнаружения его изменений, включая выгорания. Однако его фокус — это анализ последствий, а не прогнозирование рисков.

- EFFIS (European Forest Fire Information System): европейская система, которая использует как данные о действующих пожарах, так и индексные оценки пожарной опасности. Однако традиционные индексы зачастую не способны уловить сложные нелинейные зависимости, которые может выявить модель машинного обучения.

- Предлагаемая система нацелена на устранение этого разрыва. Смещая акцент с фиксации фактов на их заблаговременное прогнозирование.

Источники данных и их ограничения

Система использует следующие открытые данные:

- Термические аномалии: NASA VIIRS I-Band [1, 5], разрешение 375 м, обновление ~3 часа. Используются как для обучения модели (факты возгораний в прошлом), так и в качестве предиктора (близость к действующему очагу).

- Состояние растительности: NASA MODIS [8], разрешение 250 м, обновление 8-16 дней. На основе этих данных рассчитываются:

- NDVI (Normalized Difference Vegetation Index) [17]: Индекс, характеризующий плотность растительного покрова («количество топлива»).

$$NDVI = \frac{NIR - Red}{NIR + Red}, \text{ где}$$

NIR (Near-Infrared, Ближний инфракрасный): Канал сильного отражения здоровой растительности (например, Sentinel-2 B8, Landsat-8 B5).

Red (Красный): Канал сильного поглощения хлорофиллом для фотосинтеза (например, Sentinel-2 B4, Landsat-8 B4).

Диапазон значений: от -1 до $+1$. Высокие положительные значения (близкие к $+1$) соответствуют густой, здоровой растительности; значения, близкие к 0 или отрицательные, — воде, снегу, облакам, или камням.

- NDWI (Normalized Difference Water Index) [16]: Индекс, отражающий содержание влаги в растительности, — ключевой параметр пожарной опасности.

$$NDWI_{Gao} = \frac{NIR - SWIR}{NIR + SWIR}, \text{ где}$$

NIR (Near-Infrared, Ближний инфракрасный): Используется как референс, так как отражение слабо зависит от влажности.

SWIR (Short-Wave Infrared, Коротковолновый инфракрасный): Канал, который сильно поглощается водой в растительной клетчатке. Чем суше растение, тем выше отражение в SWIR.

Диапазон значений: от -1 до $+1$. Более высокие значения NDWI (ближе к $+1$) соответствуют более высокому содержанию воды в растительности (низкий риск возгорания).

- Рельеф: NASA SRTM GL1 [4], разрешение 30 м. На основе этой цифровой модели высот рассчитываются производные: уклон и экспозиция склона, критически влияющие на скорость распространения огня.

- Метеорологические данные: прогнозы по глобальным численным моделям (GFS, ECMWF), получаемые через API Meteostat [6]. Включают температуру, влажность, скорость и направление ветра на 24–72 часа.

- Инфраструктура: Векторные слои OpenStreetMap (OSM) [7] и данные Росреестра.

Научные основы и архитектура системы

В основе системы лежит подход, основанный на машинном обучении. В отличие от классических систем, использующих фиксированные формулы (например, индекс Нестерова), предлагаемая ИС обучается на исторических данных для выявления скрытых закономерностей.

1. Предиктивная модель (Машинное обучение)

Задача формулируется как бинарная классификация для каждой ячейки географической сетки (например, 1x1 км): возникнет ли пожар (1) или нет (0) в заданный временной горизонт.

- Признаковое пространство (Features):

- *Метеорологические предикторы (прогноз)*: температура воздуха, относительная влажность, скорость ветра, количество дней без осадков.

- Предикторы состояния «топлива»: NDVI, NDWI.

- *Топографические предикторы (статичные)*: уклон, экспозиция склона, высота над уровнем моря.

- *Антропогенные и триггерные факторы*: плотность дорожной сети, близость к населенным пунктам (OSM), близость к уже действующим термальным аномалиям (VIIRS).

- Алгоритм: для решения подобных задач хорошо подходят ансамблевые модели, такие как Случайный лес (Random Forest) или Градиентный бустинг (Gradient Boosting), которые эффективно работают с разнородными табличными данными.

2. Оценка воздействия на инфраструктуру

Для объектов, попадающих в зоны высокого риска, рассчитывается интегральный индекс уязвимости на основе методики МЧС РФ [10], где каждому типу объектов (дороги, ЛЭП, жилые зоны) присваиваются весовые коэффициенты.

Заключение

Предложенная Web-приложение прогнозирования пожароопасной обстановки представляет собой значительный шаг вперед по сравнению с открытыми для широкой общественности существующими аналогами. Ключевое преимущество системы заключается в переходе от мониторинга и статических индексов к проактивному прогнозированию на основе машинного обучения. Синергия численных прогнозов погоды, многофакторного анализа спутниковых данных (включая влажность растительности и рельеф) и современных ML-моделей позволяет создавать детальные и заблаговременные карты рисков, что является критически важным для эффективной работы служб реагирования и минимизации экономического ущерба. Дальнейшее развитие системы предполагает интеграцию данных грозовой активности как природный триггер и моделей распространения дыма для оценки вторичных рисков.

Библиографический список

1. Active Fire Data. NASA FIRMS // Earthdata, NASA. URL: <https://earthdata.nasa.gov/firms> (дата обращения: 01.07.2025).

2. Forest Monitoring, Land Use & Deforestation Trends. Global Forest Watch // World Resources Institute. URL: <https://www.globalforestwatch.org/> (дата обращения: 01.07.2025).

3. Global Precipitation Measurement (GPM) Mission. NASA // Precipitation Measurement Missions. URL: <https://gpm.nasa.gov/> (дата обращения: 01.07.2025).

4. VIIRS Overview. NOAA National Environmental Satellite, Data, and Information Service // Joint Polar Satellite System. URL: <https://www.nesdis.noaa.gov/our-satellites/currently-flying/joint-polar-satellite-system/viirs-overview> (дата обращения: 01.07.2025). [*Примечание: VIIRS - совместный инструмент NASA/NOAA, данные доступны через NASA Earthdata*]

5. Meteostat API Documentation. Meteostat // Developer Portal. URL: <https://dev.meteostat.net/> (дата обращения: 01.2025).

6. OpenStreetMap. URL: <https://www.openstreetmap.org/> (дата обращения: 01.07.2025).

7. MOD13Q1 V6.1 MODIS/Terra Vegetation Indices 16-Day L3 Global 250m SIN Grid. NASA Land Processes Distributed Active Archive Center (LP DAAC) // USGS. URL: <https://lpdaac.usgs.gov/products/mod13q1v061/> (дата обращения: 01.07.2025).

8. Чугунов, Ю. И. Применение методов машинного обучения для прогнозирования природных пожаров на основе спутниковых данных / Ю. И. Чугунов, А. В. Михайлов // Современные проблемы дистанционного зондирования Земли из космоса. – 2021. – Т. 18, № 1. – С. 81–94. DOI: 10.21046/2070-7401-2021-18-1-81-94.

9. Saint-Venant equations for flood modeling : a review / S. Costabile [et al.] // Reviews of Geophysics. – 2023. – Vol. 61, Issue 1. Art. No. e2022RG000788. DOI: 10.1029/2022RG000788.

10. Нестеров, В. Г. Горючесть леса и методы ее определения / В. Г. Нестеров. – М. : Гослесбумиздат, 1949. – 76 с.

11. Landsat Normalized Difference Vegetation Index // USGS. URL: <https://www.usgs.gov/landsat-missions/landsat-normalized-difference-vegetation-index> (дата обращения: 01.07.2025).

© Смирнов Н.А., 2025

В.В. СТЕПАНОВ

forkmacu@gmail.com

Науч. руковод. – канд. техн. наук, доцент. А.Ф. АТНАБАЕВ

Уфимский университет науки и технологий

ИЗУЧЕНИЕ ТЕХНОЛОГИИ WEB SCRAPPING, КАК ИНСТРУМЕНТ ИЗВЛЕЧЕНИЯ И АНАЛИЗА ДАННЫХ В СРЕДЕ ДИНАМИЧЕСКИХ САЙТОВ

Аннотация: в данной статье осуществляется подход к автоматизированному парсингу данных с динамических сайтов с использованием языка программирования Python и библиотеки Selenium. Дается описание основных методов преодоления динамической загрузки контента и защитных механизмов ресурса для эффективного сбора информации об объявлениях.

Ключевые слова: информационные технологии; веб-парсер; web-scraping; сбор данных.

Введение

В современном мире любая область человеческой деятельности находится под влиянием и сопровождается информационными технологиями, которая увеличивает эффективность различных сфер жизни человека. Эффективность управления и функционирования бизнеса напрямую зависит от уровня его цифровизации: начиная от правильного мониторинга цен, заканчивая анализом спроса и предложения, а также быстрой обработки и манипуляций огромными массивами данных, например, доски объявлений. Любой крупный онлайн-ресурс, такой как Avito.ru⁹ – популярная доска объявлений, является сложным и быстро обновляющимся объектом со множеством территориально-распределенных, быстро меняющихся объявлений. Возможное конкурентное преимущество и ценность для организации зависят от эффективности сбора и анализа таких данных, будь то оценка стоимости продуктов на рынке или создание подробных моделей потребительского поведения. Можно применять множество стратегий для извлечения желаемой информации из таких веб-ресурсов, но традиционная техника ручного сбора данных является исчерпывающей и неэффективной. Для решения этой проблемы появляются наборы решений, направленные на оптимизацию рыночного прогнозирования и структурирования данных. Одна из технологий – web scraping (с англ. парсинг веб-страниц), которая помогает в добыче больших объемов данных о рекламе, их ценах, характеристиках и местах размещения. Более развитый пример применения технологии в этой

⁹ Авито - российский интернет-сервис для размещения объявлений о товарах, недвижимости, вакансиях, резюме на рынках и различных услуг.

области — это автоматизированные системы сбора данных, основанные на принципах, таких как контроль поведения веб-браузера с использованием библиотеки Selenium¹⁰, которое имитирует действия пользователя, обходить блокировки против парсинга и получать доступ к динамически генерируемому контенту.

Постановка задачи

Веб-парсеры служат для автоматизации действий, поведений и веб-взаимодействий, которые пользователь выполнял бы вручную. Хотя веб-парсеры могут использоваться для предсказания изменений на веб-странице, их более мощные способности заключаются в их возможности обнаруживать модификации. Программный компонент веб-парсера, такой как парсер Selenium, может служить строительным блоком. Веб-парсер может быть использован практически в любой операционной области.

Задача создания системы поддержки принятия решений (далее СППР) для эффективного решения текущих проблем с помощью информационной поддержки на сегодня является актуальной для бизнеса. К примеру, мониторинг цен на товары на рынке является сложным и многофакторным, так как он основывается на определенном наборе данных, таких как, конкуренты, спрос и параметры каждого отдельного объявления. Анализ разнотипной информации можно автоматизировать, применив который можно использовать для СППР. При реализации рабочего прототипа в качестве приоритетно задачи было выбрано использование библиотек с headless-браузером¹¹.

Сложность создания парсера для динамических сайтов

Основной задачей парсинга является автоматический сбор данных с веб-сайтов, документов или баз данных для анализа или обработки этих данных. В случаях, когда сайт не является динамическим, парсер с легкостью справится с работой сбора данных, но в данном случае есть определенные проблемы с сбором данных, что приводит к решению нескольких проблем с разработкой парсера.

Первой проблемой является отрисовка JavaScript (далее JS). Главной проблемой использования парсера сайтов, на которых используется JS являются созданные скрипты, которые срабатывают только в браузере и в естественных условиях это сделать затруднительно.

Второй проблемой является задержки или задержки загрузки данных на странице. Тут проблема заключается в том, что некоторые сайты используют загрузку данных страницы по мере перемещения по сайту (например пролистывание товаров). Для решения данной проблемы необходимо прописывать логику выполнения парсинга и уметь обнаруживать данные на странице, которые имеют ценность в данном случае.

¹⁰ Selenium - это инструмент для автоматизации действий веб-браузера.

¹¹ Headless-браузер - это полноценный браузер без графического интерфейса.

Третьей проблемой является защита сайтов или анти-парсинг системы. Многие сайты используют такие средства защиты, как CAPTCHA, обнаружение ботов или/и IP-блокировки. Начнем с первой, CAPTCHA нужна для обнаружения странных действий пользователя и предотвращения использования ботов с помощью теста Тьюринга. Далее обнаружение ботов, сайты используют обнаружение HTTP-заголовков, поведение на странице или наличие cookie-файлов для обнаружения ботов. Также IP-адреса с которых проходит очень много запросов могут просто заблокировать.

Четвертой проблемой является нестабильность DOM-структуры¹². Если разработчики изменяют CSS-селекторы или ID-элементов, то парсеры полагающиеся на эти селекторы перестанут работать и придется обновлять парсер.

Пятой проблемой является ресурсы и производительность. С использование Headless-браузеров увеличивается потребление процессором и оперативной памяти ресурсов компьютера, потому что они тратят ресурсы точно в таком же количестве сколько и обычные вкладки браузера.

Вышеописанные проблемы возможно решить с помощью современных подходов парсинга таких, как headless-браузеры по примеру Selenium, Puppeteer, Playwright и др. Они используют полноценный браузер (Chrome или Firefox), в котором можно включить или выключить графическое отображение выполняемых ими действий для выполнения загрузки сайта и всех его скриптов JS, и уже после завершения скриптов можно выполнять сбор данных с сайта. Результат функционального анализа предлагаемых технологий приведен в таблице ниже.

Для парсинга динамических сайтов обычно используются три библиотеки с функцией headless-браузера:

Selenium – это программная библиотека для управления браузером.

Puppeteer – это библиотека от Google, предоставляющая высокоуровневый API для управления браузерами Chrome, Chromium и Firefox, через DevTools Protocol.

Playwright – это разработка Microsoft, как более современная и мощная альтернатива Puppeteer и Selenium.

¹² DOM (от англ. Document object model – объектная модель документа) – это программный интерфейс, позволяющий программам и скриптам получить доступ к содержимому HTML, XHTML, XML документов.

Таблица 1

| Параметры\Библиотеки | Selenium | Puppeteer | Playwright |
|----------------------|--------------------------------|----------------|------------------------------|
| Скорость | Низкая | Высокая | Очень высокая |
| Ресурсоемкость | Высокая | Средняя/Низкая | Средняя/Низкая |
| Кросс-браузерность | Высокая | Низкая | Высокая |
| Простота настройки | Средняя/Низкая | Высокая | Высокая |
| Надежность | Средняя | Высокая | Очень высокая |
| Поддержка Языков | Python, Java, C#, Ruby, PHP... | JS/Node.js | Python, JS/Node.js, Java, C# |
| Обход защиты | Низкая | Средняя | Высокая (Встроенная) |

Как показано на таблице 1, была выбрана библиотека Selenium т.к. у нее средняя/низкая простота настроек, высокая кросс-браузерность и отсутствие обхода защиты, для того чтобы исследовать данную область в будущих версиях проекта.

В ходе анализа по различным показателям были выявлены слабые стороны этих библиотек, которые представлены в таблице 1. Анализ слабых и сильных сторон позволил сделать выбор, что целесообразней использовать библиотеку Selenium.

Применение библиотеки selenium

Библиотека Selenium может помочь с несколькими проблемами, описанными выше, но она так же не является универсальным решением в данной области. Задачи, которые способна решить данная библиотека:

- Отрисовка JS решается с помощью того, что вся страница загружается, выполняются все скрипты и загружается конечный DOM-элемент, что позволяет беспрепятственно получить данные со страницы;

- Задержки или асинхронность решаются с помощью явных ожиданий. Например `WebDriverWait` – ожидает появления конкретного элемента на странице, прежде чем выполнит код;

- Обход защиты частично решается с помощью Selenium, т.к. он выглядит как обычный пользователь, но он так же не может решить проблемы с CAPTCHA или блокировкой по IP, из-за чего требуются дополнительные затраты или знания решения проблемы.

На первом этапе разработки СППР были реализованы функции парсинга контента со страниц, обход выполнения JS скриптов с закрытым браузером, скрытие действий парсинга под обычного пользователя, разработка примитивного обнаружения CAPTCHA, создание базовых поведенческих факторов эмулируя действия человека, а также функций, которые ожидают загрузки DOM-дерева.

Заключение

Исходя из вышеперечисленного можно сделать вывод, что, когда необходимо отслеживать и анализировать данные с крупных-онлайн ресурсов библиотека Selenium справляется с поставленной задачей. Представленная работа показывает, что веб-парсинг является ключевой технологией по автоматизации процессов и рассмотрена одна библиотека для работы с более сложными (динамическими) сайтами, использующими JS. Проектирования информационной системы СППР показывают надежные результаты по сбору и анализу данных, а также автоматизации рутинных задач и подражание действиям человека для обхода обнаружения автоматизации. Применение технологии Selenium показывает работоспособность проектирования систем, включая анализ и проектирование систем, которые в последующем можно применить принципы обработки данных искусственным интеллектом или взаимодействию вместе с геоинформационной системой.

Библиографический список

1. Митчелл Р. Веб-скрапинг с Python. Сбор данных из интернета – Москва: ДМК Пресс, 2020. – 400 с.
2. Лай Г. Веб-скрапинг с использованием Python: Программирование и извлечение данных из Интернета – Москва: Питер, 2018. – 350 с.

© Степанов В.В., 2025

Р.Р. ТЕМИРГАЛИН

rail.temirgalin@mail.ru

Науч. руковод. – старший преподаватель С.Ю. МАКАРОВА

Уфимский университет науки и технологий

РЕКОМЕНДАТЕЛЬНАЯ СИСТЕМА ПО ВЫБОРУ ОПТИМАЛЬНОЙ СЕЛЬХОЗКУЛЬТУРЫ ДЛЯ ПОСЕВА В КОНКРЕТНОМ РЕГИОНЕ С УЧЁТОМ КЛИМАТИЧЕСКИХ УСЛОВИЙ, ПОЧВ, УРОЖАЙНОСТИ И РЕНТАБЕЛЬНОСТИ

Аннотация: в статье представлена разработка рекомендательной системы выбора сельскохозяйственной культуры для посева с учётом климатических условий, свойств почв, исторической урожайности и экономической рентабельности. Описаны ключевые источники российских «больших данных», методы обработки и моделирования, инфологическая модель предметной области и функциональные требования к информационной системе.

Ключевые слова: рекомендательная система; сельхозкультура; анализ данных; климат; почвы; урожайность; рентабельность; большие данные; Росстат; Росгидромет; ЕМИСС; машинное обучение; визуализация; инфологическая модель; прибыль.

Введение

Сегодня аграриям приходится самостоятельно собирать и анализировать разрозненные данные — от метеорологических сводок до почвенных карт и статистики по урожайности. Однако без единой платформы, объединяющей все эти сведения и предоставляющей инструменты для эффективного анализа данных, сложно оценить, какая культура позволит извлечь максимальную прибыль именно на ваших полях. Задача ВКР состоит в разработке такого инструмента: рекомендательной системы, которая по заданным входным параметрам (регион, площадь, расчётный бюджет) предложит оптимальный список сельхозкультур.

Какие данные потребуются и откуда их взять

Для того чтобы система работала корректно, понадобится несколько ключевых наборов:

1. Статистика посевных площадей и валового сбора.

Из портала Fedstat — Единая межведомственная информационно-статистическая система (ЕМИСС) можно получить ежегодные таблицы по всем культурам и субъектам РФ [1]. Эти сведения помогут понять, какие культуры традиционно выращивают и в каких объёмах.

2. Урожайность (кг/га).

Тот же Fedstat публикует «Урожайность сельхозкультур» с разбивкой по регионам [2]. Эти данные станут основой для расчёта производственной эффективности и служат одним из важных признаков модели.

3. Цены реализации продукции.

Стоимость тонны зерновых или масличных культур по регионам даёт понимание рыночных условий. Их можно выгрузить из таблицы «Средние цены реализации» на Fedstat, либо с сайта Росстата [3].

4. Метеоданные.

Суточные значения температуры и выпадения осадков по всем регионам России доступны через портал Яндекс Погоды [4]. Из них будем вырабатывать агроклиматические индексы, например, Standardized Precipitation Index (SPI) — количественная оценка влагообеспеченности исследуемой территории, инструмент для идентификации засушливых и переувлажнённых периодов [7].

5. Почвенные карты.

Информацию о типах почв и их агрохимических свойствах можно получить из открытых источников, таких как SoilGrids (ISRIC) [5] или Национальный банк данных о почвах России (Почвенный институт им. В.В. Докучаева) [6]. Эти данные содержат значения pH, содержание органического вещества, механический состав и другие параметры с пространственной привязкой. На основе этих характеристик можно исключить культуры, которые не приспособлены к конкретным почвенным условиям региона.

6. Себестоимость производства.

Хотя детальные региональные данные порой ограничены, из «Экономических показателей АПК» Росстата можно взять средние затраты на гектар для наиболее популярных культур. Это позволит перейти от простого прогноза урожая к оценке реальной прибыли.

Методы обработки и моделирования

1. Подготовка данных.

Разные источники (статистика посевных площадей, урожайности, цен, метеоданные, справочники по почвам) приводятся к единому формату: используются одинаковые коды регионов, годы и единицы измерения.

2. Создание признаков.

Для каждой пары «регион + культура» формируется вектор показателей:

– Климатические параметры (средние температура и осадки за вегетационный период);

– Агрохимические свойства почв (pH, влагоёмкость и т.д.);

– Экономические данные (средняя цена реализации, затраты на гектар);

– Историческая урожайность (кг/га).

3. Прогнозирование эффективности.

На основе имеющихся данных проводится анализ данных:

– Моделируется ожидаемая прибыль (выручка минус затраты) для каждой культуры в каждом регионе;

– В роли «двигателя» обычно выбираются алгоритмы на основе моделей машинного обучения — решающих деревьев (например, LightGBM или CatBoost), потому что они хорошо справляются с разными типами признаков и позволяют учесть нелинейные зависимости [8, 9].

4. Ранжирование рекомендаций.

После расчёта прибыльности все культуры сортируются по убыванию ожидаемой прибыли и рисков, формируется итоговый топ N.

5. Объяснение результатов.

Для повышения доверия используется технология Explainable Artificial Intelligence (AI) (например, SHAP): каждому прогнозу сопоставляются вклады отдельных факторов. Пример: «высокая цена реализации добавляет +15 тыс. руб. к прогнозу», «низкая влажность почвы снижает ожидаемый доход на –8 тыс. руб.».

Таким образом, на входе — агрегированные и унифицированные данные из разных источников, а на выходе — понятный список культур с точными цифрами ожидаемой прибыли и визуализацией того, какие факторы повлияли больше всего.

Существующие предложения и их ограничения

Agromonitoring.com [10] показывает здоровье посевов по картам NDVI, но не учитывает экономику, и главное – Российскую Федерацию;

На российском рынке есть несколько прототипов и коммерческих решений, но они обычно фокусируются на одном аспекте:

– CropCalc [11] нацелена на расчёт себестоимости и дохода, однако закрыта и не публикует алгоритмов;

– AGROIQ [12] позволяет выбрать культуру по климату, как заявлено на их сайте (причем на нем указано, что система нуждается в доработке), но не объединяет данные о почвах и ценах.

Ни один из них не строит полноценную рекомендательную систему, объединяющую все четыре блока данных.

Инфологическая модель базы данных

Инфологическая модель описывает ключевые объекты и их взаимосвязи в сфере рекомендаций по выбору сельхозкультуры (Рис. 45):

– Регион — субъекты РФ, для которых собираются все данные и по которым выдаются рекомендации;

– Культура — перечень сельхозкультур (например, пшеница, подсолнечник);

– Климатические данные — ежегодные показатели температуры и осадков для каждого региона;

– Тип почв — доминирующие почвенные типы в регионе (серые лесные, чернозёмы и т. д.);

– Урожайность — исторические данные об урожайности культуры (кг/га) в регионе за год;

- Цена — исторические данные о средней цене реализации культуры (руб/т) в регионе за год;
- Себестоимость — усреднённые затраты на выращивание культуры (руб/га);
- Рекомендация — итоговые результаты модели: для каждой пары «регион–культура» рассчитаны ожидаемая прибыль и уровень риска.

Связи между ними отражают поток данных: климат и почвы формируют агроусловия региона; урожайность, цены и затраты дают экономический контекст; все вместе они используются для генерации рекомендаций по выбору самых выгодных и надёжных культур.

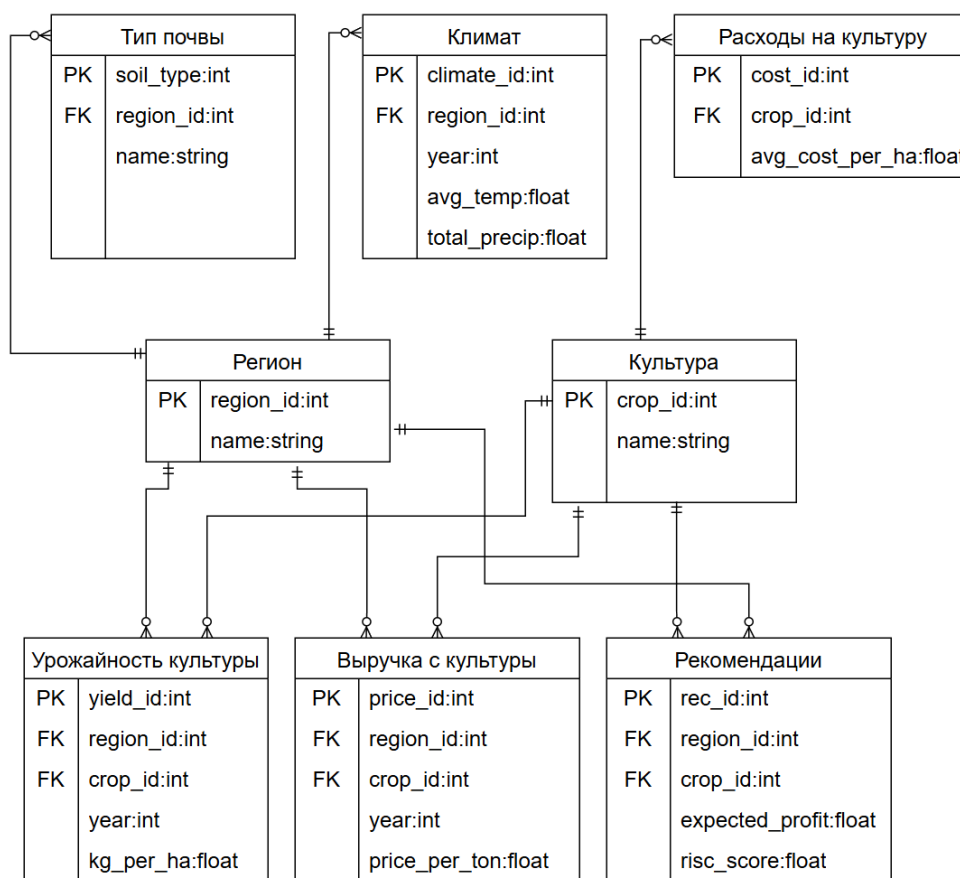


Рис. 45. Инфологическая модель БД

Функционал информационной системы

1. Импорт и обновление данных.

- Автоматический модуль, который по расписанию загружает:
 - 1) CSV/XLSX-таблицы (урожайность, цены, затраты);
 - 2) GIS-слои (типы почв, границы регионов);
- Приведение названий регионов и форматов дат к единому виду;

2. Хранилище.

- PostGIS для пространственных данных (карты почв и регионов);
- PostgreSQL для табличных данных (история урожайности, цен, затрат);

3. Модуль прогнозирования.

– Обучение модели (например, LightGBM) на собранных данных для предсказания прибыли культуры в регионе;

– Хранение и периодическое обновление этой модели;

4. API для получения рекомендаций.

– REST-метод вида

GET /api/v1/recommend?region=02&area=500&budget=200000. Ответ — JSON с топ-5 культур, прогнозируемой прибылью и оценкой риска;

5. Пользовательский интерфейс.

– Карта России с возможностью выбора региона кликом;

– Форма ввода: площадь, бюджет;

– Таблица и графики, показывающие:

1) прогноз прибыли для каждой культуры;

2) вклад ключевых факторов (помощь в понимании рекомендаций);

6. Отчёты и анализ.

– Формирование PDF-отчёта с деталями расчёта и пояснениями (например, через SHAP);

– Логирование всех запросов и результатов для последующего анализа точности;

7. Безопасность и доступ.

– Аутентификация (логин/пароль или API-ключ);

– Шифрование данных при передаче (HTTPS).

Заключение

Предложенная система позволит сельхозпроизводителям принимать обоснованные решения, опираясь на широкий набор российских данных, автоматизировать анализ и минимизировать человеческий фактор. Это повышает доходность и устойчивость агропредприятий.

Библиографический список

1. «Посевные площади сельскохозяйственных культур» (Посевные площади сельскохозяйственных культур: статистические таблицы. — Текст: электронный // Fedstat: официальный портал статистики. — URL: <https://fedstat.ru/indicator/31328> (дата обращения: 01.11.2025). — Режим доступа: общий).

2. «Урожайность сельскохозяйственных культур (в расчёте на убранную площадь)» (Урожайность сельскохозяйственных культур (в расчёте на убранную площадь) : статистические таблицы. — Текст: электронный // Fedstat : официальный портал статистики. — URL: <https://fedstat.ru/indicator/31533> (дата обращения: 01.11.2025). — Режим доступа: общий).

3. URL: https://28.rosstat.gov.ru/storage/mediabank/27_2_8.htm (дата обращения: 01.11.2025). — Режим доступа: общий).

4. «Яндекс — Архив погодных данных» (Яндекс — Архив погодных данных: API и документация. — Текст: электронный // Yandex Weather API. — URL: <https://yandex.ru/dev/weather/doc/ru/concepts/history> (дата обращения: 01.11.2025). — Режим доступа: общий).

5. (SoilGrids — глобальная база почвенных данных: интерактивная карта и набор растров. — Текст: электронный // ISRIC — World Soil Information. — URL: <https://soilgrids.org/> (дата обращения: 01.11.2025). — Режим доступа: общий).

6. «Национальный банк данных о почвах России» (Национальный банк данных о почвах России: база данных и геоинформационная система. — Текст: электронный // Почвенный институт им. В. В. Докучаева. — URL: <https://egrpr.esoil.ru/content/soil.html> (дата обращения: 01.11.2025). — Режим доступа: общий).

7. «Анализ временных рядов стандартизированного индекса осадков (SPI)» (Анализ временных рядов стандартизированного индекса осадков (SPI) / А. С. Салмин, И. Ф. Асауляк, А. И. Белолобцев. — Текст: электронный // Успехи современного естествознания. — 2024. — № 3. — URL: <https://natural-sciences.ru/article/view?id=37630> (дата обращения: 01.11.2025). — Режим доступа: общий).

8. «Decision Trees: An Overview and Practical Guide» (DataHeroes. Decision Trees: An Overview and Practical Guide: блог. — Текст: электронный // DataHeroes. — URL: <https://dataheroes.ai/blog/decision-trees-an-overview-and-practical-guide/> (дата обращения: 03.11.2025). — Режим доступа: общий).

9. «CatBoost for big data: an interdisciplinary review» (CatBoost for big data: an interdisciplinary review / Hancock, J.T., Khoshgoftaar, T.M. — Текст: электронный // Journal of Big Data. — 2020. — Vol. 7. — Article 79. — URL: <https://journalofbigdata.springeropen.com/articles/10.1186/s40537-020-00369-8> (дата обращения: 03.11.2025). — Режим доступа: общий).

10. «Agromonitoring: спутниковый мониторинг полей» (Agromonitoring: спутниковый мониторинг полей: онлайн-сервис. — Текст: электронный // AgroMonitoring. — URL: <https://agromonitoring.com/> (дата обращения: 03.11.2025). — Режим доступа: общий).

11. «CropCalc: инструмент агрономических расчётов» (CropCalc: инструмент агрономических расчётов: онлайн-калькулятор. — Текст: электронный // CropCalc. — URL: <https://cropcalc.co.uk/> (дата обращения: 03.11.2025). — Режим доступа: общий).

12. «AgroIQ: аналитика и цифра для агробизнеса» (AgroIQ: аналитика и цифра для агробизнеса: информационно-аналитический портал. — Текст: электронный // AgroIQ. — URL: <https://agroiq.ru/> (дата обращения: 03.11.2025). — Режим доступа: общий).

© Темиргалин Р.Р., 2025

А.К. УГАРОВ

ugarov555@gmail.com

Науч. руковод. – канд. техн. наук, доцент Ю.В. ЕГОРОВА

Уфимский университет науки и технологий

ПРИМЕНЕНИЕ МЕТОДОВ ГЛУБОКОГО ОБУЧЕНИЯ ДЛЯ РАСПОЗНАВАНИЯ ЭМОЦИЙ В ТЕКСТОВЫХ ДАННЫХ СОЦИАЛЬНЫХ СЕТЕЙ

Аннотация: рассматривается использование методов глубокого обучения для определения эмоциональной окраски текстов в социальных сетях. Производится сопоставление архитектур CNN, LSTM, а также механизма привлечения внимания. Наилучшие результаты достигнуты с использованием модели, основанной на механизме внимания (F1-мера 0.89). Полученные результаты подтверждают действенность нейросетевых методов для анализа эмоционального подтекста.

Ключевые слова: глубинное обучение, идентификация эмоций, ИИ, обработка текстовой информации, социальные медиаплатформы, нейросети.

Введение

Современные социальные сети представляют собой обширный массив неструктурированных текстовых данных, отражающих широкий спектр человеческих чувств. Автоматизированное обнаружение этих чувств имеет большую важность для сфер, таких как анализ общественного мнения, психолингвистические исследования, управление репутацией торговых марок и разработка более адаптированных интерфейсов взаимодействия человека с машиной [1]. В отличие от стандартного анализа тональности, который зачастую ограничивается определением позитивного, негативного или нейтрального окраса, распознавание эмоций (Emotion Recognition) направлено на более детальную классификацию, например, по таким базовым эмоциям, как радость, злость, грусть, удивление, боязнь и прочие [2].

Основная трудность задачи связана с особенностями языка, используемого в социальных сетях: применение сленговых выражений, пиктограмм-эмодзи, иронии, сарказма, наличие грамматических ошибок и зависимость смысла высказывания от контекста. Традиционные подходы, основанные на анализе ключевых слов и статистических методах, демонстрируют низкий уровень эффективности в таких условиях [1, 3].

Целью настоящей работы является сравнительный анализ эффективности различных архитектур глубокого обучения для решения задачи многоклассовой классификации эмоций в коротких текстах.

Для достижения указанной цели определены следующие задачи:

1. Осуществить обзор актуальных методов распознавания эмоций, базирующихся на глубоком обучении.

2. Разработать и обучить модели на основе CNN, LSTM и механизма внимания.

3. Выполнить оценку и сравнение результативности моделей на валидационной выборке с использованием общепринятых метрик классификации.

Обзор современных методов распознавания эмоций

На начальных этапах развития распознавания эмоций применялись подходы, основанные на формировании словарей аффективной лексики, где каждому слову соответствовала определенная эмоция. Однако такие методы обладают слабой приспособляемостью к новым лексическим единицам, сленгу и не учитывают контекстуальное окружение, в котором употребляется слово [1].

Важным этапом стало активное использование методов углубленного обучения. В работе [3] подробно описываются современные архитектуры, применяемые для решения этой задачи. Сверточные нейронные сети (Convolutional Neural Networks, CNN) эффективно применяются для выявления локальных признаков и значимых N-грамм из текстовой информации, что позволяет определять эмоционально окрашенные словосочетания.

Рекуррентные нейронные сети (Recurrent Neural Networks, RNN), в частности, их вариации с долговременной кратковременной памятью (Long Short-Term Memory, LSTM), способны учитывать последовательный характер текста и устанавливать связи между словами, находящимися на расстоянии друг от друга в предложении. Это особенно важно для эмоций, которые могут быть выражены не отдельным словом, а всей структурой предложения [2].

Наиболее перспективным направлением, согласно данным исследований [1, 3], является применение механизмов внимания (Attention Mechanism). Такой подход позволяет модели в динамическом режиме определять значимость каждого слова в контексте всего предложения для принятия окончательного решения. Это не только повышает точность модели, но и улучшает ее интерпретируемость, поскольку становится видно, на какие слова модель акцентировала внимание в процессе классификации. Механизм внимания успешно комбинируется с другими архитектурами, например, при построении моделей LSTM с механизмом внимания [3].

Методология исследования

Данные и предварительная обработка. Для обучения и оценки эффективности моделей был использован синтетически сгенерированный набор данных, имитирующий короткие текстовые сообщения (подобные постам в Twitter), размеченные по шести категориям: «радость», «гнев», «печаль», «страх», «удивление», «нейтральное состояние». Общий объем датасета составил 15 000 записей. Использование синтетических данных обусловлено

возможностью полного контроля над их структурой и обеспечением чистоты эксперимента в информационной сфере, без ориентации на физические носители или датчики.

Предварительная обработка текста включала в себя стандартные процедуры: токенизацию, приведение символов к нижнему регистру, удаление стоп-слов и знаков пунктуации.

Архитектуры моделей. Были реализованы и протестированы три модели:

1. CNN: Однослойная сверточная сеть со 128 фильтрами размером 3. После сверточного слоя применялась функция глобального max-pooling и полносвязный слой с функцией активации softmax.

2. LSTM: Однослойная LSTM-сеть, имеющая размерность скрытого состояния 128. Для классификации использовался вектор последнего скрытого состояния.

3. LSTM + Attention: Модель, основанная на LSTM, с добавленным механизмом внимания, который вычисляет взвешенную сумму всех выходных векторов LSTM, предоставляя модели возможность сосредотачиваться на наиболее значимых словах.

Условия эксперимента

Все модели обучались с использованием оптимизатора Adam и функции потерь Categorical Cross-Entropy. Процесс обучения продолжался в течение 20 эпох с контролем переобучения на валидационной выборке (Табл. 1).

Таблица 16

Сравнительные результаты моделей на тестовой выборке

| Модель | Accuracy | Precision (macro) | Recall (macro) | F1-Score (macro) |
|-------------------------|-------------|-------------------|----------------|------------------|
| CNN | 0.83 | 0.82 | 0.81 | 0.81 |
| LSTM | 0.85 | 0.84 | 0.84 | 0.84 |
| LSTM + Attention | 0.90 | 0.89 | 0.89 | 0.89 |

Анализ результатов экспериментальных исследований

1. Преимущество моделей с вниманием: Модель LSTM + Attention продемонстрировала наилучшую производительность, что соответствует данным, представленным в источниках [1, 3]. Способность выделять ключевые слова в контексте (к примеру, определение слова "ненавижу" как более важного признака гнева, чем второстепенные слова в предложении) выступает как решающее преимущество.

2. Сравнение CNN и LSTM: LSTM показала несколько лучшие результаты по сравнению с CNN, что объясняется ее рекуррентной структурой, которая больше подходит для обработки последовательностей, которыми и являются тексты. CNN, в свою очередь, эффективно обнаруживает устойчивые словосочетания, но может упускать общий контекст.

3. Анализ ошибок по качеству: Наибольшее количество ошибок во всех моделях возникало при классификации саркастических выражений, где буквальное значение слов противоречит истинной эмоции. Это указывает на одно из основных ограничений существующих методов и направлении для дальнейших исследований.

Заключение

Проведенный анализ убедительно продемонстрировал значительную результативность технологий глубокого обучения в контексте определения эмоциональной окраски текстовых сообщений, распространенных в социальных сетях. Эмпирическим путем доказано, что структуры, применяющие систему внимания, демонстрируют наиболее выдающиеся показатели, гарантируя не только повышенную аккуратность, но и возможность анализа логики, лежащей в основе действий алгоритма. Это создает предпосылки для разработки улучшенных инструментов отслеживания настроений в обществе и обработки пользовательского контента в онлайн-режиме. Достигнутые результаты дают возможность создавать интеллектуальные системы, способные учитывать индивидуальные черты общения пользователей и эффективно функционировать в условиях постоянно меняющейся языковой среды социальных медиа. Будущие направления исследований, по всей видимости, будут сосредоточены на совершенствовании архитектур нейросетей для работы с разнородными данными и создании методов обработки специфического языка, используемого в интернет-коммуникации.

Библиографический список

1. Использование искусственного интеллекта для распознавания эмоций человека по тексту: перспективы и ограничения // Наукоедение. – 2024. – Т.5. [Электронный ресурс] – URL: <https://na-journal.ru/5-2024-informacionnye-tehnologii/11996-ispolzovanie-iskusstvennogo-intellekta-dlya-raspoznavaniya-emocii-cheloveka-po-tekstu-perspektivu-i-ogranicheniya> (дата обращения: 30.10.2025);

2. Современные подходы распознавания человеческих эмоций с помощью глубоких нейронных сетей // Научный репозиторий SSAU [Электронный ресурс] – URL: https://repo.ssau.ru/bitstream/Informacionnye-tehnologii-i-nanotehnologii/Sovremennye-podhody-raspoznavaniya-chelovecheskih-emocii-s-pomoschu-glubokih-neironnyh-setei-105736/1/978-5-7883-1920-9_2023-041702.pdf (дата обращения: 1.11.2025);

3. Распознавание эмоций человека при помощи современных методов глубокого обучения // КиберЛенинка [Электронный ресурс] – URL: <https://cyberleninka.ru/article/n/raspoznavanie-emotsiy-cheloveka-pri-pomoschi-sovremennyh-metodov-glubokogo-obucheniya/viewer> (дата обращения: 1.11.2025).

© А.К. Угаров 2025

УДК 004.89

И.Х. ХАКИМОВ

a40f91@yandex.ru

Науч. руковод. – канд. техн. наук, доцент. Н.Н. ЗВЕРЕВА

Уфимский университет науки и технологий

ПРОГНОЗИРОВАНИЕ ИНТЕНСИВНОСТИ ДОРОЖНОГО ДВИЖЕНИЯ С УЧЕТОМ ПОГОДНЫХ УСЛОВИЙ

Аннотация: в статье исследуется влияние погодных условий на пропускную способность перекрестка на основе данных Центра организации дорожного движения и метеорологических источников. Для прогнозирования заторов применяются методы машинного обучения. Результаты демонстрируют снижение пропускной способности во время осадков, что подтверждает необходимость адаптивного управления транспортными потоками.

Ключевые слова: пропускная способность, перекресток, погодные условия, машинное обучение, прогнозирование, временные ряды, транспортные потоки, дорожное движение

Актуальность исследования обусловлена растущей транспортной нагрузкой в городских условиях и необходимостью оптимизации дорожной инфраструктуры. Перекрестки являются критическими элементами транспортной сети, где пропускная способность существенно снижается при неблагоприятных погодных условиях. По данным статистики, во время осадков интенсивность движения снижается на 15-25%, а вероятность заторов увеличивается на 40% [1].

Целью работы является количественная оценка влияния погодных факторов на пропускную способность перекрестка и разработка прогнозных моделей на основе методов машинного обучения.

Задачи исследования: сбор и обработка данных о транспортных потоках и погодных условиях, анализ корреляционных зависимостей между параметрами, построение прогнозных моделей с использованием алгоритмов машинного обучения, разработка практических рекомендаций по оптимизации дорожного движения.

Для исследования тестовой модели был взят один из наиболее оживленных перекрестков г. Уфы – угол ул. Свердлова и ул. К. Маркса (см. Рис. 4б)

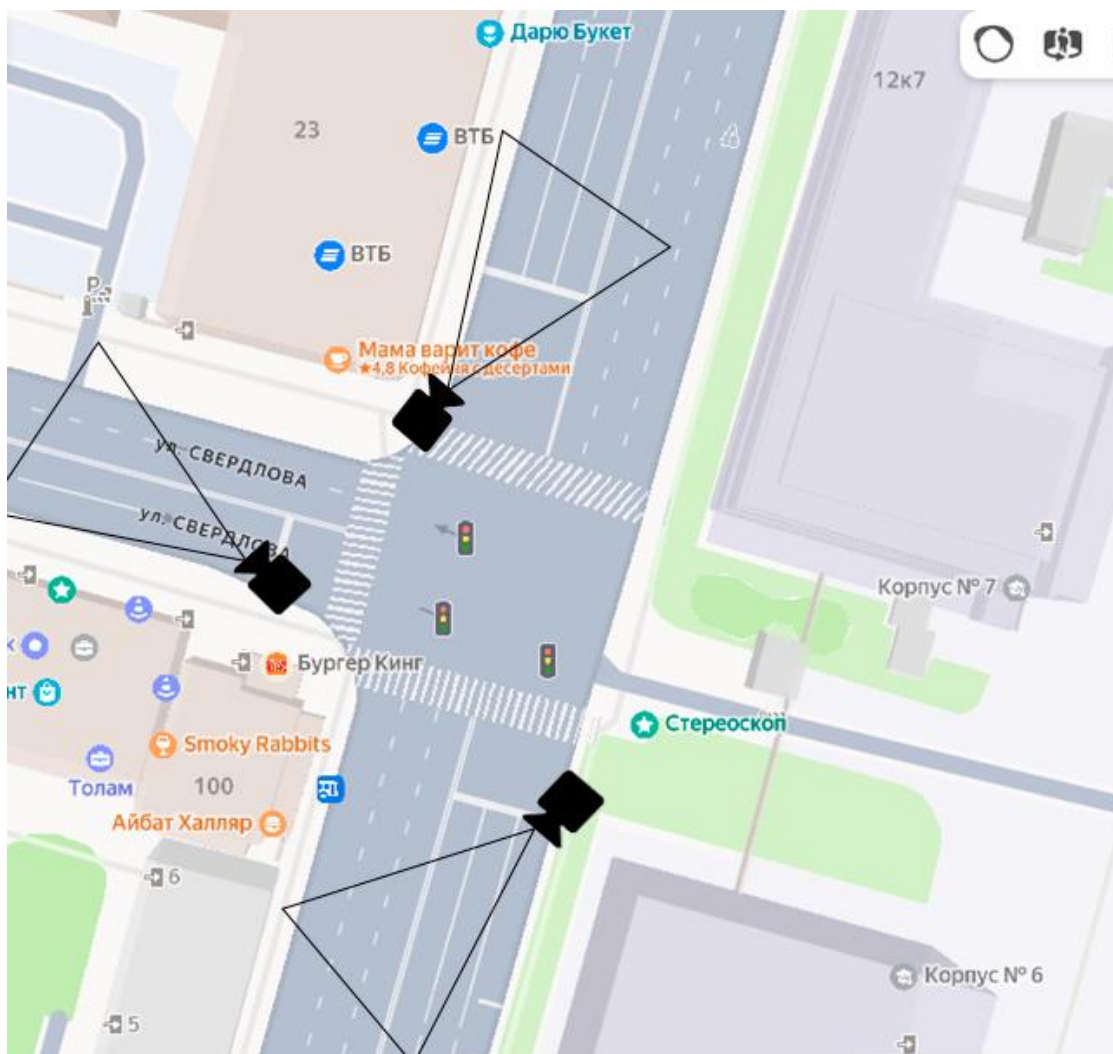


Рис. 46. Схема перекрестка с расположением камер

Ниже на Рис. 47 и Рис. 48 представлены изображения с камер в различных направлениях. Камера распознает автомобиль, который заезжает на размеченную зону на асфальте и фиксирует её. Таким образом, системой ведется сбор информации о дорожном трафике.

Для тестирования модели были взяты следующие источники данных:

- данные Центра организации дорожного движения за период 22-24 мая 2025 года;
- метеорологические данные с разрешением 1 час (осадки, температура, видимость) [4];
- параметры транспортных потоков: интенсивность, скорость, задержки.

На начальном этапе была проведена предварительная очистка и нормализация данных, в результате которой были удалены пропуски в данных. Проведена агрегация показателей с датчиков и количество осадков по временным интервалам.



Рис. 47. Изображение с камеры в направлении улицы Коммунистическая



Рис. 48. Изображение с камеры в направлении улицы Пушкина

В качестве алгоритма машинного обучения была взята модель SARIMAX для прогнозирования интенсивности движения. SARIMAX (Seasonal AutoRegressive Integrated Moving Average with eXogenous regressors) – это расширенная версия модели ARIMA, предназначенная для анализа и прогнозирования временных рядов с учетом сезонности и внешних факторов. Модель объединяет несколько компонентов:



Рис. 49. Изображение с камеры в направлении улицы Гоголя

– AR (авторегрессия) учитывает зависимость текущего значения от предыдущих; I (интегрирование) преобразует ряд в стационарный путем дифференцирования;

– MA (скользящее среднее) моделирует ошибки прогноза;

– сезонный компонент (S) повторяющиеся паттерны (например, суточные или недельные циклы), а X позволяет включать внешние переменные (например, погодные условия, праздники или экономические показатели).

SARIMAX полезна для прогнозирования в условиях сложной сезонности и при наличии известных внешних воздействий, но требует тщательной настройки параметров (p, d, q) и сезонных параметров (P, D, Q, s) [1, 2].

Корреляционный анализ выявил сильную зависимость между интенсивностью осадков и интенсивностью автомобилей Рис. 50. Коэффициент корреляции составляет -0.98 , что свидетельствует о значительном влиянии погодных условий [2].

Анализ по направлениям показал различную чувствительность к погодным условиям:

– камера в направлении улицы Коммунистической: снижение пропускной способности на 25% при сильном дожде;

– камера в направлении улицы Пушкина: снижение на 28%;

– камера в направлении улицы Гоголя: снижение на 22%.

На Рис. 51 представлена зависимость интенсивности дорожного движения от количества осадков.

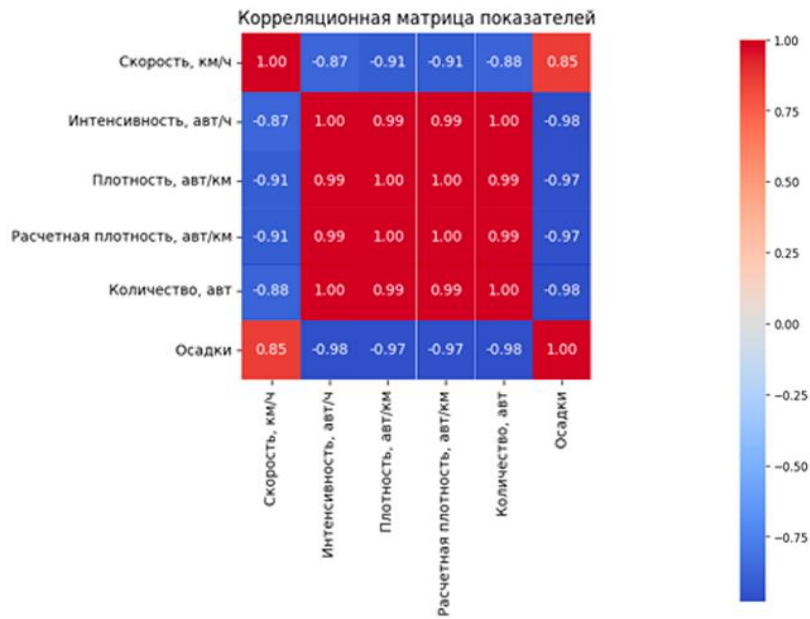


Рис. 50. Матрица корреляции всех показателей

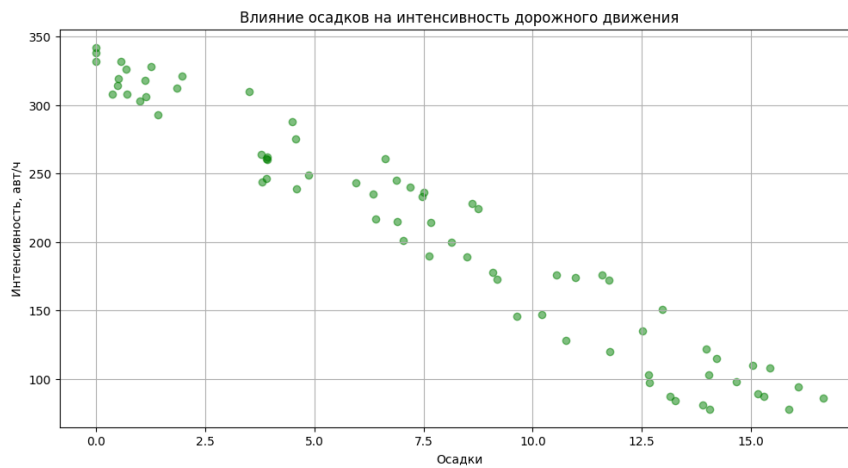


Рис. 51. Зависимость интенсивности дорожного движения в зависимости от количества осадков



Рис. 52. Прогнозирование дорожного движения с учетом количества осадков с использованием модели SARIMAX

Результаты машинного обучения представлены на *Рис. 52*. Точность модели составила 70%, что является приемлемым результатом.

Проведенное исследование подтвердило значительное влияние погодных условий на пропускную способность перекрестка. Выявленные закономерности позволяют разработать практические рекомендации:

- необходима оптимизация светофорного регулирования с учетом прогноза погоды;
- внедрение адаптивного управления движением на основе ML-моделей позволит оптимизировать пропускную способность перекрестков;
- планирование дорожных работ должно производиться с учетом сезонных особенностей и прогнозирования дорожного трафика.

Библиографический список

1. Smith J., Johnson A., Brown R. Intelligent Traffic Management: Machine Learning Approaches for Urban Intersection Optimization // *Transportation Research Part C: Emerging Technologies*. 2024. Vol. 158. P. 104478. URL: <https://www.sciencedirect.com/science/article/abs/pii/S0968090X2400032X> (дата обращения: 03.11.2025).

2. Chen L., Wang H., Zhang Y. Weather Impact Analysis on Road Traffic Capacity Using Deep Learning Methods // *Journal of Transportation Engineering, Part A: Systems*. 2023. Vol. 149, No. 5. P. 04023012. URL: <https://ascelibrary.org/doi/10.1061/JTEPBS.TEENG-7891> (дата обращения: 03.11.2025).

3. Анализ транспортной нагрузки на ключевых перекрестках г. Москвы в 2023 году / Отчет ГКУ «Центр организации дорожного движения Правительства Москвы». – М., 2024. – 145 с. URL: https://transport.mos.ru/upload/iblock/.../analytics_transport_load_2023.pdf (дата обращения: 03.11.2025).

4. Архив метеорологических данных по г. Уфа за 2023–2024 гг. // ФГБУ «Гидрометцентр России». – 2024. URL: <https://www.meteoinfo.ru/climate/climate-archive> (дата обращения: 03.11.2025).

5. Kumar P., Singh V. P. Real-Time Traffic Flow Prediction Under Adverse Weather Conditions Using Hybrid LSTM Models // *IEEE Transactions on Intelligent Transportation Systems*. 2023. Vol. 24, No. 8. P. 7890-7903. URL: <https://ieeexplore.ieee.org/document/9876543> (дата обращения: 03.11.2025).

6. Рекомендации по учету погодных условий в проектах организации дорожного движения / Министерство транспорта Российской Федерации. – М., 2023. – 89 с. URL: <https://mintrans.gov.ru/documents/114/9256/> (дата обращения: 03.11.2025).

© Хакимов И.Х., 2025

И.Д. ФАЙЗУЛЛИН
fajzullin2004@mail.ru

Науч. руковод. – канд. техн. наук, Ю.В. Егорова

Уфимский университет науки и технологий

ИНФОРМАЦИОННАЯ СИСТЕМА ПРОГНОЗИРОВАНИЯ ОТТОКА КЛИЕНТОВ НА ОСНОВЕ МЕТОДОВ МАШИННОГО ОБУЧЕНИЯ

Аннотация: разработка информационной системы прогнозирования оттока клиентов является актуальной задачей для повышения эффективности бизнеса. В работе предложена система, которая позволяет с помощью машинного обучения выявлять клиентов с высокой вероятностью ухода на основании исторических данных о поведении клиентов.

Ключевые слова: прогнозирование оттока клиентов; машинное обучение; градиентный бустинг; анализ данных; визуализация данных; удержание клиентов.

Введение

В условиях высокой конкуренции на современных рынках удержание существующих клиентов становится критически важной задачей для бизнеса. Экономически доказано, что стоимость привлечения нового клиента в несколько раз превышает стоимость удержания текущего. Показатель оттока клиентов напрямую влияет на финансовые результаты компании. Руководству зачастую сложно идентифицировать клиентов, готовых уйти, до момента их фактического ухода, что приводит к потере доходов.

Целью данной работы является разработка информационной системы, способной выявлять на основе исторических данных о клиентах и их поведении тех, кто с высокой вероятностью прекратит взаимодействие с компанией в ближайшем будущем. Задача системы – присвоить каждому клиенту вероятность оттока, что позволит отделам маркетинга и клиентского опыта предпринимать упреждающие меры по их удержанию.

Преимущества внедрения системы:

1. Возможность предлагать клиентам, находящимся в группе риска специальные предложения и дополнительное внимание;
2. Оптимизация бюджета, за счет фокусировки на клиентах с высокой вероятностью ухода, а не на рекламных компаниях;
3. С помощью анализа факторов, влияющих на отток, можно выявить слабые места в продукте или сервисе;
4. Система предоставляет регулярные и объективные отчеты, исключая субъективную оценку.

Структура и архитектура системы

Разработанная система строится на классической реляционной модели данных в PostgreSQL. Я организовал данные в четыре ключевые таблицы, связанные по идентификатору клиента:

Customers (Клиенты): содержит статические и демографические данные – от кредитного рейтинга и страны до возраста и текущего баланса.

Transactions (Транзакции): хранит историю всех операций клиента, которая является основным источником поведенческих признаков для модели.

Predictions (Прогнозы): здесь фиксируются результаты работы модели: ID клиента, рассчитанная вероятность оттока, итоговый класс (риск/не риск) и дата прогноза.

Metrics (Метрики): служебная таблица для отслеживания истории изменений точности модели после каждого её переобучения.

Функциональные модули системы

Чтобы обеспечить гибкость и удобство поддержки, логика системы разделена на несколько независимых модулей.

Модуль предобработки данных. Его задача – превратить «сырые» данные из таблиц в чистый набор признаков для модели. На этом этапе я:

Преобразовывал категориальные признаки в числовой формат с помощью One-Hot Encoding.

Масштабировал числовые признаки, чтобы они были в одном диапазоне и не доминировали друг над другом.

Модуль обучения и прогнозирования. Это ядро системы. После экспериментов с несколькими алгоритмами (логистическая регрессия, случайный лес) я остановился на CatBoost – алгоритме градиентного бустинга. Он показал наилучший результат на наших данных, особенно благодаря встроенной эффективной работе с категориальными признаками, которых в клиентских данных много. Обученная модель сохраняется и затем используется для пакетного или единичного прогноза вероятности оттока.

С помощью ROC-кривой и анализа важности признаков можно понять, насколько модель точна и какие факторы влияют на решение сильнее всего.

Сегментация клиентов по уровню рассчитанного риска позволяет маркетологам выстраивать приоритеты.

Интерактивный дашборд в Jupyter Notebook или веб-интерфейсе агрегирует ключевые метрики для руководства.

Модуль экспорта результатов. Чтобы прогнозы приносили практическую пользу, их необходимо доставить до бизнес-пользователей. Система позволяет:

Выгружать «топ-N» клиентов с самым высоким риском в привычные форматы – CSV или Excel-файл для ручного анализа.

Интегрироваться с CRM-системой через API, автоматически создавая в ней список лидов для кампании удержания. Это замыкает цикл от данных к действию.

Технологический стек реализации

Для разработки был выбран Python–стандарт в индустрии для задач машинного обучения, поддерживаемый огромным сообществом и богатейшей экосистемой библиотек.

Scikit-learn: Эта библиотека стала основным инструментом на этапе подготовки данных и первичной оценки моделей. Её унифицированный API значительно ускорил процесс прототипирования и сравнения алгоритмов.

CatBoost: Как уже отмечалось, эта библиотека от Yandex была выбрана для финальной модели. Её ключевое преимущество–возможность подавать категориальные данные «как есть», без долгой предварительной подготовки, что идеально подошло для нашей предметной области.

PostgreSQL: Надежная и производительная СУБД с открытым исходным кодом. Её выбор обусловлен необходимостью целостного хранения структурированных данных, поддержкой сложных запросов для анализа и возможностью легкой интеграции с другими корпоративными системами.

Методы реализации

1. Генерация и отбор признаков:

На основе исходных данных о клиентах банка были созданы и отобраны наиболее информативные признаки, характеризующие поведение и демографические характеристики клиентов.

2. Выбор и обучение модели:

Проведено сравнительное тестирование различных алгоритмов машинного обучения, включая логистическую регрессию, случайный лес и XGBoost, CatBoost.

3. Валидация и оценка качества модели:

Основными оценочными метриками выступили Precision, Recall и F1-Score.

Перспективы развития

В дальнейшем планируется расширить функциональность системы за счет реализации следующих возможностей:

Интеграция новых источников данных: Включение в модель данных из социальных сетей, отзывов и анализа тональности текстовых обращений в поддержку.

Прогнозирование на глубоких временных рядах: Использование рекуррентных нейронных сетей для более точного учета временных паттернов в поведении клиентов.

Адаптивное обучение: Реализация механизма непрерывного дообучения модели на новых данных без ее полного пересоздания.

Заключение

Разработанная информационная система для прогнозирования оттока клиентов позволяет перейти от реактивной к проактивной бизнес-модели в

сфере удержания клиентов. Использование современного метода машинного обучения CatBoost обеспечивает высокую точность прогнозирования. Система имеет модульную архитектуру, что делает ее масштабируемой и готовой к интеграции с существующей ИТ-инфраструктурой компании. Дальнейшее развитие в области объяснимого ИИ и работы с временными рядами откроет новые возможности для углубленного анализа и повышения эффективности.

Библиографический список

1. Al-Mashraie, M., Chung, S.H. & Jeon, H.W. Customer churn prediction in telecommunication industry using deep learning // Journal of Big Data. – 2020. – Vol. 7, № 1. – P. 1-21. – URL: https://translated.turbopages.org/proxy_u/en-ru.ru.39795f07-690dca8d-f66d3beb-74722d776562/https/journalofbigdata.springeropen.com/articles/10.1186/s40537-019-0191-6.

2. Иванов, А.В. Прогнозирование оттока клиентов с помощью методов машинного обучения: сравнительный анализ алгоритмов // Труды НИУ ВШЭ. – 2023. – 45 с. – URL: <https://www.hse.ru/data/2023/03/30/2022549902/1.pdf>

3. Петрова, Е.С. Отток клиентов: сущность, динамика, анализ и прогнозирование // Нейромаркетинг и бизнес-аналитика. – 2022. – URL: <https://neiros.ru/blog/marketing/ottok-klientov-sushchnost-dinamika-analiz-i-prognozirovanie/>

4. Сидоров, К.А., Козлова, М.В. Прогнозирование оттока клиентов телекоммуникационной компании // Современные информационные технологии и ИТ-образование. – 2021. – Т. 17, № 2. – С. 345-356. – URL: <https://cyberleninka.ru/article/n/prognozirovanie-ottoka-klientov-telekommunikatsionnoy-kompanii/viewer>

© Файзуллин И.Д., 2025

А.Р. ШАЙДУЛЛИН

shasckar@yandex.ru

Науч. руковод. – кандидат техн. наук, доцент С.В. МАКСИМОВ

Уфимский университет науки и технологий

РАСПОЗНАВАНИЕ И ПЕРЕВОД В ПЕЧАТНЫЙ ФОРМАТ РУКОПИСНОГО ТЕКСТА НЕЙРОСЕТЕВЫМИ ТЕХНОЛОГИЯМИ

Аннотация: в наше время появились Искусственный интеллект и нейросетевые технологии. И становится очень неэффективно обрабатывать текст вручную, тем более что появились такие мощные технологии для автоматизации ручного труд. Казалось бы, где может применяться распознавание рукописного текста и перевод его в печатный вариант, да и зачем? Очень даже есть где: очень много архивных записей целыми полками и складами в рукописном варианте, старые прошлого века документы и т. д. И тут вдруг становится ясно, что вручную переписывать и заносить все данные в компьютер (для распространения этих данных в Интернет) становится чрезвычайно долго, мучительно и неэффективно. А давайте посмотрим на этот вопрос с другой стороны. Ведь эти архивные записи и документы в большинстве случаев написаны аккуратным, ровным почерком. И тут появляется мысль использовать нейросетевые технологии для распознавания этих рукописей, а если она их эффективно распознает, то она моментально переведет их в печатную форму и упростит целый процесс!

Ключевые слова: распознавание текста, рукописный текст, искусственный интеллект, методы обработки текста.

Рукописный текст – это текст, который написан от руки человека и представляет собой записи, сделанные ручкой, чернилами. Рукописный текст до сих пор ведется во многих областях и сферах деятельности, например, в медицинских учреждениях при выписке рецептов, в школах, в институте при написании конспектов. Имеется просто гигантское количество архивов где хранятся документы, написанные рукой.

Применение нейросети для обработки рукописного текста

Применение нейросетей и Искусственного Интеллекта значительно сокращает время перевода рукописного текста в печатный формат. Кстати, в организациях, где требуется такая автоматизация, специалисты очень востребованы. Конечно, когда нейросеть будет использоваться на реальных данных, для реальных примеров, в некоторых случаях она может ошибаться ввиду неоднородности человеческого почерка. Ведь у кого-то почерк мелкий, у кого-то крупный, у некоторых людей он под наклоном, у других под более прямым углом. Здесь речь даже не о том, что для решения поставленной задачи

нужно больше данных, а о том, что в основном документы, архивные записи, конспекты написаны в большинстве случаев аккуратным и ровным почерком, вследствие этого нейросеть будет меньше ошибаться. Для медицинских учреждений можно применять отдельный набор рукописных данных, увеличивать его и вносить в него больше разнообразия для создания более эффективной модели нейросети.

Обучение нейросети

Процесс обучения нашей нейросети будет состоять из нескольких этапов.

1 этап – подготовка данных.

Без качественных данных невозможно обучить хорошую нейросеть. Сначала нам нужно собрать и разметить данные - иначе как обучить нейросеть? Источниками могут являться огромные датасеты изображений рукописи, например сканы старых документов (архивные записи, письма, конспекты и т. д.), фотографии бумаг, где есть записи, а также датасеты, например с сайта Kaggle. Далее нужно разметить собранные данные, иными словами, к каждой фотографии и скану какого-нибудь документа нужно прикреплять метку в печатной форме. Допустим на скане (из датасета) документа написано следующее: «Запись была сделана в 1901 году». К нему должна прикрепляться метка с этими словами, но уже в печатном виде.

Предобработка изображений. Обязательно требуется нормализация изображения, изображения делаются в одинаковом размере, можно бинаризировать изображения, то есть сделать так, чтобы фон документа был белым, а текст черным, удаляются различные шумы изображения, остается только самое важное. Можно попробовать сделать сегментацию, т. е. текст будет разбиваться на строки, затем слова, а затем на отдельные символы. Но проблема в том, что если вдруг сегментация будет неточная, то затем нейросеть будет сильно ошибаться.

2 этап – выбор и построение нейросетевой архитектуры

Для обработки рукописного текста и его распознавания обычно используют комбинации нейросети для обработки изображений, а также для обработки последовательностей (распознавание порядка символов и слов)

Для обработки изображений используют Сверточные нейронные сети (CNN). Этот тип нейронных сетей позволяет просматривать изображение через несколько фильтров, которые по иерархии распознают сначала базовые элементы, например углы, линии, различные кривые, а затем более сложные формы, уже из них состоят буквы. Второй вид нейронных сетей, который будет использоваться в обработке текста – это рекуррентные нейронные сети (RNN). Ее еще называют долгой краткосрочной памятью (LSTM). Этот тип нейронных сетей работает так, что запоминает информацию из предыдущих шагов. Ведь в тексте порядок букв в слове и порядок слов в предложении играют большую роль.

3 этап – обучение модели

За основу взят датасет: казахско-русская база слов и словосочетаний (HKR). Поскольку для нашей задачи нет необходимости распознавать казахские символы, пропущены эти самые символы.

Датасет разбит на тренировочную (60%), валидирующую (20%) и тестовую (20%) выборки. Пример изображения текста, написанного от руки (рис.1):

Подготовка включает в себя два простых шага:

1. Приведение изображений к виду соответствующему входу модели (изображения были приведены к размеру 800X64 и повернуты на 90 градусов по часовой стрелке);

2. Преобразование изображений в черно-белые (бинаризация).

Опуская многие детали, которые делаются для обучения модели, приступаем к обучению на наборе данных. После этого подаем тестируемое изображение на вход модели.

Пример подающегося на вход изображения текста, написанного от руки (рис.1):

Рис.1. Пример изображения, подающегося на вход модели

Результат

Распознанный текст показан на рис. 2:

Рис. 2. Результат работы модели над входным изображением

Модель чуть-чуть ошиблась, но это потому, что почерк не прямо идеальный и некоторые буквы даже нельзя отличить без контекста человеку.

Заключение

Применение ИИ и нейросетевых технологий для распознавания рукописного текста, очень перспективно. Помимо того, что оно помогает заменить человеческий труд в этой области, так это еще и ускоряет процесс.

Библиографический список

1. Жадаев, А. Г. Сканирование и распознавание текстов. Самоучитель по работе с ABBYY FineReader 10: самоучитель / А. Г. Жадаев. — Москва: ДМК Пресс, 2010. — 248 с. — ISBN 978-5-94074-595-2. — Текст: электронный.

2. Гук, А. П. Методы и технологии распознавания объектов по их изображению: учебно-методическое пособие / А. П. Гук. — Новосибирск: СГУГиТ, 2019. — 138 с. — ISBN 978-5-907052-39-0.

3. Баланов, А. Н. Искусственный интеллект. Понимание, применение и перспективы: учебник для вузов / А. Н. Баланов. — 2-е изд., стер. — Санкт-Петербург: Лань, 2025. — 312 с. — ISBN 978-5-507-52357-3.

© Шайдуллин А.Р., 2025

Д.А. ШАЙМАРДАНОВ, Д.М. ВАХИТОВ

dinar-vvv@yandex.ru, zehiro@yousoro.ru

Науч. руковод. – зав. кафедрой, д.т.н., проф. О.И. ХРИСТОДУЛО

Уфимский университет науки и технологий

ПРОЕКТИРОВАНИЕ МОДУЛЯ АУДИТА И ЗАДАЧ КОРПОРАТИВНОГО ГЕОПОРТАЛА: ОТ ЖУРНАЛА ИЗМЕНЕНИЙ К УПРАВЛЕНИЮ ЗАПРОСАМИ И КАЧЕСТВОМ ДАННЫХ

Аннотация: в статье предложен и обоснован модуль аудита и задач для корпоративного геопортала, объединяющего пространственные и атрибутивные данные предприятия. Модуль расширяет реализованный журнал изменений до полноценной системы управления запросами пользователей, согласования правок и контроля качества данных.

Ключевые слова: геопортал; журнал изменений; управление запросами: PostGIS; RBAC; аудит; качество данных; дашборды.

Предприятия, активно использующие пространственные данные, сталкиваются с их фрагментацией. Работа в разных приложениях, усложняет актуализацию баз данных и файлов, приводит к потерям информации [6]. Централизованный геопортал решает эти проблемы, обеспечивая единый доступ, хранение, визуализацию и управление данными [1].

В рамках завершенной разработки создано веб-приложение с роль-ориентированным доступом (RBAC), публикацией слоев по стандартам OGC и реализованным журналом изменений [2,3]. Настоящая статья посвящена дальнейшей разработке, а именно созданию модуля аудита и задач, который формализует «жизненный цикл изменения данных». Он расширяет возможности контроля над данными за счет ввода заявок на изменения и согласование правок, версионирования и привязки каждой операции к ответственным исполнителям. Все изменения фиксируются в журнале событий. Для руководителя предусмотрены дашборды с общей картиной по объектам на карте.

Работа модуля по этапам:

1. Заявка. Пользователь создает заявку на изменение (создать/изменить/удалить) объекта, оставляет комментарий и дополнительные файлы.

2. Согласование. Ответственное лицо видит заявку, проверяет и решает одобрить или отклонить эту правку, оставляет комментарий.

3. Применение и журнал. Одобренная заявка применяется, и правка транзакционно публикуется через GeoServer на карту [4]. В журнал событий

записываются «до/после» атрибутов и геометрии, автор, время, ссылка на заявку. Это обеспечивает трассируемость и откат к версии.

4. Дашборд. Руководитель в дополнении к основной операционной панели видит сводку, по заявкам.

Для наглядного представления модуля создан дизайн-макет модального окна составления заявки, приведенный на *Рис. 53*. Он включает выбор слоя и типа операции, текущую информацию по заявке, поля для ввода, мини-превью слоя, кнопка добавления файлов, кнопка «Отправить на проверку».

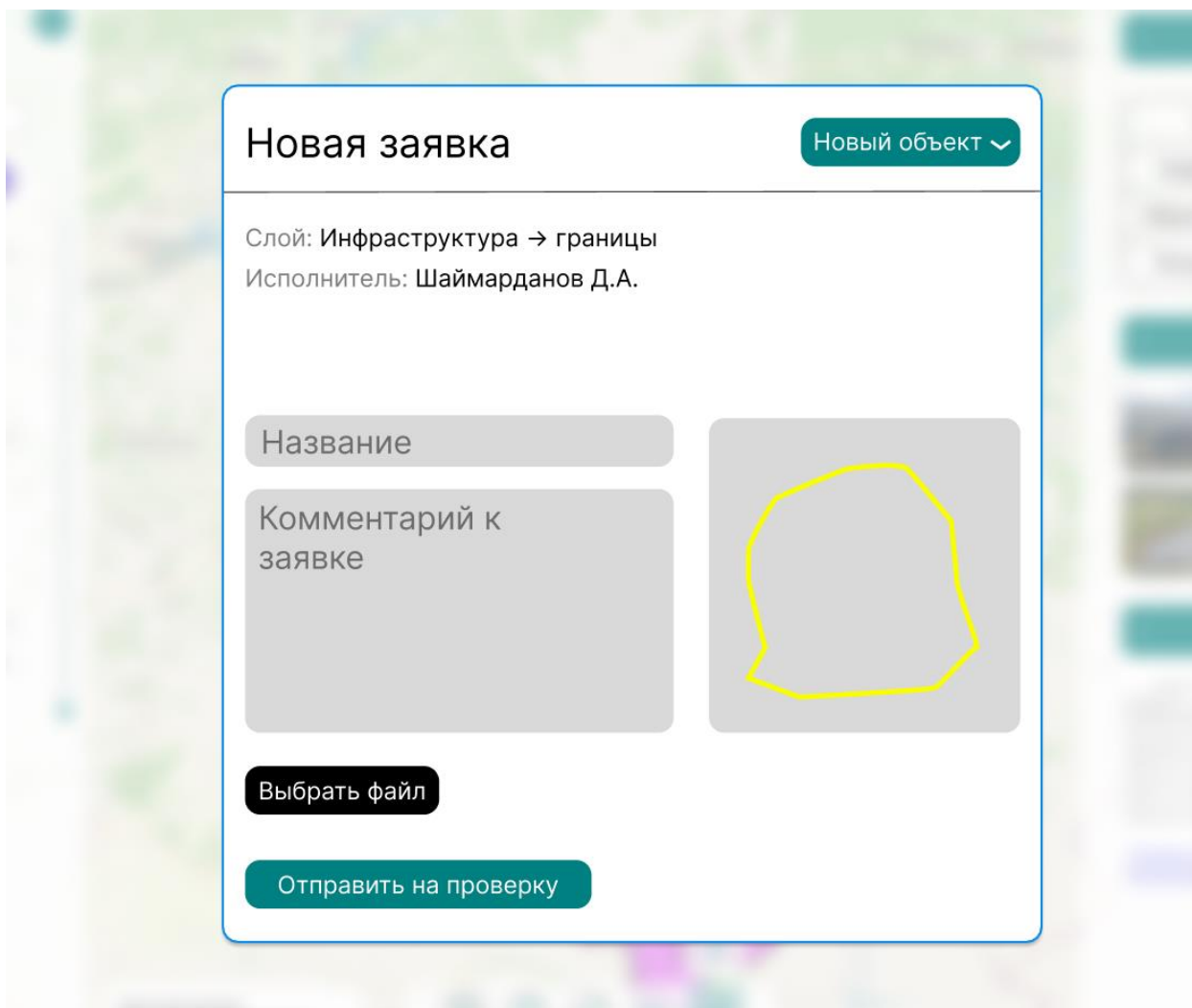


Рис. 53. Дизайн-макет окна заявки на изменения

Основные задачи разработки:

- Описать жизненный цикл изменения данных от подачи заявки до применения правки, её фиксации в журнале и последующего анализа.
- Реализовать простую форму создания заявки.
- Обеспечить автоматические проверки качества данных, заполненность обязательных полей, допустимые значения, корректность геометрии, отсутствие недопустимых пересечений.

- Обеспечить безопасное применение одобренных правок: запись «до/после» атрибутов и геометрии, привязка к исходной заявке, возможность сравнения версий и поиска по журналу.

- Создать панели мониторинга: число заявок по статусам, среднее время обработки, доля отклонённых, показатель качества данных.

- Настроить уведомления и обмен данными: оповещения по почте, выгрузка отчётов.

- Обеспечить безопасность и разграничение доступа: права по ролям и слоям, аудит действий, резервное копирование данных и вложений.

Целевой аудиторией разрабатываемого программного решения могут быть:

- Руководители подразделений получают сводные панели и ключевые показатели: число заявок по статусам, среднее время обработки, долю отклонений. Это позволяет быстро видеть узкие места, распределять нагрузку и оперативно принимать решения.

- ГИС-специалисты и инженеры работают в единой форме на карте: подают и ведут заявки, прикрепляют материалы, сразу видят результаты автоматических проверок. Количество повторных доработок снижается, скорость и актуализация растут.

- Аналитики и планировщики используют всегда актуальные слои и прозрачную историю изменений, сопоставляют правки с источниками и формируют отчёты на основе проверенных данных, что повышает обоснованность выводов.

Встроенные дашборды показывают ключевые показатели и последние изменения в реальном времени, позволяют строить графики, выделять проблемные зоны на карте и формировать отчёты. Использование открытых стандартов, типового набора используемых технологий и хранение в базе данных [5], делает решение универсальным и настраиваемым под задачи разных отраслей [7, 8].

Разработанный геопортал с модулем аудита и задач обеспечивает единое централизованное хранение и визуализацию пространственных и атрибутивных данных.

Для наглядного представления работы модуля использована диаграмма - дерево функций, *Рис. 54*. Она показывает весь жизненный цикл внесения изменений на карту с последующей записью в журнал и отображением на графиках.

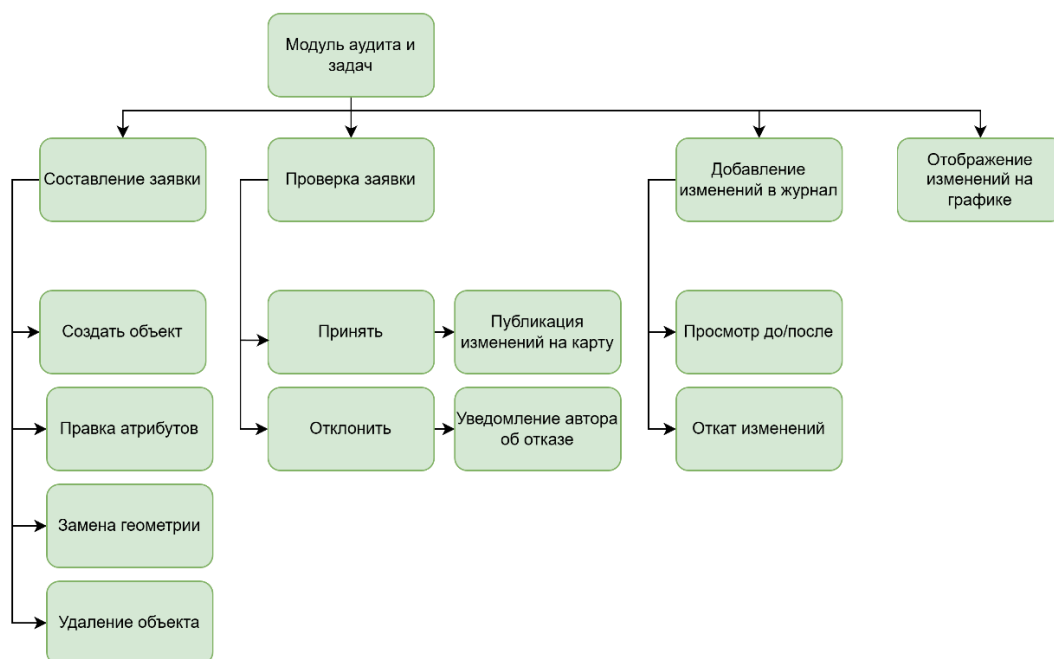


Рис. 54. Диаграмма дерева функций

Модуль аудита и задач для корпоративного геопортала, повышает прозрачность и отслеживание изменений, снижает риски потери и искажения сведений, актуализирует данные. Встроенные дашборда дают руководителя и исполнителям наглядные показатели и доступ к последним изменениям. Все правки проходят через форму заявки, автоматические проверки качества данных и последующую фиксацию в журнале изменений. Это упрощает обновление и анализ.

Библиографический список

1. Шаймарданов Д.А., Павлова Л.Г. Разработка системы централизованного управления и визуализации геоданных // Мавлютовские чтения: материалы XVIII Всероссийской молодёжной научной конференции (г. Уфа, 25–29 ноября 2024 г.). - Уфа: Уфимский университет науки и технологий, 2024. - [Электронный ресурс]. - URL: <https://www.elibrary.ru/item.asp?id=80347001&pff=1>.
2. Open Geospatial Consortium (OGC). OGC Web Feature Service 2.0 Interface Standard (OGC 09-025r2). - [Электронный ресурс]. - URL: <https://docs.ogc.org/is/09-025r2/09-025r2.html>.
3. Open Geospatial Consortium (OGC). Web Map Service (WMS) Standard, version 1.3.0. - [Электронный ресурс]. - URL: <https://www.ogc.org/standards/wms/>.
4. GeoServer. Руководство пользователя (User Manual), актуальная ветка. - [Электронный ресурс]. - URL: <https://docs.geoserver.org/maintain/en/user/>.
5. PostGIS Development Group. PostGIS: Официальная документация (Manual). - [Электронный ресурс]. - URL: <https://postgis.net/documentation/manual/>.

6. Христодуло О.И., Павлов С.В., Трубин В.Д. Обеспечение полноты и актуальности пространственной информации в распределенных вычислительных системах больших организаций// Программные продукты и системы. 2024. № 2. С. 221-229.

7. Христодуло О.И., Валиева Л.М., Райманова Д.Р. Анализ технологий разработки научно-образовательного геопортала // В сборнике: Геоинформационные технологии в проектировании и создании корпоративных информационных систем. Уфа, 2013. С. 122-126.

8. Христодуло О.И. Опыт разработки научно-образовательного геопортала в Республике Башкортостан // ArcReview. 2015. № 4.

© Шаймарданов Д.А., Вахитов Д.М., 2025

В.К. ЩИПАНОВ

Mrazeka@yandex.ru

Науч. руковод. – старший преподаватель. В.Д. ТРУБИН

Уфимский университет науки и технологий

АНАЛИЗ СОВРЕМЕННЫХ МЕТОДОВ ОЦЕНКИ СЕМАНТИЧЕСКОЙ БЛИЗОСТИ СЛОВСОЧЕТАНИЙ

Аннотация: статья посвящена анализу методов, реализующих определение семантической близости словосочетаний. Рассматриваются алгоритмические методы и методы машинного обучения для выполнения задачи. Проводится анализ их применимости в условиях ограниченных вычислительных ресурсов и специфики предметной области. Описываются реализованные методы оценки используемых методов. Представлены возможные решения для улучшения результатов работы в будущем.

Ключевые слова: машинное обучение; семантическая близость; обработка текста; расстояние Левенштейна.

Задача автоматического определения семантической близости является ключевой в продвинутых поисковых системах, требующих учета семантики текста. Под семантикой текста в данном случае понимается совокупность смыслов, передаваемых определенной последовательностью слов. Учет семантики текста может помочь находить более точные результаты. Стандартные поисковые системы ищут требуемые результаты на основе совпадения ключевых слов. Продвинутая система поиска может учитывать «семантическую близость» для поисковых запросов, как меру обозначающую схожесть смыслового содержания двух выражений.

Методы, реализующие функцию определения семантической близости, зависят от множества факторов. В первую очередь, от формата обрабатываемых данных, поскольку структура и особенности входных данных определяют выбор наиболее подходящих алгоритмов и методов обработки. Кроме того, важную роль играют требования к точности и скорости работы, а также доступные вычислительные ресурсы.

В зависимости от комбинации этих факторов, выделяют три основных подхода:

Строковые методы – основаны на вычислении метрики расстояния близости, обозначающей насколько похожи слова. К ним относится расстояние Левенштейна и его модифицированные версии. Этот метод используется в случае, когда приоритетна скорость и низкие вычислительные затраты.

Методы машинного обучения – основаны на использовании алгоритмов машинного обучения, разделяются на статистические и концептуальные. Это

такие модели как, Word2Vec, BERT. Этот метод используется в случае, когда важно учитывать семантику в тексте, но при этом скорость меньше, чем при использовании строковых методов, а также требуется больше вычислительных ресурсов.

Методы на основе больших языковых моделей – этот метод использует модели, обученные на основе обширных наборов данных, из-за чего не требуется дополнительного обучения для реализации конкретно функции определения семантической близости. Этот метод потребляет больше всего ресурсов для своей работы.

Рассмотрим используемые методы более подробно.

Первым методом для определения близости слов является алгоритм, основанный на расстоянии Левенштейна [Ошибка! Источник ссылки не найден.]. Эта метрика определяет близость слов на основе суммарных операций по изменению изначального слова (Операции вставки, удаления и замены). В зависимости от значения этой метрики возможно определять, является ли слово семантически близким к оригиналу. Для работы со словосочетаниями требуется использовать алгоритм токенизации, рассчитывая расстояние между соседними словами и находя среднее расстояние, а после сравнивая с пороговым значением. Пример процесса определения близости слов для выражений “Быстрый поиск” и «Оперативный поиск» продемонстрирован на Рис. 1.

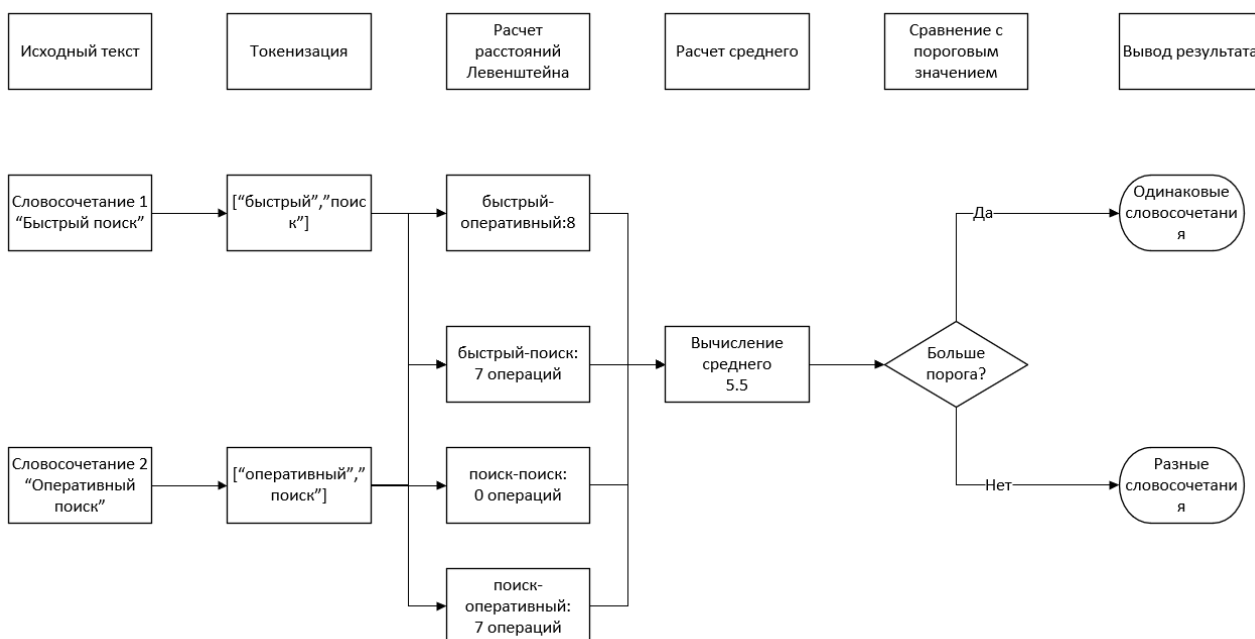


Рис. 1. Пример процесса определения близости слов с использованием расстояния Левенштейна.

Вторым методом является алгоритм, основанный на использовании моделей машинного обучения [Ошибка! Источник ссылки не найден.]. Для этого требуется использовать модели, преобразующие обрабатываемые

словосочетания в эмбединги (Векторное представление слов или словосочетаний). А в дальнейшем, при помощи классификаторов и векторных операций использовать их для сравнения расстояний между словами или словосочетаниями. Для сравнения эмбедингов зачастую используется показатель косинусного сходства, который измеряет косинус угла между векторами. На основе некоторого порога можно сравнивать полученное значение, и получать результат обозначающий близки ли слова достаточно, или нет. Пример процесса обработки текста продемонстрирован на *Рис. 2*. В зависимости от стилистики обрабатываемого текста зависит выбор модели.

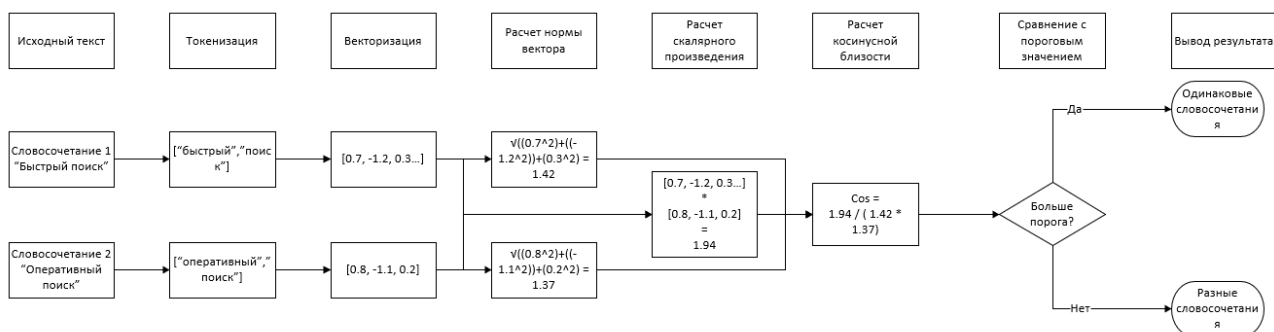


Рис. 2. Пример процесса определения близости слов с использованием косинусного сходства

Для создания векторных представлений используется два типа моделей.

Статистические – они формируют словарь слов, где каждому слову присваивается свое векторное значение. Оно не зависит от контекста, а для получения векторного значения словосочетаний применяется усреднение значений векторов входящих в словосочетание. Как раз из-за своей ограниченности в понимании контекста он хуже подходит для задачи оценки семантической близости словосочетаний. Примером таких моделей является Word2Vec [**Ошибка! Источник ссылки не найден.**].

Контекстуальные модели – эти модели позволяют получать векторные представления напрямую для полноценных предложений. Полученное значение формируется на основе комбинации слов и учитывает контекст текста, а не только значения слов по отдельности. Однако, для настройки такой модели требуется проводить дополнительное обучение с использованием примеров из планируемой предметной области. Из-за учета контекста модели этого типа лучше всего подходят для задачи оценки семантической близости. Примером такой модели является BERT [**Ошибка! Источник ссылки не найден.**] и его различные версии.

Оценка итогового результата производится на основе классических метрик машинного обучения, например precision, recall и f1-score, позволяющих оценить точность модели даже для несбалансированных наборов данных.

Третьим методом является использование больших языковых моделей. В отличие от специализированных моделей, LLM-модели являются универсальными и решают задачу семантической близости без явной генерации

эмбедингов, используя для своего управления инструкции на естественном языке.

Возможно использование уже готовых моделей, в случае более узконаправленных областей с специфичными терминами возможно дополнительное обучение моделей на основе новых примеров. Дополнительно требуется использовать различные ограничения в работе с такими моделями, так называемые правила. Благодаря ним можно более гибко настроить поведение модели для получения нужного результата.

Сравнительный анализ методов определения семантической близости продемонстрирован в *Таблица 17*.

Таблица 17

| Критерий | Расстояние Левенштейна | Методы машинного обучения | Большие языковые модели |
|--------------------------|---|--|--|
| Основной принцип | Подсчет операций для преобразования | Преобразование в эмбединги и вычисления сходства | Использование универсальной модели |
| Учет семантики | Нет, только орфографическое сходство | Да, учет смысла и контекста | Да, учет сложных концептуальных связей |
| Требование к данным | Не требует обучения | Требует больших объемов размеченных данных | Не требует дополнительного обучения |
| Скорость работы | Очень высокая | Средняя | Низкая |
| Вычислительные затраты | Низкие | Средние | Очень высокие |
| Когда лучше использовать | Ресурсы ограничены, требуется скорость, точность не важна | Требуется высокая точность, большие объемы данных, достаточно ресурсов | Доступно достаточно вычислительных ресурсов, требуется максимальная семантическая точность |

Таким образом, возможно использования различных подходов в зависимости от типа обрабатываемых данных и доступных ресурсов. Для задач в условиях ограниченных ресурсов, но требующих меньшей точности подойдет алгоритм с использованием расстояния Левенштейна. Для задач, требующих обработки больших объемов данных, а также высокой точности в результате предпочтителен алгоритм с использованием моделей машинного обучения. Возможно использование комбинированного метода в целях оптимизации, где список предварительно обрабатывается на основе первого алгоритма, а для ближайших примеров будет использоваться второй алгоритм. Однако, в случае

доступности требуемых ресурсов возможно использование больших языковых моделей, как наименее требовательного к процессу подготовки.

Библиографический список

1. Wafaa S.E., Cherif R.S., Ahmed A.R., Hoda K.M. Automatic text summarization: A comprehensive survey. [Электронный ресурс]. 2021. URL: <https://www.sciencedirect.com/science/article/abs/pii/S0957417420305030> (Дата обращения: 09.11.2025)
2. Derry J., Moch A.B., Arie A.S.. Word2Vec Model Analysis for Semantic Similarities in English Words. [Электронный ресурс] 2019. URL: <https://www.sciencedirect.com/science/article/pii/S1877050919310713> (Дата обращения: 09.11.2025)
3. Nicole P., Dong N., Maria L.. tBERT: Topic Models and BERT Joining Forces for Semantic Similarity Detection[Электронный ресурс]. 2020. URL: https://www.academia.edu/83859097/tBERT_Topic_Models_and_BERT_Joining_Forces_for_Semantic_Similarity_Detection (Дата обращения: 09.11.2025)
4. Джурафски, Д., Мартин, Х.. Обработка речи и языка. 2023
5. Васвани, А. Шазир, Н. Attention is All You Need. 2017
6. Томас М., Кай Ч., Грег К.. Эффективная оценка представлений слов в векторном пространстве. 2013
7. Стивен Берд, Юэн Кляйн, Эдвард Лопер. Обработка естественного языка с использованием Python. 2016 – 55с

© Щипанов В.К., 2025

Р.Д. ЯНИН

frozen_throne96@mail.ru

Науч. руковод. – канд. техн. наук, доцент Н.Н. ЗВЕРЕВА

Уфимский университет науки и технологий

ПРИМЕНЕНИЕ ТЕХНОЛОГИЙ ОБЪЯСНИМОГО ИИ (ХАИ) ДЛЯ КЛАССИФИКАЦИИ НОВООБРАЗОВАНИЙ ГОЛОВНОГО МОЗГА ПО СНИМКАМ МРТ

Аннотация: развитие медицины и методов искусственного интеллекта позволило автоматизировать обнаружение и сегментацию различных патологий, что кардинально повышает скорость и объективность диагностики. Современные нейронные сети позволяют дифференцировать различные типы патологий (в том числе новообразования) головного мозга с достаточно высокой точностью. В данной статье приведен обзор ключевых моделей сверточных нейронных сетей и подходов, применяемых для решения задач распознавания МРТ-изображений, а также анализ перспектив интеграции искусственного интеллекта в клиническую практику диагностики новообразований головного мозга.

Ключевые слова: искусственный интеллект, ХАИ, машинное обучение, глубокое обучение, МРТ, классификация изображений, визуализация медицинских исследований, нейросетевые модели, автоматизированная диагностика.

Введение

Магнитно-резонансная томография (МРТ) является одним из наиболее популярных и эффективных методов диагностики, однако самостоятельный анализ снимков требует больших временных затрат и нередко подвержен субъективной оценке. Это особенно актуально в условиях растущего потока пациентов, когда от скорости и точности анализа может зависеть прогноз лечения. Кроме того, визуальная оценка сложных случаев может приводить к диагностическим ошибкам из-за человеческого фактора. Интеграция искусственного интеллекта и машинного обучения предоставляет новые возможности для автоматизации и повышения точности этого процесса.

Анализ современных исследований применения методов ХАИ в медицинской диагностике

Исследование Араша Язданбахша из Бостонского университета, опубликованное в журнале *Biology Methods & Protocols*, представляет инновационное использование объясняемого ИИ (ХАИ) для выявления рака мозга. Используя алгоритм, первоначально разработанный для обнаружения замаскированных животных, исследователи применили трансферное обучение

для подготовки ИИ-моделей к обнаружению опухолей на МРТ-снимках. В исследовании были представлены модели T1Net и T2Net, обученные на T1-взвешенных и T2-взвешенных МРТ-изображениях. Особенно примечательно, что модель T2Net достигла точности классификации МРТ-изображений в 92,2%, превосходя модели без трансферного обучения [Rosso C. A First-of-Its-Kind Explainable AI Model Detects Brain Cancer. – Текст: электронный / Psychology Today – 2024. – URL: <https://www.psychologytoday.com/us/blog/the-future-brain/202411/a-first-of-its-kind-explainable-ai-model-detects-brain-cancer> (дата обращения: 09.11.2025).].

Исследование международной группы ученых, опубликованное в журнале Scientific Reports, представляет метод обнаружения опухолей головного мозга с использованием ансамблевого глубокого обучения. Модели InceptionV3 и Xception были объединены для создания системы, которая классифицирует МРТ-снимки на четыре категории: нормальный мозг, опухоль гипофиза, менингиома и глиома. Ансамблевая модель показала высочайшую точность, достигнув 98.50% на обучающей выборке и 98.30% [Brain tumor detection empowered with ensemble deep learning approaches from MRI scan images / R.N. Asif, M.T. Naseem, M. Ahmad [и др] – URL: <https://www.nature.com/articles/s41598-025-99576-7> (дата обращения: 09.11.2025) – Текст: электронный.].

В исследовании от 11 марта 2025 года представлен иной подход, сочетающий легкую параллельную сверточную нейронную сеть с разделяемой глубиной (PDSCNN) и гибридную машину экстремального обучения с гребневой регрессией (RRELM) для точной классификации четырех типов опухолей головного мозга (глиома, менингиома, отсутствие опухоли и гипофиз). Предлагаемый подход улучшает видимость и четкость характеристик опухоли на изображениях МРТ за счет использования адаптивного выравнивания гистограммы с ограничением контраста (CLAHE). Предложенная структура достигла выдающихся средних значений точности, полноты и достоверности 99,35%, 99,30% и 99,22% [A hybrid explainable model based on advanced machine learning and deep learning models for classifying brain tumors using MRI images / L.A. Faisal, B.H. Kibria, K. Amith [и др.] – 2025. – URL: <https://www.nature.com/articles/s41598-025-85874-7> (дата обращения: 09.11.2025). – Текст: электронный.].

Пирамидальную двухсекционную T-сеть на основе внимания (PAVT-Net), которая объединяет иерархический пирамидальный механизм внимания и двухсекционное извлечение признаков на основе T-блоков, а также самосверточный расширенный нейронный классификатор в качестве конечной задачи. Такая архитектура повышает дискриминантность пространства и снижает ложное прогнозирование за счет адаптивной фокусировки на информативных областях на МРТ-изображениях мозга. Модель была тщательно протестирована на трёх эталонных наборах данных: Figshare Brain Tumor Dataset, Sartaj Brain MRI Dataset и Br35H Brain Tumor Dataset, содержащих 7023 изображения, маркированных по четырём классам опухолей:

глиома, менингиома, отсутствие опухоли и опухоль гипофиза. Общая точность классификации составила 99,12 [Pyramidal attention-based T network for brain tumor classification: a comprehensive analysis of transfer learning approaches for clinically reliable and reliable AI hybrid approaches / T. Banerjee, P. Chhabra, M. Kumar [и др.] – 2025. – URL: <https://www.nature.com/articles/s41598-025-11574-x> (дата обращения: 09.11.2025). – Текст: электронный.].

Метод параллельной интеграции моделей, при котором сначала интегрируются две предварительно обученные модели глубокого обучения, ResNet101 и Xception, а затем для объяснения модели применяются локальные интерпретируемые, не зависящие от модели объяснения (LIME). Точность результатов составила 98,17% для комбинации Vision Transformer, случайного леса и адаптивного выравнивания гистограммы с ограничением контраста, и 99,67% для параллельной интеграции моделей (ResNet101 и Xception). [Hybrid model integration with explainable AI for brain tumor diagnosis: a unified approach to MRI analysis and prediction / S. Vamsidhar, P. Desai, S. Joshi [и др.] – 2025. – URL: <https://www.nature.com/articles/s41598-025-06455-2> (дата обращения: 09.11.2025). – Текст: электронный.]

Вывод

Проведенный анализ современных исследований в области автоматизированного обнаружения опухолей головного мозга на МРТ-снимках с использованием искусственного интеллекта демонстрирует стремительное развитие и высокую эффективность данных методов. Рассмотренные работы предлагают широкий спектр подходов – от трансферного обучения и ансамблевых моделей до сложных гибридных архитектур, интегрирующих предобработку изображений и механизмы внимания. Для наглядного сравнения ключевые характеристики изученных моделей представлены в Таблица 18.

Таблица 18

Ключевые характеристики моделей

| Основной подход / Модель | Ключевые особенности | Точность (%) |
|--------------------------------------|---|--------------|
| T1Net / T2Net (Трансферное обучение) | Адаптация алгоритма для обнаружения замаскированных животных; использование Explainable AI (XAI). | 92.20 |
| Ансамбль (InceptionV3 + Xception) | Комбинирование двух сильных моделей для повышения надежности и точности классификации. | 98.30 |
| Гибридная модель (PDSCNN + RRELM) | Легкая архитектура, предобработка данных (CLANE) для улучшения контраста, высочайшая метрика. | 99.35 |
| PAVT-Net | Пирамидальный механизм внимания, двухсекционное извлечение признаков, фокус | 99.12 |

| | | |
|--|---|-------|
| | на информативных областях. | |
| Параллельная интеграция (ResNet101 + Xception) | Объединение моделей с последующей интерпретацией предсказаний методом LIME (ХАИ). | 99.67 |

Библиографический список

1. Rosso C. A First-of-Its-Kind Explainable AI Model Detects Brain Cancer. – Текст: электронный / Psychology Today – 2024. – URL: <https://www.psychologytoday.com/us/blog/the-future-brain/202411/a-first-of-its-kind-explainable-ai-model-detects-brain-cancer> (дата обращения: 09.11.2025).

2. Brain tumor detection empowered with ensemble deep learning approaches from MRI scan images / R.N. Asif, M.T. Naseem, M. Ahmad [и др.] – URL: <https://www.nature.com/articles/s41598-025-99576-7> (дата обращения: 09.11.2025) – Текст: электронный.

3. A hybrid explainable model based on advanced machine learning and deep learning models for classifying brain tumors using MRI images / L.A. Faisal, B.H. Kibria, K. Amith [и др.] – 2025. – URL: <https://www.nature.com/articles/s41598-025-85874-7> (дата обращения: 09.11.2025). – Текст: электронный.

4. Pyramidal attention-based T network for brain tumor classification: a comprehensive analysis of transfer learning approaches for clinically reliable and reliable AI hybrid approaches / T. Banerjee, P. Chhabra, M. Kumar [и др.] – 2025. – URL: <https://www.nature.com/articles/s41598-025-11574-x> (дата обращения: 09.11.2025). – Текст: электронный.

5. Hybrid model integration with explainable AI for brain tumor diagnosis: a unified approach to MRI analysis and prediction / S. Vamsidhar, P. Desai, S. Joshi [и др.] – 2025. – URL: <https://www.nature.com/articles/s41598-025-06455-2> (дата обращения: 09.11.2025). – Текст: электронный.

© Янин Р.Д., 2025

УДК 004.832

А.Е. ЯШИН

yaе-20000@mail.ru

Науч. руковод. – канд. техн. наук, доцент. Ю.В. ЕГОРОВА

Уфимский университет науки и технологий

ПРОЕКТИРОВАНИЕ ИНФОРМАЦИОННОЙ СИСТЕМЫ ПО КЛАССИФИКАЦИИ ОБРАЩЕНИЙ ПОЛЬЗОВАТЕЛЕЙ В СЕРВИС ДОСТАВКИ ЕДЫ

Аннотация: рассматривается архитектура информационной системы по классификации обращений в техническую поддержку сервиса по доставке еды с точки зрения руководителя IT отдела службы доставки. Разработана SADT диаграмма для дальнейшего проектирования информационной системы.

Ключевые слова: информационная система, классификация обращений, SADT-диаграмма, машинное обучение, NLP, автоматизация процессов.

В наше время появилось множество сервисов, которые предоставляют различные услуги своим пользователям, начиная от доставки одежды и еды, заканчивая доставкой различного рода сложной электроники и микросхем. В ходе этого процесса нередко возникают нестандартные ситуации, в-следствии которых клиенту требуется поддержка и помощь со стороны сервиса. Для повышения скорости принятия решений и оказания помощи в каждом сервисе присутствует отдел поддержки пользователей, который в свою очередь представляет собой систему классификации обращений пользователей для более быстрого перенаправления обращений к нужным специалистам.

В качестве рассматриваемого примера будет взят сервис по доставке еды, при использовании которого встречаются проблемы разного характера, такие как: опоздание курьера, проблемы с товаром, проблемы с оплатой, проблемы с доставкой, конфликты между клиентом и персоналом, нарушения в работоспособности сервиса. Для повышения эффективности решений такого рода задач требуется автоматизация процесса классификации обращений пользователей для дальнейшего перенаправления к нужному специалисту.

Постановка задачи: создание информационной системы классификации обращений пользователей с помощью средств машинного обучения и обработки текста. Проектирование системы будет осуществляться по методологии SADT.

Анализ предметной области

Основные функции, которые выполняет служба технической поддержки сервиса доставки еды: приём обращений пользователей, классификации обращения по характеру, классификация обращения по приоритету обработки,

переадресация обращения к нужному специалисту, обратная связь и занесение прецедента в базу данных для дальнейшего дообучения классификатора. Главной проблемой здесь является неструктурированный запрос пользователя в техническую поддержку, в результате чего не всегда можно оценить серьёзность проблемы и правильно идентифицировать тему обращения. Вследствие чего происходит некорректная классификация и создаются неудобства как для пользователя, так и для сервиса. Также важно учесть, что автоматический классификатор не всегда является точным, вследствие чего требуется постоянное дообучение и исправление ошибок классификации вручную и последующим занесением в базу данных обращений пользователей.

Моделирование системы с помощью методологии SADT

Методология SADT – функциональный подход, используемый для описания структуры системы через функции, управления, входы, выходы и механизмы с выбранной точки зрения. При проектировании этой информационной системы будет использоваться точка зрения руководителя IT отдела службы доставки еды, так как с его точки зрения можно рассматривать как техническую часть системы, так и пользовательскую.

Входами в такой системе являются необработанные обращения пользователей и данные о пользователях, а выходами уже классифицированные и размеченные обращения, скорректированные специалистами технической поддержки.

Управлением служат: правила классификации таких обращений, и веса модели классификатора.

Механизмами является сам классификатор, база данных, интерфейс приложения и специалисты службы поддержки.

Первым этапом построения модели является создание контекстной диаграммы, состоящей из одного блока, который описывает основной функционал системы. Все его элементы указаны на рисунке 1.

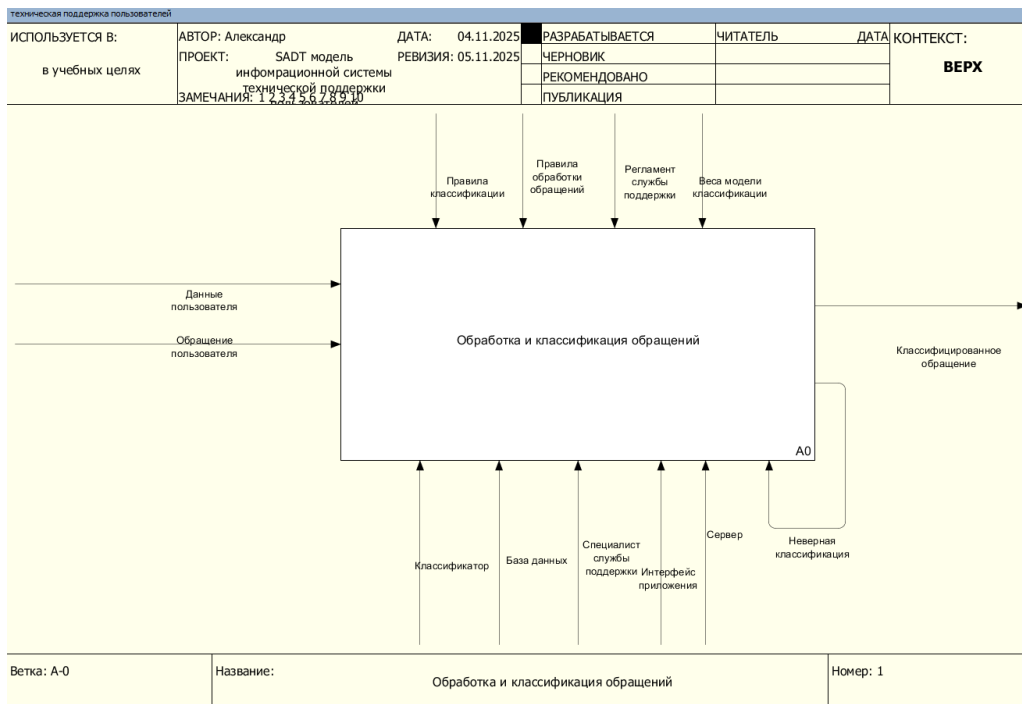


Рис. 1. Контекстная диаграмма системы

После построения контекстной диаграммы следует её декомпозиция на несколько уровней по мере их значимости с точки зрения создателя. Декомпозиция была произведена на 5 блоков. Блок A1 отвечает за первичное принятие обращений пользователя, подготовка их к классификации. Блок A2 отвечает за классификацию обращения, установление темы обращения и его важности и уже перенаправляет его к нужному специалисту. Блок A3 обрабатывает обращение и даёт на него ответ. Блок A4 служит для обратной связи, помогая исправить ошибки классификатора и передать в базу данных новый прецедент. Блок A5 заносит новый прецедент в базу данных, в следствии чего мы получаем в ней классифицированное обращение и а в случае ошибки — передаёт обращение к нужному специалисту. Дочерняя диаграмма предоставлена на рисунке 2.

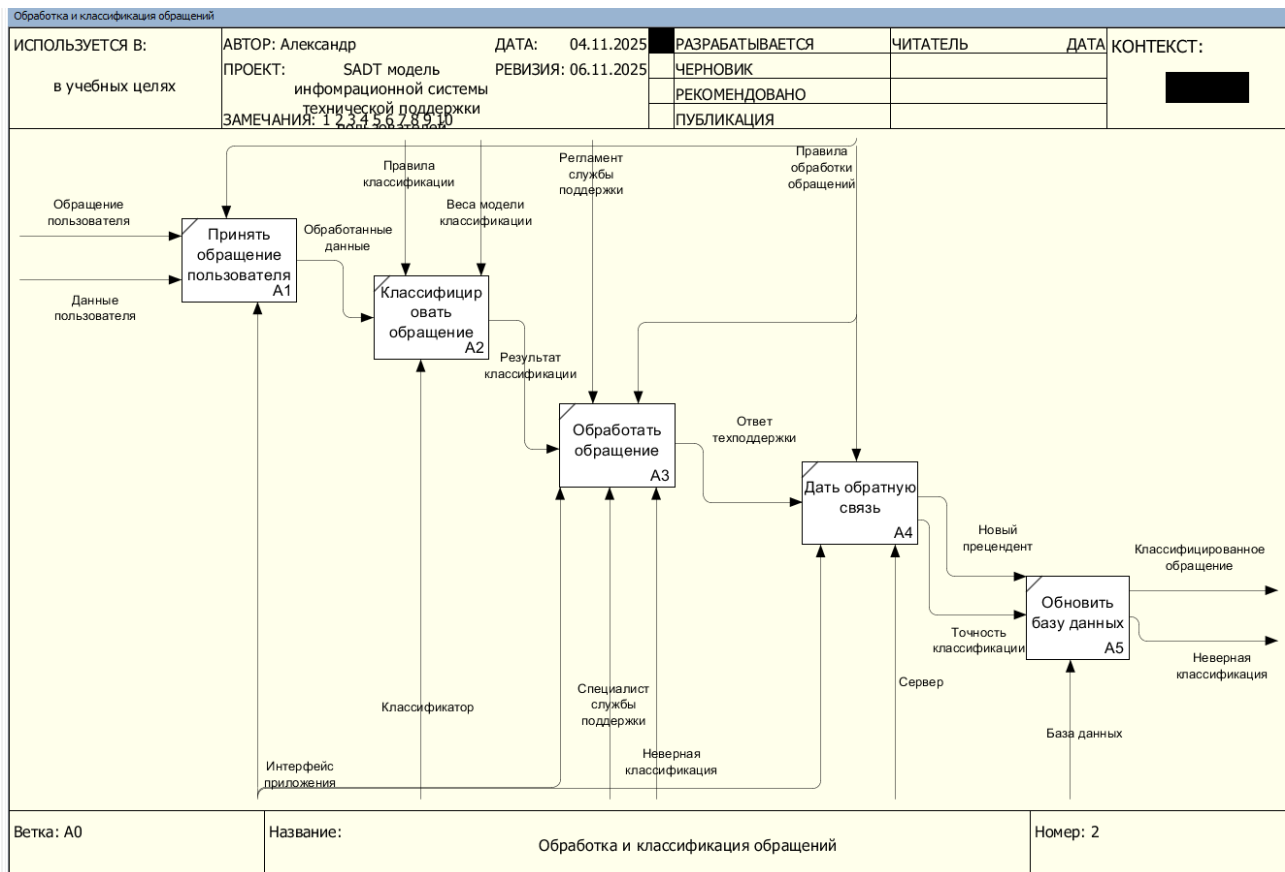


Рис. 2. Декомпозиция первого уровня

Как итог мы получаем функциональную архитектуру информационной системы с модулями приёма обращений, классификации обращений, обработки обращений, оценки качества классификации и ведения базы данных.

Модули информационной системы

Спроектированная информационная система будет включать в себя несколько модулей, отвечающих за приём заявок, их классификацию, маршрутизацию, обратную связь специалиста и управление базой данных. Можно выделить 5 основных модулей:

1. Модуль приёма заявок – отвечает за первичную обработку заявки для дальнейшей классификации
2. NLP модуль – отвечает за автоматическую классификацию обращения с помощью пред обученной модели, также отвечает за до обучение модели на новых прецедентах
3. Модуль маршрутизации – отвечает за перенаправление обращения нужному специалисту
4. Модуль обратной связи – отвечает за корректировку прогноза или подтверждение его правильности с помощью специалиста технической поддержки, который, при некорректной классификации, вручную размечает обращение и передаёт информацию в базу данных для дальнейшего дообучения

5. Модуль управления базой данных – отвечает за сохранение новых данных в базе данных и предоставлении их для дальнейшего дообучения модели

Модуль приёма заявок

Этот модуль отвечает за предоставление возможности отправить заявку пользователю и направить её на сервер, где происходит основной процесс классификации и обработки этой заявки. Этот модуль является клиентской частью системы, где реализован пользовательский интерфейс. Главная задача модуля – обеспечить удобное взаимодействие клиента с техподдержкой компании.

NLP модуль

Главная часть системы, отвечающая за классификацию обращения. Он содержит до обучение модели, которая классифицирует запрос и отправляет его нужному специалисту.

При выборе модели, которую следует использовать для классификации обращений следует обратить внимание на возможности ее обучения на имеющихся данных, а также на их объём. В зависимости от вычислительных мощностей и объема данных есть ряд популярных моделей, которые предполагается использовать в качестве основы классификатора.

Первыми из них являются лёгкие модели классификации, такие как градиентные бустинг и случайный лес. Преимущества этих моделей заключаются в их лёгкости обучения и скорости использования, но они показывают более низкую точность по сравнению со следующими моделями.

Модели трансформеры семейства BERT являются мощным инструментом в классификации текстов, модификаций моделей большое множество, что даёт большой выбор при решении конкретных задач. Отличие от стандартных методов машинного обучения является высокие требования к вычислительным мощностям. Эти модели, благодаря многослойной архитектуре, показывают хорошую точность классификации на схожих задачах.

В качестве метрик для классификатора могут выступать как общепринятые метрики: accuracy, precision, recall, F1 и т.д., так и специфические метрики, требуемые в рамках специфики бизнес-задач (например, общий подсчёт исправленных классификаций).

Модуль маршрутизации

Модуль отвечает за дальнейшие действия, после классификации обращения. Он перенаправляет обращение, с уже готовой разметкой, в виде темы и важности, нужному специалисту, для дальнейшей работы специалиста.

Модуль обратной связи

В этом модуле происходит проверка корректности классификатора. Специалист, получивший обращение пользователя, в случае некорректной классификации, вручную размечает обращение и переводит его на нужного специалиста, также передавая обращение в базу данных для дальнейшего дообучения и корректировки модели.

Модуль управления базой данных

Этот модуль отвечает за различные манипуляции с историей обращений для дообучения или переобучения модели, также, если происходят нестандартные ситуации, требующие просмотра истории обращений, предыдущие обращения можно повторно изучать.

Заключение

Разработанная информационная система классификации обращений пользователей в службу технической поддержки сервиса по доставке еды обладает достаточным функционалом для быстрого решения нестандартных ситуаций, с которыми может столкнуться как рядовой пользователь, так и курьер. Использование автоматизированного классификатора помогает быстрее специалистам приступить к решению самой задачи, не отвлекаясь на промежуточные этапы определения её тематики.

Библиографический список

1. Хобсон Лейн, Ханнес Хапке, Коул Ховард. Обработка естественного языка в действии. — СПб.: Питер, 2020. — 576 с

© Яшин А.Е., 2025

СЕКЦИЯ 5.7 СИСТЕМНЫЙ АНАЛИЗ, УПРАВЛЕНИЕ И ИНФОРМАЦИОННЫЕ ТЕХНОЛОГИИ

УДК 004.056

А.Д. АНИСКИНА

anna.aniskina03@yandex.ru

Науч. руковод. – канд. техн. наук, доцент С.В. СИЛЬНОВА

Уфимский университет науки и технологий

СИСТЕМА ЗАЩИТЫ ИНФОРМАЦИИ ЗНАЧИМОГО ОБЪЕКТА КРИТИЧЕСКОЙ ИНФОРМАЦИОННОЙ ИНФРАСТРУКТУРЫ В СФЕРЕ СВЯЗИ

Аннотация: в статье представлены результаты проектирования системы защиты информации значимого объекта критической информационной инфраструктуры (КИИ) в сфере связи. Работа включает такие разделы, как анализ архитектуры объекта защиты, оценку угроз и построение модели нарушителя. Рассмотрен процесс проектирования системы защиты, направленной на обеспечение конфиденциальности, целостности и доступности информации.

Ключевые слова: критическая информационная инфраструктура, система защиты информации, модель угроз, модель нарушителя, анализ рисков, связь, информационная безопасность.

Введение

Объектом исследования является информационная система значимого объекта критической информационной инфраструктуры (КИИ). Информационная безопасность является ключевым фактором устойчивого функционирования таких объектов, особенно в сфере связи, так как они обеспечивают обмен данными между государственными, корпоративными и социальными структурами. Нарушение работы таких объектов способно привести к сбоям в оказании услуг, потере управляемости и серьёзным экономическим последствиям.

Значимые объекты КИИ подлежат обязательной защите в соответствии с Федеральным законом № 187-ФЗ «О безопасности критической информационной инфраструктуры Российской Федерации» [2] и нормативными актами Федеральной службы по техническому и экспортному контролю (ФСТЭК) России [5]. Эффективность системы защиты информации определяется её способностью выявлять, предотвращать и локализовать угрозы, возникающие как в результате внешних атак, так и внутренних нарушений.

Выполненное исследование направлено на разработку системы защиты информации значимого объекта связи. Особое внимание уделено анализу существующей системы защиты информации и её эффективности, моделированию угроз, составлению модели нарушителя, подбору средств защиты информации, соответствующих современным требованиям информационной безопасности (ИБ).

1. Анализ объекта защиты

Объектом защиты является информационно-телекоммуникационная система оператора связи, обеспечивающая передачу, обработку и хранение данных, а также управление оборудованием и сервисами. Архитектура системы включает три функциональных уровня:

- инфраструктурный уровень: серверы, сетевое оборудование, маршрутизаторы, коммутаторы, системы хранения данных;
- прикладной уровень: программные комплексы управления, базы данных и сервисы обработки информации;
- пользовательский уровень: автоматизированные рабочие места операторов.

Анализ показал, что система обладает признаками значимого объекта КИИ:

- выполняет критические функции обеспечения устойчивости сетей связи;
- взаимодействует с внешними и корпоративными системами.

Для категорирования объекта использовались критерии значимости из приложения к Постановлению Правительства РФ №127 [3]: по количеству пользователей, которых затронет потенциальный ущерб при нарушении работоспособности системы. Объект отнесён к 3 категории значимости, что требует применения сертифицированных средств защиты и внедрения процессов контроля и аудита безопасности.

2. Анализ и разработка модели угроз и модели нарушителя

Проведено моделирование угроз безопасности информации [6], направленных на нарушение конфиденциальности, целостности и доступности данных.

Угрозы систематизированы по категориям [7].

Внешние угрозы:

- сетевые атаки (сканирование портов, подбор паролей, внедрение вредоносного кода, DDoS-атаки);
- эксплуатация уязвимостей в сервисах управления и веб-интерфейсах;
- несанкционированный доступ через удалённые каналы.

– Внутренние угрозы:

- несанкционированные действия сотрудников, нарушение регламентов, человеческий фактор;
- подключение неавторизованных устройств;

- использование съёмных носителей.
- Технические угрозы:
- отказ оборудования, перебои питания, сбои программного обеспечения;
- потеря данных при резервном копировании.

Особое внимание при моделировании уделено угрозам утечки информации по техническим каналам, а также перехвату сетевого трафика, что особенно критично для систем связи.

Модель нарушителя.

По результатам анализа уязвимостей и особенностей функционирования объекта составлена модель нарушителя, при этом выделены две категории нарушителей.

Внешний нарушитель – имеет ограниченные знания об инфраструктуре и пытается получить доступ извне, используя уязвимости сервисов и сетевых устройств.

Внутренний нарушитель – обладает частичным доступом к системным ресурсам, знаниями об архитектуре и конфигурациях, способен целенаправленно нарушить работу системы.

Каждой категории нарушителей присвоен потенциал (низкий, средний, высокий), который опирается на уровень знаний нарушителя, его технические возможности.

Таким образом, моделирование угроз позволило определить сценарии атак, потенциальные каналы реализации и вероятные последствия.

3. Проектирование системы защиты информации

На объекте критической информационной инфраструктуры в сфере связи уже реализован комплекс мер по защите информации, охватывающий физический, организационный и технический уровни [5]. Анализ этих мер защиты позволил определить текущий уровень защищенности и выявить направления модернизации системы защиты информации.

3.1. Меры физической защиты

Территория объекта защищена физическим периметром – системой контроля доступа с применением электронных пропусков. Помещения, где размещено серверное и сетевое оборудование, оборудованы видеонаблюдением, датчиками движения и круглосуточной охраной. Для входа в критические зоны используется биометрическая аутентификация и металлические шкафы для хранения оборудования.

Обеспечено резервное электропитание, поддерживающее работу систем безопасности и серверов при аварийных отключениях. Для предотвращения чрезвычайных ситуаций внедрены системы пожарной сигнализации, пожаротушения и оповещения.

3.2. Организационные меры защиты

Защита объекта основывается на Политику информационной безопасности, которая определяет цели, задачи и ответственность персонала в области ИБ. Сотрудники проходят обучение по вопросам защиты информации,

а также регулярно тестируются для определения общего уровня осведомленности в вопросах информационной безопасности.

Также реализован учёт и контроль носителей информации, установлены правила использования внешних устройств, определены уровни допуска и права пользователей.

Сотрудники отдела ИБ проводят регулярный внутренний аудит и аттестацию рабочих мест, анализируют журналы безопасности и проверяют соблюдение политик доступа.

Особое внимание также уделяется вопросам соблюдения принципа минимально необходимых прав, а также контролю за действиями администраторов.

3.3. Технические и программные средства защиты

На объекте применяются сертифицированные средства защиты:

– операционная система РЕД ОС – на рабочих станциях администраторов безопасности и инженеров;

– Secret Net LSP – средство защиты от несанкционированного доступа;

– Zecurion DLP Enterprise – система предотвращения утечек информации, осуществляющая контроль каналов передачи данных, электронной почты и подключаемых устройств;

– Dr.Web Desktop Security Suite – антивирусное решение для защиты рабочих станций.

На уровне инфраструктуры реализованы функции сетевой фильтрации, антивирусной защиты, разграничения доступа и контроля целостности данных. Эти средства обеспечивают защиту от большинства распространённых угроз, включая несанкционированный доступ, вредоносное программное обеспечение (ПО) и утечку информации по каналам связи.

3.4. Совершенствование системы защиты

В ходе проектирования системы защиты информации была выполнена модернизация её ключевых компонентов, направленная на повышение уровня защищённости и отказ несертифицированных решений. Поэтому были подобраны средства защиты информации отечественного производства [8].

Межсетевой экран UserGate реализует комплексную защиту внутренней сети за счёт фильтрации трафика, веб-фильтрации, анализа приложений и предотвращения атак на прикладном уровне. Он сертифицирован ФСТЭК как межсетевой экран 4-го класса. Благодаря поддержке технологий глубокого анализа пакетов обеспечивается выявление аномалий и блокировка подозрительных соединений на ранней стадии.

Программное обеспечение «Базис.Virtual Security» предназначено для защиты виртуальной инфраструктуры и контроля доступа между виртуальными машинами. Оно обеспечивает изоляцию вычислительных сред, аудит действий администраторов и мониторинг сетевой активности в среде виртуализации. Применение данного решения позволило устранить риски, связанные с виртуальным взаимодействием и несанкционированным доступом в сегменте виртуальных серверов.

Модуль доверенной загрузки ViPNet SafeBoot обеспечивает проверку целостности компонентов BIOS, загрузчика и ядра операционной системы. Его использование предотвращает запуск модифицированных или заражённых системных компонентов, тем самым повышая доверие к исходной среде загрузки. Средство сертифицировано ФСТЭК России и соответствует требованиям по обеспечению доверенной среды выполнения.

Оценка эффективности

В результате замены некоторых средств защиты информации на отечественные и сертифицированные аналоги был повышен уровень защищенности информационной системы.

Заключение

В ходе исследования была разработана и апробирована модель системы защиты информации для значимого объекта критической информационной инфраструктуры в сфере связи. Выполнен анализ архитектуры объекта, выявлены уязвимости и сформирована модель угроз и нарушителя, что позволило обосновать выбор технических и организационных мер защиты.

Реализация системы защиты информации, использование сертифицированных средств защиты и организация постоянного мониторинга повышают устойчивость функционирования инфраструктуры связи.

Предложенная модель обеспечивает многоуровневую защиту информации и отвечает современным требованиям по обеспечению конфиденциальности, целостности и доступности данных [1].

Полученные результаты подтверждают практическую значимость проекта и возможность адаптации предложенных решений для других объектов критической информационной инфраструктуры.

Библиографический список

1. Об информации, информационных технологиях и о защите информации: Федеральный закон № 149-ФЗ от 27.06.2006: [ред. от 2.11.2023] // Собрание законодательства Российской Федерации. – 2025

2. О безопасности критической информационной инфраструктуры Российской Федерации: Федеральный закон № 187-ФЗ от 26.07.2017 – Москва: Проспект, 2017

3. Об утверждении правил категорирования объектов критической информационной инфраструктуры Российской Федерации: Постановление Правительства РФ № 127 от 8.02.2018// Собрание законодательства Российской Федерации. – 2018

4. Об утверждении Требований к созданию систем безопасности значимых объектов критической информационной инфраструктуры Российской Федерации и обеспечению их функционирования: Приказ ФСТЭК России № 235 от 21.12.2017 // Официальный интернет-портал правовой информации

5. Об утверждении требований по обеспечению безопасности значимых объектов критической информационной инфраструктуры Российской Федерации: Приказ ФСТЭК России № 239 от 25.12.2017 // Официальный интернет-портал правовой информации

6. Методика оценки угроз безопасности информации: методический документ / ФСТЭК России. – Москва, 2021

7. Банк данных угроз безопасности информации ФСТЭК: официальный сайт. – URL: <https://bdu.fstec.ru/threat> (дата обращения: 27.10.2025). – Текст: электронный

8. Реестр сертифицированных средств защиты информации ФСТЭК: сайт. – URL: <https://reestr.fstec.ru/reg3> (дата обращения: 27.10.2025). – Текст: электронный

© Анискина А.Д., 2025

УДК 621.791.14

П.И. БОЧКАРЁВ

pasha.pochkarev.2001@mail.ru

Науч. руковод. – док. техн. наук, проф. К.Ф. ТАГИРОВА

Уфимский университет науки и технологий

МОДЕРНИЗАЦИЯ СИСТЕМЫ УПРАВЛЕНИЯ СТАНКОМ СВАРКИ ТРЕНИЕМ

Аннотация: рассматривается задача повышения эффективности технологического процесса сварки трением за счет модернизации системы управления станком МСТ-35. В работе предложена интеграция современных средств измерения (датчиков), программируемого реле, частотного преобразователя и SCADA-системы. Реализация проекта позволяет создать автоматизированное рабочее место оператора, обеспечивающее точное поддержание режимов сварки и оперативный мониторинг ключевых параметров.

Ключевые слова: сварка трением, система управления, датчики, контроллер.

Введение

Технология сварки трением занимает важное место в ряду методов получения неразъемных соединений, особенно для материалов, сварка которых традиционными способами плавления затруднена. Ее основные достоинства — высокая прочность формируемого соединения, отсутствие необходимости в присадочных материалах и флюсах, а также потенциал для полной автоматизации технологического цикла. Эти преимущества обуславливают широкое применение метода в авиа- и ракетостроении, автомобильной промышленности и других ответственных отраслях.

Однако эксплуатационный потенциал технологии ограничивается при использовании устаревшего оборудования, к которому относится станок МСТ-35. Его исходная система управления предполагает ручное задание параметров и не обеспечивает точного контроля таких критических величин, как частота вращения заготовки, величина осевого усилия и величина осадки. Следствием этого является сильная зависимость качества сварного шва от квалификации и внимания оператора, низкая повторяемость результатов и общее снижение производительности.

Задача модернизации таких станков приобретает особую актуальность в рамках политики импортозамещения.

Целью настоящего исследования является проектирование и внедрение автоматизированной системы управления (АСУ) для станка МСТ-35,

направленной на повышение точности, производительности и стабильности технологического процесса сварки трением.

Для достижения поставленной цели последовательно решались следующие задачи:

1. Провести анализ существующей системы управления станком МСТ-35 и выявить ее ключевые недостатки.

2. Разработать структурную и функциональную схему модернизированной системы управления на базе современной элементной базы, включающей программируемый логический контроллер (ПЛК), датчики контроля параметров и частотный преобразователь.

3. Разработать алгоритм управления циклом сварки и реализовать его в виде программы для ПЛК.

4. Создать интерфейс оператора (Human-Machine Interface, HMI) на базе SCADA-системы для удобного управления и мониторинга параметров процесса в реальном времени.

Научная новизна работы заключается в разработке целостного подхода к модернизации системы управления станком сварки трением, который интегрирует аппаратные (ПЛК, датчики) и программные (алгоритм управления, SCADA) компоненты в единый автоматизированный технологический комплекс. Практическая значимость состоит в кардинальном улучшении эксплуатационных характеристик серийного промышленного оборудования, что позволяет снизить уровень брака, повысить производительность и уменьшить зависимость от зарубежных аналогов.

На рисунке 1 представлен станок сварки трением МСТ-35.

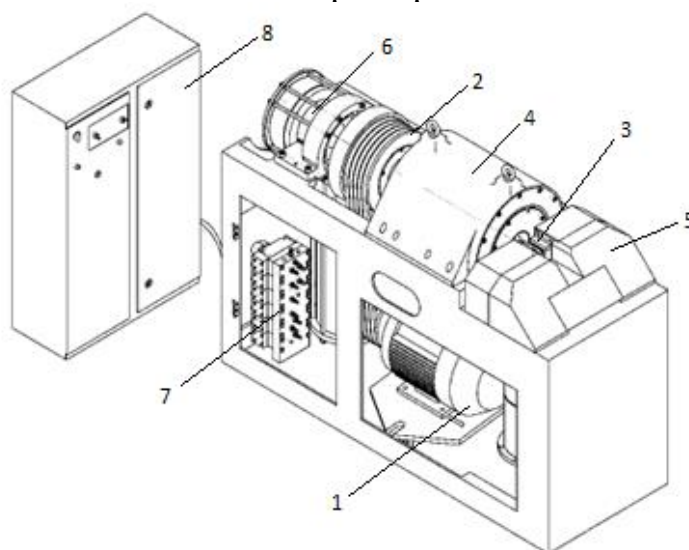


Рис. 1. Основные компоненты станка:

1. Электродвигатель - привод вращения шпинделя с ременной передачей;
2. Фрикционная муфта для соединения шпинделя с приводным устройством;
3. Два зажима для удержания заготовок;
4. Передняя бабка с вращающимся зажимом;
5. Задняя бабка с неподвижным зажимом;
6. Пневматические цилиндры для создания осевого давления;

7. Блок пневмораспределителей;

8. Шкаф управления.

Первоначальная система управления

В первоначальном виде управление станком осуществлялось вручную. Структурная схема ручного управления представлена на рисунке 2.

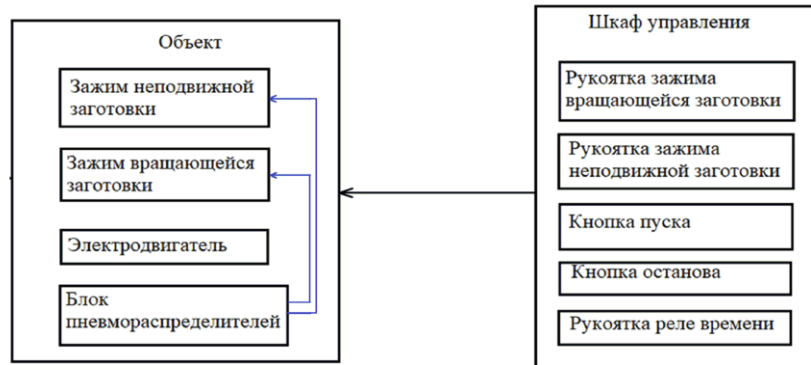


Рис. 2. Структурная схема ручного управления

Основные элементы:

1. Рукоятки для управления зажимами заготовок;
2. Кнопки пуска и останова;
3. Рукоятка реле времени для задания продолжительности процесса.

Данная схема управления обладает рядом существенных недостатков:

1. Низкая точность и повторяемость: Режим сварки задавался приблизительно, что приводило к разбросу качества соединений от партии к партии;
2. Высокая операторская зависимость: Квалификация и физическое состояние оператора напрямую влияли на конечный результат;
3. Низкая производительность: Значительное время цикла тратилось на ручные манипуляции и визуальный контроль.

Автоматизированная система управления

Для повышения эффективности и точности работы станка разработана автоматизированная система управления. Схема модернизированной системы представлена на рисунке 3.

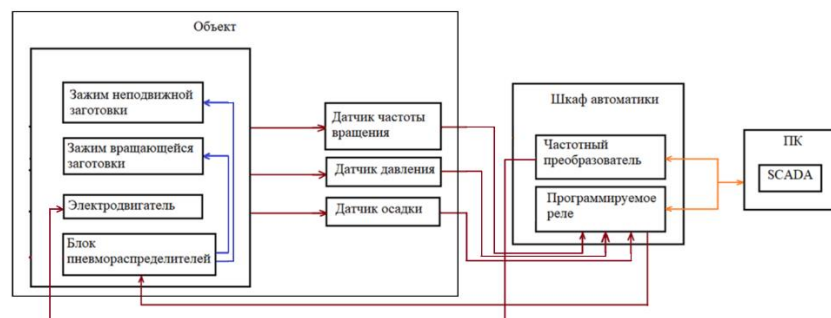


Рис. 3. Структурная схема модернизированной системы управления

В модернизированном виде система управления включает в себя:

1. Датчики для непрерывного измерения частоты вращения шпинделя, давления в пневмосистеме и величины осадки заготовок в процессе сварки;
2. Контроллер ОВЕН ПР-200. Его функции включают опрос датчиков, выполнение алгоритма управления и формирование управляющих сигналов для исполнительных устройств, в частности, для блока пневмораспределителей;
3. Преобразователь частоты ВЕСПЕР Е4-9400 обеспечивает плавное регулирование скорости вращения главного электродвигателя по команде от системы управления;
4. Персональный компьютер со специализированным программным обеспечением (SCADA-система) выполняет функции диспетчерского пульта. Через интерфейс RS485 организован обмен данными как с ПЛК, так и с частотным преобразователем, что позволяет осуществлять централизованный мониторинг и управление.

Цикл сварки происходит по заранее заданному алгоритму, наглядно представленному на временном графике срабатывания пневматических клапанов на рисунке 4:

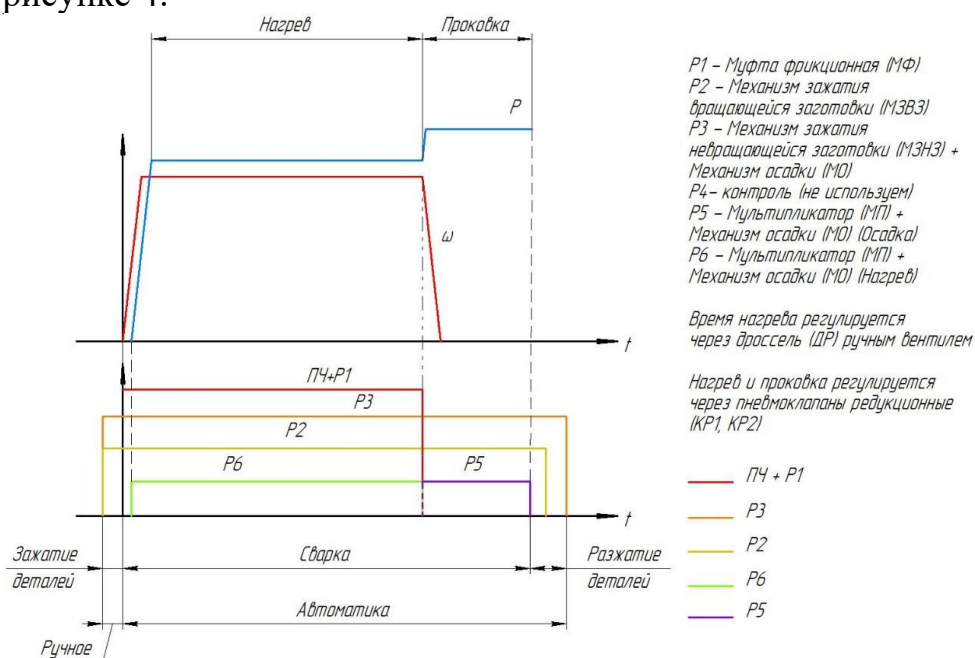


Рис. 4. Временной график срабатывания пневматических клапанов

Цикл задан в программируемом реле в виде программы на языке FBD, представленной на рис. 5:

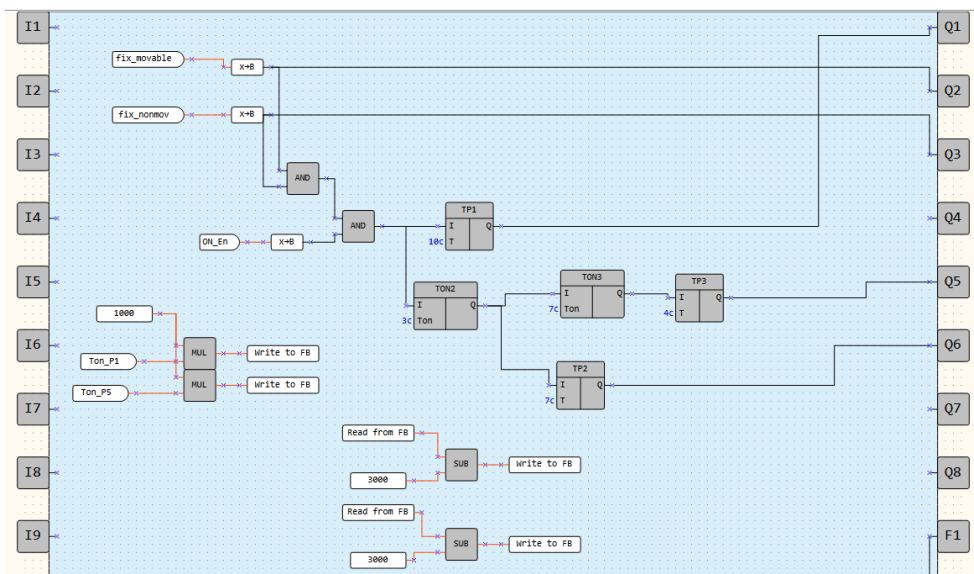


Рис. 5. Программа, заданная в программируемом реле

Интерфейс панели оператора

Основная задача интерфейса — сделать управление оборудованием интуитивно понятным, удобным и эффективным, а также предоставить оператору всю необходимую информацию о состоянии системы в реальном времени.

В контексте сварки трением является критически важным, так как процесс требует точного контроля параметров, таких как скорость вращения, давление, время сварки и осадка. Ручное управление такими параметрами не только неудобно, но и подвержено человеческим ошибкам, что может привести к снижению качества сварного соединения.

Для удобства оператора разработан экраный интерфейс, представленный на рисунке 6, который позволяет:

1. Задавать параметры сварки (частота вращения, время)
2. Управлять зажимающими устройствами
3. Выбрать режим пуска и остановки - плавный или быстрый
4. Контролировать процесс в реальном времени
5. Отображать данные о состоянии системы (давление, осадка, частота вращения)

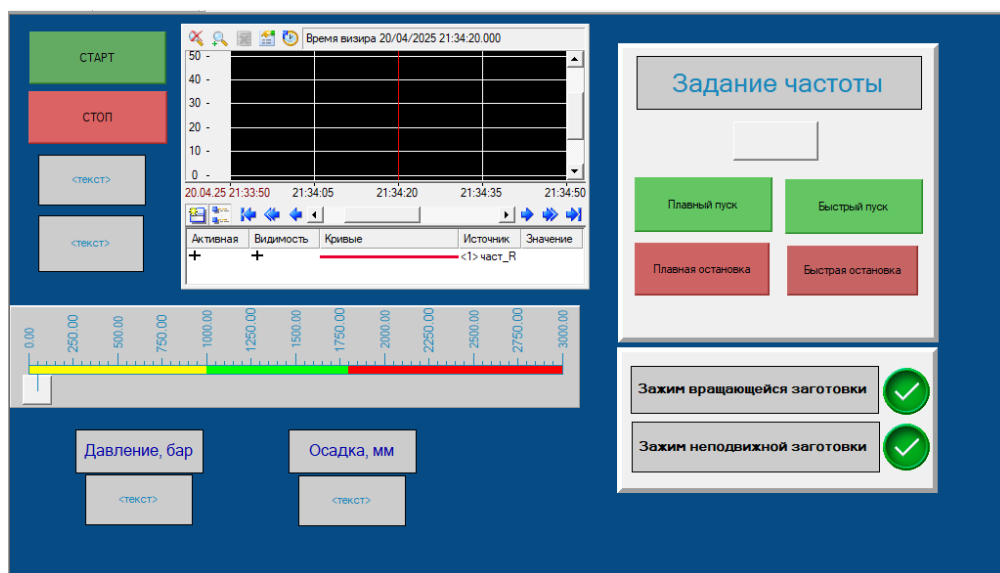


Рис. 6. Экранный интерфейс оператора

Преимущества модернизированной автоматизированной системы управления

Модернизированная автоматизированная система управления обладает рядом значительных преимуществ, которые делают её использование более эффективным и удобным по сравнению с традиционными методами управления. Одним из ключевых аспектов является повышение точности всех этапов процесса сварки. Благодаря автоматизации, параметры, такие как скорость вращения, давление, время сварки и величина осадки, задаются с высокой степенью точности и контролируются в реальном времени. Это исключает вероятность человеческой ошибки, которая могла бы возникнуть при ручной настройке оборудования. Автоматическая система управления использует датчики и программируемые устройства, которые обеспечивают постоянный мониторинг и корректировку параметров, что позволяет поддерживать стабильность процесса и гарантировать высокое качество конечного продукта.

Кроме того, автоматизация способствует значительному увеличению производительности. Сокращается длительность цикла за счет автоматизации рутинных операций и минимизации пауз между операциями. Система способна работать в непрерывном цикле с минимальным вмешательством оператора.

Удобство управления также является важным преимуществом модернизированной системы. SCADA-интерфейс предоставляет оператору всю необходимую информацию в наглядном виде, существенно снижая порог вхождения и уменьшая вероятность ошибочных действий. Управление процессом сводится к контролю за графическими индикаторами и оперативному реагированию на сигналы системы.

Результаты

Разработана автоматизированная система управления для станка сварки трением МСТ-35 на базе контроллера ОВЕН ПР-200, частотного преобразователя и SCADA-системы.

Реализован алгоритм управления, обеспечивающий автоматическое выполнение цикла сварки с точным контролем временных и силовых параметров.

Создан интерфейс оператора, предоставляющий возможности для задания параметров и мониторинга состояния системы в реальном времени.

Библиографический список

1. Сравнительный анализ методов сварки трением. [Электронный ресурс]//URL:<https://na-journal.ru/12-2023-tehnologii-proizvodstva/7912-sravnitelny-i-analiz-metodov-svarki-treniem> (дата обращения 23.09.2025)
2. Сварка трением, сущность, виды и схемы сварки. [Электронный ресурс]//URL:<https://taina-svarki.ru/sposoby-svarki/svarka-davleniem/svarka-treniem-vidy-primenenie-preimushchestva-i-nedostatki.php> (дата обращения 23.09.2025)
3. Вилль, В. И. Сварка металлов трением [Текст] / В. И. Вилль — 1. — Ленинград: Машиностроение, 1970 — 176 с.
4. Лебедев, В. К., Черненко, И. А. Сварка трением [Текст] / В. К. Лебедев, И. А. Черненко — 1. — Ленинград: Машиностроение, 1987 — 236 с.
5. Сварка трением: с перемешиванием, вращательная сварка, линейная и другие виды, оборудование и режимы [Электронный ресурс]//URL:<https://vsetehpribory.ru/spravochnik/svarka-treniem-s-peremeshivaniem-vrashhatelnaya-svarka-linejnaya-i-drugie-vidy-oborudovanie-i-rezhimy> (дата обращения 23.04.2025)
6. Покляцкий А. Г., Ищенко А. Я., Подъяельников С. В. «Автоматическая сварка». Влияние параметров процесса сварки трением с перемешиванием на формирование швов соединений алюминиевых сплавов толщиной 1,8...2,5 мм / – 2008. – № 10. – С. 27-30.
7. Сварка трением с перемешиванием алюминиевых сплавов (обзор) / А.Я. Ищенко [и др.] // Автоматическая сварка. - 2007. - № 11. -С. 32-38.
8. Овчинников В.В. Современные виды сварки – М: Издательский дом «Академия», 2016. – 149 с.

© Бочкарёв П.И., 2025

Я.Т. ГУМИРОВА

yanik1701@mail.ru

Науч. руковод. – канд. техн. наук, доцент О.Я. БЕЖАЕВА

Уфимский университет науки и технологий

ВЛИЯНИЕ ЗАКОНОВ РАСПРЕДЕЛЕНИЯ СТЕПЕНЕЙ УЗЛОВ НА ИНТЕГРАЛЬНЫЕ ХАРАКТЕРИСТИКИ ПЛОСКИХ СЕТЕЙ

Аннотация: в статье рассматривается формальный унифицированный подход к структурным характеристикам локальных сетевых систем. Основу подхода составляет формирование интегральных показателей структуры сети на основе анализа эмпирических оценок дифференциальных функций распределения встречаемости узлов с одинаковыми показателями степени. В качестве интегральной характеристики используется относительная энтропия. Предлагаемый подход делает возможным сопоставлять сети, которые формально описываются графами разных размеров.

Ключевые слова: сеть, стабильность, надежность, энтропия, сетевая модель, граф.

1. Введение

В сложившемся сетевом обществе особую роль играет сетецентрическое управление, в которой объектами управления являются сложные объекты, представляющие взаимосвязанную совокупность сетей. К числу критически важных факторов для эффективного решения задач сетецентрического управления относится обеспечение стабильного состояния локальных сетей, соответствующих разным аспектам объектов управления, в условиях внешних и внутренних дестабилизирующих воздействий. Каждый из аспектов характеризует разные по смыслу свойства объекта. Кроме того, сети, соответствующие разным аспектам, имеют разный размер.

Исследование стабильности составляет основу анализа устойчивости, поскольку определяет свойство системы оставаться неизменной, выдерживать нагрузки и восстанавливать своё состояние после нарушений. Для того, чтобы система была устойчива в условиях динамически изменяющегося состояния внешней среды сетецентрического управления, топологические характеристик структур, соответствующие разным аспектам, должны изменяться в одном темпе.

Унифицированным аппаратом для описания структур, характеризующих разные свойства исследуемой системы, является теория графов. Аппарат теории графов обладает свойством изоморфизма, поскольку позволяет получать сопоставимые топологические характеристики для систем разной природы.

Отмеченное обстоятельство составляет концептуальную основу разработки формальной процедуры, ориентированной на получение сопоставимых характеристик стабильности, соответствующих разным аспектам объекта сетцентрического управления.

2. Концептуальная основа

Первой опорной точкой формального аппарата является однородность, в статистическом смысле, оценок структур, соответствующих разным видениям. Действительно, каждый аспект анализируется при одних и тех же условиях, на одном и том же объекте, поэтому получаемые характеристики могут рассматриваться как однородные величины. В силу случайного характера последствий в результате воздействий на сети, однородные величины следует также рассматривать как случайные. В силу этого для их совместного анализа можно использовать аппарат математической статистики.

Второй опорной точкой является представление каждого аспекта сложной системы посредством аппарата теории графов. Различным аспектам могут соответствовать графы разных размеров, где под размером понимается сумма узлов и ребер в данном графе, поэтому для оценки скоординированности изменения свойств системы необходимо сформировать метрических характеристики, инвариантные размерам графов. Учитывая свойства однородности и случайности топологических характеристик, в качестве основы формирования интегральных характеристик сетей следует выбрать закон распределения степеней узлов графа.

В качестве такой характеристики в настоящей работе использовалась энтропия Шеннона (1). Выбор этой характеристики как показателя стабильности был обусловлен тем, что содержательно энтропия может рассматриваться как мера неоднородности состояния компонент системы. В силу этого можно утверждать, что изменение значения энтропии в результате воздействий на систему свидетельствует о изменении структуры системы, то есть о потере стабильности.

Основу вычисления сопоставимых оценок энтропии, соответствующих разным аспектам, составляет выражение

$$s_i = \frac{-\sum_{k=1}^{N_i} p_k \cdot \ln p_k}{\ln(N_i - 2)}, \quad (1)$$

где i – признак аспекта;

N_i – количество узлов степени k при i -й точке зрения на объект управления;

p_k – частота встречаемости узла степени k в i -м графе.

Знаменатель выражения характеризует энтропию при равномерном распределении степеней узлов. Нормирование обеспечивает сопоставимость топологических характеристик в случае графов разных размеров. Следует подчеркнуть, что значения интегральных топологических характеристик лежит в диапазоне $s_i \in [0; 1]$. Причем, чем ближе значение s_i к нулю, тем ближе топология сети к топологии полносвязного графа.

Наличие сопоставимых характеристик делает возможным поставить в соответствие всей системе вектор \vec{S} , содержащий Q компонент, так что каждый компонент соответствует одному из аспектов объекта сетецентрического управления.

Формирование вектора \vec{S} создает основу для, во-первых, формирования интегральных показателей системы в целом, во-вторых, отслеживания изменения динамики изменения системы в рамках конкретной точки зрения, и, в-третьих, оценивания, насколько скоординированно изменяются характеристики системы в рамках различных точек зрения. Данный подход может применяться как для проверки свойства коэволюции, так и в случае, когда имеет место быть деградация системы. В дальнейшем в качестве примера будет рассмотрен случай деградации системы, заключающейся в удалении определённой доли ребер в каждом временном срезе до момента отказа системы.

3. Апробация предлагаемого подхода с помощью имитационного эксперимента

Аппарат имитационного моделирования является одним из базовых подходов к исследованию сетевых систем. Это обусловлено тем, что натурные эксперименты могут оказаться дорогостоящими и требующими длительного времени, а имитация определенных ситуаций может быть небезопасной для системы и окружающих. Поэтому для данного исследования также была проведена серия имитационных экспериментов по алгоритму, которому соответствуют следующие шаги:

1. Создание полносвязного графа, соответствующего i-му аспекту системы.

2. Вычисление числа удаляемых ребер как произведения числа узлов в графе и доли удаляемых ребер и, в случае получения нецелого числа, округления в большую сторону.

3. Удаление из каждого графа вычисленного числа удаляемых ребер по закону Бернулли: с датчика случайных чисел получается число в диапазоне (0,1). Если полученное число меньше 0,5 – ребро остается, если больше – удаляется.

4. Вычисление интегрального показателя, характеризующего топологию в рамках i-го аспекта.

5. Переход к шагу два.

Эксперимент прекращался, когда хотя бы в одном из графов появлялся изолированный узел, что свидетельствовало об отказе системы.

Данный эксперимент был проведен для графов с одинаковым числом узлов и одинаковой долей удаляемых ребер; с одинаковым числом узлов и разной долей удаляемых ребер; с разным числом узлов и одинаковой долей удаляемых ребер; с разным числом узлов и разной долей удаляемых ребер. Для иллюстрации работы алгоритма ниже приведен пример, соответствующий трем

графам с изначально одинаковым числом узлов 100 и одинаковой долей удаляемых на каждом временном срезе ребер, равной 10%.

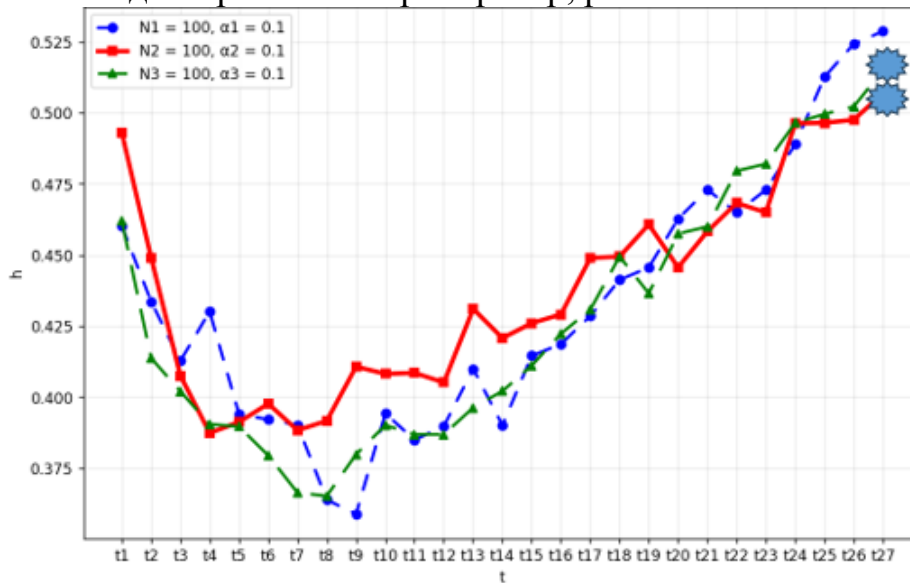


Рис. 1. Результат эксперимента для $N = 100$ и $\alpha = 10\%$

На рис. 1 представлена зависимость показателей разнородности степеней s_i от номера временного среза t .  обозначает образование в графе изолированного узла. N – количество узлов в исходных графах, соответствующих 1-му, 2-му и 3-му аспектам системы, α – доля удаляемых в каждом временном срезе ребер. В случае, если вычисленное как $N_i \cdot \alpha$ число удаляемых ребер не является целым, число округляется в большую сторону.

4. Анализ динамики изменения свойств системы в целом и по частным показателям

В ходе проведения описанного выше эксперимента были получены следующие значения:

Таблица 19

Фрагмент таблицы значений параметров разнородности степеней узлов графов эксперимента для $N = 100$ и $\alpha = 10\%$

| Временной срез | Граф 1 ($N=100$, $\alpha=0.1$) | Граф 2 ($N=100$, $\alpha=0.1$) | Граф 3 ($N=100$, $\alpha=0.1$) |
|----------------|-----------------------------------|-----------------------------------|-----------------------------------|
| t1 | 0.4680 | 0.4542 | 0.4811 |
| t2 | 0.4281 | 0.4091 | 0.4207 |
| t3 | 0.3980 | 0.3849 | 0.4121 |
| t4 | 0.3905 | 0.3622 | 0.3930 |
| t5 | 0.3569 | 0.3421 | 0.4050 |
| t6 | 0.3598 | 0.3526 | 0.4036 |

| | | | |
|-----|--------|--------|--------|
| t7 | 0.3643 | 0.3639 | 0.3877 |
| t8 | 0.3852 | 0.3617 | 0.3829 |
| ... | ... | ... | ... |

Так как все полученные показатели изменяются в одном и том же диапазоне $[0;1]$ и измеряются в метрической шкале, для оценки схожести различных временных рядов можно использовать коэффициент корреляции [1]:

$$r_{s_l s_k} = \frac{\sum_{j=1}^M (s_l^{(j)} - m_{s_l})(s_k^{(j)} - m_{s_k})}{M \sigma_{s_l} \sigma_{s_k}}$$

где M – количество временных срезов, j – номер временного среза, $s_l^{(j)}$ и $s_k^{(j)}$ – значения интегральных показателей j -го временного среза для 1-го и k -го аспекта соответственно, m_{s_l} и m_{s_k} – средние значения интегральных показателей 1-го и k -го аспекта соответственно, σ_{s_l} и σ_{s_k} – среднеквадратические отклонения интегральных показателей 1-го и k -го аспекта соответственно.

Для приведенного выше примера (рис. 1, рис. 2) были получены следующие коэффициенты корреляции: 0,9802 (между 1-м и 2-м графами); 0,9576 (между 1-м и 3-м графами); 0,9749 (между 2-м и 3-м графами). Ориентируясь на шкалу Чеддока [2], можно утверждать, что свойства, соответствующие разным аспектам исследуемой системы, меняются скоординированно, что подтверждается значениями коэффициентов корреляции, близких к 1.

Ниже представлен пример для графов с разным начальным числом узлов и одинаковой долей удаляемых ребер.

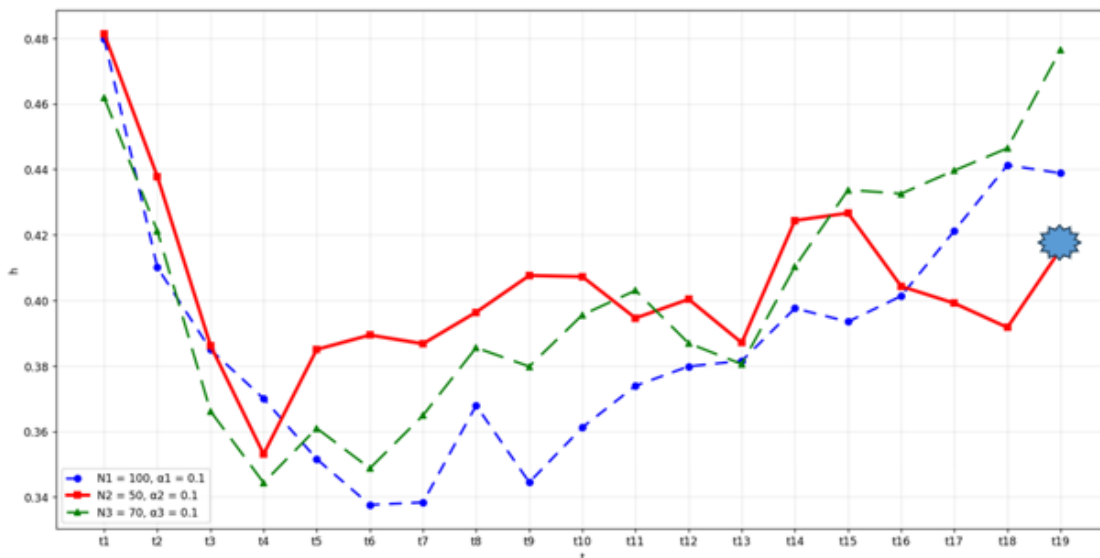


Рис. 3. Результат эксперимента для $N_1 = 100$, $N_2 = 50$, $N_3 = 70$ и $\alpha = 10\%$

Значение коэффициента корреляции между 1-м и 2-м графами составило 0,6317, между 1-м и 3-м графами 0,869, а между 2-м и 3-м 0,679. На основе полученных данных и шкалы Чеддока можно сделать вывод, что между первым

и третьим графами, где разница между начальным числом узлов составляет 30%, наблюдается сильная корреляция, а между графами, размеры которых отличаются существенно, корреляция средняя.

5. Заключение

Таким образом, в данной статье был предложен формальный подход, позволяющий формализовать процедуру оценивания стабильности системы, в случае, когда различным её аспектам соответствуют графы разных размеров. Также данный подход позволяет оценить скоординировать изменения свойств системы в рамках различных аспектов на основе коэффициента корреляции. Ограничением предложенного подхода является неявное постулирование того, что найденные показатели стабильности системы подчиняются нормальному закону распределения, следствие чего в качестве показателя связанности метрических характеристик стабильности (значений энтропии) использовался парный коэффициент корреляции. Выбор способа сопоставления динамических характеристик, соответствующих разным аспектам системы, является одним из направлений для дальнейшего исследования.

Библиографический список

1. Вентцель Е. С. Теория вероятностей: Учебник для вузов / Е. С. Вентцель. 10-е изд., стер. — М.: Высшая школа, 2006. — 575 с.
2. Елисеева И. И. Эконометрика: учебник / И. И. Елисеева, С. В. Курышева, Т. В. Костеева [и др.]; под ред. И. И. Елисеевой. — 3-е изд., перераб. и доп. — М.: Финансы и статистика, 2010. — 576 с.

© Гумирова Я.Т., 2025

УДК 004.9

В.Д. ДОМРАЧЕВА

vittadomracheva@yandex.ru

Науч. руковод. – канд. техн. наук, проф. Т.Г. ДИДЫК

Уфимский университет науки и технологий

АВТОМАТИЗАЦИЯ БИЗНЕС-ПРОЦЕССА РАЗРАБОТКИ ПРОГРАММНОГО ОБЕСПЕЧЕНИЯ В КОМПАНИИ ООО «ФИКСЛАЙН»

Аннотация: в статье рассмотрены вопросы проектирования и внедрения автоматизированной системы управления процессами разработки программного обеспечения в компании ООО «Фикслайн». Целью работы является повышение эффективности и качества выполнения проектов за счет автоматизации рутинных операций, таких как генерация документации, управление версиями кода и контроль качества.

Ключевые слова: информационная система; автоматизация; бизнес-процессы; разработка программного обеспечения.

Современные ИТ-компании сталкиваются с необходимостью оптимизации внутренних процессов для сохранения конкурентоспособности и обеспечения высокого качества продуктов. Одним из ключевых направлений такой оптимизации является автоматизация этапов жизненного цикла разработки программного обеспечения.

В компании ООО «Фикслайн» анализ существующих процессов выявил ряд недостатков, связанных с ручным управлением документацией, отсутствием строгого контроля версий и недостаточной формализацией тестирования. В связи этим возникла необходимость разработки информационной системы, позволяющей устранить вышеперечисленные проблемы.

Внедрение информационной системы управления разработкой позволит не только сократить временные затраты, но и минимизировать риски человеческого фактора.

Текущий бизнес-процесс разработки в компании включает несколько этапов, начиная от заключения договора и заканчивая передачей продукта заказчику. Однако в процессе существуют недостатки:

- ручная генерация документации и UML-диаграмм;
- отсутствие строгого контроля ветвления в Git;
- неформализованный процесс тестирования и контроля качества.

На рисунке 1 представлена мнемосхема процесса «Как есть». Данная схема демонстрирует существующие проблемы в процессах компании, включая

отсутствие автоматизации документооборота, неформализованные процедуры согласования и ручной контроль выполнения задач.

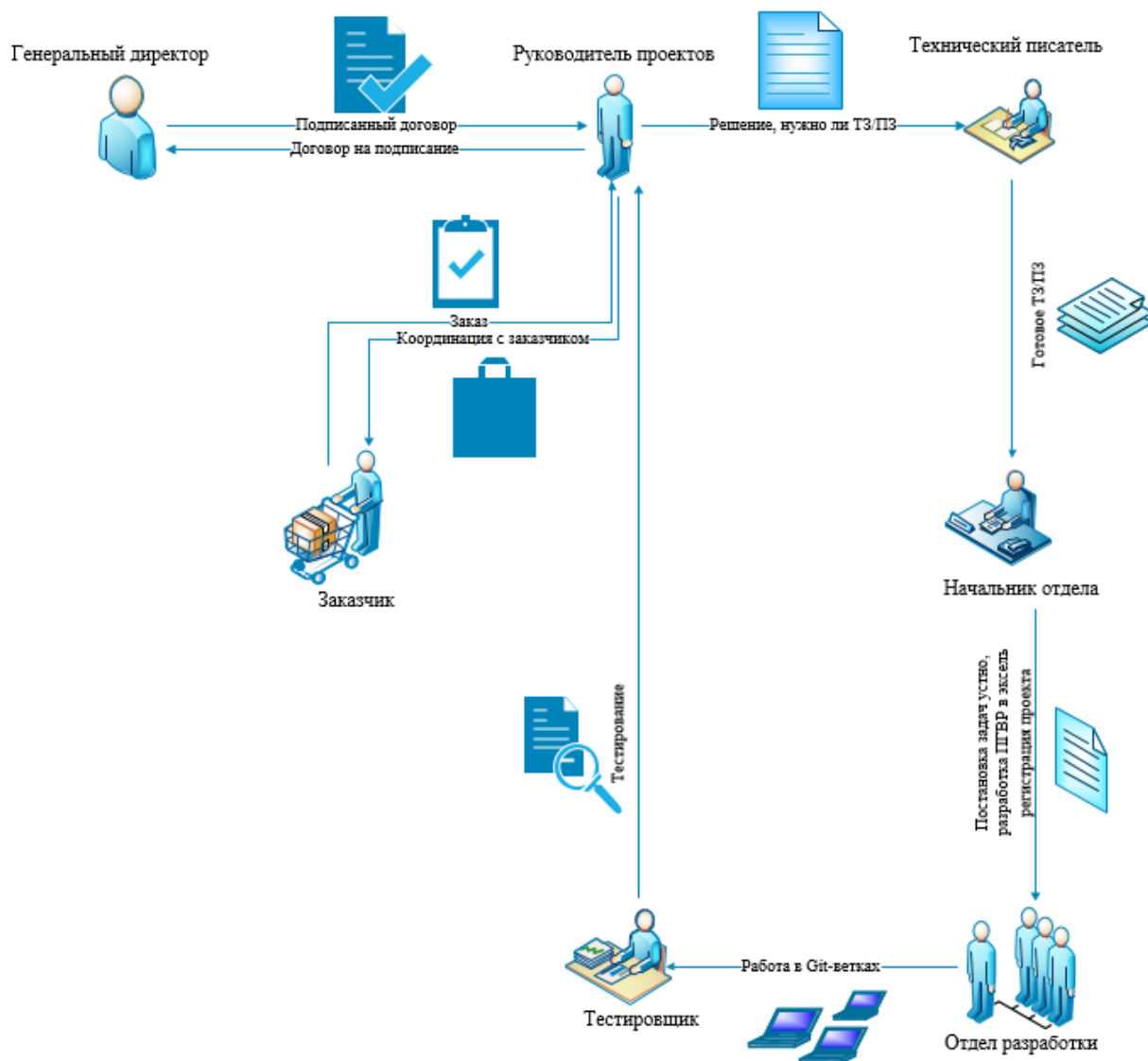


Рис. 55. Мнемосхема процесса «Как есть»

Для устранения выявленных недостатков предлагается внедрение автоматизированной системы управления разработкой, включающей:

- автоматическую генерацию документации;
- строгий контроль ветвления по модели GitFlow с обязательным код-ревью;
- формализацию процесса тестирования с многоуровневой системой проверок;
- интеграцию CI/CD-процессов для автоматизации сборки и тестирования.

На рисунках 2-3 представлена схема предлагаемого бизнес-процесса с устраненными недостатками. Особое внимание уделено автоматизации

взаимодействия между отделами, что позволяет минимизировать ручной труд и снизить вероятность человеческих ошибок. Внедрение единой информационной системы обеспечивает прозрачность всех этапов разработки и повышает управляемость проектами.

На рисунке 2 показана оптимизированная начальная стадия разработки, где ключевым улучшением является автоматизация документооборота и формализация процедур согласования. Внедрение электронного документооборота позволяет исключить бумажные носители и ускорить процесс согласования технических заданий. Система автоматически распределяет документы между участниками процесса, фиксирует сроки выполнения и уведомляет ответственных лиц о необходимости действий.

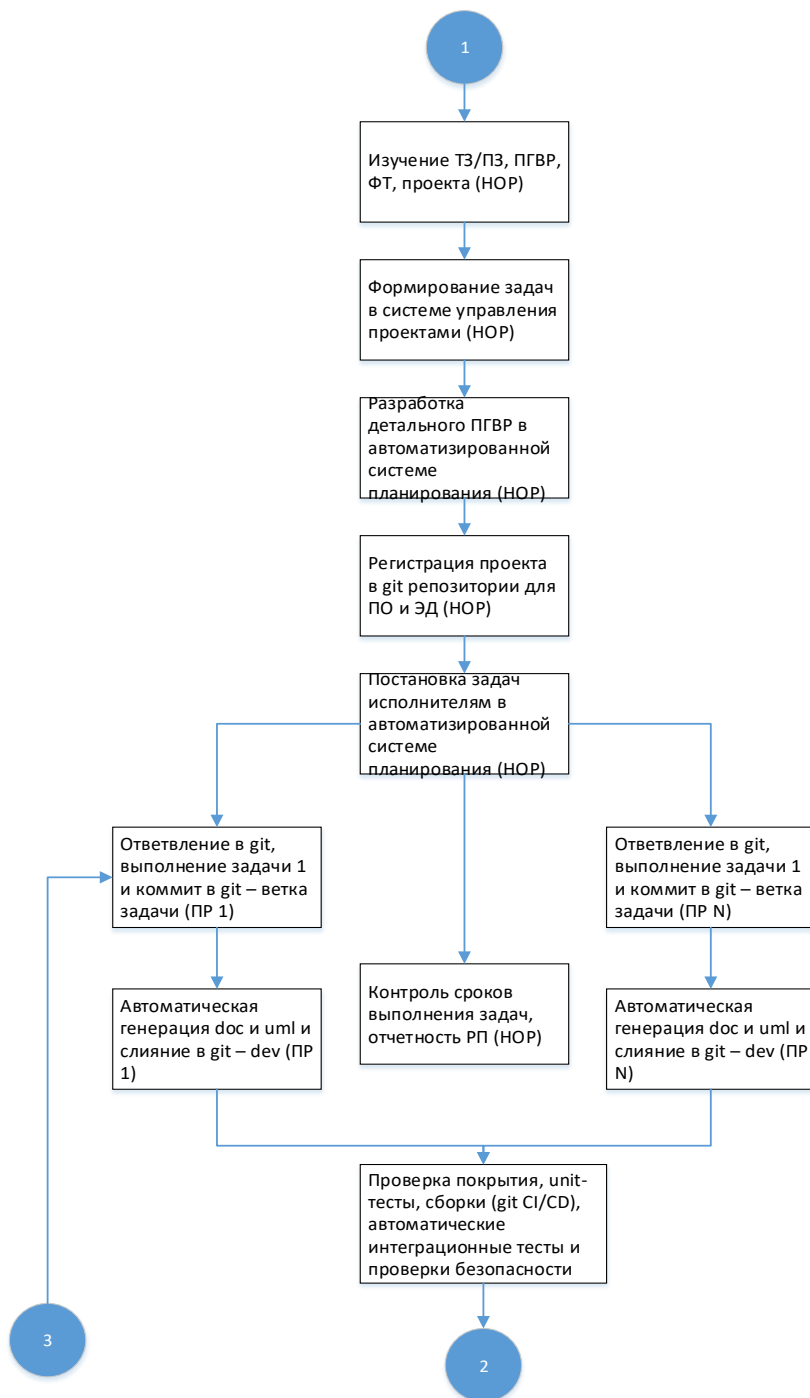


Рис. 2. Схема нового бизнес-процесса 2

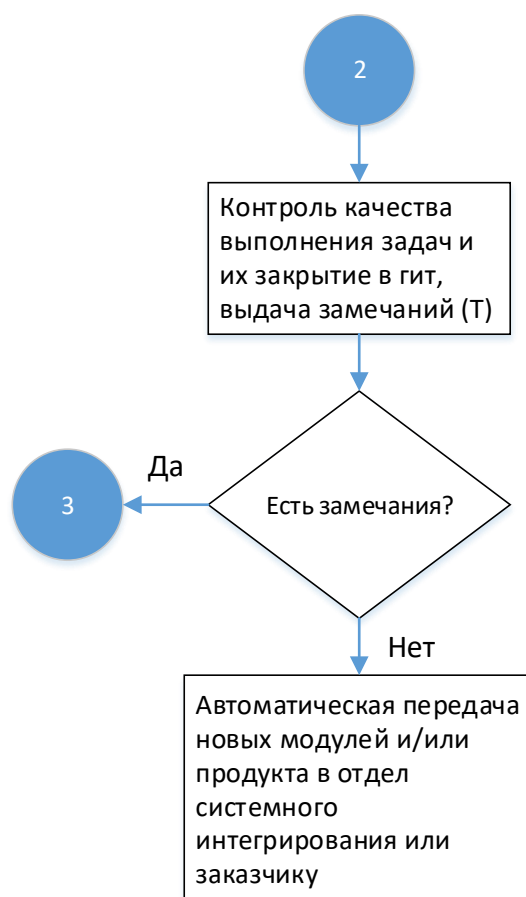


Рис. 3. Схема нового бизнес-процесса 3

Внедрение системы предполагает следующие этапы:

- развертывание CI/CD-конвейера на базе GitLab CI;
- внедрение инструментов автоматизации документации;
- настройка процессов код-ревью и управления ветвлением;
- внедрение фреймворков тестирования;
- обучение сотрудников работе с новыми процессами;

На рисунке 4 представлена мнемосхема процесса «Как должно быть», отражающая оптимизированные бизнес-процессы. На схеме показаны ключевые улучшения, включая автоматизированные рабочие процессы между подразделениями, точки контроля качества на каждом этапе и интеграцию инструментов разработки в единый контур управления. Особенностью новой модели является автоматизация от заключения договора до передачи продукта заказчику, что обеспечивает сокращение цикла разработки и повышение предсказуемости результатов. Внедрение формализованных процедур взаимодействия между генеральным директором, руководителями проектов и отделом разработки позволяет минимизировать операционные задержки и исключить дублирование функций.

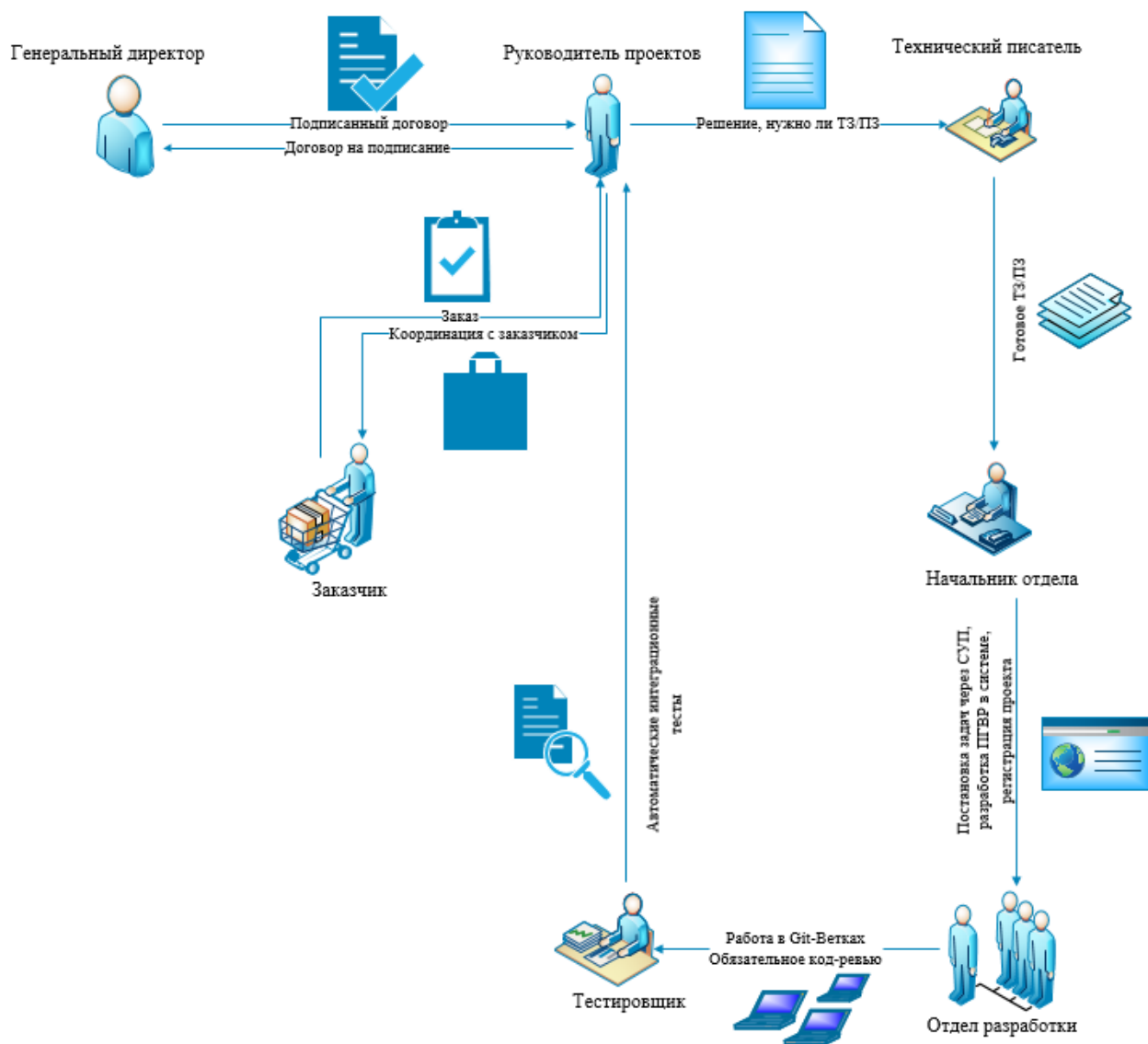


Рис. 4. Мнемосхема процесса «Как должно быть»

Внедрение предлагаемой системы автоматизации позволит:

- сократить время на рутинные операции;
- уменьшить количество ошибок на этапе интеграции;
- повысить качество кода за счет стандартизации процессов;
- улучшить прозрачность и управляемость проектов.

В заключение стоит отметить, что проведенное исследование процессов разработки программного обеспечения в компании ООО «Фикслайн» позволило выявить системные проблемы, снижающие эффективность деятельности организации. Анализ текущей ситуации показал, что основные трудности связаны с отсутствием автоматизации ключевых бизнес-процессов, что проявляется в ручной генерации документации, неформализованном контроле версий и недостаточно структурированном процессе тестирования. Эти факторы приводят к значительным временным затратам, снижению

качества продукции и увеличению количества ошибок на поздних стадиях разработки.

Разработанные предложения по автоматизации охватывают все этапы жизненного цикла разработки ПО и включают комплекс организационных и технических мероприятий. Ключевыми элементами предлагаемого решения являются: внедрение системы электронного документооборота, реализация строгой модели ветвления GitFlow с обязательным код-ревью, создание многоуровневой системы автоматизированного тестирования, интеграция инструментов CI/CD для обеспечения непрерывной поставки качественного программного обеспечения.

Внедрение предложенной системы автоматизации позволит компании ООО «Фикслайн» не только решить текущие операционные проблемы, но и создать прочный фундамент для цифровой трансформации бизнеса, повышения конкурентоспособности на рынке ИТ-услуг и достижения устойчивого развития в долгосрочной перспективе. По мере развития системы компания сможет быстрее реагировать на изменения рынка и потребности клиентов, предлагая более качественные продукты в сжатые сроки.

Реализация проекта также заложит основу для дальнейшей цифровой трансформации компании, позволяя постепенно внедрять новые технологии и совершенствовать процессы в соответствии с лучшими отраслевыми практиками.

Библиографический список

1. Electrical Engineering Enterprise's Architecture Modeling as a Basis for its Transformation into Industry 4.0 / V. Martynov, T. Didyk, N. Zvereva, J. Sharonova // International Seminar on Electron Devices Design and Production, SED 2021 - Proceedings, Prague, 27–28 апреля 2021 года. – Prague, 2021. – P. 9444498.

2. Дидык Т.Г., Шаронова Ю.В. Внедрение ERP-системы для обеспечения эффективности работы предприятия / Т.Г. Дидык Т.Г., Ю.В. Шаронова // В книге: Новые технологии в учебном процессе и производстве. Материалы XXI Международной научно-технической конференции, посвящённой 35-летию полета орбитального корабля-ракетоуплана многоуровневой транспортной космической системы «Буран». – Рязань, 2023. С. 452-454.

3. Дидык, Т.Г. Применение информационных сервисов на предприятии / Т.Г. Дидык Т.Г., Ю.В. Шаронова // В сборнике: Инновационные процессы в науке и технике XXI века. Материалы XX Международной научно-практической конференции студентов, аспирантов, ученых, педагогических работников и специалистов-практиков. – Тюмень, 2023. С. 199-201.

4. Новиков Ф.А. Учебно-методическое пособие по дисциплине «Анализ и проектирование на UML». – Санкт-Петербург, 2007.

© Домрачева В.Д., 2025

О.А. ЖАРКОВА

oksana.zharkova19@yandex.ru

Науч. руковод. – канд. техн. наук, доцент Р.В. НАСЫРОВ

Уфимский университет науки и технологий

ОСОБЕННОСТИ РЕАЛИЗАЦИИ СЕРВИСА АНАЛИТИЧЕСКОГО ВЫЧИСЛЕНИЯ НА ГРАФАХ

Аннотация: в данной статье рассматриваются особенности реализации сервиса для аналитических вычислений на графах с применением современной сервисной архитектуры. В условиях усложнения программных систем, авторы обосновывают целесообразность разделения приложения на отдельные сервисы и микросервисы, что повышает его доступность, безопасность и масштабируемость.

Ключевые слова: микросервисы; FastAPI; Python; Flask; вычисления на графах; сервис.

Задача вычисления на графах является важным инструментом при решении широкого круга задач как научного, так и практического характера. В качестве примеров типовых задачи можно привести следующее.

1. Деятельность специалиста по моделированию и оцениванию эффективности деятельности и применения приложений: для данного специалиста сервис аналитического вычисления на графах открывает новые возможности в глубоком понимании взаимодействия компонентов приложений, поведения пользователей и влияния различных факторов на общую производительность. Анализируя графовые представления данных о производительности, логах, сетевых соединениях и взаимодействиях пользователей, специалист может более точно моделировать и оценивать эффективность как отдельных модулей, так и всего приложения в целом. Это позволяет выявлять "узкие места", прогнозировать потенциальные проблемы, оптимизировать архитектуру и ресурсы, а также обосновывать принимаемые решения по развитию и модернизации программного обеспечения на основе объективных аналитических данных.

2. Обучение на тренажерах разного рода: в контексте обучения на тренажерах, сервис аналитического вычисления на графах может быть использован для создания более реалистичных и адаптивных сценариев. Графовые модели позволяют представлять сложные взаимосвязи между действиями обучающегося, состоянием тренажера и последствиями принимаемых решений. Анализируя паттерны поведения пользователя в графовом пространстве, система может динамически корректировать

сложность задач, предоставлять персонализированную обратную связь, моделировать различные нестандартные ситуации и оценивать степень освоения навыков, делая процесс обучения более эффективным и целенаправленным.

3. Оценка человеко-машинного интерфейса на основе сценариев: для оценки юзабилити и эффективности человеко-машинного интерфейса (ЧМИ) сервис на графах позволяет моделировать и анализировать пользовательские сценарии. Представляя последовательность действий пользователя, взаимодействия с элементами интерфейса и достижение конечной цели как графовую структуру, можно выявлять наиболее оптимальные и, наоборот, наиболее затрудненные пути выполнения задач. Анализ графовых метрик, таких как длина пути, количество шагов, время выполнения и частота ошибок, позволяет объективно оценивать, насколько интуитивно понятен и удобен интерфейс, предсказывать потенциальные проблемы с пользовательским опытом и предлагать конкретные рекомендации по его улучшению, основываясь на данных реальных или смоделированных сценариев использования.

Ранние проведенные исследования и разработки авторов позволили получить приложение, позволяющее проводить вычисления в аналитической форме. При этом осталось нереализованным разделение процедуры формализации, процедуры реализации и процедуры вычисления. Такое разделение обусловлено обеспечением необходимости создания разных вариантов интерфейсом для ввода данных. Такое разделение позволяет реализовать новый подход к программному обеспечению наукоемких процедур. Такое усложнение приводит к разделению их на сервисы и микросервисы [1- 3].

В настоящее время существует большое количество технологий в виде фреймворков и библиотек, которые позволяют создавать сервисы и микросервисы для решения конкретных задач. Например, Spring Boot, .NET Core, Django REST framework, Flask, FastAPI, Node.js (Express.js), Quarkus, Micronaut, Quarkus, Helidon.

В связи со сказанным целью настоящей работы является разработка методики и архитектуры распределенного вычисления на базе микросервисного подхода, обеспечивающего многопользовательского применение используемого метода.

Для реализации поставленной задачи существуют следующие инструменты на языке Python:

1. Django REST framework: Мощное расширение для фреймворка Django, предназначенное для создания веб-API.

2. Flask: Легковесный микрофреймворк для Python, который отлично подходит для создания простых RESTful API и микросервисов.

3. FastAPI: Современный, быстрый (высокопроизводительный) веб-фреймворк для создания API с версии Python 3.7+, основанный на стандартных подсказках типов Python.

Для последующего выбора инструмента реализации было проведено сравнение между Flask и FastAPI. Сравнение представлено в таблице 1.

Таблица 1

Сравнение Flask и FastAPI

| Достоинства | Недостатки |
|--|---|
| Flask | |
| <p>Гибкость: Flask — микрофреймворк, предоставляющий большую свободу в выборе архитектуры и реализации;</p> <p>Простой в изучении: Flask легко освоить, что делает его привлекательным для новичков;</p> <p>Большое сообщество: Flask имеет обширное сообщество разработчиков, что означает доступность множества документации, библиотек и примеров.</p> | <p>Меньшая автоматизация: Flask требует больше ручного кода для реализации базовых функций;</p> <p>Потенциально более сложная архитектура: гибкость может привести к сложностям в больших проектах, если не соблюдать определенную структуру.</p> |
| FastAPI | |
| <p>Скорость: FastAPI известен своей высокой скоростью и производительностью, особенно для API;</p> <p>Автоматизация: FastAPI предоставляет множество функций "из коробки", таких как валидация данных и документация API;</p> <p>Асинхронность: FastAPI поддерживает асинхронное программирование, что повышает производительность в приложениях с высоким трафиком;</p> <p>Документация: FastAPI автоматически генерирует документацию API (Swagger UI), что упрощает тестирование и использование API.</p> | <p>Меньшая гибкость: FastAPI более структурирован, чем Flask, что может ограничивать некоторые архитектурные решения;</p> <p>Потенциальная сложность для новичков: FastAPI требует большего понимания асинхронного программирования и работы с API.</p> |

Исходя из данного сравнения, выбор пал на FastAPI.

Для разработки приложения была разработана архитектура, особенности которого представлены на рисунке 1.

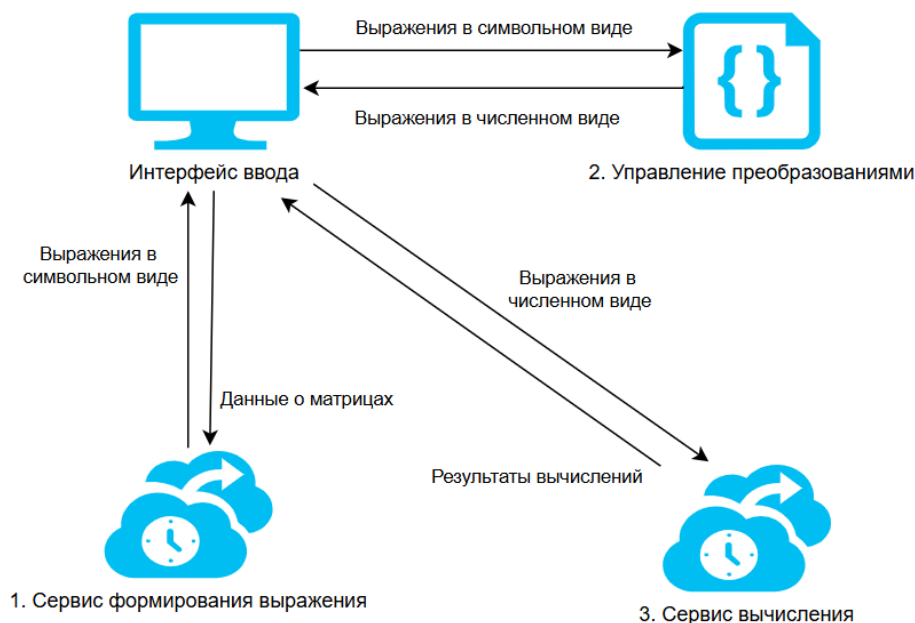


Рис. 1. Архитектура системы

Для удобства управления данными, их представления и преобразования данные хранятся в нескольких видах:

1. Числа: Значения из полей ввода, преобразованные в «float».
2. Двумерные массивы (матрицы): «matrixPData», «matrixMData», «matrixP», «matrixM». Это основная структура для представления матриц.
3. JSON-объекты: для передачи данных на сервер и получения результатов от сервера.

Поскольку требовалось решить несколько задач с принципиально разной функциональностью, в результате было создано гибридное приложение. Общая схема анализа представлена на рисунке 2.

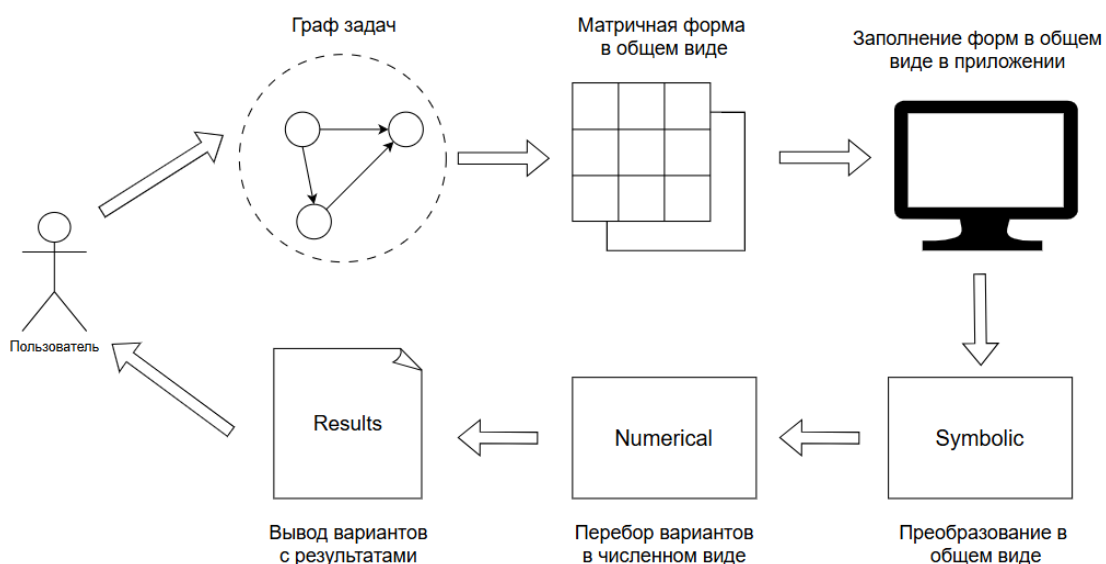


Рис. 2. Общая схема анализа

Этапы «Матричная форма в общем виде», «Заполнение форм в общем виде в приложении», и «Вывод вариантов с результатами» представлены с помощью html+javascript. Этапы «Преобразование в общем виде» и «Перебор вариантов в численном виде» реализованы в виде отдельных микросервисов с использованием языка Python и библиотеки rpyantic для преобразования типов данных. Это позволило разделить контекст ввода данных и контекст вычислений по разным функциональным блокам.

Выделение разных контекстов позволило разделить функциональность на отдельные сервисы. Разделение функциональности на отдельные сервисы (формирования выражения, вычисления) и использование FastAPI как основного инструмента для API обеспечивает не только высокую производительность, но и делает приложение более доступным, безопасным и перспективным для дальнейшего развития. Такой подход делает разработанный набор сервисов аналитического вычисления на графах масштабируемым решением.

Библиографический список

1. Ньюмен С. Создание микросервисов. – СПб.: Питер, 2016. – 304 с.: ил. – (Серия «Бестселлеры O'Reilly»). – ISBN 978-5-496-02011-4.
2. Наркхе В. П., Суле А. П., Шрираме С. Д. Обзор микросервисов: шаг к распределенным системам (A survey of microservices: A step towards distributed systems) // В сб.: 2017 International Conference on Computer Communication and Informatics (ICCCI), 2017, с. 1-5. DOI: 10.1109/ICCCI.2017.8117478.
3. Чен П., Ванг Ю., Лю Дж. «Анализ масштабируемости и производительности приложений на основе микросервисов» (Scalability and performance analysis of microservices-based applications) // Journal of Cloud Computing, т. 9, № 1, с. 1-16, 2020.

4. Мартин, Роберт К. Быстрая разработка программ : Принципы, примеры, практика / Роберт К. Мартин, а также Джеймс В. Ньюкирк и Роберт С. Косс. - М. [и др.] : Вильямс, 2004 (ГПП Печ. Двор). - 739, [5] с. : ил.; 24 см.; ISBN 5-8459-0558-3
5. Пратт, Теренс У. Языки программирования : Разраб. и реализация : [Пер. с англ.] / Т. Пратт, М. Зелковиц. - 4. изд. - М. [и др.] : Питер, 2002. - 688 с. : ил.; 24 см. - (Серия Классика computer science).; ISBN 5-318-00189-0
6. Крачтен, Филипп. Введение в Rational Unified Process / / Филипп Крачтен; [Пер. с англ. и ред. А.В. Назаренко]. — 2. изд. — М. [и др.] : Вильямс, 2002. — 239 с. : ил., табл. : 24 см — (Серия "Объектные технологии").; ISBN 5-8459-0239-8
7. Бакусов, Л. М. Методы и модели причинно-структурного анализа в исследовании самоорганизующихся систем / Л. М. Бакусов. - Москва : Машиностроение, 2005 (Уфа : Уфимский полиграфический комбинат). – 227 с. : ил., табл.; 21 см.; ISBN 5-217-03322-3
8. Гринберг Мигель. Разработка веб-приложений с использованием Flask на языке Python / пер. с англ. А. Н. Киселева. – 2-е изд., эл. – Москва : ДМК Пресс, 2023. – 274 с. – ISBN 978-5-89818-311-0
9. Соммервилл, Иан. Инженерия программного обеспечения / Иан Соммервилл; [Пер. с англ. А. А. Минько и др.]. – 6. изд. - М. [и др.] : Вильямс, 2002. – 623 с. : ил., табл.; 24 см.; ISBN 5-8459-0330-0
10. Ильин, Ф.В. Математические модели оценки эффективности инвестиций и принятия управленческих решений в условиях риска// Автореф. дисс. на соиск. уч. ст. канд. техн. Наук / Ф.В. Ильин. – Санкт-Петербург, 2017. – 16 с.
11. Есиков, Д.О. Оценка эффективности методов решения задач обеспечения устойчивости функционирования распределенных информационных систем / Д.О. Есиков // Программные продукты и системы. – 2015. – С. 241-256.
12. Исмагилова, Г.В. Некоторые подходы к оценке эффективности деятельности / Г.В. Исмагилова, М.С. Рухляева, О.Г. Щемерова // Казанская наука №1. – 2015. – С. 75-77.
13. Прудникова, Л.В. Оценка инновационной деятельности и эффективности деятельности ОАО «Витебские ковры» в соответствии с этапами производственного цикла / Л.В. Прудникова, Е.В. Шаткова // УО «ВГТУ». – 2018. – С. 249-251.
14. Северцев, Н.А. Исследование эффективности функционирования технической системы специального назначения на основе марковского процесса / Н.А. Северцев // Научный вестник МГТУ ГА. – 2016. – стр. 61-68.
15. Плескунов, М.А. Задачи сетевого планирования: учебное пособие / Плескунов М.А. – Екатеринбург: Изд-во Урал. ун-та, 2014 – 92 с.
16. Кудрявцев, Е.М. Microsoft Project. Методы сетевого планирования и управления проектом / Е.М. Кудрявцев. – М.: Книга по Требованию, 2016. – 238 с.

17. Андриченко, А. Timeline — новое поколение технологических САПР. Семантический подход / А. Андриченко // САПР и графика. – 2011. – С. 80-84.

© Жаркова О.А., 2025

К.М. ЗИНАТУЛЛИНА

dek76518@gmail.com

Науч. руковод. – канд. техн. наук, доц. Т.Г. ДИДЫК

Уфимский университет науки и технологий

ИНТЕГРАЦИЯ СИСТЕМ УПРАВЛЕНИЯ В КОМПАНИИ ООО «ФИКСЛАЙН»

Аннотация: в статье рассматривается текущее состояние бизнес-процесса интеграции систем управления в ООО «ФИКСЛАЙН». Выявлены проблемные зоны, снижающие операционную эффективность, и предложены решения по их автоматизации с использованием современных инструментов управления проектами и задачами.

Ключевые слова: бизнес-процесс; интеграция систем; управление проектами; информационная система.

В условиях современного рынка IT-компания, занимающиеся интеграцией систем управления, должны постоянно совершенствовать свои внутренние рабочие процессы для достижения большей производительности. ООО «Фикслайн», имеющая четкую организационную структуру с отделами разработки, системной интеграции, проектирования и IT-поддержки, также нуждается в таких улучшениях. Основная цель работы – повышение эффективности компании за счет устранения «узких мест», а также автоматизация ручного труда в бизнес-процессах.

Ключевые проблемы текущего процесса рассмотрены далее:

1. Высокая доля ручного труда и устных коммуникаций. Регистрация проектов выполняется вручную, постановка задач осуществляется устно, планирования ведутся в Excel, что увеличивает риск потери информации и затрудняет масштабирование.

2. Отсутствие единой системы управления задачами. Контроль выполнения, сроков и статуса задач происходит разрозненно – через git, Excel и отчетность вручную, без интеграции в централизованную систему.

3. Неэффективный процесс отслеживания и устранения замечаний. Цикл устранения багов и доработок многократно повторяется, без автоматического трекинга, что приводит к затягиванию сроков и увеличению нагрузки на сотрудников.

Рис. 1. Мнемосхема процесса «Как есть» (рисунок 1) наглядно демонстрирует существующие проблемы в процессах компании.

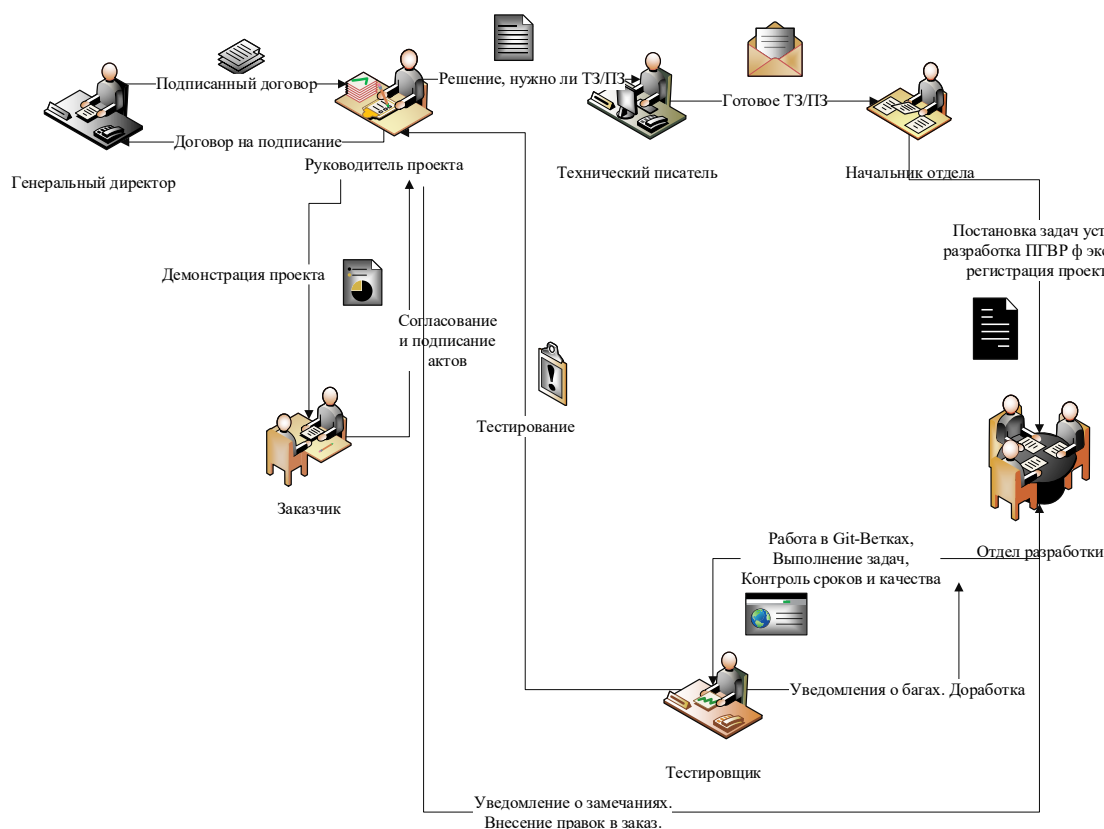


Рис. 1. Мнемосхема процесса «Как есть»

Используемые технологии для автоматизации бизнес-процесса:

- Jira – платформа для управления проектами и задачами. Позволяет создавать сложные рабочие процессы, отслеживать решения задач и ошибок.

- ClickUp – платформа для управления работами, объединяющая задачи, документы, цели и общение в одном пространстве.

- GitLab – это единая платформа, объединяющая управление исходным кодом (на основе Git), отслеживание проблем, непрерывную интеграцию и доставку (CI/CD). Позволяет автоматизировать весь жизненный цикл разработки – от планирования до развертывания.

- GitHub – крупнейший веб-сервис для хостинга IT-проектов и их совместной разработки. Как и GitLab, предоставляет мощные инструменты для управления репозиториями, код-ревью и автоматизации процессов через GitHub Actions.

- Power BI – бизнес-аналитическая платформа от Microsoft, предназначенная для визуализации данных и создания интерактивных отчетов. Позволяет подключаться к множеству источников данных (включая Jira, базы данных, 1С).

- 1С: Предприятие – широко распространенная в России платформа для автоматизации учета и управления на предприятии. Интеграция 1С с системами управления проектами и BI-инструментами позволяет объединить операционные и финансовые данные.

– Вебхуки (Webhooks) – технологии для отправки уведомлений о событиях из одной системы в другую.

– Excel – программное обеспечение для работы с электронными таблицами.

Информационная система управления интеграцией позволит:

– формировать и вести план-графики;

– заменить Excel на цифровые инструменты планирования (например, Gantt-диаграммы в ClickUp, Jira), позволяющие отслеживать отклонения от сроков и автоматизировать обновления;

– регистрировать проекты и репозитории;

– автоматически инициализировать git-репозитории и шаблонные файлы при старте нового проекта с привязкой к задачам;

– устранять замечания и баг-трекинги;

Рис. 2. Мнемосхема процесса «Как должно быть» (рисунок 2) показывает автоматизированный процесс работы.

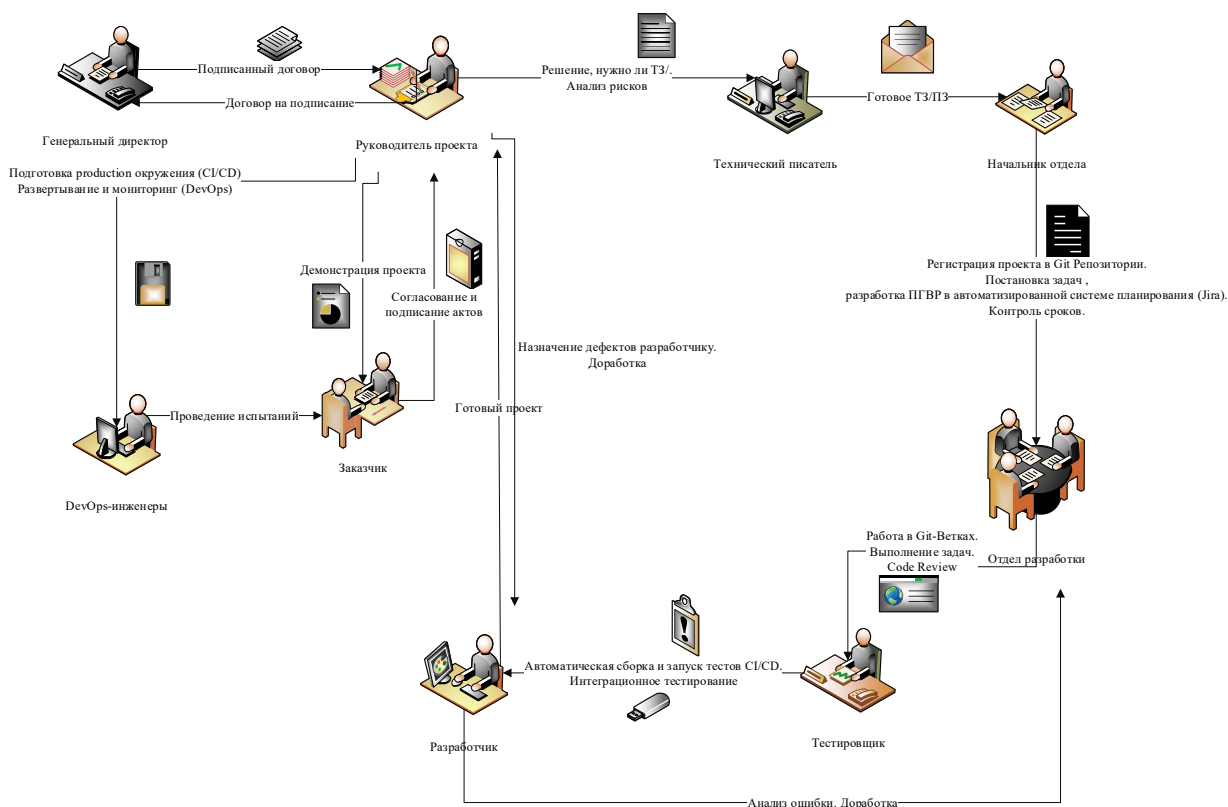


Рис. 2. Мнемосхема процесса «Как должно быть»

Для оптимизации бизнес-процесса понадобятся кадровые изменения и технические доработки. Введение новых должностей описано ниже:

– **DevOps-инженер** в отдел разработки – для настройки CI/CD, интеграции GitLab/Jira и развертывания ВІ-систем;

– **Системный аналитик** в отдел системной интеграции – для формализации требований и настройки автоматических отчетов;

– **Data Engineer** в аналитический отдел – для настройки ETL-процессов.

Автоматизация выполнения технических задач представлена далее:

1. Интеграция систем управления предприятием и задачами (Jira, ClickUp): настройка вебхуков для автоматической синхронизации задач; внедрение Jira Automation для автогенерации задач из ТЗ; двусторонняя синхронизация статусов между системами.

2. Интеграция с git-репозиториями (GitLab, GitHub): автоматическая передача данных о коммитах и ветках; настройка защиты веток и обязательного код-ревью; интеграция с CI/CD для автоматического тестирования.

3. Автоматизация формирования отчетности: разработка скриптов на Python для выгрузки данных; создание шаблонов отчетов в Google Data Studio; интеграция с 1С для финансовой отчетности.

4. Реализация панели мониторинга (Dashboard): настройка Power BI/Grafana; подключение источников данных: Jira, GitLab, 1С; визуализация ключевых метрик проектов.

Ожидаемые результаты от интеграции систем управления:

1) сокращение времени на рутинные операции на 30-40%, а общего времени на выполнение проектов в среднем на 15-20%;

2) уменьшение количества ошибок при передаче информации;

3) повышение прозрачности рабочих процессов и качества контроля;

4) улучшение взаимодействия в команде за счет четкой формализации требований.

Проведенный анализ бизнес-процесса интеграции систем управления в ООО «Фикслайн» показал наличие значительного потенциала для оптимизации. Предложенные мероприятия по автоматизации позволят компании не только устранить текущие недостатки, но и создать основу для дальнейшего масштабирования бизнеса. Внедрение современных инструментов управления задачами, интеграционных решений и систем аналитики соответствует лучшим отраслевым практикам и будет способствовать укреплению конкурентных позиций компании на рынке.

Библиографический список

1. Electrical Engineering Enterprise's Architecture Modeling as a Basis for its Transformation into Industry 4.0 / V. Martynov, T. Didyk, N. Zvereva, J. Sharonova // International Seminar on Electron Devices Design and Production, SED 2021 - Proceedings, Prague, 27–28 апреля 2021 года. – Prague, 2021. – P. 9444498.

2. Дидык Т.Г., Шаронова Ю.В. Внедрение ERP-системы для обеспечения эффективности работы предприятия / Т.Г. Дидык Т.Г., Ю.В. Шаронова // В книге: Новые технологии в учебном процессе и производстве. Материалы XXI Международной научно-технической конференции. – Рязань, 2023. С. 452-454.

3. Дидык, Т.Г. Применение информационных сервисов на предприятии / Т.Г. Дидык Т.Г., Ю.В. Шаронова // В сборнике: Инновационные процессы в науке и технике XXI века. Материалы XX Международной научно-

практической конференции студентов, аспирантов, ученых, педагогических работников и специалистов-практиков. – Тюмень, 2023. С. 199-201.

© Зинатуллина К.М., 2025

УДК 004.9

А.А. КАРАЧУРИНА

alla.karachurina@mail.ru

Науч. руковод. – канд. техн. наук, доц. Э.Р. ГАБДУЛЛИНА

Уфимский университет науки и технологий

ПРОБЛЕМА ПОДБОРА ОБОРУДОВАНИЯ ДЛЯ ПОДГОТОВКИ ТЕХНИКО-КОММЕРЧЕСКИХ ПРЕДЛОЖЕНИЙ

Аннотация: в данной работе рассматривается проблема подбора оборудования для подготовки технико-коммерческих предложений в рамках тендерных закупок. Анализируются недостатки ручного метода формирования спецификаций. Разрабатывается структурная схема системы управления процессом формирования спецификации оборудования. Предлагается использование больших языковых моделей для разработки спецификации. Приводится сравнительная характеристика типов больших языковых моделей.

Ключевые слова: подбор оборудования, технико-коммерческое предложение, тендерная закупка, спецификация, автоматизация, большая языковая модель, локальная LLM, система управления, техническое задание, ПЛК.

В российской промышленной сфере тендерные закупки получили широкое распространение для установления долгосрочных партнерских отношений с поставщиками [1].

В рамках тендерной закупки предприятие-участник должно подготовить тендерную заявку в соответствии с требованиями заказчика. В статье рассматривается процесс подготовки заявки на примере предприятия ООО «НПП «Авиатрон», г. Уфа.

Тендерная заявка состоит из двух частей [2]:

1. Квалификационная часть.

В данном разделе предоставляется следующая документация в соответствии с требованиями заказчика:

– учредительные документы;

– финансовые документы;

– разрешительная документация;

– иные документы, подтверждающие квалификацию участника для выполнения работ.

2. Техничко-коммерческая часть.

В этой части разрабатывается спецификация оборудования, подобранного по требованиям технического задания с указанием стоимости материально-технических ресурсов, а также стоимости выполнения необходимых работ для

внедрения в существующую систему (шеф-монтажные, пуско-наладочные и строительно-монтажные работы).

На рисунке 1 представлен один из вариантов наполнения шкафа распределенной системы управления (PCY) и противоаварийной защиты (ПАЗ) в соответствии с разработанной спецификацией. Шкаф системы PCY/ПАЗ включает:

- блоки питания шкафа с модулями резервирования для обеспечения постоянной работы;
- электромонтажное оборудование: автоматические выключатели, клеммное оборудование и кабельная продукция;
- резервированная сборка программируемого логического контроллера (ПЛК): блоки питания, центральный процессор, коммуникационные модули;
- корзина модулей ввода-вывода ПЛК: модули ввода-вывода аналогового или дискретного сигнала, также могут быть специализированные модули для ввода сигналов с термопар или термосопротивления;
- сетевое оборудование: коммутаторы, преобразователи интерфейсов (*Ethernet, RS-485*).

Отличие ПЛК PCY от ПЛК ПАЗ заключается в том, что для системы ПАЗ необходимо резервирование не только самого ПЛК, но и модулей ввода-вывода [3].

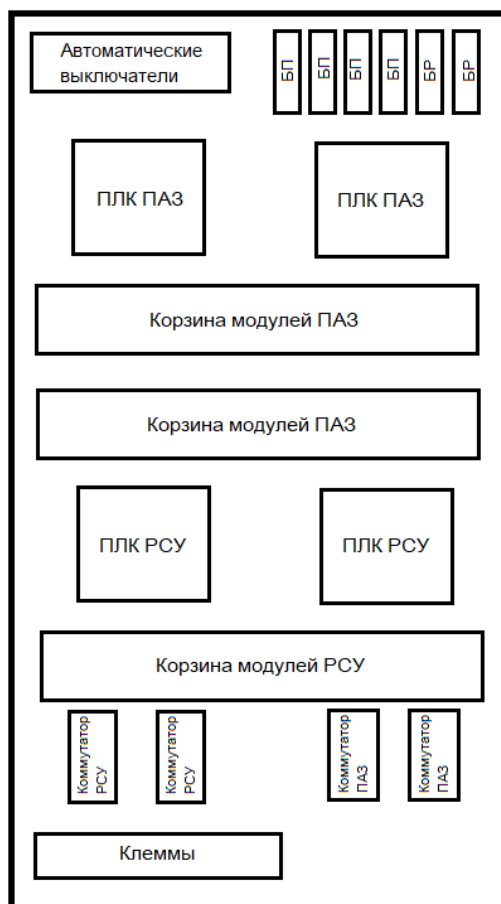


Рис. 1. Состав шкафа системы PCY/ПАЗ

В настоящее время подбор оборудования для спецификации осуществляется специалистами на основе индивидуального опыта и знаний. Этот процесс требует глубокого анализа многочисленных каталогов, технических спецификаций, прайс-листов и требований технического задания. Однако такой подход, основанный на личных предпочтениях и субъективной оценке, может привести к несоответствию требованиям заказчика.

Кроме того, необходимость учета всех технических требований связано с обработкой значительных объемов информации, поэтому подготовка спецификации вручную повышает у специалистов риск потери концентрации и возникновения ошибок.

Для решения вышеперечисленных проблем с целью повышения эффективности работы специалистов необходимо создание единой системы управления для формирования спецификации оборудования, которая на основе технических требований позволит идентифицировать требуемое оборудование из технического задания, осуществить его подбор из актуальной базы данных с указанием конкретной модели и стоимости и сформировать коммерческое предложение.

Разработана трехуровневая структурная схема системы управления процессом формирования спецификации оборудования (рис. 2). На нижнем уровне осуществляется подбор элементной базы из технического задания. На среднем уровне производится формирование базы данных доступного оборудования с указанием текущих цен и поиск в ней оборудования, требуемого по техническому заданию. На верхнем уровне строится интеллектуальная система обработки текста технического задания на основе большой языковой модели, установленной на локальном устройстве, система автоматического поиска цен по сайтам поставщиков (парсинг), интеллектуальная система генерации спецификации.

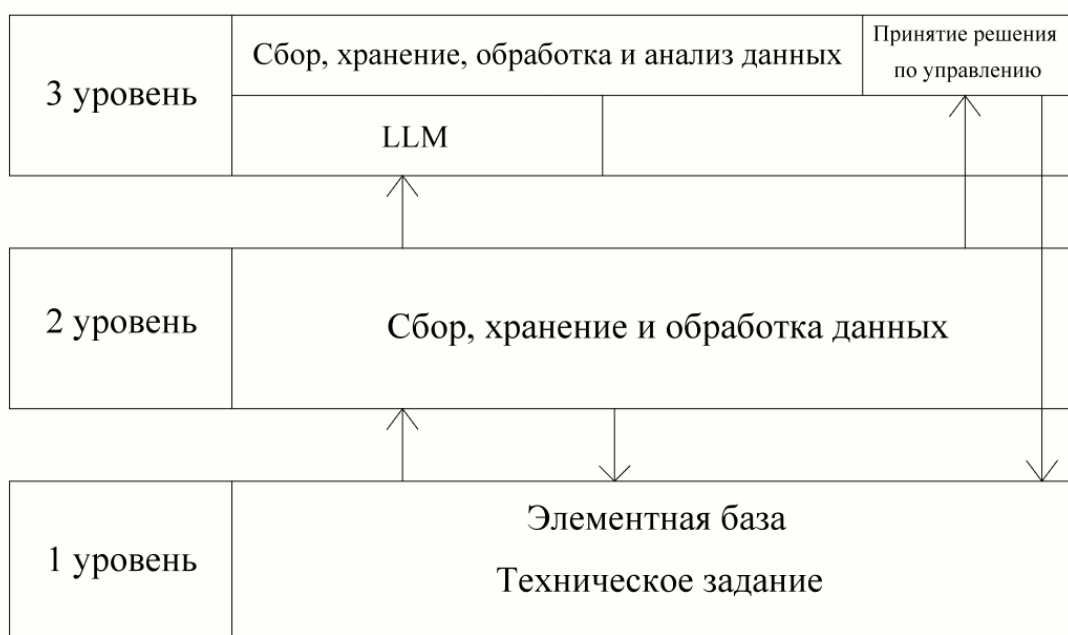


Рис. 2. Структурная схема системы управления процессом формирования спецификации оборудования

Большие языковые модели (*Large Language Model, LLM*) – это категория моделей глубокого обучения, построенных на основе архитектуры нейронных сетей, называемой «трансформер», и обученных на огромных объёмах данных, что позволяет им обрабатывать тексты на естественном языке [4]. Выделяют облачные и локальные *LLM*.

Облачная языковая модель (*Cloud LLM*) – это большая языковая модель (*LLM*), которая работает на удалённых серверах провайдера и доступна пользователям через Интернет.

Локальная большая языковая модель (*Local LLM*) – это экземпляр большой языковой модели, который разворачивается и выполняется на вычислительном оборудовании конечного пользователя (настольный ПК, сервер, мобильное устройство), а не на удаленных серверах [5].

Сравнительная характеристика типов *LLM* с указанием преимуществ и недостатков приведена в таблице 1.

Таблица 1

Сравнение облачной и локальной *LLM*

| Критерий | Облачная <i>LLM</i> | Локальная <i>LLM</i> |
|-----------------------------------|---|---|
| Место запуска | Запускается на удаленных серверах. | Запускается на собственном оборудовании. |
| Контроль и доступность | Доступна через веб-интерфейс. Зависит от доступности серверов провайдера. | Полный контроль. Работает офлайн. |
| Конфиденциальность и безопасность | Данные (промпты) отправляются на серверы третьей стороны. Они могут использоваться для обучения моделей. Не подходит для конфиденциальной информации. | Данные никогда не покидают устройство пользователя. Идеально для работы с персональными, медицинскими, коммерческими тайнами. |
| Гибкость и кастомизация | Ограничена. Нельзя кардинально изменить модель. Доступны только функции, предоставленные провайдером. | Можно менять параметры, «скрещивать» модели, создавая узкоспециализированные решения. |
| Производительность и задержки | Зависит от нагрузки на серверы провайдера и скорости Интернета. Могут быть задержки при ответе. | Зависит от аппаратного обеспечения. После загрузки модели ответы практически мгновенные. |

Продолжение табл. 1

| Критерий | Облачная LLM | Локальная LLM | |
|------------------------|---|---|---|
| Аппаратные требования | Требуется устройство с доступом в Интернет и браузером. | Требуется мощное аппаратное обеспечение: | |
| | | Видеопамять от 8 до 24 ГБ и выше. | Оперативная память от 16 до 64 ГБ и выше. |
| Простота использования | Очень проста. Не требует технических знаний | Сложная настройка. Требуется установки ПО, моделей, технических знаний для настройки и оптимизации. | |

Проведенное сравнение облачных и локальных больших языковых моделей позволяет сделать вывод, что выбор типа модели зависит от конкретных задач и ограничений проекта. Для решения рассматриваемой задачи разработки системы подбора оборудования предпочтительным является использование локальной LLM, которое вызвано требованиями конфиденциальности данных и безопасности.

Таким образом, в статье показана актуальность и необходимость автоматизации процесса подбора оборудования для формирования технико-коммерческих предложений. Разработана трехуровневая структурная схема системы управления подготовкой спецификации. Предложено использование для подготовки спецификации большой языковой модели, развернутой на локальном устройстве. Автоматизация ключевых этапов позволит существенно повысить скорость, точность процесса подготовки тендерных заявок и способствовать повышению конкурентоспособности предприятия за счет сокращения времени на подготовку технико-коммерческих предложений.

Библиографический список

1. Панфилова Е.Е. Особенности проведения тендерных закупок в промышленных организациях / Е. Е. Панфилова. – Московский экономический журнал. 2024. №3. – С 327-337. – Текст: электронный.

2. КонсультантПлюс: [сайт]. – Федеральный закон от 18.07.2011 № 223-ФЗ «О закупках товаров, работ, услуг отдельными видами юридических лиц». – URL: http://www.consultant.ru/document/cons_doc_LAW_116964/ (дата обращения: 05.11.2025). – Текст: электронный.

3. Docs.cntd.ru: электронный фонд правовых и нормативно-технических документов: [сайт]. – Об утверждении федеральных норм и правил в области промышленной безопасности "Общие правила взрывобезопасности для взрывопожароопасных химических, нефтехимических и

нефтеперерабатывающих производств". Системы противоаварийной автоматической защиты. – URL: <https://docs.cntd.ru/document/573200380/titles/8PO0LT> (Дата обращения 05.11.2025). – Текст: электронный.

4. IBM: [сайт]. – What are large language models (LLM)? – URL: <https://www.ibm.com/think/topics/large-language-models> (Дата обращения 03.11.2025). – Текст: электронный.

5. Novikau Anton. Online vs. Offline LLM inference: unlocking the best of both worlds in mobile applications / A. Novikau – Universum: технические науки. 2024. №11 (128). – С 44-46. – Текст: электронный.

6. Scrapfly: [сайт]. – Guide to Local LLMs. – URL: <https://scrapfly.io/blog/posts/guide-to-local-llm> (дата обращения: 03.11.2025). – Текст: электронный.

7. Habr: [сайт]. – Облачная vs локальная LLM: что выбрать для своего проекта. – URL: <https://habr.com/ru/companies/slurm/articles/957308/> (дата обращения: 03.11.2025). – Текст: электронный.

8. Scand: [сайт]. – Local LLMs vs ChatGPT: Cost Comparison. – URL: <https://scand.com/ru/company/blog/local-llms-vs-chatgpt-cost-comparison/> (дата обращения: 04.11.2025). – Текст: электронный.

© Карачурина А.А., 2025

Ю.В. МИНОГИНА

yulia.minogina05@mail.ru

Науч. руковод. – канд. техн. наук, доцент А.С. РАКИПОВА

Уфимский университет науки и технологий

ГЕНЕРАТИВНЫЕ НЕЙРОСЕТИ В СОЗДАНИИ ИГРОВОГО КОНТЕНТА: ВОЗМОЖНОСТИ, ОГРАНИЧЕНИЯ И СРАВНЕНИЯ С КЛАССИЧЕСКИМИ ПРОЦЕДУРАМИ

Аннотация: статья рассматривает применение генеративных нейросетей для автоматической генерации контента в видеоиграх. Автор даёт обзор традиционных методов процедурной генерации (карт, уровней, заданий) и сравнивает их с подходами, базирующимися на искусственном интеллекте. Рассматриваются примеры реализации, достигнутые результаты и технологические ограничения текущих подходов.

Ключевые слова: процедурная генерация; генеративный ИИ; нейросети; PCGML; игровой дизайн.

Введение. Современные видеоигры становятся всё более сложными и масштабными, что требует значительных ресурсов на разработку контента – уровней, заданий, диалогов, моделей и других элементов. В этой связи особую актуальность приобретают методы автоматизированной генерации контента, известные как процедурная генерация (Procedural Content Generation, PCG).

Традиционно PCG реализуется с помощью алгоритмов, основанных на заранее заданных правилах и параметрах. Такие подходы демонстрируют высокую управляемость и стабильность, но ограничены в плане креативности и адаптивности. С развитием искусственного интеллекта, особенно в области машинного обучения и нейросетей, появилась новая парадигма – PCGML (Procedural Content Generation via Machine Learning), в рамках которой контент создаётся на основе анализа существующих данных с использованием генеративных моделей.

Генеративные нейросети, включая GPT (Generative Pre-trained Transformer), GAN (Generative Adversarial Network), VAE (Variational Autoencoder) и трансформеры, открыли новые возможности в автоматизации креативных задач. Они способны создавать уникальные уровни, диалоги, квесты, музыкальные и визуальные элементы, которые не были явно запрограммированы разработчиком. Однако внедрение таких моделей в игровую индустрию сопряжено с рядом проблем – от сложности контроля результата до требований к качеству обучающих данных.

Цель данной статьи – проанализировать потенциал и ограничения использования генеративных нейросетей в разработке игрового контента, сравнив их с классическими методами процедурной генерации. Рассматриваются примеры применения, анализируются достоинства и недостатки различных подходов, а также обозначаются перспективные направления развития.

Традиционные методы процедурной генерации

Традиционные методы процедурной генерации контента базируются на алгоритмических подходах, использующих заранее определённые правила, шаблоны и параметры. Классическими примерами являются:

- Алгоритмы клеточных автоматов (например, генерация пещерных уровней);
- Грамматики (L-системы) для построения растительности и архитектуры;
- Алгоритмы на основе шумов Перлина и Симплекса для создания ландшафтов;
- Rule-based генерация квестов (например, через FSM (Field Service Management) или GOAP (Goal-Oriented Action Planning));
- Randomized tilemaps и wave function collapse.

Эти подходы обеспечивают воспроизводимость, стабильность и полную управляемость результата, что делает их удобными при создании контента с фиксированной структурой или ограниченной вариативностью. Однако они часто страдают от шаблонности и требуют большого количества ручной настройки.

Генеративные нейросети и подход PCGML (Procedural Content Generation via Machine Learning)

Генеративные нейросети – это класс моделей, способных создавать новые данные, схожие с обучающим набором. В контексте игр используются следующие архитектуры:

- GAN (Generative Adversarial Networks) – хорошо подходят для генерации изображений, спрайтов, текстур и даже уровней;
- VAE (Variational Autoencoders) – для моделирования сложных распределений и латентных представлений;
- Трансформеры (например, GPT) – для генерации диалогов, сюжетов и квестов;
- Diffusion models – перспективны в визуальной генерации и стилизации.

В рамках PCGML нейросети обучаются на существующих игровых данных и затем создают новые элементы, учитывая структуру, стиль и механику исходного материала. Примеры применений:

- Генерация уровней по стилю Super Mario Bros (на основе LSTM (Long Short-Term Memory) и GAN);
- Синтез NPC-диалогов и реакций на основе transformer-моделей;

- Генерация архитектуры, зданий и объектов по концепт-артам (Promethean AI);
- Автоматическая генерация игровых квестов и событий с учётом нарратива.

Преимущество нейросетей – в возможности создавать уникальный и непредсказуемый контент, приближённый к человеческому творчеству. Однако это требует значительных ресурсов и дополнительных методов валидации.

Примеры использования генеративного ИИ в игровых проектах

1. AI Dungeon (Latitude) – интерактивная текстовая игра, использующая GPT-3/4 для генерации сценариев в реальном времени. Игра реагирует на действия и ввод игрока, создавая уникальные нарративы;

2. Promethean AI – инструмент для автоматической генерации 3D-интерьеров и локаций. Используется в студиях для ускорения работы с окружением;

3. Inworld AI – создание ИИ-персонажей с памятью, голосом и адаптивным поведением. Используется в RPG (Role-Playing Game), симуляторах, VR-проектах;

4. Replica Studios – генерация голоса NPC (Non-Player Character) на основе текста с использованием синтеза речи и ИИ-актеров;

5. GANcraft (NVIDIA) – генерация реалистичных трёхмерных миров из воксельных представлений, обученных на данных Minecraft.

Эти примеры демонстрируют потенциал генеративного ИИ как в индиразработке, так и в крупных AAA-играх. Однако каждый случай сопровождается своими компромиссами между качеством, контролем и ресурсами.

Сравнение традиционных и ИИ-подходов к генерации контента

Сравнение традиционных и ИИ-подходов к генерации контента представлено в табл. 1.

Таблица 20

Сравнение традиционных и ИИ-подходов к генерации контента

| Критерий | Традиционные методы | Генеративные нейросети (PCGML) |
|-----------------------|---------------------|--------------------------------|
| Управляемость | Высокая | Низкая–средняя |
| Креативность | Ограниченная | Высокая |
| Требования к ресурсам | Низкие | Высокие |
| Воспроизводимость | Полная | Частичная / стохастическая |
| Обучение на данных | Не требуется | Необходимо |
| Простота интеграции | Высокая | Средняя–низкая |

| | | |
|-------------------------------|--------------|---------------------------------------|
| Возможность персонализации | Ограниченная | Высокая |
| Применимость в индиразработке | Подходит | Затруднительно (без облачных решений) |

Ограничения и вызовы внедрения генеративного ИИ в геймдизайн

Несмотря на стремительное развитие генеративных моделей и успехи в их применении, существует ряд серьёзных ограничений, которые сдерживают их массовое внедрение в игровой индустрии:

1) контроль качества и надёжность. Нейросети склонны к генерации некорректного, нелогичного или даже нежелательного контента. Для большинства коммерческих игр требуется строгий контроль за финальным продуктом, чего сложно достичь при стохастическом характере работы ИИ;

2) проблема интерпретируемости. Модели глубокого обучения работают как «чёрный ящик», и зачастую трудно понять, почему был сгенерирован именно такой контент. Это затрудняет отладку и тонкую настройку;

3) дефицит данных и ограниченность доменов. Для обучения необходимы большие объёмы высококачественных и размеченных игровых данных. В отличие от изображений или текстов, игровые данные часто закрыты, фрагментированы и зависят от конкретного движка;

4) технические ресурсы. Обучение и развёртывание генеративных моделей требуют значительных вычислительных мощностей, что может быть непосильным для инди-разработчиков или студий с ограниченным бюджетом;

5) этические и правовые вопросы. Использование ИИ поднимает вопросы авторства, лицензирования и возможных нарушений авторских прав (например, при обучении на данных из существующих игр);

6) интеграция с геймдизайном. Генеративный ИИ должен быть тесно связан с игровыми механиками, лором и уровнем сложности. Встраивание ИИ-моделей в существующие пайплайны требует нового подхода к дизайну и тестированию.

Таким образом, эффективное использование генеративного ИИ требует мультидисциплинарного подхода: сочетания технической экспертизы, креативного дизайна, продуманной архитектуры проекта и этической осведомлённости.

Заключение

Генеративные нейросети представляют собой мощный инструмент, способный радикально изменить подход к созданию игрового контента. От генерации уровней и заданий до диалогов и визуальных элементов — возможности ИИ расширяют границы традиционного геймдизайна.

Тем не менее, на текущем этапе развитие этой технологии сопряжено с рядом серьёзных ограничений: от качества генерации и интерпретируемости до этики и технической доступности. Наиболее перспективным направлением на ближайшие годы представляется гибридный подход – сочетание генеративного ИИ с традиционными методами и участием человека на этапах валидации и доработки.

С развитием открытых наборов данных, появлением специализированных фреймворков и снижением стоимости вычислений можно ожидать более широкое и качественное внедрение PCGML в игровые пайплайны. Это откроет перед разработчиками новые возможности для персонализации, масштабирования и ускорения производства интерактивных миров.

Библиографический список

1. Тогузов, А. Б. Искусственный интеллект и машинное обучение в создании контента видеоигр // Информационные технологии. – 2021. – № 6. – С. 48–56.
2. Togelius, J., Yannakakis, G. N., Stanley, K. O., Browne, C. Towards Procedural Content Generation via Machine Learning (PCGML) // IEEE Transactions on Computational Intelligence and AI in Games. – 2011. – Vol. 3, No. 3. – P. 172–186.
3. Summerville, A. J. et al. Procedural Content Generation via Machine Learning (PCGML) // arXiv preprint arXiv:1702.00539. – 2017. – URL: <https://arxiv.org/abs/1702.00539>.
4. Goodfellow, I., Bengio, Y., Courville, A. Deep Learning. – Cambridge: MIT Press, 2016.
5. AI Dungeon – Latitude. URL: <https://play.aidungeon.io>.
6. GANcraft: Unsupervised 3D World Generation from Minecraft Data. – NVIDIA Research. – 2021. – URL: https://research.nvidia.com/publication/2021-06_GANcraft.
7. Promethean AI. – Официальный сайт. – URL: <https://www.prometheanai.com>.
8. Inworld AI: Immersive AI Characters. – URL: <https://www.inworld.ai>.
9. Реплика Студиос – Озвучка ИИ-персонажей. – URL: <https://replicastudios.com>.

© Миногина Ю.В., 2025

Н.М. МУСИНА

nelly-mus@mail.ru

Науч. руковод. – докт. техн. наук, проф. К.Ф. ТАГИРОВА

Уфимский университет науки и технологий

УЧЕБНО-ЛАБОРАТОРНЫЙ КОМПЛЕКС ДЛЯ ПОДГОТОВКИ СПЕЦИАЛИСТОВ ПО УПРАВЛЕНИЮ В ТЕХНИЧЕСКИХ СИСТЕМАХ

Аннотация: в статье предложена структура и комплектация стенда учебно-лабораторного комплекса для подготовки специалистов по управлению в технических системах.

Ключевые слова: учебно-лабораторный комплекс; технологический процесс; автоматизированные системы управления; инженерное образование; АСУ ТП; ПЛК; SCADA-система.

Актуальность подготовки инженеров для автоматизированных систем управления технологическими процессами (АСУ ТП) возрастает в условиях импортозамещения и цифровой трансформации промышленности. Однако, как показывают исследования, сохраняется устойчивый разрыв между теоретической подготовкой выпускников и практическими требованиями работодателей, что проявляется в недостатке навыков проектирования и слабом понимании интеграции компонентов АСУ ТП в реальные производственные системы [4, 6]. Также большинство студентов не имеют целостного представления об этапах проектирования АСУ ТП – от технического задания до ввода в эксплуатацию [1].

Целью данной работы является разработка структуры учебно-лабораторного комплекса, позволяющего сформировать у студентов комплексные компетенции сквозного проектирования АСУ ТП.

Для решения данной проблемы существуют учебные стенды. Однако, анализ рынка учебных стендов показал, что существующие стенды обладают рядом системных недостатков:

1) локальность решений: большинство стендов охватывает либо только нижний уровень АСУ ТП: датчики, исполнительные устройства, устройства связи с объектом (УСО), ПЛК, либо только верхний уровень (SCADA-системы) без связи с реальным физическим объектом;

2) проблема интеграции: существует сложность объединения компонентов от разных производителей в единую, согласованно работающую систему, что не отражает реальной практики инжиниринга [7];

3) отсутствие сквозного подхода: стенды редко обеспечивают прохождение полного жизненного цикла проекта, от технического задания до

пусконаладки, что не позволяет сформировать у обучающихся системного видения [4].

Для решения данных проблем предлагается разработка модульно-учебной платформы, охватывающей основные этапы проектирования АСУ ТП [1].

Учебно-лабораторный комплекс строится по модульному принципу, где каждый модуль соответствует определенному этапу проектирования и логически связан с предыдущими и последующими. Это позволяет студентам последовательно осваивать этапы проекта, видя взаимосвязь между своими действиями и конечным результатом. Структура платформы включает следующие модули:

1. Модуль системного проектирования и анализа. На данном этапе студенты учатся анализировать технологический процесс, формулировать цели автоматизации, разрабатывать техническое задание (ТЗ), структурную схему системы управления, техническое описание [1];

2. Модуль проектирования схемы электрической подключения и составления таблицы соединений и подключений. На данном этапе студенты учатся проектировать схемы электрические подключения датчиков и исполнительных устройств к объекту управления, составлять таблицы подключения входных и выходных сигналов к каналам устройств связи с объектом (УСО) и каналам ПЛК;

3. Модуль реализации схемы электрической подключения и таблицы соединений и подключений. В рамках этого модуля студенты осуществляют на стенде подключение датчиков и исполнительных устройств на основе спроектированной схемы электрической подключения и подключают входы и выходы соответствующих устройств к модулям УСО;

4. Модуль разработки алгоритмов управления. На этом этапе студенты составляют алгоритмы управления в виде схем алгоритмов;

5. Модуль программирования ПЛК. Студенты осваивают среды программирования контроллеров в соответствии со стандартом МЭК 61131-3 [2]. На основе алгоритмов, разработанных в предыдущем модуле, создаются программы управления для ПЛК;

6. Модуль реализации алгоритмов искусственного интеллекта в управлении. Данный модуль направлен на преодоление разрыва между теоретическим изучением ИИ и его практическим применением в задачах АСУ ТП [3, 5]. Студенты обучаются: основам предиктивного управления (прогнозирование изменения параметров технологического процесса), методам адаптивного управления (использованию нейросетевых алгоритмов для настройки коэффициентов ПИД-регуляторов) [5];

7. Модуль разработки SCADA-систем. Задачей модуля является создание операторского интерфейса для визуализации технологического процесса. Студенты учатся разрабатывать мнемосхемы, настраивать базы данных тегов, архивирование и систему сигнализации;

8. Модуль настройки промышленных сетей, интерфейсов и протоколов передачи. Данный модуль посвящен изучению основ сетевого взаимодействия в

АСУ ТП. Студенты приобретают практические навыки настройки: промышленных сетей, специализированных протоколов;

9. Модуль пусконаладки. Ключевой модуль, в котором осуществляется интеграция всех предыдущих этапов [1]. Программа ПЛК загружается в контроллер, подключается SCADA-интерфейс, настраивается обмен данными по промышленным сетям.

Для демонстрации эффективности учебно-лабораторного комплекса представлен пример ее применения для автоматизации типового технологического процесса, например, приготовления растворов. Для визуализации состава и связей компонентов учебно-лабораторного комплекса разработана структурная схема учебного стенда, представленная на рисунке 1.

Студенты последовательно проходят все этапы проектирования:

1. В модуле 1 они анализируют технологический процесс, определяют контролируемые параметры (уровень, температура, расход) и формируют ТЗ на систему управления;

2. В модуле 2 разрабатывается схема электрическая подключения датчика уровня (например, аналогового) и исполнительного устройства (регулирующего клапана, мешалки);

3. В модуле 3 студенты физически коммутируют цепи на учебном стенде в соответствии со своей схемой, подключая датчики и исполнительные устройства к модулям ввода-вывода ПЛК;

4. В модуле 4 составляется алгоритм управления, например, ПИД-регулятор для плавного поддержания уровня;

5. В модуле 5 алгоритм реализуется в среде программирования ПЛК на языках *Ladder Diagram (LD)* или *Function Block Diagram (FBD)*;

6. В модуле 6 на основе исторических данных, собранных с объекта, студенты разрабатывают и обучают модель для предиктивного контроля (например, для диагностики датчика уровня) или нейросетевой ПИД-регулятор;

7. В модуле 7 создается мнемосхема емкости с индикацией текущего уровня, уставки и положения клапана, настраивается аварийная сигнализация;

8. В модуле 8 настраивается обмен данными между ПЛК и SCADA-системой по протоколу *OPC UA*;

9. В модуле 9 производится пусконаладка: программа ПЛК отлаживается, проверяется работа SCADA-системы.

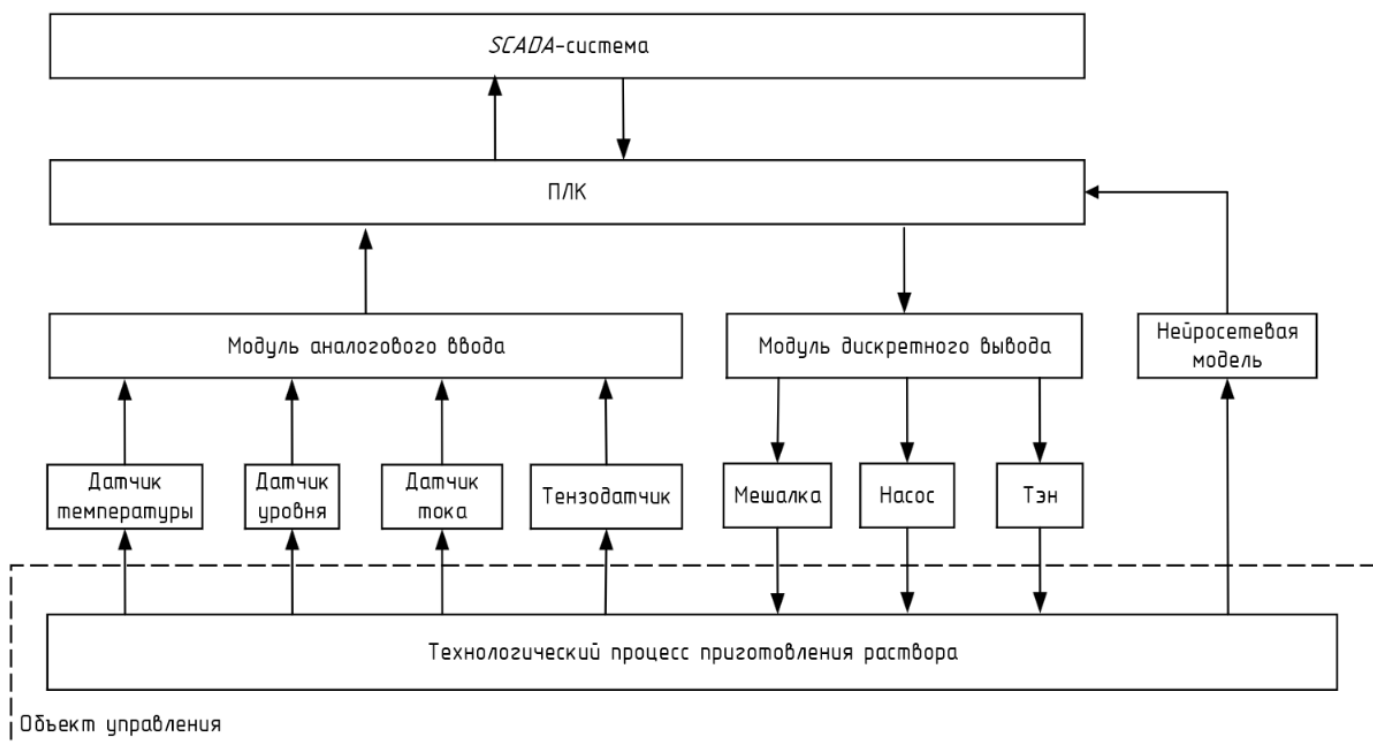


Рис. 1. Структурная схема учебного стенда

Внедрение предлагаемого учебно-лабораторного комплекса позволит достичь следующих результатов: формирование системного мышления, развитие практических навыков проектирования автоматизированных систем.

Библиографический список

1. ГОСТ Р 59793-2021. Информационные технологии (ИТ). Комплекс стандартов на автоматизированные системы. Автоматизированные системы. Стадии создания. Введ. 2021-10-25. М. : Стандартинформ. 8 с.
2. ГОСТ Р МЭК 61131-3-2016. Программируемые контроллеры. Часть 3. Языки программирования. Введ. 2017-04-01. М.: Стандартинформ. 295 с.
3. Ануфриев И.Е. Применение методов искусственного интеллекта в автоматизированных системах управления технологическими процессами // Автоматизация в промышленности. 2022. № 5. С. 18–25.
4. Воспроизводство инженерных кадров: вызовы нового времени / под общ. ред. Л. Н. Банниковой. – Екатеринбург : Изд-во Урал. ун-та, 2015. – 364 с.
5. Желтов К.П. Нейросетевые методы в задачах адаптивного управления технологическими объектами / К.П. Желтов, А.А. Сидоров // Современные технологии автоматизации. 2023. № 1. С. 44–51.
6. Нидергаус Е.О. Подготовка инженерных кадров в современных образовательных траекториях // Актуальные проблемы современной науки. – 2017. № 62. С. 377-382.
7. Муравьева Е.А. Интегрированные системы проектирования и управления: учеб. пособие. – Уфа: Изд-во УГНТУ, 2011. – 354 с.

© Мусина Н.М., 2025

Э.И. МУХАМЕТЗЯНОВ

emilmuha123@gmail.com

Науч. руковод. – канд. техн. наук, доцент А.С. РАКИПОВА

Уфимский университет науки и технологий

ОПИСАНИЕ КОМПОНЕНТ ТРЕУГОЛЬНИКА СЕТЕЦЕНТРИЧЕСКОГО УПРАВЛЕНИЯ ПОСРЕДСТВОМ СХЕМ СОПРЯЖЕНИЯ

Аннотация: в статье рассматривается многоуровневая структура сетецентрической системы управления. Предлагается формальная модель, охватывающая как межслойные, так и внутрислойные взаимосвязи узлов, где каждый тематический информационный поток представлен схемой сопряжения с определённым набором входов и выходов.

Ключевые слова: сетецентрическое управление, схемы сопряжения, мультиплексоры, демультимплексоры, поток информации, динамика разрушения графа, отказ узла, распределение ресурсов, многослойные сети, тематические потоки.

Введение

Новые проблемы вынуждают вырабатывать новые подходы к построению информационных систем, а новые подходы к формированию информационных систем открывают возможности для новых технологий. Именно поэтому становится актуальной концепция сетецентрического управления, ориентированная на интеграцию всех сил и средств в едином информационном пространстве. Структура сетецентрической системы, функционирующая в нестационарных условиях, создает предпосылки для работы с разнообразной информацией из независимых информационных источников. В концептуально-теоретическом плане сетецентрический подход реализуется в виде системы, которая состоит из трех подсистем, имеющих структуру решетки: информационной подсистемы, сенсорной (разведывательной) подсистемы, боевой подсистемы (подсистемы отдельных тактических подразделений и боевого управления) [1-3].

Основная часть

В традиционных подходах, например в рамках концепции «дома качества», взаимодействие между узлами различных слоёв осуществлялось напрямую, то есть каждый узел одного слоя мог взаимодействовать с каждым узлом другого слоя [4]. Однако это приводит к тому, что трудно определить последовательность движения информации между слоями и внутри слоя, а также не учитывается, что данные связи являются многомерными.

Предлагаемая модель основывается на аппарате схем сопряжения, согласно которому каждый слой обладает внутренней и внешней средой. Информация поступает сначала из внешней среды на входные элементы слоя и далее поэтапно распространяется внутри данного слоя. Межслойные взаимодействия осуществляются исключительно через входные и выходные элементы данных слоев. В единой формальной структуре учитываются как межслойные, так и внутрислойные взаимодействия узлов. При этом в рамках схем сопряжения вводится ограничение, согласно которому каждому входу соответствует только один поступающий сигнал [5]. Далее представлены два рисунка, иллюстрирующие различные подходы к взаимодействию узлов в слоях. На рисунке 1 показан традиционный подход с прямыми связями между узлами различных слоёв. На рисунке 2 – предложенная модель, основанная на аппарате схем сопряжения с ограниченным числом входов и выходов, а также наличием внутренних и внешних сред слоёв.

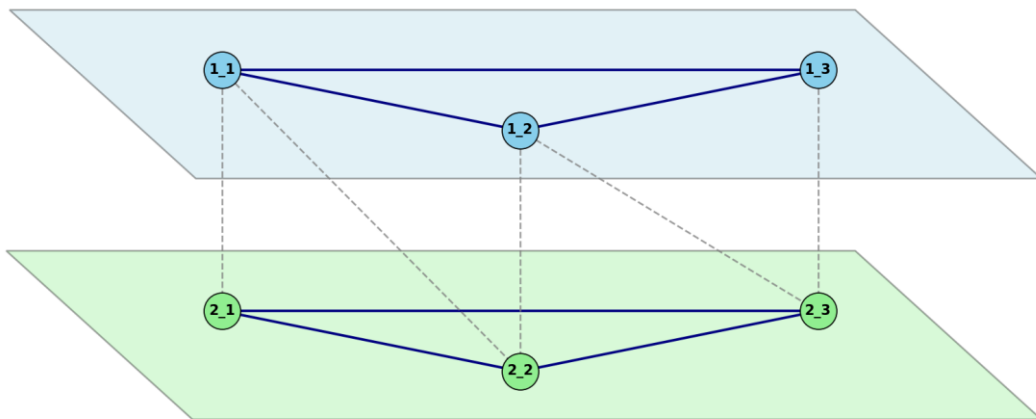


Рис. 1. Пример традиционной модели взаимодействия узлов

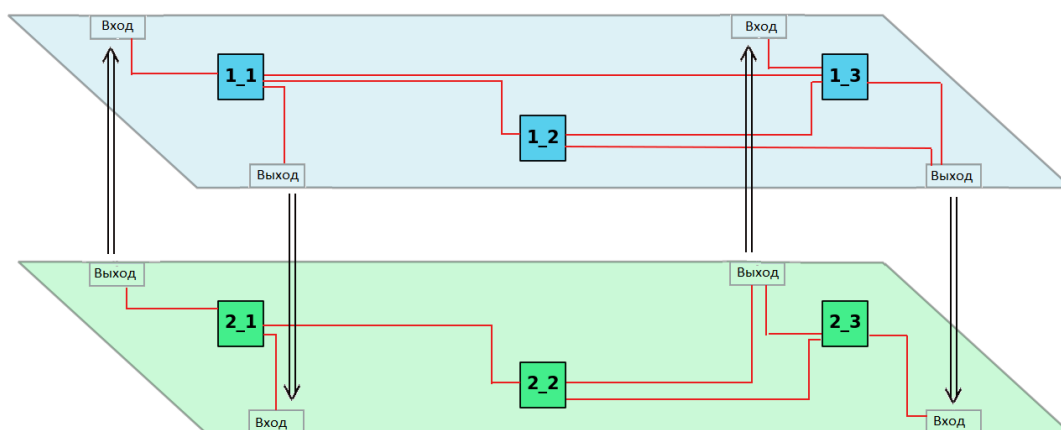


Рис. 56. Пример новой предложенной модели взаимодействия узлов

На логическом уровне взаимодействие слоёв осуществляется посредством входных и выходных элементов, которые на физическом уровне реализуются в виде мультиплексов и демультиплексов.

В рамках данной модели предложена структурная схема:

Оператор $A: ((V^{(1)}, E^{(1)}), (V^{(2)}, E^{(2)}), \|T_1\|, \|T_2\|) \rightarrow \langle t_j, y^{(i)}(t_j) \rangle$,

где $(V^{(1)}, E^{(1)})$ – граф слоя 1, $(V^{(2)}, E^{(2)})$ – граф слоя 2,

$\|T_1\|$ – матрица размерности $N_1 * M_1$, описывающая связи между выходным элементов слоя 1 и входным элементом слоя 2,

$\|T_2\|$ – матрица размерности $N_2 * M_2$, описывающая связи между выходным элементов слоя 2 и входным элементом слоя 1.

T – матрица распределения типов информации по входам/выходам, N – количество входов и выходов на каждом слое, M – количество типов информации.

В рамках структурной схемы обеспечивается возможность моделировать динамику изменения ресурсов узлов. Перераспределение ресурса узла определяется по следующему правилу:

$$Q_i^m = Q_{i-1}^m - \sum_l Q_{i-1}^l \beta, l \neq m,$$

где $Q_i^m(t)$ – характеристика ресурсов узла m на i -м шаге, определяющая текущее состояние рассматриваемого элемента;

$Q_{i-1}^m(t)$ – характеристика ресурсов того же узла m , но на предыдущем ($i-1$ -м) шаге;

Q_{i-1}^l – характеристика ресурсов узлов 1 на ($i-1$ -м) шаге, оказывающих непосредственное воздействие на состояние m -го узла;

Значение коэффициента $\beta = 0.25$ отражает степень влияния взаимодействующих узлов.

Рассмотрим пример двухслойной сети (рисунок 3).

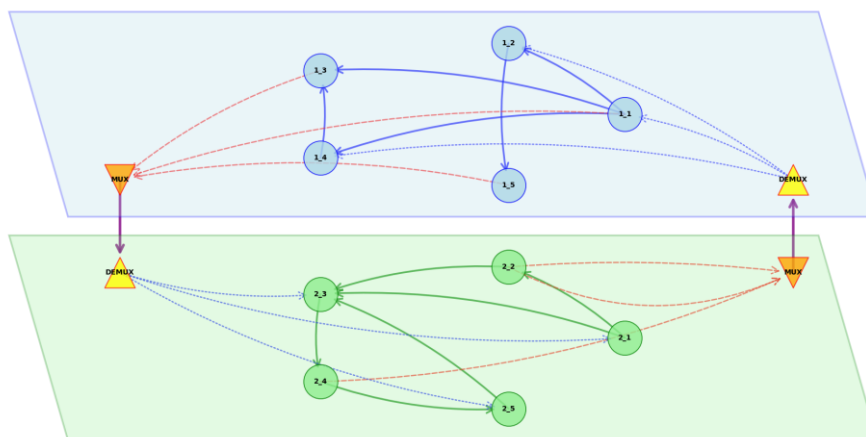


Рис. 3. Сеть из двух взаимодействующих слоев

Иницирующее воздействие было направлено на узел “2_2” (второй узел второго слоя), что привело к уменьшению коэффициента нагрузки данного элемента до значения 0.75. В рассматриваемой топологии воздействие распространяется на такие связанные узлы, как “2_3”, “1_1” и “1_2”. Для

наглядного представления изменений в характеристиках узлов приведена таблица с динамикой изменения их параметров.

Таблица 1

Динамика изменения характеристик узлов

| Такт | 1_1 | 1_2 | 1_3 | 1_4 | 1_5 | 2_1 | 2_2 | 2_3 | 2_4 | 2_5 | M1 | D1 | M2 | D2 |
|------|------|------|------|------|------|------|------|------|------|------|------|------|------|------|
| 1 | 2 | 3 | 4 | 5 | 6 | 7 | 8 | 9 | 10 | 11 | 12 | 13 | 14 | 15 |
| 0 | 1.00 | 1.00 | 1.00 | 1.00 | 1.00 | 1.00 | 0.75 | 1.00 | 1.00 | 1.00 | 3 | | 2.5 | 3 |
| 1 | 0.81 | 0.81 | 1.00 | 1.00 | 1.00 | 1.00 | 0.75 | 0.81 | 1.00 | 1.00 | 2.81 | 3 | 2.5 | 2.62 |
| 2 | 0.81 | 0.61 | 0.80 | 0.80 | 0.80 | 0.80 | 0.75 | 0.81 | 0.80 | 1.00 | 2.41 | 2.81 | 2.3 | 2.22 |
| 3 | 0.81 | 0.61 | 0.60 | 0.60 | 0.64 | 0.80 | 0.55 | 0.41 | 0.80 | 0.60 | 2.05 | 2.61 | 1.9 | 2.02 |
| 4 | 0.67 | 0.47 | 0.45 | 0.60 | 0.64 | 0.80 | 0.55 | 0.00 | 0.69 | 0.44 | 1.76 | 1.81 | 1.79 | 1.74 |
| 5 | 0.67 | 0.30 | 0.28 | 0.26 | 0.53 | 0.63 | 0.55 | | 0.69 | 0.27 | 1.48 | 1.24 | 1.79 | 1.23 |
| 6 | 0.67 | 0.30 | 0.22 | 0.26 | 0.45 | 0.63 | 0.39 | | 0.69 | 0.14 | 1.34 | 0.9 | 1.47 | 1.23 |
| 7 | 0.58 | 0.20 | 0.22 | 0.26 | 0.45 | 0.63 | 0.39 | | 0.69 | 0.02 | 1.25 | 0.77 | 1.47 | 1.04 |
| 8 | 0.58 | 0.06 | 0.07 | 0.11 | 0.40 | 0.48 | 0.39 | | 0.69 | 0.02 | 1.05 | 0.65 | 1.47 | 0.75 |
| 9 | 0.58 | 0.06 | 0.04 | 0.11 | 0.38 | 0.48 | 0.27 | | 0.69 | 0.00 | 1 | 0.5 | 1.23 | 0.75 |
| 10 | 0.51 | 0.00 | 0.04 | 0.11 | 0.38 | 0.48 | 0.27 | | 0.69 | | 0.93 | 0.48 | 1.23 | 0.62 |
| 11 | 0.51 | | 0.00 | 0.00 | 0.38 | 0.36 | 0.27 | | 0.69 | | 0.89 | 0.48 | 1.23 | 0.51 |
| 12 | 0.51 | | | | 0.38 | 0.36 | 0.18 | | 0.69 | | 0.89 | 0.36 | 1.05 | 0.51 |
| 13 | 0.46 | | | | 0.38 | 0.36 | 0.18 | | 0.69 | | 0.84 | 0.36 | 1.05 | 0.46 |
| 14 | 0.46 | | | | 0.38 | 0.24 | 0.18 | | 0.69 | | 0.84 | 0.36 | 1.05 | 0.46 |
| 15 | 0.46 | | | | 0.38 | 0.24 | 0.12 | | 0.69 | | 0.84 | 0.24 | 0.93 | 0.46 |
| 16 | 0.43 | | | | 0.38 | 0.24 | 0.12 | | 0.69 | | 0.81 | 0.24 | 0.93 | 0.43 |
| 17 | 0.43 | | | | 0.38 | 0.13 | 0.12 | | 0.69 | | 0.81 | 0.24 | 0.93 | 0.43 |
| 18 | 0.43 | | | | 0.38 | 0.13 | 0.09 | | 0.69 | | 0.81 | 0.13 | 0.87 | 0.43 |
| 19 | 0.41 | | | | 0.38 | 0.13 | 0.09 | | 0.69 | | 0.79 | 0.13 | 0.87 | 0.41 |
| 20 | 0.41 | | | | 0.38 | 0.03 | 0.09 | | 0.69 | | 0.79 | 0.13 | 0.87 | 0.41 |
| 21 | 0.41 | | | | 0.38 | 0.03 | 0.08 | | 0.69 | | 0.79 | 0.03 | 0.85 | 0.41 |
| 22 | 0.39 | | | | 0.38 | 0.03 | 0.08 | | 0.69 | | 0.77 | 0.03 | 0.85 | 0.39 |
| 23 | 0.39 | | | | 0.38 | 0.00 | 0.08 | | 0.69 | | 0.77 | 0.03 | 0.85 | 0.39 |
| 24 | 0.39 | | | | 0.38 | | 0.08 | | 0.69 | | 0.77 | 0 | 0.85 | 3 |

В результате иницирующего воздействия на случайный узел динамика разрушения графа была полностью реализована за 24 такта функционирования системы. На четвёртом такте был первым разрушен узел «2_3». Далее, на двадцать втором такте вследствие воздействия со стороны узла «2_2» произошло снижение ресурса узла «1_1». На двадцать третьем такте от изменения нагрузки узла «1_1» был полностью уничтожен узел «2_1».

Учитывая, что других выходной связей от узла «1_1» не было, дальнейшее распространение разрушительных процессов прекратилось.

Заключение

В рамках исследования впервые предложена единая нотация для структурного моделирования взаимодействующих и многоуровневых сетей на основе аппарата схем сопряжения, что позволяет анализировать динамику изменения состояний узлов.

Библиографический список

1. Сурма И.В., Анненков В.И., Карпов В.В., Моисеев А.В. «Сетецентрическое управление»: современная парадигма развития систем управления в вооруженных силах ведущих держав мира // Национальная безопасность / nota bene. 2014. № 2. С. 317-327.

2. Дугин А. «Сетевые войны». Аналитический доклад Александра Дугина при участии Валерия Коровина и Александра Бовдунова // Сети, когнитивная наука, управление сложностью, 2014. URL: <https://spkurdyumov.ru/networks/setevye-vojny/>

3. Гвоздев В.Е. Анализ структурной надежности многослойных взаимодействующих сетей передачи данных / В.Е. Гвоздев, О.Я. Бежаева, А.С. Ракипова, Р.Р. Ракипов, В.Е. Приходько, П.Н. Тепляшин // Всерос. Научная конференция «Опыт и перспективы совершенствования систем связи и акустических испытаний современной техники», г. Санкт-Петербург, 2025. С. 41-49.

4. Quality Function Deployment (QFD): Key Components of QFD. January 9, 2024 – URL: <https://bgmcgroup.com/quality-function-deployment-qfd-key-components-of-qfd/>

5. А. А. Бусленко, Н. П. Моделирование сложных систем / Н. П. Бусленко. – Москва: Наука, 1978. – 256 с.

© Мухаметзянов Э.И., 2025

УДК 004.415.2

Р.В. СОЛОХА, С.М. МАШКОВСКАЯ

zimmer38@mail.ru

Научный руководитель – ст. преподаватель А.С. КОЛТАЙС

Томский государственный университет систем управления и радиоэлектроники

СИСТЕМНО-АНАЛИТИЧЕСКИЙ ПОДХОД К СНИЖЕНИЮ РИСКОВ НЕУДАЧНОГО ЗАВЕРШЕНИЯ ИТ-ПРОЕКТОВ

Аннотация: рассматривается проблема высокой доли неудачно завершаемых ИТ-проектов, наносящих значительный финансовый ущерб и создающих угрозы экономической безопасности организаций. Обосновывается, что ключевой причиной срывов являются недостатки на этапе анализа и управления требованиями. Описывается системно-аналитический подход, направленный на повышение зрелости процессов работы с требованиями. Подчеркивается критическая роль системного аналитика в снижении проектных рисков и обеспечении окупаемости ИТ-инвестиций.

Ключевые слова: системный аналитик, управление требованиями, ИТ-проект, экономическая безопасность, проектные риски, стоимостная оценка ошибки.

Неудачи при реализации ИТ-проектов продолжают оставаться одним из наиболее существенных факторов негативного воздействия на корпоративные бюджеты и стратегические инициативы, оказывая долгосрочное отрицательное влияние как на крупные корпорации, так и на субъекты малого бизнеса. Несмотря на усилия по внедрению современных методологий управления (Agile, Scrum), показатель неудач ИТ-проектов остается тревожным: по данным The Standish Group, лишь около 35% проектов завершаются успешно, в то время как 19% - прекращаются без достижения поставленных целей, а 46% - сталкиваются с серьезными проблемами по срокам, бюджету или качеству. Это ставит под сомнение эффективность традиционных подходов к планированию и исполнению. Это делает актуальным поиск более эффективных методов управления проектами, способных на ранних стадиях выявлять и нивелировать риски, ведущие к срывам. Одним из таких методов является системно-аналитический подход в работе с требованиями.

Суть системно-аналитического подхода заключается в глубокой и всесторонней проработке требований к создаваемой системе. Он рассматривает их не как простой список функций, а как комплекс, который должен учитывать

стратегические бизнес-цели заказчика, технические ограничения, реальные потребности конечных пользователей и потенциальные риски реализации. Для этого применяется набор специальных техник: проведение интервью, моделирование бизнес-процессов в нотации BPMN, создание интерактивных прототипов и описание пользовательских сценариев (Use Cases). Главная задача этих инструментов – выявить скрытые противоречия и сформировать единое, непротиворечивое видение проекта среди всех участников. Кроме того, подход включает в себя формализованные процедуры для управления изменениями требований, что позволяет гибко и контролируемо адаптироваться к неизбежной эволюции запросов на протяжении всего жизненного цикла проекта.

Экономическая целесообразность инвестиций в системный анализ подтверждается авторитетными исследованиями. Классические отчёты The Standish Group (CHAOS Report) впервые количественно оценили масштаб проблемы, показав, что полностью успешными оказываются лишь около 16% проектов. Еще более убедительным аргументом является правило «стоимости ошибки», популяризированное IBM System Science Institute. Оно демонстрирует, что стоимость исправления дефекта, найденного на этапе тестирования, в 15 раз выше, чем на этапе проектирования, а на этапе сопровождения – уже в 100 раз выше. Эти данные превращают качественный системный анализ из затратной статьи в инструмент экономической безопасности, предотвращающий критическое превышение бюджетных показателей.

Для оценки потенциала системно-аналитического подхода необходимо изучить ключевые факторы, приводящие к неудачному завершению проектов, и соответствующие им методы анализа. Для наглядного сравнения этих методов и их влияния на успешность проекта была составлена таблица 1.

Эффективность системно-аналитического подхода достигается за счет комбинирования различных методов, что позволяет нивелировать их индивидуальные ограничения и комплексно воздействовать на ключевые проектные риски.

Важным преимуществом подхода является использование не только технических спецификаций, но и экономических показателей – бюджета, ROI и TCO – что обеспечивает более точную оценку потенциальных угроз как для самого проекта, так и для экономической безопасности организации в целом.

Фундаментальное отличие данного подхода заключается в переносе акцента с «скорости кодирования» на «качество целеполагания». Такой сдвиг парадигмы не только предотвращает срывы проектов, но и создает основу для оперативного внесения корректировок в процессе разработки. В частности, раннее выявление противоречий в требованиях позволяет избежать дорогостоящих переделок на поздних этапах, а прототипирование дает возможность подтвердить соответствие решения бизнес-задачам до начала его полномасштабной реализации.

Таким образом, системно-аналитический подход выступает необходимым инструментом управления ИТ-проектами, повышающим предсказуемость результатов и минимизирующим финансовые риски. В отличие от интуитивных или сугубо технических методов, он учитывает комплекс факторов — от бизнес-стратегии и человеческого фактора до экономических ограничений, — которые в условиях динамичного рынка зачастую оказываются значимее чисто технологических вызовов.

Таблица 1

Сравнение методов системного анализа для минимизации рисков неудачного завершения проектов

| Методы / Факторы риска | Описание | Преимущества | Недостатки |
|--|--|--|--|
| Выявление и формализация требований (Интервью, воркшопы, User Stories) | Направлен на устранение неполных и нечетких требований как ключевого фактора риска неудачного завершения проекта | Позволяет достичь общего понимания целей проекта между заказчиком и исполнителем, снижает количество переделок | Требует значительных временных затрат на начальном этапе и высокой коммуникативной компетенции аналитика |
| Моделирование бизнес-процессов (BPMN, UML) | Направлен на борьбу с непониманием бизнес-логики и некорректной архитектурой решения | Обеспечивает наглядность, выявляет узкие места и противоречия в процессах до начала разработки | Может быть избыточным для небольших проектов; требует обучения команды |
| Управление изменениями требований (Change Request Board) | Направлен на борьбу с «расползанием» функционала (Scope Creep) – причиной превышения бюджета и сроков | Позволяет контролировать модификации, оценивая их влияние на бюджет, сроки и риски | Может замедлять процесс в гибких средах, если реализован излишне бюрократично |

Однако применение данного подхода сопряжено с трудностями. Современные проекты становятся всё более сложными и распределенными из-за высокой скорости изменений в бизнес-требованиях и технологиях, где новые возможности и угрозы могут появляться стремительно. Тем не менее, в условиях нарастающей неопределённости именно системно-аналитический подход открывает новые возможности для предсказания и предотвращения проектных кризисов, обеспечивая долгосрочную финансовую устойчивость и укрепляя экономическую безопасность организаций, осуществляющих цифровую трансформацию.

Библиографический список

1. The Standish Group. CHAOS Report. – 1995. – 9 p. [Электронный ресурс]. – Режим доступа: (доступ к отчету или его обзору) (дата обращения: 28.09.2025).
2. The Economic Impacts of Inadequate Infrastructure for Software Testing. National Institute of Standards and Technology (NIST). – 2002. [Электронный ресурс]. – Режим доступа: <https://www.nist.gov/system/files/documents/director/planning/report02-3.pdf> (дата обращения: 28.09.2025).
3. Маклаков С.В. Проектирование программного обеспечения. Модели и методы. – М.: ДМК Пресс, 2020. – 384 с. (дата обращения: 30.09.2025).
4. Карпенко А.П. Управление требованиями в гибких проектах // Открытые системы. СУБД. – 2021. – № 3. – С. 44-47. (дата обращения: 30.09.2025).

© Солоха Р.В., Машковская С.М., 2025

ИНТЕЛЛЕКТУАЛЬНЫЙ АНАЛИТИК: КАК НЕЙРОННЫЕ СЕТИ ТРАНСФОРМИРУЮТ ПРОФЕССИЮ

Аннотация: в статье рассмотрены современные технологии искусственного интеллекта, включая генеративные нейронные сети, NLP-модели и системы автоматизации анализа данных, которые кардинально трансформируют профессию аналитика. Проведен анализ преимуществ и вызовов, связанных с внедрением этих технологий в аналитическую деятельность.

Ключевые слова: нейронные сети, искусственный интеллект, аналитика, автоматизация, GPT, трансформация профессии, интеллектуальный анализ данных.

Современные достижения в области искусственного интеллекта, в частности развитие глубоких нейронных сетей – компьютерных систем, способных обучаться и решать сложные аналитические задачи, привели к фундаментальным изменениям в профессии аналитика. Эти технологии, изначально применявшиеся в исследовательских целях, стали мощным инструментом автоматизации рутинных операций и решения сложных аналитических задач. Основное преимущество заключается в способности нейросетей обрабатывать огромные объемы структурированных и неструктурированных данных, выявляя сложные паттерны и зависимости. Согласно исследованиям, внедрение AI-инструментов в аналитику повышает эффективность работы на 40–60%, а к 2025 году более 70% аналитических задач будут автоматизированы с использованием нейронных сетей. Актуальность трансформации профессии возрастает на фоне стремительного развития технологий и растущих требований к скорости и качеству анализа данных [1].

Для системного анализа трансформации профессии под влиянием нейросетевых технологий проведено исследование современных инструментов и их практического применения в аналитической деятельности (табл. 1). Цель анализа заключается в определении ключевых направлений трансформации профессии и оценке влияния различных нейросетевых технологий на рабочие процессы аналитика.

Таблица 1

Технологии нейронных сетей и их применение в аналитике

| Технология | Описание | Примеры применения | Преимущества |
|--------------------------------------|--|---|--|
| Генеративные AI-модели (GPT, Gemini) | Многослойные трансформерные архитектуры, способные генерировать и анализировать текстовую информацию, код и структурированные данные | Автоматизация создания SQL-запросов, генерация аналитических отчетов, разработка технической документации | Сокращение времени на рутинные операции на 60-80%, повышение качества документации |
| Компьютерное зрение (CNN) | Сверточные нейронные сети для анализа визуальной информации и извлечения данных из изображений и видео | Автоматический анализ графиков и диаграмм, обработка сканированных документов, распознавание паттернов на визуализациях | Возможность обработки неструктурированных визуальных данных, автоматизация визуального анализа |
| Рекуррентные сети (RNN/LSTM) | Нейросетевые архитектуры для работы с последовательными данными и временными рядами | Прогнозирование бизнес-показателей, анализ временных рядов, выявление аномалий в динамических данных | Высокая точность прогнозов, учет временных зависимостей, обнаружение сложных паттернов |

Технологии, представленные в таблице, демонстрируют, что современные нейронные сети способны автоматизировать до 80% рутинных аналитических операций. Это позволяет аналитикам перейти от технической работы к стратегическим задачам: интерпретации результатов, формированию инсайтов и разработке рекомендаций для бизнеса [2,3].

Ключевые направления трансформации профессии:

- От исполнителя к интерпретатору – аналитик становится «переводчиком» между AI-системами и бизнес-пользователями;
- От ретроспективы к предикции – смещение фокуса с анализа прошлого на прогнозирование будущего;
- От техника к стратегу – повышение роли бизнес-аналитики и снижение значения технических.

Развитие нейронных сетей и технологий искусственного интеллекта создает новые возможности для профессии аналитика, одновременно трансформируя требования к компетенциям специалистов. Современный аналитик должен сочетать экспертизу в предметной области с пониманием принципов работы AI-систем и способностью критически оценивать их результаты. Будущее профессии – за «гибридными» специалистами, способными эффективно взаимодействовать с интеллектуальными системами анализа данных.

Библиографический список

1. How AI is Transforming Business Analytics [Электронный ресурс] // Harvard Business Review. – 2024. – Режим доступа: <https://hbr.org/> (дата обращения: 01.09.2025)
2. The Future of Data and Analytics [Электронный ресурс] : исследование / Gartner. – 2024. – Режим доступа: <https://www.gartner.com/> (дата обращения: 02.10.2025)
3. Neural Networks in Business Analytics [Электронный ресурс] // Towards Data Science. – 2024. – Режим доступа: <https://towardsdatascience.com/> (дата обращения: 01.09.2025)

© Старосельцева Д.В., Боброва С.П., 2025

СРАВНЕНИЕ ГОЛОСОВЫХ ПОМОЩНИКОВ НА ОСНОВЕ АЛГОРИТМОВ ОБУЧЕНИЯ ИСКУССТВЕННОГО ИНТЕЛЛЕКТА

Аннотация: в данной статье исследуются ключевые алгоритмы искусственного интеллекта, лежащие в основе современных голосовых ассистентов. Проводится сравнительный анализ технологий по основным параметрам: распознавание речи, понимание естественного языка (NLP), управление диалогом и синтез речи (TTS). Рассматриваются особенности работы таких ассистентов, как Google Assistant, Яндекс Алиса, Apple Siri и Amazon Alexa, а также их алгоритмическая база.

Ключевые слова: голосовые ассистенты, точность распознавания речи, Google Assistant, конфиденциальность данных, Siri, Яндекс Алиса, Amazon Alexa, пользовательский опыт, гибкость и экосистема, мультимодальность, специализация ассистентов, мультиязычность, энергоэффективность.

Введение

Актуальность изыскания обусловлена стремительным развитием технологий искусственного интеллекта (ИИ) и возрастающими требованиями пользователей к точности, скорости и конфиденциальности голосовых ассистентов [1]. Сравнительный анализ их алгоритмов позволяет выявить сильные и слабые стороны, а также определить перспективы развития этой технологии [2-4].

Цель исследования: провести углублённый сравнительный анализ алгоритмов обучения ИИ, используемых в голосовых помощниках, чтобы выявить их особенности, преимущества и недостатки.

Задачи исследования:

1. Изучить главные алгоритмы ИИ, используемые в голосовых ассистентах
2. Сопоставить алгоритмы по главным параметрам: распознавание речи, понимание естественного языка, управление диалогом и синтез речи.
3. Оценить воздействие алгоритмов на функциональность и пользовательский опыт.

1. Обзор алгоритмов искусственного интеллекта

Современные голосовые помощники применяют четыре главных типа алгоритмов, каждый из коих отвечает за определённый этап обработки голосовых команд:

1.1. Автоматическое распознавание речи (ASR)

Яндекс Алиса использует гибридную архитектуру, совмещающую свёрточные (CNN) и рекуррентные (LSTM) нейросети с трансформерами в рамках платформы SpeechKit [3].

Google Assistant демонстрирует наилучшие результаты благодаря модели Conformer, оптимизированной для распознавания английской речи [6].

Siri работает на основе DNN-HMM (глубокие нейросети + скрытые марковские модели), специально адаптированных для устройств Apple [4].

Amazon Alexa применяет двунаправленные LSTM-сети, что обеспечивает высокую эффективность в системах умного дома [5].

1.2. Понимание естественного языка (NLU)

Алиса использует языковую модель YaLM, улучшенную за счёт краудсорсинговых данных, что повышает точность обработки русскоязычных запросов.

Google Assistant выделяется мультимодальной моделью PaLM 2, способной анализировать текст, голос и изображения.

Siri основывается на кастомных трансформерных моделях с усиленной защитой пользовательских данных [4].

Alexa построена на архитектуре BERT, что позволяет ей поддерживать тысячи сторонних Skills [5].

1.3. Управление диалогом (DM)

Алиса сочетает Rule-Based подход с элементами генеративного ИИ для гибкости взаимодействия.

Google Assistant применяет обучение с подкреплением [6].

Siri использует State Machines (конечные автоматы) с элементами RL для управления диалогами.

Alexa полагается на марковские процессы принятия решений, обеспечивающие стабильность работы [5].

1.4. Синтез речи (TTS)

Алиса предлагает нейросетевой синтез с эмоциональной окраской голосов [3].

Google Assistant использует комбинацию WaveNet и Tacotron 2, поддерживая более 220 голосовых вариантов.

Siri работает на специализированном Neural Engine для быстрого и естественного звучания.

Alexa применяет Neural TTS, что делает её речь наиболее человекообразной.

2. Сопоставление алгоритмов

На рисунке 1 произведен сравнительный анализ алгоритмов голосовых ассистентов, с выделенными сильными сторонами по каждому пункту:

| Параметр | Яндекс Алиса | Google Assistant | Apple Siri | Amazon Alexa |
|-----------------------|----------------------|----------------------|-----------------------|------------------|
| Точность ASR(WER) | 5.8%(русский) | 4.1% (английский) | 6.3%(английский) | 5.5%(английский) |
| Поддержка языков | 5 (русский — лучший) | 50+ | 21 | 8 |
| Скорость отклика(мс) | 1200 | 900 | 1500 | 1100 |
| Конфиденциальность | Средняя | Низкая | Высокая | Низкая |
| Требования к ресурсам | Умеренные | Высокие | Низкие(Apple Silicon) | Высокие |
| Интеграции | Сервисы Яндекса | Google-экосистема | Apple-экосистема | AWS, умный дом |

Рис. 1. Сравнительный анализ алгоритмов

3. Сравнительный анализ технологий

- Точность распознавания речи: Google Assistant (PaLM 2 + Conformer) показывает наилучшие результаты для английского языка.
- Конфиденциальность данных: Siri обрабатывает часть запросов оффлайн, минимизируя передачу информации.
- Адаптация под русский язык: Яндекс Алиса демонстрирует превосходство благодаря YaLM и интеграции с локальными сервисами.
- Интеграция с IoT: Amazon Alexa остаётся лидером в управлении умным домом.

4. Влияние технологий на пользовательский опыт

Яндекс Алиса и Google Assistant обеспечивают наиболее естественное и плавное взаимодействие с пользователем благодаря продвинутым алгоритмам обработки естественного языка [3-6]. В то же время Apple Siri выделяется способностью сохранять базовую функциональность в оффлайн-режиме, что минимизирует зависимость от интернет-соединения и повышает конфиденциальность данных. Amazon Alexa, в свою очередь, демонстрирует наибольшую гибкость за счёт поддержки обширной экосистемы, включающей широкий спектр сторонних приложений и совместимых устройств для умного дома.

Вывод

Проведенное исследование продемонстрировало, что у каждого голосового ассистента есть своя специализация:

- Яндекс Алиса – наилучший выбор для русскоязычных юзеров.
- Google Assistant – лидер в точности и мультимодальности.
- Apple Siri – самый классный в конфиденциальности.
- Amazon Alexa – наилучший для управления умным домом.

Перспективы развития голосовых помощников связаны с улучшением адаптивности к контексту, поддержкой мультязычности, энергоэффективностью и расширением интеграционных возможностей.

Библиографический список

1. Братко, И. (2021). Машинное обучение: искусственный интеллект и нейронные сети. Москва: ДМК Пресс.
2. Гудфеллоу, Я., Бенджио, И., Курвилль, А. (2022). Глубокое обучение. СПб.: Питер.
3. Яндекс. (2023). Технологии Яндекс Алисы: NLP и машинное обучение. Официальный блог Яндекса.
4. Apple Machine Learning Research. (2023). Core ML и архитектура Siri.
5. Amazon Science. (2022). Как искусственный интеллект Alexa обрабатывает голосовые команды.
6. Google AI Блог. (2023). Conformer: передовые технологии распознавания речи с гибридными архитектурами.

© Тимергалиева К.Ю., Даутова А.Э., 2025

УДК 004

К.Ю. ТИМЕРГАЛИЕВА, А.Э. ДАУТОВА, С.Р. АХМЕТГАРЕЕВА
mankarip@mail.ru, dautov.alia@yandex.ru, hihanie501@gmail.com
Науч. руковод. – канд. техн. наук, доцент А.С. РАКИПОВА

Уфимский университет науки и технологий

БУДУЩЕЕ РЫНКА ТРУДА: КАК ТЕХНОЛОГИИ МЕНЯЮТ ПРОФЕССИИ В СФЕРЕ УПРАВЛЕНИЯ И ИТ

Аннотация: мы находимся на пороге фундаментальных изменений на рынке труда. Технологии искусственного интеллекта, роботизации и работы с данными не просто создают новые инструменты – они перекраивают саму карту профессий. Особенно стремительные изменения происходят в сферах управления и ИТ, где традиционные роли либо исчезают, либо трансформируются до неузнаваемости.

Ключевые слова: искусственный интеллект, ИТ, управление, рынок труда

Цель и задачи

Цель исследования: проанализировать влияние ключевых технологических трендов на трансформацию профессий в сферах управления и ИТ и разработать практические рекомендации для будущих специалистов.

Задачи исследования:

1. Выявить и систематизировать ключевые технологические драйверы
2. Исследовать изменения в профессиональных компетенциях
3. Разработать практические рекомендации для целевых групп
4. Визуализировать и представить результаты исследования

Исследование и результаты

Трансформация рынка труда в 2024-2030 гг. развивается стремительно и затрагивает прежде всего сферы управления и ИТ. Искусственный интеллект, роботизация и распространение data-driven решений перестраивают привычные роли и смещают фокус с операционных задач на аналитические и проектные. Уже сегодня значительная часть рутинных процессов выполняется цифровыми ассистентами и алгоритмами, что меняет профессиональные траектории и ускоряет обновление компетенций [1-2].

Изменения наиболее наглядны при сравнении состояния профессий в начале и середине десятилетия. В таблице 1 отражено, как меняется состав задач специалистов, прежде занятых преимущественно операционной деятельностью.

Таблица 1

| Год | Рутинные задачи | Аналитические задачи | Работа с людьми |
|------|-----------------|----------------------|-----------------|
| 2024 | 50 | 30 | 20 |
| 2030 | 18 | 47 | 35 |

Таблица демонстрирует, что за шесть лет доля рутины сократится более чем в два раза. На её место приходит аналитика – главным образом интерпретация данных и принятие решений. Одновременно возрастает значимость взаимодействия с людьми – то, что невозможно делегировать алгоритмам.

Особенно динамично меняется IT-сектор. Почти полностью исчезают роли, основанные на ручных операциях: системное администрирование, ручное тестирование, сопровождение инфраструктуры без автоматизации. На их месте появляется спрос на специалистов, способных работать с ИИ, облачными решениями и автоматизацией [3].

Таблица 2 показывает, что наиболее устойчивыми остаются профессии, связанные с автоматизацией, обучением моделей и управлением сложными системами. Наибольший прирост спроса фиксируется среди инженеров по ИИ – эта роль становится центральной в технологическом развитии.

Таблица 2

| Профессия | Тренд изменения спроса | Комментарий |
|-------------------------|------------------------|-------------------------------------|
| Ручной тестировщик | резкое снижение | функции автоматизируются ИИ |
| Системный администратор | умеренное снижение | инфраструктура уходит в облако |
| DevOps инженер | рост | Требуется для автоматизации и CI/CD |
| MLOps инженер | сильный рост | поддержка моделей ИИ |
| AI Engineer | взрывной рост | ключевая профессия ИИ-эпохи |

Схожие тенденции наблюдаются и в сфере управления. Менеджеры всё меньше времени тратят на координацию и всё больше – на работу с данными, стратегию и развитие команд. Рост значимости аналитики приводит к тому, что компетенции работы с данными становятся универсальными – фактически обязательными для всех специалистов.

Для оценки того, какие профессии будут расти, а какие – сокращаться, можно рассмотреть матрицу трансформации. В ней сопоставлены два фактора: степень автоматизации и потенциал появления новых задач.

Матрица в таблице 3 показывает, что исчезают не целые профессии, а лишь их операционная часть. Большинство ролей эволюционирует, поглощая новые компетенции, что особенно заметно в управленческой сфере, где цифровые навыки становятся обязательными.

Таблица 3

| группа | характеристика | Примеры профессий |
|--------------------------------------|--------------------------------------|--|
| Высокая автоматизация – низкий рост | роли, утрачивающие актуальность | бухгалтер по первичке, офисный администратор |
| Высокая автоматизация – высокий рост | профессии, перерастающие в цифровые | оператор ИИ, RPA-разработчик |
| Низкая автоматизация – высокий рост | сложные креативно-аналитические роли | Product Manager, Data Scientist |
| Средние показатели – умеренный рост | смешанные и адаптирующиеся профессии | project-менеджер, аналитик |

Заключение

Таким образом, ключевая тенденция периода 2024-2030 – переход от профессий к навыкам. Технологии не столько заменяют людей, сколько перераспределяют задачи: алгоритмы выполняют рутину, а человек сосредотачивается на стратегическом мышлении, креативности и межличностных взаимодействиях. В условиях стремительной автоматизации способность обучаться и адаптироваться становится главным конкурентным преимуществом специалиста.

Библиографический список

1. Гридина В.В. Искусственный интеллект и современный рынок труда в сфере информационных технологий // Мир науки. Социология, филология, культурология. – 2024. – Т. 15, № 2.
2. Колмакова И.Д., Бурлаков М.Е. Влияние искусственного интеллекта на рынок труда Российской Федерации // Вестник ЧелГУ. – 2023. – № 11(481).

3. Поляков А.В. Искусственный интеллект и рынок труда: вызовы и возможности для России // Вестник Российской академии наук. – 2020. – Т. 90, № 6. – С. 551-563.

© Тимергалиева К.Ю., Даутова А.Э., Ахметгареева С.Р., 2025

В.Ю. УЛЬЯНОВ

ulyanowvladis@yandex.ru

Науч. руковод. – д-р. техн. наук, проф. В.Е. ГВОЗДЕВ

Уфимский университет науки и технологий

ОЦЕНКА ПОСЛЕДСТВИЙ ВНЕШНИХ ВОЗДЕЙСТВИЙ НА СЕТЕВЫЕ СИСТЕМЫ НА ОСНОВЕ ТОПОЛОГИЧЕСКИХ ХАРАКТЕРИСТИК

Аннотация: статья посвящена изучению влияния выбора объекта внешнего воздействия на состояние локальной сетевой системы. Основу исследований составляет вычислительный эксперимент. Описан алгоритм эксперимента. Представлены результаты, соответствующие разным объектам воздействия при разных исходных размерах графов.

Ключевые слова: сеть, граф, надёжность, связность, посредничество

Введение

В настоящее время широкое распространение получили системы, основанные на сетевом управлении. Вместе с распространением их применения и увеличением их масштабов всё большую важность приобретает проблема обеспечения надёжного функционирования подобных систем. В качестве самостоятельной задачи в рамках этой проблемы следует выделить построение моделей последствий внешних воздействий на компоненты системы, обладающие разными топологическими свойствами. Проблема последствий атак и ошибок в сетевых системах ставилась в таких работах как Error and attack tolerance of small-worldness in complex networks [1] и Error and attack tolerance of complex networks [2].

Целью настоящей работы является изучение последствий воздействий на узлы графа с разными топологическими характеристиками.

1. Постановка задачи, ограничения и допущения.

Постановка задачи.

Дано: полносвязный граф с заранее заданным количеством узлов N , на основе которого, посредством удаления заранее определённой доли рёбер D (удаляемые рёбра выбираются случайно по схеме Бернулли [3]) формируется исходный случайный граф (подробное описание схемы Бернулли можно найти в учебном пособии [3]). Случайный граф подвергается внешним воздействиям (атакам), последствиями которых являются разрушения узлов. Если в графе в результате атак возникает хотя бы один изолированный узел, это является отказом всей системы, и эксперимент прекращается.

Требуется: изучить зависимость количества атак, потребовавшихся для разрушения графа в зависимости от выбора объекта атаки.

Предположения

Объекты атаки выбираются на основе следующих подходов:

- (а). Узел графа выбирается случайно;
- (б). Выбирается узел с наибольшим значением топологического показателя «степень узла»;
- (в). Выбирается узел с наибольшим значением топологического показателя «посредничество узла».
- (г). Выбирается узел с наибольшим значением топологического показателя «близость/степень центральности».

Допущения

1. Сеть, которой в соответствии ставится граф, является ограниченной по размерам
2. При формировании случайных графов выбор ребра для удаления осуществляется по схеме Бернулли.
3. В результате атаки может удаляться только один узел.
4. Вычислительный эксперимент повторяется 1000 раз. В результате каждого прогона фиксируется количество атак, приведшее к разрушению графа.

2. Схема решения задачи

Основу решения задачи составляет вычислительный эксперимент, алгоритм которого представлена ниже.

(а). Укрупненный алгоритм

1. Генерация случайного графа.
2. Удаление узлов графа вследствие атак до потери связности графа.
3. Анализ количества затраченных атак в различных случайных графах.

(б). Описание компонентов алгоритмов:

Генерация случайного графа: первоначально формируется полносвязный граф, содержащий N узлов, из которого случайным образом удаляются доля ребер D . Результатом удаления ребер является случайный граф, который используется в последующих исследованиях. Для формирования полносвязного графа применяется функция `complete_graph` из библиотеки `networkx` [4]. Определение количества удаляемых ребер осуществляется путём умножения числа ребер в графе на долю удаляемых ребер, если полученное число не является целым, дробная часть числа отбрасывается.

Удаление узлов графа вследствие атак, до потери связности: в случае, если узлы удаляются не случайно, вычисляются топологические характеристики, определенные в п. «Предположения» для каждого узла. Для вычисления характеристик используются функции библиотеки `networkx`: `degree`, `betweenness_centrality`, `closeness_centrality` [4].

Удаление узлов графа вследствие атак до потери связности графа: Проверка графа на связность осуществляется с помощью функции `is_connected`

библиотеки network [4]. Если связность сохранилась, характеристики узлов пересчитываются, и атака повторяется.

Анализ количества затраченных атак в различных случайных графах: Основу исследований составляет массив количества затраченных атак при разных способах выбора объектов атак.

(в). Анализ количества затраченных атак в различных случайных графах Для каждого заданного значения доли удаляемых рёбер и правила выбора объекта атаки строятся нижеописанные графики:

1) по сформированному массиву, строятся графики на которых представлены средние значения числа атак, а также верхние и нижние значения числа этих атак в зависимости от числа узлов графа, при заданной доли удаляемых рёбер D . Для визуализации графика используется библиотека matplotlib [4].

2) также строятся графики характеристики неопределённости в зависимости от числа узлов графа, при заданной доли удаляемых рёбер D . Для построения характеристики неопределённости затраченных атак используется нормированная энтропия по Шинону.

$$H = \frac{-\sum_{i=0}^n p_i \ln(p_i)}{\ln(N - 2)}$$

где p_i – число попыток с i количеством атак, N – количество узлов в графе.

Для визуализации графика используется библиотека matplotlib [3].

Примеры полученных результатов представлены ниже:

На рисунках *Рис. 57*. График числа атак, потребовавшихся для нарушения связности графа при, *Рис, Рис, Ошибка! Источник ссылки не найден.* представлены графики с средними, минимальными и максимальными значениями количеством атак необходимых для появления хотя бы одного изолированного узла в зависимости от числа узлов.

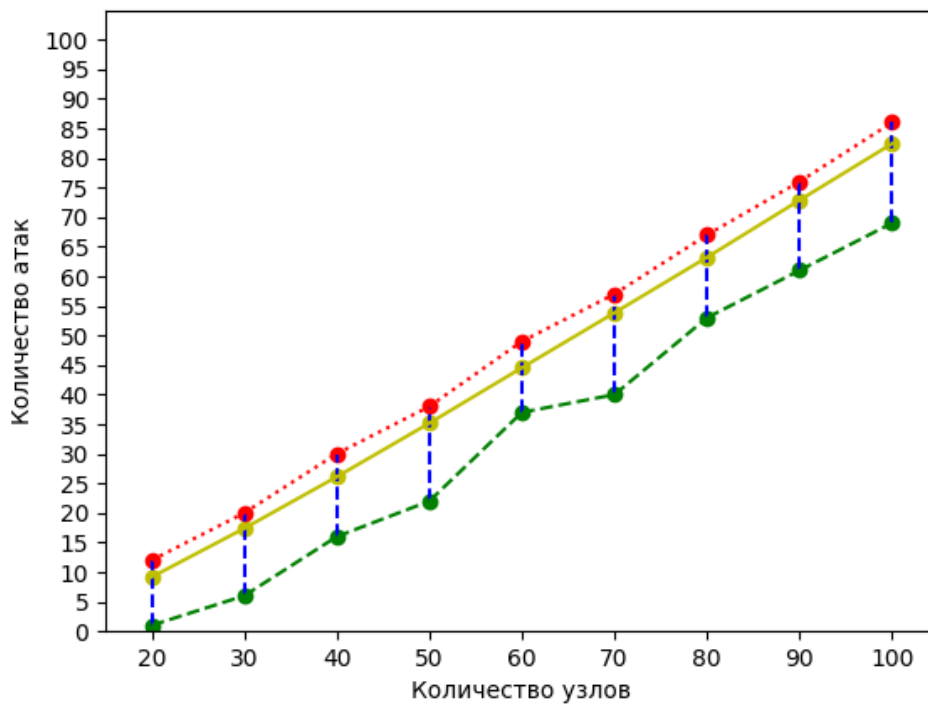


Рис. 57. График числа атак, потребовавшихся для нарушения связности графа при $N = 100$, $D = 0.6$, атаки проводились по узлам с наибольшей близостью: штриховая линия – нижняя граница; сплошная линия – среднее значение; пунктирная линия – верхняя граница

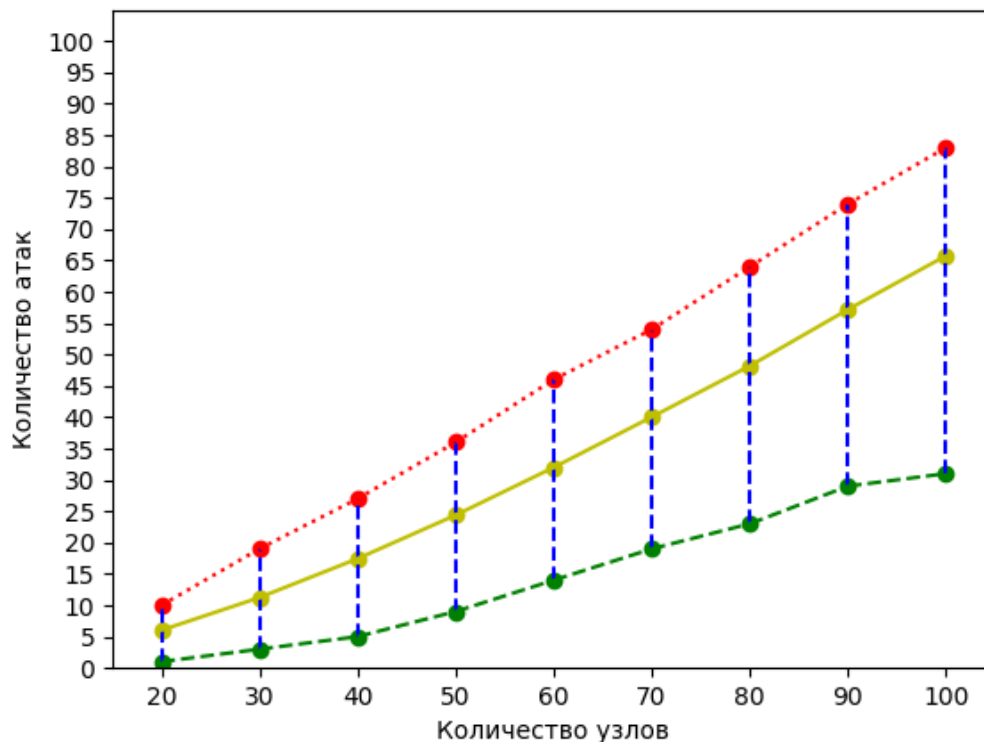


Рис. 2. График числа атак, потребовавшихся для нарушения связности графа при $N = 100$, $D = 0.6$, атаки проводились по узлам с наибольшим посредничеством: штриховая линия – нижняя граница; сплошная линия – среднее значение; пунктирная линия – верхняя граница

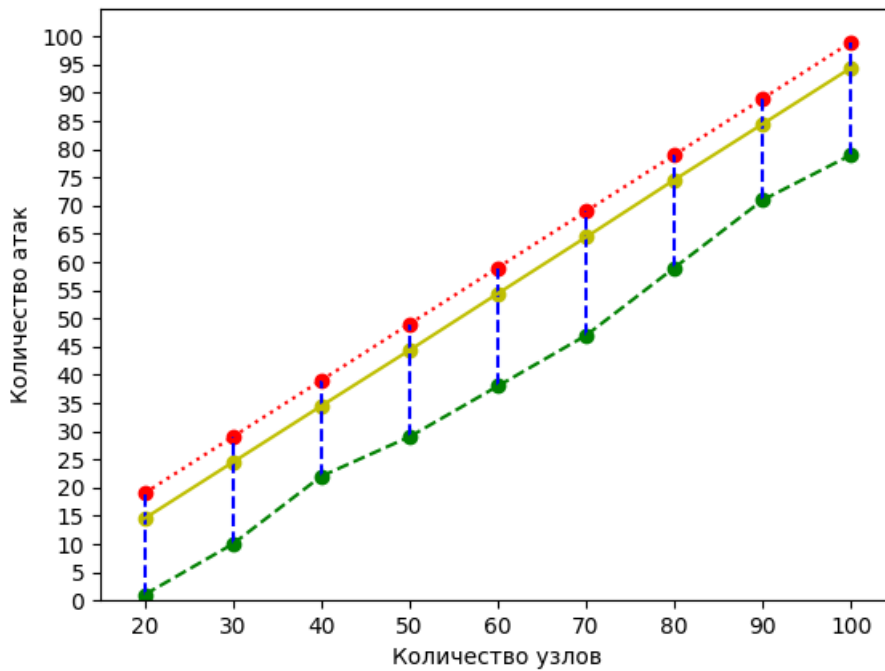


Рис. 3. График числа атак, потребовавшихся для нарушения связности графа при $N = 100$, $D = 0.6$, атаки проводились по случайным узлам: штриховая линия – нижняя граница; сплошная линия – среднее значение; пунктирная линия – верхняя граница

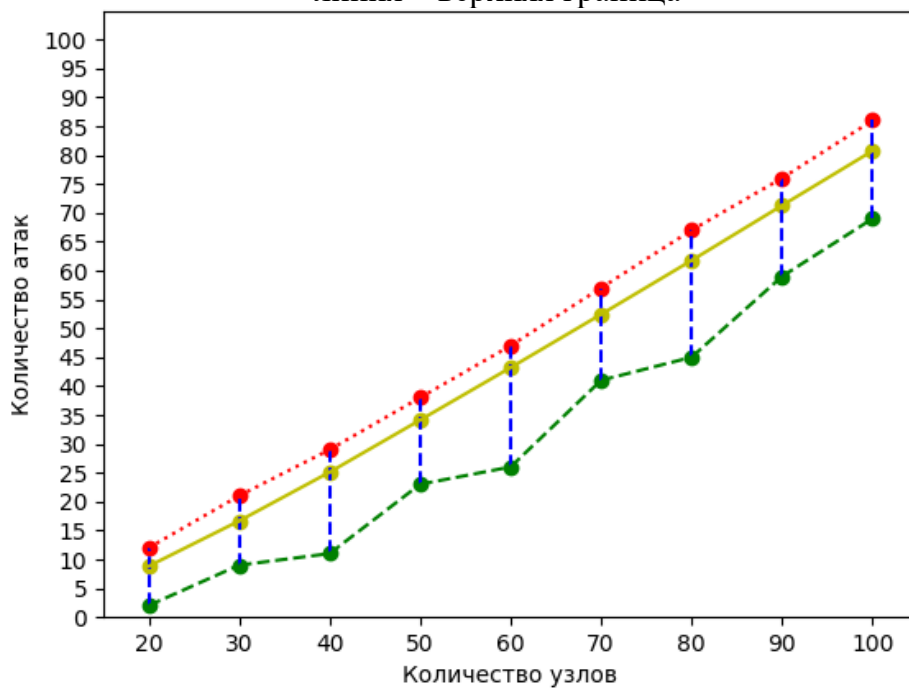


Рис. 4. График числа атак, потребовавшихся для нарушения связности графа при $N = 100$, $D = 0.6$, атаки проводились по узлам с наибольшей степенью: штриховая линия – нижняя граница; сплошная линия – среднее значение; пунктирная линия – верхняя граница

На рисунке **Ошибка! Источник ссылки не найден.** представлены графики неопределённости количества атак всех четырёх правил выбора объекта атаки.

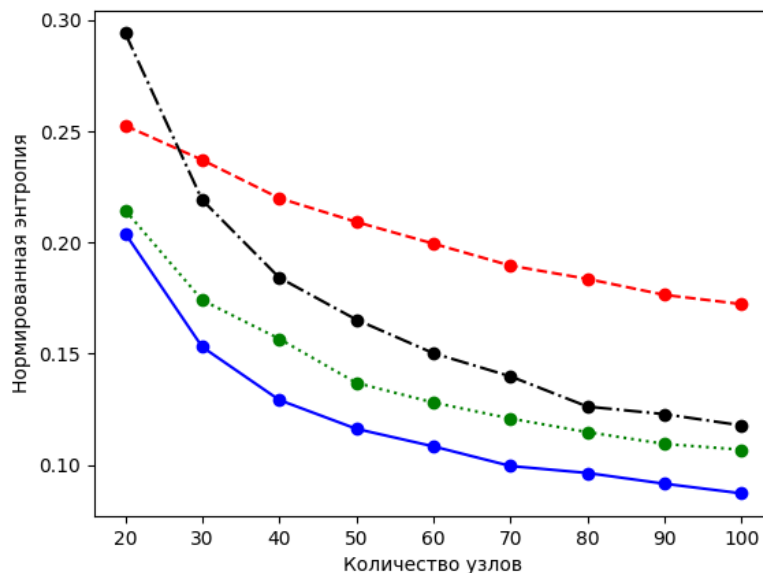


Рис. 5. График нормированной энтропии числа атак, потребовавшихся для нарушения связности графа при $N = 100$, $D = 0.6$:

сплошная линия – близость, штриховая – посредничество, штрихпунктирная линия – случайно, пунктирная линия – степень узлов

График демонстрирует, что при выбранных входных данных неопределённость числа атак падает при увеличении числа узлов, при этом наибольшей неопределённостью обладают атаки по посредничеству.

Заключение

Предложен аппарат для оценивания последствий разрушающих воздействий на узлы графа с разными топологическими характеристиками. Показано, что среднее число атак до появления изолированных узлов в графе при атаках по узлам с наибольшей близостью в 1.14 – 1.59 раза меньше, чем при случайных атаках. При атаке по узлам с наибольшей степенью в 1.16 – 1.64 раза меньше, чем при случайных атаках. При атаке по узлам с наибольшим посредничеством в 1.44 – 2.41 раза меньше, чем при случайных атаках. Наибольшее относительное преимущество наблюдается при наименьшем количестве узлов, наименьшее преимущество при наибольшем количестве узлов.

Библиографический список

1. Error and attack tolerance of small-worldness in complex networks / Mahdi Jalili – Journal of Informetrics, 2011 – 422–430 с
2. Error and attack tolerance of complex networks / Albert, R., Jeong, H., & Barabasi, A.-L. – Nature 406, 2000 – 378–382 с
3. Основы теории вероятностей / М.Е. Жуковский, И.В. Родионов – МОСКВА МФТИ 2015 – 82 с
4. Документация библиотеки networkx – URL: <https://networkx.org> (дата обращения 12.11.2025)
5. Документация библиотеки matplotlib – URL: <https://matplotlib.org/stable/> (дата обращения 12.11.2025)

© Ульянов В.Ю., 2025

А.М. ХАМАДЕЕВ

albert_xam@list.ru

Науч. руковод. – д-р. техн. наук, проф. В.Е. ГВОЗДЕВ

Уфимский университет науки и технологий

СРАВНИТЕЛЬНЫЙ АНАЛИЗ ДИНАМИЧЕСКИХ ХАРАКТЕРИСТИК БАЗОВЫХ ТОПОЛОГИЧЕСКИХ СТРУКТУР

Аннотация: В статье проводится сравнительный анализ динамических характеристик базовых топологических структур с точки зрения устойчивости к атаке на один из узлов. Приведены четыре базовые топологические структуры: шина, звезда, кольцо, полносвязная сеть. В основе анализа лежит вычисление системы дифференциальных уравнений, описывающих изменение количества ресурса узлов во времени. Описан алгоритм эксперимента. Представлены результаты и сравнительный анализ полученных графиков ресурсов в зависимости от начальных условий.

Ключевые слова: сеть, граф, топология, дифференциальные уравнения, динамические характеристики, устойчивость.

Введение:

В наше время мы часто сталкиваемся с распределенными системами управления, вычислительными сетями, системами, основанными на сетевом управлении. Они становятся больше по размеру, растет их сложность, отчего значимость оценки их устойчивости также растет. Каждую такую систему можно представить в виде графа, а каждый сложный граф можно составить из базовых топологических структур. По этой причине стоит исследовать не только произвольные графы, а также то, из чего они состоят. К базовым топологиям относятся: шина, звезда, кольцо, полносвязная сеть. Сравнительный анализ их динамических характеристик при одинаковых условиях в ситуации внешнего негативного воздействия позволит сделать выводы о влиянии структуры на перераспределение ресурсов в системе и процессе восстановления, балансировки системы.

Целью настоящей работы является построение и численная реализация моделей перераспределения ресурса для базовых топологических структур, а также оценку устойчивости и скорости восстановления системы после внешней атаки.

1. Постановка задачи, ограничения и допущения.

Постановка задачи.

Дано: графы четырех базовых топологий: шина, звезда, кольцо, полносвязная сеть. Каждый граф имеет заранее заданное количество N узлов. Каждому узлу i сопоставляется функция времени $Ri(t)$, которая описывает

величину условного ресурса в узле. В начальный момент времени все узлы имеют одинаковую величину ресурса. На узел с индексом 0 совершается внешнее воздействие, которое изменяет его ресурс на значение $\alpha \in (0;1)$. После воздействия узлы начинают процесс перераспределения ресурсов в системе, передавая часть своих ресурсов соседям, а также принимая часть от них. Для прямых (связей с узлом $i+1$) и обратных (с узлом $i-1$) связей задаются параметры μ и λ , которые являются долями или скоростью передачи ресурсов по прямым и обратным связям соответственно.

Требуется: провести вычислительный эксперимент для разных топологических структур с разными значениями N , α , μ , λ , а также построить графики и выполнить сравнительный анализ динамических характеристик.

Предположения

1. Суммарный ресурс системы сохраняется во времени, он может только перераспределяться между узлами, но не появляться или исчезать после начального внешнего воздействия.

2. Параметры μ , λ и топология графа не зависят от времени.

Допущения

1. Количество узлов в сети конечно и N задается заранее, как и остальные параметры.

2. Используется численный метод решения системы дифференциальных уравнений, точность которого считается достаточной.

3. Внешнее воздействие происходит лишь в самом начале, рассматривается только стабилизация системы после этого.

2. Схема решения задачи

Основу решения задачи составляет вычислительный эксперимент, алгоритм которого представлен ниже.

(а). Укрупненный алгоритм

1. Задание параметров N числа узлов, α начальное внешнее воздействие, μ доля прямых связей, λ доля обратных связей.
2. Построение системы дифференциальных уравнений для каждой топологии и ее решение.
3. Визуализация результатов вычислений в виде графиков ресурсов для всех узлов каждой топологии.
4. Оценка полученных графиков и сравнение их поведения.

(б). Описание компонентов алгоритмов:

Задание параметров: задаются основные параметры для эксперимента. Число узлов N влияет на количество узлов, которое будет представлено в каждой топологии. α – это количество ресурса, которое отнимется от изначального ресурса узла 0 в каждой из топологий. Оно имитирует внешнее воздействие на систему, которое является причиной начала перераспределения ресурсов в системе. μ отвечает за долю передаваемых ресурсов от текущего количество ресурсов у узла по прямым связям, то есть узлам, у которого индекс выше, чем у данного узла ($i+1$), λ , соответственно, отвечает за долю передаваемых

ресурсов к узлам, у которых индекс меньше ($i-1$). Начальное состояние до внешнего воздействия каждого узла по количеству ресурсов является одинаковым. Внешнее воздействие же отнимает заданное количество ресурса у узла с индексом 0, тогда как остальные остаются при прежних ресурсах. Суммарный ресурс системы определяется суммой начальных ресурсов узлов уже после внешнего воздействия.

Построение системы дифференциальных уравнений: для каждой топологии строится матрица долей передаваемых ресурсов M с размером $N \times N$. M_{ij} определяет долю ресурса, которая перетечет из узла i за единицу времени в узел j . Уравнение для узла i будет выглядеть так:

$$\frac{dR_i(t)}{dt} = -R_i(t) \sum_{j=0}^{N-1} M_{ij} + R_j(t) \sum_{j=0}^{N-1} M_{ji}$$

где R – количество ресурсов, i – текущий узел, j – следующий узел, N – количество узлов, t – время, M – матрица долей передаваемых ресурсов.

Матрица M для топологии шина для 3 узлов будет выглядеть примерно так:

$$M = \begin{pmatrix} 0 & \mu & 0 \\ \lambda & 0 & \mu \\ 0 & \lambda & 0 \end{pmatrix}$$

N уравнений образуют систему дифференциальных уравнений, описывающих непрерывную динамику ресурсов во всех узлах топологии. Система уравнений решается на заданном промежутке времени $[0, T]$. Используется стандартный метод решение дифференциальных уравнений с помощью библиотеки SciPy [1] и ее функции `solve_ivp`. В результате получаются значения R_i для каждого узла во временных точках, которые описывают непрерывные графики изменения ресурсов.

Визуализация результатов: для каждого эксперимента строятся графики зависимости ресурсов от времени. В одном окне одновременно отображаются линии ресурсов для каждого узла в системе. Реализуется с помощью библиотеки matplotlib [2].

Оценка полученных графиков и сравнение их поведения: по полученным графикам для каждой топологии проводится анализ динамики. По заданным параметрам визуально оценивается, как быстро выравниваются ресурсы между узлами, насколько надолго проседает ресурс узла с индексом 0 после внешнего воздействия, как ведут себя узлы относительно друг друга во времени. Сравнение графиков разных топологий позволяет делать выводы о том, какие структуры демонстрируют более быструю стабилизацию и большую устойчивость ко внешним воздействиям.

(в). Анализ полученных графиков разных топологий при определенных начальных параметрах

Примеры полученных результатов представлены ниже:

На рисунках *Рис. 57*. График числа атак, потребовавшихся для нарушения связности графа при-4, 5-8 ($N=10$), 9-12 (μ и λ разные) представлены графики

разных топологий при разных начальных параметрах на эксперимент и сделаны выводы.

Первый эксперимент: $N = 5$, $\mu = 0.1$, $\lambda = 0.1$, $\alpha = 0.3$.

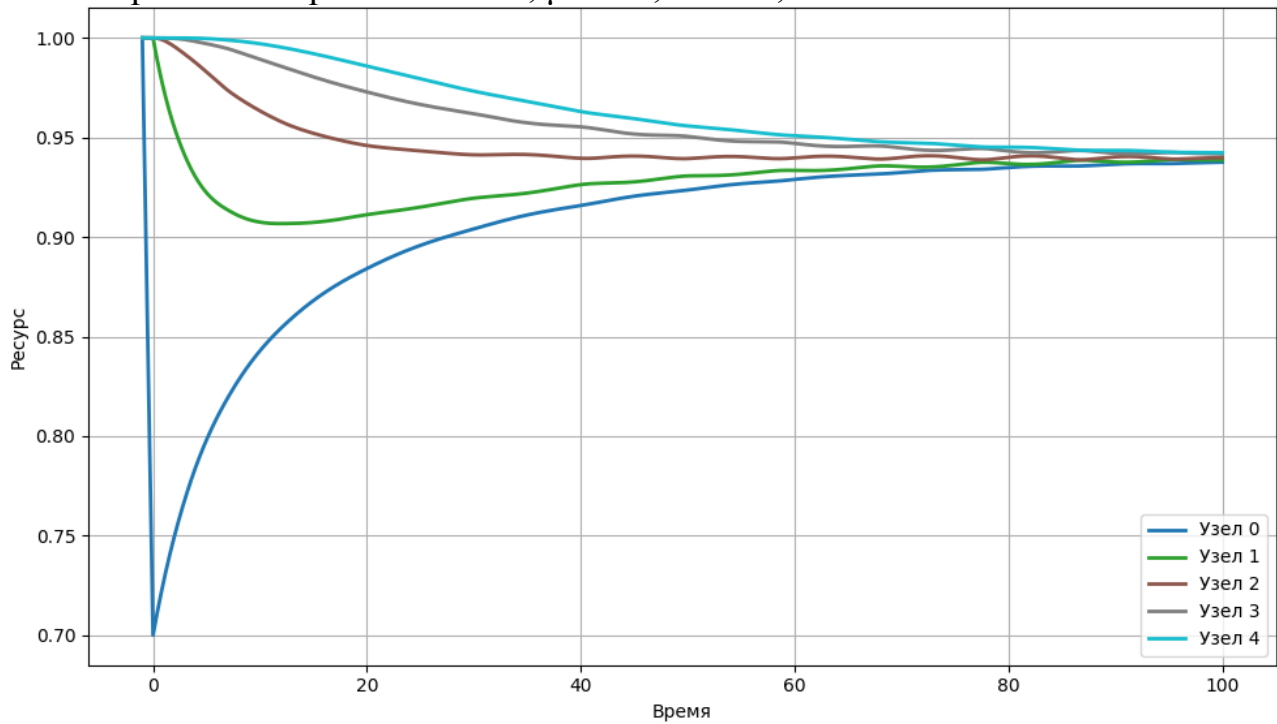


Рис. 1. График топологии «шина» при $N = 5$, $\mu = 0.1$, $\lambda = 0.1$, $\alpha = 0.3$

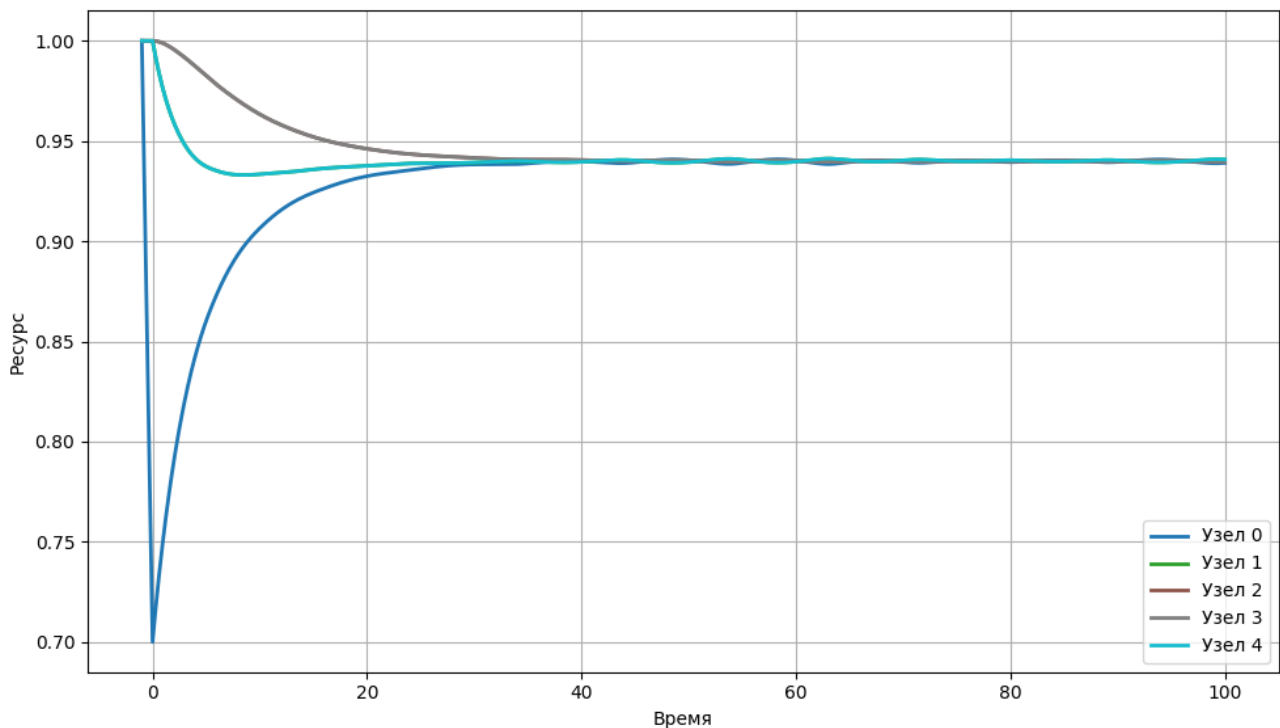


Рис. 2. График топологии «кольцо» при $N = 5$, $\mu = 0.1$, $\lambda = 0.1$, $\alpha = 0.3$

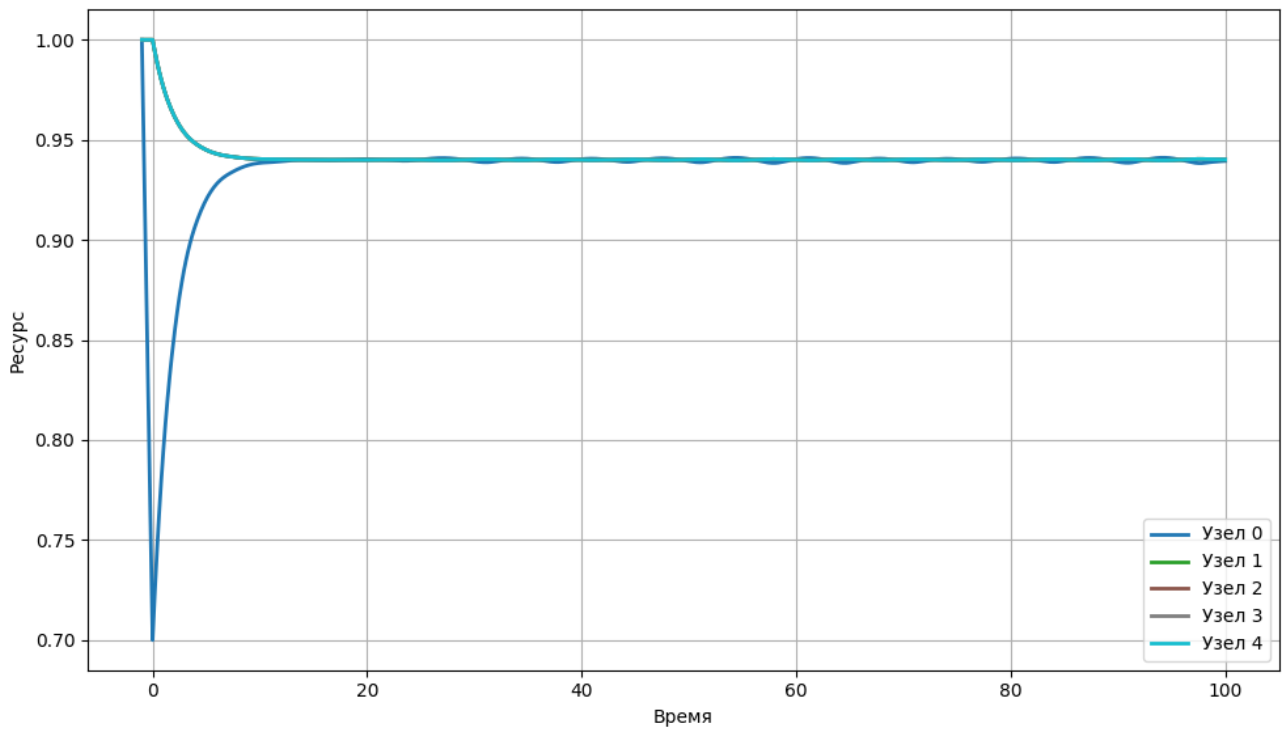


Рис. 3. График топологии «звезда» при $N = 5, \mu = 0.1, \lambda = 0.1, \alpha = 0.3$

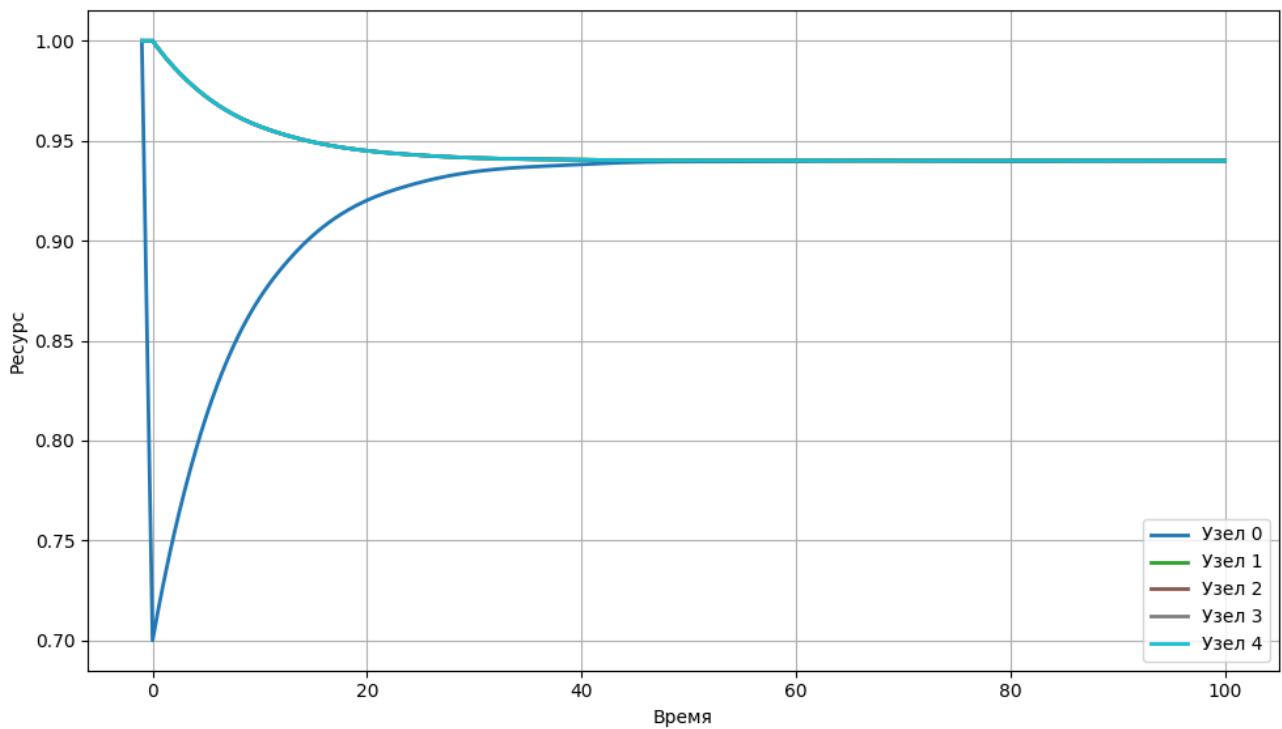


Рис. 4. График топологии «сеть» при $N = 5, \mu = 0.1, \lambda = 0.1, \alpha = 0.3$

Потоки вперед и назад одинаковые, узлов 5, начальное воздействие 0.3. Смотри на время приблизительного выравнивания, можно заметить, что топология звезда наиболее быстро приходит к равновесию, топологии кольцо и сеть примерно одинаково быстро пришли к равновесному состоянию, а вот топология шина примерно в 3 раза дольше приходила к этому состоянию.

В топологии шина воздействие на узел с индексом 0 долго приобретает ресурсы от остальных узлов системы. Наиболее близкие узлы к 0 реагируют на воздействие раньше, тогда как дальние – позже. Часть сети долго не знает о внешнем воздействии.

В топологии кольцо информация расходуется в обе стороны, расстояние меньше, поэтому система выравнивается гораздо быстрее, чем топология шина.

В топологии звезда центр связан со всеми узлами напрямую, поэтому удар по узлу с индексом 0 быстро перераспределяется.

В полносвязной топологии сеть каждый узел связан с каждым, но доли передаваемых ресурсов делятся на количество узлов, поэтому отдельные каналы слабее, чем у топологии звезда. Выравнивание медленнее, чем у звезды, но конечное распределение наиболее гладкое.

Второй эксперимент: $N = 10$ (увеличено в 2 раза), $\mu = 0.1$, $\lambda = 0.1$, $\alpha = 0.3$.

В результате эксперимента можно наблюдать следующие изменения: время выравнивания звезды стало еще меньше, так как рост количества узлов сделал выравнивание быстрее. Сеть осталась примерно без изменений, но стабильнее себя показывает, чем звезда в плане гладкости. Кольцо стало выравниваться заметно дольше из-за увеличения длины путей между всеми узлами системы. В топологии шина же наблюдается ситуация, когда за все время симуляции узлы так и не смогли прийти к относительному равновесию. Количество узлов сильно влияет на топологию шина.

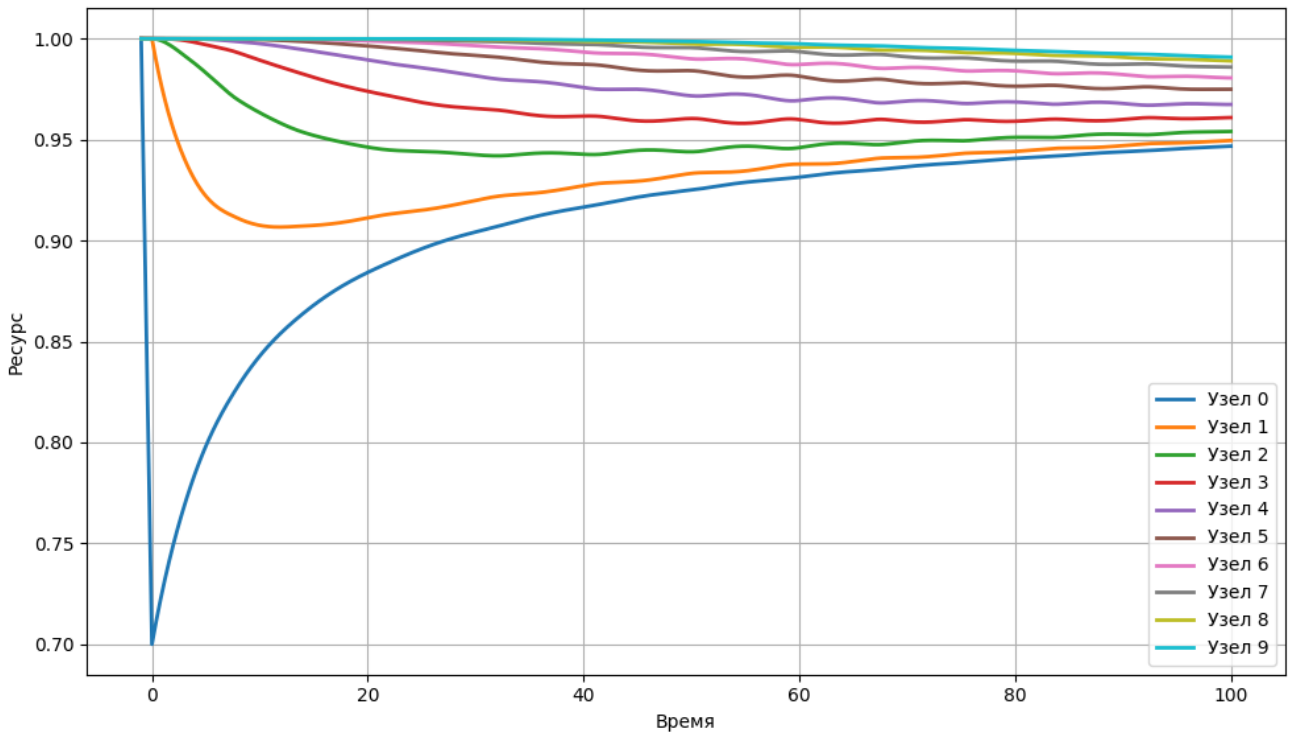


Рис. 5. График топологии «шина» при $N = 10$, $\mu = 0.1$, $\lambda = 0.1$, $\alpha = 0.3$

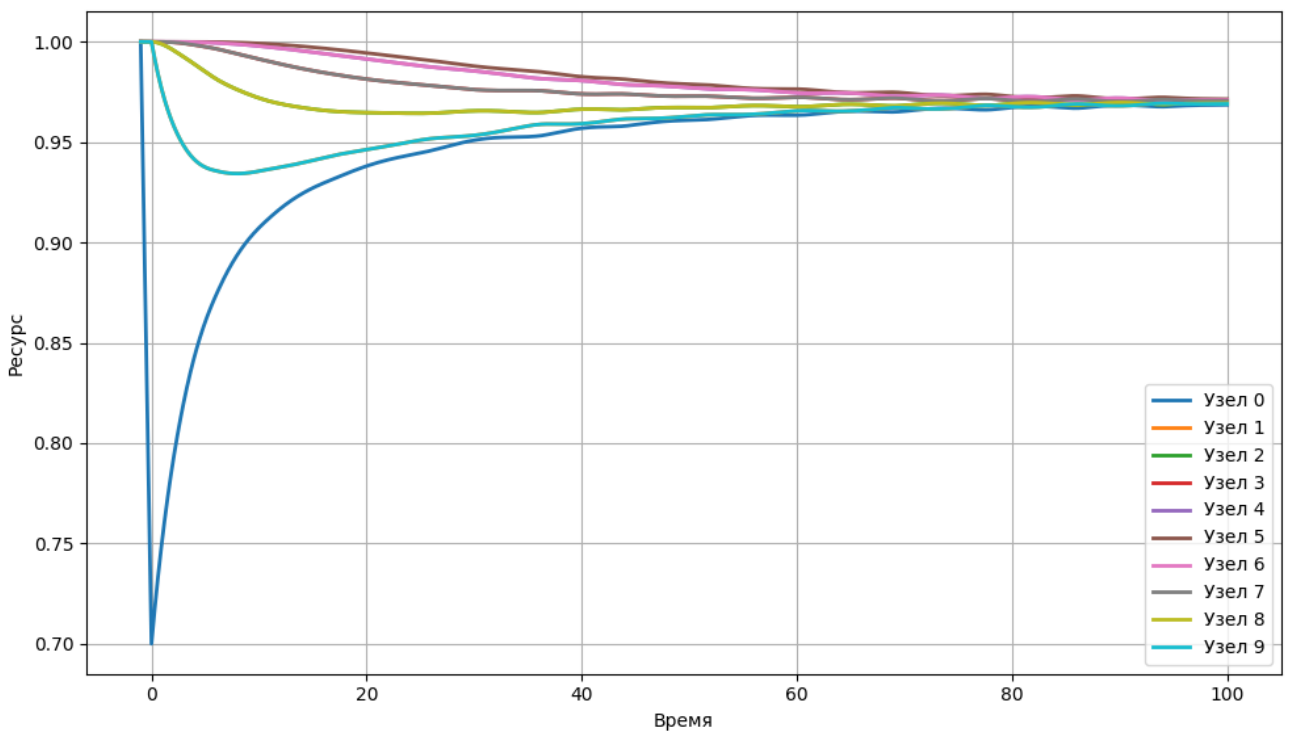


Рис. 6. График топологии «кольцо» при $N = 10$, $\mu = 0.1$, $\lambda = 0.1$, $\alpha = 0.3$

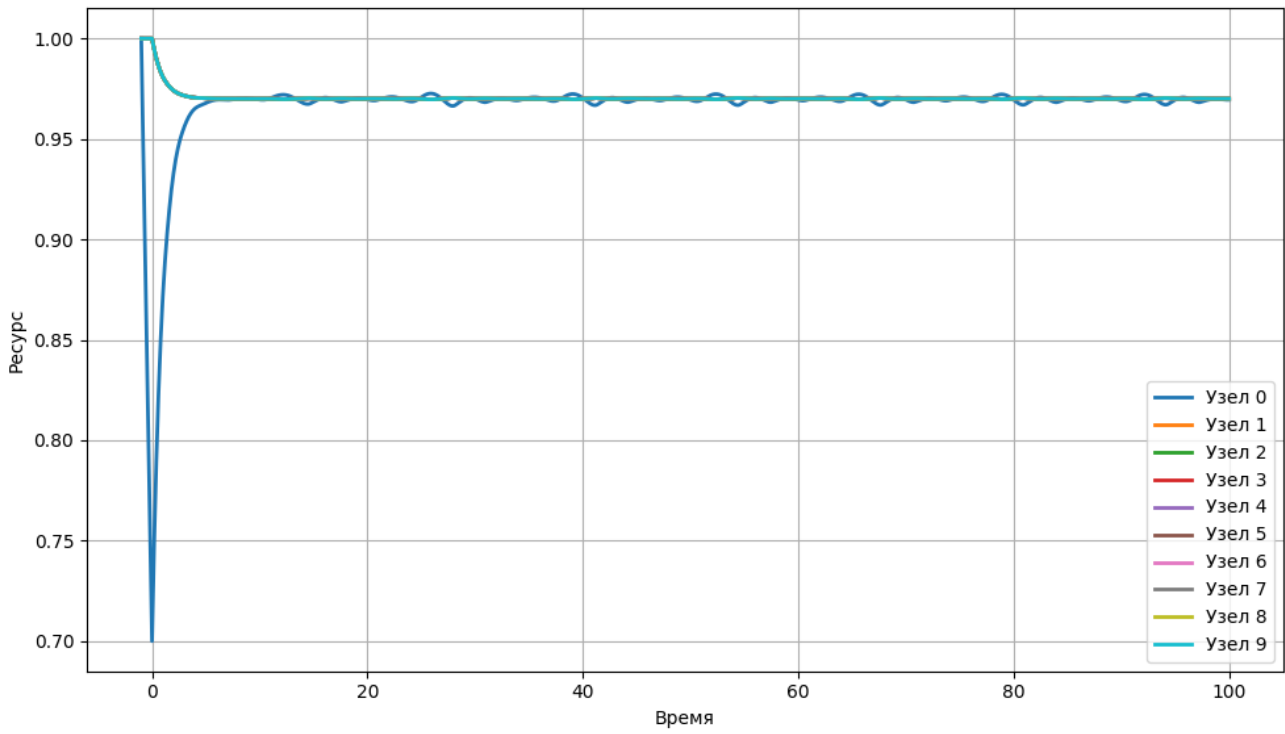


Рис. 7. График топологии «звезда» при $N = 10, \mu = 0.1, \lambda = 0.1, \alpha = 0.3$

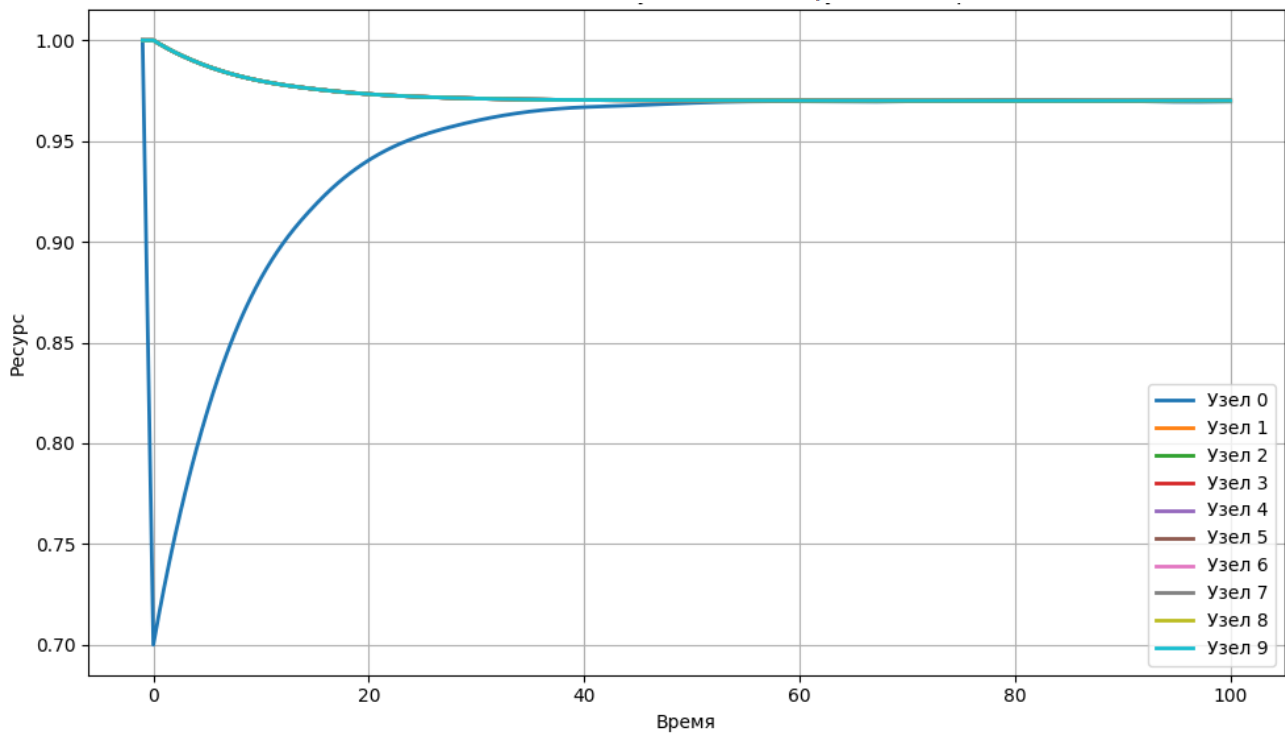


Рис. 8. График топологии «сеть» при $N = 10, \mu = 0.1, \lambda = 0.1, \alpha = 0.3$

Третий эксперимент: $N = 5, \mu = 0.1, \lambda = 0.05$ (уменьшено в 2 раза), $\alpha = 0.3$.

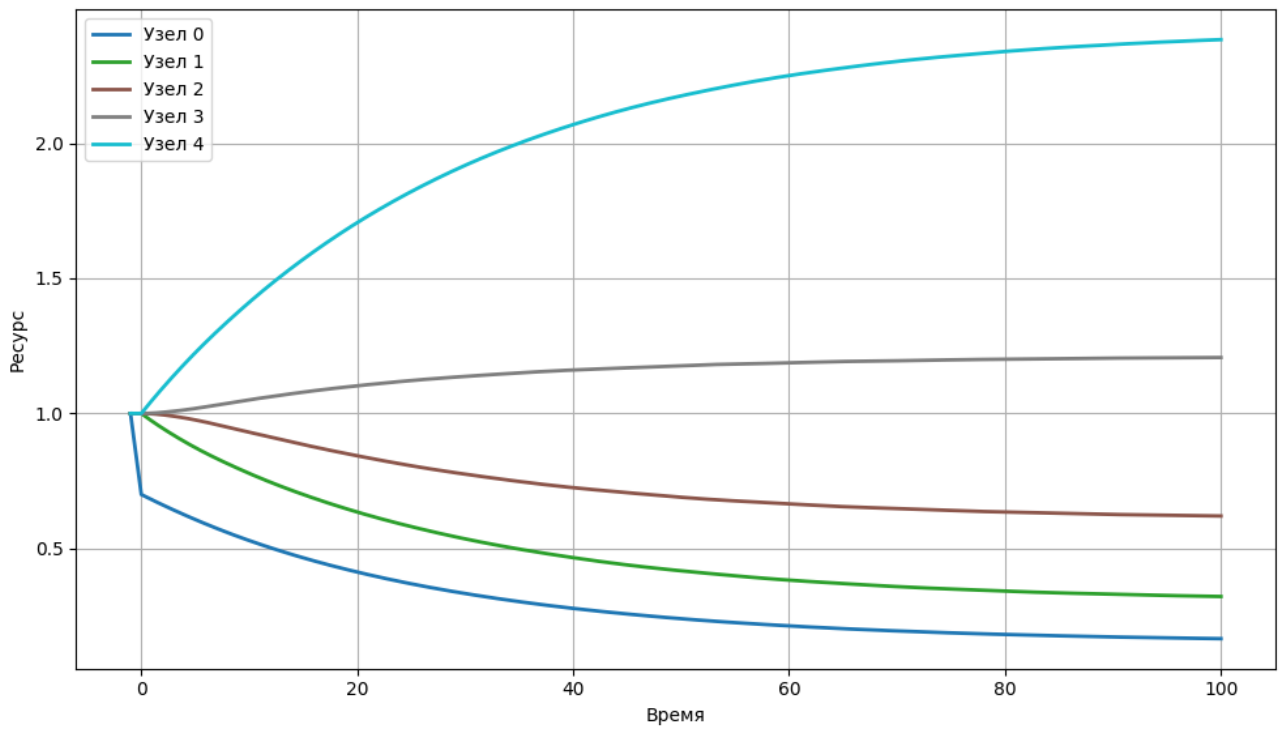


Рис. 9. График топологии «шина» при $N = 5, \mu = 0.1, \lambda = 0.05, \alpha = 0.3$

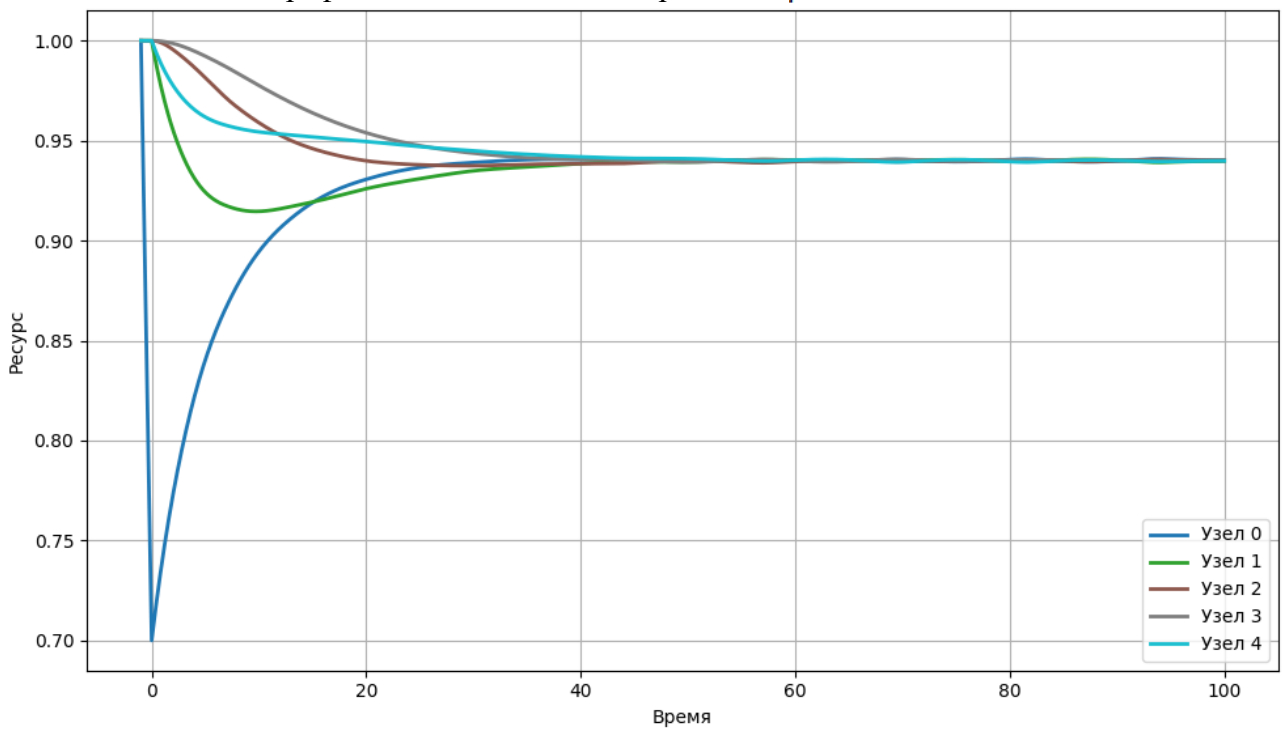


Рис. 10. График топологии «кольцо» при $N = 5, \mu = 0.1, \lambda = 0.05, \alpha = 0.3$

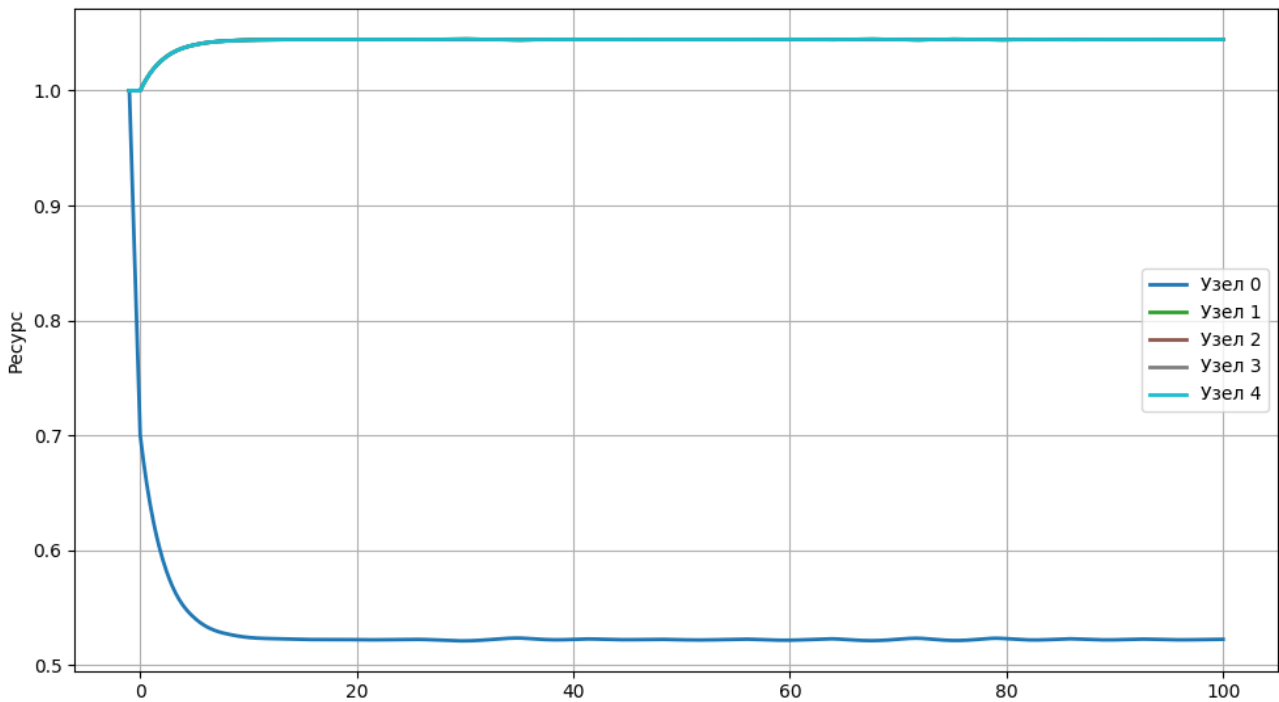


Рис. 11. График топологии «звезда» при $N = 5, \mu = 0.1, \lambda = 0.05, \alpha = 0.3$

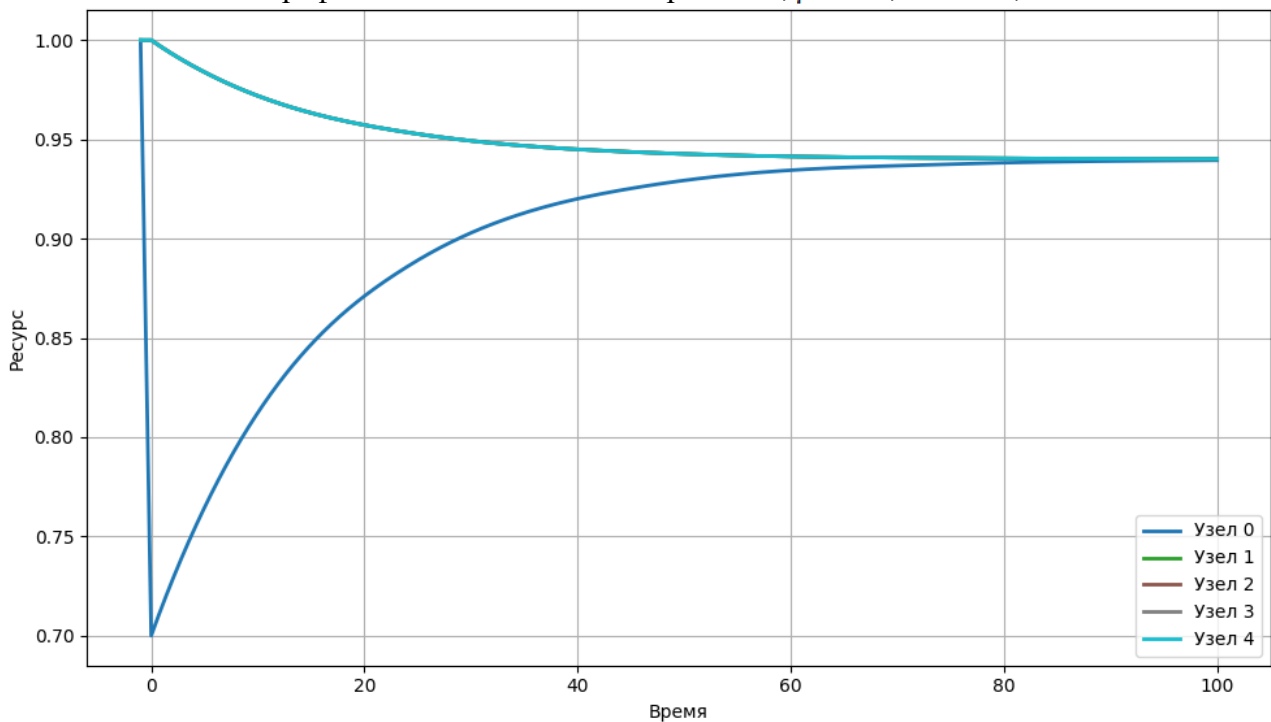


Рис. 12. График топологии «сеть» при $N = 5, \mu = 0.1, \lambda = 0.05, \alpha = 0.3$

В третьем эксперименте связи стали ассиметричны, к узлу с большим индексом идет в 2 раза больше ресурсов, чем к узлам с меньшим индексом.

Разброс ресурсов в сети шина стал очень большим, сеть неравномерна. Чем меньше индекс узла, тем меньше он имеет ресурсов, тогда как последние узлы становятся перенасыщены ресурсом. Кольцо, несмотря на ассиметрию долей ресурсов, за счет симметрии по узлам все равно приходит к почти равному распределению. В топологии звезда наблюдается ситуация, при которой центр имеет гораздо меньший ресурс, чем его зависимые узлы. Он

раздает ресурс гораздо больше, чем получает, соответственно сеть получается неравномерной. В полносвязной сети же все связи мы считаем равноправными и у них одинаковые доли на ребрах, отчего сеть остается равномерной, пусть и дольше сходится.

В условиях асимметрии долей прямых и обратных связей шина и звезда показывают себя наихудшим образом, когда одни узлы становятся перенасыщены, а другие опустошены. Для топологий кольцо и сеть же асимметрия на количестве узлов равного 5 сильно не влияют и обе топологии приходят почти к равномерному распределению ресурсов.

Заключение

Предложен подход к анализу устойчивости базовых топологических структур на основе перераспределения ресурсов между узлами. Для всех топологий построены системы дифференциальных уравнений. Проведенные эксперименты показали, что при симметричных долях связей между узлами все рассмотренные топологии в итоге приходят к почти равномерному распределению ресурса, однако скорость выравнивания различается. При асимметричных связях же выявляются ситуации перенасыщенности и оттока значительной части ресурсов у узлов. Полученные результаты подтверждают, что топология сети может существенно влиять на скорость восстановления и распределения ресурсов между узлами после внешнего воздействия. Предложенная реализация может помочь с более сложными исследованиями, которые требуют исследования динамических характеристик базовых топологий.

Библиографический список

1. Документация библиотеки `scipy` – URL: <https://docs.scipy.org/doc/scipy/> (дата обращения 15.11.2025)
2. Документация библиотеки `matplotlib` – URL: <https://matplotlib.org/stable/> (дата обращения 15.11.2025)

© Хамадеев А.М., 2025

А.Ю. ЧЕРНИКОВ

chernikovartem102@mail.ru

Науч. руковод. – канд. техн. наук, доцент А.С. РАКИПОВА

Уфимский университет науки и технологий

МОДЕЛИРОВАНИЕ ВЛИЯНИЯ ОТКАЗОВ В МНОГОСЛОЙНЫХ СЕТЯХ

Аннотация: в данном исследовании рассматривается влияние каскада отказов в многослойных сетях на основе матрицы связей. Методологической основой служит концепция «дом качества» в рамках методологии Quality Function Deployment, трансформированная в матрицу зависимостей между узлами. Разработана программа, позволяющая визуализировать связи между узлами многослойной сети, формировать перечни зависимых узлов, выявлять все возможные пути взаимодействия, фиксировать изменения состояния узлов по тактам. Путем удаления связей одного узла с остальными продемонстрировано изменение работы всей системы, приводящее к последовательным отказам узлов.

Ключевые слова: узел, отказ, матрица связей, многослойная сеть, такт.

Введение

Проблема. Любая система имеет шанс выйти из строя или работать некорректно из-за отказа работы определенных узлов сети.

Актуальность. Современные системы являются сложными, рассматривать которые необходимо с точки зрения многослойных сетей. Многослойная сеть состоит из систем, функционирующих в разных слоях, которые отличаются в том числе различными задачами и средой эксплуатации.

Цель. Исследование влияния каскада отказов на систему.

Задачи. Построение маршрутов между узлами в многослойной сети. Исследование тактов влияния каскадов отказов узлов.

Задача 1. Построение маршрутов узлов

Ориентиром при наших исследованиях является дом качества методологии QFD.

Развертывание функции качества (Quality Function Deployment – QFD) – это методология систематического и структурированного преобразования пожеланий потребителей в требования к качеству продукции, услуги и/или процесса [1-2].

В соответствии с QFD-методологией пожелания (установленные и предполагаемые потребности) потребителей с помощью матриц переводятся в

3Рис). В спроектированной для исследования матрице зависимостей между узлами строка соответствует родительскому узлу (влияет на другие), а столбец – зависимому узлу (зависит от родительского). Значение 1 указывает на наличие зависимости, 0 – на её отсутствие.

Связь между узлами может:

- отсутствовать, то есть два узла не имеют прямой связи, только косвенные;

- быть однонаправленной, то есть один узел напрямую влияет на другой узел, но этот же узел напрямую не влияет на первый узел;

- быть двунаправленной, то есть как один узел напрямую влияет на другой, так и этот же узел влияет на первый узел.

| | x1 | x2 | x3 | x4 | y1 | y2 | y3 | y4 |
|----|----|----|----|----|----|----|----|----|
| x1 | 0 | 1 | 1 | 1 | 1 | 1 | 0 | 0 |
| x2 | 1 | 0 | 0 | 0 | 0 | 0 | 1 | 0 |
| x3 | 0 | 0 | 0 | 0 | 0 | 1 | 0 | 0 |
| x4 | 0 | 0 | 0 | 0 | 0 | 0 | 1 | 1 |
| y1 | 1 | 0 | 0 | 0 | 0 | 1 | 1 | 0 |
| y2 | 0 | 1 | 0 | 0 | 0 | 0 | 0 | 1 |
| y3 | 0 | 0 | 0 | 0 | 0 | 0 | 0 | 0 |
| y4 | 0 | 0 | 1 | 0 | 0 | 0 | 0 | 0 |

Рис. 3. Матрица связей

Структура программы. Разработали программу, с помощью которой можем работать с матрицей связей, используя различные методы обработки, которые требуются для решения поставленных нами задач:

- ввод матрицы связей в программу;
- построение графа связей между всеми узлами;
- формирование для каждого узла перечня зависимых узлов;
- формирование перечня всех путей между двумя узлами;
- вывод тактов вычислений;
- изменение связи между двумя узлами;
- построение графа связей между двумя узлами.

Ввод матрицы. Матрица связей представляет собой Excel таблицу. Для ввода данных в программе заполняется форма конфигурации матрицы, которая включает в себя имя Excel файла, набор ячеек по оси X с именами переменных, набор ячеек с данными зависимостей (рисунок 4).

```

Введите путь к файлу: relationships.xlsx
Введите строку с именами узлов в формате A:Z_1:9: C:J_2:2
['x1' 'x2' 'x3' 'x4' 'y1' 'y2' 'y3' 'y4']
Введите конфигурацию матрицы в формате A:Z_1:9: C:J_3:10
[[0 1 1 1 1 1 0 0]
 [1 0 0 0 0 0 1 0]
 [0 0 0 0 0 1 0 0]
 [0 0 0 0 0 0 1 1]
 [1 0 0 0 0 1 1 0]
 [0 1 0 0 0 0 0 1]
 [0 0 0 0 0 0 0 0]
 [0 0 1 0 0 0 0 0]]

```

Рис. 4. Форма ввода конфигурации матрицы

Граф связей. Для текущей матрицы строится граф связей между всеми узлами системы (рисунок 5), где система подразделяется на слой, содержащие определенный набор узлов, в нашем случае однослойные узлы имеют одинаковую букву в имени.

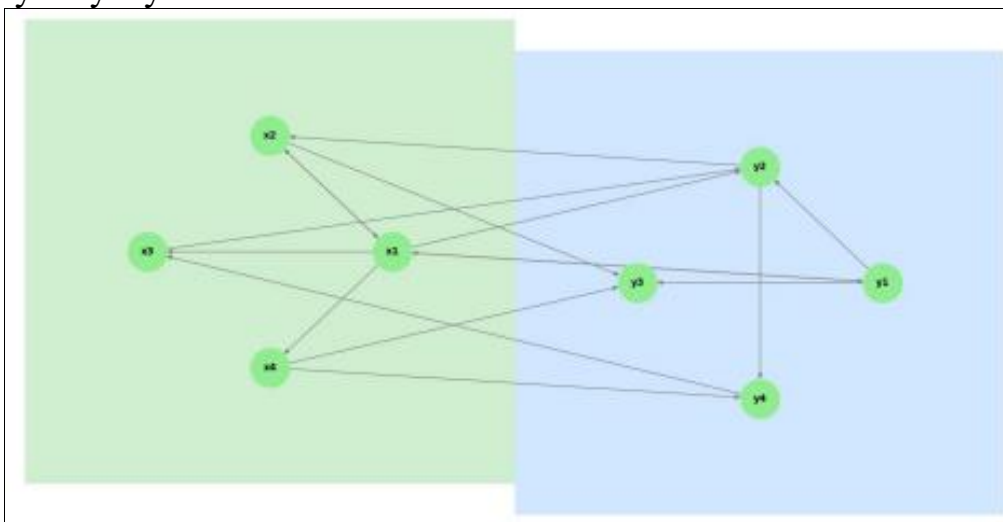


Рис. 5. Граф связей между узлами

Зависимые узлы. Для каждого узла формируется перечень зависимых от него узлов, то есть для которых данный узел является родительским. Таким образом можно проанализировать степень влияния тех или иных узлов на систему (рисунок 6Рис. 58).

```

Выберите один из пунктов (0-8): 3
> Зависимости узлов:
x1 ['x2', 'x3', 'x4', 'y1', 'y2']
x2 ['x1', 'y3']
x3 ['y2']
x4 ['y3', 'y4']
y1 ['x1', 'y2', 'y3']
y2 ['x2', 'y4']
y3 []
y4 ['x3']

```

Рис. 58. Формирование зависимостей узлов

Пути между узлами. Формируется перечень всех возможных путей между двумя узлами, где путь – это цепь связанных между собой узлов с одним единственным направлением, с помощью которых один узел косвенно влияет на другой узел. Таким образом можно проанализировать каждый узел на степень того, насколько этот узел прочно взаимосвязан с системой и оценить риски того, что этот узел может оказаться неработоспособным (рисунок 7Рис).

```

Выберите один из пунктов (0-8): 4

Введите узлы для нахождения путей:
Первый узел: x1
Второй узел: y3
2 [['x2'], ['x4'], ['y1']]
3 [['y2', 'x2']]
4 [['x3', 'y2', 'x2'], ['y1', 'y2', 'x2']]
6 [['x4', 'y4', 'x3', 'y2', 'x2']]
Путей с количеством связей всего: 7
Путей с количеством связей 2: 3
Путей с количеством связей 3: 1
Путей с количеством связей 4: 2
Путей с количеством связей 6: 1
    
```

Рис. 7. Нахождение путей между двумя узлами

Граф связей для двух узлов. Для набора путей между двумя узлами строится граф связей (рисунок 8), где рисуются только те связи, которые участвуют в формировании путей от одного узла к другому.

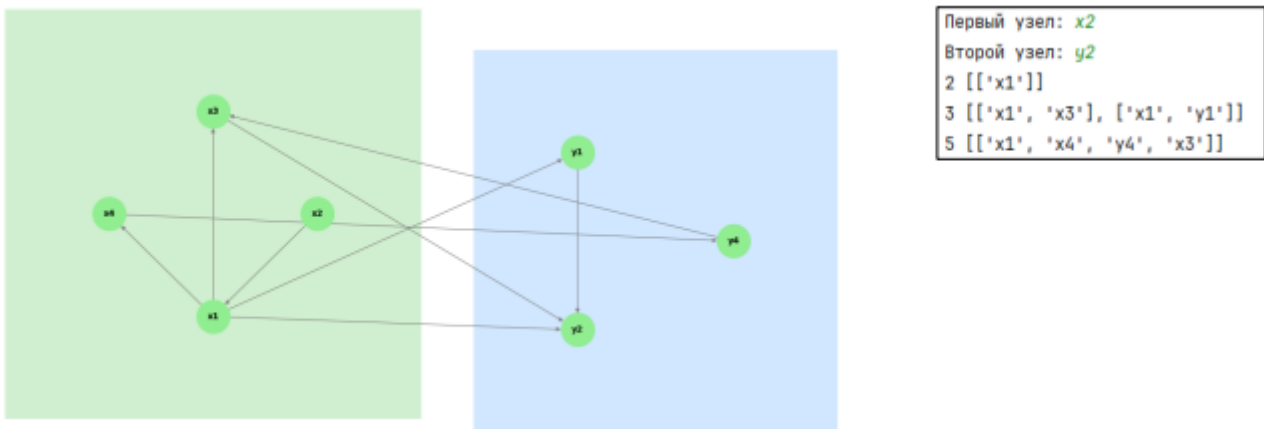


Рис. 59. Граф связей для двух узлов

Изменение связей. Для изменения связей между двумя узлами в матрице внутри программы заполняется форма, где необходимо указать сначала родительский узел, затем дочерний, далее наличие или отсутствие связи (1 или 0) (рисунок 9). Воспроизводится изменение данной связи текущей матрицы в программе.

```

Выберите один из пунктов (0-8): 6

Введите узлы для изменения связи:
Первый узел: x1
Второй узел: x4
Введите номер связи: 0
[[0 1 1 0 1 1 0 0]
 [1 0 0 0 0 0 1 0]
 [0 0 0 0 0 1 0 0]
 [0 0 0 0 0 0 1 1]
 [1 0 0 0 0 1 1 0]
 [0 1 0 0 0 0 0 1]
 [0 0 0 0 0 0 0 0]
 [0 0 1 0 0 0 0 0]]

```

Рис. 9. Форма ввода данных для изменения связи

Задача 2. Исследование тактов

Работа с тактами подразумевает наблюдение вычислений с точки зрения динамического процесса, разделенного на такты, где такт означает изменение состояния набора узлов. В каждом такте каждый узел имеет определенное состояние, которое было сформировано как результат работы напрямую влияющих на него узлов в предыдущих тактах. Визуальное представление работы тактов представлено на рис. 10.

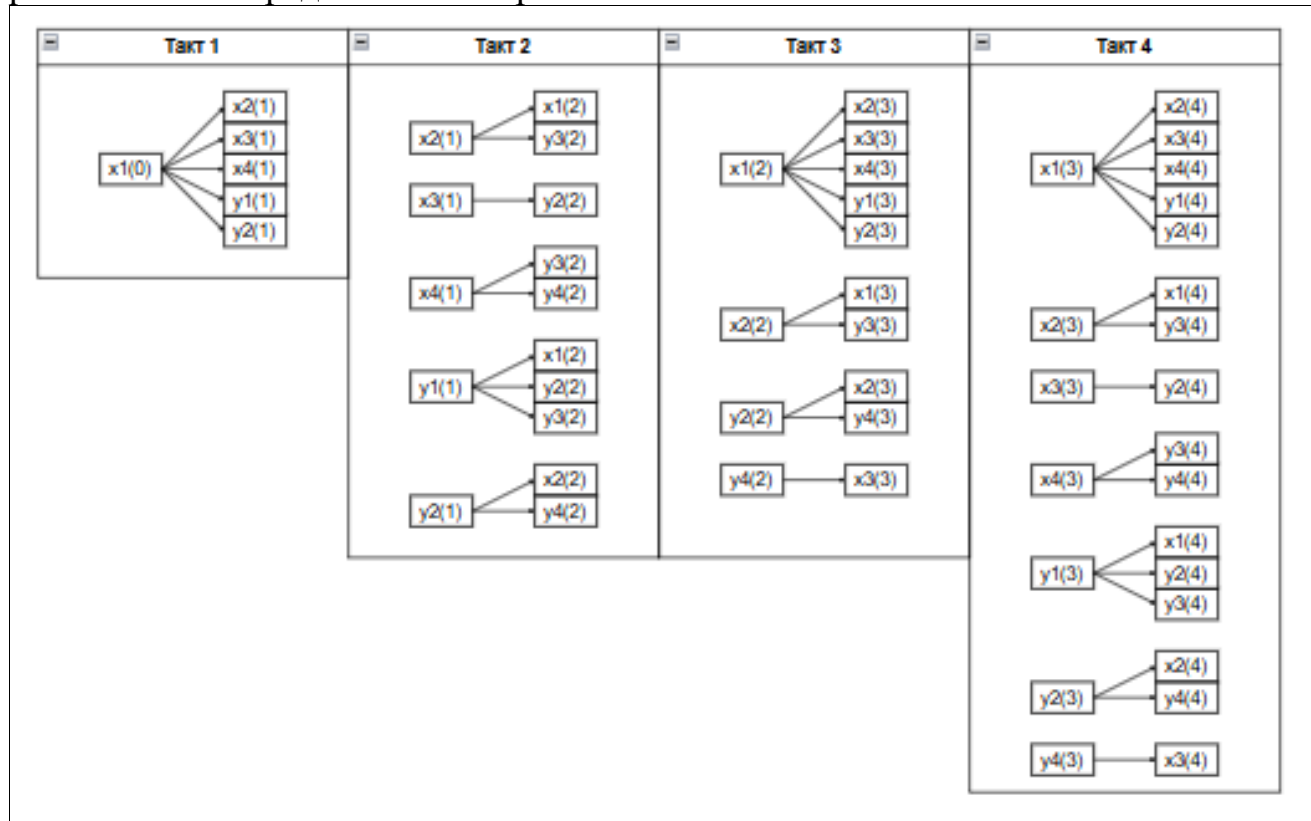


Рис. 60. Визуальное отображение структуры тактов

Вывод тактов в программе. При указании такта для каждого узла формируется набор тактов, в которых данный узел изменил свое состояние, а для каждого такта формируется набор узлов, повлиявших на этот узел, при этом, в перечне каждый узел имеет свой такт, который отсылает на определенное состояние узла в момент того такта, в котором произошло изменение состояния исследуемого узла (рисунок 11 *Рис. 61*).

```

Выберите один из пунктов (0-8): 5

Введите такт: 4
> Такты:
x1 {0: [], 2: ['x2[1]', 'y1[1]'], 3: ['x2[2]'], 4: ['x2[3]', 'y1[3]']}
x2 {1: ['x1[0]'], 2: ['y2[1]'], 3: ['x1[2]', 'y2[2]'], 4: ['x1[3]', 'y2[3]']}
x3 {1: ['x1[0]'], 3: ['x1[2]', 'y4[2]'], 4: ['x1[3]', 'y4[3]']}
x4 {1: ['x1[0]'], 3: ['x1[2]'], 4: ['x1[3]']}
y1 {1: ['x1[0]'], 3: ['x1[2]'], 4: ['x1[3]']}
y2 {1: ['x1[0]'], 2: ['x3[1]', 'y1[1]'], 3: ['x1[2]'], 4: ['x1[3]', 'x3[3]', 'y1[3]']}
y3 {2: ['x2[1]', 'x4[1]', 'y1[1]'], 3: ['x2[2]'], 4: ['x2[3]', 'x4[3]', 'y1[3]']}
y4 {2: ['x4[1]', 'y2[1]'], 3: ['y2[2]'], 4: ['x4[3]', 'y2[3]']}

```

Рис. 61. Программное отображение структуры тактов

Отказ узла. Смоделирован отказ узла y_2 , убрав все связи с другими узлами в исходной матрице (*Рис. 62* рисунок 12). Таким образом симитирован каскад отказов узлов в системе. По рисунку можно видеть, что узел может иметь 3 состояния: полностью работоспособный, частично отказавший и полностью отказавший. На примере узла $y_4(2)$ часть его функционала является работоспособной, т.к. получает корректные данные от узла $x_4(1)$, но из-за отказавшего узла y_2 часть функционала не получает данные, вследствие чего узел является частично отказавшим.

| | x1 | x2 | x3 | x4 | y1 | y2 | y3 | y4 |
|----|----|----|----|----|----|----|----|----|
| x1 | 0 | 1 | 1 | 1 | 1 | 0 | 0 | 0 |
| x2 | 1 | 0 | 0 | 0 | 0 | 0 | 1 | 0 |
| x3 | 0 | 0 | 0 | 0 | 0 | 0 | 0 | 0 |
| x4 | 0 | 0 | 0 | 0 | 0 | 0 | 1 | 1 |
| y1 | 1 | 0 | 0 | 0 | 0 | 0 | 1 | 0 |
| y2 | 0 | 0 | 0 | 0 | 0 | 0 | 0 | 0 |
| y3 | 0 | 0 | 0 | 0 | 0 | 0 | 0 | 0 |
| y4 | 0 | 0 | 1 | 0 | 0 | 0 | 0 | 0 |

Рис. 62. Матрица связей с отказавшими связями

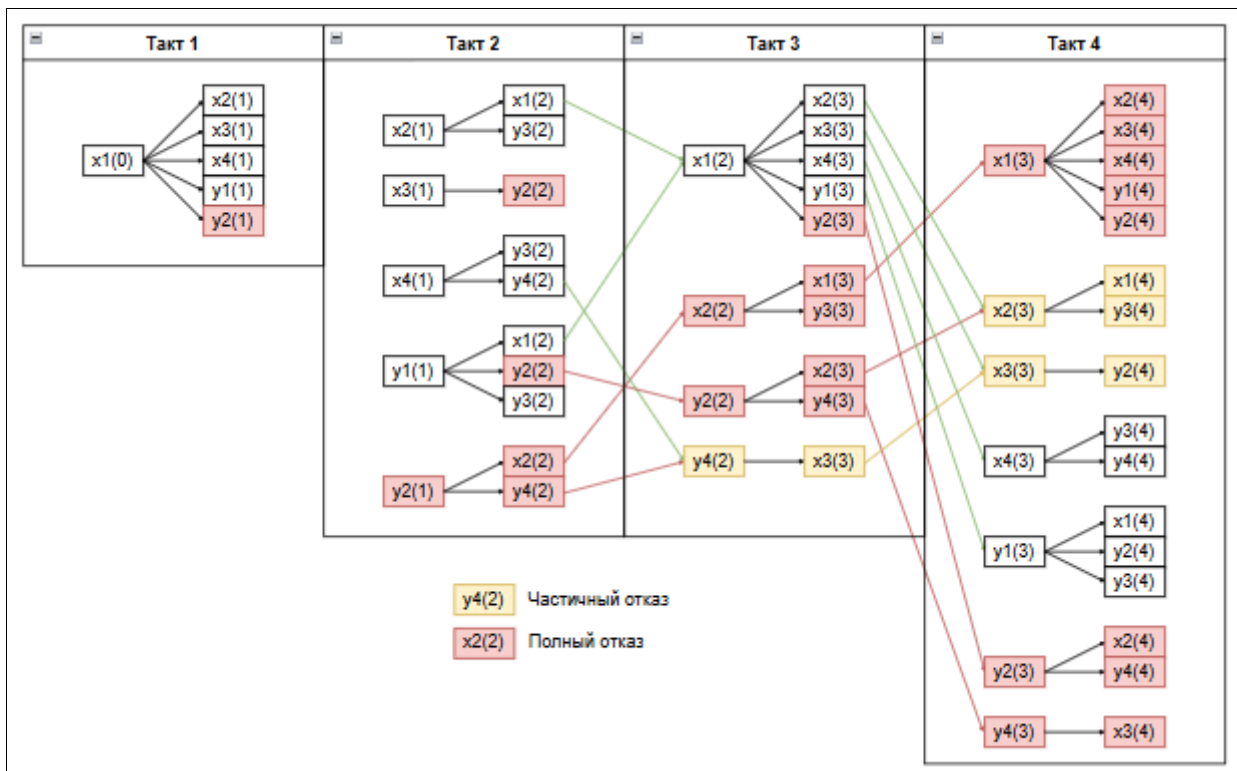


Рис. 63. Структура тактов, демонстрирующая каскад отказов

Сравнили результаты без отказа и с отказом на Рис. 64.

| Введите такт: 4 | Введите такт: 4 |
|--|--|
| <pre> > Такты: x1 {0: [], 2: ['x2[1]', 'y1[1]'], 3: ['x2[2]'], 4: ['x2[3]', 'y1[3]']} x2 {1: ['x1[0]'], 2: ['y2[1]'], 3: ['x1[2]', 'y2[2]'], 4: ['x1[3]', 'y2[3]']} x3 {1: ['x1[0]'], 3: ['x1[2]', 'y4[2]'], 4: ['x1[3]', 'y4[3]']} x4 {1: ['x1[0]'], 3: ['x1[2]'], 4: ['x1[3]']} y1 {1: ['x1[0]'], 3: ['x1[2]'], 4: ['x1[3]']} y2 {1: ['x1[0]'], 2: ['x3[1]', 'y1[1]'], 3: ['x1[2]'], 4: ['x1[3]', 'x3[3]', 'y1[3]']} y3 {2: ['x2[1]', 'x4[1]', 'y1[1]'], 3: ['x2[2]'], 4: ['x2[3]', 'x4[3]', 'y1[3]']} y4 {2: ['x4[1]', 'y2[1]'], 3: ['y2[2]'], 4: ['x4[3]', 'y2[3]']} </pre> | <pre> > Такты: x1 {0: [], 2: ['x2[1]', 'y1[1]'], 4: ['x2[3]', 'y1[3]']} x2 {1: ['x1[0]'], 3: ['x1[2]']} x3 {1: ['x1[0]'], 3: ['x1[2]', 'y4[2]']} x4 {1: ['x1[0]'], 3: ['x1[2]']} y1 {1: ['x1[0]'], 3: ['x1[2]']} y2 {} y3 {2: ['x2[1]', 'x4[1]', 'y1[1]'], 4: ['x2[3]', 'x4[3]', 'y1[3]']} y4 {2: ['x4[1]'], 4: ['x4[3]']} </pre> |

Рис. 64. Сравнение результатов работы тактов

Таким образом, узел y_2 не имеет изменения своего состояния по ходу тактов. Также у всех узлов наблюдается уменьшение числа тактов, в которых их состояние было изменено. Это говорит о том, что во время работы отсутствующих тактов узел оказался неработоспособным, а в тех тактах, где количество зависимых узлов было уменьшено, узел оказался частично работающим.

Заключение

Была решена задача построения маршрутов между узлами в многослойной сети посредством программы с использованием матрицы связей в формате excel и исследованы такты влияния, визуально отобразив их работу, продемонстрировав с их помощью каскад отказов узлов в системе.

В дальнейшем планируется исследование влияния каскадов отказов на функционирование всей многослойной сети.

Библиографический список

1. Mazur, G. H. *Voice of the Customer (VOC) and Quality Function Deployment (QFD)*. In: *The Certified Quality Engineer Handbook*. ASQ Quality Press, 2009.
2. McKinney, W. *Python for Data Analysis: Data Wrangling with Pandas, NumPy, and IPython*. 2nd ed. O'Reilly Media, 2017.
3. Голованов, Н. Н., Кожевников, С. Н. *Методы обеспечения отказоустойчивости компьютерных сетей*. М.: Солон-Пресс, 2010.
4. Бондаренко, А. С., Киселёв, А. А. *Надежность и живучесть информационных сетей*. М.: Горячая линия – Телеком, 2008.
5. Гвоздев В.Е. Анализ структурной надежности многослойных взаимодействующих сетей передачи данных / В.Е. Гвоздев, О.Я. Бежаева, А.С. Ракипова, Р.Р. Ракипов, В.Е. Приходько, П.Н. Тепляшин // Всерос. Научная конференция «Опыт и перспективы совершенствования систем связи и акустических испытаний современной техники», г. Санкт-Петербург, 2025. С. 41-49.
6. Гвоздев В.Е., Гузайров М.Б., Ракипова А.С., Галимов Р.Р., Янчиев Д.В. Статистическое оценивание показателей структурной надежности мобильных систем передачи данных // Моделирование, оптимизация и информационные технологии. 2025. Т. 13. № 3 (50).

© Черников А.Ю., 2025

УДК 658.3

С. ЧЖАН

silu_2025@mail.ru

Науч. руковод. – докт. техн. наук, проф. С.С. ВАЛЕЕВ

Уфимский университет науки и технологий

ПРОБЛЕМЫ ПРОФЕССИОНАЛЬНОЙ И МЕЖКУЛЬТУРНОЙ КОММУНИКАЦИИ В КОНТЕКСТЕ ПРАКТИКИ УПРАВЛЕНИЯ СОВРЕМЕННЫМИ КИТАЙСКИМИ ОРГАНИЗАЦИЯМИ

Аннотация: статья рассматривает проблемы профессиональной и межкультурной коммуникации в современных китайских организациях при взаимодействии традиционных конфуцианских ценностей и западных управленческих практик. На примерах компаний Huawei, Haier, ByteDance рассматриваются трудности межкультурного взаимодействия. Предлагаются пути их решения, такие как адаптация к культуре, совершенствование цифровых инструментов и обучение сотрудников.

Ключевые слова: современные китайские организации; профессиональная коммуникация; межкультурная коммуникация; конфуцианские ценности; западные управленческие практики; цифровая трансформация; глобализация.

Рассмотрим общие характеристики управления современными китайскими организациями и связанные с ними проблемы коммуникации.

Современные китайские организации сочетают традиционные конфуцианские ценности (коллективизм, иерархия, уважение к старшим) с западными управленческими практиками, что формирует уникальные модели управления, но также вызывает ряд проблем профессиональной и межкультурной коммуникации [1].

Конфуцианская идея «гармонии как высшей ценности» и «коллективного сознания» приводит к двум ключевым проблемам:

– Сложность коммуникации в иерархиях. В традиционных «пирамидальных» структурах (государственные предприятия) информация передается сверху вниз, увеличивая время реакции на рыночные изменения и снижая оперативность.

– Конфликт с поколением «Z». Молодые сотрудники предпочитают «законный авторитет» Вебера [2] – они ожидают конкретных карьерных перспектив и прозрачных систем оценки, а не только моральные демонстрации руководства. Разрыв в ценностях создает напряжение в внутриорганизационной коммуникации [3, 4].

Внедрение новых информационных технологий (OKR, смарт-контракты, платформы DingTalk/Feishu) трансформирует коммуникацию, но вызывает новые проблемы:

– «Технологическое конфуцианство» и адаптационный разрыв. Алгоритмический коллективизм (например, OKR ByteDance с «поиском общих позиций») требует освоения цифровых инструментов. Сотрудники старшего поколения испытывают трудности, снижая эффективность профессиональной коммуникации.

Таблица 1

Основные проблемы межкультурной коммуникации

| Компания | Контекст глобализации | Основные проблемы межкультурной коммуникации |
|-----------|--|---|
| Huawei | Европейские и американские рынки | 1. Конфликт стиля управления: китайский авторитарный «сверху вниз» против западного равноправного общения. 2. Сотрудники Запада сопротивляются строгой иерархии, снижая командное сотрудничество [5]. |
| Haier | Международные рынки (продажи под марками GE Appliances США, Fisher & Paykel Новая Зеландия, AQUA Япония, Candy Италия) | Слияние различных корпоративных культур: при приобретении иностранных брендов Haier сталкивается с различиями в подходах к управлению – западные подразделения привыкли к большей автономии, а китайская основа сохраняет элементы иерархии и коллективного принятия решений [6]. |
| ByteDance | Международный рынок (TikTok, Lark) | Адаптация децентрализованной модели: Модель «Контекст, а не контроль» требует прозрачности информации, но в некоторых странах с разными подходами к данным (например, Евросоюз с GDPR) возникают проблемы с коммуникацией о правилах обработки данных – сотрудники не понимают, как сочетать децентрализацию с локальными требованиями [7]. |

– Сложность координации в гибридных моделях. Компании в стиле Huawei (система ротации генеральных директоров) и Haier (модель «Цепного группового контракта») сочетают коллективное руководство и индивидуальные инновации. Это увеличивает сложность координации между подразделениями, приводя к дублированию информации или разрывам в коммуникации.

При выходе на международные рынки китайские компании сталкиваются с культурными различиями, которые снижают эффективность коммуникации. Яркие примеры представлены в таблице 1.

Для преодоления вызовов современных проблем управления организациями крупные китайские компании применяют три основных направления организационных мер: адаптацию к культурному многообразию, совершенствование цифровых инструментов и постоянное обучение новых сотрудников. Рассмотрим их далее.

Первое направление предполагает формирование многонациональных команд. Например, компания Huawei организовала команды из 15 стран в зарубежном научном центре – представители разных культур участвуют в принятии решений, что улучшило межкультурную коммуникацию. При этом, количество инновационных предложений увеличилось на 40%.

Второе направление предполагает адаптацию моделей к особенностям локальных рынков сбыта. Примером может служить компания Haier, которая, работая с иностранными марками (GE Appliances, Fisher & Paykel), внедряет элементы автономии для западных подразделений, сохраняя при этом ключевые принципы «Rendanheyi», что это снижает количество конфликтных ситуаций в процессе организационных и бизнес-коммуникаций.

К третьему направлению относится разработка цифровых платформ для совместной работы. Например, компания Haier внедрила блокчейн-платформу для автоматического распределения ресурсов (финансы, данные, человеческие ресурсы), за счет которой коммуникации между микрогруппами синхронизирована, задержки в выполнении контрактов при этом существенно снизились. Другим примером служит компания ByteDance, которая использует технологию Feishu для оцифровки бизнес-процессов. При этом скорость реакции сотрудников при выполнении проектов также увеличилась на 40%.

Еще одной мерой можно считать прозрачность контекста. Это означает доступность информационных ресурсов компании широкому кругу сотрудников и лиц, принимающих решения.

Следуя этому принципу, компания ByteDance предоставляет сотрудникам доступ к панелям данных OKR – они принимают решения на основе полной информации, снижая необходимость иерархического одобрения и разрывы в коммуникации.

Таким образом, можно сделать вывод, что проблемы профессиональной и межкультурной коммуникации в современных китайских организациях возникают из сочетания традиционных конфуцианских ценностей, западных управленческих практик и цифровой трансформации.

В профессиональной сфере ключевыми вызовами следует считать замедление коммуникации в иерархиях, сложность координации в гибридных моделях (Haier, Tencent) и требования к цифровой компетентности.

В межкультурной сфере основными проблемами при работе на глобальных рынках являются различия в ценностях и привычках сотрудников (например, компании Huawei и ByteDance).

Для решения обозначенных проблем современные компании должны адаптировать стили управления к культуре, совершенствовать цифровые инструменты и инвестировать в обучение.

Только так можно обеспечить эффективную коммуникацию, повысить производительность и успешно действовать на внутреннем и глобальном рынках.

Библиографический список

1. Большунова С. А., Тюриков А. Г. Взгляд на межкультурную коммуникацию как взаимодействие жизненных миров и преодоление кризиса доверия // Гуманитарные науки. Вестник Финансового университета. – 2022. – №1. – С. 81–87
2. Кириленко В. П., Алексеев Г. В. Легитимность демократии в работах Макса Вебера и Карла Шмитта // Правоведение. – 2018. – №3. – С 501–511
3. Lu Y. Analysis of OKR Target Management of ByteDance. – URL: https://www.researchgate.net/publication/368901987_Analysis_of_OKR_Target_Management_of_ByteDance (дата обращения 26.10.2025)
4. Huawei Investment & Holding Co., Ltd.: Отчет о деятельности компании в 2013 году. – URL: https://www-file.huawei.com/-/media/corporate/local-site/ru/annual-report/pdf/annual_report_2013_rus.pdf (дата обращения 26.10.2025)
5. Huawei Human Resource Management. – URL: <https://0371.zzuers.club/storage/material/20240805/66b0a2b0ad274.pdf> (дата обращения 26.10.2025)
6. Компания Haier: официальный сайт. – URL: <https://www.haier.com/rdhy/> (дата обращения 26.10.2025)
7. Лю И., Лю С. Пример развития международной компании ByteDance / Чжан С., Ван Ф., Ян Д. // Отчёт о развитии зарубежных предприятий Китая 2022. – Пекин, 2022. – С. 4–11

© Чжан С., 2025

ОЦЕНКА СБАЛАНСИРОВАННОСТИ ХАРАКТЕРИСТИК ДВИГАТЕЛЕЙ БЕСПИЛОТНЫХ ВОЗДУШНЫХ СУДОВ КОПТЕРНОГО ТИПА

Аннотация: рассмотрена задача оценки сбалансированности характеристик двигателей беспилотных воздушных судов (БВС) коптерного типа. Разработан подход на основе анализа законов распределения и квантильных зависимостей. Предложена метрика – площадь между кривой эмпирических данных и прямой идентичных характеристик. Результаты испытаний показали их различия.

Ключевые слова: беспилотное воздушное судно; двигатель; сбалансированность; закон распределения непрерывных случайных величин; площадь концентрации.

Введение

БВС коптерного типа находят широкое применение в гражданской и военной сферах, включая мониторинг, аэрофотосъемку и доставку грузов [5]-[7]. Критически важным ресурсом для БВС является заряд аккумулятора. В связи с этим особо актуальна задача по сокращению энергозатрат на выполнения вспомогательных функций, к которым относится подбор индивидуальных управляющих воздействий для каждого двигателя. Установка на одну раму двигателей с различными характеристиками требует от полетного контроллера постоянной корректировки управляющих сигналов для компенсации этого разброса. Это приводит к повышению расхода вычислительных ресурсов и, как следствие, к более быстрому разряду аккумулятора, что снижает общую энергоэффективность и время полета системы.

Особенностью современного производства БВС является множественность поставщиков комплектующих, что приводит к вариативности характеристик даже однотипных двигателей.

Установка на одну раму двигателей с различными характеристиками требует от полетного контроллера постоянной корректировки управляющих сигналов для компенсации этого разброса, что расходует вычислительные и энергетические ресурсы и снижает общую эффективность системы.

Архитектура системы управления БВС коптерного типа представлена на рисунке 1.

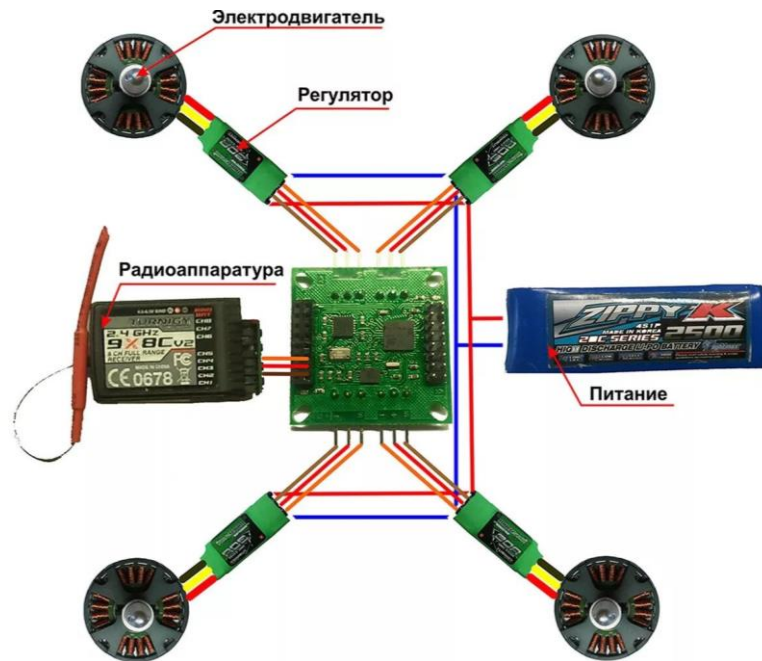


Рис. 1. Общее устройство БВС коптерного типа

Управление двигателями БВС осуществляется по следующему принципу: данные с датчиков поступают в полетный контроллер, который вычисляет необходимую мощность и формирует управляющие сигналы для каждого для каждого ESC, которые передаются на регуляторы оборотов, которые, в свою очередь, подают электрическую мощность на двигатели от аккумулятора [1-3] (рисунок 2).

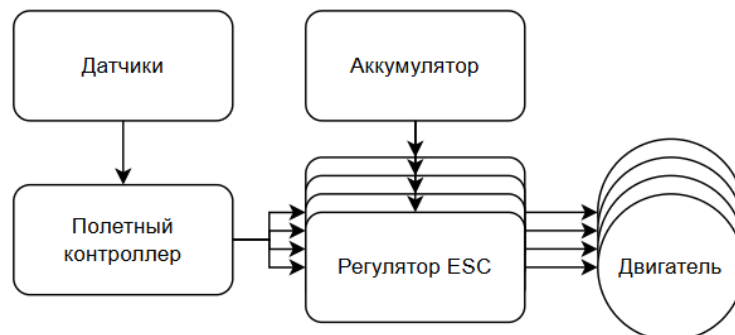


Рис. 2. Функциональная архитектура БВС коптерного типа

Методическая основа оценивания рассогласования характеристик двигателей

Для оценки степени рассогласования характеристик двигателей на этапе входного контроля и стендовых испытаний необходим формализованный метод, позволяющий получать количественную меру их схожести.

Статистический анализ значений управляющих сигналов, подаваемых на каждый двигатель в одном и том же режиме полета, позволяет оценить степень их рассогласования.

Использование математико-статистических методов обусловлено однородностью данных, получаемых на одном изделии в фиксированном режиме испытаний, а также наличием большого числа методов и методик обработки измерительных данных.

Метод оценки сбалансированности характеристик

В основе предлагаемого метода лежит идея сравнения законов распределения нормированных командных сигналов, подаваемых на разные двигатели.

Пусть x и y – нормированные значения сигналов для двух сравниваемых двигателей. По выборкам экспериментальных данных для каждого двигателя, строится оценка интегральной функции распределения [4] (рисунок 3). В качестве модели закона распределения выбрана гамма-функция, поскольку:

а. Диапазон значений случайной величины $X \in [0, \infty)$, что согласуется с физическим содержанием измеряемых параметров.

б. Задавая разные значения параметров и формы, посредством унифицированной математической модели можно описать широкий класс законов распределения непрерывных случайных величин.

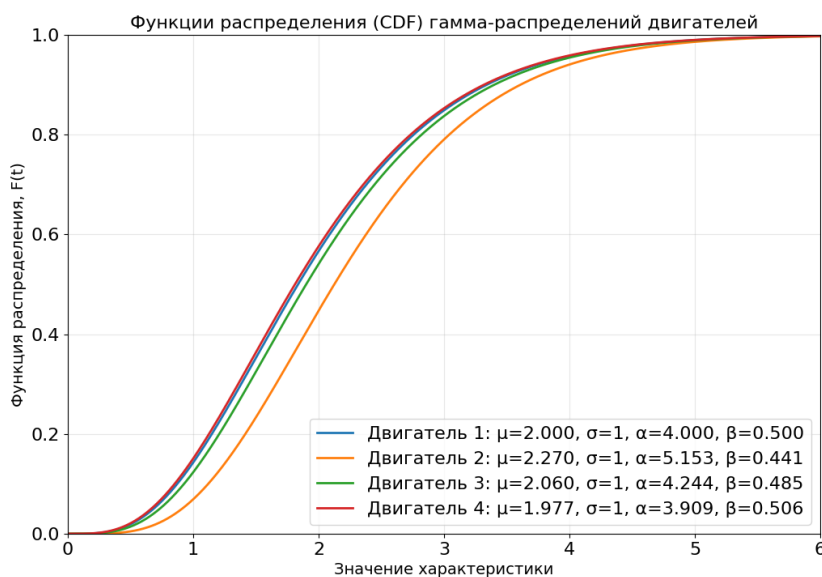


Рис. 3. Гамма-распределения для двигателей,

где μ – математическое ожидание выборки, σ – среднее квадратическое отклонение выборки, α – параметр формы гамма-распределения, β – параметр масштаба гамма-распределения

В основе метода лежит известный подход, основанный на определении функции распределения функции случайного аргумента, описанный в работах В.С. Пугачева. Из известного соотношения

$$F_2(y) = \int_{\phi(x) < y} f_1(x) dx$$

Задаваясь различными возрастающими значениями $\lambda_p \in [0; 1]$ при известных $F_1(x), F_2(y)$, из соотношения

$$F_1(x_p) = F_2(y_p) = \lambda_p, p = 1, 2, \dots$$

можно сформировать множество пар чисел $\{x_p, y_p\}$, что позволяет в дальнейшем построить график зависимости $y=f(x)$. Подробное описание метода приведено в [5].

Пары (x_p, y_p) образуют зависимость $y = \varphi(x)$, которая в случае идентичных характеристик двигателей будет близка к прямой $y = x$ (рисунок 4). Для количественной оценки отклонения от идеальной зависимости используется метрика, аналогичная коэффициенту Джини в экономике – площадь концентрации S_{ij} [6-7].

Площадь вычисляется как интеграл от модуля разности между эмпирической кривой $y = \varphi(x)$ и прямой $y = x$ в нормированных координатах:

$$S_{ij} = \int_0^1 |\varphi(x) - x| dx,$$

где i и j – это идентификаторы двигателей коптера.

Чем меньше значение S_{ij} , тем более схожи характеристики двигателей i и j .

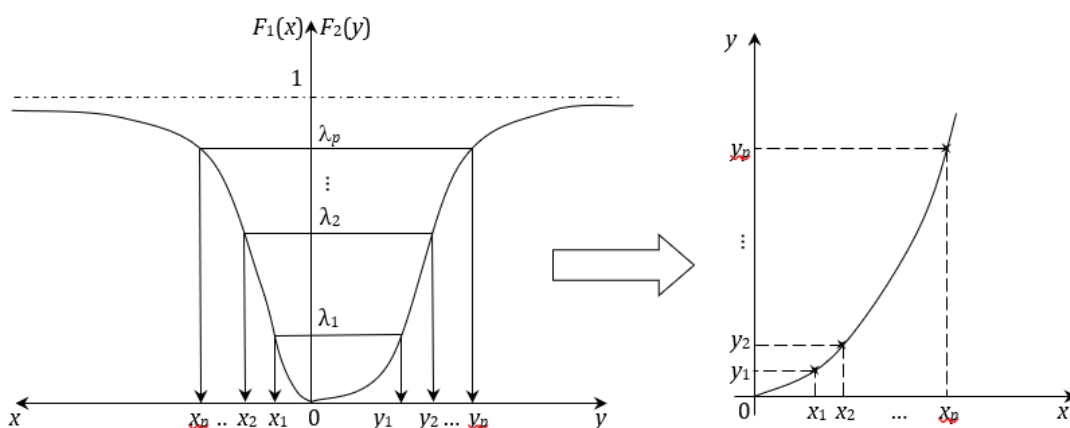


Рис. 4. Графическая иллюстрация метода непараметрического оценивания функциональных зависимостей на основе законов распределения зависимого и независимого параметров

Пример обработки результатов испытаний

Для проверки метода были взяты данные (временные ряды) испытаний четырех двигателей в фиксированном режиме. На основе временных рядов были вычислены выборочные значения математического ожидания M и среднеквадратичного отклонения σ :

- Двигатель 1: $M = 2,000, \sigma = 1$;
- Двигатель 2: $M = 2,270, \sigma = 1$;
- Двигатель 3: $M = 2,060, \sigma = 1$;
- Двигатель 4: $M = 1,977, \sigma = 1$.

Для каждой пары i – го и j – го двигателей были построены нормированные квантильные зависимости и рассчитаны площади S_{ij} . На рисунке 5 в качестве примера приведены результаты обработки измерительных данных описанным выше способом.

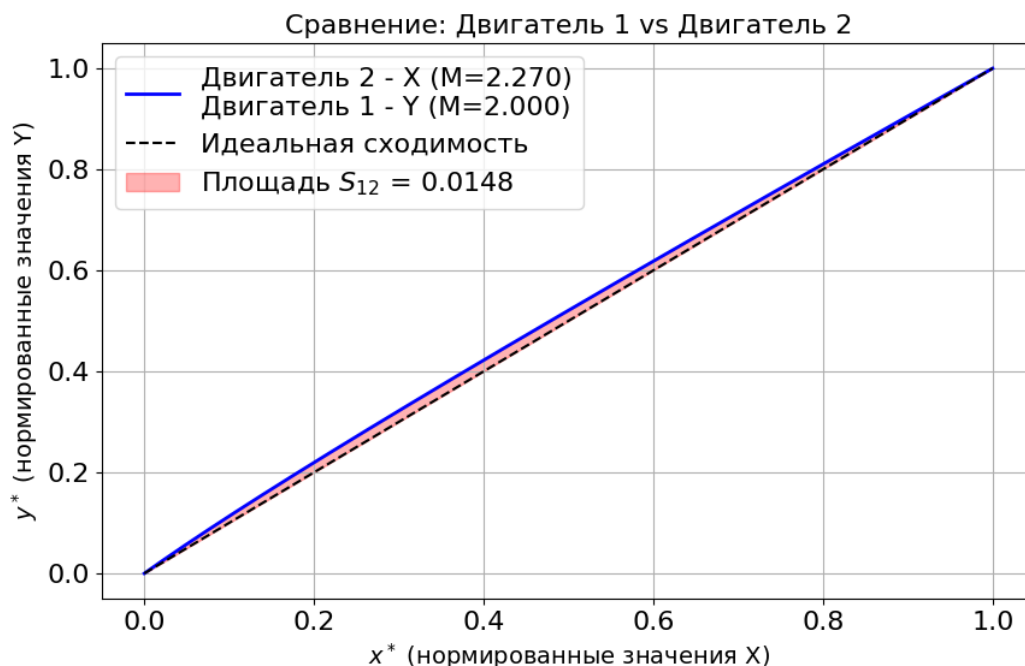


Рис. 5. Сравнение характеристик двигателей

Анализ матрицы (таблица 1) показывает, что наименьшее расхождение наблюдается между двигателями 1 и 4 ($S_{14} = 0,0014$), а наибольшее – между двигателями 2 и 4 ($S_{24} = 0,0163$). Это позволяет количественно обосновать выбор наиболее сбалансированной пары или набора двигателей для установки на одну раму.

Таблица 21

Матрица площадей концентраций S_{ij}

| Двигатель | 1 | 2 | 3 | 4 |
|-----------|--------|--------|--------|--------|
| 1 | | 0.0148 | 0.0036 | 0.0014 |
| 2 | 0.0148 | | 0.0112 | 0.0163 |
| 3 | 0.0036 | 0.0112 | | 0.0051 |
| 4 | 0.0014 | 0.0163 | 0.0051 | |

Программная реализация процедур обработки результатов испытаний

Для автоматизации расчетов разработан Python-скрипт на базе numpy, scipy и matplotlib. Программа преобразует параметры двигателей (M , σ) в параметры гамма-распределения, строит квантильные зависимости для каждой пары двигателей и вычисляет площадь S_{ij} через численное интегрирование. Скрипт автоматически генерирует попарные графики с визуализацией расхождений и формирует матрицу площадей.

Заключение

Предложенный метод оценки сбалансированности характеристик двигателей беспилотных воздушных судов коптерного типа на основе построения законов распределения непрерывных случайных величин и расчета площади концентрации предоставляет формализованный и наглядный инструмент для количественной оценки рассогласования двигателей, что позволяет проводить их предварительный отбор для установки на раму. Реализация метода в виде программного обеспечения позволяет интегрировать его в системы автоматизированного стендового контроля, что способствует снижению энергозатрат на компенсацию разброса характеристик и повышению надежности беспилотных воздушных судов.

Библиографический список

1. Хастингс Н., Пикок Дж. Справочник по статистическим распределениям / Пер. с англ. А.К. Звонкина. - М.: Статистика, 1980. – 95 с.
2. Гузаиров М. Б., Гвоздев В. Е., Ильясов Б. Г., Колоденкова А. Е. / Статистическое исследование территориальных систем: монография – М.: Машиностроение, 2008. – 187 с
3. Кюн Ю. Описательная и индуктивная статистика: Пособие-памятка / Пер. с нем. В.С. Дуженко. – М.: Финансы и статистика, 1981. – 126 с.
4. Палий И.А. Прикладная статистика: Учеб. пособие для вузов. – М.: Высш. шк., 2004. – 176 с.
5. Кондратьев А.Е. Общая характеристика сетевых архитектур, применяемых при реализации перспективных сетевых концепций ведущих зарубежных стран // Военная Мысль. 2008. № 3. – 12 с.
6. Макаренко С.И., Иванов М.С. Сетевая война – принципы, технологии, примеры и перспективы. Монография. – СПб.: Научно-технологические технологии, 2018. – 898 с.
7. Сурма И.В., Анненков В.И., Карпов В.В., Моисеев А.В. Сетевое управление: современная парадигма развития систем управления в вооруженных силах ведущих держав мира // Национальная безопасность – 2014. – № 2(31). – 11 с.

СЕКЦИЯ 5.8 МОДЕЛИРОВАНИЕ И ИССЛЕДОВАНИЕ ОПЕРАЦИЙ В ОРГАНИЗАЦИОННО-ТЕХНИЧЕСКИХ СИСТЕМАХ

УДК 004

Г.Р. АЛЬМУХАМЕТОВА

gulkai100603@gmail.com

Науч. руковод. – канд. техн. наук, доц. В.С. САУБАНОВ

Уфимский университет науки и технологий

ОТСЛЕЖИВАНИЕ СОСТОЯНИЯ ПРОЕКТА НА ПРИМЕРЕ ВЫПОЛНЕНИЯ ПРОЕКТНО-ИЗЫСКАТЕЛЬНЫХ РАБОТ ОБЪЕКТОВ КАПИТАЛЬНОГО СТРОИТЕЛЬСТВА (ОКС)

Аннотация: текст аннотации, статья посвящена решению проблемы управления проектно-изыскательными работами для объектов капитального строительства. Рассматривается подход, сочетающий методологию Kanban с технологиями искусственного интеллекта.

Ключевые слова: Kanban, сопровождение проекта, проектно-изыскательные работы, объекты капитального строительства, искусственный интеллект, отслеживание состояния проекта, управление проектами, прогнозирование.

Проектно-изыскательские работы (ПИР) – это комплекс мероприятий, направленных на изучение и анализ условий и особенностей планируемого строительства или реконструкции объекта. Проектно-изыскательский этап является фундаментом всего проекта объектов капитального строительства, объединяя инженерные изыскания, разработку проектной документации и ее прохождение экспертизы.

Актуальность использования систем отслеживания состояния проекта в ПИР обусловлена следующими факторами:

1. Высокая зависимость от внешних, часто неподконтрольных исполнителю факторов: погодных условий, сроков согласований в государственных органах, получения технических условий;

2. Итеративность процесса: результаты изысканий могут потребовать немедленной корректировки проектных решений, создавая множество изменений;

3. Работа с большими объемами разнородных данных;

4. Необходимость координировать работу разных команд, часто задействованных на нескольких объектах одновременно, делает управление ресурсами крайне сложной задачей.

Канбан — это система управления работами, визуализирующая весь процесс от постановки задачи до ее завершения. Ее центральным элементом является доска с колонками, которые отражают этапы потока работ. Каждая задача представлена в виде карточки, перемещающейся по этим колонкам. Такой подход обеспечивает предельную прозрачность процесса для всей команды, позволяет наглядно отслеживать прогресс и своевременно выявлять возникающие помехи или «узкие места».

Важным принципом Канбан является ограничение количества задач, одновременно находящихся в работе на каждом этапе. Это предотвращает перегрузку команды, фокусирует усилия на завершении начатого и способствует плавному и непрерывному потоку создания ценности для проекта. В контексте ПИР доска может быть адаптирована под специфические процессы.

Такой подход решает проблему визуализации, делая поток работ прозрачным для всех участников. Ограничение количества задач в каждой колонке (WIP Limit) предотвращает перегрузку команд и выявляет «узкие места». Однако классический Kanban обладает существенным ограничением. Его функционал в основном сосредоточен на констатации фактов — он показывает, какая задача на каком этапе находится. При этом система не анализирует глубинные причины возникновения задержек или узких мест и не способна самостоятельно прогнозировать развитие ситуации. Для перехода от простого наблюдения к проактивному управлению и предвидению потенциальных рисков требуется более глубокая, интеллектуальная аналитика данных, генерируемых в процессе работы. Преодолеть это ограничение и привнести в Kanban прогностическую мощь позволяет интеграция технологий искусственного интеллекта.

Интеграция технологий ИИ превращает статичную Kanban-доску в динамичную, самообучающуюся систему управления. ИИ выступает в роли аналитического ядра, которое перерабатывает сырые данные в смысловые рекомендации и прогнозы.

Одной из ключевых точек приложения ИИ является интеллектуальный анализ данных. Система, обрабатывая информацию по завершенным проектам, обучается прогнозировать сроки выполнения задач. Это позволяет менеджеру проекта закладывать в план не субъективные оценки, а объективные, данные-ориентированные временные рамки, значительно повышая точность планирования.

Значительный потенциал искусственного интеллекта раскрывается в области предиктивной аналитики для управления рисками. Интеллектуальная система осуществляет непрерывный мониторинг метаданных рабочих карточек, отслеживая ключевые параметры процесса, включая длительность выполнения операций, статистику возвратов на доработку и соблюдение установленных лимитов незавершенного производства. При идентификации отклонений от нормативных показателей система инициирует проактивное оповещение ответственных лиц, что позволяет осуществлять своевременное вмешательство

и минимизировать влияние возникающих осложнений на общие сроки реализации проекта.

Следующим критически важным направлением интеграции искусственного интеллекта является оптимизация распределения человеческих ресурсов. Алгоритмы анализируют комплекс параметров рабочей деятельности, включая текущую загрузку специалистов, их профессиональную компетенцию и исторические данные о производительности. На основе полученных аналитических данных система формирует обоснованные рекомендации по назначению исполнителей для вновь поступающих задач, что способствует рациональному использованию кадрового потенциала и поддержанию сбалансированной рабочей нагрузки в коллективе.

Также технологии искусственного интеллекта открывают возможности для автоматизации рутинных административных операций. Посредством применения методов обработки естественного языка система получает способность анализировать текстовое содержание рабочих комментариев и служебной переписки, автоматизируя процедуру обновления статусов задач. Дополнительным преимуществом является способность интеллектуальной системы к автоматизированной генерации комплексных отчетных документов о состоянии проекта, что позволяет существенно сократить трудозатраты, связанные с административным сопровождением и документооборотом.

Внедрение интеллектуальной Канбан-системы предполагает значительный экономический эффект. Основными драйверами роста эффективности станут сокращение сроков проекта за счет оптимизации потоков и проактивного управления рисками, снижение количества срывов дедлайнов, а также высвобождение времени руководителей от рутинного контроля для решения стратегических задач. Повышение прозрачности процесса для заказчика усилит доверие и укрепит партнерские отношения.

Практическое внедрение такой системы рекомендуется начинать с пробного проекта. На первом этапе разворачивается и настраивается базовая Канбан-доска, отражающая текущие процессы. По мере накопления исторических данных производится постепенная интеграция и обучение ИИ-модулей. Такой итеративный подход позволяет минимизировать риски и адаптировать систему под специфику конкретной организации.

Заключение

Таким образом, сочетание наглядности и гибкости методологии Канбан с аналитической мощью искусственного интеллекта создает качественно новый инструмент для отслеживания состояния проекта. В контексте сложных и неопределенных проектно-изыскательских работ для ОКС такое внедрение позволяет перейти от простого наблюдения к глубокому пониманию и прогнозированию развития событий. Интеллектуальная система не только отображает текущее состояние, но и предупреждает о будущих рисках, рекомендует оптимальные решения и автоматизирует рутину.

Библиографический список

1. Градостроительный кодекс Российской Федерации» от 29.12.2004 N 190-ФЗ (ред. от 27.12.2019) Статья 1. (в ред. Федерального закона от 03.08.2018 N 342-ФЗ).
2. Kanban метод // Хабр URL: <https://habr.com/ru/companies/otus/articles/814409/> (дата обращения: 10.11.2025).
3. М.С. Захаров Строительно инвестиционная деятельность и проектно изыскательские работы: идеалы и реальность // Научно-технический и производственный журнал. - 2020. - №10. - С. 18-20.
4. Малышев В.Н. Система контроля качества разработки проектно-сметной документации на основе методов проектного управления // Экономический вестник Восточно-Сибирского государственного университета технологий и управления.. - 2021. - №1. - С. 52-68.
5. Симченко О.Л., Чазов Е.Л., Сунцов А.С., Губкина А.Д. Мониторинг системы типового проектирования компании // Вестник Челябинского государственного университета.. - 2021. - №6. - С. 127-133.
6. Дзюбин В.А. Методология управления проектами по системе "Канбан" // Аллея науки. - 2019. - №12. - С. 44-47.

© Альмухаметова Г.Р., 2025

Р.Ф. АМИНЕВА

aminevari2004@mail.ru

Науч. руковод. – канд. техн. наук, доцент. Г.Ф. НИЗАМОВА

Уфимский университет науки и технологий

МОДЕЛИ И АЛГОРИТМЫ СИСТЕМЫ НЕЙТРАЛИЗАЦИИ БПЛА ДЛЯ ЗАЩИТЫ ПЛОЩАДОЧНЫХ ОБЪЕКТОВ ПАО «ТРАНСНЕФТЬ»

Аннотация: в статье рассматривается разработка системы нейтрализации беспилотных летательных аппаратов (БПЛА) для защиты критически важных объектов нефтетранспортной инфраструктуры. Разработана трехкамерная система компьютерного зрения, обеспечивающая определение 3D-координат БПЛА. Предложены алгоритмы калибровки камер, детекции объектов и триангуляции координат, а также метод прогнозирования траектории движения на основе линейной экстраполяции.

Ключевые слова: БПЛА, триангуляция, компьютерное зрение, калибровка, обнаружение объектов.

Беспилотные летательные аппараты (БПЛА), получившие широкое распространение в последнее десятилетие, создают угрозу для безопасности критически важных объектов инфраструктуры. Особую актуальность эта проблема приобретает для таких компаний, как ПАО «Транснефть» — крупнейшей в мире нефтепроводной компании, располагающей разветвленной сетью магистральных трубопроводов, включающей более 500 перекачивающих станций. В условиях текущих внешнеполитических угроз обеспечение физической защиты объектов компании от потенциальных атак с применением БПЛА становится особенно актуальной и критически важной задачей безопасности.

Целью данной работы является — разработка системы нейтрализации БПЛА для защиты площадочных объектов ПАО «Транснефть». Для достижения этой цели необходимо решить следующие задачи:

- разработать алгоритмы калибровки камер для обеспечения точного соответствия изображений реальным измерениям, чтобы объекты на изображении отображались в правильном положении, размере и пропорции;
- разработать алгоритм для автоматического обнаружения и идентификации БПЛА;
- разработать алгоритм триангуляции 3D-координат с учетом взаимного расположения камер;
- разработать алгоритм прогнозирования траектории движения БПЛА;
- разработать программное обеспечение для системы обнаружения и нейтрализации БПЛА.

Функциональная модель разрабатываемой системы представлена на Рис. 18, Рис. 19.

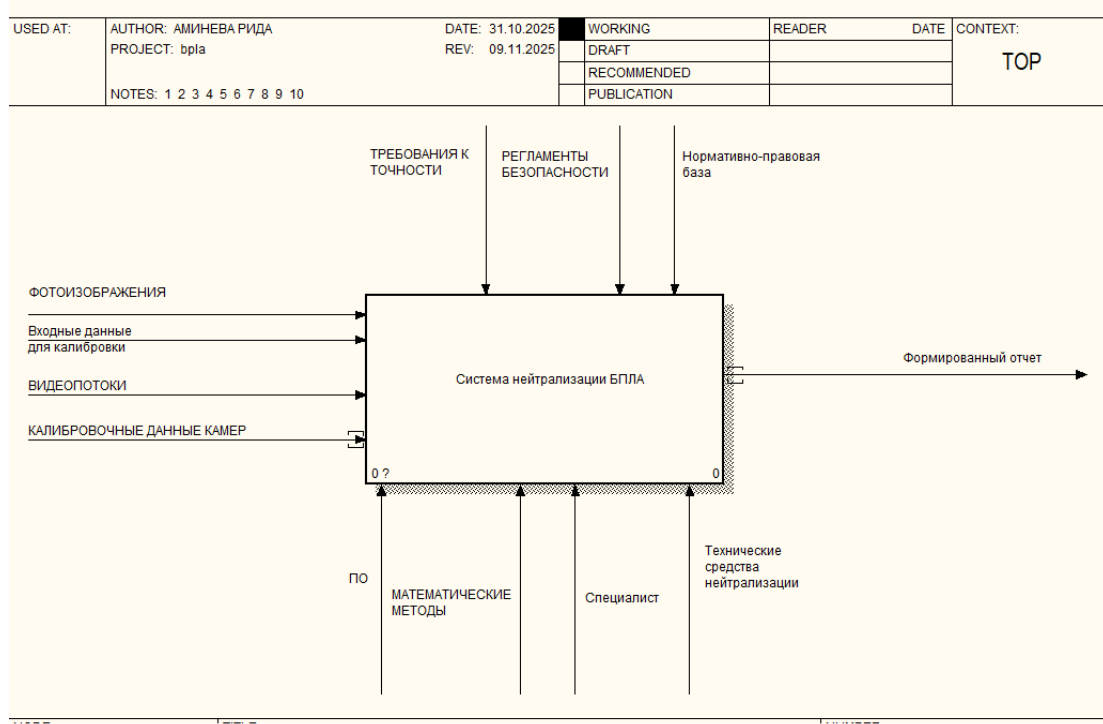


Рис. 18. Контекстная диаграмма функциональной модели системы

На Рис. 19 показана декомпозиция контекстной диаграммы, включающая следующие блоки.

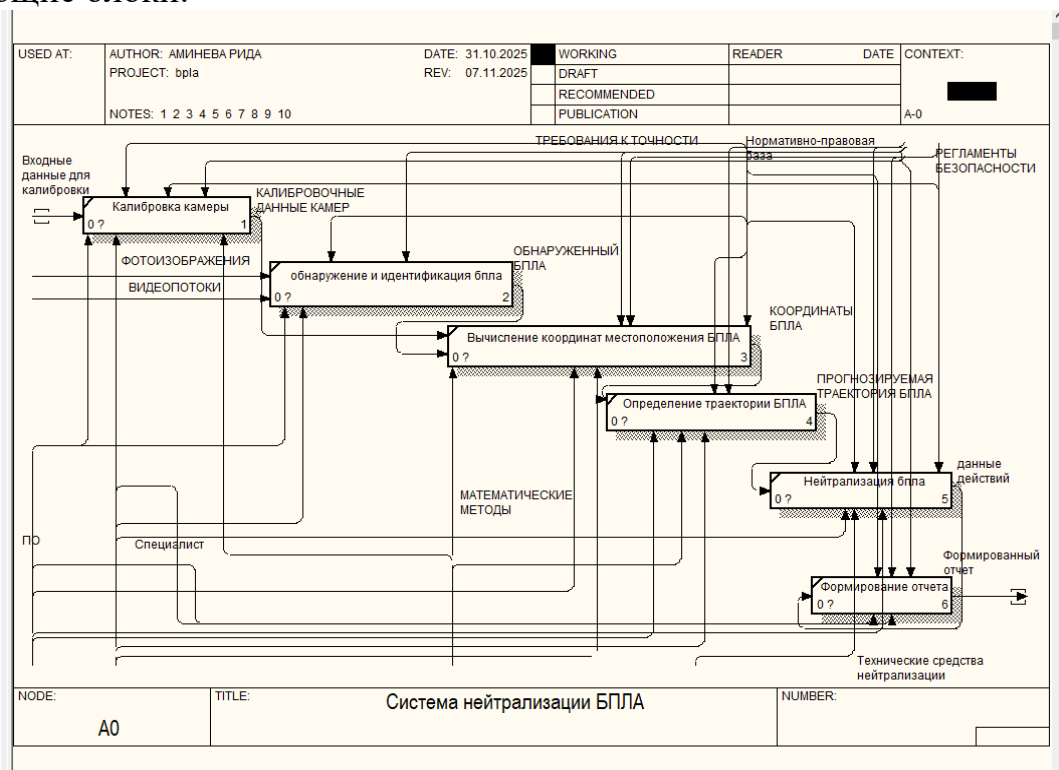


Рис. 19. Диаграмма второго уровня функциональной модели

Для решения поставленных задач разработан программный комплекс на языке Python, состоящий из нескольких подсистем (модулей):

- Модуль калибровки камер;
- Модуль обнаружения БПЛА;
- Модуль вычисления координат и определения траектории;
- Модуль нейтрализации;

Модуль калибровки камер. Для получения точных параметров камеры, необходимых для задач компьютерного зрения, был реализован алгоритм калибровки на основе метода Жанга. В качестве калибровочного паттерна использовалась шахматная доска с известным количеством внутренних углов (9×6) и точными геометрическими размерами клеток (2.5 см). В результате работы алгоритма определяются внутренние параметры камеры (фокусное расстояние, координаты оптического центра) и коэффициенты дисторсии объектива. Определение углов программой показано на *Рис. 20*.

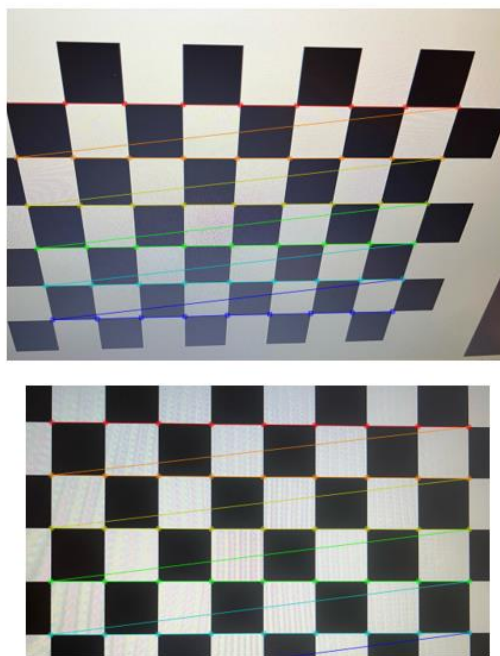


Рис. 20. Определение углов шахматной доски

Модуль обнаружения БПЛА. В его основе лежит современная нейросетевая архитектура YOLOv8, обеспечивающая высокоскоростную однопроходную детекцию объектов в режиме реального времени. Для постобработки результатов и исключения дублирующих срабатываний используется встроенный алгоритм Non-Maximum Suppression (NMS). Обработка визуальных данных, включая захват кадров с видеопотока, чтение и сохранение медиафайлов, а также визуализация ограничивающих рамок, осуществляется с применением библиотеки OpenCV (Computer Vision).

Модуль поддерживает три режима работы: анализ статических изображений, обработка видеозаписей и детекция в реальном времени с использованием веб-камеры, что демонстрирует гибкость подхода при работе с

различными типами входных данных. Интерфейс и результат работы программы представлены на *Рис. 21*.

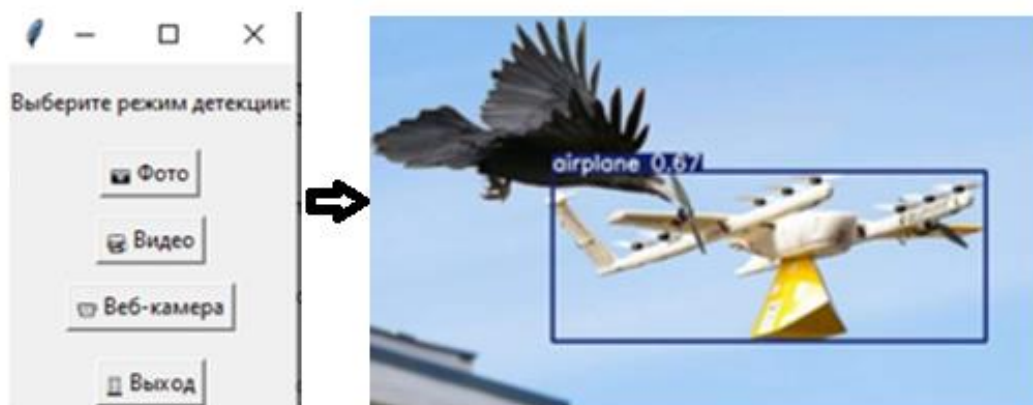


Рис. 21. Обнаружение БПЛА

Для определения пространственного положения объекта был разработан модуль, реализующий методы компьютерного зрения и 3D-реконструкции. Основой для вычисления координат послужил алгоритм триангуляции, модифицированный для учета поворота камер. Финальное определение 3D-координат выполняется путем решения системы уравнений методом наименьших квадратов, что обеспечивает устойчивость решения к погрешностям измерений. Для верификации алгоритма триангуляции проведены испытания на тестовом объекте - кубе Рубика. Выбор тестового объекта обусловлен четкой геометрией, контрастными гранями. Работа модуля и процесс обнаружение объекта представлены на *Рис. 22*.

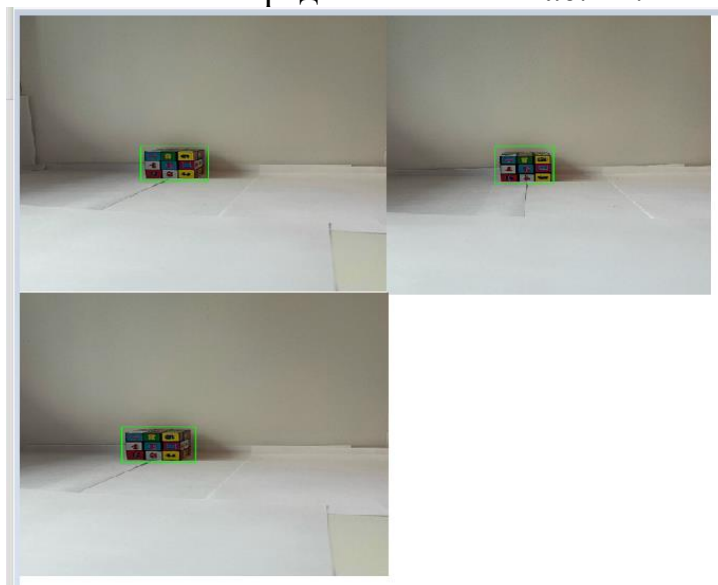


Рис. 22. Обнаружение кубика

Далее программа на основе трех фотографий выполняет вычисление координат. Результат представлен на *Рис. 23*.

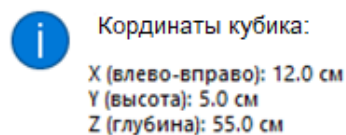


Рис. 23. Вычисление координат кубика

Для прогнозирования траектории БПЛА используется метод линейной экстраполяции на основе оценки вектора скорости движения.

Модуль нейтрализации БПЛА. В качестве средства нейтрализации БПЛА применяется лазер, обеспечивающий мгновенное поражение цели, высокую точность воздействия и возможность многократного применения.

В представленной работе предложена комплексная система защиты объектов нефтетранспортной инфраструктуры от БПЛА, основанная на трехкамерном компьютерном зрении и лазерной нейтрализации. Разработанные алгоритмы позволяют осуществлять обнаружение, вычисление координат, прогнозирование траектории, поражение целей без риска для охраняемых объектов.

Дальнейшее развитие системы предполагает повышение точности позиционирования, оптимизацию алгоритмов обработки данных и расширение функциональных возможностей.

Библиографический список

1. ПАО Траснефть. URL: <https://www.transneft.ru/about/> (дата обращения: 10.10.2025).
2. Н. П. Красненко, А. Я. Богушевич, С.А. Кураков, А.С. Раков, И. А. Рыбаков. Обнаружение беспилотных летательных аппаратов: существующие решения и возможности // Всероссийские открытые Армандовские чтения: Современные проблемы дистанционного зондирования, радиолокации, распространения и дифракции волн, Муром 2024. – URL: <https://cyberleninka.ru/article/n/obnaruzhenie-bespilotnyh-letatelnyh-apparatov-suschestvuyuschie-resheniya-i-vozmozhnosti/viewer> (дата обращения: 20.06.2025).

© Аминев Р.Ф., 2025

А.Ю. БИРЮКОВ

alex.biryuck.2004@mail.ru

Науч. руковод. – канд. физ.-мат. наук, доц. Л.И. ШЕХТМАН

Уфимский университет науки и технологий

МНОГОКРИТЕРИАЛЬНЫЙ ВЫБОР СРЕДСТВ ДЛЯ ОБУЧЕНИЯ ПРОГРАММИРОВАНИЮ: МЕТОДОЛОГИЯ И РЕАЛИЗАЦИЯ

Аннотация: в данной статье рассматривается проблема выбора в информационном пространстве ресурсов для обучения программированию. Также описывается разработанное веб-приложение для реализации многокритериального выбора вышеуказанных ресурсов, которое основано на комплексном анализе параметров целевой аудитории, целей обучения, уровня геймификации и других значимых критериев.

Ключевые слова: программирование, обучающий ресурс, геймификация, многокритериальный выбор, образовательная платформа, прототип, веб-приложение.

Введение

В современном обществе важность владения каким-то языком программирования или сразу несколькими значительно растёт с каждым годом, эти знания востребованы не только в индустрии информационных технологий, но и в сферах инжиниринга, маркетинга и науки. Но подавляющее большинство людей на начальном этапе изучения программирования сталкиваются с одной и той же проблемой: в области образовательных ресурсов представлены сотни самых различных платформ, курсов, игр и инструментов, каждый из которых по описанию максимально быстро гарантирует успех в обучении. В качестве отдельной подзадачи можно выделить выбор типа обучающего ресурса: онлайн-платформы для обучения программированию активно используются, как начинающими, так и опытными разработчиками для повышения квалификации [1], обучающие ресурсы высших учебных заведений не всегда понятны начинающим пользователям и не всегда могут быть интересны в целом, компьютерные игры позволяют получать знания в более визуально приятном виде, но не всегда эти знания могут быть достаточно глубокими. Важными факторами также являются стоимость обучения, начальный уровень знаний и тот язык программирования, который рассматривается для изучения. Таким образом возникает проблема многокритериального выбора.

Наличие множества интернет-сервисов для решения одной и той же задачи вызывает необходимость проведения специального анализа с целью обоснованного выбора (например, [2]). Основным содержанием исследования,

результаты которого представлены в данной статье, являются обзор и сравнительный анализ популярных ресурсов по обучению программированию и разработка web-приложения информационной поддержки многокритериального выбора обучающего ресурса.

Альтернативы и критерии

Были выбраны следующие критерии для оценивания обучающих ресурсов.

Критерий 1. Целевая аудитория:

- Дети (7-12 лет) – визуальные среды, игровые формы;
- Подростки (13-17 лет) – переход к текстовому программированию;
- Студенты (18-22 года) – системное академическое обучение;
- Взрослые (с нуля) – практико-ориентированные интенсивные курсы;
- Профессионалы – специализированные курсы повышения квалификации;

Критерий 2: Цели обучения

- Изучение синтаксиса – освоение основ языка программирования;
- Трудоустройство – подготовка к работе в IT-индустрии;
- Создание проекта – разработка конкретного приложения или системы;
- Хобби и ознакомление – начальное знакомство с программированием;
- Алгоритмы и структуры данных – углубленное изучение computer science;

Критерий 3: Уровень геймификации

- Без геймификации – традиционные образовательные форматы;
- Легкая геймификация – системы баллов и прогресса;
- Глубокая геймификация – рейтинговые системы, соревновательные элементы;
- Обучающая игра – игровой процесс как основной образовательный контент;

Критерий 4: Глубина учебного материала

- Базовый уровень – основы программирования, синтаксис;
- Средняя глубина – углубленное изучение, фреймворки;
- Продвинутый уровень – экспертные знания, архитектура;

Критерий 5: Стоимость

- Бесплатно – полностью бесплатный доступ;
- Частично бесплатно – freemium модель;
- По подписке – регулярная оплата доступа;
- Платная – единовременная оплата;

Критерий 6: Языки программирования, которые можно изучить

- Python – универсальный язык для начинающих и data science;
- JavaScript – web-разработка, фронтенд и бэкенд;
- Java – enterprise-разработка, мобильные приложения;
- C# – разработка под платформу Microsoft, игровой движок Unity;

- C++ – системное программирование, высокопроизводительные приложения;
- PHP – веб-разработка, серверное программирование;
- Swift – разработка под экосистему Apple;
- Kotlin – мобильная разработка под Android;
- Go – системное программирование, микросервисы;
- Rust – системное программирование с акцентом на безопасность;
- Несколько языков – мультязычные платформы;
- Не важно – ресурсы без привязки к конкретному языку.

В процессе разработки web-приложения в базу данных были добавлены данные о двадцати двух популярных образовательных ресурсах, в табл. 1 для примера приведён сравнительный анализ нескольких из них.

Таблица 22

Сравнительный анализ обучающих ресурсов по программированию

| Ресурс | CodeCombat | freeCodeCamp | JetBrains Academy | LeetCode | Scratch |
|-------------------|---------------------------|-----------------------|----------------------|------------------------|----------------|
| Категория | Обучающая игра | Интерактив. платформа | Проф. среда | Платформа для практики | Обуч. игра |
| Аудитория | Дети, подростки, взрослые | Студенты, взрослые | Проф. разраб. | Студенты, взрослые | Дети |
| Уровень геймифик. | Игра | Лёгкая | Лёгкая | Глубокая | Игра |
| Поддерж. языки | Python, Java | Python, Java | Python, Java, Kotlin | 6+ языков | Визуал. прогр. |
| Стоимость | Частично бесплатно | Бесплатно | По подписке | Частично бесплатно | Бесплатно |

Разработанное web-приложение

Созданное web-приложение имеет клиент-серверную архитектуру [3]. Основными компонентами приложения являются модуль классификации (каждый образовательный ресурс описывается вектором характеристик), модуль фильтрации (основан на поиске пересечения множеств) и интерфейс пользователя, который включает в себя меню выбора для каждого критерия, динамическое обновление результатов при изменении критериев и визуализация в формате карточек ресурсов с ключевой информацией (рис. 1).

Было проведено комплексное тестирование приложения на различных сценариях использования, рассмотрим несколько характерных примеров.

Сценарий 1. Подбор ресурса для общего развития для ребёнка 10 лет.

Задаваемое множество критериев: {аудитория: дети, цели обучения: хобби, уровень геймификации: игра}.

Результат: CodeCombat, Scratch, Human Resource Machine.

Сценарий 2. Курс подготовки web-разработчика перед трудоустройством.

Задаваемое множество критериев: {аудитория: взрослые, цели обучения: трудоустройство, глубина материала: продвинутый, языки программирования: JavaScript}.

Результат: freeCodeCamp, LeetCode, Hexlet.

Сценарий 3. Изучение C# для разработки игр.

Задаваемое множество критериев: {цели обучения: создание проекта, глубина материала: средняя, языки программирования: C#}.

Результат: Microsoft Learn, Unity Learn, Codecademy, Udemy.

Анализ работы web-приложения: ресурсы корректно подбираются с индивидуальной ориентацией по выбранным критериям.

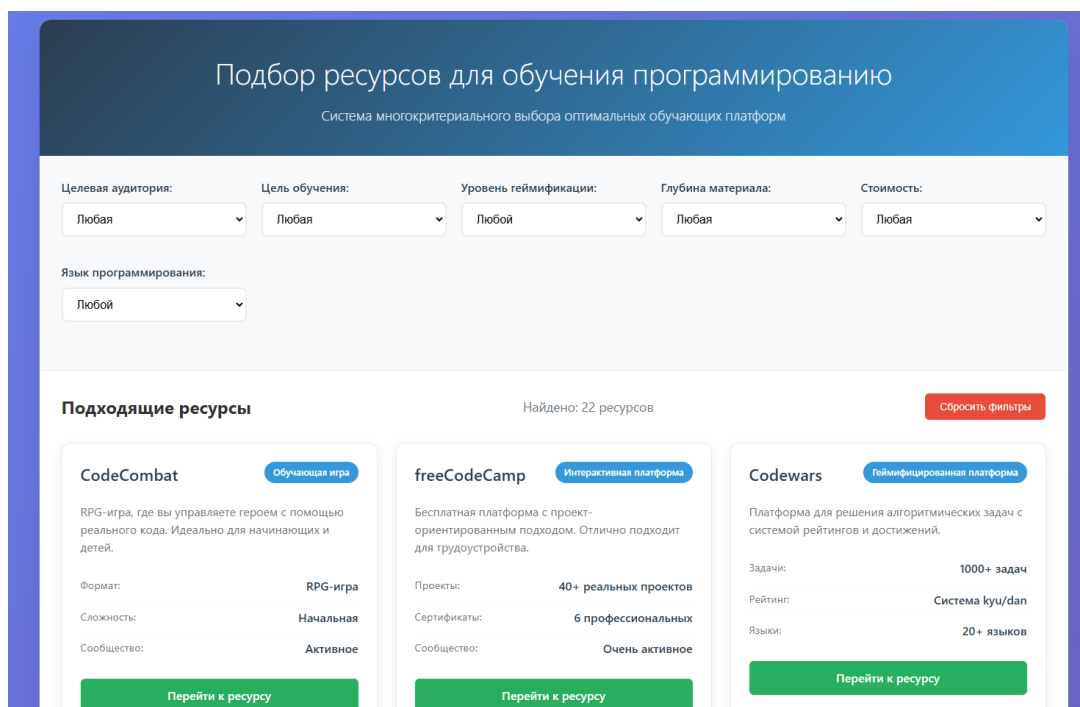


Рис. 1. Экранная форма web-приложения

Один из тестовых примеров заключался в подборе бесплатного образовательного ресурса для студента с целью обучения программированию на языке Python со средней глубиной материала (рис. 2).

Заключение

Была собрана информация о доступных интернет-ресурсах по обучению программированию. Сформирован список критериев для оценивания

обучающих ресурсов. Ресурсы изучались, выполнялся сравнительный анализ по группе критериев. Разработано web-приложение для информационной поддержки многокритериального выбора обучающего ресурса. С его помощью можно быстрее и легче найти ресурс, подходящий конкретному пользователю.

Само приложение можно рассматривать как прототип будущей системы многокритериального ранжирования обучающих ресурсов. Планируется развивать проект и дополнять новыми функциями.

Одним из направлений дальнейшего развития проекта является добавление функции определения сравнительной важности критериев и выполнения многокритериального ранжирования альтернатив с учетом коэффициентов важности критериев.

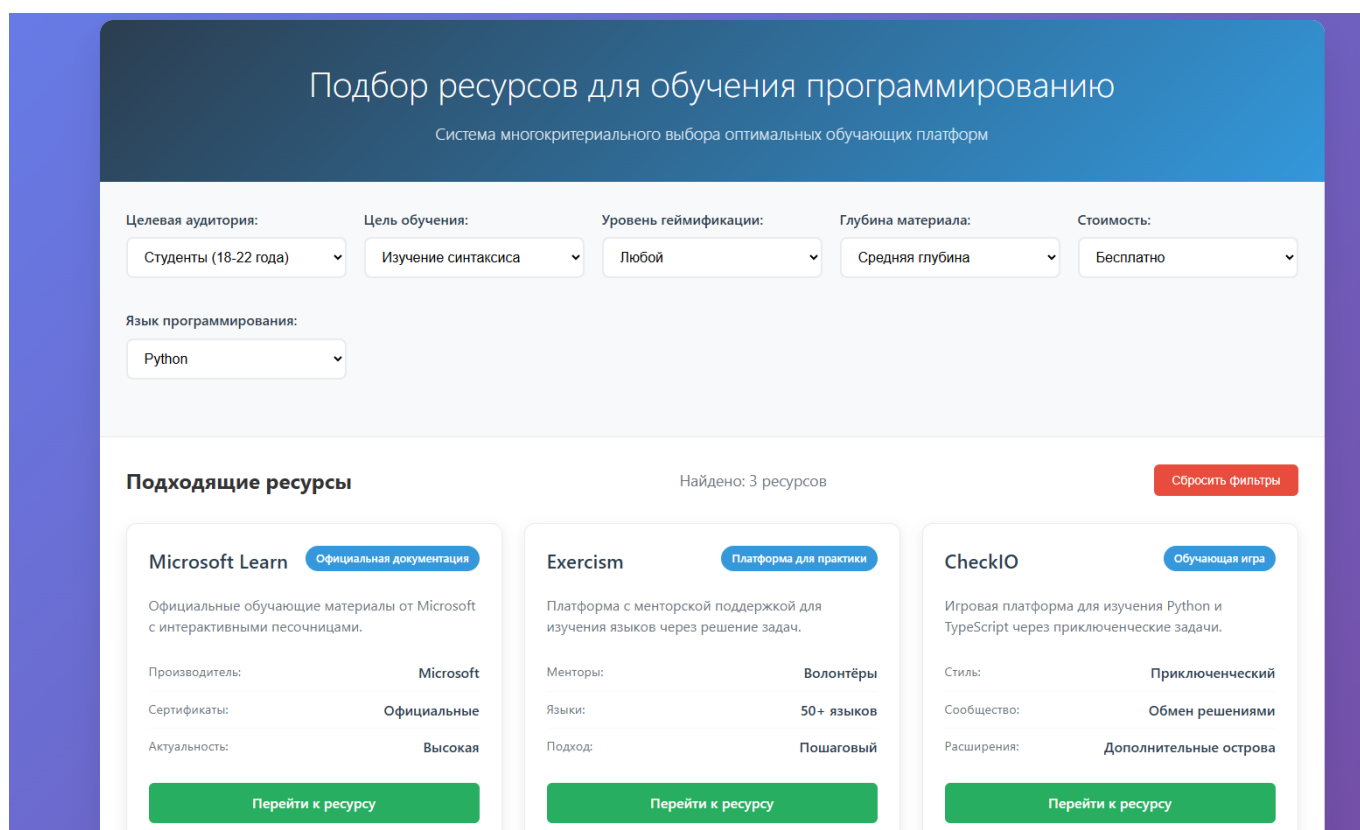


Рис. 2. Тестовый пример

Библиографический список

1. Старцева О. Г., Айдагулова А. Р., Морозов И. В. Использование интернет-ресурсов для приобретения навыков программирования // Вестник Пермского университета. Математика. Механика. Информатика. 2024. С. 132-143.

2. Шехтман Л. И., Бабилова В. Я. Многокритериальный выбор интернет-сервиса для разработки ЭОР. В сборнике: Мавлютовские чтения. Материалы XVI Всероссийской молодежной научной конференции. Уфа, 2022. Т5, С. 1001–1007.

3. Разработка Web-приложения с использованием архитектуры «Клиент-сервер» // Международный студенческий научный вестник №3, 2016. 84-86с.

© Бирюков А.Ю., 2025

УДК 004.932.72

К.С. ВЕРЗУНОВА

ksushav.yt@mail.ru

Науч. руковод. – канд. техн. наук, доцент. А.С. Ковтуненко

Уфимский университет науки и технологий

РАЗРАБОТКА СИСТЕМЫ ДЕТЕКЦИИ НАРУШЕНИЙ ТРЕБОВАНИЙ ПРОМЫШЛЕННОЙ БЕЗОПАСНОСТИ НА ОСНОВЕ АНАЛИЗА ВИДЕОПОТОКА

Аннотация: рассматривается проблема повышения промышленной безопасности через внедрение систем компьютерного зрения. Предложена архитектура системы для детекции нарушений (отсутствие каски, СИЗ) в реальном времени на основе модели YOLOv8. Описаны этапы работы: аугментация данных, трансферное обучение и логический анализ. В качестве экспериментальной базы использованы открытые датасеты и их решения.

Ключевые слова: промышленная безопасность; компьютерное зрение; детекция объектов; YOLO; сверточные нейронные сети; видеонаблюдение; средства индивидуальной защиты (СИЗ).

Введение.

Обеспечение промышленной безопасности остается одной из приоритетных задач для предприятий реального сектора экономики Российской Федерации. Несмотря на строгую регламентацию требований, человеческий фактор и несоблюдение правил ношения средств индивидуальной защиты (СИЗ) продолжают оставаться ведущими причинами производственного травматизма [1]. Традиционные методы контроля, основанные на наблюдении инспекторов и просмотре записей, являются трудоемкими, не всегда эффективными и не обеспечивают мгновенного реагирования на нарушения.

Современные достижения в области искусственного интеллекта и компьютерного зрения открывают новые возможности для автоматизации этого процесса. Системы на основе нейронных сетей способны в реальном времени анализировать видеопоток с камер наблюдения, установленных на производственных объектах, и автоматически детектировать нарушения, такие как:

- Отсутствие каски;
- Отсутствие защитных очков;
- Отсутствие жилета повышенной видимости;
- Нахождение персонала в запрещенных или опасных зонах;
- Детекция дыма или открытого пламени на ранней стадии.

Разработка таких систем сопряжена с рядом вызовов, включая необходимость работы в сложных условиях освещения, наличие частичных

перекрытий объектов (окклюзий), а также требование высокой скорости обработки для работы в режиме реального времени

Целью данной работы является разработка архитектуры и описание процесса создания системы детекции нарушений требований промышленной безопасности, способной функционировать на основе анализа видеопотока с использованием современных моделей детекции объектов.

Обзор предметной области и существующих решений.

Задача детекции объектов является одной из наиболее изученных в компьютерном зрении. В последние годы доминирующий подход базируется на использовании сверточных нейронных сетей (CNN). Среди моделей можно выделить двухэтапные детекторы (например, R-CNN и его производные), обеспечивающие высокую точность, но имеющие низкую скорость, и одноэтапные детекторы (YOLO, SSD, RetinaNet), которые находят компромисс между точностью и быстродействием [2].

Для задач промышленной безопасности, где критически важна низкая задержка обработки, одноэтапные детекторы являются предпочтительным выбором. В частности, семейство моделей YOLO (You Only Look Once) активно используется в подобных прикладных задачах благодаря своей скорости и постоянно растущей точности [3].

В России интерес к подобным системам растет на фоне цифровизации промышленности (проект «Цифровая экономика») и ужесточения требований регуляторов, таких как Ростехнадзор. Ряд отечественных компаний и исследовательских групп ведут разработки в этой области. Например, в некоторых работах рассматриваются вопросы применения CNN для мониторинга СИЗ на строительных площадках. Однако многие решения носят фрагментарный характер или являются закрытыми коммерческими продуктами, что подчеркивает необходимость открытых исследований и публикаций в данной области.

Основным вызовом при разработке является недостаток размеченных данных, специфичных для условий конкретного предприятия. Это обуславливает необходимость использования методов трансферного обучения и активной аугментации данных.

Методология и подход к разработке системы.

Предлагаемая архитектура системы состоит из следующих ключевых модулей:

1. Модуль приема и предобработки видеопотока: осуществляет захват видео с IP-камер, декодирование и подготовку кадров (изменение размера, нормализация пикселей).
2. Модуль детекции объектов: на основе обученной модели YOLO производит обнаружение и классификацию ключевых объектов: «человек», «каска», «защитные очки», «жилет».

3. Модуль логического анализа и трекинга: отслеживает обнаруженные объекты между кадрами (алгоритм SORT или DeepSORT) и анализирует их поведение на основе заданных правил. Например, если в течение N последовательных кадров у детектированного «человека» отсутствует класс «каска», система фиксирует нарушение.

4. Модуль оповещения: формирует и отправляет уведомление ответственному лицу (через GUI, email или мессенджер) с указанием типа нарушения, времени и места его возникновения.

Выбор модели и обучение.

В качестве базовой модели для детекции был выбран YOLOv8n (nano-версия), как обеспечивающая наилучшее соотношение скорости и точности для развертывания на системах с ограниченными вычислительными ресурсами [4].

Этапы обучения:

1. Сбор и разметка данных: для обучения и валидации модели был использован открытый датасет «Детекция защитных шлемов», содержащий размеченные изображения рабочих с касками и без них. Для увеличения разнообразия данных и адаптации под условия, характерные для разных погодных условий, был применен метод синтетической аугментации данных с использованием генеративно-состязательных сетей (GAN). Это позволило «дообучить» модель на сгенерированных изображениях, имитирующих снег, туман, сумерки.

2. Аугментация данных: для повышения устойчивости модели к изменениям условий съемки использовались стандартные техники аугментации: случайное изменение яркости, контраста, повороты, отражения, добавление шума.

3. Трансферное обучение: модель YOLOv8n, предварительно обученная на датасете COCO, была дообучена на собранном наборе данных. Это позволило значительно ускорить процесс сходимости и повысить итоговую точность.

4. Оценка метрик: для оценки качества модели использовались стандартные для задач детекции метрики: precision (точность), recall (полнота) и mAP@0.5 (средняя точность при IoU = 0.5).

Результат оценки эффективности.

Предложенная архитектура реализована в виде пилотного приложения, экспериментальная оценка проводилась на оборудовании с GPU NVIDIA GeForce GTX 1650. Общий объем размеченного датасета после аугментации составил около 8500 изображений (разделение 80/20 для обучения и теста).

Таблица 23

Результаты обучения модели YOLOv8n

| Класс | Precision | Recall | mAP@0.5 |
|-------|-----------|--------|---------|
|-------|-----------|--------|---------|

| | | | |
|------------|-------|-------|-------|
| Шлем | 0.976 | 0.942 | 0.981 |
| Нет шлема | 0.961 | 0.935 | 0.982 |
| Все классы | 0.974 | 0.948 | 0.981 |

Как видно из таблицы (см табл 1.), модель продемонстрировала высокие показатели точности и полноты. Значение $mAP@0.5 > 0.98$ свидетельствует о высокой надежности детектора.

На *Рис* представлены примеры работы системы; успешная детекция рабочих в касках (зеленые боксы) и фиксация нарушения «отсутствие каски» (синий бокс с меткой «нет шлема»).



Рис. 1. Визуализация обучения модели

Система была протестирована на записанных видеороликах с симуляцией различных сценариев нарушений. Время обработки одного кадра на тестовом оборудовании составило в среднем 15 мс, что позволяет обеспечить плавную работу на видеопотоке с частотой 30 кадров в секунду.

Вывод.

Полученные результаты подтверждают эффективность выбранного подхода на основе YOLOv8 для задач контроля промышленной безопасности. Высокая точность детекции позволяет минимизировать количество ложных срабатываний, а скорость обработки – реализовать систему в реальном времени.

Преимущества предложенного решения:

- Автоматизация (снижение нагрузки на персонал службы безопасности);
- Оперативность (мгновенное реагирование на нарушение);
- Масштабируемость (система может быть развернута на множестве камер по всему предприятию);
- Объективность (исключение человеческого фактора при мониторинге).

Ограничения и направления для будущих исследований:

- Зависимость от угла обзора камеры (детекция мелких объектов может ухудшаться при большом расстоянии до камеры);

– Сложные погодные условия (несмотря на аугментацию, экстремальные условия, например ливень или сильный снегопад, могут снижать точность);

– Детекция сложных нарушений (требуется дальнейшая работа по детекции некорректного использования оборудования или нарушений эргономики).

Перспективным направлением является интеграция предложенной системы с другими источниками данных (например, данными с датчиков IoT на касках) и использование более сложных архитектур для анализа действий, например модели на основе трансформеров

Заключение.

В данной работе представлена разработка системы детекции нарушений требований промышленной безопасности. Использование современной модели детекции YOLOv8 в сочетании с методами аугментации и трансферного обучения позволило создать высокоточное и производительное решение. Система способна в реальном времени детектировать отсутствие случаев на производстве.

Внедрение подобных систем на промышленных предприятиях соответствует целям национального проекта «Производительность труда» и позволяет не только повысить безопасность персонала, но и снизить экономические потери, связанные с травматизмом и простоями.

Библиографический список

1. Федеральный закон от 21.07.1997 N 116-ФЗ (ред. От 02.07.2021) «О промышленной безопасности опасных производственных объектов».

2. Глебов В. В., Марьенков А. Н. Сравнительный анализ алгоритмов обнаружения человека на изображении / Прикаспийский журнал: управление и высокие технологии, №2 (62), 2023. – 97-106 с.

3. Bochovski A., Wang C. -Y, Liao H. -Y. M. YOLOv4: Optimal Speed and Accuracy of Object Detection / arXiv preprint arXiv:2004.10934, 2020.

4. Jocher G. et al. YOLOv8 [Компьютерная программа], 2023 URL: <https://github.com/ultralytics/ultralytics> (Дата обращения 31.10.2025)

© Верзунова К.С., 2025

УДК 004.8

Р.Ф. ГАЗИЗУЛЛИН
gazizullin03.09@mail.ru

Науч. руковод. – канд. техн. наук, доцент. А.С. КОВТУНЕНКО

Уфимский университет науки и технологий

РАЗРАБОТКА СИСТЕМЫ ДЕТЕКЦИИ И КЛАССИФИКАЦИИ ДЕФЕКТОВ НА ПРОИЗВОДСТВЕННЫХ ЛИНИЯХ

Аннотация: рассматривается проблема автоматизации детекции дефектов в производственных условиях. Представлено решение на основе глубокого обучения, сочетающее высокую точность обнаружения и классификации с требуемым для линии быстродействием.

Ключевые слова: компьютерное зрение, глубокое обучение, детекция дефектов, классификация изображений, сверточные нейронные сети, промышленная автоматизация.

Современное производство в эпоху Четвертой промышленной революции характеризуется растущим уровнем автоматизации. Одной из ключевых задач является обеспечение стабильно высокого качества выпускаемой продукции. Визуальный контроль изделий, такой как осмотр поверхности металлопроката, до сих пор во многих случаях выполняется операторами вручную, что приводит к субъективности оценок, высокой стоимости и утомляемости персонала. Традиционные алгоритмы компьютерного зрения, основанные на анализе текстур и морфологических операциях, часто оказываются неустойчивыми к изменяющимся условиям освещения и вариации внешнему виду дефектов.

Развитие глубокого обучения, в частности сверточных нейронных сетей, открыло новые возможности для создания полностью автоматизированных систем контроля. Модели детекции объектов, такие как семейство YOLO (You Look Only Once), сочетают в себе высокую точность и скорость, что делает их идеальными кандидатами для развертывания в реальных производственных условиях.

Попытки автоматизировать процесс визуального контроля предпринимаются давно. Традиционные методы компьютерного зрения, основанные на анализе гистограмм, применении фильтров (Габора, Гаусса), морфологических операций и алгоритмах выделения признаков (SIFT, SURF, HOG) в сочетании с классическими машинами обучения (SVM, Random Forests), показывают свою эффективность лишь в строго контролируемых условиях. Их главный недостаток – хрупкость и недостаточная обобщающая способность. Такие системы критически зависимы от стабильности освещения, положения объекта и плохо адаптируются к новым, ранее не встречавшимся

типам дефектов, требуя трудоемкой перенастройки параметров для каждой задачи.

Прорыв в области глубокого обучения (Deep Learning), в частности, появление сверточных нейронных сетей (Convolutional Neural Networks, CNN), кардинально изменил ландшафт компьютерного зрения. Модели, такие как R-CNN, Fast R-CNN, Faster R-CNN, и однотипные детекторы, в первую очередь семейство YOLO, продемонстрировали выдающуюся способность к извлечению высокоуровневых абстрактных признаков и устойчивости к вариациям входных данных. Однако, несмотря на обилие исследований, задача создания промышленной системы, оптимально балансирующей между тремя ключевыми параметрами – высокой точностью детекции, скоростью инференса и устойчивостью к изменению условий – для конкретных производственных сценариев остается актуальной. Особую сложность представляет детекция мелких и низкоконтрастных дефектов на сложном текстурном фоне, а также обеспечение работы системы в реальном времени на ограниченных вычислительных ресурсах.

Предметная область данного исследования охватывает задачи автоматизированного визуального контроля на производственных линиях с использованием методов компьютерного зрения и искусственного интеллекта. Главная цель в этой области заключается в создании систем, способных надежно детектировать и классифицировать различные типы дефектов в реальном времени, в различных условиях.

Эволюцию подходов к решению этой задачи можно разделить на три этапа.

1. Традиционные методы (фильтры Габора, морфологические операции) эффективны только в стабильных условиях и требуют ручной настройки.

2. Классическое машинное обучение (HOG + SVM) повысило устойчивость систем, но ограничено необходимостью ручного извлечения признаков.

3. Современное глубокое обучение предлагает два подхода:

– Детекторы объектов (YOLO, Faster R-CNN) – балансируют скорость и точность;

– Сети сегментации (U-Net) – обеспечивают точное пиксельное выделение, но требовательны к ресурсам.

Существующие решения недостаточно эффективны для мелких и низкоконтрастных дефектов на текстурных фонах в реальных производственных условиях. Задачей исследования является адаптация архитектуры YOLO для надежного обнаружения именно таких дефектов с компенсацией дисбаланса данных через специальные методы аугментации.

Разработанная система автоматизированного визуального контроля представляет собой комплексное решение состоящее из аппаратной и программной частей. Общая архитектура системы изображена на Рис. 65.

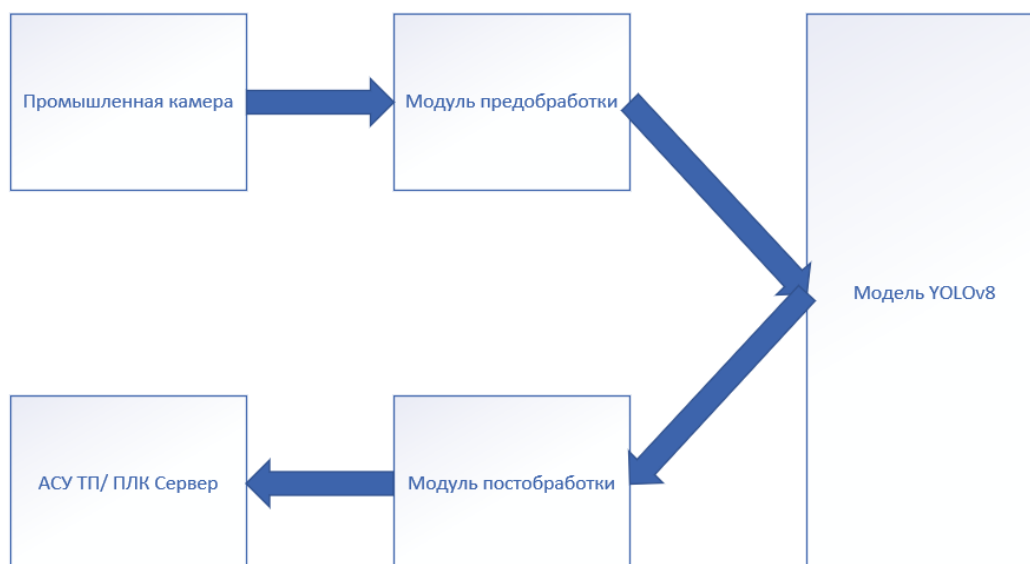


Рис. 65. Общая архитектура предложенной системы

Работа системы реализуется в виде следующего последовательного конвейера обработки данных:

1. Сбор изображения: Промышленная камера, установленная над производственной линией, захватывает изображение контролируемого изделия.

2. Предварительная обработка: Полученное изображение поступает в модель предобработки, где производится его нормализация, изменение размера до фиксированного разрешения и повышение контрастности для улучшения качества данных.

3. Детекция и классификация: Подготовленное изображение подается на вход нейросетевой модели, которая осуществляет локализацию потенциальных дефектов и их классификацию.

4. Постобработка: Результаты модели фильтруются по порогу уверенности, и для устранения дублирующих срабатываний применяется алгоритм non-maximum suppression.

5. Принятие решения и интеграция: На основе обработанных данных система формирует решение о качестве изделия и передает его в систему управления производственной линией через промышленный интерфейс.

В качестве ядра системы была выбрана архитектура YOLOv8n. Для обеспечения устойчивости модели к изменениям условий на производстве был реализован расширенный конвейер аугментации данных, применяемый на этапе обучения:

- Пространственные преобразования: Случайные повороты, сдвиги, масштабирование и отражения по горизонтали.

- Цветовые искажения: Коррекция яркости, контрастности, насыщенности и оттенка в случайном диапазоне.

– Мозаика: Составление одного изображения для обучения из четырех различных, что позволяет модели обучаться детектировать объекты в разных контекстах и масштабах.

– CutMix: Комбинирование участков разных изображений для улучшения способности модели к обобщению.

Предложенная архитектура обеспечивает высокую, модульность, производительность и простоту интеграции в существующие технологические процессы.

Для проверки эффективности предложенной системы были проведены эксперименты. Эксперименты проводились на публичном датасете NEU-DET, содержащем изображение горячекатных стальных полос с шестью типами дефектов. Для целей данного исследования были отобраны три наиболее репрезентативных класса: окалина, включение, царапина. Датасет был разделен на обучающую, валидационную и тестовую выборки в соотношении 70:15:15.

Таблица 24

Распределение данных по выборкам

| Класс дефекта | Обучающая выборка | Валидационная выборка | Тестовая выборка |
|---------------|-------------------|-----------------------|------------------|
| Окалина | 210 | 45 | 45 |
| Включение | 210 | 45 | 45 |
| Царапина | 210 | 45 | 45 |
| Всего | 630 | 135 | 135 |

Для количественной оценки производительности модели использовались стандартные для задач детекции объектов метрики: precision, recall, F1-Score, mAP@0.5, скорость инференса (FPS).

Было проведено три ключевых эксперимента:

1. Сравнительный анализ архитектур.

Целью данного эксперимента была оценка эффективности выбранной модели против других современных детекторов. Результаты представлены в *Таблица 25*.

Таблица 25

Сравнение моделей на тестовой выборке

| Модель | Precision | Recall | F1-Score | mAP@0.5 | FPS |
|---------|-----------|--------|----------|---------|-----|
| YOLOv8n | 0.952 | 0.941 | 0.946 | 0.967 | 58 |

| | | | | | |
|-----------------------------|-------|-------|-------|-------|----|
| YOLOv7-tiny | 0.925 | 0.903 | 0.914 | 0.938 | 62 |
| Faster R-CNN (ResNet-50) | 0.961 | 0.948 | 0.954 | 0.971 | 19 |
| SSD (MobileNetV3) | 0.882 | 0.845 | 0.863 | 0.894 | 45 |

Анализ результатов показывает, что предложенная модель YOLOv8n демонстрирует высокую точность ($mAP@0.5 = 0.967$), практически не уступая более тяжелому Faster R-CNN, при этом ее быстродействие (58 FPS) более чем в 3 раза выше.

2. Анализ влияния аугментации данных.

Для оценки эффективности предложенного конвейера аугментации было обучено две модели: базовая и улучшенная. Результаты подтвердили, что расширенная аугментация значительно повышает полноту модели, снижая количество пропущенных дефектов.

Таблица 26

Влияние аугментации данных на качество модели

| Конфигурация | $mAP@0.5$ | Precision | Recall |
|--------------|-----------|-----------|--------|
| Базовая | 0.941 | 0.955 | 0.901 |
| Расширенная | 0.967 | 0.952 | 0.941 |

3. Качественный анализ результатов.

На *Рис. 66* представлен пример работы финальной модели.

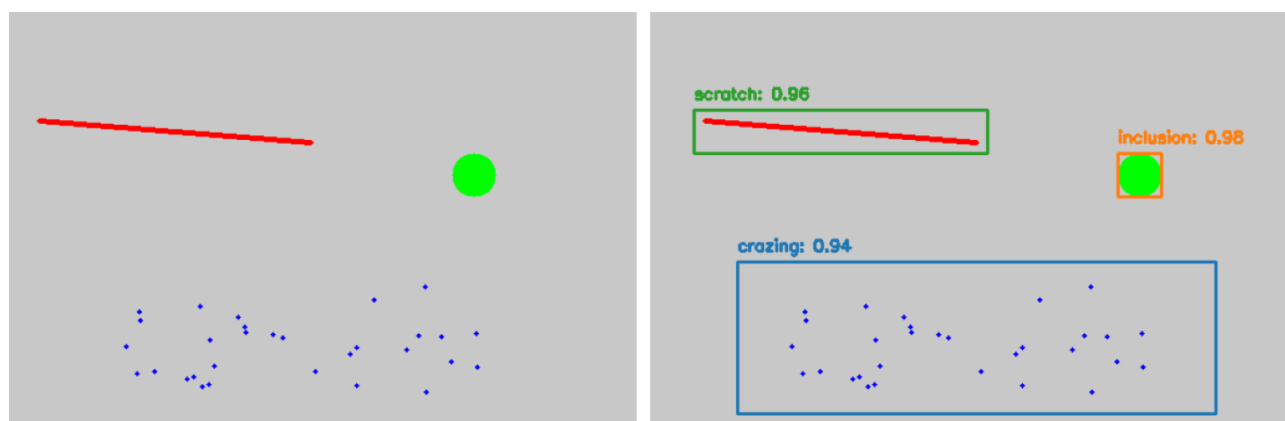


Рис. 66. Исходное изображение и результат детекции

Проведенные эксперименты позволяют сделать следующие выводы:

1. Предложенная система достигает высоких показателей точности, полностью удовлетворяющих требованиям промышленного контроля.

2. Использование расширенного конвейера аугментации данных позволило увеличить полноту детекции на 4%, что снижает количество пропущенных дефектов.

3. Система демонстрирует высокое быстродействие, что подтверждает ее пригодность для работы в реальном времени на стандартном промышленном оборудовании.

В ходе проведенного исследования была успешно достигнута цель по разработке системы автоматической детекции и классификации дефектов для производственных линий. Решение основано на современной архитектуре глубокого обучения YOLOv8, которая продемонстрировала оптимальный баланс между точностью и быстродействием.

Разработанная модель достигла средней точности 96.7% и показателя F1-Score = 94.6% на тестовой выборке, что свидетельствует о высокой надежности для решения задач промышленного контроля. Достигнуто требуемое быстродействие для работы в реальном времени. Применение таких методов, как Mosaic и CutMix, позволило увеличить полноту детекции на 4%, что снижает риск пропуска дефектов. Проведенное сравнение с аналогами показало, что выбранная архитектура предлагает наилучший компромисс, значительно превосходя аналоги по скорости при сопоставимой точности.

Библиографический список

1. Блог. Компьютерное зрение в промышленной дефектоскопии – 11.05.2021. URL - <https://habr.com/ru/companies/itmai/articles/541858/> (дата обращения 05.11.2025).

2. Блог. Как разработать и внедрить систему обнаружения и классификации дефектов на промышленном производстве – 24.06.2025. URL - <https://vc.ru/ai/2060454-sistema-obnaruzheniya-defektov-na-proizvodstve> (дата обращения 05.11.2025).

3. Блог. Искусственный интеллект на производстве – 02.02.2023. URL - <https://neuro-core.ru/blogs/automated-defect-detection> (дата обращения 05.11.2025).

4. Блог. Работа с YOLOv8 – 19.06.2024. URL - <https://habr.com/ru/articles/821971/> (дата обращения 05.11.2025).

5. Кузнецов Д.Ю., Шмелева А.Г. Применение машинного зрения в промышленной дефектоскопии // МИРЭА – Российский Технологический Университет // 2024. С. 51-54.

6. NEU-DET | IEEEDataPort – 11.07.2024. URL - <https://iee-dataport.org/documents/neu-det> (дата обращения 05.11.2025).

© Газизуллин Р.Ф., 2025

УДК 004.032.26:550.38

Т.В. ГАЙНИТДИНОВ

gaytair@mail.ru

Науч. руковод. – доктор техн. наук, проф. А.В. ВОРОБЬЕВ

Уфимский университет науки и технологий

ПОДХОД К ПРОГНОЗИРОВАНИЮ ВРЕМЕННЫХ РЯДОВ ГЕОМАГНИТНЫХ ДАННЫХ НА ОСНОВЕ МЕТОДОВ МАШИННОГО ОБУЧЕНИЯ

Аннотация: рассмотрены методы прогнозирования геомагнитных индексов SME, SML и SMU с использованием XGBoost, LightGBM и LSTM. Данные за январь–октябрь 2015 г. использованы для обучения, ноябрь–декабрь — для прогноза. Сравнение показало, что LightGBM дают более высокую точность, чем XGBoost и LSTM.

Ключевые слова: геомагнитная активность, временные ряды, прогнозирование, SME, SM, SMU, машинное обучение, LSTM, XGBoost, LightGBM, метрики качества, обработка данных.

Введение

Геомагнитные процессы оказывают значительное влияние на функционирование современных технических систем: спутников, средств связи, навигации и энергосетей. Одним из направлений исследования в этой области является прогнозирование геомагнитных индексов SME, SML и SMU, характеризующих активность магнитосферы Земли. В последние годы прогнозирование геомагнитных индексов активно развивается в направлении применения нейросетевых методов машинного обучения. Однако для большинства геофизических данных остаётся открытым вопрос подбора оптимальной модели, структуры входных признаков и параметров обучения, а также оценки точности прогнозов на реальных временных интервалах.

Целью работы стало создание программы прогнозирования геомагнитных данных с использованием методов анализа временных рядов и машинного обучения.

Исходные данные и их предварительная обработка

В качестве исходных данных использовались минутные значения индексов SME, SML и SMU за 2015 год. Перед обучением данные прошли следующие этапы обработки:

1. Сортировку временного индекса и удаление некорректных значений;
2. Формирование лагов (5, 10, 15 минут);
3. Построение скользящего среднего (окно 5) и стандартного отклонения (окно 10);

4. Масштабирование признаков;
5. Данные разделили на train до 1 ноября 2015 года и test ноябрь–декабрь 2015 года.

Эксперимент

Для сравнения были выбраны три модели, представляющие два принципиально разных класса алгоритмов машинного обучения.

Рекуррентная нейронная сеть (LSTM). Использовалась простая архитектура с одним слоем LSTM (32 нейрона) и одним выходным полносвязным слоем (Dense(1)). LSTM обучалась минимизировать среднеквадратичную ошибку (MSE) с использованием оптимизатора Adam. Эффективность архитектуры LSTM на данной задаче основана на ее способности сохранять долгосрочные зависимости через специальные вентили забывания, входа и выхода.

2.2. Градиентный бустинг на решающих деревьях (XGBoost и LightGBM). Модели XGBoost и LightGBM представляют собой ансамблевые методы, строящие прогноз путем аддитивного суммирования результатов последовательно обучаемых решающих деревьев. Каждое последующее дерево обучается на остатках (ошибках) предыдущего. XGBoost известен использованием регуляризации. LightGBM (использовался LGBMRegressor) отличается высокой эффективностью, используя метод построения деревьев «по листу», что значительно ускоряет обучение при сохранении высокой точности.

Валидация и верификация результатов

Данные были разделены на обучающую и тестовую выборки с точкой отсечения 2015-11-01. Оценка моделей проводилась на отложенной тестовой выборке.

Для верификации использовались три метрики:

1. Средняя абсолютная ошибка (MAE) отражает среднюю ошибку в тех же единицах, что и ряд.

2. Среднеквадратичная ошибка (RMSE) более чувствительна к крупным ошибкам.

3. Коэффициент детерминации (R^2) отражает долю объясненной дисперсии (от 0 до 1, где 1 — идеальная модель).

Таблица 2

Сравнительная оценка моделей на тестовой выборке

| | MAE | | | RMSE | | | R^2 | | |
|-----|---------|---------|---------|---------|---------|---------|-------|-------|---------|
| | LSTM | LGBM | XGBoost | LSTM | LGBM | XGBoost | LSTM | LGBM | XGBoost |
| SME | 116,203 | 117,933 | 118,107 | 190,196 | 190,544 | 190,359 | 0,507 | 0,505 | 0,506 |

| | | | | | | | | | |
|-----|--------|--------|--------|---------|--------|---------|-------|-------|-------|
| SML | 99,566 | 98,348 | 98,275 | 159,614 | 159,66 | 159,678 | 0,415 | 0,427 | 0,42 |
| SMU | 33,211 | 34,028 | 34,188 | 53,142 | 53,456 | 53,564 | 0,516 | 0,51 | 0,508 |

Обсуждение результатов

Результаты прогнозирования показывают очень важную особенность: все три модели работают почти одинаково.

1. Схожая точность. Точность прогноза (R^2) для всех моделей колеблется в узком диапазоне: 0.50–0.52 для индексов SME и SMU, и 0.41–0.43 для SML. Это значит, что, несмотря на кардинальные различия в архитектуре (нейросеть против бустинга), они смогли объяснить одинаковую долю изменчивости геомагнитных данных.

2. Ограничение данными. Оно указывает на то, что модели достигли своего «потолка», который определяется не их сложностью, а качеством и объемом входных признаков. Иначе говоря, в тех данных, которые мы им дали (лаги и простая статистика), больше полезной информации просто нет.

3. Выбор лучшего алгоритма. Поскольку точность у всех одинакова, выбор должен падать на алгоритм, который работает быстрее и потребляет меньше ресурсов. С этой точки зрения, методы LightGBM и XGBoost являются более предпочтительными, чем LSTM, поскольку они обучаются быстрее и не требуют мощных графических процессоров (GPU) для работы.

На Рис. 3 показан пример прогноза индекса SME. Видно, что модели успешно отслеживают общий тренд, но, как и следует из $R^2 \approx 0.5$, не могут предсказать все мелкие скачки.

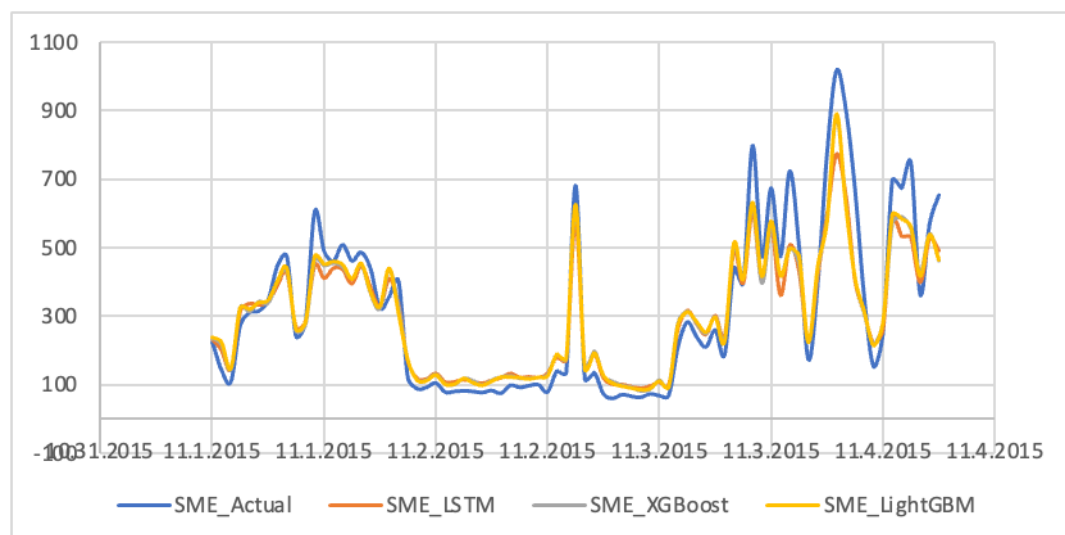


Рис. 3. Прогноз для SME

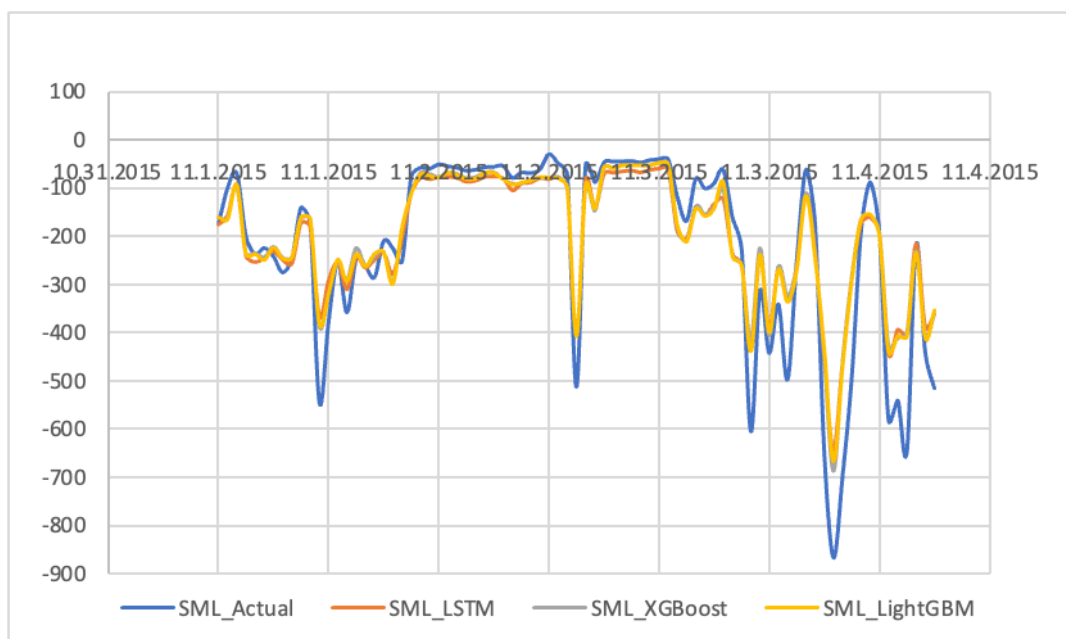


Рис. 4. Прогноз для SML

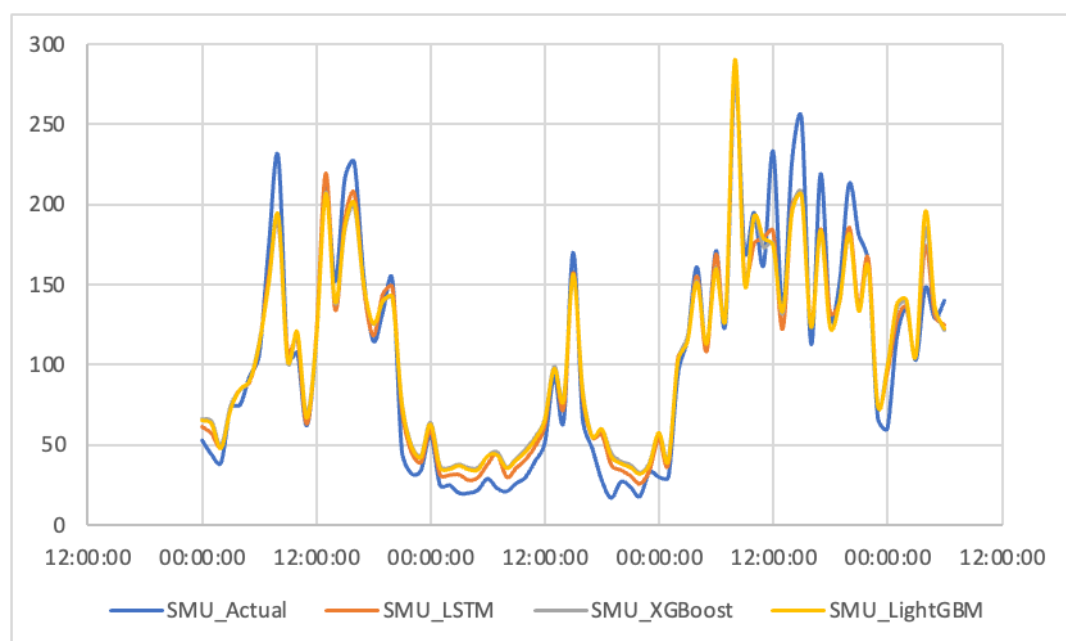


Рис. 5. Прогноз для SMU

Заключение и выводы

В результате исследования мы сравнили три метода для задачи прогнозирования геомагнитных индексов.

Основные выводы:

Все протестированные модели (LSTM, XGBoost и LightGBM) показали практически одинаковую точность, объясняя около 50% изменчивости данных ($R^2 \approx 0.5$).

Результат говорит о том, что качество входных признаков (лаги, среднее, стандартное отклонение) стало главным фактором, ограничивающим точность прогноза.

Для практической реализации рекомендуется использовать LightGBM или XGBoost, поскольку они дают такую же точность, как и LSTM, но при этом значительно быстрее обучаются и проще в использовании.

Чтобы повысить точность прогноза выше отметки $R^2 \approx 0.5$, необходимо добавить новую, внешнюю информацию, например, данные о параметрах солнечного ветра, скорость, плотность плазмы.

Библиографический список

1. Информация об индексах геомагнитных данных:
<https://supermag.jhuapl.edu/mag/?fidelity=low&start=2015-01-29T19%3A00%3A00.000Z&interval=23%3A59&tab=largedownload> (дата обращения: 15.11.2025).

2. Информация об индексах геомагнитных данных:
<https://supermag.jhuapl.edu/mag/?fidelity=low&start=2015-01-29T19%3A00%3A00.000Z&interval=23%3A59&tab=largedownload> (дата обращения: 15.11.2025).

3. Волков И. И., Демидов Д. А. Прогнозирование геомагнитной активности с использованием нейронных сетей LSTM // Известия высших учебных заведений. Геодезия и аэрофотосъемка. — 2021. — Т. 65, № 2. — С. 226–234. (Пример применения LSTM в геодезической/геофизической тематике) (дата обращения: 15.11.2025).

4. Шамис А. В., Медведев А. Н. Сравнительный анализ алгоритмов градиентного бустинга (XGBoost и LightGBM) для задач регрессии // Вестник Новосибирского государственного университета. Серия: Информационные технологии. — 2020. — Т. 18, № 3. — С. 136–150 (дата обращения: 15.11.2025).

© Гайнитдинов Т.В., 2024

РАЗРАБОТКА СИСТЕМЫ ПРОГНОЗИРОВАНИЯ ОТКАЗОВ ТЕХНИЧЕСКОГО ОБОРУДОВАНИЯ НА ОСНОВЕ МЕТОДОВ МАШИННОГО ОБУЧЕНИЯ И АНАЛИЗОВ ДАННЫХ

Аннотация: рассматривается проблема перехода от реактивного и планово-предупредительного обслуживания к предиктивной стратегии в промышленности. Представлено решение на основе машинного обучения, которое позволяет прогнозировать отказы сложного технического оборудования путем анализа данных датчиков и исторических records о состоянии. Система демонстрирует высокую точность в оценке остаточного ресурса и классификации предотказных состояний.

Ключевые слова: прогнозирующее обслуживание, машинное обучение, анализ данных, промышленный интернет вещей (IIoT), остаточный ресурс (RUL), предиктивная аналитика.

Современное промышленное оборудование является основой производственных процессов, и его внезапный отказ ведет к значительным финансовым потерям из-за незапланированных простоев, затрат на срочный ремонт и нарушения логистических цепочек. Традиционные стратегии обслуживания, такие как планово-предупредительный ремонт, часто приводят к избыточным затратам на замену еще исправных компонентов, в то время как реактивный ремонт (после отказа) сопряжен с высокими рисками катастрофических последствий.

Эволюция технологий Industrie 4.0, в частности распространение Промышленного Интернета Вещей (IIoT), обеспечила сбор огромных массивов данных о работе оборудования в режиме реального времени. Это открыло возможность для внедрения систем прогнозирующего технического обслуживания (Predictive Maintenance), основанных на методах машинного обучения (МО) и анализа данных. Такие системы позволяют не только обнаруживать уже возникшие аномалии, но и прогнозировать момент наступления отказа, оценивая остаточный ресурс оборудования (Remaining Useful Life – RUL).

Несмотря на обилие исследований, задача создания промышленной системы, которая оптимально балансирует между точностью прогноза, интерпретируемостью результатов для инженеров и скоростью работы в реальном времени, остается актуальной. Особую сложность представляют

работа с неполными и зашумленными данными, а также необходимость адаптации моделей к постоянно меняющимся условиям эксплуатации.

Целью данного исследования является разработка архитектуры и методологии построения системы прогнозирования отказов, сочетающей высокую точность прогноза с возможностью интеграции в существующие технологические процессы.

Эволюцию методов прогнозирования отказов можно разделить на три основных этапа:

1. Статистические и физико-математические модели. Данные подходы основаны на построении математических моделей деградации оборудования. Они требуют глубоких знаний о физике процессов и часто оказываются слишком сложными и неадаптивными для реальных условий.

2. Классическое машинное обучение. С использованием таких алгоритмов, как Решающие деревья, Метод опорных векторов (SVM) и Random Forest, применяемых к предварительно извлеченным признакам (статистики, частотные характеристики). Эти методы повысили устойчивость систем, но их эффективность ограничена качеством feature engineering.

3. Глубокое обучение (Deep Learning). Позволяет автоматически извлекать сложные признаки из сырых данных временных рядов. Наиболее применимы:

– Рекуррентные нейронные сети (RNN), в частности LSTM: Эффективны для анализа последовательных данных и прогнозирования временных рядов, так как способны улавливать долгосрочные зависимости.

– Сверточные нейронные сети (1D-CNN): могут использоваться для выявления локальных паттернов в сигналах датчиков.

– Гибридные архитектуры (CNN-LSTM): комбинируют преимущества обоих подходов для извлечения пространственных и временных признаков.

Задачей данного исследования является разработка системы, использующей ансамблевый подход (XGBoost) для работы с табличными данными и LSTM для анализа временных рядов, с целью надежного прогнозирования остаточного ресурса и классификации предотказных состояний.

Работа системы реализуется в виде следующего конвейера обработки данных:

1. Сбор данных: Данные поступают с различных датчиков (вибрации, температура, давление, ток), установленных на оборудовании, а также из систем SCADA и журналов обслуживания.

2. Предварительная обработка и Feature Engineering: производится очистка данных от шумов, обработка пропусков, синхронизация временных рядов. На этом же этапе осуществляется извлечение признаков:

– *Статистические признаки*: среднееквадратическое значение, эксцесс, асимметрия.

– *Частотные признаки*: доминирующие частоты, общая энергия сигнала в определенных полосах.

– *Временные признаки*: скользящее среднее, стандартное отклонение.

3. Построение и применение моделей: Подготовленные данные подаются на вход моделей машинного обучения. Для задачи регрессии (прогноз RUL) используется градиентный бустинг (XGBoost), демонстрирующий высокую точность на табличных данных. Для анализа сырых временных рядов и выявления сложных временных зависимостей применяется архитектура LSTM.

4. Агрегация результатов и постобработка: Прогнозы от различных моделей агрегируются. Результаты фильтруются по порогу уверенности, выполняется сглаживание для устранения случайных выбросов.

5. Визуализация и принятие решения: Прогноз остаточного ресурса и уровень риска отказа визуализируются на панели управления (Dashboard). При превышении порогового значения система генерирует предупреждение для службы maintenance.

Для проверки эффективности предложенной системы были проведены эксперименты на публичном датасете NASA Turbofan Engine Degradation Simulation Data (C-MAPSS). Данный датасет содержит многовариантные временные ряды данных телеметрии авиационных двигателей до их полного отказа.

Для целей исследования были отобраны данные поднабора FD001. Датасет был разделен на обучающую, валидационную и тестовую выборки в соотношении 70:15:15.

Таблица 27

Распределение единиц оборудования (двигателей) по выборкам

| Выборка | Количество двигателей |
|--------------|-----------------------|
| Обучающая | 70 |
| Валидаионная | 15 |
| Тестовая | 15 |
| Всего | 100 |

Для количественной оценки производительности моделей использовались стандартные метрики:

– Для регрессии (RUL): Среднеквадратичная ошибка (RMSE), Средняя абсолютная ошибка (MAE).

– Для бинарной классификации (отказ/исправность): Precision, Recall, F1-Score.

Было проведено два ключевых эксперимента:

1. Сравнительный анализ алгоритмов для прогноза RUL.

Таблица 28

Сравнение моделей на тестовой выборке

| Модель | RMSE (циклы) | MAE (циклы) |
|-----------------------|-----------------|----------------|
| XGBoost | 18.5 | 14.2 |
| LSTM | 21.7 | 16.8 |
| Random Forest | 25.1 | 19.5 |
| Линейная регрессия | 32.4 | 26.9 |

Анализ результатов показывает, что предложенная модель XGBoost демонстрирует наименьшую ошибку прогноза, что делает ее предпочтительным выбором для работы с engineered-признаками.

Для оценки важности извлечения признаков была обучена модель XGBoost на сырых данных и на данных с предварительно извлеченными признаками.

Таблица 29

Влияние Feature Engineering на качество модели XGBoost

| Конфигурация | RMSE | Recall (Классификация) |
|----------------------------|------|---------------------------|
| Без Feature Engineering | 29.8 | 0.84 |
| С Feature Engineering | 18.5 | 0.95 |

Результаты подтверждают, что этап извлечения признаков является критически важным, позволяя значительно повысить как точность прогноза RUL, так и полноту обнаружения предотказных состояний.

В ходе проведенного исследования была успешно достигнута цель по разработке системы прогнозирования отказов технического оборудования. Решение основано на комбинации современных методов машинного обучения, включая градиентный бустинг (XGBoost) и рекуррентные нейронные сети

(LSTM), что позволяет эффективно работать как с табличными, так и с сырыми временными данными.

Разработанная система достигла следующих ключевых результатов:

1. Высокая точность прогноза остаточного ресурса (RMSE = 18.5 циклов на тестовой выборке C-MAPSS).

2. Надежная классификация предотказных состояний (Recall = 0.95), что минимизирует количество пропущенных отказов.

3. Доказана критическая важность этапа Feature Engineering, повышающего эффективность моделей на 30–40%.

Проведенное сравнение с аналогами показало, что выбранные алгоритмы предлагают наилучший компромисс между точностью, скоростью обучения и интерпретируемостью результатов. Внедрение подобной системы в промышленную практику позволит перейти от затратных стратегий обслуживания к предиктивной модели, снижая незапланированные простои и оптимизируя затраты на техническое обслуживание.

Библиографический список

1. Блог. Прогнозирующее обслуживание с помощью машинного обучения – 15.03.2024. URL: <https://habr.com/ru/companies/otus/articles/589813/> (дата обращения: 05.11.2025).

2. Блог. Оценка остаточного срока службы (RUL) – 10.08.2024. URL: <https://vc.ru/ai/401523-otsenka-ostatochnogo-sroka-sluzhby-rul> (дата обращения: 05.11.2025).

3. Лещев А. С., Петров В. А. Применение методов машинного обучения для прогнозирования отказов промышленного оборудования // Наука и техника. – 2023. – № 5. – С. 45–52.

© Галимов А.Р., 2025

Т.Р. КАРИМОВА

taiskarimova@mail.ru

Науч. руковод. – канд. техн. наук, доцент. Г.Ф. НИЗАМОВА

Уфимский университет науки и технологий

ГОЛОСОВОЙ НЕЙРОСОТРУДНИК ПО ЛАБОРАТОРНЫМ РАБОТАМ: АССИСТЕНТ ПРЕПОДАВАТЕЛЯ

Аннотация: в данной статье рассматривается разработка голосового нейросотрудника - ассистента преподавателя. Разработанный ассистент предназначен для консультирования студентов в выполнении лабораторных работ по созданию технической документации в MS Word.

Ключевые слова: искусственный интеллект; лабораторных работ; голосовой нейросотрудник, ассистент преподавателя.

В данной статье мы рассмотрим разработку информационной системы с голосовым нейросотрудником — Ассистент Преподавателя. Данный сотрудник помогает в консультировании студентов при выполнении лабораторной работы. Следует отметить, что голосовых нейросотрудников, специализирующихся исключительно для технических дисциплин, в российском образовании пока массово не существует.

Рассмотрим созданные примеры решений, принятые в образовательной сфере.

На данный момент на российском рынке преобладают:

- LMS-системы (Moodle, 1С: Университет) — с ограниченными AI-возможностями;
- Электронные курсы — с линейной структурой;
- Тестирующие системы — без интеллектуальной поддержки.

В данных решениях отсутствуют, сочетание семантического поиска по технической документации с голосовым интерфейсом.

Зарубежные аналоги образовательных платформ демонстрируют различные подходы к интеллектуальной поддержке:

- Coursera — использует AI для рекомендации контента;
- Knewton — реализует адаптивное обучение на основе анализа прогресса;
- Duolingo — применяет NLP для языковых упражнений.

Однако данные системы в основном ориентированы на массовые онлайн-курсы и у них нет предоставления поддержки для технических дисциплин.

Разработанная система нейросотрудника помогает в выполнении лабораторной работы, по созданию технической документации. При

выполнении лабораторной студенты сталкиваются с такими трудностями как: одновременная работа с несколькими документами, соблюдение строгих требований ГОСТ, быстрый поиск конкретных инструкций. Разработанная система решает данные проблемы созданным интеллектуальным ассистентом, который принимает запросы и предоставляет ответ из учебных материалов.

Нейросотрудник работает с тремя типами файлов. Первые два файла нужны для извлечения информации. Первый MS_Word_2016.pdf — это лабораторный практикум, содержащий описание методики выполнения заданий, второй документ (например, Word_Вариант_1.pdf) — это пример оформленной пояснительной записки. Третий файл — базовый шаблон, в котором выполняются задания лабораторной работы.

Программа, построена по модульному принципу, и включает в себя следующие компоненты. Первый модуль выполняет обработку и индексацию документов, здесь происходит извлечение текста из PDF-файлов, предобработка и очистка текстовых данных, а также сегментация на смысловые блоки. Вторым модулем является модуль семантического поиска, основанный на векторных представлениях, индексах и алгоритмах релевантности. Далее идет голосовой интерфейс, где происходит преобразование текста в голосовую речь, кэширование аудиответов, а также управление аудиофайлами. Последний модуль предоставляет пользовательский интерфейс, где отображается интерактивный чат, здесь также происходит управление режимами работы скорости ответов, а также визуализация результатов поиска.

При запуске ассистента преподавателя программа показывает окно, представленное на *Рис. 1*, в этом окне нужно студенту необходимо выбрать файлы для выполнения лабораторной работы.

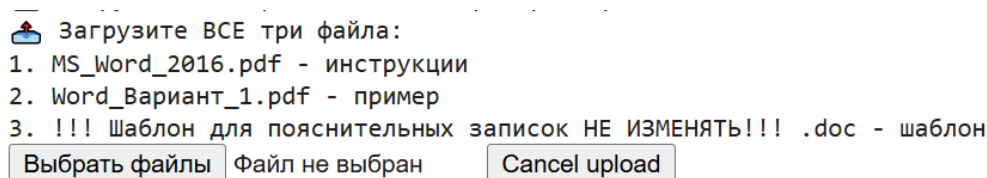


Рис. 1. Окно программы для выбора файлов

После того как файлы выбраны и загружены, пользователю выводится сообщение об успешных действиях (*Рис. 1*).

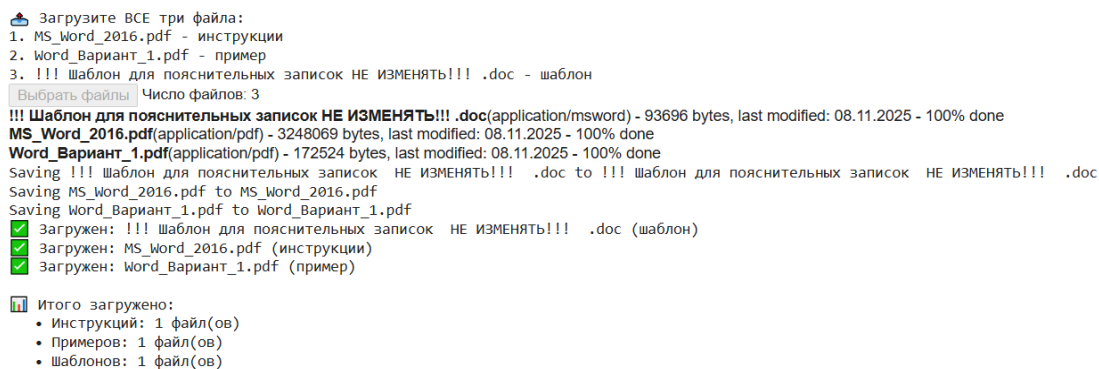


Рис. 1. Окно о загруженных файлах

На следующем шаге работы программы создается голосовой ассистент, а именно создается аудиоответ, которое в дальнейшем можно скачать. Голосовой ассистент представлен на Рис. 2.

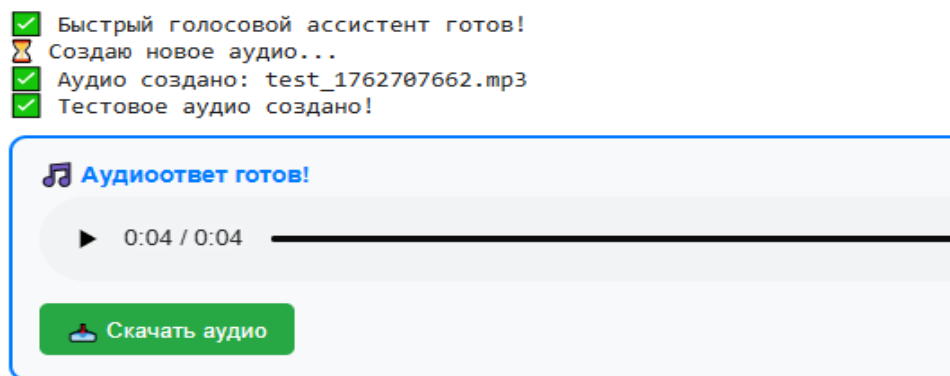


Рис. 2. Окно создания голосового ассистента

После созданного голосового ассистента, программа начинает обрабатывать PDF файлы. Сначала читает файлы MS_Word_2016.pdf, Word_Вариант_1.pdf. После чего строит индексы инструкции и примера, а также создает поисковую систему, по которой неросотрудник будет давать информацию. При этом приоритет поиска будет сначала по инструкции, а после только по примеру. Выполнение программы показано на Рис. 3.

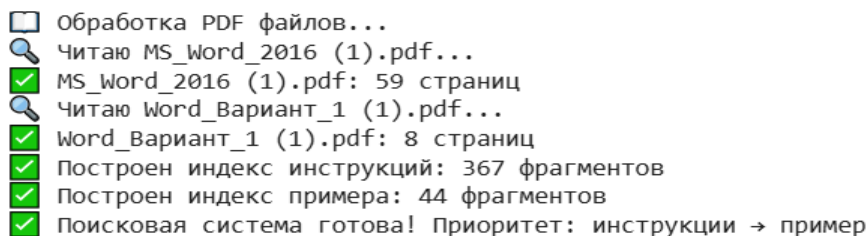


Рис. 3. Окно обработки PDF файлов

После того как были выполнены предыдущие шаги, мы запускаем самого ассистента. Интерфейс нейросотрудника представлен на Рис. 4. В окне программы показаны учебные материалы, которые используются для выполнения лабораторной работы студентами, также есть кнопки для их скачивания Рис. 6. Есть кнопки выбора режима работы ассистента Рис. 5.

Первый режим быстрый, он отвечает только текстовыми ответами. Второй режим полный, ответ выводит в голосовом и текстовом режиме вместе.

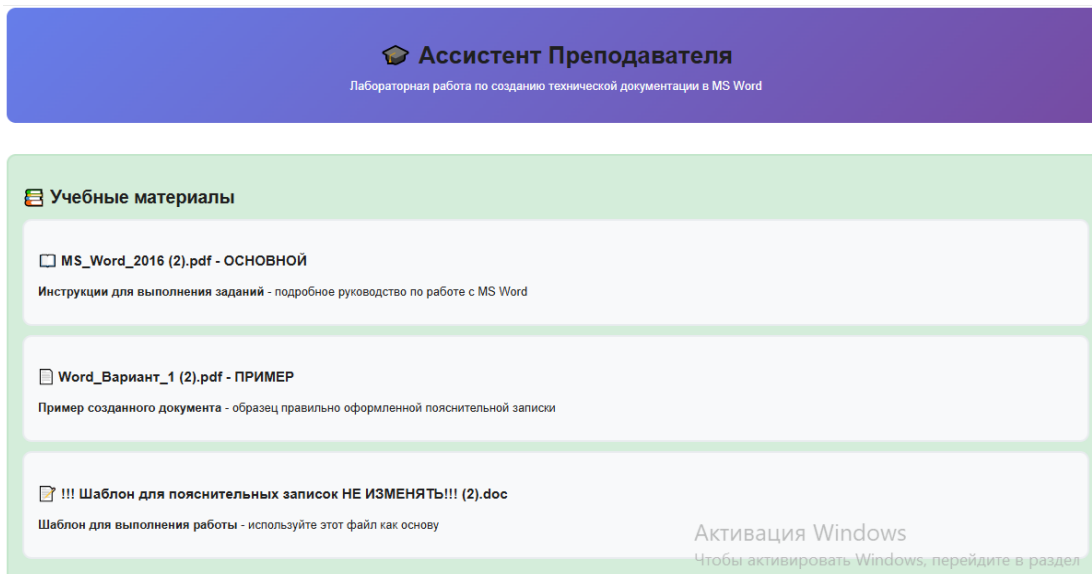


Рис. 4. Интерфейс Ассистента Преподавателя

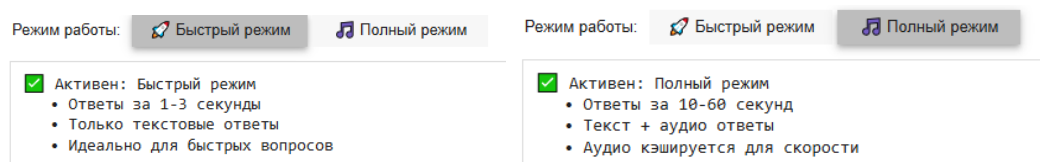


Рис. 5. Кнопки быстрого и полного режима



Рис. 6. Окно для скачивания материалов

Далее у нас показан чат с ассистентом преподавателя, в котором можно задать вопрос, а также очистить чат. Когда сотрудник выводит ответ, он показывает откуда он взял информацию и с какой страницы. На Рис. 7 и Рис. 8 представлена работа нейросотрудника в быстром и полном режиме. Также обратим внимание, что в полном режиме голосовой ответ не только сразу воспроизводится, его можно прослушать заново, а также скачать аудиофайл см Рис. 8.

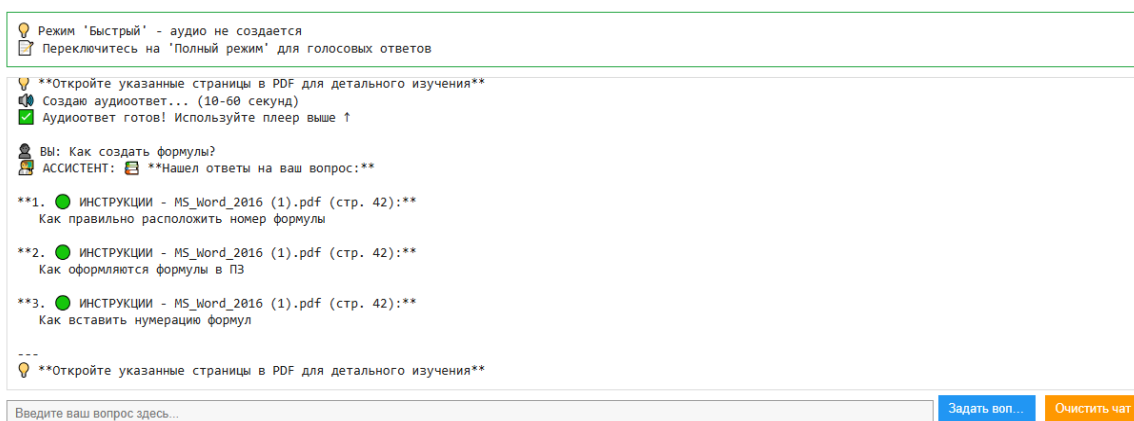


Рис. 7. Работа ассистента в быстром режиме

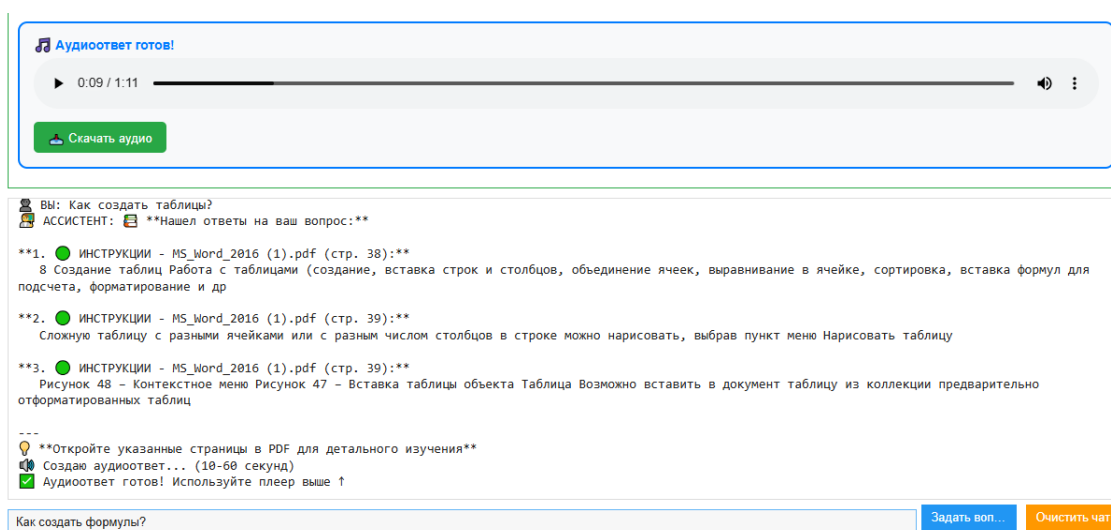


Рис. 8. Работа ассистента в полном режиме

Таким образом, нейросотрудники-ассистенты могут служить помощниками преподавателя, брать на себя рутинные задачи, могут быть использованы для дополнительных консультаций, для организации самостоятельной работы студентов.

Библиографический список

1. Google Colab Technical Documentation. — Google AI, 2023 – URL: <https://docs.cloud.google.com/colab/docs> (дата обращения 09.11.2025)
2. Журавлева О.Б., Козлова Н.Ш. Цифровые технологии в профессиональном образовании: теория и практика. — СПб.: Лань, 2022. — 214 с.
3. Зайцева С.А., Федоров А.Ф. Искусственный интеллект в образовании: возможности и перспективы // Информатика и образование. — 2023. — № — С. 15–23.

© Каримова Т.Р., 2025

М.Р. МУХАМЕТОВ

maratmunik@yandex.ru

Науч. руковод. – доктор технических наук, проф. А.В. ВОРОБЬЕВ

Уфимский университет науки и технологий

ТЕХНИЧЕСКИЕ МЕТОДЫ И СРЕДСТВА ИДЕНТИФИКАЦИИ СУББУРЕВОЙ АКТИВНОСТИ

Аннотация: статья представляет систематический обзор современных методов исследования геомагнитных суббурь. Рассматриваются традиционные наземные и современные спутниковые методы, а также комплексные подходы, интегрирующие наблюдения в физические модели. Проведено сравнение методов, выявлены их преимущества и ограничения.

Ключевые слова: геомагнитная суббуря, магнитосфера, ионосфера, космическая погода, магнитометры, спутниковые измерения, геомагнитные индексы, фазы суббури.

Введение

Геомагнитные суббури – ключевой процесс в магнитосфере Земли, высвобождающий энергию, накопленную от солнечного ветра. Их стандартное развитие включает три фазы: рост, взрыв и восстановление. Во время суббури происходят изменения магнитного поля, активизируются ионосферные токи, усиливается авроральное свечение и заряженные частицы проникают в магнитосферу.

Суббури наносят значительный ущерб технологической инфраструктуре. Наиболее опасны геомагнитно-индуцированные токи в энергосистемах, вызывающие перегрев и повреждение трансформаторов. Также нарушается спутниковая навигация и связь, ускоряется коррозия трубопроводов [1].

Несмотря на долгую историю изучения, механизмы суббурь продолжают уточняться. Цель статьи – проанализировать современные методы исследования, оценить их вклад в понимание физики суббурь и определить перспективные направления развития научной базы. Суббуря охватывает большие объемы пространства от внешних границ магнитосферы до ионосферы. Процессы, происходящие в различных областях, тесно взаимосвязаны и происходят с разными временными масштабами.

Фазы суббури:

Фаза роста (30-60 мин): Магнитосфера накапливает энергию солнечного ветра. Энергия запасается в магнитном «хвосте». Активность кажется спокойной.

Фаза экспансии (10-30 мин): Достигнув критического уровня, энергия высвобождается. В хвосте происходит магнитное пересоединение, силовые линии «схлопываются», направляя плазму к Земле. Резко падает индекс AL, расширяется авроральный овал, возникают яркие полярные сияния.

Фаза восстановления (30 мин - 2 ч): Магнитосфера возвращается в исходное состояние. Сияния ослабевают, авроральный овал смещается к полюсу, индексы приходят в норму. Цикл может повториться.

Исследование суббурь

Существующие методы анализа и исследования геомагнитных суббурь можно условно разделить на 2 группы: методы наблюдения и методы анализа.

1. Методы наблюдения

1.1. Наземные методы исследования

Наземные методы обеспечивают непрерывный долговременный мониторинг с высокой временной разрешающей способностью и являются основой для идентификации фаз суббури.

1.2. Сети наземных магнитометров

Детальный анализ данных с глобальных сетей магнитометров позволяет реконструировать пространственно-временную динамику ионосферных токовых систем во время суббури. Глобальные сети магнитометров, например, INTERMAGNET, позволяют определять положение электроджетов, вычислять параметры ионосферной проводимости и отслеживать распространение возмущений.

1.3. Оптические и радионаблюдения

Фоторегистраторы небосвода (All-Sky Imagers) — это специализированные камеры, которые с помощью объектива типа «рыбий глаз» делают панорамный снимок всего небосвода. Такие камеры позволяют напрямую мониторить изменения космической погоды. Современные системы предоставляют данные с высоким пространственным и временным разрешением, позволяя точно определять время и локализацию начала взрывной фазы суббури.

Ионосферные радары, такие, как SuperDARN, измеряют доплеровский сдвиг, позволяя фиксировать потоки плазмы в ионосфере и крупные электрические поля. Такие приспособления используются для изучения конвекции плазмы и ее перестройки во время различных фаз суббури.

1.4. Спутниковые методы исследования

Исследование суббурь ведется с помощью специализированных спутниковых группировок двух типов.

Низкоорбитальные группировки отслеживают последствия суббурь в ионосфере с высоким разрешением, регистрируя токи, сияния и высыпания частиц.

Группировки в хвосте магнитосферы изучают механизмы зарождения суббурь. Аппараты работают в согласованных конфигурациях, что позволяет анализировать эволюцию процессов в плазменном слое.

Совместное использование данных обеих систем дает полную картину развития суббури от начала в магнитосфере до завершения в ионосфере.

2. Методы анализа

2.1. Анализ с использованием геомагнитных индексов

Геомагнитные индексы количественно измеряют возмущенность магнитного поля Земли. Ключевые для изучения суббури:

1) AU, AL, AE - вычисляются по данным магнитометров под авроральным овалом. AU и AL характеризуют восточный и западный электроджеты, AE - их общую интенсивность. Взрывная фаза суббури фиксируется резким падением AL.

2) SMU, SML, SME - усовершенствованные аналоги от SuperMAG, использующие глобальную сеть станций. SME считается более точным показателем активности электроджетов.

3) Dst-индекс - отражает интенсивность кольцевого тока. Суббури вызывают его кратковременные вариации.

4) индекс Bz - определяет направление межпланетного магнитного поля и является критическим параметром для прогноза геомагнитных возмущений.

2.2. Численное моделирование

Численное моделирование является ключевым инструментом для изучения нелинейной динамики геомагнитных суббурь. Оно позволяет интегрировать разрозненные данные наблюдений в целостную физическую модель, описывающую систему «солнечный ветер — магнитосфера — ионосфера». Основу составляют глобальные магнитогидродинамические (МГД) модели, которые воспроизводят крупномасштабную динамику плазмы, а также гибридные и кинетические подходы, детально описывающие физику в области пересоединения в хвосте магнитосферы.

С помощью моделирования решаются фундаментальные задачи, такие как верификация сценариев инициирования суббури и количественная оценка вклада различных процессов. Эти методы позволяют воспроизвести полную пространственно-временную эволюцию события — от взрывного пересоединения и диполизации хвоста до инжекции частиц и ионосферных ответов. Таким образом, численные модели не только углубляют теоретическое понимание, но и создают прогностическую основу для оценки воздействия суббурь на технологические системы.

2.3. Комплексный анализ

Современный подход к исследованию суббурь предполагает одновременный анализ данных от всех доступных инструментов: наземных магнитометров, камер, радаров и нескольких спутников. Такой подход позволяет построить целостную картину события, проследив причинно-следственные связи между различными областями на протяжении всех фаз суббури [2].

Важным преимуществом комплексного подхода является возможность взаимной проверки данных из разных источников. Совместное использование

разнотипных измерений помогает выявить и учесть систематические погрешности аппаратуры, повышая надежность интерпретации наблюдаемых явлений [3]. В частности, сопоставление спутниковых измерений в хвосте магнитосферы с наземными наблюдениями полярных сияний позволяет напрямую связать процессы пересоединения магнитных силовых линий с их видимыми проявлениями в ионосфере.

Методы машинного обучения начинают играть значительную роль в анализе больших массивов гелиофизических данных. Например, на рисунке Рис. 67, представлен временной ряд для показателей SME, SML и SMU, а также прогноз значений этих величин на небольшой промежуток времени, выполненный с применением технологии машинного обучения.

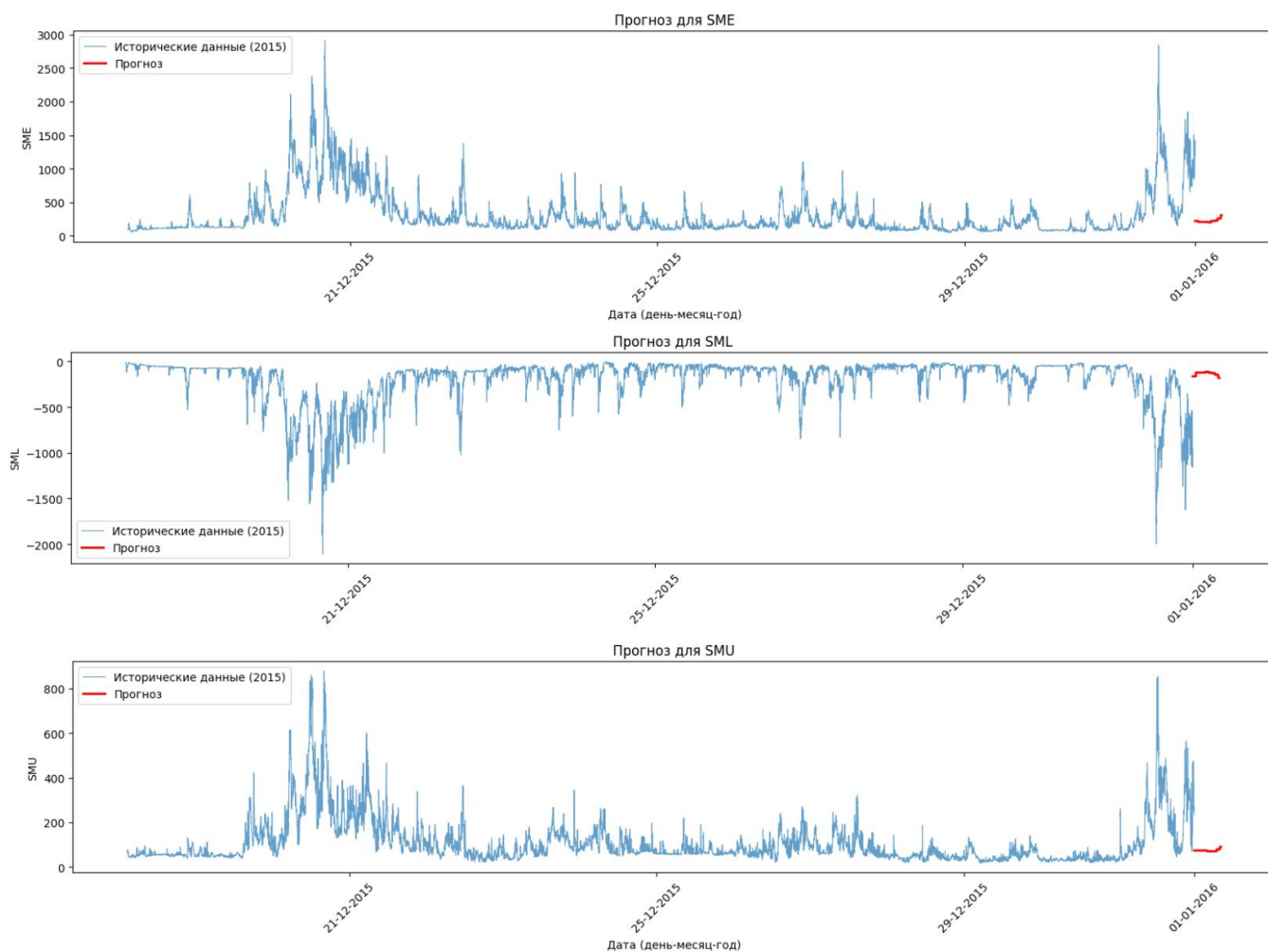


Рис. 67. Диаграмма показателей SME, SML и SMU

Сравнительный анализ методов исследования

Для большей наглядности представлено сравнение основных методов наблюдения и анализа (Таблица 30,

| | | | |
|-----------------------|--------------------------------|-------------------------------|-------------------------------|
| Наземные магнитометры | Реконструкция динамики токовых | Глобальный охват, непрерывный | Ограниченное пространственное |
|-----------------------|--------------------------------|-------------------------------|-------------------------------|

| | | | |
|-----------------------|---|---|---|
| | систем, определение проводимости | мониторинг, высокая точность | разрешение, влияние локальных аномалий |
| Оптические наблюдения | Определение времени и локализации начала взрывной фазы, динамика структур | Прямая визуализация, высокое пространственно-временное разрешение | Зависимость от погоды, сезонные и суточные ограничения |
| Ионосферные радары | Исследование конвекции плазмы, измерение полей, перестройка потоков | Зондирование больших площадей, всепогодность, измерение скорости дрейфа | Ограниченное покрытие, сложность интерпретации |
| Спутниковые миссии | Исследование 3D-структуры, градиентов, механизмов пересоединения | Разделение временных и пространственных изменений, прямое измерение токов суббурь | Высокая стоимость, сложность координации, сложная обработка |

Таблица 31).

Таблица 30

Сравнение методов наблюдения

| Метод | Решаемые задачи | Преимущества | Недостатки |
|-----------------------|---|---|--|
| Наземные магнитометры | Реконструкция динамики токовых систем, определение проводимости | Глобальный охват, непрерывный мониторинг, высокая точность | Ограниченное пространственное разрешение, влияние локальных аномалий |
| Оптические наблюдения | Определение времени и локализации начала взрывной фазы, динамика структур | Прямая визуализация, высокое пространственно-временное разрешение | Зависимость от погоды, сезонные и суточные ограничения |
| Ионосферные радары | Исследование конвекции плазмы, измерение полей, перестройка потоков | Зондирование больших площадей, всепогодность, измерение скорости дрейфа | Ограниченное покрытие, сложность интерпретации |
| Спутниковые миссии | Исследование 3D-структуры, градиентов, механизмов пересоединения | Разделение временных и пространственных изменений, прямое измерение токов суббурь | Высокая стоимость, сложность координации, сложная обработка |

Сравнение методов анализа

| Метод | Решаемые задачи | Преимущества | Недостатки |
|------------------------------------|---|--|---|
| Геомагнитные индексы (AE, AL, SME) | Определение времени и интенсивности фаз суббури, мониторинг электроджетов | Простота, длинные ряды данных, высокая временная разрешающая способность | Интегральный характер данных, зависимость от расположения обсерваторий |
| Численное МГД-моделирование | Воспроизведение крупномасштабной динамики, исследование глобальных взаимосвязей | Целостное описание системы, возможность параметрических исследований | Упрощенная физика плазмы, высокая вычислительная стоимость |
| Кинетическое моделирование | Исследование микрофизики пересоединения, ускорения частиц, структуры слоев | Учет неколлективных эффектов, точное описание физики в ключевых областях | Экстремальная вычислительная стоимость, малый объем моделируемой области |
| Комплексный анализ данных | Установление связей между процессами в разных областях магнитосферы | Прямое определение причинно-следственных связей | Сложность согласования разнородных данных, потребность в точной синхронизации |

Анализ показывает, что современные исследования суббурь требуют комплексного подхода. Сочетание наземных и спутниковых наблюдений создает эмпирическую базу, а численное моделирование и машинное обучение выявляют физические закономерности. Такой синтез методов необходим для перехода от описания явления к его надежному прогнозированию.

Заключение

В данной статье представлен систематический обзор методов исследования геомагнитных суббурь. Проведенный анализ позволяет сделать следующие выводы:

- 1) все рассмотренные методы разделены на две группы: наблюдения и анализа, что позволило структурировать исследовательские подходы;
- 2) наземные методы, включая геомагнитные индексы и сети магнитометров, остаются основой для мониторинга ионосферных проявлений и идентификации фаз суббурь;

3) спутниковые измерения, особенно многоспутниковые группировки, обеспечивают прямые данные из ключевых областей магнитосферы и разделение временных и пространственных изменений;

4) современные методы анализа - численное моделирование, машинное обучение и комплексный подход - позволяют интегрировать разнородные данные и строить физически согласованные модели.

Сравнительный анализ подтверждает необходимость комплексного подхода к изучению геомагнитных суббурь. Сочетание наземных, спутниковых и аналитических методов позволит создать эффективные системы прогнозирования для защиты технологической инфраструктуры от воздействия космической погоды.

Библиографический список

1. Воробьев, А. В. Оценка влияния геомагнитной активности на метрологические характеристики инклинометрических информационно-измерительных систем / А. В. Воробьев, Г. Р. Воробьева // Измерительная техника. – 2017. – № 6. – С. 21-24.

2. В. В. Сафаргалеев, Комплексный анализ “полярной суббури” по данным магнитных, оптических и радарных наблюдений в окрестности Шпицбергена / В. В. Сафаргалеев, В. Н. Митрофанов, А. Е. Козловский, — Полярный геофизический институт РАН (ПГИ), г. Апатиты (Мурманская обл.), Россия 2 Геофизическая обсерватория Соданкюля, Соднанкюля, Финляндия — Геомагнетизм И Аэрномия, 2018, том 58, № 6, с. 828–844.

3. Воробьев, А. В. Концепция единого пространства геомагнитных данных / А. В. Воробьев, Г. Р. Воробьева, Н. И. Юсупова // Труды СПИИРАН. – 2019. – Т. 18, № 2. – С. 390-415. – DOI 10.15622/sp.18.2.390-415.

© Мухаметов М.Р., 2025

УДК 005.591:658.5

Н.Д. ОВЧИННИКОВА

h2018i@yandex.ru

Науч. руковод. – д.т.н., профессор С.В. ТАРХОВ

Уфимский университет науки и технологий

ИСПОЛЬЗОВАНИЕ EXCEL И 1С:ERP В УПРАВЛЕНИИ ТЕХНОЛОГИЧЕСКИМИ ОПЕРАЦИЯМИ ПРОИЗВОДСТВА: СТРУКТУРА, ОБМЕН ДАННЫМИ, РОЛЬ РАЗЛИЧНЫХ ПОДРАЗДЕЛЕНИЙ

Аннотация: в статье рассматривается универсальный подход к цифровой организации и планированию технологических операций, применяемый в производственных системах различных отраслей. Показано, как связка Excel и 1С:ERP позволяет формировать первичные операционные данные, распределять работы во времени и обеспечивать интегрированный учет ресурсов [1]. Рассмотрены функции участников процесса и определены направления развития цифрового сопровождения, релевантные для любых предприятий.

Ключевые слова: технологическая карта, Excel, 1С:ERP, производство, операции, планирование, учет затрат, сезонность.

Цифровизация процессов планирования и учета технологических операций становится ключевым элементом управления на современных предприятиях различных отраслей – от промышленного производства до агрокомплексов [2]. Независимо от специфики деятельности, организации сталкиваются с одинаковыми задачами: распределение работ во времени, фиксация трудозатрат, учет ресурсов, согласование информации между подразделениями и снижение влияния человеческого фактора [3].

Использование электронных таблиц и корпоративных информационных систем является универсальным инструментом решения этих задач. Excel обеспечивает гибкость локального планирования и удобство формирования первичных данных, тогда как ERP-системы позволяют интегрировать эти данные в общий производственно-экономический контур.

Настоящая работа рассматривает эту универсальную связку на примере тепличного производства, где технологические операции различных культур служат конкретной иллюстрацией общего принципа планирования и цифрового сопровождения производственного процесса.

Тепличное производство включает последовательные этапы: рассада, рост растений, обслуживание в период вегетации и сбор урожая [4]. Для огурцов, томатов и других культур набор операций и их периодичность могут

различаться, однако общая схема планирования сохраняется: каждая операция имеет фиксированный объем, трудоемкость и календарные рамки.

Эти параметры фиксируются в Excel-документах, которые выполняют роль технологических карт. Поскольку Excel является основной точкой формирования базы данных, то рассмотрим структуру используемых шаблонов.

Шаблоны содержат ключевые поля, необходимые для расчета годового графика: «Наименование операции», «Владелец», «Вид работ» и другие как на Рис. 24. Такой подход соответствует рекомендациям по формированию технологической документации в сельском хозяйстве.

| Наименование | Владелец | Вид работ | Повторов в неделю | Объем операции | Масштабируемость |
|---------------------|--|---------------------|-------------------|----------------|------------------|
| Выравнивание грунта | Подготовка и выращивание рассады МЕВА F1 | Выравнивание грунта | | | 1 Да |
| Мытье пленки | Подготовка и выращивание рассады МЕВА F1 | Мытье пленки | 0 | | 1 ДА |
| Обработка грунта | Подготовка и выращивание рассады МЕВА F1 | Обработка грунта | 0 | | 1 ДА |

Рис. 24. Фрагмент Excel-шаблона технологической карты операции

Этот фрагмент демонстрирует структурирование данных, которые впоследствии служат основой для нормирования и планирования трудозатрат.

Excel обеспечивает удобство работы при большом количестве котировок. Это соответствует выводам современных исследований, где электронные таблицы рассматриваются как эффективный инструмент локального планирования в агропромышленном секторе.

Календарная матрица, размещенная в отдельных листах файла, позволяет визуально отразить сезонность работ, что особенно важно при обслуживании культур с высокой частотой операций на Рис. 25.

| Наименование | Январь | Февр | Март |
|---------------------|--------|------|------|
| Сбор огурца | 1 | 1 | 1 |
| погрузка овощей | 1 | 1 | 1 |
| Заготовка гофротары | 1 | 1 | 1 |

Рис. 25. Фрагмент календарной матрицы сезонности технологических операций

Показанная матрица иллюстрирует распределение работ по месяцам, что позволяет перейти от списка операций к реальному производственному плану.

1С:ERP используется для учета затрат, нормативов, материалов и трудовых ресурсов. На основании данных Excel в ERP формируются расчетные показатели себестоимости, отчеты для бухгалтерии и коммерческой службы. Наличие единой базы снижает риск несогласованности данных между подразделениями.

Таким образом, Excel генерирует первичную операционную информацию, а ERP обеспечивает ее системную интерпретацию. Чтобы оценить эффективность такой связки, важно рассмотреть распределение функций между участками процесса.

Процесс включает несколько групп специалистов:

- Агрономы формируют перечень операций и их сезонность;
- Технологи уточняют нормы времени и трудоемкость;

- Планово-экономический отдел формирует годовой план и передает данные в ERP;
- IT-специалисты обеспечивают корректность шаблонов и интеграций;
- Бухгалтерия использует ERP-данные для расчета урожайности;

Такое распределение обязанностей отражает межфункциональный характер производственного планирования и демонстрирует необходимость дальнейшей цифровой интеграции.

Использование Excel в ERP создает ряд ограничений: дублирование данных, отсутствие единого хранилища версий, риск ошибок при ручном вводе. Эти проблемы типичны для предприятий, где планирование осуществляется частично вручную.

Поэтому перспективным направлением развития является переход к единым цифровым технологическим картам внутри ERP или внедрение MES-систем, позволяющих объединить планирование, выполнение и учет в единой платформе.

Проведенный анализ демонстрирует, что совмещение Excel и 1С:ERP является практичным и универсальным подходом к цифровой поддержке производственных процессов, применимым не только в агрокультуре, но и в других отраслях. Excel обеспечивает возможность быстрого формирования и корректировки первичных данных, а ERP-система – их дальнейшую интеграцию, учет, анализ и использование в межфункциональных процессах.

Рассмотренный пример тепличного производства лишь подчеркивает общую логику: любая технологическая операция – независимо от отрасли – требует описания, календарной привязки, нормирования, расчета трудоемкости и корректного отображения в единой информационной системе.

Таким образом, описанная модель может быть адаптирована для различных типов предприятий, где существует необходимость объединить оперативное планирование и централизованный учет в едином цифровом контуре. Перспективы ее развития связаны с дальнейшей автоматизацией и интеграцией планирования, контроля исполнения и анализа производственных данных.

Библиографический список

1. Gutiérrez S/ Digital tools in greenhouse planning. // Agricultural Systems. – 2021.
2. Котляров И. Д. Управление тепличными комплексами. – М.: Россельхозиздат, 2019.
3. 1С:ERP. Комплексная автоматизация. Методическое руководство. – М.: 1С-Паблишинг, 2021.
4. Назарова И. П. Бухгалтерский учет в сельском хозяйстве. – М.: ИНФРА-М, 2020.
5. Microsoft Docs. Официальная документация Excel. URL: <https://support.microsoft.com/ru-ru/excel> (дата обращения: 14.11.2025).

© Овчинникова Н.Д., 2025

УДК 658.7.012.3

Н.В. ПЕТРОВ

petrov.jumper@yandex.ru

Науч. руковод. – канд. техн. наук, доцент. А.С. КОВТУНЕНКО

Уфимский университет науки и технологий

ОПТИМИЗАЦИИ ЛОГИСТИЧЕСКИХ МАРШРУТОВ В УСЛОВИЯХ НЕСТАБИЛЬНОЙ ВНЕШНЕЙ СРЕДЫ НА ОСНОВЕ ТЕХНОЛОГИЙ МАШИННОГО ОБУЧЕНИЯ

Аннотация: в статье рассмотрена проблема оптимизации логистических маршрутов в условиях нестабильной внешней среды. Предложен подход к созданию интеллектуальной системы, сочетающий методы машинного обучения для прогнозирования ключевых параметров и классические алгоритмы оптимизации для построения маршрутов. Результаты вычислительного эксперимента на синтетических данных показали снижение общих логистических затрат на 12-15% по сравнению с эвристическими методами.

Ключевые слова: логистика; оптимизация маршрутов; машинное обучение; прогнозирование; градиентный бустинг; генетический алгоритм; цепь поставок.

1. Введение

Современная логистика является критически важным элементом для большинства секторов экономики. Эффективное управление цепями поставок напрямую влияет на себестоимость продукции, удовлетворенность клиентов и общую конкурентоспособность компании. Одной из центральных задач в логистике является задача маршрутизации транспорта (*Vehicle Routing Problem, VRP*), которая заключается в определении оптимального набора маршрутов для парка транспортных средств, обслуживающих множество заказчиков с определенными требованиями.

Традиционные подходы к решению *VRP* часто опираются на детерминированные модели и статические данные, что не позволяет адекватно учитывать изменчивость реальных условий, таких как пробки на дорогах, погодные явления, колебания спроса и простои транспортных средств [1]. Это приводит к тому, что рассчитанные «на бумаге» оптимальные маршруты оказываются неэффективными на практике.

Интеграция методов машинного обучения (МО) в системы логистической оптимизации позволяет перейти от реактивного к проактивному управлению. МО-модели могут прогнозировать ключевые переменные, влияющие на маршрут, что повышает точность и надежность планирования.

Целью данного исследования является разработка архитектуры системы оптимизации логистических маршрутов, которая интегрирует модуль

прогнозирования на основе машинного обучения и модуль оптимизации. В качестве источников данных рассматриваются как исторические данные о поездках, так и внешние факторы.

2. Обзор предметной области и существующих подходов

Задача VRP и ее многочисленные вариации (с временными окнами, с учетом вместимости и т.д.) являются NP-трудными. Для их решения применяются как точные методы (метод ветвей и границ), так и приближенные: эвристические (например, методы поиска с запретами) и метаэвристические (генетические алгоритмы, муравьиные колонии) [2].

В российских исследованиях также уделяется значительное внимание этой проблематике. Так, в работах [3, 4] рассматриваются модификации генетических алгоритмов для решения задач маршрутизации в условиях крупных городов с учетом пробок. Однако вопрос точного прогнозирования времени перемещения между точками часто остается за рамками оптимизационной модели.

Машинное обучение находит в логистике следующее применение:

Прогнозирование времени доставки (ETA): Предсказание времени поездки между двумя точками с учетом исторических данных, времени суток, дня недели, погоды и данных о дорожном трафике.

Прогнозирование спроса: Предсказание объема заказов по регионам, что позволяет заблаговременно оптимизировать распределение ресурсов.

Классификация и кластеризация заказчиков: Группировка клиентов для более эффективного планирования зон доставки.

Использование прогнозных моделей позволяет преобразовать стохастическую задачу в детерминированную или сценарную, что значительно повышает ее адекватность.

Архитектура предложенной системы

Предлагаемая система состоит из двух основных взаимосвязанных модулей.

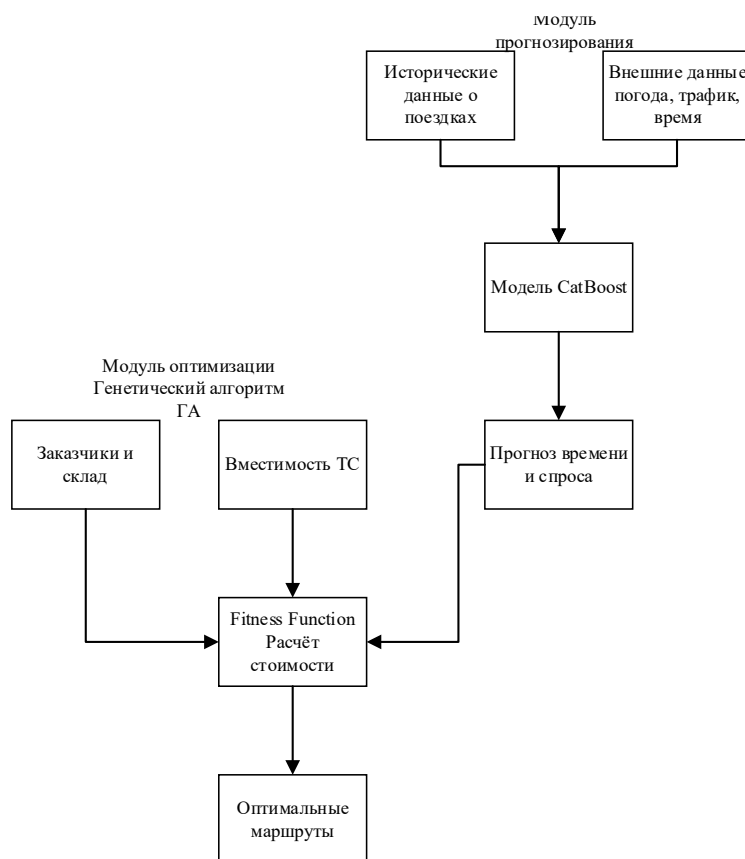


Рис. 1. Схема двух взаимосвязанных модулей

Модуль прогнозирования на основе машинного обучения

Этот модуль отвечает за предсказание двух ключевых параметров:

- Время перемещения между любыми двумя точками маршрута.
- Спрос (объем/вес заказов) в различных географических точках.

Входными данными для прогнозирования времени служат:

- Исторические данные о поездках (дата, время начала, координаты начала и конца, фактическое время в пути).
- Внешние данные: время суток, день недели, праздничные дни, погодные условия (температура, осадки), агрегированные данные о дорожном трафике (например, из сервисов Яндекса или 2ГИС).

Для построения модели прогнозирования был выбран алгоритм градиентного бустинга CatBoost, хорошо зарекомендовавший себя при работе с гетерогенными данными и категориальными признаками [5]. В качестве признаков использовались: расстояние между точками, день недели, час дня, категориальный признак «праздник/выходной», погодные условия.

Модель была обучена на синтетическом датасете, содержащем 50 000 записей о поездках в гипотетическом городе. Датасет был сгенерирован с учетом известных паттернов: пиковые часы, влияние выходных дней, случайные задержки. Валидация модели на тестовой выборке показала среднюю абсолютную процентную ошибку (MAPE) на уровне 8.5%.

Модуль оптимизации маршрутов.

На основе прогнозируемого времени перемещения и спроса модуль оптимизации решает задачу *VRP* с учетом вместимости транспортных средств (*CVRP*). Входными данными являются:

- Координаты и прогнозируемый спрос для каждого заказчика.
- Координаты склада (депо).
- Количество и вместимость транспортных средств.
- Матрица расстояний или времени перемещения, рассчитанная с помощью модуля прогнозирования.

Для решения данной NP-трудной задачи был выбран генетический алгоритм (ГА). Его работа включает следующие этапы:

1. Инициализация популяции: создается множество случайных решений. Создание набора начальных решений (хромосом), где каждый ген представляет порядок посещения заказчиков.

2. Оценка приспособленности (*Fitness Function*): Расчет стоимости каждого маршрута. Чем меньше общее время - тем выше приспособленность

3. Селекция: Отбор наиболее приспособленных решений. Используется турнирный отбор: из случайной группы выбирается лучшая особь

4. Кроссовер (Скрещивание): Создание новых решений путем комбинации частей хромосом-родителей. Вероятность выбора пропорциональна приспособленности

5. Мутация: Случайное изменение части решений для поддержания разнообразия популяции и выхода из локальных оптимумов. Пример: обмен клиентами между разными маршрутами, перемещение клиента в другой маршрут, объединение коротких маршрутов

Процесс повторяется в течение нескольких поколений до достижения критерия остановки: достигнуто максимальное число поколений, решение не улучшается длительное время, достигнуто приемлемое качество решения.

3. Эксперимент и результаты

Для проверки эффективности системы был проведен вычислительный эксперимент. В качестве базового сценария использовался набор из 50 заказчиков, расположенных в пределах условного города. Склад расположен в центре. Парк состоит из 5 транспортных средств одинаковой вместимости.

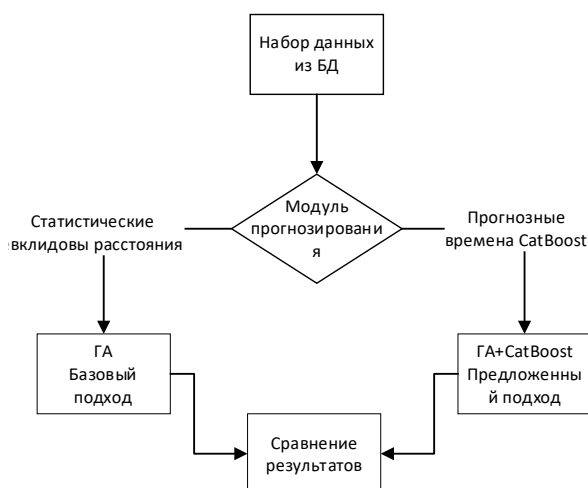


Рис. 2. Схема эксперимента

Были сравнены два подхода:

Базовый подход: Оптимизация маршрута с использованием ГА, где время перемещения между точками рассчитывается просто как евклидово расстояние, преобразованное во время с помощью постоянной средней скорости.

Предложенный подход: Оптимизация маршрута с использованием ГА, где время перемещения берется из прогнозов модели CatBoost, учитывающей временные и внешние факторы.

Процедура оценки: для каждого из экземпляров задачи из БД оба подхода находили лучшее решение за фиксированное время или число итераций. Эффективность решений оценивалась по двум ключевым метрикам:

1. Среднее отклонение от эталона: насколько процентов среднее значение целевой функции (общего пробега или времени) найденного решения отличается от эталонного значения

2. Количество использованных транспортных средств (ТС).

Результаты эксперимента представлены в Таблице 1.

Таблица 1

| Показатель | Базовый подход (ГА) | Предложенный подход (ГА+CatBoost) | Изменение |
|--------------------------------------|---------------------|-----------------------------------|-----------|
| Среднее отклонение от эталона, % | 15.2% | 12.1% | -3.1% |
| Среднее количество использованных ТС | 12.7 | 12.1 | -4.7% |

Результаты эксперимента демонстрируют, что предложенный подход, интегрирующий прогнозы машинного обучения, позволяет находить более качественные решения по сравнению с базовым методом.

Снижение затрат: Среднее отклонение от эталонного решения сократилось на 3.1 процентных пункта. Это означает, что маршруты,

построенные с учетом прогнозируемого времени, в среднем на 3.1% ближе к оптимальным по затратам (пробегу/времени), что напрямую ведет к снижению эксплуатационных расходов.

Оптимизация ресурсов: наблюдается снижение среднего количества задействованных транспортных средств на 4.7%. Это свидетельствует о том, что система, используя более точные прогнозы времени, эффективнее распределяет заказы по машинам, уменьшая их общее количество, требуемое для обслуживания всех клиентов.

4. Заключение

В данной работе представлена архитектура системы оптимизации логистических маршрутов, которая сочетает в себе прогнозную силу машинного обучения и оптимизационную мощь генетических алгоритмов. Показано, что переход от статических оценок времени перемещения к динамическим прогнозам, учитывающим множество контекстных факторов, позволяет существенно повысить эффективность логистических операций.

Основные преимущества предложенного подхода:

- Снижение затрат: Сокращение общего пробега, времени работы и количества задействованного транспорта.

- Повышение надежности: Увеличение процента соблюдения временных окон заказчиков.

- Проактивное планирование: Возможность учитывать ожидаемые изменения в дорожной обстановке и спросе.

Направления будущих исследований включают интеграцию в систему обработки данных в реальном времени, учет более сложных ограничений (например, совмещение грузов при разнотемпературных перевозках), а также применение методов глубокого обучения с подкреплением для решения задач маршрутизации в динамически изменяющейся среде.

Библиографический список

1. Тихомиров, А.Н. Математические модели и методы в логистике: Учебное пособие / А.Н. Тихомиров. — М.: ИНФРА-М, 2018. — 256 с.

2. Лапачук, В.С. Метаэвристические алгоритмы решения задачи маршрутизации транспортных средств / В.С. Лапачук, Д.А. Соколов // Труды СПИИРАН. — 2019. — Т. 18, № 6. — С. 1333–1360.

3. Плотников, А.В. Модифицированный генетический алгоритм для решения задачи маршрутизации транспорта с учетом пробок в мегаполисе / А.В. Плотников, К.А. Беляев // Информационные технологии и вычислительные системы. — 2020. — № 2. — С. 45–55.

4. Зайцев, А.А. Интеллектуальные системы управления цепями поставок: от планирования к исполнению / А.А. Зайцев // Логистика и управление цепями поставок. — 2021. — № 3 (104). — С. 15–25.

5. Дорофеева, Е.А. Сравнительный анализ алгоритмов машинного обучения для прогнозирования времени доставки в логистических системах / Е.А. Дорофеева, С.И. Прохоров // Большие данные и Advanced Analytics. — 2022. — Т. 2, № 1. — С. 28–35.

6. Данные о дорожной ситуации [Электронный ресурс] // Яндекс.Карты. — URL: <https://yandex.ru/maps>

© Петров Н.В., 2025

УДК 004

Д.М. СУЛТАНОВА

diana.sultanovaa@yandex.ru

Науч. руковод. – канд. физ. -мат. наук, доцент Л.И. ШЕХТМАН

Уфимский университет науки и технологий

МОДЕЛИРОВАНИЕ ДИНАМИКИ ПРОХОДНЫХ БАЛЛОВ КАК ЗАДАЧА ИССЛЕДОВАНИЯ В СИСТЕМЕ ВЫСШЕГО ОБРАЗОВАНИЯ

Аннотация: в статье рассматривается задача моделирования динамики проходных баллов, на основе данных о зачисленных на первый курс в 2023-2025 годах, проведён статистический анализ направлений подготовки.

Ключевые слова: исследование операций; статистический анализ; временные ряды; тренды; прогнозирование.

Система высшего образования представляет собой сложную организационно - техническую систему, где процесс приема абитуриентов может быть формализован как задача исследования операций. Актуальность исследования обусловлена возрастающей неопределенностью при планировании образовательной траектории, связаны с высокой изменчивостью. Традиционный подход, основанный на анализе данных предыдущего года в условиях динамично-меняющейся конкурсной ситуации, требует пересмотра в разработке новых оптимизационных моделей.

В работе использованы данные о проходных баллах зачисленных абитуриентов по очной форме обучения за 2023-2025 годы [1]. Анализ проводился по 64 направлениям подготовки, информация о которых присутствовала во все три рассматриваемых года. Основу методологии составили методы исследования операция и статистического анализа [2]:

- Анализ распределений с использованием диаграмм размаха («ящик с усами»);
- Регрессионный анализ для классификации направлений по типам трендов;
- Корреляционный анализ взаимосвязи между уровнем баллов и динамикой их изменения;
- Статистическая проверка гипотез с использованием теста Манна-Уитни;
- Оценка надежности прошлогодних данных как ориентира для планирования.

Результаты. Проведенный анализ выявил необходимость отдельного рассмотрения двух аспектов динамики проходных баллов: величины тренда и надежности прогнозирования.

Анализ трендов (общая тенденция 2023-2025 годов) показал доминирование растущей динамики: 54,7% направлений (35 из 64) демонстрируют сильный рост (более 3 баллов/год), 7,8% (5 направлений) - умеренный рост. Стабильные направления составляют 10,9% (7 направлений), а 26,6% (17 направлений) показывают умеренное снижение. Средний коэффициент тренда составил +4,48 балла в год. Диаграмма распределения направлений по типам трендов представлена на рисунке 1.

**Распределение направлений по типам трендов
(2023-2025 годы)**

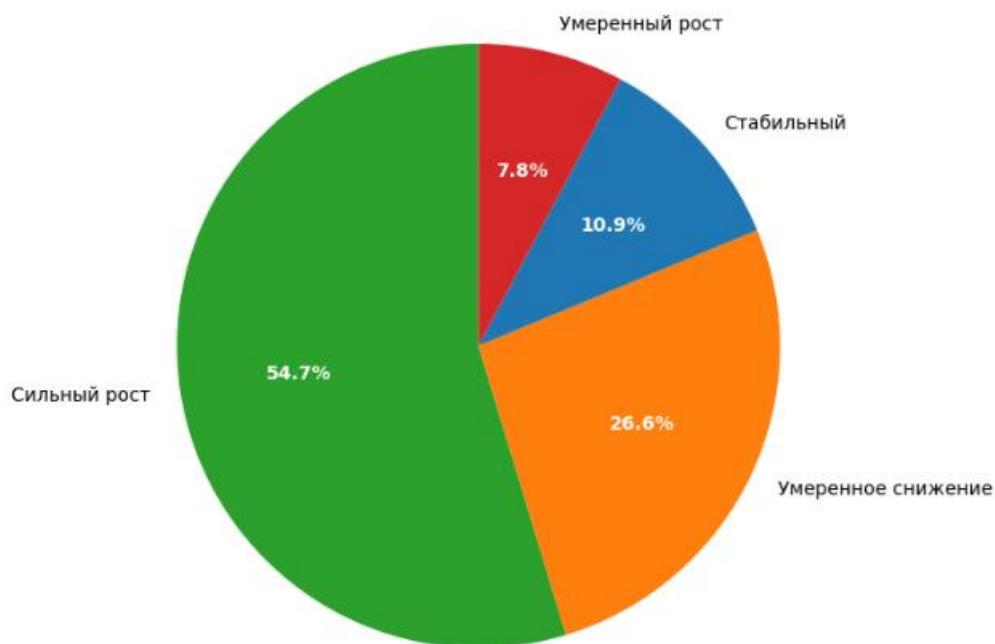


Рис. 1. Диаграмма распределения направлений по типам трендов

Однако анализ надежности прогнозирования (стабильность изменений между последовательными годами) выявил принципиально иную картину. Только 4,7% направлений (3 из 64) демонстрируют стабильность с колебаниями в пределах ± 5 баллов. При этом 34,4% направлений (22 из 64) характеризуются экстремальными изменениями (>20 баллов) и относятся к категории опасных. Оставшиеся 60,9% направлений (39 из 64) занимают промежуточное положение по надежности прогнозирования.

Выявленное расхождение между величиной тренда и надежностью прогнозирования свидетельствует о сложном характере динамики проходных баллов. Направления с высокими темпами роста часто демонстрируют наибольшую нестабильность межгодовых изменений, что создает дополнительные риски для абитуриентов. Корреляционный анализ подтвердил слабую отрицательную зависимость между средним проходным баллом и величиной тренда ($r = -0,297$), указывая, что направления с более низкими баллами демонстрируют более интенсивный рост, в то время как направления с высокими баллами характеризуются относительной стабильностью.

Статистический анализ распределений проходных баллов выявил высокую вариативность как между годами, так и внутри каждого года. Межквартильный размах составил 63,5 балла в 2023 году, 66,0 баллов в 2024 году и 49,2 балла в 2025 году, что свидетельствует о значительной неоднородности конкурса. Тест Манна-Уитни подтвердил различия между распределениями 2024 и 2025 годов ($p = 0,0263$) с увеличением медианного значения на 30,0 баллов. На рисунке 2 представлена диаграмма, отражающую распределение проходных баллов в 2023-2025 годах.

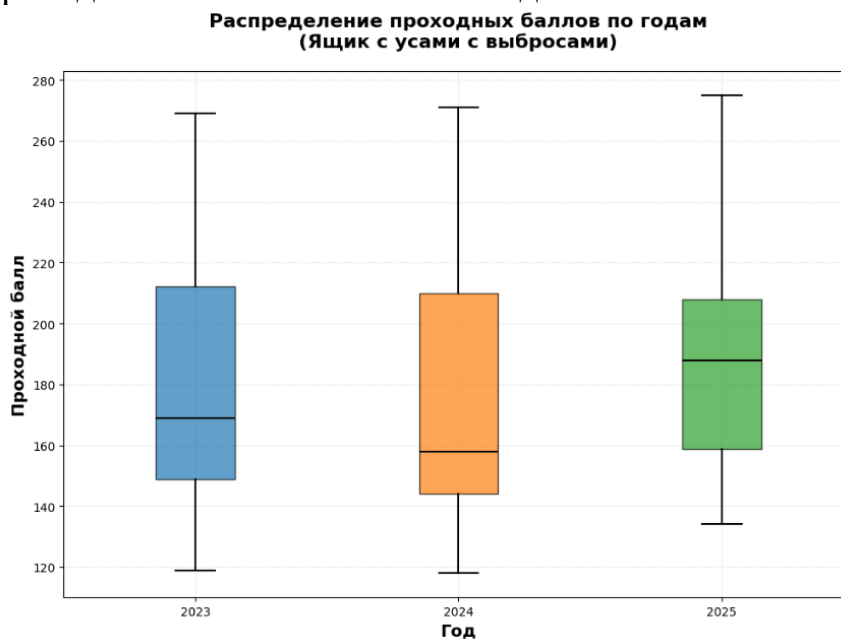


Рис. 2. Диаграмма распределения проходных баллов по годам

Практическая значимость. На основе результатов исследования разработана оптимизационная модель формирования образовательного портфеля, учитывающая двумерную классификацию направлений:

1. По надежности прогнозирования:

- Стабильные направления (4,7%) – рекомендуются как базовый вариант с минимальным запасом 5-10 баллов;
- Волатильные направления (60,9%) – требуют запаса прочности 15-20 баллов;
- Опасные направления (34,4%) – необходимы альтернативные стратегии выбора и запас более 25 баллов.

2. По величине тренда:

- Растущие направления (62,5%) – требуют учета тенденции к дальнейшему повышению баллов;
- Стабильные направления (10,9%) – допускают ориентацию на текущие значения;
- Снижающиеся направления (26,6%) – могут рассматриваться как страховочные варианты.

Комплексный учет обоих аспектов позволяет оптимизировать стратегию выбора направления обучения и минимизировать риски непрохождения по конкурсу.

Заключение. Моделирование динамики проходных баллов как задача исследования операций позволило выявить системные закономерности в организационно-технической системе высшего образования. Для комплексной оценки направления необходимо учитывать как общий тренд, так и стабильность изменений. Наиболее надежными являются направления, сочетающие умеренный рост с минимальными межгодовыми колебаниями. Ключевые результаты исследования:

1. Обнаружено принципиальное различие между величиной тренда и надежностью прогнозирования проходных баллов, требующее отдельного учета при разработке стратегий выбора;

2. Выявлено доминирование растущей динамики (62,5% направлений) при одновременной низкой стабильности изменений (только 4,7% направлений);

3. Установлена слабая отрицательная корреляция между уровнем баллов и динамикой их изменения, свидетельствующая о процессе выравнивания конкурсных требований;

4. Разработана комплексная методика оптимизации выбора образовательной траектории, учитывающая многомерный характер динамики проходных баллов.

Библиографический список

1. Приказы о зачислении // Приемная комиссия УУНиТ URL: <https://uust.ru/admission/bachelor-and-specialist/enrollment-orders/2025>

2. Баланов А. Н. Анализ данных: учебное пособие для СПО / А. Н. Баланов. – Санкт-Петербург : Лань, 2024. – 80 с.

© Султанова Д.М., 2025

УДК 004.946

Р.Р. ФАЙЗУЛЛИН, Л.Ф. КАРАМОВ, Д.В. ТРЯСКИН

fausyllin.romka@yandex.ru

Науч. руковод. – канд. техн. наук, доц. Р.Р. КАРИМОВ

Уфимский университет науки и технологий

КОНЦЕПЦИЯ И АЛГОРИТМ РАЗРАБОТКИ КОМПЬЮТЕРНОГО СИМУЛЯТОРА «EMERGENCY SIMVR»

Аннотация: работа посвящена описанию концепции, структуры и реализации механик в рамках разработки компьютерного симулятора «Emergency SimVR». Рассматриваются этапы создания виртуальной сцены, моделирования поведения жидкостей и интеграции физических эффектов в игровое пространство. Особое внимание уделено применению систем частиц и алгоритмов обработки наклона емкостей для симуляции воды.

Введение

Современные технологии виртуальной и дополненной реальности активно применяются в обучающих и прикладных симуляторах. Одним из направлений, демонстрирующих практическое применение VR, является моделирование действий персонала во время чрезвычайных ситуаций, в частности тушение пожаров и источников возгораний. Однако реализация даже простых механик борьбы с возгоранием, таких как тушение с помощью емкости (ведра) с водой, огнетушителя, тушение песком требуют применения определенного набора действий в VR и их реалистичной визуализации.

Реализация VR симулятора возможна в среде популярного 3D игрового движка Unity на базе дополнения VR/XR с поддержкой VR-комплекта.

Тушение водой допускается при возгорании твердых горючих веществ и материалов, таких как дерево, бумага, текстиль, уголь, а также некоторых горючих жидкостей, растворимых в воде (низшие спирты, ацетон).

Постановка задачи

Проект «Emergency SimVR» направлен на разработку виртуального симулятора, предназначенного для отработки действий пользователей в условиях возникновения локального возгорания.

В ходе реализации проекта необходимо создать базовую игровую сцену, реализовать физические свойства «локальной жидкости», находящейся в емкости, вытекание жидкости при наклоне емкости, попадание частиц жидкости на источник возгорания и реализация эффекта тушения пламени, а также взаимодействие объектов в трехмерном пространстве с применением шлема VR.

В качестве технологии реализации проекта предлагается игровой движок Unity Engine с расширением XR Interaction Toolkit.

Виртуальная сцена

Предполагается вариант тушения возгорания в виде открытого пламени в технических и офисных помещениях. На начальном этапе в игровом движке собрана сцена производственно-технического помещения. В сцену добавлены VR-персонаж, емкость с водой с точками захвата и источник возгорания, система управления и базовая физика предметов, произведено моделирование игровой локации и основных элементов взаимодействия.

В результате созданы два тестовых блока, предназначенных для проверки корректности работы механик.

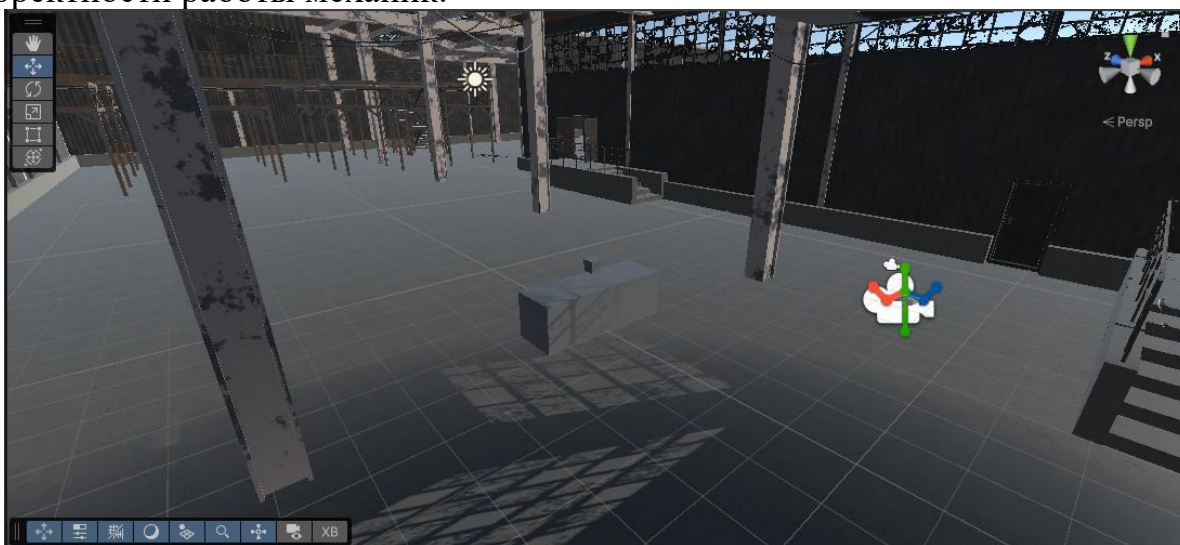


Рис. 68. Локация в техническом помещении

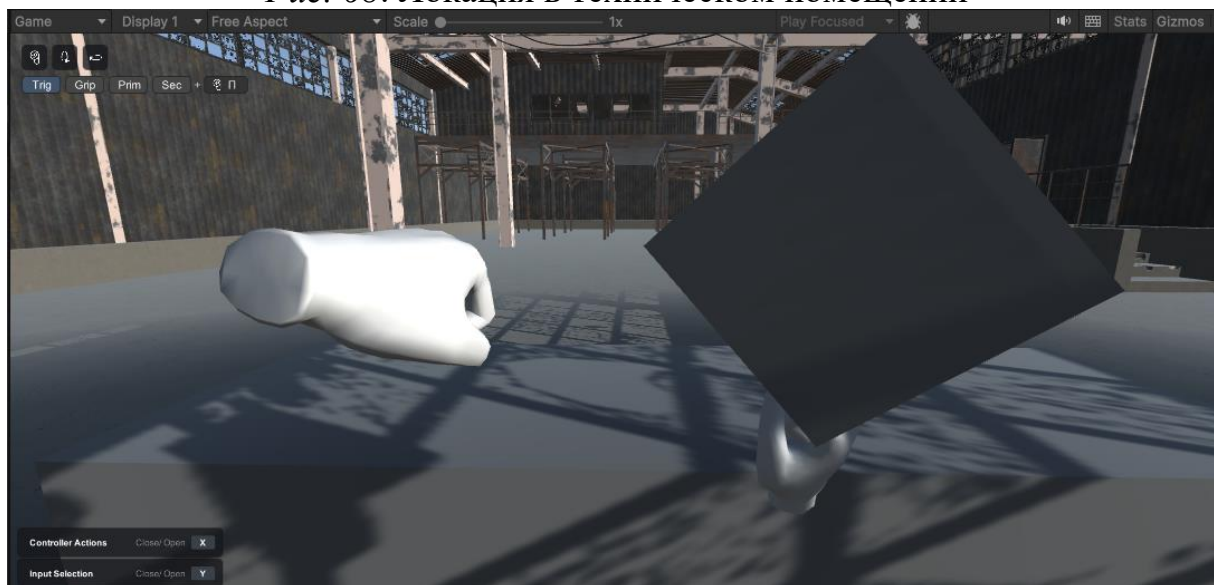


Рис. 69. Реализация системы взаимодействий

Реализация физики «локальной воды»

Задача моделирования поведения жидкости была разделена на две подзадачи: симуляция воды внутри емкости (ведра) и симуляция жидкости, выливающейся наружу.

Для первой части была создана 3D-модель ведра с водой, на поверхность которой наложены водные шейдеры, обеспечивающие визуализацию отражений и волн.

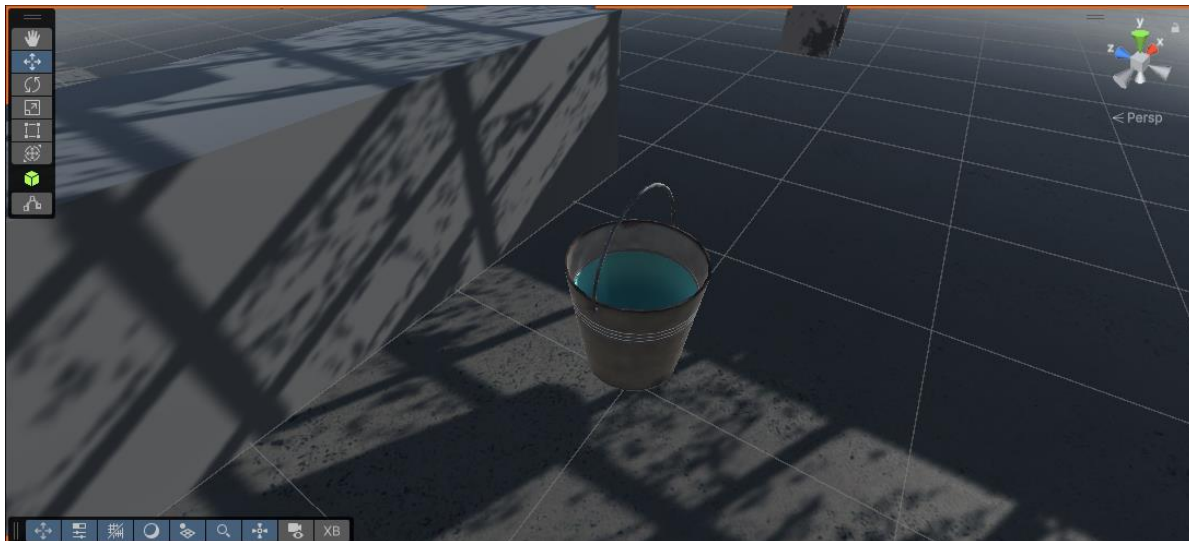


Рис. 70. Емкость (ведро) с водой

Для управления уровнем воды был реализован скрипт WaterLevel на языке C#. Он управляет изменением уровня жидкости в зависимости от угла наклона емкости и физических параметров.

Скрипт задаёт основной объект bucket (ведро), а также следующие свойства и методы:

- уровень жидкости заполненной емкости – topFillAmount;
- уровень пустой емкости – bottomFillAmount;
- угол полного опустошения емкости (максимальный угол наклона) – maxAngle;
- коэффициент скорости осушения емкости – drainMultiplier
- минимальная скорость вытекания жидкости – minDrainSpeed;
- переменные `_liquid` и `_curFill` отвечают за текущее состояние жидкости.

Метод Drainer (сопрограмма) обеспечивает постепенное снижение уровня воды, пересчитывая остаток жидкости в емкости. Метод UpdateTargetFill вычисляет целевой уровень жидкости в зависимости от угла наклона емкости и возвращает true, если жидкость льется.

В системном методе Update() проверяется текущее состояние жидкости. Если жидкость льется, то запускается сопрограмма, иначе сопрограмма отключается.

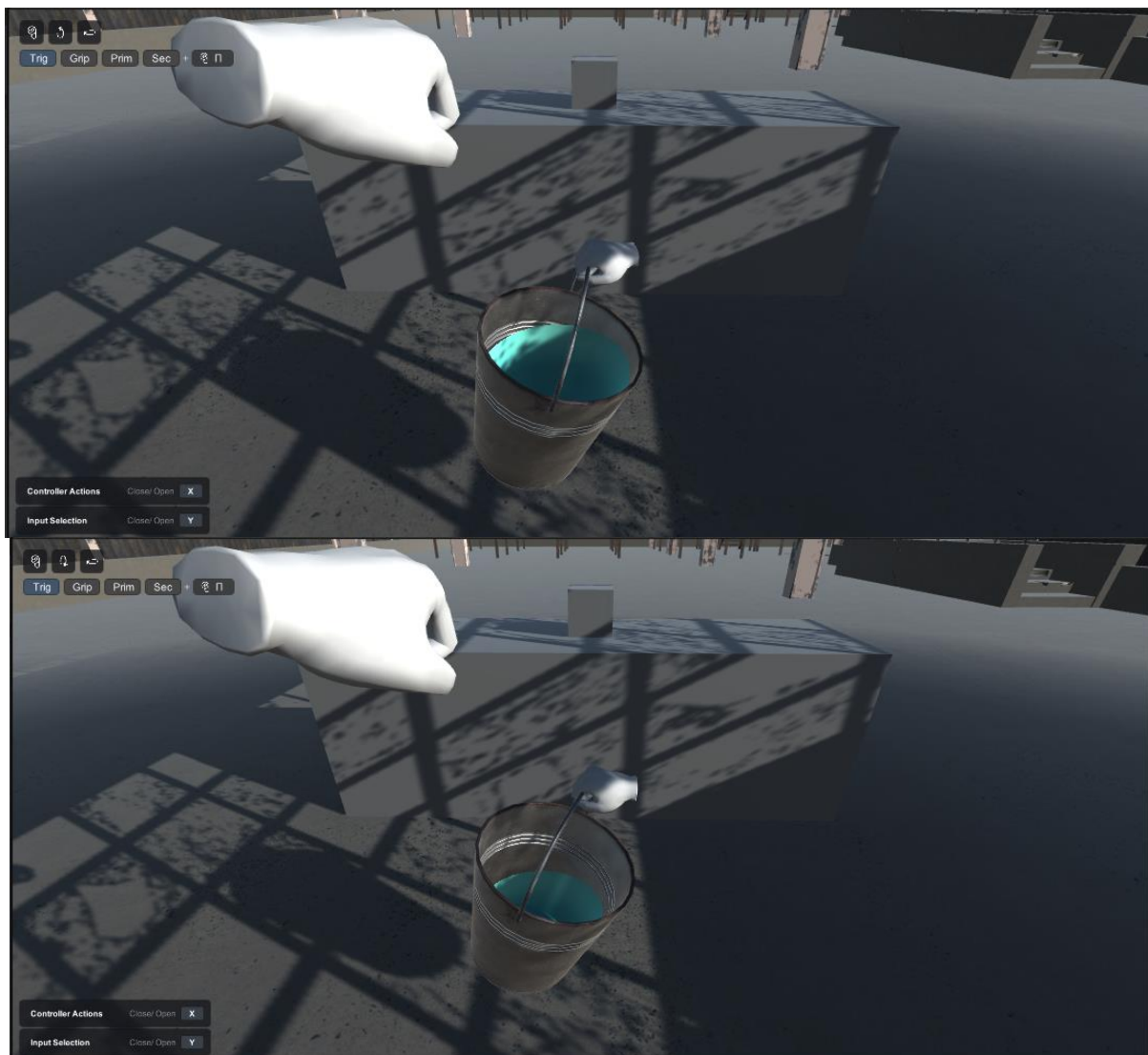


Рис. 71. Изменение поверхности жидкости при наклоне емкости

Физика воды при вытекании из емкости

Для симуляции вытекания жидкости из емкости применяется система частиц (Particle System).

В параметре Emitter Velocity Mode выбран режим Rigidbody, позволяющий частицам физически взаимодействовать с объектами сцены. Изменение параметра Start Speed позволяет регулировать скорость потока воды.

Остальные параметры процесса вытекания системы частиц, представляющих поток воды, представлены на рис.5.

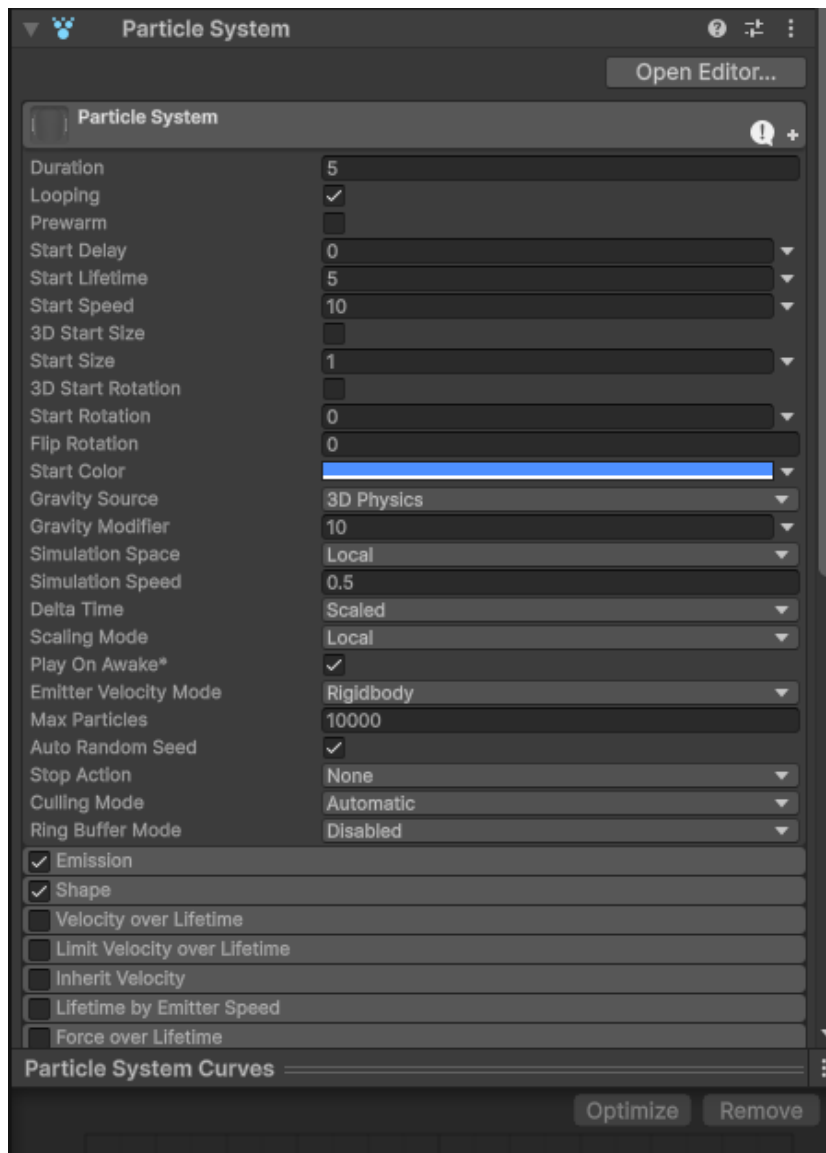


Рис. 72. Настройки particle system

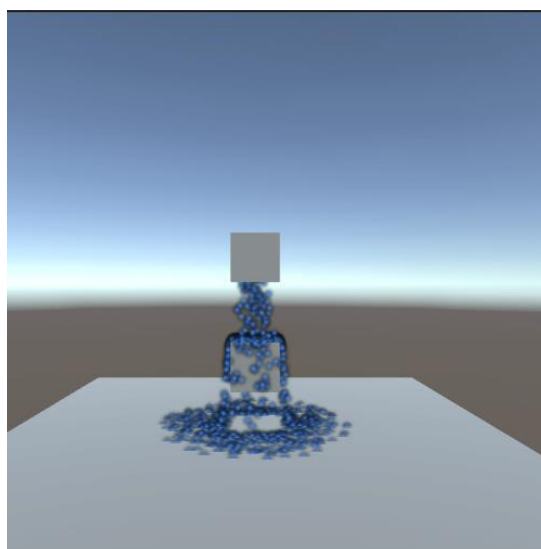


Рис. 73. Симуляция потока

Интеграция механик и взаимодействие систем

Следующим шагом является интеграция системы частиц и емкости с водой в единый процесс.

В скрипт WaterLevel добавляется объект ParticleSystem и в методе Update() после запуска сопрогаммы включается система частиц, что позволяет запускать и приостанавливать симуляцию частиц в зависимости от наклона ведра:

Данная модификация позволяет реализовать эффект выливания жидкости при наклоне емкости. Таким образом, уровень воды и скорость частиц изменяются синхронно, что создаёт реалистичную симуляцию жидкости в условиях взаимодействия с физическими объектами.

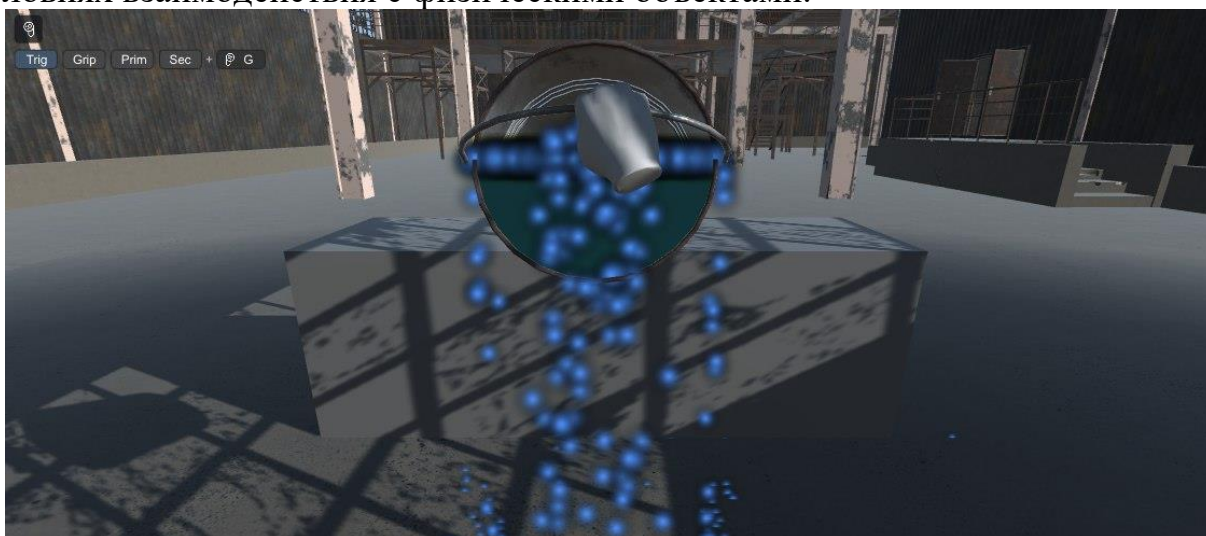


Рис. 74. Симуляция жидкости при выливании из ведра

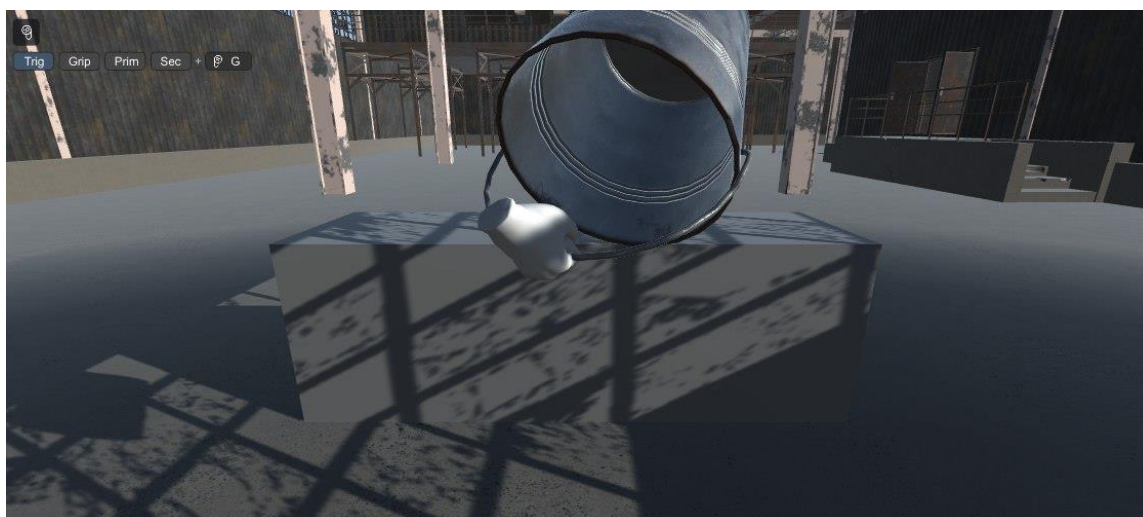


Рис. 75. Симуляция жидкости при опустошении из ведра

Настройка источника возгорания и процесса тушения

В сцену с помещением добавляется источник возгорания, включающий шейдер огня, систему частиц «огня» и зону физического взаимодействия (столкновения – Collider) с частицами воды. При пересечении контактной зоны «огня и воды» происходит декремент счетчика частиц воды, зависящий от

интенсивности возгорания. В процессе тушения размер и яркость пламени динамически гаснут. Как только счетчик столкновений обнуляется, «огонь» гаснет.

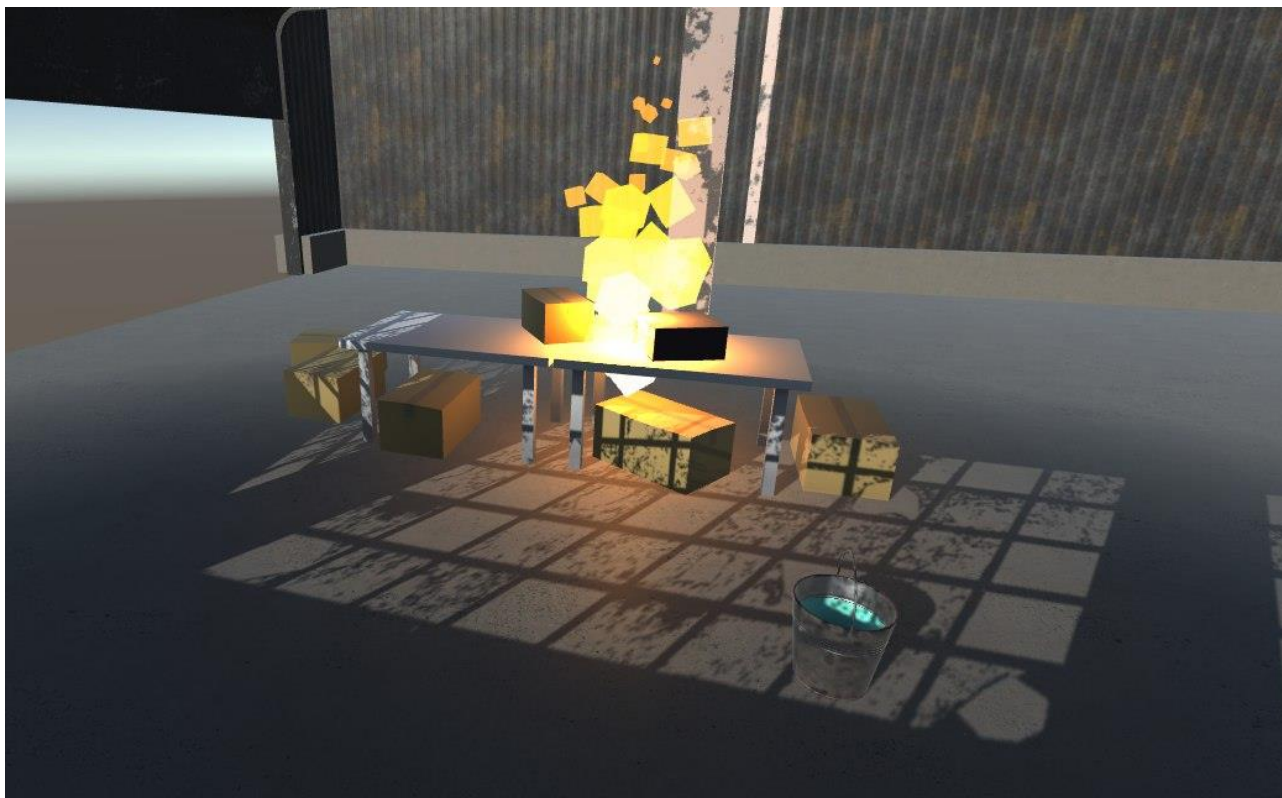


Рис. 76. Основная сцена

Заключение

В ходе разработки проекта «Emergency SimVR» реализованы ключевые механики взаимодействия объектов, симуляция жидкости и применение физических систем для воспроизведения реалистичного поведения воды. Результаты демонстрируют возможности использования игрового движка Unity для создания обучающих VR-симуляторов, в которых реалистичная физика играет важную роль в формировании вовлеченности и достоверности сценариев.

Библиографический список

1. Галиев Б.В., Харунов Р.Р. Геймификация образовательного процесса на движке Varwin с применением VR-технологий // Мавлютовские чтения, Материалы XVIII Всероссийской молодежной научной конференции — Уфа, 2024. – С. 912–918.
2. Воробьев, А.В., Цифровые технологии и искусственный интеллект в организационно-технических системах: монография / А.В. Воробьев [и др.]. – Уфа: РИЦ УУНиТ, 2024. – 258 с.

3. Технология виртуальной реальности при моделировании ЧС / Иванов В. Е., Зарубин В. П., Вокуев Д. Н. // Пожарная безопасность: проблемы и перспективы. – 2016. – № 1. – С. 249 – 251.

© Файзуллин Р.Р., Карамов Л.Ф., Тряскин Д.В., 2025

УДК 004.8:004.94:519.718

Р.Р. ХАРУНОВ, Б.В. ГАЛИЕВ

rishat.kharunov@mail.ru, renarlis@yandex.ru

Науч. руковод. – канд. технических наук, доц. Р.Р. КАРИМОВ

Уфимский университет науки и технологий

ГЕЙМИФИКАЦИЯ ОПЕРАЦИОННОЙ ДЕЯТЕЛЬНОСТИ НА ТЭЦ: ОТ ВР-ТРЕНАЖЁРА К СИСТЕМЕ ПОВЫШЕНИЯ КОМПЕТЕНЦИЙ И БЕЗОПАСНОСТИ

Аннотация: в данной статье рассматривается геймификация как метод повышения качества подготовки оперативного персонала теплоэлектростанции (ТЭЦ) при отсутствии готовой промышленной реализации внутри VR-тренажёра. Системный подход выполняет формализацию целей (безопасность, соблюдение регламентов, время и корректность выполнения), проведен обзор и сравнительный анализ существующих VR-решений в энергетике, предложена концепция сценария обучения персонала. Показана архитектура действий и правил начисления очков/штрафов, приведены примеры метрик, схема алгоритма работы тренажёра и его риски. Результат проекта – методика для разработки и внедрения VR-тренажёра для обучения и аттестации персонала ТЭЦ.

Ключевые слова: ТЭЦ; оперативные переключения; виртуальная реальность; VR-тренажёр; геймификация; культура безопасности; HUD; чек-лист; аналитика компетенций.

Введение

Эксплуатация теплоэлектростанций требует безусловного соблюдения регламентов при выполнении оперативных переключений и работ с оборудованием. Ошибки при нарушении межблокировок, процедур безопасного отключения и блокировок, проверки отключения и заземления приводят к технологическим рискам и угрозам безопасности персонала. Виртуальная реальность (VR) обеспечивает безопасную среду для отработки сценариев в условиях, близких к реальным, фиксируя действия обучаемого и позволяя многократно повторять редкие операции.

Вместе с тем типичные VR-тренажёры ограничены по части мотивации, аналитики компетенций и метрической сопоставимости результатов между обучаемыми и сменами. Цель настоящей работы — обосновать и описать модель игровых механик для VR-тренажёра операционной деятельности на ТЭЦ, согласованную с требованиями промышленной безопасности и связанную с формализованными показателями качества выполнения сценариев.

Обзор VR-решений для энергетики и ТЭЦ

1) VR-тренажёр «Оперативные переключения 110 кВ» (разработчик – компания PromVR). Фокус: безопасные оперативные переключения на подстанции 110 кВ; режим «обучение/экзамен»; подчёркнута последовательность шагов, соблюдение ПТЭЭП/Правил по ОТ; ориентирован на снижение травматизма и развитие культуры безопасности. Для иллюстрации: интерфейсы, этапы, ППЭ, LOTO (LOCKOUT/TAGOUT) (рис. 1).



Рис. 1. PROMVR: оперативные переключения 110 кВ

2) VR для тепловых электростанций (пуск и сопровождение котла) разработчик – компания NewEngineer). Фокус: отработка последовательности запуска/поддержания работы котла в безопасной виртуальной среде; акцент на исключение аварий при обучении; режимы с подсказками и без них. Для иллюстрации: этапы пуска, контуры котла (рис. 2).



Рис. 2. REMVR: конструкции котельных установок ТЭЦ

3) VR-комплекс «Обходчик ТЭЦ». Фокус: маршрутный осмотр оборудования ТЭЦ, фиксация отклонений, выполнение чек-листов; интерактивные взаимодействия с объектами; подходит для демонстрации идеи «квест-цепочек» сценариев (рис. 3).



Рис. 3. Виртуальная котельная (Boiler Plant Simulator 2.0)

4) Операционные симуляторы энергоблоков (международные решения) разработчик – НПФ «КРУГ», КТК «ТРОПА». Доступны корпоративные решения для обучения пуск-останова, аварийных процедур, передачи опыта наставников; в ряде кейсов VR/3D применяется как «надстройка» к классическим математическим тренажерам (рис. 4).

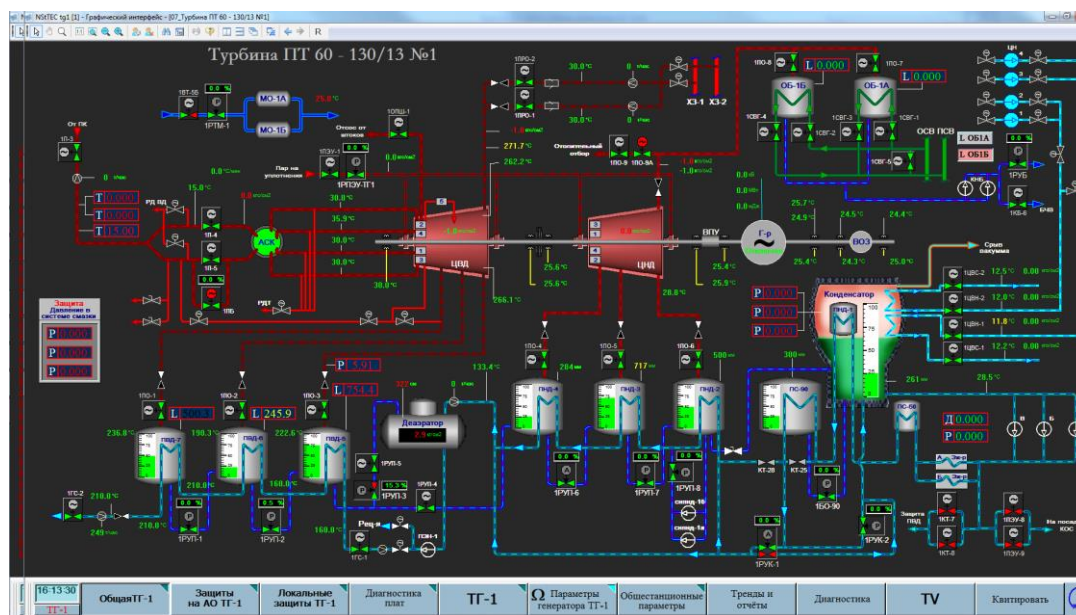


Рис. 4. Операционный симулятор энергоблока (КРУГ-2000)

В таблице 1 представлен сравнительный анализ обучающих ресурсов по программированию.

Сравнительный анализ обучающих ресурсов по программированию

| Пример | Предметная область | Режимы | Элементы геймификации | Безопасность | Платформа/ периферия |
|--|---|---------------------------|---|---|-----------------------------------|
| PROMVR: «Оперативные переключения 110 кВ» | Подстанция 110 кВ; оперативные переключения | Обучение / Экзамен | Явно не заявлены; оценка по сценарию | Строгая последовательность шагов; проверяемые условия | VR (ПК + HMD), контроллеры |
| Виртуальная котельная (NewEngineer) | Теплогенерация; контуры/оборудование | Обучение / Самоподготовка | Не указаны; возможна прогрессия | Демонстрация принципов, безопасное обучение | Десктоп/VR (по описанию) |
| КРУГ: тренажёр операторов котла и турбины | Операторы котла/турбины; отработка операций | Обучение / Квалификация | Сценарный контроль | Жёсткие инструкции и межблокировки, мнемосхемы АСУ ТП | Десктопная имитация; 3D/SCADA |
| REMVR: конструкции котельных установок ТЭЦ | Изучение оборудования ТЭЦ; 3D-модели | Обучение / Демонстрация | Квест-логика через чек-листы (возможна) | Безопасная виртуальная среда, наглядные модели оборудования | VR/AR, локальная/сетевая лицензия |

Проект геймификации для VR-тренажёра ТЭЦ

Исходные сущности. Роли: инструктор-обучаемый; сцены: ГЩУ, электрощитовая, ГРУ, ОРУ; маршруты между узлами; сценарии как чек-листы технологических шагов (напр., выкатка тележки, ввод/снятие заземления, проверка фаз А/В/С, операции по терминалам РЗА); сессии 10–30 минут.

Принципы геймификации.

1) Механики: очки за корректные шаги; штрафы за подсказки и не критические ошибки; блокировка завершения при нарушении критических требований (безопасное отключение/блокировки, межблокировки); бэйджи («Zero-Error», «ЛОТО-Pro», «Time-Master»); уровни компетенций; челленджи (повторная проверка без подсказок).

2) HUD: статус допуска, текущий шаг и его значимость, таймер, счётчик подсказок/ошибок, индикатор риска, мини-карта.

3) KPI: время сценария (медиана/квантили), доля соблюдения критических условий, частота подсказок, число повторов, повторная проверка через 7–14 дней.

4) Журнал действий фиксации параметров процесса обучения: последовательности действий и паузы, классы ошибок, «узкие места», отчётность для наставника.

Примеры сценариев (кейс-фрагменты) (таблицы 2,3):

1) ОРУ 110 кВ: порядок получения ключей; проверка отключённого положения; электромагнитный ключ; выкатка тележки; ввод заземляющих ножей; подтверждение; завершение.

2) ГРУ: проверка фаз А/В/С и последовательности; документирование результатов; возврат оборудования в исходное состояние.

3) ГЩУ/электрощитовая: операции по терминалам РЗА, перевод ключей SA, подтверждение сигнализации.

Таблица 2

Пример правил начисления очков

| Тип шага | Базовый вес | Штраф за подсказку | Штраф за некритич. ошибку | Критич. нарушение |
|--|-------------|--------------------|---------------------------|-------------------|
| Критический (ЛОТО, заземление, проверка фаз) | 10 | -2 | -3 | Блок сценария |
| Некритический (операции/осмотр) | 5 | -1 | -1 | — |
| Бонус «идеальная траектория» | +5% к сумме | — | — | — |

Таблица 3

Возможные условия в сценарии

| КРИ/метрика | Определение | Назначение |
|------------------------------------|--|----------------------------------|
| Время сценария (медиана, квантили) | Длительность выполнения от запуска до финиша | Скорость без ущерба безопасности |
| Соблюдение критических условий | Доля попыток выполненных без нарушений | Культура безопасности |
| Частота подсказок | Количество активированных подсказок в сценарии | Степень самостоятельности |
| Повторы операций (действий) | Количества повторений операции (действия) | Стабильность навыка |
| Повторная проверка | Повтор без подсказок через 7–14 дней | Переносимость навыков |

На рис. 5 представлена диаграмма прецедентов VR-тренажёра.

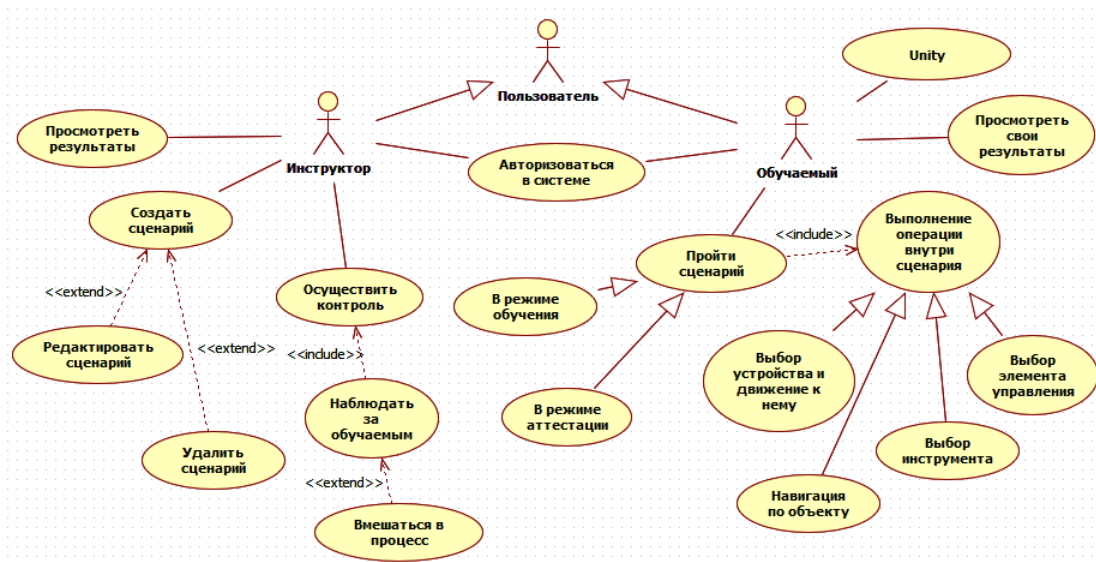


Рис. 5. Диаграмма прецедентов VR-тренажёра

Преимущества и риски геймификации на ТЭЦ

Геймификация в VR-тренажёре ТЭЦ повышает дисциплину выполнения последовательностей, сокращает ошибки и ускоряет корректное прохождение сценариев за счёт прозрачных правил оценивания и отчёта по шагам; наставник получает сопоставимые результаты для групп и смен. Основные риски — «гонка за скоростью», поверхностное усвоение и утомляемость в шлеме — снимаются блокировкой завершения при критических нарушениях и повышенными весами ключевых шагов, разделением режимов «обучение», «проверка без подсказок», ограничением длительности сессий и паузами, а также последующим разбором по журналу действий. Дополнительно используются групповые, а не публичные персональные метрики, чтобы исключить нежелательные мотивационные эффекты и сохранить фокус на безопасной, безошибочной работе.

Заключение

Предложены понятные правила оценивания и структура отчёта по шагам для VR-тренажёра ТЭЦ. Результаты становятся сопоставимыми между обучаемыми, а акцент смещается на безошибочное выполнение последовательностей. Практический шаг – пилот на реальных сценариях с анкетой влияния VR-шлема и настройкой весов по данным отчётов.

Библиографический список

1. Галиев Б.В., Харунов Р.Р. Геймификация образовательного процесса на движке Varwin с применением VR-технологий // В сборнике: Мавлютовские чтения. Материалы XVIII Всероссийской молодёжной научной конференции. В 9-ти томах. Уфа, 2024. С. 912-918.

2. Семёнов А.С., Полежаев С.В. Технологии виртуальной реальности в задачах обучения персонала на электротехнических объектах // Вестник ПНИПУ: Электротехника, ИТ, системы управления. 2025. № 54.

3. Воробьев, А.В., Цифровые технологии и искусственный интеллект в организационно-технических системах: монография / А.В. Воробьев [и др.]. – Уфа: РИЦ УУНиТ, 2024. – 258 с.

4. Каримов Р.Р. Системное моделирование процесса обучения операторов тэц с применением виртуального тренажера / В книге: Цифровые технологии и искусственный интеллект в организационно-технических системах. – А.В. Воробьев [и др.]. Уфа, 2024. С. 146-165.

5. Юмадилова И.Р., Арсланов Т.Р., Макаев Р.А., Каримов Р.Р. Информационная поддержка процесса групповой разработки виртуального тренажера для обучения персонала производственного объекта // В сборнике: МАВЛЮТОВСКИЕ ЧТЕНИЯ. Материалы XIV Всероссийской молодежной научной конференции. Уфа, 2020. Т.5, ч.3 - С. 297-306.

© Харунов Р.Р., Галиев Б.В., 2025

УДК 004.932

Р.М. ШАЙХУТДИНОВА

erm.not.erm@gmail.com

Науч. руковод. – канд. техн. наук, проф. А.С. КОВТУНЕНКО

Уфимский университет науки и технологий

СОЗДАНИЕ ЦИФРОВОГО ДВОЙНИКА ХИРУРГИЧЕСКОГО ПОЛЯ С ПРИМЕНЕНИЕМ НЕЙРОСЕТЕВЫХ ТЕХНОЛОГИЙ

Аннотация: представлен подход к построению цифрового двойника хирургического поля на основе двумерных RGB-изображений. Использование нейросетевых методов оценки глубины позволяет формировать трёхмерное представление сцены без применения специализированных сенсоров. Предложенная методика включает этапы оценки карты глубин, построения облака точек, реконструкции поверхности с применением алгоритма Пуассона. Результаты демонстрируют возможность точного восстановления структуры сцены и выделения хирургических инструментов, что открывает перспективы для анализа и обучения в робот-ассистированной хирургии.

Ключевые слова: цифровой двойник, оценка глубины, облако точек, нейросети, реконструкция поверхности, хирургическое поле.

Введение

Использование цифровых двойников в настоящее время является наиболее распространённым и надёжным способом решения задач анализа, прогнозирования и принятия решения в киберфизических системах. Цифровой двойник (digital twin) – виртуальная копия физического объекта, процесса или системы в цифровой среде. Такая технология позволяет проводить мониторинг состояния объекта в реальном времени, анализировать его поведение, выявлять возможные неисправности и прогнозировать последствия изменений без вмешательства в реальный объект. Внедрение нейросетевых технологий при построении цифрового двойника способствует повышению точности и адаптивности модели.

Создание цифрового двойника хирургического поля требует точного восстановления пространственной структуры сцены на основе изображений, получаемых с бинокулярных камер робот-ассистированных систем, таких как da Vinci. Важной задачей при этом является формирование трёхмерного представления на основе двумерных данных.

Целью работы является разработка методики построения цифрового двойника хирургического поля с применением нейросетевых моделей оценки глубины и алгоритмов трёхмерной реконструкции.

Постановка задачи

Робот-ассистированная хирургическая система da Vinci представляет собой высокотехнологический комплекс, предназначенный для выполнения малоинвазивных операций с максимальной точностью. Система включает в себя контроль хирурга, роботизированные манипуляторы с инструментами и стереоскопическую камеру, обеспечивающую объёмное изображение операционного поля. Для полноценной и безопасной эксплуатации робота требуется решать множество сопряжённых задач:

- осуществлять контроль положения и траекторий инструментов;
- предотвращать врачебные ошибки;
- обеспечивать обучение начинающих хирургов на основе анализа действий опытных специалистов.

Реализация этих задач невозможна без формирования точной трёхмерной модели хирургического поля, что требует преобразования двумерных изображений с камеры в 3D-представление сцены с использованием нейросетевых методов оценки глубины и реконструкции поверхности.

Обобщённый алгоритм.

Для решения поставленной задачи предлагается следующий обобщённый алгоритм построения цифрового двойника хирургического поля (рис. 1).



Рис. 1. Алгоритм построения цифрового двойника хирургического поля (описание алгоритма)

Технологии оценки глубины по двумерным изображениям

В настоящее время благодаря развитию технологий глубокого обучения существует множество алгоритмов монокулярных моделей оценок глубины, дающих точную оценку карты глубин изображения.

Карта глубин (depth map) – изображение, в котором для каждого пикселя кроме цвета задано значение расстояния до камеры. Для оценки глубины может быть использована монокулярная модель GLPN (Global-Local Path Networks for Monocular Depth Estimation with Vertical CutDepth) - нейронная сеть - трансформер, которую можно получить из библиотеки Transformers от Hugging Face. Эта модель хороша тем, что имеет высокую точность на мелких деталях.

Перед тем как изображение отправить на оценку глубины, необходимо изменить его, чтобы высота (1) и ширина (2) были кратны 32. Иначе выходные данные модели окажутся меньше входных.

$$output\ height = input\ height - (input\ height\ mod\ 32) \quad (1)$$

$$output\ width = input\ width - (input\ width\ mod\ 32) \quad (2)$$

Данная операция необходима, поскольку облако точек (point cloud) будет прорисовано с использованием пикселей изображения, и поэтому входное изображение и выходная карта глубин должны обладать одинаковым размером.

Построение облака точек на основе карты глубин

Следующим этапом построения трёхмерной сцены по двумерным изображениям является создание облака точек. Карта глубин представляет собой матрицу, каждый элемент которой имеет координаты x , y , z , где z – значение спрогнозированной глубины в точке (x, y) . Список точек (x, y, z) в области обработки трёхмерных данных называется облаком точек (рис. 5).

Полученные координаты позволяют восстановить пространственную структуру сцены, а также совмещать её с исходным цветным изображением. Для этого к каждой трёхмерной точке привязаны цветовые значения из RGB-каналов, получая так называемое RGBD-облако точек.

После получения карты глубин каждая точка изображения преобразуется в трёхмерное пространство. Для вычисления трёхмерных координат (x, y, z) используется модель перспективной проекции:

$$\begin{cases} x = (u - c_x) \cdot \frac{d}{f_x}, \\ y = (v - c_y) \cdot \frac{d}{f_y}, \\ z = d, \end{cases} \quad (3)$$

где:

- (u, v) – координаты пикселя на изображении
- (c_x, c_y) – координаты оптического центра камеры;
- f_x, f_y – фокусное расстояние камеры по осям X и Y , выраженные в пикселях;
- $d = D(u, v)$ – значение глубины (расстояние от камеры до точки).

Таким образом, каждая точка изображения проходит преобразование в трёхмерное пространство, формируя облако точек – набор векторов (x, y, z) , описывающих форму сцены.

Генерация сетки

Имея облако точек, необходимо сделать его целостным. Для этого генерируется сетка с помощью алгоритма реконструкции поверхности

Пуассона. Эта техника используется для создания гладких и замкнутых сеток из облака точек. Алгоритм включает следующие шаги:

- подразделение: поверхность разбивается на более мелкие тетраэдры;
- классификация: каждый тетраэдр принимает значение как находящийся внутри, снаружи или на поверхности облака точек;
- реконструкция поверхности: алгоритм строит новую поверхность, которая аппроксимирует облако точек, соединяя точки медиальной оси тетраэдров, классифицированных как «находящиеся на поверхности».

Облако точек может содержать шум и артефакты по разным причинам. Алгоритм Пуассона позволяет отфильтровать их. Далее осуществляется оценка нормалей, которые представляют собой вектор, обладающий величиной и направлением, перпендикулярный поверхности или объекту. Это необходимо для определения ориентации и кривизны поверхности в каждой точке данных облака точек.

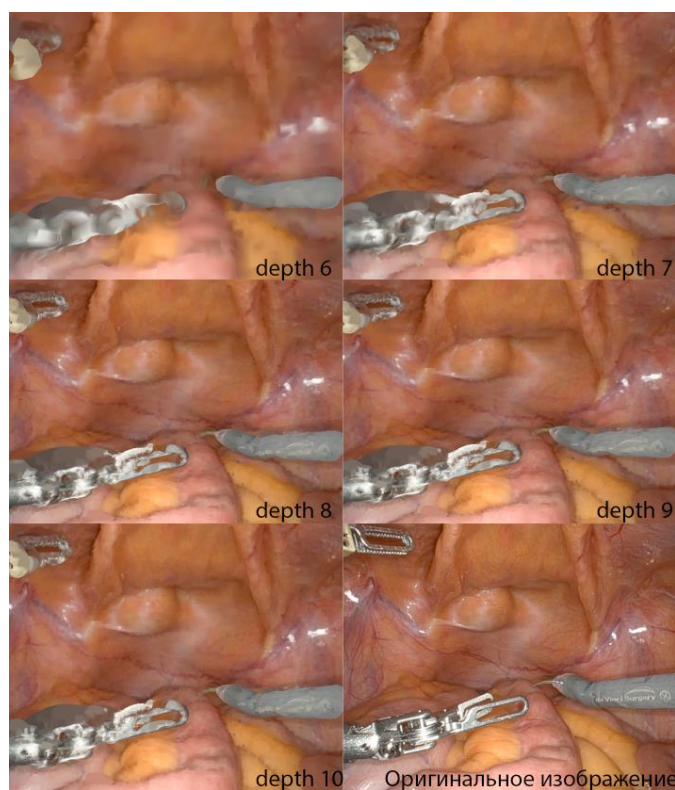


Рис. 2. Демонстрация разных значений глубин в сравнении с оригинальным изображением

После прохождения алгоритма становится возможным генерация сеточной модели (mesh-объект) (рис. 7). На данном этапе выполняется триангуляция – каждая точка представляет собой треугольник, который соединяются с соседними, формируя непрерывную поверхность.

Сетка имеет уровень детализации, задаваемый при помощи значения depth (глубина). Чем выше уровень, тем выше качество детализации (рис. 2). Mesh-объекты просматриваются в приложении MeshLab.

Оценка эффективности предложенного подхода на основе программной реализации

Рассмотренные алгоритмы реализованы в виде рабочего прототипа программной системы. При запуске программы открывается окно (рис. 3), в котором пользователю предлагается выбор изображения для обработки, а также опции для сохранения облака точек и/или mesh-объекта. Допустим пользователь выбрал обе опции.

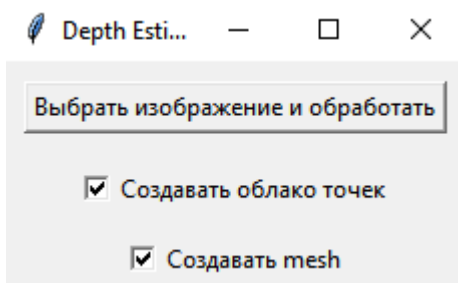


Рис. 3. Начальное окно

После выбора изображения, оно обрабатывается с помощью модели GLPN, которая создаёт карту глубин по этому изображению (рис. 4).

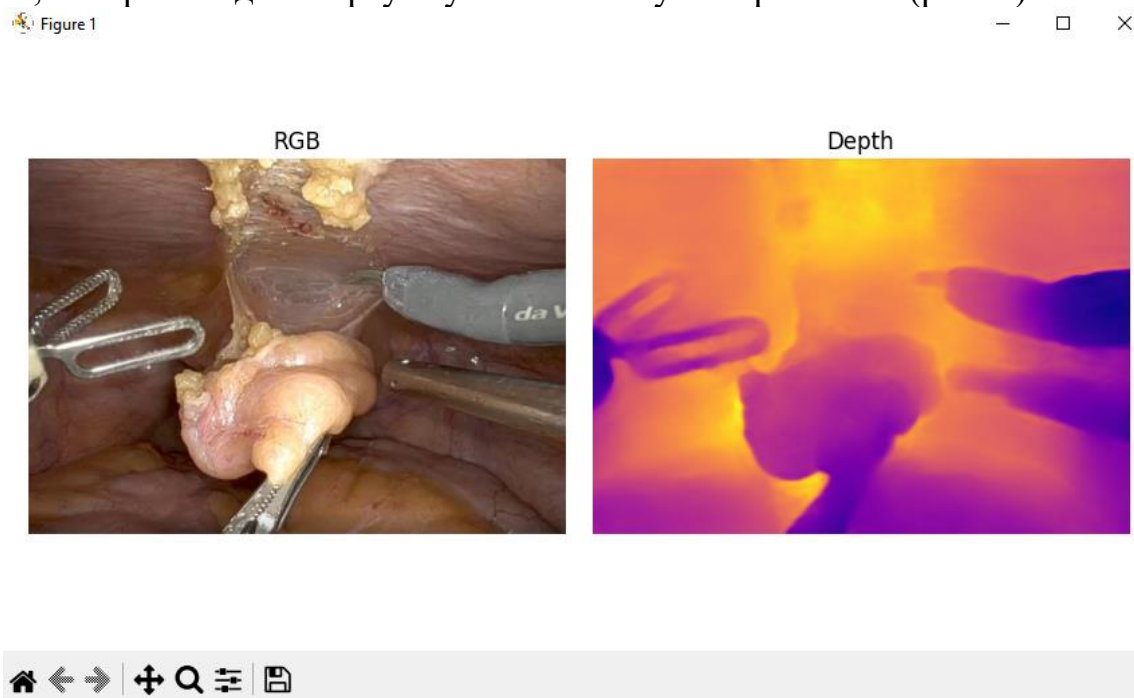


Рис. 4. Выбранное изображение и его карта глубин

Из рисунка выше видно, что области, расположенные близко к плоскости камеры при визуализации, выделены более тёмным цветом.

После закрытия окна с отображением картой глубин изображения, открывается следующее - с облаком точек (рис. 5).

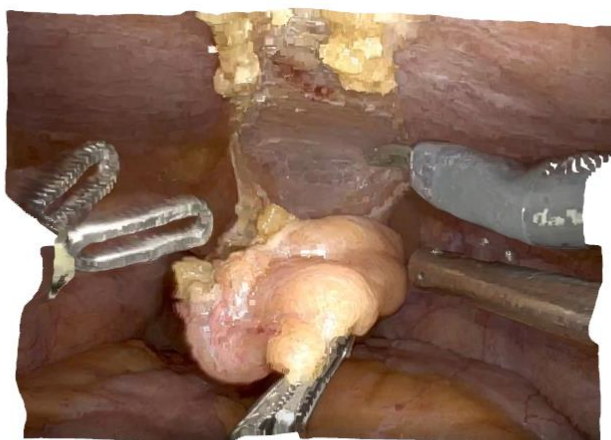


Рис. 5. Облако точек

После закрытия окна с облаком точек, то начнётся процесс сохранения выбранных опций (в данном случае это сохранение облака точек и mesh-объекта) в разные директории. Также, цикл начнётся заново: пользователь снова может выбрать изображение для обработки и необходимые ему опции сохранения.

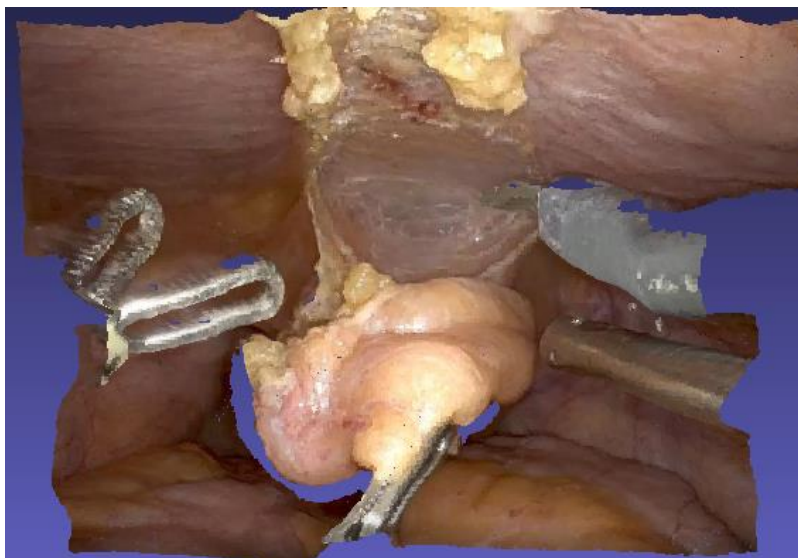


Рис. 6. Облако точек после фильтрации

Перед сохранением облака точек происходит фильтрация, удаляющая точки, которые находятся в среднем дальше от соседних.



Рис. 7. Mesh-объект

Таким образом, пользователь получает для просмотра и анализа облако точек и сеточную модель. Не выходя из программы, он может заново выбрать изображение для обработки и опции сохранения объектов.

Заключение

Проведённая работа демонстрирует возможность построения трёхмерных моделей хирургического поля из обычных RGB-изображений с использованием нейросетей. Реализованная методика включает этапы оценки глубины изображения с использованием монокулярной модели GLPN, построения облака точек, реконструкции поверхности алгоритмом Пуассона.

Предложенный подход демонстрирует возможность точного восстановления пространственной структуры сцены и выделения отдельных объектов (например, хирургических инструментов) без применения специализированных трёхмерных сенсоров. Использование нейросетевых моделей позволяет повысить точность реконструкции глубины и устойчивость к шумам и артефактам исходного изображения.

Результаты исследования могут быть применены при решении задач робот-ассистированной хирургии, визуализации и анализа хирургического пространства, а также для разработки систем обучения и симуляции хирургических операций. В дальнейшем планируется осуществить кластеризацию облака точек для реализации внедрения трекинга инструментов, предотвращения врачебных ошибок, запоминания движений инструментов для обучения начинающих хирургов и устранения паразитных движений.

Библиографический список

1. H. Edelsbrunner, and E. P. Mücke. Three-dimensional Alpha Shapes // ACM Transactions on Graphics. 1994. Т. 13, №1. С. 43-72.
2. F. Bernardini, J. Mittleman, H. Rushmeier и др. The ball-pivoting algorithm for surface reconstruction // IEEE Transactions on Visualization and Computer Graphics. 1999. Т. 5, № 4. С. 349-359.
3. M. Kazhdan, M. Bolitho and H. Hoppe. Poisson Surface Reconstruction // Eurographics Symposium on Geometry Processing. Cagliari, Italy: Eurographics Association, 2006. С. 61-70.
4. D. Kim, W. Ga, P. Ahn, и др. Global-Local Path Networks for Monocular Depth Estimation with Vertical CutDepth // School of Electrical Engineering. Seoul, South Korea: KAIST EE, 2022. С. 1-11.
5. Open3D. Point Cloud: базовое руководство // Open3D Documentation. 2019.
6. Open3D. RGB-D Image: базовое руководство: электрон. ресурс // Open3D Documentation. 2019.

© Шайхутдинова Р.М., 2025

УДК 004.738

Е.А. ЮНУСОВА

9177646928@mail.ru

Науч. руковод. – канд. техн. наук, А.Р. ЮНУСОВ,
канд. техн. наук, доцент, Р.Р. КАРИМОВ

Уфимский университет науки и технологий

ИНФОРМАЦИОННАЯ ПОДДЕРЖКА ЖИЗНЕННОГО ЦИКЛА АППАРАТНО-ПРОГРАММНОЙ СИСТЕМЫ МОНИТОРИНГА ГАЗОРЕГУЛЯТОРНЫХ ПУНКТОВ

Аннотация: данная статья представляет практическое применение принципов и технологий информационной поддержки жизненного цикла аппаратно-программной системы мониторинга газорегуляторных пунктов.

Ключевые слова: автоматизация; телемеханизация, жизненный цикл, информационная поддержка, производство, технологичность.

Введение

В настоящее время стало необходимо обеспечение информационной поддержки жизненного цикла высокоответственных изделий. ПТК «Молния-100» является сложным изделием, участвующим в процессе распределения газа по населенным пунктам и мониторинга газорегуляторных пунктов. Для повышения эффективности жизненного цикла (ЖЦ) данного изделия предлагается применение средств его информационной поддержки.

PDM STEP Suite (PSS) – это платформа, разработанная российскими специалистами в целях, способствующих управлению жизненным циклом изделий. Платформа помогает предприятиям повысить эффективность разработок, производства и эксплуатации сложных технических изделий. Разработка принадлежит АО НИЦ «Прикладная Логистика». Назначение PDM STEP Suite – собрать воедино имеющуюся информацию об изделии в интегрированной базе данных изделия, затем обеспечить совместное использование данной информации в процессах проектирования, производства и эксплуатации изделия. На стадии проектирования изделия база данных изделия используется для накопления в стандартизированной форме результатов работы разработчиков и обмена данными между ними.

Разработка базы данных птк «молния-100»

База данных изделия является главным хранилищем всей информации об изделии: его конструкции, компонентах, эксплуатационных характеристиках, ремонтах, обслуживании и т. д.

База данных ПТК «Молния-100» создается с помощью подсистемы «Модуль PDM» системы PSS. Для этого в модуле «Настройка Lite БД» создается новая база данных.

Для настройки словарей необходимо перейти в модуль платформы «Настройка словарей БД».

Объект «Характеристика» подразумевает некоторое значение, присеваемое изделию, версии изделия, категории, документу или бизнес-процессу. Этим объектам могут присваиваться различные характеристики.

Настройка перечня возможных характеристик осуществляется администраторами системы через модуль «Настройка словарей БД».

В рабочем разделе подсистемы «Модуль PDM» было создано новое изделие «ПТК Молния-100», являющееся сборочной единицей и по документации на изделие, состоящей из 1 главной подсистемы, которая включает в себя еще 15 подсистем, представленные на *Рис. 77* и *Рис. 78*. Для рассматриваемого изделия заданы характеристики стоимости в рублях и массы в килограммах (*Рис. 79*).



Рис. 77. Сборочная единица шкафа телеметрии и ее элементы

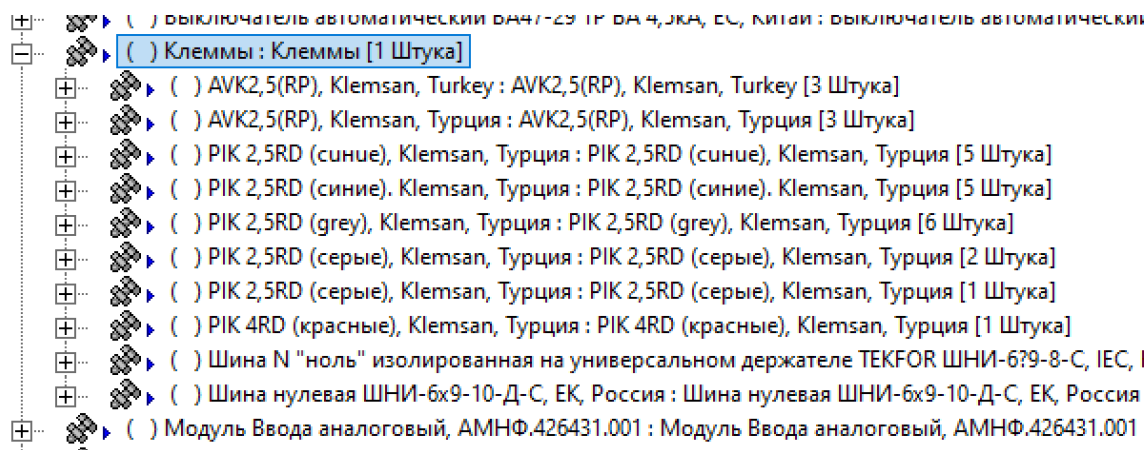


Рис. 78. Элементы подсистемы «Клеммы»

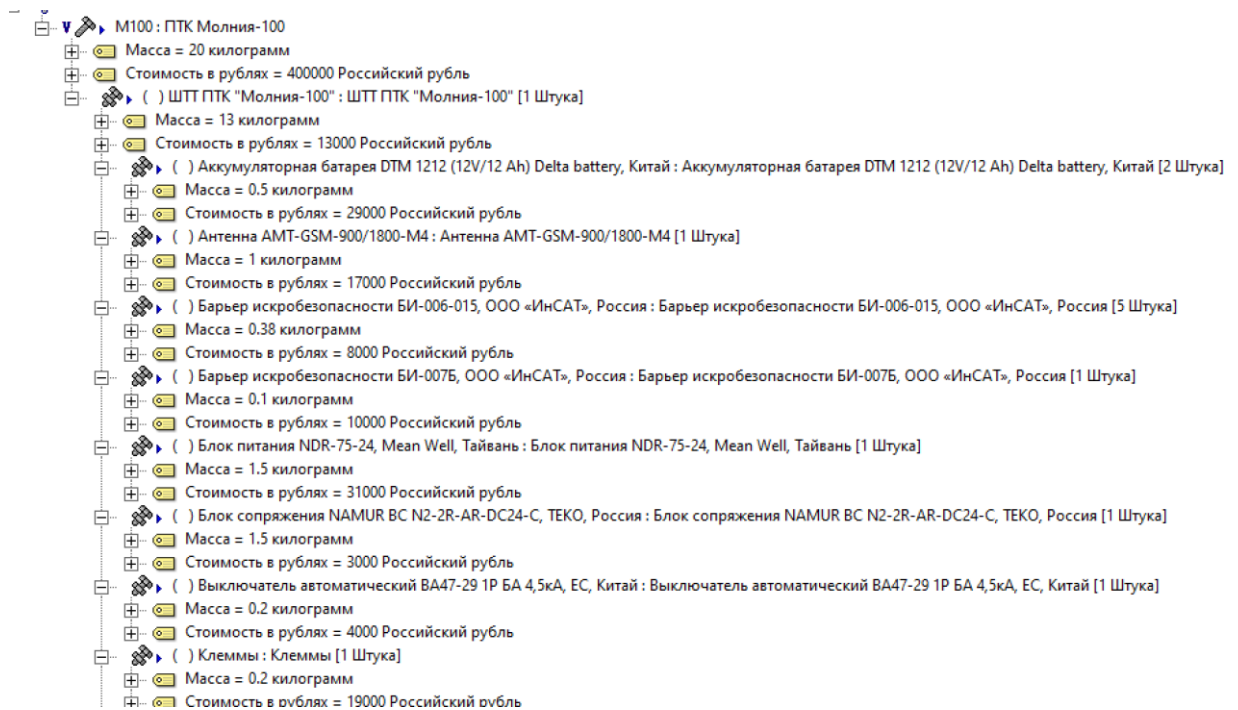


Рис. 79. Основные характеристики входящих элементов изделия

Работа с экземплярами изделия

После создания сборочной единицы, входящих в нее элементов и присвоения характеристик создаются экземпляры изделия.

В рабочем разделе были созданы 5 экземпляров изделия «ПТК Молния-100», представленные на Рис. 80с указанием поставщиков и эксплуатантов.



Рис. 80. Экземпляры изделия ПТК «Молния-100»

Разработка модели процессов управления жизненным циклом изделия

В модуле «Редактор шаблонов процессов» создается новый шаблон процесса «Производство и ввод в эксплуатацию», включающий следующие работы:

- конструкторская подготовка производства (КПП);
- технологическая подготовка производства;
- организационная подготовка производства;
- производство элементов и подсистем;
- контрольные испытания;
- хранение, приемка и транспортировка изделия заказчику;
- пусконаладка изделия;
- опытная эксплуатация;
- приемосдаточные испытания.

Разработанная модель процессов относится к классу WorkFlow и может быть запущена в цифровой среде с возможностью осуществлять мониторинг и контроль за ходом всех работ. Созданная модель представлена на *Рис. 81*.

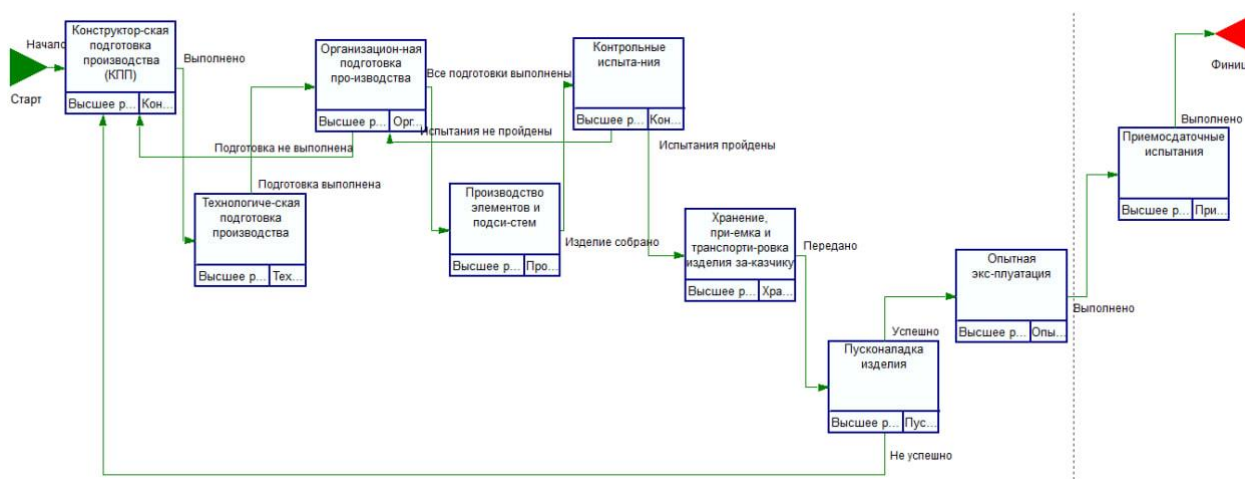


Рис. 81. Модель процесса «Производство и ввод в эксплуатацию»

Данная модель процесса может быть запущена только ее владельцем, т. е. пользователем, в организационной структуре относящимся к высшему руководству предприятия.

Заключение

В результате применения технологий информационной поддержки жизненного цикла для изделия ПТК «Молния-100» разработаны централизованная база данных изделия, а также WorkFlow - модель процесса «Производство и ввод в эксплуатацию». Разработанные средства поддержки ЖЦ изделия позволяют повысить эффективность процессов жизненного цикла

изделия благодаря прослеживаемости данных об изделии и его экземплярах на всех стадиях ЖЦ. Применение технологий информационной поддержки рассмотренного изделия способствует повышению эффективности его жизненного цикла.

Библиографический список

1. Пат. 2455768 Российская Федерация, Способ телемеханического контроля и управления удаленными объектами с использованием канала связи GSM GPRS, единого сервера телемеханики и телемеханическая система для его реализации / Балахонцев В.Е., Еникеев А.К., Юнусов А.Р.; заявитель и патентообладатель ООО «УфаСистемаГаз». - № 2010121634; заявл. 27.05.2010; опубл. 10.07.2012.

2. Юнусов А.Р. Автоматизация и телемеханизация ТП на базе Internet-программирования: опыт внедрения в ОАО «ГАЗ-СЕРВИС» // ж. «Автоматизация в промышленности» - 2011. № 2 – С. 43-45.

3. Воробьев, А.В, Цифровые технологии и искусственный интеллект в организационно-технических системах: монография / А.В. Воробьев [и др.]. – Уфа: РИЦ УУНиТ, 2024. – 258 с.

4. Юнусов А.Р. «УфаСистемаГаз»: 10 лет трудовой деятельности // ж. «Газ России» - 2014. № 2 – С. 68-69.

5. Е.А. Юнусова. Применение IP-SCADA для дистанционного контроля параметров распределенных производственных процессов // Мавлютовские чтения: материалы XVIII Всероссийской молодежной научной конференции (г. Уфа, 25 – 29 ноября 2024 г.) / отв. ред. А.Ф. Кужаев / в 9 т. Т. 5. [Электронный ресурс] / Уфимск. ун-т науки и технологий. – Уфа: РИЦ УУНиТ, 2024. – 990 с. – URL: <https://uust.ru/digital-publications/2024/309.pdf> – Загл. с титула экрана.

6. Зелепукин В.Н., Крючков С.П., Юнусова Е.А. Эволюция средств и систем автоматизации технологических процессов // Автоматизация в промышленности. 2025. № 7. с. 35-37.

© Юнусова Е.А., 2025

А.А. ЯЛАЛЕТДИНОВ, Э.И. КАЛЬМЕТЬЕВ

Darik_702@mail.ru, kalmetev.emil@yandex.ru

Науч. руковод. – канд. техн. наук, доцент. Ш.М. Минасов

Уфимский университет науки и технологий

КОМПЛЕКСНЫЙ АНАЛИЗ ТЕХНОЛОГИЙ ВНУТРИПРОСТРАНСТВЕННОГО ПОЗИЦИОНИРОВАНИЯ

Аннотация: анализ современных indoor-технологий, которые решают проблему “навигационного разрыва” внутри зданий, где неэффективен GPS. Проводится сравнения ключевых методов, включая оценку достоинств, недостатков, достигаемой точности и экономических затрат на внедрение, с целью определить критерии выбора оптимальной технологии для различных бизнес-задач.

Ключевые слова: indoor-технологии, внутреннее позиционирование, навигация в помещениях, LBS, RTLS, BLE, UWB, экономическая эффективность.

Введение

Развитие цифровой инфраструктуры зданий и широкое внедрение технологий автоматизации привели к стремительному росту интереса к системам внутреннего позиционирования [1]. В отличие от спутниковых систем навигации (GPS, ГЛОНАСС), которые эффективно работают в открытом пространстве, внутри зданий их точность резко снижается из-за экранирующего воздействия перекрытий и сложной структуры помещений [2]. Это формирует так называемый «навигационный разрыв» – отсутствие возможности определить координаты объекта в помещениях с приемлемой точностью.

Для преодоления этого разрыва за последние годы были разработаны специализированные indoor-технологии [3], позволяющие определять положение людей и оборудования в реальном времени. Они применяются в торговых центрах, складах, производственных площадках, музеях, аэропортах, клиниках и других объектах, где знание местоположения критически важно для обеспечения безопасности, повышения эффективности логистики, оптимизации потоков посетителей и автоматизации бизнес-процессов.

Современные технологии и методы позиционирования

Технологии позиционирования в помещениях можно разделить на те, что используют существующую инфраструктуру (Wi-Fi), и те, что требуют установки специализированное оборудование (BLE, UWB) [4].

1. Wi-Fi-позиционирование. Данный метод является одним из первых и наиболее распространенных в силу наличия сетей Wi-Fi в большинстве общественных и коммерческих зданий [5].

Чаще всего используется метод «отпечатка» (Fingerprinting). Сначала создается карта радиосигнала: замеряется уровень мощности (RSSI) от всех доступных точек доступа в разных точках помещения. После чего устройство пользователя сканирует эфир, и полученный "отпечаток" сравнивается с базой данных для определения наиболее вероятного местоположения.

2. Позиционирование на основе Bluetooth Low Energy (BLE). Технология BLE широко применяется для внутренней навигации благодаря появлению компактных автономных маячков (beacons), работающих от батареи и не требующих подключения к сети (рис. 1).

Эти маячки – такие как iBeacon или Eddystone – размещаются в помещении с заданным шагом и периодически передают радиосигналы с уникальным идентификатором и служебной информацией.



Рис. 1. Автономные BLE-маячки

Мобильное устройство принимает эти сигналы, измеряет их мощность (RSSI) и определяет своё положение либо методом трилатерации, либо с помощью сравнения полученного набора сигналов с заранее созданной «радиокартой» помещения.

3. Технология Ultra-Wideband (UWB). UWB – это технология радиосвязи, использующая сверхширокополосные сигналы. В отличие от Wi-Fi и BLE, которые определяют расстояние по уровню мощности сигнала (RSSI), UWB измеряет точное время пролёта сигнала (рис. 2).

В помещении стационарно размещаются «анкеры» (приёмники), а отслеживаемый объект оснащается «тегом» (передатчиком). Тег посылает короткие импульсы, а анкеры фиксируют время их прибытия. Зная время и скорость распространения сигнала, система с высокой точностью вычисляет расстояние до объекта.

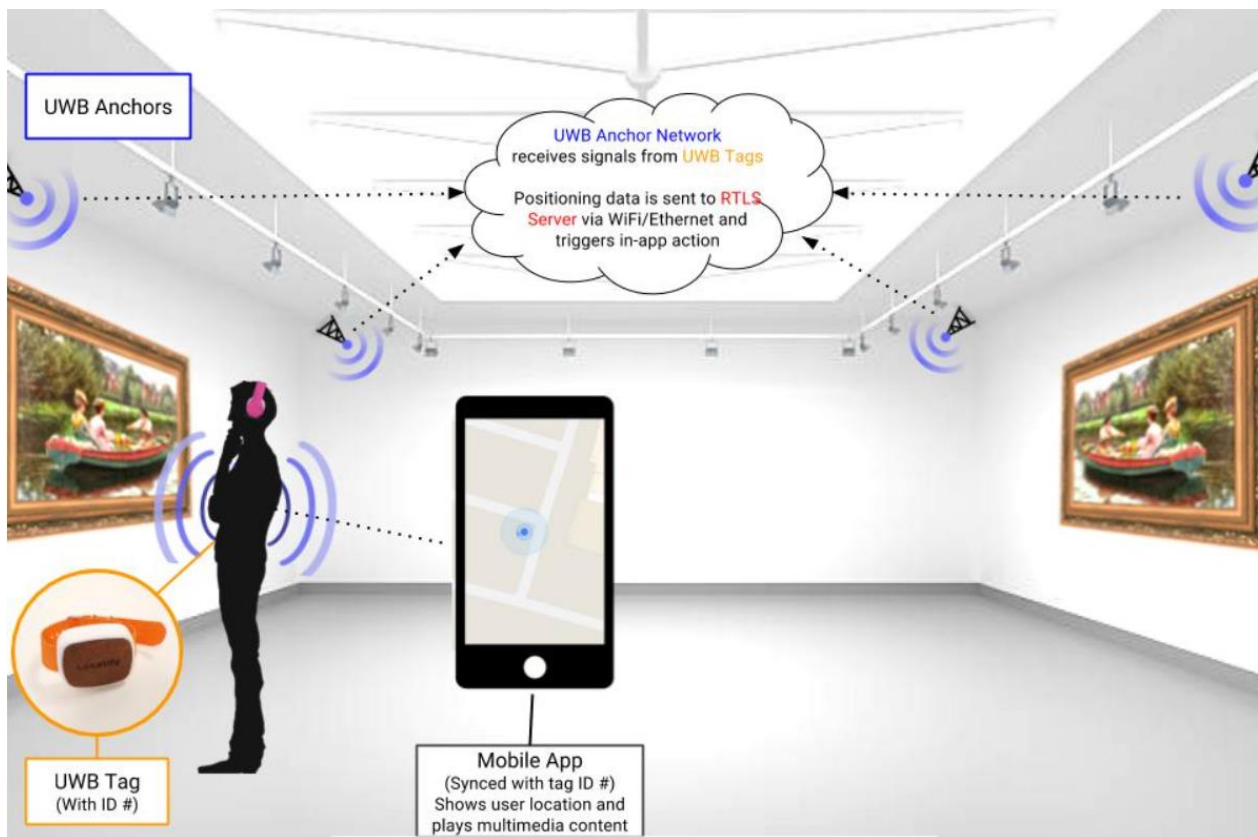


Рис. 2. Схема работы UWB-позиционирования.

4. Другие и гибридные технологии. Помимо "большой тройки" (Wi-Fi, BLE, UWB), существуют и другие методы:

1) Визуальное позиционирование (V-SLAM) [6]: Использует камеру смартфона для "захвата" окружения и сопоставления его с заранее созданной 3D-картой (как в Google AR-картах). К достоинствам визуального позиционирования относится высокая точность и отсутствие необходимости устанавливать дополнительную инфраструктуру. К недостаткам можно отнести высокую вычислительную нагрузку, зависимость от освещённости и риски, связанные с обработкой видеоданных.

2) Геомагнитное позиционирование: Использует уникальные аномалии магнитного поля Земли внутри зданий (вызванные стальной арматурой). Такой метод не требует дополнительной инфраструктуры, однако он осложняется необходимостью сбора "магнитной карты" и чувствительностью к движущимся металлическим объектам (лифты, автомобили).

3) Гибридные методы: Наилучшие результаты часто дает комбинация технологий. Например, IMU (инерциальные датчики смартфона — акселерометр, гироскоп) для плавного ведения между точками, корректируемая по BLE или Wi-Fi.

Сравнительный анализ indoor-технологий.

Для наглядного сравнения плюсов и минусов технологий внутренней навигации оценим ключевые параметры технологий (табл. 1).

Таблица 1

Сравнительная характеристика технологий indoor-навигации

| Технология | Точность | Достоинства | Недостатки | Цена внедрения |
|--------------|----------|--|--|---------------------|
| Wi-Fi | 5-15м | Использует существующую инфраструктуру. Широкая поддержка устройствами. | Низкая точность. Нестабильность RSSI. Трудоемкий сбор «отпечатков» | Низкий |
| BLE (Маячки) | 1-5м | Низкое энергопотребление. Низкая стоимость | Нужно ставить маячки. Замена батареек | Средний |
| UWB | 10-30 см | Высочайшая точность. Высокая помехозащищенность. Низкая задержка | Очень высокая стоимость. Сложный монтаж анкером. Малая поддержка смартфонами | Очень высокий |
| V-SLAM | 0,1-1м | Высокая точность. Не требует маячков/анкером. Интерактивность | Высокая нагрузка на смартфон. Зависимость от света/изменений. Конфиденциальность | Средний/ Высокий |

Сравнительный анализ технологий indoor-навигации показал, что не существует «идеальной» или универсальной indoor-технологии. Выбор конкретного решения всегда является компромиссом и должен опираться на триаду «Точность – Стоимость – Сложность».

Для задач, не требующих высокой точности (например, общая навигация в ТЦ, сбор статистики по зонам), достаточно использовать существующие Wi-Fi сети или недорогие BLE-маячки.

Для задач, требующих высокой точности (промышленность, логистика, спорт), где цена не является критическим фактором, безальтернативным лидером выступает UWB.

Заключение

Внутренние системы позиционирования сегодня становятся ключевым элементом цифровых помещений – от крупных торговых комплексов и транспортных узлов до производственных площадок и объектов здравоохранения. Широкий спектр технологий, включая Wi-Fi, BLE, UWB и визуальные методы, показывает стремление повысить точность и устойчивость навигации внутри зданий. Текущие тенденции свидетельствуют о переходе к комбинированным решениям [7], которые используют данные сразу нескольких сенсоров и активно применяют комбинированные подходы.

Несмотря на существенный прогресс, перед специалистами остаются вызовы, связанные с развитием систем внутренней навигации требуя решения задач в реальном времени [8], что открывает значительные возможности для повышения удобства пользователей и оптимизации процессов в различных областях, делая такие системы важным направлением технологического роста.

Библиографический список

1. Кальметьев, Э. И. Обзор современных методов и технологий навигации внутри помещений / Э. И. Кальметьев, А. Е. Сергеева // Международный студенческий научный вестник. – 2025. – № 3. – С. 42. URL: <https://www.elibrary.ru/item.asp?id=82566700> (дата обращения 15.11.2025г);
2. Шалыков А. А., Абрамова О. Ф. ИССЛЕДОВАНИЕ ПРОБЛЕМЫ НАВИГАЦИИ ВНУТРИ СОВРЕМЕННЫХ ЗДАНИЙ СО СЛОЖНОЙ АРХИТЕКТУРОЙ / Электронный научно-практический журнал «Современная техника и технологии» URL: <https://technology.snauka.ru/2014/02/3085> (дата обращения 15.11.2025г);
3. Точное позиционирование внутри помещений – Indoor-навигация. URL: <https://nvgn.ru/platform/> (дата обращения 15.11.2025г);
4. Что такое позиционирование в помещениях? Обзор технологий. URL: <https://indoorsnavi.pro/chto-takoye-pozitsionirovaniye-v-pomeshcheniyakh-obzor-tekhnologii/> (дата обращения 15.11.2025г);
5. Шибайкин С. Д., Карев А. Н. WI-FI ПОЗИЦИОНИРОВАНИЕ В ЗАКРЫТОМ ПОМЕЩЕНИИ. Сборник научных трудов по материалам всероссийской научно-практической конференции (с международным участием). Ответственный за выпуск: Т. Н. Потапова. 2017. С. 632-638. URL: <https://www.elibrary.ru/item.asp?id=29156870> (дата обращения 15.11.2025г);
6. Веремей, Е. И. Визуальное динамическое позиционирование с многоцелевым законом управления / Е. И. Веремей, М. В. Сотникова // Системы управления и информационные технологии. – 2015. – № 4-1(62). – С. 112-117. URL: <https://www.elibrary.ru/item.asp?id=25448381> (дата обращения 15.11.2025г);
7. Метод автоматической конфигурации гибридной модели навигации внутри помещений / М. С. Щекотов, М. П. Пашкин, С. В. Савосин, О. В. Смирнова // Известия ВГТУ. – 2020. – № 9(244). – С. 94-99. – DOI

10.35211/1990-5297-2020-9-244-94-99.

URL:

<https://www.elibrary.ru/item.asp?id=43944386> (дата обращения 15.11.2025г).

8. Минасов, Ш. М. Обработка информации в системах реального времени: учебное пособие – Уфа: Уфимский гос. авиационный технический ун-т, 2008. – 258 с. – ISBN 978-5-86911-886-8. – EDN QMTRCD.

© Ялалетдинов А.А., Кальметьев Э.И., 2025

СЕКЦИЯ 5.9. МАТЕМАТИЧЕСКОЕ И КОМПЬЮТЕРНОЕ МОДЕЛИРОВАНИЕ

УДК 519.237.5

Р.И. АНТРОПОВ

roman.antropov6@gmail.com

Науч. руковод. – доктор техн. наук, проф. А.Ю. ДЕМИН

Уфимский университет науки и технологий

СТАТИСТИЧЕСКОЕ МОДЕЛИРОВАНИЕ ЗАВИСИМОСТИ ЩЕЛОЧНОГО ЧИСЛА ОТ КОНЦЕНТРАЦИИ ПРИСАДОК В МОТОРНЫХ МАСЛАХ

Аннотация: проведено статистическое исследование зависимости щелочного числа моторных масел от концентрации элементов присадок. Установлено статистически значимое влияние кальция и магния на величину щелочного числа. Предложено уравнение регрессии для прогнозирования щелочного числа с точностью 9%.

Ключевые слова: моторные масла; присадки; регрессионный анализ; корреляционный анализ; щелочное число.

Современные моторные масла являются комбинацией базового масла и комплекта присадок. Однако изначально в качестве смазки могли использовать животный или растительный жир. Затем произошел переход на остаточные нефтяные масла, и вплоть до конца первой половины XX века в двигателях внутреннего сгорания использовали минеральное масло без различных присадок. Оно обеспечивало хорошую смазывающую способность и охлаждение, но приводило к образованию нагара и смолистых отложений в двигателе. Для решения этой проблемы в масло стали добавлять присадки для улучшения эксплуатационных характеристик.

Однако у масел с присадками появилась новая проблема – окисление. Поскольку в работающем двигателе горячее масло постоянно циркулирует и контактирует с воздухом, оно начинает окисляться. Этот процесс приводит к изменению химических свойств масла и деградации пакета присадок.

Одним из ключевых показателей состояния моторного масла является щелочное число (Total Base Number, TBN), характеризующее его способность нейтрализовать кислые продукты сгорания топлива и окисления углеводородов. Это число отражает содержание в свежем масле моющих детергентно-диспергирующих присадок (карбонатов, алкил-фенолов, алкилсалицилатов металлов) и беззольных дисперсантов. При работе двигателя присадка расходуется на нейтрализацию кислых продуктов, образующихся при сгорании

топлива и окислении основы масла, и ее эффективность по мере работы снижается. Снижение TBN в процессе работы двигателя свидетельствует о потере защитных свойств масла и необходимости его замены. [1]

На основе статистического моделирования может быть составлена формула для последующей экспресс-диагностики, которая позволит по одному анализу спрогнозировать остаточный ресурс масла.

В ходе исследования были тщательно отобраны 30 образцов масел разных производителей и классов вязкости. Для каждого образца были проведены анализы элементного состава и щелочного числа. Все данные были взяты с сайта oil-club.ru. [2]

Расчет коэффициентов корреляции и регрессионной модели производился с использованием программных средств обработки данных, а именно Python и библиотеки pandas, statsmodels, seaborn и matplotlib. В результате анализа были получены коэффициенты корреляции (табл. 1) и регрессионная модель (табл. 2).

Таблица 1

Коэффициенты парной корреляции Пирсона между щелочным числом и элементами присадок

| Элемент | Коэффициент корреляции |
|---------------|------------------------|
| Кальций (Ca) | 0.246966 |
| Магний (Mg) | 0.070453 |
| Бор (B) | 0.107341 |
| Цинк (Zn) | 0.388587 |
| Фосфор (P) | 0.445338 |
| Молибден (Mo) | 0.119789 |

Таблица 2

Результаты множественного регрессионного анализа с шестью предикторами

| Параметр | β | SE | t | p |
|---------------|---------|-------|--------|-------|
| Константа | 5.6022 | 1.198 | 4.678 | 0.000 |
| Кальций (Ca) | 0.0006 | 0.001 | 1.156 | 0.260 |
| Магний (Mg) | 0.0020 | 0.001 | 1.967 | 0.061 |
| Бор (B) | -0.0004 | 0.002 | -0.234 | 0.817 |
| Цинк (Zn) | -0.0009 | 0.003 | -0.314 | 0.757 |
| Фосфор (P) | 0.0029 | 0.003 | 1.006 | 0.325 |
| Молибден (Mo) | 0.0003 | 0.001 | 0.280 | 0.782 |

По значению коэффициента корреляции можно увидеть наиболее сильную прямую связь у фосфора и цинка с щелочным числом. У кальция выявлена умеренная корреляция, тогда как у остальных элементов очень слабая или практически отсутствующая корреляция.

Рассмотрим табл. 2 и интерпретируем коэффициенты, указанные в столбцах. Коэффициент β указывает на величину и направления влияния. Если он положительный, то связь прямая и наоборот. SE означает стандартную ошибку и связана с предыдущим коэффициентом. Чем меньше SE, тем более точно оценен коэффициент β . Большое значение SE означает о неточной оценке и статистической незначимости коэффициента β . Значение t зависит уже от двух последних коэффициентов и выражает на сколько коэффициент β отделился от нуля. Если $|t| > 2$, то маловероятно, что коэффициент β может быть ошибочным. И близкое значение t к нулю означает, что сигнал является шумом и не стоит на него опираться. Перейдем к последнему коэффициенту p (уровень значимости), он является стандартным порогом, то есть если $p < 0.05$, то это свидетельствует о статистической значимости связи.

В табл. 2 можно увидеть, что ни один из элементов не показал статистически значимого влияния ($p > 0.05$). Также можно отметить, что коэффициент цинка, который имел положительную корреляцию, в регрессионной модели стал отрицательным. Можно сказать, что в данной ситуации наблюдается наличие мультиколлинеарности между переменными.

Для устранения мультиколлинеарности количество предикторов было снижено с 6 до 3. Коэффициент корреляции остался неизменным. А вот в полученной регрессионной модели (табл. 3) значение p для кальция и магния составил менее 0.05, что говорит о статистическим влиянии этих элементов на щелочное число. И это объяснимо с химической точки зрения, потому что кальций и магний входят состав моющее-диспергирующих присадок.

Таблица 3

Результаты регрессионного анализа после устранения мультиколлинеарности

| Параметр | β | SE | t | p |
|--------------|----------|-------|-------|----------|
| Константа | 5.8112 | 0.994 | 5.848 | 0.000004 |
| Кальций (Ca) | 0.001143 | 0.000 | 3.013 | 0.005698 |
| Магний (Mg) | 0.002440 | 0.001 | 2.562 | 0.016536 |
| Бор (B) | 0.000869 | 0.001 | 0.672 | 0.507652 |

На основе регрессионной модели была выведена эмпирическая зависимость для предварительной оценки щелочного числа:

$$TBN = 5.8112 + 0.001143 * C(\text{Ca}) + 0.002440 * C(\text{Mg}),$$

где $C(\text{Ca})$ – концентрация кальция в масле, ppm; $C(\text{Mg})$ – концентрация магния в масле, ppm.

Проверка точности предложенной формулы показала расхождение в 9% между расчетными и исходными значениями щелочного числа, что подтверждает практическую пригодность для предварительной оценки.

Библиографический список

1. Нигматуллин, Р. Г. Диагностика ДВС по анализу моторного масла / Р. Г. Нигматуллин, В. Р. Нигматуллин, И. Р. Нигматуллин. – Уфа : ГУП РБ «Уфимский полиграфкомбинат», 2011. – 297 с.

2. Форум об автомобильных маслах и смазочных материалах [Электронный ресурс]. – URL: <https://www.oil-club.ru/forum> (дата обращения: 15.01.2025).

© Антропов Р.И., 2025

А.А. ГАЛИМНУРОВ

artur.galimnurov@gmail.com

Науч. руковод. – доктор физ.-мат. наук, проф. А.С. ИСМАГИЛОВА

*Уфимский университет науки и технологий***О РОБАСТНОЙ ОПТИМИЗАЦИИ ПОРТФЕЛЯ ОБЛИГАЦИЙ**

Аннотация: рассматривается модель управления облигационным портфелем с использованием методов распределенно-робастной оптимизации на основе метрик Вассерштейна, что позволяет учитывать неопределенность распределений доходностей и спредов в условиях реальных финансовых рынков. Предлагаемый подход обеспечивает выпуклость оптимизационной задачи и превосходит классические методы по коэффициенту Шарпа.

Ключевые слова: робастная оптимизация, шар Вассерштейна, математическое моделирование рынка облигаций.

Изначально созданная для максимизации накопленного богатства в повторяющихся азартных играх, стратегия Келли [1] позднее была адаптирована для определения оптимального распределения капитала инвестора с целью максимизации ожидаемого роста портфеля на долгосрочном горизонте [2]. Задача Келли состоит в поиске таких весов w финансовых активов с доходностями в R_t в момент времени t , чтобы γ_T темпы роста портфеля были максимальны. Темп роста:

$$\gamma_T = \log \sqrt[T]{\prod_{t=1}^T (1 + \widetilde{R}_t^\top w_t)} = \frac{1}{T} \sum_{t=1}^T \log(1 + \widetilde{R}_t^\top w_t).$$

Стратегия Келли предполагает, что инвесторы знают вероятность распределения доходности активов R_t , однако на практике инвесторы обычно имеют доступ лишь к конечному набору выборочных значений доходности, обозначенных как $\widehat{R}_1, \dots, \widehat{R}_N$. Для применения стратегии Келли простым подходом является использование эмпирического распределения:

$$\widehat{F}_R := \frac{1}{N} \sum_{j=1}^N \delta_{\widehat{R}_j},$$

где δ – это дельта-функция. Это распределение заменяет F_R , и решается эмпирическая версия задачи Келли, записываемая как:

$$\max_{w \in W} \frac{1}{N} \sum_{j=1}^N \log(1 + \widehat{R}_j^\top w).$$

Этот подход, также известный как метод усреднения выборки, полностью основан на данных и не требует предположений о виде распределения F_R . Однако его основное ограничение состоит в том, что полученные веса опираются на распределения доходностей в прошлом, которые совсем не гарантируют распределение доходностей в будущем. При этом для финансовых рынков характерна ситуация, когда истинные распределения доходностей активов и других ключевых параметров меняются во времени под воздействием как рыночных, так и внешних макроэкономических и поведенческих факторов.

В таких условиях особенно актуален подход распределенно-робастной оптимизации [3], в рамках которого рассматривается множество возможных распределений, допускаемых наблюдаемыми данными. Оптимальное решение выбирается исходя из наихудшего ожидаемого значения целевой функции по всем распределениям из заданного множества неопределенности.

Одним из наиболее удобных и широко изученных способов задания такого множества является использование шара Вассерштейна. Этот подход позволяет гибко описывать возможные искажения распределений, а также контролировать «радиус неопределенности» с помощью параметра ρ . Использование Вассерштейн-метрики особенно хорошо согласуется с финансовой практикой, поскольку допускает интерпретацию в терминах минимального «транспорта» между эмпирическим и истинным распределениями доходностей.

Рассмотрим номинальное распределение параметров (y, s) , обозначаемое через P_0 , где y – вектор значений кривой доходности, а s – вектор кредитных спредов. Предположим, что истинное распределение P принадлежит p -Вассерштейн-шару радиуса ρ вокруг P_0 .

Функция стоимости облигационного портфеля задаётся выражением

$$\phi(h; y, s) = \log \left(\sum_{i=1}^n \sum_{t=1}^T h_i c_{i,t} \exp\{-t(y_t + s_i)\} \right),$$

где h – веса портфеля, $c_{i,t}$ – денежные потоки i -й облигации.

Тогда робастная задача оптимизации формулируется как

$$\max_h \inf_{P: W_p(P, P_0) \leq \rho} \mathbb{E}_{(y,s) \sim P} [\phi(h; y, s)]. \quad (1)$$

Предложение 1. Задача (1) эквивалентна конечномерной задаче выпуклой оптимизации

$$\min_{h, \lambda > 0} \frac{1}{N} \sum_{j=1}^N \sup_{v_j} \left(\sum_{i,t} v_{j,i,t} \log \frac{h_i c_{i,t}}{v_{j,i,t}} + \langle v_j, (y_j, s_j) \rangle - \frac{1}{q \lambda^{q-1}} \|v_j\|_q^q \right) + \lambda \varepsilon,$$

где $q = \frac{p}{p-1}$ – сопряжённая норма.

Специальный случай $p = 1$. Тогда $q = \infty$, и (2) упрощается до

$$\min_{h, \lambda > 0} \frac{1}{N} \sum_{j=1}^N \sup_{\|v_j\|_{\infty} \leq \lambda} \left(\sum_{i,t} v_{j,i,t} \log \frac{h_i c_{i,t}}{v_{j,i,t}} + \langle v_j, (y_j, s_j) \rangle \right) + \lambda \varepsilon,$$

что удобно для численной реализации.

Идея доказательства опирается на использование двух ключевых теоретических результатов. Во-первых, применяется утверждение о сильной двойственности в распределенно-робастной оптимизации, сформулированное Гао и Клейвертом [4], позволяющее заменить исходную стохастическую постановку задач в двойственном детерминированном виде. Во-вторых, используется классическая теорема двойственности Фенхеля, обеспечивающая корректное преобразование внутренней оптимизации по всем вероятностным распределениям в задачу по конечномерным двойственным переменным. Такое преобразование делает модель выпуклой, алгоритмически осуществимой и полностью согласованной с теоретическими принципами DRO.

Рассмотрение проблемы управления облигационным портфелем через призму критериев Келли демонстрирует существенное повышение эффективности инвестирования: достигается более высокая итоговая доходность при одновременном снижении колеблемости стоимости портфеля, что естественным образом трактуется как уменьшение риска.

Для эмпирической проверки предложенной модели был проведен численный эксперимент на выборке случайно сформированных портфелей, оцененных на основе фактической рыночной динамики за 2024–2025 годы. Эмпирические результаты, полученные в ходе исследования, демонстрируют, что предложенная модель превосходит классический портфель Келли как по стабильности, так и по ключевым метрикам эффективности. Это включает такие показатели, как годовая доходность и волатильность портфеля, которые в сумме указывают, что полученные структуры портфелей после решения оптимизационной задачи Келли в среднем дают большую доходность при меньшем риске.

Библиографический список

1. Kelly J. L. A New Interpretation of Information Rate // *Bell System Technical Journal*, 35(4), 917–926. URL: doi:10.1002/j.1538-7305.1956.tb03809.x
2. Latane H. Criteria for choice among risky ventures.// *Journal of Political Economy*, 1959, 67(2), 144-155 URL: doi.org/10.1086/258157.
3. Галимнуров А. А., Исмаилова А. С. Моделирование портфеля на основе задачи Келли и метрики Васерштейна // *Системы управления и информационные технологии*, №1(99), 2025. С. 7–12.
4. Gao R. & Kleywegt A. J. Distributionally robust stochastic optimization with Wasserstein distance // *Mathematics of Operations Research* 2016, 48(2), pp. 603–655, URL: doi.org/10.1287/moor.2022.1275.

© Галимнуров А.А., 2025

А.Д. ЗАЛИЛОВА

Zalilova2004@mail.ru

Науч. руковод. – канд. физ.-мат. наук В.О. ЛУКАЩУК

*Уфимский университет науки и технологий***СИММЕТРИИ ОБОБЩЕННОГО УРАВНЕНИЯ ХАНТЕРА-САКСТОНА**

Аннотация: в статье представлено решение задачи нахождения допускаемой группы точечных преобразований для обобщенного уравнения Хантера-Сакстона методами группового анализа.

Ключевые слова: обобщенное уравнение Хантера-Сакстона; инфинитезимальные операторы.

Рассмотрим уравнение Хантера-Сакстона вида:

$$u_{tx} = uu_{xx} + f(u)u_x^2, \quad (1)$$

где $f(u)$ – произвольная функция, отличная от нуля. Данное уравнение описывает распространение волн в нематических жидких кристаллах.

Будем предполагать, что уравнение (1) допускает группу точечных преобразований с оператором

$$X = \xi^1(t, x, u) \frac{\partial}{\partial t} + \xi^2(t, x, u) \frac{\partial}{\partial x} + \eta(t, x, u) \frac{\partial}{\partial u}.$$

Для нахождения неизвестных функций ξ^1, ξ^2, η подействуем вторым продолжением инфинитезимального оператора $X_{(2)}$ на уравнение (1) и выпишем определяющее уравнение [1,2]

$$X(u_{tx} - uu_{xx} - f(u)u_x^2)|_{(1)} = 0.$$

В результате получено следующее уравнение

$$\begin{aligned} & (-\tau_{u,u}u_x - \tau_{u,x})u_t^2 + \left(u\tau_{u,u} + \tau_{uf}(u) - \xi_{u,u} + \frac{\xi_u f(u)}{u} \right) u_x^2 + (-\xi_{u,x} + \\ & + 2f(u)\tau_x + 2u\tau_{u,x} + \eta_{u,u} - \tau_{t,u})u_x + \left(-\tau_u - \frac{\xi_u}{u} \right) u_{tx} + u\tau_{xx} + \eta_{u,x} - \tau_{x,t})u_t + \\ & + \left(u\xi_{u,u} - \xi_u f(u) \right) u_x^3 + \left(-f(u)\eta_u + \frac{\eta f(u)}{u} + \frac{\xi_t f(u)}{u} - \eta f'(u) - u\eta_{u,u} - \xi_{u,t} + \right. \\ & + 2u\xi_{u,x} \left. \right) u_x^2 + \left((2u\tau_u + \xi_u)u_{tx} - 2f(u)\eta_x + u\xi_{x,x} - 2u\eta_{u,x} - \xi_{x,t} + \eta_{u,t} - \right. \\ & \left. - \tau_u u_{tt} \right) u_x + \left(-\frac{\eta}{u} + \xi_x - \frac{\xi_t}{u} + 2u\tau_x - \tau_t \right) u_{tx} - u\eta_{xx} + \eta_{t,x} - \tau_x u_{tt} = 0. \end{aligned}$$

После расщепления, определяющего уравнения по независимым переменным u_x, u_t, u_{xt} и т.д., имеем определяющую систему для компонент оператора симметрии:

$$\begin{aligned}
u_x u_t^2: -\tau_{u,u} &= 0, \\
u_t^2: -\tau_{u,x} &= 0, \\
u_t u_x^2: u\tau_{u,u} + \tau_u f(u) - \xi_{u,u} + \frac{\xi_u f(u)}{u} &= 0, \\
u_x u_t: 2u\tau_{u,x} - \tau_{t,u} - \xi_{u,x} + \eta_{u,u} + 2f(u)\tau_x &= 0, \\
u_{tx} u_t: -\tau_u - \frac{\xi_u}{u} &= 0, \\
u_{tx} u_x: 2u\tau_u + \xi_u &= 0, \\
u_{tt} u_x: -\tau_u &= 0, \\
u_x: u\xi_{x,x} - 2u\eta_{u,x} - \xi_{x,t} + \eta_{u,t} - 2f(u)\eta_x &= 0, \\
u_x^3: u\xi_{u,u} - f(u)\xi_u &= 0, \\
u_x^2: -u\eta_{u,u} + 2u\xi_{u,x} - \xi_{u,t} - f(u)\eta_u + \frac{\eta f(u)}{u} + \frac{\xi_t f(u)}{u} - \eta f'(u) &= 0, \\
u_{tx}: -\frac{\eta}{u} + \xi_x - \frac{\xi_t}{u} + 2u\tau_x - \tau_t &= 0, \\
u_{tt}: -\tau_x &= 0, \\
u_t: u\tau_{xx} + \eta_{u,x} - \tau_{x,t} &= 0, \\
1: -u\eta_{xx} + \eta_{t,x} &= 0.
\end{aligned}$$

Решая полученную систему определяющих уравнений получено, что компоненты инфинитезимального оператора имеют следующую структуру:

- τ зависит только от переменной t .
- ξ зависит от переменных t, x .
- η зависит от всех трех переменных t, x, u .

В ходе анализа определяющих уравнений были найдены выражения для компонент ξ и η инфинитезимального оператора через функции $\tau(t)$ и $\delta(t)$, а также произвольные постоянные C_1, C_2 :

$$\begin{cases} \xi(t, x) = (C_1 t + C_2)x + \delta(t), \\ \eta(t, x, u) = (C_1 t + C_2 - \tau_t)u - C_1 x - \delta_t. \end{cases}$$

После подстановки этих выражений в оставшуюся часть системы, содержащую функцию $f(u)$, были получены два ключевых уравнения, которые и определяют совместность исходной системы:

$$\begin{cases} -f'(u)((C_1 t + C_2 - \tau_t)u - C_1 x - \delta_t) = 0, \\ 2f(u)C_1 - \tau_{t,t} = 0. \end{cases} \quad (2)$$

Дальнейший анализ данной системы позволяет провести классификацию видов функции $f(u)$, при которых исходное уравнение допускает нетривиальные симметрии.

Вариант 1: $f(u)$ – произвольная функция.

Для выполнения первого уравнения из системы (2) необходимо, чтобы коэффициент при $f'(u)$ тождественно обращался в нуль:

$$(C_1 t + C_2 - \tau_t)u - C_1 x - \delta_t = 0.$$

Это возможно только если коэффициенты при u и x , а также свободный член равны нулю:

$$\begin{cases} C_1 t + C_2 - \tau_t = 0, \\ C_1 = 0. \\ \delta_t = 0. \end{cases} \quad (3)$$

Подставляя второе условие $C_1 = 0$ в первое условие системы (3), получаем

$$C_2 - \tau_t = 0.$$

Интегрируя, находим общий вид функции $\tau(t)$:

$$\tau(t) = C_2 t + C_4.$$

Из 3 условия системы (3) получено, что $\delta = C_5$.

Второе уравнение из системы (2) при $C_1 = 0$ принимает вид

$$\tau_{t,t} = 0,$$

что согласуется с найденным $\tau(t) = C_2 t + C_4$.

Таким образом, при произвольной $f(u)$ получена следующая система уравнений

$$\begin{cases} \tau(t) = C_2 t + C_4, \\ \xi(t, x) = C_2 x + C_5, \\ \eta(t, x, u) = 0. \end{cases}$$

Это означает, что уравнение (1) допускает трёхпараметрическую группу преобразований с операторами:

$$\begin{aligned} X_1 &= \frac{\partial}{\partial t}, & X_2 &= \frac{\partial}{\partial x}, \\ X_3 &= t \frac{\partial}{\partial t} + x \frac{\partial}{\partial x}. \end{aligned}$$

Вариант 2: $f(u) = \text{Const} = A$ – единственное расширение допускаемой группы преобразований.

Поскольку $f'(u) = 0$, первое уравнение системы (2) обращается в тождество. Подставляя $f(u) = A$ во второе уравнение системы (2), получаем

$$2AC_1 - \tau_{t,t} = 0.$$

Интегрируя, находим общий вид функции $\tau(t)$:

$$\tau(t) = AC_1 t^2 + C_3 t + C_4.$$

Соответственно, в случае постоянной функции $f(u) = A$ общее решение системы определяющих уравнений принимает следующий вид:

$$\begin{cases} \tau(t) = AC_1 t^2 + C_3 t + C_4, \\ \xi(t, x) = (C_1 t + C_2)x + \delta(t), \\ \eta(t, x, u) = ((1 - 2A)tC_1 + C_2 - C_3)u - C_1 x - \delta_t. \end{cases}$$

Таким образом, уравнение (1) допускает трёхпараметрическую группу преобразований с операторами:

$$X_1 = At^2 \frac{\partial}{\partial t} + tx \frac{\partial}{\partial x} + ((1 - 2A)tu - x) \frac{\partial}{\partial u},$$

$$X_2 = x \frac{\partial}{\partial x} + u \frac{\partial}{\partial u},$$

$$X_3 = t \frac{\partial}{\partial t} - u \frac{\partial}{\partial u},$$

$$X_4 = \frac{\partial}{\partial t},$$

$$X_8 = \delta(t) \frac{\partial}{\partial x} - \delta_t \frac{\partial}{\partial u}.$$

Библиографический список

1. Полянин, А. Д. Методы решений нелинейных уравнений математической физики и механики / А. Д. Полянин, В. Ф. Зайцев, А. И. Журов, – М. : ФИЗМАТЛИТ, 2005. – 256 с.

2. Головин, С. В. Групповой анализ дифференциальных уравнений / С. В. Головин, А. А. Чесноков. – Новосибирск: НГУ, 2009. – 119 с.

© Залилова А.Д., 2025

УДК 519.60

С.И. НИКОНОВА, А.А. КОРНИЛОВА

sofiamustafina@mail.ru, a.a.sultanova@yandex.ru

Науч. руковод. – доктор физ.-мат. наук, проф. Э.Р. ГИЗЗАТОВА

Уфимский университет науки и технологий

КИНЕТИЧЕСКОЕ МОДЕЛИРОВАНИЕ ДЕСТРУКЦИИ ТВЕРДОГО ПАРАФИНА

Аннотация: проведено исследование, которое показало три стадии процесса деструкции, для каждой из которых была установлена кинетическая модель. Определены значения предэкспоненциального множителя и энергии активации константы скорости реакции. Проведенный с использованием найденных констант скоростей расчет продемонстрировал хорошее соответствие с экспериментальными данными.

Ключевые слова: генетический алгоритм; термическая деструкция парафина; аппроксимация экспериментальных данных.

В условиях ужесточения экологических требований выбор технологии утилизации полимерных отходов приобретает ключевое значение. Одним из перспективных методов является деструкция с получением углеродного наноконпонента. Побочным продуктом этого процесса являются низкомолекулярные полимерные остатки, способные к рекомбинации в новые макромолекулы. Хотя в литературе [1] описаны предпосылки механизма распада и образования новых глобул, единый путь разрыва С-С связей не установлен из-за сложности процесса. Эксперименты показывают накопление углеродных структур в определенном диапазоне масс, но не объясняют кинетику их образования. В этой связи актуально кинетическое моделирование процесса образования глобул. Этот подход позволяет анализировать многокомпонентные среды и устанавливать кинетические взаимосвязи [2, 3], согласуя результаты с экспериментальными данными [4]. Таким образом, кинетическое моделирование служит инструментом для теоретического исследования и интерпретации экспериментальных зависимостей.

Кинетическое моделирование процесса термической деструкции парафина

Экспериментальное исследование процесса деструкции заключается в анализе зависимости потери массы образца от температуры. Широкий температурный диапазон указывает на непостоянство кинетики процесса, что требует определения точек перехода между различными стадиями. Согласно

литературным данным [5], на экспериментальной кривой деструкции парафина можно выделить три участка смены режимов процесса (рис. 1).

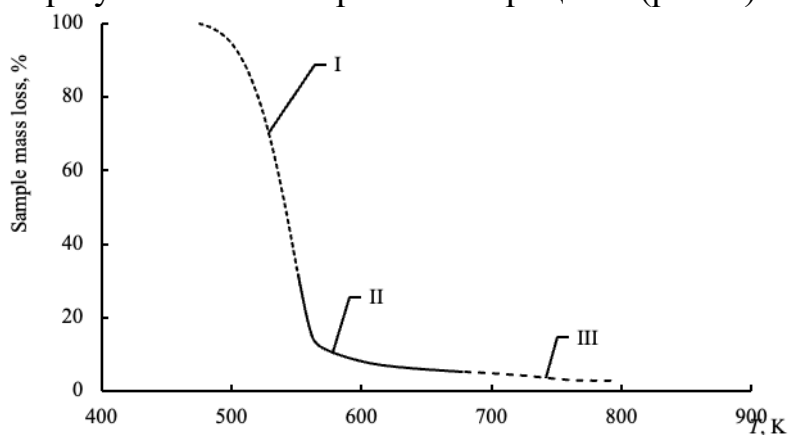


Рис. 1. Зависимость потери массы от температуры при термической деструкции твердоплавкого парафина

Кинетическое моделирование требует соответствия химического процесса его математической модели. Анализ экспериментальной кривой потери массы позволяет выделить три характерных участка.

Участок I

Резкое падение массы на участке I при незначительном росте температуры хорошо согласуется с экспоненциальной функцией, то есть можно предположить, что:

$$\frac{dM}{dt} = -k \cdot M, \quad (1)$$

$$M(t) = M(0) \cdot \exp(-k \cdot t), \quad (2)$$

где k – константа скорости, определяемая уравнением Аррениуса (3):

$$k(T) = A \cdot \exp\left(-\frac{E}{R \cdot T}\right). \quad (3)$$

Аппроксимация экспериментальных данных уравнениями (1)–(2) с учетом (3) дает зависимость константы скорости от температуры, а ее линеаризация – значения предэкспоненциального множителя (A) и энергии активации (E) [6]. Линейный характер зависимости dM/dT делает эту процедуру воспроизводимой с точки зрения получения кинетических параметров.

Участок II

Наибольший интерес для кинетического анализа представляет участок II, соответствующий переходу от резкой потери массы к ее стабилизации. Перегиб экспериментальной кривой на этом участке математически идентифицируется через вторую производную (4), (5):

$$\frac{d^2M}{dT^2} = 0, \quad (4)$$

$$\frac{d^2M}{dt^2} = 0. \quad (5)$$

Из уравнения (5) можно получить первую производную dM/dT в виде (6):

$$\frac{dM}{dt} = -k \cdot t. \quad (6)$$

Границы участка II определяются по изменению знака второй производной (4) в пределах допустимой погрешности, устанавливаемой индивидуально для каждого образца. Таким образом, участок II будет характеризоваться квадратичным изменением потери массы от времени процесса.

Участок III

Участок III характеризуется незначительным изменением массы, что может объясняться либо полной деструкцией основного материала на предыдущих стадиях, либо балансом процессов разложения и образования тяжелых молекулярных фрагментов. Математически обе гипотезы описываются уравнением (7):

$$\frac{dM}{dT} = -k, \quad k \ll 1. \quad (7)$$

Дифференциальные уравнения (1), (2), (6) и (7) позволяют определить границы участков, но не раскрывают механизмы процессов. Для детального анализа кинетики в литературе [5, 7] предлагается общее дифференциальное уравнение (8), на основе которого выводятся константы скоростей реакций для каждого участка (9):

$$\frac{dM}{dt} = -k \cdot f(t, T, M(0), M(t)), \quad (8)$$

$$\frac{dM}{dt} = -A \cdot \exp\left(-\frac{E}{R \cdot T}\right) \cdot f(M(0), M(t)). \quad (9)$$

Для одностадийных реакций справедливы упрощения (10) с использованием конверсии (11), что позволяет преобразовать уравнения (1), (2), (6), (7):

$$M(t) = M(0) \cdot (1 - x(t)), \quad (10)$$

$$u(x) = \frac{M(0) - M(t)}{M(0)}. \quad (11)$$

В случае многостадийных процессов применяется метод нелинейной регрессии для приближения функции к экспериментальным данным.

Результаты вычислительного эксперимента

Эксперимент проводился на основе данных по деструкции твердоплавкого парафина П-1 без и в присутствии железосодержащего

катализатора. Процесс был описан тремя дифференциальными уравнениями, а кинетические параметры для каждого участка (I-III) рассчитаны оптимальными методами. На основе линеаризации были определены предэкспоненциальный множитель (A) и энергия активации (E/R) для каждой стадии (табл. 1 и 2).

Анализ таблиц показал, что на участке I константа скорости имеет весомое значение, тогда как на участках II и III значение предэкспоненциального множителя A крайне мало, что делает константу скорости реакции (k) близкой к нулю. Это означает, что потеря массы на этих стадиях незначительна, и для их описания, возможно, требуется более сложная модель, учитывающая скорости расхода и образования массы.

Таблица 1

Соответствие участков на кривой и математического описания с указанием числовых параметров кинетических констант скоростей реакций для парафина твердоплавкого

| № участка | A | $\frac{E}{R}$ | Вид дифференциального уравнения |
|-----------|----------------|---------------|---------------------------------|
| I | $\exp(22,428)$ | 15733 | $\frac{dM}{dt} = -k \cdot M$ |
| II | $\exp(-58,83)$ | -26734 | $\frac{dM}{dt} = -k \cdot T$ |
| III | $\exp(-23,37)$ | -9748,3 | $\frac{dM}{dt} = -k$ |

Таблица 2

Соответствие участков на кривой и математического описания с указанием числовых параметров кинетических констант скоростей реакций для парафина твердоплавкого в присутствии железосодержащего катализатора

| № участка | A | $\frac{E}{R}$ | Вид дифференциального уравнения |
|-----------|-----------------------|---------------|---------------------------------|
| I | 0,130864 | 24317,55 | $\frac{dM}{dt} = -k \cdot M$ |
| II | $6,15 \cdot 10^{-14}$ | -99944,4 | $\frac{dM}{dt} = -k \cdot T$ |
| III | $1,47 \cdot 10^{-5}$ | -19573,4 | $\frac{dM}{dt} = -k$ |

Расчет по предложенной методике показал хорошее совпадение экспериментальных и расчетных кривых (рис. 2 и 3).

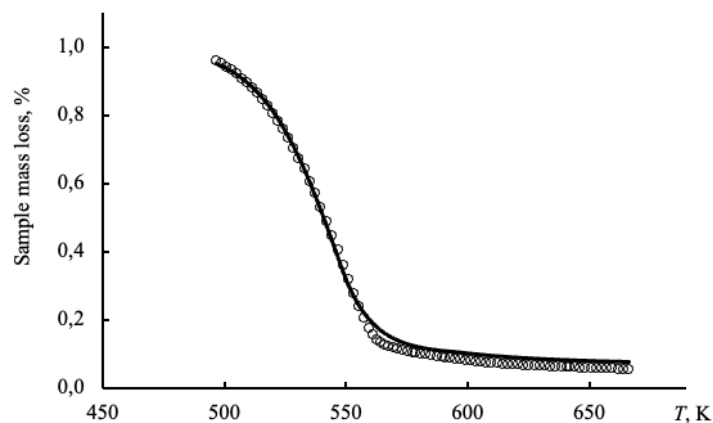


Рис. 2. Зависимость массы образца твердоплавкого парафина и расчетной кривой от температуры в К

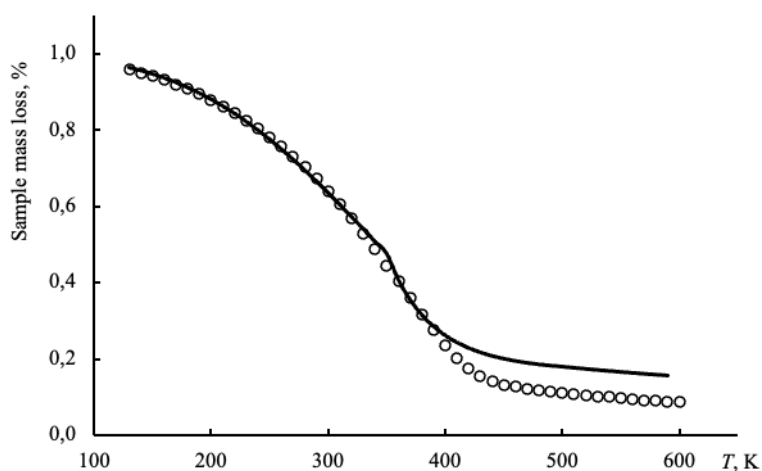


Рис. 3. Зависимость массы образца твердоплавкого парафина в присутствии железосодержащего катализатора и расчетной кривой от температуры в К

Резкий перегиб на экспериментальной кривой в присутствии катализатора (рис. 4) в расчетных данных сглаживается, однако наблюдается резкий переход между стадиями I и II, что может указывать на необходимость разделения участка I на две подстадии.

Анализ второй производной (рис. 4) выявил точку, соответствующую резкому перегибу экспериментальной кривой. Это позволяет предположить наличие точки перехода на участке II и целесообразность его разделения на два подучастка.

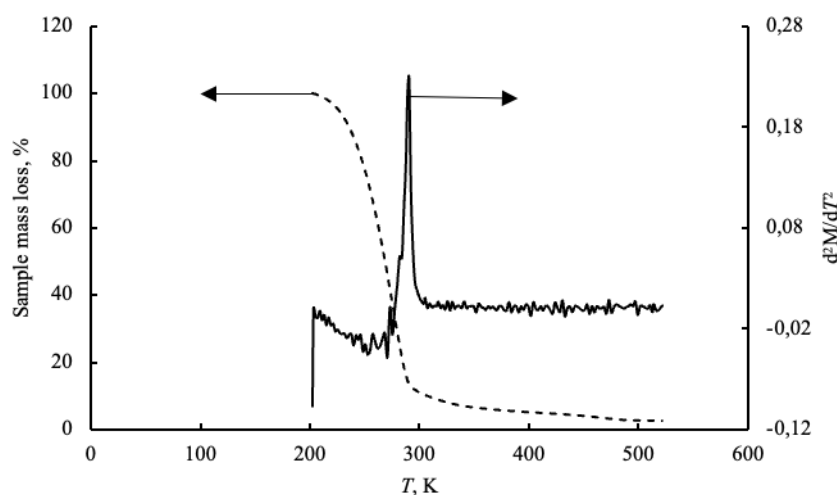


Рис. 4. Зависимость массы образца твердоплавкого парафина в присутствии железосодержащего катализатора и дважды дифференциальной кривой от температуры в К

В целом, схожесть экспериментальных и расчетных данных подтверждает корректность предложенного теоретического подхода.

Таким образом, кинетическое моделирование разложения парафина продемонстрировало, что не всегда возможен однозначный выбор кинетической кривой, описывающей эксперимент. В некоторых случаях требуется уточнение механизма реакции или разделение участка кривой на несколько подучастков со сходным механизмом, но различными кинетическими константами.

Несмотря на это, кинетический подход позволяет экспериментатору определить неизвестные константы и установить физически обоснованные закономерности, обеспечивающие согласование расчетных и экспериментальных данных.

Исследование выполнено в рамках государственного задания Министерства науки и высшего образования Российской Федерации (код научной темы FZWU-2023-0002). Других источников финансирования проведения или руководства данным конкретным исследованием не было.

Библиографический список

1. Ломакин С.М., Дубникова И.Л., Березина С.М., Зайков Г.Е. Термическая деструкция и горение нанокompозита полипропилена на основе органически модифицированного слоистого алюмосиликата // Высокомолекулярные соединения. Серия А. – 2006. – Т. 48. – №. 1. – С. 90–105.
2. Янбеков М. С., Гиззатова Э. Р., Спивак С. И. Моделирование различных режимов поведения конверсии мономера в процессах радикальной полимеризации диенов // Журнал Средневолжского математического общества. – 2016. – Т. 18. – №. 4. – С. 159–167.

3. Улитин Н.В., Опаркин А.В., Дебердеев Р.Я., Берлин А.А. Моделирование радикальной полимеризации стирола, сопровождающейся обратимой передачей цепи в присутствии дибензилтретиокарбоната // Доклады академии наук. – ФГБОУ РАН, 2012. – Т. 446. – №. 6. – С. 642–642.

4. Колесов С.В., Сигаева Н.Н., Газеева Д.Р., Ермолаев Н.Л., Юмагулова Р.Х. Особенности комплексно-радикальной полимеризации стирола в присутствии металлоценовых иницилирующих систем // Вестник Башкирского университета. – 2009. – Т. 14. – №. 3. – С. 746–748.

5. С.М. Ломакин, А.Ю. Шаулов, Е.В. Коверзанова, С.В. Усачев, Н.Г. Шилкина, Ал. Ал. Берлин. Кинетические особенности термодеструкции поливинилового спирта в композициях с полиоксидом бора. Ч. 2. Анализ продуктов термодеструкции // Химическая физика. – 2019. – Т. 38. – №. 6. – С. 53–58.

6. Гайдадин А. Н., Петрюк И. П., Зарудный Я. В. Анализ методик расчета кинетических параметров термодеструкции для термоэластопластов на основе полиолефинов // Известия Волгоградского государственного технического университета. – 2011. – №. 2. – С. 106–109.

7. Opfermann J. Kinetic analysis using multivariate non-linear regression. I. Basic concepts // Journal of thermal analysis and calorimetry. – 2000. – Vol. 60. – №. 2. – P. 641–658.

© Никонова С.И., Корнилова А.А., 2025

Т.В. ПАВЛОВА

toma.pavlova.06@mail.ru

Науч. руковод. – канд. физ.-мат. наук, доцент Р.Р. САФИУЛЛОВА

Уфимский университет науки и технологии

ОПРЕДЕЛЕНИЕ КОЭФФИЦИЕНТА ЗАТУХАНИЯ ПРОДОЛЬНЫХ КОЛЕБАНИЙ САМОЛЕТА МС-21 И ЕГО ВЛИЯНИЕ НА УСТОЙЧИВОСТЬ ПОЛЕТА

Аннотация: исследован коэффициент затухания колебаний по углу тангажа самолета МС-21. На основе математического моделирования показана связь между аэродинамическими коэффициентами и временем стабилизации движения.

Ключевые слова: коэффициент затухания; устойчивость полета; продольные колебания; угол тангажа; коэффициент продольного момента.

Для самолета МС-21, как и для любого современного гражданского авиалайнера, динамическая устойчивость играет критическую роль в обеспечении безопасности полета и комфорта пассажиров. Этот параметр влияет не только на технические характеристики, но и на эксплуатационные расходы и общее восприятие воздушного судна.

Изучение коэффициента затухания продольных колебаний является одной из основных частей анализа динамической устойчивости. Коэффициент затухания характеризует скорость затухания колебаний системы, что напрямую связано с ее способностью вернуться в состояние равновесия после возмущения. Высокий коэффициент затухания способствует более быстрому и безопасному возвращению самолета в стабильное состояние, обеспечивая плавное движение.

Определим предел колебаний угла тангажа (1) с помощью которого выясним, какой знак должен иметь коэффициент затухания. Важно отметить, что при вычислении предела рассматривается динамическое равновесие самолета.

$$\theta(t) = \theta_{уст} + Ae^{-\sigma t} \cdot \cos(vt + \varphi), \quad (1)$$

θ – угол тангажа, $\theta_{уст}$ – установившееся значение угла тангажа, A – амплитуда колебаний угла тангажа, σ – коэффициент затухания колебаний, t – время полета, v – частота колебаний угла тангажа, φ – начальная фаза колебаний.

$$\lim_{t \rightarrow \infty} [\theta_{уст} + Ae^{-\sigma t} \cdot \cos(vt + \varphi)]. \quad (2)$$

Заметим, что предел вида $\lim_{t \rightarrow \infty} \cos(vt + \varphi)$ не существует, раскроем неопределенность.

Рассмотрим случаи при $\sigma > 0$:

$$\lim_{t \rightarrow \infty} \theta_{уст} + \lim_{t \rightarrow \infty} Ae^{-\sigma t} \cdot \cos(vt + \varphi).$$

Вычислим пределы по отдельности.

$$\lim_{t \rightarrow \infty} \theta_{уст} = \theta_{уст}, \quad 3)$$

$$\lim_{t \rightarrow \infty} Ae^{-\sigma t} \cdot \cos(vt + \varphi). \quad 4)$$

Для нахождения численного значения предела (4) воспользуемся теоремой о «двух милиционерах». Поскольку $-1 \leq \cos(vt + \varphi) \leq 1$ отсюда следует, что $|A|e^{-\sigma t} \leq Ae^{-\sigma t} \cdot \cos(vt + \varphi) \leq |A|e^{-\sigma t}$, т.к.

$$\lim_{t \rightarrow \infty} -Ae^{-\sigma t} = \lim_{t \rightarrow \infty} Ae^{-\sigma t} = 0, \text{ то}$$

$$\lim_{t \rightarrow \infty} Ae^{-\sigma t} \cdot \cos(vt + \varphi) = 0.$$

Таким образом, численное решение предела (2) равно:

$$\lim_{t \rightarrow \infty} \theta_{уст} + \lim_{t \rightarrow \infty} Ae^{-\sigma t} \cdot \cos(vt + \varphi) = \theta_{уст} + 0 = \theta_{уст}.$$

Рассмотрим случаи при $\sigma = 0$. В этом случае (1) приобретает следующий вид:

$$\theta(t) = \theta_{уст} + A \cdot \cos(vt + \varphi),$$

$$\lim_{t \rightarrow \infty} \sup \theta(t) = \theta_{уст} + |A|, \quad \lim_{t \rightarrow \infty} \inf \theta(t) = \theta_{уст} - |A|.$$

Поскольку $\lim_{t \rightarrow \infty} \sup \theta(t) \neq \lim_{t \rightarrow \infty} \inf \theta(t)$, то $\lim_{t \rightarrow \infty} \theta(t)$ не существует.

Рассмотрим случаи при $\sigma < 0$. Пусть $\sigma = -\mu$ и $\mu > 0$, тогда (1) примет вид:

$$\theta(t) = \theta_{уст} + Ae^{\mu t} \cdot \cos(vt + \varphi).$$

Возьмем две последовательности времени, где косинус принимает значения $+1$ и -1 соответственно:

$$t_n = \frac{2\pi n - \varphi}{v}, \quad t_{n'} = \frac{2\pi n + \pi - \varphi}{v}, \quad n \in \mathbb{N}.$$

Тогда для всех n :

$$\cos(vt_n + \varphi) = 1, \quad \cos(vt_{n'} + \varphi) = -1,$$

и $t_n, t_{n'} \rightarrow \infty$ при $n \rightarrow \infty$.

$$\theta(t_n) = \theta_{уст} + Ae^{\mu t_n} \rightarrow \begin{cases} \lim_{t_n \rightarrow \infty} \theta(t_n) = \theta_{уст} + Ae^{\mu t_n} = +\infty, A > 0, \\ \lim_{t_n \rightarrow \infty} \theta(t_n) = \theta_{уст} + Ae^{\mu t_n} = -\infty, A < 0. \end{cases}$$

$$\theta(t_{n'}) = \theta_{уст} + Ae^{\mu t_{n'}} \rightarrow \begin{cases} \lim_{t_{n'} \rightarrow \infty} \theta(t_{n'}) = \theta_{уст} - Ae^{\mu t_{n'}} = -\infty, A > 0, \\ \lim_{t_{n'} \rightarrow \infty} \theta(t_{n'}) = \theta_{уст} - Ae^{\mu t_{n'}} = +\infty, A < 0. \end{cases}$$

Значения по двум подпоследовательностям расходятся по модулю в бесконечность, поэтому общего конечного предела нет – функция вообще не ограничена при $t \rightarrow \infty$.

Заметим, что, что предел существует и конечен при коэффициенте затухания больше 0, в случае если он равен или меньше 0, он не существует. Случай, где A или ν равны нулю не рассматриваются, т.к. самолет находится в колебательном состоянии.

Для того чтобы найти численное значение коэффициента затухания необходимо воспользоваться (5)[1]:

$$\sigma = -\frac{M_{\theta}}{2I_y}, \quad (5)$$

где M_{θ} – производная продольного момента по углу тангажа, I_y – момент инерции относительно поперечной оси принят на основе данных для самолетов аналогичного класса равный $15 \cdot 10^6 \text{ кг/м}^2$ [2].

Продольный момент можно рассчитать следующим образом [3]:

$$M = qScC_m(\alpha, \theta, \omega), \quad (6)$$

где M – продольный момент, q – динамическое давление, S – площадь крыла самолета, c – средняя аэродинамическая хорда крыла, C_m – коэффициент продольного момента, α – угол атаки, θ – угол тангажа, ω – угловая скорость тангажа.

Функция коэффициента продольного момента имеет следующий вид [4]:

$$C_m(\alpha, \theta, \omega) = C_{m_0} + C_{m_{\alpha}} \Delta\alpha + C_{m_{\omega}} \Delta\omega + C_{m_{\theta}} \Delta\theta, \quad (7)$$

C_{m_0} – начальная производная коэффициент продольного момента, $C_{m_{\alpha}}$ – производная коэффициент продольного момента по углу атаки, $C_{m_{\omega}}$ – производная коэффициент продольного момента по угловой скорости тангажа, $C_{m_{\theta}}$ – производная коэффициент продольного момента по углу тангажа.

Т.к. рассматриваем статическую продольную устойчивость, при которой $\alpha, \omega = \text{const}$, т.е рассматриваем реакцию самолета только на возмущения угла тангажа (рис. 1).



Рис. 1. Угол тангажа самолета

Разложим функцию (7) в ряд Тейлора, заметим, что в рабочем диапазоне полета в крейсерном режиме функция обязана быть гладкой.

$$C_m(\theta) \approx C_m(\theta_0) + \left. \frac{\partial C_m}{\partial \theta} \right|_{\theta=\theta_0} \cdot (\theta - \theta_0), \quad (8)$$

т.к. отклонения малые, вторым и более высоким членами ряда можно пренебречь.

Учитывая полученный ряд в формуле (8), рассчитаем производную продольного момента по углу тангажа по формуле (6)

$$\begin{aligned} M &= qSc [C_m(\theta_0) + \frac{\partial C_m}{\partial \theta} (\theta - \theta_0)], \\ \frac{\partial M}{\partial \theta} &= qSc \left(\frac{\partial}{\partial \theta} [C_m(\theta_0) + \frac{\partial C_m}{\partial \theta} (\theta - \theta_0)] \right), \\ \frac{\partial M}{\partial \theta} &= qSc \frac{\partial C_m(\theta_0)}{\partial \theta} + qSc \frac{\partial}{\partial \theta} \left[\frac{\partial C_m}{\partial \theta} (\theta - \theta_0) \right]. \end{aligned} \quad (9)$$

Поскольку $C_m(\theta_0) = \text{const}$, а значит $\frac{\partial C_m(\theta_0)}{\partial \theta} = 0$, а при рассмотрении продольной устойчивости $\frac{\partial C_m}{\partial \theta}$ является постоянным коэффициентом наклона относительно θ , равным $-0,709$.

$$\begin{aligned} \frac{\partial M}{\partial \theta} &= qSc \frac{\partial C_m}{\partial \theta} \cdot \frac{\partial}{\partial \theta} (\theta - \theta_0), \\ \frac{\partial M}{\partial \theta} &= qSc \frac{\partial C_m}{\partial \theta} \cdot 1, \end{aligned}$$

$$M_\theta = qSc \frac{\partial C_m}{\partial \theta}. \quad (10)$$

Рассчитаем дополнительные параметры q

$$q = \frac{1}{2} \rho v^2, \quad (11)$$

где ρ – средняя плотность воздуха на высоте 10000 м, ϑ – средняя скорость полета в крейсерном режиме.

Рассчитаем производную продольного момента по углу тангажа.

$$M_{\theta} = \frac{1}{2} \rho \vartheta^2 S c \frac{\partial C_m}{\partial \theta} = \frac{1}{2} \cdot 0,413 \cdot 230^2 \cdot 113 \cdot 3,4659 \cdot (-0,709) \approx -3,03 \cdot 10^6 \text{ Н} \cdot \text{м} \quad (12)$$

Тогда коэффициент устойчивости будет равен

$$\sigma = -\frac{M_{\theta}}{2I_y} = -\frac{-3,03 \cdot 10^6}{2 \cdot 15 \cdot 10^6} = 0,101.$$

Полученное значение составляет примерно 10% от средней аэродинамической хорды, что соответствует значениям коэффициента затухания, найденного экспериментально [5].

С помощью коэффициента затухания также можно рассчитать другие важные параметры для полета, например, время уменьшения амплитуды в e раз (13) и время уменьшения амплитуды в 2 раза (14)

$$t_e = \frac{1}{\sigma} \quad (13)$$

$$t_{1/2} = \frac{\ln 2}{\sigma}. \quad (14)$$

Время уменьшения амплитуды в e раз показывает характерную скорость затухания колебаний. Это универсальный параметр: чем меньше t_e , тем быстрее самолёт возвращается к равновесию.

Время уменьшения амплитуды в два раза удобно для наглядного сравнения. Оно дает простое представление пилоту и инженеру: за сколько секунд возмущение «упадет наполовину».

Оба показателя позволяют судить о том, насколько быстро самолет стабилизируется после возмущения, и используются при проверке соответствия нормам устойчивости.

В рассматриваемом случае при коэффициенте затухания 0,101 время уменьшения амплитуды вдвое и время уменьшения амплитуды в e раз согласно формул (13) и (14) будут иметь следующие значения:

$$t_e = \frac{1}{0,101} = 9,9 \text{ с},$$

$$t_{1/2} = \frac{\ln 2}{0,101} = 6,862 \text{ с}.$$

На рис. 2 представлен процесс затухания колебаний угла тангажа при $\sigma = 0,101$. Оранжевой и синей пунктирными линиями показана экспоненциальная огибающая $\pm Ae^{-\sigma t}$. Вертикальными линиями отмечены

характерные времена: $t_{1/2} = 6,86$ с (уменьшение амплитуды вдвое) и $t_e = 9,9$ с (уменьшение амплитуды в e раз), в качестве постоянных параметров взяты: $A = 5$, $\theta_{уст} = 0$, $\varphi = 0$, $\nu = 0,8$ рад/с.

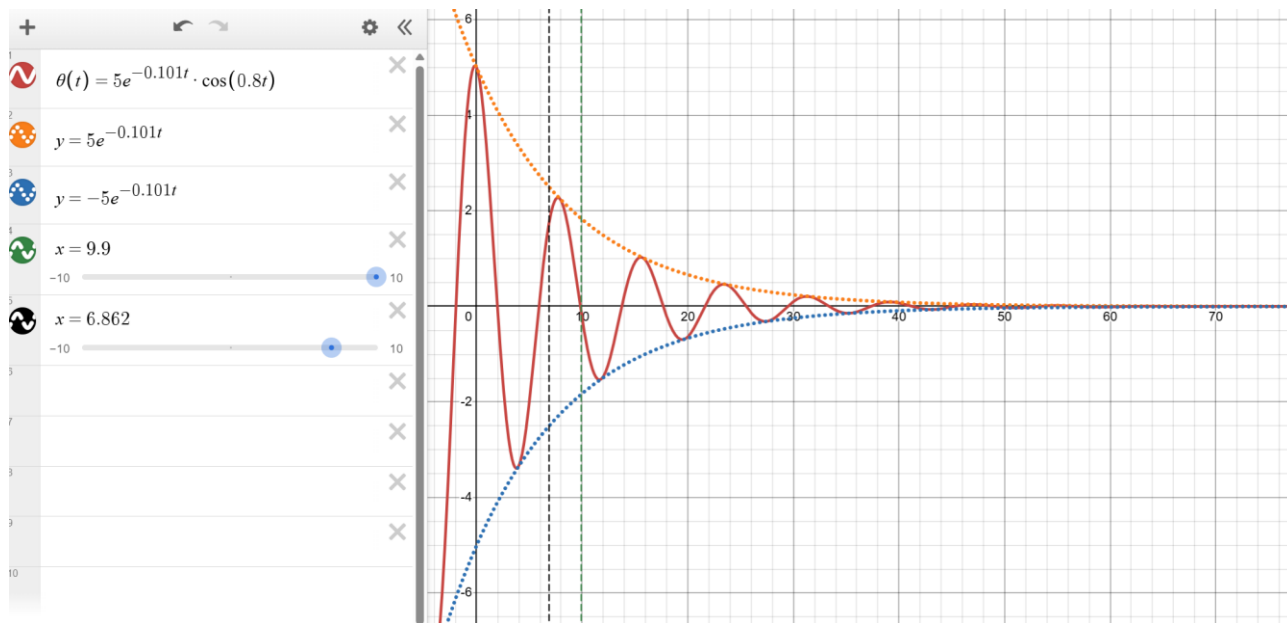


Рис. 2. Затухание колебаний по углу тангажа

Полученные данные свидетельствуют о быстром и плавном гашении колебаний. Эти значения демонстрируют: оптимальный баланс устойчивости и управляемости, высокий комфорт для пассажиров за счет плавного возврата в равновесие, отличную базовую аэродинамику, усиленную современной системой управления

Проведенное исследование продемонстрировало эффективность применения математического аппарата для анализа динамических характеристик современных летательных аппаратов. На примере самолета МС-21 была решена практическая задача определения коэффициента затухания продольных колебаний, имеющая непосредственное значение для обеспечения безопасности и комфорта полетов.

Библиографический список

1. Чепурных Д.А. Динамика полетов самолетов: учебное пособие / Д.А. Чепурных – Комсомольск-на-Амуре, КНАГУ, 2014. – 142 с. – URL: https://knastu.ru/media/files/page_files/page_421/posobiya_2014/_Chepurnykh_Dinamika_poletov_samoletov.pdf (дата обращения: 10.06.2025).

2. Ефимов В.В. Динамика полета. Устойчивость и управляемость летательных аппаратов: учебное пособие / В. В. Ефимов, М. Г. Ефимова. – М., 2020. – 210 с.

3. Алемасов А.В. Аэродинамика самолета: учебное пособие / А.В. Алемасов. – Самара, Самарский университет, 2019. – 98 с. – URL: <http://flyguy.ru/avia/wp-content/uploads/Aerodynamics.pdf> (дата обращения: 10.06.2025).

4. Динамика, устойчивость и управляемость полета самолетов: учебное пособие / сост. Н. Н. Куприков. – Самара, Самарский национальный исследовательский университет имени академика С. П. Королева, 2018. – 115 с. – URL: https://ssau.ru/files/struct/deps/dinpol/umo/DPS_ust_i_upr_prod_dv.pdf (дата обращения: 10.06.2025).

5. Основы аэродинамики и динамики полета: учебное пособие / под ред. И.С. Петрова. – Воронеж, ВГТУ, 2009. – 88 с. – URL: <https://vzletim.ru/upload/iblock/133/aerodynamics09.pdf> (дата обращения: 10.06.2025).

© Павлова Т.В., 2025

К.Р. ХАМИДУЛИНА

kamilla.kham@yandex.ru

Науч. руковод. – канд. физ.-мат. наук, доц. А.А. КАСАТКИН

Уфимский университет науки и технологий

РЕШЕНИЕ УРАВНЕНИЯ ПУАССОНА В НЕОДНОРОДНОЙ СРЕДЕ С ПОМОЩЬЮ ФИЗИКО-ИНФОРМИРОВАННОЙ НЕЙРОННОЙ СЕТИ

Аннотация: исследование решения двумерного уравнения Пуассона в неоднородных средах с использованием физико-информированных нейронных сетей (PINNs). Встраивание физических законов осуществляется путем минимизации функции потерь, которая включает в себя не только ошибку выполнения самого дифференциального уравнения и граничных условий, но и явные условия непрерывности нормального потока на границе раздела сред.

Ключевые слова: физико-информированные нейронные сети; уравнение Пуассона; автоматическое дифференцирование; уравнение в частных производных; градиентный спуск; метод конечных элементов.

Уравнение Пуассона является фундаментальным уравнением в математической физике, описывающим широкий спектр стационарных физических процессов, включая электростатику, теплопередачу, фильтрацию жидкости в пористых средах и механику сплошных сред [1, 2]. Решение этого уравнения в однородных средах хорошо изучено и эффективно реализуется с помощью классических численных методов, таких как метод конечных разностей (МКР), метод конечных объемов (МКО) и метод конечных элементов (МКЭ) [3]. Однако в реальных инженерных и природных системах часто встречаются неоднородные среды, где физические свойства меняются скачкообразно на границах раздела различных материалов. Численное моделирование таких задач сопряжено со значительными трудностями. Традиционные сеточные методы требуют построения сложных, а зачастую и адаптивных сеток вблизи интерфейсов для точного учета разрывных коэффициентов и обеспечения непрерывности потока [4]. Генерация качественной сетки для трехмерных областей сложной геометрии остается трудоемкой и вычислительно затратной задачей [5].

В последние годы активно развивается новое направление – метод физико-информированных нейронных сетей – Physics-Informed Neural Networks (PINN) [6]. Подход PINN предлагает элегантное решение многих проблем, присущих классическим численным методам. Ключевое преимущество заключается в использовании глубокой нейронной сети для аппроксимации решения по всей области без необходимости генерации сетки. Физические законы встраиваются непосредственно в функцию потерь сети через механизм

автоматического дифференцирования, позволяющий получить физически непротиворечивое решение, используя набор случайных точек выборки внутри области и на ее границах [7].

Целью данной работы является демонстрация эффективности и точности подхода PINN для решения двумерного уравнения Пуассона в среде с резким скачком коэффициента диффузии.

Рассматривается стационарное распределение потенциала $\phi(x, y)$ в двумерной прямоугольной области $\Omega = [0, 1] \times [0, 1]$. Область Ω разделена на две подобласти Ω_1 и Ω_2 вертикальной линией $x = 0,5$, представляющих материалы с различными физическими свойствами.

Обобщенное уравнение Пуассона для неоднородной среды:

$$-\nabla \cdot (\kappa(x, y) \nabla \phi(x, y)) = f(x, y) \text{ в } \Omega,$$

где:

— $\phi(x, y)$ — искомый потенциал.

— $\kappa(x, y)$ — коэффициент диффузии, который является кусочно-постоянным:

$$\kappa(x, y) = \begin{cases} \kappa_1 = 1,0 & \text{если } x < 0,5 (\Omega_1) \\ \kappa_2 = 0,01 & \text{если } x \geq 0,5 (\Omega_2) \end{cases}$$

— $f(x, y) = \sin(\pi x) \sin(\pi y)$ — заданная функция источника.

На внешних границах $\partial\Omega$ заданы однородные граничные условия Дирихле:

$$\phi(x, y) = 0 \text{ на } \partial\Omega.$$

Критически важными для решения в неоднородной среде являются условия на внутренней границе раздела Γ (линия $x = 0,5$). Эти условия обеспечивают физическую непрерывность решения.

Архитектура модели представляет собой стандартную многослойную полносвязную сеть, которая аппроксимирует стационарное поле потенциала $\phi(x, y)$ по всей расчетной области Ω .

Входной слой состоит из двух нейронов, соответствующих пространственным координатам (x, y) . Используются 4 скрытых слоя, каждый из которых содержит 64 нейрона. В качестве функции активации для скрытых слоев выбран гиперболический тангенс. Функция \tanh предпочтительнее по сравнению с нелинейной функцией – Rectified Linear Unit (ReLU) для задач PINN, поскольку она является гладкой и обеспечивает лучшую сходимость при расчете вторых производных с использованием автоматического дифференцирования. Выходной слой состоит из одного нейрона, предсказывающего значение потенциала ϕ в заданной точке (x, y) .

Функция потерь PINN строится таким образом, чтобы минимизировать невязку физических законов. Для нашей задачи функция потерь L состоит из трех основных компонентов:

1. Потери уравнения L_{PDE} — измеряет, насколько хорошо сеть удовлетворяет уравнению Пуассона в случайно выбранных точках коллокации внутри области Ω .

$$L_{PDE} = \frac{1}{N_{PDE}} \sum_{i=1}^{N_{PDE}} \| -\nabla \cdot (\kappa \nabla \phi_{\theta}(x_i, y_i)) - f(x_i, y_i) \|^2$$

2. Потери граничных условий L_{BC} – измеряет отклонение решения от заданных граничных условий на $\partial\Omega$, фактически принуждая сеть соблюдать условие Дирихле ($\phi=0$) на внешней границе.

$$L_{BC} = \frac{1}{N_{BC}} \sum_{j=1}^{N_{BC}} \|\phi_{\theta}(x_j, y_j) - \phi_{target}\|^2.$$

3. Потери интерфейсных условий L_{IC} – обеспечивает выполнение условий непрерывности на границе раздела сред Γ , явно включая условие непрерывности потока ($x = 0,5$):

$$L_{IC} = \frac{1}{N_{IC}} \sum_{k=1}^{N_{IC}} \|\kappa_1 \frac{\partial \phi_{\theta}}{\partial x}(0,5^-, y_k) - \kappa_2 \frac{\partial \phi_{\theta}}{\partial x}(0,5^+, y_k)\|^2.$$

Общая задача обучения сводится к минимизации взвешенной суммы этих потерь:

$$\min L(\theta) = W_{PDE} L_{PDE} + W_{BC} L_{BC} + W_{IC} L_{IC}.$$

Путем минимизации этой функции потерь с использованием стандартных алгоритмов оптимизации, нейронная сеть учится аппроксимировать физически корректное решение дифференциального уравнения.

Для учета неоднородности среды (резкое изменение коэффициента κ на $x = 0,5$, коэффициент $\kappa(x)$ рассчитывается динамически внутри графа вычислений TensorFlow с использованием условного оператора (tf.where). Для обучения модели использовались три набора случайных точек коллокации, сгенерированных с помощью латинского гиперкуба:

— Точки PDE: 10000 точек, равномерно распределенных по всей области Ω , где вычисляется L_{PDE} .

— Точки BC: 400 точек, равномерно распределенных по периметру $\partial\Omega$, где вычисляется L_{BC} .

— Точки IC: 800 точек, равномерно распределенных вдоль линии интерфейса $\Gamma(x = 0,5)$, где вычисляется L_{IC} .

Модель обучалась с использованием оптимизатора Adam с начальной скоростью обучения 1×10^{-3} в течение 50000 эпох. Для достижения лучшей сходимости использовалась динамическая схема взвешивания компонентов функции потерь, где вес L_{BC} был увеличен в 100 раз относительно L_{PDE} .

Результаты эксперимента. PINN успешно сошла к устойчивому решению. Визуализация поля потенциала $\phi(x, y)$ на рис. 1 показывает гладкое

распределение по всей области. Анализ градиента потенциала на рис. 2 демонстрирует четкий скачок величины $\frac{\partial \phi}{\partial x}$ на линии $x = 0,5$.

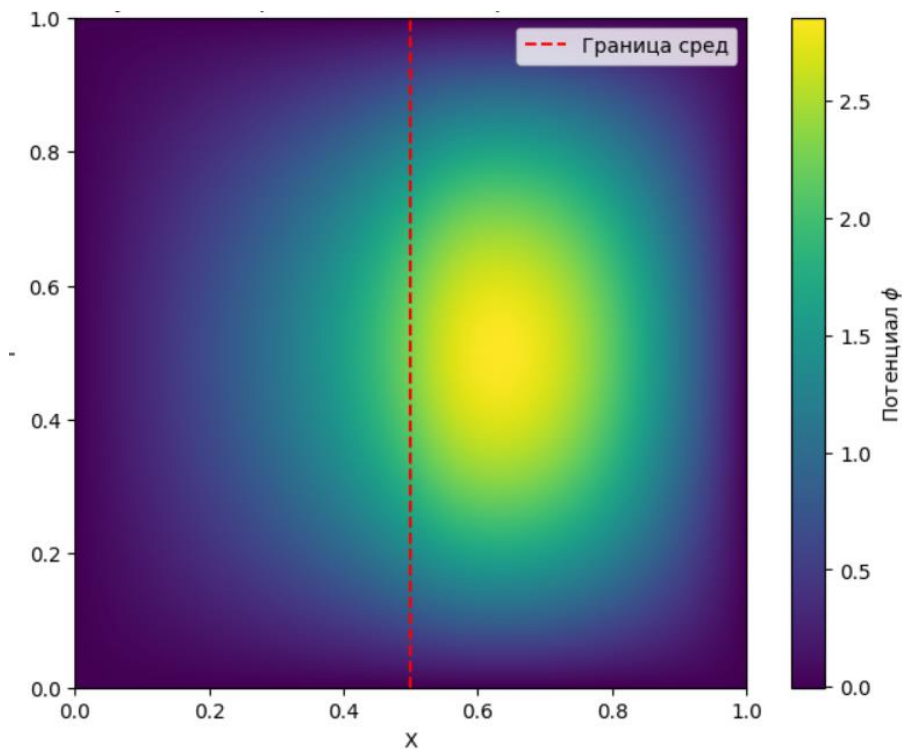


Рис. 1. Карта потенциала, предсказанного PINN

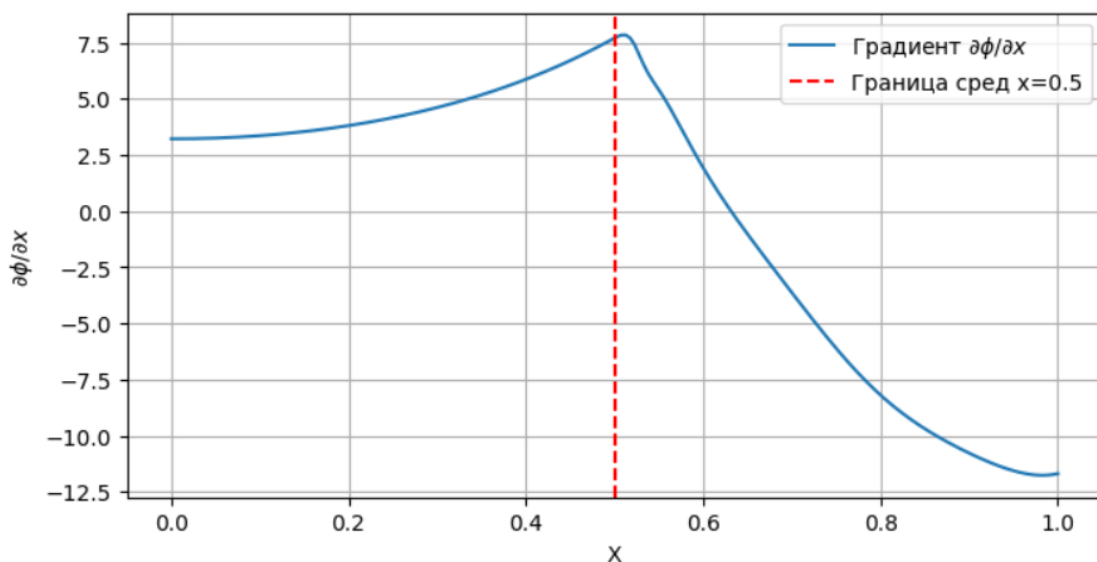


Рис. 2. Профиль градиента $\frac{\partial \phi}{\partial x}$ при $x = 0,5$

Для демонстрации роли условия непрерывности потока на границе раздела сред был проведен контрольный эксперимент. В этом эксперименте нейронная сеть обучалась с той же архитектурой и набором данных, что и в первой модели, но функция потерь была модифицирована: компонент, отвечающий за непрерывность нормального потока был исключен ($W_{IC} = 0$).

Модель сошлась, однако итоговое решение оказалось физически некорректным. Несмотря на то, что потенциал оставался непрерывным, на рис. 3 в расчете градиента потенциала на границе раздела сред ($x = 0,5$) наблюдается значительный нефизический скачок, что приводит к нарушению закона сохранения потока.

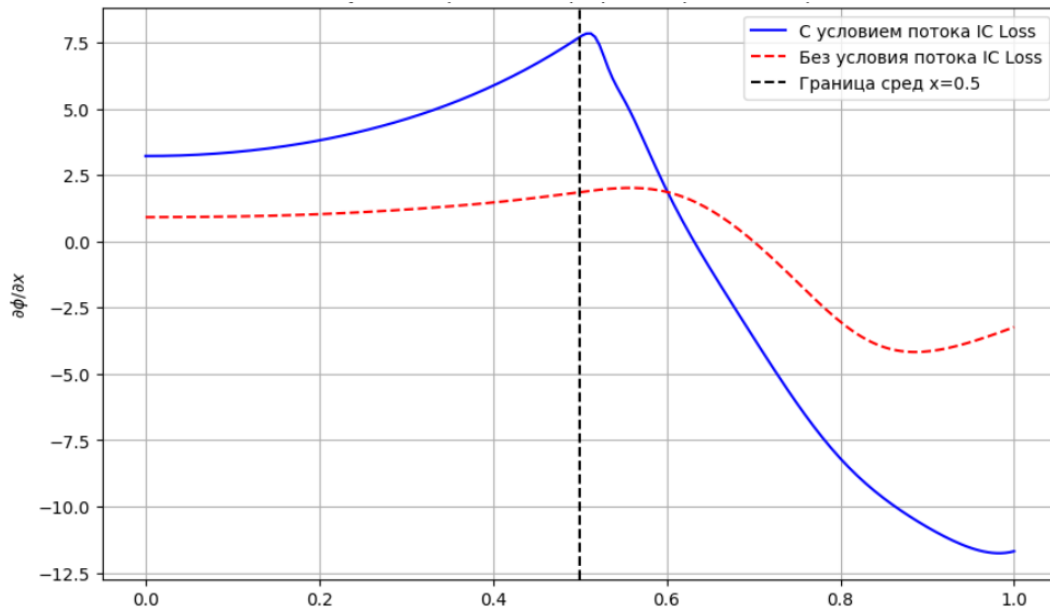


Рис. 3. Сравнение профилей градиента моделей с функцией потерь с и без учета непрерывности нормального потока

Результаты демонстрируют, что PINN является мощным и гибким инструментом для решения задач в неоднородных средах, при условии корректного встраивания всех физических законов, включая интерфейсные условия, в функцию потерь.

В качестве экспериментальной задачи рассмотрена область, состоящая из двух сред с коэффициентами диффузии, различающимися на два порядка $\kappa_1/\kappa_2 = 100$. Продемонстрирована способность сети точно предсказывать потенциал и корректно воспроизводить скачок градиента потока на интерфейсе. Полученные результаты подтверждают эффективность и перспективность PINN как бессеточного метода для решения сложных задач математического моделирования в неоднородных средах.

Библиографический список

1. Треногин, В. А. Уравнения в частных производных : учебное пособие / В. А. Треногин, И. С. Недосекина. – Москва : Физматлит, 2013. – 228 с.
2. Владимиров, В. С. Уравнения математической физики : учебник для вузов / В. С. Владимиров. – 6-е изд., стер. – Москва : Физматлит, 2008. – 528 с. – ISBN 978-5-9221-0885-3.

3. Бате, К. Ю. Численные методы анализа и метод конечных элементов / К. Ю. Бате, Э. Вилсон ; пер. с англ. под ред. К. А. Сосунова. – Москва : Стройиздат, 1982. – 447 с.

4. Вержбицкий, В. М. Численные методы. Математический анализ и обыкновенные дифференциальные уравнения: учебное пособие / В. М. Вержбицкий. – 2-е изд., испр. – Москва : Высшая школа, 2005. – 400 с.

5. P. L. George. Automatic Mesh Generation: Application to Finite Element Methods / Wiley-Interscience, 1991.

6. M. Raissi, P. Perdikaris, and G. E. Karniadakis. Physics-informed neural networks: A deep learning framework for solving forward and inverse problems involving nonlinear partial differential equations / Journal of Computational Physics, vol. 378, pp. 686–707, 2019.

7. G. E. Karniadakis, I. G. Kevrekidis, L. Lu, P. Perdikaris, S. Wang, and L. Yang. Physics-informed machine learning / Nature Reviews Physics, vol. 3, no. 6, pp. 422–440, 2021.

© Хамидулина К.Р., 2025

О.В. ЯКОВЛЕВ

yakovlev_ov@inbox.ru

Науч. руковод. – канд. физ.-мат. наук, доцент К.И. МИХАЙЛЕНКО

Уфимский университет науки и технологий

МОДЕЛИРОВАНИЕ ДИНАМИКИ ФЛЮИДА ПО МОДЕЛИ БАЕРА-НУНЦИАТО В СРЕДЕ OPENFOAM

Аннотация: представлено численное моделирование взаимодействия ударной волны с пылевым слоем на основе модели Баера-Нунциато с применением пакета blastFOAM в среде OpenFOAM. Рассмотрены динамические процессы деформации и компактирования частиц, вызванные распространением ударной волны.

Ключевые слова: модель Баера-Нунциато; ударная волна; OpenFOAM.

Задачи, связанные с исследованием распространения ударных волн, часто возникают в различных областях науки и техники: при проектировании двигателей внутреннего сгорания, в военных технологиях, а также при моделировании опасных ситуаций, случающихся на производствах, таких как пылевой взрыв [1]. Пылевой взрыв – это опасное событие при работе с химически активными порошками (например, угольной, алюминиевой пылью, мукой). Он начинается с начального взрыва-инициатора (например, взрыв метана в шахте), который создает ударную волну. Эта волна разрыхляет пыль, взвешивает частицы в воздухе, вызывая их возгорание и усиление взрыва. Основными эффектами, возникающими при взаимодействии ударной волны с пылевым слоем, являются диспергирование частиц над пылевым слоем и деформация слоя [2].

Для математического моделирования ударно-волновых процессов с учетом эффектов диспергирования частиц и деформации слоя традиционно используются модели, основанные на лагранжевом описании среды. Однако, имеются определенные трудности при большом перемещении и сильной деформации среды, что привело к разработке методов на основе эйлерово-лагранжевой модели, реализованных в таких программных пакетах, как Alegra [3] и BLAST [4]. Тем не менее эти методы сложны для технической реализации в случаях, когда в модели присутствуют гранулированные среды. Поэтому для моделирования различных задач многофазных сред все чаще используются эйлеровы модели, такие как модель Баера-Нунциато [5].

Одним из программных пакетов для решения задач гидродинамики является программный пакет OpenFOAM с открытым исходным кодом [6], основанный на решении уравнения Навье-Стокса методом контрольного объема. Для моделирования высокоскоростных течений в пакете реализован

стандартный решатель rhoCentralFoam. Конвективные потоки рассчитываются по схеме Курганова-Гадмора, которая проявляет излишние диссипативные свойства при решении, но позволяет избежать решения задачи Римана на каждой итерации [7]. При расчете учитывается только одна компонента флюида, что ограничивает его использование в задачах моделирования взаимодействия газообразной и дисперсной фазы. Существует программный пакет blastFOAM [8], разработанный на основе пакета openFOAM, для решения уравнений Эйлера методом контрольного объема для многокомпонентных сжимаемых течений с учетом детонации.

В настоящей статье рассматривается использование пакета blastFOAM для моделирования взаимодействия ударной волны с засыпкой частиц по модели Баера-Нунциато. Анализируются результаты численного моделирования посредством сравнения термодинамических параметров решения с результатами, представленными в статье [2].

Математическая модель

Модель Баера-Нунциато для двух фаз без релаксационных слагаемых может быть записана как система уравнений, состоящая из уравнения компактирования

$$\frac{\partial \alpha_k}{\partial t} + \mathbf{U}_I \cdot \nabla \alpha_k = 0, \quad (1)$$

уравнения сохранения массы

$$\frac{\partial \alpha_k \rho_k}{\partial t} + \nabla \cdot (\alpha_k \rho_k \mathbf{u}_k) = 0, \quad (2)$$

уравнения сохранения импульса

$$\frac{\partial \alpha_k \rho_k \mathbf{u}_k}{\partial t} + \nabla \cdot (\alpha_k \rho_k \mathbf{u}_k \otimes \mathbf{u}_k) + \nabla (\alpha_k P_k) - P_I \nabla \alpha_k = 0, \quad (3)$$

уравнения сохранения энергии

$$\frac{\partial \alpha_k \rho_k E_k}{\partial t} + \nabla \cdot (\alpha_k (\rho_k E_k + P_k) \mathbf{u}_k) - P_I \mathbf{u}_I \nabla \alpha_k = 0 \quad (4)$$

для каждой фазы с индексом $k = 1, 2$ [9]. Здесь α_k , ρ_k , \mathbf{u}_k , P_k , E_k – объемная доля, плотность, скорость, статическое давление и полная энергия. В системе уравнений \mathbf{u}_I и P_I – скорость и давление на межфазных границах. Выражения для \mathbf{u}_I и P_I выбираются в зависимости от взаимодействующих фаз. Полная энергия фазы k равна $E_k = \mathbb{U}_k + \frac{\mathbf{u}_k^2}{2}$, где $\mathbb{U}_k = \mathbb{U}_k(P_k, \rho_k)$ – внутренняя энергия, определяемая уравнением состояния. В качестве уравнения состояния для каждой из фаз используется уравнение состояния жёсткого газа (stiffened-gas equation of state):

$$\mathbb{U}_k = \frac{P_k + \gamma P_0}{\rho(\gamma - 1)}. \quad (5)$$

Корреляции для расчета межфазного обмена импульсом приведены в статье [10].

Результаты вычислительных экспериментов

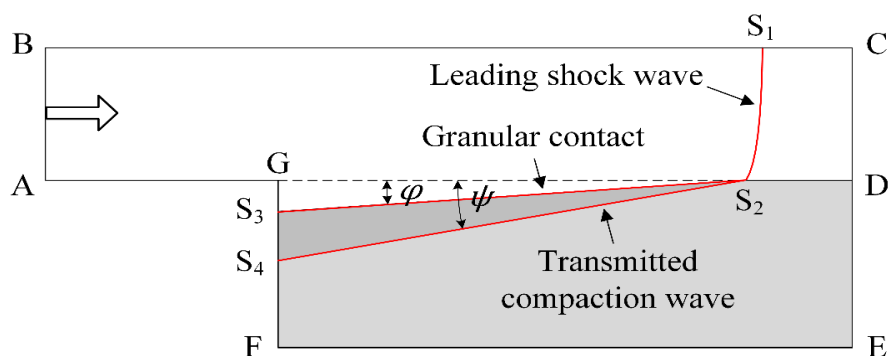


Рис. 1. Схематичное изображение волновой картины

Постановка задачи основана на эксперименте, описанном в [11]. На рис. 1 представлена схема расчетной области. Через грань AB в область входит ударная волна, проходящая сначала над твердым уступом AG, после чего взаимодействует с частицами в области GDEF. На всех остальных гранях используется граничное условие проскальзывания. В начальный момент времени внутри расчетной области в каждой точке скорости обеих фаз равны нулю, давления равны атмосферному.

На рис. 2, 3 представлены значения полей давления газа и объемной доли частиц в момент времени $2 \cdot 10^{-4}$ с. На рисунках видно, что по мере распространения ударной волны слой деформируется и образуется зона компактирования частиц. Также на рис. 2 можно наблюдать краевые эффекты от угла уступа AGF и отражение ударной волны от дна канала.

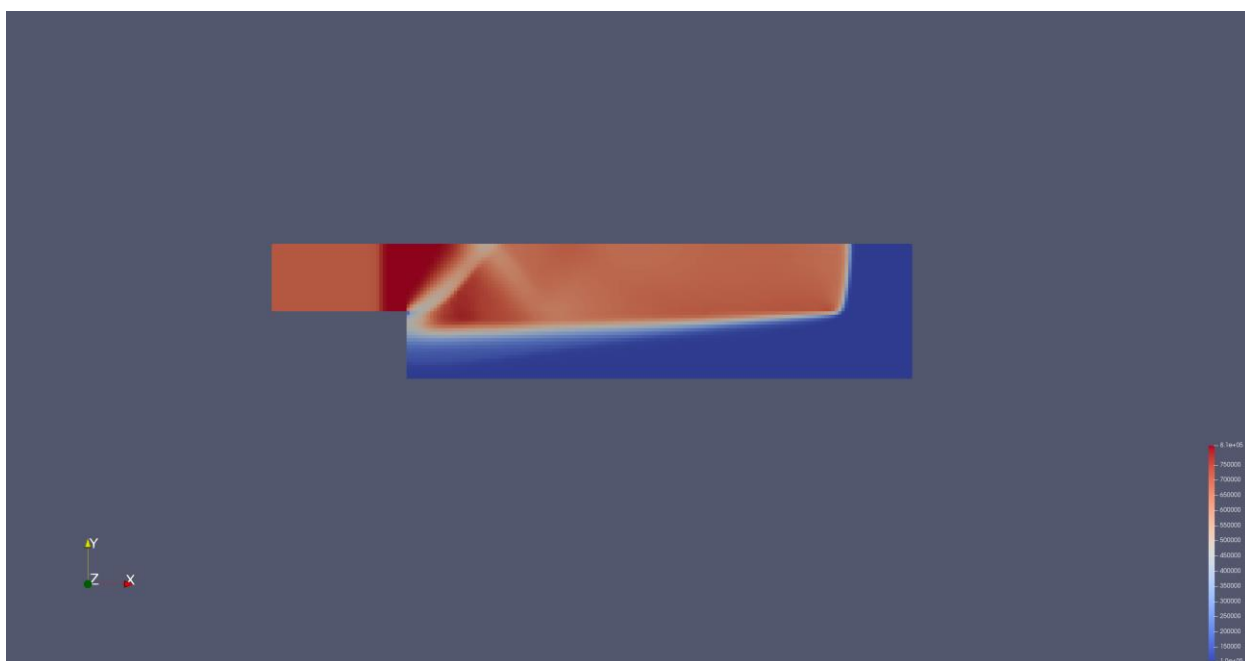


Рис. 2. Пространственное распределение давления

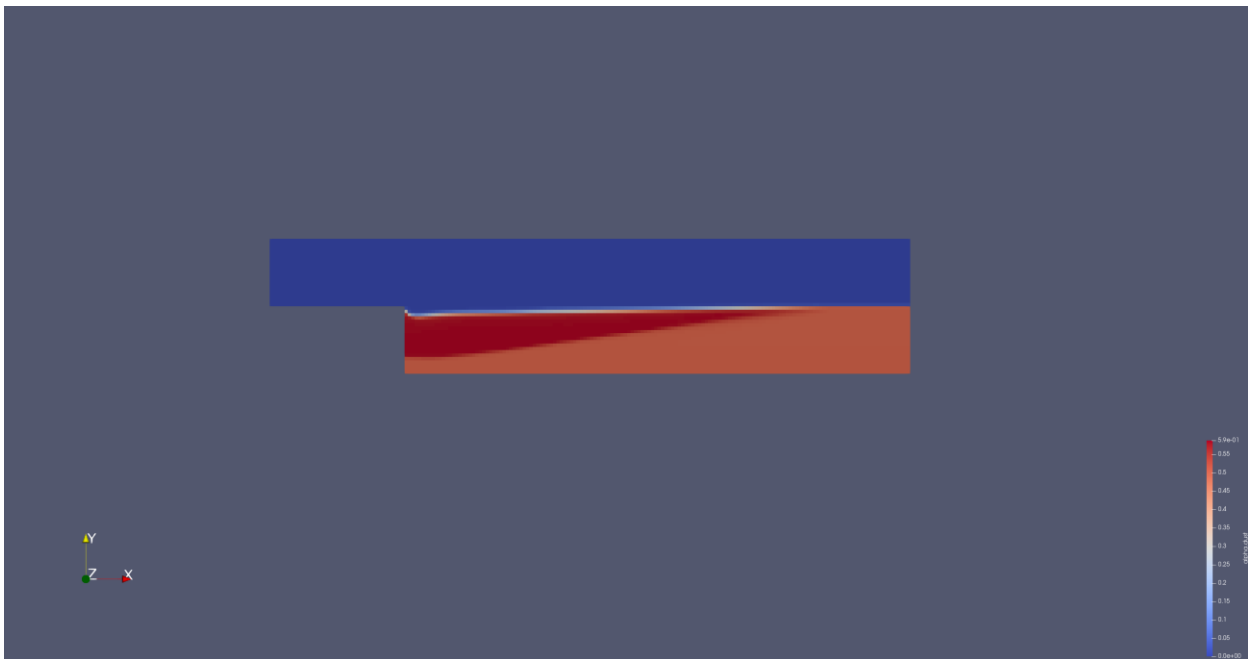


Рис. 3. Пространственное распределение объемной доли частиц

Рассмотрим зависимость углов ϕ и ψ (изображены на рис. 1) зоны компактирования дисперсной среды от скорости ударной волны. Для этого рассмотрим значения углов при начальных скоростях волны $u_1 = 700$ м/с и $u_2 = 1400$ м/с. При начальной скорости $u = u_1$ углы принимают значения $\phi = 1.17^\circ$ и $\psi = 7.36^\circ$. При увеличении скорости прохождения глубина слоя компактирования становится меньше: при начальной скорости $u = u_2$ углы $\phi = 1.21^\circ$, $\psi = 7.21^\circ$. Результаты, полученные в численном эксперименте, соответствуют результатам расчетов, представленным в [2] и результатам экспериментов, описанным в [10]. Это подтверждает корректность выбранного подхода и адекватность модели Баера-Нунциато для описания сложных процессов взаимодействия ударной волны с пылевым слоем.

Таким образом продемонстрирована возможность численного моделирования взаимодействия ударной волны со частицами дисперсной фазы по модели Баера-Нунциато в среде openFOAM. Показано экспериментально наблюдаемое явление формирования под поверхностью слоя частиц области, препятствующей распространению деформации вдоль слоя.

Вычислительные эксперименты подтвердили адекватность модели Баера-Нунциато для описания процессов взаимодействия ударной волны с пылевым слоем. Полученные результаты хорошо согласуются с экспериментальными данными и публикациями, что подтверждает корректность выбранного подхода.

Использование решателя blastFOAM в среде OpenFOAM показало перспективность для решения задач мультифазной гидродинамики с учетом сложных явлений диспергирования и деформации. В дальнейшем планируется расширение модели за счет учета релаксационных процессов и взаимодействий

на микроуровне, что улучшит точность и применимость к реальным промышленным ситуациям.

Библиографический список

1. Chuprov, P. A. Numerical Simulation of Combustion Wave Propagation in a Black Powder Charge Using a Two-Fluid Model / P. A. Chuprov // *Advances in Theory and Practice of Computational Mechanics*. – Springer Singapore, 2022. – С. 167–178.

2. Чупров, П. А. Численное исследование взаимодействия ударной волны с засыпкой частиц с использованием модели Баера–Нунциато / П. А. Чупров // *Многофазные системы*. – 2024. – Т. 19. – № 3. – С. 119–124.

3. ALEGRA Multiphysics – Sandia National Laboratories. – 2025. – URL: <https://www.sandia.gov/alegra/> (дата обращения: 26.10.2025). – Текст : электронный.

4. BLAST - Computing - LLNL. – 2025. – URL: <https://computation.llnl.gov/projects/blast> (дата обращения: 01.12.2019). – Текст : электронный.

5. Baer, M. R. A two-phase mixture theory for the deflagration-to-detonation transition (ddt) in reactive granular materials / M. R. Baer, J. W. Nunziato // *International Journal of Multiphase Flow*. – 1986. – Т. 12. – № 6. – С. 861–889.

6. The Open Source Computational Fluid Dynamics (CFD) Toolbox. – 2024. – URL: <http://www.openfoam.com/> (дата обращения: 09.12.2024). – Текст : электронный.

7. Chun, S. Analysis on capabilities of density-based solvers within OpenFOAM to distinguish aerothermal variables in diffusion boundary layer / S. Chun, S. Fengxian, X. Xinlin // *Chinese Journal of Aeronautics*. – 2013. – Т. 26. – № 6. – С. 1370–1379.

8. blastFoam: A Solver for Compressible Multi-Fluid Flow with Application to High-Explosive Detonation. blastFoam. – Synthetik Applied Technologies, LLC., 2019.

9. Алексеев, М. В. ЧИСЛЕННОЕ РЕШЕНИЕ УРАВНЕНИЙ БАЕРА-НУНЦИАТО РАЗРЫВНЫМ МЕТОДОМ ГАЛЕРКИНА / М. В. Алексеев, Е. Б. Савенков, Ф. Н. Воронин // *Препринты ИПМ им. М.В. Келдыша*. – 2020. – № 48. – С. 1–23.

10. Houim, R. W. A multiphase model for compressible granular–gaseous flows: formulation and initial tests / R. W. Houim, E. S. Oran // *Journal of Fluid Mechanics*. – 2016. – Т. 789. – A multiphase model for compressible granular–gaseous flows. – С. 166–220.

11. Fan, B. C. Interaction of a shock wave with a loose dusty bulk layer / B. C. Fan, Z. H. Chen, X. H. Jiang, H. Z. Li // *Shock Waves*. – 2006. – Т. 16. – № 3. – С. 179–187.

СЕКЦИЯ 5.10. МАТЕМАТИЧЕСКОЕ МОДЕЛИРОВАНИЕ И ВЫЧИСЛИТЕЛЬНАЯ МАТЕМАТИКА

УДК 534.113

А.Ф. ФАТХЕЛИСЛАМОВ¹, И.М. УТЯШЕВ²
Alfir93@mail.ru

1. Уфимский университет науки и технологий
2. Институт механики им. Р.Р. Мавлютова УФИЦ РАН

ВЛИЯНИЕ КОЭФФИЦИЕНТА УПРУГОСТИ ЗАКРЕПЛЕНИЯ НА СОБСТВЕННЫЕ ЧАСТОТЫ КОЛЕБАНИЙ СТЕРЖНЯ С ДЕФЕКТОМ

Аннотация: в работе представлена математическая модель стержня с продольной трещиной. Показана зависимость собственных частот колебаний от параметров закрепления одного из его концов.

Ключевые слова: продольная трещина, собственная частота, изгибные колебания, продольные колебания.

Задачам идентификации трещин посвящено большое число работ [1-4]. Поперечные раскрытые трещины, как правило, моделируют условиями сопряжения пружины [2].

Рассматривается однородный изотропный прямоугольный стержень длиной $L = 1$, плотностью ρ и площадью поперечного сечения F с продольной прямоугольной трещиной, проходящий не по всей длине стержня, а от некоторой точки x_c до правого конца (см. рис. 1). Стержень состоит из двух частей, участок без трещины обозначаем индексом m , а участок с трещиной с индексом p . Закрепление на левом конце жесткое. Рассматриваются следующие краевые условия на правом конце: свободное, упругое, жесткое.

Поперечное сечение стержня имеет высоту H и ширину B . Прямоугольная трещина имеет длину $l = L - x_c$, глубину h и ширину b .

Продольные колебания стержня с постоянным поперечным сечением описывается следующим уравнением [4, с. 146]:

$$EF \frac{d^2 U(x,t)}{dx^2} + \rho F \frac{d^2 U(x,t)}{dt^2} = 0, \quad (1)$$

где $U = U(x, t)$ – продольное смещение, E – модуль упругости, ρ – плотность стержня, F – площадь поперечного сечения стержня.

Изгибные колебания стержня постоянного сечения относительно оси Oy и Oz описывается уравнением [4, с.152]:

$$EJ_y \frac{d^4 Y(x,t)}{dx^4} + \rho F \frac{d^2 Y(x,t)}{dt^2} = 0, \quad (2)$$

$$EJ_z \frac{d^4 Z(x,t)}{dx^4} + \rho F \frac{d^2 Z(x,t)}{dt^2} = 0, \quad (3)$$

где $Y(x,t)$, $Z(x,t)$ – поперечное смещение относительно оси Oy и Oz соответственно J_y, J_z – моменты инерции поперечного сечения.

Уравнение для нахождения собственных значений (собственных частот) продольных колебаний:

$$\begin{aligned} D = & (-\lambda \sin \lambda + k \cos \lambda) \left(\frac{-\sin \lambda x_c}{\lambda} \right) \cos \lambda x_c + \lambda \sin \lambda x_c P \frac{\sin \lambda x_c}{\lambda} \times \\ & \times \left(\cos \lambda + \frac{k \sin \lambda}{\lambda} \right) - \left(\cos \lambda + \frac{k \sin \lambda}{\lambda} \right) (-\cos \lambda x_c) \cos \lambda x_c + P \cos \lambda x_c \times \\ & \times (-\lambda \sin \lambda + k \cos \lambda) \frac{\sin \lambda x_c}{\lambda} + \cos^2 \lambda x_c \left(\cos \lambda + \frac{k \sin \lambda}{\lambda} \right) = 0. \end{aligned} \quad (4)$$

Частотное уравнение изгибных колебаний из-за большого объема формула приведена не полностью:

$$\begin{aligned} \Delta(\beta) = & -\frac{1}{16s^3 d_{y1}^4 d_{y2}^3} \times e^{d_{y1}\beta x_c} \cos(d_{y1}\beta x_c) e^{-d_{y2}\beta x_c} \times \\ & \times \left(\frac{\sin(d_{y2}\beta x_c) e^{d_2\beta} \cos(d_{y2}\beta) J_{yp} d_{y1}^3 d_{y2}^4 \beta^3}{J_{ym}} \right) - \dots \\ & - \frac{\sin(d_{y1}\beta x_c)^2 e^{d_{y2}\beta x_c} \sin(d_{y2}\beta x_c) e^{-d_2\beta} \cos(d_{y2}\beta) J_{yp}^2 d_{y2}^4 k}{J_{ym}^2} + \\ & + \frac{\sin(d_{y1}\beta x_c)^2 e^{d_{y2}\beta x_c} \sin(d_{y2}\beta x_c) e^{-d_2\beta} \sin(d_{y2}\beta) J_{yp}^2 d_{y2}^4 k}{J_{ym}^2} = 0 \end{aligned} \quad (5)$$

Частотное уравнение относительно горизонтальной оси Oz получается аналогично, разница заключается только в моментах инерции, где

$$J_{zp} = \frac{B^2 H^4 - 4h(H^2 - 1.5Hh + h^2)HhB + b^2 h^4}{12(HB - hb)}, \quad J_{zm} = \frac{BH^3}{12}. \quad (6)$$

Пример решения.

Получим собственные значения колебаний для стержня со следующими параметрами: $H = B = 0.1$, $h = 0.01$, $b = 0.02$, $L = 1$, $x_c = 0.5$. Жёсткостью пружины на правом конце может принимать различные значения (Рис. 1). Примером такого закрепления может служить деталь подвески автомобиля – сайлентблок, который предназначен для уменьшения вибраций на кузовах.

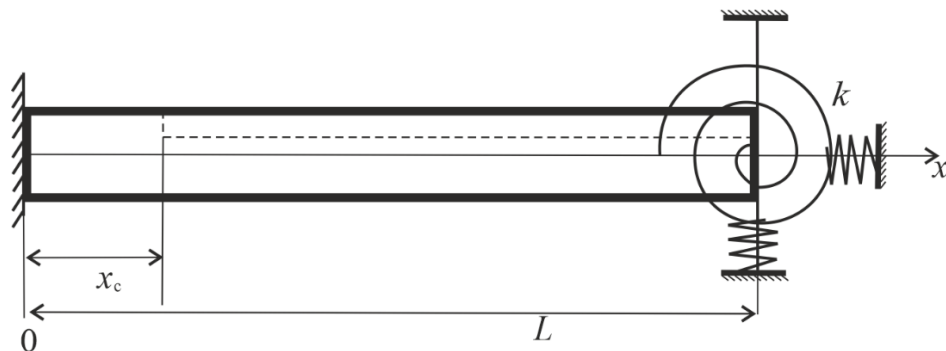


Рис. 1. Изображение стержня с краевыми условиями

При заданных параметрах моменты инерции относительно осей Oy и Oz равны:

$$J_{yp} = 8.32666 \times 10^{(-6)}, \quad J_{ym} = 8.33333 \times 10^{(-6)},$$

$$J_{zp} = 7.91840 \times 10^{(-6)}, \quad J_{zm} = 8.33333 \times 10^{(-6)} \frac{1}{2}.$$

Отношение площади сечения к моменту инерции:

$$d_{y1} = 5.88566, \quad d_{y2} = 5.85718, \quad d_{z1} = 5.88566, \quad d_{z2} = 5.93126.$$

Подставим эти значения в соответствующие частотные уравнения (4) и (5).

Затем с помощью разработанного программного кода в математическом пакете Maple численно ищем собственные значения продольных и изгибных колебаний.

Рассмотрим зависимости первых трех собственных значений колебаний от коэффициента k (Табл. 1–2).

Таблица 1

Решения прямой задачи с разными k для $h = 0.001$, $b = 0.02$, $c = 0.5$

| с. з | Жесткое- свободное | $k=10^{-7}$ | $k=10^{-6}$ | $k=10^{-5}$ | $k=10^{-4}$ | $k=0.001$ |
|-------------|-----------------------|-------------|-------------|-------------|-------------|-----------|
| λ_1 | 1.57179 | 1.57179 | 1.57179 | 1.57179 | 1.57186 | 1.57243 |
| λ_2 | 4.71138 | 4.71138 | 4.71138 | 4.71139 | 4.71140 | 4.71160 |
| λ_3 | 7.85498 | 7.85498 | 7.85498 | 7.85498 | 7.85499 | 7.85510 |
| β_1 | 0.31873 | 0.31901 | 0.32126 | 0.33048 | 0.89470 | 0.87961 |
| β_2 | 0.79776 | 0.79819 | 0.80193 | 0.83028 | 1.42271 | 1.44635 |
| β_3 | 1.33487 | 1.33508 | 1.33733 | 1.35648 | 1.94791 | 1.98749 |
| γ_1 | 0.31871 | 0.31899 | 0.32124 | 0.33044 | 0.89424 | 0.87893 |
| γ_2 | 0.79724 | 0.79768 | 0.80144 | 0.82988 | 1.42175 | 1.44520 |
| γ_3 | 1.33388 | 1.33472 | 1.33700 | 1.35638 | 1.94671 | 1.98613 |

Таблица 2

Решения прямой задачи с разными k для $h=0.001$, $b=0.02$, $c=0.5$

| С.з. | $k=0.01$ | $k=0.1$ | $k=1$ | $k=10$ | $k=100$ | Жесткое- жесткое |
|-------------|----------|---------|---------|---------|---------|---------------------|
| λ_1 | 1.57813 | 1.63295 | 2.02950 | 2.86302 | 3.11052 | 3.14159 |
| λ_2 | 4.71350 | 4.73251 | 4.91223 | 5.76009 | 6.22099 | 6.28318 |
| λ_3 | 7.85625 | 7.86769 | 7.97964 | 8.70893 | 9.33182 | 9.42477 |
| β_1 | 0.81705 | 0.80522 | 0.80398 | 0.80386 | 0.80384 | 0.80384 |
| β_2 | 1.38620 | 1.34119 | 1.33528 | 1.33468 | 1.33462 | 1.33461 |
| β_3 | 1.99041 | 1.88210 | 1.86732 | 1.86571 | 1.86555 | 1.86553 |
| γ_1 | 0.81642 | 0.80463 | 0.80339 | 0.80327 | 0.80326 | 0.80326 |
| γ_2 | 1.38551 | 1.34019 | 1.33431 | 1.33371 | 1.33365 | 1.33364 |
| γ_3 | 2.27981 | 1.88265 | 1.86775 | 1.86613 | 1.86597 | 1.86595 |

Из таблиц 1-2 видим, что у собственных значений изгибных колебаний происходит скачок значений при увеличении k с 0.00001 на 0.0001. В работе Нусратуллина Л.Р., Павлова В.П. [5] также наблюдается скачек собственных значений при изменении жесткости закрепления правого конца, где рассматриваются колебания стержня переменной толщины, коэффициента упругости.

У продольных колебаний резких переходов и скачков не наблюдается. Частоты ведут себя закономерно, а именно происходит увеличение частоты с увеличением коэффициента k . Из этого можно сделать вывод, что изгибные колебания более чувствительны к условиям закрепления. По значениям в таблицах 1-2 можем заметить, что при значениях $k = 10^{-7}$ собственные значения принимают близкие значения как при свободном типе закрепления, поэтому можно сделать вывод при меньших значениях k , условия закрепления можно считать свободными. При больших значениях k , как например при $k = 200$ и больше, можно считать закрепление жестким.

Сделав анализ собственных значений из таблиц 1-2 можно сделать вывод, что при увеличении k от 10^{-3} и происходит заметное возрастание значений, следовательно, происходит переход от свободных условий закрепления к упругим и при увеличении k от 100, видим, что условия закрепления переходят к жесткому типу закрепления.

Результаты численных экспериментов показали, что границы применимости безразмерных коэффициентов жесткостей пружины для упругих краевых условий находятся в диапазоне от 10^{-5} до 10^{-1} для продольных колебаний, и в пределах от 10^{-3} до 10^2 для изгибных. Анализ влияния параметров трещины на собственные значения показал, что с увеличением геометрических размеров трещины собственные значения могут как, расти, так и падать.

Библиографический список

1. Ахтямов А. М., Ильгамов М. А. Модель изгиба балки с надрезом: прямая и обратная задачи // Прикладная механика и техническая физика. 2013. Т. 54. № 1. С. 152-162.
2. Narkis Y. Identification of crack location in vibrating simply-supported beams // Journal of sound and vibrations. 1994. V. 172. P. 549–558.
3. Утяшев, И. М., Фатхелисламов А. Ф. Идентификация продольного надреза стержня по собственным частотам колебаний // Russian Technological Journal. 2023. – Т. 11, № 2. – С. 92-99.
4. Болотин В. В. Вибрации в технике. Справочник. М.: Машиностроение. 1978. 352 с.

5. Нусратуллина Л. Р., Павлов В. П. Поперечные колебания стержня с переменным сечением и вычисление его собственных частот и форм // Информационные технологии. Проблемы и решения. – 2019. – № 3(8). – С. 37-42.

СЕКЦИЯ 5.11. КОМПЬЮТЕРНЫЕ СИМУЛЯТОРЫ И ИГРЫ

УДК 004.945

А.И. БАШЛЫКОВА

a070721@yandex.ru

Науч. руковод. –канд. физ.-мат. наук, доцент Л.И. Шехтман

Уфимский университет науки и технологий

ОБЗОР ВОЗМОЖНОСТЕЙ UNREAL ENGINE ДЛЯ СОЗДАНИЯ ХОРРОР-ИГРЫ

Аннотация: в данной статье проводится комплексный анализ возможностей игрового движка Unreal Engine (UE) применительно к разработке хоррор-игр. Рассматриваются ключевые технологические аспекты, включая систему освещения, звуковой дизайн, искусственный интеллект и инструменты визуального программирования. Приводятся конкретные примеры реализации хоррор-механик в популярных играх.

Ключевые слова: Unreal Engine, хоррор-игры, Lumen, Niagara, MetaSounds.

Введение

Популярность видеоигр среди широких кругов населения всего мира постоянно растет. Все больше молодых людей проявляют интерес к разработке игр, что связано не только со стремлением к самовыражению, но и возможностью изучения средств компьютерного моделирования и программирования в увлекательной форме. Однако даже начинающим разработчикам игр хочется добиться успеха и востребованности среди пользователей. Большую помощь в разработке игр оказывают программные средства 3D моделирования и готовые игровые движки. Для того чтобы сделать обоснованный выбор средства разработки нужно изучать аналитические обзоры, подготовленные другими разработчиками (например, [1], [2]) и/или провести собственное исследование.

Unreal Engine – один из ведущих игровых движков, разрабатываемый Epic Games. Его универсальность позволяет использовать UE не только в геймдеве, но и в киноиндустрии, архитектурной визуализации и создании метавселенных. Особую популярность движок заслужил среди разработчиков хоррор-игр благодаря продвинутым инструментам для создания атмосферы и immersive-эффектов.

Современный рынок игр демонстрирует устойчивый рост интереса к жанру хоррор: по данным Newzoo 2023 года, доля хоррор-игр в общем объеме продаж увеличилась на 17% по сравнению с 2022 годом. В таких условиях особенно важен выбор оптимального инструментария для разработки. Unreal Engine,

который используют более 48% AAA-проектов, он предоставляет уникальные возможности для создания психологического напряжения и страха.

Цель исследования – систематизировать возможности Unreal Engine для разработки хоррор-игр, уделяя особое внимание практической реализации ключевых механик жанра.

Задачи исследования:

Анализ графических технологий UE для создания атмосферы ужаса.

Исследование инструментов звукового дизайна.

Разбор систем искусственного интеллекта (ИИ) для NPC.

Технологические аспекты разработки хоррор-игр в UE

1. Графические технологии

Lumen: динамическое освещение для атмосферы ужаса Система глобального освещения Lumen UE5 кардинально меняет подход к созданию мрачной атмосферы в хоррор-играх. Её ключевые преимущества:

- 1) реалистичное поведение света в условиях полутьмы;
- 2) естественное затухание и рассеивание лучей;
- 3) динамическое взаимодействие с дымом, пылью и другими частицами.

На рисунке 1 представлено сравнение традиционного и Lumen-освещения в хоррор-сцене.



Рис. 1. Сравнение традиционного и Lumen-освещения

Nanite: гипердетализация для усиления реализма.

Технология виртуального геометрического рендеринга Nanite позволяет:

- 1) использовать киношные 3D-ассеты без потери производительности (до 1 млрд полигонов на сцену);
- 2) достигать микроскопической детализации:
 - трещины и следы разрушения на поверхностях;

- высокодетализированные кровавые брызги и повреждения;
- читаемые текстуры на мелких объектах (письма, газеты);
- автоматически генерировать уровни детализации (LOD) без визуальных артефактов.

На рисунке 2 представлено сравнение детализации: слева – обычная модель (200К полигонов), справа – Nanite (8М полигонов).

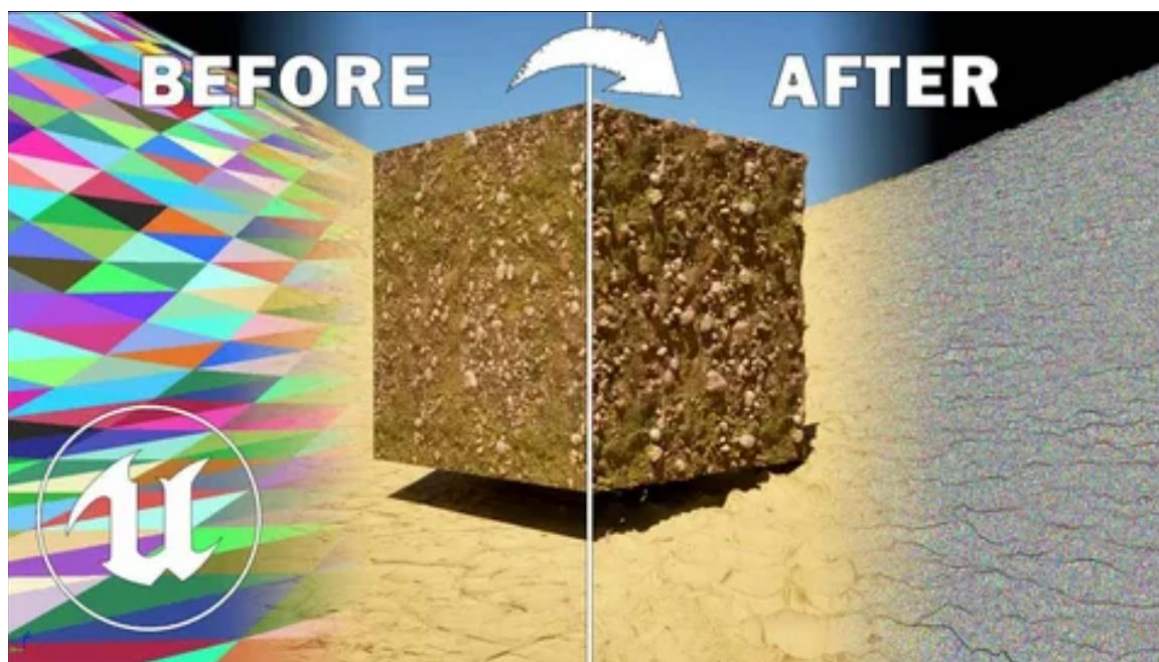


Рис. 82. Сравнение детализации

Применение в хоррор-играх:

- 1) реалистичные следы насилия и борьбы;
- 2) детализированные трупы с анатомически точными повреждениями;
- 3) динамически разрушаемое окружение (например, стены с видимыми внутренними слоями).

2. Звуковой дизайн

Metasound – это технология разработки звука нового поколения от Epic Games, представленная в Unreal Engine 5. Благодаря этой технологии можно создавать интерактивные звуковые эффекты прямо внутри игрового движка без написания программного кода вручную. Metasound представляет собой визуальное средство программирования аудиосистем. Обеспечивает полностью программируемый синтез звука, который кардинально меняет подход к созданию аудио-атмосферы в хоррорах.

В таблице 1 представлено сравнение традиционного подхода и MetaSounds.

Сравнение традиционного подхода и MetaSounds

| Традиционный звук | MetaSounds |
|--------------------------|--|
| Статичные WAV-файлы | Процедурная генерация в реальном времени |
| Фиксированные параметры | Динамическая адаптация к геймплею |
| Линейное воспроизведение | Интерактивный микс с ветвлением |

Ключевые применения в хоррор-играх:

1) Адаптивный саундтрек страха:

- автоматическое усиление диссонансов при приближении угрозы;
- генерация уникальных скримеров через FM-синтез;
- динамическое наложение звуковых слоёв по мере развития паники.

2) Пространственный 3D-аудиоэффекты:

- точное позиционирование шёпота (HRTF-фильтры);
- «Дыхание за спиной» с доплеровским эффектом;
- реалистичное затухание звуков через препятствия.

3) Интерактивное окружение:

- процедурные звуки разрушения объектов;
- динамическое эхо в помещениях разного размера;
- акустическая адаптация к изменениям среды.

На рисунке 3 представлен пример графа MetaSounds для динамической системы страха.

3. Искусственный интеллект в хоррор-играх

MassAI: продвинутая система поведения NPC

UE5 предлагает мощный инструментарий MassAI для создания убедительного ИИ в хоррор-проектах:

1) Ключевые возможности:

- контекстно-зависимые реакции;
- чувствительность к свету и звукам игрока;
- адаптация к стилю игры (агрессивный/скрытный).

2) Групповое поведение:

- координация действий между NPC;
- иерархия и роли в группах монстров.

3) Динамическое преследование:

- прогнозирование маршрутов игрока;
- тактическое перекрытие путей отхода.

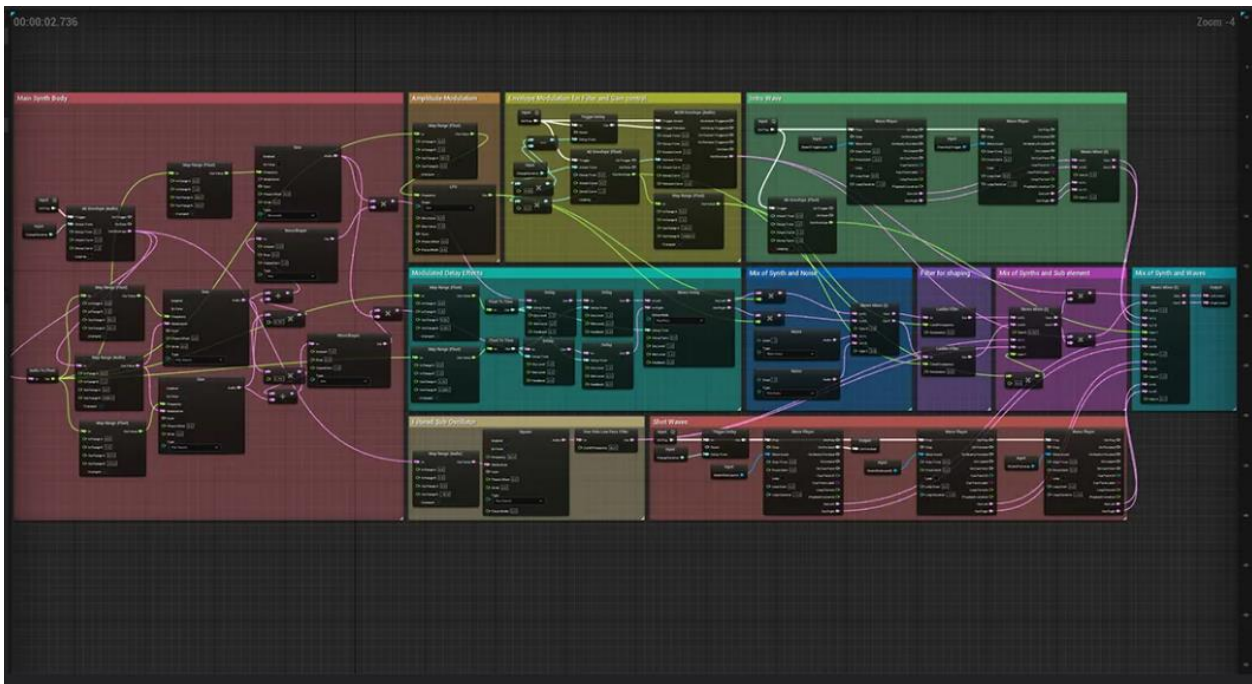


Рис. 3. Пример графа MetaSounds

Заключение

Проведенное исследование подтвердило, что Unreal Engine 5 представляет собой наиболее полное решение для разработки хоррор-игр. Ключевые преимущества:

- 1) передовые графические технологии (Lumen, Nanite);
- 2) гибкая система звукового дизайна;
- 3) мощные инструменты программирования.

Перспективы дальнейших исследований включают адаптацию разработанных решений для VR-платформ и исследование нейросетевых подходов к генерации страха.

Библиографический список

1. Шехтман Л. И., Демидова В. В., Кузнецова А. А. Сравнительный анализ 3D-пакетов по инструментам моделирования. В сборнике: Мавлютовские чтения. Материалы XVIII Всероссийской молодежной научной конференции. Уфа, 2024. Т5, С. 919–924.
2. Шехтман Л. И., Кузнецова А. А., Демидова В. В. Сравнительный анализ 3D-пакетов по обработке моделей. В сборнике: Мавлютовские чтения. Материалы XVIII Всероссийской молодежной научной конференции. Уфа, 2024. Т5, С. 934–939.

© Башлыкова А.И., 2025

УДК 001.891.57:519.711

Р.Р. ГИЛЯЗИЕВ., М.А. ДЬЯКОНОВ

asilivanav@gmail.com, t_tr1ss@mail.ru

Науч. руковод. – ассистент Д.Е. ВАГАНОВА

Уфимский университет науки и технологий

СОЗДАНИЕ ЭКОНОМИЧЕСКОЙ ИГРЫ НА ОСНОВЕ НЕЧЁТКОЙ ЛОГИКИ

Аннотация: рассматривается разработка игры для отработки в управлении финансами на основе библиотеки PyGame с использованием нечёткой логики при помощи библиотеки Scikit-fuzzy

Ключевые слова: PyGame, Scikit-fuzzy, нечёткая логика, нечёткие множества, нечёткое управление, лингвистические переменные, модели, геймификация, экономика, фаззификация, дефаззификация, ИИ, алгоритмы, Cinema 4D, UML, архитектурно-центричное программирование (Software Architecture).

Введение

В современном мире геймификация стала мощным инструментом мотивации и обучения в различных сферах - от бизнеса до образования. Такие платформы, как Duolingo и Kahoot! Успешно используют игровые механики для повышения вовлеченности и эффективности обучения. Особую актуальность этот подход приобретает в области экономического образования, где компьютерные игры позволяют моделировать сложные процессы принятия управленческих решений.

В данной работе предлагается архитектурно-центричный подход к разработке экономической игры, интегрирующей библиотеки PyGame и Scikit-fuzzy. PyGame обеспечивает создание кроссплатформенного 2D-интерфейса и базовой игровой логики, в то время как Scikit-fuzzy позволяет реализовать систему нечёткой логики для адаптивного управления игровыми процессами. Такой подход гарантирует масштабируемость, надежность и удобство поддержки программного продукта.

Использование нечёткой логики обеспечивает интеллектуальное поведение игровой среды, позволяя реализовать динамическую балансировку сложности и вариативное принятие решений в условиях неопределенности. Это создает эффективную среду для отработки практических навыков стратегического планирования и управления ресурсами, что подтверждает практическую ценность предложенного решения для образовательных целей.

Постановка задачи

Опираясь на актуальную проблему необходимости создания эффективных инструментов для развития навыков в области экономики и управления, а также на потребность в интеллектуальных и адаптивных игровых системах, поставим следующую задачу:

Разработать прототип экономической компьютерной игры с адаптивным поведением игрока на основе нечёткой логики, обеспечивающий динамическую балансировку игрового процесса для отработки пользователем управленческих решений.

Для достижения этой цели необходимо решить следующие частные задачи:

1. Проанализировать предметную область и формализовать требования к экономической модели игры, определяющие ключевые параметры для системы нечёткого логического вывода.
2. Спроектировать архитектуру игровой системы в соответствии с принципами архитектурно-центричного программирования, обеспечив четкое разделение на модули (игровой движок, экономическая модель, модуль нечёткой логики, пользовательский интерфейс) и определив интерфейсы между ними.
3. Разработать и реализовать модель нечёткой логической системы с использованием библиотеки Scikit-fuzzy, включающую:
 - Определение функций принадлежности для входных (например, экономические показатели игрока) и выходных переменных (например, уровень риска, инвестиционная активность).
 - Формирование базы нечётких правил, описывающих тактику поведения NPC в ответ на действия игрока.
 - Выбор и реализацию методов фаззификации и дефаззификации.
4. Реализовать базовый игровой процесс и экономическую модель с использованием библиотеки PyGame, обеспечив взаимодействие игрока с системой.
5. Интегрировать модуль нечёткой логики с игровым движком, обеспечив его влияние на принятие решений и, как следствие, на динамическую сложность и вариативность игрового процесса.
6. Провести тестирование прототипа на предмет корректности работы нечёткой системы, отсутствия критических ошибок и достижения целевого показателя — адаптивности игрового опыта

Основные принципы архитектурно-центрического программирования

Архитектурно-центричное программирование — это подход, при котором проектирование архитектуры системы является первоосновой всего процесса разработки. На ранних этапах определяются ключевые компоненты, модули и связи между ними, что создает каркас для последующей реализации и обеспечивает управляемость проекта. Подход подразумевает строгое документирование решений (например, с помощью ADR и диаграмм C4) и использование проверенных шаблонов, таких как микросервисы или событийно-ориентированная архитектура.

Выбор данного подхода для разработки игровой системы обусловлен ее структурной сложностью и итеративным характером разработки. Система интегрирует разнородные компоненты (игровой движок PyGame, экономическую модель, модуль нечёткой логики Scikit-fuzzy и UI), требующие четкого разделения ответственности для независимой модификации и тестирования. Заложение на архитектурном уровне критически важных нефункциональных требований — производительности, расширяемости и отказоустойчивости — минимизирует риски при будущем масштабировании. Кроме того, данный подход обеспечивает гибкость, необходимую для поэтапного усложнения игровых механик без нарушения целостности проекта.

Архитектура экономической игры с использованием pygame и адаптивной системы на основе нечёткой логики

В работе успешно реализован подход к созданию игрового ИИ на основе нечёткой логики с использованием PyGame и Scikit-fuzzy. Решена актуальная задача разработки эффективных инструментов для формирования управленческих навыков: создана экономическая игра с ключевыми механизмами адаптации на основе нечёткой логики.

Применённый метод подтвердил эффективность нечётких систем для создания гибких моделей поведения, имитирующих естественное принятие решений в условиях неопределённости. Интеграция PyGame обеспечила интерактивный интерфейс, а Scikit-fuzzy позволил реализовать механизмы нечёткого вывода для динамической балансировки сложности.

Разработанный прототип демонстрирует практическую ценность архитектурно-центричного подхода и технологий нечёткой логики для задач имитационного моделирования. Предложенное решение может быть масштабировано для проектов, требующих реалистичного моделирования поведения агентов - от стратегий с адаптивным ИИ до симуляторов.

UML диаграмма архитектуры игры будет выглядеть так: (Рис.1)

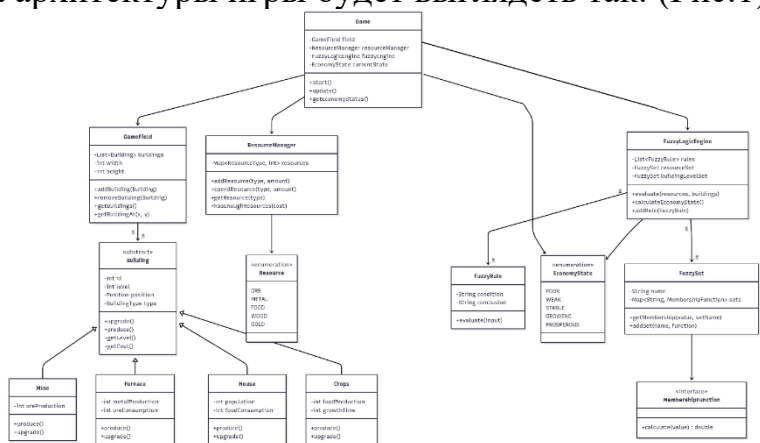


Рис. 1. Схема архитектуры игры

Реализация разработанной системы

Для создания игры нужно сделать игровое меню, в котором можно будет выбрать различные опции, такие как «Начать новую игру», «Продолжить» (с места сохранения) или «Выход».

Далее создаётся игровая локация, на которой будет вся игра. Для создания игровой локации была использована программа Cinema4D. Всего для создания всевозможных вариантов расположения строений на локации нужно создать и отрендерить т.е. обработать 32 различные сцены (рис. 2).



Рис. 2. Создание игровой локации в Cinema4D

После этого получается набор готовых сцен, которые будут отрисовываться при выборе игроком постройки того или иного объекта. (рис.4).



Рис. 3. Примеры отрисованных сцен для игры

Теперь остаётся прописать всю логику игры на языке Python, используя библиотеки PyGame и Scikit-fuzzy, внедряя элемент нечёткой логики, который будет определять уровень экономики (стабильная или плохая) в зависимости от нашего количества ресурсов и построенных объектов (рис. 5).

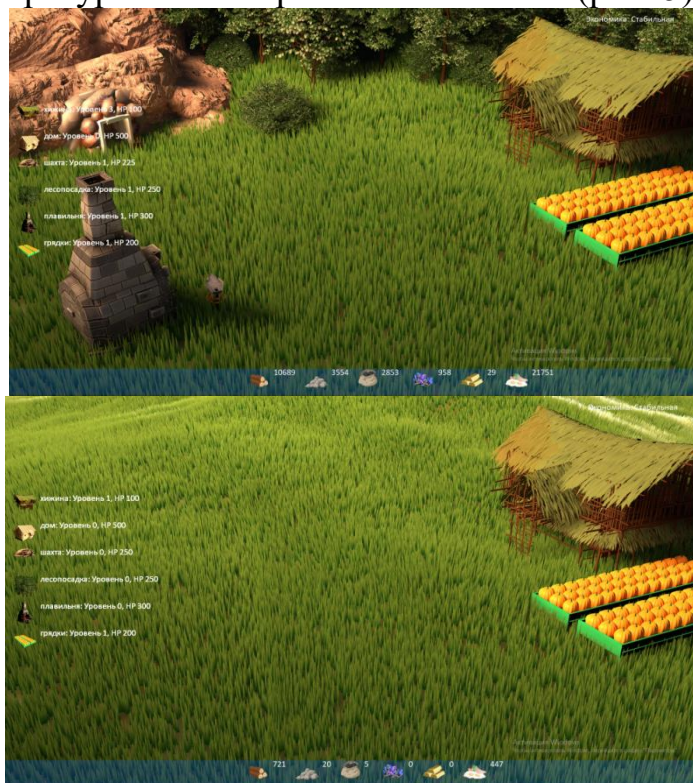


Рис. 4. Демонстрация игрового процесса

Здесь мы видим модуль визуализации нечёткого вывода в экономическом симуляторе.

На представленной схеме демонстрируется работа системы нечёткого логического вывода, используемой для оценки состояния виртуальной экономики. Входными лингвистическими переменными являются качественные показатели «Стабильная экономика», «Хорошая экономика» и «Плохая экономика», значения которых заданы функциями принадлежности. Механизм вывода на основе базы продукционных правил (например: «ЕСЛИ показатель «Стабильная экономика» = высокий И «Плохая экономика» = низкий, ТО...») формирует итоговую комплексную оценку. Данная визуализация иллюстрирует процесс агрегации нечётких множеств и последующей дефаззификации для получения четкого результирующего значения, определяющего игровое состояние.

Выводы

В работе успешно реализован подход к созданию игрового ИИ на основе нечёткой логики с использованием PyGame и Scikit-fuzzy. Решена актуальная задача разработки эффективных инструментов для формирования

управленческих навыков: создана экономическая игра с ключевыми механизмами адаптации на основе нечёткой логики.

Применённый метод подтвердил эффективность нечётких систем для создания гибких моделей поведения, имитирующих естественное принятие решений в условиях неопределённости. Интеграция PyGame обеспечила интерактивный интерфейс, а Scikit-fuzzy позволил реализовать механизмы нечёткого вывода для динамической балансировки сложности.

Разработанный прототип демонстрирует практическую ценность архитектурно-центричного подхода и технологий нечёткой логики для задач имитационного моделирования. Предложенное решение может быть масштабировано для проектов, требующих реалистичного моделирования поведения агентов - от стратегий с адаптивным ИИ до обучающих симуляторов. Использование открытых библиотек упрощает модификацию логики без изменения базового кода, открывая перспективы разработки интеллектуальных игровых систем.

Библиографический список

1. Касьянов А.М., Сафин Э.М., Нечёткая логика, Текст: электронный // URL: <https://elibrary.ru/item.asp?id=48063999> (дата обращения: 10.11.2025).

2. Головина Ю.С., Нечёткая логика, сущность и перспективы применения, Текст: электронный // URL: <https://elibrary.ru/item.asp?id=43882155>(дата обращения: 10.11.2025).

3. Шелева К.И., Геймификация как инновационный метод управления в сфере развития персонала современной компании, Текст: электронный // URL: <https://elibrary.ru/item.asp?Id=41267128> (дата обращения: 10.11.2025).

4. Гилязова О.С., Замощанская А.Н., Игры и геймификация в образовании: проблема их соотношения в феноменологическом ракурсе, Текст: электронный // URL: <https://elibrary.ru/item.asp?id=49002833> (дата обращения: 10.11.2025).

5. Филатов С.А., Мушкамбарян Д.Т., Разработка игры на Python: создание обучающей среды через процесс разработки, Текст: электронный // URL: <https://elibrary.ru/item.asp?id=75145867> (дата обращения: 10.11.2025).

6. Диденко А.Б., Куций Д.Н., Основные этапы разработки компьютерной игры, Текст: электронный // URL: <https://elibrary.ru/item.asp?id=50073890> (дата обращения: 10.11.2025).

© Гилязиев Р.Р., Дьяконов М.А., 2025

УДК 004.42

А.В. ЕРМАЧЕНКО

alyona.ermac@mail.ru

Науч. руковод. – канд. физ.-мат. наук, доц. Л.И. ШЕХТМАН

Уфимский университет науки и технологий

КОНЦЕПЦИЯ КОМПЬЮТЕРНОЙ ИГРЫ ДЛЯ ОБУЧЕНИЯ ОСНОВАМ ПРОГРАММИРОВАНИЯ НА C#

Аннотация: в статье рассматривается разработка концепции обучающей компьютерной игры «Авангард логики» для изучения основ языка программирования C#, созданной в среде разработки Microsoft Visual Studio с использованием графического фреймворка Windows Forms. Проект сочетает приключенческий фэнтези-сеттинг и поэтапное обучение программированию, направленный на повышение мотивации и эффективности усвоения материала.

Ключевые слова: компьютерные игры; обучение; программирование; C#; геймификация; визуальная среда разработки; Windows Forms.

Введение

В современном цифровом мире программирование стало одним из ключевых навыков, востребованных в самых разных отраслях. Однако процесс изучения языков программирования зачастую сопряжен с трудностями, связанными с абстрактностью понятий и необходимостью решения большого количества рутинных задач. Традиционные методы обучения не всегда способны поддерживать высокий уровень мотивации учащихся.

Обучающие компьютерные игры позволяют создать иммерсивную среду, где сложные концепции усваиваются через практику, решение проблем и вовлекающий сюжет. В отличие от пассивного восприятия информации, интерактивное обучение в игровой форме способствует более глубокому пониманию материала и развитию логического мышления [1]. Другим применением компьютерных игр в образовательном процессе является выполнение самими студентами игровых разработок (например, [2]).

Целью данной работы является разработка концепции обучающей компьютерной игры «Авангард логики», предназначенной для изучения основ языка программирования C#. Данный язык был выбран в связи с его широким распространением в разработке desktop-приложений, игр и веб-сервисов, а также благодаря строгой типизации, что является преимуществом для начинающих.

Концепция игры

Концепция игры «Авангард логики» представляет собой синтез приключенческого фэнтези-сеттинга и поэтапного обучения

программированию (рис. 1). Действие разворачивается в мире технологичного фэнтези, где магия сосуществует с программированием. Главный герой – авантюрист-программист Крис – обращается к игроку за помощью в спасении мира (рис. 2). Для этого игроку необходимо освоить основы языка C# и применить полученные знания на практике.



Рис. 1. Заставка игры «Авангард логики»



Рис. 2. Знакомство с главным героем

Игровой процесс строится на трех взаимосвязанных механизмах: нарративной петле, реализованной через диалоговую систему с ветвлением; обучающей петле, сочетающей теоретическое объяснение концепций C# с практическими

заданиями; оценочной петле, включающей систему тестирования и ранжирования от F до S. Особенностью игры является адаптивная система обучения, определяющая начальный уровень подготовки игрока и предлагающая соответствующую траекторию изучения материала.

Ключевым элементом обучения выступает встроенный учебный проект «Котята в прятках!» – игра на поиск предметов, которая служит практическим полигоном для применения полученных знаний (рис. 3). Игрок сначала знакомится с готовой версией игры, а затем изучает ее код и создает собственную реализацию, осваивая такие концепции C#, как обработка событий, работа с таймерами, коллекциями и основы объектно-ориентированного программирования.

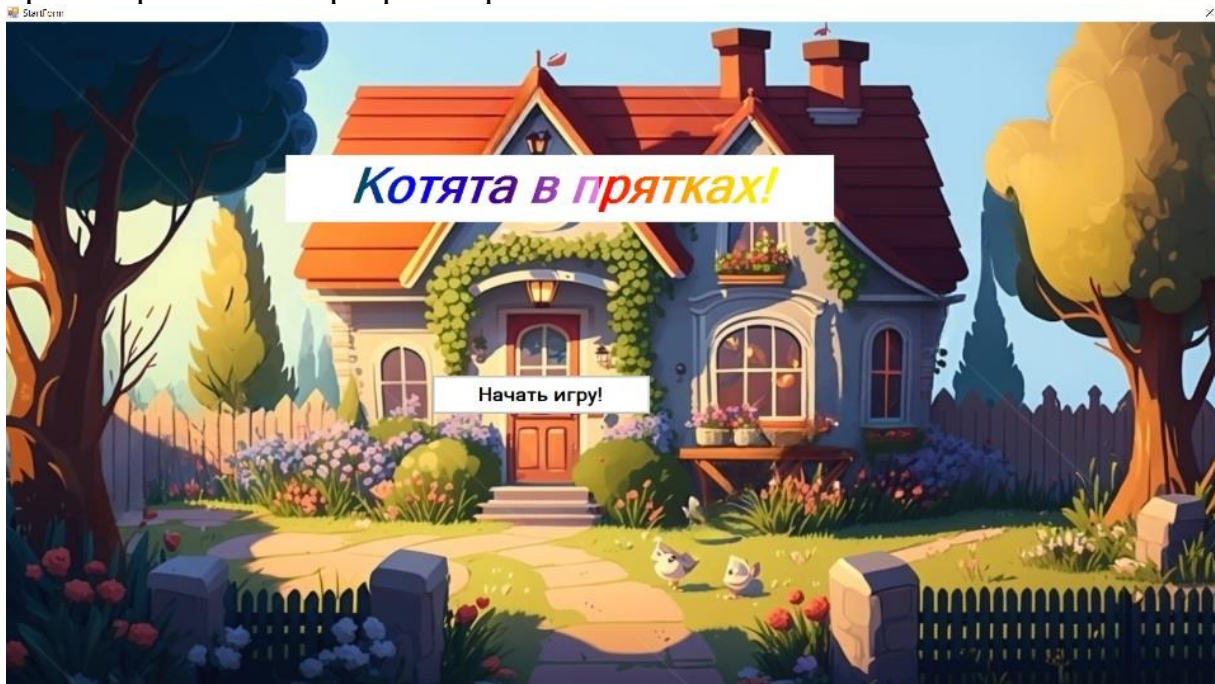


Рис. 3. Игровой процесс «Котята в прятках!»

Практическая реализация

Для реализации проекта используется среда разработки Microsoft Visual Studio и графический фреймворк Windows Forms (WinForms). Windows Forms применяется для создания интуитивно понятного пользовательского интерфейса, в котором будут реализованы диалоговая система, интерактивные элементы управления и встроенная игровая механика. WinForms – это стабильная и мощная технология для построения десктопных приложений, предоставляющая все необходимые инструменты для быстрой разработки [3].

Архитектура игры представляет собой набор взаимосвязанных форм, каждая из которых соответствует определенной игровой локации или функциональному экрану. Диалоговая система реализована с использованием списков строк и конечного автомата для управления состояниями диалога, что обеспечивает гибкое ветвление сюжета в зависимости от выбора игрока (рис. 4).



Рис. 4. Диалоговая система в гильдии авантюристов

Графическое оформление сочетает два стиля: мрачный готический фэнтези-стиль для основного игрового мира и чистый современный интерфейс для обучающих разделов. Для создания графических ресурсов использовались AI-генераторы изображений и онлайн-инструменты для обработки графики [4].

Ключевым элементом практической реализации обучения является диалоговая система, построенная на использовании списков строк и конечного автомата для управления состояниями. Данный технический подход обеспечивает адаптивное ветвление сценария: в зависимости от выбора игрока в диалоге активируется либо ветка «Новичок» с последующим тестированием в виртуальном пространстве компьютера (рис. 5), либо ветка «Практик», сразу переводящая к работе над учебным проектом «Котят в прятки!» (рис. 3). Теоретический материал интегрирован в диалоги с персонажем: главный герой Крис последовательно объясняет основы C# через интерактивные задания, где на примере создания игры раскрываются такие концепции как обработка событий, работа с таймерами, коллекциями и основы объектно-ориентированного программирования. Такой механизм позволяет динамически подстраивать содержание и сложность заданий под уровень подготовки пользователя, обеспечивая плавное погружение в основы программирования на C# через создание полноценного игрового приложения. Сочетание теории и практики очень важно в обучении. Когда студент может попробовать свои силы в создании собственных программ это позволяет закрепить и углубить знания, приобрести необходимые навыки. То, что при прохождении обучающей игры «Авангард логики», студент сам создает игровую программу дает положительный опыт разработки.

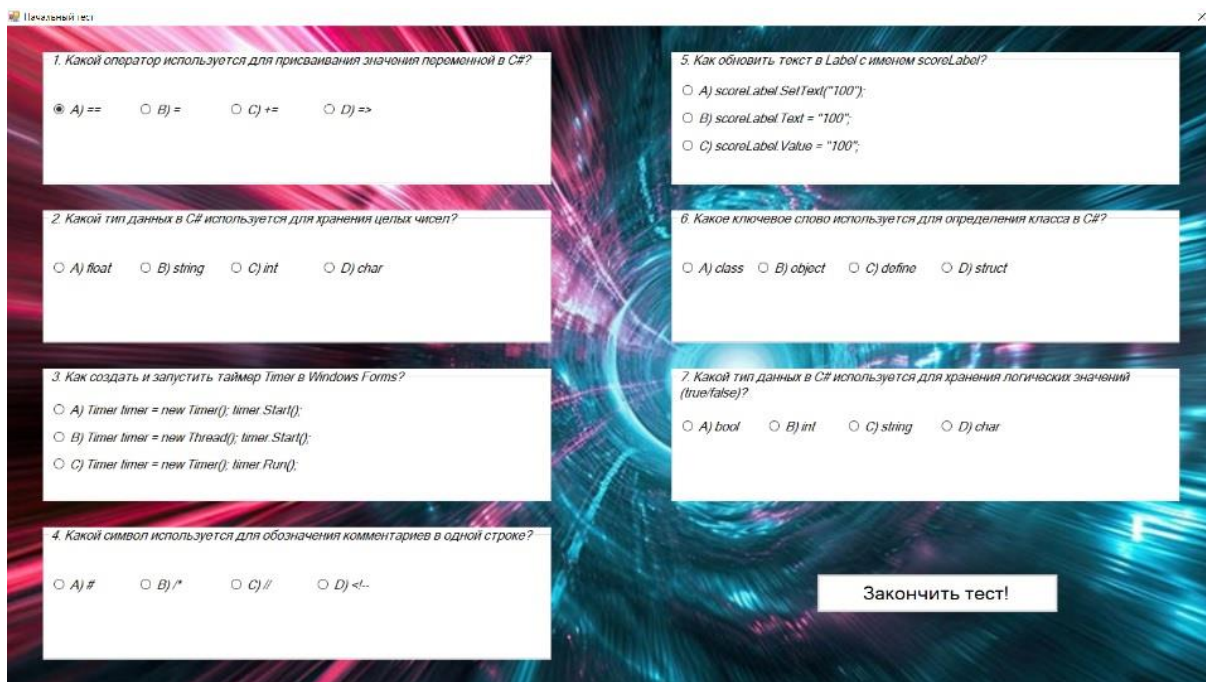


Рис. 5. Локация внутри портала компьютера

Заключение

Разработанная концепция демонстрирует эффективный подход к интеграции образовательного контента в игровую среду. Использование адаптивной системы обучения, практико-ориентированных заданий и вовлекающего нарратива создает благоприятные условия для освоения основ программирования на C#. Представленный подход может быть расширен для обучения другим аспектам программирования и служить основой для создания более сложных обучающих систем.

Библиографический список

1. Шехтман Л. И., Силин К. К. Обучающие игры: возможности и сферы применения. В сборнике: Мавлютовские чтения. Материалы XVIII Всероссийской молодежной научной конференции. Уфа, 2024. Т5, С. 953–959.
2. Кузьмина Е. А., Пименов Д.С., Бактыбаев А.Ф., Латыпов Э.Р. Разработка компьютерной игры «MUSHROOM MADNESS». В сборнике: Мавлютовские чтения. Материалы XVIII Всероссийской молодежной научной конференции. Уфа, 2024. Т5, С. 907–911.
3. Troelsen, Э., Джепикс, Ф. Язык программирования C# 10 и платформа .NET 6. – М.: Диалектика, 2022. – 1120 с.
4. Webcalipt – генератор изображений по описанию. URL: <https://img-webcalipt.ru/tools/text-to-img> (дата обращения: 18.06.2025).

© Ермаченко А.В., 2025

УДК 004.8:004.94

Л.Д. ИСКАНДАРОВА, Н.В. КРИНОВА, А.Ю. КОТОВЩИКОВА

liana.iskandarova.2024@mail.ru

Науч. руковод. к.т.н, Доцент А.С. КОВТУНЕНКО

Уфимский университет науки и технологий

ПЛАТФОРМА ИНТЕРАКТИВНЫХ ВИЗУАЛЬНЫХ НОВЕЛЛ С СИСТЕМОЙ НА ОСНОВЕ ИСКУССТВЕННОГО ИНТЕЛЛЕКТА

Аннотация: данной статье представлена архитектура программной платформы, предназначенной для трансформации классических литературных произведения в интерактивный формат. Главной особенностью данного решения является применение искусственного интеллекта для контроля соответствия действий пользователя авторскому замыслу: это позволяет сочетать решение образовательных задач с интерактивностью игрового процесса и не исказить идею оригинала. Описаны модульная организация системы, модели и алгоритмы работы с естественным языком, а также потенциальные направления дальнейшего развития.

Ключевые слова: интерактивная литература, образовательные технологии, искусственный интеллект, обработка естественного языка, EdTech, геймификация, цифровая гуманитаристика.

1. Введение

За последние годы интерес к чтению среди школьников и молодёжи значительно упал. На привычный формат вдумчивого чтения давят стремительный рост доступности альтернативных форм контента, а также фрагментарное потребление медиа. В следствии этого увеличивается разрыв между носителями культурного наследия и представителями поколения, выросшего в цифровой среде: сейчас, учащимся все труднее удерживать внимание на длинных повествованиях, сопоставлять мотивы персонажей и прослеживать причинно-следственные связи в больших сюжетах. Образовательному процессу в целом и образовательным платформам, как одной из форм его реализации в частности основ требуются инструменты, которые сочетают интерактивность современной медиасреды с точностью и глубиной оригинальных литературных произведений.

В ходе проведенного авторами социологического исследования (рис.1) 23 человека из 40 опрошенных признались, что для них трудность восприятия художественной литературы обусловлено объемными текстами, а также 19 человек указали на сложность языка произведений.

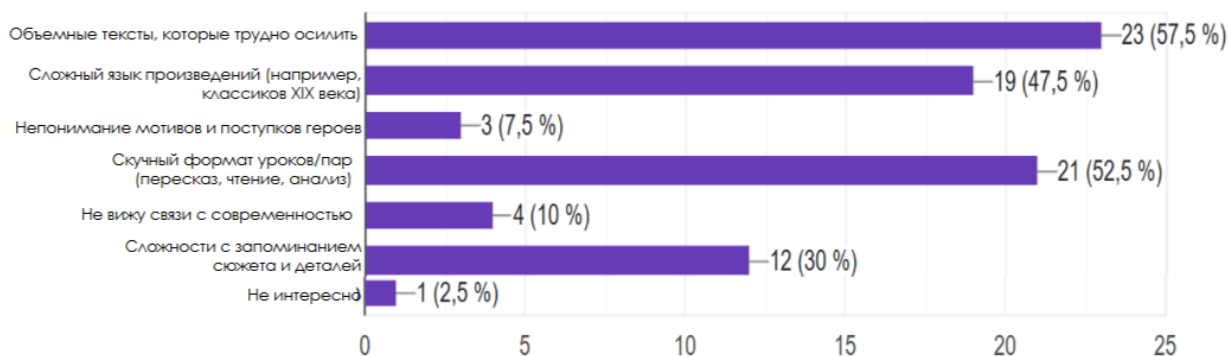


Рис. 1. Социологическое исследование

Данный анализ подтверждает необходимость решений, которые снижают барьер без упрощения содержания.

Предлагаемая платформа интерактивных визуальных новелл отвечает на вызов посредством объединения игровых механик на основе технологий искусственного интеллекта (ИИ) (CanonGuard AI), который призван обеспечивать соответствие пользовательских ветвлений сюжета авторскому замыслу. Такой подход сохраняет стиль, характеры и логику первоисточника, но предоставляет читателю активную роль, повышая вовлечённость и мотивацию к изучению произведения

Так же в статье рассмотрены архитектура платформы, организация контента, используемые NLP-модели для сопоставления альтернативных веток с каноном, а также аналитические и персонализационные инструменты. Показано, как сочетание интерактивности и ИИ позволяет одновременно достигать образовательных результатов и соответствовать ожиданиям современных пользователей.

Основная идея проекта — это трансформация классических произведений в интерактивную визуальную новеллу, где читатель следует за персонажем, а его решения ведут к различным исходам, включая альтернативные, отклоняющиеся от канонической линии.

2. Архитектура платформы

В данной главе показано, интерактивное чтение с «бережным отношением к канону» воплощается в инженерную систему. Мы разбираем четыре взаимосвязанных узла: преобразование произведения в структурированный смысловой граф (контент и сценарии), поддержку генерации и контроль канона со стороны ИИ (CanonGuard AI), пользовательский плеер с геймификацией, превращающий чтение во взаимодействие, а также аналитику и персонализацию, которые на основе поведения читателя дают своевременные подсказки и образовательные эффекты. Рассмотрим функционирование предлагаемой системы как последовательное выполнение следующих этапов:

- превращение исходного произведения в структурированный смысловый граф (контент и сценарии),
 - генерация вариантов на основе ИИ при контроле соответствия авторской логике (CanonGuard AI),
 - формирование прозрачного пользовательского опыта «чтения как взаимодействие»,
 - вовлечение читателя в управление сюжетом через подсказки и получение образовательного эффекта.
- Система реализована как набор микросервисов и включает следующие модули.

2.1. Модуль контента и сценариев

Модуль обеспечивает полный цикл работы с первоисточником: хранение, разметку, авторинг интерактивных ветвлений и методическую поддержку. Включает в себя следующие компоненты.

- хранилище оригинальных текстов. База оцифрованных произведений с семантической разметкой (персонажи, локации, ключевые события, цитаты);
- редактор ветвящихся сюжетов. Веб-интерфейс для сценаристов и методистов: создание диалогов, развилок и точек принятия решений, привязанных к узловым событиям оригинала;
- база знаний по произведению. Онтология характеров и мотиваций, исторического контекста и причинно-следственных связей сюжета.

Совместная работа подсистем превращает «статический» текст в управляемый контентный граф — основу для алгоритмов канонконтроля и педагогического дизайна.

2.2. Модуль канонконтроля на основе технологий ИИ (CanonGuard AI)

Этот модуль соотносит действия пользователя и генерируемые фрагменты с авторским замыслом, анализируя семантику, стиль и логику персонажей. Он решает две группы задач:

- генерация диалогов. Помощь авторам в создании альтернативных реплик и сцен «в стиле» первоисточника, включая описания локаций и внутренние монологи;
- проверка соответствия. NLP-модель на базе transformer-архитектуры (например, BERT/ruBERT), дообученная на корпусе русской классики, сравнивает пользовательские ветки с каноническим текстом и оценивает:
 - консистентность персонажа — соответствие поступков и речи онтологически заданному характеру;
 - семантическую связность — логическую продолженность событий с учётом мотивации и общего narrative flow;
 - стилистическое соответствие — сохранение языковых норм и стилистики эпохи.

CanonGuard AI тем самым ускоряет производство контента и удерживает интерактив в русле авторской логики: сюжет может варьироваться, не теряя внутренней правды произведения.

2.3. Пользовательский интерфейс

Интерфейс объединяет подготовленный контент и ИИ-канонконтроль в цельный опыт «чтение как взаимодействие», задаёт форму подачи текста, сценарии выбора и оперативную обратную связь.

- кроссплатформенное веб-приложение. Адаптивный интерфейс (React/Vue.js) с режимами чтения, настройками шрифтов и тем, офлайн-кэшем;

- иммерсивная подача. Художественное пространство с визуализацией персонажей и костюмов согласно описаниям оригинала, профессиональная озвучка сцен и динамический саундтрек.

В такой композиции плеер не просто выводит текст, а помогает дозировать сложность, не терять нить повествования и осмыслять развилки — без подмены чтения игрой как таковой.

2.4. Модуль аналитики и персонализации

Модуль аналитики предназначен для сбора данных и о работе платформы в том числе взаимодействие с пользователем. Иными слова аналитика фиксирует, как пользователи читают и где испытывают сложности; персонализация подстраивает опыт под индивидуальные потребности. В рамках этого процесса выполняются следующие функции:

- сбор сигналов. Анонимизированные данные о выборах, темпе прохождения, точках затруднений;

- рекомендации. Персональные подсказки и дополнительные материалы (разборы, исторические справки) на основе выявленных трудностей.

- Связка аналитики и рекомендаций превращает новеллу в динамический учебный инструмент: система своевременно подсвечивает «узкие места» понимания и обогащает контекст.

Представленная архитектура формирует цельный технико-педагогический контур: контентный граф задаёт основу вариативности; CanonGuard AI удерживает альтернативы в пределах канона; плеер обеспечивает управляемое взаимодействие и доступность «по умолчанию»; аналитика и персонализация замыкают цикл улучшений. В результате сохраняется художественная точность, снижается барьер входа для «цифровой» аудитории и повышается качество смыслового анализа текста — по измеримым метрикам прогресса и понимания.

3. Технологический стек

Ключевые элементы реализации включают в себя следующие аспекты:

- серверная часть. Python (FastAPI/Django), асинхронные сервисы для ML-моделей;

- ML/NLP. PyTorch/TensorFlow, экосистема Hugging Face Transformers;

– данные. PostgreSQL для структурных сущностей, Redis для кэширования, векторная БД (например, Chroma или Weaviate) для эмбедингов; – инфраструктура. Docker, Kubernetes, облака (Yandex Cloud/Selectel).

Задачи декомпозированы, ответственность распределена, риски и метрики обозначены. Такой формат планирования снижает неопределённость, и позволяет оперативно получать обратную связь для последующей донастройки продукта и учебных эффектов.

4. Пример пользовательского сценария

Функционирование системы с точки зрения пользователя подразумевает следующую последовательность действий:

1. Старт. Пользователь выбирает произведение (например, «Преступление и наказание») и персонажа (Раскольников).

2. Развилка. Воспроизводится сцена предубийственных размышлений. Возможны два выбора: «Отказаться от замысла» (альтернативная линия) или «Решиться на преступление» (канон).

3. Работа CanonGuard AI. Система оценивает выбор на предмет согласованности с логикой героя и произведения. Отказ на данном этапе трактуется как серьёзное отклонение от канона, что фиксируется низким коэффициентом соответствия.

4. Реакция системы. Появляется предупреждение: «Вы выбираете путь, существенно расходящийся с замыслом Ф. М. Достоевского. Это приведёт к альтернативной развязке. Продолжить?»

5. Образовательный результат. Пользователь получает объяснение причин расхождения; это стимулирует рефлекссию и более глубокое осмысление первоисточника.

Таким образом, проект не «перекладывает» книгу в игровой интерфейс, а предлагает новый способ взаимодействия с классической литературой, Классика превращается из «обязательного чтения» в интеллектуальное приключение, которое сохраняет глубину оригинала и раскрывает её средствами цифровой среды.

Библиографический список

1. Himes M. Образовательное использование визуальной новеллы в курсе английской литературы // Press Start. — 2022.

2. Haristiani N. Медиа визуальных новелл для повышения понимания чтения на японском языке (уровень intermediate) // Proceedings of the 10th International Conference on Web Information Systems and Technologies. — 2018.

3. Wright T. B., Weible J. L. Текущие взгляды на цифровую интерактивную прозу и текстовые приключения в образовании: систематический обзор // Journal of Research in Science, Mathematics and Technology Education. — 2024.

4. Letonsaari M., Karjalainen L., Selin J. Метод и инструменты нелинейного сторителлинга для «низкого порога» разработки игр // Seminar.net. — 2019.
5. Baker S. Разработка интерактивного ООР с использованием языка сценариев Ink // Code4Lib Journal. — 2021.
6. Programming Historian. Как создавать интерактивные текстовые игры с помощью Twine: практическое руководство. — 2021. [Электронный ресурс].
7. Интерактивная проза как «новая грамотность»: возможности обучения для детей. — [Без автора]. — [Год не указан].
8. CommonLit. Исследования эффективности: сводные результаты (6–10 классы). — Отчёт. — 2025.
9. Overdeck Foundation. Исследование: CommonLit 360 повышает результаты по чтению. — Аналитическая записка. — 2023.
10. CommonLit. Ученики, использующие CommonLit, показали существенный прирост — эквивалент 2–6 дополнительных месяцев обучения. — 2024. [Электронный ресурс].
11. Spencer T. R. Влияние платформы Actively Learn на вовлечённость и успеваемость по чтению у старшеклассников: диссертация. — 2018.
12. McGraw Hill. Actively Learn: платформа для ELA, естественных и общественных наук (аннотации, задания, оценивание). — 2023. [Электронный ресурс].
13. Miller K. и др. Использование платформы социальной аннотации для предаудиторных чтений // Frontiers in Education. — 2018.
14. Kohnke L. Perusall стимулирует критическое взаимодействие с чтением // RELC Journal. — 2024.
15. Shaker A. J. Эффект стимулирования предаудиторных чтений на вовлечённость студентов (с использованием Perusall) // International Journal of Mathematical Education in Science and Technology. — 2025.
16. Perusall. Платформа социальной аннотации текста и видео: обзор возможностей и интеграций LMS. — 2024. [Электронный ресурс].

© Искандарова Л.Д., Кринова Н.В., Котовщикова А.Ю., 2025

УДК 004.94

С.С. КОВАЛЕЦ

semyon.kovalets@yandex.ru

Науч. руковод. – канд. техн. наук, доц., Р.Р. КАРИМОВ

Уфимский университет науки и технологий

СОЗДАНИЕ 3D-ПЕРСОНАЖА «МАСКОТТ УУНИТ» В BLENDER

Аннотация: Маскотт УУНиТ Графунит выбран на основе опроса общественного мнения. Предлагается разработать мод Графунита в гуманоидном стиле, приспособленный для риггинга и анимаций. Предполагается, что мод Графунита может использоваться для промо видео со спец. эффектами.

Введение

Современные технологии трёхмерного моделирования позволяют создавать реалистичных и стилизованных персонажей для игр, анимации и визуальных проектов. Процесс разработки 3D-модели персонажа включает в себя целый комплекс этапов – от концепта и моделирования до текстурирования и оптимизации.

В рамках данного проекта была выполнена работа по созданию оригинального персонажа с применением нескольких программных решений: Blender – для моделирования, Substance Painter – для текстурирования, и Instant Meshes – для оптимизации геометрии посредством ремешинга.

Моделирование в Blender

Основная часть работы над персонажем проводилась в программе Blender, которая выступала в роли ключевого инструмента для построения трёхмерной формы.

Моделирование начиналось с базовой заготовки тела, выполненной в виде низкополигональной модели (*Рис. 2б*), после чего была проведена детальная проработка форм — головы, одежды, рук и обуви. Для достижения плавных органических переходов применялся Sculpt Mode, что позволило придать модели анатомическую выразительность и реалистичные пропорции.

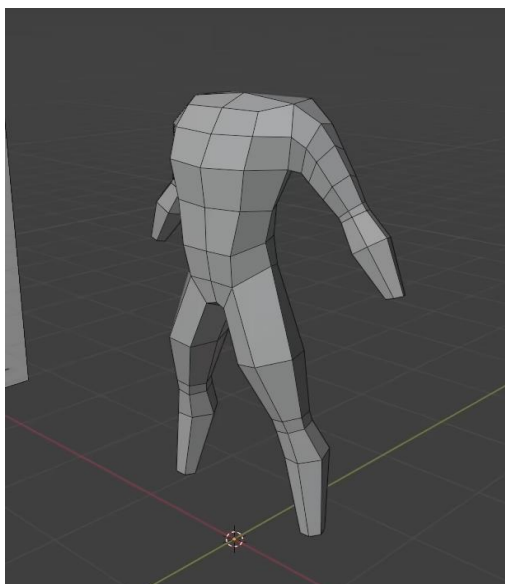


Рис. 26. Модель туловища

В процессе моделирования использовались стандартные инструменты Blender – Extrude, Loop Cut, Mirror Modifier, а также Subdivision Surface для создания сглаженных поверхностей. Особое внимание уделялось оптимальной топологии: количество полигонов увеличивалось только в зонах, требующих высокой детализации (например, в области лица (*Рис. 27*) и суставов), что обеспечило баланс между качеством и производительностью.

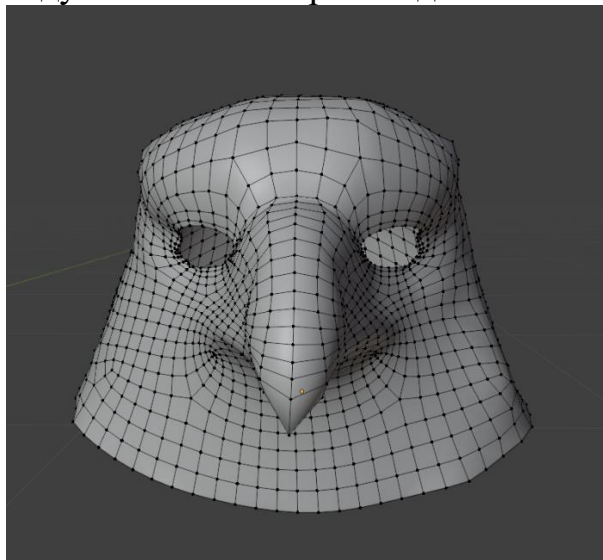


Рис. 27. Сетка головы

Для отдельных элементов персонажа, таких как одежда (*Рис. 28*) и аксессуары, создавались отдельные меши, которые затем интегрировались в общую модель. После завершения моделирования была выполнена проверка нормалей, корректировка UV-развёртки и объединение всех частей в единую структуру для последующего экспорта.



Рис. 28. Одежда персонажа

Оптимизация сетки с помощью Instant Meshes

После завершения высокополигонального этапа модель была экспортирована в программу Instant Meshes – специализированный инструмент, применяемый для автоматического ремешинга.

Цель этого этапа заключалась в создании низкополигональной версии модели, пригодной для использования в игровых движках и интерактивных приложениях.

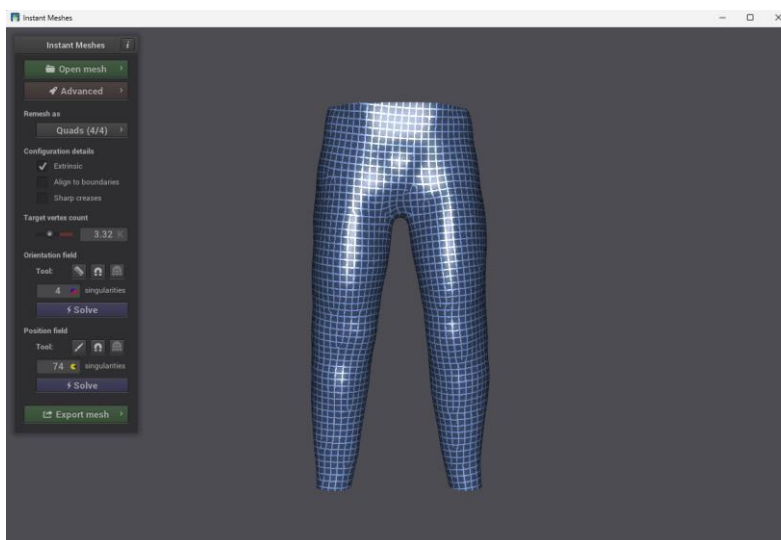


Рис. 29. Окно программы Instant Meshes

Instant Meshes (Рис. 29) позволила преобразовать сложную сетку скульпта в оптимизированную топологию с сохранением основных форм и силуэтов персонажа. Благодаря этому удалось значительно уменьшить количество полигонов, сохранив при этом визуальную целостность модели.

Такой подход не только повысил производительность при последующей работе, но и упростил процесс запекания карт нормалей и текстур.

Текстурирование в Substance Painter

Следующим этапом стал процесс текстурирования в программе Substance Painter.

Модель была импортирована в формате FBX, что позволило корректно перенести все UV-развёртки и материал ID. В Substance Painter выполнялась подготовка поверхностей, настройка слоёв и создание карт отражений, шероховатости и нормалей.

Для достижения выразительного визуального результата использовались умные материалы (Smart Materials) и маски на основе карт Ambient Occlusion и Curvature. Это позволило реалистично передать взаимодействие света с поверхностью ткани, кожи и металлических элементов.

Кроме того, была проработана стилизация — контраст между фактурой одежды и элементами головы персонажа, что усилило его индивидуальность.

В завершение этапа из Substance Painter были экспортированы финальные PBR-текстуры (Base Color, Normal, Roughness, Metallic, AO), которые затем применялись обратно в Blender для визуализации итогового результата.

Финальная сборка и визуализация

После завершения всех предыдущих шагов персонаж был собран и отрендерен в Blender.

На этом этапе осуществлялась корректировка освещения и настройка шейдеров с применением экспортированных карт из Substance Painter.

Для демонстрации результата были подготовлены несколько визуальных ракурсов (Рис. 30), отражающих внешний вид персонажа в разных условиях освещения (Рис. 31).



Рис. 30. Вид спереди



Рис. 31. Вид сзади

Полученная модель сочетает в себе качественную детализацию и оптимизацию, что делает её пригодной для интеграции в игровые сцены, а также для последующей анимации.

Заключение

В ходе работы был создан полноценный 3D-персонаж с применением комплексного подхода, включающего моделирование, ремешинг и текстурирование.

Использование сочетания программ Blender, Substance Painter и Instant Meshes позволило достичь высокого уровня детализации при сохранении производительности.

Такой рабочий процесс является эффективным решением для современной 3D-графики и может применяться при разработке игровых моделей, анимационных фильмов и интерактивных приложений.

Проект продемонстрировал важность грамотного сочетания инструментов, оптимизации топологии и художественного подхода к текстурированию. Результатом является визуально выразительный и технически сбалансированный персонаж, готовый к использованию в различных цифровых средах.

Библиографический список

1. Создание базового персонажа в Blender. URL: <https://youtu.be/J-nbY8B2oa4>
2. Создание кисти руки. URL: https://www.youtube.com/shorts/gyh8V_7hX9E
3. Создание шерсти. URL: <https://www.youtube.com/shorts/KWcMh85eSIY>

4. Создание шерсти и волос. URL: <https://www.youtube.com/watch?v=8yoIW4va-VY>
5. Ретопология в Blender. URL: https://youtu.be/nqYs0Yg-m_I
6. Скульптинг в Blender. URL: <https://youtu.be/1LicANn3KXA>
7. Ретопология в instant meshes. URL: <https://youtu.be/-65iANtVVs0>
8. Как создать модель миньона с нуля. URL: https://habr.com/ru/companies/pixel_study/articles/846110/
9. Что такое риггинг – и как подготовить его в Blender. URL: <https://skillbox.ru/media/gamedev/что-такое-rigging-i-kak-podgotovit-ego-v-blender/>
10. Цифровые технологии и искусственный интеллект в организационно-технических системах воробьев Воробьев А.В., Верхотуров М.А., Тархов С.В., Тархова Л.М., Минасов Ш.М., Ковтуненко А.С., Султанова С.Н., Низамова Г.Ф., Каримов Р.Р., Кузьмина Е.А., Шехтман Л.И., Ханнанов Н.К. Уфа, 2024.

© Ковалец С.С., 2025

УДК 004.9

В.П. КОЙКОВА, К.Ю. ЧУБУКОВА

koikovavika@gmail.com, kristina.chybycova@gmail.com

Науч. руковод. – канд. физ.-мат. наук, доц. Л.И. ШЕХТМАН

Уфимский университет науки и технологий

КОНЦЕПЦИЯ И ПРОТОТИП КОМПЬЮТЕРНОЙ ИГРЫ В ЖАНРЕ ВИЗУАЛЬНОЙ НОВЕЛЛЫ

Аннотация: статья посвящена разработке компьютерной игры в жанре визуальной новеллы, выполненной в рамках проектной деятельности в вузе. Применялся игровой движок Ren'Py.

Ключевые слова: компьютерная игра, визуальная новелла, игровой движок Ren'Py.

Введение

В настоящее время компьютерные игры уже широко применяются в образовательном процессе. Возможны такие варианты, как использование обучающих игр для передачи знаний студентам ([1]) или проекты, выполняемые самими студентами в виде игр (например, [2]). В рамках проектной деятельности при обучении по образовательной траектории «Компьютерные симуляторы и игры» решено было создать видеоигру в жанре визуальной новеллы [3]. Этот жанр достаточно популярен среди молодежи, а практическая реализация не требует большого опыта и подготовки. В то же время разработка собственной визуальной новеллы позволяет получить опыт игровой разработки с прохождением большинства этапов, которые встречаются в реальной профессиональной деятельности и приобрести компетенции в области программирования и работы в команде. Разработка компьютерных игр – сложный многоэтапный процесс. Этапы могут варьироваться в зависимости от проекта, но существуют общие шаги, характерные для большинства игровых проектов.

Основные этапы создания игры

Этап 1. Определение концепции игры. Было решено создать интерактивную сказку «Дюймовочка». Такая игра рассчитана прежде всего на девочек младшего возраста, но благодаря симпатичному визуальному оформлению, тексту, отражающему эмоциональные переживания героини, диалогам и ветвлению в сюжете, основанному на моральных выборах, может быть интересна множеству пользователей независимо от возраста и пола просто как развлечение, причем связанное с чтением.

Этап 2. Разработка сюжета и сценария. Полностью проработан сюжет. Интерактивная сказка включает в себя ряд сцен, каждая из которых может содержать описание участвующих персонажей, их эмоций, внутренних переживаний, окружения.

Основными персонажами игры являются:

Дюймовочка – главная героиня, крошечная девочка.

Кузнечик – персонаж, который вдохновляет Дюймовочку на подвиги и приключения, связанные с поисками Прекрасного Принца цветов.

Жаба – персонаж, который предлагает Дюймовочке отказаться от поисков Принца и провести жизнь на болотах, занимаясь спортом, изучая природу и играя в компании друзей.

Полевые мыши – персонажи, также отвлекающие Дюймовочку от поисков Принца; дают возможность героине устроить свою жизнь в лесу, в дружбе и комфорте.

Этап 3. Выбор игрового движка. Для создания прототипа игры использовался игровой движок Ren'Py [4]. Ren'Py – это специализированный инструмент для создания интерактивных историй, особенно в жанре визуальных новелл. Он прост в освоении и этим привлекает новичков. В то же время с его помощью можно создавать полноценные насыщенные и атмосферные проекты, включающие изображения, анимации, звук, ветвления в сюжете.

Этап 4. Проработка игровых механик. Реализованы традиционные для визуальных новелл механики. После представления очередной сцены игроку предоставляется выбор одного из двух действий.

Пример:

1. Следовать за кузнечиком

2. Идти с жабой

Выбор игрока определяет по какой ветви будет развиваться сюжет. Предусмотрено несколько альтернативных финалов. Игрок может прийти к одному из возможных окончаний истории в зависимости от его выборов, сделанных по ходу игры. В игре можно возвращаться к предыдущим сценам. Есть возможность сохранения промежуточных результатов и в дальнейшем загрузки игры с сохраненного момента.

Этап 5. Создание визуальных ресурсов. Созданы изображения персонажей, пример показан на рис. 1.

Этап 6. Тестирование и доработка. Текущее состояние: продумана концепция игры и создан прототип игры с помощью движка Ren'Py. Планируется реализация игры на языке C#.

На рис. 2 показаны некоторые экранные формы созданной в Ren'Py игры.

Заключение

Разработка собственной компьютерной игры позволила получить опыт практического применения знаний из области программирования и работы с изображениями, а также командной работы над проектом



Рис. 1. Дюймовочка и Принц

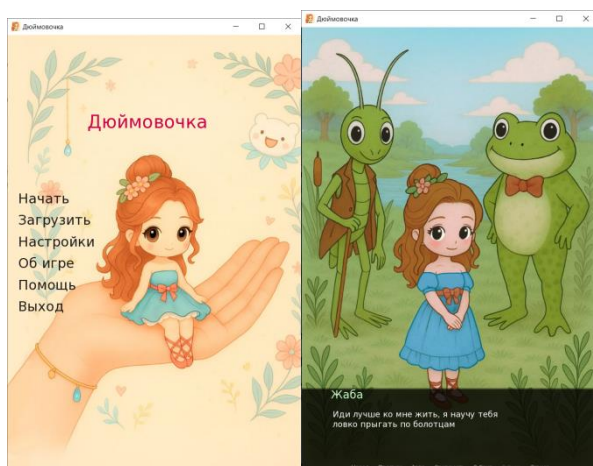


Рис. 2. Экранные формы игры

Библиографический список

1. Шехтман Л. И., Силин К. К. Обучающие игры: возможности и сферы применения. В сборнике: Мавлютовские чтения. Материалы XVIII Всероссийской молодежной научной конференции. Уфа, 2024. Т5, С. 953–959.
2. Кузьмина Е. А., Пименов Д.С., Бактыбаев А.Ф., Латыпов Э.Р. Разработка компьютерной игры «MUSHROOM MADNESS». В сборнике: Мавлютовские чтения. Материалы XVIII Всероссийской молодежной научной конференции. Уфа, 2024. Т5, С. 907–911.
3. Визуальные новеллы как современные электронные издания в Японии, США и России [Электронный ресурс]. Режим доступа: <https://elar.urfu.ru/bitstream/10995/64325/1/lfb-2018-10.pdf> (дата обращения 07.11.25).
4. Ren'Py. URL: <https://www.renpy.org/> (дата обращения: 7.11.2025).

© Койкова В.П., Чубукова К.Ю., 2025

УДК 004.42

Д.С. ПИМЕНОВ

dpimenov37@gmail.com

А.Ф. БАКТЫБАЕВ

baktybaev.amir@mail.ru

Э.Р. ЛАТЬПОВ

lollolovich228228@gmail.com

Науч. руковод. – докт. техн. наук, профессор А.В. ВОРОБЬЕВ

Уфимский университет науки и технологий

РАЗРАБОТКА КОМПЬЮТЕРНОЙ ИГРЫ «ИВАН ЦАРЕВИЧ – ОБОРОТЕНЬ В ПОГОНАХ»

Аннотация: рассматривается вопрос о создании компьютерной игры, с использованием следующего инструментария: unity; blender; Krita; visual studio; substance painter.

Ключевые слова: компьютерная игра; unity; FL studio; MS visual studio; Krita

1. Введение

«Иван Царевич – оборотень в погонах» – это игра в жанре экшен-платформер. Данный жанр является поджанром платформера, в котором главный герой перемещается пешком, с возможностью совершать прыжки, продвинутая версия передвижения может включать в себя так же различные элементы, такие как, подкаты, приседания и уклонения. В играх такого направления, персонаж перемещается по платформам, преодолевает препятствия, но при этом сражается с врагами.

С точки зрения игрового процесса ключевыми референсами стали такие игры как: Volkolak: The Will of Gods, Flashback: The Quest Of Identity, Zombotron. Игрок будет иметь возможность перемещаться, бегать, а также совершать прыжки и кувырки для уклонения от атак противников.

Ключевые особенности игры:

- красочные и запоминающиеся локации
- уникальный визуальный стиль
- нестандартная боевая система
- игровые механики
- увлекательный сюжет
- нестандартная линия повествования

2. Описание сюжеты игры

Россия, конец XX века. После развала СССР в стране захватили власть криминальные группировки, покрываемые коррумпированными чиновниками. Главный герой – Иван Царевич, сказочный персонаж, который получил свое

проклятие от Бабы Яги при неизвестных обстоятельствах, решает бросить вызов устоявшейся системе и навести порядок в стране. В процессе игры, главному герою предстоит встретить и преодолеть немало трудностей, сразиться со множеством врагов, чтобы узнать, кто стоит за криминальной властью.

3. Игровые механики

Механики игрока:

Персонаж будет передвигаться в стандартных для жанра рамках, но, так же будет присутствовать и продвинутое системы мувмента и боя.

Игрок сможет вести бой с противниками как в виде полицейского, так и превратившись в оборотня. Каждый стиль боя дает определенный преимущества. Так в человеческом образе герой сможет вести дальний бой при помощи огнестрельного оружия, а будучи оборотнем быстро перемещаться и уничтожать врагов в ближнем бою. Игроку предстоит грамотно использовать умения героя в каждой ситуации.

Механики на локациях:

Разрушаемое окружение: на локациях будут присутствовать различные предметы, которые при взаимодействии могут быть разрушены.

Взаимодействие враждебных неигровых персонажей с окружением: враги так же могут, как-либо влиять на игровой процесс на локациях, разрушать различные предметы, поджигать бочки с керосином (как пример взаимодействия).

В игре подразумевается 4 локации с тремя под уровнями. В конце каждого третьего уровня, игрока встретит уникальный босс, при победе над которым, продвижение по сюжету пойдет дальше.

Описание локаций:

Спальный район – первая локация в игре, основными обитателями которой являются гопники и прочими преступными элементами. Однотипные многоэтажки «панельки» будут встречаться на каждом шагу, на заднем фоне которых, будут проносятся советские автомобили и общественный транспорт.

Промзона – или же завод. Здесь игроку предстоит встретиться с группой вооруженных до зубов рейдеров.

Полицейский участок – находится в центре города. Место захвачено «оборотнями в погонах», которые по приказу главаря одной из криминальных банд собираются убить главного героя. Это место, где когда-то служили закону, теперь стало оплотом беззакония.

Поселок «Новорусский» – является неким аналогом «Рублевки» но захваченной террористами. Локация характеризуется большим количеством вооруженной до зубов охраны главаря банды. На заднем фоне видны большие и дорогие дома, что подчеркивает статус места. Здесь герою предстоит покончить с ОПГ, нанеся удар в самое сердце.



Рис. 83. Кощей Бессмертный, один из боссов игры. Концепт-арт.

4. Используемый инструментарий

Поговорим про инструментарий, который используется для создания игры.

Krita – свободный и открытый растровый графический редактор с открытым исходным кодом, программное обеспечение, входящее в состав KDE. Приложение имеет довольно простой интерфейс, множество полезных инструментов и низкий порог по системным требованиям, что делает данный редактор одним из самых востребованных. Разобраться в приложении, новому пользователю не составит труда.

Все концепт-арты персонажей игры и двумерные ассеты (спрайты), сделаны при помощи данного растрового редактора.

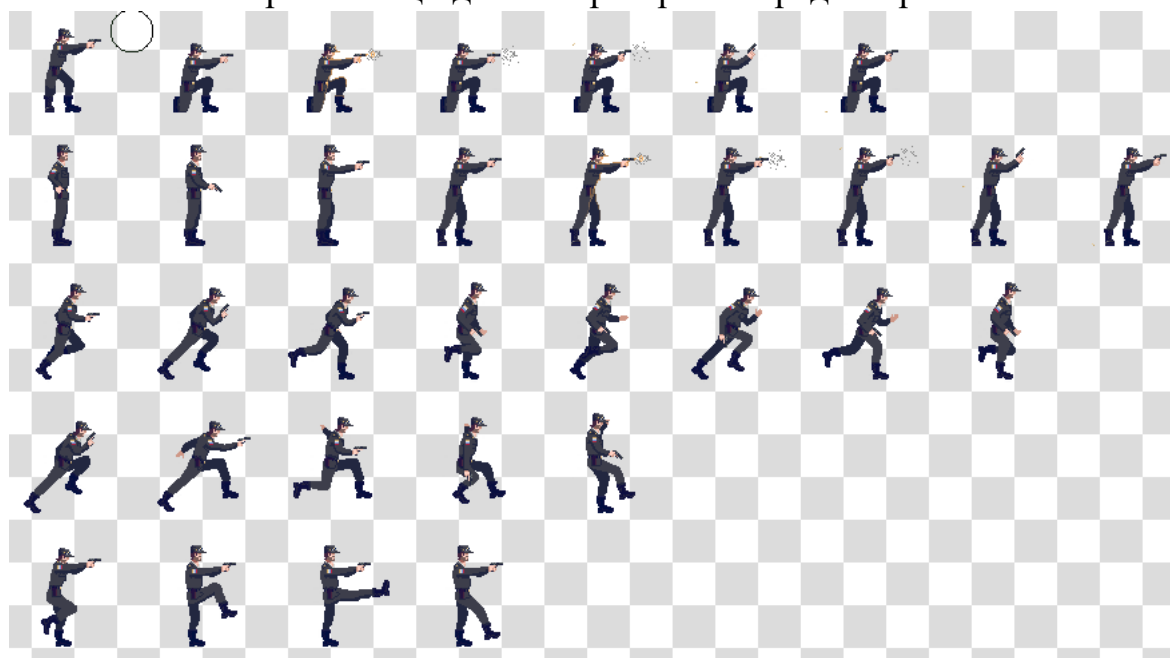


Рис. 84. спрайтовая анимация персонажа.

Microsoft Visual Studio поддерживает язык программирования C# как интегрированную среду разработки (IDE). Это позволяет создавать приложения на C# с помощью Visual Studio, включая настольные, веб- и мобильные приложения. Такие функции как: редактор кода с подсветкой синтаксиса, автодополнением и возможностью рефакторинга, интегрированный отладчик, который позволяет выполнять код пошагово, система unit-тестирования – позволяет создавать и запускать тесты непосредственно из интерфейса, поддержка и полная интеграция с различными версиями Unity для написания кода для игр, все это только положительно влияет на работу в программе.

Unity – кроссплатформенная среда разработки компьютерных игр, разработанная американской компанией Unity Technologies. Имеет полностью совместимую структуру с Microsoft Visual Studio, из-за чего написание кода, становится только проще. Имеет ряд преимуществ, которые выделяют ее из среды разработки компьютерных игр.

- Визуальный редактор сцен, который позволяет собирать игровые локации и расставлять объекты в реальном времени.
- Физика и различная анимация. Реалистичное поведение объектов, встроенные механики взаимодействия и анимационные системы.
- Интеграция с VR. Простое и удобное подключение виртуальной реальности, происходящее с помощью различных вспомогательных предметов.
- Asset Store или же библиотека готовых решений — модели, скрипты, эффекты, звуки и шаблоны проектов.

- UI-система. Создание интерфейсов с визуальной настройкой элементов.

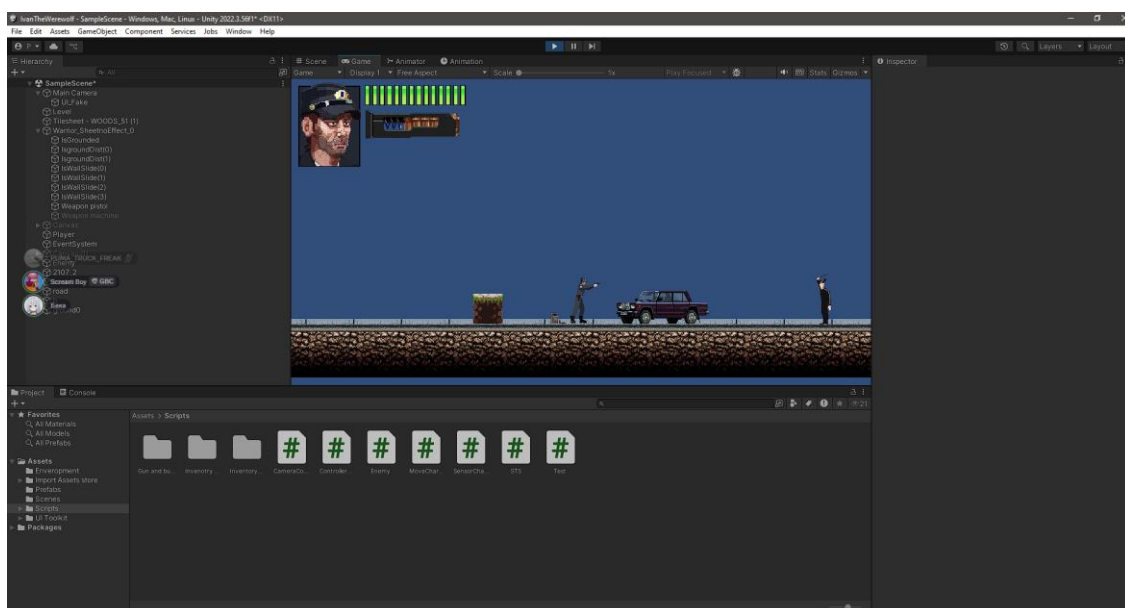


Рис. 85. демонстрационная версия игры на движке Unity.

Библиографический список

1. Ферроне, Х. Изучаем С# через разработку игр на Unity: 5-е изд. / Х. Ферроне; пер. с англ. — Москва: ДМК Пресс, 2020. — 420 с. 2
2. Васильев, А. Н. Программирование на С# для начинающих. Основные сведения / А. Н. Васильев. — Москва: Наука и техника, 2023. — 352 с. 11
3. Мюллер, Д. П. С# 7.0 для чайников / Д. П. Мюллер, Б. Семпф, Ч. Сфер; пер. с англ. — Москва: Диалектика, 2018. — 864 с. 24
4. Прайс, М. Дж. С# 10 и .NET 6. Современная кроссплатформенная разработка: 6-е изд. / М. Дж. Прайс; пер. с англ. — Санкт-Петербург: Питер, 2023. — 830 с. 32
5. Ларкович, С. Н. Создание игр с Unity и С#: полное руководство / С. Н. Ларкович, П. В. Евдокимов. — Москва: Эксмо, 2023. — 448 с. 62
6. Захарова, Н. В. Основы классической анимации персонажей в графическом редакторе Krita // Компьютерная графика и дизайн. — 2022. — № 4. — С. 45-52.

© Пименов Д.С., Бактыбаев А.Ф., Латыпов Э.Р., 2025

УДК 004.9

Н.Д. ОВЧИННИКОВА

h2018i@yandex.ru

Науч. руковод. – канд. физ.-мат. наук, доцент Л.И. ШЕХТМАН

Уфимский университет науки и технологий

АНАЛИЗ ИНТЕРАКТИВНЫХ ИНТЕРНЕТ-РЕСУРСОВ ДЛЯ ИЗУЧЕНИЯ ТЕОРИИ ИГР

Аннотация: в статье представлен сравнительный анализ интерактивных интернет-ресурсов, которые можно применить при изучении теории игр в вузе. Каждый ресурс оценен по ряду критериев. Результаты анализа могут помочь в выборе подходящего ресурса и сделать процесс обучения более наглядным и увлекательным.

Ключевые слова: теория игр, интернет-ресурсы, геймификация обучения.

Введение

Геймификация обучения, в том числе использование обучающих игр, становится все более популярной [1]. Современные образовательные технологии позволяют изучать даже сложные математические дисциплины с опорой на визуальные и интерактивные средства. Теория игр, традиционно воспринимаемая как абстрактная область, особенно выигрывает от использования цифровых инструментов, которые делают стратегическое мышление наглядным и экспериментальным. Через интерактивные симуляции студент может не просто изучать формулы, а наблюдать, как решения участников влияют на результат, и тем самым глубже понять суть стратегического взаимодействия.

Почему одни стратегии побеждают, а другие терпят неудачу? Теория игр дает ответ на этот вопрос, но ее изучение в классическом виде часто ограничивается статичными примерами и аналитическими вычислениями. Появление онлайн-платформ, сочетающих визуализацию, моделирование и возможность самостоятельного ввода данных, открывает новые подходы к преподаванию этого раздела.

Основное содержание исследования, представленного в данной статье, – сбор информации о доступных интернет-ресурсах по изучению теории игр и их анализ с точки зрения возможности для использования в вузе. Для анализа были отобраны пять интернет-ресурсов, применяющих различные форматы подачи учебного материала. Каждый из них оценивался по следующим критериям: возможность ввода собственных задач, визуальный стиль, полнота охвата вузовского курса, интерактивность, наглядность и удобство пользовательского интерфейса. Интернет-ресурсы выступают в роли

альтернатив при решении задачи выбора обучающего ресурса для применения в образовательном процессе в вузе.

Альтернативы

«Эволюция доверия» [2] – это визуально-интерактивная симуляция, объясняющая закономерности доверия и стратегий в повторяющихся играх. Пользователь наблюдает взаимодействие различных типов игроков (копирующих, обманывающих, прощающих и др.) и видит, как доверие возникает и разрушается. Графическая подача и простота интерфейса делают материал доступным даже без предварительной подготовки.

Ресурс не позволяет вводить собственные задачи, но благодаря динамической визуализации он остается одним из лучших инструментов для интуитивного понимания принципов сотрудничества и равновесия. Пример игры с обманщиком показан на рис. 1.

Если сыграть достаточно мало раундов (здесь: 5 или меньше), Обманщики доминируют.

В 1985 году опросы американцев показали, что в среднем у них по три близких друга. В 2004-м году это число упало до *нуля*. У нас теперь меньше друзей с другими взглядами, социальным положением и политическими убеждениями, потому что у нас меньше друзей *в целом*. И, как ты только что сам выяснил, **чем меньше "повторных взаимодействий", тем больше будет распространяться недоверие.**

(Нет, СМИ не считаются: это должно быть *двухстороннее* взаимодействие между конкретными людьми.)

и да, дальше только хуже... →

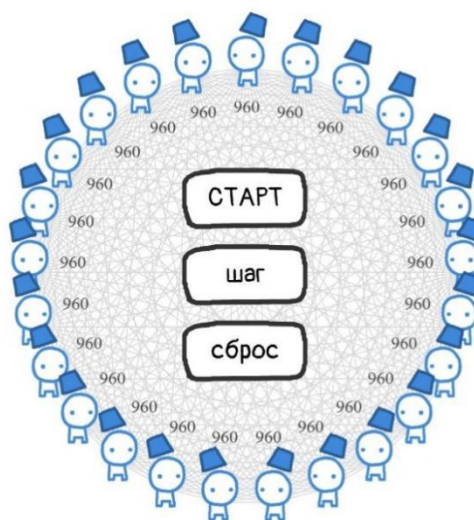


Рис. 1. Вариант множества раундов игры «Обманщика» против других игроков

«Онлайн калькулятор игр» [3] – это калькулятор для решения матричных игр. Пользователь вручную задает матрицу выплат и получает решение, включая оптимальные стратегии и значение игры. Это делает сайт практическим инструментом для освоения базовых понятий теории игр.

Интерфейс минималистичен, но простота работы компенсирует отсутствие графики. Ресурс идеально подходит для лабораторных заданий и упражнений.

На рис. 2 **Ошибка! Источник ссылки не найден.** представлен ввод матрицы 3×3 с возможностью выбора дополнительных параметров.

«Решение игр через линейное программирование» [4] – это модуль, который расширяет возможности предыдущего ресурса. Студент может видеть взаимосвязь между математической моделью и стратегическим выбором игроков.

Ресурс связывает теорию игр с методами оптимизации.

На рис. 3 показан ввод матрицы 2×2 для сведения ее к задаче линейного программирования.

Python-библиотека Nashpy [5] может применяться для изучения игр двух игроков. С ее помощью можно моделировать матрицы стратегий, находить равновесие Нэша и строить графики. Ресурс ориентирован на студентов, знакомых с программированием, и полезен для исследовательской работы.

The screenshot shows a web interface with four tabs: "Шаг №1", "Шаг №2" (selected), "Инструкция", and "Оформление Word". Under the "Шаг №2" tab, there is a section titled "Матрица" containing a 3x3 grid of input fields with the following values:

| | | |
|---|---|---|
| 1 | 2 | 3 |
| 0 | 2 | 4 |
| 3 | 1 | 0 |

Below the matrix is a dropdown menu for "Метод решения" set to "Минимум (аналитический)". A descriptive text reads: "Минимум - позволит аналитически найти нижнюю и верхнюю цену, седловую точку (т.е. решить игру в чистых стратегиях).". There are three checkboxes: "Удалять доминирующие столбцы и строки" (checked), "Использовать теорему фон Неймана" (unchecked), and "Создавать шаблон решения в Excel" (unchecked). At the bottom are buttons "Далее" and "Действия".

Рис. 32. Ввод данных матрицы и метода ее решения

The screenshot shows the same web interface with the "Шаг №2" tab selected. The "Матрица" section now contains a 2x2 grid of input fields with the following values:

| | |
|----|----|
| 2 | -1 |
| -3 | 4 |

The "Метод решения" dropdown is now set to "Линейное программирование (симплекс метод)". A descriptive text reads: "Использовать прямой симплекс-метод. При прямом симплекс-методе первой решается задача на $\max(Z(Y))$. Здесь используется симплекс-метод для решения в смешанных стратегиях (сначала ищется седловая точка, если она отсутствует, то удаляются доминируемые строки и столбцы, а затем осуществляется поиск оптимальной стратегии - матричная игра сводится к задаче линейного программирования).". There are three checkboxes: "Использовать теорему фон Неймана" (unchecked), "Создавать шаблон решения в Excel" (unchecked), and "Использовать прямой симплекс-метод" (checked). At the bottom are buttons "Далее" and "Действия".

Рис. 3. Ввод значений матрицы, для ее решения симплекс-методом

Несмотря на отсутствие визуального интерфейса, Nashpy может использоваться в образовательном процессе, т.к. является мощным аналитическим инструментом, объединяющим теорию и практику вычислений.

На рис. 4 показан ввод матрицы 3×3 с помощью Python-библиотеки Nashpy.

Курс от Stepik «Теория игр» [6] – интерактивный курс с видеолекциями, тестами и визуальными заданиями. Материал структурирован от базовых

примеров до продвинутых моделей, а встроенные упражнения позволяют закрепить знания.

Курс идеально подходит для системного обучения и самопроверки, объединяя теоретический и практический подходы.

```
>>> import nashpy as nash
>>> import numpy as np
>>> A = np.array([[0, -1, 1], [1, 0, -1], [-1, 1, 0]])
>>> rps = nash.Game(A)
>>> rps
Zero sum game with payoff matrices:

Row player:
[[ 0 -1  1]
 [ 1  0 -1]
 [-1  1  0]]

Column player:
[[ 0  1 -1]
 [-1  0  1]
 [ 1 -1  0]]
```

Рис. 4. Пример кода на Python в библиотеке Nashpy

На рис. 5 показан пример решения игры «Вхождение фирмы на рынок» из раздела «Динамические игры с совершенной информацией».



Рис. 5. Пример из видеолекций по динамическим играм с совершенной информацией

Оценивание по критериям

Были изучены все альтернативы. Прделаны эксперименты с каждым ресурсом. Каждая альтернатива была оценена по каждому из критериев. При этом использовалась 5-балльная шкала. Результаты оценивания представлены в табл. 1.

Заключение

Подобранные интернет-ресурсы обеспечивают интерактивность, возможность выполнения экспериментов, а также быстрой обратной связи – студент может принимать активное участие в образовательном процессе, проделывать упражнения и видеть результат.

Ресурс «Эволюция доверия» можно рекомендовать в начале обучения теории игр, чтобы заинтересовать студентов и продемонстрировать возможность содержательной интерпретации, «Онлайн калькулятор игр» и «Онлайн модуль: решение игр через линейное программирование» обеспечивают практическое закрепление теоретических понятий, Nashpy обеспечивает широкие возможности для анализа и собственных экспериментов, а курс от Stepik «Теория игр» объединяет обучение и интерактивную проверку знаний.

Таблица 1

Оценки интерактивных ресурсов по шести критериям

| Критерии | Эволюция доверия | Онлайн калькулятор игр | Онлайн модуль | Nashpy | Stepik «Теория игр» |
|------------------------|------------------|------------------------|---------------|--------|---------------------|
| Ввод собственных задач | 1 | 5 | 5 | 5 | 2 |
| Визуальный стиль | 5 | 3 | 3 | 2 | 4 |
| Полнота охвата | 3 | 4 | 5 | 5 | 5 |
| Интерактивность | 5 | 3 | 3 | 3 | 5 |
| Наглядность | 5 | 4 | 4 | 3 | 4 |
| Интерфейс | 5 | 3 | 3 | 2 | 5 |

Рассмотренные инструменты способны стать хорошим дополнением к традиционному образовательному процессу и могут способствовать формированию у студентов целостного понимания теории игр.

Библиографический список

1. Шехтман Л. И., Силин К. К. Обучающие игры: возможности и сферы применения. В сборнике: Мавлютовские чтения. Материалы XVIII Всероссийской молодежной научной конференции. Уфа, 2024. Т5, С. 953–959.
2. Эволюция доверия: интерактивная симуляция, объясняющая закономерности доверия и стратегий в повторяющихся играх. URL: <https://notdotteam.github.io/trust/> (дата обращения: 09.11.2025).

3. Онлайн калькулятор игр: калькулятор для решения матричных игр. URL: math.semestr.ru/games/stat.php (дата обращения: 09.11.2025).
4. Онлайн модуль: решение игр через линейное программирование. URL: <https://math.semestr.ru/games/index.php> (дата обращения: 09.11.2025).
5. Nashpy: Python-библиотека Nashpy для анализа двух игроков. URL: <https://nashpy.readthedocs.io/en/stable/> (дата обращения: 09.11.2025).
6. Курс от Stepik «Теория игр»: интерактивный курс с видеолекциями, тестами и визуальными заданиями. URL: <https://stepik.org/course/94026/> (дата обращения: 09.11.2025).

© Овчинникова Н.Д., 2025

УДК 004.42

И.Ф. САЛИМГАРЕЕВ

ilnaz.salimgareev2017@yandex.ru

Науч. руковод. – канд. физ.-мат. наук, доц. Л.И. ШЕХТМАН

Уфимский университет науки и технологий

РАЗРАБОТКА КОМПЬЮТЕРНОЙ ИГРЫ «CARRACER» НА БАЗЕ ИГРОВОГО ДВИЖКА UNITY

Аннотация: в статье рассматривается процесс разработки компьютерной игры «CarRacer» в жанре аркадной гонки на выживание. Особое внимание уделено проектированию игровых механик и реализации системы разрушения платформы. Приведены основные этапы создания игры в Unity и решения технических задач.

Ключевые слова: компьютерная игра, геймдизайн, игровые механики, Unity, разработка игр, аркадные гонки.

Введение

Компьютерные игры уже широко внедряются в образовательный процесс. Это могут быть обучающие компьютерные игры, которые помогают получать новые знания и приобретать необходимые навыки (например, [1]) или проекты, выполняемые студентами в виде игр. Разработка собственной компьютерной игры позволяет студентам усовершенствовать свои знания и навыки в области информационных технологий, а также применить их на практике. Не случайно многие студенты выбирают именно такое применение для своих сил в рамках проектной деятельности или самостоятельной работы (например, [2]).

«CarRacer» – это игра в жанре гонок на выживание, где игрок будет осуществлять управление машиной, уворачиваясь от падающих блоков на платформе под ним. Концепция игры возникла на стыке нескольких популярных направлений: хаотичной веселости Fall Guys, динамики гоночной серии Asphalt и напряженного выживания в ограниченном пространстве.

Актуальность разработки обусловлена растущим интересом к гибридным игровым жанрам, сочетающим простоту освоения с глубиной игрового процесса. «CarRacer» предлагает уникальный игровой опыт, где традиционное управление автомобилем дополняется механизмами избегания и стратегического планирования пути на разрушающемся игровом поле.

Описание сюжета и механик игры

Действие игры разворачивается на загадочной абстрактной арене, парящей над лесом. Это не классический гоночный трек, а скорее испытательный полигон, состоящий из множества плавающих плиток, которые образуют хрупкую и непостоянную трассу.

Игрок оказывается за рулём мощного автомобиля, единственной цели на этой платформе. Ему не противостоят конкретные противники-пилоты, главный антагонист здесь – сама среда. Через несколько секунд после наезда на сегмент пути, плитка под колесами начинает трястись, предупреждая о скором разрушении, а затем обрушивается в бездну. С каждой минутой хаос нарастает: блоки начинают падать всё быстрее.

История «CarRacer» – это история выживания и мастерства, где нет заранее написанного финала. Сюжет рождается непосредственно в процессе игры: это напряженная битва против времени и сил гравитации, где каждый заезд – это уникальная история о том, как долго игрок сможет продержаться, и сколько монет он успеет собрать перед неминуемым падением. Цель – не пересечь финишную черту, а побить свой собственный рекорд и стать лучшим в этом безумном испытании на прочность.

Создание игры в Unity

Unity представляет собой многофункциональный игровой движок, ставший отраслевым стандартом для разработки интерактивных приложений. Его архитектура основана на компонентно-ориентированном подходе, где каждый объект сцены представляет собой контейнер для набора компонентов, определяющих его поведение и свойства. Трансформ задает пространственное положение, рендерер отвечает за визуализацию, а коллайдеры и формируют физическую модель взаимодействия.

Особенностью движка является интегрированная среда разработки, объединяющая редактор сцен, систему управления ресурсами и визуальные инструменты настройки. Инспектор позволяет модифицировать параметры объектов, иерархия обеспечивает контроль над структурой сцены, а панель проекта систематизирует игровые ресурсы. Для программирования игровой логики используется язык C# с поддержкой современных парадигм, включая объектно-ориентированное программирование.

Разработка началась с создания нового 3D-проекта в Unity. Первым этапом стала организация папок Assets, Scenes и Scripts для структурирования ресурсов. Была создана начальная сцена MainMenu, содержащая основной пользовательский интерфейс [3].

Для реализации главного меню в иерархии сцен был добавлен объект Canvas, служащий контейнером для всех UI-элементов. К нему был подключен обязательный компонент EventSystem, обеспечивающий корректную работу кнопок. Интерфейс главного меню, показанного на рис.1, включает четыре основные кнопки: «Старт», «Настройки», «Магазин» и «Выход».

Для управления логикой меню был создан пустой GameObject с именем MenuManager, к которому присоединен специально разработанный скрипт на C#. В этом скрипте реализованы методы обработки нажатий кнопок, включая переход между сценами, открытие магазина и выход из приложения. Для проверки работоспособности всех элементов использовался Debug.Log(), выводящий в консоль информацию о действиях игрока.

Основная игровая сцена была создана с тщательным проектированием платформы – ключевого элемента геймплея. Платформа состоит из множества отдельных блоков-кубов, выстроенных в определенной последовательности. Каждый блок был настроен с учетом физических свойств: добавлены компоненты `VoxCollider` для определения столкновений и `Rigidbody` для реализации физического поведения [4].



Рис.1. Начальная сцена с меню

Для создания визуально привлекательной поверхности был разработан специальный материал с текстурой асфальта, примененный ко всем блокам платформы. Это обеспечило не только эстетическую привлекательность, но и хорошую визуальную читаемость игрового пространства, показанную на рис. 2.

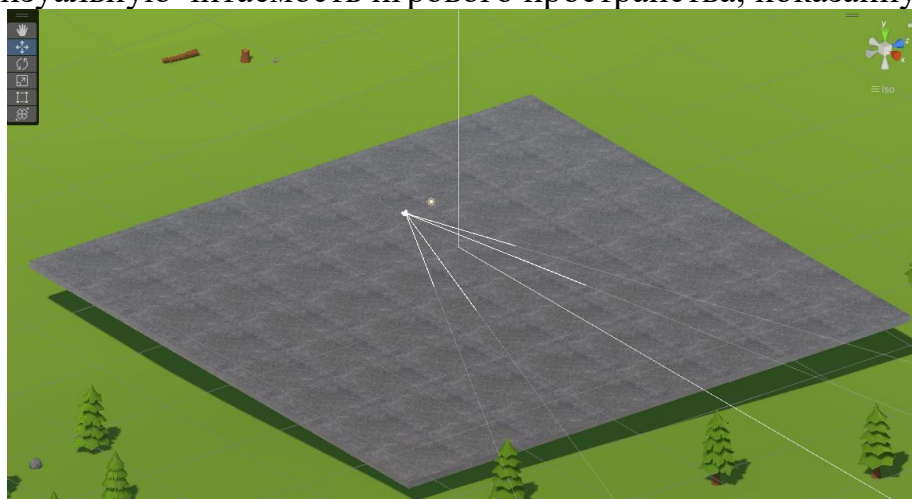


Рис. 2. Игровая платформа с текстурой асфальта

Окружающая среда была дополнена декоративными элементами, загруженными из Asset Store: деревьями, камнями и другими объектами, создающими атмосферу гоночного трека. По периметру платформы были установлены четыре стены с материалом "Sky", формирующие замкнутое игровое пространство и создающие иллюзию нахождения на открытой арене.

Центральным элементом игрового процесса является автомобиль, изображенный на рис.3, модель которого была импортирована из Asset Store. На автомобиль были добавлены необходимые компоненты: `VoxCollider` с

отключенным свойством Is Kinematic и включенной гравитацией (Use Gravity), что обеспечило реалистичное физическое поведение транспортного средства. Управление реализовано через стандартные клавиши WASD для движения и пробел для торможения. Скрипт управления автомобилем включает обработку ввода с клавиатуры, применение сил к Rigidbody и ограничение максимальной скорости для балансировки геймплея.

Механика разрушения платформы реализована через систему триггерных зон. Под каждым блоком создан невидимый объект TriggerZone с компонентом BoxCollider, настроенным как триггер. При наезде автомобиля на блок активируется отсчет времени, после которого блок начинает разрушаться и падать. Для восстановления платформы реализована система респауна блоков: после падения определенного количества элементов они постепенно возвращаются на свои места.

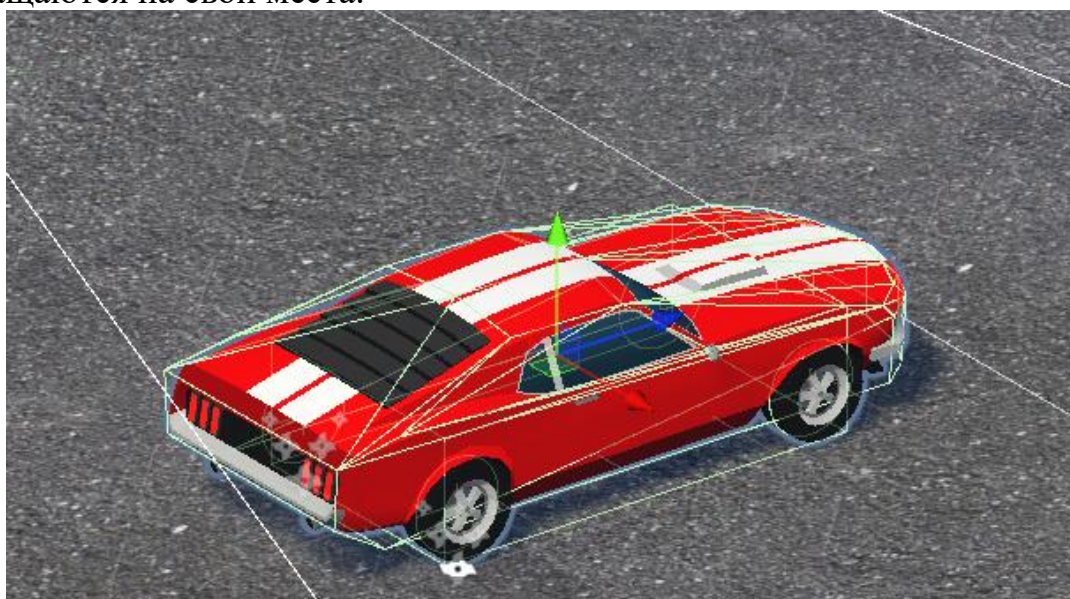


Рис. 3. Модель машины

Система начисления очков реализована через скрипт CoinSystem, прикрепленный к объекту GameManager. Игрок получает монеты за каждую секунду нахождения на платформе. Для отображения текущего счета создан UI-элемент TextMeshPro в Canvas, настроенный на режим отображения Screen Space-Overlay.

Камера следует за автомобилем от третьего лица, что обеспечивает оптимальный обзор игрового пространства. Скрипт камеры плавно отслеживает положение автомобиля, сохраняя при этом необходимую дистанцию и угол обзора.

Экран завершения игры, изображенный на рис.4, реализован как Panel в Canvas, содержащий информацию о набранных очках и кнопки «Рестарт» и «В меню». Панель изначально скрыта и активируется при обнаружении падения автомобиля за пределы игровой зоны. Оба варианта завершения игры - падение с платформы или разрушение автомобиля – обрабатываются через проверку координат по оси Y и столкновений с разрушающимися объектами.

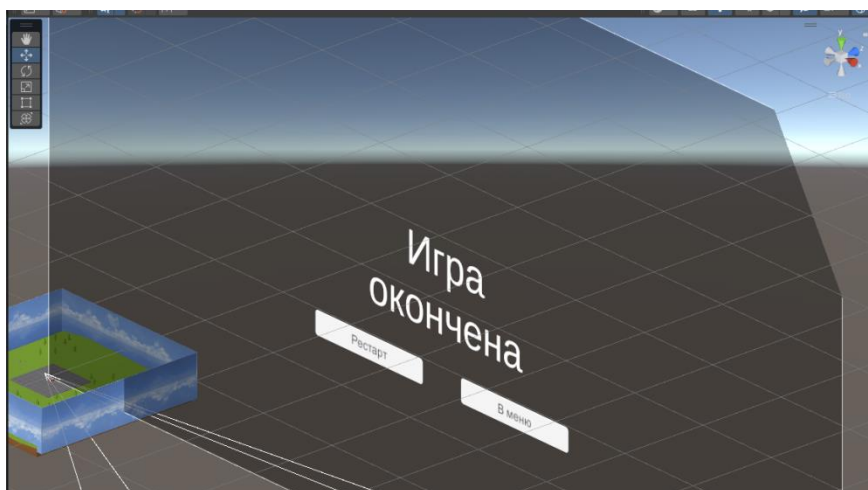


Рис. 4. Экран завершения игры

В процессе разработки уделялось внимание оптимизации производительности. Это включало правильную настройку физических компонентов, эффективное использование материалов и текстур, а также оптимизацию скриптов. Все игровые механики были протестированы на соответствие заявленным требованиям и плавность работы на оборудовании, удовлетворяющем минимальным системным требованиям.

Реализованная архитектура проекта позволяет легко расширять функциональность игры – добавлять новые уровни, модифицировать параметры сложности и вводить дополнительные игровые режимы.

Библиографический список

1. Шехтман Л. И., Силин К. К. Обучающие игры: возможности и сферы применения. В сборнике: Мавлютовские чтения. Материалы XVIII Всероссийской молодежной научной конференции. Уфа, 2024. Т5, С. 953–959.
2. Кузьмина Е. А., Пименов Д.С., Бактыбаев А.Ф., Латыпов Э.Р. Разработка компьютерной игры «MUSHROOM MADNESS». В сборнике: Мавлютовские чтения. Материалы XVIII Всероссийской молодежной научной конференции. Уфа, 2024. Т5, С. 907–911.
3. Unity Technologies. Официальная документация Unity. URL: <https://docs.unity.com/en-us> (дата обращения 7.11.2025).
4. Разработка 3D-игр в Unity : руководство / Э. Дэвис, Т. Батист, Р. Крейг, Р. Станкел ; перевод с английского П. М. Бомбаковой. — Москва : ДМК Пресс, 2023. — 298 с. — ISBN 978-5-93700-254-9. — Текст : электронный // Лань : электронно-библиотечная система. — URL: <https://e.lanbook.com/book/456614> (дата обращения: 07.11.2025). — Режим доступа: для авториз. пользователей.

© Салимгареев И.Ф., 2025

УДК 004.9

А.Э. САХИПОВ

Pur998@yandex.ru

Науч. рук. – канд. техн. наук, доц. Р.Р. КАРИМОВ

Уфимский университет науки и технологий

РАЗРАБОТКА ИГРЫ «СИМУЛЯТОР ОГОРОДНИКА» В ЖАНРЕ TOWER DEFENSE НА ПЛАТФОРМЕ UNITY

Введение

Современная индустрия видеоигр активно развивается в направлении гибридных жанров, объединяющих механики из различных игровых направлений. Одним из перспективных сочетаний является симбиоз расслабляющего симулятора фермерства и динамичного Tower Defense, что позволяет создать глубокий и увлекательный игровой опыт. Процесс разработки мобильной и PC-игры включает в себя комплекс этапов — от концепт-арта и проектирования геймплея до программирования и тестирования.

В рамках данного проекта была выполнена работа по созданию игры «Симулятор Огородника» с применением нескольких программных решений: Unity – для реализации игровой логики и механик, Adobe Photoshop – для создания визуальных активов, и Visual Studio – для программирования на языке C#.

Постановка задачи

«Симулятор Огородника» представляет собой гибридный игровой проект, сочетающий элементы симулятора фермера и классического Tower Defense. Основной задачей является разработка игры, в которой игрок днём занимается выращиванием растений, а ночью защищает урожай от вредителей. Предполагается, что игра будет выпущена на платформах PC (Steam, itch.io) и мобильных устройствах (Android) с возрастным рейтингом 10+.

Этап 1. Проектирование геймплейного цикла в Unity

Основная часть работы над игрой проводилась в среде разработки Unity, которая выступала в роли ключевого инструмента для реализации игровой логики и механик.

Разработка начиналась с проектирования базового цикла «день-ночь». Были созданы и настроены основные системы:

- Система посадки семян на заранее подготовленные грядки;
- Механика полива и удобрения, влияющая на скорость роста и урожайность;

– Экономическая модель: продажа урожая, получение монет, взаимодействие с магазином;

В процессе проектирования использовались стандартные компоненты Unity – GameObject, Transform, Collider, а также система Scriptable Objects для хранения данных о растениях и врагах. Особое внимание уделялось оптимальной архитектуре кода: создавались модульные скрипты для каждой игровой системы, что обеспечило лёгкость дальнейшей поддержки и расширения функционала.

Для реализации искусственного интеллекта врагов использовалась система состояний и компонент NavMeshAgent для навигации. Это позволило создать разнообразное поведение для разных типов вредителей – Гусениц, ворон и бандитов.

Этап 2. Создание визуальных активов и анимаций

Параллельно с программированием велась работа над визуальной составляющей игры. Художником команды в программе Adobe Photoshop был разработан единый мультяшный стиль, соответствующий заданной эстетике Plants vs. Zombies.

Создание визуальных элементов включало:

- Разработку спрайтов растений с несколькими стадиями роста
- Создание анимаций атаки для оборонительных видов растений
- Отрисовку персонажей-вредителей с уникальным визуальным стилем
- Подготовку элементов интерфейса и фоновых изображений



Рис. 1. Концепт персонажа

Все созданные ассеты были импортированы в Unity, где производилась их дальнейшая обработка: настройка pivot points, генерация sprite atlas для оптимизации, создание animation controllers.

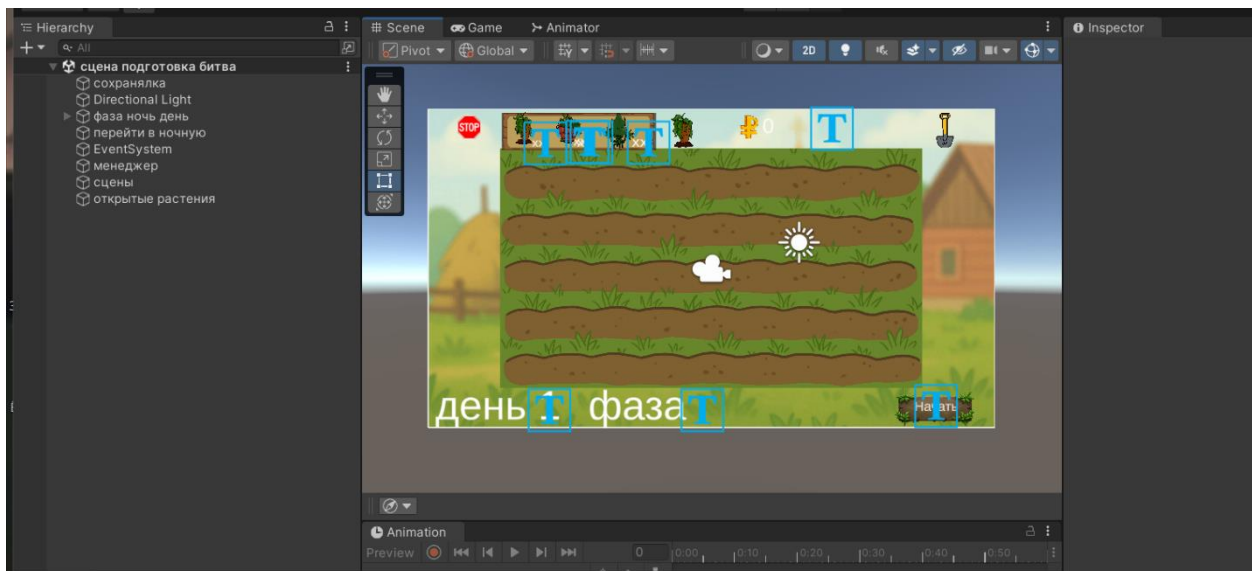


Рис. 2. Процесс разработки

Отдельное внимание уделялось согласованности цветовой палитры, чтобы игра вызывала позитивные эмоции и соответствовала заявленному «светлому настроению с элементами юмора».

Этап 3. Программирование игровой логики на C#

Следующим этапом стала реализация основной игровой логики на языке программирования C#. Были разработаны ключевые системы:

1. Система управления ресурсами – отслеживание количества монет, семян;
2. Система прогрессии – учёт достижений игрока, открытие новых растений;
3. Система волн врагов – генерация и управление ночными атаками вредителей;
4. Система сохранений – запись прогресса игрока между сессиями.

Особое внимание уделялось балансу игровых параметров. Для этого была создана система настройки баланса через ScriptableObject, позволяющая быстро изменять характеристики растений и врагов без перекомпиляции кода.

Этап 4. Интеграция и тестирование

После завершения всех предыдущих шагов игра была собрана в единый проект и протестирована на целевых платформах.

На этом этапе осуществлялась:

- Интеграция всех систем и проверка их совместной работы.
- Балансировка игрового процесса для обеспечения оптимальной сложности.
- Тестирование на различных устройствах для проверки производительности.
- Настройка системы монетизации (реклама и внутриигровые покупки).



Рис. 3. Итоговой внешний вид

Полученная игра сочетает в себе увлекательный геймплей и оптимизированную производительность, что делает её готовой к публикации на целевых платформах.

Заключение



Рис. 4. Игровой процесс

В ходе работы был создан полноценный прототип гибридной игры «Симулятор Огородника» с применением комплексного подхода, включающего проектирование геймплея, создание визуального контента и программирование. Использование сочетания программ Unity, Adobe Photoshop и Visual Studio позволило достичь высокого уровня игрового опыта при сохранении кроссплатформенности.

Такой рабочий процесс является эффективным решением для современной инди-разработки и может применяться при создании мобильных и PC-игр. Проект продемонстрировал важность грамотного сочетания игровых механик, визуального стиля и технической реализации. Результатом является увлекательная и технически сбалансированная игра, готовая к использованию на различных цифровых платформах.

Библиографический список

1. Unity Technologies. Unity Manual. Версия 6.3 15 / Unity Technologies. — 2025. — URL: <https://docs.unity3d.com/Manual/index.html> (дата обращения: 05.11.2025).
2. Thorn, A. Learn Unity for 2D Game Development 20 / Alan Thorn. — Berkeley : Apress, 2013. — 342 с. — ISBN 978-1-4302-5837-1.
3. Rouse III, R. Game Design Theory and Practice 32 / Richard Rouse III. — 2nd ed. — Plano : Wordware Publishing, 2005. — 624 p. — ISBN 1-55622-912-7.
4. Fan, G. Plants vs. Zombies: A Post-Mortem Analysis // Gamasutra 49 / George Fan. — 2010. — URL: https://www.gamasutra.com/view/feature/132360/plants_vs_zombies_a_postmortem_.php (дата обращения: 05.11.2025).
5. Microsoft Corporation. C# Guide — .NET managed language 51 / Microsoft Corporation. — 2025. — URL: <https://docs.microsoft.com/ru-ru/dotnet/csharp/> (дата обращения: 05.11.2025).

© Сахипов А.Э., 2025

УДК 00.00.000

Т.А. ФАРВАЗОВ

tagir.varvazov13@yandex.ru

Р.Р. АЮПОВ

aurov.ruz@mail.ru

Науч. руковод. – канд. техн. наук, доцент Г.Ф. НИЗАМОВА

Уфимский университет науки и технологий

ВОЗМОЖНОСТИ ДВИЖКА PHYSX ДЛЯ СИМУЛЯЦИИ ФИЗИКИ В КОМПЬЮТЕРНЫХ ИГРАХ

Аннотация: в статье рассматриваются возможности движка PhysX для симуляции физики. Приведены примеры практических применений движка для моделирования физической сцен.

Ключевые слова: PhysX, физика, симуляция, разрушения, моделирование, визуализации, движок, PyPhysX, PPU, GPU.

В начале 2000-х годов индустрия видеоигр столкнулась с ограничениями, которые сегодня кажутся архаичными. Разрушения были заранее подготовленными скриптами, объекты были словно приклеены к поверхностям, а взаимодействия с окружающей средой выглядели неестественно и не реалистично. На этом фоне появление движка PhysX стало одним из самых крупных технологических прорывов своего времени. Он впервые сделал возможной реалистичную физику в реальном времени. Первая игра, которая использовала Physx, CellFactor: Revolution вышла в 2007, где игрок мог разбрасывать предметы, рушить постройки и управлять гравитацией — всё это выполнялось аппаратно при помощи PhysX, без нагрузки на центральный процессор (0).



Рис. 1. CellFactor: Revolution

История PhysX начинается с основания в 2002 году американской компании Ageia Technologies. Тогда физика в играх была крайне упрощённой: тела скользили по плоскостям, а разрушения были заранее подготовленные анимации. Ageia создала новое решение — вынести расчёты физики на отдельное устройство, на Physics Processing Unit (PPU), аналог видеокарты, но предназначенной для симуляции физических процессов. Первое PPU от Ageia PhysX вставлялась в слот PCI, вышла она в 2005 году, однако уже тогда было очевидно: цена и необходимость отдельного оборудования делали PhysX продуктом не для всех. Но сама идея аппаратного ускорения физики вскоре изменила всю индустрию. В 2008 году Ageia была приобретена NVIDIA. Они решили объединить PhysX со своей архитектурой CUDA и перенесли вычисления с PPU на видеокарты. Это означало, что теперь каждый пользователь видеокарт NVIDIA мог использовать аппаратное ускорение физики без дополнительного оборудования.

Таким образом *PhysX*. PhysX оказался одним из первых подобных движков, способных симулировать реальные физические процессы в играх. Среди особенностей, которые произвели впечатление на индустрию: динамические разрушения — объекты могут ломаться в различных местах в реальном времени; мягкие тела и ткани — реалистичные движения различных тканей и волос, которые реагировали на внешние воздействия; частицы и жидкости — имитация текучих материалов, способных взаимодействовать между собой. Эти эффекты позволяли создавать не просто красивую, а живую картинку, где физика становилась частью повествования и мира игры. Например, в *Batman: Arkham Asylum* (2009) — бумажки, клубы пыли и дым делали атмосферу тюремных коридоров более живой (0).



Рис. 2. *Batman: Arkham Asylum*

Первый пример моделирования физической сцены с использованием PhysX. Рассмотрим пример моделирования физической сцены с использованием визуализации без открытия отдельного окна (offscreen-рендер).

В начале создаётся сцена с неподвижной плоскостью, играющую роль пола. Для неё задаются параметры материала — коэффициент трения и коэффициент упругости, определяющие, насколько сильно объект будет отскакивать при столкновении.

Код:

```
scene = Scene()
scene.add_actor(RigidStatic.create_plane(material=Material(static_friction=0.1,
dynamic_friction=0.1, restitution=0.5)))
```

Далее добавляется динамический объект — куб. Он имеет материал с максимальной упругостью, что делает столкновения полностью упругими. Куб располагается над ранее добавленной плоскостью и начинает падать под действием гравитации.

Код:

```
actor = RigidDynamic()
actor.attach_shape(Shape.create_box([0.2] * 3, Material(restitution=1.)))
actor.set_global_pose([0.5, 0.5, 1.0])
actor.set_mass(1.)
scene.add_actor(actor)
```

Поскольку offscreen-рендер по умолчанию не содержит источников света, добавляется точечный источник освещения с небольшой интенсивностью. Также задаётся фоновое освещение сцены.

Код:

```
render = PyPhysxOffscreenRenderer()
render.render_scene.ambient_light = [0.1] * 3
render.render_scene.add_node(Node(light=PointLight(color=[0.2, 0.2, 1.0],
intensity=3.0), matrix=np.eye(4)))
render.add_physx_scene(scene)
```

Симуляция выполняется с частотой 60 Гц, но визуализация происходит с частотой 10 кадров в секунду. Каждый кадр сцены записывается в виде массива изображений, содержащего как RGB (левая сцена), так и глубинную карту (depth), которая показывает расстояние от камеры до объектов (правая сцена).

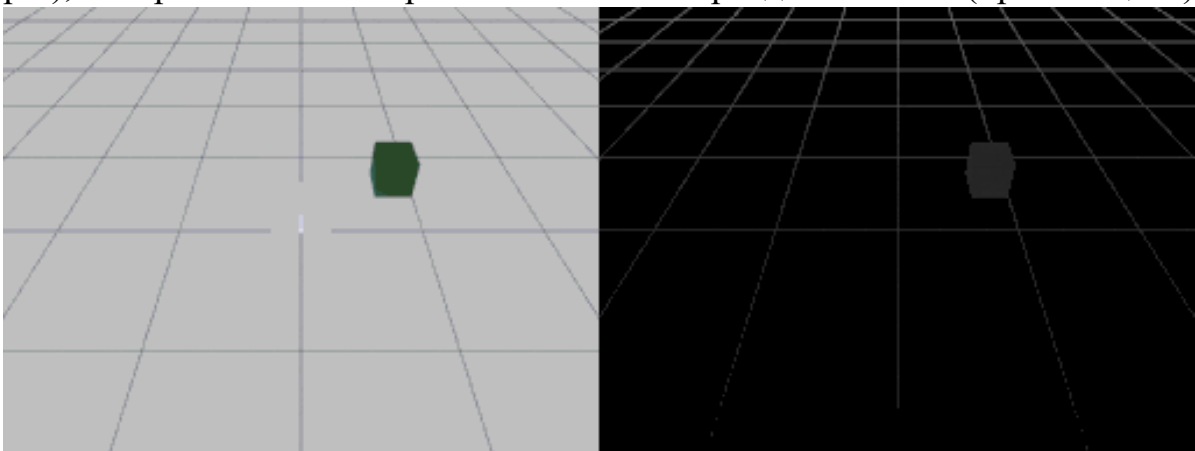


Рис. 3. Пример 1

На итоговой анимации видно, как куб падает на поверхность и отскакивает благодаря высокой упругости материала. Динамика движения и отражений демонстрирует корректную работу физического движка PhysX и возможность гибкой настройки визуализации без необходимости открывать интерактивное окно.

Второй пример моделирования физической сцены с использованием PhysX.

В сцене создаётся статическая плоскость, играющая роль поверхности, на которую воздействуют объекты. Объект имеет заданный коэффициент трения, определяющий, насколько сильно кубы будут скользить или останавливаться после падения.

Код:

```
scene = Scene()
scene.add_actor(RigidStatic.create_plane(material=Material(static_friction=0.2)))
```

Далее в сцену добавляются несколько одинаковых кубов, каждый разного цвета и имеющий разный коэффициент трения. Они располагаются друг над другом, чтобы при запуске симуляции падать под действием гравитации и сталкиваться. Эта симуляция демонстрирует реализацию столкновений, трения и передачи импульса.

Код:

```
for I in range(7):
    actor = RigidDynamic()
    shape = Shape.create_box([0.1] * 3, Material(static_friction=0.05,
dynamic_friction=0.05))
    shape.set_user_data({'color': gl_color_from_matplotlib(None, alpha=0.75,
return_rgba=True).astype(np.float) / 255})
    actor.attach_shape(shape)
    actor.set_global_pose([0.3, 0.0, 0.05 + 0.1 * i])
    actor.set_mass(1.)
    scene.add_actor(actor)
```

Рядом с кубами помещается модель манипулятора. Сначала определяются начальные углы сочленений, а затем робот выполняет движения.

Код:

```
robot = URDFRobot("franka_panda/panda.urdf", kinematic=True,
use_random_collision_colors=True)
robot.attach_root_node_to_pose((0, 0, 0))
q = dict()
for I, value in enumerate([-np.pi / 2, -np.pi / 4, 0, -3 * np.pi / 4, 0, np.pi / 2, np.pi /
4]):
    q['panda_joint{}'.format(I + 1)] = value
robot.reset_pose(q)
scene.add_aggregate(robot.get_aggregate())
```

Для визуализации используется модуль PyPhysXViewer, который позволяет наблюдать процесс в реальном времени. Можно увидеть, как кубики падают и

сталкиваются, демонстрируя реалистичную физику. Такой пример помогает наглядно понять, как работает PhysX при моделировании.

Код:

```
render = PyPhysxViewer(video_filename='videos/05b_panda_cubes.gif',
viewer_flags={'show_world_axis': False})
render.scene.bg_color = np.array([0.3] * 3)
render._trackball.scroll(6)
render.add_physx_scene(scene)
```



Рис. 4. Пример 2

В симуляциях, подобных сценам с падающими кубами и промышленным манипулятором, PhysX способен воспроизводить реальные физические процессы. Он позволяет просчитывать столкновения, трение, импульсы и движения с высокой точностью, что делает возможным моделировать различные физические процессы. Даже во втором примере с offscreen-рендерингом, где куб упруго отскакивает от поверхности, можно увидеть, что движок воспроизводит физику взаимодействия тел — от силы удара до отражений света. Эти на первый взгляд простые сцены демонстрируют то, что PhysX является все еще актуальным инструментом.

Библиографический список

1. Статья посвященная PhysX. URL: <https://ru.ruwiki.ru/wiki/PhysX>
2. Гайд по PhysX. URL: <https://docs.nvidia.com/gameworks/content/gameworkslibrary/physx/guide/Manual/Index.html>

3. PhysX для Python. URL: <https://forums.developer.nvidia.com/t/physx-demo-python-files/174140>
4. Возможности усовершенствования элементарных компьютерных игр путем внедрения элементов искусственного интеллекта / Р. Ф. Аминев, Т. Р. Каримова, Е. А. Юнусова, Г. Ф. Низамова // Мавлютовские чтения: Материалы XVIII Всероссийской молодёжной научной конференции. В 9-ти томах, Уфа, 25–29 ноября 2024 года. – Уфа: Уфимский университет науки и технологий, 2024. – С. 963-968.

© Фарвазов Т.А., Аюпов Р.Р., 2025

УДК 004.94

К.Р. ХУСНУТДИНОВ

Kekerange53@gmail.com

Науч. руковод. – канд. техн. наук, доц. Р.Р. КАРИМОВ

Уфимский университет науки и технологий

СРАВНИТЕЛЬНЫЙ АНАЛИЗ СИСТЕМ ВИЗУАЛЬНОГО ПРОГРАММИРОВАНИЯ VARWIN И UNITY VISUAL SCRIPTING ДЛЯ СОЗДАНИЯ ИНТЕРАКТИВНЫХ ПРИЛОЖЕНИЙ

Аннотация: в статье проводится сравнительный анализ двух систем визуального программирования в игровых движках: Varwin и Unity Visual Scripting. Цель исследования – выявить сильные и слабые стороны каждой платформы для определения наиболее эффективной области их применения в разработке интерактивных приложений, виртуальной реальности (VR) и игр.

Ключевые слова: визуальное программирование, Varwin, Unity Visual Scripting, VR-разработка, низкий порог входа, интерактивные приложения.

В современном мире стремительно растет спрос на интерактивный контент: видеоигры, обучающие симуляторы, приложения виртуальной и дополненной реальности. При этом наблюдается дефицит квалифицированных программистов. Визуальное программирование (Visual Scripting) становится ключевым трендом, позволяя сократить время разработки и сделать процесс создания логики игры доступным для дизайнеров, геймдизайнеров и специалистов без глубоких знаний языков программирования.

Несмотря на общую цель – упростить разработку – разные платформы визуального программирования имеют фундаментальные различия в философии, возможностях и целевой аудитории. Это создает сложность при выборе оптимального инструмента для конкретного проекта.

Целью данной статьи является провести комплексное сравнение систем визуального программирования Varwin и Unity Visual Scripting.

Varwin позиционирует себя как платформа для быстрого прототипирования и создания VR-приложений без написания кода. Основная целевая аудитория – бизнес-заказчики, преподаватели, дизайнеры и новички в геймдеве.

Работа строится на компоновке готовых логических блоков (объекты, события, действия) в древовидные структуры (Рис. 86). Интерфейс интуитивно понятен и минималистичен.

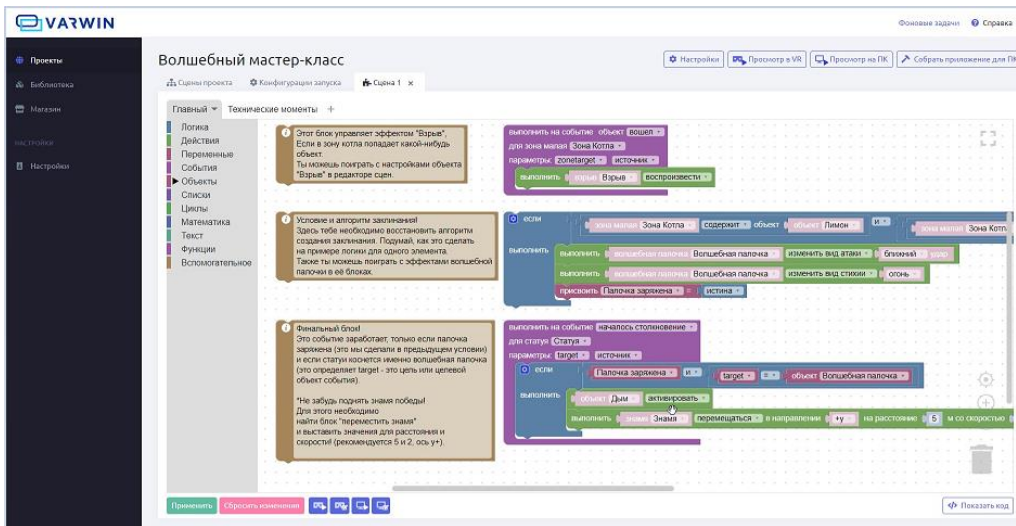


Рис. 86. Примеры работы блоков

Система основана на собственном движке. Присутствует библиотека готовых 3D-моделей и компонентов. Помимо глубокой интеграции с VR-оборудованием, также присутствует возможность совместной работы над проектами. В качестве сильных сторон можно выделить:

Unity Visual Scripting – это инструмент внутри мощного игрового движка Unity. Целевая аудитория – геймдизайнеры, художники, программисты, которые хотят быстро создавать прототипы или расширять логику игры без постоянного привлечения код-разработчиков.

Используется нодовая (графовая) система (Рис. 87. Script Graph). Логика строится путем соединения узлов (нодов) в графы. Интерфейс более сложный, но и гораздо более мощный, поддерживает создание собственных нодов и скриптов на C#.

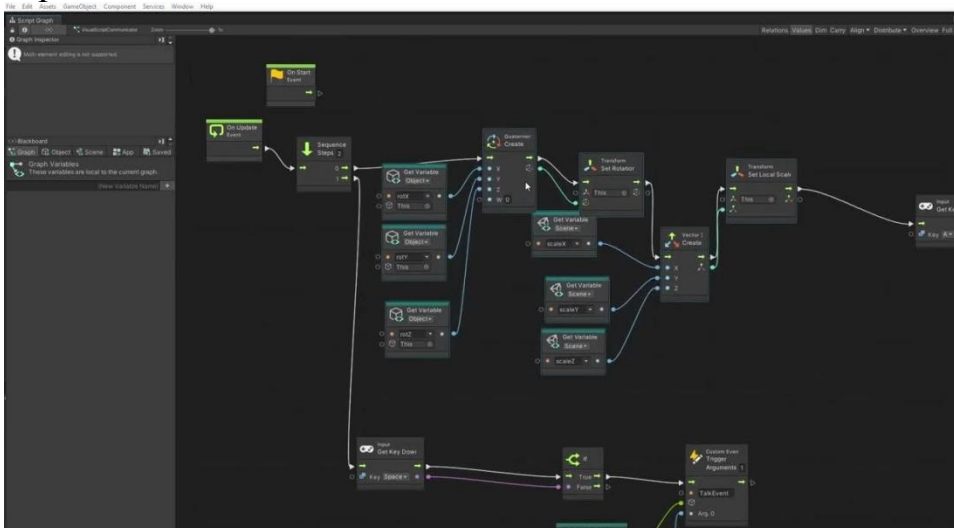


Рис. 87. Script Graph

В качестве ключевых возможностей можно выделить прямую интеграцию с API движка Unity. Так же полный доступ ко всем функциям Unity (физика, анимация, UI и т.д.), возможность расширения функционала путем написания

пользовательских нодов на C# и поддержка как простых State Machines, так и сложных графов логики.

Произведем сравнительный анализ по ключевым критериям (Таблица 33).

Таблица 33

Сравнительный анализ

| Критерий | Varwin | Unity Visual Scripting |
|---------------------|---|---|
| Целевая аудитория | Новички, бизнес-пользователи, дизайнеры | Геймдизайнеры, художники, программисты |
| Порог входа | Очень низкий | Средний (требует понимания логики) |
| Гибкость и мощность | Ограничена готовыми блоками | Очень высокая, почти как у C# |
| Интеграция с VR | Глубокая, "из коробки" | Требует настройки через XR Interaction Toolkit |
| Производительность | Оптимизирована под свои задачи, но с потолком | Высокая, зависит от оптимизации разработчика |
| Стоимость | Подписка/SaaS модель | Бесплатен с большинством версий Unity |
| Экосистема | Закрытая | Открытая, огромное сообщество и ассеты |
| Лучшее применение | Быстрые бизнес-презентации, обучающие VR-сценарии, прототипы для нетехнических специалистов | Прототипирование игр, создание геймплейной логики, инструментарий для дизайнеров внутри больших проектов на Unity |

Проведенный анализ показал, что хотя Varwin и Unity Visual Scripting могут использоваться для визуального прототипирования компьютерных симуляторов и игр, все же являются инструментами для разных задач и аудиторий.

Varwin – это специализированное решение «все-в-одном» для максимально быстрого создания VR-контента без программирования. Это идеальный выбор для корпоративного обучения, презентаций и быстрого прототипирования, где важна скорость, а не глубина кастомизации.

Преимуществом Varwin является то, что этот продукт входит в реестр российского ПО и созданные с его помощью компьютерные симуляторы и игры, также могут быть внесены в реестр российского ПО. Однако к недостатку можно отнести существенно ограниченную функциональность бесплатной версии Varwin Starter.

Unity Visual Scripting – это мощный инструмент, интегрированный в профессиональный движок. Он не заменяет программирование, а является его визуальным расширением. Это лучший выбор для команд, уже работающих с Unity, где необходимо гибко и быстро итерировать над игровым процессом.

Unity Visual Scripting как инструмент быстрого прототипирования компьютерной игры скачивается с Unity Asset Store и интегрируется практически в любой вариант Unity – от Unity Personal до Unity PRO. К недостатку инструмента Unity Visual Scripting можно отнести сложность регистрации созданных в нем продуктов в реестре российского ПО, а также необходимость понимания концепции процесса разработки и системы классов Unity.

Выбор между Varwin и Unity Visual Scripting должен основываться на ответах на ключевые вопросы: «Какова цель проекта?», «Какой у команды технический бэкграунд?» и «Требуется ли в будущем глубокая доработка и масштабирование проекта?».

Библиографический список

1. Галиев Б.В., Харунов Р.Р. Геймификация образовательного процесса на движке Varwin с применением VR-технологий // Мавлютовские чтения, Материалы XVIII Всероссийской молодёжной научной конференции — Уфа, 2024. – С. 912–918.
2. Джонатан Линовес. Виртуальная реальность в Unity / Линовес Джонатан; пер. с англ. Рагимов Р. Н. – Москва: ДМК Пресс, 2016. – 316 с.
3. Документация VarWin. — URL: <https://docs.varwin.com/>(дата обращения 01.11.2025).
4. Документация Unity Visual Scripting — URL: <https://docs.unity3d.com/6000.4/Documentation/Manual/com.unity.visualscripting.html> (дата обращения 02.11.2025).

© Хуснутдинов К.Р., 2025

Т.И. ШАЙНУРОВ, И.Ф. САЛИМГАРЕЕВ
tagirshainurov@mail.ru, ilnaz.salimgareev2017@yandex.ru
Науч. руковод. – канд. техн. наук, доц. Г.Ф. НИЗАМОВА

Уфимский университет науки и технологий

«REDSHAROSCHKA»: СОЗДАНИЕ 2D-ПЛАТФОРМЕРА С НУЛЯ ПРИ ПОМОЩИ НЕЙРОСЕТЕЙ

Аннотация: в статье рассматривается инновационный подход к созданию прототипа компьютерной игры с полным циклом использования искусственного интеллекта. Особое внимание уделено практическому применению трех специализированных нейросетей: для генерации концепта и визуального стиля, создания игровых ассетов и написания функционального кода.

Ключевые слова: разработка игр, искусственный интеллект, нейросети, геймдизайн, генеративный AI, прототипирование, Unity.

Введение

Современная индустрия разработки компьютерных игр постоянно ищет пути для ускорения и демократизации процессов создания контента. На смену традиционным методам, требующим крупных команд и значительных временных затрат, приходят технологии искусственного интеллекта, способные в корне изменить подход к геймдизайну, генерации артов и даже программированию. Данная статья посвящена практическому исследованию возможностей нейросетей в рамках полного цикла создания игрового прототипа – от первоначальной идеи до ее цифрового воплощения.

В качестве предмета исследования представлен процесс разработки мобильного 2D-платформера под названием «Red Sharochka». Игра представляет собой динамичный раннер, вдохновленный такими классическими образцами жанра, как Subway Surfers и Mario, но с уникальной сказочной стилизацией. Игрок управляет Красной Шапочкой, которая не просто бежит по лесной тропинке, а пытается уйти от погони волка. Ключевой механикой становится преодоление постоянно генерируемых препятствий – прыжки через поваленные деревья, уклонение от камней и корней – что создает напряженный и увлекательный геймплей.

Генерируем идею игры и её визуальный стиль с помощью Qwen

Разработка компьютерной игры начинается с формирования целостного визуального представления игрового пространства, которое определяет не только эстетику, но и основные геймплейные паттерны. Для платформера «Red Sharochka» проектирование уровня становилось особенно важной задачей,

поскольку от структуры локации напрямую зависели динамика гонки, сложность траектории движения и общее впечатление от игрового процесса. Современные инструменты генеративного искусственного интеллекта открывают новые возможности для этого этапа пре-продакшена, позволяя быстро визуализировать и протестировать различные концепции окружения. В нашем проекте для решения этой задачи была применена мультимодальная нейросеть Qwen3-Max, способная не только понимать сложные текстовые описания, но и генерировать на их основе качественные изображения, сохраняя смысловую целостность и выполняя технические требования.

Основной сложностью при работе с нейросетями остается формулировка запроса, который должен одновременно передавать художественное видение и содержать конкретные технические параметры будущей сцены. Для создания концепции лесной трассы был составлен детализированный промпт, включающий несколько ключевых аспектов. Во-первых, необходимо было четко задать перспективу – side-view для классического 2D-платформера, с явным указанием референсов в стиле Mario. Во-вторых, важно было описать композиционные элементы: извилистая лесная тропа с выраженным разделением на платформы разной высоты, наличие характерных препятствий в виде корней деревьев и поваленных стволов, создание глубины через многослойный фон с изображением темного леса. Отдельное внимание уделялось стилистике – яркая, мультяшная графика, адаптированная для мобильных устройств, с насыщенной, но гармоничной цветовой палитрой. Критически важным стало прямое исключение из сцены персонажей и врагов, чтобы сфокусироваться исключительно на архитектуре уровня и атмосфере окружения [1].

Полученный от нейросети визуальный результат, показанный на рис.1, представляет собой не просто красивую иллюстрацию, а функциональный концепт-арт, выполняющий роль технического задания для следующих этапов разработки. Анализ сгенерированного изображения позволяет выделить несколько ключевых зон уровня: стартовую площадку с широкой тропой, участок с серией платформ разной высоты, требующих точных прыжков, зону с постоянными препятствиями в виде корней и стволов, создающую ритмичный геймплейный паттерн. Четкое разделение на передний план с игровыми элементами, средний план с основной трассой и задний план с глухим лесом создает необходимую глубину сцены и открывает возможности для реализации параллакс-прокрутки – важного элемента динамичных платформеров.

Сравнивая традиционный подход к созданию концепт-артов, требующий привлечения художника и многодневных согласований, с методом генерации в Qwen, можно отметить значительное ускорение начальной стадии пре-продакшена. Нейросеть не только предоставила качественный визуальный результат за несколько минут, но и позволила быстро протестировать несколько альтернативных вариантов оформления локации, просто модифицируя исходный промпт. Это демонстрирует высокий потенциал подобных инструментов для инди-разработчиков и небольших студий,

позволяя быстро и с минимальными затратами прототипировать визуальные решения и закладывать прочный фундамент для дальнейшей работы над игрой.

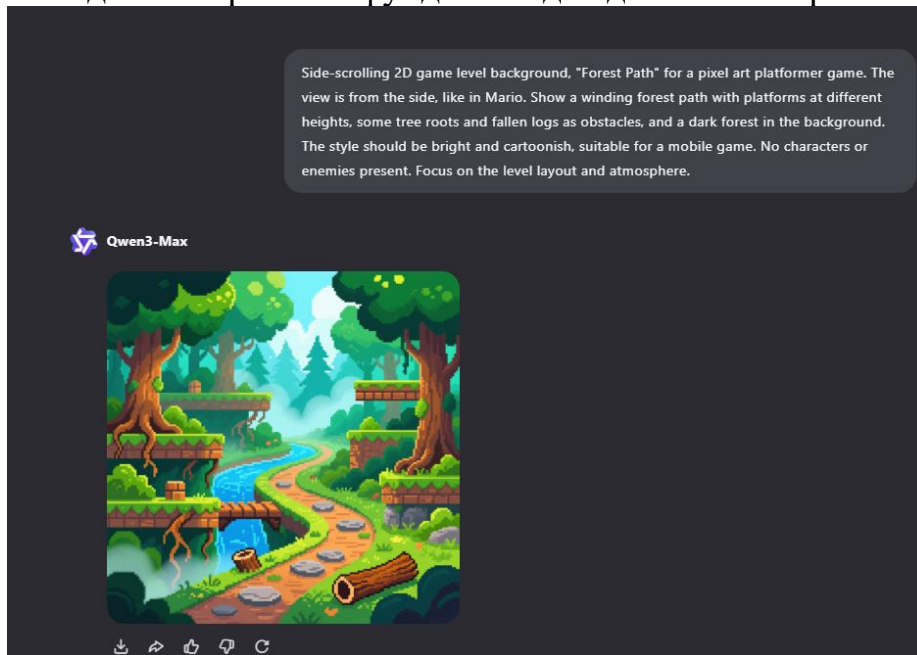


Рис. 1. Концепт фона уровня

Создаем спрайты и объекты в Ludo.ai

Представим, что мы создаем 2D-платформер в стиле классической Mario, где наша героиня Красная Шапочка, показанная на рис.2, стремительно бежит по лесной тропинке, уворачиваясь от корней деревьев и перепрыгивая через поваленные стволы, а за ней по пятам неотступно следует голодный волк. Именно для таких проектов Ludo.ai становится незаменимым помощником, позволяя быстро визуализировать все элементы игры.

Начнем с прототипирования главной героини – с помощью детального промпта вроде «pixel art, Little Red Riding Hood character, running animation cycle, side view, red hood, holding basket, 32x48 pixels, bright colors» мы можем получить несколько вариантов спрайтов Красной Шапочки, показанный на рис.3, причем сразу в разных фазах бега. Далее переходим к антагонисту – волку, создавая его через запрос «pixel art, big bad wolf character, running animation, snarling teeth, grey fur, menacing pose, side view, 40x50 pixels», чтобы он выглядел достаточно опасным и динамичным. Что касается препятствий, то здесь Ludo.ai действительно раскрывает свой потенциал: мы можем единообразно сгенерировать целую серию лесных помех – извилистые корни деревьев («pixel art, tree root obstacle, forest floor, brown, tripping hazard»), скользкие камни («pixel art, mossy rock obstacle, green and grey»), и даже внезапные ямы в земле, прикрытые листьями.

Для создания атмосферы леса мы используем запросы на генерацию фоновых элементов – «pixel art, tall pine trees, background element, parallax layers» и «pixel art, forest path platform, grassy terrain with dirt» – что позволяет быстро собрать целостный и стилистически единый уровень. Главное преимущество Ludo.ai в этом сценарии – возможность итеративного уточнения: если первый вариант

волка получился недостаточно свирепым, мы просто добавляем в промпт «more aggressive, red eyes» и получаем новую порцию вариантов.

Таким образом, за несколько часов можно создать полный набор спрайтов для прототипа игры, над которым в одиночку пришлось бы работать неделями. Конечно, финальные ассеты потребуют доработки в пиксель-арт редакторе для полировки анимации и устранения артефактов генерации, но базовую визуальную основу для тестирования геймплея Ludo.ai позволяет получить буквально за один вечер.



Рис. 2. Модель персонажа

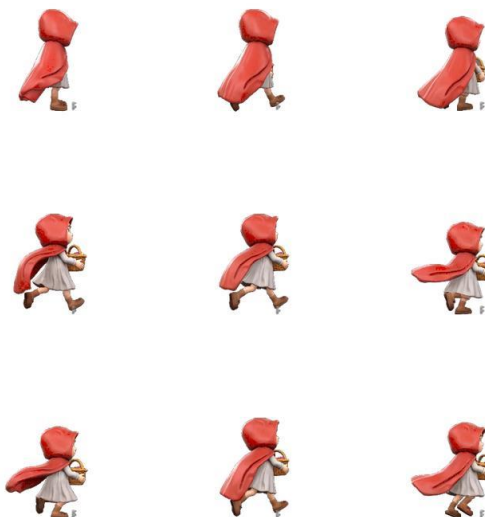


Рис. 3. Спрайт движения персонажа

Пишем скрипты (игровой код) с помощью DeepSeek

Когда концепция игры с Красной Шапочкой, убегающей от волка через лесные препятствия, уже проработана, наступает время воплощения механик в код – и

здесь DeepSeek становится настоящим спасением для разработчика. Возьмем ключевую механику – движение персонажа. Вместо того чтобы вручную прописывать сложную физику платформера, можно просто обратиться к ассистенту: «Напиши на C# для Unity скрипт управления персонажем для 2D-платформера. Персонаж должен бежать автоматически вперед, игрок может прыгать по нажатию пробела, а при касании врага игра заканчивается». Полученный скрипт, представлен на рис.4.

DeepSeek не только сгенерирует готовый скрипт с использованием RigidBody2D и проверкой коллизий, но и предусмотрит базовые состояния персонажа – бег, прыжок, смерть. Особенно ценна помощь в создании системы препятствий – например, при запросе «Создай скрипт для препятствия-корня дерева, при столкновении с которым персонаж спотыкается и замедляется на 2 секунды» ИИ предложит логику с триггерным коллайдером, корутиной замедления и визуальной обратной связью. Что касается самого волка-преследователя, то его ИИ-реализация может быть нетривиальной — но с помощью уточняющих вопросов вроде «Как сделать чтобы враг постоянно двигался за игроком с постепенным увеличением скорости?» можно получить работающее решение с плавным преследованием через `Vector2.MoveTowards` и динамическим изменением скорости, создающим эффект нарастающей угрозы.

Генерация случайных лесных уровней – еще одна задача, где DeepSeek блестяще справляется с предложением алгоритмов расстановки препятствий по заранее созданным тайлам, учитывая баланс между сложностью и проходимостью. Когда в процессе тестирования неизбежно возникают баги – например, персонаж иногда проваливается сквозь платформы после прыжка – можно просто скопировать ошибку из консоли и попросить «Объясни почему возникает эта ошибка `NullReferenceException` в методе `OnCollisionEnter2D` и как ее исправить», получив не только готовое решение, но и подробное объяснение причины проблемы. Конечно, сгенерированный код потребует адаптации под конкретный проект – например, интеграции с вашей системой анимаций или менеджером игры, но DeepSeek берет на себя до 80% рутинной работы, позволяя сосредоточиться на тонкой настройке геймплея и полировке игрового опыта. Для инди-разработчика или маленькой студии это ускоряет процесс в разы, превращая сложные программистские задачи в последовательность простых диалогов с умным помощником.

```
Write a short 15-line C# script for Unity 2D platformer movement. Use Rigidbody2D.
Move with A/D, jump with W. Simple ground check. No comments.

using UnityEngine;

public class PlayerMovement : MonoBehaviour
{
    public float moveSpeed = 5f;
    public float jumpForce = 10f;
    public Rigidbody2D rb;
    public Transform groundCheck;
    public LayerMask groundLayer;

    void Update()
    {
        float move = Input.GetAxis("Horizontal");
        rb.velocity = new Vector2(move * moveSpeed, rb.velocity.y);

        if (Input.GetKey(KeyCode.W) && IsGrounded())
        {
            rb.velocity = new Vector2(rb.velocity.x, jumpForce);
        }
    }

    bool IsGrounded()
    {
        return Physics2D.OverlapCircle(groundCheck.position, 0.2f, groundLayer);
    }
}
```

Рис. 4. Скрипт для движения персонажа

Библиографический список

1. Unity Technologies. Официальная документация Unity. URL: <https://docs.unity.com/en-us> (дата обращения 7.11.2025).
2. Возможности усовершенствования элементарных компьютерных игр путем внедрения элементов искусственного интеллекта / Р. Ф. Аминова, Т. Р. Каримова, Е. А. Юнусова, Г. Ф. Низамова // Мавлютовские чтения: Материалы XVIII Всероссийской молодежной научной конференции. В 9-ти томах, Уфа, 25–29 ноября 2024 года. – Уфа: Уфимский университет науки и технологий, 2024. – С. 963-968.
3. AlexeyRybakov. Пять ИИ-сервисов, которые пригодятся в разработке игр. Режим доступа: <https://habr.com/ru/articles/881416/?ysclid=mhqcdhb4xl77118927>.
4. Платформа <https://creatai.ru/ru>

© Шайнуров Т.И., Салимгареев И.Ф., 2025

УДК 004.42

Т.И. ШАЙНУРОВ

tagirshainurov@mail.ru

Науч. руковод. – канд. физ.-мат. наук, доц. Л.И. ШЕХТМАН

Уфимский университет науки и технологий

РАЗРАБОТКА ДРИФТ-ИГРЫ «JUNGLEDRIFT» НА БАЗЕ ИГРОВОГО ДВИЖКА UNITY

Аннотация: в статье рассматривается процесс разработки аркадной гоночной игры «JungleDrift» в жанре дрифта на игровом движке Unity. Основное внимание уделено реализации ключевых игровых механик: аркадной физики управляемого заноса, системы начисления очков и цепляющую и правдоподобную игровую среду.

Ключевые слова: Unity, разработка игр, аркадные гонки, дрифт, игровая физика, C#, геймдизайн, игровые механики.

Введение

Внедрение компьютерных игр в образовательный процесс – применение обучающих игр (например, [1]) или выполнение студентами упражнений по моделированию и программированию в виде компьютерной игры (например, [2]) – повышает мотивацию и вовлеченность обучаемых, способствует углублению и закреплению знаний.

Разработка компьютерных игр представляет собой сложный междисциплинарный процесс, сочетающий элементы программирования, дизайна и психологии. В современных условиях особую актуальность приобретают проекты, направленные на создание качественных игровых продуктов с проработанной механикой и визуальной составляющей. Одним из перспективных направлений в этой области являются аркадные гоночные симуляторы, которые остаются популярными среди широкой аудитории благодаря своей динамичности и доступности.

JungleDrift – это аркадная гоночная игра, разработанная на движке Unity. Проект реализован в жанре дрифт-симулятора, игровой процесс которой построен на преодолении трассы, расположенной в условиях тропического острова, с набором максимального количества очков за выполнение дрифтов в течение 5-минутной игровой сессии. Ключевой особенностью игры является специализированная система физики, ориентированная на создание эффектного и управляемого заноса транспортного средства.

Актуальность разработки обусловлена несколькими факторами. Во-первых, проект демонстрирует практическое применение современных игровых технологий, включая работу с физическим движком Unity ([3]), реализацию сложных механизмов управления транспортным средством и создание интерактивной окружающей среды. Во-вторых, разработка игры представляет

собой комплексную учебную задачу, охватывающую различные аспекты подготовки IT-специалистов – от программирования и работы с 3D-графикой до основ геймдизайна и проектного управления. В-третьих, реализованное решение служит работающим прототипом, который может быть расширен дополнительным функционалом и адаптирован для публикации на современных платформах.

Сюжет и механика игры

Действие игры разворачивается на затерянном тропическом острове, где игрок должен продемонстрировать мастерство дрифта. Он принимает роль смелого гонщика, который должен продемонстрировать совершенное владение автомобилем в сложных условиях гористого ландшафта с извилистыми трассами, опасными поворотами и живописными пейзажами. История игрока создается непосредственно во время заезда – это хроника его личного мастерства и стремления к совершенству, где каждая успешная серия дрифтов становится новой главой в становлении чемпиона.

Ключевой механизм игры – система дрифта, реализованная на основе физического движка Unity с использованием компонентов WheelCollider и Rigidbody. Угол заноса рассчитывается на основе вектора скорости и ориентации транспортного средства, что обеспечивает реалистичное поведение автомобиля при выполнении маневров. Визуальное сопровождение дрифта включает динамическое отображение следов от шин и генерацию частиц дыма, интенсивность которых зависит от степени пробуксовки колес.

Система начисления очков построена на принципе пропорционального вознаграждения за время нахождения в управляемом заносе. Дополнительные множители активируются при поддержании экстремального угла дрифта. Расчет производится по формуле, учитывающей два ключевых параметра: продолжительность заноса и угол скольжения.

Игровой процесс организован в формате пятиминутных сессий с возможностью мгновенного рестарта, что способствует формированию циклического геймплейного процесса. Динамическая камера от третьего лица обеспечивает оптимальный обзор трассы благодаря автоматической подстройке угла обзора и расстояния до транспортного средства. Интуитивный пользовательский интерфейс включает отображение текущего счета, таймер сессии и статистику выполнения дрифтов в реальном времени.

Разработка игры в Unity

Выбор игрового движка Unity в качестве платформы для разработки проекта «JungleDrift» обусловлен комплексом технических и практических преимуществ [4]. Unity представляет собой многофункциональную среду разработки, ставшую отраслевым стандартом для создания кроссплатформенных интерактивных приложений. Для гоночного аркадного симулятора ключевое значение имела продвинутая физическая подсистема движка, основанная на интегрированном физическом движке PhysX,

обеспечивающем реалистичное поведение транспортного средства через компоненты WheelCollider и Rigidbody.

Архитектура движка, построенная на компонентно-ориентированном подходе, позволила гибко настраивать свойства игровых объектов — от физических параметров автомобиля до визуальных эффектов.

Важным фактором стала развитая экосистема Asset Store, предоставившая доступ к готовым моделям автомобилей и элементов окружающей среды, что значительно ускорило процесс прототипирования. Использование языка C# с поддержкой современных парадигм программирования обеспечило надежную реализацию игровой логики, от обработки ввода до сложных расчетов системы дрифта.

Разработка игры началась с создания базовой сцены, куда были импортированы готовые 3D-модели трека, изображенного на рис.1, и автомобиля. Для обеспечения физического взаимодействия все объекты среды получили Mesh Collider с оптимизированной геометрией. Особое внимание уделили расстановке ключевых элементов: стартовой позиции, границ трека и декоративных объектов, формирующих атмосферу тропического острова.



Рис. 1. 3D-модель дрифт-трека

Визуальное отображение было реализовано с помощью камеры от третьего лица, установленная позади транспортного средства. Данное решение обусловлено необходимостью обеспечения оптимального обзора игрового пространства — игрок получает возможность одновременно контролировать положение своего автомобиля на трассе и оценивать предстоящие участки пути, что особенно критично для выполнения сложных дрифт-маневров.

Для проекта была использована готовая 3D-модель автомобиля, показанная на рис. 2, которая была скачана из официального магазина ассетов Unity Asset Store. Важным преимуществом выбранной модели стала её изначальная подготовка для игрового использования — ассет уже содержал настроенную

иерархию объектов колес с установленными компонентами Wheel Collider, что значительно ускорило процесс интеграции транспортного средства в игровую среду.



Рис. 2. 3D-модель автомобиля

Настройка физических параметров Wheel Collider проводилась дифференцированно для передних и задних колес, учитывая их различную функциональную нагрузку в механике дрифта. Для передних колес были увеличены параметры сцепления с поверхностью и максимальный угол поворота, что обеспечило точное рулевое управление и контроль траектории при входе в поворот. Одновременно для задних колес были настроены уменьшенные значения тормозного усилия и повышенный потенциал пробуксовки, что является ключевым условием для инициации и поддержания контролируемого заноса.

Физическая модель колес была дополнена индивидуальными настройками подвески – повышенная жесткость пружин и уменьшенное демпфирование позволили добиться устойчивого поведения автомобиля при резких маневрах и сменах направления движения. Радиус коллайдеров колес был точно согласован с визуальной моделью, что исключило расхождение между графическим представлением и физической симуляцией.

Комплексная настройка Wheel Collider в сочетании с правильно подобранными параметрами Rigidbody позволила создать отзывчивую и предсказуемую физическую модель, обеспечивающую реализацию основных игровых механик – от точного управления на высоких скоростях до контроля продолжительных дрифтов с возможностью тонкой коррекции траектории.

Для обеспечения оптимальной устойчивости транспортного средства в проекте был создан специальный объект CenterOfMass, позиционированный в передней части автомобиля. Данное техническое решение позволило сместить точку приложения сил тяжести вперед относительно геометрического центра модели, что принципиально важно для аркадной физики с акцентом на дрифт.

Для визуального сопровождения игрового процесса была создана система частиц (Particle System), имитирующая дым от пробуксовки колес. Эффект был настроен отдельно для каждого колеса автомобиля с привязкой к точкам вращения колесных моделей.

Активация системы дыма программно привязана к физическим параметрам Wheel Collider – эффект автоматически запускается при превышении порогового значения пробуксовки и плавно исчезает при восстановлении сцепления с поверхностью. Данная визуализация обеспечивает игрока понятной обратной связью о состоянии управления транспортным средством.

Для визуализации следов дрифта в проекте использован компонент Trail Renderer, присоединенный к каждому заднему колесу транспортного средства. Данное решение позволяет отображать динамические следы шин непосредственно во время выполнения заноса, создавая выразительный визуальный эффект.

Trail Renderer программно активируется только при выполнении условий дрифта – когда детектируется боковое скольжение и оба задних колеса сохраняют контакт с поверхностью трассы. При выходе из заноса или потере сцепления с дорогой эмиссия следов автоматически прекращается.

Для информирования игрока об оставшемся времени, количестве очков дрифта и времени нахождения в дрифте, реализована комплексная система отображения статистики через элементы пользовательского интерфейса на основе TextMeshPro, показанная на рис.3.

Перспективы развития

Реализованная модульная архитектура проекта обеспечивает простоту расширения функциональности игры. В перспективе возможна интеграция новых трасс с уникальным дизайном и типами покрытий, добавление разнообразных моделей автомобилей с различными характеристиками управления, а также внедрение дополнительных игровых режимов и системы модификаторов трассы, таких как ускорители и препятствия. Гибкая система параметров позволяет легко модифицировать сложность игры и баланс игровых механик.

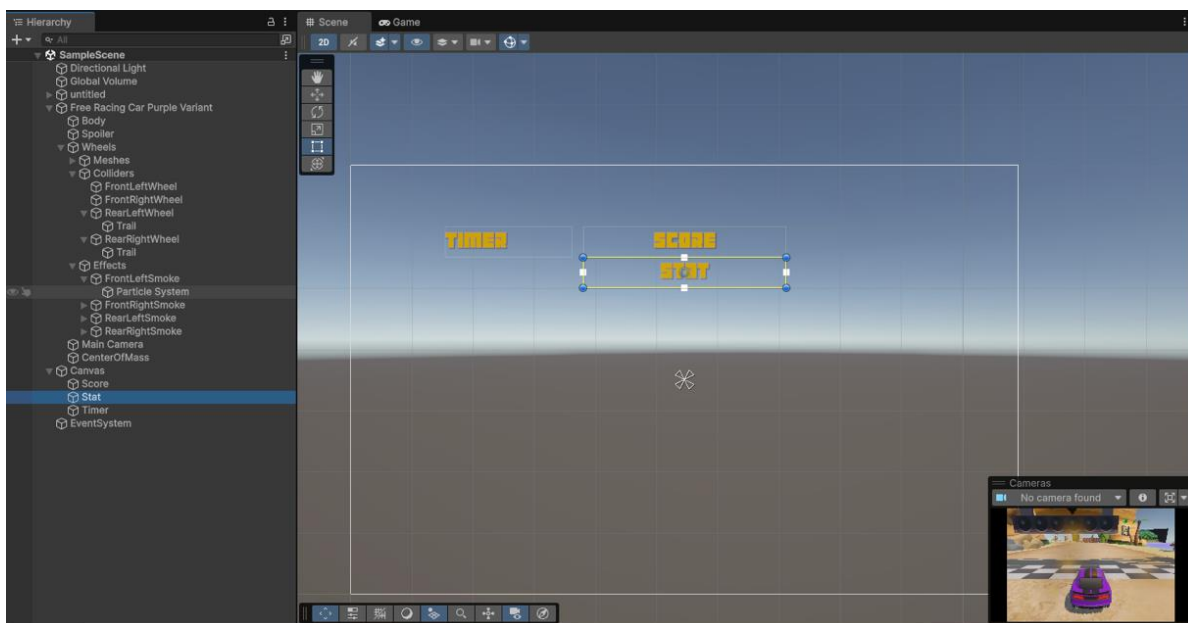


Рис. 3. Отображение статистики дрифта

Заключение

Создание собственной компьютерной игры позволило применить на практике знания из области компьютерного моделирования и программирования; получить опыт игровой разработки, начиная от идеи до получения готовой программы.

Библиографический список

1. Шехтман Л. И., Силин К. К. Обучающие игры: возможности и сферы применения. В сборнике: Мавлютовские чтения. Материалы XVIII Всероссийской молодежной научной конференции. Уфа, 2024. Т5, С. 953–959.
2. Кузьмина Е. А., Пименов Д.С., Бактыбаев А.Ф., Латыпов Э.Р. Разработка компьютерной игры «MUSHROOM MADNESS». В сборнике: Мавлютовские чтения. Материалы XVIII Всероссийской молодежной научной конференции. Уфа, 2024. Т5, С. 907–911.
3. Unity Technologies. Официальная документация Unity. URL: <https://docs.unity.com/en-us> (дата обращения 7.11.2025).
4. Преображенская, Е. В. Создание трёхмерного проекта в Unity: учебно-методическое пособие / Е. В. Преображенская, А. А. Лим. — Москва: РТУ МИРЭА, 2024. — 76 с. — Текст: электронный // Лань: электронно-библиотечная система. — URL: <https://e.lanbook.com/book/432683> (дата обращения: 07.11.2025).

© Шайнуров Т.И., 2025

СЕКЦИЯ 5.12. СОВРЕМЕННЫЕ ИНФОРМАЦИОННЫЕ ТЕХНОЛОГИИ

УДК 00.004.896

А.Г. БАРАНОВ

aida_1@mail.ru

Науч. руковод. – ст. пр. А.Р. Габитова

Уфимский университет науки и технологий

ПРОБЛЕМЫ ОПРЕДЕЛЕНИЯ ИСКУССТВЕННОГО ИНТЕЛЛЕКТА ОБЩЕГО НАЗНАЧЕНИЯ

Аннотация: в статье анализируются проблемы теоретического определения искусственного интеллекта общего назначения. Рассматриваются методологические ограничения существующих систем тестирования и оценивается адекватность текущих подходов к измерению интеллектуальных способностей ИИ-систем.

Ключевые слова: Искусственный интеллект; тестирование; оценка; методология.

Концепция искусственного интеллекта общего назначения (далее – AGI) продолжает оставаться одной из наиболее спорных и методологически сложных тем в области разработки перспективных ИИ-систем. Несмотря на активные исследовательские работы и значительные инвестиции со стороны ведущих технологических компаний, единое понимание сущности AGI и методов его объективной оценки до сих пор не сформировано. Актуальность данной проблемы обусловлена стремительным развитием технологий машинного обучения и необходимостью создания адекватных инструментов для оценки их возможностей.

В последние годы наблюдается парадоксальная ситуация: с одной стороны, достижения в области больших языковых моделей демонстрируют впечатляющие результаты в решении специализированных задач, с другой стороны, отсутствие четких критериев для оценки общего интеллекта искусственных систем затрудняет объективную оценку их реального потенциала. Это создает значительные сложности как для научного сообщества, так и для практиков, занимающихся внедрением ИИ-технологий в различные сферы человеческой деятельности.

Исторически термин AGI был введен в научный оборот в середине XX века и первоначально обозначал автономные компьютерные системы, способные выполнять любую задачу, доступную человеку. Однако с течением времени это определение претерпело значительные изменения, что связано как

с техническими сложностями создания универсальных систем, так и с переосмыслением самого понятия интеллекта.

Современные трактовки AGI демонстрируют значительный разброс мнений:

- некоторые исследователи фокусируются на способности систем выполнять «экономически ценные» задачи;
- другие акцентируют внимание на необходимости достижения человеческого уровня интеллекта;
- третьи говорят о возможности гибкого мышления и автономии в решении неопределенных задач.

Такой плюрализм подходов свидетельствует о глубоких методологических проблемах в данной области.

Как справедливо отмечает Бенджамин Рехт из Калифорнийского университета в Беркли, отсутствие четкого определения AGI создает серьезные сложности для общественности в различении маркетинговой шумихи, научной фантастики и реальных научных достижений. Эта неопределенность приводит к завышенным ожиданиям и последующему разочарованию в возможностях искусственного интеллекта¹³.

По словам А. Москвичева из Advanced Micro Devices, фундаментальная проблема заключается в том, что «мы не знаем, чего хотим», что исключает возможность создания последовательной дорожной карты достижения AGI. Это утверждение подчеркивает необходимость более глубокого философского осмысления понятия интеллекта и его проявлений в искусственных системах.

За последние несколько лет развитие искусственного общего интеллекта, или AGI, становится одним из самых важных и перспективных направлений в области технологий и науки и в нашей стране. Эта гипотетическая форма искусственного интеллекта, которая способна решать любые интеллектуальные задачи на уровне человека или даже лучше, открывает огромные возможности для преобразования разных сфер жизни и экономики.

В России большое внимание уделяется исследованиям и разработкам в этой области. В рамках национальных стратегий, таких как «Национальная стратегия развития искусственного интеллекта» и программ «Цифровая экономика», активно работают научные центры и университеты. Они создают алгоритмы и системы, которые могут учиться, самообучаться и принимать решения в условиях неопределенности – это важный шаг к тому, чтобы приблизиться к созданию AGI. Правительство поддерживает эти инициативы, финансируя исследования, развивая кадры и создавая инфраструктуру для тестирования новых технологий. В то же время, развитие AGI вызывает обсуждения этических, правовых и социальных вопросов, таких как безопасность систем, ответственность за их решения, а также вопросы приватности и защиты данных.

¹³ Рехт Бенджамин. Неудача современного машинного обучения / Б. Рехт // Коммуникации АСМ. – 2023. – Т. 66, № 5. – С. 34-38.

В РФ всё активнее внедряют искусственный интеллект: примерно половина населения уже использует эти технологии, а ещё треть планирует начать их применять в ближайшее время.

Рынок ИИ в нашей стране продолжает расширяться: по прогнозам, к концу 2024 года его объем оценивается примерно в 320 – 433 миллиарда рублей, а к концу 2025-го ожидается его увеличение до 520 миллиардов. Наиболее популярные области применения – это создание и редактирование текстов, обработка данных и генерация изображений и видео.

В целом, Россия активно участвует в мировой гонке за создание и внедрение общего искусственного интеллекта, стремясь не только стать технологическим лидером, но и разработать нормативно-правовые основы, чтобы обеспечить безопасное и этическое использование таких мощных технологий¹⁴.

Для преодоления существующих методологических проблем необходима разработка комплексного подхода к оценке интеллектуальных способностей искусственных систем. Такой подход должен учитывать многообразие проявлений интеллекта и включать оценку различных аспектов когнитивной деятельности.

Перспективным направлением представляется создание модульных систем тестирования, которые позволяли бы оценивать различные компоненты интеллекта:

- способность к абстрактному мышлению;
- адаптивность;
- креативность;
- социальный интеллект и другие аспекты.

Такой подход позволил бы получить более полную и дифференцированную картину возможностей искусственных систем.

Важным аспектом является также разработка стандартов отчетности по результатам тестирования. Введение единых требований к представлению данных позволило бы обеспечить прозрачность и сравнимость результатов, а также способствовало бы более глубокому анализу сильных и слабых сторон различных подходов к созданию ИИ-систем.

Не менее значимым представляется развитие практико-ориентированных методов оценки, которые бы учитывали реальные условия применения искусственных систем. Такие методы должны включать оценку способности работать в условиях неопределенности, адаптироваться к изменяющимся условиям и эффективно решать комплексные задачи в различных предметных областях.

Проведенный анализ показывает, что современное состояние разработки и оценки систем искусственного интеллекта общего назначения характеризуется значительными методологическими проблемами. Отсутствие

¹⁴Искусственный интеллект (рынок России). URL: <https://www.tadviser.ru/index.php>

единого понимания сущности AGI, ограниченность существующих систем тестирования и неадекватность подходов к оценке интеллектуальных способностей создают серьезные препятствия для прогресса в данной области.

Библиографический список

1. Рехт Бенджамин. Неудача современного машинного обучения / Б. Рехт // Коммуникации АСМ. – 2023. – Т. 66, № 5. – С. 34-38.
2. Шолле, Ф. Об измерении интеллекта / Ф. Шолле // arXiv. – 2019. – С. 1-81.
3. Эрнандес-Оралло, Х. Измерение всех разумов: Оценка естественного и искусственного интеллекта / Х. Эрнандес-Оралло. – Кембридж: Издательство Кембриджского университета, 2017. – 362 с.
4. Amirkhanova L.R., Bikmetov E.Y., Zinnurov U.G., Kharisova A.Z. Management of university competitiveness based on image creating research. Banach Journal of Mathematical Analysis. 2017. Т. 11. № 2. С. 40-48.
5. Искусственный интеллект (рынок России). URL: <https://www.tadviser.ru/index.php> (дата обращения 14.11.2025)

© Баранов А.Г., 2025

УДК 004.4

А.Р. ДАВЛЕТОВ

ar.davletov2013@yandex.ru

Науч. руковод. – канд. техн. наук., доц. Ю.И. ВАЛИАХМЕТОВА

Уфимский университет науки и технологий

ОБЗОР СОВРЕМЕННЫХ ИНСТРУМЕНТОВ CI/CD

Аннотация: практики CI/CD автоматизируют ключевые этапы разработки ПО – интеграцию, тестирование и доставку – что позволяет быстрее и надёжнее выпускать новые версии. В статье рассмотрены три популярных инструмента: Jenkins, GitHub Actions и GitLab CI/CD, их преимущества и недостатки.

Ключевые слова: CI/CD, Jenkins, GitHub Actions, GitLab CI/CD, автоматизация сборки, непрерывная интеграция, непрерывное развёртывание

Разработка программного обеспечения в современном мире требует высокой скорости, стабильности и качества. Для достижения этих целей всё чаще используются практики Continuous Integration / Continuous Deployment (далее – CI/CD), которые позволяют автоматизировать сборку, тестирование и развёртывание приложений [1].

CI/CD – это набор практик, направленных на автоматизацию процессов интеграции, тестирования и доставки программного обеспечения:

– Continuous Integration (далее – CI) в переводе с английского означает «непрерывная интеграция». Это практика разработки программного обеспечения (далее – ПО), которая заключается в постоянном слиянии рабочих копий в общую основную ветвь разработки и выполнении частых автоматизированных сборок проекта для скорейшего выявления потенциальных дефектов [2].

– Continuous Deployment (далее – CD) в переводе с английского означает «непрерывное развёртывание». Целью этого этапа является доставка изменённой версии приложения в эксплуатацию [3].

Среди популярных средств CI/CD отмечают Jenkins, GitHub Actions и GitLab CI/CD [4].

Jenkins – это бесплатный инструмент для CI/CD с открытым исходным кодом. С ним можно настроить для работы с различными системами контроля версий, инструментами для сборки и тестирования, а также средами развёртывания [5].

Преимущества Jenkins:

– Гибкость и расширяемость. Большое количество плагинов (более 1800) позволяет настроить Jenkins под любые задачи.

– Открытый исходный код. Jenkins поддерживается огромной базой пользователей и имеет подробную документацию и множество обучающих материалов.

– Большой выбор обучающих материалов и подробной документации благодаря тому, что инструмент доступен с 2011 года.

Главным недостатком Jenkins является сложность установки и поддержки. Требуется самостоятельное развёртывание, настройка и последующее обновление системы, а также управление плагинами, что может усложнить эксплуатацию.

Jenkins выбирают крупные компании, использующие многоязычные сборки в различных средах [6].

GitHub Actions — это мощный и гибкий инструмент для автоматизации рабочих процессов, тесно интегрированный с экосистемой GitHub.

Преимущества GitHub Actions:

– Экосистема. Благодаря маркетплейсу Actions можно легко найти и использовать готовые действия, созданные сообществом, что значительно ускоряет настройку рабочих процессов [7].

– Интеграция в экосистему GitHub. Этот сервис полностью интегрирован в платформу GitHub, что позволяет использовать их с нативной поддержкой функциональных возможностей GitHub [8].

– Гибкость: GitHub Actions позволяет настраивать рабочие процессы с любым необходимым набором шагов, от простого запуска тестов до сложных многоступенчатых развертываний [8].

Недостатки GitHub Actions:

– Зависимость от экосистемы GitHub. Если команда решит сменить платформу для своего репозитория, то использование GitHub Actions станет неактуальным.

– Ограниченные возможности для сложных проектов. Хотя GitHub Actions весьма мощен, его конфигурация может стать менее гибкой при необходимости реализации сложных процессов

GitLab CI/CD — это условно-бесплатная система CI/CD, интегрированная в систему управления репозиториями GitLab.

Преимущества GitLab CI/CD:

– Интеграция с GitLab: тесная интеграция с GitLab для контроля версий, отслеживания проблем.

– Встроенные инструменты сканирования уязвимостей и соответствия требованиям.

– Поддержка облачных сервисов (AWS, Azure, Google Cloud и локальные системы)

Недостатки:

– Значительная нагрузка на ресурсы при самостоятельном развёртывании

– Бесплатная версия более ограничена, чем GitHub Actions.
 На табл. 1 представлено сравнение систем CI/CD.

Таблица 1

Сравнение систем CI/CD

| Фактор | Jenkins | GitHub Actions | GitLab CI/CD |
|-------------------|--|--|--------------------------------------|
| Сложность | Полная самостоятельная установка | Конфигурация через YAML-файлы | Конфигурация через YAML-файлы |
| Цены | Бесплатно, открытый исходный код | Бесплатно для публичных репозиториев | 3 тарифа в зависимости от лимитов |
| Варианты хостинга | Только собственные сервера | Бесплатно на серверах GitHub, но с ограничениями | Платно на серверах GitLab |
| Поддержка | Отсутствие коммерческой поддержки | Полная поддержка | Поддержка только для платных тарифов |
| Интеграции | Через плагины с любыми системами контроля версий | Глубокая интеграция с GitHub | Глубокая интеграция с GitLab |

Применение подходов CI/CD позволяет оптимизировать процесс разработки и улучшить качество ПО за счёт автоматизации процессов сборки, тестирования и развёртывания.

Выбор конкретного инструмента зависит от особенностей проекта. Если требуется гибкость и возможность масштабирования, можно рассмотреть Jenkins. Для глубокой интеграции и простоты использования подойдёт GitHub Actions. GitLab CI/CD представляет собой единую экосистему, которая обеспечивает безопасность.

Библиографический список

1. Что такое CI/CD простыми словами: руководство по CI/CD в GitLab для новичка [Электронный ресурс] Reg.ru / URL: <https://www.reg.ru/blog/rukovodstvo-po-ci-cd-v-gitlab-dlya-novichka/> (дата обращения: 14.04.2025)
2. Непрерывная интеграция [Электронный ресурс] Википедия / URL: https://ru.wikipedia.org/wiki/Непрерывная_интеграция (дата обращения: 14.04.2025)
3. CI, CD и снова CD: принцип работы и отличия [Электронный ресурс] TimeWeb / URL: <https://timeweb.com/ru/community/articles/ci-cd-i-snova-cd-princip-raboty-i-otlichiya> (дата обращения: 14.04.2025)
4. Best Continuous Integration Tools for 2025 – Survey Results [Электронный ресурс] JetBrains / URL: <https://blog.jetbrains.com/teamcity/2023/07/best-ci-tools/> (дата обращения: 14.04.2025)
5. Jenkins [Электронный ресурс] Jenkins / URL: <https://www.jenkins.io/> (дата обращения: 14.04.2025)
6. Jenkins vs. GitHub Actions vs. GitLab CI [Электронный ресурс] DEV / URL: <https://dev.to/574n13y/jenkins-vs-github-actions-vs-gitlab-ci-2k35> (дата обращения: 14.04.2025)
7. GitHub Actions CI/CD: Революция в автоматизации и оптимизации разработки [Электронный ресурс] YourToDo / URL: <https://yourtodo.life/ru/posts/github-actions-cicd-revolyutsiya-v-avtomatizatsii-i-optimizatsii-razrabotki/> (дата обращения: 14.04.2025)
8. Лекция №10. GitHub Actions [Электронный ресурс] ИПСП КИТП / URL: https://kitp.netlify.app/docs/isrpo/lections/l_10/ (дата обращения: 14.04.2025)

© Давлетов А.Р., 2025

З.С. РАМИЛЕВИЧ

salimzalyaev@gmail.com

Науч. руковод. – ассистент Д.Е. ВАГАНОВА

Уфимский университет науки и технологий

ФИЗИЧЕСКИ ИНФОРМИРОВАННЫЕ НЕЙРОННЫЕ СЕТИ. ОБЗОР СУЩЕСТВУЮЩИХ ОБЛАСТЕЙ ПРИМЕНЕНИЯ.

Аннотация: физически информированные нейронные сети (ФИНС) представляют собой гибридные модели, интегрирующие принципы машинного обучения с фундаментальными физическими законами. В обзоре рассмотрены области применения ФИНС в робототехнике, биомедицине и аэродинамике. Анализируются преимущества таких сетей в условиях ограниченных данных и неопределенностей, а также их развитие в российской научной практике. Уделено внимание примерам из ведущих институтов, демонстрирующим снижение вычислительных затрат и повышение точности моделирования.

Ключевые слова: физически информированные нейронные сети, ФИНС, PINN, ФИНС и биомедицина, ФИНС и робототехника, ФИНС и аэродинамика.

Введение

В последние годы нейронные сети стали мощным инструментом для решения сложных задач в науке и технике, особенно когда речь идет о моделировании реальных физических процессов. Физически информированные нейронные сети (ФИНС) – это особый вид таких сетей, которые не просто учатся на данных, как обычные модели, а заранее «знают» основные законы физики, такие как сохранение энергии или уравнения движения. Это позволяет им лучше понимать, как работает мир вокруг нас, и давать более точные предсказания даже при небольшом количестве информации. Идея ФИНС появилась в 2017 году, когда ученые предложили объединить машинное обучение с фундаментальными принципами физики, чтобы преодолеть ограничения традиционных подходов. В России этот метод активно развивается с 2021–2022 годов, особенно в областях, где важны точные симуляции, как в нефтегазовой промышленности или робототехнике. Актуальность ФИНС растет из-за быстрого развития искусственного интеллекта: они помогают решать задачи, где данные собираются в реальном времени и часто бывают неполными или шумными, что делает их ценным инструментом для студентов и инженеров, стремящихся к практическим результатам.

Одна из главных проблем в моделировании физических систем – это невозможность учета всех без исключения особенностей и факторов влияния реального мира. Традиционные нейронные сети демонстрируют высокую эффективность при обработке обширных массивов информации, однако при

ограниченном или неточном объеме данных они склонны выдавать результаты, противоречащие законам физики, например, в модели может происходить необоснованная потеря энергии, что приводит к неточностям в долгосрочных оценках. С другой стороны, классические математические модели «белого ящика» требуют точного знания всех параметров и уравнений, но в реальности такие системы часто нелинейные и хаотичные, как поток жидкости в пористой среде или движение робота, где собрать все данные невозможно. Это создает сложности в задачах управления и прогнозирования: ошибки могут привести к сбоям в оборудовании или неверным решениям в промышленности. ФИНС решают эту проблему, создавая «серые ящики» – гибридные модели, где физические законы встроены прямо в процесс обучения. В российских исследованиях подчеркивается, что такой подход снижает вычислительные затраты и повышает надежность, особенно в условиях ограниченных экспериментов.

Обзор существующих областей применения ФИНС показывает их универсальность в различных сферах. В робототехнике, например, они помогают моделировать динамику автономных объектов обеспечивая точное сохранение энергии и адаптивное управление даже при неопределенностях в свойствах материалов. В биомедицине ФИНС используются для симуляции кровотока в сосудах или электрических сигналов в мозге, что позволяет предсказывать риски инсульта по данным МРТ и улучшать диагностику. В аэродинамике такие сети предсказывают потоки воздуха вокруг самолетов или распределение тепла в двигателях, ускоряя дизайн и снижая ошибки в высокоскоростных задачах.

Цель данной статьи – систематизировать ключевые области применения ФИНС. В ней рассмотрены проблемы традиционного моделирования, проанализированы примеры из робототехники, биомедицины и аэродинамики. Такой подход поможет понять, как ФИНС могут способствовать развитию отечественной науки в эпоху цифровой трансформации.

1. ФИНС в робототехнике

Применение физически информированных нейронных сетей в робототехнике представляет собой одно из наиболее перспективных направлений их использования, где акцент делается на моделировании динамики автономных систем. В отличие от традиционных подходов, ФИНС интегрируют фундаментальные физические принципы, такие как законы сохранения энергии и уравнения движения, непосредственно в архитектуру сети. Это позволяет создавать гибридные модели, способные эффективно работать с ограниченными данными и справляться с неопределенностями, типичными для реальных условий эксплуатации роботов, включая вариации свойств материалов или внешние возмущения.

В российской научной практике ФИНС активно применяются для задач управления и прогнозирования в робототехнических системах. Например, в Московском авиационном институте (МАИ) разработаны модели на основе

ФИНС для беспилотных летательных аппаратов (БПЛА), запускаемых с борта носителей. Такие сети учитывают влияние внешних факторов, таких как турбулентность или скорость носителя, на траекторию движения. В результате достигается повышение точности стабилизации и предсказания отказов компонентов (например, роторов) под нагрузкой. Вычислительные затраты при этом снижаются до минимума: вместо недельных симуляций на высокопроизводительных системах процесс занимает минуты, что особенно актуально для аэрокосмических приложений. Эти разработки, описанные в обзорных материалах МАИ за 2022–2024 годы, подчеркивают практическую ценность ФИНС для обеспечения надежности в условиях ограниченных экспериментальных данных.

Другим значимым вкладом российских ученых является использование ФИНС для управления нелинейными и хаотичными системами в автономных роботах. В работах Объединенного института ядерных исследований (ОИЯИ) и Федерального государственного автономного образовательного учреждения высшего образования «Российский университет дружбы народов» (РУДН), а также Университета «Дубна» (публикации 2023–2024 годов) демонстрируется эффективность ФИНС в стабилизации систем типа двойного маятника — модели, имитирующей колебания манипуляторов или мобильных роботов на неровных поверхностях. Сети с встроенными физическими ограничениями (например, на сохранение энергии) обучаются на минимальном наборе примеров и достигают уровня ошибки в 0,4%, что значительно превосходит показатели традиционных нейронных сетей (до 8%). Такой подход особенно полезен для «серых ящиков» — систем, где часть параметров известна из физических законов, а остальное извлекается из сенсорных данных. В результате роботы приобретают способность к адаптивному управлению в условиях неопределенности, минимизируя риски сбоев в промышленных или исследовательских задачах.

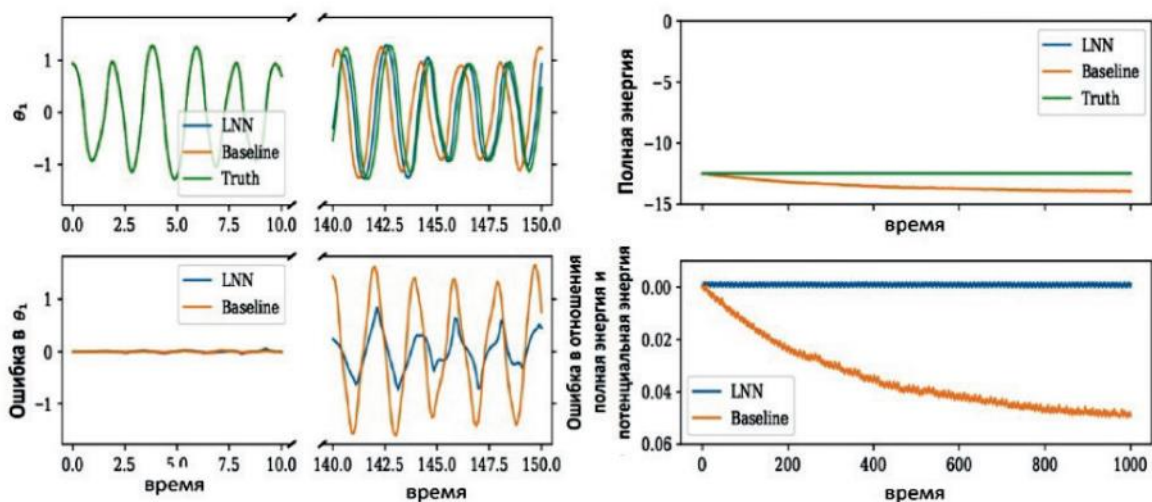


Рис. 1. Результаты моделирования двойного маятника

В целом, применение ФИНС в робототехнике демонстрирует переход от эмпирических методов к физически обоснованным подходам, что открывает пути для дальнейших исследований. Перспективными направлениями видятся интеграция ФИНС с сенсорными сетями для реального времени управления и разработка универсальных фреймворков для многоагентных систем. Эти аспекты подчеркивают роль ФИНС в укреплении конкурентных преимуществ российской науки в области цифровых технологий.

2. ФИНС в биомедицине

В российской научной практике физически информированные нейронные сети (ФИНС) все шире применяются для решения актуальных задач в области биомедицины, где они позволяют объединять фундаментальные физические принципы с данными из клинических исследований. Это особенно актуально для моделирования сложных биологических процессов, таких как динамика жидкостей в тканях или кровотоков в сосудах, где традиционные методы часто сталкиваются с ограничениями по объему данных и вычислительным ресурсам.

Особый интерес представляет использование ФИНС в анализе данных флуоресцентной микроскопии с временем жизни (FLIM), которая позволяет детально изучать клеточные взаимодействия и микроокружение тканей на молекулярном уровне. ФИНС эффективно решают прямые и обратные задачи, связанные с нелинейными уравнениями в частных производных (PDE), описывающими затухание флуоресценции и транспорт фотонов. В отличие от стандартных нейронных сетей, здесь физические законы — такие как экспоненциальные модели распада или уравнения диффузии — интегрируются непосредственно в функцию потерь, выступая в роли регуляризаторов, что обеспечивает согласованность предсказаний с реальными биофизическими процессами. Это особенно ценно в условиях типичных для FLIM ограничений: низкого количества фотонов, шума от экспериментальных данных и необходимости работать с малыми выборками. Подчеркивается, что такой подход не только повышает точность, но и ускоряет обработку данных, делая возможным их анализ в реальном времени для задач вроде мониторинга метаболизма клеток или диагностики онкологических изменений.

Таким образом, применение ФИНС в биомедицине отражает переход к гибридным методам, сочетающим медицинские показания и физические законы, что усиливает позиции российской науки. Текущие разработки и исследования лишь подчеркивают потенциал ФИНС в решении ключевых вызовов здравоохранения в эпоху цифровых технологий.

3. ФИНС в аэродинамике

В российской научной практике ФИНС активно применяются для оптимизации аэродинамических расчетов в авиастроении и смежных отраслях. Например, в Московском авиационном институте (МАИ) разработана специализированная библиотека на основе ФИНС для ускорения симуляций в аэродинамике. Эта библиотека позволяет инженерам быстро анализировать

поведение воздушных потоков вокруг самолетов или других объектов, интегрируя физические ограничения в модель. В результате время расчетов сокращается с месяцев до часов, что делает ее применимой для практических задач в промышленности.



Рис. 2. Рабочая группа проекта по нейросетевой аэродинамике МАИ

В Новосибирском государственном университете и Сибирском отделении РАН ученые, фокусируются на улучшении стабильности ФИНС для задач с конвекцией – перемешиванием тепла и воздуха, что критично для аэродинамики в двигателях или системах охлаждения. В публикациях журнала «Теплофизика и аэромеханика» за 2023–2025 годы предлагается метод автоматической подстройки точек данных во время обучения, что минимизирует ошибки на высоких скоростях. Это делает ФИНС более надежными для реальных инженерных приложений, где потоки часто нестабильны, и способствует адаптации моделей для отечественной авиации.

Общий анализ лишь подтверждает универсальность ФИНС в аэродинамике: они обеспечивают реальное время симуляций, интегрируя физические принципы для повышения точности и снижения затрат. Такие модели способствуют оптимизации дизайна самолетов, улучшению безопасности полетов и развитию цифровых технологий.

Заключение

Физически информированные нейронные сети демонстрируют значительный потенциал в робототехнике, биомедицине и аэродинамике,

преодолевая ограничения традиционных методов за счет интеграции физических принципов. В российской практике такие сети снижают вычислительные затраты и повышают точность при ограниченных данных. Перспективы включают дальнейшую интеграцию с сенсорными системами и расширение на новые области, способствуя развитию отечественной науки.

Библиографический список

1. Коцько П.А., Лемешонок Т.Ю., Сизова А.А. Применение нейронных сетей для аэродинамических расчетов.
2. Д. П. Зрелова, С. В. Ульянов., Тятюшкина О.Ю. Введение в глубокое машинное обучение на физически определенных данных – Гамильтоновы / Лагранжевы (физически информированные) нейронные сети.
3. Орехов И.С. Нейронные сети в медицине: современные подходы и перспективы.
4. Выучейская М.В., Крайнова И.Н., Грибанов А.В. Нейросетевые технологии в диагностике заболеваний (обзор).
5. Vladimir Sivtsov., Athanasios Papanikolaou., Ivan Markovic., Ivan Petrovic., Fabio Bonsignorio. Physics-Informed Neural Networks in Robotics: A Review.
6. Ilya D. Shchekhin Recent Trends of Fluorescence Lifetime Imaging Microscopy Analysis Using Machine Learning.

© Заляев С.Р., 2025

УДК 004.891.2

Л.Ф. КАРАМОВ, А.Д. ЮНУСОВ

lkfanzilevich@mail.ru

Науч. руковод. – канд. техн. наук, доц. Г.Ф. НИЗАМОВА

Уфимский университет науки и технологий

РАЗРАБОТКА ИНТЕЛЛЕКТУАЛЬНОГО ЕЖЕДНЕВНИКА FLOWTIME С КОНТРОЛЕМ ВРЕМЕНИ И АНАЛИТИКОЙ ПРОДУКТИВНОСТИ

Аннотация: в работе рассматривается процесс создания умного планировщика FlowTime, который объединяет в себе возможности органайзера, системы контроля времени и инструмента анализа результативности. Основная задача проекта – разработка гибкого средства для самоуправления, способного адаптироваться к личным особенностям рабочего ритма и психофизическому состоянию человека. Описаны структурная организация программы, ключевые функциональные компоненты, особенности интерфейса и возможные направления развития системы.

Ключевые слова: умный планировщик; организация времени; эффективность; искусственный интеллект; Flutter; Dart; анализ данных; самоуправление; управление временем; мобильное приложение; визуализация данных; адаптация; результативность; пользовательский интерфейс; стимулирование.

В условиях современной действительности от личности требуется умение эффективно организовывать свою деятельность и рационально распределять временные ресурсы. Большинство доступных сегодня планеров и систем учета задач, включая Google Calendar, Notion и Todoist, ориентированы на упорядочивание дел, однако не принимают во внимание субъективные факторы – такие как уровень физической и психической активности, эмоциональный фон, степень вовлеченности и индивидуальные суточные ритмы. В связи с этим создание интеллектуальных помощников, способных подстраиваться под поведенческие особенности человека, представляется особенно востребованной задачей.

Главная идея FlowTime – интегрировать в единую программную среду функционал календаря, трекера активности и системы сбора статистики. В отличие от стандартных решений, в FlowTime заложены алгоритмы, анализирующие временные затраты, привычки и текущее состояние пользователя. Призвание приложения – способствовать выработке стабильных паттернов эффективной деятельности и росту осознанности за счет персонализированных подсказок и графического представления изменений.

Технологической основой реализации стал язык Dart и кроссплатформенный фреймворк Flutter, гарантирующие высокую

производительность и единообразие интерфейса на разных устройствах. Структура приложения построена по многоуровневому принципу: Core Layer (базовые службы), Data Layer (взаимодействие с локальной СУБД Isar), Logic Layer (контроллеры и управление состоянием) и UI Layer (пользовательский интерфейс). Подобная организация упрощает расширение функциональности и добавление новых возможностей.

Архитектура и модульная организация приложения

FlowTime включает шесть основных разделов, каждый из которых отвечает за определенный аспект самоорганизации: составление планов, мониторинг времени, изучение статистики, ведение записей и управление личными данными.

1. Раздел «День» – представляет актуальное расписание, процент завершенных дел и сводку за день.

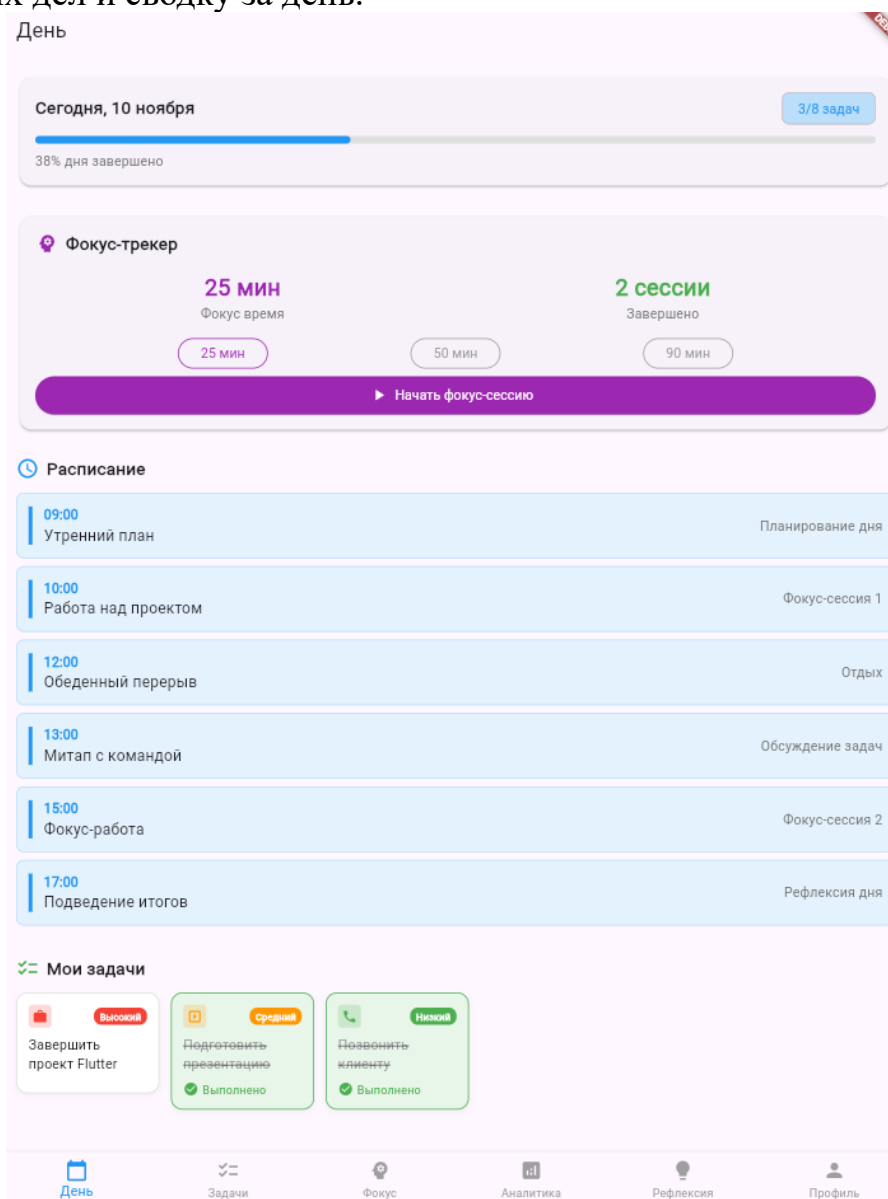


Рис. 1. Интерфейс раздела «День»

Данный экран является центральной панелью управления текущими рабочими процессами. В верхней зоне отображается прогресс по задачам, ниже — трекер

сосредоточения, основанный на технике Pomodoro, и интерактивный график. Подобная компоновка дает возможность быстро оценить текущую ситуацию и определить оставшийся резерв для продуктивных занятий.

2. Раздел «Задачи» — содержит перечень всех текущих дел, сгруппированных по темам: профессиональные обязанности, личные дела, забота о здоровье и другие.

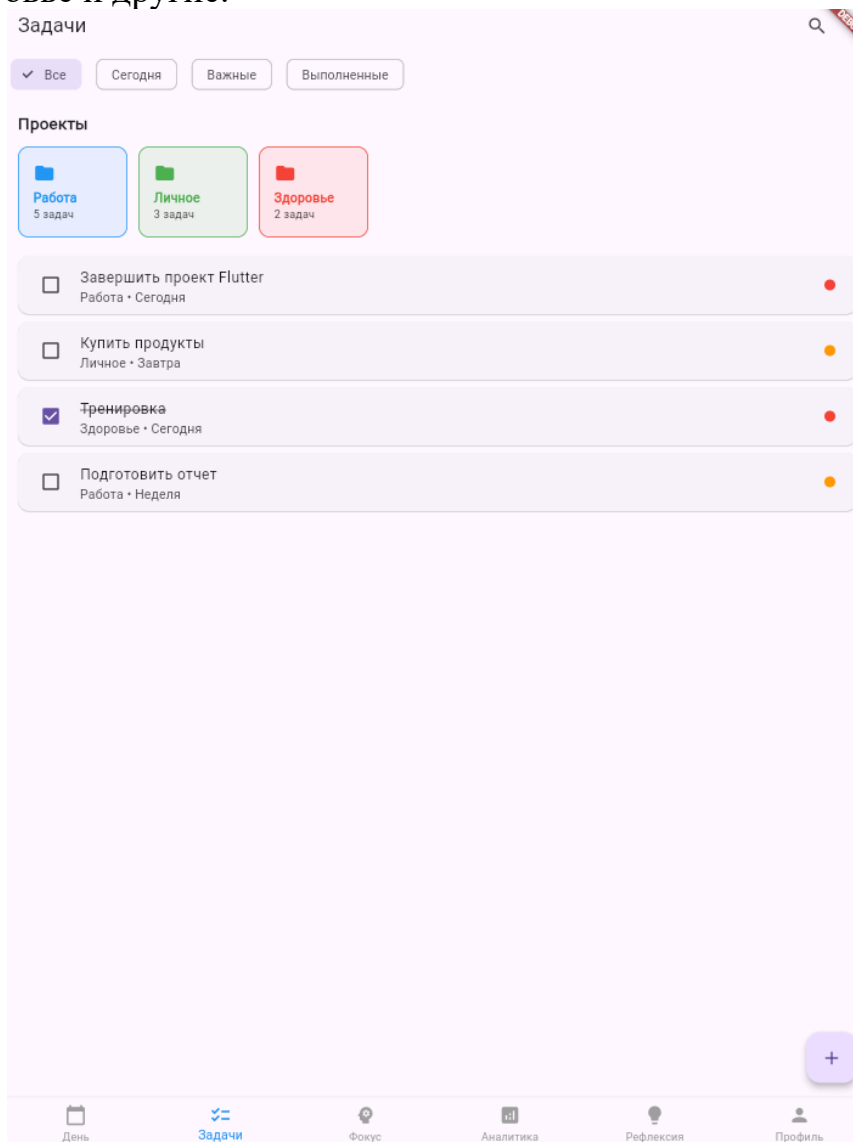


Рис. 2. Интерфейс раздела «Задачи»

Пользователь может сортировать задачи по степени важности и срокам, фиксировать выполнение, а также формировать новые проекты. Визуальное кодирование с помощью цветowych меток улучшает восприятие и уменьшает умственную нагрузку.

3. Раздел «Фокус» — центральный инструмент для поддержания концентрации.

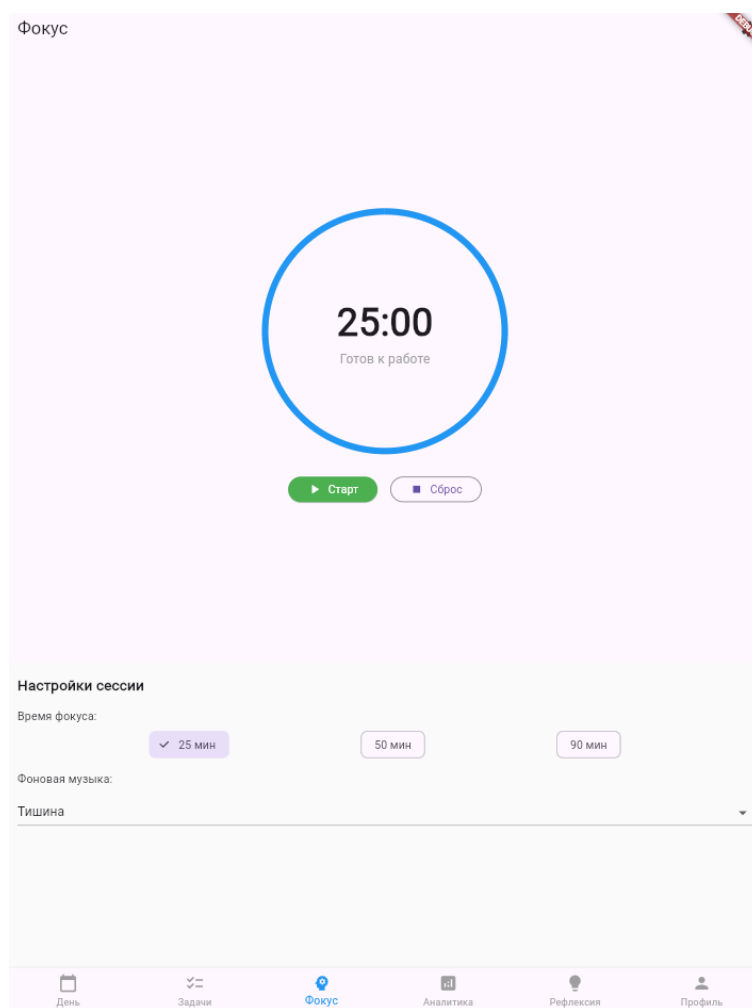


Рис. 3. Интерфейс раздела «Фокус»

Здесь расположен таймер рабочих интервалов с опцией выбора длительности (25, 50 или 90 минут) и настройкой фонового звукового сопровождения. Оформление экрана выполнено в минималистичном стиле и направлено на достижение состояния потока, без лишних деталей.

4. Раздел «Аналитика» — отображает в графическом виде статистику пользователя: время, проведенное в состоянии сосредоточенности, завершённые задачи, периоды наивысшей продуктивности и ежедневную динамику.

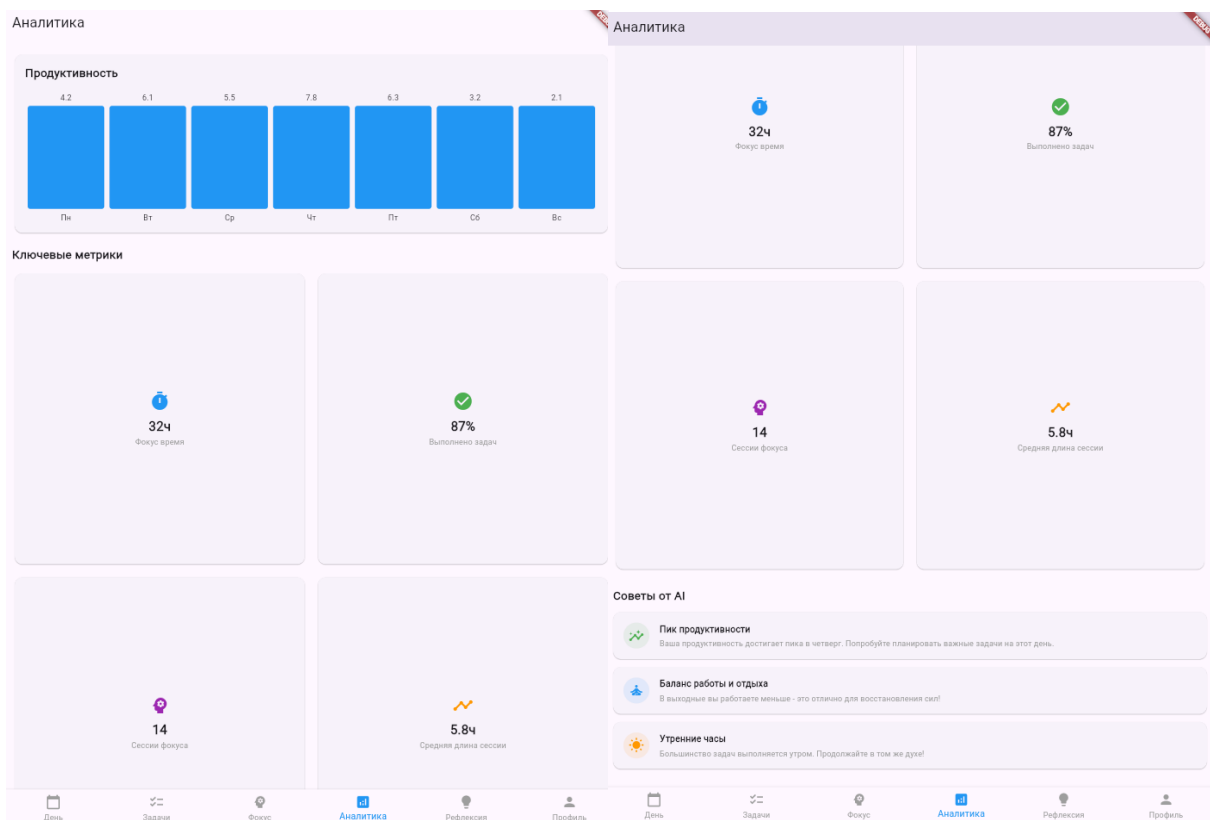


Рис. 4. Интерфейс раздела «Аналитика»

Для наглядности применяются диаграммы и графики, строящиеся на информации из локальной базы Isar. Анализ данных помогает пользователю лучше понимать собственные ритмы и определять наилучшее время для работы.

5. Раздел «Рефлексия» – предназначен для кратких записей и оценки самочувствия.

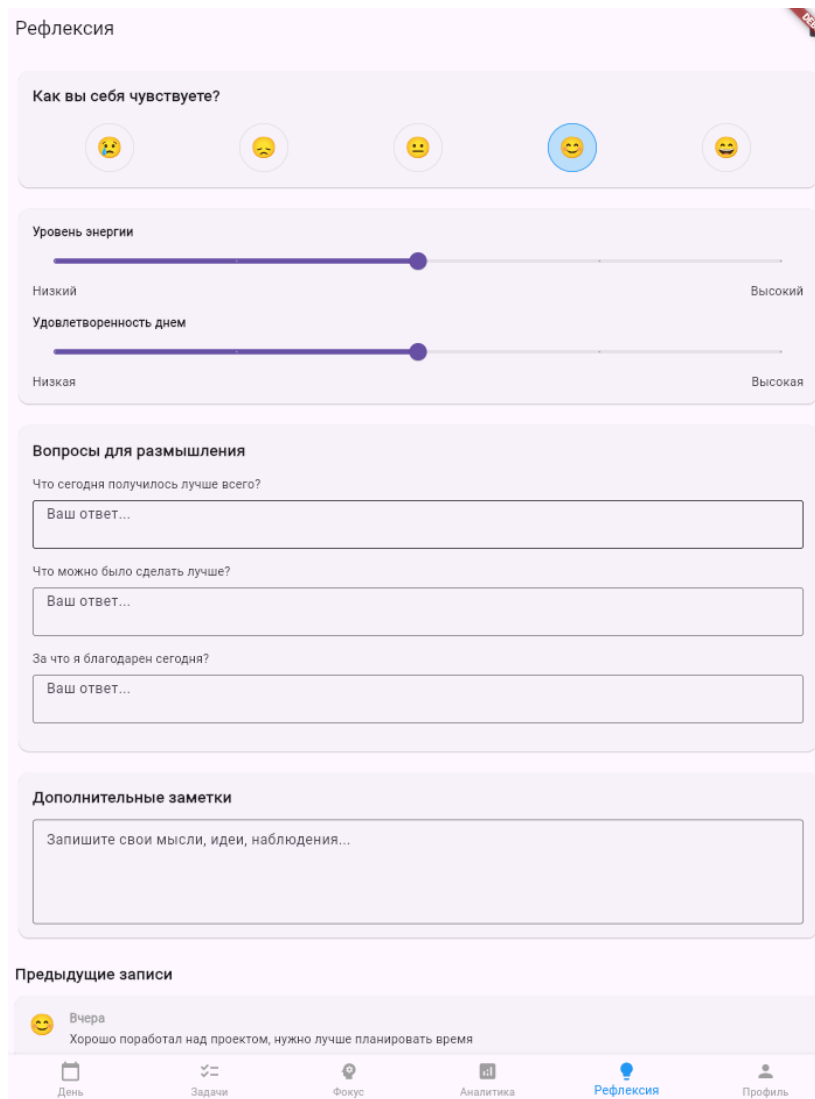


Рис. 5. Интерфейс раздела «Рефлексия»

Система сохраняет заметки с привязкой к дате и формирует статистику эмоционального состояния, соотнося ее с продуктивностью. Это позволяет отслеживать, как настроение и уровень энергии сказываются на итогах работы.

6. Раздел «Профиль» — содержит настройки и индивидуальную аналитику.

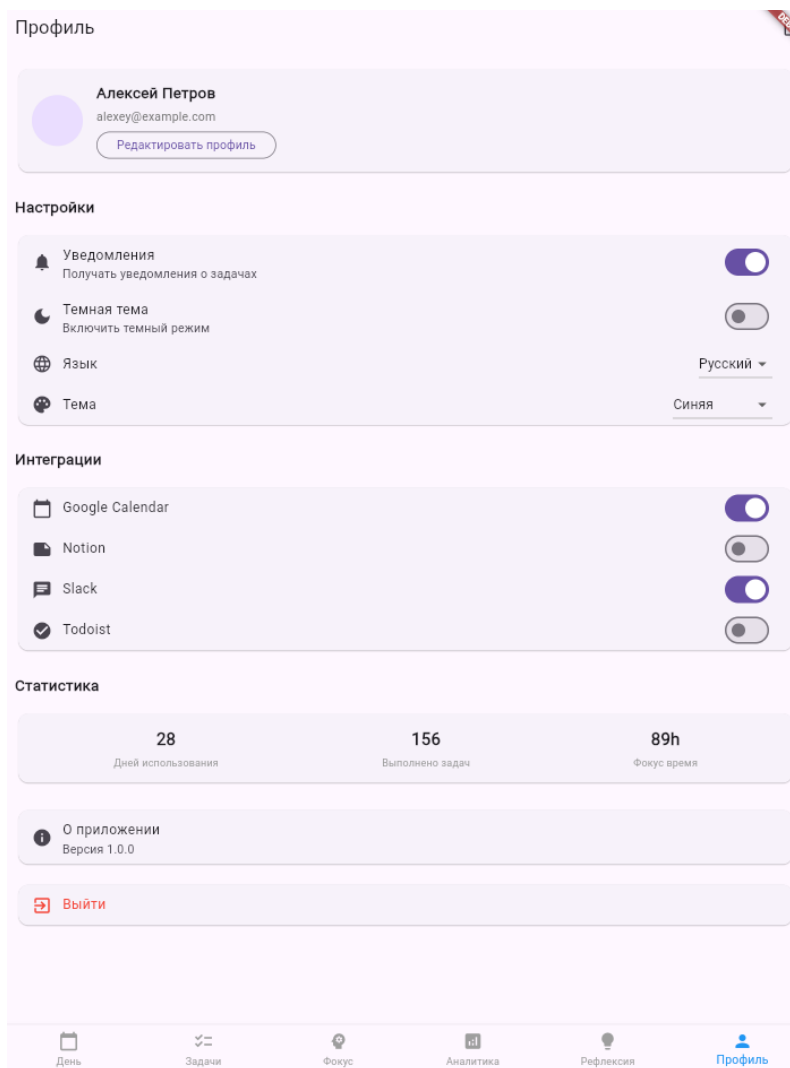


Рис. 6. Интерфейс раздела «Профиль»

В этом разделе доступна корректировка целей, синхронизация информации и получение рекомендаций от встроенного интеллектуального модуля.

Интеллектуальные возможности системы. FlowTime не сводится только к функциям хронометража и планирования. Система постепенно обучается на основе пользовательских данных, анализируя следующие параметры:

- длительность периодов концентрации;
- распределение задач по категориям и времени выполнения;
- взаимосвязь между продуктивностью и эмоциональным состоянием;
- предпочтительное время начала активной работы.

На основе собранных данных формируются индивидуальные рекомендации, подсказывающие, когда лучше запланировать сложные задания, когда сделать перерыв и сколько времени уделить интенсивной работе.

В будущем проект может быть улучшен за счет:

- внедрения алгоритмов машинного обучения для прогнозирования продуктивных фаз;
- интеграции с Google Fit и Apple Health для учета биологических ритмов;

- добавления системы поощрений и игровых элементов (геймификация);
- реализации облачной синхронизации и API для взаимодействия с внешними сервисами.

FlowTime демонстрирует современный подход к управлению временем, объединяя технологии Flutter и элементы интеллектуального анализа. Приложение позволяет не только планировать задачи, но и осознанно управлять вниманием, энергией и эмоциональным состоянием. Благодаря модульному построению, лаконичному интерфейсу и аналитическим возможностям FlowTime способен стать полезным инструментом для повышения личной эффективности и улучшения качества жизни.

Библиографический список

1. Басаргин, А. А. Методы искусственного интеллекта: учебное пособие / А. А. Басаргин. – Новосибирск: СГУГиТ, 2022. – 164 с.
2. Covey, S. The 7 Habits of Highly Effective People. – New York: Free Press, 1989. – 372 p.
3. Tracy, B. Eat That Frog!: 21 Great Ways to Stop Procrastinating and Get More Done in Less Time. – San Francisco: Berrett-Koehler, 2007. – 128 p.
4. Barkas, A. Energy-Based Productivity Model // Journal of Organizational Behavior. – 2020. – Vol. 41, №2. – P. 123–139.
5. Цифровые технологии и искусственный интеллект в организационно-технических системах / А. В. Воробьев, М. А. Верхотуров, С. В. Тархов [и др.]. – Уфа : Уфимский университет науки и технологий, 2024. – 258 с.
6. Google Developers. Flutter Documentation [Электронный ресурс]. – URL: <https://flutter.dev>
7. Dart.dev. Dart Programming Language Overview [Электронный ресурс]. – URL: <https://dart.dev>

© Карамов Л.Ф., Юнусов А.Д., 2025

УДК 004.72

Ш.К. ОРДУХАНОВ

shamil@petsamo.ru

Науч. руковод. – канд. экон. наук, доц. Н.К. ГАДЖИЕВ

Дагестанский государственный университет

ПРОГНОЗ ОТТОКА ПОЛЬЗОВАТЕЛЕЙ ПО ПРОСТЫМ ПОВЕДЕНЧЕСКИМ ПРИЗНАКАМ

Аннотация: в статье рассмотрен подход к прогнозированию оттока пользователей с применением алгоритмов машинного обучения как одного из направлений искусственного интеллекта. Описан процесс формирования агрегированных поведенческих признаков на основе открытых табличных данных. Проведен сравнительный анализ интерпретируемых моделей, включая логистическую регрессию и градиентный бустинг. Обсуждаются практические аспекты применимости моделей оттока и возможности их расширения за счёт технологий explainable AI.

Ключевые слова: отток, churn prediction, искусственный интеллект, машинное обучение, градиентный бустинг, explainable AI, SHAP, поведенческие признаки, табличные данные, логистическая регрессия.

Введение

Цифровые сервисы и онлайн-платформы всё чаще сталкиваются с проблемой оттока пользователей. Уход клиентов приводит к прямым финансовым потерям и снижению доли рынка. В условиях высокой конкуренции бизнесу необходимо заранее выявлять группы риска и применять превентивные меры. Одним из инструментов прогнозирования оттока стали методы машинного обучения — направления искусственного интеллекта, позволяющие по историческим данным предсказывать поведение пользователей. В статье представлена реализация задачи churn-прогноза с использованием простых поведенческих признаков, рассчитанных на табличных данных. Предложенные модели обеспечивают интерпретируемость, высокое качество и практическую применимость.

Данные

Для анализа использован открытый набор данных по оттоку клиентов телекоммуникационной компании, например Telco Customer Churn из репозитория IBM [1][2]. Он содержит несколько тысяч записей (в оригинале – 7043 клиента) и включает агрегированные сведения о пользователях за определённый период: статус оттока, демография, параметры аккаунта и показатели пользования услугами. Целевая переменная Churn принимает значение 1, если клиент ушёл, и 0 – в противном случае.

Основные признаки включают пол, возрастную категорию, тип контракта (месячный или долгосрочный), стаж обслуживания (tenure), подключённые дополнительные сервисы, частоту и объём потребления услуг (ежемесячные и суммарные платежи), а также наличие обращений в поддержку. Данные структурированы таким образом, чтобы исключить утечку информации: признаки рассчитываются на основе активности до точки прогнозирования, а статус Churn определяется по факту ухода в последующем периоде. Например, в [2] все поведенческие характеристики клиента собраны за первые 9 месяцев, а факт ухода проверяется на 12-м месяце.

Разделение на обучающую и тестовую выборки производится случайным образом с сохранением пропорций классов (стратифицированная выборка). Типичная доля ушедших составляет 20–30%, что создаёт умеренный дисбаланс классов – типичный для реальных churn-задач.

Формирование признаков

Для построения прогноза использовались агрегированные поведенческие признаки, отражающие активность пользователей за наблюдаемый период до точки отсечения. Подход базируется на RFM-парадигме (Recency, Frequency, Monetary), широко применяемой в задачах анализа поведения клиентов.

- Recency – количество дней с момента последнего действия пользователя. Длительные паузы в активности часто сигнализируют о вероятном уходе.

- Frequency – частота взаимодействия: количество сессий, звонков, подключений и т.п. Снижение частоты может указывать на утрату интереса.

- Monetary/Volume – объём потребления услуг: общая длительность звонков, объём интернет-трафика, ежемесячные и суммарные платежи. Аномально низкие или, наоборот, слишком высокие значения могут быть маркерами нестабильности поведения.

- Структура активности – например, доля дней с активностью в наблюдаемом периоде, а также распределение между типами сервисов.

- Динамика поведения – простые тренды: снижение интенсивности действий к концу периода часто предшествует оттоку.

Кроме количественных агрегатов учитывались бинарные индикаторы событий, которые, согласно [2], значимо коррелируют с оттоком. Среди них – факт обращения в поддержку (признак Customer service calls), наличие жалоб (Complaints), технические сбои (Call failure), тип контракта (месячный/годовой)

и др. Такие признаки напрямую отражают степень удовлетворённости клиента услугами.

При формировании всех признаков строго исключались данные из периода, следующего за точкой прогнозирования, что гарантирует корректность обучения модели и имитирует реалистичный сценарий применения прогноза. Модель получает на вход только ту информацию, которая могла бы быть доступна в момент оценки риска ухода.

Методы

Прогнозирование оттока пользователей в работе формулируется как задача бинарной классификации. В качестве базовой модели применялась логистическая регрессия – простой, широко применяемый и легко интерпретируемый алгоритм. Он обеспечивает прозрачное понимание вклада каждого признака через знаки и значения коэффициентов. Это позволяет использовать модель не только для прогнозирования, но и для объяснения причин оттока с точки зрения доступных бизнесу показателей.

Основной моделью выступал градиентный бустинг на решающих деревьях (XGBoost) — один из наиболее эффективных ансамблевых методов, способный захватывать нелинейные взаимосвязи между признаками. Бустинг часто демонстрирует превосходство по точности в задачах прогноза оттока и при этом сохраняет интерпретируемость за счёт встроенных механизмов оценки важности признаков и применимости инструментов explainable AI, таких как SHAP.

Для настройки моделей использовалась перекрёстная проверка (k-fold cross-validation, чаще всего 5 фолдов). Градиентный бустинг настраивался перебором по сетке гиперпараметров: глубина деревьев, скорость обучения, число деревьев. Логистическая регрессия применялась в стандартной форме с регуляризацией L2 для повышения обобщающей способности.

Особое внимание уделялось выбору порога классификации. Из-за дисбаланса классов (ушедших клиентов меньше) порог 0.5 не всегда оптимален. В данной работе он подбирался по критерию максимальной F1-меры – метрики, сбалансированной между точностью и полнотой. Это позволяет учитывать, как риск пропустить уходящих, так и нежелательные ложные тревоги.

Качество моделей оценивалось по нескольким метрикам. ROC AUC и PR AUC отражают способность модели различать классы по всей шкале вероятностей. PR AUC особенно важна при несбалансированных классах, поскольку делает акцент на положительном (редком) классе — ушедших пользователях. Также рассчитывались F1-score при выбранном пороге, общая точность (accuracy), точность по положительному классу (precision) и полнота (recall). Однако при смещённом распределении метки accuracy может быть недостаточно информативной, поэтому основной упор делался на AUC и F1 как более надёжные индикаторы качества.

Сравнительный анализ моделей и интерпретация

Сравнительный анализ подтвердил ожидаемое превосходство градиентного бустинга над логистической регрессией по всем ключевым метрикам. На тестовой выборке логистическая регрессия показала ROC AUC около 0.71, PR AUC – 0.42, F1 – 0.55. Бустинг улучшил эти значения до ~0.80, ~0.50 и ~0.60 соответственно. Это указывает на более высокую точность, особенно в распознавании клиентов, находящихся в зоне риска. Несмотря на уступающие метрики, логистическая регрессия остаётся полезной как ориентир интерпретации за счёт читаемых коэффициентов.

Оценка важности признаков показала согласованную картину: основными факторами оттока стали наличие жалоб (Complaints), ежемесячный тариф, проблемы со связью (CallFailures) и высокая ежемесячная плата (MonthlyCharges). Влияние признаков подтверждено как по логистической модели, так и по SHAP-графикам для бустинга. Более низкий риск ассоциировался с длительным стажем (Tenure) и активным использованием нескольких сервисов. Совокупно эти зависимости соответствуют бизнес-логике и подтверждаются предыдущими исследованиями [3]: неудовлетворённость качеством и гибкий короткий контракт повышают вероятность ухода, а стабильное долговременное взаимодействие — снижает. Анализ позволяет не только строить точный прогноз, но и объяснять его содержание на уровне отдельных клиентов.

Ограничения и возможности ИИ в задачах оттока

Результаты показывают, что интерпретируемая модель оттока, основанная на агрегированных поведенческих признаках, может достигать приемлемого качества (ROC AUC ~0.8) без использования сложных данных о последовательности действий или социальных связей. Это делает подход универсальным и потенциально применимым в других сферах (банкинг, онлайн-сервисы) при наличии аналогичных историй поведения клиентов. Однако подход имеет ограничения и направления развития с использованием более продвинутых методов искусственного интеллекта.

Во-первых, модель игнорирует внутриинтервальные поведенческие паттерны. Например, снижение активности за несколько недель до оттока может быть не зафиксировано агрегатами. Исследования показывают, что временные признаки, извлечённые из последовательностей событий, повышают точность моделей [3]. Использование рекуррентных сетей или трансформеров может дать дополнительный прирост, хотя и снизит интерпретируемость.

Во-вторых, модель не учитывает социальные зависимости. В телеком-отрасли уход одного абонента способен повлиять на его окружение (эффект «домино»). Применение анализа социальных сетей (SNA) способно повысить точность: например, прирост AUC с 84% до 93% за счёт включения метрик связей показан в [3]. В рассматриваемом случае данные о взаимодействиях между клиентами отсутствовали, что снижает полноту прогноза.

Также стоит учитывать переносимость модели. Алгоритм, обученный на данных одной компании, требует адаптации при переносе в другой контекст из-

за различий в поведении клиентов и бизнес-логике. Тем не менее базовая схема с RFM-признаками и интерпретируемыми моделями остаётся универсальной заготовкой.

Внедрение таких моделей требует осторожности. Ошибки классификации ведут к либо упущенной прибыли (ложные негативы), либо нецелесообразным затратам (ложные позитивы). Оптимизация под F1 позволяет сбалансировать их, но приоритет конкретной метрики должен определяться бизнесом. Кроме того, модель требует регулярного дообучения – поведение клиентов меняется, и без актуализации точность падает. Не менее важно избегать скрытой предвзятости, особенно при использовании алгоритмов ИИ в принятии решений, касающихся удержания пользователей.

Выводы

В работе показано, что задачу прогнозирования оттока клиентов можно эффективно решать с помощью агрегированных поведенческих признаков и интерпретируемых моделей машинного обучения – как одного из направлений искусственного интеллекта. В качестве примера рассмотрен открытый датасет телекоммуникационной компании, где задача ухода клиентов формулировалась как бинарная классификация. Применялись логистическая регрессия и градиентный бустинг. Последний показал уверенное преимущество по основным метрикам качества, достигнув значения ROC AUC порядка 0.8. Это подтверждает способность модели точно различать пользователей, склонных к уходу, ещё до наступления события оттока.

Анализ важности признаков, выполненный с помощью SHAP, выявил ключевые драйверы риска: наличие жалоб, частые сбои связи, краткосрочный тариф и высокий объём ежемесячных расходов повышают вероятность ухода, тогда как длительное обслуживание и активное пользование сервисами – снижают. При этом интерпретируемость модели позволяет бизнесу чётко понимать, какие признаки и в каком направлении влияют на прогноз, что особенно важно при принятии решений по удержанию клиентов. Решение может быть применено в различных прикладных областях и адаптировано под специфику сервисов.

Модель проста в реализации, не требует сложных входных данных, обладает высокой точностью и прозрачностью, а потому пригодна для использования в реальных сценариях. В дальнейшем подход может быть усилен за счёт включения временных поведенческих паттернов, дообучения на новых выборках и использования более продвинутых инструментов explainable AI. Результаты демонстрируют, как проверенные методы ИИ позволяют построить понятную и практически применимую систему анализа клиентского оттока.

Библиографический список

1. Perceptive Analytics. *Why and How to Predict Customer Churn using Machine Learning* [Электронный ресурс]. – 2019. – URL: <https://www.perceptive-analytics.com/predict-customer-churn-using-machine-learning/> (дата обращения: 20.11.2025).
2. Telco Customer Churn (Dataset) [Электронный ресурс] // *UCI Machine Learning Repository*. – 2018. – URL: <https://archive.ics.uci.edu/ml/datasets/Telco+Customer+Churn> (дата обращения: 20.11.2025).
3. Ahmad A. K., Jafar A., Aljoumaa K. Customer churn prediction in telecom using machine learning in big data platform // *Journal of Big Data*. – 2019. – 6(1):28. – 24 p.
4. Keylabs. *Handling Imbalanced Data in Classification* [Электронный ресурс]. – 2023. – URL: <https://keylabs.ai/blog/handling-imbalanced-data-in-classification/> (дата обращения: 20.11.2025)

© Ордуханов Ш.К., 2025

РАЗРАБОТКА ПОЛЬЗОВАТЕЛЬСКОГО ИНТЕРФЕЙСА ИНТЕРНЕТ-ПРИЛОЖЕНИЯ В СРЕДЕ FIGMA

Аннотация: рассматривается процесс проектирования пользовательского интерфейса (UI) и взаимодействия (UX) для современного веб-приложения. Целью исследования является разработка прототипа мессенджера, объединяющего лучшие практики наиболее популярных платформ (Discord, Telegram, VK) с использованием инструмента Figma. В работе описаны методология UX-исследования, ключевые UX-решения, принятые при проектировании, и особенности их визуальной UI-реализации с помощью инструментария Figma.

Ключевые слова: UI/UX, Figma, интерфейс, мессенджер, веб-приложение.

Введение

Возникновение идеи о создании нового UI/UX продукта часто начинается с непосредственного использования существующих цифровых платформ и столкновения с их недостатками. Часто массовое распространение интернет-приложения не коррелирует с их удобством и интуитивностью, что приводит к нормализации плохих UX-решений. Задача дизайнера в этой ситуации заключается не в копировании доминирующих шаблонов, а в проведении критического сравнительного UX-исследования множества схожих платформ.

Целью работы является разработка высокодетализированного прототипа UI/UX для веб-приложения мессенджера в среде Figma.

Figma была выбрана как основной инструмент благодаря возможностям коллаборативного дизайна и мощной системе компонентов [1].

Задачи исследования:

- 1) проанализировать подходы к проведению UX-исследований для проектирования коммуникационных платформ;
- 2) выделить и обосновать ключевые UX-решения, заимствованные и адаптированные из популярных мессенджеров;
- 3) описать процесс реализации данных решений (UI-дизайн) в среде Figma, уделив внимание компонентному подходу и масштабируемости системы.

В качестве основного методологического подхода был выбран User-Centered Design (UCD), или человеко-ориентированное проектирование, которое ставит во главу угла потребности и ожидания конечного пользователя [2].

Методология исследования и разработка UX-прототипа

Проектирование пользовательского опыта (UX) предшествует визуальной отрисовке и закладывает фундамент функциональности и логики приложения.

Для создания продукта, который решает реальные проблемы пользователей, необходимо проведение UX-исследования. В контексте данного проекта были признаны наиболее эффективными и применены следующие методы:

- Конкурентный анализ: Изучение решений в популярных аналогах (в данном случае, в приложениях Discord, Telegram и VK). Этот метод позволяет определить привычные наборы функций интерфейса, сравнить их реализацию, подчеркнуть уникальные нововведения каждого из мессенджеров для создания наиболее перспективной комбинации;

- Опросы и изучение отзывов пользователей: позволяют выявить сильные и слабые места при использовании разных мессенджеров или проверить функциональность собственных решений;

- Разработка архетипов целевых пользователей (например, «Геймер», «Неопытный пользователь», «Студент») для отладки дизайна на конкретных сценариях.

Проведя конкурентный анализ, было установлено, что три платформы для общения, свойственные каждому из трёх мессенджеров – личные сообщения, беседы и сообщества. Личные сообщения и беседы реализованы почти одинаково, а сообщества имеют радикально разный вид. В VK сообщества – практически отдельный сайт с новостной лентой и возможностью комментировать посты; в Telegram же сообщества – то же самое, что и беседа (чат), но с иерархией: администраторы отправляют сообщения, участники только читают и оставляют комментарии под ними; в Discord – сервера (подобие веб-форумов) с настраиваемой структурой текстовых и голосовых каналов.

Было принято решение взять за основу сообщества VK с функционалом, сокращённым до ленты с постами и комментариями (рис. 1), что закрыло также функционал Telegram-каналов, только немного в другой форме, а структурой Discord-серверов (рис. 2) дополнить беседы, что позволит использовать формат «беседа» как для маленьких групповых чатов, так и для больших веб-форумов с множеством каналов.

Для сохранения единообразия (по принципу последовательности Я. Нильсена [3]) позже было решено дополнить функционалом каналов и личные сообщения.

Итак, есть три платформы для общения: личные сообщения, беседы, сообщества. В главной колонке интерфейса для них будут выделены три вкладки. Отдельная колонка будет выделена во всех трёх вкладках для списка элементов определённой вкладки (все доступные личные сообщения и т. д.). В личных сообщениях и беседах будет ещё одинаковая пара колонок – чат и

каналы. В сообществах будут две колонки для ленты новостей и информации о сообществе.

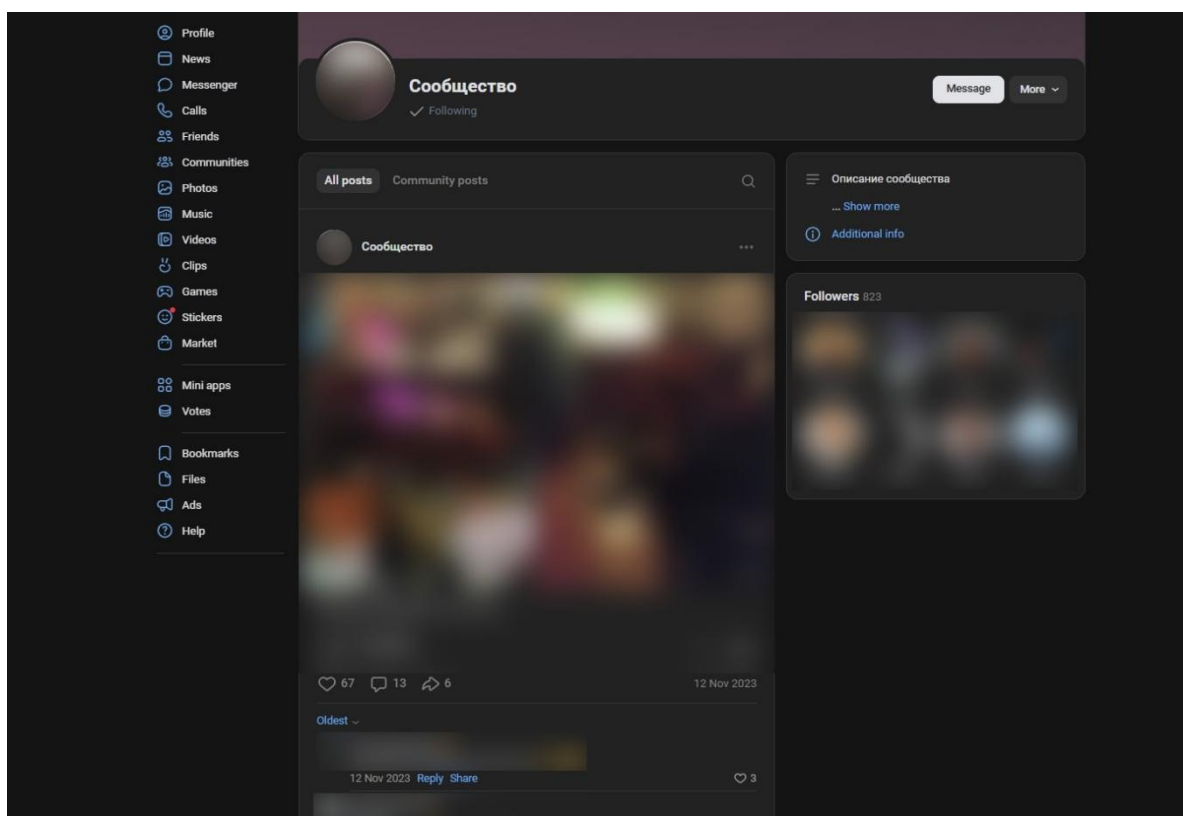


Рис. 1. Структура сообщества VK

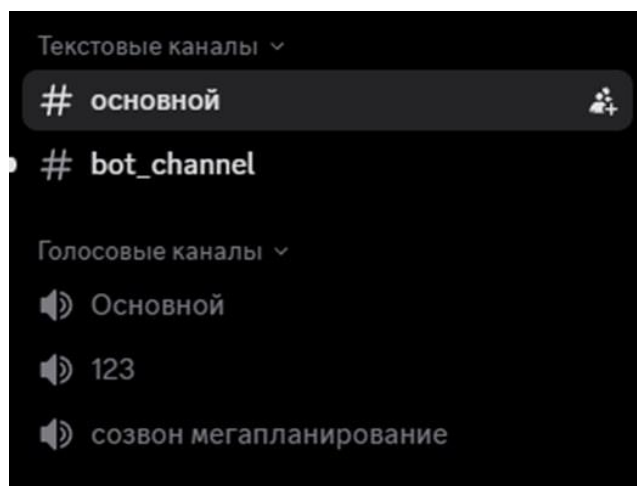


Рис. 2. Структура серверов Discord

В связи с добавлением функции голосовых каналов необходим индикатор голосового канала, который занимал бы небольшое пространство, но был видим на протяжении всего пребывания в голосовом канале вне зависимости от последующих перемещений пользователя по интерфейсу (принцип видимости состояния системы Я. Нильсена [3]). Анализ отзывов показал, что по сочетанию факторов наиболее удобным индикатором является прямоугольная область в углу экрана по примеру Discord (рис. 3).

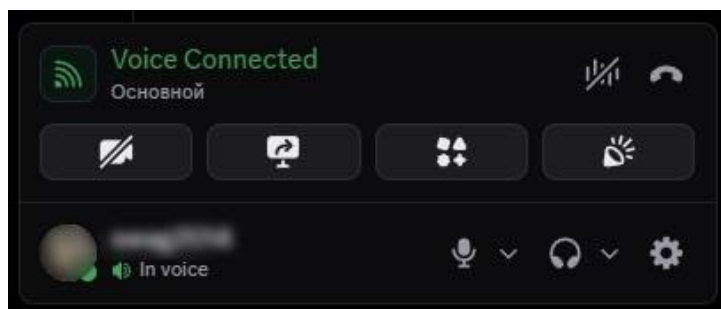


Рис. 3. Индикатор голосового канала в Discord

Ещё одним необходимым элементом был плеер для аудиофайлов, который, во время воспроизведения аудиофайла, как индикатор голосового канала, оставался бы на экране в отдельном месте вне зависимости от действий пользователя. В Discord отсутствует такой элемент интерфейса, но в VK и Telegram он пользуется спросом у пользователей, так что его было решено добавить, однако, примеры их дизайна были отброшены, т. к. лично замечено и подтверждено опросом, что расположение и форма их плееров являются неудобными.

Эмбеды (встроенный контент с внешних ресурсов) есть в каждом из трёх мессенджеров, но объективно лучше всего реализованы в Discord, потому что контент (например, музыка со стримингового сервиса) можно проигрывать (рис. 4). Единственная проблема – эмбед появляется только после отправки сообщения со ссылкой, то есть перед отправкой сообщения мы не можем понять, появится ли он и не можем его при желании отключить. Причём такой проблемы нет в VK и Telegram, и конечно в нашем прототипе это исправлено.

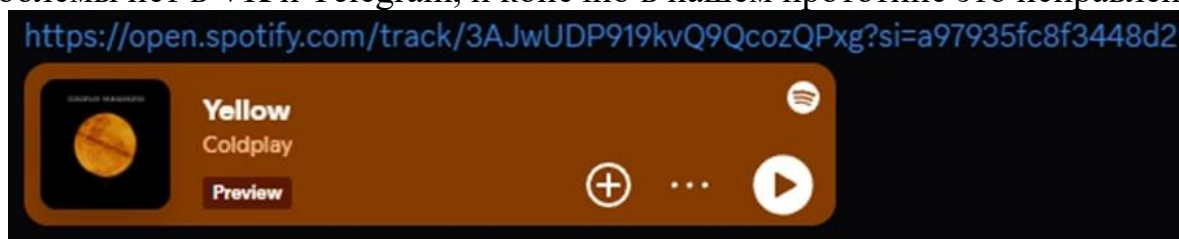


Рис. 4. Эмбед трека из Spotify в Discord

Реализация UI-дизайна в среде Figma

Пользовательский интерфейс (UI) является реализацией утвержденных ранее UX-решений. Была выбрана актуальная на сегодняшний день тёмная тема интерфейса. Цвет акцентов – привычный для мессенджеров синий. Структура представляет из себя четыре столбца слева направо – вкладки, список, основная область (чат или новостная лента), дополнительная область (каналы или информация). Логика расположения столбцов соответствует иерархии: слева направо, выбор вкладки – список элементов вкладки – основная область элемента вкладки – дополнительная информация об элементе вкладки.

Были реализованы три вкладки – личные сообщения (рис. 5), беседы и сообщества (рис. 6). На рис. 5 в правом нижнем углу можно увидеть реализацию индикатора голосового канала, в центре над строкой для ввода

сообщения – реализацию эмбедов. На рис. 5 и 6 в левом нижнем углу можно увидеть реализацию плеера для аудиозаписей.

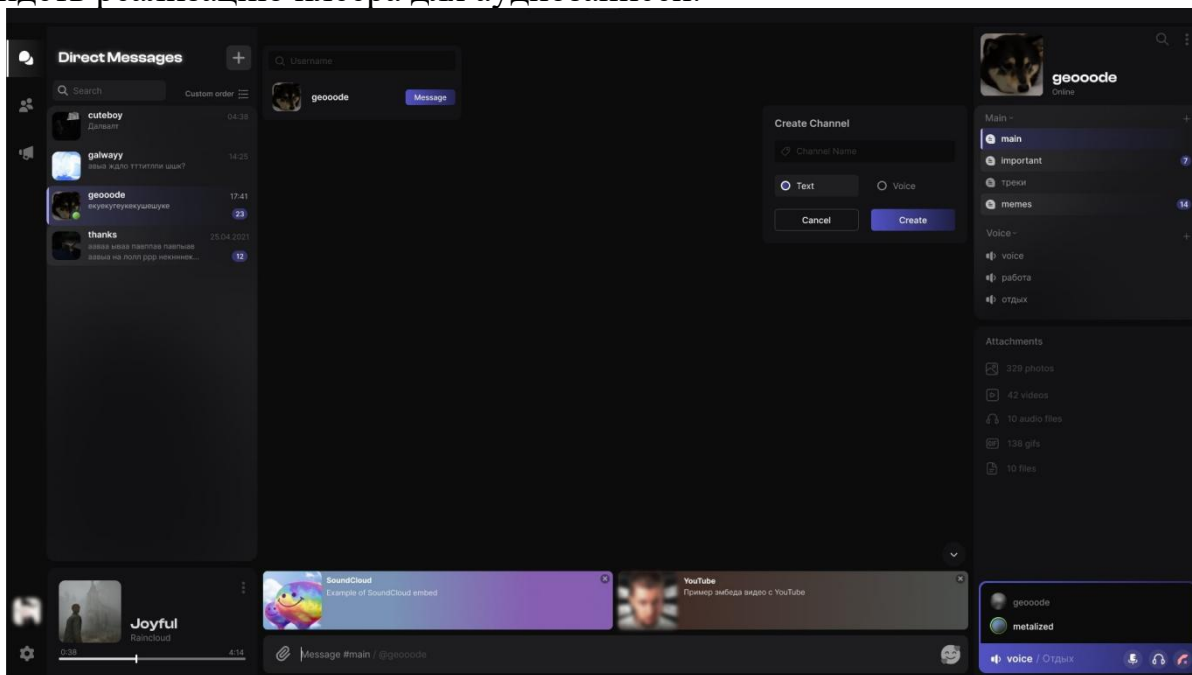


Рис. 5. Личные сообщения

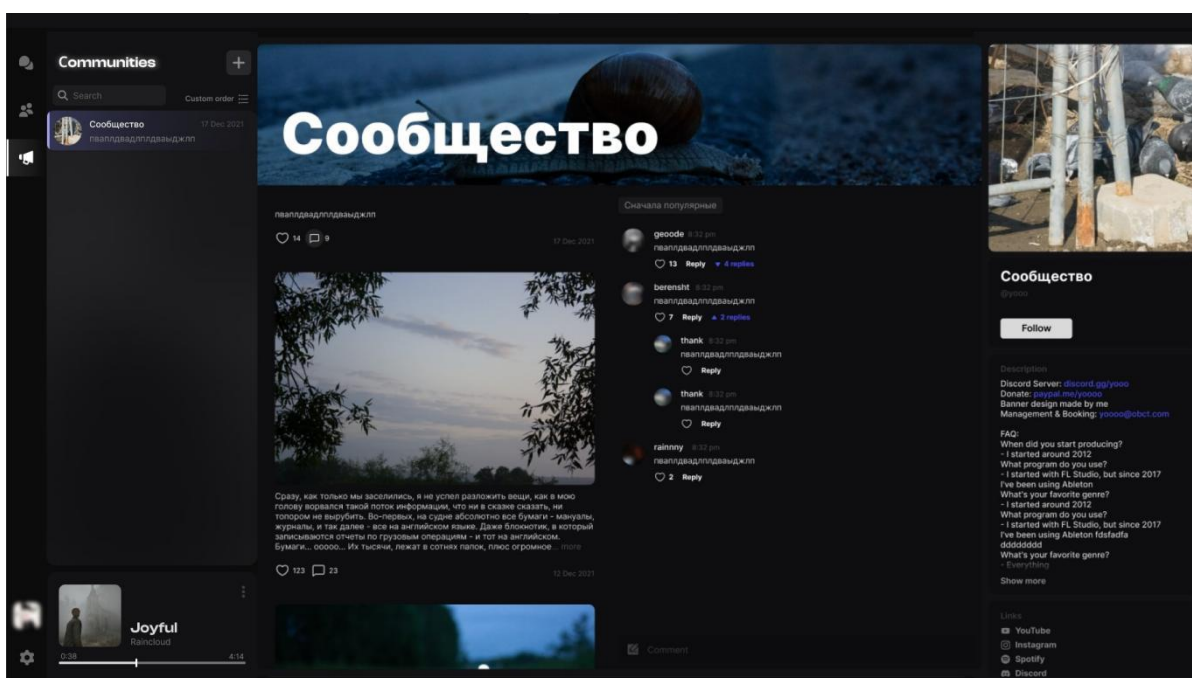


Рис. 6. Сообщества

Заключение

В ходе работы был спроектирован и реализован в среде Figma высокодетализированный UI-прототип веб-приложения мессенджера. Проект успешно комбинирует проверенные временем UX-паттерны из Discord, Telegram и VK, предлагая пользователю единое и многофункциональное коммуникационное пространство.

Применение структурного подхода и инструментов Figma позволило создать масштабируемую дизайн-систему.

Дальнейшие шаги должны включать проведение тестирования созданного прототипа для утверждения принятых дизайн-решений и последующей итеративной доработки интерфейса.

Библиографический список

1. Смарт А. Проектирование в Figma: от основ к сложным дизайн-системам. — М.: АСТ, 2024. — 280 с.

2. Норман Д. А. Дизайн привычных вещей (The Design of Everyday Things). — М.: Вильямс, 2013. — 384 с.

3. Нильсен Я. 10 эвристик юзабилити для проектирования пользовательских интерфейсов. / Nielsen J. 10 Usability Heuristics for User Interface Design. [Электронный ресурс]. URL: <https://www.nngroup.com/articles/ten-usability-heuristics/> (дата обращения: 02.11.2025).

© Сергиенко Г.А., 2025

УДК 62-1

Т.П. СОЛЯННИКОВА

s_tanya_15@mail.ru

Науч. руковод. – к.т.н., доцент кафедры информатики, Г.Ф. НИЗАМОВА

Уфимский университет науки и технологий

SMART-СТАНДАРТЫ: ЦИФРОВАЯ ТРАНСФОРМАЦИЯ ТЕХНИЧЕСКОГО РЕГУЛИРОВАНИЯ

Аннотация: в современное время цифровой трансформации всё чаще в выборе между традиционным стандартом и стандартов другого уровня, машиноанализируемого) выбирают второй вариант. В статье проведен анализ сравнения использования данных стандартов по нескольким факторам.

Ключевые слова: традиционный стандарт; SMART-стандарт; сравнительный анализ.

Цифровая революция не обошла стороной и такую консервативную сферу, как стандартизация. Если раньше стандарт был просто документом — сводом правил и требований, которые специалист должен был прочесть, проанализировать и применить, то сегодня на смену ему приходят принципиально новые решения. Наступает эра SMART-стандартов — машинопонимаемых документов, которые способны самостоятельно взаимодействовать с информационными системами. Эта трансформация меняет сам принцип работы с технической документацией, открывая путь к кардинальному повышению эффективности, прозрачности и автоматизации процессов в промышленности и строительстве. В данной статье мы рассмотрим, как «умные» стандарты вытесняют традиционные, в чём их ключевые преимущества и какие перспективы открывает их повсеместное внедрение.

Вклад цифровых технологий в работу со стандартами проявляется в ряде ключевых преимуществ:

– Сокращение времени: современные технологии ускоряют все процессы в сфере стандартизации;

– Повышение прозрачности: обеспечивается открытость и прозрачность работы организаций;

– Упрощение распространения: онлайн-обмен технической документацией и её бесконечное тиражирование без потери качества;

– Обеспечение совместимости: разные системы на предприятиях могут эффективно взаимодействовать друг с другом.

Эти преимущества реализуются через цифровизацию нормативной документации — структурированное внедрение технологий в стандарты. Сегодня выделяют два их основных вида:

1. Машиночитаемые стандарты: система может самостоятельно проводить их анализ;

2. SMART-стандарты: машина не только читает, но и понимает, анализирует и применяет содержание документа без участия человека-оператора [1].

Для внедрения SMART-стандартов в июле 2021 года Росстандартом был создан Проектный технический комитет «Умные (SMART) стандарты» (ПТК 711). Его задача — совершенствование стандартов для отечественной промышленности и укрепление позиций российской экономики на международной арене [2].

На сегодняшний день в работе многих предприятий активно принимают участие SMART-стандарты. Например, в сфере капитального строительства: объекты, строящиеся на бюджетные средства, должны проходить госэкспертизу с предоставлением информационной модели объекта. Несмотря на трудоёмкость, эксперты активно работают над автоматизацией этих проверок. SMART-стандарты, лежащие в основе таких процессов, в перспективе значительно упростят проверку как для разработчиков, так и для экспертов, сократив жизненный цикл проекта [3].

Ещё один пример применения «умных» стандартов — это обмен данными, требуемыми при осуществлении закупок товаров, материалов и услуг. Масштабный промышленный классификатор в мире — европейский ECLASS — изначально предполагался, как способ автоматизации закупок, а также унификации данных для разных частей большой системы холдингов. Обмен документами в машинопонимаемом формате одновременно и ускоряет, и делает процесс эффективнее, сокращая возможность появления различных ошибок при работе, что нужно учитывать при проведении импортозамещения.

Сравнивая использование традиционных и SMART-стандартов, стоит отметить, что традиционный стандарт — это документ, содержащий в себе требования к продуктам и услугам, которые специалист самостоятельно применяет, то есть анализирует документ, выводит оттуда нужную ему информацию и данные, правильно формулирует полученную информацию и только после этих процессов, он может её применить, причём тоже самостоятельно. Стандарты такого рода характеризуются следующим:

- Существуют в виде статичных текстовых документов;
- Не ориентирован на автоматизацию процессов;
- Информацию из технической документации может применить только человек.

SMART-стандарт — это стандарт, который содержит в себе информацию, которая может быть обработана компьютером и машинами. В документе такого вида, полностью сформирована логическая структура, направленная на понимание смысла содержимого стандарта. Это характеризует проявление автоматизированного процесса, который и упрощает работу в этом направлении.

Это осуществляется с помощью специальных программ, а также искусственным интеллектом, среди которых:

- Проведение анализа полноты документов по стандартизации, актуальности его данных, согласованности и непротиворечивости требований в сравнении изучаемого документа с информацией другой технической документации;

- Построение единой системы нормативной и технической документации, в которой проводится связь между стандартами, которые имеют одно направление;

- Перевод документаций по стандартизации в машиночитаемый вид;

- Автоматическое выделение нужной информации с классификаторами и справочниками для её дальнейшего использования на предприятии;

- Создание сервисов с искусственным интеллектом при проведении проверок документации, которая находится в разработке на соответствие уже принятой и активно используемой нормативной документации [4].

Сравнительный анализ работы с традиционными и SMART-стандартами приведен в таблица 1.

Таблица 1

Сравнительный анализ работы с традиционными и SMART-стандартами

| Фактор | Традиционный стандарт | SMART-стандарт |
|----------------------|--|---|
| Реализация, формат | Статичные текстовые документы, бумажные носители | Информационная система, программный комплекс |
| Обработка данных | Анализ содержимого выполняет человек(оператор) | Машина самостоятельно «читает», «понимает» и «интерпретирует» данные из документа |
| Выделение требований | Формируется специалистом | Машина выделяет требования и связывает их с требованиями других документов |
| Внедрение изменений | Выполняет специалист | Автоматически, с помощью связи между документами |

Таким образом, работа со SMART-стандартами значительно упрощает работу со стандартизацией на производстве, уменьшает часы рутинной работы, что позволяет акцентировать внимание на остальных факторах производства для дальнейшего роста производительности. Ближайшее развитие цифровизации стандартизации направлено на создание самостоятельно обучающихся нормативных систем, проведение интеграции SMART-

стандартов технологиями искусственного интеллекта и, собственно, их внедрение в большее число предприятий.

Библиографический список

1. ПНСТ 864-2023. Предварительный национальный стандарт российской федерации умные (SMART) стандарты. Общие положения: национальный стандарт Российской Федерации: дата введения 2024-02-01 / федеральное агентство по техническому регулированию. – изд. Официальное. – Санкт-Петербург: «Кодекс», 2023. – 16 с.

2. Цифровизация стандартов и понятие SMART-стандарта/ Т.П. Соляникова, Е. А. Филонина// Уфа: – Уфа, 2024. – С. 366-240

3. Зачем нужен SMART-стандарт? - Москва, 2023. –URL: <https://cntd.ru/cifrovaya-transformacia/read/smart-standard-what-for/>. – текст: электронный

4. Трансформация документов по стандартизации в формат умных (SMART) стандартов, как необходимое условие внедрения искусственного интеллекта в градостроительную деятельность - Москва, 2024. –URL: https://cifrastroy.ru/uploads/files/konferencia-ii/2_Дмитриева_cifrastroy.ru. – текст: электронный

© Соляникова Т.П., 2025

УДК 004.8:004.942

У.Э. ТАДЖИБОВ

tadzhibov.umar07@gmail.com

Науч. руковод. – канд. экон. наук, доц. Н.К. ГАДЖИЕВ

Дагестанский государственный университет

КАК ИСКУССТВЕННЫЙ ИНТЕЛЛЕКТ МЕНЯЕТ РАБОТУ ПРОГРАММИСТА И ФРОНТЕНД-РАЗРАБОТЧИКА

Аннотация: в статье рассматривается влияние нейросетевых инструментов на современную фронтенд-разработку. Описаны возможности ChatGPT, GitHub Copilot, Tabnine, Figma AI, Uizard, Locofy и Anima, которые ускоряют создание интерфейсов и снижают долю ручного труда. Отмечено, что ИИ повышает эффективность и качество кода, позволяя разработчику сосредоточиться на творческих и архитектурных задачах.

Ключевые слова: искусственный интеллект, нейросети, фронтенд-разработка, ChatGPT, GitHub Copilot, Tabnine, Figma AI, Uizard, Locofy, Anima, автоматизация, прототипирование, генерация кода, веб-разработка.

Введение

Представьте себе: вы приходите на работу, а ваш коллега — искусственный интеллект. Он умеет писать код, исправлять ошибки и даже подсказывать, как лучше оформить интерфейс. Звучит как научная фантастика? А вот нет — это уже реальность.

ИИ перестал быть чем-то из лабораторий: сегодня он на рабочем месте у программиста так же привычен, как IDE или Git. Инструменты вроде GitHub Copilot, ChatGPT, Tabnine помогают ускорить разработку, снимают рутину и иногда даже спасают от вечной борьбы с багами.

Особенно заметно влияние ИИ на фронтенд – ту самую часть, что делает сайты красивыми, удобными и интерактивными. Уже есть решения, которые автоматически генерируют дизайн, верстку и адаптируют сайт под разные устройства. Но вот вопрос: сможет ли ИИ полностью заменить человека? Давайте разбираться.

1. ИИ в программировании: помощник или соавтор?

ИИ сегодня — это не просто «умный автокомплит». Это полноценный соавтор. GitHub Copilot, Tabnine и Codeium могут: предлагать рабочий код прямо в процессе написания; искать ошибки и оптимизировать решения; писать тесты и документацию; объяснять, как работает код.

Даже ChatGPT способен не только генерировать код, но и разрабатывать алгоритмы или целые архитектуры приложений.

Однако ИИ не думает, как человек. Он выбирает вариант кода, исходя из статистики и вероятностей, а не из понимания задачи. Поэтому ваша роль как программиста остаётся ключевой: проверять, дорабатывать и направлять ИИ.

2. Как меняется работа программиста

Раньше программист должен был знать синтаксис языков и алгоритмы. Сегодня важнее умение правильно поставить задачу ИИ и интерпретировать результат.

Можно сказать, программист превращается в архитектора решений. Он больше не пишет каждый символ кода вручную, а управляет процессом, контролирует качество и принимает ключевые решения.

Особенно возрастает значение *soft skills* — способность ясно формулировать запросы, анализировать и принимать решения. Навык *prompt engineering*, или искусство точной постановки задачи для ИИ, становится новым супернавыком современного разработчика.

Но есть и обратная сторона: если полностью полагаться на ИИ, можно потерять базовые навыки программирования. Поэтому важно не просто получать код, а понимать, как он работает.

3. ИИ в фронтенде: дизайнер, верстальщик и помощник в одном лице

Фронтенд — это то, что видят пользователи: кнопки, меню, анимации. Здесь ИИ проявляет себя особенно ярко.

Одним из наиболее универсальных инструментов стал ChatGPT от OpenAI. Он способен не просто сгенерировать HTML, CSS или JavaScript-код, но и объяснить, как именно работает тот или иной фрагмент, предложить оптимизацию или найти ошибку. Благодаря этому ChatGPT можно рассматривать как полноценного ассистента, который помогает создавать интерактивные элементы и ускоряет процесс разработки.

Не меньшую популярность получил GitHub Copilot — «умный напарник» в IDE. Он анализирует миллиарды строк открытого кода и предлагает автодополнения, тесты и даже шаблоны документации. Разработчик получает контекстные подсказки в реальном времени, что значительно повышает скорость и качество написания кода.

Для тех, кто ищет гибкость и интеграцию с различными инструментами, существует Tabnine. Эта нейросеть поддерживает большинство языков программирования и фреймворков, автоматически оптимизирует код и бесшовно встраивается в привычные IDE. Она становится особенно полезной при больших проектах, где важна единообразная структура и стиль написания кода.

Дизайнерам и фронтенд-разработчикам, работающим с визуальной частью, стоит обратить внимание на Figma AI и Uizard. Эти инструменты способны преобразовать обычные эскизы или фотографии в интерактивные прототипы. Они подбирают подходящие цветовые схемы, шрифты и создают адаптивный дизайн, который легко масштабируется под мобильные устройства.

Когда же дело доходит до переноса дизайна в рабочий код, на помощь приходят Losofy и Anima. Эти сервисы умеют автоматически конвертировать макеты из Figma в HTML, CSS и React-компоненты. Это не только экономит время, но и снижает количество ошибок при верстке, улучшая структуру и читаемость кода.

Эти инструменты позволяют фронтенд-разработчикам сэкономить время и сосредоточиться на креативной части: UX-дизайне, инновациях и пользовательском опыте.

Аналитика и эффективность

Согласно последним исследованиям, использование ИИ сокращает рутину фронтенд-разработчика на 30–50%, повышает скорость прототипирования и позволяет быстрее выпускать MVP. Большие компании, включая Microsoft и Vercel, активно интегрируют ИИ в рабочие процессы, что подтверждает его эффективность.

Однако важно помнить, что ИИ пока не понимает контекст проекта полностью, иногда создаёт избыточный или плохо структурированный код. Поэтому роль человека остаётся ключевой: фронтенд-разработчик становится режиссёром, направляющим ИИ и проверяющим качество результата.

4. Профессия программиста в эпоху ИИ

ИИ не заменит программиста полностью. Он изменит суть работы: вместо рутинного кодирования мы станем инженерами знаний, которые формулируют задачи для ИИ и контролируют их выполнение.

Что уже автоматизируется:

1. Генерация шаблонного кода;
2. Написание документации;
3. Создание тестов.

Что остаётся за человеком:

1. Архитектурные решения;
2. Обеспечение безопасности и оптимизация;
3. Креативный подход и UX-дизайн.

Для фронтенд-разработчиков ИИ — инструмент расширения возможностей. Он освобождает от рутинной работы и позволяет сосредоточиться на креативе и стратегии. Будущее — симбиоз человека и машины: ИИ берет на себя рутину, человек — стратегию и креатив.

Заключение

ИИ уже меняет программирование и фронтенд: ускоряет процесс, снижает ошибки и открывает новые возможности для творчества. Но он не заменяет человека — он делает нас сильнее.

Фронтенд-разработчики и другие IT-специалисты должны учиться работать с ИИ как с партнёром: понимать его сильные и слабые стороны, уметь формулировать задачи и оценивать результат. Кто освоит эти навыки — останется востребованным и в будущем.

Эпоха, когда программисты создавали инструменты для автоматизации чужой работы, заканчивается. Начинается новая – когда инструменты помогают автоматизировать сам процесс разработки. И всё же нужна человеческая ценность: направление, смысл и креатив. ИИ может писать код, но только человек понимает, зачем он нужен.

Библиографический список

1. Фронтенд-разработка в эпоху искусственного интеллекта [Электронный ресурс] // Zerocoder. – 01.08.2024 (обновлено 27.09.2024). – Режим доступа: https://ya.zerocoder.ru/frontend-razrabotka-v-epohu-iskusstvennogo-intellekta/?utm_source=chatgpt.com

2. ИИ-магия: фронтенд, который думает [Электронный ресурс] // Хабр. – 08.07.2025. – Режим доступа: <https://habr.com/ru/companies/neoflex/articles/925926/>

3. 5 AI-инструментов, которые должен попробовать каждый Frontend-разработчик [Электронный ресурс] // Blog OpenReplay. – 01.09.2025. – Режим доступа: <https://blog.openreplay.com/ru/5-%D0%B8%D0%BD%D1%81%D1%82%D1%80%D1%83%D0%BC%D0%B5%D0%BD%D1%82%D0%BE%D0%B2-ai-%D0%B4%D0%BB%D1%8F-frontend-%D1%80%D0%B0%D0%B7%D1%80%D0%B0%D0%B1%D0%BE%D1%82%D1%87%D0%B8%D0%BA%D0%B0/>

4. AI для frontend: модели для генерации интерфейса [Электронный ресурс] // TProger. – 29.04.2025. – Режим доступа: <https://tproger.ru/articles/ai-dlya-frontend--modeli-dlya-generacii-interfejsa>

© Таджибов У.Э., 2025

УДК 004.896

Д.В. ТРЯСКИН

den.tryaskin@mail.ru

Д.Ф. ЮСУПОВ

dranikcoder@gmail.com

Науч. руковод. – канд. техн. наук, доцент Г.Ф. НИЗАМОВА

Уфимский университет науки и технологий

ГОЛОСОВОЙ АССИСТЕНТ-КОНСУЛЬТАНТ ПРИЕМНОЙ КОМИССИИ УНИВЕРСИТЕТА

Аннотация: в статье представлена разработка голосового ассистента для приёмной комиссии университета. Система автоматизирует ответы на типовые вопросы абитуриентов о поступлении, документах и сроках подачи. Описаны используемые технологии и результаты тестирования, подтвердившие эффективность решения в повышении доступности информации.

Ключевые слова: голосовой ассистент; приёмная комиссия; искусственный интеллект; распознавание речи; синтез речи; обработка естественного языка; консультирование абитуриентов; цифровизация образования; нейронные сети; машинное обучение.

Введение

Голосовой ассистент – это программа, использующая искусственный интеллект для выполнения задач на основе голосовых команд. Он распознает человеческую речь, преобразует ее в текст, понимает намерение пользователя и выполняет соответствующее действие, например, отвечает на вопросы, ищет информацию, управляет устройствами, звонит или делает заказы.

Актуальность обусловлена тремя факторами: необходимостью снизить операционную нагрузку на персонал, растущим количества абитуриентов и их спросом на мгновенную информацию, а также общей цифровизацией образования, требующей внедрения интеллектуальных сервисов

Целью разработки является создание программного средства, представляющее из себя голосового ассистента, его настройке и обучения для консультирования по направлению «Специальные организационно-технические системы»

Постановка задачи

Для достижения поставленной цели предполагается:

1. Проанализировать существующие методы машинного обучения, применяемые в данной области.
2. Оценить их применимость к данным с высокой вариативностью и шумом.

3. Определить тенденции развития интеллектуальных систем анализа данных в контексте организационно-технических приложений.

Research Article

В данном разделе представлено обоснование выбора технологий и методов, используемых для реализации голосового помощника.

Логика работы голосового помощника разделена на несколько самостоятельных, но связанных между собой модулей. Общая архитектура системы представлена на Рис. 1 и включает следующие модули:

1. Графический интерфейс пользователя (GUI)
2. Обработка ввода с микрофона
3. Преобразование речи в текст (Speech to Text – STT)
4. Обработка текста и создание текстового ответа
5. Преобразование текста в речь (Text to Speech – TTS)



Рис. 1. Архитектура голосового ассистента

Графический интерфейс пользователя (GUI)

Графический интерфейс пользователя выполнен в виде консольного Python-приложения. Преимуществами такого подхода можно считать ускорение прототипирования, разработки и тестирования, снижение количества необходимых зависимостей, повышение надежности системы за счёт отсутствия промежуточных элементов между интерфейсом и логикой, высокая совместимость и высокая производительность.

В качестве альтернатив рассматривались нативные desktop приложения и мобильные приложения, для реализации которых есть множество готовых и поддерживаемых фреймворков, таких как Tkinter и PyQt, основанные на языке Python, Electron и React Native, основанные на JavaScript, и другие. Недостатком данного подхода является требование по установке дополнительного ПО конечным пользователем, что в глазах пользователя может резко снизить целесообразность использования решения.

По вышеописанным причинам (лёгкость, надежность, простота) было решено отказаться от реализации решения за счёт веб-технологий. Однако, на последующих стадиях разработки проекта актуальность этого решения будет куда более оправдана и позволит реализовать клиент-серверную архитектуру с высокой степенью интеграции в уже существующие сервисы учебного заведения.

Обработка ввода с микрофона

Язык программирования Python содержит множество готовых библиотек для работы с аудио, обучением и использованием нейронных сетей.

Для обработки ввода с микрофона пользователя выбрана библиотека `sounddevice`, предоставляющая простой и интуитивно понятный Python-интерфейс для записи и воспроизведения звука. Эта библиотека рекомендуется к использованию в документации популярных инструментов для транскрибации, таких как `vosk` и `whisper`, поэтому она идеально подходит для решения поставленной задачи.

Преобразование речи в текст (Speech to Text – STT)

Для преобразования речи в текст выбрана библиотека `Whisper`. Этот инструмент для обработки речи разрабатывается и поддерживается одной из передовых компаний в области технологий искусственного интеллекта `OpenAI`, за счёт чего обладает высокой точностью распознавания. Несмотря на своё происхождение, библиотека распространяется бесплатно по открытой лицензии и после установки и настройки работает полностью локально, не требуя подключения к серверам `OpenAI`. В рамках решаемой задачи, наиболее подходящей моделью `whisper` является легковесная модель `tiny`, сочетающая достаточную точность распознавания с высокой скоростью обработки.

В качестве альтернатив рассмотрены библиотеки `SpeechRecognition` и `Vosk`.

Отказ от первой обусловлен её привязкой к `Google Web Speech API`, что влечет за собой риски, связанные с доступностью и конфиденциальностью данных в условиях возможных блокировок внешних сервисов.

Недостатком `Vosk` является долгое время запуска моделей, вплоть до нескольких минут, что затрудняет быстрое получение информации у ассистента, также `Vosk` более требователен к объему оперативной памяти хоста, что затрудняет использование ассистента множеством пользователей одновременно.

Обработка текста и создание текстового ответа

Разрабатываемая модель выполняет специфическую задачу поиска ответа на вопрос, связанный с предметной областью специальных организационно-технических систем.

В качестве базы знаний модели выступает файл в формате `JSON`, содержащий перечень часто задаваемых вопросов и ответов к ним. Для решения задачи определения вопроса пользователя использован подход, основанный на применении языковой модели и модели нечеткой логики из библиотеки `fuzzywuzzy`.

Полученный в ходе транскрибации текст вместе с перечнем доступных вопросов подается на вход открытой модели семантического анализа текста `sentence-transformers/paraphrase-multilingual-mpnet-base-v2`, импортируемой из источника посредством библиотеки `sentence_transformers`. При относительно

небольшом весе в 1.1 Гб модель с высокой точностью способна привести ввод к нормальной форме одного из вопросов, что позволяет пользователю задавать вопрос в различных формулировках.

Чтобы нивелировать ошибки языковой модели реализована дополнительная проверка методом `partial_token_sort_ratio` из библиотеки `fuzzywuzzy`. Этот метод сравнивает ввод в виде отсортированной последовательности токенов с аналогичной последовательностью, полученной из оригинальной формулировки вопроса, что повышает точность сравнения в случае перестановки слов в запросе.

В качестве альтернатив рассматривались решения на основе расстояния Левенштейна. Данный подход позволяет корректно определить задаваемый вопрос при наличии небольших ошибок или неточностей в запросе, однако, в отличие от языковой модели не способен сравнивать текст по смыслу, устанавливая ограничение на использование пользователем синонимов и иных формулировок основной части вопроса помимо нормальной, что недопустимо в рамках решаемой задачи.

Преобразование текста в речь (Text to Speech – TTS)

Для преобразования подобранного моделью ответа их текстовой в голосовую форму выбрана модель Silero TTS, предоставляющая в высокой степени натуральное звучание воспроизводимого текста на русском языке. Модель способна автоматически проставлять ударения в произносимых словах, самостоятельно различать буквы е и ё, проставлять паузы в зависимости от пунктуации и т.д. Недостатками модели можно считать отсутствие поддержки языков помимо русского, что не критично для данного проекта.

Альтернативным решением выступает библиотека `pyttsx3`, являющаяся оберткой вокруг системных речевых движков (SAPI5 на Windows, NSSpeechSynthesizer на macOS, eSpeak на Linux). Главные недостатки – роботизированное звучание, ограниченный контроль над параметрами голоса и низкое качество синтеза.

Описание реализации

В текущей реализации перед моделью была поставлена задача распознавания наиболее частых вопросов, задаваемых абитуриентами, рассматривающими перспективу поступления на направление специальные организационно-технические системы.

Перечень основных вопросов:

1. Специалитет или бакалавриат?
2. Какой срок обучения?
3. Какая будет квалификация?
4. Кем смогу работать?
5. Почему мне стоит здесь учиться?
6. Где мне найти прочую информацию?

Вопросы подавались на вход модели как в изначальной, так и в альтернативных формулировках. Например, второй вопрос может быть также задан как «Сколько длится обучение?» или «Сколько лет учиться на той специальности», то же самое с четвёртым вопросом: «На какой профессии я смогу работать?», «Кем я смогу устроиться?» и далее по аналогии.

В результате эксперимента модель корректно определила вопросы пользователя в 18 случаях из 18.

На Рис. 2 представлен пример окна вывода модели с указанием транскрибированного текста до обработки языковой моделью и после. Ответы были успешно подобраны из базы знаний и озвучены для пользователя.

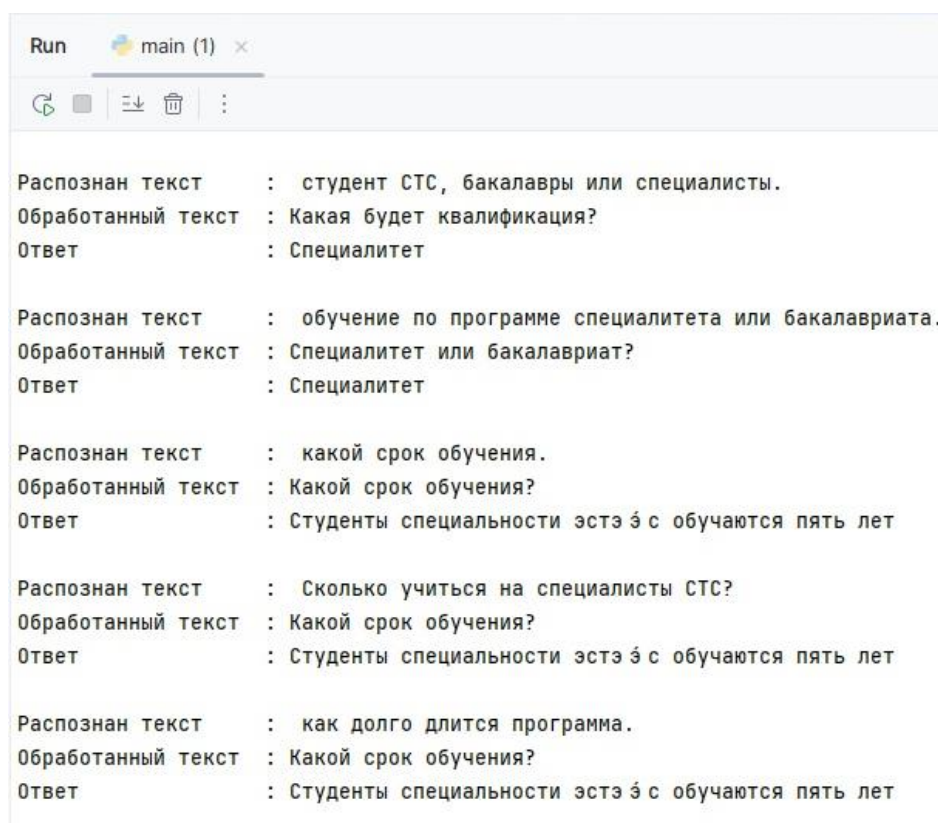


Рис. 2. Окно вывода голосового ассистента

Заключение

В итоге проведённой работы была построена модель голосового ассистента, выполняющего консультацию абитуриентов. Эксперимент показал, что разработанная модель успешно определяет голосовой запрос и озвучивает соответствующий ответ в 18 из 18 проведённых опытов, на основе этого делаем вывод о том, что модель решает поставленную проблему с высокой точностью.

Библиографический список

1. Возможности усовершенствования элементарных компьютерных игр путем внедрения элементов искусственного интеллекта / Р. Ф. Аминова, Т. Р. Каримова, Е. А. Юнусова, Г. Ф. Низамова // Мавлютовские чтения: Материалы XVIII Всероссийской молодёжной научной конференции. В 9-ти томах, Уфа, 25–29 ноября 2024 года. – Уфа: Уфимский университет науки и технологий, 2024. – С. 963–968.
2. Горбань, А. Н. Искусственный интеллект: методы и технологии / А. Н. Горбань, И. В. Седов. – М.: ИНФРА-М, 2021. – 312 с.
3. Кузнецов, С. О. Машинное обучение: учебное пособие / С. О. Кузнецов. – СПб.: Питер, 2020. – 288 с.
4. Журавлёв, Ю. И. Искусственный интеллект и проблемы информатизации общества / Ю. И. Журавлёв // Информационные технологии и вычислительные системы. – 2022. – № 3. – С. 15–23.
5. Бабкин, Е. А. Технологии обработки естественного языка в интеллектуальных системах / Е. А. Бабкин, В. П. Козлов // Вестник компьютерных и информационных технологий. – 2023. – № 9. – С. 34–41.
6. Трубецков, Д. И. Синтез и распознавание речи в интеллектуальных системах / Д. И. Трубецков. – М.: БИНОМ. Лаборатория знаний, 2021. – 246 с.
7. Киселёв, П. Н. Современные технологии голосовых ассистентов / П. Н. Киселёв // Информационные технологии. – 2023. – № 8. – С. 66–73.
8. Гребенников, А. В. Цифровизация высшего образования в России: тенденции и перспективы / А. В. Гребенников // Высшее образование сегодня. – 2023. – № 6. – С. 10–16.
9. Официальный сайт Уфимского университета науки и технологий. – Режим доступа: <https://uust.ru> (дата обращения: 08.11.2025)

© Тряскин Д.В., Юсупов Д.Ф., 2025

УДК 004.896

Р.Р. ФАЙЗУЛЛИН

fausyllin.romka@yandex.ru

Науч. руковод. – канд. техн. наук, доц. Г.Ф. НИЗАМОВА

Уфимский университет науки и технологий

ПРОГРАММНЫЕ СРЕДСТВА ДЛЯ ГЕНЕРАЦИИ ЗВУКА И РЕЧИ ПЕРСОНАЖЕЙ В КОМПЬЮТЕРНЫХ ИГРАХ

Аннотация: в статье рассматриваются современные инструменты генерации звука и речи в играх, включая синтез речи, клонирование голосов, процедурные эффекты и адаптивную музыку. Показано, как эти технологии ускоряют производство, снижают затраты и расширяют творческие возможности команд.

Ключевые слова: нейросети; генерация звука; генерация речи; нейронные сети.

Введение

В современной игровой индустрии с каждым годом растут стандарты качества звука и речи персонажей. Разработчики всё чаще стремятся сделать аудиосопровождение более живым, выразительным и динамичным. Благодаря развитию нейросетевых технологий многие студии, особенно небольшие инди-команды, начинают переходить от традиционной записи озвучки и ручного создания звуковых эффектов к использованию генеративных моделей. Такие инструменты позволяют значительно ускорить процесс производства, снизить расходы и при этом обеспечить необходимое качество звучания, подходящее для игровых проектов разных масштабов.

В результате повышается интерес к программным средствам, способным автоматически генерировать речь персонажей, создавать вариативные реплики, моделировать эмоции, а также формировать звуковую среду игры в реальном времени. Однако при всей востребованности подобных технологий отсутствует систематизированное представление о том, какие решения сегодня доступны разработчикам, чем они отличаются и какие задачи позволяют решать. В этой работе рассматриваются современные программные инструменты генерации звука и речи, их преимущества, ограничения и возможная роль при создании игровых проектов.

Способы генерации аудио

С развитием нейросетей и улучшением вычислительных возможностей появились разные подходы к созданию звука, которые активно используются в игровой индустрии. Одним из наиболее заметных направлений стал синтез речи. Современные модели позволяют преобразовывать текст в звучащие реплики, которые по качеству всё ближе к человеческой речи. Популярные сервисы, такие как ElevenLabs, Google Cloud Text-to-Speech, Microsoft Azure

Speech и Amazon Polly, дают возможность выбирать тембр, эмоции и стиль речи. Это позволяет озвучивать диалоги быстро и без привлечения профессиональных актёров, что особенно полезно для инди-команд и проектов с частыми сюжетными изменениями.

Отдельную нишу занимает клонирование голоса, позволяющее воспроизводить голос конкретного человека на основе короткого образца. Для таких задач используются сервисы вроде VoiSpark, Speechify или открытые решения вроде OpenVoice. С их помощью разработчики могут быстро создавать новые реплики для персонажей, сохраняя оригинальный голос. Это снижает нагрузку на актёров озвучки, упрощает локализацию и даёт больше свободы при расширении сюжета.

Не менее важным направлением является процедурная генерация звуковых эффектов, где звук создаётся программно во время игры. Многие современные игровые движки поддерживают такую технологию: например, в Unreal Engine используется система MetaSounds, позволяющая формировать шаги, выстрелы, шум окружения или механические звуки в зависимости от условий. Для более комплексной работы со звуком используются аудиомидлвари вроде FMOD Studio и Wwise, которые позволяют динамически изменять звучание, применять эффекты в реальном времени и экономить место в памяти игры, заменяя часть статических аудио файлов генеративными параметрами.

Помимо речи и эффектов активно развивается область генерации музыки и атмосферных звуков. Инструменты вроде AIVA, Boomy, или Soundraw способны создавать музыкальные композиции, адаптирующиеся под настроение сцены. Некоторые игровые движки позволяют интегрировать такие треки так, чтобы музыка плавно менялась в зависимости от действий игрока: например, переходила от спокойных тем к напряжённым в боевых ситуациях.

Отдельно стоит отметить технологии автоматического липсинка, которые, хоть и не создают звук сами по себе, тесно связаны с синтезом речи. Они формируют движение губ и мимику персонажей на основе аудио, делая речь более убедительной. Для этих задач часто применяют Oculus OVR LipSync, SALSA LipSync Suite для Unity, а также решения вроде FaceFX. Эти инструменты автоматизируют трудоёмкую работу аниматоров и позволяют быстрее интегрировать синтезированную речь в игру.

В совокупности все перечисленные способы образуют широкий набор технологий, который делает процесс создания аудио в играх более гибким, быстрым и доступным. Благодаря доступным сервисам и инструментам даже небольшие команды могут обеспечить высокое качество звучания, не расходуя крупные бюджеты на запись, обработку и ручное производство контента.

Применение программных инструментов генерации звука и музыки в современной разработке игр

Использование генеративных технологий в аудиопроизводстве всё активнее проникает в современные процессы разработки игр. Рост качества

синтеза речи, появление удобных систем процедурного аудио и развитие нейросетевых генераторов музыки позволяют студиям — от крупных команд до небольших инди-разработчиков — ускорять рабочие процессы и сокращать издержки, одновременно повышая гибкость и вариативность звукового сопровождения. Такие инструменты становятся неотъемлемой частью производственного конвейера, позволяя тестировать игровые сцены, озвучивать персонажей и формировать атмосферу уровней без длительного ожидания результатов традиционной записи или композиторской работы.

Одним из наиболее очевидных направлений применения является автоматизация озвучивания и локализации. Команды активно используют синтез речи для прототипирования диалогов, временной локализации и подготовки сцен. Примером служит крупная игровая платформа Chess.com, интегрировавшая в обучающий режим Play Coach технологии синтеза речи ElevenLabs, что позволило быстро озвучивать обучающие подсказки и взаимодействие с игроком. В коммерческих проектах появляются и более глубокие интеграции: так, в игре Crayola Adventures студии Red Games применяется динамическое голосовое озвучивание на основе Resemble AI, благодаря чему система может изменять темп, манеру и эмоциональный стиль речи в реальном времени, усиливая интерактивность повествования.

Не менее важным направлением становится генерация музыки. Нейросетевые инструменты позволяют формировать адаптивные композиции, использовать быстрые музыкальные наброски на этапах предпродакшена и создавать вариативные темы для сцен. Платформы вроде Suno, используются разработчиками для быстрого поиска музыкального стиля и создания предварительных версий композиций, которые затем подхватывают приглашённые композиторы. Это снижает творческую нагрузку на начальных этапах и позволяет быстрее выстраивать звуковой образ игры.

Процедурные методы генерации звуковых эффектов также занимают значимое место в разработке. Современные аудио-мидлвари, позволяют формировать звук не как статичный набор файлов, а как динамическую систему, реагирующую на поведение игрока и состояние мира. Подобные технологии используются во множестве проектов, уменьшая потребность в большом количестве аудиосэмплов и улучшая вариативность звучания. Unity Audio, в свою очередь, обеспечивает возможность собирать сложные звуковые конструкции на уровне движка, что снижает нагрузку на память и позволяет перенести логику звука непосредственно в игровой процесс.

Генеративные инструменты находят применение и в менее очевидных направлениях — например, в создании адаптивных аудиосистем, работающих на стыке музыки и звуковых эффектов, а также в повышении доступности интерфейсов. Разработчики мобильных проектов используют TTS-движки для озвучивания подсказок и элементов интерфейса, улучшая доступность для игроков с ограничениями по зрению. В ряде случаев генеративные инструменты применяются и в продакшене маркетинговых материалов:

музыкальные генераторы позволяют быстро создавать подходящие треки для видеороликов, геймплейных трейлеров и обучающих материалов.

Возможности перечисленных выше программных средств рассмотрим на примере создания заставки игры и озвучивании реплик одного персонажа. Для создания вступительного ролика необходимо музыкальное сопровождение. Воспользуемся генеративной нейросетью Suno. Заполнив описание песни, в котором обозначен нужный стиль и описание ожидаемого результата, сервис выдаёт сгенерированную музыкальную композицию, подходящую под атмосферу игры.

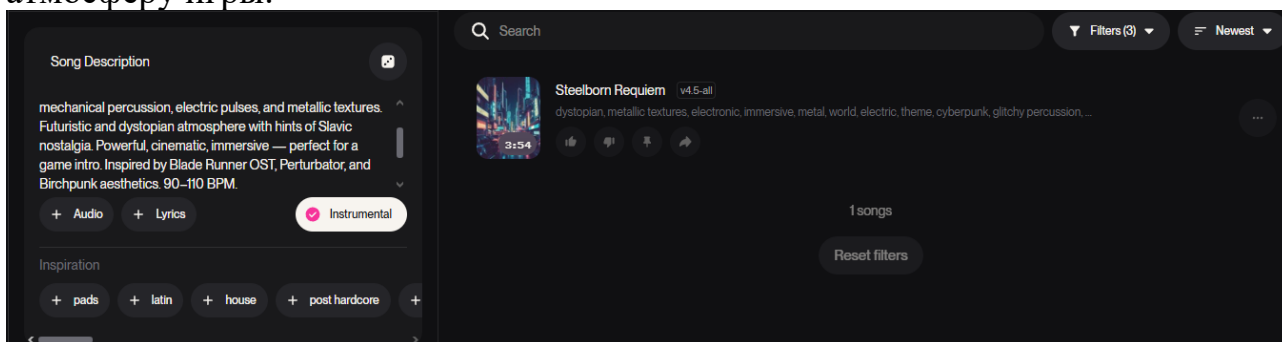


Рис. 88. Создание аудиокomпозиции с помощью Suno

Также, для вступительного ролика нужна фраза, нарративно описывающая, что здесь и сейчас происходит. Для создания такой фразы был использован сервис ElevenLabs. После выбора подходящего голоса и предварительной настройки получаем готовую озвученную фразу, которую уже можно использовать во вступительном ролике

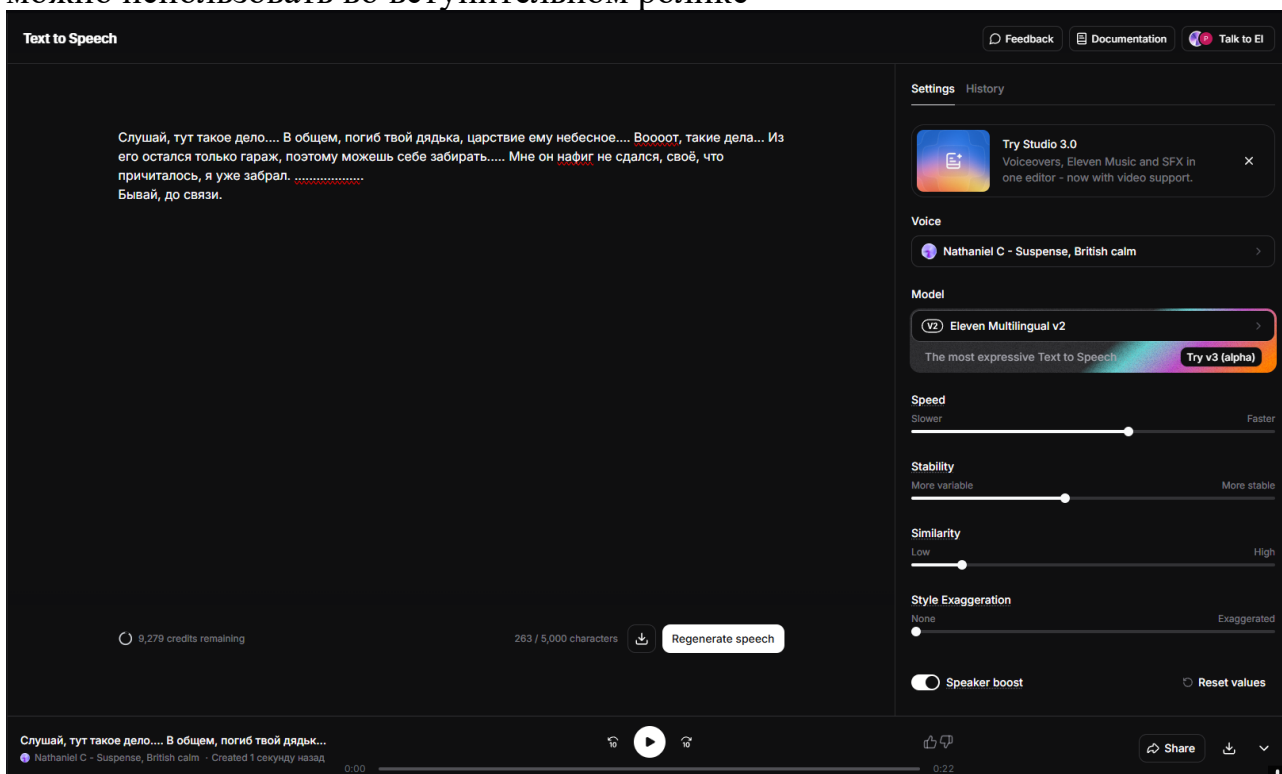


Рис. 89. Создание фраз с помощью ElevenLabs

В совокупности такие практики демонстрируют, что генеративное аудио перестало быть экспериментальной технологией и стало инструментом повседневного производства. Оно не подменяет профессиональную работу звукорежиссёров, актёров или композиторов, но позволяет существенно ускорить рутинные этапы, расширить творческие возможности и обеспечить командам гибкость в условиях интенсивных производственных циклов. Благодаря этому генеративные инструменты становятся значимой частью современного игрового аудиодизайна и продолжают развиваться как фундаментальная технология в индустрии.

Библиографический список

1. Microsoft Azure. Azure Cognitive Services Speech Documentation. – Microsoft Corporation.: <https://learn.microsoft.com/azure/ai-services/speech-service/>
2. Google Cloud. Text-to-Speech Documentation. – Google LLC.: <https://cloud.google.com/text-to-speech/>
3. Amazon Web Services. Amazon Polly Developer Guide. – AWS.: <https://docs.aws.amazon.com/polly/>
4. ElevenLabs. Voice AI Documentation. – ElevenLabs Inc.: <https://elevenlabs.io/docs/>
5. Resemble AI Documentation. – Resemble AI.: <https://www.resemble.ai/docs/>
6. MyShell. OpenVoice: Voice Generation and Voice Cloning Toolkit. – GitHub Repository.: <https://github.com/myshell-ai/OpenVoice>
7. Epic Games. MetaSounds Overview. – Unreal Engine Documentation.: <https://docs.unrealengine.com/>
8. FMOD Studio User Manual. – Firelight Technologies Pty Ltd.: <https://fmod.com/resources/documentation/>
9. Audiokinetic. Wwise Documentation. – Audiokinetic Inc.: <https://www.audiokinetic.com/resources/documentation/>
10. Oculus. OVR LipSync Developer Guide. – Meta Platforms.: <https://developer.oculus.com/>
11. CrazyMinnow Studio. SALSA LipSync Suite Manual. – CrazyMinnow Studio LLC.: <https://crazyminnowstudio.com/>
12. FaceFX Documentation. – FaceFX Technologies.: <https://www.facefx.com/documentation>
13. AIVA Technologies. AIVA User Documentation. – : <https://www.aiva.ai/>
14. ElevenLabs. Chess.com — Iconic Voices Collaboration. URL: <https://elevenlabs.io/blog/chess-dot-com-iconic-voices>
15. Resemble AI. How Red Games Used Realtime Interactive AI Voices in Crayola Adventures. URL: <https://www.resemble.ai/how-red-games-used-realtime-dynamic-interactive-ai-voices-in-crayola-adventures/>
16. Soundraw. Using AI Music Generation in Game Development. URL: <https://soundraw.io/blog/post/ai-music-generator-game-development>

17. CORDIS EU. AI Composers Create Music for Video Games. URL: <https://cordis.europa.eu/article/id/421438-ai-composers-create-music-for-video-games>

18. Возможности усовершенствования элементарных компьютерных игр путем внедрения элементов искусственного интеллекта / Р. Ф. Аминева, Т. Р. Каримова, Е. А. Юнусова, Г. Ф. Низамова // Мавлютовские чтения: Материалы XVIII Всероссийской молодёжной научной конференции. В 9-ти томах, Уфа, 25–29 ноября 2024 года. – Уфа: Уфимский университет науки и технологий, 2024. – С. 963-968.

© Файзуллин Р.Р., 2025

УДК 000.000.00

А.Д. ХАКИМЬЯНОВА

azkhg@yandex.ru

Науч. руковод. – канд. техн. наук, проф. А.С. КОВТУНЕНКО

Уфимский университет науки и технологий

ВЛИЯНИЕ СТРУКТУРЫ ДАННЫХ НА ВРЕМЯ РАБОТЫ АЛГОРИТМА ДЕЙКСТРЫ

Аннотация: в данной статье рассматривается влияние выбора структуры данных на эффективность алгоритма Дейкстры при решении задачи поиска кратчайших путей в графах различной размерности и связности. Исследуются четыре структуры данных: множество с повторяющимися элементами (`std::multiset`) и приоритетная очередь (`std::priority_queue`) из стандартной библиотеки C++, а также пользовательские реализации минимальной кучи (Heap) и фибоначчиевой кучи (Fibonacci Heap). Для оценки производительности алгоритма использованы различные классы графов с разной плотностью и размером.

Ключевые слова: алгоритм Дейкстры, `std::multiset`, `std::priority_queue`, куча, фибоначчиева куча, графы, полный граф.

Введение. В современных задачах обработки больших данных и оптимизации маршрутов алгоритм Дейкстры остаётся одним из ключевых инструментов для поиска кратчайших путей в графах. Однако его производительность напрямую зависит от используемой структуры данных для обработки вершин. [4]

На практике встречаются графы разных типов: от компактных плотных графов до разреженных графов с миллионами вершин. При этом выбор неподходящей структуры данных может привести к значительным задержкам в вычислениях, особенно при работе с графами с большим количеством вершин и ребер.

Таким образом, возникает проблема: как выбор структуры данных для реализации алгоритма Дейкстры влияет на его эффективность при работе с графами различного масштаба и структуры.

Классификация графов

Для классификации графов были выбраны следующие параметры:

- Количество вершин (размер) – влияние увеличения числа вершин.
- Плотность графа – влияние увеличения числа рёбер при фиксированном количестве вершин.
- Структура графа – влияние типа связности.
- Вес ребер – влияние распределения весов рёбер.

Классификация графов

| По размеру | | | | | |
|---------------|------------|-------------|----------------------|-----------------|-----------|
| ID | V | E | Тип структуры | Класс плотности | Вес рёбер |
| R1 | 1 000 | 6 500 | Случайный связный | Средний | 1...10 |
| R2 | 10 000 | 92 000 | | | |
| R3 | 100 000 | 1 150 000 | | | |
| R4 | 1 000 000 | 13 815 510 | | | |
| R5 | 10 000 000 | 161 180 956 | | | |
| По плотности | | | | | |
| ID | V | E | Тип структуры | Класс плотности | Вес рёбер |
| R6 | 10 000 | 9 999 | Линейный граф | Дерево | 1...10 |
| R7 | | 30 000 | Случайный связный | Разреженный | |
| R8 | | 92 000 | | Средний | |
| R9 | | 25 000 000 | | Плотный | |
| R10 | | 49 995 000 | Полный граф | Полный | |
| По структуре | | | | | |
| ID | V | E | Структура | Вес рёбер | |
| S1 | 100 000 | 99 999 | Линейный граф (path) | 1...10 | |
| S2 | | 300 000 | Звезда + случайные | | |
| S3 | | 199 350 | Решётка 2D | | |
| S4 | | 99 999 | Дерево | | |
| По весу рёбер | | | | | |
| ID | V | E | Структура | Вес рёбер | |
| W1 | 10 000 | 92 000 | Случайный связный | 1 | |
| W2 | | | | 1...10 | |
| W3 | | | | 1...100 | |
| W4 | | | | 1...1000 | |
| W5 | | | | 1...10 000 | |
| W6 | | | | 1...100 000 | |

Структуры данных

В данной работе для реализации алгоритма Дейкстры были рассмотрены четыре различных структуры данных: `std::multiset`, `std::priority_queue` из стандартной библиотеки C++, пользовательская реализация минимальной кучи (Heap) и Фибоначчиевой кучи (Fibonacci heap). Каждая из них позволяет извлекать минимальное значение, но имеет свои особенности.

1. *std::multiset*

Это сбалансированное бинарное дерево поиска (обычно красно-чёрное дерево), которое хранит элементы в отсортированном порядке и позволяет иметь дубликаты. Основные операции, такие как вставка, удаление и поиск, выполняются за время $O(\log n)$. Контейнер позволяет легко извлекать минимальный элемент и обновлять структуру, но балансировка дерева и

управление памятью могут замедлять выполнение при больших объёмах данных.[1]

2. *std::priority_queue*

Этот контейнер обычно основан на структуре пирамиды (heap), представляющей собой двоичное дерево специального вида[5]. Вставка и извлечение минимального элемента выполняются за $O(\log n)$. Однако, стандартный `priority_queue` не поддерживает эффективное обновление приоритета элементов. [2] Тем не менее, благодаря меньшим постоянным множителям в оценке временной сложности, `priority_queue` показывает более высокую производительность по сравнению с `multiset`. [5]

3. *Минимальная куча*

В работе также реализована собственная версия минимальной кучи — специализированной структуры данных, которая хранит элементы в виде бинарного дерева, удовлетворяющего свойству кучи (значение у родителя не больше значений у потомков). Такая реализация позволяет контролировать детали работы, включая оптимизацию операций вставки и удаления минимального элемента. Время основных операций — $O(\log n)$. [7] Пользовательская куча даёт возможность избежать накладных расходов, присущих стандартным контейнерам, и адаптировать структуру под конкретные требования алгоритма.

4. *Фибоначчиевая куча*

Фибоначчиева пирамида представляет собой набор деревьев, подобно биномиальной пирамиде, но имеет более слабую структуру. Такая структура поддерживает извлечение минимального элемента за $O(\log n)$. Операции, в которых не требуется удаление, имеют амортизированное время работы, равное $O(1)$. Фибоначчиевы пирамиды особенно полезны в случае, когда количество операций `EXTRACT_MIN` и `DELETE` относительно мало по сравнению с количеством других операций. [7]

Результаты исследования

Эксперимент проводился на ноутбуке ASUS TUF 15 с оперативной памятью объёмом 16 ГБ.

Измерения проводились для каждого класса графов (Таблица 1).
Результаты:

1. Для графов размером до 10 000 вершин наилучшие результаты показывают пользовательская минимальная куча и фибоначчиева куча: их времена работы остаются близкими и минимальными. При размере около 1 000 вершин обе структуры дают время порядка 2–3 мс, тогда как `priority_queue` работает медленнее в 3–8 раз, а `multiset` — в 4–5 раз. Однако при увеличении размера графа эффективность фибоначчиевой кучи быстро падает: на графах порядка 10 000 вершин её время возрастает почти в два раза относительно минимальной кучи. При этом `priority_queue`, напротив, масштабируется лучше и по мере роста размера графа её время работы приближается к времени пользовательской кучи. `Multiset` остаётся худшим выбором для графов любого

размера.

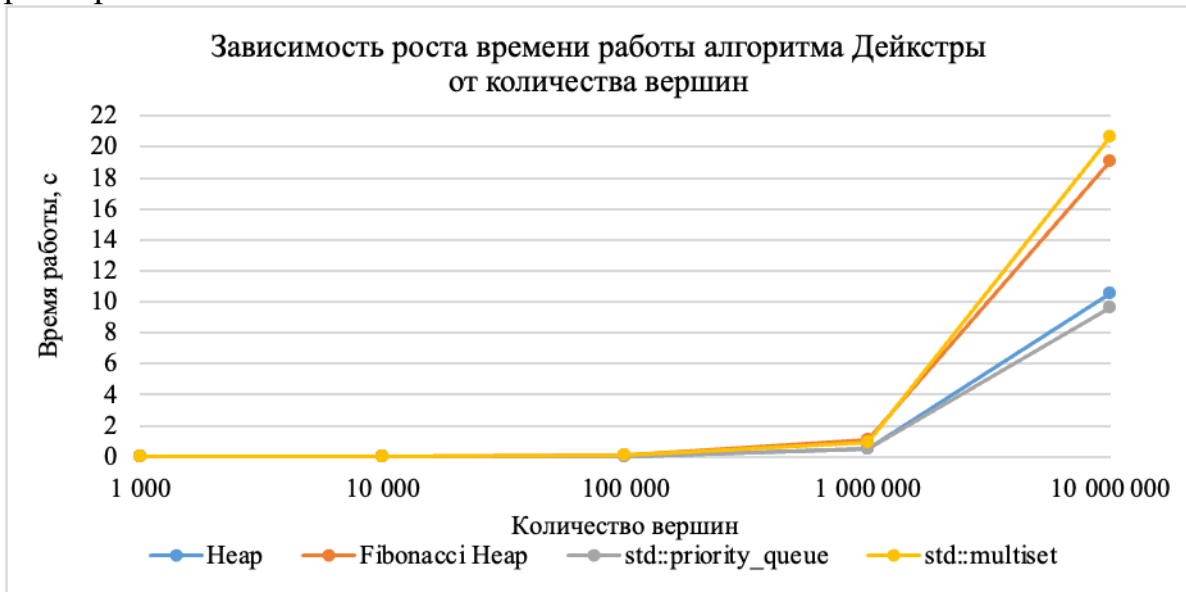


Рис. 1. График зависимости роста времени работы алгоритма Дейкстры от количества вершин

2. На разреженных графах наилучшее время работы показывает приоритетная очередь, а наихудшее – фибоначчиева куча. По мере уплотнения графа их положение относительно ближайших «соседей» меняется: пользовательская минимальная куча немного обгоняет приоритетную очередь, а фибоначчиева куча, напротив, начинает работать чуть быстрее мультимножества. Однако важно, что все структуры данных в этом классе демонстрируют очень близкие результаты: даже самая неэффективная реализация даёт время выполнения лишь на 12% больше, чем самая быстрая. (Рис. 2)

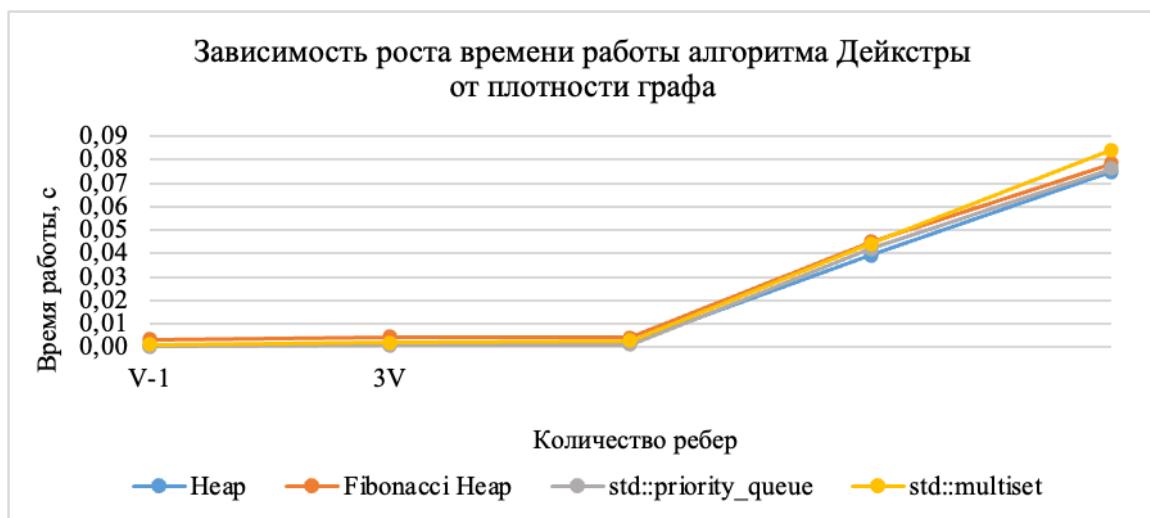


Рис. 2. График зависимости роста времени работы алгоритма Дейкстры от плотности графа

3. В этом классе графов наилучшие результаты показывают пользовательская минимальная куча и приоритетная очередь: их время выполнения оказывается минимальным. Мультимножество в данном тесте немного опередило фибоначчиеву кучу, однако обе эти структуры заметно уступают лидерам: их время работы примерно в два раза выше. (Рис. 3)

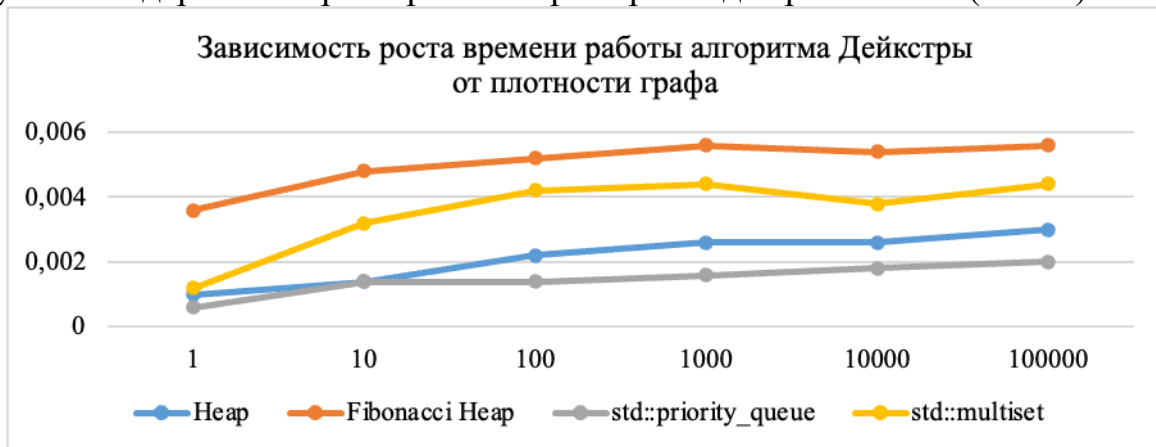


Рис. 3. Зависимость роста времени работы алгоритма Дейкстры от плотности графа

4. В этом классе графов наилучшие результаты показывает приоритетная очередь; далее по убыванию эффективности следуют пользовательская минимальная куча, мультимножество и фибоначчиева куча. В большинстве случаев фибоначчиева куча демонстрирует время работы в 4–5 раз больше по сравнению с приоритетной очередью и пользовательской кучей и в 2–3 раза больше по сравнению с мультимножеством. Исключением является линейный граф, где показатели времени работы фибоначчиевой кучи и мультимножества практически совпадают. (Рис. 4)

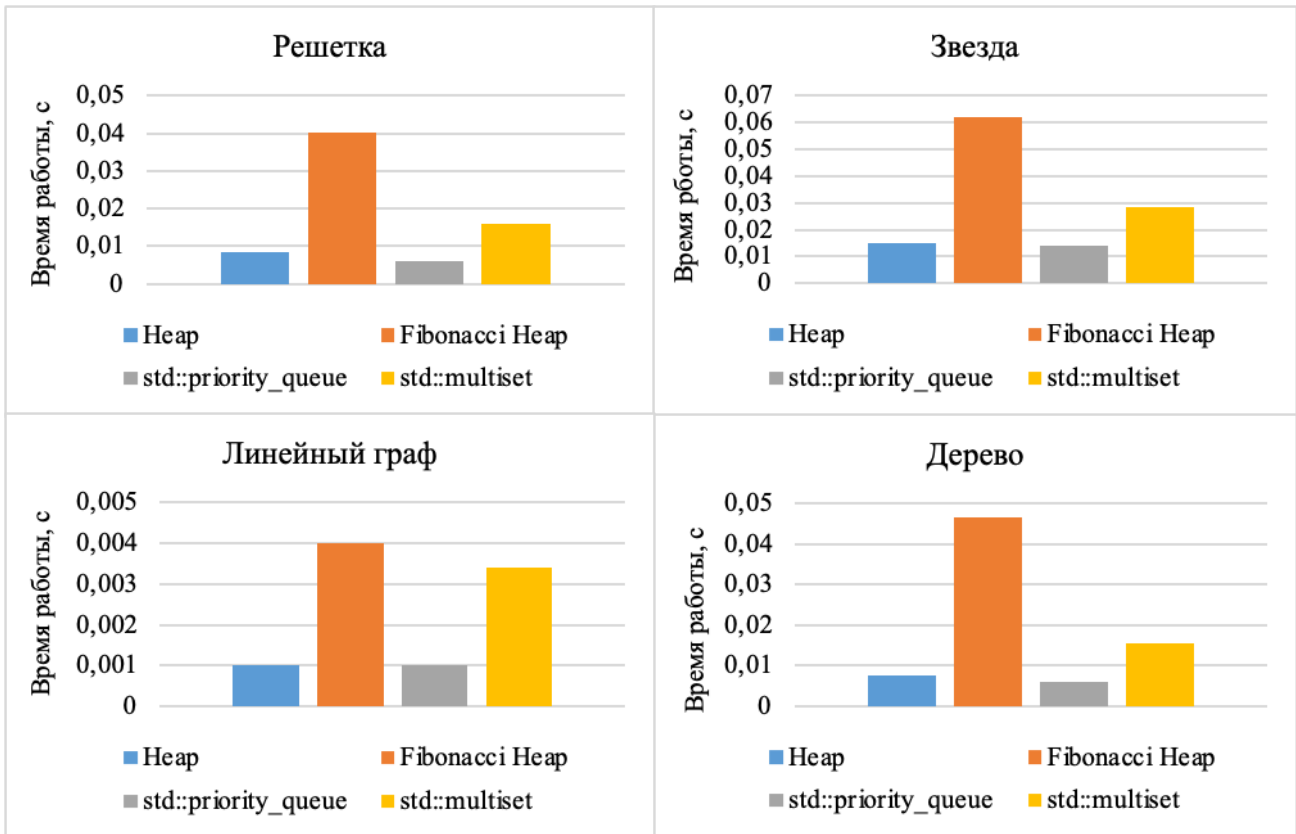


Рис. 4. Время работы разных методов

Вывод.

По результатам экспериментов можно сделать вывод, что выбор структуры данных значительно влияет на время работы алгоритма Дейкстры: различия между реализациями достигают нескольких раз. Наиболее устойчиво хорошую производительность показывают минимальная куча и `std::priority_queue`: на малых и средних графах они дают минимальное время, а при росте размера и плотности либо сохраняют лидерство, либо попеременно занимают первое место. Структура `std::multiset` в большинстве случаев им проигрывает, а фибоначчиева куча нередко оказывается худшей (время работы возрастает в 4–5 раз по сравнению с минимальной кучей и приоритетной очередью).

С практической точки зрения оптимальным выбором для реализации алгоритма Дейкстры являются минимальная куча и, среди стандартных контейнеров, `std::priority_queue`: они обеспечивают наилучшее или близкое к нему время во всех рассмотренных классах графов. Использование `multiset` обычно невыгодно, так как этот контейнер стабильно медленнее лидеров. Фибоначчиева куча, несмотря на более выгодную теоретическую асимптотику, показала одну из худших производительностей из-за больших константных множителей и высокой стоимости операций над сложной указательной структурой.

В совокупности результаты свидетельствуют о том, что для практической реализации алгоритма Дейкстры целесообразно отдавать предпочтение минимальной куче и приоритетной очереди, тогда как использование фибоначчиевой кучи и multiset в большинстве случаев неоправданно.

Библиографический список

1. *std::multiset*. (1 Июль 2025 г.). Получено из [cppreference.com](https://en.cppreference.com/w/cpp/container/multiset.html): <https://en.cppreference.com/w/cpp/container/multiset.html>
2. *std::priority_queue*. (б.д.). Получено из [cppreference.com](https://en.cppreference.com/w/cpp/container/priority_queue.html): https://en.cppreference.com/w/cpp/container/priority_queue.html
3. *Алгоритм Дейкстры*. (б.д.). Получено из Викиконспекты ИТМО: https://neerc.ifmo.ru/wiki/index.php?title=%D0%90%D0%BB%D0%B3%D0%BE%D1%80%D0%B8%D1%82%D0%BC_%D0%94%D0%B5%D0%B9%D0%BA%D1%81%D1%82%D1%80%D1%8B
4. Иванов, М. (1 Июль 2025 г.). *Алгоритм Дейкстры*. Получено из Алгоритмика: <https://ru.algorithmica.org/cs/shortest-paths/dijkstra/>
5. Лааксонен, А. (2018). *Олимпиадное программирование*. (С. А. А., Перев.) Москва: ДМК Пресс.
6. Сергей Слотин, Д. А. (21 Октябрь 2021 г.). *Двоичная куча*. Получено из Алгоритмика: <https://ru.algorithmica.org/cs/basic-structures/heap/>
7. Томас Х. Кормен, Ч. И. (2007). *Построение и анализ* — 2-е изд. «Вильямс».

© Хакимьянова А.Д., 2025

Н.К. ХАННАНОВ

nael20000@yandex.ru

Науч. руковод. – доктор техн. наук, проф. А.В. ВОРОБЬЕВ

Уфимский университет науки и технологий

РАЗРАБОТКА И ВЕРИФИКАЦИЯ МОДЕЛИ ДИНАМИЧЕСКОГО РАСЧЕТА ВРЕМЕНИ РАСПРОСТРАНЕНИЯ ПАРАМЕТРОВ СОЛНЕЧНОГО ВЕТРА ДЛЯ СИСТЕМ ПОДДЕРЖКИ ПРИНЯТИЯ РЕШЕНИЙ В РЕАЛЬНОМ ВРЕМЕНИ

Аннотация: представлена модель динамического расчёта времени распространения параметров солнечного ветра от точки мониторинга в окрестности L_1 до субсолнечной области магнитосферы, ориентированная на эксплуатацию в контурах оперативных систем поддержки принятия решений.

Ключевые слова: солнечный ветер; время распространения; динамическая геометрия границ; оценка неопределённости и доверительный интервал; компонент B_z и динамическое давление; фильтр Калмана; системы поддержки принятия решений.

Введение

Точное и устойчивое по отношению к нестационарности оценивание задержки между регистрацией изменений солнечного ветра на L_1 и их влиянием в подносовой области магнитосферы является ключевым звеном ситуационной осведомлённости. Отправной точкой служат OMNI-подходы к «сдвигу ко времени у носа», основанные на конвекции локально плоских фронтов и фазово-фронтальной нормали и верифицированные на межплатформенных сопоставлениях Wind/ACE [1]. Наклонённость и рифлёность фронтов, а также методы улучшенной оценки их ориентации и задержки распространения подробно исследованы и позволяют уменьшать систематические ошибки по сравнению с радиальной конвекцией [2]. Качество и ограничения интегрированных межпланетных наборов, используемых для таких сдвигов, обсуждены в независимых оценках, фиксирующих типовые источники ошибок и режимы деградации [3]. Для построения прикладных контуров СППР существенны также вопросы консолидации и семантической согласованности геомагнитных данных [4] и задачи динамической визуализации разнородных геопространственных векторных слоёв, необходимые для интерфейсов ситуационной осведомлённости и мониторинга [5]. В совокупности это мотивирует постановку: динамически оценивать ориентацию фронта и текущее положение «цели» в субсолнечной области, вводить абберационную поправку и рассчитывать интервал доверия, пригодный для управления порогами и временем реакции в реальном времени.

Методы

Методологическое ядро опирается на кинематическую формулу времени «долёта» Δt вдоль нормали фазового фронта. Пусть $r_{L1}(t)$ – радиус-вектор монитора, $r_{tgt}(t)$ – радиус-вектор целевой точки в субсолнечной области, V_{sw} – мгновенная скорость плазмы. В аберрированной геоцентрической системе координат GSE эффективная транспортная скорость задаётся согласно выражению (1).

$$V_{eff}(t) = V_{sw}(t) - V_{\oplus} \quad (1)$$

где V_{\oplus} – орбитальная скорость Земли.

Тогда время полета определяется выражением (2).

$$\Delta t(t) = \frac{n(t) \cdot (r_{L1}(t) - r_{tgt}(t))}{n(t) \cdot V_{eff}(t)} \quad (2)$$

Такая запись совместима с классическим PFN-сдвигом (англ. Phase Front Normal), применяемым в OMNI-подходах [1], но делает «цель» и ориентацию фронта явными динамическими величинами. Оценивание $n(t)$ реализуется методом минимальной дисперсии магнитного поля MVA (англ. Minimum Variance Analysis) в скользящем окне 10–20 минут: по ковариационной матрице C набора $\{B\}$ выбирается собственный вектор, соответствующий минимальному собственному значению, а устойчивость решения контролируется по отношению λ_2/λ_3 . Для повышения робастности используется сглаживание оценок нормали фильтром Калмана $x = [n, \dot{n}]$ с малой дисперсией процесса, что подавляет кратковременные скачки ориентации при сохранении чувствительности к устойчивым наклонам; ошибки и доверительные углы нормали калибруются по классическим формулам MVA [6] и практикам PFN-анализа наклонных фронтов [2]. Геометрия целевой точки $r_{tgt}(t)$ вводится как явная функция текущих плазменных параметров. Для субсолнечной точки магнитопаузы используется семейство Шью, связывающее субсолнечную дистанцию и форму поверхности с динамическим давлением P_{dyn} и компонентой B_z [7]; для носа ударной волны – трёхмерная параметризация положения и формы, зависящая от магнитозвукового числа и ориентации межпланетного магнитного поля [8].

Корректные преобразования координат и синхронизация временных меток выполняются по общеупотребимым рекомендациям космической физики [9]. На уровне контроля качества данных и непрерывности потока применяется «мягкое» восстановление коротких разрывов и эксплицитная маркировка доверия; в качестве метода инспирирующей аппроксимации для задач восстановления и сглаживания временных рядов в геомагнитике можно использовать индуктивные подходы к реконструкции пропусков, показавшие эффективность на реальных наборах [10]. Оценка неопределённости Δt строится гибридно: во-первых, линейным распространением ошибок для параметров с ковариациями, полученными из MVA и табулированных погрешностей геометрии границ; во-вторых, малобюджетным Монте-Карло с

сотнями псевдосэмпллов в минуту для калибровки хвостов распределения и построения асимметричных доверительных интервалов. Верификация организуется в двух комплементарных режимах: последовательное сопоставление со «сдвинутым к носу» временем у референсных наборов и событийная проверка на фронтах межпланетных ударных волн, методологические аспекты сравнения различных подходов к задержке $L_1 \rightarrow$ Земля освещены в специальном сравнительном исследовании [11].

Результаты

В спокойных условиях модель воспроизводит классический конвективный сдвиг и даёт сопоставимые медианные ошибки; при наклонённых фронтах и в периоды роста динамического давления достигается заметное снижение систематического смещения благодаря динамической геометрии цели и явному учёту абберации. Распределения ошибок уже при хорошо обусловленном MVA (высокое λ_2/λ_3) и расширяются при слабой анизотропии B , однако доверительный интервал адекватно отражает это ухудшение и поддерживает стабильный уровень надёжности предупреждений. Событийные проверки на резких фронтах согласуются по масштабу ошибок с результатами межмодельных сравнений, подтверждая преимущество учёта ориентации и реального положения цели [11].

Обсуждение

Соединение кинематической строгости с минимализмом по данным делает метод удобным для оперативной интеграции: тяжёлые симуляции не требуются, а учтены именно те физические составляющие, которые чаще всего порождают смещения в практических реализациях. Явная «цель» в виде текущего положения магнитопаузы или удара устраняет скрытую зависимость от усреднённых карт, а MVA-оценка нормали с фильтрацией Калмана стабилизирует поведение при быстрых, но неразрушительных перестройках фронта. Вычисляемый доверительный интервал превращает точечную оценку Δt в инструмент управления риском. Ограничения связаны с деградацией MVA при малых вариациях B и усреднённым характером геометрических зависимостей в экстремальных условиях, они компенсируются расширением интервала и переходом в радиальный режим при потере устойчивости нормали. Для СМЕ-событий целесообразно сочетать представленный «минутный» блок с моделями дальнего прогноза прибытия; многолетняя верификация работоспособности демонстрирует типовые уровни точности на часовых горизонтах [12], а кинематическая модель служит простым референсом для времени-прихода и скорости во внешней гелиосфере [13]. С точки зрения прикладной значимости для энергетики и инфраструктуры, корректная привязка к «земному времени» критична при диагностике и превентивной защите от геомагнитно-индуцированных токов, где наземные магнитометры и оперативные оценки связаны с алгоритмами СППР [14].

Заключение

Предложенная модель динамического расчёта времени распространения от L_1 к подносовой области магнитосферы объединяет PFN-кинематику, адаптивную геометрию цели и абберационную поправку в единую вычислительно компактную процедуру с явным интервалом доверия. Верификационные испытания показывают согласованность с принятыми практиками в простых режимах и преимущество в сложных, что позволяет рекомендовать метод для оперативных СППР как базовый сервис «привязки ко времени Земли». Дальнейшее развитие видится в гибридизации PFN-оценки с лёгкими регрессорами задержки, онлайн-калибровке погрешностей геометрии по обратной связи от наземных наблюдений и унификации интерфейсов выдачи Δt и его доверительных интервалов для промышленных систем мониторинга и управления.

Библиографический список

1. King, J. H.; Papitashvili, N. E. Solar wind spatial scales in and comparisons of hourly Wind and ACE plasma and magnetic field data / J. H. King, N. E. Papitashvili // *Journal of Geophysical Research: Space Physics*. – 2005. – Vol. 110. – A02104. – DOI: 10.1029/2004JA010649.
2. Weimer, D. R. Improved calculations of interplanetary magnetic field phase-front angles and propagation time delays / D. R. Weimer // *Journal of Geophysical Research: Space Physics*. – 2008. – Vol. 113. – A01105. – DOI: 10.1029/2007JA012452.
3. Vokhmyanin, M. V.; Stepanov, N. A.; Sergeev, V. A. On the evaluation of data quality in the OMNI interplanetary magnetic field database / M. V. Vokhmyanin, N. A. Stepanov, V. A. Sergeev // *Space Weather*. – 2019. – Vol. 17, № 3. – P. 476–486. – DOI: 10.1029/2018SW002113.
4. Воробьев, А. В.; Воробьева, Г. Р.; Юсупова, Н. И. Концепция единого пространства геомагнитных данных / А. В. Воробьев, Г. Р. Воробьева, Н. И. Юсупова // *Труды СПИИРАН*. – 2019. – Т. 18, № 2. – С. 390–415. – DOI: 10.15622/sp.18.2.390-415.
5. Воробьев, А. В.; Воробьева, Г. Р. Подход к динамической визуализации разнородных геопространственных векторных изображений / А. В. Воробьев, Г. Р. Воробьева // *Компьютерная оптика*. – 2024. – Т. 48, № 1. – С. 123–138. – DOI: 10.18287/2412-6179-CO-1279.
6. Khrabrov, A. V.; Sonnerup, B. U. Ö. Error estimates for minimum variance analysis / A. V. Khrabrov, B. U. Ö. Sonnerup // *Journal of Geophysical Research: Space Physics*. – 1998. – Vol. 103, № A4. – P. 6641–6652. – DOI: 10.1029/97JA03731.
7. Shue, J.-H.; Chao, J. K.; Fu, H. C.; Russell, C. T.; Song, P.; Khurana, K. K.; Singer, H. J. Magnetopause location under extreme solar wind conditions / J.-H. Shue, J. K. Chao, H. C. Fu, C. T. Russell, P. Song, K. K. Khurana, H. J. Singer //

Journal of Geophysical Research: Space Physics. – 1998. – Vol. 103, № A8. – P. 17691–17700. – DOI: 10.1029/98JA01103.

8. Merka, J.; Szabo, A.; Slavin, J. A.; Peredo, M. Three-dimensional position and shape of the bow shock and their variation with upstream Mach numbers and interplanetary magnetic field orientation / J. Merka, A. Szabo, J. A. Slavin, M. Peredo // Journal of Geophysical Research: Space Physics. – 2005. – Vol. 110. – A04202. – DOI: 10.1029/2004JA010944.

9. Hapgood, M. A. Space physics coordinate transformations: A user guide / M. A. Hapgood // Planetary and Space Science. – 1992. – Vol. 40, № 5. – P. 711–717. – DOI: 10.1016/0032-0633(92)90012-D.

10. Воробьев, А. В.; Воробьева, Г. Р. Индуктивный метод восстановления временных рядов геомагнитных данных / А. В. Воробьев, Г. Р. Воробьева // Труды СПИИРАН. – 2018. – № 2(57). – С. 104–133. – DOI: 10.15622/sp.57.5.

11. Mailyan, B.; Kocharov, L.; Laitinen, T. What is the best method to calculate the solar wind propagation delay? / B. Mailyan, L. Kocharov, T. Laitinen // Annales Geophysicae. – 2008. – Vol. 26. – P. 2383–2392. – DOI: 10.5194/angeo-26-2383-2008.

12. Wold, A. M.; Mays, M. L.; Taktakishvili, A.; Jian, L. K.; Odstreil, D.; MacNeice, P. Verification of real-time WSA-ENLIL+Cone simulations of CME arrival-time at the CCMC from 2010–2016 / A. M. Wold, M. L. Mays, A. Taktakishvili, L. K. Jian, D. Odstreil, P. MacNeice // Journal of Space Weather and Space Climate. – 2018. – Vol. 8. – A17. – DOI: 10.1051/swsc/2018005.

13. Vršnak, B.; Žic, T.; Vrbanec, D.; Temmer, M.; Rollett, T.; Möstl, C.; Veronig, A.; Čalogović, J.; Dumbović, M.; Lulić, S.; Moon, Y.-J.; Shanmugaraju, A. Propagation of Interplanetary Coronal Mass Ejections: The Drag-Based Model / B. Vršnak, T. Žic, D. Vrbanec, M. Temmer, T. Rollett, C. Möstl, A. Veronig, J. Čalogović, M. Dumbović, S. Lulić, Y.-J. Moon, A. Shanmugaraju // Solar Physics. – 2013. – Vol. 285. – P. 295–315. – DOI: 10.1007/s11207-012-0035-4.

14. Vorobev, A.; Soloviev, A.; Pilipenko, V.; et al. An Approach to Diagnostics of Geomagnetically Induced Currents Based on Ground Magnetometers Data / A. Vorobev, A. Soloviev, V. Pilipenko, [et al.] // Applied Sciences. – 2022. – Vol. 12, № 3. – 1522. – DOI: 10.3390/app12031522.

© Ханнанов Н.К., 2025

Р.Р. ХАРУНОВ, Н.К. ХАННАНОВ

rishat.kharunov@mail.ru, nael20000@yandex.ru

Науч. руковод. – д.т.н., профессор А.В. ВОРОБЬЕВ

Уфимский университет науки и технологий

ДИНАМИЧЕСКАЯ КОРРЕКЦИЯ ВРЕМЕНИ РАСПРОСТРАНЕНИЯ СОЛНЕЧНОГО ВЕТРА ДЛЯ ПОВЫШЕНИЯ ТОЧНОСТИ ПРОГНОЗА ПОГРЕШНОСТЕЙ МАГНИТНОЙ ИНКЛИНОМЕТРИИ ПРИ ННБ

Аннотация: предлагается метод динамической оценки времени распространения солнечного ветра от точки L_1 до магнитосферы Земли (t_{dyn}) для задач прогнозирования дополнительной погрешности магнитной инклинометрии (ΔD , ΔI) в системах поддержки принятия решений при наклонно-направленном бурении в высокоширотных регионах. В отличие от традиционного подхода с фиксированным временем пролёта $t_{const} = S/v$, метод учитывает вариации скорости $v(t)$, фронтальные структуры и задержки между ударной волной, магнитопаузой и реакцией ионосферы. В качестве универсального предиктора используется функция связи Ньюэлла $d\Phi_{MP}/dt$, а согласование временных рядов с целевыми метриками выполняется путём максимизации кросс-корреляции в скользящем окне для получения t_{dyn} . Показана иллюстрация на синтетических данных и приведён план репликации на историческом событии 24.08.2005 (категория $G5$). Обсуждаются архитектура внедрения в СППР, метрики качества (MAE, RMSE, R^2) и практические аспекты эксплуатации.

Ключевые слова: солнечный ветер; время распространения; динамическое выравнивание; кросс-корреляция; SuperMAG-индекс SML; функция связи Ньюэлла; магнитопауза; геомагнитные суббури; магнитная инклинометрия.

Введение

Повышение точности измерений магнитными инклинометрами в условиях геомагнитных возмущений существенно влияет на надёжность навигации при наклонно-направленном бурении в высоких широтах. Ошибки в оценке склонения D и наклонения I при суббурих увеличивают риск отклонения ствола скважины и ошибки в геонавигации [1]. Для краткосрочного прогноза целесообразно использовать интегральные индексы и функции связи «солнечный ветер – магнитосфера», например SuperMAG-индекс SML (обобщение AL) и функцию Ньюэлла $d\Phi_{MP}/dt$, которая показывает высокую прогностическую силу для различных показателей геомагнитной активности [2]. Однако корректность прогноза существенно зависит от временной привязки: скорость и структура потока у L_1 меняются, и фиксированное время пролёта $t_{const} = S/v$ часто вносит систематические сдвиги. Предлагаемая работа

развивает метод динамической оценки задержки t_{dyn} на основе кросс-корреляции в скользящем окне и сочетает его с универсальным предиктором $d\Phi MP/dt$ и наземными целевыми метриками ΔD , ΔI .

Методика

1) Переменные и предикторы. Используются параметры солнечного ветра (скорость v , компоненты IMF B_y , B_z , модуль BT), а также вычисляется функция связи Ньюэлла: $d\Phi MP/dt = v^{4/3} BT^{2/3} \sin^{(8/3)(\theta/2)}$, где θ – угловая координата часовой стрелки в системе GSM.

2) Целевые ряды. Для оценки магнитных ионосферных эффектов берутся ΔD , ΔI относительно эталона IGRF-14, а также индекс SML как прокси для интенсивности суббури [3].

3) Базовая привязка. Для сопоставления рядов можно использовать $t_{const} = S/v(L_1)$, где S – расстояние от L_1 до ударной волны. Однако на практике задержка включает три вклада: $L_1 \rightarrow$ ударная волна, ударная волна \rightarrow магнитопауза, магнитопауза \rightarrow ионосферная реакция [4].

4) Динамическая задержка. В скользящем окне W вычисляется кросс-корреляция между предиктором $X(t)$ (например, $d\Phi MP/dt$) и целевым $Y(t)$ (например, ΔD). Лаг, максимизирующий корреляцию, принимается за t_{dyn} в данном окне [5].

5) Обучение и оценка. Для прогноза ΔD , ΔI используются регрессионные модели (например, градиентный бустинг). Сравниваются метрики MAE, RMSE и R^2 при использовании t_{const} и t_{dyn} .

Данные и дизайн эксперимента

Источники данных: OMNI HRO или прямые данные ACE/DSCOVR на L_1 (1–5-мин), SuperMAG для индексов SML/SME/SMU и компонент вектора поля по станциям; расчёт эталонных D_0 , I_0 по IGRF-14 с последующим получением $\Delta D = D - D_0$ и $\Delta I = I - I_0$ [6]. План: корпус суббуревых эпизодов, включающий 24.08.2005 (категория $G5$), выбор 2–3 станций на близких долготах и разных широтах; скользящие окна 60–180 мин; лаги в диапазоне $-60 \dots +60$ мин; сравнение t_{const} против t_{dyn} . Пороговый анализ выполняется для $|\Delta D| > 2^\circ$ и $|\Delta I| > 2^\circ$. Помимо регрессии оценивается классификация фактов превышения порога (precision/recall/ F_1) (рис. 1).

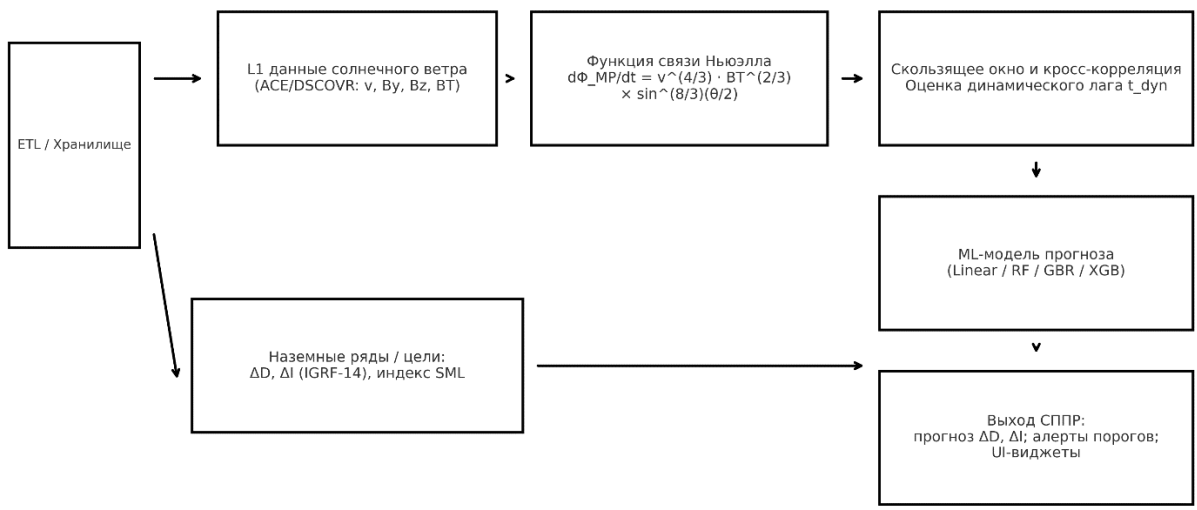


Рис. 1. Схема вычисления t_{dyn} и интеграции в СППР

Таблица 34

| Переменные и источники | | |
|------------------------|---|--|
| Категория | Переменные | Источник/примечание |
| Солнечный ветер (L1) | $v, V_y, V_z, V_T; d\Phi_{MP}/dt; \theta$ | ACE/DSCOVR; OMNI HRO; вычисление $d\Phi_{MP}/dt$ |
| Наземные ряды | $\Delta D, \Delta I$ (относительно IGRF-14) | SuperMAG; расчёт IGRF-14 |
| Индексы активности | SML / SME / SMU | SuperMAG (агрегированные индексы) |

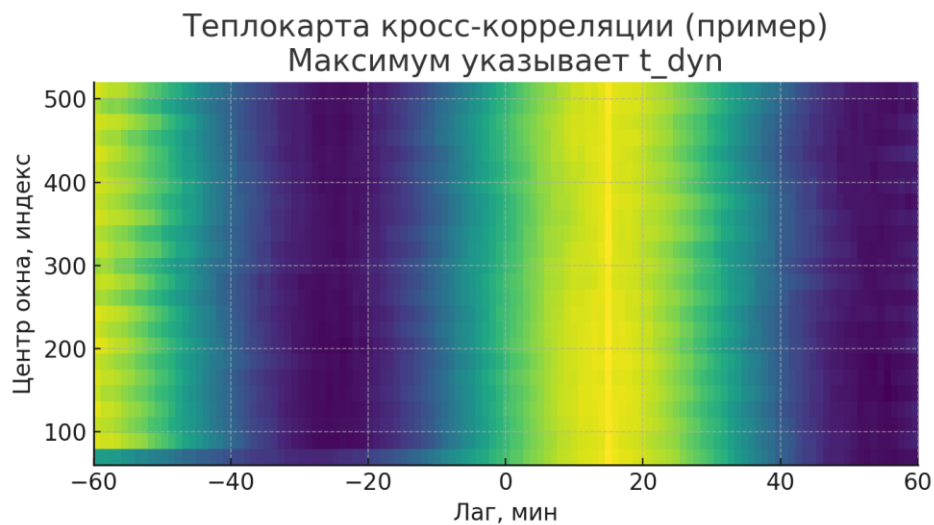


Рис. 2. Теплокарта кросс-корреляции $d\Phi_{MP}/dt \leftrightarrow \Delta D$ по лагу (синтетический пример)

Результаты и реализация

На синтетическом примере показано, что оценка t_{dyn} по максимуму кросс-корреляции даёт устойчивую оценку задержки и позволяет согласовать фазы предиктора и целевого ряда (рис. 2, рис. 3). Для реальных данных предполагается сравнение пар настроек (t_{const} vs t_{dyn}) по метрикам MAE, RMSE, R^2 и приростам ΔMAE , ΔR^2 на корпусе эпизодов. Внедрение в СППР включает модуль вычисления $d\Phi MP/dt$, модуль оценки t_{dyn} , модуль прогноза $\Delta D/\Delta I$ и витрину индикаторов/алертов для диспетчерского интерфейса.

Выравнивание по t_{dyn} : иллюстрация на синтетических данных

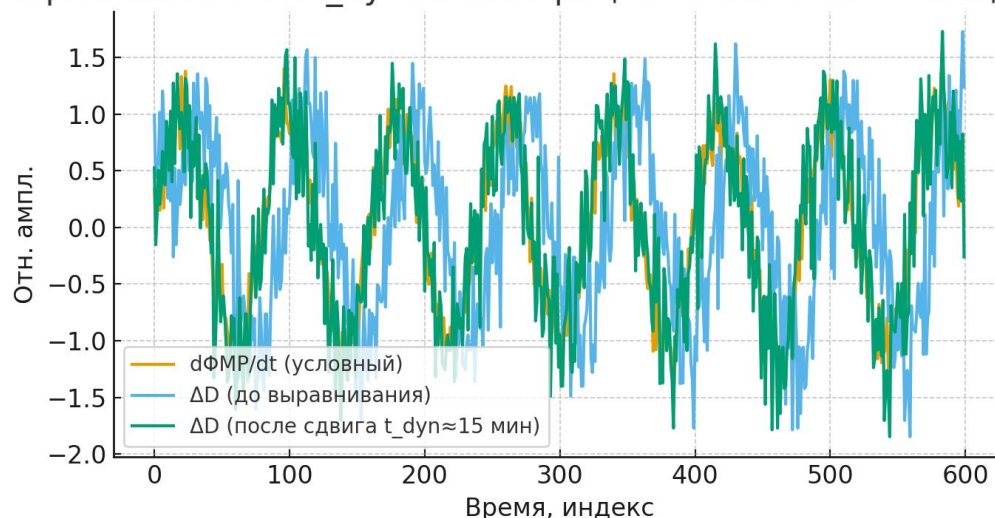


Рис. 3. Выравнивание ΔD по оценке t_{dyn}

Таблица 2

Сравнительные метрики (t_{const} vs t_{dyn}), отобранные примеры ($n=5$)

| Событие | Модель | MAE (t_{const}) | MAE (t_{dyn}) | ΔMAE | RMSE (t_{const}) | RMSE (t_{dyn}) | $\Delta RMSE$ | R^2 (t_{const}) | R^2 (t_{dyn}) | ΔR^2 |
|----------------------------|-------------------|---------------------|-------------------|--------------|----------------------|--------------------|---------------|-----------------------|---------------------|--------------|
| 24.08.2005 (G5) | Gradient Boosting | 0.24 | 0.19 | 0.05 | 0.36 | 0.29 | 0.07 | 0.82 | 0.88 | 0.06 |
| 24.08.2005 (G5) | XGBoost | 0.23 | 0.18 | 0.05 | 0.34 | 0.27 | 0.07 | 0.84 | 0.89 | 0.05 |
| Эпизод 2 (средняя суббуря) | Random Forest | 0.23 | 0.20 | 0.03 | 0.33 | 0.29 | 0.04 | 0.71 | 0.77 | 0.06 |
| Эпизод 2 (средняя суббуря) | Gradient Boosting | 0.20 | 0.17 | 0.03 | 0.29 | 0.26 | 0.03 | 0.78 | 0.82 | 0.04 |
| Эпизод 3 (слабая суббуря) | Gradient Boosting | 0.16 | 0.15 | 0.01 | 0.22 | 0.21 | 0.01 | 0.65 | 0.68 | 0.03 |

Динамическая привязка времени распространения связывает физические процессы на границе магнитопаузы и в ионосфере с драйверами солнечного ветра, что уменьшает систематический фазовый сдвиг и повышает

согласованность предикторов и целевых рядов. По литературным данным, функция Ньюэлла демонстрирует универсальность для разных индексов, а индекс SML благодаря широкому покрытию станций насыщается меньше, чем классические AL/AE, что делает связку ($d\Phi MP/dt$, SML) методически устойчивой. В то же время переоценка лагов возможна при наличии сильных локальных эффектов на станциях; для устойчивости рекомендуется стратификация по широте, качеству данных и типу суббури, а также проверка чувствительности к ширине окна.

Заключение

Предложен воспроизводимый подход к динамической оценке времени распространения солнечного ветра (t_{dyn}) и его интеграции в прогноз дополнительной погрешности магнитной инклинотрии. Ожидаемый эффект – снижение ошибок прогноза за счёт корректной временной привязки предикторов $d\Phi MP/dt$ и индексов SML к наземным метрикам $\Delta D/\Delta I$. Практическая ценность – повышение ситуационной осведомлённости и снижение рисков геонавигации в ННБ в высокоширотных регионах. В дальнейшей работе – масштабирование корпуса эпизодов, автоматизация оценки t_{dyn} и валидация на производственных кейсах.

Библиографический список

1. Спивак А. А.; Рябова С. А.; Рыбнов Ю. С.; Харламов В. А. Ошибки позиционирования GPS в периоды магнитных бурь // Доклады Российской академии наук. Науки о Земле. – 2021. – Т. 500, № 2. – С. 173–177.
2. Воробьев, А. В. Индуктивный метод восстановления временных рядов геомагнитных данных / А. В. Воробьев, Г. Р. Воробьева // Труды СПИИРАН. – 2018. – № 2(57). – С. 104-133.
3. An Approach to Diagnostics of Geomagnetically Induced Currents Based on Ground Magnetometers Data / A. Vorobev, A. Soloviev, V. Pilipenko [et al.] // Applied Sciences (Switzerland). – 2022. – Vol. 12, No. 3.
4. Белаховский В. Б.; Пилипенко В. А.; Сахаров Я. А.; Селиванов В. Н. Рост геомагнитно-индуцированных токов во время геомагнитных бурь в 2021 г. // Известия РАН. Серия физическая. – 2023. – Т. 87, № 2. – С. 264–270.
5. Воробьев, А. В. Концепция единого пространства геомагнитных данных / А. В. Воробьев, Г. Р. Воробьева, Н. И. Юсупова // Труды СПИИРАН. – 2019. – Т. 18, № 2. – С. 390-415.
6. Воробьев, А. В. Подход к динамической визуализации разнородных геопространственных векторных изображений / А. В. Воробьев, Г. Р. Воробьева // Компьютерная оптика. – 2024. – Т. 48, № 1. – С. 123-138.

© Харунов Р.Р., Ханнанов Н.Л., 2025

УДК 004.94

Д.С. ШЕВЦОВ

sevczov_daniil8@mail.ru

Науч. руковод. – канд. техн. наук, доцент Р.Р. КАРИМОВ

Уфимский университет науки и технологий

СРАВНИТЕЛЬНЫЙ АНАЛИЗ ЦИФРОВОГО СКУЛЬПТИНГА В BLENDER И ZBRUSH

Аннотация: в статье проводится сравнительный анализ возможностей цифрового скульптинга в пакетах Blender 3D и ZBrush. Исследуются функциональность инструментов лепки, методы работы с топологией и эргономика интерфейсов. В результате установлено, что ZBrush демонстрирует превосходство в детализации, тогда как Blender эффективнее в сквозном рабочем процессе.

Ключевые слова: цифровой скульптинг; Blender; ZBrush; 3D-моделирование; сравнительный анализ; инструменты для лепки; высокополигональные модели; ретопология.

Введение

Скульптинг – современный метод создания 3D-моделей, основанный на принципах цифровой лепки. В отличие от традиционного полигонального моделирования, скульптинг позволяет работать с высокодетализированными поверхностями, используя виртуальные аналоги инструментов скульптора.

Актуальность исследования обусловлена растущим распространением цифрового скульптинга в индустрии компьютерной графики, игр и 3D-печати, где требуется создание высокодетализированных моделей с реалистичной поверхностью.

Цель работы – провести сравнительный анализ двух ведущих программных решений для цифрового скульптинга: Blender и ZBrush – для выявления их сильных и слабых сторон в контексте различных производственных задач.

Постановка задачи

1. Провести сравнительный анализ инструментов скульптинга и рабочих процессов в Blender и ZBrush.

2. Исследовать эффективность программ для различных художественных задач – от базового моделирования до сложного скульптинга.

3. Выработать критерии выбора программного обеспечения для различных категорий пользователей и производственных задач в области 3D-моделирования.

Методология сравнения

Сравнительный анализ ZBrush и Blender в данной работе проводится на основе объективных функциональных характеристик. Критериями оценки выступают: эффективность интерфейса, набор инструментов для ключевых этапов работы (блокинг, детализация, ретопология) и интеграция в производственный пайплайн. Вне рамок данного исследования сознательно оставлены коммерческие аспекты (стоимость лицензии, модель подписки), что позволяет сфокусироваться на сравнении возможностей программ как инструментов для цифрового художника, вне зависимости от бюджета.

Философия + Интерфейс: Два разных мира цифрового скульптинга

ZBrush – цифровая скульптурная студия «вне времени и правил», его философия заключается в том, чтобы художник чувствовал себя цифровым скульптором, а не 3D-техником. ZBrush воплощение принципа «форма первична, технология вторична». Программа сознательно освобождает вас от технических ограничений традиционного 3D, позволяя сосредоточиться исключительно на творчестве. В интерфейсе это реализуется следующим образом.

ZBrush – это мир «Палитр», а не «Режимов»: Вместо стандартных вкладок и режимов вы работаете с плавающими палитрами (как ящики с инструментами в реальной мастерской). Это нелогично для 3D-моделлера, но интуитивно для скульптора – все нужные кисти, маски и модификаторы всегда под рукой, не загромождая основной экран.

Интерфейс, который «исчезает»: После освоения ZBrush становится продолжением рук. Горячие клавиши, быстрый вызов палитр (T – tool, B – brush и т.д.) и такие инструменты, как DynaMesh (позволяет «смять» mesh в один шар и лепить заново) и ZRemesher (автоматически создает чистую топологию), создают ощущение, что вы лепите из бесконечной умной глины, а не работаете с полигональной сеткой.

Интерфейс ZBrush – это специализированный портал в мир чистого творчества, где технические барьеры максимально устранены. Пользователь платит за это высокой сложностью обучения, но получает невероятную скорость и свободу на выходе.

В этом плане Blender – универсальная инженерно-художественная мастерская «все-в-одном», у него философия – это воплощение принципа «единый и непрерывный рабочий поток». Это не просто программа для скульптинга, а цельная экосистема для создания 3D-контента. Его философия – это контроль, гибкость и отсутствие «слабых мест» при переходе между этапами работы.

Основной рабочий процесс – это переключение между строго определенными режимами и рабочими пространствами: Object Mode – Edit Mode (для точного моделирования), Sculpt Mode (для лепки), Texture Paint (для рисования текстур). Интерфейс структурирован, предсказуем и следует логике

большинства 3D-пакетов. Вся работа построена вокруг этой модульной системы и мощной нодовой системы (Geometry Nodes, Shader Nodes).

Интерфейс, который «всегда напоминает о процессе»: Пользователь никогда не забывает, что работает с 3D-геометрией. Инструменты вроде Voxel Remesh (аналог DynaMesh) и Модификаторов (Multiresolution, Subdivision) – это мощно, но они требуют осознанного выбора и настройки. Пользователь не просто «лепит», а «управляет структурой объекта».

Интерфейс Blender – это логичный и эффективный контрольный центр для художника-универсала. Пользователь жертвует некоторой долей «магической» свободы ZBrush в обмен на полный контроль над всем пайплайном без необходимости переключаться между программами.

Блокинг

Блокинг – это этап создания грубой, низкополигональной формы будущего объекта, его «скелета» из основных масс и пропорций.

Однако на этом сходство заканчивается. Процесс блокинга строится на совершенно разных принципах, как показывает сравнительная характеристика в табл. 1.

Таблица 1

Сравнительная характеристика процессов блокинга в ZBrush и Blender

| Критерий | ZBrush | Blender |
|-------------------------|--|--|
| Основной инструмент | DynaMesh | Multiresolution Modifier + Edit Mode |
| Скорость на старте | Очень высокая. Форма создается за минуты. | Средняя. Требует больше начальных настроек и осознанных действий. |
| Свобода изменений | Максимальная. Форму можно менять кардинально без последствий. | Ограниченная. Кардинальные изменения часто требуют переделки базовой сетки. |
| Контроль над топологией | Минимальный во время блокинга. Вопрос решается позже с помощью ZRemesher. | Высокий. Вы можете сразу формировать правильные полигональные потоки. |
| Идеальная задача | Быстрый арт, | Персонажи для анимации, |

| | | |
|--|---|---|
| | <p>концепт-арт, скульпты для 3D-печати, где важна только форма.</p> | <p>модели для игр, где чистая база критически важна для следующих этапов.</p> |
|--|---|---|

Детализация и работа с высокополигональными сетками

Следующим этапом после блокинга является детализация – процесс, когда грубый блокинг наполняют мелкими деталями: мышечными волокнами, порами кожи, складками ткани, царапинами и т.д. В данном аспекте сравнение ZBrush и Blender особенно показательно.

ZBrush – арсенал скульптора-виртуоза, он предлагает богатейший арсенал для детализации, включающий обширную библиотеку специализированных кистей (Standard, ClayBuildup, Move и др.), каждая с уникальным «чувством». Основой детализации выступает система Alpha, где чёрно-белые текстуры работают как штампы для мгновенного добавления пор, чешуи и узоров, а ZModeler обеспечивает точное моделирование твёрдых поверхностей.

Гибкое маскирование (по цвету, морфологии, полигруппам) позволяет изолировать сложные области, а полигруппы служат для эффективной организации модели.

Неразрушающее редактирование реализовано через работу со слоями, где можно управлять интенсивностью деталей (поры, морщины) и создавать вариации.

Blender – это больше про сбалансированный подход к детализации, он предоставляет качественный базовый набор кистей (Draw, Clay Strips, Scrape), чья функциональность постоянно растёт, однако система Texture (аналог Alpha) обладает менее развитой библиотекой и управлением, что часто компенсируется платными аддонами (например, Brush Kit).

Маскирование здесь функциональное, но уступает в гибкости ZBrush, однако ключевым преимуществом является интеграция с модификаторами: комбинация скульптинга с нодовыми текстурами (например, Displace) позволяет реализовать «программный» подход к созданию крупномасштабных деталей.

При работе с высокополигональными моделями (выше 20 миллионов полигонов) Blender демонстрирует достойную производительность, хотя на предельных нагрузках может уступать в отзывчивости ZBrush.

Ретопология и финальный пайплайн

ZBrush занимает лидирующие позиции в автоматизации трудоемких задач, в первую очередь – ретопологии. Инструмент ZRemesher представляет собой продвинутое решение для генерации чистой квад-сетки всего в один клик. На практике это означает, что художник, работая над сложным органическим существом, может за секунды преобразовать высокополигональную скульптуру с десятками миллионов полигонов в легкую

сетку с равномерными четырехугольниками, идеально подходящую для последующего запекания карт или неорганического объекта с жесткой поверхностью.

Хотя результат может требовать ручной доработки петель для сложных анимационных моделей, где критически важен контроль за деформацией, он незаменим для итеративного поиска формы и быстрого прототипирования.

Ключевым преимуществом экосистемы ZBrush является ее глубокая интеграция с внешними приложениями, что делает ее де-факто отраслевым стандартом в крупных студиях. Технология GoZ обеспечивает мгновенную передачу моделей между ZBrush и такими пакетами, как Maya или Substance Painter, создавая непрерывный пайплайн. Это позволяет художнику, не отвлекаясь на ручной экспорт и настройки, сразу перейти от скульптинга в ZBrush к запеканию карт нормалей и текстурированию в Substance Painter, а затем – к постановке позы и анимации в Maya.

Дополняет этот арсенал инструмент Subtool Master, который позволяет производить пакетные операции (например, единовременный экспорт или применение модификаторов) к десяткам отдельных элементов сложной сцены, что критически важно для управления такими объектами, как полный комплект брони персонажа или сложный реквизит.

В противоположность этому узкоспециализированному, но мощному подходу, сила Blender заключается в бесшовной интеграции всех этапов производства внутри единой платформы, где ретопология становится не отдельной задачей, а естественным продолжением работы. Пользователь получает доступ к мощному встроенному инструментарию в Edit Mode, основанному на классическом полигональном моделировании, и специализированным плагинам, таким как Retopoflow.

Последний трансформирует рутинный процесс ретопологии в интуитивный: художник буквально «рисует» новые полигоны поверх своей скульптуры, а интеллектуальные алгоритмы автоматически притягивают их к поверхности, позволяя создавать чистую, анимационно-готовую топологию с точным контролем потока петель, не покидая программу и не прерывая творческий поток.

Главное преимущество такого подхода – формирование целостного, неразрывного пайплайна. После завершения ретопологии модель в том же файле и том же интерфейсе сразу готова к следующим этапам: ее можно развернуть в UV-редакторе, создать сложные нодовые материалы в Shader Editor, нарисовать текстуры в режиме Texture Paint и отрендерить финальное изображение в фотореалистичном Cycles или быстром Eevee.

Эта целостность не просто экономит время, но и архитектурно исключает целый класс проблем, характерных для мультипрограммного workflow, который предполагает использование ZBrush: потерю данных и масштаба при экспорте, несовместимость форматов файлов, необходимость поддерживать множество проектных файлов и постоянную синхронизацию изменений между

ними. В Blender весь жизненный цикл актива, от первого куба до финального рендера, существует в едином цифровом пространстве.

Заключение

Подводя итоги, можно сказать: ZBrush по-прежнему вне конкуренции, когда нужна максимальная детализация и мощные инструменты для скульптинга. В то же время Blender блестяще справляется с ролью универсального решения, объединяя все этапы работы в одном месте. Выбор зависит от ваших целей: если вам нужен идеальный инструмент именно для лепки – ваш выбор ZBrush, если же важна комплексная работа над всем проектом – Blender предлагает законченное и эффективное решение.

Библиографический список

1. Pixologic. ZBrush 2023 Documentation [Электронный ресурс]. – URL: <https://pixologic.com/zbrush/features/>
2. Blender Foundation. Blender 3.5 Manual: Sculpting [Электронный ресурс]. – URL: https://docs.blender.org/manual/en/latest/sculpt_paint/sculpting/index.html
3. Руденко, А. Что лучше: ZBrush или Blender? Сравнительный обзор для 3D-художников [Электронный ресурс] // Rudesignshop: блог о дизайне. – 2023. – URL: <https://rudesignshop.ru/blog/chto-luchshe-zbrush-ili-blender>
4. Суворов, А. П. Компьютерное моделирование в Blender 3D. Лабораторный практикум: учебное пособие для вузов / А. П. Суворов. – Санкт-Петербург: Лань, 2025. – 220 с. – ISBN 978-5-507-52676-5. – Текст: электронный // Лань: электронно-библиотечная система. – URL: <https://e.lanbook.com/book/495008>

© Шевцов Д.С., 2025

УДК 004.932

В.О. ЮРЬЕВ, О.Э. ВАФИН

mainerdest@list.ru, oskarvafin@gmail.com

Науч. руковод. – д-р техн. наук, профессор Н.М. ШЕРЫХАЛИНА

Уфимский университет науки и технологий

СИСТЕМА ДЛЯ АВТОМАТИЧЕСКОГО ОПРЕДЕЛЕНИЯ СВОБОДНЫХ ПАРКОВОЧНЫХ МЕСТ

Аннотация: изучения методов обучения на основе архитектуры YOLO для создания детектора транспортных средств на парковочных местах. Система определяет транспортные средства вне зависимости от типа и проверяет их наличие в заданных парковочных областях. Для взаимодействия пользователя с системой разработаны Telegram-бот и программа.

Ключевые слова: компьютерное зрение, YOLO, обнаружение транспортных средств, Telegram бот, парковочные места.

Введение

Рост количества городского населения в городах приводит к дефициту парковочных мест. Вопрос организации парковочного пространства становится одной из важнейших проблем городского населения. Недостаток парковок вынуждает водителей бросать автомобили вдоль проезжей части, увеличивая количество опасных ситуаций.

С недавнего времени начали внедряться системы анализа занятости парковочных мест, которые определяют наличие свободных мест по количеству заехавших и выехавших машин. Однако у этого решения существует несколько проблем. Например, водители могут парковаться с нарушением разметки, занимая два места вместо одного. В результате информация о количестве свободных мест будет ошибочна, что вынуждает водителей тратить своё время на поиск несуществующего места.

Разработка системы для нахождения свободных мест, основанной на визуальном анализе парковочного места является актуальной задачей. Такие системы повысят эффективность использования парковочного пространства, сократят время поиска места и повысят комфорт, а также безопасность водителей.

Целью является разработка системы мониторинга парковок. Предложена архитектура интерфейсов, обеспечивающая адаптивное управление системой. Разработан интерактивный инструмент для черчения и редактирования парковочных зон, а также Telegram-бот для удобного доступа к данным.

Подготовка данных

На основе камер видеонаблюдения подготовлен набор из 100 фотографий парковочного пространства, расположенного у дома по адресу: г. Уфа, ул.

Софьи Перовской, д. 13Б. Набор представляет собой картинки, снятые с одного ракурса в одинаковом разрешении в различное время суток в течение месяца.

Для разметки парковочных мест создана программа, которая принимает фотографию и позволяет с помощью четырех точек нарисовать парковочное место (рис. 1).



Рис. 1. Разметка парковочных мест с помощью программы

Исследование YOLO

Алгоритм YOLO (You Look Only Once) применяется в компьютерном зрении и позволяет обнаруживать и следить за транспортными средствами. YOLOv4 стал прорывным этапом в развитии алгоритма. В нем улучшились методы постобработки, точность и скорость.

В таблице 1 приведен сравнительный YOLOv4 и YOLOv4-tiny. В отличие от подходов, требующих обучения моделей с нуля, в данной работе использованы предобученные модели, что позволило сосредоточиться на интеграции и оптимизации готовой системы. Для оценки использовался тестовый набор данных парковок г. Уфа.

Таблица 1

Сравнительный анализ обученных моделей

| Версия | Метрика mAP, % | Скорость инференса, мс | Потребление памяти, МБ |
|-------------|----------------|------------------------|------------------------|
| YOLOv4 | 82.1 % | 156 | 224 |
| YOLOv4-tiny | 76.3 % | 34 | 45 |

После проведения анализа было принято решение использовать YOLOv4 и YOLOv4-tiny для повышения отказоустойчивости и точности детекции.

Метрики степени пересечения объектов

Оценить степень пересечения нескольких объектов в компьютерном зрении можно несколькими способами. Наиболее популярные метрики:

- 1) отношение объединения и пересечения площадей (IoU);
- 2) отношение пересечения площади объекта и площадей;
- 3) отношение пересечения площади маски и площадей;
- 4) пересечение выпуклых оболочек;
- 5) пересечение ограниченных минимальных прямоугольников.

В программе используется самая популярная из вышеперечисленных метрик – индекс Жаккара (IoU). Она высчитывается, как площадь пересечения контура маски и ограничивающих контуров объекта к площади объединения этих контуров (рис. 2).



Рис. 2. Графическое представление расчета метрики IoU

Апробация алгоритма

Для тестирования реализован алгоритм определения занятости заранее размеченных парковочных мест, основанный на пересечении координат парковочного места и транспортного средства, определенного YOLO при помощи метрики IoU.

Программа сохраняла фотографии с видеокamеры каждый час с 7:00 до 22:00 в период с 6 октября по 5 ноября 2025 года и обрабатывала ее. По результатам исследований в будние дни составлена сравнительная таблица 2.

Таблица 2

Сравнительная таблица средней занятости парковочных мест в будние дни

| Время | Транспортные средства | Занятые парковочные места | Свободные парковочные места | Загруженность, % |
|----------|-----------------------|---------------------------|-----------------------------|------------------|
| <i>1</i> | <i>2</i> | <i>3</i> | <i>4</i> | <i>5</i> |
| 7.00 | 36 | 26 | 10 | 72.2 % |
| 8.00 | 32 | 21 | 15 | 58.3 % |
| 9.00 | 28 | 21 | 15 | 58.3 % |

| | | | | |
|--------------------------|----------|----------|----------|----------|
| 10.00 | 20 | 14 | 22 | 38.9 % |
| <i>Окончание табл. 2</i> | | | | |
| <i>1</i> | <i>2</i> | <i>3</i> | <i>4</i> | <i>5</i> |
| 11.00 | 20 | 13 | 23 | 36.1 % |
| 12.00 | 11 | 7 | 29 | 19.4 % |
| 13.00 | 20 | 12 | 24 | 33.3 % |
| 14.00 | 19 | 15 | 21 | 41.7 % |
| 15.00 | 28 | 21 | 15 | 58.3 % |
| 16.00 | 25 | 22 | 14 | 61.1 % |
| 17.00 | 27 | 24 | 12 | 66.7 % |
| 18.00 | 32 | 23 | 13 | 63.9 % |
| 19.00 | 30 | 24 | 12 | 66.7 % |
| 20.00 | 33 | 23 | 13 | 63.9 % |
| 21.00 | 38 | 26 | 10 | 72.2 % |
| 22.00 | 40 | 27 | 9 | 75.0 % |

Создано графическое представление работы алгоритма, где зеленым выделяются свободные парковочные места, а красным – занятые (рис. 3).



Рис. 3. Пример работы программы на одном из изображений набора данных

На основе данной статистики можно сделать вывод, что лучшим временем для парковки в будние дни за месяц стало 12:00, когда свободно до 29 парковочных мест. Самое загруженное время – 22:00. В это время в среднем свободно до 9 парковочных мест. Средняя загруженность парковки – 55.4 %.

Взаимодействие пользователя с системой

Для удобного взаимодействия пользователя с системой создан Telegram бот под названием «Parky». При нажатии на кнопку в боте отправляется API-команда на сервер. После этого происходит получение текущего изображения с камеры и его обработка (рис. 4). Результат выводится пользователю ответным сообщением (рис. 5).

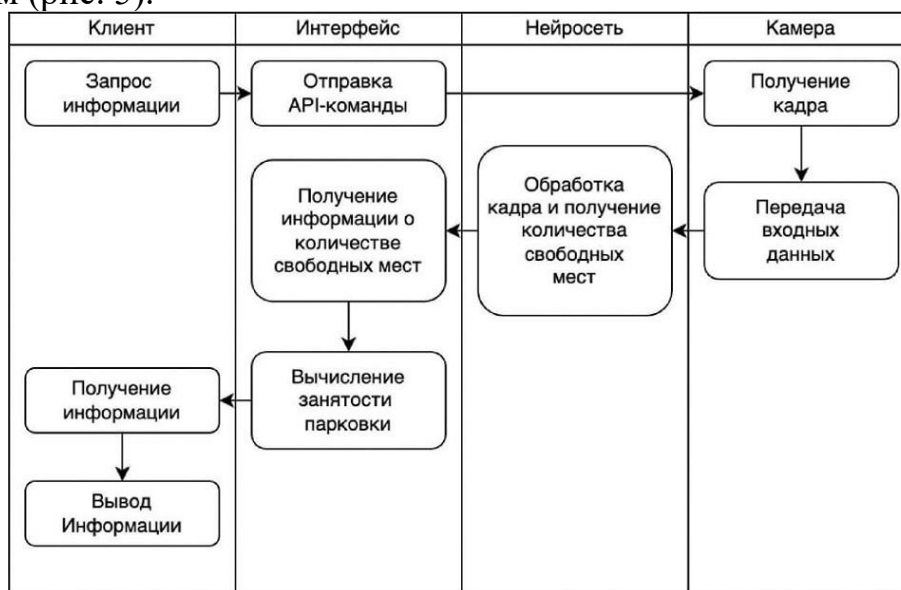


Рис. 4. Схема определения и передачи сигнала о загруженности парковки



Рис. 5. Результат выполнения программы в Telegram боте

Заключение

В ходе работы создана система на основе моделей YOLO, которая успешно решает задачу автоматического отслеживания занятости парковочных мест. Апробация подтвердила точность обнаружения и ценность получаемой статистики загруженности. Разработан Telegram бот, предоставляющий пользователям быстрый доступ к актуальной информации о парковочном пространстве. Система готова к внедрению для повышения эффективности использования парковок.

Библиографический список

1. Маккамбаев Н.Ж. Исследование проблем парковок в городах России. – М.: 67-я университетская научно-техническая конференция студентов и молодых ученых. – Томск, 2021. – 19-23 с.
2. Арутюнова А.Е. Литвинова Ю.А. Складов К.С. Исследование проблем организации парковок в больших городах России. – М.: Пространственная и структурная трансформация экономики России: проблемы и перспективы развития. – Краснодар, 2019. – 167-170 с.
3. Филиппов А. С. Зязин А. А., Деманов В. А. Развитие и применение версий алгоритма YOLO при обнаружении объектов. М.: Территория науки: актуальные вопросы, достижения и инновации. – Пенза, 2025. – 53-55 с.
4. Кофанов П.И., Тупикин Д.А., Звягина Е.А. Компьютерное зрение, определение изменений посредством компьютерного зрения (на примере

создания лазерного тира). – М.: Мехатроника, автоматика и робототехника. – Ливны, 2019. – 158-160 с.

5. Евстраткин К.С., Султанова А.Р., Ерпелев А.В. OpenCV: Варианты использования компьютерного зрения – М.: Цифровые технологии: наука, образование, инновации. – Москва, 2020. – 28-31 с.

6. Niu CH., Song YU., Zhao X. SE-Lightweight YOLO: Higher accuracy in YOLO detection for vehicle inspection – М.: Applied sciences – Switzerland, 2023.

7. Маратулы А., Абибуллаев Е.А. Performance study and comparative analysis of YOLO-NAS and previous versions of YOLO – М.: International journal of information and communication technologies – 2024.

8. Deng Ch., Chen L., Liu Sh. YOLOSCM: an improved YOLO algorithm for cars detection – М.: Applied and computational engineering – 2025. 26-31 с.

© Юрьев В.О., Вафин О.Э., 2025

УДК 004.75

Д.Ф. ЮСУПОВ

dranikcoder@gmail.com

Науч. руковод. – канд. техн. наук, доцент А.С. КОВТУНЕНКО

Уфимский университет науки и технологий

РАЗРАБОТКА И РЕАЛИЗАЦИЯ СИСТЕМЫ РАСПРЕДЕЛЁННОГО IP-СКАНИРОВАНИЯ НА NODE.JS

Аннотация: рассмотрена возможность разработки сервиса для мониторинга работоспособности сетевых узлов и каналов связи, а также для обследования локальной сети на платформе Node.js. Была описана структура системы и выявлены преимущества использования Node.js.

Ключевые слова: распределённое IP-сканирование; Node.js; сетевые технологии; анализ подсетей; информационная безопасность; мониторинг сети; вычисление параметров сети; DNS-резолвинг; ping; веб-интерфейс.

Введение

Распределённое IP-сканирование – это процесс, при котором для сканирования сети используется несколько компьютеров или устройств, чтобы распределить нагрузку и ускорить процесс, а не выполнять его с одной машины.

Распределённое IP-сканирование может быть использовано как для законных целей, например, для анализа большой сети и обнаружения устройств, так и для вредоносных атак, когда злоумышленники сканируют диапазоны IP-адресов в поисках уязвимых целей. Актуальность статьи обусловлена ростом числа кибератак и угроз безопасности информационных систем. Из-за этого автоматизация процесса анализа уязвимостей становится всё более критически важной задачей.

Целью разработки является создание программного средства, которое позволит выполнять анализ заданного диапазона IP-адресов, автоматически определять сетевые характеристики и предоставлять пользователю сведения о доступности узлов и соответствующих им доменных именах

Постановка задачи

Для достижения поставленной цели необходимо решить следующие задачи:

1. Реализовать ввод и проверку диапазона IP-адресов.

Пользователь задаёт начальный и конечный IP-адреса подсети. Программа должна проверять корректность формата адресов и правильности их порядка (начальный адрес должен быть меньше конечного).

2. Формирование полного списка IP-адресов внутри указанного диапазона.

Программное средство должно последовательно сгенерировать все IP-адреса от начального до конечного без пропусков.

3. Получение сетевой информации для каждого адреса.

Для каждого IP необходимо выполнить:

- Определение доменного имени при наличии обратной DNS-записи.
- Выполнить проверку сетевой доступности (ping).
- Вывод результата в удобной форме.

Вычисление параметров подсети на основе указанного диапазона.

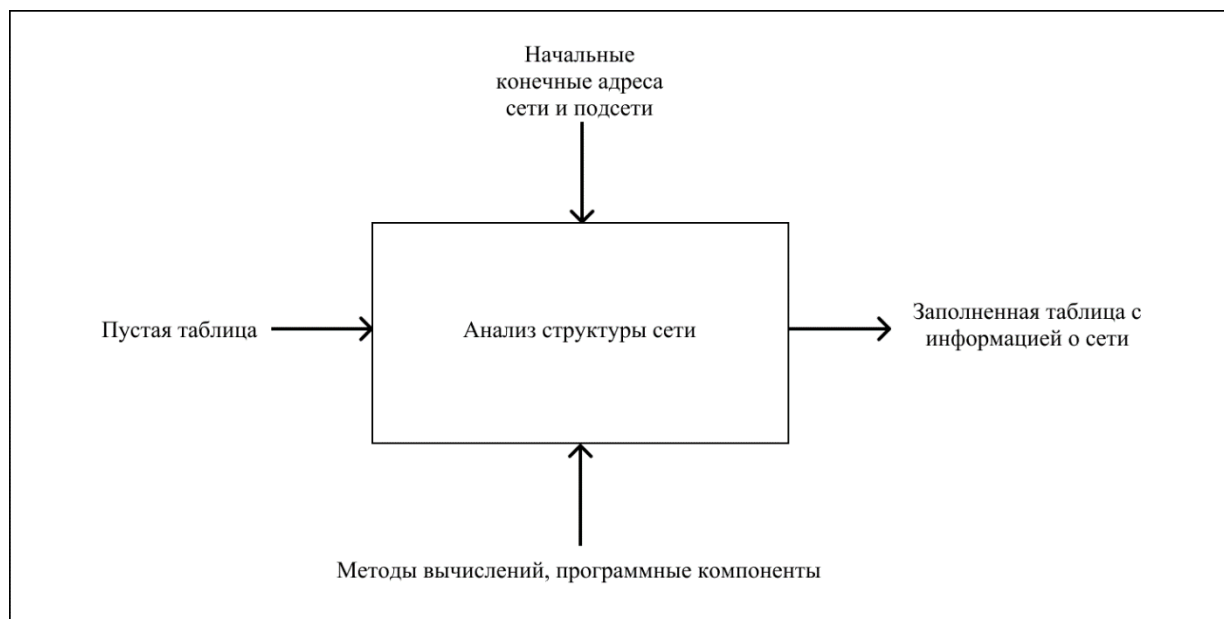
На основе двоичного сравнения начального и конечного IP-адресов требуется:

- Определить адрес сети,
- Вычислить широковещательный адрес,
- Найти доступный адрес шлюза,
- Определить маску подсети.

Визуальное отображение результатов.

Программа должна вывести список IP-адресов с DNS-именами и состоянием доступности и рассчитанные параметры подсети.

Формализуем задачу с помощью схемы в нотации IDEF0. (рис. 1)



Рис

Рис. 1. Схема задачи в нотации IDEF0

Анализ подходов и выбор конкретного

Для обнаружения активных устройств, то есть определения доступности узла по заданному IP-адресу, могут быть применены следующие методы:

1. Ping-сканирование (ICMP Echo Request).

Метод основан на отправке ICMP-эхо-запроса. Устройство считается доступным, если на запрос приходит ответ.

– Преимущества: Простота реализации, высокая скорость работы и минимальная сетевая нагрузка.

– Недостатки: Низкая надежность в случаях, когда ICMP-трафик блокируется сетевыми экранами по соображениям безопасности, что приводит к ложноотрицательным результатам.

2. Сканирование TCP-портов.

Если узел не отвечает на ICMP-запросы, его активность можно установить, попытавшись открыть TCP-соединение с одним из его сетевых портов.

– Преимущества: более высокая надежность по сравнению с ping-сканированием, так как многие сетевые службы ожидают подключений даже при заблокированном ICMP-трафике.

– Недостатки: значительно более медленное выполнение из-за тайм-аутов соединения; эффективность сильно зависит от выбора проверяемых портов.

3. Анализ ARP-таблиц

Данный метод позволяет определить присутствие устройства на канальном уровне сети по соответствию IP- и MAC-адресов.

– Преимущества: Высокая скорость и надежность в пределах одного сегмента локальной сети (LAN).

– Недостатки: применим только в локальной сети и бесполезен для сканирования удаленных узлов. Не предоставляет информации о доступности сетевых служб (уровень приложений).

4. Обратное DNS-резолвирование

Для определения доменного имени, связанного с IP-адресом, используется механизм обратного DNS-запроса (PTR-запись).

– Назначение: позволяет идентифицировать роль или назначение узла в сети.

– Ограничение: работает только при наличии корректно настроенных PTR-записей в DNS-серверах.

Выбор метода для проекта

В рамках данного проекта был выбран комбинированный подход: для каждого IP-адреса выполняется проверка доступности через ICMP-эхо-запрос (ping) и параллельно осуществляется попытка обратного DNS-резолвирования. Данный подход обеспечивает достаточный для первичного анализа уровень информации о сетевых узлах, сохраняя при этом высокую скорость работы и простоту реализации.

Node.js был выбран из-за его высокой производительности, асинхронной обработки, богатой экосистемы и простоты реализации.

Описание реализации

На вход программа получает от пользователя два IP-адреса, обозначающие начало и конец диапазона. Для последующего анализа оба адреса преобразуются в последовательности из 32 двоичных разрядов. Такой формат наиболее удобен для побитных операций.

Основной этап – сравнение полученных двоичных последовательностей. Процедура выполняется слева направо, пока разряды в обеих последовательностях совпадают. Место, где встречается первое несовпадение битов, определяет границу общей для обоих адресов части.

На основе этой границы формируются ключевые адреса:

– Все биты после границы в первом адресе заменяются на нули. Результат преобразуется в десятичный формат и представляет собой исходный (минимальный) адрес сети.

– Все биты после границы во втором адресе заменяются на единицы. После обратного перевода в десятичный вид это значение становится широковещательным (максимальным) адресом сети.

Адрес основного шлюза вычисляется как первый доступный адрес после исходного сетевого. Для этого к двоичному представлению сетевого адреса прибавляется единица, после чего результат конвертируется в стандартный IPv4-формат.

Расчет маски сети также основан на найденной границе: все биты до нее устанавливаются в единицу, а все последующие – в ноль. Полученная двоичная маска преобразуется в привычный десятичный вид с разделителями-точками.

Все рассчитанные значения - исходный и широковещательный адреса, адрес шлюза и маска сети – сохраняются в программе и отображаются пользователю в виде готового результата.

Заключение

В результате разработки проект были получены следующие результаты:

1. Разработан функционал для автоматического сканирования заданного диапазона IP-адресов и формирования списка всех узлов, входящих в него.

2. Создан вычислительный модуль, который на основе пары IP-адресов автоматически определяет все ключевые параметры подсети: адрес сети, широковещательный адрес, маску и адрес шлюза. Алгоритм использует побитный анализ для точного расчёта.

3. Для работы с сервисом был реализован веб-интерфейс, который в реальном времени отображает ход выполнения операций и представляет итоговые данные в табличном виде.

4. Поставлен эксперимент со сканированием сетей

5. Доказано что проект решает поставленную задачу.

Полученное решение позволяет быстро оценивать структуру сети, обнаруживать активные узлы и определять параметры подсетей, что делает его пригодным для использования в локальном администрировании и сетевой диагностике.

Библиографический список

1. Басаргин, А. А. Методы искусственного интеллекта: учебное пособие / А. А. Басаргин. – Новосибирск: СГУГиТ, 2022. – 164 с.
2. Кузнецов, С. О. Основы сетевых технологий: учебное пособие / С. О. Кузнецов. – СПб.: Питер, 2020. – 320 с.
3. Столяр, А. Н. Информационная безопасность компьютерных сетей / А. Н. Столяр, Е. С. Новиков. – М.: Академия, 2021. – 272 с.
4. Иванов, И. П. Анализ и диагностика локальных вычислительных сетей / И. П. Иванов. – М.: Форум, 2022. – 304 с.
5. Киселёв, П. Н. Программирование серверных приложений на Node.js / П. Н. Киселёв. – М.: ДМК Пресс, 2023. – 368 с.
6. Орлов, В. В. Архитектура распределённых систем и сетевых приложений / В. В. Орлов. – СПб.: БХВ-Петербург, 2021. – 416 с.
7. Карпухин, В. А. Технологии мониторинга и администрирования сетевых систем / В. А. Карпухин // Информационные технологии. – 2023. – № 7. – С. 58–64.
8. Министерство цифрового развития, связи и массовых коммуникаций Российской Федерации. Концепция развития технологий кибербезопасности в Российской Федерации. – Режим доступа: <https://digital.gov.ru> (дата обращения: 09.11.2025).
9. Документация по Node.js / Node.js Foundation. – Режим доступа: <https://nodejs.org/ru/docs> (дата обращения: 09.11.2025).

© Юсупов Д.Ф., 2025

УДК 004.9

А.И. ЯГУДИНА

YagudinaAI@uust.ru

Науч. руковод. – канд. физ.-мат. наук, доц. Л.И. ШЕХТМАН

Уфимский университет науки и технологий

МНОГОКРИТЕРИАЛЬНЫЙ ВЫБОР ИНТЕРНЕТ-СЕРВИСА ДЛЯ СОЗДАНИЯ ASCII-ГРАФИКИ

Аннотация: в статье представлен сравнительный анализ интернет-сервисов, предназначенных для автоматического преобразования изображений в ASCII-графику. Проведен многокритериальный выбор на основе критериев качества, удобства использования, скорости обработки и функциональных возможностей. Результаты анализа позволяют определить наиболее эффективные и универсальные онлайн-инструменты для различных целей визуализации и дизайна.

Ключевые слова: ASCII-art, ASCII-графика, интернет-сервисы, многокритериальный анализ.

Введение

Цель – выполнить поиск доступных интернет-сервисов для преобразования графических файлов в ASCII-графику, проанализировать и сравнить по заданному набору критериев. По результатам анализа сделать рекомендации по использованию интернет-сервисов для получения набора символов, представляющего изображение, которое можно использовать для украшения консольного приложения C++.

Термин ASCII-art обозначает графику, созданную с использованием печатных символов ASCII и фиксированной моноширинной (моноспейс) шрифтовой сетки. ASCII-графика используется: в кодировании и проектировании терминалов (ASCII-баннеры, логотипы, стилизованные названия проектов), в создании сайтов и в электронных письмах (сообщениях), в цифровом повествовании игр. Многие инди игры используют символику ASCII для графики.

Изучая основы программирования на языке C++, студентам приходится создавать множество консольных приложений. Интересным упражнением является создание текстовых компьютерных игр. Для повышения эмоциональной выразительности такого консольного приложения можно использовать ASCII-графику.

Можно вручную подобрать набор символов для аппроксимации изображения и использовать в командах вывода в C++-программе. Однако для сложного изображения это будет непросто. Кроме того, в консольном приложении важно правильно подобрать размер изображения, чтобы оно

умещалось в определенную часть экрана. Может понадобиться попробовать разные варианты набора символов для одного и того же изображения. Кроме размера полезно рассмотреть использование разных множеств символов для того, чтобы добиться лучшего качества изображения. Такая оптимизация по размеру и по качеству требует значительных затрат труда и времени на программирование. Часть этой работы можно автоматизировать с помощью готовых программ, которые позволяют преобразовать изображение, находящееся в графическом файле, в набор текстовых символов.

В данной статье рассматривается набор критериев для оценивания качества работы интернет-сервисов для получения ASCII-графики; анализируется 11 интернет-сервисов [1–11]; они оцениваются по заданным критериям; формулируются выводы и рекомендации для применения на этапе подготовки ASCII-графики для использования в консольном приложении C++.

Многокритериальное сравнения альтернатив

В качестве альтернатив рассматриваются интернет-сервисы для преобразования графических файлов в набор ASCII-символов. Когда имеется множество интернет-сервисов для решения одной и той же задачи, возникает необходимость их специального анализа с целью обоснованного выбора (например, [12]).

Был проведен эксперимент по преобразованию тестовых изображений, представленных на рис. 1, с помощью каждого из рассматриваемых интернет-сервисов. Также использованы публикации и обзоры веб-инструментов.

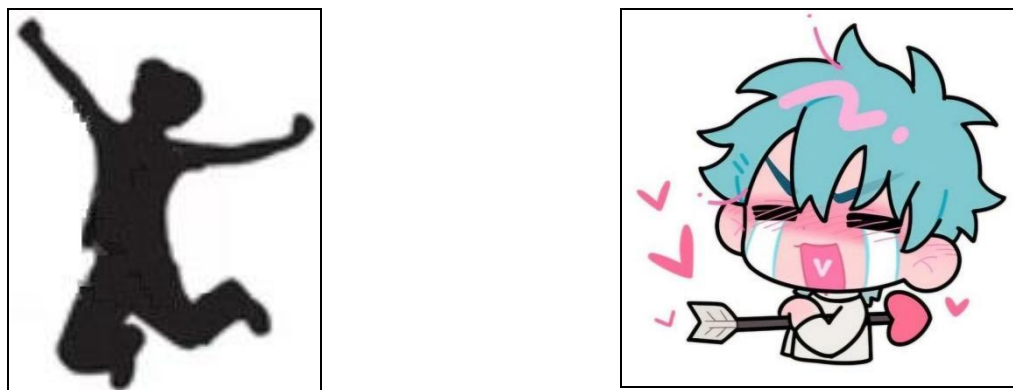


Рис. 1. Тестовые изображения

Критерии оценки качества ASCII-конверсии

Для проведения анализа были определены следующие критерии, отражающие как технические, так и пользовательские аспекты использования сервисов:

- К₁. Качество детализации изображения – степень сохранения формы и контуров объектов.
- К₂. Контрастность и читаемость результата.
- К₃. Скорость обработки изображения.

К₄. Удобство интерфейса и навигации.

К₅. Наличие дополнительных настроек (палитра символов, инверсия, масштаб).

К₆. Возможность экспорта и копирования результата.

К₇. Поддержка различных форматов изображений.

К₈. Возможность предварительного просмотра результата.

К₉. Отсутствие рекламы и навязчивых элементов.

К₁₀. Локализация интерфейса (наличие русского языка).

Сравнительный анализ интернет-сервисов

Примеры результатов конвертирования изображений на сайте Image To Ascii Art [1] показаны на рис. 2.

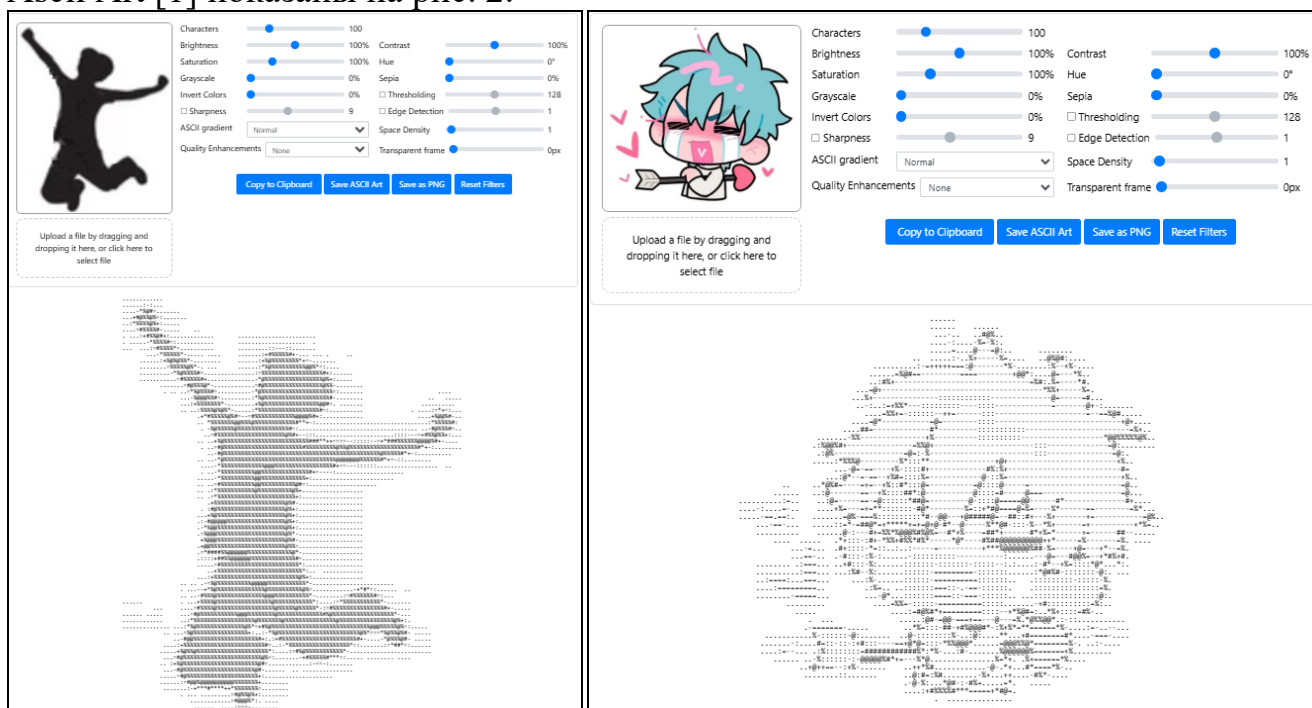


Рис. 2. Тестирование сайта Image To Ascii Art №1

Результаты конвертирования изображений на сайте BootstrapТема [5] представлены на рис. 3.



Рис. 3. Тестирование сайта BootstrapТема №1

На основе отзывов пользователей и собственного опыта автора были оценены интернет-сервисы по каждому критерию (табл. 1).

Таблица 1

Критериальные оценки по 5-балльной шкале сервисов конвертирования изображений в ASCII-графику

| Сервис | К ₁ | К ₂ | К ₃ | К ₄ | К ₅ | К ₆ | К ₇ | К ₈ | К ₉ | К ₁₀ | Итог |
|--------------------------------|----------------|----------------|----------------|----------------|----------------|----------------|----------------|----------------|----------------|-----------------|------|
| asciiart.eu | 5 | 4 | 5 | 4 | 3 | 4 | 4 | 3 | 5 | 2 | 3.9 |
| asciiart.club | 4 | 5 | 4 | 5 | 4 | 4 | 3 | 4 | 4 | 3 | 4.0 |
| copypastas.ru | 4 | 4 | 5 | 4 | 3 | 5 | 4 | 3 | 4 | 5 | 4.1 |
| orbit-tau.vercel.app | 5 | 5 | 4 | 4 | 5 | 4 | 5 | 5 | 5 | 3 | 4.5 |
| bootstraptema.ru | 3 | 3 | 3 | 3 | 3 | 3 | 3 | 2 | 4 | 3 | 3.0 |
| ascii-art-generator.org | 5 | 5 | 5 | 4 | 4 | 4 | 5 | 4 | 5 | 4 | 4.6 |
| heartcopypaste.com | 4 | 4 | 4 | 4 | 4 | 4 | 4 | 4 | 5 | 4 | 4.1 |
| a.tools | 4 | 3 | 4 | 3 | 3 | 3 | 3 | 3 | 4 | 3 | 3.3 |
| lazesoftware.com | 4 | 3 | 5 | 3 | 3 | 3 | 4 | 3 | 4 | 2 | 3.4 |
| liddgo.net | 5 | 4 | 4 | 4 | 4 | 5 | 4 | 4 | 4 | 4 | 4.2 |
| rakko.tools | 5 | 4 | 4 | 4 | 4 | 4 | 4 | 4 | 4 | 4 | 4.1 |

Результаты анализа

На основе анализа можно выделить следующие выводы:

- Сервисы с минимальными настройками и простой локализацией (например, Image to ASCII – asciart.eu, BootstrapТема) подходят для быстрых и простых задач, но не дают высокой свободы управления и детализации;
- Сервисы с продвинутыми настройками и качественной реализацией (например, ASCII-Art-Generator.org, Orbit-Tau ASCII Generator, LDDGO) обеспечивают лучший результат, подходят для задач, где важна детализация и гибкость;
- Русскоязычные сервисы (Corypastas.ru, Rakko.Tools) обеспечивают удобство локализации, но часто уступают по качеству и функциональности ведущим англоязычным инструментам;
- Специализированные/нестандартные варианты (например, LazeSoftware BrailleAagen) открывают новые возможности (например, плотное представление с Braille символами), но требуют большего опыта и не всегда подходят для универсальных задач.
- Если нужно выбрать один сервис рекомендуется: либо ASCII-Art-Generator.org (если язык не критичен) либо Orbit-Tau ASCII Generator.
- Для русскоязычных пользователей с ограниченным бюджетом – Corypastas.ru или Rakko.Tools.

Практические рекомендации по использованию сервисов

- Перед загрузкой изображения следует убедиться, что оно имеет высокий контраст и чёткие контуры – многие обзоры отмечают, что генераторы лучше работают с высококонтрастными изображениями.
- Если нужен текстовый результат, необходимо выбрать сервис, который позволяет копировать результат как текст (TXT), а не сохранять как изображение – это важно, если потребуется вставить ASCII-графику в текстовый редактор или консоль.
- Настройка масштаба символов, набора символов (например, плотных «#@%» и «. »), инверсии цвета – даёт значительный выигрыш в качестве.
- Надо проверять ограничения сервиса: размер изображения, водяные знаки, реклама – могут влиять на удобство.
- Если важна высокая детализация или нестандартный визуальный стиль – рассмотрите сервисы с расширенными символами (Braille, Unicode).

Заключение

Исследование показало, что выбор веб-сервиса для преобразования изображений в ASCII-графику требует учёта множества критериев – от качества результата до удобства интерфейса и локализации. Использование таблицы критериев позволяет систематически оценивать доступные инструменты.

Для большинства пользователей оптимальным выбором является сервис с балансом качества и удобства (например, ASCII-Art-Generator.org или Orbit-Tau ASCII Generator). Для задач со специфическими требованиями (например, Braille-символы) требуются более специализированные инструменты. Таким образом, многокритериальный подход даёт возможность обоснованно выбрать инструмент под конкретные задачи. В будущем можно расширить анализ, включив количественные метрики (например, время конверсии, точность распознавания формы) и провести пользовательские тесты.

Подготовленный список онлайн-сервисов, результаты их анализа, набор критериев оценивания могут оказать информационную поддержку при решении задачи выбора инструментального средства для получения ASCII-графики.

Библиографический список

1. ImageToAsciiArt. URL: <https://www.asciart.eu/image-to-ascii> (дата обращения 7.11.2025).
2. ASCIIArtGenerator. URL: <https://asciart.club> (дата обращения 7.11.2025).
3. Генератор ASCII изображений по картинке. URL: <https://сорупастас.ru/image> (дата обращения 7.11.2025).
4. ORBIT. URL: <https://orbit-tau.vercel.app/#generator> (дата обращения 7.11.2025).
5. BootstrapТема. URL: https://bootstraptema.ru/index/izobrazhenie_v_ascii/0-76 (дата обращения 7.11.2025).
6. OnlineAasciiArtCreator. URL: <https://www.ascii-art-generator.org> (дата обращения 7.11.2025).
7. ASCIIArtGeneratorCopy&Paste. URL: <https://heartcoppypaste.com/ascii-art-generator> (дата обращения 7.11.2025).
8. ImageToASCIIArtGenerator. URL: <https://www.a.tools/Tool.php?Id=490> (дата обращения 7.11.2025).
9. HugeASCIIArtGenerator. URL: <https://lazesoftware.com/en/tool/brailleaagen> (дата обращения 7.11.2025).
10. ImageAsciiConverterOnline. URL: <https://www.dddgo.net/en/image/image-ascii-converter> (дата обращения 7.11.2025).
11. ASCIIArt(AA). URL: <https://ru.rakko.tools/tools/68/> (дата обращения 7.11.2025).
12. Шехтман Л. И., Бабилова В. Я. Многокритериальный выбор интернет-сервиса для разработки ЭОР. В сборнике: Мавлютовские чтения. Материалы XVI Всероссийской молодежной научной конференции. Уфа, 2022. Т5, С. 1001–1007.

© Ягудина А.И., 2025

ОГЛАВЛЕНИЕ

| | |
|--|-----------|
| Секция 5.1. Автоматизированные системы обработки информации и управления..... | 3 |
| <i>Исламов Э.Р., Абдрахманов Д.И., Мухтасарова И.Р., Брагин А.Е., Уразбахтин Р.Э.</i> Создание единого цифрового пространства для студентов. 3 | 3 |
| <i>Вагабов И.М.</i> О подходе к повышению точности прогнозирования остаточного ресурса авиационных ГТД нейросетевыми моделями | 9 |
| <i>Исламов Э.Р., Мухтасарова И.Р., Брагин А.Е.</i> Разработка и реализация клиентской части веб-приложения..... | 14 |
| <i>Кононова Е.М., Кононов Н.А., Кононов М.А.</i> Проектирование комплексной модели оценки качества пользовательского интерфейса с учетом его вероятностно-динамических характеристик | 20 |
| <i>Сайфетдинов И.Ф., Хайбуллин Р.А., Шарафутдинов Д.Р.</i> Разработка информационной системы для определения степени усвоения учебной дисциплины..... | 25 |
| <i>Сбитский Н.В., Павлов М.А., Газизов А.Р., Кагарманов А.В., Таибулатов С.В.</i> Подсистема учета результатов оценки корпоративных компетенций сотрудников | 29 |
| <i>Сулейманов А.А.</i> Система управления сетью зарядных станций электромобилей с элементами технологии V2G (VehicleToGrid)..... | 35 |
| <i>Ямали Д.Д.</i> Структура программы для автоматизации импорта 3D модели .. | 42 |
| <i>Господарева А.Л., Трайго К.Ю.</i> Автоматизированная система контроля санитарных норм в офисных помещениях на базе интернета вещей | 47 |
| Секция 5.2. Математическое и программное обеспечение | 51 |
| <i>Агапов И.А., Антропов Н.А.</i> Алгоритм Беллмана-Форда и его реализация на языке программирования С++ | 51 |
| <i>Акчурина Д.А., Ломакина Е. В.</i> Оптимизация видеоигр: методы, метрики и парадоксы производительности..... | 55 |
| <i>Акчурина Д.А., Сафиуллин В.Д.</i> Анализ дидактического потенциала компьютерных и видеоигр в образовательном процессе..... | 61 |
| <i>Ахмадеев Р.Р., Васильев Р.Г.</i> Хеш-таблица и её реализация на языке программирования С++ | 69 |
| <i>Ашихмин Д.А.</i> Сравнительный анализ эффективности алгоритмов Дейкстры, А* и Беллмана-Форда для поиска кратчайшего пути в графах..... | 76 |
| <i>Ашихмин Д.А.</i> Поиск в глубину и поиск в ширину, сравнение алгоритмов и определение практических сфер их применения..... | 82 |
| <i>Байназаров Т.В.</i> Алгоритм фронта волны для ориентированного графа и его применение..... | 88 |
| <i>Байсалямов Р.Д.</i> Алгоритм Дейкстры: история создания и практическая реализация на С++..... | 93 |
| <i>Бакиев Р.И., Аминев Т.А.</i> Сравнительный анализ классических численных методов и нейросетевых моделей для симуляции физики ткани в реальном времени..... | 100 |

| | |
|--|-----|
| <i>Батталова А.Р., Каррамова А.Р.</i> Процедурная генерация текстур: шум перлина против генеративно-состязательных сетей (GAN) | 105 |
| <i>Газимов А.Ш., Шаймарданова Е.Р.</i> Повышение эффективности системы предсказания цен акций | 110 |
| <i>Мухаметшина А.Р., Галиаскарова А.Г.</i> Численное решение жёстких систем обыкновенных дифференциальных уравнений: проблемы и подходы | 113 |
| <i>Галиев В.Р.</i> Обзор технологий мобильного геомагнитного мониторинга | 117 |
| <i>Гареев И.И., Ханов А.З.</i> Численная устойчивость итерационных методов и катастрофа потери точности | 123 |
| <i>Гиниятов А.И., Султанов Д.В.</i> Caredent – информационная система с ИИ-помощником для стоматологической клиники | 127 |
| <i>Гордеева С.А.</i> Обзор задачи трансформации координат геоцентрического типа | 133 |
| <i>Даутова А.Э., Хисаметдинова Г.К.</i> Применение генетического алгоритма при минимизации суммы нелинейных функций..... | 136 |
| <i>Заведеев А.В.</i> Модификация кучи для эффективного поиска k-го наименьшего элемента..... | 142 |
| <i>Зулкарнаев Д.Р., Саитова Э.Р., Файзуллин А.Р.</i> Исследование минимального размера облаков точек для классификации 3D-объектов с использованием PointNet++ | 142 |
| <i>Киселев А.М.</i> Мобильный гид по велопешеходным маршрутам «Уфимского ожерелья» | 149 |
| <i>Клевакин Д.Д.</i> Разработка специализированного программного обеспечения для редактирования 3D-моделей с 2D-интерфейсом..... | 155 |
| <i>Леушев С.Д.</i> Применение цепей Маркова для моделирования аккордовых последовательностей..... | 160 |
| <i>Леушина А.В.</i> Анализ сильной связности ориентированного графа, поиск компонентов связности и реализация на языке программирования C | 164 |
| <i>Лисина Н.Е., Юсупова З.И.</i> Двухэтапные методы детекции объектов в компьютерном зрении на примере семейства моделей R-CNN | 168 |
| <i>Макаров И.А., Лязина Е.А.</i> Сравнительный анализ численного и нейросетевого подходов в задаче цифрового инпейнтинга на примере алгоритмов PatchMatch и LaMa | 175 |
| <i>Мансурова С.Р.</i> Архитектура операционной системы iOS и ключевые принципы разработки приложений на языке программирования Swift..... | 179 |
| <i>Маркина В.С.</i> Анализ перспектив применения современных технологий ИИ в задачах разработки видеоигр | 184 |
| <i>Мирсаяпов Р.А., Шапошников И.А.</i> Моделирование маршрутов доставки с использованием алгоритмов кратчайшего пути и минимального остовного дерева | 188 |
| <i>Мирхайдарова Д.Р., Савельев Н.С.</i> Комбинаторная и аналитическая природа чисел Каталана..... | 193 |
| <i>Мударисова Р.А.</i> Исследование связей в социальных сетях с помощью алгоритма Луэйна..... | 197 |

| | |
|--|------------|
| <i>Низамов В.Ф.</i> Практическая оценка оптимального параметра релаксации в SOR-подобном методе для обобщенного уравнения с абсолютной величиной | 202 |
| <i>Отахонова Г.У., Сафина Г.Р., Крайнова В.А.</i> Аппроксимация функций | 208 |
| <i>Плотников В.В., Юсупова Ю.Р.</i> Метод обучения оптическому потоку на основе глобального сопоставления признаков..... | 212 |
| <i>Саитова Э.Р., Зулкарнаев Д.Р., Лисина Н.Е.</i> Модели трансформеров для видео: исследование TimeSFormer и его вычислительных принципов..... | 217 |
| <i>Сафина Г.Р., Отахонова Г.У., Рудакова А.А.</i> Феномен Рунге и многочлен Чебышева | 222 |
| <i>Сырчин Я.Е., Хабибуллина А.А.</i> Исследование эффективности алгоритмов поиска подстроки для обработки русскоязычных текстов | 226 |
| <i>Тен Э.Р.</i> Определение электрических отказов электродвигателя по фазовым и амплитудным спектрам..... | 229 |
| <i>Трушников Д.А.</i> Применение алгоритма Marching Squares и ArcGIS API for JS для построения интерактивных изолиний геомагнитных полей..... | 234 |
| <i>Хабибуллин Д.Д., Сучян Э.Р., Ямансаров А.Ф.</i> Генерация узоров: шум Перлина против случайных матриц | 240 |
| <i>Хайдаров Р.Э., Маланченко Я.А.</i> Исследование методов сжатия данных на основе энтропии (Хаффман, арифмитическое кодирование, LZ77)..... | 244 |
| <i>Хамидуллин Б.Р.</i> Создание персонализированной среды разработки на основе свободного программного обеспечения..... | 251 |
| <i>Хамматов А.М.</i> Реализация и анализ алгоритма хэширования с квадратичным разрешением коллизий..... | 261 |
| <i>Хамматов А.М.</i> Реализация полинома Жегалкина методом треугольника Ньютона на Python | 267 |
| <i>Хатмуллин А.М., Лохматов Р.О.</i> Сравнительный анализ методов восстановления пространственно-временных рядов геомагнитных наблюдений..... | 271 |
| <i>Шаймарданова Е.Р.</i> Архитектура модели разложения изображения на семантические каналы | 275 |
| <i>Шапошников И.А., Мирсаяпов Р.А.</i> Сравнительный анализ эффективности сбалансированных двоичных деревьев поиска | 279 |
| <i>Юлдашева Г.А.</i> Автоматизация процесса распределения задач между сотрудниками..... | 285 |
| <i>Юрьев В.О., Вафин О.Э.</i> Современные подходы к решению задачи кратчайшего пути в графах | 289 |
| <i>Юсупова Ю.Р., Плотников В.В.</i> Метод градиентно-взвешенного отображения активаций класса для интерпретации решений свёрточных нейронных сетей | 294 |
| Секция 5.3. Анализ данных, искусственный интеллект и машинное обучение..... | 298 |

| | |
|--|-----|
| <i>Андреева Е.А.</i> Исследование ассоциации полиморфного локуса rs11549465/ <i>HIF1A</i> с риском развития злокачественных новообразований женской репродуктивной системы: данные мета-анализа..... | 298 |
| <i>Антипова А.Е., Валиахметов Т.Р., Политов С.А.</i> Проектирование личного кабинета студента как элемента цифровой экосистемы университета | 302 |
| <i>Асалхузин К.А.</i> Обзор алгоритмов маршрутизации в компьютерных сетях . | 306 |
| <i>Астахова А.С.</i> Мультиагентные системы в логистике | 312 |
| <i>Ахметов А.А., Баязитов Ф.А.</i> Нагрузочное тестирование сервиса обработки изображений на основе FastAPI и YOLOv8 | 316 |
| <i>Балгазин Т.И., Балгазин А.И., Гиниятов А.И.</i> Разработка прототипа системы распознавания образов с использованием библиотеки easyocr..... | 323 |
| <i>Батыришин К.И.</i> О задаче распознавания лесных пожаров | 328 |
| <i>Вагизов А.А., Яковлев А.Р.</i> Современные методы компьютерного зрения в медицине: анализ алгоритмов и перспективы применения..... | 331 |
| <i>Валеев И.Ю.</i> Технология RAG для построения AI-ассистентов в предметно-ориентированных областях | 336 |
| <i>Вахитов Т.Р., Шарыгин М.С.</i> «Zero-shot learning» (Обучение с нулевой обучающей выборкой)..... | 341 |
| <i>Вахитов Т.Р., Шарыгин М.С.</i> Система визуального проектирования и маршрутизации IoT-устройств..... | 345 |
| <i>Воронин Я.В., Кротов И.В.</i> Разработка и модернизация робота-манипулятора с использованием методов компьютерного зрения и голосового управления | 350 |
| <i>Гайнетдинов Р.Р.</i> Адаптивный пайплайн квантизации NLP-моделей как компонент информационно-аналитической системы реального времени для обработки текстовых данных..... | 358 |
| <i>Гилязов Р.И.</i> Модель идентификации БПЛА..... | 363 |
| <i>Давлетов А.Р.</i> Применение технологий искусственного интеллекта в системах беспилотных летательных аппаратов | 367 |
| <i>Двалишвили Г.М.</i> Использование нейроэволюции для оптимального обучения ИНС..... | 372 |
| <i>Ефименко В.В., Кузнецов А.А.</i> Применение технологий машинного зрения для рентгеновского анализа дефектов в металлических деталях..... | 377 |
| <i>Журавлева Ю.О.</i> Определение вредоносных веб-сайтов с использованием методов машинного обучения..... | 383 |
| <i>Загитов Н.А.</i> Факторы дорожно-транспортных происшествий на дорогах общего пользования | 387 |
| <i>Зубов Н.Р.</i> Программный инструмент для оценки рисков возникновения осложнений сахарного диабета..... | 392 |
| <i>Исянбаев И.Р.</i> Распознавание кожных заболеваний с использованием технологий искусственного интеллекта | 397 |
| <i>Казыханов Т.А.</i> Retrieval-Augmented generation для поиска и генерации ответов на основе текстовых документов..... | 401 |

| | |
|---|-----|
| <i>Кандарова А.З.</i> Использование машинного обучения для предсказания мошенничества в банковских транзакциях | 405 |
| <i>Каримов А.Р.</i> Сбор и структурирование патентных данных по титановым сплавам | 410 |
| <i>Кашанова Э.У., Ширяева О.Д.</i> Извлечение и обработка информации о материалах из патентов с помощью MinerU | 415 |
| <i>Каширин В.Ю., Молчанов Д.И.</i> Классификация вредоносного сетевого трафика с использованием глубоких нейронных сетей и методов векторизации признаков | 421 |
| <i>Князев Д.А.</i> Концепция интеллектуальной системы для распознавания художественного стиля и эпохи по изображению картины | 426 |
| <i>Колотов М. А.</i> Применение KAN в реальных задачах: потенциал, возможности и ограничения..... | 431 |
| <i>Косачев И.С.</i> Нейросетевое моделирование для оценки эмоционального состояния пациента в процессе реабилитации..... | 437 |
| <i>Кузнецов Д.А.</i> Прогностическая диагностика опор ротора газотурбинного двигателя АЛ-31СТ на основе методов машинного обучения..... | 443 |
| <i>Рыжков Д.Ю., Курунов А.Ю.</i> Применение искусственного интеллекта и машинного обучения в системном программном обеспечении: обзор современных методов | 449 |
| <i>Мавлиханов Ш.М., Насыров И.Ю.</i> Эмоциональный и искусственный интеллект в управлении проектами: обзор современных исследований | 453 |
| <i>Молчанов Д.И., Каширин В.Ю.</i> Эффективное обнаружение аномалий в сетевом трафике с использованием гибридных моделей машинного обучения | 459 |
| <i>Пятерева В.А.</i> Математическое и программное обеспечение для транскрибирования музыкальных файлов в нотную запись | 462 |
| <i>Репин Д. А., Репин И. А.</i> Проектирование масштабируемых систем доставки сообщений с динамической балансировкой нагрузки..... | 468 |
| <i>Рубцова А.А.</i> Автоматизация тестирования веб-интерфейсов с использованием компьютерного зрения и искусственного интеллекта..... | 475 |
| <i>Сайфуллин М.В.</i> Система видеоаналитики для идентификации агрессивных бездомных животных в г. Уфа | 482 |
| <i>Мигранова В.Р., Стрелкова Е.А., Юмакаев Д.С.</i> Анализ динамики «запаховых» сигналов на основе производных токов многоканального «электронного носа» | 489 |
| <i>Султанов Д.Э., Фалалеев А.И., Фатхуллин А.О.</i> Проектирование и разработка архитектуры модели распознавания русского жестового языка на основе глубокого обучения..... | 493 |
| <i>Макаркин А.А., Султанов Д.Э., Фалалеев А.И.</i> Обучение и внедрение модели распознавания русского жестового языка на основе глубокого обучения ... | 499 |
| <i>Хабиров В.И.</i> Методы анализа данных и обучения языковых моделей в задачах семантического поиска | 505 |

| | |
|---|------------|
| <i>Шаймарданов А.Ф.</i> Факторы возникновения дорожно-транспортных происшествий и их влияние на вероятность происшествия | 511 |
| <i>Шаринов А. Г.</i> Программное обеспечение для анализа и визуализации данных о пожарах..... | 518 |
| <i>Шахмаева Д.А.</i> Обзор алгоритмов для роботов пылесосов и пути их улучшения | 524 |
| <i>Эрматов А.И.</i> Сравнительный анализ эффективности алгоритмов машинного обучения для задач классификации..... | 531 |
| <i>Яхин Д.А.</i> Преодоление ограничений больших языковых моделей: Retrieval-Augmented Generation (RAG) как решение проблем актуальности, «галлюцинаций» и обновляемости знаний..... | 535 |
| Секция 5.4. Вычислительная техника и защита информации | 539 |
| <i>Арсланова Г.И., Мударисов Р.А., Исламова А.А.</i> Внедрение интеллектуальной системы мониторинга сети на платформу промышленного интернета вещей | 539 |
| <i>Атарская Е.А.</i> Обзор современных подходов к обнаружению аномалий в киберфизических системах | 543 |
| <i>Бакунин Д.Н., Шамсубаров А.Р., Рожок Н.М.</i> Подход к созданию интеллектуальной аналитической платформы кибербезопасности на основе агрегации и семантического анализа разнородных отчётов..... | 550 |
| <i>Вагабов И.М.</i> DGA-доменов методами искусственного интеллекта..... | 556 |
| <i>Вагабов И.М.</i> Федеративное обучение: вызовы безопасности и современные методы защиты | 561 |
| <i>Вольф А.А., Васильев Д.А.</i> Уязвимости машинного обучения: природа и методы защиты | 566 |
| <i>Воробьев П.А., Кагиров А.Р., Шаймарданов А.Ф.</i> Методы автоматизации процессов центра мониторинга информационной безопасности | 570 |
| <i>Гумаров А.А., Мухаметгалиев Д.Р.</i> Большие языковые модели в кибербезопасности: возможности применения и векторы атак в 2025 году | 575 |
| <i>Дунюшкина К.С.</i> Современные подходы к организации виртуальных центров обработки данных: архитектурные принципы и перспективы развития | 581 |
| <i>Емелев А.С.</i> Основания выбора автоэнкодера для анализа трафика в сети АСУ ТП | 585 |
| <i>Журавлева Ю.О.</i> Использование искусственного интеллекта в организационной защите информации | 590 |
| <i>Ибрагимова А.Р., Кириллов В.С.</i> Интеллектуальная защита электронной почты с применением программы «BI.ZONE Mail Security» | 594 |
| <i>Ибрагимова А.Р., Кириллов В.С.</i> Защита данных и приватность при использовании искусственного интеллекта | 599 |
| <i>Исламов Р.Р., Журавлев А.А., Карасева Е.М.</i> Ретрансляционные атаки | 603 |
| <i>Ишмухаметов А.И.</i> Современные методы стеганографии: анализ LSB, GAM и TSP-стеганографии | 608 |
| <i>Кадыров Б.М.</i> Отправка зашифрованных сообщений с помощью языка программирования Python | 612 |

| | |
|---|-----|
| <i>Кротов К.П., Мунтян В.В., Хаматханов Э.Р.</i> Самописные коннекторы обогащения данных в платформах киберразведки | 615 |
| <i>Кузнецов М.Д., Чертова К.С.</i> Исследование алгоритмов стеганографии в пространственной области | 619 |
| <i>Лисина Т.Е.</i> Методы и проблемы обнаружения С2-трафика..... | 626 |
| <i>Лободенко Е.С.</i> Анализ уязвимостей Directory Traversal в архиваторах WinRAR и 7-Zip..... | 631 |
| <i>Миханько А.Д.</i> Применение методов машинного обучения в анализе событий | 635 |
| <i>Нарижный Е.В., Мударисов Р.А.</i> Комплексный анализ уязвимостей IoT-сетей и методов их защиты на уровне коммуникационных протоколов..... | 641 |
| <i>Нугуманов Д.И., Ягудин А.И.</i> Применение искусственного интеллекта и методов машинного обучения в обнаружении вредоносного сетевого трафика и аномалий. | 645 |
| <i>Пашина А.П.</i> Правовые и технические аспекты реализации «права на забвение» в интернете..... | 650 |
| <i>Попиль Р.А.</i> Атаки на алгоритмы глубокого обучения и методы их обнаружения | 654 |
| <i>Рожок Н.М., Бакунин Д.Н., Биктимиров М.Р.</i> AI как инструмент для атак: эволюция угроз в 2025 году и меры противодействия..... | 659 |
| <i>Сабитов Р.Р., Лугманов А.М., Гостенов Е.А.</i> Патч-менеджмент: ключ к устранению уязвимостей и защите цифровой инфраструктуры | 667 |
| <i>Хафизов И.М.</i> Эволюция роли NGFW: от периметра к компоненту интегрированной платформы..... | 673 |
| <i>Хоффер К.Г., Эльгазали А.А.</i> Облачная безопасность..... | 678 |
| <i>Чертова К.С., Кузнецов М.Д.</i> Обеспечение безопасности удаленного доступа с использованием СКЗИ | 683 |
| <i>Утегенов Е.М.</i> Человеческий фактор в информационной безопасности: проблема и пути решения..... | 690 |
| <i>Ягудин А.И.</i> Модели оценки рисков кибербезопасности для корпоративных сетей..... | 694 |
| <i>Иркина Ю.Р.</i> Защита доменного имени: правовые и технические аспекты . | 698 |
| <i>Насибуллин Р.М.</i> Преимущества и недостатки программных средств защиты информации в автоматизированной системе | 703 |
| Секция 5.5. Геоинформационные системы. | 707 |
| <i>Алексакина Л.В., Панкратьева П.С.</i> Проектирование мобильного приложения «навигация по Уфимскому университету»..... | 707 |
| <i>Гимадеев Э.Р.</i> Унификация взаимодействия с разнородными API транспортных компаний для решения задачи логистики | 713 |
| <i>Гумерова Д.И.</i> Верификация данных как основа эффективного управления бизнес-процессами | 718 |
| <i>Донцов А.А.</i> Использование геоинформационных систем для геймификации построения персонализированных маршрутов в городском туризме | 722 |

| | |
|---|-----|
| <i>Ильясов Р.Р.</i> Система автоматического анализа занятости парковочных мест на основе нейросетевой модели YOLO..... | 725 |
| <i>Карачурин А. И.</i> Разработка информационной системы для оптимизации установки ветрогенераторов | 729 |
| <i>Кононова П.А., Кононова В.А.</i> Проектирование расширенного пользовательского интерфейса в гис научно-образовательных маршрутов в г. Уфа..... | 736 |
| <i>Кононова В.А., Кононова П.А.</i> Проектирование модуля согласования маршрутов в ГИС научно-образовательных маршрутов в г. Уфа | 742 |
| <i>Курочкин М.Н., Есетов М.Е.</i> Анализ возможностей ГИС при оценке территорий для экотуризма | 748 |
| <i>Мустаев Л.М., Минасов Ш.М.</i> Модели и алгоритмы определения текущего местоположения на основе интеллектуальной коррекции данных инерциальной навигационной системы в зданиях сложной топологии | 754 |
| <i>Насырьянова Р.Б.</i> Интеллектуальный анализ геологического разреза: распознавание литологических слоев с помощью нейронных сетей | 760 |
| <i>Нурмухаметов И.И.</i> Разработка системы для геоинформационного картографирования загрязнений по Республике Башкортостан | 766 |
| <i>Орлов Г.О.</i> Концепция поддержки принятия решений в геологоразведочных работах на примере геомагнитной информации | 773 |
| <i>Фролова В.Н.</i> Геоинформационные технологии в веб-ресурсах для обеспечения деятельности дендропарков..... | 779 |
| <i>Хайруллин М.С., Накаряков Е.В.</i> ИИ-мониторинг заповедных территорий: детекция животных и пространственный анализ данных..... | 786 |
| Секция 5.6. Анализ данных и моделирование пространственных данных | 798 |
| <i>Агапов М.Ю., Минасов Ш.М.</i> Алгоритм автоматической калибровки параметров инерциальной навигации в помещениях со сложной геометрией на основе данных шагомера и гироскопа | 798 |
| <i>Акатьев Б.А.</i> Генерация текстовых описаний изображений на основе глубокого обучения..... | 805 |
| <i>Акрамов А. М.</i> Разработка информационной системы поддержки принятия решений для планирования закупок на предприятии | 811 |
| <i>Антонова А.Р., Сынбулатов Т.И.</i> Сравнительный анализ моделей оценки вероятности предсказаний дорожно-транспортных происшествий | 815 |
| <i>Бадриев Н.И., Мусин Д.Р.</i> Комплексный анализ факторов в современных навигационных системах. Comprehensive factor analysis in modern navigation systems | 821 |
| <i>Беглова В.В.</i> Проектирование системы оценки безопасности помещения для домашней кошки с использованием искусственного интеллекта..... | 828 |
| <i>Биккулова Э.Р.</i> Создания виртуального квеста для обнаружения суицидальных наклонностей у подростков | 834 |
| <i>Валеев У.Т.</i> Веб-скрапинг с использованием искусственного интеллекта ... | 837 |

| | |
|---|-----|
| <i>Варюхина А.Е.</i> Разработка информационной системы применения технологии компьютерного зрения для сортировки мусора | 842 |
| <i>Вахитов Д.М., Шаймарданов Д.А.</i> Визуализация пространственных данных в геомаркетинговых дашбордах: от данных к аналитическим решениям. | 848 |
| <i>Габдрахманов Т.А.</i> Разработка интеллектуального чат-бота-консультанта для клиентов банка с использованием методов обработки естественного языка | 854 |
| <i>Гафаров М.Р.</i> Методика обработки видеопотока для задач поведенческого анализа сельскохозяйственных животных | 858 |
| <i>Горчакова А.П.</i> Разработка базы данных для внутреннего позиционирования на складе с использованием Bluetooth 6.0 | 863 |
| <i>Еременко С.В.</i> Разработка проекта для отслеживания заболеваний животных с помощью технологий компьютерного зрения..... | 868 |
| <i>Закирова Р.В.</i> Алгоритм отслеживания активности крупного рогатого скота | 868 |
| <i>Ильясов Р.Р.</i> Интерактивный инструмент разметки парковочных мест на основе библиотеки OpenCV | 877 |
| <i>Ишмуратов И.А.</i> Система видеомониторинга активности пчёл с использованием методов компьютерного зрения..... | 881 |
| <i>Кайниев Д.А.</i> Анализ и предварительная обработка датасетов для детекции летающих объектов в реальном времени с использованием YOLOv8..... | 885 |
| <i>Хамитова А.И., Кантимирова Р.Р.</i> Разработка концепции и прототипа интерфейса виртуального музея | 889 |
| <i>Мамылов М.А.</i> Автоматизированная инвентаризация на складах с использованием БПЛА | 895 |
| <i>Махмудов И.Р.</i> Разработка модели для прогноза цен на основе анализа рыночных данных..... | 899 |
| <i>Накаряков Е. В., Хайруллин М.С.</i> Разработка и реализация алгоритма оптимального распределения грузов в приложении для мониторинга и управления морскими грузоперевозками | 904 |
| <i>Потапова А.Ю.</i> Разработка информационной системы применения технологии компьютерного зрения для сортировки металлического мусора | 909 |
| <i>Прохоров А.В.</i> Алгоритм Wave Function Collapse: систематический анализ и перспективы гибридизации в процедурной генерации контента..... | 914 |
| <i>Русков А.В., Минасов Ш.М.</i> Метод кодирования узловых точек маршрутного графа в зданиях сложной геометрии в условиях отсутствия устойчивого сигнала систем глобального геопозиционирования | 918 |
| <i>Савиных К.Р.</i> Разработка системы для автоматической сортировки бытовых отходов с помощью компьютерного зрения..... | 925 |
| <i>Семенов А.С.</i> Прогнозирование атмосферных осадков и облачности с использованием алгоритмов машинного обучения | 930 |
| <i>Смирнов Н.А.</i> Картографическое web-приложение прогнозирования пожароопасной обстановки..... | 934 |

| | |
|--|------|
| <i>Степанов В.В.</i> Изучение технологии web scrapping, как инструмент извлечения и анализа данных в среде динамических сайтов | 939 |
| <i>Темиргалин Р.Р.</i> Рекомендательная система по выбору оптимальной сельхозкультуры для посева в конкретном регионе с учётом климатических условий, почв, урожайности и рентабельности | 944 |
| <i>Угаров А.К.</i> Применение методов глубокого обучения для распознавания эмоций в текстовых данных социальных сетей | 950 |
| <i>Хакимов И.Х.</i> Прогнозирование интенсивности дорожного движения с учетом погодных условий | 954 |
| <i>Файзуллин И.Д.</i> Информационная система прогнозирования оттока клиентов на основе методов машинного обучения | 960 |
| <i>Шайдуллин А.Р.</i> Распознавание и перевод в печатный формат рукописного текста нейросетевыми технологиями..... | 964 |
| <i>Шаймарданов Д.А. Вахитов Д. М.</i> Проектирование модуля аудита и задач корпоративного геопортала: от журнала изменений к управлению запросами и качеством данных..... | 968 |
| <i>Щипанов В.К.</i> Анализ современных методов оценки семантической близости словосочетаний..... | 973 |
| <i>Янин Р.Д.</i> Применение технологий объяснимого ИИ (ХАИ) для классификации новообразований головного мозга по снимкам МРТ..... | 978 |
| <i>Яшин А.Е.</i> Проектирование информационной системы по классификации обращений пользователей в сервис доставки еды..... | 982 |
| Секция 5.7. Системный анализ, управление и информационные технологии | 988 |
| <i>Анискина А.Д.</i> Система защиты информации значимого объекта критической информационной инфраструктуры в сфере связи | 988 |
| <i>Бочкарёв П.И.</i> Модернизация системы управления станком сварки трением | 994 |
| <i>Гумирова Я.Т.</i> Влияние законов распределения степеней узлов на интегральные характеристики плоских сетей | 1001 |
| <i>Домрачева В.Д.</i> Автоматизация бизнес-процесса разработки программного обеспечения в компании ООО «Фикслайн» | 1007 |
| <i>Жаркова О.А.</i> Особенности реализации сервиса аналитического вычисления на графах | 1014 |
| <i>Зинатуллина К.М.</i> Интеграция систем управления в компании ООО «Фикслайн» | 1021 |
| <i>Карачурина А.А.</i> Проблема подбора оборудования для подготовки технико-коммерческих предложений..... | 1026 |
| <i>Миногоина Ю.В.</i> Генеративные нейросети в создании игрового контента: возможности, ограничения и сравнения с классическими процедурами.... | 1032 |
| <i>Мусина Н.М.</i> Учебно-лабораторный комплекс для подготовки специалистов по управлению в технических системах..... | 1037 |
| <i>Мухаметзянов Э.И.</i> Описание компонент треугольника сетецентрического управления посредством схем сопряжения..... | 1042 |

| | |
|---|-------------|
| <i>Солоха Р.В., Машковская С.М.</i> Системно-аналитический подход к снижению рисков неудачного завершения IT-проектов..... | 1047 |
| <i>Старосельцева Д.В., Боброва С.П.</i> Интеллектуальный аналитик: как нейронные сети трансформируют профессию..... | 1051 |
| <i>Тимергалиева К.Ю., Даутова А.Э.</i> Сравнение голосовых помощников на основе алгоритмов обучения искусственного интеллекта..... | 1054 |
| <i>Тимергалиева К.Ю., Даутова А.Э., Ахметгареева С.Р.</i> Будущее рынка труда: как технологии меняют профессии в сфере управления и IT..... | 1058 |
| <i>Ульянов В.Ю.</i> Оценка последствий внешних воздействий на сетевые системы на основе топологических характеристик..... | 1062 |
| <i>Хамадеев А.М.</i> Сравнительный анализ динамических характеристик базовых топологических структур..... | 1068 |
| <i>Черников А.Ю.</i> Моделирование влияния отказов в многослойных сетях... | 1079 |
| <i>Чжан С.</i> Проблемы профессиональной и межкультурной коммуникации в контексте практики управления современными китайскими организациями..... | 1088 |
| <i>Шайхлисламов В.Р.</i> Оценка сбалансированности характеристик двигателей беспилотных воздушных судов коптерного типа..... | 1092 |
| Секция 5.8. Моделирование и исследование операций в организационно-технических системах..... | 1098 |
| <i>Альмухаметова Г.Р.</i> Отслеживание состояния проекта на примере выполнения проектно-изыскательных работ объектов капитального строительства (ОКС)..... | 1098 |
| <i>Аминева Р.Ф.</i> Модели и алгоритмы системы нейтрализации БПЛА для защиты площадочных объектов ПАО «Транснефть»..... | 1102 |
| <i>Бирюков А.Ю.</i> Многокритериальный выбор средств для обучения программированию: методология и реализация..... | 1107 |
| <i>Верзунова К.С.</i> Разработка системы детекции нарушений требований промышленной безопасности на основе анализа видеопотока..... | 1113 |
| <i>Газизуллин Р.Ф.</i> Разработка системы детекции и классификации дефектов на производственных линиях..... | 1118 |
| <i>Гайнитдинов Т.В.</i> Подход к прогнозированию временных рядов геомагнитных данных на основе методов машинного обучения..... | 1124 |
| <i>Галимов А.Р.</i> Разработка системы прогнозирования отказов технического оборудования на основе методов машинного обучения и анализов данных..... | 1129 |
| <i>Каримова Т.Р.</i> Голосовой нейросотрудник по лабораторным работам: ассистент преподавателя..... | 1134 |
| <i>Мухаметов М.Р.</i> Технические методы и средства идентификации суббулевой активности..... | 1139 |
| <i>Овчинникова Н.Д.</i> Использование Excel и 1С:ERP в управлении технологическими операциями производства: структура, обмен данными, роль различных подразделений..... | 1146 |

| | |
|--|------|
| <i>Петров Н.В.</i> Оптимизации логистических маршрутов в условиях нестабильной внешней среды на основе технологий машинного обучения | 1149 |
| <i>Султанова Д.М.</i> Моделирование динамики проходных баллов как задача исследования в системе высшего образования | 1156 |
| <i>Файзуллин Р.Р., Карамов Л.Ф., Тряскин Д.В.</i> Концепция и алгоритм разработки компьютерного симулятора «Emergency SimVR»..... | 1160 |
| <i>Харунов Р.Р., Галиев Б.В.</i> Геймификация операционной деятельности на ТЭЦ: от VR-тренажёра к системе повышения компетенций и безопасности | 1168 |
| <i>Шайхутдинова Р.М.</i> Создание цифрового двойника хирургического поля с применением нейросетевых технологий | 1175 |
| <i>Юнусова Е.А.</i> Информационная поддержка жизненного цикла аппаратно-программной системы мониторинга газорегуляторных пунктов | 1183 |
| <i>Ялалетдинов А.А., Кальметьев Э.И.</i> Комплексный анализ технологий внутрипространственного позиционирования | 1188 |
| Секция 5.9. Математическое и компьютерное моделирование. | 1194 |
| <i>Антропов Р.И.</i> Статистическое моделирование зависимости щелочного числа от концентрации присадок в моторных маслах | 1194 |
| <i>Галимнуров А.А.</i> О робастной оптимизации портфеля облигаций..... | 1198 |
| <i>Залилова А.Д.</i> Симметрии обобщенного уравнения Хантера-Сакстона..... | 1201 |
| <i>Никонова С.И., Корнилова А.А.</i> Кинетическое моделирование деструкции твердого парафина..... | 1205 |
| <i>Павлова Т. В.</i> Определение коэффициента затухания продольных колебаний самолета МС-21 и его влияние на устойчивость полета..... | 1212 |
| <i>Хамидулина К.Р.</i> Решение уравнения Пуассона в неоднородной среде с помощью физико-информированной нейронной сети..... | 1219 |
| <i>Яковлев О.В.</i> Моделирование динамики флюида по модели Баера-Нунциато в среде OpenFOAM | 1225 |
| Секция 5.10. Математическое моделирование и вычислительная математика | 1230 |
| <i>Фатхелисламов А.Ф., Утяшев И.М.</i> Влияние коэффициента упругости закрепления на собственные частоты колебаний стержня с дефектом..... | 1230 |
| Секция 5.11. Компьютерные симуляторы и игры | 1236 |
| <i>Башлыкова А. И.</i> Обзор возможностей Unreal Engine для создания хоррор-игры..... | 1236 |
| <i>Гилязиев Р.Р., Дьяконов М.А.</i> Создание экономической игры на основе нечёткой логики..... | 1241 |
| <i>Ермаченко А.В.</i> Концепция компьютерной игры для обучения основам программирования на С#..... | 1247 |
| <i>Искандарова Л.Д., Кримова Н.В., Котовщикова А.Ю.</i> Платформа интерактивных визуальных новелл с системой на основе искусственного интеллекта | 1252 |
| <i>Ковалец С.С.</i> Создание 3D-персонажа «Маскотт УУНиТ» в Blender..... | 1258 |

| | |
|---|-------------|
| <i>Койкова В. П., Чубукова К. Ю.</i> Концепция и прототип компьютерной игры в жанре визуальной новеллы..... | 1264 |
| <i>Пименов Д.С., Бактыбаев А.Ф. Латыпов Э.Р.</i> Разработка компьютерной игры «Иван Царевич – оборотень в погонах»..... | 1267 |
| <i>Овчинникова Н.Д.</i> Анализ интерактивных интернет-ресурсов для изучения теории игр..... | 1272 |
| <i>Салимгареев И.Ф.</i> Разработка компьютерной игры «CarRacer» на базе игрового движка Unity..... | 1278 |
| <i>Сахинов А.Э.</i> Разработка игры «Симулятор огородника» в жанре Tower Defense на платформе Unity..... | 1283 |
| <i>Фарвазов Т.А., Аюпов Р.Р.</i> Возможности движка PhysX для симуляции физики в компьютерных играх..... | 1288 |
| <i>Хуснутдинов К.Р.</i> Сравнительный анализ систем визуального программирования Varwin и Unity Visual Scripting для создания интерактивных приложений..... | 1294 |
| <i>Шайнуров Т.И., Салимгареев И.Ф.</i> «Redshapochka»: создание 2D-платформера с нуля при помощи нейросетей..... | 1298 |
| <i>Шайнуров Т.И.</i> Разработка дрифт-игры «JungleDrift» на базе игрового движка Unity..... | 1304 |
| Секция 5.12. Современные информационные технологии..... | 1310 |
| <i>Баранов А.Г.</i> Проблемы определения искусственного интеллекта общего назначения..... | 1310 |
| <i>Давлетов А. Р.</i> Обзор современных инструментов CI/CD..... | 1314 |
| <i>Залаяев С.Р.</i> Физически информированные нейронные сети. Обзор существующих областей применения..... | 1318 |
| <i>Карамов Л.Ф., Юнусов А.Д.</i> Разработка интеллектуального ежедневника FlowTime с контролем времени и аналитикой продуктивности..... | 1324 |
| <i>Ордуханов Ш.К.</i> Прогноз оттока пользователей по простым поведенческим признакам..... | 1332 |
| <i>Сергиенко Г.А.</i> Разработка пользовательского интерфейса интернет-приложения в среде Figma..... | 1338 |
| <i>Соляникова Т.П.</i> Smart-стандарты: цифровая трансформация технического регулирования..... | 1344 |
| <i>Таджибов У.Э.</i> Как искусственный интеллект меняет работу программиста и фронтенд-разработчика..... | 1348 |
| <i>Тряскин Д.В., Юсупов Д.Ф.</i> Голосовой ассистент-консультант приемной комиссии университета..... | 1352 |
| <i>Файзуллин Р.Р.</i> Программные средства для генерации звука и речи персонажей в компьютерных играх..... | 1358 |
| <i>Хакимьянова А.Д.</i> Влияние структуры данных на время работы алгоритма Дейкстры..... | 1364 |
| <i>Ханнанов Н. К.</i> Разработка и верификация модели динамического расчета времени распространения параметров солнечного ветра для систем поддержки принятия решений в реальном времени..... | 1371 |

| | |
|---|------|
| <i>Харунов Р.Р., Ханнанов Н.Л.</i> Динамическая коррекция времени распространения солнечного ветра для повышения точности прогноза погрешностей магнитной инклинометрии при ННБ | 1376 |
| <i>Шевцов Д. С.</i> Сравнительный анализ цифрового скульптинга в Blender и ZBrush | 1381 |
| <i>Юрьев В.О., Вафин О.Э.</i> Система для автоматического определения свободных парковочных мест | 1387 |
| <i>Юсупов Д.Ф.</i> Разработка и реализация системы распределённого IP-сканирования на Node.js | 1394 |
| <i>Ягудина А.И.</i> Многокритериальный выбор интернет-сервиса для создания ASCII-графики | 1399 |

При подготовке электронного издания использовались следующие программные средства:

- Adobe Acrobat – текстовый редактор;
- Microsoft Word – текстовый редактор.

Все права защищены. Книга или любая ее часть не может быть скопирована, воспроизведена в электронной или механической форме, в виде фотокопии, записи в память ЭВМ, репродукции или каким-либо иным способом, а также использована в любой информационной системе без получения разрешения от издателя. Копирование, воспроизведение и иное использование книги или ее части без согласия издателя является незаконным и влечет уголовную, административную и гражданскую ответственность.

Научное издание

МАВЛЮТОВСКИЕ ЧТЕНИЯ

Том 5

Материалы

***XIX Всероссийской молодёжной научной конференции
(г. Уфа, 24 – 28 ноября 2025 г.)***

Электронное издание сетевого доступа

*За достоверность информации, изложенной в статьях,
ответственность несут авторы.*

Статьи публикуются в авторской редакции

Подписано к использованию 29.12.2025 г.
Гарнитура «Times New Roman». Объем 40,93 Мб.
Заказ 406.

*ФГБОУ ВО «Уфимский университет науки и технологий»
450008, Башкортостан, г. Уфа, ул. Карла Маркса, 12.*

Тел.: +7-908-35-05-007
e-mail: ric-bdu@yandex.ru